



COMUNE DI CARAPELLE



PROGETTO DEFINITIVO

PROGETTO IMPIANTO DI PRODUZIONE ENERGIA ELETTRICA DA FONTE RINNOVABILE DI TIPO FOTOVOLTAICO UTILITY SCALE

Committente:

Green Genius Italy Utility 12 srl

Corso Giuseppe Garibaldi, 49
20121 Milano (MI)



MODUS ENERGY



StudioTECNICO

Ing. Marco G Balzano

Via Canello Rotto, 3
70125 BARI | Italy
+39 331.6794367
www.ingbalzano.com



Spazio Riservato agli Enti:

REV	DATA	ESEGUITO	VERIFICA	APPROV	DESCRIZ
R0	30/11/2020	Ing. N. Papeo	Ing. Arch. M. Perrini	MBG	Prima Emissione
R1	25/05/2021	Ing. N. Papeo	Ing. Arch. M. Perrini	MBG	Seconda Emisisione

Numero Commessa:

SV317

Data Elaborato:

30/11/2020

Revisione:

R0

Titolo Elaborato:

Relazione Preliminare di Calcolo delle Strutture

Progettista:

ing.MarcoG.Balzano

Ordine degli Ingegneri della Provincia di Bari n.9341
Professionista Antincendio Elenco Ministero degli Interni BA09341101837
Consulente Tecnico d'Ufficio (CTU) Tribunale Bari

Elaborato:

P.12

IMPIANTO FOTOVOLTAICO UTILITY SCALE

SITO CAR 01 SV317_CARAPELLE

- **RELAZIONE DI CALCOLO PRELIMINARE STRUTTURE IN ACCIAIO TRACKER**
- **TABULATI DI CALCOLO STRUTTURE IN ACCIAIO TRACKER**
- **RELAZIONE DI CALCOLO PRELIMINARE VANI ALLOGGIO IMPIANTI : EDIFICIO A e B**
- **TABULATI DI CALCOLO VANI ALLOGGIO IMPIANTI : EDIFICIO A e B**
- **RELAZIONE DI CALCOLO PRELIMINARE PIASTRE DI APPOGGIO MAGAZZINO E CABINA AUSILIARE**
- **TABULATI DI CALCOLO PIASTRE DI APPOGGIO MAGAZZINO E CABINA AUSILIARE**

IMPIANTO FOTOVOLTAICO UTILITY SCALE

SITO CAR 01 SV317_CARAPELLE

**RELAZIONE DI CALCOLO PRELIMINARE STRUTTURE IN ACCIAIO
TRACKER**

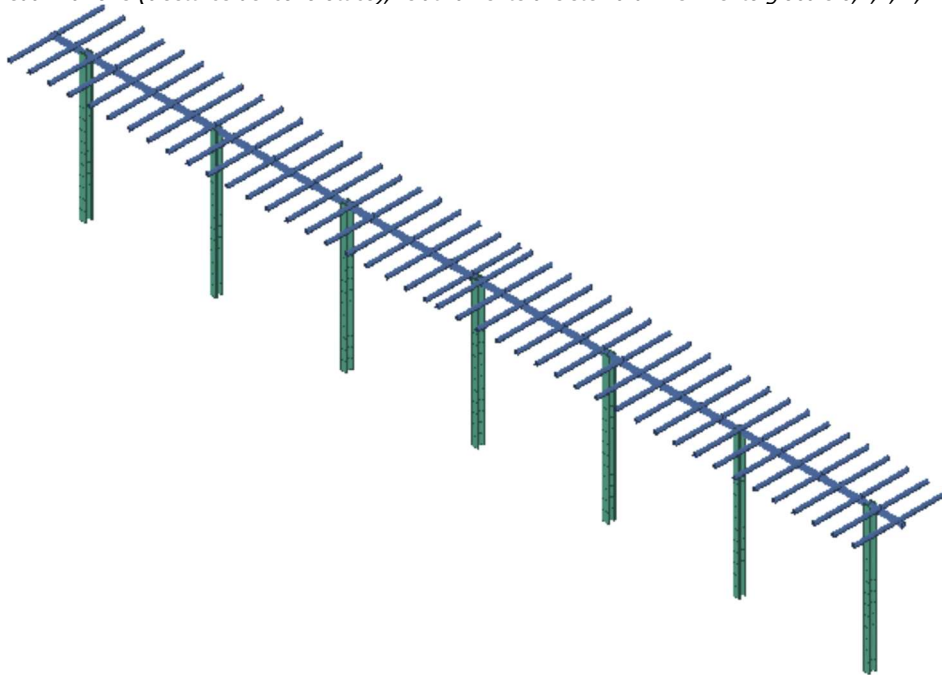
1 - DESCRIZIONE GENERALE DELL'OPERA

La presente relazione di calcolo preliminare ha per oggetto le strutture portanti di un campo fotovoltaico da realizzarsi in agro di Carapelle, provincia di Foggia denominato CAR 01 - La Pescia SV317. Il sistema di fondazione sarà realizzato mediante pali infissi costituiti da profili in acciaio trafilato a caldo del tipo HEB320, infissi nel terreno per 5mt e allineati in gruppi di sette, che costituiranno la base di appoggio della trave scatolare di dimensioni 200x200x5mm (dotata di sistema di rotazione comandato da sensori di luminosità – tracking) a cui sono collegate le traverse costituite da travi omega 40x180x80x4mm e che, a loro volta costituiranno la base di appoggio per una doppia fila di pannelli fotovoltaici. Gli inseguitori solari consentiranno ai pannelli fotovoltaici di raggiungere angoli da 30° gradi a 330° avendo come riferimento l'asse verticale.

Vengono riportate di seguito due viste assonometriche contrapposte, allo scopo di consentire una migliore comprensione della struttura oggetto della presente relazione:

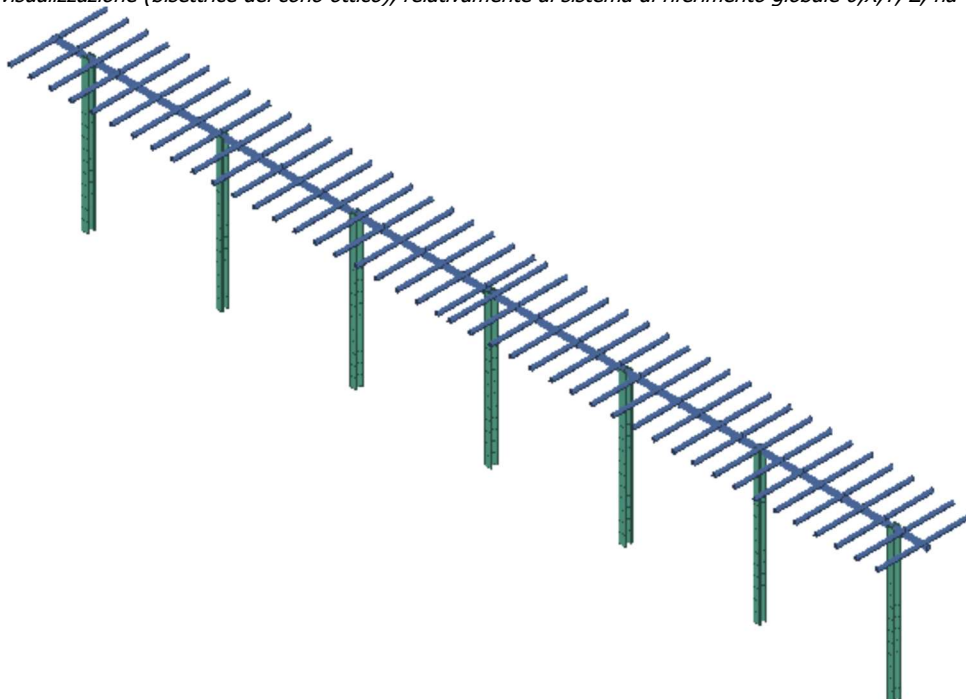
Vista Anteriore – disposizione con angolo a 90° dalla verticale

La direzione di visualizzazione (bisettrice del cono ottico), relativamente al sistema di riferimento globale O, X, Y, Z , ha versore $(1;1;-1)$



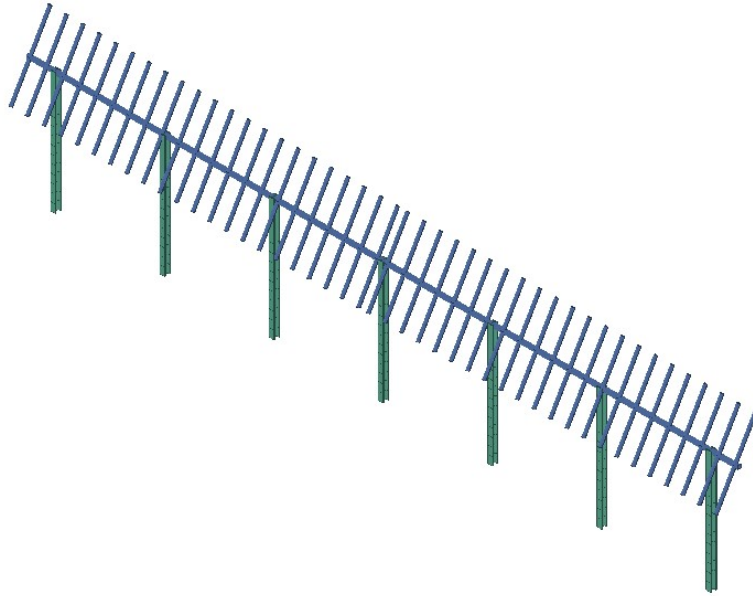
Vista Posteriore – disposizione con angolo a 90° dalla verticale

La direzione di visualizzazione (bisettrice del cono ottico), relativamente al sistema di riferimento globale O, X, Y, Z , ha versore $(-1;-1;-1)$



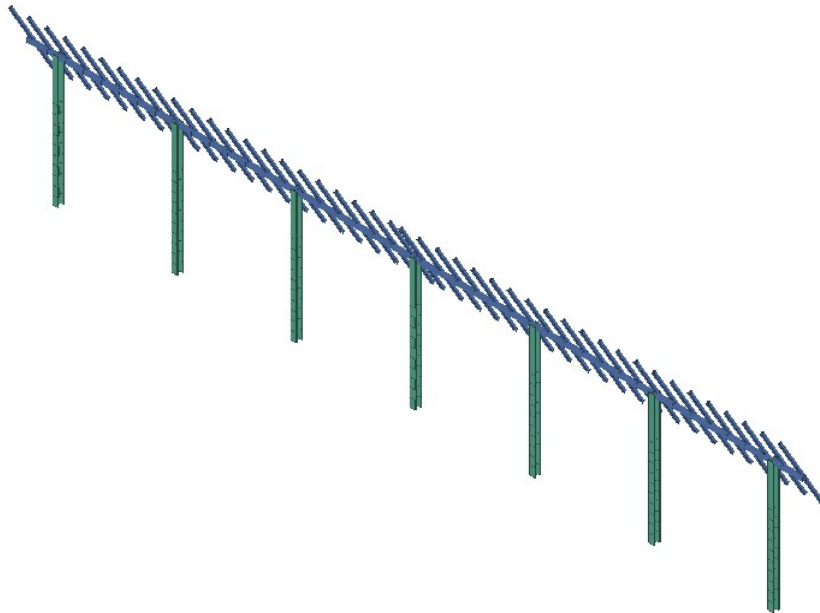
Vista Anteriore – disposizione con angolo di 30° dalla verticale

La direzione di visualizzazione (bisettrice del cono ottico), relativamente al sistema di riferimento globale $0, X, Y, Z$, ha versore $(1;1;-1)$



Vista posteriore – disposizione con angolo di 30° dalla verticale

La direzione di visualizzazione (bisettrice del cono ottico), relativamente al sistema di riferimento globale $0, X, Y, Z$, ha versore $(-1;-1;-1)$



2 - NORMATIVA DI RIFERIMENTO

Le fasi di analisi e verifica della struttura sono state condotte in accordo alle seguenti disposizioni normative, per quanto applicabili in relazione al criterio di calcolo adottato dal progettista, evidenziato nel prosieguo della presente relazione:

Legge 5 novembre 1971 n. 1086 (G.U. 21 dicembre 1971 n. 321)

*"Norme per la disciplina delle opere di conglomerato cementizio armato, normale e precompresso ed a
Realizzazione di parco fotovoltaico di tipo tracker su pali infissi e telaio in acciaio - pag. 3*

struttura metallica".

Legge 2 febbraio 1974 n. 64 (G.U. 21 marzo 1974 n. 76)

"Provvedimenti per le costruzioni con particolari prescrizioni per le zone sismiche".

Indicazioni progettive per le nuove costruzioni in zone sismiche a cura del Ministero per la Ricerca scientifica - Roma 1981.

D. M. Infrastrutture Trasporti 17/01/2018 (G.U. 20/02/2018 n. 42 - Suppl. Ord. n. 8)

"Aggiornamento delle Norme tecniche per le Costruzioni".

Inoltre, in mancanza di specifiche indicazioni, ad integrazione della norma precedente e per quanto con esse non in contrasto, sono state utilizzate le indicazioni contenute nelle seguenti norme:

Circolare 21 gennaio 2019, n. 7 C.S.LL.PP. (G.U. Serie Generale n. 35 del 11/02/2019 - Suppl. Ord. n. 5)

Istruzioni per l'applicazione dell'«Aggiornamento delle "Norme tecniche per le costruzioni"» di cui al decreto ministeriale 17 gennaio 2018.

Eurocodice 3 - "Progettazione delle strutture in acciaio" - EN 1993-1-1.

3 - MATERIALI IMPIEGATI E RESISTENZE DI CALCOLO

Tutti i materiali strutturali impiegati devono essere muniti di marcatura "CE", ed essere conformi alle prescrizioni del "REGOLAMENTO (UE) N. 305/2011 DEL PARLAMENTO EUROPEO E DEL CONSIGLIO del 9 marzo 2011", in merito ai prodotti da costruzione.

Per la realizzazione dell'opera in oggetto saranno impiegati i seguenti materiali:

MATERIALI ACCIAIO

N _{id}	γ _k	α _{T, i}	E	G	Stz	Caratteristiche acciaio										
						f _{yk,1} / f _{yk,2}	f _{tk,1} / f _{tk,2}	f _{yd,1} / f _{yd,2}	f _{td}	γ _s	γ _{M1}	γ _{M2}	γ _{M3,SLV}	γ _{M3,SLE}	γ _{M7} NCn t	Cnt
	[N/m ³]	[1/°C]	[N/mm ²]	[N/mm ²]		[N/mm ²]	[N/mm ²]	[N/mm ²]	[N/mm ²]							
S235 - (S235)																
001	78 500	0,000012	210 000	80 769	P	235,00 215,00	360 360	223,81 204,76	-	1,05	1,05	1,25	-	-	-	-

LEGENDA:

- N_{id}** Numero identificativo del materiale, nella relativa tabella dei materiali.
- γ_k** Peso specifico.
- α_{T, i}** Coefficiente di dilatazione termica.
- E** Modulo elastico normale.
- G** Modulo elastico tangenziale.
- Stz** Tipo di situazione: [F] = di Fatto (Esistente); [P] = di Progetto (Nuovo).
- f_{tk,1}** Resistenza caratteristica a Rottura (per profili con t ≤ 40 mm).
- f_{tk,2}** Resistenza caratteristica a Rottura (per profili con 40 mm < t ≤ 80 mm).
- f_{td}** Resistenza di calcolo a Rottura (Bulloni).
- γ_s** Coefficiente parziale di sicurezza allo SLV del materiale.
- γ_{M1}** Coefficiente parziale di sicurezza per instabilità.
- γ_{M2}** Coefficiente parziale di sicurezza per sezioni tese indebolite.
- γ_{M3,SLV}** Coefficiente parziale di sicurezza per scorrimento allo SLV (Bulloni).
- γ_{M3,SLE}** Coefficiente parziale di sicurezza per scorrimento allo SLE (Bulloni).
- γ_{M7}** Coefficiente parziale di sicurezza precarico di bulloni ad alta resistenza (Bulloni - NCn = con serraggio NON controllato; Cnt = con serraggio controllato). [-] = parametro NON significativo per il materiale.
- f_{yk,1}** Resistenza caratteristica allo snervamento (per profili con t ≤ 40 mm).
- f_{yk,2}** Resistenza caratteristica allo snervamento (per profili con 40 mm < t ≤ 80 mm).
- f_{yd,1}** Resistenza di calcolo (per profili con t ≤ 40 mm).
- f_{yd,2}** Resistenza di calcolo (per profili con 40 mm < t ≤ 80 mm).
- NOTE** [-] = Parametro non significativo per il materiale.

TENSIONI AMMISSIBILI ALLO SLE DEI VARI MATERIALI

Materiale	SL	Tensioni ammissibili allo SLE dei vari materiali	
		Tensione di verifica	σ _{d,amm} [N/mm ²]

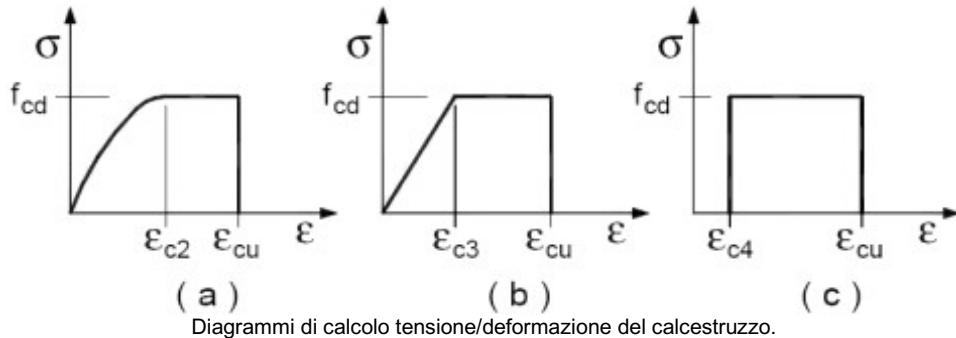
LEGENDA:

- SL** Stato limite di esercizio per cui si esegue la verifica.
- σ_{d,amm}** Tensione ammissibile per la verifica.

I valori dei parametri caratteristici dei suddetti materiali sono riportati anche nei *"Tabulati di calcolo"*, nella relativa sezione.

Tutti i materiali impiegati dovranno essere comunque verificati con opportune prove di laboratorio secondo le prescrizioni della vigente Normativa.

I diagrammi costitutivi degli elementi in calcestruzzo sono stati adottati in conformità alle indicazioni riportate al §4.1.2.1.2.1 del D.M. 2018; in particolare per le verifiche effettuate a pressoflessione retta e pressoflessione deviata è adottato il modello (a) riportato nella seguente figura.



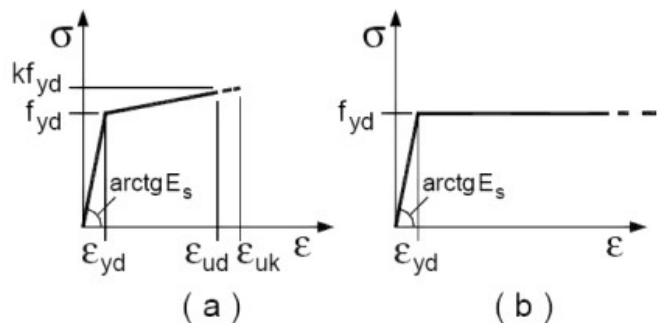
I valori di deformazione assunti sono:

$$\varepsilon_{c2} = 0,0020;$$

$$\varepsilon_{cu2} = 0,0035.$$

I diagrammi costitutivi dell'acciaio sono stati adottati in conformità alle indicazioni riportate al §4.1.2.1.2.2 del D.M. 2018; in particolare è adottato il modello elastico perfettamente plastico tipo (b) rappresentato nella figura sulla destra.

La resistenza di calcolo è data da f_{yk}/γ_s . Il coefficiente di sicurezza γ_s si assume pari a 1,15.



4 - TERRENO DI FONDAZIONE

Le proprietà meccaniche dei terreni sono state investigate mediante specifiche prove mirate alla misurazione della velocità delle onde di taglio negli strati del sottosuolo. In particolare, è stata calcolata una velocità di propagazione equivalente delle onde di taglio con la seguente relazione (eq. [3.2.1] D.M. 2018):

$$V_{S,eq} = \frac{H}{\sum_{i=1}^N \frac{h_i}{V_{S,i}}}$$

dove:

- h_i è lo spessore dell' i -simo strato;
- $V_{S,i}$ è la velocità delle onde di taglio nell' i -simo strato;
- N è il numero totale di strati investigati;
- H è la profondità del substrato con $V_s \geq 800$ m/s.

Le proprietà dei terreni sono, quindi, state ricondotte a quelle individuate nella seguente tabella, ponendo $H = 30$ m nella relazione precedente ed ottenendo il parametro $V_{S,30}$.

Categorie di sottosuolo che permettono l'utilizzo dell'approccio semplificato (Tab. 3.2.II D.M. 2018)

Categoria	Caratteristiche della superficie topografica
A	<i>Ammassi rocciosi affioranti o terreni molto rigidi</i> caratterizzati da valori di velocità delle onde di taglio superiori a 800 m/s, eventualmente comprendenti in superficie terreni di caratteristiche meccaniche più scadenti con spessore massimo pari a 3 m.
B	<i>Rocce tenere e depositi di terreni a grana grossa molto addensati o terreni a grana fina molto consistenti</i> , caratterizzati da un miglioramento delle proprietà meccaniche con la profondità e da valori di velocità equivalente compresi tra 360 m/s e 800 m/s.

C	<i>Depositi di terreni a grana grossa mediamente addensati o terreni a grana fina mediamente consistenti con profondità del substrato superiori a 30 m, caratterizzati da un miglioramento delle proprietà meccaniche con la profondità e da valori di velocità equivalente compresi tra 180 m/s e 360 m/s.</i>
D	<i>Depositi di terreni a grana grossa scarsamente addensati o di terreni a grana fina scarsamente consistenti, con profondità del substrato superiori a 30 m, caratterizzati da un miglioramento delle proprietà meccaniche con la profondità e da valori di velocità equivalente compresi tra 100 e 180 m/s.</i>
E	<i>Terreni con caratteristiche e valori di velocità equivalente riconducibili a quelle definite per le categorie C o D, con profondità del substrato non superiore a 30 m.</i>

Le indagini effettuate, mirate alla valutazione della velocità delle onde di taglio ($V_{s,30}$), permettono di classificare il profilo stratigrafico, ai fini della determinazione dell'azione sismica, di categoria B [B - Rocce tenere e depositi di terreni a grana grossa molto addensati o terreni a grana fina molto consistenti].

Le costanti di sottofondo (alla Winkler) del terreno sono state corrette secondo la seguente espressione:

$$K = c \cdot K_1;$$

dove:

K_1 = costante di Winkler del terreno riferita alla piastra standard di lato $b = 30$ cm;

c = coefficiente di correzione, funzione del comportamento del terreno e della particolare geometria degli elementi di fondazione. Nel caso di "Riduzione Automatica" è dato dalle successive espressioni (Rif. *Evaluation of coefficients of subgrade reaction K. Terzaghi, 1955 p. 315*):

$$c = \left[\frac{(B + b)}{2 \cdot B} \right]^2 \quad \text{per terreni incoerenti}$$

$$c = \left(\frac{L/B + 0,5}{1,5 \cdot L/B} \right) \cdot \frac{b}{B} \quad \text{per terreni coerenti}$$

Essendo:

$b = 0,30$ m, dimensione della piastra standard;

L = lato maggiore della fondazione;

B = lato minore della fondazione.

Nel caso di stratigrafia la costante di sottofondo utilizzata nel calcolo delle **sollecitazioni** è quella del terreno a contatto con la fondazione, mentre nel calcolo dei **cedimenti** la costante di sottofondo utilizzata è calcolata come media pesata delle costanti di sottofondo presenti nel volume significativo della fondazione.

Tutti i parametri che caratterizzano i terreni di fondazione sono riportati nei "Tabulati di calcolo", nella relativa sezione. Per ulteriori dettagli si rimanda alle relazioni geologica e geotecnica.

4.1 - Interazioni fondazioni terreno.

Il sistema di fondazione scelto (fondazione su pali) è stato implementato nel software mediante discretizzazione degli elementi strutturali, inserendo l'interazione terreno palo di fondazione, con vincoli elastici la cui costante è legata alle caratteristiche del terreno ed alla superficie di appoggio.

Come evidenziato nella relazione geologica e geotecnica, il terreno di fondazione presenta un banco di spessore pari a 9m di tipo depositi sabbioso e siltsosi poco o debolmente coesi.

Per tale tipologia di terreno la letteratura riporta valori di costante di Winkler orizzontale pari a

$$K_0 = 1,24$$

Tale valore rimane prevalentemente costante fino alla di infissione, variando lievemente man mano che la profondità aumenta: il nostro sistema di fondazione può considerarsi a contatto di questo strato, pertanto faremo riferimento al comportamento del primo strato composto prevalentemente da deposito sabbioso e siltsoso debolmente addensato (ORIZZONTE 1).

$$\text{Valori caratteristici} \quad \gamma_{\text{media}} = \frac{1800 \text{ Kg}}{\text{mc}}$$

$$\Phi = 13^\circ \quad K_a = 0,775$$

Utilizzando tale valore come parametro di riferimento K_h di winkler orizzontale (media sull'elemento finito di dimensioni 50cm) si ottiene la costante elastica nella componente orizzontale proporzionale a

$$K_h = K_0 * \Delta * B \quad \text{dove}$$

Δ = dimensioni dell' elemento finito

B = larghezza dell'impronta sul terreno del profilo utilizzato.

Ipotizzando un palo di fondazione costituito da HEB 320

La sezione di impronta sarà pari alla somma delle due ali, moltiplicate per un coefficiente di riduzione pari al 30 per cento della seconda piattabanda per tenere in considerazione le aree di influenza sovrapposte.

$$B = 32 \text{ cm} * 1,70 = 54,4 \text{ cm}$$

$$\Delta = 50 \text{ cm}$$

$$K_h = K_0 * \Delta * B = 1,24 * 50 \text{ cm} * 54,4 \text{ cm} = 3372,8 \text{ Kg/cm}$$

Il coefficiente di risposta verticale invece dipende da tutta la sezione di impronta, che in questo caso è pari alla somma dei quattro lati (utilizzando solo l'ingombro)

$$P = 32 + 32 + 32 + 32 = 128 \text{ cm}$$

$$K_o = K_a * K_0 * \Delta * P = 0,775 * 1,24 * 50 \text{ cm} * 128 \text{ cm} = 6150,4 \text{ Kg/cm}$$

Inserendo tali vincoli elastici all'estremità dell'elemento finito si sono ottenute le interazioni terreno palo di fondazione prossime al comportamento reale della struttura.

Nelle fasi operative sarà opportuno approfondire il comportamento delle iterazioni tra terreno e pali di fondazione verificandone la portanza con prove in situ.

5 - ANALISI DEI CARICHI

Un'accurata valutazione dei carichi è un requisito imprescindibile di una corretta progettazione, in particolare per le costruzioni realizzate in zona sismica. Essa, infatti, è fondamentale ai fini della determinazione delle forze sismiche, in quanto incide sulla valutazione delle masse e dei periodi propri della struttura dai quali dipendono i valori delle accelerazioni (ordinate degli spettri di progetto).

La valutazione dei carichi e dei sovraccarichi è stata effettuata in accordo con le disposizioni del punto 3.1 del **D.M. 2018**. In particolare, è stato fatto utile riferimento alle Tabelle 3.1.I e 3.1.II del D.M. 2018, per i pesi propri dei materiali e per la quantificazione e classificazione dei sovraccarichi, rispettivamente.

La valutazione dei carichi permanenti è stata effettuata sulle dimensioni definitive degli elementi strutturali, nonché sui pesi dei pannelli, sull'azione del vento e sul carico della neve. Ciascuno di questi carichi corrisponde ad una azione di tipo superficiale.

Pesi permanenti non strutturali (PP pannelli) 150 N/mq

Carico Neve 720 N/mq

Carico vento 703 N/mq

Ognuno di queste azioni è stata applicata come carico lineare su ciascun traverso diventando

$$P_p = 150 \text{ N/mq} * 1 \text{ m} = 150 \text{ N/ml}$$

$$C_{neve} = 720 \text{ N/mq} * 1 \text{ m} = 720 \text{ N/ml}$$

$$C_{vento} = 703 \text{ N/mq} * 1 \text{ m} * \sin(30^\circ) = 608,8 \text{ N/ml}$$

(l'azione del vento è massima quando il pannello è posizionato il più verticalmente possibile ed in quella condizione l'impronta dei pannelli è pari ad $S * \sin(30^\circ)$ dove S è pari proprio alla superficie del pannello.

Essendo l'interasse delle travi pari ad 1 m, si ottengono i carichi lineari su indicati.

6 - VALUTAZIONE DELL'AZIONE SISMICA

L'azione sismica è stata valutata in conformità alle indicazioni riportate al §3.2 del D.M. 2018. particolare il procedimento per la definizione degli spettri di progetto per i vari Stati Limite per cui sono state effettuate le verifiche è stato il seguente:

- definizione della Vita Nominale e della Classe d'Uso della struttura, il cui uso combinato ha portato alla definizione del Periodo di Riferimento dell'azione sismica;
- individuazione, tramite latitudine e longitudine, dei parametri sismici di base a_g , F_0 e T^*_c per tutti e quattro gli Stati Limite previsti (SLO, SLD, SLV e SLC); l'individuazione è stata effettuata interpolando tra i 4 punti più vicini al punto di riferimento dell'edificio;
- determinazione dei coefficienti di amplificazione stratigrafica e topografica;

- calcolo del periodo T_c corrispondente all'inizio del tratto a velocità costante dello Spettro.

I dati così calcolati sono stati utilizzati per determinare gli Spettri di Progetto nelle verifiche agli Stati Limite considerate.

Si riportano di seguito le coordinate geografiche del sito rispetto al Datum **ED50**:

Latitudine	Longitudine	Altitudine
[°]	[°]	[m]
41.387064	15.767085	34

6.1 Verifiche di regolarità

Sia per la scelta del metodo di calcolo, sia per la valutazione del fattore di comportamento adottato, deve essere effettuato il controllo della regolarità della struttura. tabella seguente riepiloga, per la struttura in esame, le condizioni di regolarità in pianta ed in altezza soddisfatte.

REGOLARITÀ DELLA STRUTTURA IN PIANTA	
La distribuzione di masse e rigidezze è approssimativamente simmetrica rispetto a due direzioni ortogonali e la forma in pianta è compatta, ossia il contorno di ogni orizzontamento è convesso; il requisito può ritenersi soddisfatto, anche in presenza di rientranze in pianta, quando esse non influenzano significativamente la rigidezza nel piano dell'orizzontamento e, per ogni rientranza, l'area compresa tra il perimetro dell'orizzontamento e la linea convessa circoscritta all'orizzontamento non supera il 5% dell'area dell'orizzontamento	SI
Il rapporto tra i lati di un rettangolo in cui la costruzione risulta inscritta è inferiore a 4	NO
Ciascun orizzontamento ha una rigidezza nel proprio piano tanto maggiore della corrispondente rigidezza degli elementi strutturali verticali da potersi assumere che la sua deformazione in pianta influenzi in modo trascurabile la distribuzione delle azioni sismiche tra questi ultimi e ha resistenza sufficiente a garantire l'efficacia di tale distribuzione	NO
REGOLARITÀ DELLA STRUTTURA IN ALTEZZA	
Tutti i sistemi resistenti alle azioni orizzontali si estendono per tutta l'altezza della costruzione o, se sono presenti parti aventi differenti altezze, fino alla sommità della rispettiva parte dell'edificio	SI
Massa e rigidezza rimangono costanti o variano gradualmente, senza bruschi cambiamenti, dalla base alla sommità della costruzione (le variazioni di massa da un orizzontamento all'altro non superano il 25 %, la rigidezza non si riduce da un orizzontamento a quello sovrastante più del 30% e non aumenta più del 10%); ai fini della rigidezza si possono considerare regolari in altezza strutture dotate di pareti o nuclei in c.a. o pareti e nuclei in muratura di sezione costante sull'altezza o di telai controventati in acciaio, ai quali sia affidato almeno il 50% dell'azione sismica alla base	NO
Il rapporto tra la capacità e la domanda allo SLV non è significativamente diverso, in termini di resistenza, per orizzontamenti successivi (tale rapporto, calcolato per un generico orizzontamento, non deve differire più del 30% dall'analogo rapporto calcolato per l'orizzontamento adiacente); può fare eccezione l'ultimo orizzontamento di strutture intelaiate di almeno tre orizzontamenti	NO
Eventuali restringimenti della sezione orizzontale della costruzione avvengano con continuità da un orizzontamento al successivo; oppure avvengano in modo che il rientro di un orizzontamento non superi il 10% della dimensione corrispondente all'orizzontamento immediatamente sottostante, né il 30% della dimensione corrispondente al primo orizzontamento. Fa eccezione l'ultimo orizzontamento di costruzioni di almeno quattro orizzontamenti, per il quale non sono previste limitazioni di restringimento	NO

La rigidezza è calcolata come rapporto fra il taglio complessivamente agente al piano e δ , spostamento relativo di piano (il taglio di piano è la sommatoria delle azioni orizzontali agenti al di sopra del piano considerato). I valori calcolati ed utilizzati per le verifiche sono riportati nei "*Tabulati di calcolo*" nella relativa sezione.

La struttura è pertanto:

in pianta	in altezza
NON REGOLARE	REGOLARE

6.2 Classe di duttilità

La classe di duttilità è rappresentativa della capacità dell'edificio di dissipare energia in campo anelastico per azioni cicliche ripetute. deformazioni anelastiche devono essere distribuite nel maggior numero di elementi duttili, in particolare le travi, salvaguardando in tal modo i pilastri e soprattutto i nodi travi pilastro che sono gli elementi più fragili. D.M. 2018 definisce due tipi di comportamento strutturale:

- a) comportamento strutturale non-dissipativo;
- b) comportamento strutturale dissipativo.

Per strutture con comportamento strutturale dissipativo si distinguono due livelli di Capacità Dissipativa o Classi di Duttilità (CD).

- CD "A" (Alta);
- CD "B" (Media).

La differenza tra le due classi risiede nell'entità delle plasticizzazioni cui ci si riconduce in fase di progettazione; per ambedue le classi, onde assicurare alla struttura un comportamento dissipativo e duttile evitando rotture fragili e la formazione di meccanismi instabili impreveduti, si fa ricorso ai procedimenti tipici della gerarchia delle resistenze.

La struttura in esame è stata progettata in classe di duttilità "**MEDIA**" (CD"**B**").

6.3 Spettri di Progetto per S.L.U. e S.L.D.

L'edificio è stato progettato per una **Vita Nominale** pari a **50** e per **Classe d'Uso** pari a **2**.

In base alle indagini geognostiche effettuate si è classificato il **suolo** di fondazione di **categoria B**, cui corrispondono i seguenti valori per i parametri necessari alla costruzione degli spettri di risposta orizzontale e verticale:

Stato Limite	a _g /g	F ₀	Parametri di pericolosità sismica					S _s
			T* _c [s]	C _c	T _B [s]	T _c [s]	T _D [s]	
SLO	0.0433	2.481	0.290	1.41	0.136	0.409	1.773	1.20
SLD	0.0542	2.553	0.329	1.37	0.151	0.452	1.817	1.20
SLV	0.1328	2.615	0.440	1.30	0.180	0.570	2.131	1.20
SLC	0.1715	2.615	0.450	1.29	0.190	0.581	2.286	1.20

Per la definizione degli spettri di risposta, oltre all'accelerazione (a_g) al suolo (dipendente dalla classificazione sismica del Comune) occorre determinare il Fattore di Comportamento (q).

Il Fattore di comportamento q è un fattore riduttivo delle forze elastiche introdotto per tenere conto delle capacità dissipative della struttura che dipende dal sistema costruttivo adottato, dalla Classe di Duttilità e dalla regolarità in altezza.

Si è inoltre assunto il **Coefficiente di Amplificazione Topografica** (S_T) pari a **1.00**.

Tali succitate caratteristiche sono riportate negli allegati "*Tabulati di calcolo*" al punto "DATI GENERALI ANALISI SISMICA".

Per la struttura in esame sono stati utilizzati i seguenti valori:

Stato Limite di Danno

Fattore di Comportamento (q_X) per sisma orizzontale in direzione X: **1.00**;
 Fattore di Comportamento (q_Y) per sisma orizzontale in direzione Y: **1.00**;
 Fattore di Comportamento (q_Z) per sisma verticale: **1.00** (se richiesto).

Stato Limite di salvaguardia della Vita

Fattore di Comportamento (q_X) per sisma orizzontale in direzione X: **2.000** ;
 Fattore di Comportamento (q_Y) per sisma orizzontale in direzione Y: **2.000** ;
 Fattore di Comportamento (q_Z) per sisma verticale: **1.50** (se richiesto).

Di seguito si esplicita il calcolo del fattore di comportamento per il sisma orizzontale:

Tipologia (§7.5.2.2 D.M. 2018)	Dir. X	Dir. Y
	A mensola o pendolo invertito	A mensola o pendolo invertito
Tipologia strutturale	-	-
α _u /α ₁	1	1
q ₀	2.000	2.000
k _R	1.00	

Il fattore di comportamento è calcolato secondo la relazione (7.3.1) del §7.3.1 del D.M. 2018:

$$q = q_0 \cdot k_R;$$

dove:

q₀ è il valore massimo del fattore di comportamento che dipende dal livello di duttilità attesa, dalla tipologia strutturale e dal rapporto α_u/α₁ tra il valore dell'azione sismica per il quale si verifica la formazione di un numero di cerniere plastiche tali da rendere la struttura labile e quello per il quale il primo elemento

strutturale raggiunge la plasticizzazione a flessione;

k_R è un fattore riduttivo che dipende dalle caratteristiche di regolarità in altezza della costruzione, con valore pari ad 1 per costruzioni regolari in altezza e pari a 0,8 per costruzioni non regolari in altezza.

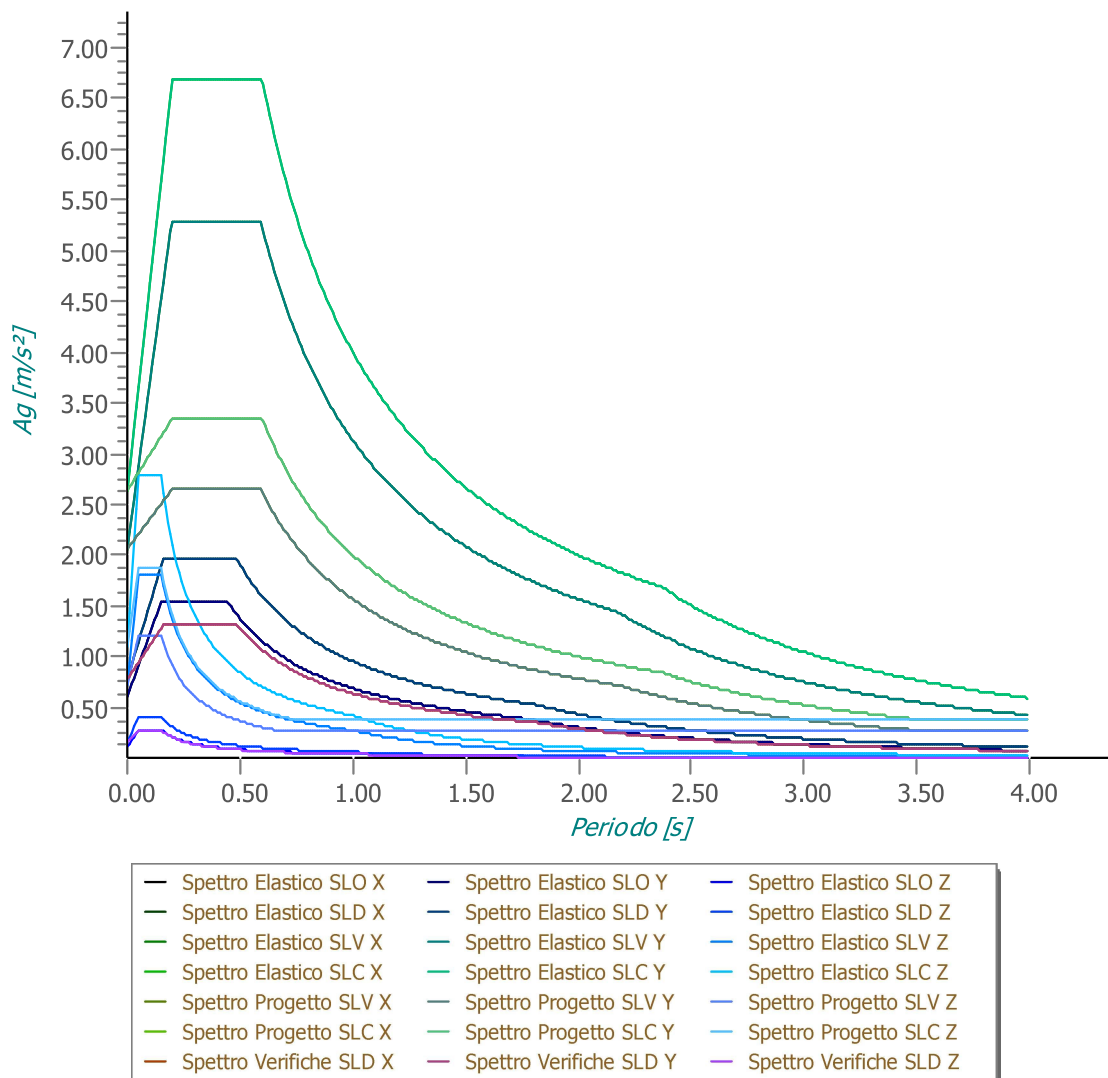
N.B.1: Per le costruzioni **regolari in pianta**, qualora non si proceda ad un'analisi non lineare finalizzata alla valutazione del rapporto α_u/α_1 , per esso possono essere adottati i valori indicati al §7.4.3.2 del D.M. 2018 per le diverse tipologie costruttive. Per le costruzioni **non regolari in pianta**, si possono adottare valori di α_u/α_1 pari alla media tra 1,0 ed i valori di volta in volta forniti per le diverse tipologie costruttive.

Valori massimi del valore di base q_0 del fattore di comportamento allo SLV per costruzioni d'acciaio (§ 7.5.2.2 D.M. 2018)(cfr. Tabella 7.3.II D.M. 2018)

Tipologia strutturale	q_0	
	CD "A"	CD "B"
a) Strutture intelaiate) Strutture con controventi eccentrici	5,0 α_u/α_1	4,0
b1) Strutture con controventi concentrici a diagonale tesa attiva	4,0	4,0
b2) Strutture con controventi concentrici a V	2,5	2,0
d) Strutture a mensola o a pendolo inverso	2,0 α_u/α_1	2,0
e) Strutture intelaiate con controventi concentrici	4,0 α_u/α_1	4,0
f) Strutture intelaiate con tamponature in muratura	2,0	2,0

Gli spettri utilizzati sono riportati nella successiva figura.

Grafico degli Spettri di Risposta



6.4 Metodo di Analisi

Il calcolo delle azioni sismiche è stato eseguito in analisi dinamica modale, considerando il comportamento della struttura in regime elastico lineare.

Il numero di **modi di vibrazione** considerato (**15**) ha consentito, nelle varie condizioni, di mobilitare le

seguenti percentuali delle masse della struttura:

Stato Limite	Direzione Sisma	%
salvaguardia della vita	X	63.1
salvaguardia della vita	Y	64.2
salvaguardia della vita	Z	100.0
salvaguardia della vita	Torsionale	-

Per valutare la risposta massima complessiva di una generica caratteristica E, conseguente alla sovrapposizione dei modi, si è utilizzata una tecnica di combinazione probabilistica definita CQC (*Complete Quadratic Combination - Combinazione Quadratica Completa*):

$$E = \sqrt{\sum_{i,j=1,n} \rho_{ij} \cdot E_i \cdot E_j} \quad \rho_{ij} = \frac{8 \cdot \xi^2 \cdot (1 + \beta_{ij}) \cdot \beta_{ij}^{3/2}}{(1 - \beta_{ij}^2)^2 + 4 \cdot \xi^2 \cdot \beta_{ij} \cdot (1 + \beta_{ij})^2} \quad \beta_{ij} = \frac{T_j}{T_i}$$

dove:

- n è il numero di modi di vibrazione considerati;
- ξ è il coefficiente di smorzamento viscoso equivalente espresso in percentuale;
- β_{ij} è il rapporto tra le frequenze di ciascuna coppia i-j di modi di vibrazione.

Le sollecitazioni derivanti da tali azioni sono state composte poi con quelle derivanti da carichi verticali, orizzontali non sismici secondo le varie combinazioni di carico probabilistiche. Il calcolo è stato effettuato mediante un programma agli elementi finiti le cui caratteristiche verranno descritte nel seguito.

Il calcolo degli effetti dell'azione sismica è stato eseguito con riferimento alla struttura spaziale, tenendo cioè conto degli elementi interagenti fra loro secondo l'effettiva realizzazione escludendo i tamponamenti. Non ci sono approssimazioni su tetti inclinati, piani sfalsati o scale, solette, pareti irrigidenti e nuclei.

Si è tenuto conto delle deformabilità taglianti e flessionali degli elementi monodimensionali; muri, pareti, setti, solette sono stati correttamente schematizzati tramite elementi finiti a tre/quattro nodi con comportamento a guscio (sia a piastra che a lastra).

Sono stati considerati sei gradi di libertà per nodo; in ogni nodo della struttura sono state applicate le forze sismiche derivanti dalle masse circostanti.

Le sollecitazioni derivanti da tali forze sono state poi combinate con quelle derivanti dagli altri carichi come prima specificato.

6.5 Valutazione degli spostamenti

Gli spostamenti d_E della struttura sotto l'azione sismica di progetto allo SLV sono stati ottenuti moltiplicando per il fattore μ_d i valori d_{Ee} ottenuti dall'analisi lineare, dinamica o statica, secondo l'espressione seguente:

$$d_E = \pm \mu_d \cdot d_{Ee}$$

dove

$$\begin{aligned} \mu_d &= q & \text{se } T_1 \geq T_C; \\ \mu_d &= 1 + (q-1) \cdot T_C / T_1 & \text{se } T_1 < T_C. \end{aligned}$$

In ogni caso $\mu_d \leq 5q - 4$.

6.6 Combinazione delle componenti dell'azione sismica

Le azioni orizzontali dovute al sisma sulla struttura vengono convenzionalmente determinate come agenti separatamente in due direzioni tra loro ortogonali prefissate. In generale, però, le componenti orizzontali del sisma devono essere considerate come agenti simultaneamente. A tale scopo, la combinazione delle componenti orizzontali dell'azione sismica è stata tenuta in conto come segue:

- gli effetti delle azioni dovuti alla combinazione delle componenti orizzontali dell'azione sismica sono stati valutati mediante le seguenti combinazioni:

$$E_{EdX} \pm 0,30E_{EdY} \quad E_{EdY} \pm 0,30E_{EdX}$$

dove:

E_{EdX} rappresenta gli effetti dell'azione dovuti all'applicazione dell'azione sismica lungo l'asse orizzontale X scelto della struttura;

E_{EdY} rappresenta gli effetti dell'azione dovuti all'applicazione dell'azione sismica lungo l'asse orizzontale Y scelto della struttura.

L'azione sismica verticale deve essere considerata in presenza di: elementi pressoché orizzontali con luce

superiore a 20 m, elementi pressoché orizzontali precompressi, elementi a sbalzo pressoché orizzontali con luce maggiore di 5 m, travi che sostengono colonne, strutture isolate.

La combinazione della componente verticale del sisma, qualora portata in conto, con quelle orizzontali è stata tenuta in conto come segue:

- gli effetti delle azioni dovuti alla combinazione delle componenti orizzontali e verticali del sisma sono stati valutati mediante le seguenti combinazioni:

$$E_{EdX} \pm 0,30E_{EdY} \pm 0,30E_{EdZ} \quad E_{EdY} \pm 0,30E_{EdX} \pm 0,30E_{EdZ} \quad E_{EdZ} \pm 0,30E_{EdX} \pm 0,30E_{EdY}$$

dove:

E_{EdX} e E_{EdY} sono gli effetti dell'azione sismica nelle direzioni orizzontali prima definite;

E_{EdZ} rappresenta gli effetti dell'azione dovuti all'applicazione della componente verticale dell'azione sismica di progetto.

6.7 Eccentricità accidentali

Per valutare le eccentricità accidentali, previste in aggiunta all'eccentricità effettiva sono state considerate condizioni di carico aggiuntive ottenute applicando l'azione sismica nelle posizioni del centro di massa di ogni piano ottenute traslando gli stessi, in ogni direzione considerata, di una distanza pari a +/- 5% della dimensione massima del piano in direzione perpendicolare all'azione sismica. Si noti che la distanza precedente, nel caso di distribuzione degli elementi non strutturali fortemente irregolare in pianta, viene raddoppiata ai sensi del § 7.2.3 del D.M. 2018.

7 - AZIONI SULLA STRUTTURA

I calcoli e le verifiche sono condotti con il metodo semiprobabilistico degli stati limite secondo le indicazioni del D.M. 2018. I carichi agenti sui solai, derivanti dall'analisi dei carichi, vengono ripartiti dal programma di calcolo in modo automatico sulle membrature (travi, pilastri, pareti, solette, platee, ecc.).

I carichi dovuti ai tamponamenti, sia sulle travi di fondazione che su quelle di piano, sono schematizzati come carichi lineari agenti esclusivamente sulle aste.

Su tutti gli elementi strutturali è inoltre possibile applicare direttamente ulteriori azioni concentrate e/o distribuite (variabili con legge lineare ed agenti lungo tutta l'asta o su tratti limitati di essa).

Le azioni introdotte direttamente sono combinate con le altre (carichi permanenti, accidentali e sisma) mediante le combinazioni di carico di seguito descritte; da esse si ottengono i valori probabilistici da impiegare successivamente nelle verifiche.

7.1 Stato Limite di Salvaguardia della Vita

Le azioni sulla costruzione sono state cumulate in modo da determinare condizioni di carico tali da risultare più sfavorevoli ai fini delle singole verifiche, tenendo conto della probabilità ridotta di intervento simultaneo di tutte le azioni con i rispettivi valori più sfavorevoli, come consentito dalle norme vigenti.

Per gli stati limite ultimi sono state adottate le combinazioni del tipo:

$$\gamma_{G1} \cdot G_1 + \gamma_{G2} \cdot G_2 + \gamma_P \cdot P + \gamma_{Q1} \cdot Q_{K1} + \gamma_{Q2} \cdot \psi_{02} \cdot Q_{K2} + \gamma_{Q3} \cdot \psi_{03} \cdot Q_{K3} + \dots \quad (1)$$

dove:

- G_1 rappresenta il peso proprio di tutti gli elementi strutturali; peso proprio del terreno, quando pertinente; forze indotte dal terreno (esclusi gli effetti di carichi variabili applicati al terreno); forze risultanti dalla pressione dell'acqua (quando si configurino costanti nel tempo);
- G_2 rappresenta il peso proprio di tutti gli elementi non strutturali;
- P rappresenta l'azione di pretensione e/o precompressione;
- Q azioni sulla struttura o sull'elemento strutturale con valori istantanei che possono risultare sensibilmente diversi fra loro nel tempo:
 - di lunga durata: agiscono con un'intensità significativa, anche non continuativamente, per un tempo non trascurabile rispetto alla vita nominale della struttura;
 - di breve durata: azioni che agiscono per un periodo di tempo breve rispetto alla vita nominale della struttura;
- Q_{ki} rappresenta il valore caratteristico della i-esima azione variabile;
- $\gamma_g, \gamma_q, \gamma_p$ coefficienti parziali come definiti nella Tab. 2.6.I del D.M. 2018;

ψ_{0i} sono i coefficienti di combinazione per tenere conto della ridotta probabilità di concomitanza delle azioni variabili con i rispettivi valori caratteristici.

Le **94 combinazioni** risultanti sono state costruite a partire dalle sollecitazioni caratteristiche calcolate per ogni condizione di carico elementare: ciascuna condizione di carico accidentale, a rotazione, è stata considerata sollecitazione di base (Q_{ki} nella formula precedente).

I coefficienti relativi a tali combinazioni di carico sono riportati negli allegati "*Tabulati di calcolo*".

In zona sismica, oltre alle sollecitazioni derivanti dalle generiche condizioni di carico statiche, devono essere considerate anche le sollecitazioni derivanti dal sisma. L'azione sismica è stata combinata con le altre azioni secondo la seguente relazione:

$$G_1 + G_2 + P + E + \sum_i \psi_{2i} \cdot Q_{ki}$$

dove:

- E rappresenta l'azione sismica per lo stato limite in esame;
- G_1 rappresenta peso proprio di tutti gli elementi strutturali;
- G_2 rappresenta il peso proprio di tutti gli elementi non strutturali;
- P rappresenta l'azione di pretensione e/o precompressione;
- ψ_{2i} coefficiente di combinazione delle azioni variabili Q_i ;
- Q_{ki} valore caratteristico dell'azione variabile Q_i .

Gli effetti dell'azione sismica sono valutati tenendo conto delle masse associate ai seguenti carichi gravitazionali:

$$G_K + \sum_i (\psi_{2i} \cdot Q_{ki})$$

I valori dei coefficienti ψ_{2i} sono riportati nella seguente tabella:

Categoria/Azione	ψ_{2i}
Categoria A - Ambienti ad uso residenziale	0,3
Categoria B - Uffici	0,3
Categoria C - Ambienti suscettibili di affollamento	0,6
Categoria D - Ambienti ad uso commerciale	0,6
Categoria E - Biblioteche, archivi, magazzini e ambienti ad uso industriale	0,8
Categoria F - Rimesse e parcheggi (per autoveicoli di peso ≤ 30 kN)	0,6
Categoria G - Rimesse e parcheggi (per autoveicoli di peso > 30 kN)	0,3
Categoria H - Coperture	0,0
Categoria I - Coperture praticabili	*
Categoria K - Coperture per usi speciali (impianti, eliporti, ...)	*
Vento	0,0
Neve (a quota ≤ 1000 m s.l.m.)	0,0
Neve (a quota > 1000 m s.l.m.)	0,2
Variazioni termiche	0,0
* "Da valutarsi caso per caso"	

Le verifiche strutturali e geotecniche delle fondazioni, sono state effettuate con l'**Approccio 2** come definito al §2.6.1 del D.M. 2018, attraverso la combinazione **A1+M1+R3**. Le azioni sono state amplificate tramite i coefficienti della colonna A1 definiti nella Tab. 6.2.I del D.M. 2018.

I valori di resistenza del terreno sono stati ridotti tramite i coefficienti della colonna M1 definiti nella Tab. 6.2.II del D.M. 2018.

Si è quindi provveduto a progettare le armature di ogni elemento strutturale per ciascuno dei valori ottenuti secondo le modalità precedentemente illustrate. Nella sezione relativa alle verifiche dei "*Tabulati di calcolo*" in allegato sono riportati, per brevità, i valori della sollecitazione relativi alla combinazione cui corrisponde il minimo valore del coefficiente di sicurezza.

7.2 Stato Limite di Danno

L'azione sismica, ottenuta dallo spettro di progetto per lo Stato Limite di Danno, è stata combinata con le altre azioni mediante una relazione del tutto analoga alla precedente:

$$G_1 + G_2 + P + E + \sum_i \psi_{2i} \cdot Q_{ki}$$

dove:

- E rappresenta l'azione sismica per lo stato limite in esame;

- G₁ rappresenta peso proprio di tutti gli elementi strutturali;
- G₂ rappresenta il peso proprio di tutti gli elementi non strutturali;
- P rappresenta l'azione di pretensione e/o precompressione;
- ψ_{2i} coefficiente di combinazione delle azioni variabili Q_i;
- Q_{ki} valore caratteristico dell'azione variabile Q_i.

Gli effetti dell'azione sismica sono valutati tenendo conto delle masse associate ai seguenti carichi gravitazionali:

$$G_k + \sum_i (\psi_{2i} \cdot Q_{ki})$$

I valori dei coefficienti ψ_{2i} sono riportati nella tabella di cui allo SLV.

7.3 Stati Limite di Esercizio

Allo Stato Limite di Esercizio le sollecitazioni con cui sono state semiprogettate le aste in c.a. sono state ricavate applicando le formule riportate nel D.M. 2018 al §2.5.3. Per le verifiche agli stati limite di esercizio, a seconda dei casi, si fa riferimento alle seguenti combinazioni di carico:

rara	frequente	quasi permanente
$\sum_{j \geq 1} G_{kj} + P + Q_{k1} + \sum_{i > 1} \psi_{0i} \cdot Q_{ki}$	$\sum_{j \geq 1} G_{kj} + P + \psi_{11} \cdot Q_{k1} + \sum_{i > 1} \psi_{2i} \cdot Q_{ki}$	$\sum_{j \geq 1} G_{kj} + P + \sum_{i > 1} \psi_{2i} \cdot Q_{ki}$

dove:

- G_{kj}: valore caratteristico della j-esima azione permanente;
- P_{kh}: valore caratteristico della h-esima deformazione impressa;
- Q_{ki}: valore caratteristico dell'azione variabile di base di ogni combinazione;
- Q_{ki}: valore caratteristico della i-esima azione variabile;
- ψ_{0i}: coefficiente atto a definire i valori delle azioni ammissibili di durata breve ma ancora significativi nei riguardi della possibile concomitanza con altre azioni variabili;
- ψ_{1i}: coefficiente atto a definire i valori delle azioni ammissibili ai frattili di ordine 0,95 delle distribuzioni dei valori istantanei;
- ψ_{2i}: coefficiente atto a definire i valori quasi permanenti delle azioni ammissibili ai valori medi delle distribuzioni dei valori istantanei.

Ai coefficienti ψ_{0i}, ψ_{1i}, ψ_{2i} sono attribuiti i seguenti valori:

Azione	ψ _{0i}	ψ _{1i}	ψ _{2i}
Categoria A – Ambienti ad uso residenziale	0,7	0,5	0,3
Categoria B – Uffici	0,7	0,5	0,3
Categoria C – Ambienti suscettibili di affollamento	0,7	0,7	0,6
Categoria D – Ambienti ad uso commerciale	0,7	0,7	0,6
Categoria E – Biblioteche, archivi, magazzini e ambienti ad uso industriale	1,0	0,9	0,8
Categoria F – Rimesse e parcheggi (per autoveicoli di peso ≤ 30 kN)	0,7	0,7	0,6
Categoria G – Rimesse e parcheggi (per autoveicoli di peso > 30 kN)	0,7	0,5	0,3
Categoria H – Coperture	0,0	0,0	0,0
Vento	0,6	0,2	0,0
Neve (a quota ≤ 1000 m s.l.m.)	0,5	0,2	0,0
Neve (a quota > 1000 m s.l.m.)	0,7	0,5	0,2
Variazioni termiche	0,6	0,5	0,0

In maniera analoga a quanto illustrato nel caso dello SLU le combinazioni risultanti sono state costruite a partire dalle sollecitazioni caratteristiche calcolate per ogni condizione di carico; a turno ogni condizione di carico accidentale è stata considerata sollecitazione di base [Q_{k1} nella formula (1)], con ciò dando origine a tanti valori combinati. Per ognuna delle combinazioni ottenute, in funzione dell'elemento (trave, pilastro, etc...) sono state effettuate le verifiche allo SLE (tensioni, deformazioni e fessurazione).

Negli allegati "*Tabulati Di Calcolo*" sono riportanti i coefficienti relativi alle combinazioni di calcolo generate relativamente alle combinazioni di azioni "**Quasi Permanente**" (1), "**Frequente**" (6) e "**Rara**" (14).

Nelle sezioni relative alle verifiche allo SLE dei citati tabulati, inoltre, sono riportati i valori delle sollecitazioni relativi alle combinazioni che hanno originato i risultati più gravosi.

7.4 Azione del Vento

L'applicazione dell'azione del vento sulla struttura si articola in due fasi:

1. calcolo della pressione Normale e Tangenziale lungo l'altezza dell'edificio;
2. trasformazione delle pressioni in forze (lineari/concentrate) sugli elementi (strutturali/non strutturali) dell'edificio.

Per il caso in esame:

VENTO - CALCOLO PRESSIONE DEL VENTO

Vento - calcolo pressione del vento								
Z	q _b	C _e	C _p	C _d	p	Scz	C _f	p _f
[m]	[N/m ²]				[N/m ²]			[N/m ²]
0,00	-	-	-	-	703	-	-	7
2,35	-	-	-	-	703	-	-	7

LEGENDA:

- Z** Altezza dell'edificio a cui viene calcolata la pressione del vento;
- q_b** Pressione cinetica di riferimento.
- C_e** Coefficiente di esposizione;
- C_p** Coefficiente di forma/aerodinamico.
(*) Valorizzato al momento del calcolo della pressione agente sul singolo elemento strutturale ed è funzione della posizione dello stesso (sopravento/sottovento);
- C_d** Coefficiente dinamico;
- p** Pressione normale (senza il contributo di C_p);
- Scz** Scabrezza della superficie (liscia, scabra, molto scabra);
- C_f** Coefficiente d'attrito;
- p_f** Pressione tangenziale (senza il contributo di C_p).

7.4.1 Applicazione delle forze sulla struttura

Per ogni superficie esposta all'azione del vento si individua la posizione del baricentro e in corrispondenza di esso, dal diagramma delle pressioni dell'edificio, si ricava la pressione per unità di superficie.

Per gli elementi **strutturali** la pressione è trasformata in:

- forze lineari per i beam (*pilastrini e travi*);
- forze nodali per le shell (*pareti, muri e solette*).

Per gli elementi **non strutturali** (*tamponature, solai e balconi*) la forza totale (pressione nel baricentro x superficie) viene divisa per il perimetro in modo da ottenere una forza per unità di lunghezza che viene applicata sugli elementi strutturali confinanti.

7.5 Azione della Neve

Il carico da neve è stato calcolato seguendo le prescrizioni del §3.4 del D.M. 2018 e le integrazioni della Circolare 2019 n. 7. Il carico da neve, calcolato come di seguito riportato, è stato combinato con le altre azioni variabili definite al §2.5.3, ed utilizzando i coefficienti di combinazione della Tabella 2.5.I del D.M. 2018. Il carico da neve superficiale da applicare sulle coperture è stato stimato utilizzando la relazione [cfr. §3.4.1 D.M. 2018]:

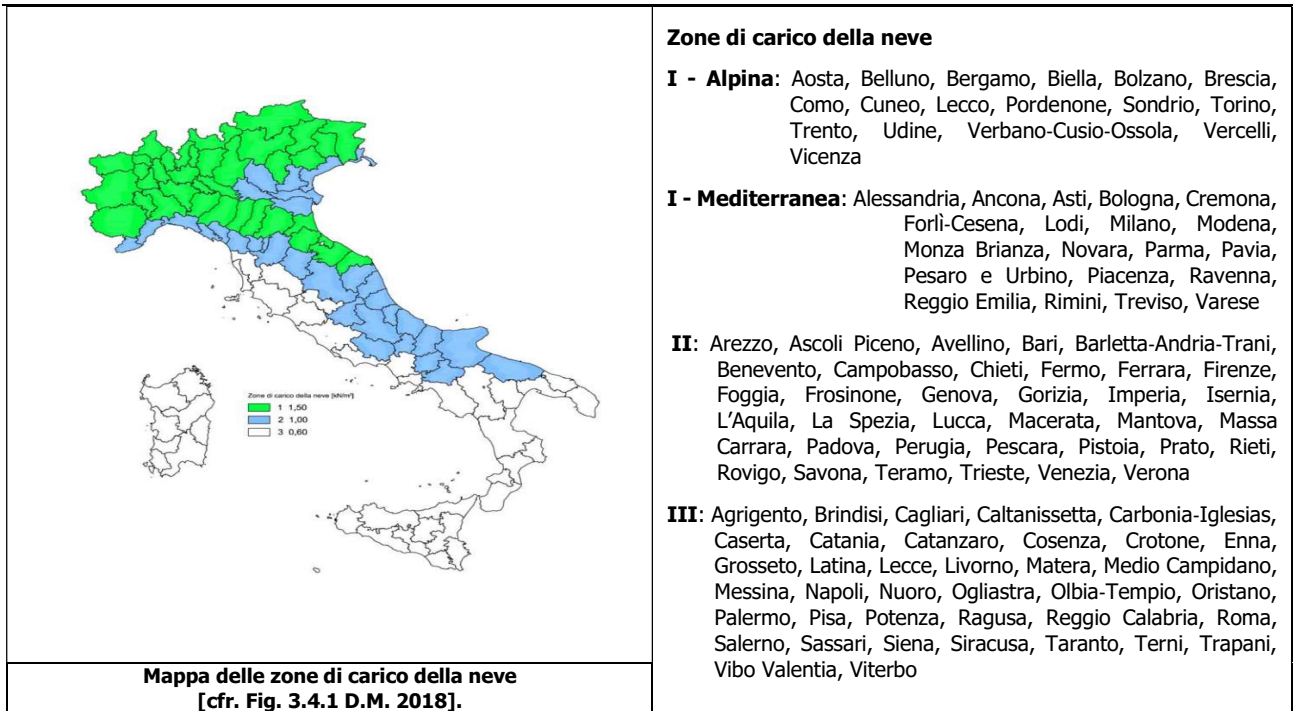
$$q_s = q_{sk} \cdot \mu_i \cdot C_e \cdot C_t$$

dove:

- q_{sk} è il valore di riferimento del carico della neve al suolo, in [kN/m²]. Tale valore è calcolato in base alla posizione ed all'altitudine (a_s) secondo quanto indicato alla seguente tabella;

Valori di riferimento del carico della neve al suolo, q_{sk} (cfr. §3.4.2 D.M. 2018)

Zona	a _s ≤ 200 m	a _s > 200 m
I – Alpina	q _{sk} = 1,50 kN/m ²	q _{sk} = 1,39 [1+(a _s /728) ²] kN/m ²
I – Mediterranea	q _{sk} = 1,50 kN/m ²	q _{sk} = 1,35 [1+(a _s /602) ²] kN/m ²
II	q _{sk} = 1,00 kN/m ²	q _{sk} = 0,85 [1+(a _s /481) ²] kN/m ²
III	q _{sk} = 0,60 kN/m ²	q _{sk} = 0,51 [1+(a _s /481) ²] kN/m ²



- μ_i è il coefficiente di forma della copertura, funzione dell'inclinazione della falda (α) e della sua morfologia (vedi tabelle seguenti);

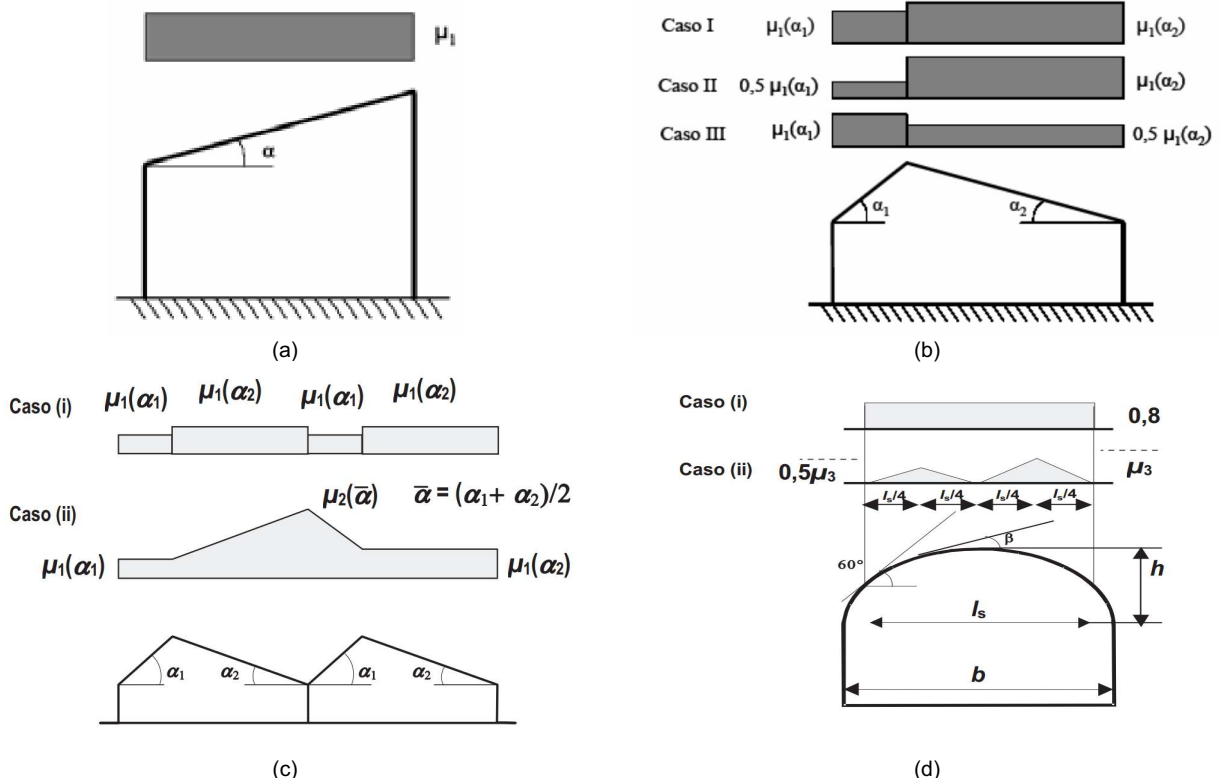
Valori dei coefficienti di forma per falde piane (cfr. Tab. 3.4.II D.M. 2018 e Tab. C3.4.I Circolare 2019 n. 7)

Coefficiente di forma	$0^\circ \leq \alpha \leq 30^\circ$	$30^\circ < \alpha < 60^\circ$	$\alpha \geq 60^\circ$
μ_1	0,8	$0,8 \cdot (60 - \alpha) / 30$	0,0
μ_2	$0,8 + 0,8 \cdot \alpha / 30$	1,6	-

Valori dei coefficienti di forma per coperture cilindriche (cfr. §C3.4.3.3.1 Circolare 2019 n. 7)

Angolo di tangenza delle coperture cilindriche, β	Coefficiente di forma, μ_3
per $\beta > 60^\circ$	$\mu_3 = 0$
per $\beta \leq 60^\circ$	$\mu_3 = 0.2 + 10 h / b \leq 2.0$

I coefficienti di forma definiti nelle tabelle precedenti sono stati utilizzati per la scelta delle combinazioni di carico da neve indicate nelle seguenti figure.



Coefficienti di forma e relative combinazioni di carico per la neve: (a) coperture ad una falda [cfr. 3.4.5.2 D.M. 2018], (b) coperture a due falde [cfr. 3.4.5.3 D.M. 2018], (c) coperture a più falde [cfr. C3.4.3.3 Circolare 2019 n. 7], (d) coperture cilindriche [cfr. ...].

- C_E è il coefficiente di esposizione, funzione della topografia del sito (si veda la seguente tabella);

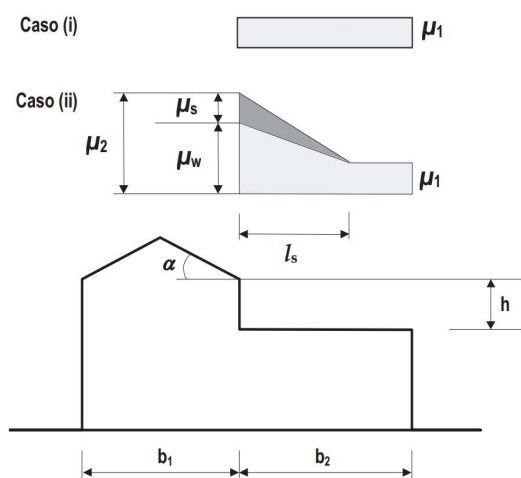
Valori di C_E per diverse classi di esposizione (cfr. Tab. 3.4.I D.M. 2018)

Topografia	Descrizione	C_E
Battuta dai venti	Aree pianeggianti non ostruite esposte su tutti i lati, senza costruzioni o alberi più alti	0,9
Normale	Aree in cui non è presente una significativa rimozione di neve sulla costruzione prodotta dal vento, a causa del terreno, altre costruzioni o alberi	1,0
Riparata	Aree in cui la costruzione considerata è sensibilmente più bassa del circostante terreno o circondata da costruzioni o alberi più alti	1,1

- C_t è il coefficiente termico, cautelativamente posto pari ad 1 (cfr. §3.4.4 D.M. 2018).

7.5.1 Coperture adiacenti ed effetti locali

Nel caso di coperture adiacenti, si è proceduto alla stima di un carico da neve aggiuntivo dovuto a fenomeni di accumulo (cfr. §3.4.3.3.3 Circolare 2019 n. 7).



Coefficienti di forma per coperture adiacenti

$$\mu_1 = 0.8$$

$$\mu_2 = \mu_s + \mu_w$$

$$\mu_s = 0 \text{ per } \alpha \leq 15^\circ$$

$$\mu_s = 0,5 \mu_{sup} \text{ per } \alpha > 15^\circ$$

dove:

μ_{sup} è il coefficiente valutato sulla copertura superiore

$$\mu_w = (b_1 + b_2) / 2 h \leq \gamma h / q_{sk}$$

$\gamma = 2 \text{ kN/m}^3$ è il peso specifico della neve $s = 2 h$

Inoltre, deve risultare comunque:

$$0,8 \leq \mu_w \leq 4,0$$

$$m \leq l_s \leq 15 \text{ m}$$

Ulteriori carichi aggiuntivi dovuti a neve sono stati considerati nelle seguenti casistiche:

- accumuli in corrispondenza di sporgenze (cfr. §3.4.3.3.4 Circolare 2019 n. 7);
- accumuli di neve aggettante dai bordi sporgenti delle coperture (cfr. §3.4.3.3.5 Circolare 2019 n. 7);
- accumuli in corrispondenza di barriere paraneve o altri ostacoli (cfr. §3.4.3.3.6 Circolare 2019 n. 7).

8 - CODICE DI CALCOLO IMPIEGATO

8.1 Denominazione

Nome del Software	EdiLus
Versione	BIM ONE(c)
Caratteristiche del Software	Software per il calcolo di strutture agli elementi finiti per Windows
Numero di serie	15121423
Intestatario Licenza	PAPEO ing. NICOLA
Produzione e Distribuzione	ACCA software S.p.A. Contrada Rosole 13 83043 BAGNOLI IRPINO (AV) - Italy Tel. 0827/69504 r.a. - Fax 0827/601235 e-mail: info@acca.it - Internet: www.acca.it

8.2 Sintesi delle funzionalità generali

Il pacchetto consente di modellare la struttura, di effettuare il dimensionamento e le verifiche di tutti gli elementi strutturali e di generare gli elaborati grafici esecutivi.

È una procedura integrata dotata di tutte le funzionalità necessarie per consentire il calcolo completo di una struttura mediante il metodo degli elementi finiti (FEM); la modellazione della struttura è realizzata tramite

elementi Beam (travi e pilastri) e Shell (platee, pareti, solette, setti, travi-parete).

L'input della struttura avviene per oggetti (travi, pilastri, solai, solette, pareti, etc.) in un ambiente grafico integrato; il modello di calcolo agli elementi finiti, che può essere visualizzato in qualsiasi momento in una apposita finestra, viene generato dinamicamente dal software.

Apposite funzioni consentono la creazione e la manutenzione di archivi Sezioni, Materiali e Carichi; tali archivi sono generali, nel senso che sono creati una tantum e sono pronti per ogni calcolo, potendoli comunque integrare/modificare in ogni momento.

L'utente non può modificare il codice ma soltanto eseguire delle scelte come:

- definire i vincoli di estremità per ciascuna asta (vincoli interni) e gli eventuali vincoli nei nodi (vincoli esterni);
- modificare i parametri necessari alla definizione dell'azione sismica;
- definire condizioni di carico;
- definire gli impalcati come rigidi o meno.

Il programma è dotato di un manuale tecnico ed operativo. L'assistenza è effettuata direttamente dalla casa produttrice, mediante linea telefonica o e-mail.

Il calcolo si basa sul solutore agli elementi finiti **MICROSAP** prodotto dalla società **TESYS srl**. La scelta di tale codice è motivata dall'elevata affidabilità dimostrata e dall'ampia documentazione a disposizione, dalla quale risulta la sostanziale uniformità dei risultati ottenuti su strutture standard con i risultati internazionalmente accettati ed utilizzati come riferimento.

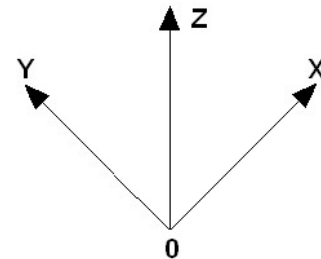
Tutti i risultati del calcolo sono forniti, oltre che in formato numerico, anche in formato grafico permettendo così di evidenziare agevolmente eventuali incongruenze.

Il programma consente la stampa di tutti i dati di input, dei dati del modello strutturale utilizzato, dei risultati del calcolo e delle verifiche dei diagrammi delle sollecitazioni e delle deformate.

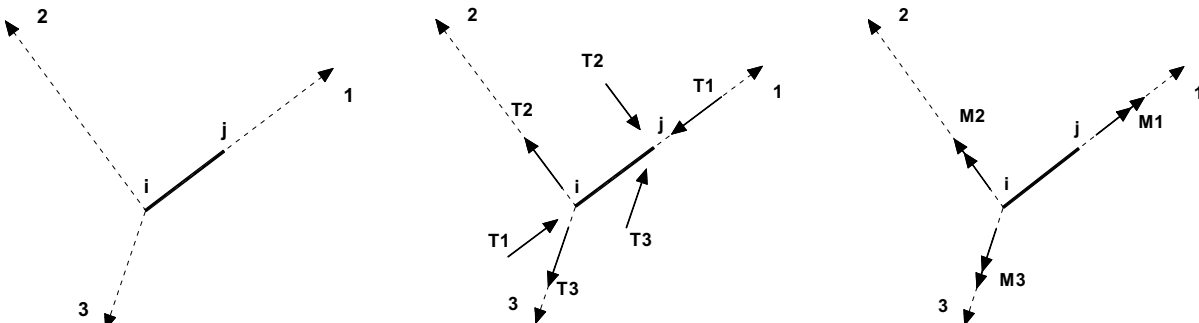
8.3 Sistemi di Riferimento

8.3.1 Riferimento globale

Il sistema di riferimento globale, rispetto al quale va riferita l'intera struttura, è costituito da una terna di assi cartesiani sinistrorsa O, X, Y, Z (X, Y, e Z sono disposti e orientati rispettivamente secondo il pollice, l'indice ed il medio della mano destra, una volta posizionati questi ultimi a 90° tra loro).



8.3.2 Riferimento locale per travi



L'elemento Trave è un classico elemento strutturale in grado di ricevere Carichi distribuiti e Carichi Nodali applicati ai due nodi di estremità; per effetto di tali carichi nascono, negli estremi, sollecitazioni di taglio, sforzo normale, momenti flettenti e torcenti.

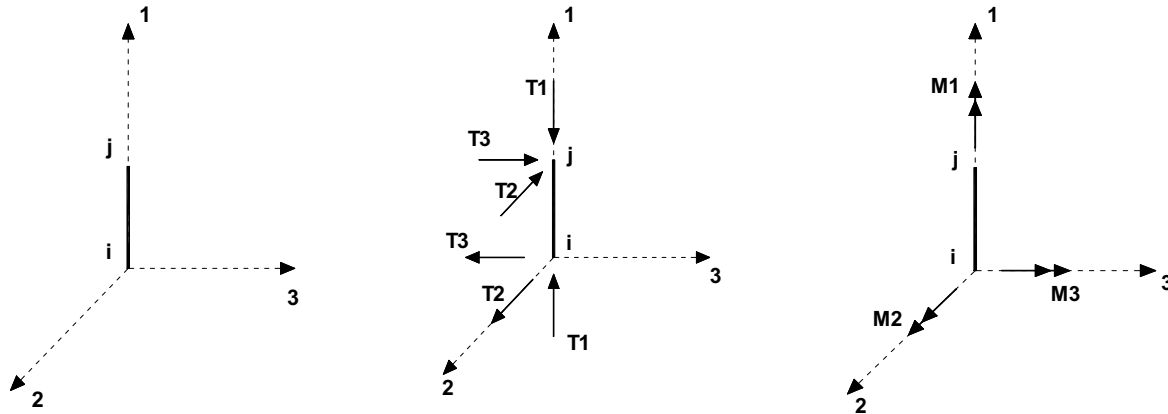
Definiti i e j (nodi iniziale e finale della Trave) viene individuato un sistema di assi cartesiani 1-2-3 locale all'elemento, con origine nel Nodo i così composto:

- asse 1 orientato dal nodo i al nodo j;
- assi 2 e 3 appartenenti alla sezione dell'elemento e coincidenti con gli assi principali d'inerzia della sezione stessa.

Le sollecitazioni verranno fornite in riferimento a tale sistema di riferimento:

1. Sollecitazione di Trazione o Compressione T_1 (agente nella direzione i-j);
2. Sollecitazioni taglianti T_2 e T_3 , agenti nei due piani 1-2 e 1-3, rispettivamente secondo l'asse 2 e l'asse 3;
3. Sollecitazioni che inducono flessione nei piani 1-3 e 1-2 (M_2 e M_3);
4. Sollecitazione torcente M_1 .

8.3.3 Riferimento locale per pilastri



Definiti i e j come i due nodi iniziale e finale del pilastro, viene individuato un sistema di assi cartesiani 1-2-3 locale all'elemento, con origine nel Nodo i così composto:

- asse 1 orientato dal nodo i al nodo j;
- asse 2 perpendicolare all' asse 1, parallelo e discorde all'asse globale Y;
- asse 3 che completa la terna destrorsa, parallelo e concorde all'asse globale X.

Tale sistema di riferimento è valido per Pilastri con angolo di rotazione pari a '0' gradi; una rotazione del pilastro nel piano XY ha l'effetto di ruotare anche tale sistema (ad es. una rotazione di '90' gradi porterebbe l'asse 2 a essere parallelo e concorde all'asse X, mentre l'asse 3 sarebbe parallelo e concorde all'asse globale Y). La rotazione non ha alcun effetto sull'asse 1 che coinciderà sempre e comunque con l'asse globale Z.

Per quanto riguarda le sollecitazioni si ha:

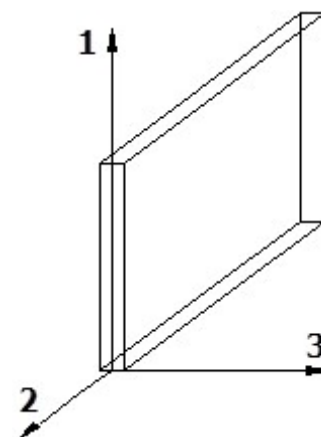
- una forza di trazione o compressione T_1 , agente lungo l'asse locale 1;
- due forze taglianti T_2 e T_3 agenti lungo i due assi locali 2 e 3;
- due vettori momento (flettente) M_2 e M_3 agenti lungo i due assi locali 2 e 3;
- un vettore momento (torcente) M_1 agente lungo l'asse locale nel piano 1.

8.3.4 Riferimento locale per pareti

Una parete è costituita da una sequenza di setti; ciascun setto è caratterizzato da un sistema di riferimento locale 1-2-3 così individuato:

- asse 1, coincidente con l'asse globale Z;
- asse 2, parallelo e discorde alla linea d'asse della traccia del setto in pianta;
- asse 3, ortogonale al piano della parete, che completa la terna levogira.

Su ciascun setto l'utente ha la possibilità di applicare uno o più carichi uniformemente distribuiti comunque orientati nello spazio; le componenti di tali carichi possono essere fornite, a discrezione dell'utente, rispetto al riferimento globale X,Y,Z oppure rispetto al riferimento locale 1,2,3 appena definito.



Si rende necessario, a questo punto, meglio precisare le modalità con cui EdiLus restituisce i risultati di calcolo. Nel modello di calcolo agli elementi finiti ciascun setto è discretizzato in una serie di elementi tipo "shell" interconnessi; il solutore agli elementi finiti integrato nel programma EdiLus, definisce un riferimento locale per ciascun elemento shell e restituisce i valori delle tensioni esclusivamente rispetto a tali riferimenti.

Il software EdiLus provvede ad omogeneizzare tutti i valori riferendoli alla terna 1-2-3. Tale operazione consente, in fase di input, di ridurre al minimo gli errori dovuti alla complessità d'immissione dei dati stessi ed

allo stesso tempo di restituire all'utente dei risultati facilmente interpretabili.

Tutti i dati cioè, sia in fase di input che in fase di output, sono organizzati secondo un criterio razionale vicino al modo di operare del tecnico e svincolato dal procedimento seguito dall'elaboratore elettronico.

In tal modo ad esempio, il significato dei valori delle tensioni può essere compreso con immediatezza non solo dal progettista che ha operato con il programma ma anche da un tecnico terzo non coinvolto nell'elaborazione; entrambi, così, potranno controllare con facilità dal tabulato di calcolo, la congruità dei valori riportati.

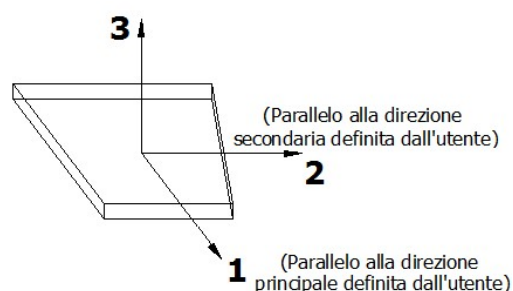
Un'ultima notazione deve essere riservata alla modalità con cui il programma fornisce le armature delle pareti, con riferimento alla faccia anteriore e posteriore.

La faccia anteriore è quella di normale uscente concorde all'asse 3 come prima definito o, identicamente, quella posta alla destra dell'osservatore che percorresse il bordo superiore della parete concordemente al verso di tracciamento.

8.3.5 Riferimento locale per solette e platee

Ciascuna soletta e platea è caratterizzata da un sistema di riferimento locale 1,2,3 così definito:

- asse 1, coincidente con la direzione principale di armatura;
- asse 2, coincidente con la direzione secondaria di armatura;
- asse 3, ortogonale al piano della parete, che completa la terna levogira.



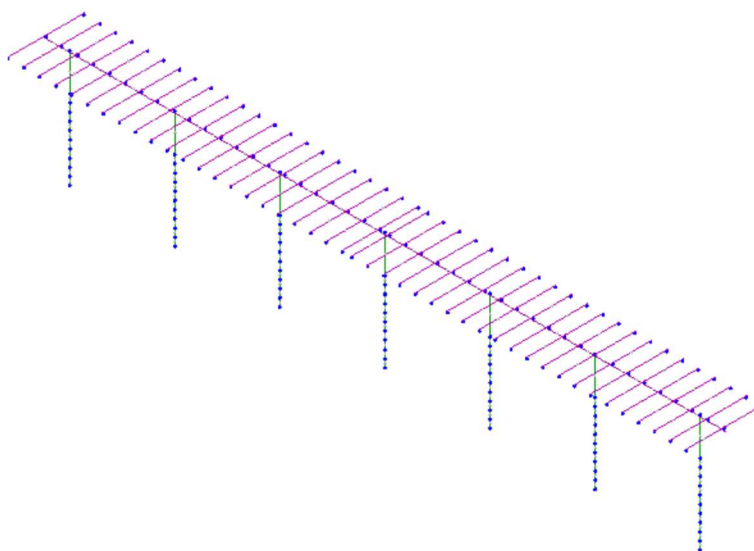
8.4 Modello di Calcolo

Il modello della struttura viene creato automaticamente dal codice di calcolo, individuando i vari elementi strutturali e fornendo le loro caratteristiche geometriche e meccaniche.

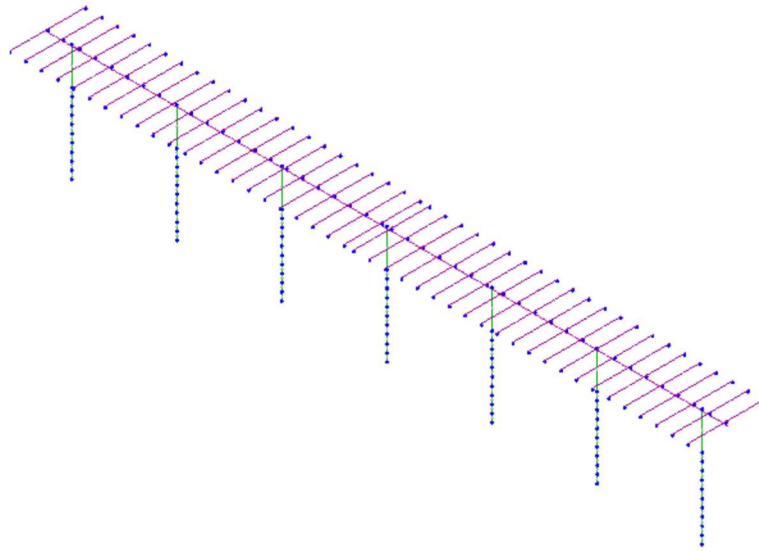
Viene definita un'opportuna numerazione degli elementi (nodi, aste, shell) costituenti il modello, al fine di individuare celermente ed univocamente ciascun elemento nei "Tabulati di calcolo".

Qui di seguito è fornita una rappresentazione grafica dettagliata della discretizzazione operata con evidenziazione dei nodi e degli elementi.

Vista Anteriore



Vista Posteriore



Le aste in **c.a.**, in **acciaio**, sia travi che pilastri, sono schematizzate con un tratto flessibile centrale e da due tratti (braccetti) rigidi alle estremità. I nodi vengono posizionati sull'asse verticale dei pilastri, in corrispondenza dell'estradosso della trave più alta che in esso si collega. Tramite i braccetti i tratti flessibili sono quindi collegati ad esso. In questa maniera il nodo risulta perfettamente aderente alla realtà poiché vengono presi in conto tutti gli eventuali disassamenti degli elementi con gli effetti che si possono determinare, quali momenti flettenti/torcenti aggiuntivi.

Le sollecitazioni vengono determinate solo per il tratto flessibile. Sui tratti rigidi, infatti, essendo (teoricamente) nulle le deformazioni, le sollecitazioni risultano indeterminate.

Questa schematizzazione dei nodi viene automaticamente realizzata dal programma anche quando il nodo sia determinato dall'incontro di più travi senza il pilastro, o all'attacco di travi/pilastri con elementi shell.

La modellazione del materiale degli elementi in c.a., acciaio e legno segue la classica teoria dell'elasticità lineare; per cui il materiale è caratterizzato oltre che dal peso specifico, da un modulo elastico (E) e un modulo tagliante (G).

La possibile fessurazione degli elementi in c.a. è stata tenuta in conto nel modello considerando un opportuno decremento del modulo di elasticità e del modulo di taglio, nei limiti di quanto previsto dalla normativa vigente per ciascuno stato limite.

Gli eventuali elementi di **fondazione** (travi, platee, plinti, plinti su pali e pali) sono modellati assumendo un comportamento elastico-lineare sia a trazione che a compressione.

9 PROGETTO E VERIFICA DEGLI ELEMENTI STRUTTURALI

La verifica degli elementi allo SLU avviene col seguente procedimento:

- si costruiscono le combinazioni non sismiche in base al D.M. 2018, ottenendo un insieme di sollecitazioni;
- si combinano tali sollecitazioni con quelle dovute all'azione del sisma secondo quanto indicato nel §2.5.3, relazione (2.5.5) del D.M. 2018;
- per sollecitazioni semplici (flessione retta, taglio, etc.) si individuano i valori minimo e massimo con cui progettare o verificare l'elemento considerato; per sollecitazioni composte (pressoflessione retta/deviata) vengono eseguite le verifiche per tutte le possibili combinazioni e solo a seguito di ciò si individua quella che ha originato il minimo coefficiente di sicurezza.

9.1 Verifiche di Resistenza

9.1.1 Elementi in Acciaio

Per quanto concerne la verifica degli elementi in **acciaio**, le verifiche effettuate per ogni elemento dipendono

dalla funzione dell'elemento nella struttura. Ad esempio, elementi con prevalente comportamento assiale (controventi o appartenenti a travi reticolari) sono verificate a trazione e/o compressione; elementi con funzioni portanti nei confronti dei carichi verticali sono verificati a Pressoflessione retta e Taglio; elementi con funzioni resistenti nei confronti di azioni orizzontali sono verificati a pressoflessione deviata e taglio oppure a sforzo normale se hanno la funzione di controventi.

Le verifiche allo SLU sono effettuate sempre controllando il soddisfacimento della relazione:

$$R_d \geq S_d$$

dove R_d è la resistenza calcolata come rapporto tra R_k (resistenza caratteristica del materiale) e γ (coefficiente di sicurezza), mentre S_d è la generica sollecitazione di progetto calcolata considerando tutte le Combinazioni di Carico per lo Stato Limite esaminato.

La resistenza viene determinata, in funzione della Classe di appartenenza della Sezione metallica, col metodo Elastico o Plastico (vedi §4.2.3.2 del D.M. 2018).

Viene portato in conto l'indebolimento causato dall'eventuale presenza di fori.

Le verifiche effettuate sono quelle previste al §4.2.4.1.2 D.M. 2018 ed in particolare:

- Verifiche di Trazione
- Verifiche di Compressione
- Verifiche di Flessione Monoassiale
- Verifiche di Taglio (considerando l'influenza della Torsione) assiale e biassiale.
- Verifiche per contemporanea presenza di Flessione e Taglio
- Verifiche per PressoFlessione retta e biassiale

Nei "*Tabulati di calcolo*", per ogni tipo di Verifica e per ogni elemento interessato dalla Verifica, sono riportati i valori delle resistenze e delle sollecitazioni che hanno dato il minimo coefficiente di sicurezza, calcolato generalmente come:

$$CS = R_d/S_d.$$

9.1.1.1 Verifiche di Instabilità

Per tutti gli elementi strutturali sono state condotte verifiche di stabilità delle membrature secondo le indicazioni del §4.2.4.1.3 del D.M. 2018; in particolare sono state effettuate le seguenti verifiche:

- Verifiche di stabilità per compressione semplice, con controllo della snellezza.
- Verifiche di stabilità per elementi inflessi.
- Verifiche di stabilità per elementi inflessi e compressi.

Le verifiche sono effettuate considerando la possibilità di instabilizzazione flessotorsionale.

Nei "*Tabulati di calcolo*", per ogni tipo di verifica e per ogni elemento strutturale, sono riportati i risultati di tali verifiche.

9.1.1.2 Verifiche di Deformabilità

Sono state condotte le verifiche definite al §4.2.4.2 del D.M. 2018 e in particolare si citano:

- Verifiche agli spostamenti verticali per i singoli elementi (§4.2.4.2.1 D.M. 2018).
- Verifiche agli spostamenti laterali per i singoli elementi (§4.2.4.2.2 D.M. 2018).
- Verifiche agli spostamenti per il piano e per l'edificio (§4.2.4.2.2 D.M. 2018).

I relativi risultati sono riportati nei "*Tabulati di calcolo*".

9.2 Gerarchia delle Resistenze

9.2.1 Elementi in C.A.

Relativamente agli elementi in c.a., sono state applicate le disposizioni contenute al §7.4.4 del D.M. 2018. Più in particolare:

- per le **travi**, al fine di escludere la formazione di meccanismi inelastici dovuti al **taglio**, le sollecitazioni di calcolo si ottengono sommando il contributo dovuto ai carichi gravitazionali agenti sulla trave, considerata incernierata agli estremi, alle sollecitazioni di taglio corrispondenti alla formazione delle cerniere plastiche nella trave e prodotte dai momenti resistenti delle due sezioni di estremità, amplificati del fattore di sovrarresistenza γ_{Rd} assunto pari, rispettivamente, ad 1,20 per strutture in CD"A", ad 1,10 per strutture in CD"B". La verifica di resistenza è eseguita secondo le indicazioni del par. 7.4.4.1.1 D.M. 2018.

- per i **pilastr**i, al fine di scongiurare l'attivazione di meccanismi fragili globali, come il meccanismo di "piano debole" che comporta la plasticizzazione, anticipata rispetto alle travi, di gran parte dei pilastri di un piano, il progetto a **flessione** delle zone dissipative dei pilastri è effettuato considerando le sollecitazioni corrispondenti alla resistenza delle zone dissipative delle travi amplificata mediante il coefficiente γ_{Rd} che vale 1,3 in CD"A" e 1,3 per CD"B". In tali casi, generalmente, il meccanismo dissipativo prevede la localizzazione delle cerniere alle estremità delle travi e le sollecitazioni di progetto dei pilastri possono essere ottenute a partire dalle resistenze d'estremità delle travi che su di essi convergono, facendo in modo che, per ogni nodo trave-pilastro ed ogni direzione e verso dell'azione sismica, la resistenza complessiva dei pilastri sia maggiore della resistenza complessiva delle travi amplificata del coefficiente γ_{Rd} , in accordo con la formula (7.4.4) del D.M. 2018. Le verifiche di resistenza sono eseguite secondo le indicazioni del par. 7.4.4.2.1 D.M. 2018.
Al fine di escludere la formazione di meccanismi inelastici dovuti al **taglio**, le sollecitazioni di calcolo da utilizzare per le verifiche ed il dimensionamento delle armature si ottengono dalla condizione di equilibrio del pilastro soggetto all'azione dei momenti resistenti nelle sezioni di estremità superiore ed inferiore secondo l'espressione (7.4.5). Le verifiche di resistenza sono eseguite secondo le indicazioni del par. 7.4.4.2.1.
- per i **nodi trave-pilastr**o, si deve verificare che la resistenza del nodo sia tale da assicurare che non pervenga a rottura prima delle zone della trave e del pilastro ad esso adiacente. L'azione di taglio, agente in direzione orizzontale per le varie direzioni del sisma, nel nucleo di calcestruzzo del nodo è calcolata secondo l'espressione (7.4.6) per i nodi interni e (7.4.7) per quelli esterni. Le verifiche di resistenza sono eseguite invece secondo le indicazioni del §7.4.4.3.1 D.M. 2018.
- per i **setti** sismo resistenti, le sollecitazioni di calcolo sono determinate secondo quanto indicato nel par. 7.4.4.5 D.M. 2018. Le verifiche di resistenza sono eseguite invece secondo le indicazioni del par. 7.4.4.5.1 D.M. 2018.

9.2.2 Elementi in Acciaio

Per quanto riguarda le aste in acciaio, sono state applicate le disposizioni contenute al §7.5.3 del D.M. 2018. Più in particolare:

- per gli elementi travi e pilastri sono state effettuate le verifiche definite al §7.5.4 D.M. 2018 e relativi sotto paragrafi;
- per gli elementi di controventamento sono state effettuate le verifiche definite al §7.5.5 D.M. 2018; più specificatamente, per gli elementi dissipativi (aste tese di controventi a X o aste di controventi a V) sono state effettuate le relative verifiche di resistenza; per gli elementi in acciaio (travi o colonne) ad essi collegati le sollecitazioni di progetto sono state ricavate considerando come agenti le resistenze degli elementi dissipativi, opportunamente amplificate dal minimo coefficiente Ω tra tutti gli elementi dissipativi collegati alla trave o colonna.

Le relative verifiche sono riportate nei "Tabulati di calcolo", con l'indicazione del coefficiente Ω utilizzato per la singola verifica.

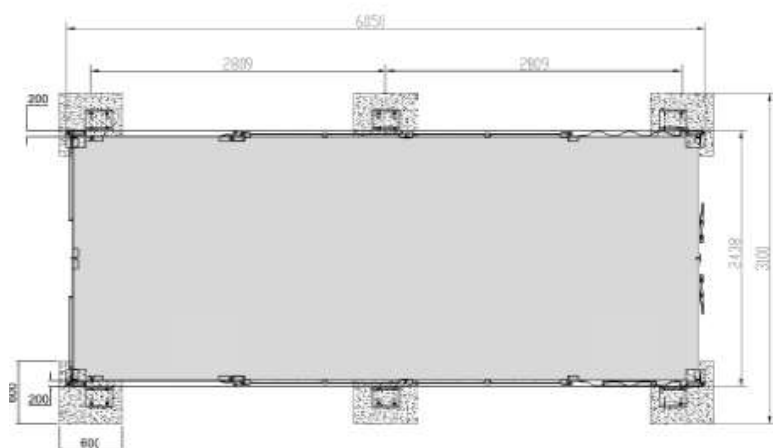
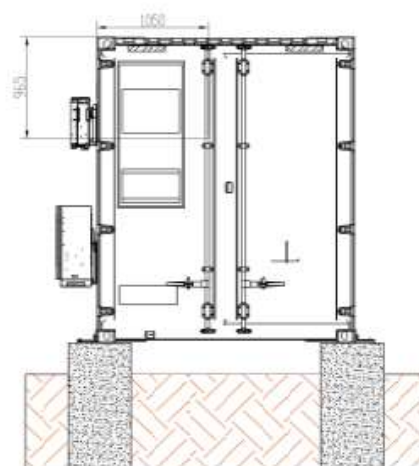
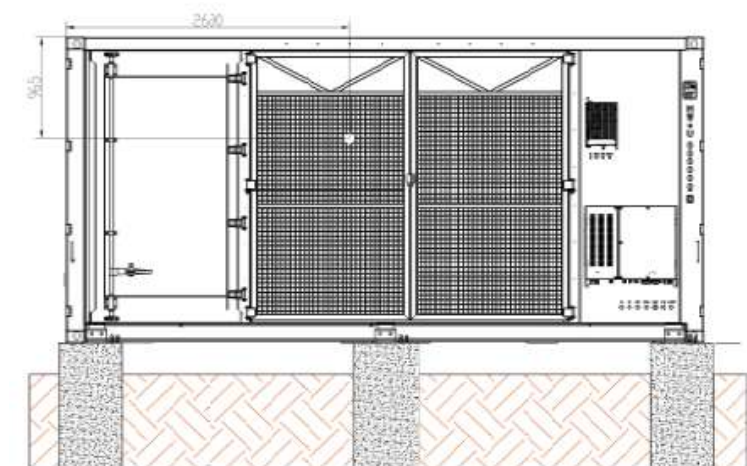
9.2.3 Fondazioni

Per quanto riguarda la struttura di fondazione sono applicate le disposizioni contenute al §7.2.5 del D.M. 2018. Più in particolare:

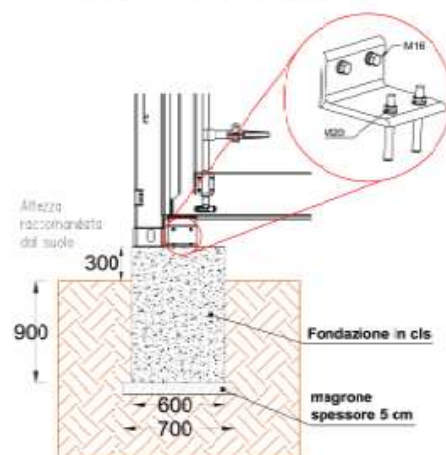
- le azioni trasmesse in fondazione derivano dall'analisi del comportamento dell'intera struttura, condotta esaminando la sola struttura in elevazione alla quale sono applicate le azioni statiche e sismiche;
- il dimensionamento della struttura di fondazione e la verifica di sicurezza del complesso fondazione-terreno sono eseguite, nell'ipotesi di comportamento strutturale dissipativo, assumendo come azioni in fondazione quelle trasferite dagli elementi soprastanti amplificate di un coefficiente γ_{Rd} pari a 1,1 in CD"B" e 1,3 in CD"A".

9.3 DETTAGLI STRUTTURALI

Il progetto delle strutture è stato condotto rispettando i dettagli strutturali previsti dal D.M. 2018, nel seguito illustrati. Il rispetto dei dettagli può essere evinto, oltretutto dagli elaborati grafici, anche dalle verifiche riportate nei tabulati allegati alla presente relazione.

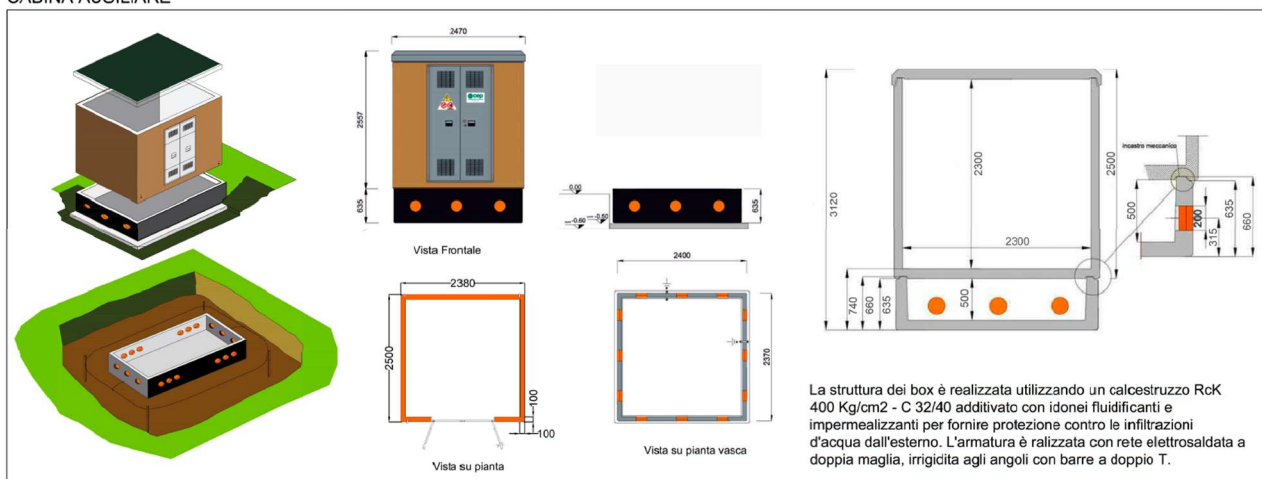


PARTICOLARE FONDAZIONE E ANCORAGGIO



Il blocco prefabbricato CABINA AUSILIARE di dimensioni 2.50 x 2.38 m = 5,95 ≤ **20mq** ed h= ≤ **3m**

CABINA AUSILIARE



10 - TABULATI DI CALCOLO

Per quanto non espressamente sopra riportato, ed in particolar modo per ciò che concerne i dati numerici di calcolo, si rimanda all'allegato "Tabulati di calcolo" costituente parte integrante della presente relazione.

IMPIANTO FOTOVOLTAICO UTILITY SCALE

SITO CAR 01 SV317_CARAPELLE

TABULATI DI CALCOLO STRUTTURE IN ACCIAIO TRACKER

INFORMAZIONI GENERALI

Edificio	Acciaio
Costruzione	Nuova
Situazione	-
Intervento	-
Comune	Manfredonia
Provincia	Provincia di Foggia
Oggetto	Realizzazione di parco fotovoltaico di tipo tracker su pali infissi e telaio in acciaio
Parte d'opera	
Normativa di riferimento	D.M. 17/01/2018
Calcolo semplificato per siti a bassa sismicità (§ 7.0)	-
Analisi sismica	Dinamica solo Orizzontale

MATERIALI CALCESTRUZZO ARMATO

N _{id}	γ _k [N/m ³]	α _{T, i} [1/°C]	E [N/mm ²]	G [N/mm ²]	C _{Erid} [%]	Stz	R _{ck} [N/mm ²]	R _{cm} [N/mm ²]	%R _{ck}	γ _c	Caratteristiche calcestruzzo armato				
											f _{cd} [N/mm ²]	f _{ctd} [N/mm ²]	f _{cfm} [N/mm ²]	N	n Ac
Clas C25/30_B450C - (C25/30)															
001	25 000	0,000010	31 447	13 103	60	P	30,00	-	0,85	1,50	14,11	1,19	3,07	15	002

LEGENDA:

- N_{id}** Numero identificativo del materiale, nella relativa tabella dei materiali.
γ_k Peso specifico.
α_{T, i} Coefficiente di dilatazione termica.
E Modulo elastico normale.
G Modulo elastico tangenziale.
C_{Erid} Coefficiente di riduzione del Modulo elastico normale per Analisi Sismica [E_{sisma} = E · C_{Erid}].
Stz Tipo di situazione: [F] = di Fatto (Esistente); [P] = di Progetto (Nuovo).
R_{ck} Resistenza caratteristica cubica.
R_{cm} Resistenza media cubica.
%R_{ck} Percentuale di riduzione della R_{ck}
γ_c Coefficiente parziale di sicurezza del materiale.
f_{cd} Resistenza di calcolo a compressione.
f_{ctd} Resistenza di calcolo a trazione.
f_{cfm} Resistenza media a trazione per flessione.
n Ac Identificativo, nella relativa tabella materiali, dell'acciaio utilizzato: [-] = parametro NON significativo per il materiale.

MATERIALI ACCIAIO

N _{id}	γ _k [N/m ³]	α _{T, i} [1/°C]	E [N/mm ²]	G [N/mm ²]	Stz	f _{yk,1} /f _{yk,2} [N/mm ²]		f _{tk,1} /f _{tk,2} [N/mm ²]		f _{yd,1} /f _{yd,2} [N/mm ²]		f _{td} [N/mm ²]	γ _s	γ _{M1}	γ _{M2}	γ _{M3,SLV}	γ _{M3,SLE}	γ _{M7}		
										NCnt	Cnt									
Acciaio B450C - (B450C)																				
002	78 500	0,000010	210 000	80 769	P	450,00	-	391,30	-	1,15	-	-	-	-	-	-	-	-	-	-
S235 - (S235)																				
003	78 500	0,000012	210 000	80 769	P	235,00	360	223,81	-	1,05	1,05	1,25	-	-	-	-	-	-	-	-
S275 - (S275)																				
004	78 500	0,000012	210 000	80 769	P	275,00	430	261,90	-	1,05	1,05	1,25	-	-	-	-	-	-	-	-

LEGENDA:

- N_{id}** Numero identificativo del materiale, nella relativa tabella dei materiali.
γ_k Peso specifico.
α_{T, i} Coefficiente di dilatazione termica.
E Modulo elastico normale.
G Modulo elastico tangenziale.
Stz Tipo di situazione: [F] = di Fatto (Esistente); [P] = di Progetto (Nuovo).
f_{tk,1} Resistenza caratteristica a Rottura (per profili con t ≤ 40 mm).
f_{tk,2} Resistenza caratteristica a Rottura (per profili con 40 mm < t ≤ 80 mm).
f_{td} Resistenza di calcolo a Rottura (Bulloni).
γ_s Coefficiente parziale di sicurezza allo SLV del materiale.
γ_{M1} Coefficiente parziale di sicurezza per instabilità.
γ_{M2} Coefficiente parziale di sicurezza per sezioni tese indebolite.
γ_{M3,SLV} Coefficiente parziale di sicurezza per scorrimento allo SLV (Bulloni).
γ_{M3,SLE} Coefficiente parziale di sicurezza per scorrimento allo SLE (Bulloni).
γ_{M7} Coefficiente parziale di sicurezza precarico di bulloni ad alta resistenza (Bulloni - NCnt = con serraggio NON controllato; Cnt = con serraggio controllato). [-] = parametro NON significativo per il materiale.
f_{yk,1} Resistenza caratteristica allo snervamento (per profili con t ≤ 40 mm).
f_{yk,2} Resistenza caratteristica allo snervamento (per profili con 40 mm < t ≤ 80 mm).
f_{yd,1} Resistenza di calcolo (per profili con t ≤ 40 mm).
f_{yd,2} Resistenza di calcolo (per profili con 40 mm < t ≤ 80 mm).
NOTE [-] = Parametro non significativo per il materiale.

TENSIONI AMMISSIBILI ALLO SLE DEI VARI MATERIALI

Materiale	SL	Tensioni ammissibili allo SLE dei vari materiali	
		Tensione di verifica	σ _{d,amm} [N/mm ²]
Clas C25/30_B450C	Caratteristica(RARA) Quasi permanente	Compressione Calcestruzzo	14,94
		Compressione Calcestruzzo	11,21

Tensioni ammissibili allo SLE dei vari materiali

Materiale	SL	Tensione di verifica	$\sigma_{d,amm}$ [N/mm ²]
Acciaio B450C	Caratteristica(RARA)	Trazione Acciaio	360,00

LEGENDA:

SL Stato limite di esercizio per cui si esegue la verifica.
 $\sigma_{d,amm}$ Tensione ammissibile per la verifica.

TERRENI

N _{TRN}	γ_T [N/m ³]	K1			ϕ [°]	C _u [N/mm ²]	c' [N/mm ²]	E _d [N/mm ²]	E _{cu} [N/mm ²]	A _{S-B}
		K _{1X} [N/cm ³]	K _{1Y} [N/cm ³]	K _{1Z} [N/cm ³]						
Depositi siltosi e argillosi orizzonte 1										
T001	18 000	40	40	100	12	0,028	0,028	110	22	0,750
Depositi siltosi e argillosi orizzonte 2										
T002	18 500	40	40	100	15	0,038	0,038	611	30	0,750
Depositi siltosi e argillosi orizzonte 3										
T003	17 700	40	40	100	10	0,023	0,023	3 440	18	0,750

LEGENDA:

N_{TRN} Numero identificativo del terreno.
 γ_T Peso specifico del terreno.
K1 Valori della costante di Winkler riferita alla piastra Standard di lato b = 30 cm nelle direzioni degli assi del riferimento globale X (K_{1X}), Y (K_{1Y}), e Z (K_{1Z}).
 ϕ Angolo di attrito del terreno.
C_u Coesione non drenata.
c' Coesione efficace.
E_d Modulo edometrico.
E_{cu} Modulo elastico in condizione non drenate.
A_{S-B} Parametro "A" di Skempton-Bjerrum per pressioni interstiziali.

STRATIGRAFIE

N _{TRN}	Q _i [m]	Q _f [m]	Cmp. S.	Add	ΔEd
[S002]-Depositi argillosi					
T001		0,00	-1,80	incoerente	sciolto
T002		-1,80	-3,00	incoerente	sciolto
T003		-3,00	INF	incoerente	denso

LEGENDA:

N_{TRN} Numero identificativo della stratigrafia.
Q_i Quota iniziale dello strato (riferito alla quota iniziale della stratigrafia).
Q_f Quota finale dello strato (riferito alla quota iniziale della stratigrafia). INF = infinito (profondità dello strato finale).
Cmp. S. Comportamento dello strato.
Add Addensamento dello strato.
 ΔEd Variazione con la profondità del modulo edometrico.

SEZIONI ASTE

N _{id}	Tp	Label	Dimensioni									v	A	Area per Taglio		Inerzia			$\Delta \Theta I_{pr}$ [°]		
			B	H	Sp _w	L _w	Sp _{f,0}	L _{f,0}	Sp _{f,1}	L _{f,1}	L _{f,2}			L _{f,3}	A _{X,T}	A _{Y,T}	I _X	I _T		I _Y	I _{XY}
001	□	30x50	30	50	-	-	-	-	-	-	-	-	4	1 500	1 250	1 250	312 500	279 270	112 500	0	0,00
005	●	Ø32	32	-	-	-	-	-	-	-	-	-	-	804	724	724	51 472	102 944	51 472	0	0,00

LEGENDA:

N_{id} Numero identificativo della sezione.
Tp Tipo di sezione.
Label Identificativo della sezione come indicato nelle carpenterie.
B Base/Diametro/Raggio.
H Altezza/Lato/Altezza di colmo.
Sp_w Spessore anima.
L_w Lunghezza anima.
Sp_{f,0} Spessore ala 0.
L_{f,0} Lunghezza ala 0.
Sp_{f,1} Spessore ala 1.
L_{f,1} Lunghezza ala 1.
L_{f,2} Lunghezza ala 2.
L_{f,3} Lunghezza ala 3.
v Nel caso di sezioni poligonali, indica il numero dei vertici della sezione.
A Area della sezione.
 $\Delta \Theta I_{pr}$ Rotazione degli assi principali d'inerzia rispetto agli assi X, Y, espresse in gradi sessadecimali.
Inerzia Inerzie della sezione rispetto agli assi.

SEZIONI PROFILATI IN ACCIAIO

N _{id}	Tp	Label	Sezioni profilati in acciaio - parte I															
			b	b ₁	h	t _f	t _{r1}	t _w	t _p	r _w	r _f	r _{w/f}	h _i	d	p _w	p _f	d _{sp,w}	d _{sp,f}
002	□	200x200x5.0	200	-	200	5	-	-	-	-	-	-	-	-	-	-	-	-
003	┘	40x150x80x4.0	152	40	150	4	-	-	-	-	-	4	-	-	-	-	-	
004	I	HE 320 B	300	-	320	21	-	12	-	-	-	27	279	225	-	-	-	

LEGENDA:

N_{id} Numero identificativo del profilato.

Sezioni profilati in acciaio - parte I

N _{id}	Tp	Label	b	b ₁	h	t _f	t _{f1}	t _w	t _p	r _w	r _f	r _{w/f}	h _i	d	p _w	p _f	d _{sp,w}	d _{sp,f}	
			[mm]	[mm]	[mm]	[mm]	[mm]	[mm]	[mm]	[mm]	[mm]	[mm]	[mm]	[mm]	[%]	[%]	[mm]	[mm]	
Tp	Tipo di profilato.																		
Label	Identificativo del profilato come indicato nelle carpenterie.																		
b	Base del profilato.																		
b₁	Seconda base (per profilati composti).																		
h	Altezza.																		
t_f	Spessore ala.																		
t_{f1}	Spessore seconda ala (per profilati composti).																		
t_w	Spessore anima.																		
t_p	Spessore piatto (per profilati composti).																		
r_w	Raggio anima.																		
r_f	Raggio ala.																		
r_{w/f}	Raggio anima/ala.																		
h_i	Altezza anima.																		
d	Altezza netta raccordi.																		
p_w	Pendenza anima.																		
p_f	Pendenza ala.																		
d_{sp,w}	Distanza spessore anima.																		
d_{sp,f}	Distanza spessore ala.																		

SEZIONI PROFILATI IN ACCIAIO

Sezioni profilati in acciaio - parte II

N _{id}	Tp	Label	Dir	TC	d _{x/y}	P _{abb}	A	A _v	I	W _{el,sup/dx}	W _{el,inf/sx}	W _{pl}	i	I _w	I _T	I _{XY}	α _{xy}
					[mm]	[mm]	[cm ²]	[cm ²]	[cm ⁴]	[cm ³]	[cm ³]	[cm ³]	[cm]	[cm ⁴]	[cm ⁴]	[cm ³]	[°]
002	□	200x200x5.0	X	-	-	0	39	19	2445,0	245,0	245,0	283,0	8,0	0,0	0	0	0,0
			Y	-	-	0	39	19	2445,0	245,0	245,0	283,0	8,0	0,0	0	0	0,0
003	┌	40x150x80x4.0	X	-	-	0	17	9	509,8	68,0	68,0	0,0	5,4	0,0	0	0	0,0
			Y	-	-	0	17	12	279,9	36,8	36,8	0,0	4,0	0,0	0	0	0,0
004	I	HE 320 B	X	-	-	0	161	52	30820,0	1926,0	1926,0	2149,0	13,8	0,0	225	0	0,0
			Y	-	-	0	161	135	9239,0	615,9	615,9	939,1	7,6	0,0	225	0	0,0

LEGENDA:

- N_{id}** Numero identificativo del profilato.
- Tp** Tipo di profilato.
- Label** Identificativo del profilato come indicato nelle carpenterie.
- Dir** Direzione.
- TC** Tipo collegamenti (per profilati composti). A = Abbottonati; R = Ravvicinati.
- d_{x/y}** Distanza profilati lungo X/Y (per profilati composti).
- P_{abb}** Passo abbottonatura (per profilati composti).
- A** Area della sezione.
- A_v** Area resistente a taglio.
- I** Inerzia.
- W_{el,sup/dx}** Modulo di resistenza elastica superiore/destra.
- W_{el,inf/sx}** Modulo di resistenza elastica inferiore/sinistra.
- W_{pl}** Modulo resistenza plastica.
- i** Raggio inerzia
- I_w** Inerzia settoriale.
- I_T** Inerzia torsionale.
- I_{XY}** Inerzia in XY.
- α_{xy}** Rotazione assi inerzia.

TIPOLOGIE DI CARICO

Tipologie di carico

N _{id}	Descrizione	F+E	+/- F	CDC	ψ ₀	ψ ₁	ψ ₂
0001	Carico Permanente	SI	NO	Permanente	1,00	1,00	1,00
0002	Permanenti NON Strutturali	SI	NO	Permanente	1,00	1,00	1,00
0003	Carico da Neve <= 1000 m s.l.m.	SI	NO	Breve	0,50	0,20	0,00
0004	Pressione del Vento (+X)	NO	NO	Istantanea	0,60	0,20	0,00
0005	Pressione del Vento (-X)	NO	NO	Istantanea	0,60	0,20	0,00
0006	Pressione del Vento (+Y)	NO	NO	Istantanea	0,60	0,20	0,00
0007	Pressione del Vento (-Y)	NO	NO	Istantanea	0,60	0,20	0,00
0008	Sisma X	-	-	-	-	-	-
0009	Sisma Y	-	-	-	-	-	-
0010	Sisma Z	-	-	-	-	-	-
0011	Sisma Ecc.X	-	-	-	-	-	-
0012	Sisma Ecc.Y	-	-	-	-	-	-

LEGENDA:

- N_{id}** Numero identificativo della Tipologia di Carico.
- F+E** Indica se la tipologia di carico considerata è AGENTE con il sisma.
- +/- F** Indica se la tipologia di carico è ALTERNATA (cioè considerata due volte con segno opposto) o meno.
- CDC** Indica la classe di durata del carico.
NOTA: dato significativo solo per elementi in materiale legnoso.
- ψ₀** Coefficiente riduttivo dei carichi allo SLU e SLE (carichi rari).
- ψ₁** Coefficiente riduttivo dei carichi allo SLE (carichi frequenti).
- ψ₂** Coefficiente riduttivo dei carichi allo SLE (carichi frequenti e quasi permanenti).

SLU: Non Sismica - Strutturale senza azioni geotecniche

SLU: Non Sismica - Strutturale senza azioni geotecniche

Id _{Comb}	CC 01	CC 02	CC 03	CC 04	CC 05	CC 06	CC 07
	Carico Permanente	Permanenti NON Strutturali	Carico da Neve <= 1000 m s.l.m.	Pressione del Vento (+X)	Pressione del Vento (-X)	Pressione del Vento (+Y)	Pressione del Vento (-Y)

SLU: Non Sismica - Strutturale senza azioni geotecniche

Id_{Comb}	CC 01 Carico Permanente	CC 02 Permanenti NON Strutturali	CC 03 Carico da Neve <= 1000 m s.l.m.	CC 04 Pressione del Vento (+X)	CC 05 Pressione del Vento (-X)	CC 06 Pressione del Vento (+Y)	CC 07 Pressione del Vento (-Y)
01	1,00	0,00	0,00	0,00	0,00	0,00	0,00
02	1,00	0,80	0,00	0,00	0,00	0,00	0,00
03	1,00	0,80	0,00	0,00	0,00	0,00	0,90
04	1,00	0,80	0,00	0,00	0,00	0,90	0,00
05	1,00	0,80	0,00	0,00	0,90	0,00	0,00
06	1,00	0,80	0,00	0,90	0,00	0,00	0,00
07	1,00	0,80	0,75	0,00	0,00	0,00	0,00
08	1,00	0,80	0,75	0,00	0,00	0,00	0,90
09	1,00	0,80	0,75	0,00	0,00	0,90	0,00
10	1,00	0,80	0,75	0,00	0,90	0,00	0,00
11	1,00	0,80	0,75	0,90	0,00	0,00	0,00
12	1,00	1,50	0,00	0,00	0,00	0,00	0,00
13	1,00	1,50	0,00	0,00	0,00	0,00	0,90
14	1,00	1,50	0,00	0,00	0,00	0,90	0,00
15	1,00	1,50	0,00	0,00	0,90	0,00	0,00
16	1,00	1,50	0,00	0,90	0,00	0,00	0,00
17	1,00	1,50	0,75	0,00	0,00	0,00	0,00
18	1,00	1,50	0,75	0,00	0,00	0,00	0,90
19	1,00	1,50	0,75	0,00	0,00	0,90	0,00
20	1,00	1,50	0,75	0,00	0,90	0,00	0,00
21	1,00	1,50	0,75	0,90	0,00	0,00	0,00
22	1,00	0,80	1,50	0,00	0,00	0,00	0,00
23	1,00	0,80	1,50	0,00	0,00	0,00	0,90
24	1,00	0,80	1,50	0,00	0,00	0,90	0,00
25	1,00	0,80	1,50	0,00	0,90	0,00	0,00
26	1,00	0,80	1,50	0,90	0,00	0,00	0,00
27	1,00	1,50	1,50	0,00	0,00	0,00	0,00
28	1,00	1,50	1,50	0,00	0,00	0,00	0,90
29	1,00	1,50	1,50	0,00	0,00	0,90	0,00
30	1,00	1,50	1,50	0,00	0,90	0,00	0,00
31	1,00	1,50	1,50	0,90	0,00	0,00	0,00
32	1,00	0,80	0,00	1,50	0,00	0,00	0,00
33	1,00	0,80	0,75	1,50	0,00	0,00	0,00
34	1,00	1,50	0,00	1,50	0,00	0,00	0,00
35	1,00	1,50	0,75	1,50	0,00	0,00	0,00
36	1,00	0,80	0,00	0,00	1,50	0,00	0,00
37	1,00	0,80	0,75	0,00	1,50	0,00	0,00
38	1,00	1,50	0,00	0,00	1,50	0,00	0,00
39	1,00	1,50	0,75	0,00	1,50	0,00	0,00
40	1,00	0,80	0,00	0,00	0,00	1,50	0,00
41	1,00	0,80	0,75	0,00	0,00	1,50	0,00
42	1,00	1,50	0,00	0,00	0,00	1,50	0,00
43	1,00	1,50	0,75	0,00	0,00	1,50	0,00
44	1,00	0,80	0,00	0,00	0,00	0,00	1,50
45	1,00	0,80	0,75	0,00	0,00	0,00	1,50
46	1,00	1,50	0,00	0,00	0,00	0,00	1,50
47	1,00	1,50	0,75	0,00	0,00	0,00	1,50
48	1,30	0,00	0,00	0,00	0,00	0,00	0,00
49	1,30	0,80	0,00	0,00	0,00	0,00	0,00
50	1,30	0,80	0,00	0,00	0,00	0,00	0,90
51	1,30	0,80	0,00	0,00	0,00	0,90	0,00
52	1,30	0,80	0,00	0,00	0,90	0,00	0,00
53	1,30	0,80	0,00	0,90	0,00	0,00	0,00
54	1,30	0,80	0,75	0,00	0,00	0,00	0,00
55	1,30	0,80	0,75	0,00	0,00	0,00	0,90
56	1,30	0,80	0,75	0,00	0,00	0,90	0,00
57	1,30	0,80	0,75	0,00	0,90	0,00	0,00
58	1,30	0,80	0,75	0,90	0,00	0,00	0,00
59	1,30	1,50	0,00	0,00	0,00	0,00	0,00
60	1,30	1,50	0,00	0,00	0,00	0,00	0,90
61	1,30	1,50	0,00	0,00	0,00	0,90	0,00
62	1,30	1,50	0,00	0,00	0,90	0,00	0,00
63	1,30	1,50	0,00	0,90	0,00	0,00	0,00
64	1,30	1,50	0,75	0,00	0,00	0,00	0,00
65	1,30	1,50	0,75	0,00	0,00	0,00	0,90
66	1,30	1,50	0,75	0,00	0,00	0,90	0,00
67	1,30	1,50	0,75	0,00	0,90	0,00	0,00
68	1,30	1,50	0,75	0,90	0,00	0,00	0,00
69	1,30	0,80	1,50	0,00	0,00	0,00	0,00
70	1,30	0,80	1,50	0,00	0,00	0,00	0,90
71	1,30	0,80	1,50	0,00	0,00	0,90	0,00
72	1,30	0,80	1,50	0,00	0,90	0,00	0,00
73	1,30	0,80	1,50	0,90	0,00	0,00	0,00
74	1,30	1,50	1,50	0,00	0,00	0,00	0,00

SLU: Non Sismica - Strutturale senza azioni geotecniche

Id_{Comb}	CC 01 Carico Permanente	CC 02 Permanenti NON Strutturali	CC 03 Carico da Neve <= 1000 m s.l.m.	CC 04 Pressione del Vento (+X)	CC 05 Pressione del Vento (-X)	CC 06 Pressione del Vento (+Y)	CC 07 Pressione del Vento (-Y)
75	1,30	1,50	1,50	0,00	0,00	0,00	0,90
76	1,30	1,50	1,50	0,00	0,00	0,90	0,00
77	1,30	1,50	1,50	0,00	0,90	0,00	0,00
78	1,30	1,50	1,50	0,90	0,00	0,00	0,00
79	1,30	0,80	0,00	1,50	0,00	0,00	0,00
80	1,30	0,80	0,75	1,50	0,00	0,00	0,00
81	1,30	1,50	0,00	1,50	0,00	0,00	0,00
82	1,30	1,50	0,75	1,50	0,00	0,00	0,00
83	1,30	0,80	0,00	0,00	1,50	0,00	0,00
84	1,30	0,80	0,75	0,00	1,50	0,00	0,00
85	1,30	1,50	0,00	0,00	1,50	0,00	0,00
86	1,30	1,50	0,75	0,00	1,50	0,00	0,00
87	1,30	0,80	0,00	0,00	0,00	1,50	0,00
88	1,30	0,80	0,75	0,00	0,00	1,50	0,00
89	1,30	1,50	0,00	0,00	0,00	1,50	0,00
90	1,30	1,50	0,75	0,00	0,00	1,50	0,00
91	1,30	0,80	0,00	0,00	0,00	0,00	1,50
92	1,30	0,80	0,75	0,00	0,00	0,00	1,50
93	1,30	1,50	0,00	0,00	0,00	0,00	1,50
94	1,30	1,50	0,75	0,00	0,00	0,00	1,50

LEGENDA:

Id_{Comb} Numero identificativo della Combinazione di Carico.
CC Identificativo della tipologia di carico nella relativa tabella.
 CC 01= Carico Permanente
 CC 02= Permanenti NON Strutturali
 CC 03= Carico da Neve <= 1000 m s.l.m.
 CC 04= Pressione del Vento (+X)
 CC 05= Pressione del Vento (-X)
 CC 06= Pressione del Vento (+Y)
 CC 07= Pressione del Vento (-Y)

SLU: Sismica - Strutturale senza azioni geotecniche

SLU: Sismica - Strutturale senza azioni geotecniche

Id_{Comb}	CC 01 Carico Permanente	CC 02 Permanenti NON Strutturali	CC 03 Carico da Neve <= 1000 m s.l.m.	CC 04 Pressione del Vento (+X)	CC 05 Pressione del Vento (-X)	CC 06 Pressione del Vento (+Y)	CC 07 Pressione del Vento (-Y)
01	1,00	1,00	0,00	0,00	0,00	0,00	0,00

LEGENDA:

Id_{Comb} Numero identificativo della Combinazione di Carico.
CC Identificativo della tipologia di carico nella relativa tabella.
 CC 01= Carico Permanente
 CC 02= Permanenti NON Strutturali
 CC 03= Carico da Neve <= 1000 m s.l.m.
 CC 04= Pressione del Vento (+X)
 CC 05= Pressione del Vento (-X)
 CC 06= Pressione del Vento (+Y)
 CC 07= Pressione del Vento (-Y)

COMBINAZIONI SISMICHE

Alle combinazioni riportate nella precedente tabella è stato aggiunto l'effetto del sisma. L'azione sismica è stata considerata come caratterizzata da tre componenti traslazionali lungo i tre assi globali X, Y e Z; la risposta della struttura è stata calcolata separatamente per i tre effetti e quindi combinata secondo la seguente espressione simbolica:

$$\alpha = \alpha_i + 0,3 \cdot \alpha_{ii} + 0,3 \cdot \alpha_{iii}$$

con α effetto totale dell'azione sismica, α_i , α_{ii} e α_{iii} azioni sismiche nelle tre direzioni. E' stata effettuata una rotazione degli indici e dei segni, per cui le combinazioni totali generate sono le:

(con α'_p sollecitazione dovuta alla combinazione delle condizioni statiche e α sollecitazione dovuta al sisma; in particolare α_x , α_y , α_z , α_{ex} , α_{ey} sono rispettivamente le sollecitazioni dovute al sisma agente in direzione x, in direzioni y, in direzione z, per eccentricità accidentale positiva in direzione x e per eccentricità accidentale positiva in direzione y)

- 3) $\alpha'_p + (\alpha_x + \alpha_{ex}) + 0,3 \cdot (\alpha_y + \alpha_{ey}) - 0,3 \cdot \alpha_z$; 4) $\alpha'_p + (\alpha_x + \alpha_{ex}) - 0,3 \cdot (\alpha_y + \alpha_{ey}) - 0,3 \cdot \alpha_z$;
- 5) $\alpha'_p + (\alpha_x + \alpha_{ex}) + 0,3 \cdot (\alpha_y - \alpha_{ey}) + 0,3 \cdot \alpha_z$; 6) $\alpha'_p + (\alpha_x + \alpha_{ex}) - 0,3 \cdot (\alpha_y - \alpha_{ey}) + 0,3 \cdot \alpha_z$;
- 7) $\alpha'_p + (\alpha_x + \alpha_{ex}) + 0,3 \cdot (\alpha_y - \alpha_{ey}) - 0,3 \cdot \alpha_z$; 8) $\alpha'_p + (\alpha_x + \alpha_{ex}) - 0,3 \cdot (\alpha_y - \alpha_{ey}) - 0,3 \cdot \alpha_z$;
- 9) $\alpha'_p + (\alpha_x - \alpha_{ex}) + 0,3 \cdot (\alpha_y + \alpha_{ey}) + 0,3 \cdot \alpha_z$; 10) $\alpha'_p + (\alpha_x - \alpha_{ex}) - 0,3 \cdot (\alpha_y + \alpha_{ey}) + 0,3 \cdot \alpha_z$;
- 11) $\alpha'_p + (\alpha_x - \alpha_{ex}) + 0,3 \cdot (\alpha_y + \alpha_{ey}) - 0,3 \cdot \alpha_z$; 12) $\alpha'_p + (\alpha_x - \alpha_{ex}) - 0,3 \cdot (\alpha_y + \alpha_{ey}) - 0,3 \cdot \alpha_z$;
- 13) $\alpha'_p + (\alpha_x - \alpha_{ex}) + 0,3 \cdot (\alpha_y - \alpha_{ey}) + 0,3 \cdot \alpha_z$; 14) $\alpha'_p + (\alpha_x - \alpha_{ex}) - 0,3 \cdot (\alpha_y - \alpha_{ey}) + 0,3 \cdot \alpha_z$;
- 15) $\alpha'_p + (\alpha_x - \alpha_{ex}) + 0,3 \cdot (\alpha_y - \alpha_{ey}) - 0,3 \cdot \alpha_z$; 16) $\alpha'_p + (\alpha_x - \alpha_{ex}) - 0,3 \cdot (\alpha_y - \alpha_{ey}) - 0,3 \cdot \alpha_z$;
- 17) $\alpha'_p + (\alpha_y + \alpha_{ey}) + 0,3 \cdot (\alpha_x + \alpha_{ex}) + 0,3 \cdot \alpha_z$; 18) $\alpha'_p + (\alpha_y + \alpha_{ey}) - 0,3 \cdot (\alpha_x + \alpha_{ex}) + 0,3 \cdot \alpha_z$;
- 19) $\alpha'_p + (\alpha_y + \alpha_{ey}) + 0,3 \cdot (\alpha_x + \alpha_{ex}) - 0,3 \cdot \alpha_z$; 20) $\alpha'_p + (\alpha_y + \alpha_{ey}) - 0,3 \cdot (\alpha_x + \alpha_{ex}) - 0,3 \cdot \alpha_z$;
- 21) $\alpha'_p + (\alpha_y + \alpha_{ey}) + 0,3 \cdot (\alpha_x - \alpha_{ex}) + 0,3 \cdot \alpha_z$; 22) $\alpha'_p + (\alpha_y + \alpha_{ey}) - 0,3 \cdot (\alpha_x - \alpha_{ex}) + 0,3 \cdot \alpha_z$;
- 23) $\alpha'_p + (\alpha_y + \alpha_{ey}) + 0,3 \cdot (\alpha_x - \alpha_{ex}) - 0,3 \cdot \alpha_z$; 24) $\alpha'_p + (\alpha_y + \alpha_{ey}) - 0,3 \cdot (\alpha_x - \alpha_{ex}) - 0,3 \cdot \alpha_z$;
- 25) $\alpha'_p + (\alpha_y - \alpha_{ey}) + 0,3 \cdot (\alpha_x + \alpha_{ex}) + 0,3 \cdot \alpha_z$; 26) $\alpha'_p + (\alpha_y - \alpha_{ey}) - 0,3 \cdot (\alpha_x + \alpha_{ex}) + 0,3 \cdot \alpha_z$;
- 27) $\alpha'_p + (\alpha_y - \alpha_{ey}) + 0,3 \cdot (\alpha_x + \alpha_{ex}) - 0,3 \cdot \alpha_z$; 28) $\alpha'_p + (\alpha_y - \alpha_{ey}) - 0,3 \cdot (\alpha_x + \alpha_{ex}) - 0,3 \cdot \alpha_z$;
- 29) $\alpha'_p + (\alpha_y - \alpha_{ey}) + 0,3 \cdot (\alpha_x - \alpha_{ex}) + 0,3 \cdot \alpha_z$; 30) $\alpha'_p + (\alpha_y - \alpha_{ey}) - 0,3 \cdot (\alpha_x - \alpha_{ex}) + 0,3 \cdot \alpha_z$;

31) $\alpha'_p + (\alpha_y - \alpha_{ey}) + 0,3 \cdot (\alpha_x - \alpha_{ex}) - 0,3 \cdot \alpha_z$; 32) $\alpha'_p + (\alpha_y - \alpha_{ey}) - 0,3 \cdot (\alpha_x - \alpha_{ex}) - 0,3 \cdot \alpha_z$;
33) $\alpha'_p + \alpha_z + 0,3 \cdot (\alpha_x + \alpha_{ex}) + 0,3 \cdot (\alpha_y + \alpha_{ey})$; 34) $\alpha'_p + \alpha_z - 0,3 \cdot (\alpha_x + \alpha_{ex}) + 0,3 \cdot (\alpha_y + \alpha_{ey})$;
35) $\alpha'_p + \alpha_z + 0,3 \cdot (\alpha_x + \alpha_{ex}) - 0,3 \cdot (\alpha_y + \alpha_{ey})$; 36) $\alpha'_p + \alpha_z - 0,3 \cdot (\alpha_x + \alpha_{ex}) - 0,3 \cdot (\alpha_y + \alpha_{ey})$;
37) $\alpha'_p + \alpha_z + 0,3 \cdot (\alpha_x + \alpha_{ex}) + 0,3 \cdot (\alpha_y - \alpha_{ey})$; 38) $\alpha'_p + \alpha_z - 0,3 \cdot (\alpha_x + \alpha_{ex}) + 0,3 \cdot (\alpha_y - \alpha_{ey})$;
39) $\alpha'_p + \alpha_z + 0,3 \cdot (\alpha_x + \alpha_{ex}) - 0,3 \cdot (\alpha_y - \alpha_{ey})$; 40) $\alpha'_p + \alpha_z - 0,3 \cdot (\alpha_x + \alpha_{ex}) - 0,3 \cdot (\alpha_y - \alpha_{ey})$;
41) $\alpha'_p + \alpha_z + 0,3 \cdot (\alpha_x - \alpha_{ex}) + 0,3 \cdot (\alpha_y + \alpha_{ey})$; 42) $\alpha'_p + \alpha_z - 0,3 \cdot (\alpha_x - \alpha_{ex}) + 0,3 \cdot (\alpha_y + \alpha_{ey})$;
43) $\alpha'_p + \alpha_z + 0,3 \cdot (\alpha_x - \alpha_{ex}) - 0,3 \cdot (\alpha_y + \alpha_{ey})$; 44) $\alpha'_p + \alpha_z - 0,3 \cdot (\alpha_x - \alpha_{ex}) - 0,3 \cdot (\alpha_y + \alpha_{ey})$;
45) $\alpha'_p + \alpha_z + 0,3 \cdot (\alpha_x - \alpha_{ex}) + 0,3 \cdot (\alpha_y - \alpha_{ey})$; 46) $\alpha'_p + \alpha_z - 0,3 \cdot (\alpha_x - \alpha_{ex}) + 0,3 \cdot (\alpha_y - \alpha_{ey})$;
47) $\alpha'_p + \alpha_z + 0,3 \cdot (\alpha_x - \alpha_{ex}) - 0,3 \cdot (\alpha_y - \alpha_{ey})$; 48) $\alpha'_p + \alpha_z - 0,3 \cdot (\alpha_x - \alpha_{ex}) - 0,3 \cdot (\alpha_y - \alpha_{ey})$.

Nel caso di verifiche effettuate con sollecitazioni composte, per tenere conto del fatto che le sollecitazioni sismiche sono state ricavate come CQC delle sollecitazioni derivanti dai modi di vibrazione, dette N, Mx, My, Tx e Ty le sollecitazioni dovute al sisma, per ognuna delle combinazioni precedenti, sono state ricavate 32 combinazioni di carico permutando nel seguente modo i segni delle sollecitazioni derivanti dal sisma:

1) N, Mx, My, Tx e Ty; **2)** N, Mx, -My, Tx e Ty; **3)** N, -Mx, My, Tx e Ty; **4)** N, -Mx, -My, Tx e Ty; **5)** -N, Mx, My, Tx e Ty; **6)** -N, Mx, -My, Tx e Ty; **7)** -N, -Mx, My, Tx e Ty; **8)** -N, -Mx, -My, Tx e Ty; **9)** N, Mx, My, Tx e -Ty; **10)** N, Mx, -My, Tx e -Ty; **11)** N, -Mx, My, Tx e -Ty; **12)** N, -Mx, -My, Tx e -Ty; **13)** -N, Mx, My, Tx e -Ty; **14)** -N, Mx, -My, Tx e -Ty; **15)** -N, -Mx, My, Tx e -Ty; **16)** -N, -Mx, -My, Tx e -Ty; **17)** N, Mx, My, -Tx e Ty; **18)** N, Mx, -My, -Tx e Ty; **19)** N, -Mx, My, -Tx e Ty; **20)** N, -Mx, -My, -Tx e Ty; **21)** -N, Mx, My, -Tx e Ty; **22)** -N, Mx, -My, -Tx e Ty; **23)** -N, -Mx, My, -Tx e Ty; **24)** -N, -Mx, -My, -Tx e Ty; **25)** N, Mx, My, -Tx e -Ty; **26)** N, Mx, -My, -Tx e -Ty; **27)** N, -Mx, My, -Tx e -Ty; **28)** N, -Mx, -My, -Tx e -Ty; **29)** -N, Mx, My, -Tx e -Ty; **30)** -N, Mx, -My, -Tx e -Ty; **31)** -N, -Mx, My, -Tx e -Ty; **32)** -N, -Mx, -My, -Tx e -Ty.

SERVIZIO(SLE): Caratteristica(RARA)

Id _{Comb}	SERVIZIO(SLE): Caratteristica(RARA)						
	CC 01 Carico Permanente	CC 02 Permanenti NON Strutturali	CC 03 Carico da Neve <= 1000 m s.l.m.	CC 04 Pressione del Vento (+X)	CC 05 Pressione del Vento (-X)	CC 06 Pressione del Vento (+Y)	CC 07 Pressione del Vento (-Y)
01	1,00	1,00	0,50	0,00	0,00	0,00	0,00
02	1,00	1,00	0,50	0,00	0,00	0,00	0,60
03	1,00	1,00	0,50	0,00	0,00	0,60	0,00
04	1,00	1,00	0,50	0,00	0,60	0,00	0,00
05	1,00	1,00	0,50	0,60	0,00	0,00	0,00
06	1,00	1,00	1,00	0,00	0,00	0,00	0,00
07	1,00	1,00	1,00	0,00	0,00	0,00	0,60
08	1,00	1,00	1,00	0,00	0,00	0,60	0,00
09	1,00	1,00	1,00	0,00	0,60	0,00	0,00
10	1,00	1,00	1,00	0,60	0,00	0,00	0,00
11	1,00	1,00	0,50	1,00	0,00	0,00	0,00
12	1,00	1,00	0,50	0,00	1,00	0,00	0,00
13	1,00	1,00	0,50	0,00	0,00	1,00	0,00
14	1,00	1,00	0,50	0,00	0,00	0,00	1,00

LEGENDA:

Id_{Comb} Numero identificativo della Combinazione di Carico.
CC Identificativo della tipologia di carico nella relativa tabella.
 CC 01= Carico Permanente
 CC 02= Permanenti NON Strutturali
 CC 03= Carico da Neve <= 1000 m s.l.m.
 CC 04= Pressione del Vento (+X)
 CC 05= Pressione del Vento (-X)
 CC 06= Pressione del Vento (+Y)
 CC 07= Pressione del Vento (-Y)

SERVIZIO(SLE): Frequente

Id _{Comb}	SERVIZIO(SLE): Frequente						
	CC 01 Carico Permanente	CC 02 Permanenti NON Strutturali	CC 03 Carico da Neve <= 1000 m s.l.m.	CC 04 Pressione del Vento (+X)	CC 05 Pressione del Vento (-X)	CC 06 Pressione del Vento (+Y)	CC 07 Pressione del Vento (-Y)
01	1,00	1,00	0,00	0,00	0,00	0,00	0,00
02	1,00	1,00	0,20	0,00	0,00	0,00	0,00
03	1,00	1,00	0,00	0,20	0,00	0,00	0,00
04	1,00	1,00	0,00	0,00	0,20	0,00	0,00
05	1,00	1,00	0,00	0,00	0,00	0,20	0,00
06	1,00	1,00	0,00	0,00	0,00	0,00	0,20

LEGENDA:

Id_{Comb} Numero identificativo della Combinazione di Carico.
CC Identificativo della tipologia di carico nella relativa tabella.
 CC 01= Carico Permanente
 CC 02= Permanenti NON Strutturali
 CC 03= Carico da Neve <= 1000 m s.l.m.
 CC 04= Pressione del Vento (+X)
 CC 05= Pressione del Vento (-X)
 CC 06= Pressione del Vento (+Y)
 CC 07= Pressione del Vento (-Y)

SERVIZIO(SLE): Quasi permanente

Id _{Comb}	SERVIZIO(SLE): Quasi permanente						
	CC 01 Carico Permanente	CC 02 Permanenti NON Strutturali	CC 03 Carico da Neve <= 1000 m s.l.m.	CC 04 Pressione del Vento (+X)	CC 05 Pressione del Vento (-X)	CC 06 Pressione del Vento (+Y)	CC 07 Pressione del Vento (-Y)

Id_{Comb}	CC 01 Carico Permanente	CC 02 Permanenti NON Strutturali	CC 03 Carico da Neve <= 1000 m s.l.m.	CC 04 Pressione del Vento (+X)	CC 05 Pressione del Vento (-X)	CC 06 Pressione del Vento (+Y)	CC 07 Pressione del Vento (-Y)
01	1,00	1,00	0,00	0,00	0,00	0,00	0,00

LEGENDA:

Id_{Comb} Numero identificativo della Combinazione di Carico.
CC Identificativo della tipologia di carico nella relativa tabella.
 CC 01= Carico Permanente
 CC 02= Permanenti NON Strutturali
 CC 03= Carico da Neve <= 1000 m s.l.m.
 CC 04= Pressione del Vento (+X)
 CC 05= Pressione del Vento (-X)
 CC 06= Pressione del Vento (+Y)
 CC 07= Pressione del Vento (-Y)

DATI GENERALI ANALISI SISMICA

Dati generali analisi sismica											
Ang [°]	NV	CD	MP	Dir	TS	EcA	Ir_{Temp}	C.S.T.	RP	RH	ξ [%]
0	15	B	ac	X Y	[M] [M]	S	N	B	NO	SI	5

LEGENDA:

Ang Direzione di una componente dell'azione sismica rispetto all'asse X (sistema di riferimento globale); la seconda componente dell'azione sismica e' assunta con direzione ruotata di 90 gradi rispetto alla prima.
NV Nel caso di analisi dinamica, indica il numero di modi di vibrazione considerati.
CD Classe di duttilità: [A] = Alta - [B] = Media - [ND] = Non Dissipativa - [-] = Nessuna.
MP Tipo di struttura sismo-resistente prevalente: [ca] = calcestruzzo armato - [caOld] = calcestruzzo armato esistente - [muOld] = muratura esistente - [muNew] = muratura nuova - [muArm] = muratura armata - [ac] = acciaio.
Dir Direzione del sisma.
TS Tipologia della struttura:
 Cemento armato: [T 1C] = Telai ad una sola campata - [T+C] = Telai a più campate - [P] = Pareti accoppiate o miste equivalenti a pareti - [2P NC] = Due pareti per direzione non accoppiate - [P NC] = Pareti non accoppiate - [DT] = Deformabili torsionalmente - [PI] = Pendolo inverso - [PM] = Pendolo inverso intelaiate monopiano;
 Muratura: [P] = un solo piano - [PP] = più di un piano - [C-P/MP] = muratura in pietra e/o mattoni pieni - [C-BAS] = muratura in blocchi artificiali con percentuale di foratura > 15%;
 Acciaio: [T 1C] = Telai ad una sola campata - [T+C] = Telai a più campate - [CT] = controventi concentrici diagonale tesa - [CV] = controventi concentrici a V - [M] = mensola o pendolo inverso - [TT] = telaio con tamponature.
EcA Eccentricità accidentale: [S] = considerata come condizione di carico statica aggiuntiva - [N] = Considerata come incremento delle sollecitazioni.
Ir_{Temp} Per piani con distribuzione dei tamponamenti in pianta fortemente irregolare, l'eccentricità accidentale è stata incrementata di un fattore pari a 2: [SI] = Distribuzione tamponamenti irregolare fortemente - [NO] = Distribuzione tamponamenti regolare.
C.S.T. Categoria di sottosuolo: [A] = Ammassi rocciosi affioranti o terreni molto rigidi - [B] = Rocce tenere e depositi di terreni a grana grossa molto addensati o terreni a grana fina molto consistenti - [C] = Depositi di terreni a grana grossa mediamente addensati o terreni a grana fina mediamente consistenti - [D] = Depositi di terreni a grana grossa scarsamente addensati o di terreni a grana fina scarsamente consistenti - [E] = Terreni con caratteristiche e valori di velocità equivalente riconducibili a quelle definite per le categorie C o D.
RP Regolarità in pianta: [SI] = Struttura regolare - [NO] = Struttura non regolare.
RH Regolarità in altezza: [SI] = Struttura regolare - [NO] = Struttura non regolare.
ξ Coefficiente viscoso equivalente.
NOTE [-] = Parametro non significativo per il tipo di calcolo effettuato.

DATI GENERALI ANALISI SISMICA - FATTORI DI COMPORTAMENTO

Dir	Fattori di comportamento						
	q'	q	q₀	k_R	α_u/α₁	K_w	
X	-	2,000	2,00	1,00	1,00	-	
Y	-	2,000	2,00	1,00	1,00	-	
Z	-	1,500	-	-	-	-	

LEGENDA:

q' Fattore di riduzione dello spettro di risposta sismico allo SLU ridotto (Fattore di comportamento ridotto - relazione C7.3.1 circolare NTC)
q Fattore di riduzione dello spettro di risposta sismico allo SLU (Fattore di comportamento).
q₀ Valore di base (comprensivo di K_w).
k_R Fattore riduttivo funzione della regolarità in altezza: pari ad 1 per costruzioni regolari in altezza, 0,8 per costruzioni non regolari in altezza, e 0,75 per costruzioni in muratura esistenti non regolari in altezza (§ C8.5.5.1).
α_u/α₁ Rapporto di sovrarresistenza.
K_w Fattore di riduzione di q₀.

Stato Limite	T_r [t]	a_g/g	Amplif. Stratigrafica		F₀	T[*]_c [s]	T_B [s]	T_C [s]	T_D [s]
			S_s	C_c					
SLO	30	0,0433	1,200	1,409	2,481	0,290	0,136	0,409	1,773
SLD	50	0,0542	1,200	1,374	2,553	0,329	0,151	0,452	1,817
SLV	475	0,1328	1,200	1,296	2,615	0,440	0,190	0,570	2,131
SLC	975	0,1715	1,200	1,290	2,615	0,450	0,194	0,581	2,286

LEGENDA:

T_r Periodo di ritorno dell'azione sismica. [t] = anni.
a_g/g Coefficiente di accelerazione al suolo.
S_s Coefficienti di Amplificazione Stratigrafica allo SLO/SLD/SLV/SLC.
C_c Coefficienti di Amplificazione di T_c allo SLO/SLD/SLV/SLC.
F₀ Valore massimo del fattore di amplificazione dello spettro in accelerazione orizzontale.
T^{*}_c Periodo di inizio del tratto a velocità costante dello spettro in accelerazione orizzontale.

Stato Limite	T _r	a _g /g	Amplif. Stratigrafica		F ₀	T [*] _c	T _B	T _C	T _D
			S _s	C _c					
	[t]					[s]	[s]	[s]	[s]
T _B	Periodo di inizio del tratto accelerazione costante dello spettro di progetto.								
T _C	Periodo di inizio del tratto a velocità costante dello spettro di progetto.								
T _D	Periodo di inizio del tratto a spostamento costante dello spettro di progetto.								

Cl Ed	V _N	V _R	Lat.	Long.	Q _g	CTop	S _T
	[t]	[t]	[°ssdc]	[°ssdc]	[m]		
2	50	50	41.394943	15.766756	33	T1	1,00

LEGENDA:

- Cl Ed** Classe dell'edificio
Lat. Latitudine geografica del sito.
Long. Longitudine geografica del sito.
Q_g Altitudine geografica del sito.
CTop Categoria topografica (Vedi NOTE).
S_T Coefficiente di amplificazione topografica.
NOTE [-] = Parametro non significativo per il tipo di calcolo effettuato.
 Categoria topografica.
 T1: Superficie pianeggiante, pendii e rilievi isolati con inclinazione media $i \leq 15^\circ$.
 T2: Pendii con inclinazione media $i > 15^\circ$.
 T3: Rilievi con larghezza in cresta molto minore che alla base e inclinazione media $15^\circ \leq i \leq 30^\circ$.
 T4: Rilievi con larghezza in cresta molto minore che alla base e inclinazione media $i > 30^\circ$.

PRINCIPALI ELEMENTI ANALISI SISMICA

Dir	M _{Str}	M _{SLU}	M _{Ecc,SLU}	M _{SLD}	M _{Ecc,SLD}	%T.M _{Ecc}	ΣV _{Ed,SLU}
	[N-s ² /m]	[N-s ² /m]	[N-s ² /m]	[N-s ² /m]	[N-s ² /m]	[%]	[N]
X	67 644	52 296	7 905	52 296	7 905	15,11	105 284
Y	67 644	52 296	8 096	52 296	8 096	15,48	106 392
Z	67 644	0	0	0	0	100,00	0

LEGENDA:

- Dir** Direzione del sisma.
M_{Str} Massa complessiva della struttura.
M_{SLU} Massa eccitabile allo SLU.
M_{Ecc,SLU} Massa Eccitata dal sisma allo SLU.
M_{SLD} Massa eccitabile della struttura allo SLD, nelle direzioni X, Y, Z.
M_{Ecc,SLD} Massa Eccitata dal sisma allo SLD.
%T.M_{Ecc} Percentuale Totale di Masse Eccitate dal sisma.
ΣV_{Ed,SLU} Tagliante totale, alla base, per sisma allo SLU.

RIEPILOGO MODI DI VIBRAZIONE MODI DI VIBRAZIONE N.15

Sptr	T	a _{g,o}	a _{g,v}	Γ	CM	%M.M	M _{Ecc}
	[s]	[m/s ²]	[m/s ²]			[%]	[N-s ² /m]
Modo Vibrazione n. 1							
SLU-X	0,186	2,034	0,000	-0,985	-0,0009	0,00	1
SLU-Y	0,186	2,034	0,000	89,967	0,0792	15,48	8 094
SLU-Z	0,000	0,000	0,641	0,000	0,0000	0,00	0
SLD-X	0,186	1,630	0,000	-0,985	-0,0009	0,00	1
SLD-Y	0,186	1,630	0,000	89,967	0,0792	15,48	8 094
SLD-Z	0,000	0,000	0,167	0,000	0,0000	0,00	0
Elast-X	-	1,630	0,000	-	-	-	-
Elast-Y	-	1,630	0,000	-	-	-	-
Elast-Z	-	0,000	0,641	-	-	-	-
Modo Vibrazione n. 2							
SLU-X	0,178	2,013	0,000	71,939	0,0578	9,90	5 175
SLU-Y	0,178	2,013	0,000	1,156	0,0009	0,00	1
SLU-Z	0,000	0,000	0,641	0,000	0,0000	0,00	0
SLD-X	0,178	1,630	0,000	71,939	0,0578	9,90	5 175
SLD-Y	0,178	1,630	0,000	1,156	0,0009	0,00	1
SLD-Z	0,000	0,000	0,167	0,000	0,0000	0,00	0
Elast-X	-	1,630	0,000	-	-	-	-
Elast-Y	-	1,630	0,000	-	-	-	-
Elast-Z	-	0,000	0,641	-	-	-	-
Modo Vibrazione n. 3							
SLU-X	0,152	1,947	0,000	-29,162	-0,0170	1,63	850
SLU-Y	0,152	1,947	0,000	-0,104	-0,0001	0,00	0
SLU-Z	0,000	0,000	0,641	0,000	0,0000	0,00	0
SLD-X	0,152	1,627	0,000	-29,162	-0,0170	1,63	850
SLD-Y	0,152	1,627	0,000	-0,104	-0,0001	0,00	0
SLD-Z	0,000	0,000	0,167	0,000	0,0000	0,00	0
Elast-X	-	1,627	0,000	-	-	-	-
Elast-Y	-	1,627	0,000	-	-	-	-
Elast-Z	-	0,000	0,641	-	-	-	-
Modo Vibrazione n. 4							
SLU-X	0,273	2,044	0,000	-28,248	-0,0532	1,53	798
SLU-Y	0,273	2,044	0,000	0,082	0,0002	0,00	0
SLU-Z	0,000	0,000	0,641	0,000	0,0000	0,00	0
SLD-X	0,273	1,630	0,000	-28,248	-0,0532	1,53	798
SLD-Y	0,273	1,630	0,000	0,082	0,0002	0,00	0
SLD-Z	0,000	0,000	0,167	0,000	0,0000	0,00	0
Elast-X	-	1,630	0,000	-	-	-	-

Sptr	T	a _{g,o}	a _{g,v}	Γ	CM	%M.M	M _{Ecc}
Elast-Y	-	1,630	0,000	-	-	-	-
Elast-Z	-	0,000	0,641	-	-	-	-
Modo Vibrazione n. 5							
SLU-X	0,154	1,953	0,000	27,252	0,0164	1,42	743
SLU-Y	0,154	1,953	0,000	0,092	0,0001	0,00	0
SLU-Z	0,000	0,000	0,641	0,000	0,0000	0,00	0
SLD-X	0,154	1,628	0,000	27,252	0,0164	1,42	743
SLD-Y	0,154	1,628	0,000	0,092	0,0001	0,00	0
SLD-Z	0,000	0,000	0,167	0,000	0,0000	0,00	0
Elast-X	-	1,628	0,000	-	-	-	-
Elast-Y	-	1,628	0,000	-	-	-	-
Elast-Z	-	0,000	0,641	-	-	-	-
Modo Vibrazione n. 6							
SLU-X	0,222	2,044	0,000	-12,080	-0,0151	0,28	146
SLU-Y	0,222	2,044	0,000	0,022	0,0000	0,00	0
SLU-Z	0,000	0,000	0,641	0,000	0,0000	0,00	0
SLD-X	0,222	1,630	0,000	-12,080	-0,0151	0,28	146
SLD-Y	0,222	1,630	0,000	0,022	0,0000	0,00	0
SLD-Z	0,000	0,000	0,167	0,000	0,0000	0,00	0
Elast-X	-	1,630	0,000	-	-	-	-
Elast-Y	-	1,630	0,000	-	-	-	-
Elast-Z	-	0,000	0,641	-	-	-	-
Modo Vibrazione n. 7							
SLU-X	0,267	2,044	0,000	-7,987	-0,0144	0,12	64
SLU-Y	0,267	2,044	0,000	0,025	0,0000	0,00	0
SLU-Z	0,000	0,000	0,641	0,000	0,0000	0,00	0
SLD-X	0,267	1,630	0,000	-7,987	-0,0144	0,12	64
SLD-Y	0,267	1,630	0,000	0,025	0,0000	0,00	0
SLD-Z	0,000	0,000	0,167	0,000	0,0000	0,00	0
Elast-X	-	1,630	0,000	-	-	-	-
Elast-Y	-	1,630	0,000	-	-	-	-
Elast-Z	-	0,000	0,641	-	-	-	-
Modo Vibrazione n. 8							
SLU-X	0,143	1,924	0,000	6,453	0,0033	0,08	42
SLU-Y	0,143	1,924	0,000	0,018	0,0000	0,00	0
SLU-Z	0,000	0,000	0,641	0,000	0,0000	0,00	0
SLD-X	0,143	1,578	0,000	6,453	0,0033	0,08	42
SLD-Y	0,143	1,578	0,000	0,018	0,0000	0,00	0
SLD-Z	0,000	0,000	0,167	0,000	0,0000	0,00	0
Elast-X	-	1,578	0,000	-	-	-	-
Elast-Y	-	1,578	0,000	-	-	-	-
Elast-Z	-	0,000	0,641	-	-	-	-
Modo Vibrazione n. 9							
SLU-X	0,113	1,850	0,000	-4,987	-0,0016	0,05	25
SLU-Y	0,113	1,850	0,000	0,012	0,0000	0,00	0
SLU-Z	0,000	0,000	0,641	0,000	0,0000	0,00	0
SLD-X	0,113	1,384	0,000	-4,987	-0,0016	0,05	25
SLD-Y	0,113	1,384	0,000	0,012	0,0000	0,00	0
SLD-Z	0,000	0,000	0,167	0,000	0,0000	0,00	0
Elast-X	-	1,384	0,000	-	-	-	-
Elast-Y	-	1,384	0,000	-	-	-	-
Elast-Z	-	0,000	0,641	-	-	-	-
Modo Vibrazione n. 10							
SLU-X	0,126	1,880	0,000	-3,621	-0,0014	0,03	13
SLU-Y	0,126	1,880	0,000	0,000	0,0000	0,00	0
SLU-Z	0,000	0,000	0,641	0,000	0,0000	0,00	0
SLD-X	0,126	1,465	0,000	-3,621	-0,0014	0,03	13
SLD-Y	0,126	1,465	0,000	0,000	0,0000	0,00	0
SLD-Z	0,000	0,000	0,167	0,000	0,0000	0,00	0
Elast-X	-	1,465	0,000	-	-	-	-
Elast-Y	-	1,465	0,000	-	-	-	-
Elast-Z	-	0,000	0,641	-	-	-	-
Modo Vibrazione n. 11							
SLU-X	0,131	1,894	0,000	-3,541	-0,0015	0,02	13
SLU-Y	0,131	1,894	0,000	-0,016	0,0000	0,00	0
SLU-Z	0,000	0,000	0,641	0,000	0,0000	0,00	0
SLD-X	0,131	1,500	0,000	-3,541	-0,0015	0,02	13
SLD-Y	0,131	1,500	0,000	-0,016	0,0000	0,00	0
SLD-Z	0,000	0,000	0,167	0,000	0,0000	0,00	0
Elast-X	-	1,500	0,000	-	-	-	-
Elast-Y	-	1,500	0,000	-	-	-	-
Elast-Z	-	0,000	0,641	-	-	-	-
Modo Vibrazione n. 12							
SLU-X	0,258	2,044	0,000	-3,334	-0,0056	0,02	11
SLU-Y	0,258	2,044	0,000	0,013	0,0000	0,00	0
SLU-Z	0,000	0,000	0,641	0,000	0,0000	0,00	0
SLD-X	0,258	1,630	0,000	-3,334	-0,0056	0,02	11
SLD-Y	0,258	1,630	0,000	0,013	0,0000	0,00	0
SLD-Z	0,000	0,000	0,167	0,000	0,0000	0,00	0
Elast-X	-	1,630	0,000	-	-	-	-
Elast-Y	-	1,630	0,000	-	-	-	-
Elast-Z	-	0,000	0,641	-	-	-	-
Modo Vibrazione n. 13							
SLU-X	0,117	1,860	0,000	-3,009	-0,0011	0,02	9
SLU-Y	0,117	1,860	0,000	-0,006	0,0000	0,00	0
SLU-Z	0,000	0,000	0,641	0,000	0,0000	0,00	0
SLD-X	0,117	1,411	0,000	-3,009	-0,0011	0,02	9
SLD-Y	0,117	1,411	0,000	-0,006	0,0000	0,00	0

Sptr	T	a _{g,o}	a _{g,v}	Γ	CM	%M.M	M _{Ecc}
SLD-Z	0,000	0,000	0,167	0,000	0,0000	0,00	0
Elast-X	-	1,411	0,000	-	-	-	-
Elast-Y	-	1,411	0,000	-	-	-	-
Elast-Z	-	0,000	0,641	-	-	-	-
Modo Vibrazione n. 14							
SLU-X	0,145	1,929	0,000	-2,838	-0,0015	0,02	8
SLU-Y	0,145	1,929	0,000	-0,011	0,0000	0,00	0
SLU-Z	0,000	0,000	0,641	0,000	0,0000	0,00	0
SLD-X	0,145	1,592	0,000	-2,838	-0,0015	0,02	8
SLD-Y	0,145	1,592	0,000	-0,011	0,0000	0,00	0
SLD-Z	0,000	0,000	0,167	0,000	0,0000	0,00	0
Elast-X	-	1,592	0,000	-	-	-	-
Elast-Y	-	1,592	0,000	-	-	-	-
Elast-Z	-	0,000	0,641	-	-	-	-
Modo Vibrazione n. 15							
SLU-X	0,185	2,030	0,000	-2,598	-0,0022	0,01	7
SLU-Y	0,185	2,030	0,000	-1,002	-0,0009	0,00	1
SLU-Z	0,000	0,000	0,641	0,000	0,0000	0,00	0
SLD-X	0,185	1,630	0,000	-2,598	-0,0022	0,01	7
SLD-Y	0,185	1,630	0,000	-1,002	-0,0009	0,00	1
SLD-Z	0,000	0,000	0,167	0,000	0,0000	0,00	0
Elast-X	-	1,630	0,000	-	-	-	-
Elast-Y	-	1,630	0,000	-	-	-	-
Elast-Z	-	0,000	0,641	-	-	-	-

LEGENDA:

- Sptr** Spettro di risposta considerato.
T Periodo del Modo di vibrazione.
a_{g,o} Valore dell'Accelerazione Spettrale Orizzontale, riferita al corrispondente periodo.
a_{g,v} Valore dell'Accelerazione Spettrale Verticale, riferita al corrispondente periodo.
Γ Coefficiente di partecipazione.
CM Coefficiente modale del modo di vibrazione.
%M.M Percentuale di mobilitazione delle masse nel modo di vibrazione.
M_{Ecc} Massa Eccitata nel modo di vibrazione.
SLU-X Spettro di progetto allo S.L. Ultimo per sisma in direzione X.
SLU-Y Spettro di progetto allo S.L. Ultimo per sisma in direzione Y.
SLU-Z Spettro di progetto allo S.L. Ultimo per sisma in direzione Z.
SLD-X Spettro di progetto allo S.L. di Danno per sisma in direzione X.
SLD-Y Spettro di progetto allo S.L. di Danno per sisma in direzione Y.
SLD-Z Spettro di progetto allo S.L. di Danno per sisma in direzione Z.
Elast-X Spettro Elastico per sisma in direzione X.
Elast-Y Spettro Elastico per sisma in direzione Y.
Elast-Z Spettro Elastico per sisma in direzione Z.

LIVELLI O PIANI

Id _{Lv}	Descrizione	Z _{Lv} [m]	H _{Lv} [m]	Q _{ex,lv} [m]	PR	Rd _{Temp}	Massa del piano			Dir	G _{st} [m]	G _{SLU} [m]	G _{SLD} [m]	R _{SLU} [m]
							M _{L,Str}	M _{L,SLU}	M _{L,SLD}					
							[N·s ² /m]	[N·s ² /m]	[N·s ² /m]					
01	Piano Terra	0,00	2,35	2,35	NO	NO	22 812	7 441	7 441	X	0,00	0,00	0,00	0,00
										Y	19,80	19,80	19,80	19,80
02	Fondazione	0,00		0,00	NO	NO	44 817	44 817	44 817	X	-4,22	-4,22	-4,22	-
										Y	19,77	19,77	19,77	-

LEGENDA:

- Id_{Lv}** Numero identificativo del livello o piano.
Z_{Lv} Quota di calpestio del livello o piano, relativa al sistema di riferimento globale X, Y, Z.
H_{Lv} Altezza del livello o piano.
Q_{ex,lv} Quota dell'estradosso dell'impalcato del livello o piano.
PR Indica se l'impalcato (orizzontale) è considerato rigido nel calcolo: [SI] = Piano Rigido - [NO] = Piano non Rigido.
 In alternativa vedere tabella "Solai e Balconi" in quanto il comportamento rigido potrebbe essere stato assegnato ai singoli solai del livello.
Rd_{Temp} Per i piani con riduzione dei tamponamenti, sono state incrementate le azioni di calcolo per gli elementi verticali (pilastri e pareti) di un fattore 1,4: [SI] = Piano con riduzione dei tamponamenti - [NO] = Piano senza riduzione dei tamponamenti.
M_{L,Str} Massa del piano valutata in condizioni statiche.
M_{L,SLU} Massa del piano valutata allo SLU.
M_{L,SLD} Massa del piano valutata allo SLD.
G_{st} Coordinate del baricentro delle masse, valutate in condizioni statiche.
G_{SLU} Coordinate del baricentro delle masse, valutate per SLU.
G_{SLD} Coordinate del baricentro delle masse, valutate per SLD.
R_{SLU} Coordinate del baricentro delle rigidezze, valutate per SLU.

TRAVI IN ELEVAZIONE

Id _{Tr}	L _{L1} [m]	Sezione			V. Int.		Stz	Note	M _t r _l	AA /C IS	Nd i	Nd f	Dis- j	Q _{LL1}			Clc Fnd	Pr/ Sc	
		Id _{Sz}	TP	Label	Rtz	Iniz.								Fin.	Iniz.	Fin.			Fin.
					[°ssdc]										[m]	[m]			[m]
Piano Terra																			
Travata: Piano Terra																			
Trave Acciaio 134a-137a	1,00	002	□	200x200x5.0	0,00	S;S;S;S;S;S	S;S;S;S;S;S	-		00 3	-	02 09	01 69	1,00	2,25	2,25	NO	-	
Trave Acciaio 25a-2	1,10	002	□	200x200x5.0	0,00	S;S;S;S;S;S	S;S;S;S;S;S	-		00 3	-	02 04	01 03	1,10	2,25	2,25	NO	-	
Trave Acciaio 109a-6	0,90	002	□	200x200x5.0	0,00	S;S;S;S;S;S	S;S;S;S;S;S	-		00 3	-	01 98	01 08	0,90	2,25	2,25	NO	-	
Trave Acciaio 6a-7a	2,38	003	┘	40x150x80x4.0	0,00	S;S;S;S;S;S	S;S;S;S;S;S	-	elemento a sbalzo	00 3	-	01 01	01 96	2,38	2,43	2,43	NO	-	

Id _{Tr}	L _{Li}	Id _{Sz}	Tp	Sezione		V. Int.		Stz	Note	Mt rl	AA /C IS	Nd i	Nd f	Dis- j	Travi in elevazione			Clc Fnd	Pr/ Sc
				Label	Rtz	Iniz.	Fin.								Q _{LLT}				
															Iniz	Fin.	Fin.		
[m]	[m]	[m]	[m]	[m]	[m]	[m]	[m]	[m]	[m]	[m]	[m]	[m]	[m]	[m]	[m]	[m]	[m]		
Trave Acciaio 3a-4a	2,38	003	⊥	40x150x80x4.0	0,00	S;S;S;S;S;S	S;S;S;S;S;S	-	elemento a sbalzo	003	-	0108	0013	2,38	2,43	2,43	NO	-	
Trave Acciaio 10a-11a	2,38	003	⊥	40x150x80x4.0	0,00	S;S;S;S;S;S	S;S;S;S;S;S	-	elemento a sbalzo	003	-	0208	0015	2,38	2,43	2,43	NO	-	
Trave Acciaio 13a-14a	2,38	003	⊥	40x150x80x4.0	0,00	S;S;S;S;S;S	S;S;S;S;S;S	-	elemento a sbalzo	003	-	0207	0017	2,38	2,43	2,43	NO	-	
Trave Acciaio 16a-17a	2,38	003	⊥	40x150x80x4.0	0,00	S;S;S;S;S;S	S;S;S;S;S;S	-	elemento a sbalzo	003	-	0206	0019	2,38	2,43	2,43	NO	-	
Trave Acciaio 19a-20a	2,38	003	⊥	40x150x80x4.0	0,00	S;S;S;S;S;S	S;S;S;S;S;S	-	elemento a sbalzo	003	-	0205	0021	2,38	2,43	2,43	NO	-	
Trave Acciaio 22a-23a	2,38	003	⊥	40x150x80x4.0	0,00	S;S;S;S;S;S	S;S;S;S;S;S	-	elemento a sbalzo	003	-	0203	0023	2,38	2,43	2,43	NO	-	
Trave Acciaio 25a-26a	2,38	003	⊥	40x150x80x4.0	0,00	S;S;S;S;S;S	S;S;S;S;S;S	-	elemento a sbalzo	003	-	0204	0025	2,38	2,43	2,43	NO	-	
Trave Acciaio 2-28a	2,38	003	⊥	40x150x80x4.0	0,00	S;S;S;S;S;S	S;S;S;S;S;S	-	elemento a sbalzo	003	-	0003	0027	2,38	2,43	2,43	NO	-	
Trave Acciaio 31a-32a	2,38	003	⊥	40x150x80x4.0	0,00	S;S;S;S;S;S	S;S;S;S;S;S	-	elemento a sbalzo	003	-	0195	0029	2,38	2,43	2,43	NO	-	
Trave Acciaio 34a-35a	2,38	003	⊥	40x150x80x4.0	0,00	S;S;S;S;S;S	S;S;S;S;S;S	-	elemento a sbalzo	003	-	0194	0031	2,38	2,43	2,43	NO	-	
Trave Acciaio 37a-38a	2,38	003	⊥	40x150x80x4.0	0,00	S;S;S;S;S;S	S;S;S;S;S;S	-	elemento a sbalzo	003	-	0193	0033	2,38	2,43	2,43	NO	-	
Trave Acciaio 40a-41a	2,38	003	⊥	40x150x80x4.0	0,00	S;S;S;S;S;S	S;S;S;S;S;S	-	elemento a sbalzo	003	-	0192	0035	2,38	2,43	2,43	NO	-	
Trave Acciaio 43a-44a	2,38	003	⊥	40x150x80x4.0	0,00	S;S;S;S;S;S	S;S;S;S;S;S	-	elemento a sbalzo	003	-	0190	0037	2,38	2,43	2,43	NO	-	
Trave Acciaio 46a-47a	2,38	003	⊥	40x150x80x4.0	0,00	S;S;S;S;S;S	S;S;S;S;S;S	-	elemento a sbalzo	003	-	0191	0039	2,38	2,43	2,43	NO	-	
Trave Acciaio 50a-51a	2,38	003	⊥	40x150x80x4.0	0,00	S;S;S;S;S;S	S;S;S;S;S;S	-	elemento a sbalzo	003	-	0189	0041	2,38	2,43	2,43	NO	-	
Trave Acciaio 53a-54a	2,38	003	⊥	40x150x80x4.0	0,00	S;S;S;S;S;S	S;S;S;S;S;S	-	elemento a sbalzo	003	-	0188	0043	2,38	2,43	2,43	NO	-	
Trave Acciaio 56a-57a	2,38	003	⊥	40x150x80x4.0	0,00	S;S;S;S;S;S	S;S;S;S;S;S	-	elemento a sbalzo	003	-	0187	0045	2,38	2,43	2,43	NO	-	
Trave Acciaio 59a-60a	2,38	003	⊥	40x150x80x4.0	0,00	S;S;S;S;S;S	S;S;S;S;S;S	-	elemento a sbalzo	003	-	0186	0047	2,38	2,43	2,43	NO	-	
Trave Acciaio 62a-63a	2,38	003	⊥	40x150x80x4.0	0,00	S;S;S;S;S;S	S;S;S;S;S;S	-	elemento a sbalzo	003	-	0185	0049	2,38	2,43	2,43	NO	-	
Trave Acciaio 65a-66a	2,38	003	⊥	40x150x80x4.0	0,00	S;S;S;S;S;S	S;S;S;S;S;S	-	elemento a sbalzo	003	-	0183	0051	2,38	2,43	2,43	NO	-	
Trave Acciaio 68a-69a	2,38	003	⊥	40x150x80x4.0	0,00	S;S;S;S;S;S	S;S;S;S;S;S	-	elemento a sbalzo	003	-	0184	0053	2,38	2,43	2,43	NO	-	
Trave Acciaio 72a-73a	2,38	003	⊥	40x150x80x4.0	0,00	S;S;S;S;S;S	S;S;S;S;S;S	-	elemento a sbalzo	003	-	0182	0055	2,38	2,43	2,43	NO	-	
Trave Acciaio 75a-76a	2,38	003	⊥	40x150x80x4.0	0,00	S;S;S;S;S;S	S;S;S;S;S;S	-	elemento a sbalzo	003	-	0181	0057	2,38	2,43	2,43	NO	-	
Trave Acciaio 78a-79a	2,38	003	⊥	40x150x80x4.0	0,00	S;S;S;S;S;S	S;S;S;S;S;S	-	elemento a sbalzo	003	-	0180	0059	2,38	2,43	2,43	NO	-	
Trave Acciaio 81a-82a	2,38	003	⊥	40x150x80x4.0	0,00	S;S;S;S;S;S	S;S;S;S;S;S	-	elemento a sbalzo	003	-	0179	0061	2,38	2,42	2,42	NO	-	
Trave Acciaio 84a-85a	2,38	003	⊥	40x150x80x4.0	0,00	S;S;S;S;S;S	S;S;S;S;S;S	-	elemento a sbalzo	003	-	0178	0063	2,38	2,43	2,43	NO	-	
Trave Acciaio 87a-88a	2,38	003	⊥	40x150x80x4.0	0,00	S;S;S;S;S;S	S;S;S;S;S;S	-	elemento a sbalzo	003	-	0176	0065	2,38	2,43	2,43	NO	-	
Trave Acciaio 90a-91a	2,38	003	⊥	40x150x80x4.0	0,00	S;S;S;S;S;S	S;S;S;S;S;S	-	elemento a sbalzo	003	-	0177	0067	2,38	2,43	2,43	NO	-	
Trave Acciaio 94a-95a	2,38	003	⊥	40x150x80x4.0	0,00	S;S;S;S;S;S	S;S;S;S;S;S	-	elemento a sbalzo	003	-	0202	0069	2,38	2,43	2,43	NO	-	
Trave Acciaio 97a-98a	2,38	003	⊥	40x150x80x4.0	0,00	S;S;S;S;S;S	S;S;S;S;S;S	-	elemento a sbalzo	003	-	0201	0071	2,38	2,43	2,43	NO	-	
Trave Acciaio 100a-101a	2,38	003	⊥	40x150x80x4.0	0,00	S;S;S;S;S;S	S;S;S;S;S;S	-	elemento a sbalzo	003	-	0200	0073	2,38	2,43	2,43	NO	-	
Trave Acciaio 103a-104a	2,38	003	⊥	40x150x80x4.0	0,00	S;S;S;S;S;S	S;S;S;S;S;S	-	elemento a sbalzo	003	-	0199	0075	2,38	2,43	2,43	NO	-	
Trave Acciaio 106a-107a	2,38	003	⊥	40x150x80x4.0	0,00	S;S;S;S;S;S	S;S;S;S;S;S	-	elemento a sbalzo	003	-	0197	0077	2,38	2,43	2,43	NO	-	
Trave Acciaio 109a-110a	2,38	003	⊥	40x150x80x4.0	0,00	S;S;S;S;S;S	S;S;S;S;S;S	-	elemento a sbalzo	003	-	0198	0079	2,38	2,42	2,42	NO	-	
Trave Acciaio 6-113a	2,38	003	⊥	40x150x80x4.0	0,00	S;S;S;S;S;S	S;S;S;S;S;S	-	elemento a sbalzo	003	-	0008	0081	2,38	2,42	2,42	NO	-	
Trave Acciaio 115a-116a	2,38	003	⊥	40x150x80x4.0	0,00	S;S;S;S;S;S	S;S;S;S;S;S	-	elemento a sbalzo	003	-	0175	0083	2,38	2,42	2,42	NO	-	
Trave Acciaio 118a-119a	2,38	003	⊥	40x150x80x4.0	0,00	S;S;S;S;S;S	S;S;S;S;S;S	-	elemento a sbalzo	003	-	0174	0085	2,38	2,42	2,42	NO	-	
Trave Acciaio 121a-122a	2,38	003	⊥	40x150x80x4.0	0,00	S;S;S;S;S;S	S;S;S;S;S;S	-	elemento a sbalzo	003	-	0173	0087	2,38	2,42	2,42	NO	-	
Trave Acciaio 124a-125a	2,38	003	⊥	40x150x80x4.0	0,00	S;S;S;S;S;S	S;S;S;S;S;S	-	elemento a sbalzo	003	-	0172	0089	2,38	2,43	2,43	NO	-	
Trave Acciaio 127a-128a	2,38	003	⊥	40x150x80x4.0	0,00	S;S;S;S;S;S	S;S;S;S;S;S	-	elemento a sbalzo	003	-	0170	0091	2,38	2,43	2,43	NO	-	
Trave Acciaio 130a-131a	2,38	003	⊥	40x150x80x4.0	0,00	S;S;S;S;S;S	S;S;S;S;S;S	-	elemento a sbalzo	003	-	0171	0093	2,38	2,43	2,43	NO	-	
Trave Acciaio 134a-135a	2,38	003	⊥	40x150x80x4.0	0,00	S;S;S;S;S;S	S;S;S;S;S;S	-	elemento a sbalzo	003	-	0209	0095	2,38	2,43	2,43	NO	-	

Id _{Tr}	L _{Li}	Sezione				V. Int.		Stz	Note	Mt rl	AA /C IS	Nd i	Nd f	Dis- j	Q _{LLI}			Clc Fnd	Pr/ Sc
		Id _{Sz}	Tp	Label	Rtz	Iniz.	Fin.								Iniz	Fin.			
																	[m]		
Trave Acciaio 137a-138a	2,38	003	⊥	40x150x80x4.0	0,00	S;S;S;S;S;S	S;S;S;S;S;S	-	elemento a sbalzo	003	-	0169	0097	2,38	2,43	2,43	NO	-	
Trave Acciaio 27a-2	2,38	003	⊥	40x150x80x4.0	0,00	S;S;S;S;S;S	S;S;S;S;S;S	-	elemento a sbalzo	003	-	0026	0003	2,38	2,43	2,43	NO	-	
Trave Acciaio 112a-6	2,38	003	⊥	40x150x80x4.0	0,00	S;S;S;S;S;S	S;S;S;S;S;S	-	elemento a sbalzo	003	-	0080	0008	2,38	2,42	2,42	NO	-	
Trave Acciaio 133a-134a	2,38	003	⊥	40x150x80x4.0	0,00	S;S;S;S;S;S	S;S;S;S;S;S	-	elemento a sbalzo	003	-	0094	0009	2,38	2,43	2,43	NO	-	
Trave Acciaio 136a-137a	2,38	003	⊥	40x150x80x4.0	0,00	S;S;S;S;S;S	S;S;S;S;S;S	-	elemento a sbalzo	003	-	0096	0069	2,38	2,43	2,43	NO	-	
Trave Acciaio 24a-25a	2,38	003	⊥	40x150x80x4.0	0,00	S;S;S;S;S;S	S;S;S;S;S;S	-	elemento a sbalzo	003	-	0024	0004	2,38	2,43	2,43	NO	-	
Trave Acciaio 108a-109a	2,38	003	⊥	40x150x80x4.0	0,00	S;S;S;S;S;S	S;S;S;S;S;S	-	elemento a sbalzo	003	-	0078	0098	2,38	2,42	2,42	NO	-	
Trave Acciaio 5a-6a	2,38	003	⊥	40x150x80x4.0	0,00	S;S;S;S;S;S	S;S;S;S;S;S	-	elemento a sbalzo	003	-	0011	0096	2,38	2,43	2,43	NO	-	
Trave Acciaio 2a-3a	2,38	003	⊥	40x150x80x4.0	0,00	S;S;S;S;S;S	S;S;S;S;S;S	-	elemento a sbalzo	003	-	0012	0068	2,38	2,43	2,43	NO	-	
Trave Acciaio 9a-10a	2,38	003	⊥	40x150x80x4.0	0,00	S;S;S;S;S;S	S;S;S;S;S;S	-	elemento a sbalzo	003	-	0014	0008	2,38	2,43	2,43	NO	-	
Trave Acciaio 12a-13a	2,38	003	⊥	40x150x80x4.0	0,00	S;S;S;S;S;S	S;S;S;S;S;S	-	elemento a sbalzo	003	-	0016	0007	2,38	2,43	2,43	NO	-	
Trave Acciaio 15a-16a	2,38	003	⊥	40x150x80x4.0	0,00	S;S;S;S;S;S	S;S;S;S;S;S	-	elemento a sbalzo	003	-	0018	0006	2,38	2,43	2,43	NO	-	
Trave Acciaio 18a-19a	2,38	003	⊥	40x150x80x4.0	0,00	S;S;S;S;S;S	S;S;S;S;S;S	-	elemento a sbalzo	003	-	0020	0005	2,38	2,43	2,43	NO	-	
Trave Acciaio 21a-22a	2,38	003	⊥	40x150x80x4.0	0,00	S;S;S;S;S;S	S;S;S;S;S;S	-	elemento a sbalzo	003	-	0022	0003	2,38	2,43	2,43	NO	-	
Trave Acciaio 30a-31a	2,38	003	⊥	40x150x80x4.0	0,00	S;S;S;S;S;S	S;S;S;S;S;S	-	elemento a sbalzo	003	-	0028	0095	2,38	2,43	2,43	NO	-	
Trave Acciaio 33a-34a	2,38	003	⊥	40x150x80x4.0	0,00	S;S;S;S;S;S	S;S;S;S;S;S	-	elemento a sbalzo	003	-	0030	0094	2,38	2,43	2,43	NO	-	
Trave Acciaio 36a-37a	2,38	003	⊥	40x150x80x4.0	0,00	S;S;S;S;S;S	S;S;S;S;S;S	-	elemento a sbalzo	003	-	0032	0093	2,38	2,43	2,43	NO	-	
Trave Acciaio 39a-40a	2,38	003	⊥	40x150x80x4.0	0,00	S;S;S;S;S;S	S;S;S;S;S;S	-	elemento a sbalzo	003	-	0034	0092	2,38	2,43	2,43	NO	-	
Trave Acciaio 42a-43a	2,38	003	⊥	40x150x80x4.0	0,00	S;S;S;S;S;S	S;S;S;S;S;S	-	elemento a sbalzo	003	-	0036	0090	2,38	2,43	2,43	NO	-	
Trave Acciaio 45a-46a	2,38	003	⊥	40x150x80x4.0	0,00	S;S;S;S;S;S	S;S;S;S;S;S	-	elemento a sbalzo	003	-	0038	0091	2,38	2,43	2,43	NO	-	
Trave Acciaio 49a-50a	2,38	003	⊥	40x150x80x4.0	0,00	S;S;S;S;S;S	S;S;S;S;S;S	-	elemento a sbalzo	003	-	0040	0089	2,38	2,43	2,43	NO	-	
Trave Acciaio 52a-53a	2,38	003	⊥	40x150x80x4.0	0,00	S;S;S;S;S;S	S;S;S;S;S;S	-	elemento a sbalzo	003	-	0042	0088	2,38	2,43	2,43	NO	-	
Trave Acciaio 55a-56a	2,38	003	⊥	40x150x80x4.0	0,00	S;S;S;S;S;S	S;S;S;S;S;S	-	elemento a sbalzo	003	-	0044	0087	2,38	2,43	2,43	NO	-	
Trave Acciaio 58a-59a	2,38	003	⊥	40x150x80x4.0	0,00	S;S;S;S;S;S	S;S;S;S;S;S	-	elemento a sbalzo	003	-	0046	0086	2,38	2,43	2,43	NO	-	
Trave Acciaio 61a-62a	2,38	003	⊥	40x150x80x4.0	0,00	S;S;S;S;S;S	S;S;S;S;S;S	-	elemento a sbalzo	003	-	0048	0085	2,38	2,43	2,43	NO	-	
Trave Acciaio 64a-65a	2,38	003	⊥	40x150x80x4.0	0,00	S;S;S;S;S;S	S;S;S;S;S;S	-	elemento a sbalzo	003	-	0050	0083	2,38	2,43	2,43	NO	-	
Trave Acciaio 67a-68a	2,38	003	⊥	40x150x80x4.0	0,00	S;S;S;S;S;S	S;S;S;S;S;S	-	elemento a sbalzo	003	-	0052	0084	2,38	2,43	2,43	NO	-	
Trave Acciaio 71a-72a	2,38	003	⊥	40x150x80x4.0	0,00	S;S;S;S;S;S	S;S;S;S;S;S	-	elemento a sbalzo	003	-	0054	0082	2,38	2,43	2,43	NO	-	
Trave Acciaio 74a-75a	2,38	003	⊥	40x150x80x4.0	0,00	S;S;S;S;S;S	S;S;S;S;S;S	-	elemento a sbalzo	003	-	0056	0081	2,38	2,43	2,43	NO	-	
Trave Acciaio 77a-78a	2,38	003	⊥	40x150x80x4.0	0,00	S;S;S;S;S;S	S;S;S;S;S;S	-	elemento a sbalzo	003	-	0058	0080	2,38	2,43	2,43	NO	-	
Trave Acciaio 80a-81a	2,38	003	⊥	40x150x80x4.0	0,00	S;S;S;S;S;S	S;S;S;S;S;S	-	elemento a sbalzo	003	-	0060	0079	2,38	2,42	2,42	NO	-	
Trave Acciaio 83a-84a	2,38	003	⊥	40x150x80x4.0	0,00	S;S;S;S;S;S	S;S;S;S;S;S	-	elemento a sbalzo	003	-	0062	0078	2,38	2,43	2,43	NO	-	
Trave Acciaio 86a-87a	2,38	003	⊥	40x150x80x4.0	0,00	S;S;S;S;S;S	S;S;S;S;S;S	-	elemento a sbalzo	003	-	0064	0076	2,38	2,43	2,43	NO	-	
Trave Acciaio 89a-90a	2,38	003	⊥	40x150x80x4.0	0,00	S;S;S;S;S;S	S;S;S;S;S;S	-	elemento a sbalzo	003	-	0066	0077	2,38	2,43	2,43	NO	-	
Trave Acciaio 93a-94a	2,38	003	⊥	40x150x80x4.0	0,00	S;S;S;S;S;S	S;S;S;S;S;S	-	elemento a sbalzo	003	-	0068	0002	2,38	2,43	2,43	NO	-	
Trave Acciaio 96a-97a	2,38	003	⊥	40x150x80x4.0	0,00	S;S;S;S;S;S	S;S;S;S;S;S	-	elemento a sbalzo	003	-	0070	0001	2,38	2,43	2,43	NO	-	
Trave Acciaio 99a-100a	2,38	003	⊥	40x150x80x4.0	0,00	S;S;S;S;S;S	S;S;S;S;S;S	-	elemento a sbalzo	003	-	0072	0000	2,38	2,43	2,43	NO	-	
Trave Acciaio 102a-103a	2,38	003	⊥	40x150x80x4.0	0,00	S;S;S;S;S;S	S;S;S;S;S;S	-	elemento a sbalzo	003	-	0074	0099	2,38	2,43	2,43	NO	-	
Trave Acciaio 105a-106a	2,38	003	⊥	40x150x80x4.0	0,00	S;S;S;S;S;S	S;S;S;S;S;S	-	elemento a sbalzo	003	-	0076	0097	2,38	2,43	2,43	NO	-	
Trave Acciaio 114a-115a	2,38	003	⊥	40x150x80x4.0	0,00	S;S;S;S;S;S	S;S;S;S;S;S	-	elemento a sbalzo	003	-	0082	0075	2,38	2,42	2,42	NO	-	
Trave Acciaio 117a-118a	2,38	003	⊥	40x150x80x4.0	0,00	S;S;S;S;S;S	S;S;S;S;S;S	-	elemento a sbalzo	003	-	0084	0074	2,38	2,42	2,42	NO	-	
Trave Acciaio 120a-121a	2,38	003	⊥	40x150x80x4.0	0,00	S;S;S;S;S;S	S;S;S;S;S;S	-	elemento a sbalzo	003	-	0086	0073	2,38	2,42	2,42	NO	-	

Id _{Tr}	L _{Li}	Sezione				V. Int.		Stz	Note	Mt rl	AA /C IS	Nd i	Nd f	Dis- j	Q _{LLI}			Clc Fnd	Pr/ Sc
		Id _{Sz}	Tp	Label	Rtz	Iniz.	Fin.								Iniz	Fin.			
																	[m]		
Trave Acciaio 123a-124a	2,38	003	┘	40x150x80x4.0	0,00	S;S;S;S;S;S	S;S;S;S;S;S	-	elemento a sbalzo	003	-	0088	0172	2,38	2,43	2,43	NO	-	
Trave Acciaio 126a-127a	2,38	003	┘	40x150x80x4.0	0,00	S;S;S;S;S;S	S;S;S;S;S;S	-	elemento a sbalzo	003	-	0090	0170	2,38	2,43	2,43	NO	-	
Trave Acciaio 129a-130a	2,38	003	┘	40x150x80x4.0	0,00	S;S;S;S;S;S	S;S;S;S;S;S	-	elemento a sbalzo	003	-	0092	0171	2,38	2,43	2,43	NO	-	
Trave Acciaio 7-134a	0,50	002	□	200x200x5.0	0,00	S;S;S;S;S;S	S;S;S;S;S;S	-		003	-	0210	0209	0,50	2,25	2,25	NO	-	
Trave Acciaio 1-10a	0,50	002	□	200x200x5.0	0,00	S;S;S;S;S;S	S;S;S;S;S;S	-		003	-	0214	0208	0,50	2,25	2,25	NO	-	
Trave Acciaio 10a-13a	1,00	002	□	200x200x5.0	0,00	S;S;S;S;S;S	S;S;S;S;S;S	-		003	-	0208	0207	1,00	2,25	2,25	NO	-	
Trave Acciaio 13a-16a	1,00	002	□	200x200x5.0	0,00	S;S;S;S;S;S	S;S;S;S;S;S	-		003	-	0207	0206	1,00	2,25	2,25	NO	-	
Trave Acciaio 16a-19a	1,00	002	□	200x200x5.0	0,00	S;S;S;S;S;S	S;S;S;S;S;S	-		003	-	0206	0205	1,00	2,25	2,25	NO	-	
Trave Acciaio 19a-22a	1,00	002	□	200x200x5.0	0,00	S;S;S;S;S;S	S;S;S;S;S;S	-		003	-	0205	0203	1,00	2,25	2,25	NO	-	
Trave Acciaio 22a-25a	1,00	002	□	200x200x5.0	0,00	S;S;S;S;S;S	S;S;S;S;S;S	-		003	-	0203	0204	1,00	2,25	2,25	NO	-	
Trave Acciaio 5-94a	0,70	002	□	200x200x5.0	0,00	S;S;S;S;S;S	S;S;S;S;S;S	-		003	-	0211	0202	0,70	2,25	2,25	NO	-	
Trave Acciaio 94a-97a	1,00	002	□	200x200x5.0	0,00	S;S;S;S;S;S	S;S;S;S;S;S	-		003	-	0202	0201	1,00	2,25	2,25	NO	-	
Trave Acciaio 97a-100a	1,00	002	□	200x200x5.0	0,00	S;S;S;S;S;S	S;S;S;S;S;S	-		003	-	0201	0200	1,00	2,25	2,25	NO	-	
Trave Acciaio 100a-103a	1,00	002	□	200x200x5.0	0,00	S;S;S;S;S;S	S;S;S;S;S;S	-		003	-	0200	0199	1,00	2,25	2,25	NO	-	
Trave Acciaio 103a-106a	1,00	002	□	200x200x5.0	0,00	S;S;S;S;S;S	S;S;S;S;S;S	-		003	-	0199	0197	1,00	2,25	2,25	NO	-	
Trave Acciaio 106a-109a	1,00	002	□	200x200x5.0	0,00	S;S;S;S;S;S	S;S;S;S;S;S	-		003	-	0197	0198	1,00	2,25	2,25	NO	-	
Trave Acciaio 3a-6a	1,00	002	□	200x200x5.0	0,00	S;S;S;S;S;S	S;S;S;S;S;S	-		003	-	0168	0196	1,00	2,25	2,25	NO	-	
Trave Acciaio 2-31a	0,90	002	□	200x200x5.0	0,00	S;S;S;S;S;S	S;S;S;S;S;S	-		003	-	0203	0195	0,90	2,25	2,25	NO	-	
Trave Acciaio 31a-34a	1,00	002	□	200x200x5.0	0,00	S;S;S;S;S;S	S;S;S;S;S;S	-		003	-	0195	0194	1,00	2,25	2,25	NO	-	
Trave Acciaio 34a-37a	1,00	002	□	200x200x5.0	0,00	S;S;S;S;S;S	S;S;S;S;S;S	-		003	-	0194	0193	1,00	2,25	2,25	NO	-	
Trave Acciaio 37a-40a	1,00	002	□	200x200x5.0	0,00	S;S;S;S;S;S	S;S;S;S;S;S	-		003	-	0193	0192	1,00	2,25	2,25	NO	-	
Trave Acciaio 40a-43a	1,00	002	□	200x200x5.0	0,00	S;S;S;S;S;S	S;S;S;S;S;S	-		003	-	0192	0190	1,00	2,25	2,25	NO	-	
Trave Acciaio 43a-46a	1,00	002	□	200x200x5.0	0,00	S;S;S;S;S;S	S;S;S;S;S;S	-		003	-	0190	0191	1,00	2,25	2,25	NO	-	
Trave Acciaio 3-50a	0,30	002	□	200x200x5.0	0,00	S;S;S;S;S;S	S;S;S;S;S;S	-		003	-	0213	0189	0,30	2,25	2,25	NO	-	
Trave Acciaio 50a-53a	1,00	002	□	200x200x5.0	0,00	S;S;S;S;S;S	S;S;S;S;S;S	-		003	-	0189	0188	1,00	2,25	2,25	NO	-	
Trave Acciaio 53a-56a	1,00	002	□	200x200x5.0	0,00	S;S;S;S;S;S	S;S;S;S;S;S	-		003	-	0188	0187	1,00	2,25	2,25	NO	-	
Trave Acciaio 56a-59a	1,00	002	□	200x200x5.0	0,00	S;S;S;S;S;S	S;S;S;S;S;S	-		003	-	0187	0186	1,00	2,25	2,25	NO	-	
Trave Acciaio 59a-62a	1,00	002	□	200x200x5.0	0,00	S;S;S;S;S;S	S;S;S;S;S;S	-		003	-	0186	0185	1,00	2,25	2,25	NO	-	
Trave Acciaio 62a-65a	1,00	002	□	200x200x5.0	0,00	S;S;S;S;S;S	S;S;S;S;S;S	-		003	-	0185	0183	1,00	2,25	2,25	NO	-	
Trave Acciaio 65a-68a	1,00	002	□	200x200x5.0	0,00	S;S;S;S;S;S	S;S;S;S;S;S	-		003	-	0183	0184	1,00	2,25	2,25	NO	-	
Trave Acciaio 4-72a	0,30	002	□	200x200x5.0	0,00	S;S;S;S;S;S	S;S;S;S;S;S	-		003	-	0212	0182	0,30	2,25	2,25	NO	-	
Trave Acciaio 72a-75a	1,00	002	□	200x200x5.0	0,00	S;S;S;S;S;S	S;S;S;S;S;S	-		003	-	0182	0181	1,00	2,25	2,25	NO	-	
Trave Acciaio 75a-78a	1,00	002	□	200x200x5.0	0,00	S;S;S;S;S;S	S;S;S;S;S;S	-		003	-	0181	0180	1,00	2,25	2,25	NO	-	
Trave Acciaio 78a-81a	1,00	002	□	200x200x5.0	0,00	S;S;S;S;S;S	S;S;S;S;S;S	-		003	-	0180	0179	1,00	2,25	2,25	NO	-	
Trave Acciaio 81a-84a	1,00	002	□	200x200x5.0	0,00	S;S;S;S;S;S	S;S;S;S;S;S	-		003	-	0179	0178	1,00	2,25	2,25	NO	-	
Trave Acciaio 84a-87a	1,00	002	□	200x200x5.0	0,00	S;S;S;S;S;S	S;S;S;S;S;S	-		003	-	0178	0176	1,00	2,25	2,25	NO	-	
Trave Acciaio 87a-90a	1,00	002	□	200x200x5.0	0,00	S;S;S;S;S;S	S;S;S;S;S;S	-		003	-	0176	0177	1,00	2,25	2,25	NO	-	
Trave Acciaio 6-115a	1,10	002	□	200x200x5.0	0,00	S;S;S;S;S;S	S;S;S;S;S;S	-		003	-	0208	0175	1,10	2,25	2,25	NO	-	
Trave Acciaio 115a-118a	1,00	002	□	200x200x5.0	0,00	S;S;S;S;S;S	S;S;S;S;S;S	-		003	-	0175	0174	1,00	2,25	2,25	NO	-	
Trave Acciaio 118a-121a	1,00	002	□	200x200x5.0	0,00	S;S;S;S;S;S	S;S;S;S;S;S	-		003	-	0174	0173	1,00	2,25	2,25	NO	-	
Trave Acciaio 121a-124a	1,00	002	□	200x200x5.0	0,00	S;S;S;S;S;S	S;S;S;S;S;S	-		003	-	0173	0172	1,00	2,25	2,25	NO	-	
Trave Acciaio 124a-127a	1,00	002	□	200x200x5.0	0,00	S;S;S;S;S;S	S;S;S;S;S;S	-		003	-	0172	0170	1,00	2,25	2,25	NO	-	

Id _{Tr}	L _{LI}	Sezione		V. Int.		Stz	Note	M _{tr}	AA / C / IS	N _d _i	N _d _f	Dis _{i-j}	Q _{LLI}		Clc Fnd	Pr / Sc		
		Id _{Sz}	Tp	Label	Rtz								Iniz.	Fin.			Iniz	Fin.
Trave Acciaio 127a-130a	1,00	002	□	200x200x5.0	0,00	S;S;S;S;S;S	S;S;S;S;S;S	-		003	0170	0171	1,00	2,25	2,25	NO	-	
Trave Acciaio 6a-1	0,50	002	□	200x200x5.0	0,00	S;S;S;S;S;S	S;S;S;S;S;S	-		003	0196	0214	0,50	2,25	2,25	NO	-	
Trave Acciaio 46a-3	0,70	002	□	200x200x5.0	0,00	S;S;S;S;S;S	S;S;S;S;S;S	-		003	0191	0213	0,70	2,25	2,25	NO	-	
Trave Acciaio 68a-4	0,30	002	□	200x200x5.0	0,00	S;S;S;S;S;S	S;S;S;S;S;S	-		003	0184	0212	0,30	2,25	2,25	NO	-	
Trave Acciaio 90a-5	0,30	002	□	200x200x5.0	0,00	S;S;S;S;S;S	S;S;S;S;S;S	-		003	0177	0211	0,30	2,25	2,25	NO	-	
Trave Acciaio 130a-7	0,50	002	□	200x200x5.0	0,00	S;S;S;S;S;S	S;S;S;S;S;S	-		003	0171	0210	0,50	2,25	2,25	NO	-	

LEGENDA:

- Id_{Tr}** Identificativo della trave. L'eventuale lettera tra parentesi distingue i diversi tratti della travata al livello considerato.
- L_{LI}** Lunghezza libera d'Inflessione.
- Id_{Sz}** Identificativo della sezione, nella relativa tabella.
- Tp** Tipo di sezione.
- Label** Identificativo della sezione, come indicato nelle carpenterie.
- Rtz** Angolo di rotazione della sezione.
- V. Int.** Identificativo delle condizioni di vincolo agli estremi inferiore e superiore del pilastro, costituito da sei caratteri. I primi tre, sono relativi alla traslazione rispettivamente lungo gli assi 1, 2 e 3, mentre i secondi tre sono relativi rispettivamente alla rotazione intorno agli assi 1, 2 e 3 (Assi 1, 2, 3: riferimento locale). Il carattere "S" o "N" indica se il vincolo allo spostamento/rotazione è presente o assente.
- Stz** Tipo di situazione: [F] = di Fatto (Esistente); [P] = di Progetto (Nuovo).
- Note** Nota relativa alla verifica di deformabilità delle travi in acciaio e in legno.
Se presente "elemento a sbalzo" = la freccia viene valutata nell'ipotesi di trave a mensola; altrimenti la freccia viene valutata nell'ipotesi di trave appoggiata-appoggiata.
- M_{tr}** Identificativo del materiale.
- AA/CIS** Identificativo dell'aggressività dell'ambiente o della classe di servizio:
Aggressività dell'ambiente: [PCA] = "Ordinario"; [MDA] = "Aggressivo"; [MLA] = "Molto aggressivo";
Classe di servizio: [1] = Ambiente con umidità bassa - [2] = Ambiente con umidità media - [3] = Ambiente con umidità alta.
- N_d_i** Identificativo del nodo iniziale, nella relativa tabella.
- N_d_f** Identificativo del nodo finale, nella relativa tabella.
- Dis_{i-j}** Distanza tra il nodo iniziale e finale.
- Q_{LLI}** Quota agli estremi iniziale e finale del tratto di trave libero d'inflattersi (Lunghezza Libera d'Inflessione), valutata rispetto al livello (piano) di appartenenza.
- Clc Fnd** [Si] = elemento progettato attraverso una modalità di rispetto della Gerarchia delle Resistenze per le Fondazioni. [No] = elemento progettato con le sollecitazioni ottenute dall'analisi (senza nessuna modalità di rispetto della Gerarchia delle Resistenze per le Fondazioni).
- Pr/Sc** Indica se l'elemento strutturale è incluso nel modello per il calcolo delle azioni sismiche. [1] = non incluso; [-] = incluso.

TRAVI DI FONDAZIONE

Id _{Tr}	L _{LI}	Sezione		V. Int.		B _{beam}	M _{tr}	Id _{Ter}	AA	N _d _i	N _d _f	Dis _{i-j}	Q _{LLI,i}	Clc Fnd	C _{rid,v}	C _{rid,h}		
		Id _{Sz}	Tp	Label	Rtz												Iniz.	Fin.
Piano Terra																		
Travata: Trave 1a-139a																		
Trave 1a-139a	42,93	001	▣	30x50	0,00	S;S;S;S;S;S	S;S;S;S;S;S	NO	001	T001	PCA	0217	0215	42,93	0,25	NO	0,563	1,000

LEGENDA:

- Id_{Tr}** Identificativo della trave. L'eventuale lettera tra parentesi distingue i diversi tratti della travata al livello considerato.
- L_{LI}** Lunghezza libera d'Inflessione.
- Id_{Sz}** Identificativo della sezione, nella relativa tabella.
- Tp** Tipo di sezione.
- Label** Identificativo della sezione, come indicato nelle carpenterie.
- Rtz** Angolo di rotazione della sezione.
- V. Int.** Identificativo delle condizioni di vincolo agli estremi inferiore e superiore del pilastro, costituito da sei caratteri. I primi tre, sono relativi alla traslazione rispettivamente lungo gli assi 1, 2 e 3, mentre i secondi tre sono relativi rispettivamente alla rotazione intorno agli assi 1, 2 e 3 (Assi 1, 2, 3: riferimento locale). Il carattere "S" o "N" indica se il vincolo allo spostamento/rotazione è presente o assente.
- B_{beam}** [SI] = Nella valutazione della superficie di contatto con il terreno della trave di fondazione, non si considera la presenza del "magrone" aggettante rispetto alla base della sezione
- M_{tr}** Identificativo del materiale.
- Id_{Ter}** Identificativo del terreno, nella relativa tabella.
- AA** Identificativo dell'aggressività dell'ambiente: [PCA] = "Ordinario"; [MDA] = "Aggressivo"; [MLA] = "Molto aggressivo".
- N_d_i** Identificativo del nodo iniziale, nella relativa tabella.
- N_d_f** Identificativo del nodo finale, nella relativa tabella.
- Dis_{i-j}** Distanza tra il nodo iniziale e finale.
- Q_{LLI,i}** Quota dell'estremo iniziale del tratto di trave libero d'inflattersi (Lunghezza Libera d'Inflessione), valutata rispetto al livello (piano) di appartenenza.
- Clc Fnd** [SI] = elemento progettato attraverso una modalità di rispetto della Gerarchia delle Resistenze per le Fondazioni. [No] = elemento progettato con le sollecitazioni ottenute dall'analisi (senza nessuna modalità di rispetto della Gerarchia delle Resistenze per le Fondazioni).
- C_{rid,v}** Coefficiente di riduzione della costante di sottofondo verticale
- C_{rid,h}** Coefficiente di riduzione della costante di sottofondo orizzontale

PILASTRI

N _{id}	Lv	L _{LI}	Sezione		V. Int.		M _{tr}	AA/CI S	Nod		Dis _{i-j}	Q _{LLI}		Clc Fnd	Pr / Sc		
			Id _{Sz}	Tp	Label	Rtz			Inf.	Sup.		Inf.	Sup.				
																[m]	[°ssdc]
1 (k)	01	2,35	004	I	HE 320 B	90,00	S;S;S;S;S;S	S;S;S;S;S;S	003	-	0001	0214	2,35	0,00	2,35	NO	-
2 (k)	01	2,35	004	I	HE 320 B	90,00	S;S;S;S;S;S	S;S;S;S;S;S	003	-	0002	0003	2,35	0,00	2,35	NO	-
3 (k)	01	2,35	004	I	HE 320 B	90,00	S;S;S;S;S;S	S;S;S;S;S;S	003	-	0004	0213	2,35	0,00	2,35	NO	-

Nid	Lv	L _{L1}	Id _{Sz}	Tp	Sezione Label	Rtz	V. Int.		Mtrl	AA/CI S	Nod		Dis _{i-j}	Q _{LL1}		Clc Fnd	Pr/Sc	Pilastri
							Inf.	Sup.			Inf.	Sup.		Inf.	Sup.			
		[m]				[°ssdc]						[m]	[m]	[m]				
4 (k)	01	2,35	004	I	HE 320 B	90,0 0	S;S;S;S;S	S;S;S;S;S	003	-	0005	0212	2,35	0,00	2,35	NO	-	
5 (k)	01	2,35	004	I	HE 320 B	90,0 0	S;S;S;S;S	S;S;S;S;S	003	-	0006	0211	2,35	0,00	2,35	NO	-	
6 (k)	01	2,35	004	I	HE 320 B	90,0 0	S;S;S;S;S	S;S;S;S;S	003	-	0007	0008	2,35	0,00	2,35	NO	-	
7 (k)	01	2,35	004	I	HE 320 B	90,0 0	S;S;S;S;S	S;S;S;S;S	003	-	0009	0210	2,35	0,00	2,35	NO	-	
6 (i)	01	0,50	004	I	HE 320 B	90,0 0	S;S;S;S;S	S;S;S;S;S	003	-	0098	0099	0,50	-1,00	-0,50	NO	-	
6 (g)	01	0,50	004	I	HE 320 B	90,0 0	S;S;S;S;S	S;S;S;S;S	003	-	0100	0101	0,50	-2,00	-1,50	NO	-	
6 (e)	01	0,50	004	I	HE 320 B	90,0 0	S;S;S;S;S	S;S;S;S;S	003	-	0102	0103	0,50	-3,00	-2,50	NO	-	
5 (e)	01	0,50	004	I	HE 320 B	90,0 0	S;S;S;S;S	S;S;S;S;S	003	-	0104	0105	0,50	-3,00	-2,50	NO	-	
5 (g)	01	0,50	004	I	HE 320 B	90,0 0	S;S;S;S;S	S;S;S;S;S	003	-	0106	0107	0,50	-2,00	-1,50	NO	-	
5 (i)	01	0,50	004	I	HE 320 B	90,0 0	S;S;S;S;S	S;S;S;S;S	003	-	0108	0109	0,50	-1,00	-0,50	NO	-	
4 (e)	01	0,50	004	I	HE 320 B	90,0 0	S;S;S;S;S	S;S;S;S;S	003	-	0110	0111	0,50	-3,00	-2,50	NO	-	
4 (g)	01	0,50	004	I	HE 320 B	90,0 0	S;S;S;S;S	S;S;S;S;S	003	-	0112	0113	0,50	-2,00	-1,50	NO	-	
4 (i)	01	0,50	004	I	HE 320 B	90,0 0	S;S;S;S;S	S;S;S;S;S	003	-	0114	0115	0,50	-1,00	-0,50	NO	-	
3 (e)	01	0,50	004	I	HE 320 B	90,0 0	S;S;S;S;S	S;S;S;S;S	003	-	0116	0117	0,50	-3,00	-2,50	NO	-	
3 (g)	01	0,50	004	I	HE 320 B	90,0 0	S;S;S;S;S	S;S;S;S;S	003	-	0118	0119	0,50	-2,00	-1,50	NO	-	
3 (i)	01	0,50	004	I	HE 320 B	90,0 0	S;S;S;S;S	S;S;S;S;S	003	-	0120	0121	0,50	-1,00	-0,50	NO	-	
2 (e)	01	0,50	004	I	HE 320 B	90,0 0	S;S;S;S;S	S;S;S;S;S	003	-	0122	0123	0,50	-3,00	-2,50	NO	-	
2 (g)	01	0,50	004	I	HE 320 B	90,0 0	S;S;S;S;S	S;S;S;S;S	003	-	0124	0125	0,50	-2,00	-1,50	NO	-	
2 (i)	01	0,50	004	I	HE 320 B	90,0 0	S;S;S;S;S	S;S;S;S;S	003	-	0126	0127	0,50	-1,00	-0,50	NO	-	
1 (e)	01	0,50	004	I	HE 320 B	90,0 0	S;S;S;S;S	S;S;S;S;S	003	-	0128	0129	0,50	-3,00	-2,50	NO	-	
1 (g)	01	0,50	004	I	HE 320 B	90,0 0	S;S;S;S;S	S;S;S;S;S	003	-	0130	0131	0,50	-2,00	-1,50	NO	-	
1 (i)	01	0,50	004	I	HE 320 B	90,0 0	S;S;S;S;S	S;S;S;S;S	003	-	0132	0133	0,50	-1,00	-0,50	NO	-	
7 (j)	01	0,50	004	I	HE 320 B	90,5 0	S;S;S;S;S	S;S;S;S;S	004	-	0137	0009	0,50	-0,50	0,00	NO	-	
7 (f)	01	0,50	004	I	HE 320 B	90,5 0	S;S;S;S;S	S;S;S;S;S	004	-	0134	0136	0,50	-2,50	-2,00	NO	-	
7 (h)	01	0,50	004	I	HE 320 B	90,5 0	S;S;S;S;S	S;S;S;S;S	004	-	0135	0138	0,50	-1,50	-1,00	NO	-	
7 (g)	01	0,50	004	I	HE 320 B	90,0 0	S;S;S;S;S	S;S;S;S;S	003	-	0136	0135	0,50	-2,00	-1,50	NO	-	
7 (i)	01	0,50	004	I	HE 320 B	90,0 0	S;S;S;S;S	S;S;S;S;S	003	-	0138	0137	0,50	-1,00	-0,50	NO	-	
7 (e)	01	0,50	004	I	HE 320 B	90,0 0	S;S;S;S;S	S;S;S;S;S	003	-	0139	0134	0,50	-3,00	-2,50	NO	-	
6 (f)	01	0,50	004	I	HE 320 B	90,5 0	S;S;S;S;S	S;S;S;S;S	004	-	0103	0100	0,50	-2,50	-2,00	NO	-	
6 (h)	01	0,50	004	I	HE 320 B	90,5 0	S;S;S;S;S	S;S;S;S;S	004	-	0101	0098	0,50	-1,50	-1,00	NO	-	
6 (j)	01	0,50	004	I	HE 320 B	90,5 0	S;S;S;S;S	S;S;S;S;S	004	-	0099	0007	0,50	-0,50	0,00	NO	-	
5 (f)	01	0,50	004	I	HE 320 B	90,5 0	S;S;S;S;S	S;S;S;S;S	004	-	0105	0106	0,50	-2,50	-2,00	NO	-	
5 (h)	01	0,50	004	I	HE 320 B	90,5 0	S;S;S;S;S	S;S;S;S;S	004	-	0107	0108	0,50	-1,50	-1,00	NO	-	
5 (j)	01	0,50	004	I	HE 320 B	90,5 0	S;S;S;S;S	S;S;S;S;S	004	-	0109	0006	0,50	-0,50	0,00	NO	-	
4 (f)	01	0,50	004	I	HE 320 B	90,5 0	S;S;S;S;S	S;S;S;S;S	004	-	0111	0112	0,50	-2,50	-2,00	NO	-	
4 (h)	01	0,50	004	I	HE 320 B	90,5 0	S;S;S;S;S	S;S;S;S;S	004	-	0113	0114	0,50	-1,50	-1,00	NO	-	
4 (j)	01	0,50	004	I	HE 320 B	90,5 0	S;S;S;S;S	S;S;S;S;S	004	-	0115	0005	0,50	-0,50	0,00	NO	-	
3 (f)	01	0,50	004	I	HE 320 B	90,5 0	S;S;S;S;S	S;S;S;S;S	004	-	0117	0118	0,50	-2,50	-2,00	NO	-	
3 (h)	01	0,50	004	I	HE 320 B	90,5 0	S;S;S;S;S	S;S;S;S;S	004	-	0119	0120	0,50	-1,50	-1,00	NO	-	
3 (j)	01	0,50	004	I	HE 320 B	90,5 0	S;S;S;S;S	S;S;S;S;S	004	-	0121	0004	0,50	-0,50	0,00	NO	-	
2 (f)	01	0,50	004	I	HE 320 B	90,5 0	S;S;S;S;S	S;S;S;S;S	004	-	0123	0124	0,50	-2,50	-2,00	NO	-	
2 (h)	01	0,50	004	I	HE 320 B	90,5	S;S;S;S;S	S;S;S;S;S	004	-	0125	0126	0,50	-1,50	-1,00	NO	-	

Nid	Lv	L _{LI}	Id _{Sz}	Tp	Sezione Label	Rtz	V. Int.		Mtrl	AA/CI S	Nod		Dis _{i-j}	Q _{LLI}		Clc Fnd	Pr/Sc
							Inf.	Sup.			Inf.	Sup.		Inf.	Sup.		
		[m]				[°ssdc]						[m]	[m]	[m]			
2 (j)	01	0,50	004	I	HE 320 B	90,5 0	S;S;S;S;S;S	S;S;S;S;S;S	004	-	0127	0002	0,50	-0,50	0,00	NO	-
1 (f)	01	0,50	004	I	HE 320 B	90,5 0	S;S;S;S;S;S	S;S;S;S;S;S	004	-	0129	0130	0,50	-2,50	-2,00	NO	-
1 (h)	01	0,50	004	I	HE 320 B	90,5 0	S;S;S;S;S;S	S;S;S;S;S;S	004	-	0131	0132	0,50	-1,50	-1,00	NO	-
1 (j)	01	0,50	004	I	HE 320 B	90,5 0	S;S;S;S;S;S	S;S;S;S;S;S	004	-	0133	0001	0,50	-0,50	0,00	NO	-
1 (c)	01	0,50	004	I	HE 320 B	90,0 0	S;S;S;S;S;S	S;S;S;S;S;S	003	-	0140	0141	0,50	-4,00	-3,50	NO	-
1 (d)	01	0,50	004	I	HE 320 B	90,5 0	S;S;S;S;S;S	S;S;S;S;S;S	004	-	0141	0128	0,50	-3,50	-3,00	NO	-
1 (b)	01	0,50	004	I	HE 320 B	90,5 0	S;S;S;S;S;S	S;S;S;S;S;S	004	-	0166	0140	0,50	-4,50	-4,00	NO	-
2 (d)	01	0,50	004	I	HE 320 B	90,5 0	S;S;S;S;S;S	S;S;S;S;S;S	004	-	0142	0122	0,50	-3,50	-3,00	NO	-
2 (b)	01	0,50	004	I	HE 320 B	90,5 0	S;S;S;S;S;S	S;S;S;S;S;S	004	-	0143	0144	0,50	-4,50	-4,00	NO	-
3 (d)	01	0,50	004	I	HE 320 B	90,5 0	S;S;S;S;S;S	S;S;S;S;S;S	004	-	0145	0116	0,50	-3,50	-3,00	NO	-
3 (b)	01	0,50	004	I	HE 320 B	90,5 0	S;S;S;S;S;S	S;S;S;S;S;S	004	-	0146	0147	0,50	-4,50	-4,00	NO	-
4 (d)	01	0,50	004	I	HE 320 B	90,5 0	S;S;S;S;S;S	S;S;S;S;S;S	004	-	0148	0110	0,50	-3,50	-3,00	NO	-
4 (b)	01	0,50	004	I	HE 320 B	90,5 0	S;S;S;S;S;S	S;S;S;S;S;S	004	-	0149	0150	0,50	-4,50	-4,00	NO	-
5 (d)	01	0,50	004	I	HE 320 B	90,5 0	S;S;S;S;S;S	S;S;S;S;S;S	004	-	0151	0104	0,50	-3,50	-3,00	NO	-
5 (b)	01	0,50	004	I	HE 320 B	90,5 0	S;S;S;S;S;S	S;S;S;S;S;S	004	-	0152	0153	0,50	-4,50	-4,00	NO	-
6 (d)	01	0,50	004	I	HE 320 B	90,5 0	S;S;S;S;S;S	S;S;S;S;S;S	004	-	0154	0102	0,50	-3,50	-3,00	NO	-
6 (b)	01	0,50	004	I	HE 320 B	90,5 0	S;S;S;S;S;S	S;S;S;S;S;S	004	-	0155	0156	0,50	-4,50	-4,00	NO	-
7 (d)	01	0,50	004	I	HE 320 B	90,5 0	S;S;S;S;S;S	S;S;S;S;S;S	004	-	0157	0139	0,50	-3,50	-3,00	NO	-
7 (b)	01	0,50	004	I	HE 320 B	90,5 0	S;S;S;S;S;S	S;S;S;S;S;S	004	-	0158	0159	0,50	-4,50	-4,00	NO	-
2 (c)	01	0,50	004	I	HE 320 B	90,0 0	S;S;S;S;S;S	S;S;S;S;S;S	003	-	0144	0142	0,50	-4,00	-3,50	NO	-
2 (a)	01	0,50	004	I	HE 320 B	90,0 0	S;S;S;S;S;S	S;S;S;S;S;S	003	-	0161	0143	0,50	-5,00	-4,50	NO	-
3 (c)	01	0,50	004	I	HE 320 B	90,0 0	S;S;S;S;S;S	S;S;S;S;S;S	003	-	0147	0145	0,50	-4,00	-3,50	NO	-
3 (a)	01	0,50	004	I	HE 320 B	90,0 0	S;S;S;S;S;S	S;S;S;S;S;S	003	-	0162	0146	0,50	-5,00	-4,50	NO	-
4 (c)	01	0,50	004	I	HE 320 B	90,0 0	S;S;S;S;S;S	S;S;S;S;S;S	003	-	0150	0148	0,50	-4,00	-3,50	NO	-
4 (a)	01	0,50	004	I	HE 320 B	90,0 0	S;S;S;S;S;S	S;S;S;S;S;S	003	-	0163	0149	0,50	-5,00	-4,50	NO	-
5 (c)	01	0,50	004	I	HE 320 B	90,0 0	S;S;S;S;S;S	S;S;S;S;S;S	003	-	0153	0151	0,50	-4,00	-3,50	NO	-
5 (a)	01	0,50	004	I	HE 320 B	90,0 0	S;S;S;S;S;S	S;S;S;S;S;S	003	-	0164	0152	0,50	-5,00	-4,50	NO	-
6 (c)	01	0,50	004	I	HE 320 B	90,0 0	S;S;S;S;S;S	S;S;S;S;S;S	003	-	0156	0154	0,50	-4,00	-3,50	NO	-
6 (a)	01	0,50	004	I	HE 320 B	90,0 0	S;S;S;S;S;S	S;S;S;S;S;S	003	-	0165	0155	0,50	-5,00	-4,50	NO	-
7 (c)	01	0,50	004	I	HE 320 B	90,0 0	S;S;S;S;S;S	S;S;S;S;S;S	003	-	0159	0157	0,50	-4,00	-3,50	NO	-
7 (a)	01	0,50	004	I	HE 320 B	90,0 0	S;S;S;S;S;S	S;S;S;S;S;S	003	-	0167	0158	0,50	-5,00	-4,50	NO	-
1 (a)	01	0,50	004	I	HE 320 B	89,5 0	S;S;S;S;S;S	S;S;S;S;S;S	003	-	0160	0166	0,50	-5,00	-4,50	NO	-

LEGENDA:

- Nid** Numero identificativo della pilastrata. L'eventuale lettera tra parentesi distingue i diversi tratti della pilastrata al livello considerato.
- Lv** Identificativo del livello, nella relativa tabella.
- L_{LI}** Lunghezza libera d'Inflessione.
- Id_{Sz}** Identificativo della sezione, nella relativa tabella.
- Tp** Tipo di sezione.
- Label** Identificativo della sezione, come indicato nelle carpenterie.
- Rtz** Angolo di rotazione della sezione.
- V. Int.** Identificativo delle condizioni di vincolo agli estremi inferiore e superiore del pilastro, costituito da sei caratteri. I primi tre, sono relativi alla traslazione rispettivamente lungo gli assi 1, 2 e 3, mentre i secondi tre sono relativi rispettivamente alla rotazione intorno agli assi 1, 2 e 3 (Assi 1, 2, 3: riferimento locale). Il carattere " S " o " N " indica se il vincolo allo spostamento/rotazione è presente o assente.
- Mtrl** Identificativo del materiale.
- AA/CIS** Identificativo dell'aggressività dell'ambiente o della classe di servizio:
 Aggressività dell'ambiente: [PCA] = "Ordinario"; [MDA] = "Aggressivo"; [MLA] = "Molto aggressivo";
 Classe di servizio: [1] = Ambiente con umidità bassa - [2] = Ambiente con umidità media - [3] = Ambiente con umidità alta.
- Nod** Identificativo del nodo nella relativa tabella.
- Dis_{i-j}** Distanza tra il nodo iniziale e finale.
- Q_{LLI}** Quota agli estremi inferiore e superiore del tratto di elemento libero d'infietersi (Lunghezza Libera d'Inflessione), valutata rispetto al livello (piano) di appartenenza.
- Clc Fnd** [Si] = elemento progettato attraverso una modalità di rispetto della Gerarchia delle Resistenze per le Fondazioni. [No] = elemento progettato con le sollecitazioni

N _{id}	Lv	L _{LI}	Sezione			V. Int.		Mtrl	AA/CI		Nod		Dis _{i-j}	Q _{LLI}		Clc Fnd	Pr/Sc
			Id _{Sz}	Tp	Label	Rtz	Inf.		Sup.	S	Inf.	Sup.		Inf.	Sup.		
		[m]										[m]	[m]	[m]			

ottenute dall'analisi (senza nessuna modalità di rispetto della Gerarchia delle Resistenze per le Fondazioni).

Pr/Sc Indica se l'elemento strutturale è incluso nel modello per il calcolo delle azioni sismiche. [1] = non incluso; [-] = incluso.

PALI

Id _{PI}	Id _{Nd}	D _p	Sz	L _{pl}	Mtrl	Tp PI	Tcn pl	A	α	Pali
										N _{In,Str}
PALO1	00218	32	•	5,00	001	Battuto	in opera	0,80	0,30	3
PALO2	00216	32	•	5,00	001	Battuto	in opera	0,80	0,30	3
PALO3	00219	32	•	5,00	001	Battuto	in opera	0,80	0,30	3
PALO4	00220	32	•	5,00	001	Battuto	in opera	0,80	0,30	3
PALO5	00221	32	•	5,00	001	Battuto	in opera	0,80	0,30	3
PALO6	00222	32	•	5,00	001	Battuto	in opera	0,80	0,30	3
PALO7	00223	32	•	5,00	001	Battuto	in opera	0,80	0,30	3

LEGENDA:

- Id_{PI}** Identificativo del palo.
- Id_{Nd}** Identificativo del nodo in testa al palo.
- D_p** Diametro del palo.
- Sz** Sezione del palo.
- L_{pl}** Lunghezza del palo.
- Mtrl** Identificativo del materiale.
- Tp PI** Tipologia di palo (Trivellato, Battuto).
- Tcn pl** Tecnologia adottata (in opera, Prefabbricato).
- A** Coefficiente di riduzione dell'attrito terreno/palo.
- α** Coefficiente di riduzione legato alla coesione.
- N_{In,Str}** Numero di indagini stratigrafiche significative.

CARICHI SULLE TRAVI

TC	C	CC	SR	Dis _i	F _{X,i} /Q _{X,i}	F _{Y,i} /Q _{Y,i}	F _{Z,i} /Q _{Z,i}	M _{X,i} /M _{T,i}	M _{Y,i}	M _{Z,i}	Dis _f	Q _{X,f}	Q _{Y,f}	Q _{Z,f}	M _{T,f}	Carichi sulle travi	
																[m]	[N;N/m]
Piano Terra			Travata: Trave 1a-139a				Trave: Trave 1a-139a				Peso proprio			-3 750			
C	CR001	001	G	1,75	0	0	-20 000	0	0	0	-	-	-	-	-	-	-
C	CR001	001	G	8,35	0	0	-36 800	0	0	0	-	-	-	-	-	-	-
C	CR001	001	G	14,96	0	0	-36 800	0	0	0	-	-	-	-	-	-	-
C	CR001	001	G	21,55	0	0	-36 800	0	0	0	-	-	-	-	-	-	-
C	CR001	001	G	28,15	0	0	-36 800	0	0	0	-	-	-	-	-	-	-
C	CR001	001	G	34,75	0	0	-36 800	0	0	0	-	-	-	-	-	-	-
C	CR001	001	G	41,35	0	0	-20 000	0	0	0	-	-	-	-	-	-	-
C	CR001	004	G	1,76	14 300	0	0	0	0	0	-	-	-	-	-	-	-
C	CR001	004	G	8,35	20 000	0	0	0	0	0	-	-	-	-	-	-	-
C	CR001	004	G	14,95	20 000	0	0	0	0	0	-	-	-	-	-	-	-
C	CR001	004	G	21,55	20 000	0	0	0	0	0	-	-	-	-	-	-	-
C	CR001	004	G	28,14	20 000	0	0	0	0	0	-	-	-	-	-	-	-
C	CR001	004	G	34,75	20 000	0	0	0	0	0	-	-	-	-	-	-	-
C	CR001	004	G	41,37	14 300	0	0	0	0	0	-	-	-	-	-	-	-
Piano Terra			Travata: Piano Terra				Trave: Trave Acciaio 134a-137a				Peso proprio			-304			
L	CR002	004	G	0,00	113	0	0	0	-	-	0,00	113	0	0	0	0	0
L	CR002	005	G	0,00	-56	0	0	0	-	-	0,00	-56	0	0	0	0	0
L	CR002	006	G	0,00	-56	0	0	0	-	-	0,00	-56	0	0	0	0	0
L	CR002	007	G	0,00	-56	0	0	0	-	-	0,00	-56	0	0	0	0	0
C	CR002	006	G	0,50	0	1	0	0	0	0	-	-	-	-	-	-	-
C	CR002	007	G	0,50	0	-1	0	0	0	0	-	-	-	-	-	-	-
Piano Terra			Travata: Piano Terra				Trave: Trave Acciaio 25a-2				Peso proprio			-304			
L	CR002	004	G	0,00	113	0	0	0	-	-	0,00	113	0	0	0	0	0
L	CR002	005	G	0,00	-56	0	0	0	-	-	0,00	-56	0	0	0	0	0
L	CR002	006	G	0,00	-56	0	0	0	-	-	0,00	-56	0	0	0	0	0
L	CR002	007	G	0,00	-56	0	0	0	-	-	0,00	-56	0	0	0	0	0
C	CR002	006	G	0,55	0	2	0	0	0	0	-	-	-	-	-	-	-
C	CR002	007	G	0,55	0	-2	0	0	0	0	-	-	-	-	-	-	-
Piano Terra			Travata: Piano Terra				Trave: Trave Acciaio 109a-6				Peso proprio			-304			
L	CR002	004	G	0,00	113	0	0	0	-	-	0,00	113	0	0	0	0	0
L	CR002	005	G	0,00	-56	0	0	0	-	-	0,00	-56	0	0	0	0	0
L	CR002	006	G	0,00	-56	0	0	0	-	-	0,00	-56	0	0	0	0	0
L	CR002	007	G	0,00	-56	0	0	0	-	-	0,00	-56	0	0	0	0	0
C	CR002	006	G	0,45	0	1	0	0	0	0	-	-	-	-	-	-	-
C	CR002	007	G	0,45	0	-1	0	0	0	0	-	-	-	-	-	-	-
Piano Terra			Travata: Piano Terra				Trave: Trave Acciaio 6a-7a				Peso proprio			-137			
L	CR003	004	G	0,00	608	0	0	0	-	-	0,00	608	0	0	0	0	0
L	CR003	003	G	0,00	0	0	-720	0	-	-	0,00	0	0	-720	0	0	0
L	CR003	002	G	0,00	0	0	-100	0	-	-	0,00	0	0	-100	0	0	0
Piano Terra			Travata: Piano Terra				Trave: Trave Acciaio 3a-4a				Peso proprio			-137			
L	CR003	004	G	0,00	608	0	0	0	-	-	0,00	608	0	0	0	0	0
L	CR003	003	G	0,00	0	0	-720	0	-	-	0,00	0	0	-720	0	0	0
L	CR003	002	G	0,00	0	0	-100	0	-	-	0,00	0	0	-100	0	0	0
Piano Terra			Travata: Piano Terra				Trave: Trave Acciaio 10a-11a				Peso proprio			-137			
L	CR003	004	G	0,00	608	0	0	0	-	-	0,00	608	0	0	0	0	0
L	CR003	003	G	0,00	0	0	-720	0	-	-	0,00	0	0	-720	0	0	0

TC	C	CC	SR	Dis _i	F _{X,i} /Q _{X,i}	F _{Y,i} /Q _{Y,i}	F _{Z,i} /Q _{Z,i}	M _{X,i} /M _{T,i}	M _{Y,i}	M _{Z,i}	Dis _f	Q _{X,f}	Q _{Y,f}	Q _{Z,f}	M _{T,f}
				[m]	[N;N/m]	[N;N/m]	[N;N/m]	[N-m;N-m/m]	[N-m;N-m/m]	[N-m;N-m/m]	[m]	[N/m]	[N/m]	[N/m]	[N-m/m]
Piano Terra			Travata: Piano Terra						16a-19a	Trave: Trave Acciaio		Peso proprio			-304
Piano Terra			Travata: Piano Terra						19a-22a	Trave: Trave Acciaio		Peso proprio			-304
Piano Terra			Travata: Piano Terra						22a-25a	Trave: Trave Acciaio		Peso proprio			-304
Piano Terra			Travata: Piano Terra						Trave: Trave Acciaio 5-94a	Trave: Trave Acciaio		Peso proprio			-304
Piano Terra			Travata: Piano Terra						94a-97a	Trave: Trave Acciaio		Peso proprio			-304
Piano Terra			Travata: Piano Terra						97a-100a	Trave: Trave Acciaio		Peso proprio			-304
Piano Terra			Travata: Piano Terra						100a-103a	Trave: Trave Acciaio		Peso proprio			-304
Piano Terra			Travata: Piano Terra						103a-106a	Trave: Trave Acciaio		Peso proprio			-304
Piano Terra			Travata: Piano Terra						106a-109a	Trave: Trave Acciaio		Peso proprio			-304
Piano Terra			Travata: Piano Terra						Trave: Trave Acciaio 3a-6a	Trave: Trave Acciaio		Peso proprio			-304
Piano Terra			Travata: Piano Terra						Trave: Trave Acciaio 2-31a	Trave: Trave Acciaio		Peso proprio			-304
Piano Terra			Travata: Piano Terra						31a-34a	Trave: Trave Acciaio		Peso proprio			-304
Piano Terra			Travata: Piano Terra						Trave: Trave Acciaio	Trave: Trave Acciaio		Peso proprio			-304
Piano Terra			Travata: Piano Terra						34a-37a	Trave: Trave Acciaio		Peso proprio			-304
Piano Terra			Travata: Piano Terra						Trave: Trave Acciaio	Trave: Trave Acciaio		Peso proprio			-304
Piano Terra			Travata: Piano Terra						37a-40a	Trave: Trave Acciaio		Peso proprio			-304
Piano Terra			Travata: Piano Terra						Trave: Trave Acciaio	Trave: Trave Acciaio		Peso proprio			-304
Piano Terra			Travata: Piano Terra						40a-43a	Trave: Trave Acciaio		Peso proprio			-304
Piano Terra			Travata: Piano Terra						43a-46a	Trave: Trave Acciaio		Peso proprio			-304
Piano Terra			Travata: Piano Terra						Trave: Trave Acciaio 3-50a	Trave: Trave Acciaio		Peso proprio			-304
Piano Terra			Travata: Piano Terra						Trave: Trave Acciaio	Trave: Trave Acciaio		Peso proprio			-304
Piano Terra			Travata: Piano Terra						50a-53a	Trave: Trave Acciaio		Peso proprio			-304
Piano Terra			Travata: Piano Terra						53a-56a	Trave: Trave Acciaio		Peso proprio			-304
Piano Terra			Travata: Piano Terra						Trave: Trave Acciaio	Trave: Trave Acciaio		Peso proprio			-304
Piano Terra			Travata: Piano Terra						56a-59a	Trave: Trave Acciaio		Peso proprio			-304
Piano Terra			Travata: Piano Terra						Trave: Trave Acciaio	Trave: Trave Acciaio		Peso proprio			-304
Piano Terra			Travata: Piano Terra						59a-62a	Trave: Trave Acciaio		Peso proprio			-304
Piano Terra			Travata: Piano Terra						Trave: Trave Acciaio	Trave: Trave Acciaio		Peso proprio			-304
Piano Terra			Travata: Piano Terra						62a-65a	Trave: Trave Acciaio		Peso proprio			-304
Piano Terra			Travata: Piano Terra						Trave: Trave Acciaio	Trave: Trave Acciaio		Peso proprio			-304
Piano Terra			Travata: Piano Terra						65a-68a	Trave: Trave Acciaio		Peso proprio			-304
Piano Terra			Travata: Piano Terra						Trave: Trave Acciaio 4-72a	Trave: Trave Acciaio		Peso proprio			-304
Piano Terra			Travata: Piano Terra						Trave: Trave Acciaio	Trave: Trave Acciaio		Peso proprio			-304
Piano Terra			Travata: Piano Terra						72a-75a	Trave: Trave Acciaio		Peso proprio			-304
Piano Terra			Travata: Piano Terra						Trave: Trave Acciaio	Trave: Trave Acciaio		Peso proprio			-304
Piano Terra			Travata: Piano Terra						75a-78a	Trave: Trave Acciaio		Peso proprio			-304
Piano Terra			Travata: Piano Terra						Trave: Trave Acciaio	Trave: Trave Acciaio		Peso proprio			-304
Piano Terra			Travata: Piano Terra						78a-81a	Trave: Trave Acciaio		Peso proprio			-304
Piano Terra			Travata: Piano Terra						Trave: Trave Acciaio	Trave: Trave Acciaio		Peso proprio			-304
Piano Terra			Travata: Piano Terra						81a-84a	Trave: Trave Acciaio		Peso proprio			-304
Piano Terra			Travata: Piano Terra						Trave: Trave Acciaio	Trave: Trave Acciaio		Peso proprio			-304
Piano Terra			Travata: Piano Terra						84a-87a	Trave: Trave Acciaio		Peso proprio			-304
Piano Terra			Travata: Piano Terra						Trave: Trave Acciaio	Trave: Trave Acciaio		Peso proprio			-304
Piano Terra			Travata: Piano Terra						87a-90a	Trave: Trave Acciaio		Peso proprio			-304
Piano Terra			Travata: Piano Terra						Trave: Trave Acciaio	Trave: Trave Acciaio		Peso proprio			-304
Piano Terra			Travata: Piano Terra						6-115a	Trave: Trave Acciaio		Peso proprio			-304
Piano Terra			Travata: Piano Terra						Trave: Trave Acciaio	Trave: Trave Acciaio		Peso proprio			-304
Piano Terra			Travata: Piano Terra						115a-118a	Trave: Trave Acciaio		Peso proprio			-304
Piano Terra			Travata: Piano Terra						Trave: Trave Acciaio	Trave: Trave Acciaio		Peso proprio			-304
Piano Terra			Travata: Piano Terra						118a-121a	Trave: Trave Acciaio		Peso proprio			-304
Piano Terra			Travata: Piano Terra						Trave: Trave Acciaio	Trave: Trave Acciaio		Peso proprio			-304
Piano Terra			Travata: Piano Terra						121a-124a	Trave: Trave Acciaio		Peso proprio			-304
Piano Terra			Travata: Piano Terra						Trave: Trave Acciaio	Trave: Trave Acciaio		Peso proprio			-304
Piano Terra			Travata: Piano Terra						124a-127a	Trave: Trave Acciaio		Peso proprio			-304
Piano Terra			Travata: Piano Terra						Trave: Trave Acciaio	Trave: Trave Acciaio		Peso proprio			-304
Piano Terra			Travata: Piano Terra						127a-130a	Trave: Trave Acciaio		Peso proprio			-304
Piano Terra			Travata: Piano Terra						Trave: Trave Acciaio 6a-1	Trave: Trave Acciaio		Peso proprio			-304
Piano Terra			Travata: Piano Terra						Trave: Trave Acciaio 46a-3	Trave: Trave Acciaio		Peso proprio			-304
Piano Terra			Travata: Piano Terra						Trave: Trave Acciaio 68a-4	Trave: Trave Acciaio		Peso proprio			-304
Piano Terra			Travata: Piano Terra						Trave: Trave Acciaio 90a-5	Trave: Trave Acciaio		Peso proprio			-304
Piano Terra			Travata: Piano Terra						Trave: Trave Acciaio	Trave: Trave Acciaio		Peso proprio			-304
Piano Terra			Travata: Piano Terra						130a-7	Trave: Trave Acciaio		Peso proprio			-304

LEGENDA:

TC Descrizione del tipo di carico: [L] = Lineare - [C] = Concentrato - [S] = Superficiale - [T] = Termico.

C Descrizione del carico:

CR001= Forza concentrata CR002= Azione del Vento (Trave Acciaio) CR003= Forza lineare

CC Identificativo della tipologia di carico nella relativa tabella.

SR Identificativo del sistema di riferimento considerato: [G] = Sistema di riferimento Globale X, Y, Z - [L] = Sistema di riferimento Locale 1, 2, 3.

Dis_i Distanza del punto "i" dall'estremo iniziale dell'elemento. Il punto "i" indica il punto iniziale del tratto interessato dal carico distribuito sul bordo.

M_{X,i}/M_{T,i} Se nella colonna "TC" è riportato "Concentrato", è il valore del vettore momento concentrato collocato nel punto "i", riferito agli assi del sistema di riferimento indicato nella colonna "S.R.". Se nella colonna "TC" è riportato "Lineare", è il valore nel punto "i", del vettore momento (torcente) distribuito sempre riferito all'asse 1 (asse dell'elemento) del sistema di riferimento locale 1, 2, 3, quale che sia il sistema di riferimento indicato nella colonna "S.R".

Dis_f Distanza del punto "f" dall'estremo inferiore dell'elemento. Il punto "f" indica il punto finale del tratto interessato dal carico distribuito.

M_{T,f} Se nella colonna "TC" è riportato "Lineare", è il valore nel punto "f", del vettore momento (torcente) distribuito sempre riferito all'asse 1 (asse dell'elemento) del sistema di riferimento locale 1, 2, 3, quale che sia il sistema di riferimento indicato nella colonna "S.R".

Carichi sulle travi

TC	C	CC	SR	Dis _i	F _{X,i} /Q _{X,i}	F _{Y,i} /Q _{Y,i}	F _{Z,i} /Q _{Z,i}	M _{X,i} /M _{T,i}	M _{Y,i}	M _{Z,i}	Dis _f	Q _{X,f}	Q _{Y,f}	Q _{Z,f}	M _{T,f}
				[m]	[N;N/m]	[N;N/m]	[N;N/m]	[N-m;N-m/m]	[N-m;N-m/m]	[N-m;N-m/m]	[m]	[N/m]	[N/m]	[N/m]	[N-m/m]
F _{X,i} /Q _{X,i} , F _{Y,i} /Q _{Y,i} , F _{Z,i} /Q _{Z,i}	Valore (nel punto "i") della forza concentrata/distribuita riferita agli assi del sistema di riferimento indicato nella colonna "S.R".														
M _{Y,i} , M _{Z,i}	Valore (nel punto "i") del vettore momento concentrato riferito agli assi del sistema di riferimento indicato nella colonna "S.R".														
Q _{X,f} , Q _{Y,f} , Q _{Z,f}	Valore (nel punto "f") della forza distribuita riferita agli assi del sistema di riferimento indicato nella colonna "S.R".														
ΔT ₁ , ΔT ₂ , ΔT ₃	Variazione di temperatura rispettivamente lungo gli assi 1, 2 o 3 del sistema locale.														

CARICHI SUI PILASTRI

Carichi sui pilastri

TC	C	CC	SR	Dis _i	F _{X,i} /Q _{X,i}	F _{Y,i} /Q _{Y,i}	F _{Z,i} /Q _{Z,i}	M _{X,i} /M _{T,i}	M _{Y,i}	M _{Z,i}	Dis _f	Q _{X,f}	Q _{Y,f}	Q _{Z,f}	M _{T,f}			
				[m]	[N;N/m]	[N;N/m]	[N;N/m]	[N-m;N-m/m]	[N-m;N-m/m]	[N-m;N-m/m]	[m]	[N/m]	[N/m]	[N/m]	[N-m/m]			
Piano Terra				Pilastro 1 (k)						Peso proprio						-1 266		
L	CR001	004	G	0,00	169	0	0	0	-	-	0,00	169	0	0	0			
L	CR001	005	G	0,00	-84	0	0	0	-	-	0,00	-84	0	0	0			
L	CR001	006	G	0,00	-84	0	0	0	-	-	0,00	-84	0	0	0			
L	CR001	007	G	0,00	-84	0	0	0	-	-	0,00	-84	0	0	0			
C	CR001	006	G	1,18	0	5	0	0	0	0	-	-	-	-	-			
C	CR001	007	G	1,18	0	-5	0	0	0	0	-	-	-	-	-			
Piano Terra				Pilastro 2 (k)						Peso proprio						-1 266		
L	CR001	004	G	0,00	169	0	0	0	-	-	0,00	169	0	0	0			
L	CR001	005	G	0,00	-84	0	0	0	-	-	0,00	-84	0	0	0			
L	CR001	006	G	0,00	-84	0	0	0	-	-	0,00	-84	0	0	0			
L	CR001	007	G	0,00	-84	0	0	0	-	-	0,00	-84	0	0	0			
C	CR001	006	G	1,18	0	5	0	0	0	0	-	-	-	-	-			
C	CR001	007	G	1,18	0	-5	0	0	0	0	-	-	-	-	-			
Piano Terra				Pilastro 3 (k)						Peso proprio						-1 266		
L	CR001	004	G	0,00	169	0	0	0	-	-	0,00	169	0	0	0			
L	CR001	005	G	0,00	-84	0	0	0	-	-	0,00	-84	0	0	0			
L	CR001	006	G	0,00	-84	0	0	0	-	-	0,00	-84	0	0	0			
L	CR001	007	G	0,00	-84	0	0	0	-	-	0,00	-84	0	0	0			
C	CR001	006	G	1,18	0	5	0	0	0	0	-	-	-	-	-			
C	CR001	007	G	1,18	0	-5	0	0	0	0	-	-	-	-	-			
Piano Terra				Pilastro 4 (k)						Peso proprio						-1 266		
L	CR001	004	G	0,00	169	0	0	0	-	-	0,00	169	0	0	0			
L	CR001	005	G	0,00	-84	0	0	0	-	-	0,00	-84	0	0	0			
L	CR001	006	G	0,00	-84	0	0	0	-	-	0,00	-84	0	0	0			
L	CR001	007	G	0,00	-84	0	0	0	-	-	0,00	-84	0	0	0			
C	CR001	006	G	1,18	0	5	0	0	0	0	-	-	-	-	-			
C	CR001	007	G	1,18	0	-5	0	0	0	0	-	-	-	-	-			
Piano Terra				Pilastro 5 (k)						Peso proprio						-1 266		
L	CR001	004	G	0,00	169	0	0	0	-	-	0,00	169	0	0	0			
L	CR001	005	G	0,00	-84	0	0	0	-	-	0,00	-84	0	0	0			
L	CR001	006	G	0,00	-84	0	0	0	-	-	0,00	-84	0	0	0			
L	CR001	007	G	0,00	-84	0	0	0	-	-	0,00	-84	0	0	0			
C	CR001	006	G	1,18	0	5	0	0	0	0	-	-	-	-	-			
C	CR001	007	G	1,18	0	-5	0	0	0	0	-	-	-	-	-			
Piano Terra				Pilastro 6 (k)						Peso proprio						-1 266		
L	CR001	004	G	0,00	169	0	0	0	-	-	0,00	169	0	0	0			
L	CR001	005	G	0,00	-84	0	0	0	-	-	0,00	-84	0	0	0			
L	CR001	006	G	0,00	-84	0	0	0	-	-	0,00	-84	0	0	0			
L	CR001	007	G	0,00	-84	0	0	0	-	-	0,00	-84	0	0	0			
C	CR001	006	G	1,18	0	5	0	0	0	0	-	-	-	-	-			
C	CR001	007	G	1,18	0	-5	0	0	0	0	-	-	-	-	-			
Piano Terra				Pilastro 7 (k)						Peso proprio						-1 266		
L	CR001	004	G	0,00	169	0	0	0	-	-	0,00	169	0	0	0			
L	CR001	005	G	0,00	-84	0	0	0	-	-	0,00	-84	0	0	0			
L	CR001	006	G	0,00	-84	0	0	0	-	-	0,00	-84	0	0	0			
L	CR001	007	G	0,00	-84	0	0	0	-	-	0,00	-84	0	0	0			
C	CR001	006	G	1,18	0	5	0	0	0	0	-	-	-	-	-			
C	CR001	007	G	1,18	0	-5	0	0	0	0	-	-	-	-	-			
Piano Terra																Pilastro 6 (i)	Peso proprio	-1 266
Piano Terra																Pilastro 6 (g)	Peso proprio	-1 266
Piano Terra																Pilastro 6 (e)	Peso proprio	-1 266
Piano Terra																Pilastro 5 (e)	Peso proprio	-1 266
Piano Terra																Pilastro 5 (g)	Peso proprio	-1 266
Piano Terra																Pilastro 5 (i)	Peso proprio	-1 266
Piano Terra																Pilastro 4 (e)	Peso proprio	-1 266
Piano Terra																Pilastro 4 (g)	Peso proprio	-1 266
Piano Terra																Pilastro 4 (i)	Peso proprio	-1 266
Piano Terra																Pilastro 3 (e)	Peso proprio	-1 266
Piano Terra																Pilastro 3 (g)	Peso proprio	-1 266
Piano Terra																Pilastro 3 (i)	Peso proprio	-1 266
Piano Terra																Pilastro 2 (e)	Peso proprio	-1 266
Piano Terra																Pilastro 2 (g)	Peso proprio	-1 266
Piano Terra																Pilastro 2 (i)	Peso proprio	-1 266
Piano Terra																Pilastro 1 (e)	Peso proprio	-1 266
Piano Terra																Pilastro 1 (g)	Peso proprio	-1 266
Piano Terra																Pilastro 1 (i)	Peso proprio	-1 266
Piano Terra																Pilastro 7 (j)	Peso proprio	-1 266
Piano Terra																Pilastro 7 (f)	Peso proprio	-1 266
Piano Terra																Pilastro 7 (h)	Peso proprio	-1 266
Piano Terra																Pilastro 7 (g)	Peso proprio	-1 266

Carichi sui pilastri

TC	C	CC	SR	Dis _i	F _{X,i} /Q _{X,i}	F _{Y,i} /Q _{Y,i}	F _{Z,i} /Q _{Z,i}	M _{X,i} /M _{T,i}	M _{Y,i}	M _{Z,i}	Dis _f	Q _{X,f}	Q _{Y,f}	Q _{Z,f}	M _{T,f}
				[m]	[N;N/m]	[N;N/m]	[N;N/m]	[N-m;N-m/m]	[N-m;N-m/m]	[N-m;N-m/m]	[m]	[N/m]	[N/m]	[N/m]	[N-m/m]
Piano Terra				Pilastro 7 (i)							Peso proprio				-1 266
Piano Terra				Pilastro 7 (e)							Peso proprio				-1 266
Piano Terra				Pilastro 6 (f)							Peso proprio				-1 266
Piano Terra				Pilastro 6 (h)							Peso proprio				-1 266
Piano Terra				Pilastro 6 (j)							Peso proprio				-1 266
Piano Terra				Pilastro 5 (f)							Peso proprio				-1 266
Piano Terra				Pilastro 5 (h)							Peso proprio				-1 266
Piano Terra				Pilastro 5 (j)							Peso proprio				-1 266
Piano Terra				Pilastro 4 (f)							Peso proprio				-1 266
Piano Terra				Pilastro 4 (h)							Peso proprio				-1 266
Piano Terra				Pilastro 4 (j)							Peso proprio				-1 266
Piano Terra				Pilastro 3 (f)							Peso proprio				-1 266
Piano Terra				Pilastro 3 (h)							Peso proprio				-1 266
Piano Terra				Pilastro 3 (j)							Peso proprio				-1 266
Piano Terra				Pilastro 2 (f)							Peso proprio				-1 266
Piano Terra				Pilastro 2 (h)							Peso proprio				-1 266
Piano Terra				Pilastro 2 (j)							Peso proprio				-1 266
Piano Terra				Pilastro 1 (f)							Peso proprio				-1 266
Piano Terra				Pilastro 1 (h)							Peso proprio				-1 266
Piano Terra				Pilastro 1 (j)							Peso proprio				-1 266
Piano Terra				Pilastro 1 (c)							Peso proprio				-1 266
Piano Terra				Pilastro 1 (d)							Peso proprio				-1 266
Piano Terra				Pilastro 1 (b)							Peso proprio				-1 266
Piano Terra				Pilastro 2 (d)							Peso proprio				-1 266
Piano Terra				Pilastro 2 (b)							Peso proprio				-1 266
Piano Terra				Pilastro 3 (d)							Peso proprio				-1 266
Piano Terra				Pilastro 3 (b)							Peso proprio				-1 266
Piano Terra				Pilastro 4 (d)							Peso proprio				-1 266
Piano Terra				Pilastro 4 (b)							Peso proprio				-1 266
Piano Terra				Pilastro 5 (d)							Peso proprio				-1 266
Piano Terra				Pilastro 5 (b)							Peso proprio				-1 266
Piano Terra				Pilastro 6 (d)							Peso proprio				-1 266
Piano Terra				Pilastro 6 (b)							Peso proprio				-1 266
Piano Terra				Pilastro 7 (d)							Peso proprio				-1 266
Piano Terra				Pilastro 7 (b)							Peso proprio				-1 266
Piano Terra				Pilastro 2 (c)							Peso proprio				-1 266
Piano Terra				Pilastro 2 (a)							Peso proprio				-1 266
Piano Terra				Pilastro 3 (c)							Peso proprio				-1 266
Piano Terra				Pilastro 3 (a)							Peso proprio				-1 266
Piano Terra				Pilastro 4 (c)							Peso proprio				-1 266
Piano Terra				Pilastro 4 (a)							Peso proprio				-1 266
Piano Terra				Pilastro 5 (c)							Peso proprio				-1 266
Piano Terra				Pilastro 5 (a)							Peso proprio				-1 266
Piano Terra				Pilastro 6 (c)							Peso proprio				-1 266
Piano Terra				Pilastro 6 (a)							Peso proprio				-1 266
Piano Terra				Pilastro 7 (c)							Peso proprio				-1 266
Piano Terra				Pilastro 7 (a)							Peso proprio				-1 266
Piano Terra				Pilastro 1 (a)							Peso proprio				-1 266

LEGENDA:

TC	Descrizione del tipo di carico: [L] = Lineare - [C] = Concentrato - [S] = Superficiale - [T] = Termico.
C	Descrizione del carico: CR001= Azione del Vento (Pilastro Acciaio)
CC	Identificativo della tipologia di carico nella relativa tabella.
SR	Identificativo del sistema di riferimento considerato: [G] = Sistema di riferimento Globale X, Y, Z - [L] = Sistema di riferimento Locale 1, 2, 3.
Dis_i	Distanza del punto "i" dall'estremo inferiore dell'elemento. Il punto "i", in relazione alla descrizione riportata nella colonna "TC" ("Lineare" o "Concentrato"), indica rispettivamente il punto iniziale del tratto interessato dal carico distribuito o in cui è posizionato il carico concentrato.
M_{X,i}/M_{T,i}	Se nella colonna "TC" è riportato "Concentrato", è il valore del vettore momento concentrato collocato nel punto "i", riferito agli assi del sistema di riferimento indicato nella colonna "S.R.". Se nella colonna "TC" è riportato "Lineare", è il valore nel punto "i", del vettore momento (torcente) distribuito sempre riferito all'asse 1 (asse dell'elemento) del sistema di riferimento locale 1, 2, 3, quale che sia il sistema di riferimento indicato nella colonna "S.R."
Dis_f	Distanza del punto "f" dall'estremo inferiore dell'elemento. Il punto "f" indica il punto finale del tratto interessato dal carico distribuito.
M_{T,f}	Se nella colonna "TC" è riportato "Lineare", è il valore nel punto "f", del vettore momento (torcente) distribuito sempre riferito all'asse 1 (asse dell'elemento) del sistema di riferimento locale 1, 2, 3, quale che sia il sistema di riferimento indicato nella colonna "S.R."
F_{X,i}/Q_{X,i}	Valore (nel punto "i") della forza concentrata/distribuita riferita agli assi del sistema di riferimento indicato nella colonna "S.R."
F_{Y,i}/Q_{Y,i}	
F_{Z,i}/Q_{Z,i}	
M_{Y,i}, M_{Z,i}	Valore (nel punto "i") del vettore momento concentrato riferito agli assi del sistema di riferimento indicato nella colonna "S.R."
Q_{X,f}, Q_{Y,f}	Valore (nel punto "f") della forza distribuita riferita agli assi del sistema di riferimento indicato nella colonna "S.R."
Q_{Z,f}	
ΔT₁, ΔT₂, ΔT₃	Variazione di temperatura rispettivamente lungo gli assi 1, 2 o 3 del sistema locale.

NODI - SPOSTAMENTI PER CONDIZIONI DI CARICO NON SISMICHE

		Nodi - Spostamenti per condizioni di carico non sismiche								
Nodo	CC	S _x	S _y	S _z	Θ _x	Θ _y	Θ _z			
		[cm]	[cm]	[cm]	[rad]	[rad]	[rad]			
00001	001	0,0000	-0,0058	-0,0450	1,2283 E-05	-1,8924 E-08	-1,1625 E-08			
	002	0,0000	-0,0025	-0,0080	5,2762 E-06	-7,7644 E-09	-7,4694 E-09			
	003	0,0000	-0,0179	-0,0576	3,7988 E-05	-5,5903 E-08	-5,378 E-08			
	004	0,4015	-0,0005	0,0000	9,7976 E-06	2,2924 E-03	-2,5524 E-03			
	005	-0,0041	0,0000	0,0000	-7,5235 E-08	-2,0983 E-05	1,1884 E-05			
	006	-0,0041	0,0001	0,0000	-8,4006 E-07	-2,0984 E-05	1,1884 E-05			
	007	-0,0041	-0,0001	0,0000	6,8959 E-07	-2,0981 E-05	1,1884 E-05			
00002	001	0,0000	0,0007	-0,0499	-3,0066 E-06	-8,6635 E-09	2,631 E-08			
	002	0,0000	0,0003	-0,0102	-1,3018 E-06	-5,0713 E-09	1,9794 E-08			

Nodi - Spostamenti per condizioni di carico non sismiche

Nodo	CC	S _x [cm]	S _y [cm]	S _z [cm]	Θ _x [rad]	Θ _y [rad]	Θ _z [rad]
	003	0,0000	0,0021	-0,0731	-9,3727 E-06	-3,6514 E-08	1,4252 E-07
	004	0,5465	-0,0005	0,0000	1,1343 E-05	3,115 E-03	3,171 E-04
	005	-0,0054	0,0000	0,0000	-8,844 E-08	-2,8276 E-05	-6,867 E-06
	006	-0,0054	0,0001	0,0000	-8,7338 E-07	-2,8278 E-05	-6,867 E-06
	007	-0,0054	-0,0001	0,0000	6,965 E-07	-2,8275 E-05	-6,867 E-06
00003	001	0,0000	0,0007	-0,0505	4,5844 E-06	-1,0371 E-08	2,6314 E-08
	002	0,0000	0,0003	-0,0104	2,0367 E-06	-6,2867 E-09	1,9797 E-08
	003	0,0000	0,0023	-0,0747	1,4664 E-05	-4,5264 E-08	1,4254 E-07
	004	1,4300	-0,0024	0,0000	5,1806 E-06	4,0189 E-03	3,1714 E-04
	005	-0,0130	0,0000	0,0000	-3,8743 E-08	-3,3162 E-05	-6,8679 E-06
	006	-0,0130	0,0003	0,0000	-5,3044 E-07	-3,3164 E-05	-6,8679 E-06
	007	-0,0130	-0,0003	0,0000	4,5295 E-07	-3,3161 E-05	-6,8679 E-06
00004	001	0,0000	0,0001	-0,0497	-9,2312 E-07	-6,5365 E-08	2,5321 E-08
	002	0,0000	0,0000	-0,0101	-3,8005 E-07	-4,7012 E-08	1,8726 E-08
	003	0,0000	0,0003	-0,0725	-2,7364 E-06	-3,3849 E-07	1,3483 E-07
	004	0,5237	-0,0005	0,0000	1,1132 E-05	2,9883 E-03	-9,0227 E-05
	005	-0,0040	0,0000	0,0000	-7,5895 E-08	-2,0528 E-05	-2,5571 E-06
	006	-0,0040	0,0001	0,0000	-8,5716 E-07	-2,053 E-05	-2,5571 E-06
	007	-0,0040	-0,0001	0,0000	7,0537 E-07	-2,0526 E-05	-2,5571 E-06
00005	001	0,0000	0,0000	-0,0505	4,598 E-09	-4,7603 E-08	-4,6107 E-08
	002	0,0000	0,0000	-0,0107	3,3562 E-09	-3,4747 E-08	-3,333 E-08
	003	0,0000	0,0000	-0,0768	2,4165 E-08	-2,5018 E-07	-2,3997 E-07
	004	0,5494	-0,0005	0,0000	1,1372 E-05	3,1348 E-03	-7,2949 E-07
	005	-0,0039	0,0000	0,0000	-7,471 E-08	-1,9781 E-05	-1,3096 E-07
	006	-0,0039	0,0001	0,0000	-8,5526 E-07	-1,9783 E-05	-1,3096 E-07
	007	-0,0039	-0,0001	0,0000	7,0584 E-07	-1,9779 E-05	-1,3096 E-07
00006	001	0,0000	-0,0001	-0,0497	9,1557 E-07	2,4357 E-08	-2,0091 E-08
	002	0,0000	0,0000	-0,0101	3,7454 E-07	1,7079 E-08	-1,4421 E-08
	003	0,0000	-0,0003	-0,0725	2,6967 E-06	1,2297 E-07	-1,0383 E-07
	004	0,5240	-0,0005	0,0000	1,1135 E-05	2,9903 E-03	8,6714 E-05
	005	-0,0042	0,0000	0,0000	-7,7404 E-08	-2,136 E-05	4,7786 E-06
	006	-0,0042	0,0001	0,0000	-8,5865 E-07	-2,1362 E-05	4,7786 E-06
	007	-0,0042	-0,0001	0,0000	7,0384 E-07	-2,1359 E-05	4,7786 E-06
00007	001	0,0000	-0,0007	-0,0499	3,0046 E-06	7,8599 E-09	1,5444 E-08
	002	0,0000	-0,0003	-0,0102	1,3003 E-06	4,4849 E-09	1,1861 E-08
	003	0,0000	-0,0021	-0,0731	9,3622 E-06	3,2291 E-08	8,5401 E-08
	004	0,5453	-0,0005	0,0000	1,1333 E-05	3,1083 E-03	-2,8861 E-04
	005	-0,0048	0,0000	0,0000	-8,3575 E-08	-2,4969 E-05	-7,2951 E-06
	006	-0,0048	0,0001	0,0000	-8,6836 E-07	-2,4971 E-05	-7,2951 E-06
	007	-0,0048	-0,0001	0,0000	7,0121 E-07	-2,4967 E-05	-7,2951 E-06
00008	001	0,0000	-0,0007	-0,0505	-4,5883 E-06	9,085 E-09	1,5446 E-08
	002	0,0000	-0,0003	-0,0104	-2,0396 E-06	5,3481 E-09	1,1863 E-08
	003	0,0000	-0,0023	-0,0747	-1,4685 E-05	3,8506 E-08	8,5413 E-08
	004	1,4269	-0,0024	0,0000	5,181 E-06	4,0106 E-03	-2,8865 E-04
	005	-0,0115	0,0000	0,0000	-3,8882 E-08	-2,9061 E-05	-7,2962 E-06
	006	-0,0115	0,0003	0,0000	-5,3029 E-07	-2,9063 E-05	-7,2961 E-06
	007	-0,0115	-0,0003	0,0000	4,5252 E-07	-2,9059 E-05	-7,2962 E-06
00009	001	0,0000	0,0058	-0,0450	-1,2285 E-05	1,9412 E-08	-7,5395 E-09
	002	0,0000	0,0025	-0,0080	-5,2778 E-06	8,1246 E-09	-4,49 E-09
	003	0,0000	0,0179	-0,0576	-3,8 E-05	5,8497 E-08	-3,2328 E-08
	004	0,4053	-0,0005	0,0000	9,833 E-06	2,3139 E-03	2,4614 E-03
	005	-0,0060	0,0000	0,0000	-9,2891 E-08	-3,162 E-05	3,3315 E-05
	006	-0,0060	0,0001	0,0000	-8,5923 E-07	-3,1622 E-05	3,3315 E-05
	007	-0,0060	-0,0001	0,0000	6,7345 E-07	-3,1618 E-05	3,3315 E-05
00010	001	-0,0022	0,0011	-0,0958	1,1452 E-05	2,8751 E-04	-1,1627 E-08
	002	-0,0016	0,0003	-0,0459	2,3462 E-05	2,0987 E-04	-7,4705 E-09
	003	-0,0113	0,0021	-0,3308	1,6893 E-04	1,511 E-03	-5,3788 E-08
	004	0,9441	-0,5094	-0,8290	6,5802 E-06	3,4815 E-03	-2,1301 E-03
	005	-0,0091	0,0028	0,0057	-4,92 E-08	-2,4034 E-05	1,1885 E-05
	006	-0,0091	0,0031	0,0058	-6,7808 E-07	-2,4036 E-05	1,1885 E-05
	007	-0,0091	0,0026	0,0057	5,7968 E-07	-2,4033 E-05	1,1885 E-05
00011	001	0,0022	0,0011	-0,0958	1,1452 E-05	-2,8755 E-04	-1,1627 E-08
	002	0,0016	0,0003	-0,0459	2,3462 E-05	-2,0988 E-04	-7,4705 E-09
	003	0,0113	0,0021	-0,3308	1,6893 E-04	-1,5112 E-03	-5,3788 E-08
	004	0,9441	0,5045	0,8283	6,5802 E-06	3,4815 E-03	-2,1301 E-03
	005	-0,0091	-0,0028	-0,0057	-4,92 E-08	-2,4034 E-05	1,1885 E-05
	006	-0,0091	-0,0025	-0,0057	-6,7808 E-07	-2,4036 E-05	1,1885 E-05
	007	-0,0091	-0,0031	-0,0058	5,7968 E-07	-2,4033 E-05	1,1885 E-05
00012	001	0,0022	0,0004	-0,1024	8,4824 E-05	-2,8755 E-04	-1,1627 E-08
	002	0,0016	-0,0002	-0,0517	6,9815 E-05	-2,0988 E-04	-7,4705 E-09
	003	0,0113	-0,0012	-0,3721	5,0267 E-04	-1,5112 E-03	-5,3788 E-08
	004	0,7569	0,4374	0,9497	6,5802 E-06	3,9945 E-03	-1,8482 E-03
	005	-0,0079	-0,0028	-0,0057	-4,92 E-08	-2,4034 E-05	1,1885 E-05
	006	-0,0079	-0,0025	-0,0056	-6,7808 E-07	-2,4036 E-05	1,1885 E-05
	007	-0,0079	-0,0031	-0,0058	5,7968 E-07	-2,4033 E-05	1,1885 E-05
00013	001	-0,0022	0,0004	-0,1024	8,4824 E-05	2,8751 E-04	-1,1627 E-08
	002	-0,0016	-0,0002	-0,0517	6,9815 E-05	2,0987 E-04	-7,4705 E-09
	003	-0,0113	-0,0013	-0,3721	5,0267 E-04	1,511 E-03	-5,3788 E-08
	004	0,7569	-0,4423	-0,9517	6,5802 E-06	3,9945 E-03	-1,8482 E-03
	005	-0,0079	0,0028	0,0057	-4,92 E-08	-2,4034 E-05	1,1885 E-05
	006	-0,0079	0,0031	0,0058	-6,7808 E-07	-2,4036 E-05	1,1885 E-05
	007	-0,0079	0,0026	0,0056	5,7968 E-07	-2,4033 E-05	1,1885 E-05
00014	001	0,0022	0,0046	-0,1102	-3,4534 E-04	-2,8755 E-04	-1,1409 E-08
	002	0,0016	0,0022	-0,0521	-1,6642 E-04	-2,0988 E-04	-7,314 E-09
	003	0,0113	0,0157	-0,3753	-1,1982 E-03	-1,5112 E-03	-5,2661 E-08

Nodi - Spostamenti per condizioni di carico non sismiche

Nodo	CC	S _x [cm]	S _y [cm]	S _z [cm]	Θ _x [rad]	Θ _y [rad]	Θ _z [rad]
	004	1,2032	0,6885	0,9255	4,0446 E-06	3,8875 E-03	-2,9032 E-03
	005	-0,0103	-0,0028	-0,0059	-3,024 E-08	-2,4726 E-05	1,1764 E-05
	006	-0,0103	-0,0025	-0,0059	-4,1724 E-07	-2,4727 E-05	1,1764 E-05
	007	-0,0103	-0,0031	-0,0059	3,5676 E-07	-2,4724 E-05	1,1764 E-05
00015	001	-0,0022	0,0046	-0,1102	-3,4534 E-04	2,8751 E-04	-1,1409 E-08
	002	-0,0016	0,0022	-0,0521	-1,6642 E-04	2,0987 E-04	-7,314 E-09
	003	-0,0113	0,0157	-0,3753	-1,1982 E-03	1,511 E-03	-5,2661 E-08
	004	1,2032	-0,6934	-0,9250	4,0446 E-06	3,8875 E-03	-2,9032 E-03
	005	-0,0103	0,0028	0,0059	-3,024 E-08	-2,4726 E-05	1,1764 E-05
	006	-0,0103	0,0031	0,0059	-4,1724 E-07	-2,4727 E-05	1,1764 E-05
	007	-0,0103	0,0025	0,0059	3,5676 E-07	-2,4724 E-05	1,1764 E-05
00016	001	0,0022	0,0058	-0,1555	-4,629 E-04	-2,8755 E-04	-9,6672 E-09
	002	0,0016	0,0028	-0,0743	-2,2798 E-04	-2,0988 E-04	-6,0621 E-09
	003	0,0113	0,0199	-0,5347	-1,6414 E-03	-1,5112 E-03	-4,3647 E-08
	004	1,5052	0,6179	1,2410	1,6809 E-07	5,2124 E-03	-2,6061 E-03
	005	-0,0114	-0,0026	-0,0062	-1,2558 E-09	-2,6109 E-05	1,0792 E-05
	006	-0,0114	-0,0023	-0,0063	-1,8337 E-08	-2,6111 E-05	1,0792 E-05
	007	-0,0114	-0,0028	-0,0062	1,5825 E-08	-2,6107 E-05	1,0792 E-05
00017	001	-0,0022	0,0058	-0,1554	-4,629 E-04	2,8751 E-04	-9,6672 E-09
	002	-0,0016	0,0028	-0,0743	-2,2798 E-04	2,0987 E-04	-6,0621 E-09
	003	-0,0113	0,0199	-0,5347	-1,6414 E-03	1,511 E-03	-4,3647 E-08
	004	1,5052	-0,6226	-1,2401	1,6809 E-07	5,2124 E-03	-2,6061 E-03
	005	-0,0114	0,0026	0,0062	-1,2558 E-09	-2,6109 E-05	1,0792 E-05
	006	-0,0114	0,0029	0,0062	-1,8337 E-08	-2,6111 E-05	1,0792 E-05
	007	-0,0114	0,0023	0,0063	1,5825 E-08	-2,6107 E-05	1,0792 E-05
00018	001	0,0022	0,0036	-0,1941	-2,5746 E-04	-2,8754 E-04	-6,1833 E-09
	002	0,0016	0,0017	-0,0934	-1,2793 E-04	-2,0988 E-04	-3,5582 E-09
	003	0,0113	0,0125	-0,6725	-9,2111 E-04	-1,5111 E-03	-2,5619 E-08
	004	1,7227	0,3423	1,4341	-2,1152 E-06	6,0243 E-03	-1,4482 E-03
	005	-0,0124	-0,0021	-0,0065	1,5816 E-08	-2,7492 E-05	8,8476 E-06
	006	-0,0124	-0,0018	-0,0066	2,1686 E-07	-2,7494 E-05	8,8476 E-06
	007	-0,0124	-0,0024	-0,0065	-1,8523 E-07	-2,749 E-05	8,8476 E-06
00019	001	-0,0022	0,0036	-0,1941	-2,5746 E-04	2,8751 E-04	-6,1833 E-09
	002	-0,0016	0,0017	-0,0934	-1,2793 E-04	2,0987 E-04	-3,5582 E-09
	003	-0,0113	0,0125	-0,6725	-9,2111 E-04	1,511 E-03	-2,5619 E-08
	004	1,7227	-0,3470	-1,4335	-2,1152 E-06	6,0243 E-03	-1,4482 E-03
	005	-0,0124	0,0021	0,0065	1,5816 E-08	-2,7492 E-05	8,8476 E-06
	006	-0,0124	0,0024	0,0065	2,1686 E-07	-2,7494 E-05	8,8476 E-06
	007	-0,0124	0,0018	0,0066	-1,8523 E-07	-2,749 E-05	8,8476 E-06
00020	001	0,0022	0,0001	-0,2033	8,4772 E-05	-2,8754 E-04	-9,5729 E-10
	002	0,0016	0,0000	-0,0980	4,101 E-05	-2,0988 E-04	1,9759 E-10
	003	0,0113	0,0001	-0,7057	2,9527 E-04	-1,5111 E-03	1,4226 E-09
	004	1,7980	-0,0040	1,5050	-2,8052 E-06	6,3234 E-03	6,7581 E-06
	005	-0,0132	-0,0014	-0,0069	2,0974 E-08	-2,8875 E-05	5,9313 E-06
	006	-0,0132	-0,0011	-0,0069	2,8834 E-07	-2,8877 E-05	5,9313 E-06
	007	-0,0132	-0,0017	-0,0069	-2,4639 E-07	-2,8873 E-05	5,9313 E-06
00021	001	-0,0022	0,0001	-0,2033	8,4772 E-05	2,8751 E-04	-9,5729 E-10
	002	-0,0016	0,0000	-0,0980	4,101 E-05	2,0987 E-04	1,9759 E-10
	003	-0,0113	0,0001	-0,7056	2,9527 E-04	1,5111 E-03	1,4226 E-09
	004	1,7980	-0,0007	-1,5049	-2,8052 E-06	6,3234 E-03	6,7581 E-06
	005	-0,0132	0,0014	0,0069	2,0974 E-08	-2,8875 E-05	5,9313 E-06
	006	-0,0132	0,0017	0,0069	2,8834 E-07	-2,8877 E-05	5,9313 E-06
	007	-0,0132	0,0011	0,0069	-2,4639 E-07	-2,8873 E-05	5,9313 E-06
00022	001	0,0022	-0,0028	-0,1785	3,7757 E-04	-2,8754 E-04	6,0107 E-09
	002	0,0016	-0,0015	-0,0858	1,8614 E-04	-2,0988 E-04	5,2053 E-09
	003	0,0113	-0,0105	-0,6180	1,3402 E-03	-1,5111 E-03	3,7478 E-08
	004	1,7294	-0,2868	1,4538	-1,902 E-06	6,1095 E-03	1,1952 E-03
	005	-0,0136	-0,0005	-0,0072	1,4219 E-08	-3,0258 E-05	2,0428 E-06
	006	-0,0136	-0,0002	-0,0072	1,9611 E-07	-3,026 E-05	2,0428 E-06
	007	-0,0136	-0,0008	-0,0072	-1,6768 E-07	-3,0256 E-05	2,0428 E-06
00023	001	-0,0022	-0,0028	-0,1785	3,7757 E-04	2,8752 E-04	6,0107 E-09
	002	-0,0016	-0,0015	-0,0858	1,8614 E-04	2,0987 E-04	5,2053 E-09
	003	-0,0113	-0,0105	-0,6180	1,3402 E-03	1,5111 E-03	3,7478 E-08
	004	1,7294	0,2821	-1,4543	-1,902 E-06	6,1095 E-03	1,1952 E-03
	005	-0,0136	0,0005	0,0072	1,4219 E-08	-3,0258 E-05	2,0428 E-06
	006	-0,0136	0,0008	0,0072	1,9611 E-07	-3,026 E-05	2,0428 E-06
	007	-0,0136	0,0002	0,0072	-1,6768 E-07	-3,0256 E-05	2,0428 E-06
00024	001	0,0022	-0,0035	-0,1341	4,3473 E-04	-2,8754 E-04	1,4721 E-08
	002	0,0016	-0,0018	-0,0639	2,1476 E-04	-2,0988 E-04	1,1465 E-08
	003	0,0113	-0,0128	-0,4601	1,5463 E-03	-1,5111 E-03	8,2548 E-08
	004	1,5718	-0,3721	1,2808	5,9442 E-07	5,3826 E-03	1,5534 E-03
	005	-0,0136	0,0007	-0,0075	-4,4485 E-09	-3,1641 E-05	-2,8179 E-06
	006	-0,0136	0,0010	-0,0075	-5,9821 E-08	-3,1643 E-05	-2,8179 E-06
	007	-0,0136	0,0004	-0,0076	5,0925 E-08	-3,1639 E-05	-2,8179 E-06
00025	001	-0,0022	-0,0035	-0,1341	4,3473 E-04	2,8752 E-04	1,4721 E-08
	002	-0,0016	-0,0018	-0,0639	2,1476 E-04	2,0987 E-04	1,1465 E-08
	003	-0,0113	-0,0128	-0,4600	1,5463 E-03	1,5111 E-03	8,2548 E-08
	004	1,5718	0,3673	-1,2814	5,9442 E-07	5,3826 E-03	1,5534 E-03
	005	-0,0136	-0,0007	0,0075	-4,4485 E-09	-3,1641 E-05	-2,8179 E-06
	006	-0,0136	-0,0004	0,0076	-5,9821 E-08	-3,1643 E-05	-2,8179 E-06
	007	-0,0136	-0,0009	0,0075	5,0925 E-08	-3,1639 E-05	-2,8179 E-06
00026	001	0,0022	0,0007	-0,1023	4,5844 E-06	-2,8754 E-04	2,6314 E-08
	002	0,0016	0,0003	-0,0482	2,0367 E-06	-2,0988 E-04	1,9797 E-08
	003	0,0113	0,0023	-0,3473	1,4664 E-05	-1,5111 E-03	1,4254 E-07
	004	1,4336	-0,0779	0,9565	5,1806 E-06	4,0189 E-03	3,1714 E-04

Nodi - Spostamenti per condizioni di carico non sismiche

Nodo	CC	S _x [cm]	S _y [cm]	S _z [cm]	Θ _x [rad]	Θ _y [rad]	Θ _z [rad]
	005	-0,0131	0,0017	-0,0079	-3,8743 E-08	-3,3162 E-05	-6,8679 E-06
	006	-0,0131	0,0019	-0,0079	-5,3044 E-07	-3,3164 E-05	-6,8679 E-06
	007	-0,0131	0,0014	-0,0079	4,5295 E-07	-3,3161 E-05	-6,8679 E-06
00027	001	-0,0022	0,0008	-0,1023	4,5844 E-06	2,8752 E-04	2,6314 E-08
	002	-0,0016	0,0003	-0,0482	2,0367 E-06	2,0987 E-04	1,9797 E-08
	003	-0,0113	0,0023	-0,3473	1,4664 E-05	1,5111 E-03	1,4254 E-07
	004	1,4336	0,0730	-0,9565	5,1806 E-06	4,0189 E-03	3,1714 E-04
	005	-0,0131	-0,0016	0,0079	-3,8743 E-08	-3,3162 E-05	-6,8679 E-06
	006	-0,0131	-0,0013	0,0079	-5,3044 E-07	-3,3164 E-05	-6,8679 E-06
	007	-0,0131	-0,0019	0,0079	4,5295 E-07	-3,3161 E-05	-6,8679 E-06
00028	001	0,0022	0,0045	-0,1240	-3,7981 E-04	-2,8755 E-04	3,5232 E-08
	002	0,0016	0,0022	-0,0591	-1,8937 E-04	-2,0989 E-04	2,6199 E-08
	003	0,0113	0,0159	-0,4254	-1,3635 E-03	-1,5112 E-03	1,8864 E-07
	004	1,4855	0,2159	1,2714	1,5307 E-06	5,3407 E-03	-9,1735 E-04
	005	-0,0124	0,0016	-0,0076	-1,1519 E-08	-3,1839 E-05	-6,646 E-06
	006	-0,0124	0,0019	-0,0076	-1,5713 E-07	-3,1841 E-05	-6,646 E-06
	007	-0,0124	0,0013	-0,0076	1,3409 E-07	-3,1837 E-05	-6,646 E-06
00029	001	-0,0022	0,0045	-0,1240	-3,7981 E-04	2,875 E-04	3,5232 E-08
	002	-0,0016	0,0022	-0,0591	-1,8937 E-04	2,0986 E-04	2,6199 E-08
	003	-0,0114	0,0160	-0,4253	-1,3635 E-03	1,511 E-03	1,8864 E-07
	004	1,4855	-0,2207	-1,2708	1,5307 E-06	5,3407 E-03	-9,1735 E-04
	005	-0,0124	-0,0016	0,0076	-1,1519 E-08	-3,1839 E-05	-6,646 E-06
	006	-0,0124	-0,0013	0,0075	-1,5713 E-07	-3,1841 E-05	-6,646 E-06
	007	-0,0124	-0,0019	0,0076	1,3409 E-07	-3,1837 E-05	-6,646 E-06
00030	001	0,0021	0,0045	-0,1665	-3,8706 E-04	-2,8757 E-04	4,1788 E-08
	002	0,0016	0,0022	-0,0802	-1,9285 E-04	-2,099 E-04	3,0888 E-08
	003	0,0113	0,0159	-0,5777	-1,3885 E-03	-1,5113 E-03	2,2239 E-07
	004	1,6040	0,2381	1,4988	-1,1685 E-06	6,2964 E-03	-1,0106 E-03
	005	-0,0117	0,0015	-0,0072	8,631 E-09	-3,0368 E-05	-6,2639 E-06
	006	-0,0117	0,0018	-0,0073	1,1904 E-07	-3,037 E-05	-6,2639 E-06
	007	-0,0117	0,0012	-0,0072	-1,0177 E-07	-3,0367 E-05	-6,2639 E-06
00031	001	-0,0022	0,0046	-0,1665	-3,8706 E-04	2,8749 E-04	4,1788 E-08
	002	-0,0016	0,0022	-0,0802	-1,9285 E-04	2,0984 E-04	3,0888 E-08
	003	-0,0114	0,0160	-0,5776	-1,3885 E-03	1,5109 E-03	2,2239 E-07
	004	1,6040	-0,2429	-1,4983	-1,1685 E-06	6,2964 E-03	-1,0106 E-03
	005	-0,0117	-0,0015	0,0072	8,631 E-09	-3,0368 E-05	-6,2639 E-06
	006	-0,0117	-0,0012	0,0072	1,1904 E-07	-3,037 E-05	-6,2639 E-06
	007	-0,0117	-0,0018	0,0073	-1,0177 E-07	-3,0367 E-05	-6,2639 E-06
00032	001	0,0021	0,0019	-0,1945	-1,3327 E-04	-2,8759 E-04	4,4814 E-08
	002	0,0016	0,0009	-0,0942	-6,6387 E-05	-2,0992 E-04	3,3024 E-08
	003	0,0113	0,0066	-0,6781	-4,7799 E-04	-1,5114 E-03	2,3777 E-07
	004	1,6803	0,0707	1,6040	-2,44 E-06	6,7392 E-03	-3,0693 E-04
	005	-0,0111	0,0014	-0,0069	1,8149 E-08	-2,8898 E-05	-5,7391 E-06
	006	-0,0111	0,0017	-0,0069	2,4928 E-07	-2,89 E-05	-5,7391 E-06
	007	-0,0111	0,0011	-0,0069	-2,1298 E-07	-2,8896 E-05	-5,7391 E-06
00033	001	-0,0022	0,0020	-0,1944	-1,3327 E-04	2,8747 E-04	4,4814 E-08
	002	-0,0016	0,0009	-0,0942	-6,6387 E-05	2,0983 E-04	3,3024 E-08
	003	-0,0114	0,0067	-0,6779	-4,7799 E-04	1,5108 E-03	2,3777 E-07
	004	1,6803	-0,0754	-1,6038	-2,44 E-06	6,7392 E-03	-3,0693 E-04
	005	-0,0111	-0,0013	0,0069	1,8149 E-08	-2,8898 E-05	-5,7391 E-06
	006	-0,0111	-0,0011	0,0069	2,4928 E-07	-2,89 E-05	-5,7391 E-06
	007	-0,0111	-0,0016	0,0069	-2,1298 E-07	-2,8896 E-05	-5,7391 E-06
00034	001	0,0021	-0,0014	-0,1912	1,9537 E-04	-2,8761 E-04	4,4311 E-08
	002	0,0016	-0,0007	-0,0925	9,7315 E-05	-2,0993 E-04	3,2607 E-08
	003	0,0112	-0,0053	-0,6662	7,0067 E-04	-1,5115 E-03	2,3477 E-07
	004	1,6628	-0,1523	1,5871	-2,2839 E-06	6,6691 E-03	6,2996 E-04
	005	-0,0105	0,0012	-0,0065	1,7037 E-08	-2,7427 E-05	-5,0718 E-06
	006	-0,0105	0,0015	-0,0065	2,3361 E-07	-2,7429 E-05	-5,0718 E-06
	007	-0,0105	0,0009	-0,0065	-1,9954 E-07	-2,7426 E-05	-5,0718 E-06
00035	001	-0,0022	-0,0014	-0,1911	1,9537 E-04	2,8745 E-04	4,4311 E-08
	002	-0,0016	-0,0007	-0,0925	9,7315 E-05	2,0982 E-04	3,2607 E-08
	003	-0,0114	-0,0052	-0,6660	7,0067 E-04	1,5107 E-03	2,3477 E-07
	004	1,6628	0,1476	-1,5874	-2,2839 E-06	6,6691 E-03	6,2996 E-04
	005	-0,0105	-0,0012	0,0065	1,7037 E-08	-2,7427 E-05	-5,0718 E-06
	006	-0,0105	-0,0009	0,0065	2,3361 E-07	-2,7429 E-05	-5,0718 E-06
	007	-0,0105	-0,0015	0,0065	-1,9954 E-07	-2,7426 E-05	-5,0718 E-06
00036	001	0,0021	-0,0036	-0,1584	4,1263 E-04	-2,8762 E-04	4,0279 E-08
	002	0,0016	-0,0018	-0,0762	2,0555 E-04	-2,0994 E-04	2,9637 E-08
	003	0,0112	-0,0133	-0,5487	1,4799 E-03	-1,5116 E-03	2,1338 E-07
	004	1,5566	-0,2967	1,4482	-7,0008 E-07	6,086 E-03	1,2364 E-03
	005	-0,0101	0,0010	-0,0062	5,2931 E-09	-2,5957 E-05	-4,2618 E-06
	006	-0,0101	0,0013	-0,0061	7,2022 E-08	-2,5959 E-05	-4,2618 E-06
	007	-0,0101	0,0007	-0,0062	-6,1436 E-08	-2,5955 E-05	-4,2618 E-06
00037	001	-0,0022	-0,0036	-0,1583	4,1263 E-04	2,8744 E-04	4,0279 E-08
	002	-0,0016	-0,0018	-0,0762	2,0555 E-04	2,0981 E-04	2,9637 E-08
	003	-0,0115	-0,0132	-0,5484	1,4799 E-03	1,5106 E-03	2,1338 E-07
	004	1,5566	0,2919	-1,4488	-7,0008 E-07	6,086 E-03	1,2364 E-03
	005	-0,0101	-0,0010	0,0062	5,2931 E-09	-2,5957 E-05	-4,2618 E-06
	006	-0,0101	-0,0007	0,0062	7,2022 E-08	-2,5959 E-05	-4,2618 E-06
	007	-0,0101	-0,0013	0,0061	-6,1436 E-08	-2,5955 E-05	-4,2618 E-06
00038	001	0,0021	-0,0029	-0,1166	3,3229 E-04	-2,8764 E-04	3,2717 E-08
	002	0,0016	-0,0015	-0,0554	1,656 E-04	-2,0995 E-04	2,4114 E-08
	003	0,0112	-0,0106	-0,3988	1,1924 E-03	-1,5117 E-03	1,7362 E-07
	004	1,4227	-0,2282	1,1874	2,3114 E-06	4,99 E-03	9,4883 E-04
	005	-0,0097	0,0008	-0,0058	-1,7082 E-08	-2,4486 E-05	-3,3091 E-06

Nodi - Spostamenti per condizioni di carico non sismiche

Nodo	CC	S _x [cm]	S _y [cm]	S _z [cm]	Θ _x [rad]	Θ _y [rad]	Θ _z [rad]
	006	-0,0097	0,0011	-0,0058	-2,3549 E-07	-2,4488 E-05	-3,3091 E-06
	007	-0,0097	0,0005	-0,0058	2,0132 E-07	-2,4485 E-05	-3,3091 E-06
00039	001	-0,0022	-0,0029	-0,1166	3,3229 E-04	2,8742 E-04	3,2717 E-08
	002	-0,0016	-0,0015	-0,0554	2,098 E-04	2,098 E-04	2,4114 E-08
	003	-0,0115	-0,0105	-0,3985	1,1924 E-03	1,5105 E-03	1,7362 E-07
	004	1,4227	0,2234	-1,1879	2,3114 E-06	4,99 E-03	9,4883 E-04
	005	-0,0097	-0,0008	0,0058	-1,7082 E-08	-2,4486 E-05	-3,3091 E-06
	006	-0,0097	-0,0005	0,0059	-2,3549 E-07	-2,4488 E-05	-3,3091 E-06
	007	-0,0097	-0,0011	0,0058	2,0132 E-07	-2,4485 E-05	-3,3091 E-06
00040	001	0,0021	0,0021	-0,1057	-1,7677 E-04	-2,8814 E-04	2,1798 E-08
	002	0,0015	0,0010	-0,0500	-8,7887 E-05	-2,1032 E-04	1,6162 E-08
	003	0,0111	0,0075	-0,3597	-6,3279 E-04	-1,5143 E-03	1,1637 E-07
	004	1,3911	0,1472	1,0499	3,9094 E-06	4,4108 E-03	-6,288 E-04
	005	-0,0094	0,0005	-0,0056	-2,8993 E-08	-2,3413 E-05	-2,2306 E-06
	006	-0,0094	0,0008	-0,0056	-3,9898 E-07	-2,3415 E-05	-2,2306 E-06
	007	-0,0094	0,0003	-0,0056	3,41 E-07	-2,3411 E-05	-2,2306 E-06
00041	001	-0,0022	0,0021	-0,1054	-1,7677 E-04	2,8692 E-04	2,1798 E-08
	002	-0,0016	0,0010	-0,0497	-8,7887 E-05	2,0943 E-04	1,6162 E-08
	003	-0,0115	0,0075	-0,3581	-6,3279 E-04	1,5079 E-03	1,1637 E-07
	004	1,3911	-0,1521	-1,0496	3,9094 E-06	4,4108 E-03	-6,288 E-04
	005	-0,0094	-0,0005	0,0056	-2,8993 E-08	-2,3413 E-05	-2,2306 E-06
	006	-0,0094	-0,0002	0,0056	-3,9898 E-07	-2,3415 E-05	-2,2306 E-06
	007	-0,0094	-0,0008	0,0056	3,41 E-07	-2,3411 E-05	-2,2306 E-06
00042	001	0,0021	0,0046	-0,1417	-4,2872 E-04	-2,8977 E-04	1,0237 E-08
	002	0,0015	0,0023	-0,0680	-2,1355 E-04	-2,1151 E-04	7,7452 E-09
	003	0,0111	0,0163	-0,4896	-1,5376 E-03	-1,5229 E-03	5,5766 E-08
	004	1,5229	0,3342	1,3619	3,1288 E-07	5,721 E-03	-1,4144 E-03
	005	-0,0092	0,0003	-0,0055	-2,3333 E-09	-2,3266 E-05	-1,2901 E-06
	006	-0,0092	0,0006	-0,0056	-3,2327 E-08	-2,3268 E-05	-1,2901 E-06
	007	-0,0092	0,0000	-0,0055	2,766 E-08	-2,3265 E-05	-1,2901 E-06
00043	001	-0,0022	0,0046	-0,1407	-4,2872 E-04	2,8529 E-04	1,0237 E-08
	002	-0,0016	0,0023	-0,0672	-2,1355 E-04	2,0824 E-04	7,7452 E-09
	003	-0,0116	0,0164	-0,4840	-1,5376 E-03	1,4993 E-03	5,5766 E-08
	004	1,5229	-0,3390	-1,3613	3,1288 E-07	5,721 E-03	-1,4144 E-03
	005	-0,0092	-0,0003	0,0055	-2,3333 E-09	-2,3266 E-05	-1,2901 E-06
	006	-0,0092	0,0000	0,0055	-3,2327 E-08	-2,3268 E-05	-1,2901 E-06
	007	-0,0092	-0,0006	0,0056	2,766 E-08	-2,3265 E-05	-1,2901 E-06
00044	001	0,0021	0,0033	-0,1822	-3,0825 E-04	-2,914 E-04	-1,029 E-09
	002	0,0015	0,0016	-0,0883	-1,5376 E-04	-2,127 E-04	-4,6044 E-10
	003	0,0110	0,0119	-0,6355	-1,1071 E-03	-1,5314 E-03	-3,3151 E-09
	004	1,6645	0,2496	1,5516	-1,8449 E-06	6,5184 E-03	-1,0587 E-03
	005	-0,0091	0,0002	-0,0055	1,3665 E-08	-2,312 E-05	-5,788 E-07
	006	-0,0091	0,0004	-0,0055	1,8774 E-07	-2,3122 E-05	-5,788 E-07
	007	-0,0091	-0,0001	-0,0055	-1,6041 E-07	-2,3118 E-05	-5,788 E-07
00045	001	-0,0022	0,0033	-0,1801	-3,0825 E-04	2,8247 E-04	-1,029 E-09
	002	-0,0016	0,0016	-0,0867	-1,5376 E-04	2,0618 E-04	-4,6044 E-10
	003	-0,0117	0,0119	-0,6243	-1,1071 E-03	1,4845 E-03	-3,3151 E-09
	004	1,6645	-0,2540	-1,5490	-1,8449 E-06	6,5184 E-03	-1,0587 E-03
	005	-0,0091	0,0001	0,0055	1,3665 E-08	-2,312 E-05	-5,788 E-07
	006	-0,0091	0,0002	0,0055	1,8774 E-07	-2,3122 E-05	-5,788 E-07
	007	-0,0091	-0,0004	0,0055	-1,6041 E-07	-2,3118 E-05	-5,788 E-07
00046	001	0,0021	0,0002	-0,1989	-1,5178 E-06	-2,9194 E-04	-1,2 E-08
	002	0,0015	0,0001	-0,0966	-1,1877 E-06	-2,1309 E-04	-8,4546 E-09
	003	0,0109	0,0007	-0,6958	-8,5511 E-06	-1,5343 E-03	-6,0873 E-08
	004	1,7300	0,0274	1,6191	-2,5638 E-06	6,8031 E-03	-1,2507 E-04
	005	-0,0091	0,0000	-0,0055	1,9001 E-08	-2,2973 E-05	-9,659 E-08
	006	-0,0091	0,0003	-0,0055	2,6123 E-07	-2,2975 E-05	-9,659 E-08
	007	-0,0091	-0,0002	-0,0055	-2,2323 E-07	-2,2972 E-05	-9,6589 E-08
00047	001	-0,0022	0,0002	-0,1965	-1,5178 E-06	2,8193 E-04	-1,2 E-08
	002	-0,0016	0,0001	-0,0949	-1,1877 E-06	2,0579 E-04	-8,4546 E-09
	003	-0,0117	0,0007	-0,6833	-8,5511 E-06	1,4817 E-03	-6,0873 E-08
	004	1,7299	-0,0321	-1,6169	-2,5638 E-06	6,8031 E-03	-1,2507 E-04
	005	-0,0091	0,0000	0,0055	1,9001 E-08	-2,2973 E-05	-9,659 E-08
	006	-0,0091	0,0003	0,0055	2,6123 E-07	-2,2975 E-05	-9,659 E-08
	007	-0,0091	-0,0003	0,0055	-2,2323 E-07	-2,2972 E-05	-9,6589 E-08
00048	001	0,0021	-0,0029	-0,1825	3,0534 E-04	-2,9139 E-04	-2,2677 E-08
	002	0,0015	-0,0015	-0,0885	1,5153 E-04	-2,1269 E-04	-1,6237 E-08
	003	0,0110	-0,0105	-0,6372	1,091 E-03	-1,5314 E-03	-1,1691 E-07
	004	1,6897	-0,1983	1,5647	-1,8441 E-06	6,5753 E-03	8,2316 E-04
	005	-0,0091	0,0000	-0,0054	1,3676 E-08	-2,2827 E-05	1,5649 E-07
	006	-0,0091	0,0003	-0,0054	1,8813 E-07	-2,2828 E-05	1,5649 E-07
	007	-0,0091	-0,0003	-0,0055	-1,6077 E-07	-2,2825 E-05	1,5649 E-07
00049	001	-0,0022	-0,0029	-0,1804	3,0534 E-04	2,8248 E-04	-2,2677 E-08
	002	-0,0016	-0,0015	-0,0869	1,5153 E-04	2,0619 E-04	-1,6237 E-08
	003	-0,0116	-0,0105	-0,6260	1,091 E-03	1,4845 E-03	-1,1691 E-07
	004	1,6897	0,1933	-1,5630	-1,8441 E-06	6,5753 E-03	8,2316 E-04
	005	-0,0091	0,0001	0,0054	1,3676 E-08	-2,2827 E-05	1,5649 E-07
	006	-0,0091	0,0003	0,0054	1,8813 E-07	-2,2828 E-05	1,5649 E-07
	007	-0,0091	-0,0002	0,0054	-1,6077 E-07	-2,2825 E-05	1,5649 E-07
00050	001	0,0021	-0,0042	-0,1423	4,2619 E-04	-2,8975 E-04	-3,3058 E-08
	002	0,0015	-0,0021	-0,0684	2,1174 E-04	-2,115 E-04	-2,3808 E-08
	003	0,0111	-0,0150	-0,4927	1,5245 E-03	-1,5228 E-03	-1,7142 E-07
	004	1,5703	-0,2934	1,3884	3,1441 E-07	5,835 E-03	1,2227 E-03
	005	-0,0091	0,0000	-0,0054	-2,3111 E-09	-2,268 E-05	1,8044 E-07
	006	-0,0091	0,0003	-0,0054	-3,1559 E-08	-2,2682 E-05	1,8044 E-07

Nodi - Spostamenti per condizioni di carico non sismiche

Nodo	CC	Sx [cm]	Sy [cm]	Sz [cm]	Θx [rad]	Θy [rad]	Θz [rad]
	007	-0,0091	-0,0003	-0,0054	2,6937 E-08	-2,2678 E-05	1,8044 E-07
00051	001	-0,0022	-0,0042	-0,1412	4,2619 E-04	2,8531 E-04	-3,3058 E-08
	002	-0,0016	-0,0021	-0,0677	2,1174 E-04	2,0825 E-04	-2,3808 E-08
	003	-0,0116	-0,0150	-0,4872	1,5245 E-03	1,4994 E-03	-1,7142 E-07
	004	1,5703	0,2886	-1,3891	3,1441 E-07	5,835 E-03	1,2227 E-03
	005	-0,0091	0,0001	0,0054	-2,3111 E-09	-2,268 E-05	1,8044 E-07
	006	-0,0091	0,0003	0,0054	-3,1559 E-08	-2,2682 E-05	1,8044 E-07
	007	-0,0091	-0,0002	0,0054	2,6937 E-08	-2,2678 E-05	1,8044 E-07
00052	001	0,0021	-0,0017	-0,1065	1,7488 E-04	-2,8811 E-04	-4,3145 E-08
	002	0,0016	-0,0009	-0,0505	8,6778 E-05	-2,103 E-04	-3,1168 E-08
	003	0,0112	-0,0061	-0,3639	6,248 E-04	-1,5142 E-03	-2,2441 E-07
	004	1,4550	-0,1239	1,0903	3,9117 E-06	4,5817 E-03	5,1021 E-04
	005	-0,0091	0,0000	-0,0054	-2,896 E-08	-2,2534 E-05	-2,4748 E-08
	006	-0,0091	0,0003	-0,0053	-3,9783 E-07	-2,2535 E-05	-2,4748 E-08
	007	-0,0091	-0,0003	-0,0054	3,3991 E-07	-2,2532 E-05	-2,4748 E-08
00053	001	-0,0022	-0,0017	-0,1062	1,7488 E-04	2,8695 E-04	-4,3145 E-08
	002	-0,0016	-0,0009	-0,0503	8,6778 E-05	2,0945 E-04	-3,1168 E-08
	003	-0,0115	-0,0062	-0,3624	6,248 E-04	1,508 E-03	-2,2441 E-07
	004	1,4550	0,1190	-1,0906	3,9117 E-06	4,5817 E-03	5,1021 E-04
	005	-0,0091	0,0000	0,0054	-2,896 E-08	-2,2534 E-05	-2,4748 E-08
	006	-0,0091	0,0003	0,0054	-3,9783 E-07	-2,2535 E-05	-2,4748 E-08
	007	-0,0091	-0,0003	0,0054	3,3991 E-07	-2,2532 E-05	-2,4748 E-08
00054	001	0,0021	0,0017	-0,1063	-1,7499 E-04	-2,875 E-04	-4,8881 E-08
	002	0,0016	0,0009	-0,0504	-8,6862 E-05	-2,0985 E-04	-3,5354 E-08
	003	0,0112	0,0063	-0,3631	-6,2541 E-04	-1,5109 E-03	-2,5455 E-07
	004	1,4550	0,1193	1,0906	3,9116 E-06	4,5819 E-03	-5,1166 E-04
	005	-0,0091	0,0001	-0,0054	-2,8943 E-08	-2,258 E-05	-2,3209 E-07
	006	-0,0091	0,0004	-0,0054	-3,9781 E-07	-2,2582 E-05	-2,3209 E-07
	007	-0,0091	-0,0002	-0,0054	3,3993 E-07	-2,2579 E-05	-2,3209 E-07
00055	001	-0,0022	0,0017	-0,1063	-1,7499 E-04	2,8756 E-04	-4,8881 E-08
	002	-0,0016	0,0009	-0,0504	-8,6862 E-05	2,099 E-04	-3,5354 E-08
	003	-0,0114	0,0061	-0,3632	-6,2541 E-04	1,5113 E-03	-2,5455 E-07
	004	1,4550	-0,1242	-1,0904	3,9116 E-06	4,5819 E-03	-5,1166 E-04
	005	-0,0091	0,0000	0,0054	-2,8943 E-08	-2,258 E-05	-2,3209 E-07
	006	-0,0091	0,0003	0,0054	-3,9781 E-07	-2,2582 E-05	-2,3209 E-07
	007	-0,0091	-0,0003	0,0054	3,3993 E-07	-2,2579 E-05	-2,3209 E-07
00056	001	0,0021	0,0042	-0,1417	-4,2635 E-04	-2,871 E-04	-5,5388 E-08
	002	0,0016	0,0021	-0,0680	-2,1185 E-04	-2,0956 E-04	-4,0107 E-08
	003	0,0113	0,0151	-0,4895	-1,5253 E-03	-1,5088 E-03	-2,8877 E-07
	004	1,5705	0,2889	1,3893	3,143 E-07	5,836 E-03	-1,2241 E-03
	005	-0,0091	0,0001	-0,0054	-2,2574 E-09	-2,2883 E-05	-3,4604 E-07
	006	-0,0091	0,0004	-0,0055	-3,1505 E-08	-2,2885 E-05	-3,4604 E-07
	007	-0,0091	-0,0002	-0,0054	2,699 E-08	-2,2881 E-05	-3,4604 E-07
00057	001	-0,0022	0,0042	-0,1419	-4,2635 E-04	2,8796 E-04	-5,5388 E-08
	002	-0,0016	0,0021	-0,0681	-2,1185 E-04	2,1019 E-04	-4,0107 E-08
	003	-0,0114	0,0149	-0,4906	-1,5253 E-03	1,5134 E-03	-2,8877 E-07
	004	1,5705	-0,2937	-1,3886	3,143 E-07	5,836 E-03	-1,2241 E-03
	005	-0,0091	-0,0001	0,0054	-2,2574 E-09	-2,2883 E-05	-3,4604 E-07
	006	-0,0091	0,0002	0,0054	-3,1505 E-08	-2,2885 E-05	-3,4604 E-07
	007	-0,0091	-0,0004	0,0055	2,699 E-08	-2,2881 E-05	-3,4604 E-07
00058	001	0,0022	0,0029	-0,1814	-3,0543 E-04	-2,867 E-04	-5,7715 E-08
	002	0,0016	0,0015	-0,0877	-1,5159 E-04	-2,0927 E-04	-4,1813 E-08
	003	0,0113	0,0106	-0,6315	-1,0915 E-03	-1,5067 E-03	-3,0105 E-07
	004	1,6900	0,1938	1,5656	-1,8442 E-06	6,5772 E-03	-8,2417 E-04
	005	-0,0090	0,0000	-0,0055	1,374 E-08	-2,3186 E-05	-1,1681 E-07
	006	-0,0090	0,0003	-0,0055	1,8819 E-07	-2,3187 E-05	-1,1681 E-07
	007	-0,0090	-0,0002	-0,0055	-1,6071 E-07	-2,3184 E-05	-1,1681 E-07
00059	001	-0,0022	0,0029	-0,1818	-3,0543 E-04	2,8836 E-04	-5,7715 E-08
	002	-0,0016	0,0014	-0,0880	-1,5159 E-04	2,1048 E-04	-4,1813 E-08
	003	-0,0113	0,0104	-0,6335	-1,0915 E-03	1,5155 E-03	-3,0105 E-07
	004	1,6900	-0,1985	-1,5651	-1,8442 E-06	6,5772 E-03	-8,2417 E-04
	005	-0,0090	0,0000	0,0055	1,374 E-08	-2,3186 E-05	-1,1681 E-07
	006	-0,0090	0,0003	0,0055	1,8819 E-07	-2,3187 E-05	-1,1681 E-07
	007	-0,0090	-0,0003	0,0055	-1,6071 E-07	-2,3184 E-05	-1,1681 E-07
00060	001	0,0022	-0,0002	-0,1976	1,5453 E-06	-2,863 E-04	-5,5863 E-08
	002	0,0016	-0,0001	-0,0957	1,2078 E-06	-2,0898 E-04	-4,0471 E-08
	003	0,0114	-0,0006	-0,6890	8,6959 E-06	-1,5046 E-03	-2,9139 E-07
	004	1,7304	-0,0320	1,6197	-2,5639 E-06	6,8054 E-03	1,2433 E-04
	005	-0,0091	-0,0001	-0,0056	1,9048 E-08	-2,3489 E-05	4,5558 E-07
	006	-0,0091	0,0002	-0,0056	2,6127 E-07	-2,349 E-05	4,5558 E-07
	007	-0,0091	-0,0004	-0,0056	-2,2318 E-07	-2,3487 E-05	4,5558 E-07
00061	001	-0,0021	-0,0002	-0,1982	1,5453 E-06	2,8876 E-04	-5,5863 E-08
	002	-0,0016	-0,0001	-0,0961	1,2078 E-06	2,1077 E-04	-4,0471 E-08
	003	-0,0113	-0,0008	-0,6920	8,6959 E-06	1,5176 E-03	-2,9139 E-07
	004	1,7304	0,0272	-1,6197	-2,5639 E-06	6,8054 E-03	1,2433 E-04
	005	-0,0091	0,0001	0,0056	1,9048 E-08	-2,3489 E-05	4,5558 E-07
	006	-0,0091	0,0004	0,0056	2,6127 E-07	-2,349 E-05	4,5558 E-07
	007	-0,0091	-0,0002	0,0056	-2,2318 E-07	-2,3487 E-05	4,5558 E-07
00062	001	0,0022	-0,0033	-0,1806	3,0836 E-04	-2,847 E-04	-4,9831 E-08
	002	0,0016	-0,0016	-0,0871	1,5385 E-04	-2,0781 E-04	-3,6082 E-08
	003	0,0114	-0,0118	-0,6273	1,1077 E-03	-1,4963 E-03	-2,5979 E-07
	004	1,6650	-0,2538	1,5495	-1,8449 E-06	6,5207 E-03	1,0578 E-03
	005	-0,0091	-0,0003	-0,0057	1,3668 E-08	-2,3791 E-05	1,3712 E-06
	006	-0,0091	0,0000	-0,0056	1,8775 E-07	-2,3793 E-05	1,3712 E-06
	007	-0,0091	-0,0006	-0,0057	-1,6041 E-07	-2,379 E-05	1,3712 E-06

Nodi - Spostamenti per condizioni di carico non sismiche

Nodo	CC	S _x	S _y	S _z	Θ _x	Θ _y	Θ _z
		[cm]	[cm]	[cm]	[rad]	[rad]	[rad]
00063	001	-0,0021	-0,0034	-0,1817	3,0836 E-04	2,8916 E-04	-4,9831 E-08
	002	-0,0016	-0,0017	-0,0879	1,5385 E-04	2,1106 E-04	-3,6082 E-08
	003	-0,0112	-0,0119	-0,6328	1,1077 E-03	1,5197 E-03	-2,5979 E-07
	004	1,6650	0,2494	-1,5522	-1,8449 E-06	6,5207 E-03	1,0578 E-03
	005	-0,0091	0,0003	0,0057	1,3668 E-08	-2,3791 E-05	1,3712 E-06
	006	-0,0091	0,0006	0,0057	1,8775 E-07	-2,3793 E-05	1,3712 E-06
	007	-0,0091	0,0001	0,0056	-1,6041 E-07	-2,379 E-05	1,3712 E-06
00064	001	0,0022	-0,0046	-0,1410	4,2885 E-04	-2,8659 E-04	-3,9619 E-08
	002	0,0016	-0,0023	-0,0675	2,1365 E-04	-2,0919 E-04	-2,8646 E-08
	003	0,0114	-0,0163	-0,4857	1,5383 E-03	-1,5062 E-03	-2,0625 E-07
	004	1,5235	-0,3386	1,3618	3,1302 E-07	5,7234 E-03	1,4128 E-03
	005	-0,0093	-0,0006	-0,0057	-2,4006 E-09	-2,4094 E-05	2,6299 E-06
	006	-0,0093	-0,0003	-0,0057	-3,2397 E-08	-2,4096 E-05	2,6299 E-06
	007	-0,0093	-0,0009	-0,0058	2,7596 E-08	-2,4092 E-05	2,6299 E-06
00065	001	-0,0021	-0,0046	-0,1414	4,2885 E-04	2,8847 E-04	-3,9619 E-08
	002	-0,0016	-0,0023	-0,0678	2,1365 E-04	2,1056 E-04	-2,8646 E-08
	003	-0,0113	-0,0164	-0,4880	1,5383 E-03	1,516 E-03	-2,0625 E-07
	004	1,5235	0,3339	-1,3625	3,1302 E-07	5,7234 E-03	1,4128 E-03
	005	-0,0093	0,0006	0,0057	-2,4006 E-09	-2,4094 E-05	2,6299 E-06
	006	-0,0093	0,0009	0,0058	-3,2397 E-08	-2,4096 E-05	2,6299 E-06
	007	-0,0093	0,0004	0,0057	2,7596 E-08	-2,4092 E-05	2,6299 E-06
00066	001	0,0022	-0,0021	-0,1055	1,7684 E-04	-2,8727 E-04	-2,5227 E-08
	002	0,0016	-0,0010	-0,0498	8,7936 E-05	-2,0969 E-04	-1,8162 E-08
	003	0,0114	-0,0075	-0,3586	6,3314 E-04	-1,5098 E-03	-1,3077 E-07
	004	1,3919	-0,1514	-1,0502	3,9097 E-06	4,4133 E-03	6,2582 E-04
	005	-0,0097	-0,0010	-0,0058	-2,9158 E-08	-2,4397 E-05	4,2318 E-06
	006	-0,0097	-0,0007	-0,0058	-3,9915 E-07	-2,4398 E-05	4,2318 E-06
	007	-0,0097	-0,0013	-0,0058	3,4084 E-07	-2,4395 E-05	4,2318 E-06
00067	001	-0,0021	-0,0022	-0,1056	1,7684 E-04	2,8778 E-04	-2,5227 E-08
	002	-0,0016	-0,0010	-0,0499	8,7936 E-05	2,1006 E-04	-1,8162 E-08
	003	-0,0113	-0,0075	-0,3592	6,3314 E-04	1,5124 E-03	-1,3077 E-07
	004	1,3919	0,1465	-1,0505	3,9097 E-06	4,4133 E-03	6,2582 E-04
	005	-0,0097	0,0010	0,0058	-2,9158 E-08	-2,4397 E-05	4,2318 E-06
	006	-0,0097	0,0013	0,0058	-3,9915 E-07	-2,4398 E-05	4,2318 E-06
	007	-0,0097	0,0007	0,0058	3,4084 E-07	-2,4395 E-05	4,2318 E-06
00068	001	0,0022	0,0029	-0,1166	-3,3227 E-04	-2,8749 E-04	-8,5965 E-09
	002	0,0016	0,0015	-0,0554	-1,6559 E-04	-2,0984 E-04	-6,042 E-09
	003	0,0114	0,0106	-0,3986	-1,1922 E-03	-1,5109 E-03	-4,3502 E-08
	004	1,4239	0,2244	1,1882	2,3116 E-06	4,9914 E-03	-9,5312 E-04
	005	-0,0102	-0,0014	-0,0059	-1,7178 E-08	-2,4973 E-05	5,8028 E-06
	006	-0,0102	-0,0011	-0,0060	-2,3563 E-07	-2,4974 E-05	5,8028 E-06
	007	-0,0102	-0,0017	-0,0059	2,0128 E-07	-2,4971 E-05	5,8028 E-06
00069	001	-0,0021	0,0029	-0,1166	-3,3227 E-04	2,8757 E-04	-8,5965 E-09
	002	-0,0016	0,0015	-0,0554	-1,6559 E-04	2,0991 E-04	-6,042 E-09
	003	-0,0113	0,0106	-0,3987	-1,1922 E-03	1,5113 E-03	-4,3502 E-08
	004	1,4239	-0,2293	-1,1877	2,3116 E-06	4,9914 E-03	-9,5312 E-04
	005	-0,0102	0,0014	0,0059	-1,7178 E-08	-2,4973 E-05	5,8028 E-06
	006	-0,0102	0,0017	0,0059	-2,3563 E-07	-2,4974 E-05	5,8028 E-06
	007	-0,0102	0,0011	0,0060	2,0128 E-07	-2,4971 E-05	5,8028 E-06
00070	001	0,0022	0,0036	-0,1584	-4,1262 E-04	-2,8749 E-04	4,6479 E-09
	002	0,0016	0,0018	-0,0762	-2,0554 E-04	-2,0985 E-04	3,6288 E-09
	003	0,0114	0,0133	-0,5485	-1,4799 E-03	-1,5109 E-03	2,6128 E-08
	004	1,5582	0,2927	1,4487	-7,0011 E-07	6,0857 E-03	-1,24 E-03
	005	-0,0108	-0,0015	-0,0061	5,3048 E-09	-2,5665 E-05	6,2586 E-06
	006	-0,0108	-0,0012	-0,0061	7,195 E-08	-2,5667 E-05	6,2586 E-06
	007	-0,0108	-0,0018	-0,0061	-6,1341 E-08	-2,5664 E-05	6,2586 E-06
00071	001	-0,0021	0,0036	-0,1584	-4,1262 E-04	2,8757 E-04	4,6479 E-09
	002	-0,0016	0,0018	-0,0762	-2,0554 E-04	2,099 E-04	3,6288 E-09
	003	-0,0113	0,0133	-0,5486	-1,4799 E-03	1,5113 E-03	2,6128 E-08
	004	1,5582	-0,2975	-1,4481	-7,0011 E-07	6,0857 E-03	-1,24 E-03
	005	-0,0108	0,0015	0,0061	5,3048 E-09	-2,5665 E-05	6,2586 E-06
	006	-0,0108	0,0018	0,0061	7,195 E-08	-2,5667 E-05	6,2586 E-06
	007	-0,0108	0,0012	0,0061	-6,1341 E-08	-2,5664 E-05	6,2586 E-06
00072	001	0,0022	0,0014	-0,1911	-1,9537 E-04	-2,875 E-04	1,415 E-08
	002	0,0016	0,0007	-0,0925	-9,7315 E-05	-2,0985 E-04	1,0591 E-08
	003	0,0114	0,0053	-0,6661	-7,0067 E-04	-1,5109 E-03	7,6255 E-08
	004	1,6647	0,1477	1,5869	-2,284 E-06	6,6672 E-03	-6,3062 E-04
	005	-0,0114	-0,0013	-0,0063	1,7109 E-08	-2,6358 E-05	5,5305 E-06
	006	-0,0114	-0,0010	-0,0063	2,3361 E-07	-2,636 E-05	5,5305 E-06
	007	-0,0114	-0,0016	-0,0063	-1,9939 E-07	-2,6357 E-05	5,5305 E-06
00073	001	-0,0021	0,0014	-0,1911	-1,9537 E-04	2,8756 E-04	1,415 E-08
	002	-0,0016	0,0007	-0,0925	-9,7315 E-05	2,099 E-04	1,0591 E-08
	003	-0,0113	0,0053	-0,6661	-7,0067 E-04	1,5113 E-03	7,6255 E-08
	004	1,6647	-0,1525	-1,5866	-2,284 E-06	6,6672 E-03	-6,3062 E-04
	005	-0,0114	0,0013	0,0063	1,7109 E-08	-2,6358 E-05	5,5305 E-06
	006	-0,0114	0,0016	0,0063	2,3361 E-07	-2,636 E-05	5,5305 E-06
	007	-0,0114	0,0010	0,0063	-1,9939 E-07	-2,6357 E-05	5,5305 E-06
00074	001	0,0022	-0,0020	-0,1944	1,3326 E-04	-2,875 E-04	1,9909 E-08
	002	0,0016	-0,0009	-0,0942	6,6383 E-05	-2,0986 E-04	1,4845 E-08
	003	0,0114	-0,0067	-0,6780	4,7796 E-04	-1,511 E-03	1,0688 E-07
	004	1,6819	-0,0765	1,6030	-2,4402 E-06	6,7356 E-03	3,1131 E-04
	005	-0,0119	-0,0008	-0,0064	1,8236 E-08	-2,7051 E-05	3,6184 E-06
	006	-0,0119	-0,0006	-0,0064	2,4933 E-07	-2,7053 E-05	3,6184 E-06
	007	-0,0119	-0,0011	-0,0064	-2,1286 E-07	-2,705 E-05	3,6184 E-06
00075	001	-0,0021	-0,0019	-0,1945	1,3326 E-04	2,8755 E-04	1,9909 E-08

Nodi - Spostamenti per condizioni di carico non sismiche

Nodo	CC	Sx [cm]	Sy [cm]	Sz [cm]	Θx [rad]	Θy [rad]	Θz [rad]
	002	-0,0016	-0,0009	-0,0942	6,6383 E-05	2,0989 E-04	1,4845 E-08
	003	-0,0113	-0,0067	-0,6780	4,7796 E-04	1,5112 E-03	1,0688 E-07
	004	1,6819	0,0717	-1,6032	-2,4402 E-06	6,7356 E-03	3,1131 E-04
	005	-0,0119	0,0009	0,0064	1,8236 E-08	-2,7051 E-05	3,6184 E-06
	006	-0,0119	0,0012	0,0064	2,4933 E-07	-2,7053 E-05	3,6184 E-06
	007	-0,0119	0,0006	0,0064	-2,1286 E-07	-2,705 E-05	3,6184 E-06
00076	001	0,0022	-0,0046	-0,1665	3,8706 E-04	-2,8751 E-04	2,1925 E-08
	002	0,0016	-0,0022	-0,0802	1,9285 E-04	-2,0986 E-04	1,639 E-08
	003	0,0114	-0,0160	-0,5777	1,3885 E-03	-1,511 E-03	1,1801 E-07
	004	1,6048	-0,2456	1,4970	-1,1686 E-06	6,2912 E-03	1,0222 E-03
	005	-0,0121	-0,0001	-0,0066	8,6842 E-09	-2,7744 E-05	5,2254 E-07
	006	-0,0121	0,0002	-0,0066	1,1913 E-07	-2,7746 E-05	5,2255 E-07
	007	-0,0121	-0,0004	-0,0066	-1,0176 E-07	-2,7743 E-05	5,2254 E-07
00077	001	-0,0021	-0,0045	-0,1665	3,8706 E-04	2,8755 E-04	2,1925 E-08
	002	-0,0016	-0,0022	-0,0802	1,9285 E-04	2,0989 E-04	1,639 E-08
	003	-0,0113	-0,0159	-0,5777	1,3885 E-03	1,5112 E-03	1,1801 E-07
	004	1,6048	0,2409	-1,4976	-1,1686 E-06	6,2912 E-03	1,0222 E-03
	005	-0,0121	0,0001	0,0066	8,6842 E-09	-2,7744 E-05	5,2254 E-07
	006	-0,0121	0,0004	0,0066	1,1913 E-07	-2,7746 E-05	5,2255 E-07
	007	-0,0121	-0,0001	0,0066	-1,0176 E-07	-2,7743 E-05	5,2254 E-07
00078	001	0,0022	-0,0045	-0,1240	3,798 E-04	-2,8751 E-04	2,0199 E-08
	002	0,0016	-0,0022	-0,0591	1,8937 E-04	-2,0987 E-04	1,5226 E-08
	003	0,0114	-0,0159	-0,4253	1,3634 E-03	-1,511 E-03	1,0963 E-07
	004	1,4847	-0,2257	1,2692	1,5308 E-06	5,3339 E-03	9,3826 E-04
	005	-0,0120	0,0009	-0,0068	-1,1546 E-08	-2,8437 E-05	-3,7573 E-06
	006	-0,0120	0,0012	-0,0067	-1,57 E-07	-2,8439 E-05	-3,7573 E-06
	007	-0,0120	0,0006	-0,0068	1,3391 E-07	-2,8436 E-05	-3,7573 E-06
00079	001	-0,0022	-0,0045	-0,1240	3,798 E-04	2,8754 E-04	2,0199 E-08
	002	-0,0016	-0,0022	-0,0591	1,8937 E-04	2,0988 E-04	1,5226 E-08
	003	-0,0113	-0,0159	-0,4254	1,3634 E-03	1,5112 E-03	1,0963 E-07
	004	1,4847	0,2209	-1,2697	1,5308 E-06	5,3339 E-03	9,3826 E-04
	005	-0,0120	-0,0009	0,0068	-1,1546 E-08	-2,8437 E-05	-3,7573 E-06
	006	-0,0120	-0,0006	0,0068	-1,57 E-07	-2,8439 E-05	-3,7573 E-06
	007	-0,0120	-0,0012	0,0067	1,3391 E-07	-2,8436 E-05	-3,7573 E-06
00080	001	0,0022	-0,0007	-0,1023	-4,5883 E-06	-2,8752 E-04	1,5446 E-08
	002	0,0016	-0,0003	-0,0482	-2,0396 E-06	-2,0987 E-04	1,1863 E-08
	003	0,0113	-0,0023	-0,3473	-1,4685 E-05	-1,5111 E-03	8,5413 E-08
	004	1,4302	0,0663	0,9546	5,181 E-06	4,0106 E-03	-2,8865 E-04
	005	-0,0114	0,0018	-0,0069	-3,8882 E-08	-2,9061 E-05	-7,2962 E-06
	006	-0,0114	0,0020	-0,0069	-5,3029 E-07	-2,9063 E-05	-7,2961 E-06
	007	-0,0114	0,0015	-0,0069	4,5252 E-07	-2,9059 E-05	-7,2962 E-06
00081	001	-0,0022	-0,0007	-0,1023	-4,5883 E-06	2,8754 E-04	1,5446 E-08
	002	-0,0016	-0,0003	-0,0482	-2,0396 E-06	2,0988 E-04	1,1863 E-08
	003	-0,0113	-0,0023	-0,3473	-1,4685 E-05	1,5111 E-03	8,5413 E-08
	004	1,4302	-0,0711	-0,9545	5,181 E-06	4,0106 E-03	-2,8865 E-04
	005	-0,0114	-0,0017	0,0069	-3,8882 E-08	-2,9061 E-05	-7,2962 E-06
	006	-0,0114	-0,0014	0,0069	-5,3029 E-07	-2,9063 E-05	-7,2961 E-06
	007	-0,0114	-0,0020	0,0069	4,5252 E-07	-2,9059 E-05	-7,2962 E-06
00082	001	0,0022	0,0035	-0,1341	-4,3473 E-04	-2,8752 E-04	8,4222 E-09
	002	0,0016	0,0018	-0,0639	-2,1476 E-04	-2,0987 E-04	6,866 E-09
	003	0,0113	0,0128	-0,4601	-1,5463 E-03	-1,5111 E-03	4,9435 E-08
	004	1,5658	0,3623	1,2808	5,941 E-07	5,3802 E-03	-1,5325 E-03
	005	-0,0106	0,0018	-0,0073	-4,2309 E-09	-3,0461 E-05	-7,5614 E-06
	006	-0,0106	0,0021	-0,0073	-5,9054 E-08	-3,0462 E-05	-7,5613 E-06
	007	-0,0106	0,0015	-0,0072	5,0592 E-08	-3,0459 E-05	-7,5614 E-06
00083	001	-0,0022	0,0035	-0,1341	-4,3473 E-04	2,8754 E-04	8,4222 E-09
	002	-0,0016	0,0018	-0,0639	-2,1476 E-04	2,0988 E-04	6,866 E-09
	003	-0,0113	0,0128	-0,4601	-1,5463 E-03	1,5111 E-03	4,9435 E-08
	004	1,5658	-0,3671	-1,2802	5,941 E-07	5,3802 E-03	-1,5325 E-03
	005	-0,0106	-0,0018	0,0072	-4,2309 E-09	-3,0461 E-05	-7,5614 E-06
	006	-0,0106	-0,0015	0,0072	-5,9054 E-08	-3,0462 E-05	-7,5613 E-06
	007	-0,0106	-0,0021	0,0073	5,0592 E-08	-3,0459 E-05	-7,5614 E-06
00084	001	0,0022	0,0028	-0,1785	-3,7757 E-04	-2,8752 E-04	3,1453 E-09
	002	0,0016	0,0015	-0,0858	-1,8614 E-04	-2,0987 E-04	3,1117 E-09
	003	0,0113	0,0105	-0,6180	-1,3402 E-03	-1,5111 E-03	2,2404 E-08
	004	1,7221	0,2805	1,4550	-1,9026 E-06	6,1124 E-03	-1,1885 E-03
	005	-0,0100	0,0013	-0,0076	1,4579 E-08	-3,1733 E-05	-5,3607 E-06
	006	-0,0100	0,0016	-0,0076	1,9705 E-07	-3,1735 E-05	-5,3607 E-06
	007	-0,0100	0,0010	-0,0075	-1,6789 E-07	-3,1732 E-05	-5,3607 E-06
00085	001	-0,0022	0,0028	-0,1785	-3,7757 E-04	2,8754 E-04	3,1453 E-09
	002	-0,0016	0,0015	-0,0858	-1,8614 E-04	2,0988 E-04	3,1117 E-09
	003	-0,0113	0,0105	-0,6180	-1,3402 E-03	1,5111 E-03	2,2404 E-08
	004	1,7221	-0,2852	-1,4545	-1,9026 E-06	6,1124 E-03	-1,1885 E-03
	005	-0,0100	-0,0013	0,0076	1,4579 E-08	-3,1733 E-05	-5,3607 E-06
	006	-0,0100	-0,0010	0,0075	1,9705 E-07	-3,1735 E-05	-5,3607 E-06
	007	-0,0100	-0,0015	0,0076	-1,6789 E-07	-3,1732 E-05	-5,3607 E-06
00086	001	0,0022	-0,0001	-0,2033	-8,477 E-05	-2,8751 E-04	-1,0763 E-09
	002	0,0016	0,0000	-0,0980	-4,1009 E-05	-2,0987 E-04	1,0833 E-10
	003	0,0113	-0,0001	-0,7056	-2,9526 E-04	-1,5111 E-03	7,7997 E-10
	004	1,7909	0,0017	1,5069	-2,8057 E-06	6,3317 E-03	-1,706 E-05
	005	-0,0097	0,0002	-0,0079	2,1303 E-08	-3,3006 E-05	-8,346 E-07
	006	-0,0097	0,0005	-0,0079	2,8907 E-07	-3,3008 E-05	-8,3459 E-07
	007	-0,0097	-0,0001	-0,0079	-2,4647 E-07	-3,3004 E-05	-8,346 E-07
00087	001	-0,0022	-0,0001	-0,2033	-8,477 E-05	2,8754 E-04	-1,0763 E-09
	002	-0,0016	0,0000	-0,0980	-4,1009 E-05	2,0988 E-04	1,0833 E-10

Nodi - Spostamenti per condizioni di carico non sismiche

Nodo	CC	S _x [cm]	S _y [cm]	S _z [cm]	Θ _x [rad]	Θ _y [rad]	Θ _z [rad]
	003	-0,0113	-0,0001	-0,7057	-2,9526 E-04	1,5111 E-03	7,7997 E-10
	004	1,7909	-0,0064	-1,5070	-2,8057 E-06	6,3317 E-03	-1,706 E-05
	005	-0,0097	-0,0002	0,0079	2,1303 E-08	-3,3006 E-05	-8,346 E-07
	006	-0,0097	0,0001	0,0079	2,8907 E-07	-3,3008 E-05	-8,3459 E-07
	007	-0,0097	-0,0005	0,0079	-2,4647 E-07	-3,3004 E-05	-8,346 E-07
00088	001	0,0022	-0,0036	-0,1941	2,5746 E-04	-2,8751 E-04	-4,2425 E-09
	002	0,0016	-0,0017	-0,0934	1,2793 E-04	-2,0987 E-04	-2,1442 E-09
	003	0,0113	-0,0125	-0,6725	9,2112 E-04	-1,5111 E-03	-1,5438 E-08
	004	1,7177	-0,3399	1,4367	-2,1154 E-06	6,038 E-03	1,4182 E-03
	005	-0,0099	-0,0014	-0,0082	1,594 E-08	-3,4279 E-05	6,017 E-06
	006	-0,0099	-0,0011	-0,0081	2,1701 E-07	-3,428 E-05	6,017 E-06
	007	-0,0099	-0,0017	-0,0082	-1,8513 E-07	-3,4277 E-05	6,017 E-06
00089	001	-0,0022	-0,0036	-0,1941	2,5746 E-04	2,8754 E-04	-4,2425 E-09
	002	-0,0016	-0,0017	-0,0934	1,2793 E-04	2,0988 E-04	-2,1442 E-09
	003	-0,0113	-0,0125	-0,6725	9,2112 E-04	1,5111 E-03	-1,5438 E-08
	004	1,7177	0,3352	-1,4374	-2,1154 E-06	6,038 E-03	1,4182 E-03
	005	-0,0099	0,0015	0,0082	1,594 E-08	-3,4279 E-05	6,017 E-06
	006	-0,0099	0,0017	0,0082	2,1701 E-07	-3,428 E-05	6,017 E-06
	007	-0,0099	0,0012	0,0081	-1,8513 E-07	-3,4277 E-05	6,017 E-06
00090	001	0,0022	-0,0058	-0,1554	4,629 E-04	-2,8751 E-04	-6,3533 E-09
	002	0,0016	-0,0028	-0,0743	2,2798 E-04	-2,0987 E-04	-3,6459 E-09
	003	0,0113	-0,0199	-0,5347	1,6414 E-03	-1,5111 E-03	-2,6251 E-08
	004	1,5043	-0,6102	1,2446	1,6848 E-07	5,2314 E-03	2,5537 E-03
	005	-0,0109	-0,0036	-0,0085	-1,5101 E-09	-3,5551 E-05	1,5194 E-05
	006	-0,0109	-0,0033	-0,0084	-1,9133 E-08	-3,5553 E-05	1,5194 E-05
	007	-0,0109	-0,0039	-0,0085	1,6113 E-08	-3,555 E-05	1,5194 E-05
00091	001	-0,0022	-0,0058	-0,1555	4,629 E-04	2,8755 E-04	-6,3533 E-09
	002	-0,0016	-0,0028	-0,0743	2,2798 E-04	2,0988 E-04	-3,6459 E-09
	003	-0,0113	-0,0199	-0,5347	1,6414 E-03	1,5112 E-03	-2,6251 E-08
	004	1,5043	0,6054	-1,2455	1,6848 E-07	5,2314 E-03	2,5537 E-03
	005	-0,0109	0,0036	0,0085	-1,5101 E-09	-3,5551 E-05	1,5194 E-05
	006	-0,0109	0,0039	0,0085	-1,9133 E-08	-3,5553 E-05	1,5194 E-05
	007	-0,0109	0,0033	0,0084	1,6113 E-08	-3,555 E-05	1,5194 E-05
00092	001	0,0022	-0,0046	-0,1102	3,4534 E-04	-2,8751 E-04	-7,4087 E-09
	002	0,0016	-0,0022	-0,0521	1,6642 E-04	-2,0987 E-04	-4,3968 E-09
	003	0,0113	-0,0157	-0,3753	1,1982 E-03	-1,5111 E-03	-3,1657 E-08
	004	1,2088	-0,6749	0,9308	4,0459 E-06	3,9119 E-03	2,8257 E-03
	005	-0,0130	-0,0063	-0,0088	-3,1047 E-08	-3,6824 E-05	2,6696 E-05
	006	-0,0130	-0,0060	-0,0087	-4,1936 E-07	-3,6825 E-05	2,6697 E-05
	007	-0,0130	-0,0066	-0,0088	3,5727 E-07	-3,6822 E-05	2,6696 E-05
00093	001	-0,0022	-0,0046	-0,1102	3,4534 E-04	2,8755 E-04	-7,4087 E-09
	002	-0,0016	-0,0022	-0,0521	1,6642 E-04	2,0988 E-04	-4,3968 E-09
	003	-0,0113	-0,0157	-0,3753	1,1982 E-03	1,5112 E-03	-3,1657 E-08
	004	1,2088	0,6701	-0,9313	4,0459 E-06	3,9119 E-03	2,8257 E-03
	005	-0,0130	0,0064	0,0088	-3,1047 E-08	-3,6824 E-05	2,6696 E-05
	006	-0,0130	0,0067	0,0088	-4,1936 E-07	-3,6825 E-05	2,6697 E-05
	007	-0,0130	0,0061	0,0087	3,5727 E-07	-3,6822 E-05	2,6696 E-05
00094	001	0,0022	-0,0011	-0,0958	-1,1454 E-05	-2,8751 E-04	-7,5406 E-09
	002	0,0016	-0,0003	-0,0459	-2,3464 E-05	-2,0987 E-04	-4,4906 E-09
	003	0,0113	-0,0021	-0,3308	-1,6894 E-04	-1,5111 E-03	-3,2332 E-08
	004	0,9588	-0,4852	0,8356	6,5821 E-06	3,5096 E-03	2,0283 E-03
	005	-0,0164	-0,0092	-0,0090	-5,0347 E-08	-3,7966 E-05	3,8627 E-05
	006	-0,0164	-0,0089	-0,0091	-6,8101 E-07	-3,7968 E-05	3,8627 E-05
	007	-0,0164	-0,0095	-0,0090	5,8031 E-07	-3,7965 E-05	3,8627 E-05
00095	001	-0,0022	-0,0011	-0,0958	-1,1454 E-05	2,8755 E-04	-7,5406 E-09
	002	-0,0016	-0,0003	-0,0459	-2,3464 E-05	2,0988 E-04	-4,4906 E-09
	003	-0,0113	-0,0021	-0,3308	-1,6894 E-04	1,5112 E-03	-3,2332 E-08
	004	0,9588	0,4803	-0,8349	6,5821 E-06	3,5096 E-03	2,0283 E-03
	005	-0,0164	0,0092	0,0090	-5,0347 E-08	-3,7966 E-05	3,8627 E-05
	006	-0,0164	0,0095	0,0090	-6,8101 E-07	-3,7968 E-05	3,8627 E-05
	007	-0,0164	0,0089	0,0091	5,8031 E-07	-3,7965 E-05	3,8627 E-05
00096	001	0,0022	-0,0004	-0,1024	-8,4826 E-05	-2,8751 E-04	-7,5406 E-09
	002	0,0016	0,0002	-0,0517	-6,9817 E-05	-2,0987 E-04	-4,4906 E-09
	003	0,0113	0,0013	-0,3721	-5,0268 E-04	-1,5111 E-03	-3,2332 E-08
	004	0,7823	-0,4168	0,9589	6,5821 E-06	4,0246 E-03	1,7408 E-03
	005	-0,0205	-0,0098	-0,0093	-5,0347 E-08	-3,8979 E-05	4,1419 E-05
	006	-0,0205	-0,0095	-0,0094	-6,8101 E-07	-3,8981 E-05	4,1419 E-05
	007	-0,0205	-0,0101	-0,0092	5,8031 E-07	-3,8978 E-05	4,1419 E-05
00097	001	-0,0022	-0,0004	-0,1024	-8,4826 E-05	2,8755 E-04	-7,5406 E-09
	002	-0,0016	0,0002	-0,0517	-6,9817 E-05	2,0988 E-04	-4,4906 E-09
	003	-0,0113	0,0012	-0,3721	-5,0268 E-04	1,5112 E-03	-3,2332 E-08
	004	0,7823	0,4119	-0,9568	6,5821 E-06	4,0246 E-03	1,7408 E-03
	005	-0,0205	0,0099	0,0093	-5,0347 E-08	-3,8979 E-05	4,1419 E-05
	006	-0,0205	0,0102	0,0092	-6,8101 E-07	-3,8981 E-05	4,1419 E-05
	007	-0,0205	0,0096	0,0094	5,8031 E-07	-3,8978 E-05	4,1419 E-05
00098	001	0,0000	-0,0004	-0,0497	2,7272 E-06	7,0641 E-09	1,5443 E-08
	002	0,0000	-0,0002	-0,0101	1,186 E-06	3,8707 E-09	1,1861 E-08
	003	0,0000	-0,0012	-0,0725	8,539 E-06	2,7869 E-08	8,5396 E-08
	004	0,2734	0,0002	0,0000	6,1103 E-06	2,2895 E-03	-2,8859 E-04
	005	-0,0026	0,0000	0,0000	-4,9859 E-08	-1,9288 E-05	-7,2947 E-06
	006	-0,0026	0,0001	0,0000	-6,0185 E-07	-1,9289 E-05	-7,2947 E-06
	007	-0,0026	-0,0001	0,0000	5,0214 E-07	-1,9287 E-05	-7,2947 E-06
00099	001	0,0000	-0,0005	-0,0498	3,0352 E-06	7,5483 E-09	1,5443 E-08
	002	0,0000	-0,0002	-0,0101	1,3174 E-06	4,2305 E-09	1,1861 E-08
	003	0,0000	-0,0016	-0,0728	9,4854 E-06	3,046 E-08	8,5398 E-08

Nodi - Spostamenti per condizioni di carico non sismiche

Nodo	CC	S _x [cm]	S _y [cm]	S _z [cm]	Θ _x [rad]	Θ _y [rad]	Θ _z [rad]
	004	0,3983	-0,0001	0,0000	4,5909 E-06	2,7095 E-03	-2,886 E-04
	005	-0,0036	0,0000	0,0000	-3,914 E-08	-2,2313 E-05	-7,2949 E-06
	006	-0,0036	0,0001	0,0000	-7,2366 E-07	-2,2314 E-05	-7,2949 E-06
	007	-0,0036	-0,0001	0,0000	6,4538 E-07	-2,2312 E-05	-7,2949 E-06
00100	001	0,0000	-0,0001	-0,0495	1,7606 E-06	3,5082 E-09	1,5442 E-08
	002	0,0000	-0,0001	-0,0100	7,6787 E-07	2,0664 E-09	1,186 E-08
	003	0,0000	-0,0005	-0,0720	5,5287 E-06	1,4878 E-08	8,5393 E-08
	004	0,0866	0,0003	0,0000	1,2701 E-06	1,5361 E-03	-2,8858 E-04
	005	-0,0010	0,0000	0,0000	-1,2451 E-08	-1,3528 E-05	-7,2944 E-06
	006	-0,0010	0,0000	0,0000	-3,06 E-07	-1,3528 E-05	-7,2944 E-06
	007	-0,0010	0,0000	0,0000	2,811 E-07	-1,3528 E-05	-7,2944 E-06
00101	001	0,0000	-0,0002	-0,0496	2,2607 E-06	3,8082 E-09	1,5443 E-08
	002	0,0000	-0,0001	-0,0100	9,8459 E-07	2,322 E-09	1,186 E-08
	003	0,0000	-0,0008	-0,0723	7,089 E-06	1,6719 E-08	8,5394 E-08
	004	0,1702	0,0003	0,0000	-4,0261 E-07	1,8893 E-03	-2,8859 E-04
	005	-0,0017	0,0000	0,0000	-1,9887 E-10	-1,6272 E-05	-7,2946 E-06
	006	-0,0017	0,0000	0,0000	-4,1608 E-07	-1,6272 E-05	-7,2946 E-06
	007	-0,0017	0,0000	0,0000	4,1568 E-07	-1,6271 E-05	-7,2946 E-06
00102	001	0,0000	0,0000	-0,0493	9,3953 E-07	4,2341 E-10	1,5442 E-08
	002	0,0000	0,0000	-0,0100	4,1108 E-07	5,4529 E-10	1,186 E-08
	003	0,0000	0,0000	-0,0717	2,9598 E-06	3,9261 E-09	8,539 E-08
	004	-0,0348	0,0002	0,0000	-1,727 E-06	1,0239 E-03	-2,8857 E-04
	005	0,0001	0,0000	0,0000	1,2673 E-08	-9,4292 E-06	-7,2942 E-06
	006	0,0001	0,0000	0,0000	-1,0718 E-07	-9,429 E-06	-7,2942 E-06
	007	0,0001	0,0000	0,0000	1,3252 E-07	-9,4295 E-06	-7,2942 E-06
00103	001	0,0000	-0,0001	-0,0494	1,3059 E-06	5,3355 E-10	1,5442 E-08
	002	0,0000	0,0000	-0,0100	5,704 E-07	6,7157 E-10	1,186 E-08
	003	0,0000	-0,0002	-0,0718	4,1069 E-06	4,8353 E-09	8,5391 E-08
	004	0,0194	0,0003	0,0000	-3,0791 E-06	1,2455 E-03	-2,8858 E-04
	005	-0,0004	0,0000	0,0000	2,2874 E-08	-1,1219 E-05	-7,2943 E-06
	006	-0,0004	0,0000	0,0000	-1,7104 E-07	-1,1219 E-05	-7,2943 E-06
	007	-0,0004	0,0000	0,0000	2,1679 E-07	-1,122 E-05	-7,2943 E-06
00104	001	0,0000	0,0000	-0,0491	3,3268 E-08	3,544 E-09	-2,0089 E-08
	002	0,0000	0,0000	-0,0099	9,3583 E-11	2,6875 E-09	-1,4419 E-08
	003	0,0000	0,0001	-0,0710	6,738 E-10	1,935 E-08	-1,0382 E-07
	004	-0,0337	0,0002	0,0000	-1,645 E-06	9,8348 E-04	8,6703 E-05
	005	0,0001	0,0000	0,0000	9,9313 E-09	-8,2249 E-06	4,778 E-06
	006	0,0001	0,0000	0,0000	-1,0867 E-07	-8,2247 E-06	4,778 E-06
	007	0,0001	0,0000	0,0000	1,2853 E-07	-8,2251 E-06	4,778 E-06
00105	001	0,0000	0,0000	-0,0492	1,0131 E-07	5,033 E-09	-2,0089 E-08
	002	0,0000	0,0000	-0,0099	2,5593 E-08	3,79 E-09	-1,4419 E-08
	003	0,0000	0,0001	-0,0712	1,8427 E-07	2,7288 E-08	-1,0382 E-07
	004	0,0184	0,0003	0,0000	-2,9284 E-06	1,1966 E-03	8,6704 E-05
	005	-0,0003	0,0000	0,0000	1,7973 E-08	-9,7578 E-06	4,7781 E-06
	006	-0,0003	0,0000	0,0000	-1,7424 E-07	-9,7575 E-06	4,7781 E-06
	007	-0,0003	0,0000	0,0000	2,1018 E-07	-9,7581 E-06	4,7781 E-06
00106	001	0,0000	0,0000	-0,0492	2,0132 E-07	7,7213 E-09	-2,009 E-08
	002	0,0000	0,0000	-0,0099	6,4455 E-08	5,5603 E-09	-1,442 E-08
	003	0,0000	0,0000	-0,0714	4,6407 E-07	4,0034 E-08	-1,0382 E-07
	004	0,0829	0,0003	0,0000	1,2811 E-06	1,4763 E-03	8,6706 E-05
	005	-0,0009	0,0000	0,0000	-1,3127 E-08	-1,1729 E-05	4,7782 E-06
	006	-0,0009	0,0000	0,0000	-3,0441 E-07	-1,1729 E-05	4,7782 E-06
	007	-0,0009	0,0000	0,0000	2,7816 E-07	-1,1729 E-05	4,7782 E-06
00107	001	0,0000	0,0000	-0,0493	3,3697 E-07	1,0432 E-08	-2,009 E-08
	002	0,0000	0,0000	-0,0099	1,1904 E-07	7,5545 E-09	-1,442 E-08
	003	0,0000	0,0000	-0,0716	8,5712 E-07	5,4392 E-08	-1,0382 E-07
	004	0,1633	0,0003	0,0000	-2,9604 E-07	1,8162 E-03	8,6708 E-05
	005	-0,0015	0,0000	0,0000	-3,856 E-09	-1,4064 E-05	4,7783 E-06
	006	-0,0015	0,0000	0,0000	-4,1687 E-07	-1,4064 E-05	4,7783 E-06
	007	-0,0015	0,0000	0,0000	4,0916 E-07	-1,4064 E-05	4,7783 E-06
00108	001	0,0000	0,0000	-0,0494	5,0792 E-07	1,4822 E-08	-2,009 E-08
	002	0,0000	0,0000	-0,0100	1,9052 E-07	1,0446 E-08	-1,442 E-08
	003	0,0000	-0,0001	-0,0719	1,3717 E-06	7,5209 E-08	-1,0383 E-07
	004	0,2625	0,0001	0,0000	6,0137 E-06	2,2015 E-03	8,671 E-05
	005	-0,0023	0,0000	0,0000	-4,7218 E-08	-1,6618 E-05	4,7784 E-06
	006	-0,0023	0,0001	0,0000	-5,9582 E-07	-1,6619 E-05	4,7784 E-06
	007	-0,0023	-0,0001	0,0000	5,0138 E-07	-1,6617 E-05	4,7784 E-06
00109	001	0,0000	-0,0001	-0,0496	7,0666 E-07	1,874 E-08	-2,0091 E-08
	002	0,0000	0,0000	-0,0100	2,7741 E-07	1,3313 E-08	-1,4421 E-08
	003	0,0000	-0,0001	-0,0722	1,9974 E-06	9,5854 E-08	-1,0383 E-07
	004	0,3826	-0,0001	0,0000	4,5941 E-06	2,6059 E-03	8,6712 E-05
	005	-0,0032	0,0000	0,0000	-3,9532 E-08	-1,9161 E-05	4,7785 E-06
	006	-0,0032	0,0001	0,0000	-7,2035 E-07	-1,9162 E-05	4,7785 E-06
	007	-0,0032	-0,0001	0,0000	6,4129 E-07	-1,9159 E-05	4,7785 E-06
00110	001	0,0000	0,0000	-0,0499	4,4279 E-09	-9,6031 E-09	-4,6101 E-08
	002	0,0000	0,0000	-0,0105	3,232 E-09	-7,0096 E-09	-3,3326 E-08
	003	0,0000	0,0000	-0,0753	2,3271 E-08	-5,0469 E-08	-2,3994 E-07
	004	-0,0353	0,0002	0,0000	-1,7591 E-06	1,0312 E-03	-7,294 E-07
	005	0,0001	0,0000	0,0000	8,6979 E-09	-7,6971 E-06	-1,3095 E-07
	006	0,0001	0,0000	0,0000	-1,0988 E-07	-7,6969 E-06	-1,3095 E-07
	007	0,0001	0,0000	0,0000	1,2727 E-07	-7,6974 E-06	-1,3095 E-07
00111	001	0,0000	0,0000	-0,0500	5,5365 E-09	-1,2943 E-08	-4,6102 E-08
	002	0,0000	0,0000	-0,0105	4,0412 E-09	-9,4473 E-09	-3,3326 E-08
	003	0,0000	0,0000	-0,0755	2,9097 E-08	-6,802 E-08	-2,3995 E-07
	004	0,0193	0,0003	0,0000	-3,1308 E-06	1,2546 E-03	-7,2941 E-07

Nodi - Spostamenti per condizioni di carico non sismiche

Nodo	CC	S _x [cm]	S _y [cm]	S _z [cm]	Θ _x [rad]	Θ _y [rad]	Θ _z [rad]
	005	-0,0003	0,0000	0,0000	1,5788 E-08	-9,1174 E-06	-1,3095 E-07
	006	-0,0003	0,0000	0,0000	-1,7635 E-07	-9,1171 E-06	-1,3095 E-07
	007	-0,0003	0,0000	0,0000	2,0792 E-07	-9,1177 E-06	-1,3095 E-07
00112	001	0,0000	0,0000	-0,0501	6,6403 E-09	-1,752 E-08	-4,6103 E-08
	002	0,0000	0,0000	-0,0105	4,8469 E-09	-1,2788 E-08	-3,3327 E-08
	003	0,0000	0,0000	-0,0757	3,4898 E-08	-9,2076 E-08	-2,3995 E-07
	004	0,0870	0,0003	0,0000	1,2456 E-06	1,5478 E-03	-7,2942 E-07
	005	-0,0008	0,0000	0,0000	-1,3467 E-08	-1,0941 E-05	-1,3095 E-07
	006	-0,0008	0,0000	0,0000	-3,046 E-07	-1,0941 E-05	-1,3095 E-07
	007	-0,0008	0,0000	0,0000	2,7766 E-07	-1,0941 E-05	-1,3095 E-07
00113	001	0,0000	0,0000	-0,0502	7,6633 E-09	-2,3401 E-08	-4,6104 E-08
	002	0,0000	0,0000	-0,0105	5,5937 E-09	-1,7081 E-08	-3,3327 E-08
	003	0,0000	0,0000	-0,0759	4,0274 E-08	-1,2299 E-07	-2,3996 E-07
	004	0,1713	0,0003	0,0000	-4,5352 E-07	1,9042 E-03	-7,2943 E-07
	005	-0,0014	0,0000	0,0000	-5,5027 E-09	-1,3097 E-05	-1,3095 E-07
	006	-0,0014	0,0000	0,0000	-4,1826 E-07	-1,3097 E-05	-1,3095 E-07
	007	-0,0014	0,0000	0,0000	4,0726 E-07	-1,3097 E-05	-1,3095 E-07
00114	001	0,0000	0,0000	-0,0503	7,9682 E-09	-3,0529 E-08	-4,6105 E-08
	002	0,0000	0,0000	-0,0106	5,8162 E-09	-2,2284 E-08	-3,3328 E-08
	003	0,0000	0,0000	-0,0762	4,1877 E-08	-1,6044 E-07	-2,3996 E-07
	004	0,2753	0,0002	0,0000	6,1073 E-06	2,308 E-03	-7,2945 E-07
	005	-0,0021	0,0000	0,0000	-4,6107 E-08	-1,5449 E-05	-1,3096 E-07
	006	-0,0021	0,0001	0,0000	-5,9432 E-07	-1,545 E-05	-1,3096 E-07
	007	-0,0021	-0,0001	0,0000	5,0211 E-07	-1,5448 E-05	-1,3096 E-07
00115	001	0,0000	0,0000	-0,0504	7,293 E-09	-3,8715 E-08	-4,6106 E-08
	002	0,0000	0,0000	-0,0106	5,3234 E-09	-2,8259 E-08	-3,3329 E-08
	003	0,0000	0,0000	-0,0765	3,8328 E-08	-2,0347 E-07	-2,3997 E-07
	004	0,4011	-0,0001	0,0000	4,5642 E-06	2,7319 E-03	-7,2947 E-07
	005	-0,0030	0,0000	0,0000	-3,9733 E-08	-1,778 E-05	-1,3096 E-07
	006	-0,0030	0,0001	0,0000	-7,2001 E-07	-1,7781 E-05	-1,3096 E-07
	007	-0,0030	-0,0001	0,0000	6,4055 E-07	-1,7779 E-05	-1,3096 E-07
00116	001	0,0000	0,0000	-0,0491	-3,7343 E-08	-1,2514 E-08	2,5317 E-08
	002	0,0000	0,0000	-0,0099	-3,0679 E-09	-9,2352 E-09	1,8724 E-08
	003	0,0000	-0,0001	-0,0710	-2,2089 E-08	-6,6493 E-08	1,3481 E-07
	004	-0,0337	0,0002	0,0000	-1,6435 E-06	9,828 E-04	-9,0216 E-05
	005	0,0001	0,0000	0,0000	9,3007 E-09	-7,9422 E-06	-2,5567 E-06
	006	0,0001	0,0000	0,0000	-1,093 E-07	-7,9419 E-06	-2,5568 E-06
	007	0,0001	0,0000	0,0000	1,2791 E-07	-7,9424 E-06	-2,5567 E-06
00117	001	0,0000	0,0000	-0,0492	-1,0657 E-07	-1,6886 E-08	2,5318 E-08
	002	0,0000	0,0000	-0,0099	-2,9435 E-08	-1,2442 E-08	1,8724 E-08
	003	0,0000	0,0000	-0,0712	-2,1193 E-07	-8,9581 E-08	1,3481 E-07
	004	0,0184	0,0003	0,0000	-2,9257 E-06	1,1958 E-03	-9,0217 E-05
	005	-0,0003	0,0000	0,0000	1,6854 E-08	-9,4156 E-06	-2,5568 E-06
	006	-0,0003	0,0000	0,0000	-1,7536 E-07	-9,4154 E-06	-2,5568 E-06
	007	-0,0003	0,0000	0,0000	2,0907 E-07	-9,4159 E-06	-2,5568 E-06
00118	001	0,0000	0,0000	-0,0492	-2,0803 E-07	-2,3517 E-08	2,5318 E-08
	002	0,0000	0,0000	-0,0099	-6,9352 E-08	-1,709 E-08	1,8724 E-08
	003	0,0000	0,0000	-0,0714	-4,9934 E-07	-1,2305 E-07	1,3482 E-07
	004	0,0829	0,0003	0,0000	1,2814 E-06	1,4753 E-03	-9,0219 E-05
	005	-0,0008	0,0000	0,0000	-1,3258 E-08	-1,1309 E-05	-2,5568 E-06
	006	-0,0008	0,0000	0,0000	-3,0455 E-07	-1,131 E-05	-2,5568 E-06
	007	-0,0008	0,0000	0,0000	2,7804 E-07	-1,1309 E-05	-2,5568 E-06
00119	001	0,0000	0,0000	-0,0493	-3,45 E-07	-3,124 E-08	2,5319 E-08
	002	0,0000	0,0000	-0,0099	-1,2491 E-07	-2,2743 E-08	1,8725 E-08
	003	0,0000	0,0000	-0,0716	-8,9932 E-07	-1,6375 E-07	1,3482 E-07
	004	0,1632	0,0003	0,0000	-2,9407 E-07	1,815 E-03	-9,0221 E-05
	005	-0,0015	0,0000	0,0000	-4,6527 E-09	-1,355 E-05	-2,5569 E-06
	006	-0,0015	0,0000	0,0000	-4,1768 E-07	-1,3551 E-05	-2,5569 E-06
	007	-0,0015	0,0000	0,0000	4,0838 E-07	-1,355 E-05	-2,5569 E-06
00120	001	0,0000	0,0000	-0,0494	-5,1699 E-07	-4,1663 E-08	2,5319 E-08
	002	0,0000	0,0000	-0,0100	-1,9714 E-07	-3,0037 E-08	1,8725 E-08
	003	0,0000	0,0001	-0,0719	-1,4194 E-06	-2,1627 E-07	1,3482 E-07
	004	0,2623	0,0001	0,0000	6,0121 E-06	2,2 E-03	-9,0223 E-05
	005	-0,0022	0,0000	0,0000	-4,6551 E-08	-1,5999 E-05	-2,5569 E-06
	006	-0,0022	0,0001	0,0000	-5,9517 E-07	-1,6 E-05	-2,5569 E-06
	007	-0,0022	-0,0001	0,0000	5,0206 E-07	-1,5998 E-05	-2,5569 E-06
00121	001	0,0000	0,0001	-0,0496	-7,1571 E-07	-5,2432 E-08	2,532 E-08
	002	0,0000	0,0000	-0,0100	-2,8402 E-07	-3,7906 E-08	1,8726 E-08
	003	0,0000	0,0001	-0,0722	-2,0449 E-06	-2,7292 E-07	1,3482 E-07
	004	0,3823	-0,0001	0,0000	4,5942 E-06	2,6042 E-03	-9,0225 E-05
	005	-0,0031	0,0000	0,0000	-3,9529 E-08	-1,8431 E-05	-2,557 E-06
	006	-0,0031	0,0001	0,0000	-7,2036 E-07	-1,8432 E-05	-2,557 E-06
	007	-0,0031	-0,0001	0,0000	6,413 E-07	-1,843 E-05	-2,557 E-06
00122	001	0,0000	0,0000	-0,0493	-9,3958 E-07	-6,3432 E-10	2,6307 E-08
	002	0,0000	0,0000	-0,0100	-4,1111 E-07	-6,9919 E-10	1,9791 E-08
	003	0,0000	0,0000	-0,0717	-2,96 E-06	-5,0342 E-09	1,425 E-07
	004	-0,0349	0,0002	0,0000	-1,7323 E-06	1,0262 E-03	3,1706 E-04
	005	0,0002	0,0000	0,0000	1,5315 E-08	-1,0551 E-05	-6,8661 E-06
	006	0,0002	0,0000	0,0000	-1,0454 E-07	-1,0551 E-05	-6,8661 E-06
	007	0,0002	0,0000	0,0000	1,3517 E-07	-1,0552 E-05	-6,8661 E-06
00123	001	0,0000	0,0001	-0,0494	-1,3061 E-06	-8,0081 E-10	2,6307 E-08
	002	0,0000	0,0000	-0,0100	-5,7054 E-07	-8,6659 E-10	1,9792 E-08
	003	0,0000	0,0002	-0,0718	-4,1079 E-06	-6,2395 E-09	1,425 E-07
	004	0,0195	0,0003	0,0000	-3,0886 E-06	1,2482 E-03	3,1706 E-04
	005	-0,0004	0,0000	0,0000	2,7557 E-08	-1,2578 E-05	-6,8662 E-06

Nodi - Spostamenti per condizioni di carico non sismiche

Nodo	CC	Sx	Sy	Sz	Θx	Θy	Θz
		[cm]	[cm]	[cm]	[rad]	[rad]	[rad]
	006	-0,0004	0,0000	0,0000	-1,6637 E-07	-1,2577 E-05	-6,8662 E-06
	007	-0,0004	0,0000	0,0000	2,2149 E-07	-1,2578 E-05	-6,8662 E-06
00124	001	0,0000	0,0001	-0,0495	-1,761 E-06	-3,8524 E-09	2,6307 E-08
	002	0,0000	0,0001	-0,0100	-7,6816 E-07	-2,3176 E-09	1,9792 E-08
	003	0,0000	0,0005	-0,0720	-5,5308 E-06	-1,6686 E-08	1,425 E-07
	004	0,0868	0,0003	0,0000	1,2683 E-06	1,5395 E-03	3,1707 E-04
	005	-0,0011	0,0000	0,0000	-1,1554 E-08	-1,5195 E-05	-6,8663 E-06
	006	-0,0011	0,0000	0,0000	-3,0513 E-07	-1,5195 E-05	-6,8663 E-06
	007	-0,0011	0,0000	0,0000	2,8202 E-07	-1,5194 E-05	-6,8663 E-06
00125	001	0,0000	0,0002	-0,0496	-2,2614 E-06	-4,2471 E-09	2,6308 E-08
	002	0,0000	0,0001	-0,0100	-9,851 E-07	-2,6422 E-09	1,9792 E-08
	003	0,0000	0,0008	-0,0723	-7,0927 E-06	-1,9024 E-08	1,4251 E-07
	004	0,1706	0,0003	0,0000	-4,1016 E-07	1,8935 E-03	3,1708 E-04
	005	-0,0019	0,0000	0,0000	3,5207 E-09	-1,8312 E-05	-6,8665 E-06
	006	-0,0019	0,0000	0,0000	-4,1241 E-07	-1,8312 E-05	-6,8665 E-06
	007	-0,0019	0,0000	0,0000	4,1945 E-07	-1,8311 E-05	-6,8665 E-06
00126	001	0,0000	0,0004	-0,0497	-2,7283 E-06	-7,6164 E-09	2,6309 E-08
	002	0,0000	0,0002	-0,0101	-1,1868 E-06	-4,2738 E-09	1,9793 E-08
	003	0,0000	0,0012	-0,0725	-8,5446 E-06	-3,0771 E-08	1,4251 E-07
	004	0,2740	0,0002	0,0000	6,1142 E-06	2,2945 E-03	3,1708 E-04
	005	-0,0029	0,0000	0,0000	-5,1759 E-08	-2,1748 E-05	-6,8666 E-06
	006	-0,0029	0,0001	0,0000	-6,0384 E-07	-2,1749 E-05	-6,8666 E-06
	007	-0,0029	-0,0001	0,0000	5,0032 E-07	-2,1747 E-05	-6,8666 E-06
00127	001	0,0000	0,0005	-0,0498	-3,0367 E-06	-8,2233 E-09	2,6309 E-08
	002	0,0000	0,0002	-0,0101	-1,3185 E-06	-4,723 E-09	1,9793 E-08
	003	0,0000	0,0016	-0,0728	-9,4934 E-06	-3,4006 E-08	1,4251 E-07
	004	0,3991	-0,0001	0,0000	4,5889 E-06	2,7153 E-03	3,1709 E-04
	005	-0,0041	0,0000	0,0000	-3,8186 E-08	-2,5211 E-05	-6,8668 E-06
	006	-0,0041	0,0001	0,0000	-7,2282 E-07	-2,5212 E-05	-6,8668 E-06
	007	-0,0041	-0,0001	0,0000	6,4644 E-07	-2,521 E-05	-6,8668 E-06
00128	001	0,0000	-0,0006	-0,0445	1,1189 E-05	-1,8481 E-09	-1,1624 E-08
	002	0,0000	-0,0003	-0,0078	4,8063 E-06	-6,7007 E-10	-7,4685 E-09
	003	0,0000	-0,0019	-0,0564	3,4605 E-05	-4,8245 E-09	-5,3773 E-08
	004	-0,0259	0,0001	0,0000	-1,2418 E-06	7,5327 E-04	-2,5521 E-03
	005	0,0001	0,0000	0,0000	1,0787 E-08	-8,0937 E-06	1,1882 E-05
	006	0,0001	0,0000	0,0000	-9,3934 E-08	-8,0935 E-06	1,1882 E-05
	007	0,0001	0,0000	0,0000	1,1551 E-07	-8,094 E-06	1,1882 E-05
00129	001	0,0000	-0,0012	-0,0446	1,3952 E-05	-2,6948 E-09	-1,1624 E-08
	002	0,0000	-0,0005	-0,0079	5,9934 E-06	-1,0077 E-09	-7,4686 E-09
	003	0,0000	-0,0038	-0,0566	4,3152 E-05	-7,2555 E-09	-5,3774 E-08
	004	0,0140	0,0002	0,0000	-2,1357 E-06	9,1665 E-04	-2,5521 E-03
	005	-0,0003	0,0000	0,0000	1,8893 E-08	-9,5997 E-06	1,1882 E-05
	006	-0,0003	0,0000	0,0000	-1,5593 E-07	-9,5994 E-06	1,1882 E-05
	007	-0,0003	0,0000	0,0000	1,9372 E-07	-9,5999 E-06	1,1882 E-05
00130	001	0,0000	-0,0020	-0,0447	1,6931 E-05	1,473 E-08	-1,1624 E-08
	002	0,0000	-0,0009	-0,0079	7,2729 E-06	6,5113 E-09	-7,4687 E-09
	003	0,0000	-0,0062	-0,0567	5,2365 E-05	4,6881 E-08	-5,3775 E-08
	004	0,0634	0,0003	0,0000	1,2256 E-06	1,1311 E-03	-2,5522 E-03
	005	-0,0009	0,0000	0,0000	-1,1439 E-08	-1,1536 E-05	1,1883 E-05
	006	-0,0009	0,0000	0,0000	-2,8152 E-07	-1,1536 E-05	1,1883 E-05
	007	-0,0009	0,0000	0,0000	2,5864 E-07	-1,1536 E-05	1,1883 E-05
00131	001	0,0000	-0,0029	-0,0447	1,946 E-05	1,4162 E-08	-1,1624 E-08
	002	0,0000	-0,0013	-0,0079	8,3595 E-06	6,3087 E-09	-7,4689 E-09
	003	0,0000	-0,0091	-0,0569	6,0189 E-05	4,5423 E-08	-5,3776 E-08
	004	0,1250	0,0002	0,0000	2,0125 E-07	1,3917 E-03	-2,5522 E-03
	005	-0,0015	0,0000	0,0000	-2,18 E-09	-1,3828 E-05	1,1883 E-05
	006	-0,0015	0,0000	0,0000	-3,9068 E-07	-1,3829 E-05	1,1883 E-05
	007	-0,0015	0,0000	0,0000	3,8632 E-07	-1,3828 E-05	1,1883 E-05
00132	001	0,0000	-0,0039	-0,0448	2,0532 E-05	2,0432 E-08	-1,1625 E-08
	002	0,0000	-0,0017	-0,0079	8,82 E-06	9,0483 E-09	-7,4691 E-09
	003	0,0000	-0,0122	-0,0571	6,3504 E-05	6,5148 E-08	-5,3777 E-08
	004	0,2010	0,0001	0,0000	5,2775 E-06	1,6872 E-03	-2,5523 E-03
	005	-0,0022	0,0000	0,0000	-4,4728 E-08	-1,6335 E-05	1,1883 E-05
	006	-0,0022	0,0000	0,0000	-5,6725 E-07	-1,6336 E-05	1,1883 E-05
	007	-0,0022	-0,0001	0,0000	4,778 E-07	-1,6334 E-05	1,1883 E-05
00133	001	0,0000	-0,0050	-0,0449	1,8745 E-05	2,0424 E-08	-1,1625 E-08
	002	0,0000	-0,0021	-0,0080	8,052 E-06	9,0931 E-09	-7,4692 E-09
	003	0,0000	-0,0153	-0,0573	5,7975 E-05	6,5471 E-08	-5,3778 E-08
	004	0,2930	-0,0002	0,0000	4,4711 E-06	1,9974 E-03	-2,5524 E-03
	005	-0,0031	0,0000	0,0000	-3,7453 E-08	-1,8828 E-05	1,1883 E-05
	006	-0,0031	0,0001	0,0000	-6,9414 E-07	-1,8829 E-05	1,1883 E-05
	007	-0,0031	-0,0001	0,0000	6,1923 E-07	-1,8827 E-05	1,1883 E-05
00134	001	0,0000	0,0012	-0,0446	-1,3952 E-05	2,8849 E-09	-7,5387 E-09
	002	0,0000	0,0005	-0,0079	-5,9937 E-06	1,1517 E-09	-4,4895 E-09
	003	0,0000	0,0038	-0,0566	-4,3155 E-05	8,2922 E-09	-3,2324 E-08
	004	0,0141	0,0002	0,0000	-2,1635 E-06	9,2536 E-04	2,4611 E-03
	005	-0,0004	0,0000	0,0000	3,3663 E-08	-1,3919 E-05	3,3311 E-05
	006	-0,0004	0,0000	0,0000	-1,4142 E-07	-1,3919 E-05	3,3311 E-05
	007	-0,0004	0,0000	0,0000	2,0875 E-07	-1,392 E-05	3,3311 E-05
00135	001	0,0000	0,0029	-0,0447	-1,9461 E-05	-1,3866 E-08	-7,539 E-09
	002	0,0000	0,0013	-0,0079	-8,3603 E-06	-6,0881 E-09	-4,4896 E-09
	003	0,0000	0,0091	-0,0569	-6,0194 E-05	-4,3835 E-08	-3,2325 E-08
	004	0,1262	0,0002	0,0000	1,7924 E-07	1,4048 E-03	2,4612 E-03
	005	-0,0021	0,0000	0,0000	9,0956 E-09	-2,0346 E-05	3,3313 E-05
	006	-0,0021	0,0000	0,0000	-3,8007 E-07	-2,0346 E-05	3,3313 E-05

Nodi - Spostamenti per condizioni di carico non sismiche

Nodo	CC	S _x [cm]	S _y [cm]	S _z [cm]	Θ _x [rad]	Θ _y [rad]	Θ _z [rad]
	007	-0,0021	0,0000	0,0000	3,9827 E-07	-2,0346 E-05	3,3313 E-05
00136	001	0,0000	0,0020	-0,0447	-1,6931 E-05	-1,4492 E-08	-7,5388 E-09
	002	0,0000	0,0009	-0,0079	-7,2734 E-06	-6,3332 E-09	-4,4896 E-09
	003	0,0000	0,0062	-0,0567	-5,2368 E-05	-4,5599 E-08	-3,2325 E-08
	004	0,0640	0,0003	0,0000	1,222 E-06	1,1418 E-03	2,4611 E-03
	005	-0,0012	0,0000	0,0000	-9,0303 E-09	-1,6849 E-05	3,3312 E-05
	006	-0,0012	0,0000	0,0000	-2,7955 E-07	-1,6849 E-05	3,3312 E-05
	007	-0,0012	0,0000	0,0000	2,6149 E-07	-1,6849 E-05	3,3312 E-05
00137	001	0,0000	0,0050	-0,0449	-1,8747 E-05	-1,9997 E-08	-7,5393 E-09
	002	0,0000	0,0021	-0,0080	-8,0534 E-06	-8,7775 E-09	-4,4898 E-09
	003	0,0000	0,0153	-0,0573	-5,7984 E-05	-6,3198 E-08	-3,2327 E-08
	004	0,2958	-0,0002	0,0000	4,4676 E-06	2,0162 E-03	2,4613 E-03
	005	-0,0045	0,0000	0,0000	-3,5736 E-08	-2,8127 E-05	3,3314 E-05
	006	-0,0045	0,0001	0,0000	-6,9366 E-07	-2,8128 E-05	3,3314 E-05
	007	-0,0045	-0,0001	0,0000	6,2219 E-07	-2,8126 E-05	3,3314 E-05
00138	001	0,0000	0,0039	-0,0448	-2,0534 E-05	-2,0073 E-08	-7,5391 E-09
	002	0,0000	0,0017	-0,0079	-8,821 E-06	-8,782 E-09	-4,4897 E-09
	003	0,0000	0,0122	-0,0571	-6,3511 E-05	-6,323 E-08	-3,2326 E-08
	004	0,2029	0,0001	0,0000	5,2923 E-06	1,703 E-03	2,4612 E-03
	005	-0,0032	0,0000	0,0000	-5,1932 E-08	-2,4213 E-05	3,3313 E-05
	006	-0,0032	0,0000	0,0000	-5,754 E-07	-2,4214 E-05	3,3313 E-05
	007	-0,0032	-0,0001	0,0000	4,7154 E-07	-2,4212 E-05	3,3313 E-05
00139	001	0,0000	0,0006	-0,0445	-1,1189 E-05	1,9998 E-09	-7,5386 E-09
	002	0,0000	0,0003	-0,0078	-4,8064 E-06	7,8665 E-10	-4,4894 E-09
	003	0,0000	0,0019	-0,0564	-3,4606 E-05	5,6638 E-09	-3,2324 E-08
	004	-0,0262	0,0002	0,0000	-1,2557 E-06	7,6045 E-04	2,461 E-03
	005	0,0002	0,0000	0,0000	1,9108 E-08	-1,1655 E-05	3,3311 E-05
	006	0,0002	0,0000	0,0000	-8,5747 E-08	-1,1655 E-05	3,3311 E-05
	007	0,0002	0,0000	0,0000	1,2396 E-07	-1,1655 E-05	3,3311 E-05
00140	001	0,0000	0,0003	-0,0444	7,5977 E-06	-1,3766 E-08	-1,1624 E-08
	002	0,0000	0,0001	-0,0078	3,2638 E-06	-5,8188 E-09	-7,4684 E-09
	003	0,0000	0,0009	-0,0563	2,3499 E-05	-4,1895 E-08	-5,3772 E-08
	004	-0,0879	-0,0001	0,0000	-2,3786 E-06	5,7211 E-04	-2,5521 E-03
	005	0,0008	0,0000	0,0000	2,1761 E-08	-6,3872 E-06	1,1882 E-05
	006	0,0008	0,0000	0,0000	-9,6131 E-09	-6,3867 E-06	1,1882 E-05
	007	0,0008	0,0000	0,0000	5,3135 E-08	-6,3877 E-06	1,1882 E-05
00141	001	0,0000	-0,0001	-0,0445	9,0203 E-06	-1,4331 E-08	-1,1624 E-08
	002	0,0000	-0,0001	-0,0078	3,8749 E-06	-6,0506 E-09	-7,4684 E-09
	003	0,0000	-0,0004	-0,0563	2,7899 E-05	-4,3565 E-08	-5,3773 E-08
	004	-0,0591	0,0001	0,0000	-2,8461 E-06	6,4015 E-04	-2,5521 E-03
	005	0,0004	0,0000	0,0000	2,6019 E-08	-7,0336 E-06	1,1882 E-05
	006	0,0004	0,0000	0,0000	-3,2151 E-08	-7,0331 E-06	1,1882 E-05
	007	0,0004	0,0000	0,0000	8,4189 E-08	-7,0341 E-06	1,1882 E-05
00142	001	0,0000	0,0000	-0,0493	-6,7769 E-07	1,0539 E-09	2,6306 E-08
	002	0,0000	0,0000	-0,0099	-2,9708 E-07	1,0141 E-10	1,9791 E-08
	003	0,0000	-0,0001	-0,0716	-2,1389 E-06	7,3016 E-10	1,425 E-07
	004	-0,0800	0,0000	0,0000	-3,8263 E-06	8,7241 E-04	3,1706 E-04
	005	0,0006	0,0000	0,0000	3,4874 E-08	-9,13 E-06	-6,866 E-06
	006	0,0006	0,0000	0,0000	-3,5354 E-08	-9,1295 E-06	-6,866 E-06
	007	0,0006	0,0000	0,0000	1,051 E-07	-9,1305 E-06	-6,866 E-06
00143	001	0,0000	-0,0001	-0,0492	-4,4114 E-07	1,5677 E-09	2,6306 E-08
	002	0,0000	0,0000	-0,0099	-1,9397 E-07	3,8309 E-10	1,9791 E-08
	003	0,0000	-0,0003	-0,0714	-1,3966 E-06	2,7582 E-09	1,4249 E-07
	004	-0,1558	-0,0003	0,0000	-3,6862 E-06	7,3648 E-04	3,1705 E-04
	005	0,0014	0,0000	0,0000	3,3916 E-08	-7,8567 E-06	-6,8659 E-06
	006	0,0014	0,0000	0,0000	5,5225 E-09	-7,8562 E-06	-6,8659 E-06
	007	0,0014	0,0000	0,0000	6,2309 E-08	-7,8573 E-06	-6,8659 E-06
00144	001	0,0000	-0,0001	-0,0492	-5,1726 E-07	1,0914 E-09	2,6306 E-08
	002	0,0000	0,0000	-0,0099	-2,2716 E-07	1,5702 E-10	1,9791 E-08
	003	0,0000	-0,0002	-0,0715	-1,6356 E-06	1,1305 E-09	1,425 E-07
	004	-0,1194	-0,0001	0,0000	-3,1444 E-06	7,7991 E-04	3,1705 E-04
	005	0,0010	0,0000	0,0000	2,8693 E-08	-8,2659 E-06	-6,866 E-06
	006	0,0010	0,0000	0,0000	-1,2742 E-08	-8,2655 E-06	-6,866 E-06
	007	0,0010	0,0000	0,0000	7,0128 E-08	-8,2664 E-06	-6,866 E-06
00145	001	0,0000	0,0000	-0,0490	5,5659 E-09	-9,3452 E-09	2,5317 E-08
	002	0,0000	0,0000	-0,0098	1,2769 E-08	-7,0038 E-09	1,8724 E-08
	003	0,0000	-0,0001	-0,0709	9,1935 E-08	-5,0428 E-08	1,3481 E-07
	004	-0,0769	0,0000	0,0000	-3,6637 E-06	8,3531 E-04	-9,0215 E-05
	005	0,0004	0,0000	0,0000	2,449 E-08	-6,9045 E-06	-2,5567 E-06
	006	0,0004	0,0000	0,0000	-4,4825 E-08	-6,904 E-06	-2,5567 E-06
	007	0,0004	0,0000	0,0000	9,3805 E-08	-6,905 E-06	-2,5567 E-06
00146	001	0,0000	0,0000	-0,0490	3,8301 E-08	-6,8302 E-09	2,5317 E-08
	002	0,0000	0,0000	-0,0098	2,4289 E-08	-5,1778 E-09	1,8723 E-08
	003	0,0000	0,0000	-0,0708	1,7488 E-07	-3,728 E-08	1,3481 E-07
	004	-0,1495	-0,0003	0,0000	-3,5385 E-06	7,0497 E-04	-9,0214 E-05
	005	0,0010	0,0000	0,0000	2,4576 E-08	-5,9711 E-06	-2,5567 E-06
	006	0,0010	0,0000	0,0000	-3,21 E-09	-5,9706 E-06	-2,5567 E-06
	007	0,0010	0,0000	0,0000	5,2361 E-08	-5,9717 E-06	-2,5567 E-06
00147	001	0,0000	0,0000	-0,0490	2,8597 E-08	-7,6577 E-09	2,5317 E-08
	002	0,0000	0,0000	-0,0098	2,0961 E-08	-5,7633 E-09	1,8723 E-08
	003	0,0000	0,0000	-0,0708	1,5092 E-07	-4,1496 E-08	1,3481 E-07
	004	-0,1146	-0,0001	0,0000	-3,0163 E-06	7,4661 E-04	-9,0214 E-05
	005	0,0008	0,0000	0,0000	2,0496 E-08	-6,2716 E-06	-2,5567 E-06
	006	0,0008	0,0000	0,0000	-2,0233 E-08	-6,2712 E-06	-2,5567 E-06
	007	0,0008	0,0000	0,0000	6,1224 E-08	-6,2721 E-06	-2,5567 E-06

Nodi - Spostamenti per condizioni di carico non sismiche

Nodo	CC	S _x	S _y	S _z	Θ _x	Θ _y	Θ _z
		[cm]	[cm]	[cm]	[rad]	[rad]	[rad]
00148	001	0,0000	0,0000	-0,0499	3,6041 E-09	-7,3837 E-09	-4,6101 E-08
	002	0,0000	0,0000	-0,0104	2,6307 E-09	-5,3895 E-09	-3,3325 E-08
	003	0,0000	0,0000	-0,0752	1,8941 E-08	-3,8805 E-08	-2,3994 E-07
	004	-0,0807	0,0000	0,0000	-3,861 E-06	8,765 E-04	-7,2939 E-07
	005	0,0004	0,0000	0,0000	2,3476 E-08	-6,6963 E-06	-1,3095 E-07
	006	0,0004	0,0000	0,0000	-4,5842 E-08	-6,6958 E-06	-1,3095 E-07
	007	0,0004	0,0000	0,0000	9,2794 E-08	-6,6968 E-06	-1,3095 E-07
00149	001	0,0000	0,0000	-0,0498	2,761 E-09	-5,5021 E-09	-4,61 E-08
	002	0,0000	0,0000	-0,0104	2,0153 E-09	-4,0161 E-09	-3,3325 E-08
	003	0,0000	0,0000	-0,0750	1,451 E-08	-2,8916 E-08	-2,3994 E-07
	004	-0,1568	-0,0003	0,0000	-3,7154 E-06	7,3975 E-04	-7,2938 E-07
	005	0,0010	0,0000	0,0000	2,367 E-08	-5,7955 E-06	-1,3095 E-07
	006	0,0010	0,0000	0,0000	-4,144 E-09	-5,7949 E-06	-1,3095 E-07
	007	0,0010	0,0000	0,0000	5,1484 E-08	-5,796 E-06	-1,3095 E-07
00150	001	0,0000	0,0000	-0,0498	3,034 E-09	-6,0901 E-09	-4,61 E-08
	002	0,0000	0,0000	-0,0104	2,2146 E-09	-4,4454 E-09	-3,3325 E-08
	003	0,0000	0,0000	-0,0751	1,5945 E-08	-3,2007 E-08	-2,3994 E-07
	004	-0,1202	-0,0001	0,0000	-3,1719 E-06	7,8344 E-04	-7,2938 E-07
	005	0,0007	0,0000	0,0000	1,9697 E-08	-6,0856 E-06	-1,3095 E-07
	006	0,0007	0,0000	0,0000	-2,1053 E-08	-6,0851 E-06	-1,3095 E-07
	007	0,0007	0,0000	0,0000	6,0447 E-08	-6,0861 E-06	-1,3095 E-07
00151	001	0,0000	0,0000	-0,0490	-8,7055 E-09	2,3109 E-09	-2,0089 E-08
	002	0,0000	0,0000	-0,0099	-1,506 E-08	1,8693 E-09	-1,4419 E-08
	003	0,0000	0,0001	-0,0709	-1,0844 E-07	1,3459 E-08	-1,0382 E-07
	004	-0,0770	0,0000	0,0000	-3,6664 E-06	8,359 E-04	8,6702 E-05
	005	0,0005	0,0000	0,0000	2,5601 E-08	-7,146 E-06	4,778 E-06
	006	0,0005	0,0000	0,0000	-4,3712 E-08	-7,1455 E-06	4,778 E-06
	007	0,0005	0,0000	0,0000	9,4913 E-08	-7,1465 E-06	4,778 E-06
00152	001	0,0000	0,0000	-0,0490	-4,0579 E-08	1,4419 E-09	-2,0089 E-08
	002	0,0000	0,0000	-0,0098	-2,5952 E-08	1,2447 E-09	-1,4419 E-08
	003	0,0000	0,0000	-0,0708	-1,8685 E-07	8,9619 E-09	-1,0382 E-07
	004	-0,1496	-0,0003	0,0000	-3,541 E-06	7,0546 E-04	8,6701 E-05
	005	0,0011	0,0000	0,0000	2,5583 E-08	-6,176 E-06	4,7779 E-06
	006	0,0011	0,0000	0,0000	-2,2012 E-09	-6,1754 E-06	4,7779 E-06
	007	0,0011	0,0000	0,0000	5,3367 E-08	-6,1766 E-06	4,7779 E-06
00153	001	0,0000	0,0000	-0,0490	-3,1165 E-08	1,7512 E-09	-2,0089 E-08
	002	0,0000	0,0000	-0,0098	-2,2836 E-08	1,4521 E-09	-1,4419 E-08
	003	0,0000	0,0000	-0,0708	-1,6442 E-07	1,0455 E-08	-1,0382 E-07
	004	-0,1146	-0,0001	0,0000	-3,0184 E-06	7,4713 E-04	8,6702 E-05
	005	0,0008	0,0000	0,0000	2,1377 E-08	-6,4882 E-06	4,7779 E-06
	006	0,0008	0,0000	0,0000	-1,935 E-08	-6,4877 E-06	4,7779 E-06
	007	0,0008	0,0000	0,0000	6,2104 E-08	-6,4887 E-06	4,7779 E-06
00154	001	0,0000	0,0000	-0,0493	6,7773 E-07	-1,2261 E-09	1,5442 E-08
	002	0,0000	0,0000	-0,0099	2,9711 E-07	-2,27 E-10	1,186 E-08
	003	0,0000	0,0001	-0,0716	2,1392 E-06	-1,6344 E-09	8,5389 E-08
	004	-0,0799	0,0000	0,0000	-3,8172 E-06	8,7046 E-04	-2,8857 E-04
	005	0,0005	0,0000	0,0000	3,039 E-08	-8,1718 E-06	-7,2941 E-06
	006	0,0005	0,0000	0,0000	-3,984 E-08	-8,1713 E-06	-7,2941 E-06
	007	0,0005	0,0000	0,0000	1,0062 E-07	-8,1723 E-06	-7,2941 E-06
00155	001	0,0000	0,0001	-0,0492	4,4124 E-07	-1,7066 E-09	1,5441 E-08
	002	0,0000	0,0000	-0,0099	1,9405 E-07	-4,8444 E-10	1,1859 E-08
	003	0,0000	0,0003	-0,0714	1,3972 E-06	-3,4879 E-09	8,5388 E-08
	004	-0,1555	-0,0003	0,0000	-3,678 E-06	7,3483 E-04	-2,8857 E-04
	005	0,0013	0,0000	0,0000	2,9899 E-08	-7,0439 E-06	-7,294 E-06
	006	0,0013	0,0000	0,0000	1,4984 E-09	-7,0433 E-06	-7,294 E-06
	007	0,0013	0,0000	0,0000	5,8301 E-08	-7,0445 E-06	-7,294 E-06
00156	001	0,0000	0,0001	-0,0492	5,1735 E-07	-1,2409 E-09	1,5442 E-08
	002	0,0000	0,0000	-0,0099	2,2723 E-07	-2,6609 E-10	1,186 E-08
	003	0,0000	0,0002	-0,0715	1,6361 E-06	-1,9159 E-09	8,5389 E-08
	004	-0,1191	-0,0001	0,0000	-3,1372 E-06	7,7817 E-04	-2,8857 E-04
	005	0,0009	0,0000	0,0000	2,5159 E-08	-7,4066 E-06	-7,2941 E-06
	006	0,0009	0,0000	0,0000	-1,6283 E-08	-7,4061 E-06	-7,2941 E-06
	007	0,0009	0,0000	0,0000	6,66 E-08	-7,4071 E-06	-7,2941 E-06
00157	001	0,0000	0,0001	-0,0445	-9,0204 E-06	1,4456 E-08	-7,5385 E-09
	002	0,0000	0,0001	-0,0078	-3,8749 E-06	6,1483 E-09	-4,4894 E-09
	003	0,0000	0,0004	-0,0563	-2,79 E-05	4,4268 E-08	-3,2323 E-08
	004	-0,0596	0,0001	0,0000	-2,8711 E-06	6,4626 E-04	2,461 E-03
	005	0,0007	0,0000	0,0000	4,0315 E-08	-1,0068 E-05	3,3311 E-05
	006	0,0007	0,0000	0,0000	-1,7908 E-08	-1,0068 E-05	3,3311 E-05
	007	0,0007	0,0000	0,0000	9,8539 E-08	-1,0069 E-05	3,3311 E-05
00158	001	0,0000	-0,0006	-0,0444	-6,8866 E-06	1,7901 E-08	-7,5384 E-09
	002	0,0000	-0,0003	-0,0078	-2,9583 E-06	7,6375 E-09	-4,4893 E-09
	003	0,0000	-0,0020	-0,0562	-2,13 E-05	5,499 E-08	-3,2323 E-08
	004	-0,1157	-0,0002	0,0000	-2,8118 E-06	5,4535 E-04	2,461 E-03
	005	0,0016	0,0000	0,0000	3,8677 E-08	-8,6492 E-06	3,331 E-05
	006	0,0016	0,0000	0,0000	1,9366 E-08	-8,6486 E-06	3,331 E-05
	007	0,0016	0,0000	0,0000	5,7988 E-08	-8,6497 E-06	3,331 E-05
00159	001	0,0000	-0,0003	-0,0444	-7,5978 E-06	1,3874 E-08	-7,5385 E-09
	002	0,0000	-0,0001	-0,0078	-3,2638 E-06	5,9044 E-09	-4,4893 E-09
	003	0,0000	-0,0009	-0,0563	-2,3499 E-05	4,2512 E-08	-3,2323 E-08
	004	-0,0887	-0,0001	0,0000	-2,3966 E-06	5,7759 E-04	2,461 E-03
	005	0,0012	0,0000	0,0000	3,3041 E-08	-9,105 E-06	3,331 E-05
	006	0,0012	0,0000	0,0000	1,6588 E-09	-9,1046 E-06	3,331 E-05
	007	0,0012	0,0000	0,0000	6,4423 E-08	-9,1055 E-06	3,331 E-05
00160	001	0,0000	0,0010	-0,0444	6,6959 E-06	-1,6549 E-08	-1,1624 E-08

Nodi - Spostamenti per condizioni di carico non sismiche

Nodo	CC	Sx	Sy	Sz	Θx	Θy	Θz
		[cm]	[cm]	[cm]	[rad]	[rad]	[rad]
	002	0,0000	0,0004	-0,0078	2,8764 E-06	-7,0208 E-09	-7,4683 E-09
	003	0,0000	0,0030	-0,0562	2,071 E-05	-5,055 E-08	-5,3772 E-08
	004	-0,1406	-0,0003	0,0000	-2,5595 E-06	5,3198 E-04	-2,552 E-03
	005	0,0014	0,0000	0,0000	2,3631 E-08	-6,0008 E-06	1,1882 E-05
	006	0,0014	0,0000	0,0000	7,2982 E-09	-6,0003 E-06	1,1882 E-05
	007	0,0014	0,0000	0,0000	3,9965 E-08	-6,0014 E-06	1,1882 E-05
00161	001	0,0000	-0,0001	-0,0492	-4,2146 E-07	1,5693 E-09	2,6306 E-08
	002	0,0000	0,0000	-0,0099	-1,8539 E-07	3,8848 E-10	1,9791 E-08
	003	0,0000	-0,0003	-0,0714	-1,3348 E-06	2,7971 E-09	1,4249 E-07
	004	-0,1912	-0,0005	0,0000	-3,5933 E-06	7,2533 E-04	3,1705 E-04
	005	0,0018	0,0000	0,0000	3,3071 E-08	-7,751 E-06	-6,8659 E-06
	006	0,0018	0,0000	0,0000	7,9322 E-09	-7,7504 E-06	-6,8659 E-06
	007	0,0018	0,0000	0,0000	5,821 E-08	-7,7515 E-06	-6,8659 E-06
00162	001	0,0000	0,0000	-0,0490	4,0573 E-08	-6,6375 E-09	2,5317 E-08
	002	0,0000	0,0000	-0,0098	2,5039 E-08	-5,0359 E-09	1,8723 E-08
	003	0,0000	0,0000	-0,0707	1,8028 E-07	-3,6259 E-08	1,3481 E-07
	004	-0,1833	-0,0005	0,0000	-3,4501 E-06	6,9428 E-04	-9,0214 E-05
	005	0,0013	0,0000	0,0000	2,4016 E-08	-5,8933 E-06	-2,5567 E-06
	006	0,0013	0,0000	0,0000	-5,4096 E-10	-5,8928 E-06	-2,5567 E-06
	007	0,0013	0,0000	0,0000	4,8572 E-08	-5,8939 E-06	-2,5567 E-06
00163	001	0,0000	0,0000	-0,0498	2,6846 E-09	-5,3539 E-09	-4,61 E-08
	002	0,0000	0,0000	-0,0104	1,9596 E-09	-3,908 E-09	-3,3325 E-08
	003	0,0000	0,0000	-0,0750	1,4109 E-08	-2,8137 E-08	-2,3994 E-07
	004	-0,1923	-0,0005	0,0000	-3,6216 E-06	7,2854 E-04	-7,2938 E-07
	005	0,0013	0,0000	0,0000	2,3138 E-08	-5,7204 E-06	-1,3094 E-07
	006	0,0013	0,0000	0,0000	-1,4488 E-09	-5,7198 E-06	-1,3094 E-07
	007	0,0013	0,0000	0,0000	4,7725 E-08	-5,7209 E-06	-1,3094 E-07
00164	001	0,0000	0,0000	-0,0490	-4,2777 E-08	1,3793 E-09	-2,0088 E-08
	002	0,0000	0,0000	-0,0098	-2,6648 E-08	1,1978 E-09	-1,4419 E-08
	003	0,0000	0,0000	-0,0707	-1,9186 E-07	8,624 E-09	-1,0382 E-07
	004	-0,1835	-0,0005	0,0000	-3,4525 E-06	6,9477 E-04	8,6701 E-05
	005	0,0014	0,0000	0,0000	2,4993 E-08	-6,0952 E-06	4,7779 E-06
	006	0,0014	0,0000	0,0000	4,3767 E-10	-6,0946 E-06	4,7779 E-06
	007	0,0014	0,0000	0,0000	4,9549 E-08	-6,0957 E-06	4,7779 E-06
00165	001	0,0000	0,0001	-0,0492	4,2158 E-07	-1,7055 E-09	1,5441 E-08
	002	0,0000	0,0000	-0,0099	1,8547 E-07	-4,8789 E-10	1,1859 E-08
	003	0,0000	0,0003	-0,0714	1,3354 E-06	-3,5128 E-09	8,5388 E-08
	004	-0,1908	-0,0005	0,0000	-3,5854 E-06	7,2371 E-04	-2,8857 E-04
	005	0,0016	0,0000	0,0000	2,9178 E-08	-6,9501 E-06	-7,294 E-06
	006	0,0016	0,0000	0,0000	4,0312 E-09	-6,9495 E-06	-7,294 E-06
	007	0,0016	0,0000	0,0000	5,4325 E-08	-6,9506 E-06	-7,294 E-06
00166	001	0,0000	0,0006	-0,0444	6,8865 E-06	-1,7803 E-08	-1,1624 E-08
	002	0,0000	0,0003	-0,0078	2,9583 E-06	-7,5578 E-09	-7,4683 E-09
	003	0,0000	0,0020	-0,0562	2,13 E-05	-5,4416 E-08	-5,3772 E-08
	004	-0,1146	-0,0002	0,0000	-2,7915 E-06	5,4018 E-04	-2,552 E-03
	005	0,0011	0,0000	0,0000	2,5843 E-08	-6,0803 E-06	1,1882 E-05
	006	0,0011	0,0000	0,0000	6,5203 E-09	-6,0798 E-06	1,1882 E-05
	007	0,0011	0,0000	0,0000	4,5167 E-08	-6,0808 E-06	1,1882 E-05
00167	001	0,0000	-0,0010	-0,0444	-6,6959 E-06	1,781 E-08	-7,5384 E-09
	002	0,0000	-0,0004	-0,0078	-2,8764 E-06	7,5992 E-09	-4,4893 E-09
	003	0,0000	-0,0030	-0,0562	-2,071 E-05	5,4714 E-08	-3,2323 E-08
	004	-0,1419	-0,0003	0,0000	-2,7459 E-06	5,3708 E-04	2,461 E-03
	005	0,0020	0,0000	0,0000	3,7689 E-08	-8,5314 E-06	3,331 E-05
	006	0,0020	0,0000	0,0000	2,1373 E-08	-8,5309 E-06	3,331 E-05
	007	0,0020	0,0000	0,0000	5,4005 E-08	-8,532 E-06	3,331 E-05
00168	001	0,0000	0,0004	-0,0506	8,4824 E-05	-1,8539 E-08	-1,1627 E-08
	002	0,0000	-0,0002	-0,0138	6,9815 E-05	-7,5131 E-09	-7,4705 E-09
	003	0,0000	-0,0012	-0,0997	5,0267 E-04	-5,4094 E-08	-5,3788 E-08
	004	0,7564	-0,0025	-0,0010	6,5802 E-06	3,9945 E-03	-1,8482 E-03
	005	-0,0079	0,0000	0,0000	-4,92 E-08	-2,4034 E-05	1,1885 E-05
	006	-0,0079	0,0003	0,0001	-6,7808 E-07	-2,4036 E-05	1,1885 E-05
	007	-0,0079	-0,0003	-0,0001	5,7968 E-07	-2,4033 E-05	1,1885 E-05
00169	001	0,0000	-0,0004	-0,0506	-8,4826 E-05	1,916 E-08	-7,5406 E-09
	002	0,0000	0,0002	-0,0138	-6,9817 E-05	7,9705 E-09	-4,4906 E-09
	003	0,0000	0,0012	-0,0997	-5,0268 E-04	5,7388 E-08	-3,2332 E-08
	004	0,7818	-0,0025	0,0010	6,5821 E-06	4,0246 E-03	1,7408 E-03
	005	-0,0205	0,0000	0,0000	-5,0347 E-08	-3,8979 E-05	4,1419 E-05
	006	-0,0205	0,0003	-0,0001	-6,8101 E-07	-3,8981 E-05	4,1419 E-05
	007	-0,0205	-0,0003	0,0001	5,8031 E-07	-3,8978 E-05	4,1419 E-05
00170	001	0,0000	-0,0058	-0,1036	4,629 E-04	1,6886 E-08	-6,3533 E-09
	002	0,0000	-0,0028	-0,0364	2,2798 E-04	7,3859 E-09	-3,6459 E-09
	003	0,0000	-0,0199	-0,2623	1,6414 E-03	5,3178 E-08	-2,6251 E-08
	004	1,5038	-0,0024	-0,0004	1,6848 E-07	5,2314 E-03	2,5537 E-03
	005	-0,0109	0,0000	0,0000	-1,5101 E-09	-3,5551 E-05	1,5194 E-05
	006	-0,0109	0,0003	0,0000	-1,9133 E-08	-3,5553 E-05	1,5194 E-05
	007	-0,0109	-0,0003	0,0000	1,6113 E-08	-3,555 E-05	1,5194 E-05
00171	001	0,0000	-0,0046	-0,0584	3,4534 E-04	1,8396 E-08	-7,4087 E-09
	002	0,0000	-0,0022	-0,0143	1,6642 E-04	7,7708 E-09	-4,3968 E-09
	003	0,0000	-0,0157	-0,1029	1,1982 E-03	5,595 E-08	-3,1657 E-08
	004	1,2083	-0,0024	-0,0002	4,0459 E-06	3,9119 E-03	2,8257 E-03
	005	-0,0130	0,0000	0,0000	-3,1047 E-08	-3,6824 E-05	2,6696 E-05
	006	-0,0130	0,0003	0,0000	-4,1936 E-07	-3,6825 E-05	2,6697 E-05
	007	-0,0130	-0,0003	0,0000	3,5727 E-07	-3,6822 E-05	2,6696 E-05
00172	001	0,0000	-0,0036	-0,1423	2,5746 E-04	1,537 E-08	-4,2425 E-09
	002	0,0000	-0,0017	-0,0556	1,2793 E-04	6,9961 E-09	-2,1442 E-09

Nodi - Spostamenti per condizioni di carico non sismiche

Nodo	CC	Sx [cm]	Sy [cm]	Sz [cm]	Θx [rad]	Θy [rad]	Θz [rad]
	003	0,0000	-0,0125	-0,4000	9,2112 E-04	5,0372 E-08	-1,5438 E-08
	004	1,7172	-0,0024	-0,0003	-2,1154 E-06	6,038 E-03	1,4182 E-03
	005	-0,0099	0,0000	0,0000	1,594 E-08	-3,4279 E-05	6,017 E-06
	006	-0,0099	0,0003	0,0000	2,1701 E-07	-3,428 E-05	6,017 E-06
	007	-0,0099	-0,0003	0,0000	-1,8513 E-07	-3,4277 E-05	6,017 E-06
00173	001	0,0000	-0,0001	-0,1514	-8,477 E-05	1,3847 E-08	-1,0763 E-09
	002	0,0000	0,0000	-0,0602	-4,1009 E-05	6,6016 E-09	1,0833 E-10
	003	0,0000	-0,0001	-0,4332	-2,9526 E-04	4,7531 E-08	7,7997 E-10
	004	1,7904	-0,0024	0,0000	-2,8057 E-06	6,3317 E-03	-1,706 E-05
	005	-0,0097	0,0000	0,0000	2,1303 E-08	-3,3006 E-05	-8,346 E-07
	006	-0,0097	0,0003	0,0000	2,8907 E-07	-3,3008 E-05	-8,3459 E-07
	007	-0,0097	-0,0003	0,0000	-2,4647 E-07	-3,3004 E-05	-8,346 E-07
00174	001	0,0000	0,0028	-0,1267	-3,7757 E-04	1,2318 E-08	3,1453 E-09
	002	0,0000	0,0015	-0,0480	-1,8614 E-04	6,2022 E-09	3,1117 E-09
	003	0,0000	0,0105	-0,3456	-1,3402 E-03	4,4656 E-08	2,2404 E-08
	004	1,7216	-0,0024	0,0002	-1,9026 E-06	6,1124 E-03	-1,1885 E-03
	005	-0,0100	0,0000	0,0000	1,4579 E-08	-3,1733 E-05	-5,3607 E-06
	006	-0,0100	0,0003	0,0000	1,9705 E-07	-3,1735 E-05	-5,3607 E-06
	007	-0,0100	-0,0003	0,0000	-1,6789 E-07	-3,1732 E-05	-5,3607 E-06
00175	001	0,0000	0,0035	-0,0822	-4,3473 E-04	1,0782 E-08	8,4222 E-09
	002	0,0000	0,0018	-0,0261	-2,1476 E-04	5,798 E-09	6,866 E-09
	003	0,0000	0,0128	-0,1876	-1,5463 E-03	4,1746 E-08	4,9435 E-08
	004	1,5653	-0,0024	0,0003	5,941 E-07	5,3802 E-03	-1,5325 E-03
	005	-0,0106	0,0000	0,0000	-4,2309 E-09	-3,0461 E-05	-7,5614 E-06
	006	-0,0106	0,0003	0,0000	-5,9054 E-08	-3,0462 E-05	-7,5613 E-06
	007	-0,0106	-0,0003	0,0000	5,0592 E-08	-3,0459 E-05	-7,5614 E-06
00176	001	0,0000	-0,0046	-0,0894	4,2885 E-04	9,4232 E-07	-3,9619 E-08
	002	0,0000	-0,0023	-0,0298	2,1365 E-04	6,8727 E-07	-2,8646 E-08
	003	0,0001	-0,0164	-0,2144	1,5383 E-03	4,9483 E-06	-2,0625 E-07
	004	1,5230	-0,0024	-0,0003	3,1302 E-07	5,7234 E-03	1,4128 E-03
	005	-0,0093	0,0000	0,0000	-2,4006 E-09	-2,4094 E-05	2,6299 E-06
	006	-0,0093	0,0003	0,0000	-3,2397 E-08	-2,4096 E-05	2,6299 E-06
	007	-0,0093	-0,0003	0,0000	2,7596 E-08	-2,4092 E-05	2,6299 E-06
00177	001	0,0000	-0,0021	-0,0537	1,7684 E-04	2,538 E-07	-2,5227 E-08
	002	0,0000	-0,0010	-0,0120	8,7936 E-05	1,846 E-07	-1,8162 E-08
	003	0,0001	-0,0075	-0,0865	6,3314 E-04	1,3291 E-06	-1,3077 E-07
	004	1,3914	-0,0024	-0,0001	3,9097 E-06	4,4133 E-03	6,2582 E-04
	005	-0,0097	0,0000	0,0000	-2,9158 E-08	-2,4397 E-05	4,2318 E-06
	006	-0,0097	0,0003	0,0000	-3,9915 E-07	-2,4398 E-05	4,2318 E-06
	007	-0,0097	-0,0003	0,0000	3,4084 E-07	-2,4395 E-05	4,2318 E-06
00178	001	0,0000	-0,0033	-0,1295	3,0836 E-04	1,6308 E-06	-4,9831 E-08
	002	0,0000	-0,0016	-0,0498	1,5385 E-04	1,1899 E-06	-3,6082 E-08
	003	0,0001	-0,0119	-0,3583	1,1077 E-03	8,5675 E-06	-2,5979 E-07
	004	1,6645	-0,0024	-0,0002	-1,8449 E-06	6,5207 E-03	1,0578 E-03
	005	-0,0091	0,0000	0,0000	1,3668 E-08	-2,3791 E-05	1,3712 E-06
	006	-0,0091	0,0003	0,0000	1,8775 E-07	-2,3793 E-05	1,3712 E-06
	007	-0,0091	-0,0003	0,0000	-1,6041 E-07	-2,379 E-05	1,3712 E-06
00179	001	0,0000	-0,0002	-0,1461	1,5453 E-06	1,2304 E-06	-5,5863 E-08
	002	0,0000	-0,0001	-0,0581	1,2078 E-06	8,9773 E-07	-4,0471 E-08
	003	0,0000	-0,0007	-0,4181	8,6959 E-06	6,4637 E-06	-2,9139 E-07
	004	1,7299	-0,0024	0,0000	-2,5639 E-06	6,8054 E-03	1,2433 E-04
	005	-0,0091	0,0000	0,0000	1,9048 E-08	-2,3489 E-05	4,5558 E-07
	006	-0,0091	0,0003	0,0000	2,6127 E-07	-2,349 E-05	4,5558 E-07
	007	-0,0091	-0,0003	0,0000	-2,2318 E-07	-2,3487 E-05	4,5558 E-07
00180	001	0,0000	0,0029	-0,1298	-3,0543 E-04	8,299 E-07	-5,7715 E-08
	002	0,0000	0,0015	-0,0500	-1,5159 E-04	6,0553 E-07	-4,1813 E-08
	003	0,0000	0,0105	-0,3601	-1,0915 E-03	4,3598 E-06	-3,0105 E-07
	004	1,6895	-0,0024	0,0002	-1,8442 E-06	6,5772 E-03	-8,2417 E-04
	005	-0,0090	0,0000	0,0000	1,8774 E-08	-2,3186 E-05	-1,1681 E-07
	006	-0,0090	0,0003	0,0000	1,8819 E-07	-2,3187 E-05	-1,1681 E-07
	007	-0,0090	-0,0003	0,0000	-1,6071 E-07	-2,3184 E-05	-1,1681 E-07
00181	001	0,0000	0,0042	-0,0899	-4,2635 E-04	4,2943 E-07	-5,5388 E-08
	002	0,0000	0,0021	-0,0302	-2,1185 E-04	3,1332 E-07	-4,0107 E-08
	003	-0,0001	0,0150	-0,2176	-1,5253 E-03	2,2559 E-06	-2,8877 E-07
	004	1,5700	-0,0024	0,0003	3,143 E-07	5,836 E-03	-1,2241 E-03
	005	-0,0091	0,0000	0,0000	-2,2574 E-09	-2,2883 E-05	-3,4604 E-07
	006	-0,0091	0,0003	0,0000	-3,1505 E-08	-2,2885 E-05	-3,4604 E-07
	007	-0,0091	-0,0003	0,0000	2,699 E-08	-2,2881 E-05	-3,4604 E-07
00182	001	0,0000	0,0017	-0,0545	-1,7499 E-04	2,8949 E-08	-4,8881 E-08
	002	0,0000	0,0009	-0,0126	-8,6862 E-05	2,1099 E-08	-3,5354 E-08
	003	-0,0001	0,0062	-0,0907	-6,2541 E-04	1,5191 E-07	-2,5455 E-07
	004	1,4545	-0,0024	0,0001	3,9116 E-06	4,5819 E-03	-5,1166 E-04
	005	-0,0091	0,0000	0,0000	-2,8943 E-08	-2,258 E-05	-2,3209 E-07
	006	-0,0091	0,0003	0,0000	-3,9781 E-07	-2,2582 E-05	-2,3209 E-07
	007	-0,0091	-0,0003	0,0000	3,3993 E-07	-2,2579 E-05	-2,3209 E-07
00183	001	0,0000	-0,0042	-0,0899	4,2619 E-04	-2,2208 E-06	-3,3058 E-08
	002	0,0000	-0,0021	-0,0302	2,1174 E-04	-1,6209 E-06	-2,3808 E-08
	003	-0,0003	-0,0150	-0,2175	1,5245 E-03	-1,167 E-05	-1,7142 E-07
	004	1,5699	-0,0024	-0,0003	3,1441 E-07	5,835 E-03	1,2227 E-03
	005	-0,0091	0,0000	0,0000	-2,3111 E-09	-2,268 E-05	1,8044 E-07
	006	-0,0091	0,0003	0,0000	-3,1559 E-08	-2,2682 E-05	1,8044 E-07
	007	-0,0091	-0,0003	0,0000	2,6937 E-08	-2,2678 E-05	1,8044 E-07
00184	001	0,0000	-0,0017	-0,0545	1,7488 E-04	-5,8265 E-07	-4,3145 E-08
	002	0,0000	-0,0009	-0,0126	8,6778 E-05	-4,2526 E-07	-3,1168 E-08
	003	-0,0002	-0,0062	-0,0907	6,248 E-04	-3,0619 E-06	-2,2441 E-07

Nodi - Spostamenti per condizioni di carico non sismiche

Nodo	CC	Sx	Sy	Sz	Θx	Θy	Θz
		[cm]	[cm]	[cm]	[rad]	[rad]	[rad]
	004	1,4545	-0,0024	-0,0001	3,9117 E-06	4,5817 E-03	5,1021 E-04
	005	-0,0091	0,0000	0,0000	-2,896 E-08	-2,2534 E-05	-2,4748 E-08
	006	-0,0091	0,0003	0,0000	-3,9783 E-07	-2,2535 E-05	-2,4748 E-08
	007	-0,0091	-0,0003	0,0000	3,3991 E-07	-2,2532 E-05	-2,4748 E-08
00185	001	-0,0001	-0,0029	-0,1297	3,0534 E-04	-3,859 E-06	-2,2677 E-08
	002	0,0000	-0,0015	-0,0500	1,5153 E-04	-2,8165 E-06	-1,6237 E-08
	003	-0,0004	-0,0105	-0,3599	1,091 E-03	-2,0279 E-05	-1,1691 E-07
	004	1,6892	-0,0024	-0,0002	-1,8441 E-06	6,5753 E-03	8,2316 E-04
	005	-0,0091	0,0000	0,0000	1,3676 E-08	-2,2827 E-05	1,5649 E-07
	006	-0,0091	0,0003	0,0000	1,8813 E-07	-2,2828 E-05	1,5649 E-07
	007	-0,0091	-0,0003	0,0000	-1,6077 E-07	-2,2825 E-05	1,5649 E-07
00186	001	-0,0001	0,0002	-0,1460	-1,5178 E-06	-4,4082 E-06	-1,2 E-08
	002	-0,0001	0,0001	-0,0580	-1,1877 E-06	-3,2173 E-06	-8,4546 E-09
	003	-0,0004	0,0007	-0,4179	-8,5511 E-06	-2,3165 E-05	-6,0873 E-08
	004	1,7295	-0,0024	0,0000	-2,5638 E-06	6,8031 E-03	-1,2507 E-04
	005	-0,0091	0,0000	0,0000	1,9001 E-08	-2,2973 E-05	-9,659 E-08
	006	-0,0091	0,0003	0,0000	2,6123 E-07	-2,2975 E-05	-9,659 E-08
	007	-0,0091	-0,0003	0,0000	-2,2323 E-07	-2,2972 E-05	-9,6589 E-08
00187	001	-0,0001	0,0033	-0,1294	-3,0825 E-04	-3,8684 E-06	-1,029 E-09
	002	-0,0001	0,0016	-0,0498	-1,5376 E-04	-2,8232 E-06	-4,6044 E-10
	003	-0,0004	0,0119	-0,3582	-1,1071 E-03	-2,0327 E-05	-3,3151 E-09
	004	1,6640	-0,0024	0,0002	-1,8449 E-06	6,5184 E-03	-1,0587 E-03
	005	-0,0091	0,0000	0,0000	1,3665 E-08	-2,312 E-05	-5,788 E-07
	006	-0,0091	0,0003	0,0000	1,8774 E-07	-2,3122 E-05	-5,788 E-07
	007	-0,0091	-0,0003	0,0000	-1,6041 E-07	-2,3118 E-05	-5,788 E-07
00188	001	-0,0001	0,0046	-0,0894	-4,2872 E-04	-2,2397 E-06	1,0237 E-08
	002	0,0000	0,0023	-0,0298	-2,1355 E-04	-1,6343 E-06	7,7452 E-09
	003	-0,0003	0,0164	-0,2143	-1,5376 E-03	-1,1767 E-05	5,5766 E-08
	004	1,5224	-0,0024	0,0003	3,1288 E-07	5,721 E-03	-1,4144 E-03
	005	-0,0092	0,0000	0,0000	-2,3333 E-09	-2,3266 E-05	-1,2901 E-06
	006	-0,0092	0,0003	0,0000	-3,2327 E-08	-2,3268 E-05	-1,2901 E-06
	007	-0,0092	-0,0003	0,0000	-2,766 E-08	-2,3265 E-05	-1,2901 E-06
00189	001	0,0000	0,0021	-0,0537	-1,7677 E-04	-6,1099 E-07	2,1798 E-08
	002	0,0000	0,0010	-0,0120	-8,7887 E-05	-4,4532 E-07	1,6162 E-08
	003	-0,0002	0,0075	-0,0864	-6,3279 E-04	-3,2063 E-06	1,1637 E-07
	004	1,3906	-0,0024	0,0001	3,9094 E-06	4,4108 E-03	-6,288 E-04
	005	-0,0094	0,0000	0,0000	-2,8993 E-08	-2,3413 E-05	-2,2306 E-06
	006	-0,0094	0,0003	0,0000	-3,9898 E-07	-2,3415 E-05	-2,2306 E-06
	007	-0,0094	-0,0003	0,0000	3,41 E-07	-2,3411 E-05	-2,2306 E-06
00190	001	0,0000	-0,0036	-0,1065	4,1263 E-04	-9,3503 E-08	4,0279 E-08
	002	0,0000	-0,0018	-0,0383	2,0555 E-04	-6,7404 E-08	2,9637 E-08
	003	-0,0001	-0,0133	-0,2761	1,4799 E-03	-4,8531 E-07	2,1338 E-07
	004	1,5561	-0,0024	-0,0003	-7,0008 E-07	6,086 E-03	1,2364 E-03
	005	-0,0101	0,0000	0,0000	5,2931 E-09	-2,5957 E-05	-4,2618 E-06
	006	-0,0101	0,0003	0,0000	7,2022 E-08	-2,5959 E-05	-4,2618 E-06
	007	-0,0101	-0,0003	0,0000	-6,1436 E-08	-2,5955 E-05	-4,2618 E-06
00191	001	0,0000	-0,0029	-0,0647	3,3229 E-04	-1,1049 E-07	3,2717 E-08
	002	0,0000	-0,0015	-0,0175	1,656 E-04	-7,9891 E-08	2,4114 E-08
	003	-0,0001	-0,0106	-0,1262	1,1924 E-03	-5,7522 E-07	1,7362 E-07
	004	1,4222	-0,0024	-0,0003	2,3114 E-06	4,99 E-03	9,4883 E-04
	005	-0,0097	0,0000	0,0000	-1,7082 E-08	-2,4486 E-05	-3,3091 E-06
	006	-0,0097	0,0003	0,0000	-2,3549 E-07	-2,4488 E-05	-3,3091 E-06
	007	-0,0097	-0,0003	0,0000	2,0132 E-07	-2,4485 E-05	-3,3091 E-06
00192	001	0,0000	-0,0014	-0,1393	1,9537 E-04	-7,6524 E-08	4,4311 E-08
	002	0,0000	-0,0007	-0,0547	9,7315 E-05	-5,4922 E-08	3,2607 E-08
	003	-0,0001	-0,0053	-0,3936	7,0067 E-04	-3,9544 E-07	2,3477 E-07
	004	1,6624	-0,0024	-0,0002	-2,2839 E-06	6,6691 E-03	6,2996 E-04
	005	-0,0105	0,0000	0,0000	1,7037 E-08	-2,7427 E-05	-5,0718 E-06
	006	-0,0105	0,0003	0,0000	2,3361 E-07	-2,7429 E-05	-5,0718 E-06
	007	-0,0105	-0,0003	0,0000	-1,9954 E-07	-2,7426 E-05	-5,0718 E-06
00193	001	0,0000	0,0019	-0,1426	-1,3327 E-04	-5,9552 E-08	4,4814 E-08
	002	0,0000	0,0009	-0,0563	-6,6387 E-05	-4,2444 E-08	3,3024 E-08
	003	-0,0001	0,0067	-0,4055	-4,7799 E-04	-3,056 E-07	2,3777 E-07
	004	1,6798	-0,0024	0,0001	-2,44 E-06	6,7392 E-03	-3,0693 E-04
	005	-0,0111	0,0000	0,0000	1,8149 E-08	-2,8898 E-05	-5,7391 E-06
	006	-0,0111	0,0003	0,0000	2,4928 E-07	-2,89 E-05	-5,7391 E-06
	007	-0,0111	-0,0003	0,0000	-2,1298 E-07	-2,8896 E-05	-5,7391 E-06
00194	001	0,0000	0,0045	-0,1146	-3,8706 E-04	-4,2587 E-08	4,1788 E-08
	002	0,0000	0,0022	-0,0424	-1,9285 E-04	-2,9971 E-08	3,0888 E-08
	003	-0,0001	0,0160	-0,3052	-1,3885 E-03	-2,1579 E-07	2,2239 E-07
	004	1,6035	-0,0024	0,0003	-1,1685 E-06	6,2964 E-03	-1,0106 E-03
	005	-0,0117	0,0000	0,0000	8,631 E-09	-3,0368 E-05	-6,2639 E-06
	006	-0,0117	0,0003	0,0000	1,1904 E-07	-3,037 E-05	-6,2639 E-06
	007	-0,0117	-0,0003	0,0000	-1,0177 E-07	-3,0367 E-05	-6,2639 E-06
00195	001	0,0000	0,0045	-0,0722	-3,7981 E-04	-2,5628 E-08	3,5232 E-08
	002	0,0000	0,0022	-0,0212	-1,8937 E-04	-1,7504 E-08	2,6199 E-08
	003	0,0000	0,0159	-0,1529	-1,3635 E-03	-1,2603 E-07	1,8864 E-07
	004	1,4850	-0,0024	0,0003	1,5307 E-06	5,3407 E-03	-9,1735 E-04
	005	-0,0124	0,0000	0,0000	-1,1519 E-08	-3,1839 E-05	-6,646 E-06
	006	-0,0124	0,0003	0,0000	-1,5713 E-07	-3,1841 E-05	-6,646 E-06
	007	-0,0124	-0,0003	0,0000	1,3409 E-07	-3,1837 E-05	-6,646 E-06
00196	001	0,0000	0,0011	-0,0440	1,1452 E-05	-1,8545 E-08	-1,1627 E-08
	002	0,0000	0,0003	-0,0081	2,3462 E-05	-7,5179 E-09	-7,4705 E-09
	003	0,0000	0,0021	-0,0583	1,6893 E-04	-5,4129 E-08	-5,3788 E-08
	004	0,9436	-0,0025	-0,0004	6,5802 E-06	3,4815 E-03	-2,1301 E-03

Nodi - Spostamenti per condizioni di carico non sismiche

Nodo	CC	Sx [cm]	Sy [cm]	Sz [cm]	Θx [rad]	Θy [rad]	Θz [rad]
	005	-0,0091	0,0000	0,0000	-4,92 E-08	-2,4034 E-05	1,1885 E-05
	006	-0,0091	0,0003	0,0000	-6,7808 E-07	-2,4036 E-05	1,1885 E-05
	007	-0,0091	-0,0003	0,0000	5,7968 E-07	-2,4033 E-05	1,1885 E-05
00197	001	0,0000	-0,0045	-0,1146	3,8706 E-04	2,0101 E-08	2,1925 E-08
	002	0,0000	-0,0022	-0,0424	1,9285 E-04	1,3559 E-08	1,639 E-08
	003	0,0000	-0,0160	-0,3052	1,3885 E-03	9,7622 E-08	1,1801 E-07
	004	1,6043	-0,0024	-0,0003	-1,1686 E-06	6,2912 E-03	1,0222 E-03
	005	-0,0121	0,0000	0,0000	8,6842 E-09	-2,7744 E-05	5,2254 E-07
	006	-0,0121	0,0003	0,0000	1,1913 E-07	-2,7746 E-05	5,2255 E-07
	007	-0,0121	-0,0003	0,0000	-1,0176 E-07	-2,7743 E-05	5,2254 E-07
00198	001	0,0000	-0,0045	-0,0722	3,798 E-04	1,4306 E-08	2,0199 E-08
	002	0,0000	-0,0022	-0,0212	1,8937 E-04	9,2396 E-09	1,5226 E-08
	003	0,0000	-0,0159	-0,1529	1,3634 E-03	6,6525 E-08	1,0963 E-07
	004	1,4842	-0,0024	-0,0003	1,5308 E-06	5,3339 E-03	9,3826 E-04
	005	-0,0120	0,0000	0,0000	-1,1546 E-08	-2,8437 E-05	-3,7573 E-06
	006	-0,0120	0,0003	0,0000	-1,57 E-07	-2,8439 E-05	-3,7573 E-06
	007	-0,0120	-0,0003	0,0000	1,3391 E-07	-2,8436 E-05	-3,7573 E-06
00199	001	0,0000	-0,0019	-0,1426	1,3326 E-04	2,5889 E-08	1,9909 E-08
	002	0,0000	-0,0009	-0,0563	6,6383 E-05	1,7873 E-08	1,4845 E-08
	003	0,0000	-0,0067	-0,4055	4,7796 E-04	1,2868 E-07	1,0688 E-07
	004	1,6814	-0,0024	-0,0001	-2,4402 E-06	6,7356 E-03	3,1131 E-04
	005	-0,0119	0,0000	0,0000	1,8236 E-08	-2,7051 E-05	3,6184 E-06
	006	-0,0119	0,0003	0,0000	2,4933 E-07	-2,7053 E-05	3,6184 E-06
	007	-0,0119	-0,0003	0,0000	-2,1286 E-07	-2,705 E-05	3,6184 E-06
00200	001	0,0000	0,0014	-0,1393	-1,9537 E-04	3,1671 E-08	1,415 E-08
	002	0,0000	0,0007	-0,0547	-9,7315 E-05	2,2182 E-08	1,0591 E-08
	003	0,0001	0,0053	-0,3936	-7,0067 E-04	1,5971 E-07	7,6255 E-08
	004	1,6642	-0,0024	0,0002	6,6672 E-06	6,6672 E-03	-6,3062 E-04
	005	-0,0114	0,0000	0,0000	1,7109 E-08	-2,6358 E-05	5,5305 E-06
	006	-0,0114	0,0003	0,0000	2,3361 E-07	-2,636 E-05	5,5305 E-06
	007	-0,0114	-0,0003	0,0000	-1,9939 E-07	-2,6357 E-05	5,5305 E-06
00201	001	0,0000	0,0036	-0,1065	-4,1262 E-04	3,7446 E-08	4,6479 E-09
	002	0,0000	0,0018	-0,0383	-2,0554 E-04	2,6487 E-08	3,6288 E-09
	003	0,0001	0,0133	-0,2761	-1,4799 E-03	1,9071 E-07	2,6128 E-08
	004	1,5577	-0,0024	0,0003	-7,0011 E-07	6,0857 E-03	-1,24 E-03
	005	-0,0108	0,0000	0,0000	5,3048 E-09	-2,5665 E-05	6,2586 E-06
	006	-0,0108	0,0003	0,0000	7,195 E-08	-2,5667 E-05	6,2586 E-06
	007	-0,0108	-0,0003	0,0000	-6,1341 E-08	-2,5664 E-05	6,2586 E-06
00202	001	0,0000	0,0029	-0,0647	-3,3227 E-04	4,3214 E-08	-8,5965 E-09
	002	0,0000	0,0015	-0,0175	-1,6559 E-04	3,0787 E-08	-6,042 E-09
	003	0,0001	0,0106	-0,1262	-1,1922 E-03	2,2166 E-07	-4,3502 E-08
	004	1,4234	-0,0024	0,0003	2,3116 E-06	4,9914 E-03	-9,5312 E-04
	005	-0,0102	0,0000	0,0000	-1,7178 E-08	-2,4973 E-05	5,8028 E-06
	006	-0,0102	0,0003	0,0000	-2,3563 E-07	-2,4974 E-05	5,8028 E-06
	007	-0,0102	-0,0003	0,0000	2,0128 E-07	-2,4971 E-05	5,8028 E-06
00203	001	0,0000	-0,0028	-0,1267	3,7757 E-04	-1,2936 E-08	6,0107 E-09
	002	0,0000	-0,0015	-0,0480	1,8614 E-04	-6,6522 E-09	5,2053 E-09
	003	0,0000	-0,0105	-0,3456	1,3402 E-03	-4,7896 E-08	3,7478 E-08
	004	1,7289	-0,0024	-0,0002	-1,902 E-06	6,1095 E-03	1,1952 E-03
	005	-0,0136	0,0000	0,0000	1,4219 E-08	-3,0258 E-05	2,0428 E-06
	006	-0,0136	0,0003	0,0000	1,9611 E-07	-3,026 E-05	2,0428 E-06
	007	-0,0136	-0,0003	0,0000	-1,6768 E-07	-3,0256 E-05	2,0428 E-06
00204	001	0,0000	-0,0035	-0,0822	4,3473 E-04	-1,1711 E-08	1,4721 E-08
	002	0,0000	-0,0018	-0,0261	2,1476 E-04	-6,4756 E-09	1,1465 E-08
	003	0,0000	-0,0128	-0,1876	1,5463 E-03	-4,6624 E-08	8,2548 E-08
	004	1,5713	-0,0024	-0,0003	5,9442 E-07	5,3826 E-03	1,5534 E-03
	005	-0,0136	0,0000	0,0000	-4,4485 E-09	-3,1641 E-05	-2,8179 E-06
	006	-0,0136	0,0003	0,0000	5,9821 E-08	-3,1643 E-05	-2,8179 E-06
	007	-0,0136	-0,0003	0,0000	-5,0925 E-08	-3,1639 E-05	-2,8179 E-06
00205	001	0,0000	0,0001	-0,1514	8,4772 E-05	-1,4168 E-08	-9,5729 E-10
	002	0,0000	0,0000	-0,0602	4,101 E-05	-6,8336 E-09	1,9759 E-10
	003	0,0000	0,0001	-0,4332	2,9527 E-04	-4,9202 E-08	1,4226 E-09
	004	1,7975	-0,0024	0,0000	-2,8052 E-06	6,3234 E-03	6,7581 E-06
	005	-0,0132	0,0000	0,0000	2,0974 E-08	-2,8875 E-05	5,9313 E-06
	006	-0,0132	0,0003	0,0000	2,8834 E-07	-2,8877 E-05	5,9313 E-06
	007	-0,0132	-0,0003	0,0000	-2,4639 E-07	-2,8873 E-05	5,9313 E-06
00206	001	0,0000	0,0036	-0,1423	-2,5746 E-04	-1,5406 E-08	-6,1833 E-09
	002	0,0000	0,0017	-0,0556	-1,2793 E-04	-7,0198 E-09	-3,5582 E-09
	003	0,0000	0,0125	-0,4000	-9,2111 E-04	-5,0543 E-08	-2,5619 E-08
	004	1,7223	-0,0024	0,0003	-2,1152 E-06	6,0243 E-03	-1,4482 E-03
	005	-0,0124	0,0000	0,0000	1,5816 E-08	-2,7492 E-05	8,8476 E-06
	006	-0,0124	0,0003	0,0000	2,1686 E-07	-2,7494 E-05	8,8476 E-06
	007	-0,0124	-0,0003	0,0000	-1,8523 E-07	-2,749 E-05	8,8476 E-06
00207	001	0,0000	0,0058	-0,1036	-4,629 E-04	-1,665 E-08	-9,6672 E-09
	002	0,0000	0,0028	-0,0364	-2,2798 E-04	-7,2108 E-09	-6,0621 E-09
	003	0,0000	0,0199	-0,2623	-1,6414 E-03	-5,1918 E-08	-4,3647 E-08
	004	1,5047	-0,0024	0,0004	1,6809 E-07	5,2124 E-03	-2,6061 E-03
	005	-0,0114	0,0000	0,0000	-1,2558 E-09	-2,6109 E-05	1,0792 E-05
	006	-0,0114	0,0003	0,0000	-1,8337 E-08	-2,6111 E-05	1,0792 E-05
	007	-0,0114	-0,0003	0,0000	1,5825 E-08	-2,6107 E-05	1,0792 E-05
00208	001	0,0000	0,0046	-0,0584	-3,4534 E-04	-1,7902 E-08	-1,1409 E-08
	002	0,0000	0,0022	-0,0143	-1,6642 E-04	-7,4067 E-09	-7,314 E-09
	003	0,0000	0,0157	-0,1029	-1,1982 E-03	-5,3328 E-08	-5,2661 E-08
	004	1,2027	-0,0024	0,0002	4,0446 E-06	3,8875 E-03	-2,9032 E-03
	005	-0,0103	0,0000	0,0000	-3,024 E-08	-2,4726 E-05	1,1764 E-05

Nodi - Spostamenti per condizioni di carico non sismiche

Nodo	CC	Sx	Sy	Sz	Θx	Θy	Θz
		[cm]	[cm]	[cm]	[rad]	[rad]	[rad]
	006	-0,0103	0,0003	0,0000	-4,1724 E-07	-2,4727 E-05	1,1764 E-05
	007	-0,0103	-0,0003	0,0000	3,5676 E-07	-2,4724 E-05	1,1764 E-05
00209	001	0,0000	-0,0011	-0,0440	-1,1454 E-05	1,9154 E-08	-7,5406 E-09
	002	0,0000	-0,0003	-0,0081	-2,3464 E-05	7,9657 E-09	-4,4906 E-09
	003	0,0000	-0,0021	-0,0583	-1,6894 E-04	5,7353 E-08	-3,2332 E-08
	004	0,9584	-0,0025	0,0004	6,5821 E-06	3,5096 E-03	2,0283 E-03
	005	-0,0164	0,0000	0,0000	-5,0347 E-08	-3,7966 E-05	3,8627 E-05
	006	-0,0164	0,0003	0,0000	-6,8101 E-07	-3,7968 E-05	3,8627 E-05
	007	-0,0164	-0,0003	0,0000	5,8031 E-07	-3,7965 E-05	3,8627 E-05
00210	001	0,0000	-0,0023	-0,0455	1,0724 E-04	1,9147 E-08	-7,5406 E-09
	002	0,0000	-0,0010	-0,0082	4,6066 E-05	7,9609 E-09	-4,4906 E-09
	003	0,0000	-0,0071	-0,0588	3,3167 E-04	5,7318 E-08	-3,2332 E-08
	004	1,0624	-0,0025	0,0000	6,5821 E-06	2,9957 E-03	2,4617 E-03
	005	-0,0145	0,0000	0,0000	-5,0347 E-08	-3,746 E-05	3,332 E-05
	006	-0,0145	0,0003	0,0000	-6,8101 E-07	-3,7462 E-05	3,332 E-05
	007	-0,0145	-0,0003	0,0000	5,8031 E-07	-3,7458 E-05	3,332 E-05
00211	001	0,0000	-0,0004	-0,0502	1,6485 E-06	4,7247 E-08	-2,0094 E-08
	002	0,0000	-0,0002	-0,0103	8,37 E-07	3,3793 E-08	-1,4423 E-08
	003	0,0001	-0,0013	-0,0740	6,0264 E-06	2,4331 E-07	-1,0385 E-07
	004	1,3729	-0,0024	0,0000	5,2693 E-06	3,8663 E-03	8,6726 E-05
	005	-0,0098	0,0000	0,0000	-3,9269 E-08	-2,4487 E-05	4,7793 E-06
	006	-0,0098	0,0003	0,0000	-5,3777 E-07	-2,4489 E-05	4,7793 E-06
	007	-0,0098	-0,0003	0,0000	4,5923 E-07	-2,4486 E-05	4,7793 E-06
00212	001	0,0000	0,0000	-0,0511	-4,2258 E-08	-9,1197 E-08	-4,6114 E-08
	002	0,0000	0,0000	-0,0109	-3,0845 E-08	-6,6567 E-08	-3,3334 E-08
	003	-0,0001	0,0000	-0,0785	-2,2208 E-07	-4,7928 E-07	-2,4001 E-07
	004	1,4392	-0,0024	0,0000	5,2714 E-06	4,0518 E-03	-7,2959 E-07
	005	-0,0093	0,0000	0,0000	-3,9033 E-08	-2,249 E-05	-1,3098 E-07
	006	-0,0091	0,0003	0,0000	-5,363 E-07	-2,2491 E-05	-1,3098 E-07
	007	-0,0091	-0,0003	0,0000	4,5823 E-07	-2,2488 E-05	-1,3098 E-07
00213	001	0,0000	0,0004	-0,0502	-1,6157 E-06	-1,2238 E-07	2,5324 E-08
	002	0,0000	0,0002	-0,0103	-8,1305 E-07	-8,8636 E-08	1,8729 E-08
	003	-0,0002	0,0013	-0,0740	-5,854 E-06	-6,3818 E-07	1,3485 E-07
	004	1,3719	-0,0024	0,0000	5,2689 E-06	3,8638 E-03	-9,024 E-05
	005	-0,0094	0,0000	0,0000	-3,907 E-08	-2,3457 E-05	-2,5574 E-06
	006	-0,0094	0,0003	0,0000	-5,3756 E-07	-2,3459 E-05	-2,5574 E-06
	007	-0,0094	-0,0003	0,0000	4,5942 E-07	-2,3455 E-05	-2,5574 E-06
00214	001	0,0000	0,0023	-0,0455	-1,0724 E-04	-1,8531 E-08	-1,1627 E-08
	002	0,0000	0,0010	-0,0082	-4,6067 E-05	-7,507 E-09	-7,4705 E-09
	003	0,0000	0,0071	-0,0588	-3,3169 E-04	-5,4051 E-08	-5,3788 E-08
	004	1,0526	-0,0025	0,0000	6,5802 E-06	2,9686 E-03	-2,5528 E-03
	005	-0,0097	0,0000	0,0000	-4,92 E-08	-2,4034 E-05	1,1885 E-05
	006	-0,0097	0,0003	0,0000	-6,7808 E-07	-2,4036 E-05	1,1885 E-05
	007	-0,0096	-0,0003	0,0000	5,7968 E-07	-2,4033 E-05	1,1885 E-05
00215	001	0,0000	0,0003	-0,0011	-1,0962 E-05	0 E+00	0 E+00
	002	0,0000	0,0000	0,0000	0 E+00	0 E+00	0 E+00
	003	0,0000	0,0000	0,0000	0 E+00	0 E+00	0 E+00
	004	0,0016	0,0000	0,0000	0 E+00	8,0868 E-21	2,9074 E-06
	005	0,0000	0,0000	0,0000	0 E+00	0 E+00	0 E+00
	006	0,0000	0,0000	0,0000	0 E+00	0 E+00	0 E+00
	007	0,0000	0,0000	0,0000	0 E+00	0 E+00	0 E+00
00216	001	0,0000	0,0000	0,0000	0 E+00	0 E+00	0 E+00
	002	0,0000	0,0000	0,0000	0 E+00	0 E+00	0 E+00
	003	0,0000	0,0000	0,0000	0 E+00	0 E+00	0 E+00
	004	0,0000	0,0000	0,0000	0 E+00	0 E+00	0 E+00
	005	0,0000	0,0000	0,0000	0 E+00	0 E+00	0 E+00
	006	0,0000	0,0000	0,0000	0 E+00	0 E+00	0 E+00
	007	0,0000	0,0000	0,0000	0 E+00	0 E+00	0 E+00
00217	001	0,0000	-0,0005	-0,0026	1,9952 E-05	0 E+00	0 E+00
	002	0,0000	0,0000	0,0000	0 E+00	0 E+00	0 E+00
	003	0,0000	0,0000	0,0000	0 E+00	0 E+00	0 E+00
	004	0,0008	0,0000	0,0000	0 E+00	0 E+00	-7,2239 E-06
	005	0,0000	0,0000	0,0000	0 E+00	0 E+00	0 E+00
	006	0,0000	0,0000	0,0000	0 E+00	0 E+00	0 E+00
	007	0,0000	0,0000	0,0000	0 E+00	0 E+00	0 E+00
00218	001	0,0000	0,0000	0,0000	0 E+00	0 E+00	0 E+00
	002	0,0000	0,0000	0,0000	0 E+00	0 E+00	0 E+00
	003	0,0000	0,0000	0,0000	0 E+00	0 E+00	0 E+00
	004	0,0000	0,0000	0,0000	0 E+00	0 E+00	0 E+00
	005	0,0000	0,0000	0,0000	0 E+00	0 E+00	0 E+00
	006	0,0000	0,0000	0,0000	0 E+00	0 E+00	0 E+00
	007	0,0000	0,0000	0,0000	0 E+00	0 E+00	0 E+00
00219	001	0,0000	0,0000	0,0000	0 E+00	0 E+00	0 E+00
	002	0,0000	0,0000	0,0000	0 E+00	0 E+00	0 E+00
	003	0,0000	0,0000	0,0000	0 E+00	0 E+00	0 E+00
	004	0,0000	0,0000	0,0000	0 E+00	0 E+00	0 E+00
	005	0,0000	0,0000	0,0000	0 E+00	0 E+00	0 E+00
	006	0,0000	0,0000	0,0000	0 E+00	0 E+00	0 E+00
	007	0,0000	0,0000	0,0000	0 E+00	0 E+00	0 E+00
00220	001	0,0000	0,0000	0,0000	0 E+00	0 E+00	0 E+00
	002	0,0000	0,0000	0,0000	0 E+00	0 E+00	0 E+00
	003	0,0000	0,0000	0,0000	0 E+00	0 E+00	0 E+00
	004	0,0000	0,0000	0,0000	0 E+00	0 E+00	0 E+00
	005	0,0000	0,0000	0,0000	0 E+00	0 E+00	0 E+00
	006	0,0000	0,0000	0,0000	0 E+00	0 E+00	0 E+00

Nodi - Spostamenti per condizioni di carico non sismiche

Nodo	CC	S _x [cm]	S _y [cm]	S _z [cm]	Θ _x [rad]	Θ _y [rad]	Θ _z [rad]
	007	0,0000	0,0000	0,0000	0 E+00	0 E+00	0 E+00
00221	001	0,0000	0,0000	0,0000	0 E+00	0 E+00	0 E+00
	002	0,0000	0,0000	0,0000	0 E+00	0 E+00	0 E+00
	003	0,0000	0,0000	0,0000	0 E+00	0 E+00	0 E+00
	004	0,0000	0,0000	0,0000	0 E+00	0 E+00	0 E+00
	005	0,0000	0,0000	0,0000	0 E+00	0 E+00	0 E+00
	006	0,0000	0,0000	0,0000	0 E+00	0 E+00	0 E+00
	007	0,0000	0,0000	0,0000	0 E+00	0 E+00	0 E+00
00222	001	0,0000	0,0000	0,0000	0 E+00	0 E+00	0 E+00
	002	0,0000	0,0000	0,0000	0 E+00	0 E+00	0 E+00
	003	0,0000	0,0000	0,0000	0 E+00	0 E+00	0 E+00
	004	0,0000	0,0000	0,0000	0 E+00	0 E+00	0 E+00
	005	0,0000	0,0000	0,0000	0 E+00	0 E+00	0 E+00
	006	0,0000	0,0000	0,0000	0 E+00	0 E+00	0 E+00
	007	0,0000	0,0000	0,0000	0 E+00	0 E+00	0 E+00
00223	001	0,0000	0,0000	0,0000	0 E+00	0 E+00	0 E+00
	002	0,0000	0,0000	0,0000	0 E+00	0 E+00	0 E+00
	003	0,0000	0,0000	0,0000	0 E+00	0 E+00	0 E+00
	004	0,0000	0,0000	0,0000	0 E+00	0 E+00	0 E+00
	005	0,0000	0,0000	0,0000	0 E+00	0 E+00	0 E+00
	006	0,0000	0,0000	0,0000	0 E+00	0 E+00	0 E+00
	007	0,0000	0,0000	0,0000	0 E+00	0 E+00	0 E+00
00224	001	0,0000	0,0000	-0,0005	7,985 E-08	0 E+00	0 E+00
	002	0,0000	0,0000	0,0000	0 E+00	0 E+00	0 E+00
	003	0,0000	0,0000	0,0000	0 E+00	0 E+00	0 E+00
	004	0,0025	0,0000	0,0000	0 E+00	9,9289 E-24	2,4066 E-06
	005	0,0000	0,0000	0,0000	0 E+00	0 E+00	0 E+00
	006	0,0000	0,0000	0,0000	0 E+00	0 E+00	0 E+00
	007	0,0000	0,0000	0,0000	0 E+00	0 E+00	0 E+00
00225	001	0,0000	0,0000	-0,0005	2,8521 E-07	0 E+00	0 E+00
	002	0,0000	0,0000	0,0000	0 E+00	0 E+00	0 E+00
	003	0,0000	0,0000	0,0000	0 E+00	0 E+00	0 E+00
	004	0,0025	0,0000	0,0000	0 E+00	1,3969 E-22	2,9461 E-07
	005	0,0000	0,0000	0,0000	0 E+00	0 E+00	0 E+00
	006	0,0000	0,0000	0,0000	0 E+00	0 E+00	0 E+00
	007	0,0000	0,0000	0,0000	0 E+00	0 E+00	0 E+00
00226	001	0,0000	0,0000	-0,0003	1,231 E-05	0 E+00	0 E+00
	002	0,0000	0,0000	0,0000	0 E+00	0 E+00	0 E+00
	003	0,0000	0,0000	0,0000	0 E+00	0 E+00	0 E+00
	004	0,0018	0,0000	0,0000	0 E+00	1,9638 E-21	-5,4383 E-06
	005	0,0000	0,0000	0,0000	0 E+00	0 E+00	0 E+00
	006	0,0000	0,0000	0,0000	0 E+00	0 E+00	0 E+00
	007	0,0000	0,0000	0,0000	0 E+00	0 E+00	0 E+00
00227	001	0,0000	0,0000	-0,0005	3,6009 E-07	0 E+00	0 E+00
	002	0,0000	0,0000	0,0000	0 E+00	0 E+00	0 E+00
	003	0,0000	0,0000	0,0000	0 E+00	0 E+00	0 E+00
	004	0,0025	0,0000	0,0000	0 E+00	5,9113 E-25	2,9997 E-07
	005	0,0000	0,0000	0,0000	0 E+00	0 E+00	0 E+00
	006	0,0000	0,0000	0,0000	0 E+00	0 E+00	0 E+00
	007	0,0000	0,0000	0,0000	0 E+00	0 E+00	0 E+00
00228	001	0,0000	0,0000	-0,0003	-8,8147 E-06	0 E+00	0 E+00
	002	0,0000	0,0000	0,0000	0 E+00	0 E+00	0 E+00
	003	0,0000	0,0000	0,0000	0 E+00	0 E+00	0 E+00
	004	0,0018	0,0000	0,0000	0 E+00	-3,2159 E-22	1,3519 E-07
	005	0,0000	0,0000	0,0000	0 E+00	0 E+00	0 E+00
	006	0,0000	0,0000	0,0000	0 E+00	0 E+00	0 E+00
	007	0,0000	0,0000	0,0000	0 E+00	0 E+00	0 E+00
00229	001	0,0000	0,0000	-0,0005	3,8379 E-07	0 E+00	0 E+00
	002	0,0000	0,0000	0,0000	0 E+00	0 E+00	0 E+00
	003	0,0000	0,0000	0,0000	0 E+00	0 E+00	0 E+00
	004	0,0025	0,0000	0,0000	0 E+00	-2,2873 E-23	-1,7455 E-07
	005	0,0000	0,0000	0,0000	0 E+00	0 E+00	0 E+00
	006	0,0000	0,0000	0,0000	0 E+00	0 E+00	0 E+00
	007	0,0000	0,0000	0,0000	0 E+00	0 E+00	0 E+00
00230	001	0,0000	0,0000	-0,0005	-1,3866 E-06	0 E+00	0 E+00
	002	0,0000	0,0000	0,0000	0 E+00	0 E+00	0 E+00
	003	0,0000	0,0000	0,0000	0 E+00	0 E+00	0 E+00
	004	0,0025	0,0000	0,0000	0 E+00	-1,577 E-24	-2,8379 E-07
	005	0,0000	0,0000	0,0000	0 E+00	0 E+00	0 E+00
	006	0,0000	0,0000	0,0000	0 E+00	0 E+00	0 E+00
	007	0,0000	0,0000	0,0000	0 E+00	0 E+00	0 E+00
00231	001	0,0000	0,0000	-0,0026	1,9952 E-05	0 E+00	0 E+00
	002	0,0000	0,0000	0,0000	0 E+00	0 E+00	0 E+00
	003	0,0000	0,0000	0,0000	0 E+00	0 E+00	0 E+00
	004	0,0008	0,0000	0,0000	0 E+00	0 E+00	-7,2239 E-06
	005	0,0000	0,0000	0,0000	0 E+00	0 E+00	0 E+00
	006	0,0000	0,0000	0,0000	0 E+00	0 E+00	0 E+00
	007	0,0000	0,0000	0,0000	0 E+00	0 E+00	0 E+00
00232	001	0,0000	0,0000	-0,0011	-1,0962 E-05	0 E+00	0 E+00
	002	0,0000	0,0000	0,0000	0 E+00	0 E+00	0 E+00
	003	0,0000	0,0000	0,0000	0 E+00	0 E+00	0 E+00
	004	0,0016	0,0000	0,0000	0 E+00	8,0868 E-21	2,9074 E-06
	005	0,0000	0,0000	0,0000	0 E+00	0 E+00	0 E+00
	006	0,0000	0,0000	0,0000	0 E+00	0 E+00	0 E+00
	007	0,0000	0,0000	0,0000	0 E+00	0 E+00	0 E+00

Nodi - Spostamenti per condizioni di carico non sismiche

Nodo	CC	S _x	S _y	S _z	Θ _x	Θ _y	Θ _z
		[cm]	[cm]	[cm]	[rad]	[rad]	[rad]

LEGENDA:

CC Identificativo della tipologia di carico nella relativa tabella.
 S_x, S_y, S_z, Θ_x, Θ_y, Θ_z Le componenti dello spostamento sono relative al sistema di riferimento globale X, Y, Z.

NODI - SPOSTAMENTI PER EFFETTO DEL SISMA

Nodo	Dir	Stato Limite Ultimo						Stato Limite di Danno					
		S _x	S _y	S _z	Θ _x	Θ _y	Θ _z	S _x	S _y	S _z	Θ _x	Θ _y	Θ _z
		[cm]	[cm]	[cm]	[rad]	[rad]	[rad]	[cm]	[cm]	[cm]	[rad]	[rad]	[rad]
00001	X	0,199 5	0,000 3	0,000 0	5,187 E-06	1,1235 E-03	1,3104 E-03	0,038 9	0,000 1	0,000 0	9,5873 E-07	2,1873 E-04	2,4394 E-04
00001	Y	0,000 4	0,220 8	0,008 6	1,6482 E-03	4,4262 E-06	8,6808 E-07	0,000 1	0,043 6	0,001 7	3,2523 E-04	8,4011 E-07	1,5642 E-07
00001	Z	0,000 0	0,000 0	0,000 0	0 E+00	0 E+00	0 E+00	0,000 0	0,000 0	0,000 0	0 E+00	0 E+00	0 E+00
00002	X	0,267 2	0,000 3	0,000 0	5,986 E-06	1,5075 E-03	1,3869 E-04	0,051 5	0,000 1	0,000 0	1,1077 E-06	2,903 E-04	2,657 E-05
00002	Y	0,000 4	0,248 9	0,001 3	1,7153 E-03	4,4928 E-06	6,4471 E-07	0,000 1	0,049 1	0,000 3	3,3847 E-04	8,5492 E-07	1,148 E-07
00002	Z	0,000 0	0,000 0	0,000 0	0 E+00	0 E+00	0 E+00	0,000 0	0,000 0	0,000 0	0 E+00	0 E+00	0 E+00
00003	X	0,694 2	0,001 4	0,000 0	3,0041 E-06	1,9467 E-03	1,3871 E-04	0,133 7	0,000 3	0,000 0	5,443 E-07	3,7457 E-04	2,6574 E-05
00003	Y	0,001 5	0,668 4	0,001 3	1,3781 E-03	4,6939 E-06	6,4482 E-07	0,000 3	0,131 9	0,000 3	2,7194 E-04	8,8894 E-07	1,1481 E-07
00003	Z	0,000 0	0,000 0	0,000 0	0 E+00	0 E+00	0 E+00	0,000 0	0,000 0	0,000 0	0 E+00	0 E+00	0 E+00
00004	X	0,259 2	0,000 3	0,000 0	5,8937 E-06	1,4601 E-03	4,6181 E-05	0,049 8	0,000 1	0,000 0	1,0893 E-06	2,8054 E-04	8,6859 E-06
00004	Y	0,000 3	0,246 4	0,000 1	1,7093 E-03	3,9725 E-06	1,7378 E-06	0,000 1	0,048 6	0,000 0	3,3729 E-04	7,4928 E-07	3,3635 E-07
00004	Z	0,000 0	0,000 0	0,000 0	0 E+00	0 E+00	0 E+00	0,000 0	0,000 0	0,000 0	0 E+00	0 E+00	0 E+00
00005	X	0,268 6	0,000 3	0,000 0	5,9923 E-06	1,5174 E-03	1,5324 E-06	0,051 6	0,000 1	0,000 0	1,1081 E-06	2,9158 E-04	2,9564 E-07
00005	Y	0,000 3	0,246 5	0,000 0	1,7098 E-03	3,5854 E-06	1,583 E-06	0,000 0	0,048 6	0,000 0	3,3739 E-04	6,7596 E-07	3,124 E-07
00005	Z	0,000 0	0,000 0	0,000 0	0 E+00	0 E+00	0 E+00	0,000 0	0,000 0	0,000 0	0 E+00	0 E+00	0 E+00
00006	X	0,258 7	0,000 3	0,000 0	5,8902 E-06	1,4581 E-03	4,9168 E-05	0,049 7	0,000 1	0,000 0	1,0886 E-06	2,8017 E-04	9,2529 E-06
00006	Y	0,000 4	0,246 4	0,000 1	1,7093 E-03	4,7934 E-06	7,3624 E-07	0,000 1	0,048 6	0,000 0	3,3729 E-04	9,1062 E-07	1,3876 E-07
00006	Z	0,000 0	0,000 0	0,000 0	0 E+00	0 E+00	0 E+00	0,000 0	0,000 0	0,000 0	0 E+00	0 E+00	0 E+00
00007	X	0,269 6	0,000 3	0,000 0	6,0096 E-06	1,5214 E-03	1,6967 E-04	0,051 9	0,000 1	0,000 0	1,1122 E-06	2,9293 E-04	3,2584 E-05
00007	Y	0,000 4	0,248 9	0,001 3	1,7153 E-03	4,4836 E-06	1,3218 E-06	0,000 1	0,049 1	0,000 3	3,3847 E-04	8,5315 E-07	2,4848 E-07
00007	Z	0,000 0	0,000 0	0,000 0	0 E+00	0 E+00	0 E+00	0,000 0	0,000 0	0,000 0	0 E+00	0 E+00	0 E+00
00008	X	0,700 6	0,001 4	0,000 0	3,0047 E-06	1,9651 E-03	1,6969 E-04	0,134 9	0,000 3	0,000 0	5,4439 E-07	3,7805 E-04	3,2589 E-05
00008	Y	0,001 5	0,668 4	0,001 3	1,3781 E-03	4,685 E-06	1,322 E-06	0,000 3	0,131 9	0,000 3	2,7194 E-04	8,8723 E-07	2,4852 E-07
00008	Z	0,000 0	0,000 0	0,000 0	0 E+00	0 E+00	0 E+00	0,000 0	0,000 0	0,000 0	0 E+00	0 E+00	0 E+00
00009	X	0,199 0	0,000 3	0,000 0	5,1821 E-06	1,1204 E-03	1,3991 E-03	0,038 8	0,000 1	0,000 0	9,578 E-07	2,1814 E-04	2,607 E-04
00009	Y	0,000 3	0,220 8	0,008 6	1,6482 E-03	3,6977 E-06	6,587 E-07	0,000 0	0,043 6	0,001 7	3,2523 E-04	6,9698 E-07	1,3429 E-07
00009	Z	0,000 0	0,000 0	0,000 0	0 E+00	0 E+00	0 E+00	0,000 0	0,000 0	0,000 0	0 E+00	0 E+00	0 E+00
00010	X	0,470 7	0,273 5	0,486 4	7,2261 E-05	2,1313 E-03	1,1565 E-03	0,092 2	0,050 2	0,091 5	1,4914 E-05	4,003 E-04	2,1291 E-04
00010	Y	0,000 7	0,904 8	0,121 6	1,6729 E-03	1,1001 E-04	1,4356 E-03	0,000 1	0,178 5	0,024 0	3,3011 E-04	2,1611 E-05	2,8334 E-04
00010	Z	0,000 0	0,000 0	0,000 0	0 E+00	0 E+00	0 E+00	0,000 0	0,000 0	0,000 0	0 E+00	0 E+00	0 E+00
00011	X	0,470 7	0,270 7	0,486 0	6,9172 E-05	2,1312 E-03	1,1549 E-03	0,092 2	0,049 7	0,091 4	1,4313 E-05	4,003 E-04	2,1262 E-04
00011	Y	0,002 2	0,905 1	0,119 2	1,673 E-03	9,9908 E-05	1,4369 E-03	0,000 4	0,178 6	0,023 5	3,3012 E-04	1,9811 E-05	2,8348 E-04
00011	Z	0,000 0	0,000 0	0,000 0	0 E+00	0 E+00	0 E+00	0,000 0	0,000 0	0,000 0	0 E+00	0 E+00	0 E+00
00012	X	0,408 4	0,249 8	0,490 9	1,0998 E-04	2,0832 E-03	1,107 E-03	0,081 2	0,046 7	0,088 9	2,2574 E-05	3,76 E-04	2,105 E-04
00012	Y	0,003 8	0,906 2	0,348 7	1,742 E-03	2,9949 E-04	1,4384 E-03	0,000 7	0,178 8	0,068 8	3,4375 E-04	5,9231 E-05	2,8376 E-04
00012	Z	0,000 0	0,000 0	0,000 0	0 E+00	0 E+00	0 E+00	0,000 0	0,000 0	0,000 0	0 E+00	0 E+00	0 E+00

Nodi - Spostamenti per effetto del sisma													
Nodo	Dir	Stato Limite Ultimo						Stato Limite di Danno					
		Sx [cm]	Sy [cm]	Sz [cm]	Θx [rad]	Θy [rad]	Θz [rad]	Sx [cm]	Sy [cm]	Sz [cm]	Θx [rad]	Θy [rad]	Θz [rad]
00013	X	0,408 4	0,252 1	0,492 1	1,1443 E-04	2,0835 E-03	1,1091 E-03	0,081 2	0,047 1	0,089 1	2,3388 E-05	3,7604 E-04	2,1091 E-04
00013	Y	0,000 9	0,905 9	0,351 4	1,7419 E-03	3,1089 E-04	1,4376 E-03	0,000 2	0,178 8	0,069 3	3,4371 E-04	6,1212 E-05	2,8376 E-04
00013	Z	0,000 0	0,000 0	0,000 0	0 E+00	0 E+00	0 E+00	0,000 0	0,000 0	0,000 0	0 E+00	0 E+00	0 E+00
00014	X	0,584 6	0,384 5	0,526 6	5,0923 E-05	2,3203 E-03	1,707 E-03	0,113 2	0,071 9	0,101 9	9,2658 E-06	4,493 E-04	3,186 E-04
00014	Y	0,000 9	0,895 1	0,077 2	9,2073 E-04	7,0178 E-05	1,4214 E-03	0,000 2	0,176 6	0,015 2	1,8169 E-04	1,38 E-05	2,8047 E-04
00014	Z	0,000 0	0,000 0	0,000 0	0 E+00	0 E+00	0 E+00	0,000 0	0,000 0	0,000 0	0 E+00	0 E+00	0 E+00
00015	X	0,584 6	0,387 4	0,526 3	4,6449 E-05	2,3203 E-03	1,7075 E-03	0,113 2	0,072 4	0,101 8	8,4564 E-06	4,4929 E-04	3,1864 E-04
00015	Y	0,001 9	0,894 7	0,075 5	9,2093 E-04	6,3022 E-05	1,4192 E-03	0,000 4	0,176 5	0,014 9	1,8172 E-04	1,2484 E-05	2,8006 E-04
00015	Z	0,000 0	0,000 0	0,000 0	0 E+00	0 E+00	0 E+00	0,000 0	0,000 0	0,000 0	0 E+00	0 E+00	0 E+00
00016	X	0,726 5	0,366 8	0,588 1	6,6891 E-05	2,5008 E-03	1,6677 E-03	0,140 0	0,069 7	0,112 1	1,27 E-05	4,7684 E-04	3,1674 E-04
00016	Y	0,000 6	0,881 2	0,146 2	1,4139 E-04	1,2924 E-04	1,3993 E-03	0,000 1	0,173 9	0,028 9	2,7902 E-05	2,5503 E-05	2,7612 E-04
00016	Z	0,000 0	0,000 0	0,000 0	0 E+00	0 E+00	0 E+00	0,000 0	0,000 0	0,000 0	0 E+00	0 E+00	0 E+00
00017	X	0,726 5	0,369 6	0,587 6	6,6722 E-05	2,5006 E-03	1,668 E-03	0,140 0	0,070 2	0,112 0	1,266 E-05	4,7683 E-04	3,1671 E-04
00017	Y	0,002 3	0,880 8	0,145 1	1,4117 E-04	1,2484 E-04	1,3972 E-03	0,000 4	0,173 8	0,028 6	2,7856 E-05	2,4634 E-05	2,757 E-04
00017	Z	0,000 0	0,000 0	0,000 0	0 E+00	0 E+00	0 E+00	0,000 0	0,000 0	0,000 0	0 E+00	0 E+00	0 E+00
00018	X	0,829 8	0,197 3	0,619 5	3,0265 E-05	2,6018 E-03	8,9089 E-04	0,159 6	0,037 9	0,116 6	5,9349 E-06	4,8934 E-04	1,7124 E-04
00018	Y	0,000 8	0,872 3	0,114 2	8,0609 E-04	1,0114 E-04	1,3847 E-03	0,000 1	0,172 1	0,022 5	1,5906 E-04	2,0007 E-05	2,7326 E-04
00018	Z	0,000 0	0,000 0	0,000 0	0 E+00	0 E+00	0 E+00	0,000 0	0,000 0	0,000 0	0 E+00	0 E+00	0 E+00
00019	X	0,829 8	0,200 1	0,619 1	3,2837 E-05	2,6017 E-03	8,9121 E-04	0,159 6	0,038 4	0,116 5	6,3891 E-06	4,8933 E-04	1,7123 E-04
00019	Y	0,002 1	0,872 2	0,113 3	8,06 E-04	9,7289 E-05	1,384 E-03	0,000 4	0,172 1	0,022 3	1,5904 E-04	1,9147 E-05	2,7308 E-04
00019	Z	0,000 0	0,000 0	0,000 0	0 E+00	0 E+00	0 E+00	0,000 0	0,000 0	0,000 0	0 E+00	0 E+00	0 E+00
00020	X	0,864 6	0,047 3	0,645 6	3,7062 E-05	2,7102 E-03	2,5986 E-04	0,166 3	0,008 7	0,120 8	6,8507 E-06	5,0668 E-04	4,8015 E-05
00020	Y	0,001 2	0,869 1	0,029 7	1,0349 E-03	2,764 E-05	1,379 E-03	0,000 2	0,171 5	0,005 9	2,0422 E-04	5,5298 E-06	2,7211 E-04
00020	Z	0,000 0	0,000 0	0,000 0	0 E+00	0 E+00	0 E+00	0,000 0	0,000 0	0,000 0	0 E+00	0 E+00	0 E+00
00021	X	0,864 6	0,046 2	0,645 6	3,508 E-05	2,7102 E-03	2,6126 E-04	0,166 3	0,008 6	0,120 7	6,5195 E-06	5,0668 E-04	4,835 E-05
00021	Y	0,001 6	0,869 2	0,028 8	1,035 E-03	2,3833 E-05	1,3799 E-03	0,000 3	0,171 5	0,005 7	2,0424 E-04	4,6246 E-06	2,7229 E-04
00021	Z	0,000 0	0,000 0	0,000 0	0 E+00	0 E+00	0 E+00	0,000 0	0,000 0	0,000 0	0 E+00	0 E+00	0 E+00
00022	X	0,830 2	0,217 6	0,658 1	8,023 E-05	2,7785 E-03	1,0514 E-03	0,159 7	0,041 6	0,123 0	1,5309 E-05	5,1899 E-04	2,012 E-04
00022	Y	0,001 7	0,871 8	0,055 0	8,0685 E-04	4,6554 E-05	1,3829 E-03	0,000 3	0,172 0	0,010 8	1,5921 E-04	9,1185 E-06	2,7286 E-04
00022	Z	0,000 0	0,000 0	0,000 0	0 E+00	0 E+00	0 E+00	0,000 0	0,000 0	0,000 0	0 E+00	0 E+00	0 E+00
00023	X	0,830 2	0,215 2	0,658 3	7,8511 E-05	2,7786 E-03	1,0518 E-03	0,159 7	0,041 2	0,123 1	1,502 E-05	5,1901 E-04	2,0135 E-04
00023	Y	0,001 1	0,872 2	0,056 0	8,071 E-04	5,0442 E-05	1,3851 E-03	0,000 2	0,172 1	0,011 1	1,5926 E-04	1,002 E-05	2,7333 E-04
00023	Z	0,000 0	0,000 0	0,000 0	0 E+00	0 E+00	0 E+00	0,000 0	0,000 0	0,000 0	0 E+00	0 E+00	0 E+00
00024	X	0,755 2	0,246 0	0,643 1	7,4892 E-05	2,7635 E-03	1,1627 E-03	0,145 4	0,047 5	0,121 4	1,4586 E-05	5,2139 E-04	2,2469 E-04
00024	Y	0,002 0	0,880 5	0,086 3	1,2581 E-04	7,3146 E-05	1,3966 E-03	0,000 4	0,173 7	0,017 0	2,4823 E-05	1,4415 E-05	2,7557 E-04
00024	Z	0,000 0	0,000 0	0,000 0	0 E+00	0 E+00	0 E+00	0,000 0	0,000 0	0,000 0	0 E+00	0 E+00	0 E+00
00025	X	0,755 2	0,243 4	0,643 5	7,5607 E-05	2,7636 E-03	1,163 E-03	0,145 4	0,047 0	0,121 5	1,4731 E-05	5,214 E-04	2,2481 E-04
00025	Y	0,000 9	0,881 0	0,087 6	1,2609 E-04	7,8571 E-05	1,3992 E-03	0,000 2	0,173 9	0,017 3	2,4882 E-05	1,5522 E-05	2,7612 E-04
00025	Z	0,000 0	0,000 0	0,000 0	0 E+00	0 E+00	0 E+00	0,000 0	0,000 0	0,000 0	0 E+00	0 E+00	0 E+00
00026	X	0,692 3	0,033 8	0,529 5	1,0702 E-05	2,3517 E-03	1,3956 E-04	0,133 3	0,006 5	0,102 0	1,5454 E-06	4,5309 E-04	2,6751 E-05
00026	Y	0,001 6	0,907 4	0,013 4	1,1101 E-03	8,6078 E-06	1,4892 E-03	0,000 3	0,179 1	0,002 7	2,1904 E-04	1,7491 E-06	2,9388 E-04
00026	Z	0,000 0	0,000 0	0,000 0	0 E+00	0 E+00	0 E+00	0,000 0	0,000 0	0,000 0	0 E+00	0 E+00	0 E+00

Nodi - Spostamenti per effetto del sisma													
Nodo	Dir	Stato Limite Ultimo						Stato Limite di Danno					
		Sx [cm]	Sy [cm]	Sz [cm]	Θx [rad]	Θy [rad]	Θz [rad]	Sx [cm]	Sy [cm]	Sz [cm]	Θx [rad]	Θy [rad]	Θz [rad]
00027	X	0,692 3	0,031 3	0,529 6	7,203 E-06	2,3517 E-03	1,3768 E-04	0,133 3	0,006 0	0,102 0	1,0185 E-06	4,5309 E-04	2,6471 E-05
00027	Y	0,001 4	0,907 8	0,015 6	1,11 E-03	1,79 E-05	1,4911 E-03	0,000 3	0,179 1	0,003 1	2,1902 E-04	3,4816 E-06	2,9421 E-04
00027	Z	0,000 0	0,000 0	0,000 0	0 E+00	0 E+00	0 E+00	0,000 0	0,000 0	0,000 0	0 E+00	0 E+00	0 E+00
00028	X	0,721 8	0,188 1	0,627 3	7,4492 E-05	2,6882 E-03	9,2841 E-04	0,138 9	0,035 5	0,119 8	1,3824 E-05	5,1391 E-04	1,7479 E-04
00028	Y	0,001 0	0,884 4	0,092 3	1,6306 E-04	8,2996 E-05	1,4035 E-03	0,000 2	0,174 5	0,018 2	3,2173 E-05	1,6375 E-05	2,7698 E-04
00028	Z	0,000 0	0,000 0	0,000 0	0 E+00	0 E+00	0 E+00	0,000 0	0,000 0	0,000 0	0 E+00	0 E+00	0 E+00
00029	X	0,721 8	0,190 3	0,626 9	7,2844 E-05	2,6881 E-03	9,2779 E-04	0,138 9	0,035 9	0,119 8	1,3513 E-05	5,1389 E-04	1,7459 E-04
00029	Y	0,002 1	0,884 6	0,090 8	1,6315 E-04	7,671 E-05	1,4042 E-03	0,000 4	0,174 5	0,017 9	3,2196 E-05	1,5139 E-05	2,7704 E-04
00029	Z	0,000 0	0,000 0	0,000 0	0 E+00	0 E+00	0 E+00	0,000 0	0,000 0	0,000 0	0 E+00	0 E+00	0 E+00
00030	X	0,782 0	0,199 1	0,678 4	7,4085 E-05	2,8623 E-03	9,7654 E-04	0,150 3	0,037 7	0,128 1	1,3868 E-05	5,4024 E-04	1,8471 E-04
00030	Y	0,001 1	0,875 0	0,092 5	5,6741 E-04	8,2641 E-05	1,3889 E-03	0,000 2	0,172 7	0,018 3	1,1197 E-04	1,6358 E-05	2,7411 E-04
00030	Z	0,000 0	0,000 0	0,000 0	0 E+00	0 E+00	0 E+00	0,000 0	0,000 0	0,000 0	0 E+00	0 E+00	0 E+00
00031	X	0,782 0	0,201 4	0,678 0	7,5129 E-05	2,8622 E-03	9,7599 E-04	0,150 3	0,038 1	0,128 0	1,4039 E-05	5,4023 E-04	1,8453 E-04
00031	Y	0,002 2	0,875 1	0,091 4	5,6727 E-04	7,7834 E-05	1,3887 E-03	0,000 4	0,172 7	0,018 0	1,1193 E-04	1,5308 E-05	2,7399 E-04
00031	Z	0,000 0	0,000 0	0,000 0	0 E+00	0 E+00	0 E+00	0,000 0	0,000 0	0,000 0	0 E+00	0 E+00	0 E+00
00032	X	0,821 0	0,061 3	0,705 8	2,1918 E-05	2,9684 E-03	3,0426 E-04	0,157 7	0,011 5	0,132 3	4,0869 E-06	5,562 E-04	5,7066 E-05
00032	Y	0,001 5	0,870 6	0,029 6	9,176 E-04	2,7812 E-05	1,382 E-03	0,000 3	0,171 8	0,005 8	1,8107 E-04	5,5645 E-06	2,7272 E-04
00032	Z	0,000 0	0,000 0	0,000 0	0 E+00	0 E+00	0 E+00	0,000 0	0,000 0	0,000 0	0 E+00	0 E+00	0 E+00
00033	X	0,821 0	0,063 5	0,705 7	2,4292 E-05	2,9683 E-03	3,0367 E-04	0,157 7	0,011 9	0,132 3	4,4964 E-06	5,5619 E-04	5,6877 E-05
00033	Y	0,001 8	0,870 4	0,028 4	9,175 E-04	2,3254 E-05	1,3812 E-03	0,000 3	0,171 8	0,005 6	1,8105 E-04	4,5102 E-06	2,7253 E-04
00033	Z	0,000 0	0,000 0	0,000 0	0 E+00	0 E+00	0 E+00	0,000 0	0,000 0	0,000 0	0 E+00	0 E+00	0 E+00
00034	X	0,812 2	0,119 3	0,700 8	4,3246 E-05	2,9488 E-03	5,7193 E-04	0,156 0	0,022 9	0,131 3	8,2023 E-06	5,5215 E-04	1,0971 E-04
00034	Y	0,001 9	0,871 3	0,051 3	8,696 E-04	4,3357 E-05	1,3833 E-03	0,000 4	0,171 9	0,010 1	1,7159 E-04	8,4829 E-06	2,7294 E-04
00034	Z	0,000 0	0,000 0	0,000 0	0 E+00	0 E+00	0 E+00	0,000 0	0,000 0	0,000 0	0 E+00	0 E+00	0 E+00
00035	X	0,812 2	0,116 9	0,701 0	4,1084 E-05	2,9489 E-03	5,7234 E-04	0,156 0	0,022 5	0,131 3	7,83 E-06	5,5216 E-04	1,0986 E-04
00035	Y	0,001 3	0,871 0	0,052 2	8,6956 E-04	4,7096 E-05	1,3819 E-03	0,000 2	0,171 9	0,010 3	1,7159 E-04	9,3646 E-06	2,7269 E-04
00035	Z	0,000 0	0,000 0	0,000 0	0 E+00	0 E+00	0 E+00	0,000 0	0,000 0	0,000 0	0 E+00	0 E+00	0 E+00
00036	X	0,759 3	0,227 0	0,665 9	7,9492 E-05	2,8155 E-03	1,0917 E-03	0,145 8	0,043 5	0,125 5	1,5091 E-05	5,3045 E-04	2,0894 E-04
00036	Y	0,002 1	0,877 1	0,103 2	4,268 E-04	8,8957 E-05	1,3928 E-03	0,000 4	0,173 1	0,020 4	8,4216 E-05	1,7518 E-05	2,7481 E-04
00036	Z	0,000 0	0,000 0	0,000 0	0 E+00	0 E+00	0 E+00	0,000 0	0,000 0	0,000 0	0 E+00	0 E+00	0 E+00
00037	X	0,759 3	0,224 6	0,666 3	7,8868 E-05	2,8157 E-03	1,0921 E-03	0,145 8	0,043 1	0,125 6	1,4993 E-05	5,3046 E-04	2,091 E-04
00037	Y	0,000 9	0,876 6	0,104 0	4,2677 E-04	9,1792 E-05	1,3905 E-03	0,000 2	0,173 0	0,020 5	8,4216 E-05	1,8148 E-05	2,7442 E-04
00037	Z	0,000 0	0,000 0	0,000 0	0 E+00	0 E+00	0 E+00	0,000 0	0,000 0	0,000 0	0 E+00	0 E+00	0 E+00
00038	X	0,694 3	0,166 1	0,609 6	5,5199 E-05	2,6304 E-03	7,9462 E-04	0,133 4	0,031 9	0,116 2	1,0539 E-05	5,0174 E-04	1,5238 E-04
00038	Y	0,001 9	0,887 8	0,081 2	3,8771 E-04	6,9089 E-05	1,4103 E-03	0,000 3	0,175 2	0,016 0	7,6508 E-05	1,3655 E-05	2,7826 E-04
00038	Z	0,000 0	0,000 0	0,000 0	0 E+00	0 E+00	0 E+00	0,000 0	0,000 0	0,000 0	0 E+00	0 E+00	0 E+00
00039	X	0,694 3	0,163 7	0,609 9	5,7605 E-05	2,6304 E-03	7,9505 E-04	0,133 4	0,031 4	0,116 3	1,0982 E-05	5,0175 E-04	1,5254 E-04
00039	Y	0,000 9	0,887 0	0,082 3	3,8785 E-04	7,3544 E-05	1,4065 E-03	0,000 2	0,175 0	0,016 2	7,6531 E-05	1,449 E-05	2,7757 E-04
00039	Z	0,000 0	0,000 0	0,000 0	0 E+00	0 E+00	0 E+00	0,000 0	0,000 0	0,000 0	0 E+00	0 E+00	0 E+00
00040	X	0,679 2	0,101 9	0,583 1	3,5943 E-05	2,5588 E-03	4,9458 E-04	0,130 5	0,019 5	0,117 7	6,7856 E-06	4,9056 E-04	9,4349 E-05
00040	Y	0,001 0	0,893 4	0,043 5	8,0747 E-04	4,0863 E-05	1,4199 E-03	0,000 2	0,176 3	0,008 6	1,5933 E-04	8,0144 E-06	2,8019 E-04
00040	Z	0,000 0	0,000 0	0,000 0	0 E+00	0 E+00	0 E+00	0,000 0	0,000 0	0,000 0	0 E+00	0 E+00	0 E+00

Nodi - Spostamenti per effetto del sisma													
Nodo	Dir	Stato Limite Ultimo						Stato Limite di Danno					
		S _x [cm]	S _y [cm]	S _z [cm]	Θ _x [rad]	Θ _y [rad]	Θ _z [rad]	S _x [cm]	S _y [cm]	S _z [cm]	Θ _x [rad]	Θ _y [rad]	Θ _z [rad]
00041	X	0,679 2	0,104 4	0,583 0	3,2018 E-05	2,5588 E-03	4,9426 E-04	0,130 5	0,019 9	0,111 7	6,0712 E-06	4,9056 E-04	9,421 E-05
00041	Y	0,001 5	0,892 2	0,041 7	8,0787 E-04	3,3574 E-05	1,4141 E-03	0,000 3	0,176 1	0,008 2	1,5941 E-04	6,6742 E-06	2,7904 E-04
00041	Z	0,000 0	0,000 0	0,000 0	0 E+00	0 E+00	0 E+00	0,000 0	0,000 0	0,000 0	0 E+00	0 E+00	0 E+00
00042	X	0,742 0	0,241 9	0,653 5	8,0941 E-05	2,7824 E-03	1,1676 E-03	0,142 5	0,046 3	0,124 0	1,5356 E-05	5,278 E-04	2,2312 E-04
00042	Y	0,000 6	0,881 0	0,105 8	1,5476 E-04	9,5111 E-05	1,4003 E-03	0,000 1	0,173 9	0,020 9	3,054 E-05	1,8769 E-05	2,7635 E-04
00042	Z	0,000 0	0,000 0	0,000 0	0 E+00	0 E+00	0 E+00	0,000 0	0,000 0	0,000 0	0 E+00	0 E+00	0 E+00
00043	X	0,742 0	0,244 4	0,653 2	8,0728 E-05	2,7823 E-03	1,1672 E-03	0,142 5	0,046 7	0,123 9	1,5308 E-05	5,2779 E-04	2,2297 E-04
00043	Y	0,001 7	0,879 8	0,104 0	1,543 E-04	8,7886 E-05	1,3942 E-03	0,000 3	0,173 6	0,020 5	3,0445 E-05	1,7341 E-05	2,751 E-04
00043	Z	0,000 0	0,000 0	0,000 0	0 E+00	0 E+00	0 E+00	0,000 0	0,000 0	0,000 0	0 E+00	0 E+00	0 E+00
00044	X	0,810 2	0,179 3	0,683 5	5,6497 E-05	2,8761 E-03	8,6258 E-04	0,155 5	0,034 3	0,128 5	1,0743 E-05	5,4066 E-04	1,6498 E-04
00044	Y	0,000 7	0,873 1	0,076 9	7,5046 E-04	7,0355 E-05	1,3873 E-03	0,000 1	0,172 3	0,015 2	1,4809 E-04	1,3936 E-05	2,7376 E-04
00044	Z	0,000 0	0,000 0	0,000 0	0 E+00	0 E+00	0 E+00	0,000 0	0,000 0	0,000 0	0 E+00	0 E+00	0 E+00
00045	X	0,810 2	0,181 2	0,682 3	5,8141 E-05	2,876 E-03	8,6003 E-04	0,155 5	0,034 7	0,128 3	1,1024 E-05	5,4064 E-04	1,6443 E-04
00045	Y	0,001 4	0,871 0	0,074 9	7,4947 E-04	6,1978 E-05	1,3771 E-03	0,000 3	0,171 9	0,014 8	1,4789 E-04	1,2176 E-05	2,7172 E-04
00045	Z	0,000 0	0,000 0	0,000 0	0 E+00	0 E+00	0 E+00	0,000 0	0,000 0	0,000 0	0 E+00	0 E+00	0 E+00
00046	X	0,841 1	0,009 8	0,697 7	7,0913 E-06	2,9302 E-03	4,8488 E-05	0,161 5	0,001 9	0,130 8	1,2879 E-06	5,4906 E-04	9,3042 E-06
00046	Y	0,000 9	0,870 2	0,001 4	9,528 E-04	5,6425 E-06	1,3813 E-03	0,000 2	0,171 7	0,000 3	1,8801 E-04	1,1704 E-06	2,7257 E-04
00046	Z	0,000 0	0,000 0	0,000 0	0 E+00	0 E+00	0 E+00	0,000 0	0,000 0	0,000 0	0 E+00	0 E+00	0 E+00
00047	X	0,841 1	0,012 3	0,696 7	6,1252 E-06	2,9302 E-03	5,0254 E-05	0,161 4	0,002 4	0,130 6	1,146 E-06	5,4908 E-04	9,6088 E-06
00047	Y	0,000 9	0,868 7	0,001 3	9,5215 E-04	5,541 E-06	1,3748 E-03	0,000 2	0,171 4	0,000 3	1,8788 E-04	1,1493 E-06	2,7128 E-04
00047	Z	0,000 0	0,000 0	0,000 0	0 E+00	0 E+00	0 E+00	0,000 0	0,000 0	0,000 0	0 E+00	0 E+00	0 E+00
00048	X	0,819 6	0,168 0	0,691 4	6,577 E-05	2,9107 E-03	8,1817 E-04	0,157 3	0,032 0	0,129 8	1,2405 E-05	5,46 E-04	1,5577 E-04
00048	Y	0,001 3	0,872 4	0,075 0	7,5062 E-04	6,2647 E-05	1,3836 E-03	0,000 2	0,172 1	0,014 8	1,4811 E-04	1,2288 E-05	2,7299 E-04
00048	Z	0,000 0	0,000 0	0,000 0	0 E+00	0 E+00	0 E+00	0,000 0	0,000 0	0,000 0	0 E+00	0 E+00	0 E+00
00049	X	0,819 6	0,165 0	0,690 7	6,3823 E-05	2,9107 E-03	8,1583 E-04	0,157 3	0,031 5	0,129 6	1,2072 E-05	5,4601 E-04	1,5541 E-04
00049	Y	0,000 6	0,871 8	0,076 6	7,5028 E-04	6,9452 E-05	1,3809 E-03	0,000 1	0,172 0	0,015 1	1,4805 E-04	1,3778 E-05	2,7251 E-04
00049	Z	0,000 0	0,000 0	0,000 0	0 E+00	0 E+00	0 E+00	0,000 0	0,000 0	0,000 0	0 E+00	0 E+00	0 E+00
00050	X	0,760 1	0,227 2	0,668 0	8,1402 E-05	2,8455 E-03	1,0966 E-03	0,146 0	0,043 4	0,126 3	1,5422 E-05	5,379 E-04	2,0931 E-04
00050	Y	0,001 5	0,879 9	0,104 1	1,5519 E-04	8,8364 E-05	1,3944 E-03	0,000 3	0,173 6	0,020 5	3,0621 E-05	1,741 E-05	2,7513 E-04
00050	Z	0,000 0	0,000 0	0,000 0	0 E+00	0 E+00	0 E+00	0,000 0	0,000 0	0,000 0	0 E+00	0 E+00	0 E+00
00051	X	0,760 1	0,224 8	0,668 4	8,2031 E-05	2,8456 E-03	1,097 E-03	0,146 0	0,043 0	0,126 4	1,5554 E-05	5,3792 E-04	2,0948 E-04
00051	Y	0,000 6	0,881 0	0,105 6	1,5573 E-04	9,4537 E-05	1,4004 E-03	0,000 1	0,173 9	0,020 8	3,0731 E-05	1,8681 E-05	2,7635 E-04
00051	Z	0,000 0	0,000 0	0,000 0	0 E+00	0 E+00	0 E+00	0,000 0	0,000 0	0,000 0	0 E+00	0 E+00	0 E+00
00052	X	0,704 2	0,088 7	0,602 0	2,8061 E-05	2,639 E-03	4,2152 E-04	0,135 3	0,017 0	0,115 2	5,3535 E-06	5,052 E-04	8,0612 E-05
00052	Y	0,001 3	0,892 3	0,041 9	8,0656 E-04	3,4028 E-05	1,4144 E-03	0,000 2	0,176 1	0,008 3	1,5916 E-04	6,7522 E-06	2,7909 E-04
00052	Z	0,000 0	0,000 0	0,000 0	0 E+00	0 E+00	0 E+00	0,000 0	0,000 0	0,000 0	0 E+00	0 E+00	0 E+00
00053	X	0,704 2	0,086 2	0,602 2	3,2231 E-05	2,639 E-03	4,2194 E-04	0,135 3	0,016 5	0,115 2	6,1168 E-06	5,0521 E-04	8,077 E-05
00053	Y	0,000 8	0,893 5	0,043 5	8,0616 E-04	4,0517 E-05	1,42 E-03	0,000 1	0,176 3	0,008 6	1,5908 E-04	7,9575 E-06	2,8021 E-04
00053	Z	0,000 0	0,000 0	0,000 0	0 E+00	0 E+00	0 E+00	0,000 0	0,000 0	0,000 0	0 E+00	0 E+00	0 E+00
00054	X	0,704 2	0,085 0	0,603 6	3,1637 E-05	2,645 E-03	4,1603 E-04	0,135 3	0,016 3	0,115 5	6,0029 E-06	5,0631 E-04	7,9634 E-05
00054	Y	0,000 9	0,892 5	0,043 4	8,0645 E-04	4,0166 E-05	1,4152 E-03	0,000 2	0,176 1	0,008 6	1,5913 E-04	7,8884 E-06	2,7927 E-04
00054	Z	0,000 0	0,000 0	0,000 0	0 E+00	0 E+00	0 E+00	0,000 0	0,000 0	0,000 0	0 E+00	0 E+00	0 E+00

Nodi - Spostamenti per effetto del sisma													
Nodo	Dir	Stato Limite Ultimo						Stato Limite di Danno					
		Sx [cm]	Sy [cm]	Sz [cm]	Θx [rad]	Θy [rad]	Θz [rad]	Sx [cm]	Sy [cm]	Sz [cm]	Θx [rad]	Θy [rad]	Θz [rad]
00055	X	0,704 2	0,087 5	0,603 5	2,7508 E-05	2,6449 E-03	4,1562 E-04	0,135 3	0,016 7	0,115 5	5,2479 E-06	5,0631 E-04	7,9478 E-05
00055	Y	0,001 4	0,893 3	0,042 0	8,0627 E-04	3,4379 E-05	1,4191 E-03	0,000 3	0,176 3	0,008 3	1,591 E-04	6,8214 E-06	2,8002 E-04
00055	Z	0,000 0	0,000 0	0,000 0	0 E+00	0 E+00	0 E+00	0,000 0	0,000 0	0,000 0	0 E+00	0 E+00	0 E+00
00056	X	0,760 0	0,223 9	0,675 8	8,157 E-05	2,8768 E-03	1,0927 E-03	0,146 0	0,042 8	0,127 8	1,5464 E-05	5,4378 E-04	2,0864 E-04
00056	Y	0,000 7	0,880 2	0,105 3	1,5549 E-04	9,3156 E-05	1,3966 E-03	0,000 1	0,173 7	0,020 8	3,0685 E-05	1,8408 E-05	2,7561 E-04
00056	Z	0,000 0	0,000 0	0,000 0	0 E+00	0 E+00	0 E+00	0,000 0	0,000 0	0,000 0	0 E+00	0 E+00	0 E+00
00057	X	0,760 0	0,226 3	0,675 4	8,106 E-05	2,8767 E-03	1,0923 E-03	0,146 0	0,043 2	0,127 7	1,5357 E-05	5,4376 E-04	2,0848 E-04
00057	Y	0,001 9	0,880 7	0,104 4	1,5542 E-04	8,9748 E-05	1,3982 E-03	0,000 4	0,173 8	0,020 6	3,0666 E-05	1,7683 E-05	2,7588 E-04
00057	Z	0,000 0	0,000 0	0,000 0	0 E+00	0 E+00	0 E+00	0,000 0	0,000 0	0,000 0	0 E+00	0 E+00	0 E+00
00058	X	0,819 6	0,165 3	0,704 6	6,4078 E-05	2,9659 E-03	8,1684 E-04	0,157 3	0,031 5	0,132 2	1,2117 E-05	5,5639 E-04	1,5558 E-04
00058	Y	0,000 9	0,872 6	0,076 2	7,5085 E-04	6,7809 E-05	1,3847 E-03	0,000 2	0,172 2	0,015 1	1,4816 E-04	1,3454 E-05	2,7326 E-04
00058	Z	0,000 0	0,000 0	0,000 0	0 E+00	0 E+00	0 E+00	0,000 0	0,000 0	0,000 0	0 E+00	0 E+00	0 E+00
00059	X	0,819 6	0,167 7	0,704 3	6,5688 E-05	2,9658 E-03	8,1632 E-04	0,157 3	0,031 9	0,132 2	1,2388 E-05	5,5637 E-04	1,554 E-04
00059	Y	0,001 8	0,872 8	0,075 4	7,5073 E-04	6,4524 E-05	1,3855 E-03	0,000 3	0,172 2	0,014 9	1,4814 E-04	1,2658 E-05	2,7338 E-04
00059	Z	0,000 0	0,000 0	0,000 0	0 E+00	0 E+00	0 E+00	0,000 0	0,000 0	0,000 0	0 E+00	0 E+00	0 E+00
00060	X	0,841 2	0,012 4	0,713 8	6,2467 E-06	2,999 E-03	5,0547 E-05	0,161 5	0,002 4	0,133 8	1,1682 E-06	5,6199 E-04	9,6632 E-06
00060	Y	0,001 4	0,869 9	0,001 0	9,5282 E-04	4,4707 E-06	1,3803 E-03	0,000 3	0,171 7	0,000 2	1,8802 E-04	9,1894 E-07	2,7237 E-04
00060	Z	0,000 0	0,000 0	0,000 0	0 E+00	0 E+00	0 E+00	0,000 0	0,000 0	0,000 0	0 E+00	0 E+00	0 E+00
00061	X	0,841 2	0,009 8	0,713 8	7,1239 E-06	2,999 E-03	4,8704 E-05	0,161 5	0,001 9	0,133 8	1,2935 E-06	5,6198 E-04	9,3483 E-06
00061	Y	0,001 4	0,870 2	0,001 1	9,5281 E-04	4,5395 E-06	1,3816 E-03	0,000 3	0,171 7	0,000 2	1,8801 E-04	9,3434 E-07	2,7262 E-04
00061	Z	0,000 0	0,000 0	0,000 0	0 E+00	0 E+00	0 E+00	0,000 0	0,000 0	0,000 0	0 E+00	0 E+00	0 E+00
00062	X	0,810 2	0,181 3	0,699 0	5,8048 E-05	2,9481 E-03	8,6017 E-04	0,155 5	0,034 7	0,131 5	1,1005 E-05	5,5431 E-04	1,6445 E-04
00062	Y	0,002 0	0,871 2	0,075 1	7,4953 E-04	6,2995 E-05	1,378 E-03	0,000 4	0,171 9	0,014 8	1,479 E-04	1,2377 E-05	2,7191 E-04
00062	Z	0,000 0	0,000 0	0,000 0	0 E+00	0 E+00	0 E+00	0,000 0	0,000 0	0,000 0	0 E+00	0 E+00	0 E+00
00063	X	0,810 3	0,179 4	0,700 2	5,6498 E-05	2,9483 E-03	8,6272 E-04	0,155 5	0,034 4	0,131 7	1,0743 E-05	5,5433 E-04	1,65 E-04
00063	Y	0,001 1	0,872 9	0,076 6	7,504 E-04	6,9342 E-05	1,3863 E-03	0,000 2	0,172 3	0,015 1	1,4807 E-04	1,3736 E-05	2,7357 E-04
00063	Z	0,000 0	0,000 0	0,000 0	0 E+00	0 E+00	0 E+00	0,000 0	0,000 0	0,000 0	0 E+00	0 E+00	0 E+00
00064	X	0,741 8	0,244 7	0,666 1	8,0699 E-05	2,8392 E-03	1,1685 E-03	0,142 4	0,046 8	0,126 4	1,5301 E-05	5,387 E-04	2,232 E-04
00064	Y	0,002 2	0,880 1	0,104 0	1,5441 E-04	8,7755 E-05	1,396 E-03	0,000 4	0,173 7	0,020 5	3,0467 E-05	1,7316 E-05	2,7544 E-04
00064	Z	0,000 0	0,000 0	0,000 0	0 E+00	0 E+00	0 E+00	0,000 0	0,000 0	0,000 0	0 E+00	0 E+00	0 E+00
00065	X	0,741 8	0,242 2	0,666 5	8,1029 E-05	2,8393 E-03	1,1688 E-03	0,142 4	0,046 3	0,126 4	1,5373 E-05	5,3871 E-04	2,2334 E-04
00065	Y	0,000 9	0,880 6	0,105 8	1,5466 E-04	9,5245 E-05	1,3986 E-03	0,000 2	0,173 8	0,020 9	3,052 E-05	1,8795 E-05	2,7601 E-04
00065	Z	0,000 0	0,000 0	0,000 0	0 E+00	0 E+00	0 E+00	0,000 0	0,000 0	0,000 0	0 E+00	0 E+00	0 E+00
00066	X	0,678 5	0,105 2	0,586 1	3,2181 E-05	2,5726 E-03	4,9792 E-04	0,130 3	0,020 1	0,112 3	6,1014 E-06	4,9321 E-04	9,4903 E-05
00066	Y	0,001 9	0,892 6	0,041 5	8,0776 E-04	3,2419 E-05	1,4158 E-03	0,000 4	0,176 1	0,008 2	1,5939 E-04	6,4463 E-06	2,7938 E-04
00066	Z	0,000 0	0,000 0	0,000 0	0 E+00	0 E+00	0 E+00	0,000 0	0,000 0	0,000 0	0 E+00	0 E+00	0 E+00
00067	X	0,678 5	0,102 7	0,586 3	3,6172 E-05	2,5726 E-03	4,9825 E-04	0,130 3	0,019 6	0,112 4	6,8292 E-06	4,9321 E-04	9,5042 E-05
00067	Y	0,001 3	0,893 1	0,043 7	8,0757 E-04	4,2022 E-05	1,4182 E-03	0,000 2	0,176 2	0,008 6	1,5935 E-04	8,2429 E-06	2,7985 E-04
00067	Z	0,000 0	0,000 0	0,000 0	0 E+00	0 E+00	0 E+00	0,000 0	0,000 0	0,000 0	0 E+00	0 E+00	0 E+00
00068	X	0,693 2	0,162 5	0,611 6	5,7262 E-05	2,6371 E-03	7,8929 E-04	0,133 2	0,031 2	0,116 6	1,0917 E-05	5,0297 E-04	1,5144 E-04
00068	Y	0,001 2	0,887 2	0,082 6	3,8778 E-04	7,467 E-05	1,4076 E-03	0,000 2	0,175 1	0,016 3	7,6517 E-05	1,4712 E-05	2,7778 E-04
00068	Z	0,000 0	0,000 0	0,000 0	0 E+00	0 E+00	0 E+00	0,000 0	0,000 0	0,000 0	0 E+00	0 E+00	0 E+00

Nodi - Spostamenti per effetto del sisma													
Nodo	Dir	Stato Limite Ultimo						Stato Limite di Danno					
		Sx [cm]	Sy [cm]	Sz [cm]	Θx [rad]	Θy [rad]	Θz [rad]	Sx [cm]	Sy [cm]	Sz [cm]	Θx [rad]	Θy [rad]	Θz [rad]
00069	X	0,693 2	0,164 9	0,611 3	5,4836 E-05	2,637 E-03	7,8885 E-04	0,133 2	0,031 6	0,116 5	1,0469 E-05	5,0296 E-04	1,5128 E-04
00069	Y	0,002 2	0,887 6	0,080 9	3,8778 E-04	6,7965 E-05	1,4092 E-03	0,000 4	0,175 1	0,016 0	7,6521 E-05	1,3433 E-05	2,7805 E-04
00069	Z	0,000 0	0,000 0	0,000 0	0 E+00	0 E+00	0 E+00	0,000 0	0,000 0	0,000 0	0 E+00	0 E+00	0 E+00
00070	X	0,758 0	0,224 1	0,672 0	7,8638 E-05	2,8401 E-03	1,0892 E-03	0,145 6	0,043 0	0,126 7	1,4948 E-05	5,3507 E-04	2,0854 E-04
00070	Y	0,001 1	0,876 7	0,104 0	4,2682 E-04	9,2121 E-05	1,3913 E-03	0,000 2	0,173 0	0,020 5	8,4225 E-05	1,8213 E-05	2,7457 E-04
00070	Z	0,000 0	0,000 0	0,000 0	0 E+00	0 E+00	0 E+00	0,000 0	0,000 0	0,000 0	0 E+00	0 E+00	0 E+00
00071	X	0,758 0	0,226 5	0,671 7	7,9255 E-05	2,84 E-03	1,0888 E-03	0,145 6	0,043 4	0,126 6	1,5045 E-05	5,3505 E-04	2,0838 E-04
00071	Y	0,002 4	0,877 0	0,103 1	4,2676 E-04	8,8632 E-05	1,3921 E-03	0,000 5	0,173 0	0,020 3	8,4208 E-05	1,7454 E-05	2,7466 E-04
00071	Z	0,000 0	0,000 0	0,000 0	0 E+00	0 E+00	0 E+00	0,000 0	0,000 0	0,000 0	0 E+00	0 E+00	0 E+00
00072	X	0,811 2	0,117 9	0,710 6	4,119 E-05	2,9896 E-03	5,7662 E-04	0,155 8	0,022 7	0,133 1	7,8493 E-06	5,5984 E-04	1,1067 E-04
00072	Y	0,001 5	0,871 1	0,052 0	8,696 E-04	4,6443 E-05	1,3826 E-03	0,000 3	0,171 9	0,010 3	1,716 E-04	9,2356 E-06	2,7283 E-04
00072	Z	0,000 0	0,000 0	0,000 0	0 E+00	0 E+00	0 E+00	0,000 0	0,000 0	0,000 0	0 E+00	0 E+00	0 E+00
00073	X	0,811 2	0,120 3	0,710 4	4,3356 E-05	2,9896 E-03	5,7621 E-04	0,155 8	0,023 1	0,133 1	8,2225 E-06	5,5983 E-04	1,1051 E-04
00073	Y	0,002 1	0,871 1	0,051 4	8,6956 E-04	4,4019 E-05	1,3826 E-03	0,000 4	0,171 9	0,010 1	1,7158 E-04	8,6135 E-06	2,7281 E-04
00073	Z	0,000 0	0,000 0	0,000 0	0 E+00	0 E+00	0 E+00	0,000 0	0,000 0	0,000 0	0 E+00	0 E+00	0 E+00
00074	X	0,820 8	0,060 5	0,717 8	2,3691 E-05	3,0203 E-03	2,8979 E-04	0,157 7	0,011 3	0,134 6	4,3823 E-06	5,6599 E-04	5,424 E-05
00074	Y	0,001 9	0,870 6	0,028 8	9,1755 E-04	2,462 E-05	1,382 E-03	0,000 4	0,171 8	0,005 7	1,8105 E-04	4,7801 E-06	2,7268 E-04
00074	Z	0,000 0	0,000 0	0,000 0	0 E+00	0 E+00	0 E+00	0,000 0	0,000 0	0,000 0	0 E+00	0 E+00	0 E+00
00075	X	0,820 8	0,058 3	0,717 9	2,1328 E-05	3,0203 E-03	2,9043 E-04	0,157 7	0,011 0	0,134 6	3,9747 E-06	5,66 E-04	5,4436 E-05
00075	Y	0,001 6	0,870 4	0,029 3	9,1755 E-04	2,6461 E-05	1,3812 E-03	0,000 3	0,171 8	0,005 8	1,8106 E-04	5,2974 E-06	2,7257 E-04
00075	Z	0,000 0	0,000 0	0,000 0	0 E+00	0 E+00	0 E+00	0,000 0	0,000 0	0,000 0	0 E+00	0 E+00	0 E+00
00076	X	0,783 4	0,195 9	0,690 9	7,4001 E-05	2,9178 E-03	9,5073 E-04	0,150 6	0,037 1	0,130 5	1,3824 E-05	5,5079 E-04	1,7972 E-04
00076	Y	0,002 3	0,875 2	0,091 7	5,6733 E-04	7,9311 E-05	1,3896 E-03	0,000 4	0,172 7	0,018 1	1,1195 E-04	1,5599 E-05	2,7417 E-04
00076	Z	0,000 0	0,000 0	0,000 0	0 E+00	0 E+00	0 E+00	0,000 0	0,000 0	0,000 0	0 E+00	0 E+00	0 E+00
00077	X	0,783 4	0,193 6	0,691 2	7,2958 E-05	2,9179 E-03	9,5129 E-04	0,150 6	0,036 7	0,130 5	1,3653 E-05	5,5081 E-04	1,799 E-04
00077	Y	0,001 2	0,874 8	0,092 2	5,6736 E-04	8,117 E-05	1,388 E-03	0,000 2	0,172 6	0,018 2	1,1196 E-04	1,6067 E-05	2,7393 E-04
00077	Z	0,000 0	0,000 0	0,000 0	0 E+00	0 E+00	0 E+00	0,000 0	0,000 0	0,000 0	0 E+00	0 E+00	0 E+00
00078	X	0,725 5	0,182 4	0,637 4	7,1207 E-05	2,7338 E-03	8,9157 E-04	0,139 6	0,034 4	0,121 8	1,3201 E-05	5,226 E-04	1,6769 E-04
00078	Y	0,002 2	0,884 8	0,091 0	1,6309 E-04	7,7619 E-05	1,4052 E-03	0,000 4	0,174 6	0,018 0	3,2184 E-05	1,5318 E-05	2,7724 E-04
00078	Z	0,000 0	0,000 0	0,000 0	0 E+00	0 E+00	0 E+00	0,000 0	0,000 0	0,000 0	0 E+00	0 E+00	0 E+00
00079	X	0,725 5	0,180 2	0,637 7	7,2848 E-05	2,7338 E-03	8,9222 E-04	0,139 6	0,034 0	0,121 8	1,351 E-05	5,2262 E-04	1,6789 E-04
00079	Y	0,001 1	0,884 2	0,092 1	1,6312 E-04	8,209 E-05	1,4025 E-03	0,000 2	0,174 5	0,018 2	3,2185 E-05	1,6196 E-05	2,7678 E-04
00079	Z	0,000 0	0,000 0	0,000 0	0 E+00	0 E+00	0 E+00	0,000 0	0,000 0	0,000 0	0 E+00	0 E+00	0 E+00
00080	X	0,699 1	0,039 0	0,534 3	6,5015 E-06	2,3722 E-03	1,7028 E-04	0,134 6	0,007 6	0,102 9	1,0097 E-06	4,5697 E-04	3,3482 E-05
00080	Y	0,001 4	0,908 0	0,015 6	1,1099 E-03	1,7882 E-05	1,4921 E-03	0,000 3	0,179 2	0,003 1	2,1901 E-04	3,4781 E-06	2,9442 E-04
00080	Z	0,000 0	0,000 0	0,000 0	0 E+00	0 E+00	0 E+00	0,000 0	0,000 0	0,000 0	0 E+00	0 E+00	0 E+00
00081	X	0,699 1	0,041 7	0,534 3	8,8561 E-06	2,3722 E-03	1,7183 E-04	0,134 6	0,008 1	0,102 9	1,2046 E-06	4,5697 E-04	3,3685 E-05
00081	Y	0,001 6	0,907 2	0,013 4	1,1101 E-03	8,6285 E-06	1,4882 E-03	0,000 3	0,179 0	0,002 7	2,1905 E-04	1,7532 E-06	2,9367 E-04
00081	Z	0,000 0	0,000 0	0,000 0	0 E+00	0 E+00	0 E+00	0,000 0	0,000 0	0,000 0	0 E+00	0 E+00	0 E+00
00082	X	0,765 9	0,254 2	0,648 7	7,7721 E-05	2,7859 E-03	1,2122 E-03	0,147 4	0,049 1	0,122 4	1,5132 E-05	5,2562 E-04	2,3415 E-04
00082	Y	0,000 9	0,881 2	0,087 9	1,2615 E-04	7,9712 E-05	1,4002 E-03	0,000 2	0,173 9	0,017 3	2,4893 E-05	1,5747 E-05	2,763 E-04
00082	Z	0,000 0	0,000 0	0,000 0	0 E+00	0 E+00	0 E+00	0,000 0	0,000 0	0,000 0	0 E+00	0 E+00	0 E+00

Nodi - Spostamenti per effetto del sisma													
Nodo	Dir	Stato Limite Ultimo						Stato Limite di Danno					
		Sx [cm]	Sy [cm]	Sz [cm]	θx [rad]	θy [rad]	θz [rad]	Sx [cm]	Sy [cm]	Sz [cm]	θx [rad]	θy [rad]	θz [rad]
00083	X	0,765 9	0,256 8	0,648 4	7,7005 E-05	2,7858 E-03	1,212 E-03	0,147 4	0,049 5	0,122 4	1,4986 E-05	5,2561 E-04	2,3403 E-04
00083	Y	0,001 9	0,880 3	0,086 0	1,2575 E-04	7,2008 E-05	1,3956 E-03	0,000 4	0,173 7	0,017 0	2,4812 E-05	1,419 E-05	2,7538 E-04
00083	Z	0,000 0	0,000 0	0,000 0	0 E+00	0 E+00	0 E+00	0,000 0	0,000 0	0,000 0	0 E+00	0 E+00	0 E+00
00084	X	0,844 1	0,222 2	0,663 4	7,9912 E-05	2,7999 E-03	1,0838 E-03	0,162 4	0,042 6	0,124 0	1,5286 E-05	5,2304 E-04	2,0742 E-04
00084	Y	0,001 0	0,872 4	0,056 4	8,0715 E-04	5,2169 E-05	1,3859 E-03	0,000 2	0,172 1	0,011 1	1,5927 E-04	1,036 E-05	2,7348 E-04
00084	Z	0,000 0	0,000 0	0,000 0	0 E+00	0 E+00	0 E+00	0,000 0	0,000 0	0,000 0	0 E+00	0 E+00	0 E+00
00085	X	0,844 1	0,224 7	0,663 2	8,1639 E-05	2,7998 E-03	1,0835 E-03	0,162 4	0,043 0	0,124 0	1,5576 E-05	5,2302 E-04	2,0727 E-04
00085	Y	0,001 6	0,871 6	0,054 6	8,068 E-04	4,4834 E-05	1,3821 E-03	0,000 3	0,172 0	0,010 8	1,592 E-04	8,7793 E-06	2,7271 E-04
00085	Z	0,000 0	0,000 0	0,000 0	0 E+00	0 E+00	0 E+00	0,000 0	0,000 0	0,000 0	0 E+00	0 E+00	0 E+00
00086	X	0,879 8	0,046 7	0,649 9	3,529 E-05	2,7283 E-03	2,6381 E-04	0,169 2	0,008 7	0,121 6	6,5591 E-06	5,1009 E-04	4,8831 E-05
00086	Y	0,001 4	0,869 4	0,028 4	1,0351 E-03	2,2251 E-05	1,3805 E-03	0,000 3	0,171 5	0,005 6	2,0425 E-04	4,3127 E-06	2,7241 E-04
00086	Z	0,000 0	0,000 0	0,000 0	0 E+00	0 E+00	0 E+00	0,000 0	0,000 0	0,000 0	0 E+00	0 E+00	0 E+00
00087	X	0,879 8	0,047 9	0,649 9	3,7275 E-05	2,7283 E-03	2,6241 E-04	0,169 2	0,008 8	0,121 6	6,891 E-06	5,1009 E-04	4,8497 E-05
00087	Y	0,001 1	0,868 9	0,030 1	1,0349 E-03	2,9242 E-05	1,3784 E-03	0,000 2	0,171 5	0,005 9	2,0421 E-04	5,846 E-06	2,7199 E-04
00087	Z	0,000 0	0,000 0	0,000 0	0 E+00	0 E+00	0 E+00	0,000 0	0,000 0	0,000 0	0 E+00	0 E+00	0 E+00
00088	X	0,843 8	0,207 7	0,622 2	3,4227 E-05	2,6146 E-03	9,2595 E-04	0,162 3	0,039 8	0,117 1	6,6537 E-06	4,9178 E-04	1,7782 E-04
00088	Y	0,001 9	0,872 3	0,113 1	8,0603 E-04	9,6438 E-05	1,3845 E-03	0,000 4	0,172 1	0,022 3	1,5905 E-04	1,898 E-05	2,7318 E-04
00088	Z	0,000 0	0,000 0	0,000 0	0 E+00	0 E+00	0 E+00	0,000 0	0,000 0	0,000 0	0 E+00	0 E+00	0 E+00
00089	X	0,843 8	0,205 0	0,622 6	3,1656 E-05	2,6147 E-03	9,2564 E-04	0,162 3	0,039 3	0,117 1	6,2 E-06	4,918 E-04	1,7783 E-04
00089	Y	0,000 7	0,872 2	0,114 4	8,0606 E-04	1,0199 E-04	1,3842 E-03	0,000 1	0,172 1	0,022 6	1,5906 E-04	2,0175 E-05	2,7316 E-04
00089	Z	0,000 0	0,000 0	0,000 0	0 E+00	0 E+00	0 E+00	0,000 0	0,000 0	0,000 0	0 E+00	0 E+00	0 E+00
00090	X	0,736 3	0,385 7	0,589 0	6,9842 E-05	2,506 E-03	1,7414 E-03	0,141 8	0,073 2	0,112 3	1,3251 E-05	4,7786 E-04	3,3064 E-04
00090	Y	0,002 0	0,880 9	0,145 2	1,4121 E-04	1,2504 E-04	1,3978 E-03	0,000 4	0,173 8	0,028 6	2,7863 E-05	2,4674 E-05	2,7582 E-04
00090	Z	0,000 0	0,000 0	0,000 0	0 E+00	0 E+00	0 E+00	0,000 0	0,000 0	0,000 0	0 E+00	0 E+00	0 E+00
00091	X	0,736 3	0,382 9	0,589 5	7,0011 E-05	2,5061 E-03	1,7412 E-03	0,141 8	0,072 7	0,112 4	1,3291 E-05	4,7788 E-04	3,3067 E-04
00091	Y	0,000 6	0,881 1	0,146 2	1,4136 E-04	1,2904 E-04	1,3987 E-03	0,000 1	0,173 9	0,028 8	2,7895 E-05	2,5463 E-05	2,7601 E-04
00091	Z	0,000 0	0,000 0	0,000 0	0 E+00	0 E+00	0 E+00	0,000 0	0,000 0	0,000 0	0 E+00	0 E+00	0 E+00
00092	X	0,587 4	0,410 7	0,525 8	5,0709 E-05	2,3176 E-03	1,8134 E-03	0,113 8	0,076 8	0,101 7	9,247 E-06	4,4879 E-04	3,3868 E-04
00092	Y	0,001 6	0,894 9	0,075 7	9,2087 E-04	6,4115 E-05	1,4202 E-03	0,000 3	0,176 6	0,015 0	1,8171 E-04	1,27 E-05	2,8025 E-04
00092	Z	0,000 0	0,000 0	0,000 0	0 E+00	0 E+00	0 E+00	0,000 0	0,000 0	0,000 0	0 E+00	0 E+00	0 E+00
00093	X	0,587 4	0,407 8	0,526 0	5,5224 E-05	2,3177 E-03	1,8128 E-03	0,113 8	0,076 3	0,101 8	1,0066 E-05	4,4879 E-04	3,3865 E-04
00093	Y	0,000 7	0,894 9	0,077 0	9,2079 E-04	6,9085 E-05	1,4205 E-03	0,000 1	0,176 6	0,015 2	1,817 E-04	1,3584 E-05	2,8028 E-04
00093	Z	0,000 0	0,000 0	0,000 0	0 E+00	0 E+00	0 E+00	0,000 0	0,000 0	0,000 0	0 E+00	0 E+00	0 E+00
00094	X	0,464 7	0,297 4	0,483 5	6,889 E-05	2,1184 E-03	1,2568 E-03	0,091 0	0,054 6	0,090 9	1,4229 E-05	3,9786 E-04	2,3079 E-04
00094	Y	0,000 5	0,905 1	0,120 8	1,6728 E-03	1,0645 E-04	1,4372 E-03	0,000 1	0,178 6	0,023 8	3,3009 E-04	2,0909 E-05	2,8366 E-04
00094	Z	0,000 0	0,000 0	0,000 0	0 E+00	0 E+00	0 E+00	0,000 0	0,000 0	0,000 0	0 E+00	0 E+00	0 E+00
00095	X	0,464 7	0,294 5	0,483 1	6,6305 E-05	2,1184 E-03	1,2553 E-03	0,091 0	0,054 1	0,090 8	1,3707 E-05	3,9785 E-04	2,3053 E-04
00095	Y	0,001 8	0,904 7	0,120 0	1,673 E-03	1,0347 E-04	1,4353 E-03	0,000 3	0,178 5	0,023 7	3,3014 E-04	2,0514 E-05	2,8316 E-04
00095	Z	0,000 0	0,000 0	0,000 0	0 E+00	0 E+00	0 E+00	0,000 0	0,000 0	0,000 0	0 E+00	0 E+00	0 E+00
00096	X	0,393 9	0,271 0	0,487 2	1,0976 E-04	2,0621 E-03	1,1735 E-03	0,078 4	0,050 3	0,088 2	2,248 E-05	3,7205 E-04	2,2062 E-04
00096	Y	0,001 5	0,906 3	0,349 9	1,7418 E-03	3,0437 E-04	1,4396 E-03	0,000 3	0,178 9	0,069 0	3,4369 E-04	5,9926 E-05	2,8414 E-04
00096	Z	0,000 0	0,000 0	0,000 0	0 E+00	0 E+00	0 E+00	0,000 0	0,000 0	0,000 0	0 E+00	0 E+00	0 E+00

Nodi - Spostamenti per effetto del sisma													
Nodo	Dir	Stato Limite Ultimo						Stato Limite di Danno					
		S _x [cm]	S _y [cm]	S _z [cm]	Θ _x [rad]	Θ _y [rad]	Θ _z [rad]	S _x [cm]	S _y [cm]	S _z [cm]	Θ _x [rad]	Θ _y [rad]	Θ _z [rad]
00097	X	0,393 9	0,268 5	0,486 0	1,0557 E-04	2,0619 E-03	1,1714 E-03	0,078 4	0,049 8	0,088 0	2,1708 E-05	3,7202 E-04	2,2024 E-04
00097	Y	0,003 2	0,905 8	0,350 2	1,7421 E-03	3,0601 E-04	1,4365 E-03	0,000 6	0,178 7	0,069 1	3,4377 E-04	6,0516 E-05	2,8338 E-04
00097	Z	0,000 0	0,000 0	0,000 0	0 E+00	0 E+00	0 E+00	0,000 0	0,000 0	0,000 0	0 E+00	0 E+00	0 E+00
00098	X	0,136 3	0,000 1	0,000 0	3,3186 E-06	1,1261 E-03	1,6966 E-04	0,026 3	0,000 0	0,000 0	6,0963 E-07	2,1687 E-04	3,2582 E-05
00098	Y	0,000 1	0,104 0	0,001 3	1,1445 E-03	2,7796 E-06	1,3217 E-06	0,000 0	0,020 5	0,000 3	2,2584 E-04	5,2518 E-07	2,4847 E-07
00098	Z	0,000 0	0,000 0	0,000 0	0 E+00	0 E+00	0 E+00	0,000 0	0,000 0	0,000 0	0 E+00	0 E+00	0 E+00
00099	X	0,197 6	0,000 1	0,000 0	2,7486 E-06	1,3291 E-03	1,6966 E-04	0,038 1	0,000 0	0,000 0	4,942 E-07	2,5593 E-04	3,2583 E-05
00099	Y	0,000 2	0,169 0	0,001 3	1,4535 E-03	2,8659 E-06	1,3218 E-06	0,000 0	0,033 4	0,000 3	2,8681 E-04	5,3885 E-07	2,4847 E-07
00099	Z	0,000 0	0,000 0	0,000 0	0 E+00	0 E+00	0 E+00	0,000 0	0,000 0	0,000 0	0 E+00	0 E+00	0 E+00
00100	X	0,044 1	0,000 2	0,000 0	8,3416 E-07	7,6084 E-04	1,6965 E-04	0,008 5	0,000 0	0,000 0	1,4768 E-07	1,4656 E-04	3,2581 E-05
00100	Y	0,000 1	0,019 3	0,001 3	5,7968 E-04	1,0006 E-06	1,3217 E-06	0,000 0	0,003 8	0,000 3	1,1439 E-04	1,8437 E-07	2,4846 E-07
00100	Z	0,000 0	0,000 0	0,000 0	0 E+00	0 E+00	0 E+00	0,000 0	0,000 0	0,000 0	0 E+00	0 E+00	0 E+00
00101	X	0,085 4	0,000 1	0,000 0	5,5643 E-07	9,3225 E-04	1,6966 E-04	0,016 5	0,000 0	0,000 0	1,1167 E-07	1,7955 E-04	3,2582 E-05
00101	Y	0,000 1	0,054 5	0,001 3	8,4275 E-04	1,0679 E-06	1,3217 E-06	0,000 0	0,010 8	0,000 3	1,663 E-04	1,9664 E-07	2,4846 E-07
00101	Z	0,000 0	0,000 0	0,000 0	0 E+00	0 E+00	0 E+00	0,000 0	0,000 0	0,000 0	0 E+00	0 E+00	0 E+00
00102	X	0,016 5	0,000 1	0,000 0	8,2228 E-07	5,1166 E-04	1,6965 E-04	0,003 2	0,000 0	0,000 0	1,6413 E-07	9,8586 E-05	3,258 E-05
00102	Y	0,000 1	0,018 2	0,001 3	2,1679 E-04	5,4291 E-07	1,3216 E-06	0,000 0	0,003 6	0,000 3	4,2778 E-05	1,1617 E-07	2,4845 E-07
00102	Z	0,000 0	0,000 0	0,000 0	0 E+00	0 E+00	0 E+00	0,000 0	0,000 0	0,000 0	0 E+00	0 E+00	0 E+00
00103	X	0,010 8	0,000 1	0,000 0	1,4486 E-06	6,1955 E-04	1,6965 E-04	0,002 1	0,000 0	0,000 0	2,8881 E-07	1,1936 E-04	3,258 E-05
00103	Y	0,000 1	0,004 0	0,001 3	3,7002 E-04	6,3786 E-07	1,3217 E-06	0,000 0	0,000 8	0,000 3	7,3014 E-05	1,3639 E-07	2,4846 E-07
00103	Z	0,000 0	0,000 0	0,000 0	0 E+00	0 E+00	0 E+00	0,000 0	0,000 0	0,000 0	0 E+00	0 E+00	0 E+00
00104	X	0,015 7	0,000 1	0,000 0	7,8012 E-07	4,9137 E-04	4,9162 E-05	0,003 0	0,000 0	0,000 0	1,5536 E-07	9,4463 E-05	9,2517 E-06
00104	Y	0,000 1	0,018 5	0,000 1	2,1218 E-04	4,7643 E-07	7,3616 E-07	0,000 0	0,003 6	0,000 0	4,1869 E-05	1,0234 E-07	1,3875 E-07
00104	Z	0,000 0	0,000 0	0,000 0	0 E+00	0 E+00	0 E+00	0,000 0	0,000 0	0,000 0	0 E+00	0 E+00	0 E+00
00105	X	0,010 5	0,000 1	0,000 0	1,3724 E-06	5,9474 E-04	4,9162 E-05	0,002 0	0,000 0	0,000 0	2,7308 E-07	1,1432 E-04	9,2518 E-06
00105	Y	0,000 1	0,004 5	0,000 1	3,6423 E-04	5,6196 E-07	7,3622 E-07	0,000 0	0,000 9	0,000 0	7,1873 E-05	1,2037 E-07	1,3875 E-07
00105	Z	0,000 0	0,000 0	0,000 0	0 E+00	0 E+00	0 E+00	0,000 0	0,000 0	0,000 0	0 E+00	0 E+00	0 E+00
00106	X	0,042 4	0,000 2	0,000 0	8,4471 E-07	7,301 E-04	4,9163 E-05	0,008 2	0,000 0	0,000 0	1,4988 E-07	1,4033 E-04	9,252 E-06
00106	Y	0,000 1	0,018 5	0,000 1	5,726 E-04	1,1319 E-06	7,3619 E-07	0,000 0	0,003 7	0,000 0	1,1299 E-04	2,0789 E-07	1,3875 E-07
00106	Z	0,000 0	0,000 0	0,000 0	0 E+00	0 E+00	0 E+00	0,000 0	0,000 0	0,000 0	0 E+00	0 E+00	0 E+00
00107	X	0,082 1	0,000 1	0,000 0	5,8868 E-07	8,9426 E-04	4,9164 E-05	0,015 8	0,000 0	0,000 0	1,1479 E-07	1,7187 E-04	9,2522 E-06
00107	Y	0,000 1	0,053 3	0,000 1	8,3452 E-04	1,2184 E-06	7,3622 E-07	0,000 0	0,010 5	0,000 0	1,6467 E-04	2,2298 E-07	1,3876 E-07
00107	Z	0,000 0	0,000 0	0,000 0	0 E+00	0 E+00	0 E+00	0,000 0	0,000 0	0,000 0	0 E+00	0 E+00	0 E+00
00108	X	0,130 9	0,000 1	0,000 0	3,2654 E-06	1,0799 E-03	4,9165 E-05	0,025 2	0,000 0	0,000 0	5,9928 E-07	2,0752 E-04	9,2524 E-06
00108	Y	0,000 1	0,102 3	0,000 1	1,1357 E-03	2,9962 E-06	7,3624 E-07	0,000 0	0,020 2	0,000 0	2,241 E-04	5,652 E-07	1,3877 E-07
00108	Z	0,000 0	0,000 0	0,000 0	0 E+00	0 E+00	0 E+00	0,000 0	0,000 0	0,000 0	0 E+00	0 E+00	0 E+00
00109	X	0,189 7	0,000 2	0,000 0	2,7559 E-06	1,2742 E-03	4,9166 E-05	0,036 5	0,000 0	0,000 0	4,9579 E-07	2,4484 E-04	9,2526 E-06
00109	Y	0,000 3	0,166 9	0,000 1	1,4451 E-03	3,1181 E-06	7,3627 E-07	0,000 0	0,032 9	0,000 0	2,8516 E-04	5,853 E-07	1,3876 E-07
00109	Z	0,000 0	0,000 0	0,000 0	0 E+00	0 E+00	0 E+00	0,000 0	0,000 0	0,000 0	0 E+00	0 E+00	0 E+00
00110	X	0,016 5	0,000 1	0,000 0	8,313 E-07	5,0943 E-04	1,5322 E-06	0,003 2	0,000 0	0,000 0	1,6527 E-07	9,7954 E-05	2,956 E-07
00110	Y	0,000 1	0,018 5	0,000 0	2,124 E-04	7,7371 E-07	1,5828 E-06	0,000 0	0,003 6	0,000 0	4,1911 E-05	1,6366 E-07	3,1236 E-07
00110	Z	0,000 0	0,000 0	0,000 0	0 E+00	0 E+00	0 E+00	0,000 0	0,000 0	0,000 0	0 E+00	0 E+00	0 E+00

Nodi - Spostamenti per effetto del sisma													
Nodo	Dir	Stato Limite Ultimo						Stato Limite di Danno					
		S _x [cm]	S _y [cm]	S _z [cm]	Θ _x [rad]	Θ _y [rad]	Θ _z [rad]	S _x [cm]	S _y [cm]	S _z [cm]	Θ _x [rad]	Θ _y [rad]	Θ _z [rad]
00111	X	0,0106	0,0001	0,0000	1,4598 E-06	6,1702 E-04	1,5322 E-06	0,0020	0,0000	0,0000	2,8998 E-07	1,1863 E-04	2,9561 E-07
00111	Y	0,0001	0,0045	0,0000	3,6452 E-04	9,0936 E-07	1,5828 E-06	0,0000	0,0009	0,0000	7,1929 E-05	1,9252 E-07	3,1237 E-07
00111	Z	0,0000	0,0000	0,0000	0 E+00	0 E+00	0 E+00	0,0000	0,0000	0,0000	0 E+00	0 E+00	0 E+00
00112	X	0,0437	0,0002	0,0000	8,2141 E-07	7,5795 E-04	1,5322 E-06	0,0084	0,0000	0,0000	1,4549 E-07	1,4571 E-04	2,9561 E-07
00112	Y	0,0001	0,0185	0,0000	5,7296 E-04	6,2959 E-07	1,5828 E-06	0,0000	0,0037	0,0000	1,1306 E-04	1,1642 E-07	3,1237 E-07
00112	Z	0,0000	0,0000	0,0000	0 E+00	0 E+00	0 E+00	0,0000	0,0000	0,0000	0 E+00	0 E+00	0 E+00
00113	X	0,0849	0,0001	0,0000	5,7261 E-07	9,2897 E-04	1,5323 E-06	0,0163	0,0000	0,0000	1,1471 E-07	1,7856 E-04	2,9562 E-07
00113	Y	0,0001	0,0534	0,0000	8,3497 E-04	6,8496 E-07	1,5829 E-06	0,0000	0,0105	0,0000	1,6476 E-04	1,3094 E-07	3,1238 E-07
00113	Z	0,0000	0,0000	0,0000	0 E+00	0 E+00	0 E+00	0,0000	0,0000	0,0000	0 E+00	0 E+00	0 E+00
00114	X	0,1356	0,0001	0,0000	3,2947 E-06	1,1225 E-03	1,5323 E-06	0,0261	0,0000	0,0000	6,0484 E-07	2,1573 E-04	2,9562 E-07
00114	Y	0,0001	0,1024	0,0000	1,1362 E-03	2,1055 E-06	1,5829 E-06	0,0000	0,0202	0,0000	2,242 E-04	3,9258 E-07	3,1238 E-07
00114	Z	0,0000	0,0000	0,0000	0 E+00	0 E+00	0 E+00	0,0000	0,0000	0,0000	0 E+00	0 E+00	0 E+00
00115	X	0,1967	0,0001	0,0000	2,7321 E-06	1,3252 E-03	1,5323 E-06	0,0378	0,0000	0,0000	4,9123 E-07	2,5467 E-04	2,9563 E-07
00115	Y	0,0001	0,1670	0,0000	1,4457 E-03	2,088 E-06	1,5829 E-06	0,0000	0,0330	0,0000	2,8527 E-04	3,864 E-07	3,1239 E-07
00115	Z	0,0000	0,0000	0,0000	0 E+00	0 E+00	0 E+00	0,0000	0,0000	0,0000	0 E+00	0 E+00	0 E+00
00116	X	0,0157	0,0001	0,0000	7,796 E-07	4,9232 E-04	4,6176 E-05	0,0030	0,0000	0,0000	1,5522 E-07	9,4645 E-05	8,6848 E-06
00116	Y	0,0001	0,0185	0,0001	2,1218 E-04	6,873 E-07	1,7376 E-06	0,0000	0,0036	0,0000	4,187 E-05	1,4677 E-07	3,3631 E-07
00116	Z	0,0000	0,0000	0,0000	0 E+00	0 E+00	0 E+00	0,0000	0,0000	0,0000	0 E+00	0 E+00	0 E+00
00117	X	0,0106	0,0001	0,0000	1,3725 E-06	5,9584 E-04	4,6176 E-05	0,0020	0,0000	0,0000	2,7305 E-07	1,1453 E-04	8,6849 E-06
00117	Y	0,0001	0,0045	0,0001	3,6424 E-04	8,0736 E-07	1,7376 E-06	0,0000	0,0009	0,0000	7,1873 E-05	1,7252 E-07	3,3631 E-07
00117	Z	0,0000	0,0000	0,0000	0 E+00	0 E+00	0 E+00	0,0000	0,0000	0,0000	0 E+00	0 E+00	0 E+00
00118	X	0,0426	0,0002	0,0000	8,4685 E-07	7,3137 E-04	4,6177 E-05	0,0082	0,0000	0,0000	1,503 E-07	1,4057 E-04	8,6851 E-06
00118	Y	0,0001	0,0185	0,0001	5,726 E-04	7,934 E-07	1,7377 E-06	0,0000	0,0037	0,0000	1,1299 E-04	1,4523 E-07	3,3631 E-07
00118	Z	0,0000	0,0000	0,0000	0 E+00	0 E+00	0 E+00	0,0000	0,0000	0,0000	0 E+00	0 E+00	0 E+00
00119	X	0,0823	0,0001	0,0000	5,8847 E-07	8,9573 E-04	4,6178 E-05	0,0158	0,0000	0,0000	1,1466 E-07	1,7215 E-04	8,6852 E-06
00119	Y	0,0001	0,0533	0,0001	8,3452 E-04	8,5215 E-07	1,7377 E-06	0,0000	0,0105	0,0000	1,6467 E-04	1,5817 E-07	3,3632 E-07
00119	Z	0,0000	0,0000	0,0000	0 E+00	0 E+00	0 E+00	0,0000	0,0000	0,0000	0 E+00	0 E+00	0 E+00
00120	X	0,1311	0,0001	0,0000	3,2699 E-06	1,0815 E-03	4,6179 E-05	0,0252	0,0000	0,0000	6,0017 E-07	2,0784 E-04	8,6854 E-06
00120	Y	0,0001	0,1023	0,0001	1,1357 E-03	2,3937 E-06	1,7377 E-06	0,0000	0,0202	0,0000	2,241 E-04	4,4715 E-07	3,3633 E-07
00120	Z	0,0000	0,0000	0,0000	0 E+00	0 E+00	0 E+00	0,0000	0,0000	0,0000	0 E+00	0 E+00	0 E+00
00121	X	0,1900	0,0002	0,0000	2,7589 E-06	1,276 E-03	4,618 E-05	0,0365	0,0000	0,0000	4,9638 E-07	2,452 E-04	8,6856 E-06
00121	Y	0,0002	0,1669	0,0001	1,4451 E-03	2,4245 E-06	1,7378 E-06	0,0000	0,0329	0,0000	2,8516 E-04	4,4994 E-07	3,3634 E-07
00121	Z	0,0000	0,0000	0,0000	0 E+00	0 E+00	0 E+00	0,0000	0,0000	0,0000	0 E+00	0 E+00	0 E+00
00122	X	0,0163	0,0001	0,0000	8,1168 E-07	5,0712 E-04	1,3867 E-04	0,0031	0,0000	0,0000	1,6213 E-07	9,7726 E-05	2,6567 E-05
00122	Y	0,0001	0,0182	0,0013	2,1679 E-04	5,3844 E-07	6,4465 E-07	0,0000	0,0036	0,0003	4,2778 E-05	1,1528 E-07	1,1477 E-07
00122	Z	0,0000	0,0000	0,0000	0 E+00	0 E+00	0 E+00	0,0000	0,0000	0,0000	0 E+00	0 E+00	0 E+00
00123	X	0,0107	0,0001	0,0000	1,4299 E-06	6,1402 E-04	1,3868 E-04	0,0021	0,0000	0,0000	2,8528 E-07	1,1831 E-04	2,6567 E-05
00123	Y	0,0001	0,0040	0,0013	3,7002 E-04	6,3254 E-07	6,4464 E-07	0,0000	0,0008	0,0003	7,3014 E-05	1,3532 E-07	1,1478 E-07
00123	Z	0,0000	0,0000	0,0000	0 E+00	0 E+00	0 E+00	0,0000	0,0000	0,0000	0 E+00	0 E+00	0 E+00
00124	X	0,0437	0,0002	0,0000	8,3771 E-07	7,5401 E-04	1,3868 E-04	0,0084	0,0000	0,0000	1,4833 E-07	1,4527 E-04	2,6567 E-05
00124	Y	0,0001	0,0193	0,0013	5,7968 E-04	1,0036 E-06	6,4467 E-07	0,0000	0,0038	0,0003	1,1439 E-04	1,849 E-07	1,1477 E-07
00124	Z	0,0000	0,0000	0,0000	0 E+00	0 E+00	0 E+00	0,0000	0,0000	0,0000	0 E+00	0 E+00	0 E+00

Nodi - Spostamenti per effetto del sisma													
Nodo	Dir	Stato Limite Ultimo						Stato Limite di Danno					
		Sx [cm]	Sy [cm]	Sz [cm]	Θx [rad]	Θy [rad]	Θz [rad]	Sx [cm]	Sy [cm]	Sz [cm]	Θx [rad]	Θy [rad]	Θz [rad]
00125	X	0,0847	0,0001	0,0000	5,5955 E-07	9,2384 E-04	1,3868 E-04	0,0163	0,0000	0,0000	1,1167 E-07	1,7796 E-04	2,6568 E-05
00125	Y	0,0001	0,0545	0,0013	8,4275 E-04	1,0706 E-06	6,4472 E-07	0,0000	0,0108	0,0003	1,663 E-04	1,9706 E-07	1,1478 E-07
00125	Z	0,0000	0,0000	0,0000	0 E+00	0 E+00	0 E+00	0,0000	0,0000	0,0000	0 E+00	0 E+00	0 E+00
00126	X	0,1350	0,0001	0,0000	3,3095 E-06	1,1159 E-03	1,3868 E-04	0,0260	0,0000	0,0000	6,0791 E-07	2,1494 E-04	2,6569 E-05
00126	Y	0,0001	0,1040	0,0013	1,1445 E-03	2,7863 E-06	6,4472 E-07	0,0000	0,0205	0,0003	2,2584 E-04	5,2648 E-07	1,1478 E-07
00126	Z	0,0000	0,0000	0,0000	0 E+00	0 E+00	0 E+00	0,0000	0,0000	0,0000	0 E+00	0 E+00	0 E+00
00127	X	0,1958	0,0001	0,0000	2,7516 E-06	1,317 E-03	1,3869 E-04	0,0377	0,0000	0,0000	4,9475 E-07	2,5364 E-04	2,6569 E-05
00127	Y	0,0002	0,1690	0,0013	1,4535 E-03	2,8732 E-06	6,4474 E-07	0,0000	0,0334	0,0003	2,8681 E-04	5,4024 E-07	1,1478 E-07
00127	Z	0,0000	0,0000	0,0000	0 E+00	0 E+00	0 E+00	0,0000	0,0000	0,0000	0 E+00	0 E+00	0 E+00
00128	X	0,0121	0,0001	0,0000	6,2193 E-07	3,7966 E-04	1,3102 E-03	0,0023	0,0000	0,0000	1,2569 E-07	7,4054 E-05	2,4391 E-04
00128	Y	0,0001	0,0210	0,0005	1,6373 E-04	5,1757 E-07	8,6797 E-07	0,0000	0,0041	0,0017	3,2309 E-05	1,1219 E-07	1,564 E-07
00128	Z	0,0000	0,0000	0,0000	0 E+00	0 E+00	0 E+00	0,0000	0,0000	0,0000	0 E+00	0 E+00	0 E+00
00129	X	0,0082	0,0001	0,0000	1,0562 E-06	4,5918 E-04	1,3102 E-03	0,0016	0,0000	0,0000	2,1414 E-07	8,9536 E-05	2,4391 E-04
00129	Y	0,0001	0,0097	0,0005	3,035 E-04	6,018 E-07	8,6796 E-07	0,0000	0,0019	0,0017	5,9889 E-05	1,3064 E-07	1,564 E-07
00129	Z	0,0000	0,0000	0,0000	0 E+00	0 E+00	0 E+00	0,0000	0,0000	0,0000	0 E+00	0 E+00	0 E+00
00130	X	0,0328	0,0001	0,0000	7,9447 E-07	5,633 E-04	1,3103 E-03	0,0064	0,0000	0,0000	1,4151 E-07	1,098 E-04	2,4391 E-04
00130	Y	0,0001	0,0099	0,0005	4,9841 E-04	8,5423 E-07	8,6797 E-07	0,0000	0,0019	0,0017	9,8349 E-05	1,5571 E-07	1,564 E-07
00130	Z	0,0000	0,0000	0,0000	0 E+00	0 E+00	0 E+00	0,0000	0,0000	0,0000	0 E+00	0 E+00	0 E+00
00131	X	0,0634	0,0001	0,0000	7,2494 E-07	6,8956 E-04	1,3103 E-03	0,0124	0,0000	0,0000	1,3439 E-07	1,3437 E-04	2,4392 E-04
00131	Y	0,0001	0,0406	0,0005	7,4846 E-04	9,0408 E-07	8,6805 E-07	0,0000	0,0080	0,0017	1,4769 E-04	1,647 E-07	1,5641 E-07
00131	Z	0,0000	0,0000	0,0000	0 E+00	0 E+00	0 E+00	0,0000	0,0000	0,0000	0 E+00	0 E+00	0 E+00
00132	X	0,1010	0,0001	0,0000	2,8547 E-06	8,3234 E-04	1,3103 E-03	0,0197	0,0000	0,0000	5,2432 E-07	1,6215 E-04	2,4392 E-04
00132	Y	0,0001	0,0851	0,0006	1,0436 E-03	2,5796 E-06	8,6801 E-07	0,0000	0,0168	0,0017	2,0593 E-04	4,85 E-07	1,5641 E-07
00132	Z	0,0000	0,0000	0,0000	0 E+00	0 E+00	0 E+00	0,0000	0,0000	0,0000	0 E+00	0 E+00	0 E+00
00133	X	0,1463	0,0002	0,0000	2,6634 E-06	9,8187 E-04	1,3103 E-03	0,0285	0,0000	0,0000	4,7981 E-07	1,9121 E-04	2,4393 E-04
00133	Y	0,0002	0,1452	0,0006	1,3588 E-03	2,6466 E-06	8,6804 E-07	0,0000	0,0286	0,0017	2,6812 E-04	4,9449 E-07	1,5642 E-07
00133	Z	0,0000	0,0000	0,0000	0 E+00	0 E+00	0 E+00	0,0000	0,0000	0,0000	0 E+00	0 E+00	0 E+00
00134	X	0,0081	0,0001	0,0000	1,051 E-06	4,5795 E-04	1,3989 E-03	0,0016	0,0000	0,0000	2,1314 E-07	8,93 E-05	2,6068 E-04
00134	Y	0,0001	0,0097	0,0005	3,035 E-04	8,4314 E-07	6,5863 E-07	0,0000	0,0019	0,0017	5,9889 E-05	1,7969 E-07	1,3427 E-07
00134	Z	0,0000	0,0000	0,0000	0 E+00	0 E+00	0 E+00	0,0000	0,0000	0,0000	0 E+00	0 E+00	0 E+00
00135	X	0,0632	0,0001	0,0000	7,2641 E-07	6,8769 E-04	1,399 E-03	0,0123	0,0000	0,0000	1,3455 E-07	1,3401 E-04	2,6068 E-04
00135	Y	0,0001	0,0406	0,0005	7,4846 E-04	6,4568 E-07	6,5867 E-07	0,0000	0,0080	0,0017	1,4769 E-04	1,2381 E-07	1,3428 E-07
00135	Z	0,0000	0,0000	0,0000	0 E+00	0 E+00	0 E+00	0,0000	0,0000	0,0000	0 E+00	0 E+00	0 E+00
00136	X	0,0327	0,0001	0,0000	7,9586 E-07	5,6177 E-04	1,3989 E-03	0,0064	0,0000	0,0000	1,4177 E-07	1,0951 E-04	2,6068 E-04
00136	Y	0,0001	0,0099	0,0005	4,9841 E-04	5,9583 E-07	6,5864 E-07	0,0000	0,0019	0,0017	9,835 E-05	1,1029 E-07	1,3428 E-07
00136	Z	0,0000	0,0000	0,0000	0 E+00	0 E+00	0 E+00	0,0000	0,0000	0,0000	0 E+00	0 E+00	0 E+00
00137	X	0,1459	0,0002	0,0000	2,6643 E-06	9,7916 E-04	1,399 E-03	0,0285	0,0000	0,0000	4,7999 E-07	1,907 E-04	2,607 E-04
00137	Y	0,0001	0,1452	0,0006	1,3588 E-03	2,0432 E-06	6,5873 E-07	0,0000	0,0286	0,0017	2,6812 E-04	3,771 E-07	1,3429 E-07
00137	Z	0,0000	0,0000	0,0000	0 E+00	0 E+00	0 E+00	0,0000	0,0000	0,0000	0 E+00	0 E+00	0 E+00
00138	X	0,1007	0,0001	0,0000	2,8532 E-06	8,3006 E-04	1,399 E-03	0,0197	0,0000	0,0000	5,2403 E-07	1,6171 E-04	2,6069 E-04
00138	Y	0,0001	0,0851	0,0006	1,0436 E-03	2,0613 E-06	6,5868 E-07	0,0000	0,0168	0,0017	2,0593 E-04	3,8364 E-07	1,3428 E-07
00138	Z	0,0000	0,0000	0,0000	0 E+00	0 E+00	0 E+00	0,0000	0,0000	0,0000	0 E+00	0 E+00	0 E+00

Nodi - Spostamenti per effetto del sisma													
Nodo	Dir	Stato Limite Ultimo						Stato Limite di Danno					
		Sx [cm]	Sy [cm]	Sz [cm]	Θx [rad]	Θy [rad]	Θz [rad]	Sx [cm]	Sy [cm]	Sz [cm]	Θx [rad]	Θy [rad]	Θz [rad]
00139	X	0,012 1	0,000 1	0,000 0	6,1811 E-07	3,7865 E-04	1,3989 E-03	0,002 3	0,000 0	0,000 0	1,2496 E-07	7,3861 E-05	2,6067 E-04
00139	Y	0,000 1	0,021 0	0,008 5	1,6374 E-04	7,1856 E-07	6,586 E-07	0,000 0	0,004 1	0,001 7	3,2309 E-05	1,5288 E-07	1,3427 E-07
00139	Z	0,000 0	0,000 0	0,000 0	0 E+00	0 E+00	0 E+00	0,000 0	0,000 0	0,000 0	0 E+00	0 E+00	0 E+00
00140	X	0,043 5	0,000 0	0,000 0	1,1801 E-06	2,9118 E-04	1,3102 E-03	0,008 5	0,000 0	0,000 0	2,304 E-07	5,6823 E-05	2,439 E-04
00140	Y	0,000 0	0,028 7	0,008 5	2,1837 E-05	9,0995 E-07	8,6796 E-07	0,000 0	0,005 7	0,001 7	4,309 E-06	1,885 E-07	1,564 E-07
00140	Z	0,000 0	0,000 0	0,000 0	0 E+00	0 E+00	0 E+00	0,000 0	0,000 0	0,000 0	0 E+00	0 E+00	0 E+00
00141	X	0,028 8	0,000 0	0,000 0	1,402 E-06	3,2447 E-04	1,3102 E-03	0,005 6	0,000 0	0,000 0	2,7514 E-07	6,3306 E-05	2,439 E-04
00141	Y	0,000 1	0,026 6	0,008 5	7,3007 E-05	9,504 E-07	8,6796 E-07	0,000 0	0,005 2	0,001 7	1,4406 E-05	1,9747 E-07	1,564 E-07
00141	Z	0,000 0	0,000 0	0,000 0	0 E+00	0 E+00	0 E+00	0,000 0	0,000 0	0,000 0	0 E+00	0 E+00	0 E+00
00142	X	0,038 6	0,000 0	0,000 0	1,84 E-06	4,3294 E-04	1,3867 E-04	0,007 4	0,000 0	0,000 0	3,5747 E-07	8,3442 E-05	2,6566 E-05
00142	Y	0,000 1	0,026 2	0,001 3	1,1559 E-04	1,0028 E-06	6,4464 E-07	0,000 0	0,005 2	0,000 3	2,281 E-05	2,0772 E-07	1,1477 E-07
00142	Z	0,000 0	0,000 0	0,000 0	0 E+00	0 E+00	0 E+00	0,000 0	0,000 0	0,000 0	0 E+00	0 E+00	0 E+00
00143	X	0,076 4	0,000 1	0,000 0	1,7964 E-06	3,6718 E-04	1,3867 E-04	0,014 7	0,000 0	0,000 0	3,4683 E-07	7,0777 E-05	2,6566 E-05
00143	Y	0,000 1	0,032 2	0,001 3	3,1583 E-05	1,0901 E-06	6,4465 E-07	0,000 0	0,006 4	0,000 3	6,2323 E-06	2,2366 E-07	1,1477 E-07
00143	Z	0,000 0	0,000 0	0,000 0	0 E+00	0 E+00	0 E+00	0,000 0	0,000 0	0,000 0	0 E+00	0 E+00	0 E+00
00144	X	0,058 2	0,000 1	0,000 0	1,5263 E-06	3,8823 E-04	1,3867 E-04	0,011 2	0,000 0	0,000 0	2,9549 E-07	7,4831 E-05	2,6566 E-05
00144	Y	0,000 0	0,030 2	0,001 3	5,7594 E-05	9,5991 E-07	6,4464 E-07	0,000 0	0,006 0	0,000 3	1,1365 E-05	1,9834 E-07	1,1478 E-07
00144	Z	0,000 0	0,000 0	0,000 0	0 E+00	0 E+00	0 E+00	0,000 0	0,000 0	0,000 0	0 E+00	0 E+00	0 E+00
00145	X	0,037 4	0,000 0	0,000 0	1,779 E-06	4,2048 E-04	4,6175 E-05	0,007 2	0,000 0	0,000 0	3,4471 E-07	8,0841 E-05	8,6847 E-06
00145	Y	0,000 0	0,026 2	0,000 1	1,1191 E-04	1,154 E-06	1,7376 E-06	0,000 0	0,005 2	0,000 0	2,2082 E-05	2,3855 E-07	3,363 E-07
00145	Z	0,000 0	0,000 0	0,000 0	0 E+00	0 E+00	0 E+00	0,000 0	0,000 0	0,000 0	0 E+00	0 E+00	0 E+00
00146	X	0,074 0	0,000 1	0,000 0	1,7407 E-06	3,5677 E-04	4,6175 E-05	0,014 2	0,000 0	0,000 0	3,3522 E-07	6,8598 E-05	8,6846 E-06
00146	Y	0,000 1	0,031 9	0,000 1	2,8788 E-05	1,2189 E-06	1,7376 E-06	0,000 0	0,006 3	0,000 0	5,6807 E-06	2,4989 E-07	3,3629 E-07
00146	Z	0,000 0	0,000 0	0,000 0	0 E+00	0 E+00	0 E+00	0,000 0	0,000 0	0,000 0	0 E+00	0 E+00	0 E+00
00147	X	0,056 4	0,000 1	0,000 0	1,4777 E-06	3,7717 E-04	4,6175 E-05	0,010 8	0,000 0	0,000 0	2,8534 E-07	7,2518 E-05	8,6846 E-06
00147	Y	0,000 0	0,030 1	0,000 1	5,4501 E-05	1,0963 E-06	1,7376 E-06	0,000 0	0,005 9	0,000 0	1,0755 E-05	2,2613 E-07	3,363 E-07
00147	Z	0,000 0	0,000 0	0,000 0	0 E+00	0 E+00	0 E+00	0,000 0	0,000 0	0,000 0	0 E+00	0 E+00	0 E+00
00148	X	0,039 0	0,000 0	0,000 0	1,8617 E-06	4,348 E-04	1,5322 E-06	0,007 5	0,000 0	0,000 0	3,6071 E-07	8,3611 E-05	2,956 E-07
00148	Y	0,000 0	0,026 2	0,000 0	1,1207 E-04	1,2487 E-06	1,5828 E-06	0,000 0	0,005 2	0,000 0	2,2114 E-05	2,5649 E-07	3,1236 E-07
00148	Z	0,000 0	0,000 0	0,000 0	0 E+00	0 E+00	0 E+00	0,000 0	0,000 0	0,000 0	0 E+00	0 E+00	0 E+00
00149	X	0,076 9	0,000 1	0,000 0	1,8139 E-06	3,6864 E-04	1,5322 E-06	0,014 8	0,000 0	0,000 0	3,4936 E-07	7,0897 E-05	2,956 E-07
00149	Y	0,000 1	0,032 0	0,000 0	2,8903 E-05	1,3021 E-06	1,5827 E-06	0,000 0	0,006 3	0,000 0	5,7033 E-06	2,6564 E-07	3,1235 E-07
00149	Z	0,000 0	0,000 0	0,000 0	0 E+00	0 E+00	0 E+00	0,000 0	0,000 0	0,000 0	0 E+00	0 E+00	0 E+00
00150	X	0,058 6	0,000 1	0,000 0	1,5434 E-06	3,8982 E-04	1,5322 E-06	0,011 3	0,000 0	0,000 0	2,9804 E-07	7,4967 E-05	2,956 E-07
00150	Y	0,000 1	0,030 1	0,000 0	5,4632 E-05	1,1821 E-06	1,5828 E-06	0,000 0	0,005 9	0,000 0	1,078 E-05	2,4239 E-07	3,1236 E-07
00150	Z	0,000 0	0,000 0	0,000 0	0 E+00	0 E+00	0 E+00	0,000 0	0,000 0	0,000 0	0 E+00	0 E+00	0 E+00
00151	X	0,037 3	0,000 0	0,000 0	1,7778 E-06	4,1963 E-04	4,9161 E-05	0,007 2	0,000 0	0,000 0	3,4451 E-07	8,0678 E-05	9,2516 E-06
00151	Y	0,000 1	0,026 2	0,000 1	1,119 E-04	9,1484 E-07	7,3613 E-07	0,000 0	0,005 2	0,000 0	2,2082 E-05	1,9111 E-07	1,3875 E-07
00151	Z	0,000 0	0,000 0	0,000 0	0 E+00	0 E+00	0 E+00	0,000 0	0,000 0	0,000 0	0 E+00	0 E+00	0 E+00
00152	X	0,073 9	0,000 1	0,000 0	1,7393 E-06	3,5602 E-04	4,916 E-05	0,014 2	0,000 0	0,000 0	3,3496 E-07	6,8454 E-05	9,2515 E-06
00152	Y	0,000 1	0,031 9	0,000 1	2,8787 E-05	1,0104 E-06	7,3615 E-07	0,000 0	0,006 3	0,000 0	5,6805 E-06	2,0865 E-07	1,3874 E-07
00152	Z	0,000 0	0,000 0	0,000 0	0 E+00	0 E+00	0 E+00	0,000 0	0,000 0	0,000 0	0 E+00	0 E+00	0 E+00

Nodi - Spostamenti per effetto del sisma													
Nodo	Dir	Stato Limite Ultimo						Stato Limite di Danno					
		Sx [cm]	Sy [cm]	Sz [cm]	Θx [rad]	Θy [rad]	Θz [rad]	Sx [cm]	Sy [cm]	Sz [cm]	Θx [rad]	Θy [rad]	Θz [rad]
00153	X	0,056 3	0,000 1	0,000 0	1,4768 E-06	3,7638 E-04	4,9161 E-05	0,010 8	0,000 0	0,000 0	2,8519 E-07	7,2367 E-05	9,2515 E-06
00153	Y	0,000 0	0,030 1	0,000 1	5,4501 E-05	8,7959 E-07	7,3614 E-07	0,000 0	0,005 9	0,000 0	1,0754 E-05	1,8318 E-07	1,3875 E-07
00153	Z	0,000 0	0,000 0	0,000 0	0 E+00	0 E+00	0 E+00	0,000 0	0,000 0	0,000 0	0 E+00	0 E+00	0 E+00
00154	X	0,039 0	0,000 0	0,000 0	1,8587 E-06	4,368 E-04	1,6965 E-04	0,007 5	0,000 0	0,000 0	3,6099 E-07	8,4172 E-05	3,258 E-05
00154	Y	0,000 1	0,026 2	0,001 3	1,1559 E-04	1,0069 E-06	1,3216 E-06	0,000 0	0,005 2	0,000 3	2,281 E-05	2,0852 E-07	2,4845 E-07
00154	Z	0,000 0	0,000 0	0,000 0	0 E+00	0 E+00	0 E+00	0,000 0	0,000 0	0,000 0	0 E+00	0 E+00	0 E+00
00155	X	0,077 1	0,000 1	0,000 0	1,8132 E-06	3,7044 E-04	1,6964 E-04	0,014 8	0,000 0	0,000 0	3,5001 E-07	7,1393 E-05	3,2579 E-05
00155	Y	0,000 1	0,032 2	0,001 3	3,1583 E-05	1,0935 E-06	1,3216 E-06	0,000 0	0,006 4	0,000 3	6,2323 E-06	2,2434 E-07	2,4845 E-07
00155	Z	0,000 0	0,000 0	0,000 0	0 E+00	0 E+00	0 E+00	0,000 0	0,000 0	0,000 0	0 E+00	0 E+00	0 E+00
00156	X	0,058 8	0,000 1	0,000 0	1,5411 E-06	3,9168 E-04	1,6964 E-04	0,011 3	0,000 0	0,000 0	2,9829 E-07	7,5484 E-05	3,2579 E-05
00156	Y	0,000 0	0,030 2	0,001 3	5,7594 E-05	9,6357 E-07	1,3216 E-06	0,000 0	0,006 0	0,000 3	1,1365 E-05	1,9905 E-07	2,4845 E-07
00156	Z	0,000 0	0,000 0	0,000 0	0 E+00	0 E+00	0 E+00	0,000 0	0,000 0	0,000 0	0 E+00	0 E+00	0 E+00
00157	X	0,028 8	0,000 0	0,000 0	1,3959 E-06	3,2361 E-04	1,3989 E-03	0,005 6	0,000 0	0,000 0	2,7396 E-07	6,3142 E-05	2,6067 E-04
00157	Y	0,000 0	0,026 6	0,008 5	7,3008 E-05	1,1455 E-06	6,5863 E-07	0,000 0	0,005 2	0,001 7	1,4407 E-05	2,3606 E-07	1,3428 E-07
00157	Z	0,000 0	0,000 0	0,000 0	0 E+00	0 E+00	0 E+00	0,000 0	0,000 0	0,000 0	0 E+00	0 E+00	0 E+00
00158	X	0,057 0	0,000 1	0,000 0	1,38 E-06	2,7477 E-04	1,3989 E-03	0,011 1	0,000 0	0,000 0	2,6868 E-07	5,3629 E-05	2,6067 E-04
00158	Y	0,000 1	0,029 0	0,008 4	7,6752 E-07	1,1885 E-06	6,5861 E-07	0,000 0	0,005 7	0,001 7	1,5141 E-07	2,4307 E-07	1,3427 E-07
00158	Z	0,000 0	0,000 0	0,000 0	0 E+00	0 E+00	0 E+00	0,000 0	0,000 0	0,000 0	0 E+00	0 E+00	0 E+00
00159	X	0,043 4	0,000 0	0,000 0	1,1743 E-06	2,9041 E-04	1,3989 E-03	0,008 4	0,000 0	0,000 0	2,2929 E-07	5,6676 E-05	2,6067 E-04
00159	Y	0,000 0	0,028 7	0,008 5	2,1838 E-05	1,0845 E-06	6,5865 E-07	0,000 0	0,005 7	0,001 7	4,3092 E-06	2,2301 E-07	1,3427 E-07
00159	Z	0,000 0	0,000 0	0,000 0	0 E+00	0 E+00	0 E+00	0,000 0	0,000 0	0,000 0	0 E+00	0 E+00	0 E+00
00160	X	0,070 4	0,000 2	0,000 0	1,2732 E-06	2,7145 E-04	1,3102 E-03	0,013 7	0,000 0	0,000 0	2,4769 E-07	5,298 E-05	2,439 E-04
00160	Y	0,000 1	0,028 8	0,008 4	6,3022 E-06	9,837 E-07	8,6793 E-07	0,000 0	0,005 7	0,001 7	1,2435 E-06	2,025 E-07	1,564 E-07
00160	Z	0,000 0	0,000 0	0,000 0	0 E+00	0 E+00	0 E+00	0,000 0	0,000 0	0,000 0	0 E+00	0 E+00	0 E+00
00161	X	0,094 0	0,000 2	0,000 0	1,7532 E-06	3,6176 E-04	1,3867 E-04	0,018 1	0,000 0	0,000 0	3,3833 E-07	6,9732 E-05	2,6566 E-05
00161	Y	0,000 1	0,033 5	0,001 3	2,5138 E-05	1,0839 E-06	6,4464 E-07	0,000 0	0,006 6	0,000 3	4,9603 E-06	2,2232 E-07	1,1477 E-07
00161	Z	0,000 0	0,000 0	0,000 0	0 E+00	0 E+00	0 E+00	0,000 0	0,000 0	0,000 0	0 E+00	0 E+00	0 E+00
00162	X	0,091 2	0,000 2	0,000 0	1,6991 E-06	3,5152 E-04	4,6174 E-05	0,017 5	0,000 0	0,000 0	3,2706 E-07	6,7589 E-05	8,6846 E-06
00162	Y	0,000 1	0,033 1	0,000 1	2,2422 E-05	1,2108 E-06	1,7376 E-06	0,000 0	0,006 5	0,000 0	4,4244 E-06	2,4816 E-07	3,363 E-07
00162	Z	0,000 0	0,000 0	0,000 0	0 E+00	0 E+00	0 E+00	0,000 0	0,000 0	0,000 0	0 E+00	0 E+00	0 E+00
00163	X	0,094 6	0,000 2	0,000 0	1,77 E-06	3,6319 E-04	1,5322 E-06	0,018 2	0,000 0	0,000 0	3,4077 E-07	6,9849 E-05	2,956 E-07
00163	Y	0,000 2	0,033 1	0,000 0	2,2532 E-05	1,293 E-06	1,5827 E-06	0,000 0	0,006 5	0,000 0	4,4462 E-06	2,6371 E-07	3,1235 E-07
00163	Z	0,000 0	0,000 0	0,000 0	0 E+00	0 E+00	0 E+00	0,000 0	0,000 0	0,000 0	0 E+00	0 E+00	0 E+00
00164	X	0,091 0	0,000 2	0,000 0	1,6977 E-06	3,5077 E-04	4,916 E-05	0,017 5	0,000 0	0,000 0	3,2681 E-07	6,7445 E-05	9,2515 E-06
00164	Y	0,000 1	0,033 1	0,000 1	2,2421 E-05	1,0052 E-06	7,3616 E-07	0,000 0	0,006 5	0,000 0	4,4242 E-06	2,075 E-07	1,3875 E-07
00164	Z	0,000 0	0,000 0	0,000 0	0 E+00	0 E+00	0 E+00	0,000 0	0,000 0	0,000 0	0 E+00	0 E+00	0 E+00
00165	X	0,094 9	0,000 2	0,000 0	1,7695 E-06	3,6497 E-04	1,6964 E-04	0,018 3	0,000 0	0,000 0	3,4141 E-07	7,0339 E-05	3,2579 E-05
00165	Y	0,000 1	0,033 5	0,001 3	2,5138 E-05	1,0873 E-06	1,3216 E-06	0,000 0	0,006 6	0,000 3	4,9603 E-06	2,2299 E-07	2,4844 E-07
00165	Z	0,000 0	0,000 0	0,000 0	0 E+00	0 E+00	0 E+00	0,000 0	0,000 0	0,000 0	0 E+00	0 E+00	0 E+00
00166	X	0,057 1	0,000 1	0,000 0	1,3866 E-06	2,7549 E-04	1,3102 E-03	0,011 1	0,000 0	0,000 0	2,6995 E-07	5,3768 E-05	2,439 E-04
00166	Y	0,000 1	0,029 0	0,008 4	7,6845 E-07	1,0225 E-06	8,6794 E-07	0,000 0	0,005 7	0,001 7	1,5159 E-07	2,1028 E-07	1,564 E-07
00166	Z	0,000 0	0,000 0	0,000 0	0 E+00	0 E+00	0 E+00	0,000 0	0,000 0	0,000 0	0 E+00	0 E+00	0 E+00

Nodi - Spostamenti per effetto del sisma													
Nodo	Dir	Stato Limite Ultimo						Stato Limite di Danno					
		Sx [cm]	Sy [cm]	Sz [cm]	Θx [rad]	Θy [rad]	Θz [rad]	Sx [cm]	Sy [cm]	Sz [cm]	Θx [rad]	Θy [rad]	Θz [rad]
00167	X	0,070 2	0,000 2	0,000 0	1,3489 E-06	2,7074 E-04	1,3989 E-03	0,013 7	0,000 0	0,000 0	2,6247 E-07	5,2844 E-05	2,6066 E-04
00167	Y	0,000 2	0,028 8	0,008 4	6,3015 E-06	1,1801 E-06	6,5859 E-07	0,000 0	0,005 7	0,001 7	1,2434 E-06	2,4128 E-07	1,3427 E-07
00167	Z	0,000 0	0,000 0	0,000 0	0 E+00	0 E+00	0 E+00	0,000 0	0,000 0	0,000 0	0 E+00	0 E+00	0 E+00
00168	X	0,407 3	0,001 4	0,000 6	3,9171 E-06	2,0238 E-03	1,0647 E-03	0,080 9	0,000 3	0,000 1	7,0559 E-07	3,6976 E-04	1,9569 E-04
00168	Y	0,001 5	0,675 2	0,301 3	2,0007 E-03	6,1245 E-06	8,3604 E-07	0,000 3	0,133 2	0,059 5	3,9479 E-04	1,0994 E-06	1,3223 E-07
00168	Z	0,000 0	0,000 0	0,000 0	0 E+00	0 E+00	0 E+00	0,000 0	0,000 0	0,000 0	0 E+00	0 E+00	0 E+00
00169	X	0,392 7	0,001 4	0,000 6	3,9165 E-06	2,0046 E-03	1,1571 E-03	0,078 1	0,000 3	0,000 1	7,0551 E-07	3,6614 E-04	2,1273 E-04
00169	Y	0,001 0	0,675 2	0,301 3	2,0007 E-03	2,7879 E-06	7,5834 E-07	0,000 2	0,133 2	0,059 5	3,9479 E-04	5,4353 E-07	1,8311 E-07
00169	Z	0,000 0	0,000 0	0,000 0	0 E+00	0 E+00	0 E+00	0,000 0	0,000 0	0,000 0	0 E+00	0 E+00	0 E+00
00170	X	0,736 5	0,001 4	0,000 3	1,2111 E-07	2,3968 E-03	1,3527 E-03	0,141 9	0,000 3	0,000 0	2,126 E-08	4,5644 E-04	2,569 E-04
00170	Y	0,001 2	0,656 5	0,125 4	1,1032 E-04	3,9955 E-06	7,2416 E-07	0,000 2	0,129 6	0,024 7	2,1768 E-05	7,8564 E-07	1,4288 E-07
00170	Z	0,000 0	0,000 0	0,000 0	0 E+00	0 E+00	0 E+00	0,000 0	0,000 0	0,000 0	0 E+00	0 E+00	0 E+00
00171	X	0,589 9	0,001 4	0,000 1	2,375 E-06	1,9703 E-03	1,5264 E-03	0,114 3	0,000 3	0,000 0	4,2853 E-07	3,8044 E-04	2,8685 E-04
00171	Y	0,001 1	0,666 9	0,065 7	1,1764 E-03	3,5984 E-06	7,4923 E-07	0,000 2	0,131 6	0,013 0	2,3213 E-04	6,8156 E-07	1,4652 E-07
00171	Z	0,000 0	0,000 0	0,000 0	0 E+00	0 E+00	0 E+00	0,000 0	0,000 0	0,000 0	0 E+00	0 E+00	0 E+00
00172	X	0,842 3	0,001 4	0,000 2	1,2309 E-06	2,6102 E-03	7,4585 E-04	0,162 0	0,000 2	0,000 0	2,2319 E-07	4,9161 E-04	1,4262 E-04
00172	Y	0,001 2	0,650 0	0,097 9	5,5695 E-04	4,5569 E-06	4,5209 E-07	0,000 2	0,128 3	0,019 3	1,099 E-04	9,182 E-07	8,7538 E-08
00172	Z	0,000 0	0,000 0	0,000 0	0 E+00	0 E+00	0 E+00	0,000 0	0,000 0	0,000 0	0 E+00	0 E+00	0 E+00
00173	X	0,878 1	0,001 4	0,000 0	1,6418 E-06	2,7312 E-03	7,1691 E-05	0,168 8	0,000 2	0,000 0	2,9676 E-07	5,1172 E-04	1,3302 E-05
00173	Y	0,001 2	0,647 7	0,025 1	7,8678 E-04	4,9812 E-06	5,5408 E-07	0,000 2	0,127 8	0,005 0	1,5525 E-04	1,0173 E-06	1,1106 E-07
00173	Z	0,000 0	0,000 0	0,000 0	0 E+00	0 E+00	0 E+00	0,000 0	0,000 0	0,000 0	0 E+00	0 E+00	0 E+00
00174	X	0,843 6	0,001 4	0,000 1	1,1136 E-06	2,747 E-03	6,4069 E-04	0,162 2	0,000 2	0,000 0	2,008 E-07	5,1475 E-04	1,2268 E-04
00174	Y	0,001 3	0,649 8	0,047 7	5,5794 E-04	5,0722 E-06	9,8808 E-07	0,000 2	0,128 2	0,009 4	1,101 E-04	1,0309 E-06	2,0276 E-07
00174	Z	0,000 0	0,000 0	0,000 0	0 E+00	0 E+00	0 E+00	0,000 0	0,000 0	0,000 0	0 E+00	0 E+00	0 E+00
00175	X	0,767 1	0,001 4	0,000 2	3,4634 E-07	2,5823 E-03	7,8767 E-04	0,147 6	0,000 3	0,000 0	6,3488 E-08	4,8777 E-04	1,5144 E-04
00175	Y	0,001 4	0,656 4	0,074 8	1,2559 E-04	4,9126 E-06	1,2415 E-06	0,000 3	0,129 5	0,014 8	2,4782 E-05	9,7498 E-07	2,5121 E-07
00175	Z	0,000 0	0,000 0	0,000 0	0 E+00	0 E+00	0 E+00	0,000 0	0,000 0	0,000 0	0 E+00	0 E+00	0 E+00
00176	X	0,742 3	0,001 4	0,000 2	1,6447 E-07	2,7014 E-03	7,2126 E-04	0,142 5	0,000 3	0,000 0	2,944 E-08	5,1228 E-04	1,3839 E-04
00176	Y	0,001 5	0,656 1	0,090 3	9,689 E-05	4,9944 E-06	7,1914 E-07	0,000 3	0,129 5	0,017 8	1,9119 E-05	9,8305 E-07	1,5328 E-07
00176	Z	0,000 0	0,000 0	0,000 0	0 E+00	0 E+00	0 E+00	0,000 0	0,000 0	0,000 0	0 E+00	0 E+00	0 E+00
00177	X	0,681 0	0,001 4	0,000 1	2,2556 E-06	2,2199 E-03	3,0984 E-04	0,130 8	0,000 3	0,000 0	4,0796 E-07	4,2502 E-04	5,9339 E-05
00177	Y	0,001 6	0,665 4	0,036 7	1,0626 E-03	5,1253 E-06	6,7962 E-07	0,000 3	0,131 3	0,007 2	2,0969 E-04	9,7551 E-07	1,3461 E-07
00177	Z	0,000 0	0,000 0	0,000 0	0 E+00	0 E+00	0 E+00	0,000 0	0,000 0	0,000 0	0 E+00	0 E+00	0 E+00
00178	X	0,809 2	0,001 4	0,000 1	1,0946 E-06	2,9181 E-03	5,4451 E-04	0,155 3	0,000 2	0,000 0	1,984 E-07	5,4938 E-04	1,0453 E-04
00178	Y	0,001 5	0,650 3	0,065 3	5,0109 E-04	4,8353 E-06	7,9145 E-07	0,000 3	0,128 3	0,012 9	9,8878 E-05	9,7643 E-07	1,6552 E-07
00178	Z	0,000 0	0,000 0	0,000 0	0 E+00	0 E+00	0 E+00	0,000 0	0,000 0	0,000 0	0 E+00	0 E+00	0 E+00
00179	X	0,839 6	0,001 4	0,000 0	1,4948 E-06	2,9928 E-03	4,9349 E-05	0,161 1	0,000 2	0,000 0	2,7041 E-07	5,6181 E-04	9,5443 E-06
00179	Y	0,001 4	0,648 4	0,000 1	7,0434 E-04	4,4963 E-06	6,8121 E-07	0,000 3	0,127 9	0,000 0	1,3898 E-04	9,1666 E-07	1,3277 E-07
00179	Z	0,000 0	0,000 0	0,000 0	0 E+00	0 E+00	0 E+00	0,000 0	0,000 0	0,000 0	0 E+00	0 E+00	0 E+00
00180	X	0,818 5	0,001 4	0,000 1	1,0535 E-06	2,9377 E-03	4,5774 E-04	0,157 1	0,000 2	0,000 0	1,904 E-07	5,521 E-04	8,7705 E-05
00180	Y	0,001 3	0,650 4	0,065 2	5,0156 E-04	4,0869 E-06	8,7113 E-07	0,000 3	0,128 3	0,012 9	9,897 E-05	8,2766 E-07	1,6106 E-07
00180	Z	0,000 0	0,000 0	0,000 0	0 E+00	0 E+00	0 E+00	0,000 0	0,000 0	0,000 0	0 E+00	0 E+00	0 E+00

Nodi - Spostamenti per effetto del sisma													
Nodo	Dir	Stato Limite Ultimo						Stato Limite di Danno					
		Sx [cm]	Sy [cm]	Sz [cm]	Θx [rad]	Θy [rad]	Θz [rad]	Sx [cm]	Sy [cm]	Sz [cm]	Θx [rad]	Θy [rad]	Θz [rad]
00181	X	0,760 4	0,001 4	0,000 2	2,2136 E-07	2,7437 E-03	6,4242 E-04	0,146 0	0,000 3	0,000 0	4,041 E-08	5,1888 E-04	1,2324 E-04
00181	Y	0,001 2	0,656 1	0,090 2	9,5987 E-05	3,6726 E-06	1,1613 E-06	0,000 2	0,129 5	0,017 8	1,8941 E-05	7,3051 E-07	2,1453 E-07
00181	Z	0,000 0	0,000 0	0,000 0	0 E+00	0 E+00	0 E+00	0,000 0	0,000 0	0,000 0	0 E+00	0 E+00	0 E+00
00182	X	0,706 6	0,001 4	0,000 1	2,3046 E-06	2,2939 E-03	2,5208 E-04	0,135 8	0,000 3	0,000 0	4,1762 E-07	4,3869 E-04	4,8398 E-05
00182	Y	0,001 1	0,665 4	0,036 7	1,0614 E-03	3,5499 E-06	1,4832 E-06	0,000 2	0,131 3	0,007 2	2,0943 E-04	6,7453 E-07	2,8628 E-07
00182	Z	0,000 0	0,000 0	0,000 0	0 E+00	0 E+00	0 E+00	0,000 0	0,000 0	0,000 0	0 E+00	0 E+00	0 E+00
00183	X	0,760 5	0,001 4	0,000 2	2,7361 E-07	2,713 E-03	6,4448 E-04	0,146 0	0,000 3	0,000 0	5,1137 E-08	5,131 E-04	1,2364 E-04
00183	Y	0,000 9	0,656 1	0,090 2	9,5984 E-05	4,3765 E-06	1,5535 E-06	0,000 2	0,129 5	0,017 8	1,894 E-05	8,729 E-07	3,2296 E-07
00183	Z	0,000 0	0,000 0	0,000 0	0 E+00	0 E+00	0 E+00	0,000 0	0,000 0	0,000 0	0 E+00	0 E+00	0 E+00
00184	X	0,706 7	0,001 4	0,000 1	2,3203 E-06	2,2874 E-03	2,5476 E-04	0,135 8	0,000 3	0,000 0	4,2079 E-07	4,3748 E-04	4,8918 E-05
00184	Y	0,001 0	0,665 4	0,036 7	1,0614 E-03	3,7833 E-06	1,6863 E-06	0,000 2	0,131 3	0,007 2	2,0943 E-04	7,1989 E-07	3,3932 E-07
00184	Z	0,000 0	0,000 0	0,000 0	0 E+00	0 E+00	0 E+00	0,000 0	0,000 0	0,000 0	0 E+00	0 E+00	0 E+00
00185	X	0,818 4	0,001 4	0,000 2	1,0206 E-06	2,8855 E-03	4,5883 E-04	0,157 1	0,000 2	0,000 0	1,8385 E-07	5,4226 E-04	8,7918 E-05
00185	Y	0,000 9	0,650 4	0,065 2	5,0156 E-04	4,9404 E-06	6,9838 E-07	0,000 2	0,128 3	0,012 9	9,8971 E-05	1,0086 E-06	1,4876 E-07
00185	Z	0,000 0	0,000 0	0,000 0	0 E+00	0 E+00	0 E+00	0,000 0	0,000 0	0,000 0	0 E+00	0 E+00	0 E+00
00186	X	0,839 4	0,001 4	0,000 0	1,4964 E-06	2,9284 E-03	4,9046 E-05	0,161 1	0,000 2	0,000 0	2,7075 E-07	5,4964 E-04	9,485 E-06
00186	Y	0,000 9	0,648 4	0,000 1	7,0434 E-04	5,3456 E-06	5,3099 E-07	0,000 2	0,127 9	0,000 0	1,3898 E-04	1,0959 E-06	1,0314 E-07
00186	Z	0,000 0	0,000 0	0,000 0	0 E+00	0 E+00	0 E+00	0,000 0	0,000 0	0,000 0	0 E+00	0 E+00	0 E+00
00187	X	0,809 0	0,001 4	0,000 1	1,1301 E-06	2,8529 E-03	5,4412 E-04	0,155 3	0,000 2	0,000 0	2,0558 E-07	5,37 E-04	1,0446 E-04
00187	Y	0,001 0	0,650 3	0,065 3	5,0109 E-04	5,3262 E-06	1,4089 E-06	0,000 2	0,128 3	0,012 9	9,8877 E-05	1,0773 E-06	2,8749 E-07
00187	Z	0,000 0	0,000 0	0,000 0	0 E+00	0 E+00	0 E+00	0,000 0	0,000 0	0,000 0	0 E+00	0 E+00	0 E+00
00188	X	0,742 4	0,001 4	0,000 2	1,4732 E-07	2,6526 E-03	7,202 E-04	0,142 6	0,000 3	0,000 0	2,682 E-08	5,0294 E-04	1,3819 E-04
00188	Y	0,001 1	0,656 1	0,090 3	9,6895 E-05	4,8481 E-06	1,8005 E-06	0,000 2	0,129 5	0,017 8	1,912 E-05	9,5444 E-07	3,6764 E-07
00188	Z	0,000 0	0,000 0	0,000 0	0 E+00	0 E+00	0 E+00	0,000 0	0,000 0	0,000 0	0 E+00	0 E+00	0 E+00
00189	X	0,681 7	0,001 4	0,000 1	2,2323 E-06	2,2081 E-03	3,0727 E-04	0,131 0	0,000 3	0,000 0	4,0326 E-07	4,2277 E-04	5,8851 E-05
00189	Y	0,001 2	0,665 4	0,036 7	1,0626 E-03	4,2608 E-06	1,8123 E-06	0,000 2	0,131 3	0,007 2	2,0969 E-04	8,0677 E-07	3,5808 E-07
00189	Z	0,000 0	0,000 0	0,000 0	0 E+00	0 E+00	0 E+00	0,000 0	0,000 0	0,000 0	0 E+00	0 E+00	0 E+00
00190	X	0,758 8	0,001 4	0,000 2	4,1026 E-07	2,7509 E-03	6,5308 E-04	0,145 7	0,000 2	0,000 0	7,4717 E-08	5,1876 E-04	1,2563 E-04
00190	Y	0,001 5	0,653 5	0,089 2	1,7637 E-04	3,8389 E-06	1,1849 E-06	0,000 3	0,128 9	0,017 6	3,4803 E-05	7,6482 E-07	2,1466 E-07
00190	Z	0,000 0	0,000 0	0,000 0	0 E+00	0 E+00	0 E+00	0,000 0	0,000 0	0,000 0	0 E+00	0 E+00	0 E+00
00191	X	0,695 7	0,001 4	0,000 1	1,334 E-06	2,4042 E-03	4,8166 E-04	0,133 6	0,000 3	0,000 0	2,4087 E-07	4,5792 E-04	9,2708 E-05
00191	Y	0,001 4	0,661 3	0,070 3	6,4121 E-04	3,7287 E-06	1,5824 E-06	0,000 3	0,130 5	0,013 9	1,2653 E-04	7,1996 E-07	2,9319 E-07
00191	Z	0,000 0	0,000 0	0,000 0	0 E+00	0 E+00	0 E+00	0,000 0	0,000 0	0,000 0	0 E+00	0 E+00	0 E+00
00192	X	0,811 0	0,001 4	0,000 1	1,3317 E-06	2,9281 E-03	3,3943 E-04	0,155 7	0,000 2	0,000 0	2,4108 E-07	5,495 E-04	6,5517 E-05
00192	Y	0,001 6	0,649 2	0,044 5	6,208 E-04	4,0978 E-06	6,3021 E-07	0,000 3	0,128 1	0,008 8	1,225 E-04	8,3101 E-07	1,1634 E-07
00192	Z	0,000 0	0,000 0	0,000 0	0 E+00	0 E+00	0 E+00	0,000 0	0,000 0	0,000 0	0 E+00	0 E+00	0 E+00
00193	X	0,819 7	0,001 4	0,000 1	1,4187 E-06	2,9497 E-03	1,7588 E-04	0,157 4	0,000 2	0,000 0	2,5658 E-07	5,539 E-04	3,3181 E-05
00193	Y	0,001 6	0,648 7	0,024 9	6,6895 E-04	4,2766 E-06	2,1808 E-07	0,000 3	0,128 0	0,004 9	1,32 E-04	8,7235 E-07	4,9181 E-08
00193	Z	0,000 0	0,000 0	0,000 0	0 E+00	0 E+00	0 E+00	0,000 0	0,000 0	0,000 0	0 E+00	0 E+00	0 E+00
00194	X	0,781 3	0,001 4	0,000 2	6,7042 E-07	2,8119 E-03	5,6188 E-04	0,150 2	0,000 2	0,000 0	1,2113 E-07	5,311 E-04	1,0711 E-04
00194	Y	0,001 6	0,652 1	0,079 1	3,1744 E-04	4,3132 E-06	5,6705 E-07	0,000 3	0,128 7	0,015 6	6,264 E-05	8,7017 E-07	1,0146 E-07
00194	Z	0,000 0	0,000 0	0,000 0	0 E+00	0 E+00	0 E+00	0,000 0	0,000 0	0,000 0	0 E+00	0 E+00	0 E+00

Nodi - Spostamenti per effetto del sisma													
Nodo	Dir	Stato Limite Ultimo						Stato Limite di Danno					
		Sx [cm]	Sy [cm]	Sz [cm]	Θx [rad]	Θy [rad]	Θz [rad]	Sx [cm]	Sy [cm]	Sz [cm]	Θx [rad]	Θy [rad]	Θz [rad]
00195	X	0,7228	0,0014	0,0002	9,0101 E-07	2,5086 E-03	5,1903 E-04	0,1391	0,0003	0,0000	1,6331 E-07	4,7856 E-04	9,879 E-05
00195	Y	0,0015	0,6592	0,0788	4,157 E-04	4,3833 E-06	7,5926 E-07	0,0003	0,1301	0,0155	8,2029 E-05	8,6006 E-07	1,3003 E-07
00195	Z	0,0000	0,0000	0,0000	0 E+00	0 E+00	0 E+00	0,0000	0,0000	0,0000	0 E+00	0 E+00	0 E+00
00196	X	0,4726	0,0014	0,0002	3,8836 E-06	1,8444 E-03	1,1625 E-03	0,0925	0,0003	0,0000	7,0059 E-07	3,4782 E-04	2,1452 E-04
00196	Y	0,0015	0,6744	0,1036	1,9314 E-03	5,3206 E-06	8,486 E-07	0,0003	0,1331	0,0204	3,8111 E-04	9,7494 E-07	1,4215 E-07
00196	Z	0,0000	0,0000	0,0000	0 E+00	0 E+00	0 E+00	0,0000	0,0000	0,0000	0 E+00	0 E+00	0 E+00
00197	X	0,7827	0,0014	0,0002	6,7312 E-07	2,8622 E-03	5,4287 E-04	0,1505	0,0002	0,0000	1,2172 E-07	5,4065 E-04	1,035 E-04
00197	Y	0,0017	0,6521	0,0791	3,1744 E-04	3,7532 E-06	1,0179 E-06	0,0003	0,1287	0,0156	6,264 E-05	7,5086 E-07	1,7982 E-07
00197	Z	0,0000	0,0000	0,0000	0 E+00	0 E+00	0 E+00	0,0000	0,0000	0,0000	0 E+00	0 E+00	0 E+00
00198	X	0,7265	0,0014	0,0002	8,9943 E-07	2,5486 E-03	4,9202 E-04	0,1398	0,0003	0,0000	1,6293 E-07	4,8618 E-04	9,3649 E-05
00198	Y	0,0016	0,6592	0,0788	4,157 E-04	3,8763 E-06	1,3437 E-06	0,0003	0,1301	0,0155	8,2029 E-05	7,6002 E-07	2,404 E-07
00198	Z	0,0000	0,0000	0,0000	0 E+00	0 E+00	0 E+00	0,0000	0,0000	0,0000	0 E+00	0 E+00	0 E+00
00199	X	0,8195	0,0014	0,0001	1,4211 E-06	2,9981 E-03	1,6543 E-04	0,1574	0,0002	0,0000	2,5709 E-07	5,6305 E-04	3,1193 E-05
00199	Y	0,0018	0,6487	0,0249	6,6895 E-04	3,8475 E-06	4,3303 E-07	0,0003	0,1280	0,0049	1,32 E-04	7,7422 E-07	7,6701 E-08
00199	Z	0,0000	0,0000	0,0000	0 E+00	0 E+00	0 E+00	0,0000	0,0000	0,0000	0 E+00	0 E+00	0 E+00
00200	X	0,8100	0,0014	0,0001	1,3323 E-06	2,9668 E-03	3,4314 E-04	0,1555	0,0002	0,0000	2,4118 E-07	5,5682 E-04	6,6216 E-05
00200	Y	0,0018	0,6492	0,0445	6,208 E-04	3,9198 E-06	2,5163 E-07	0,0003	0,1281	0,0088	1,225 E-04	7,8976 E-07	4,5944 E-08
00200	Z	0,0000	0,0000	0,0000	0 E+00	0 E+00	0 E+00	0,0000	0,0000	0,0000	0 E+00	0 E+00	0 E+00
00201	X	0,7575	0,0014	0,0002	4,0739 E-07	2,775 E-03	6,5149 E-04	0,1455	0,0002	0,0000	7,4078 E-08	5,2331 E-04	1,2533 E-04
00201	Y	0,0017	0,6535	0,0892	1,7637 E-04	4,02 E-06	7,5392 E-07	0,0003	0,1289	0,0176	3,4803 E-05	8,0182 E-07	1,335 E-07
00201	Z	0,0000	0,0000	0,0000	0 E+00	0 E+00	0 E+00	0,0000	0,0000	0,0000	0 E+00	0 E+00	0 E+00
00202	X	0,6946	0,0014	0,0001	1,3417 E-06	2,412 E-03	4,7785 E-04	0,1334	0,0003	0,0000	2,4248 E-07	4,5938 E-04	9,1982 E-05
00202	Y	0,0017	0,6613	0,0703	6,412 E-04	4,4515 E-06	9,0863 E-07	0,0003	0,1305	0,0139	1,2653 E-04	8,6094 E-07	1,6219 E-07
00202	Z	0,0000	0,0000	0,0000	0 E+00	0 E+00	0 E+00	0,0000	0,0000	0,0000	0 E+00	0 E+00	0 E+00
00203	X	0,8297	0,0014	0,0001	1,114 E-06	2,726 E-03	6,1634 E-04	0,1596	0,0002	0,0000	2,0086 E-07	5,1077 E-04	1,1806 E-04
00203	Y	0,0014	0,6498	0,0477	5,5794 E-04	4,1407 E-06	5,4601 E-07	0,0003	0,1282	0,0094	1,101 E-04	8,3785 E-07	1,1439 E-07
00203	Z	0,0000	0,0000	0,0000	0 E+00	0 E+00	0 E+00	0,0000	0,0000	0,0000	0 E+00	0 E+00	0 E+00
00204	X	0,7565	0,0014	0,0002	3,4565 E-07	2,5609 E-03	7,5015 E-04	0,1456	0,0003	0,0000	6,3379 E-08	4,8372 E-04	1,4433 E-04
00204	Y	0,0014	0,6564	0,0748	1,2559 E-04	4,1856 E-06	6,8978 E-07	0,0003	0,1295	0,0148	2,4782 E-05	8,3023 E-07	1,4185 E-07
00204	Z	0,0000	0,0000	0,0000	0 E+00	0 E+00	0 E+00	0,0000	0,0000	0,0000	0 E+00	0 E+00	0 E+00
00205	X	0,8629	0,0014	0,0000	1,6418 E-06	2,7131 E-03	7,0772 E-05	0,1659	0,0002	0,0000	2,9676 E-07	5,0828 E-04	1,3133 E-05
00205	Y	0,0014	0,6477	0,0251	7,8678 E-04	4,1714 E-06	1,6246 E-07	0,0003	0,1278	0,0050	1,5525 E-04	8,466 E-07	3,3658 E-08
00205	Z	0,0000	0,0000	0,0000	0 E+00	0 E+00	0 E+00	0,0000	0,0000	0,0000	0 E+00	0 E+00	0 E+00
00206	X	0,8284	0,0014	0,0002	1,2305 E-06	2,5971 E-03	7,1894 E-04	0,1593	0,0002	0,0000	2,2312 E-07	4,8912 E-04	1,3751 E-04
00206	Y	0,0014	0,6500	0,0979	5,5695 E-04	4,1302 E-06	4,2132 E-07	0,0003	0,1283	0,0193	1,099 E-04	8,3 E-07	8,5551 E-08
00206	Z	0,0000	0,0000	0,0000	0 E+00	0 E+00	0 E+00	0,0000	0,0000	0,0000	0 E+00	0 E+00	0 E+00
00207	X	0,7268	0,0014	0,0003	1,2153 E-07	2,3909 E-03	1,2966 E-03	0,1400	0,0003	0,0000	2,1318 E-08	4,553 E-04	2,4627 E-04
00207	Y	0,0014	0,6565	0,1254	1,1032 E-04	4,079 E-06	8,0694 E-07	0,0003	0,1296	0,0247	2,1768 E-05	8,0218 E-07	1,6206 E-07
00207	Z	0,0000	0,0000	0,0000	0 E+00	0 E+00	0 E+00	0,0000	0,0000	0,0000	0 E+00	0 E+00	0 E+00
00208	X	0,5871	0,0014	0,0001	2,3756 E-06	1,972 E-03	1,4454 E-03	0,1137	0,0003	0,0000	4,2863 E-07	3,8076 E-04	2,715 E-04
00208	Y	0,0014	0,6669	0,0657	1,1764 E-03	4,3351 E-06	9,1381 E-07	0,0003	0,1316	0,0130	2,3213 E-04	8,2374 E-07	1,7478 E-07
00208	Z	0,0000	0,0000	0,0000	0 E+00	0 E+00	0 E+00	0,0000	0,0000	0,0000	0 E+00	0 E+00	0 E+00

Nodi - Spostamenti per effetto del sisma													
Nodo	Dir	Stato Limite Ultimo						Stato Limite di Danno					
		Sx	Sy	Sz	θx	θy	θz	Sx	Sy	Sz	θx	θy	θz
		[cm]	[cm]	[cm]	[rad]	[rad]	[rad]	[cm]	[cm]	[cm]	[rad]	[rad]	[rad]
00209	X	0,466 6	0,001 4	0,000 2	3,8832 E-06	1,8335 E-03	1,2552 E-03	0,091 4	0,000 3	0,000 0	7,0051 E-07	3,4574 E-04	2,3191 E-04
00209	Y	0,001 1	0,674 4	0,103 6	1,9314 E-03	2,891 E-06	6,4352 E-07	0,000 2	0,133 1	0,020 4	3,8111 E-04	5,1601 E-07	1,4521 E-07
00209	Z	0,000 0	0,000 0	0,000 0	0 E+00	0 E+00	0 E+00	0,000 0	0,000 0	0,000 0	0 E+00	0 E+00	0 E+00
00210	X	0,516 6	0,001 4	0,000 0	3,842 E-06	1,4522 E-03	1,3993 E-03	0,100 6	0,000 3	0,000 0	6,9439 E-07	2,8208 E-04	2,6074 E-04
00210	Y	0,001 1	0,673 4	0,008 8	1,8455 E-03	3,6348 E-06	6,588 E-07	0,000 2	0,132 9	0,001 7	3,6417 E-04	6,7665 E-07	1,343 E-07
00210	Z	0,000 0	0,000 0	0,000 0	0 E+00	0 E+00	0 E+00	0,000 0	0,000 0	0,000 0	0 E+00	0 E+00	0 E+00
00211	X	0,671 5	0,001 4	0,000 0	3,0462 E-06	1,8811 E-03	4,9175 E-05	0,129 0	0,000 3	0,000 0	5,5136 E-07	3,6121 E-04	9,2542 E-06
00211	Y	0,001 6	0,668 7	0,000 1	1,4183 E-03	5,0574 E-06	7,3634 E-07	0,000 3	0,132 0	0,000 0	2,7987 E-04	9,5579 E-07	1,3879 E-07
00211	Z	0,000 0	0,000 0	0,000 0	0 E+00	0 E+00	0 E+00	0,000 0	0,000 0	0,000 0	0 E+00	0 E+00	0 E+00
00212	X	0,698 8	0,001 4	0,000 0	3,0852 E-06	1,965 E-03	1,5326 E-06	0,134 3	0,000 3	0,000 0	5,5908 E-07	3,7728 E-04	2,9568 E-07
00212	Y	0,001 1	0,668 8	0,000 0	1,417 E-03	3,5865 E-06	1,5832 E-06	0,000 2	0,132 0	0,000 0	2,796 E-04	6,7125 E-07	3,1245 E-07
00212	Z	0,000 0	0,000 0	0,000 0	0 E+00	0 E+00	0 E+00	0,000 0	0,000 0	0,000 0	0 E+00	0 E+00	0 E+00
00213	X	0,672 4	0,001 4	0,000 0	3,0339 E-06	1,8822 E-03	4,6188 E-05	0,129 2	0,000 3	0,000 0	5,4886 E-07	3,6143 E-04	8,6871 E-06
00213	Y	0,001 3	0,668 7	0,000 1	1,4183 E-03	4,061 E-06	1,7381 E-06	0,000 2	0,132 0	0,000 0	2,7987 E-04	7,6069 E-07	3,364 E-07
00213	Z	0,000 0	0,000 0	0,000 0	0 E+00	0 E+00	0 E+00	0,000 0	0,000 0	0,000 0	0 E+00	0 E+00	0 E+00
00214	X	0,518 0	0,001 4	0,000 0	3,8424 E-06	1,4564 E-03	1,3106 E-03	0,100 8	0,000 3	0,000 0	6,9446 E-07	2,8287 E-04	2,4397 E-04
00214	Y	0,001 4	0,673 4	0,008 8	1,8455 E-03	4,612 E-06	8,6819 E-07	0,000 3	0,132 9	0,001 7	3,6417 E-04	8,6775 E-07	1,5644 E-07
00214	Z	0,000 0	0,000 0	0,000 0	0 E+00	0 E+00	0 E+00	0,000 0	0,000 0	0,000 0	0 E+00	0 E+00	0 E+00
00215	X	0,000 0	0,000 0	0,000 0	1,2159 E-21	9,6678 E-22	1,5343 E-21	0,000 0	0,000 0	0,000 0	2,2146 E-22	1,9808 E-22	3,2202 E-22
00215	Y	0,000 0	0,000 0	0,000 0	0 E+00	0 E+00	6,4837 E-23	0,000 0	0,000 0	0,000 0	0 E+00	0 E+00	0 E+00
00215	Z	0,000 0	0,000 0	0,000 0	0 E+00	0 E+00	0 E+00	0,000 0	0,000 0	0,000 0	0 E+00	0 E+00	0 E+00
00216	X	0,000 0	0,000 0	0,000 0	0 E+00	0 E+00	0 E+00	0,000 0	0,000 0	0,000 0	0 E+00	0 E+00	0 E+00
00216	Y	0,000 0	0,000 0	0,000 0	0 E+00	0 E+00	0 E+00	0,000 0	0,000 0	0,000 0	0 E+00	0 E+00	0 E+00
00216	Z	0,000 0	0,000 0	0,000 0	0 E+00	0 E+00	0 E+00	0,000 0	0,000 0	0,000 0	0 E+00	0 E+00	0 E+00
00217	X	0,000 0	0,000 0	0,000 0	4,1347 E-22	1,7953 E-22	5,9306 E-22	0,000 0	0,000 0	0,000 0	0 E+00	6,4837 E-23	8,3705 E-23
00217	Y	0,000 0	0,000 0	0,000 0	0 E+00	0 E+00	0 E+00	0,000 0	0,000 0	0,000 0	0 E+00	0 E+00	0 E+00
00217	Z	0,000 0	0,000 0	0,000 0	0 E+00	0 E+00	0 E+00	0,000 0	0,000 0	0,000 0	0 E+00	0 E+00	0 E+00
00218	X	0,000 0	0,000 0	0,000 0	0 E+00	0 E+00	0 E+00	0,000 0	0,000 0	0,000 0	0 E+00	0 E+00	0 E+00
00218	Y	0,000 0	0,000 0	0,000 0	0 E+00	0 E+00	0 E+00	0,000 0	0,000 0	0,000 0	0 E+00	0 E+00	0 E+00
00218	Z	0,000 0	0,000 0	0,000 0	0 E+00	0 E+00	0 E+00	0,000 0	0,000 0	0,000 0	0 E+00	0 E+00	0 E+00
00219	X	0,000 0	0,000 0	0,000 0	0 E+00	0 E+00	0 E+00	0,000 0	0,000 0	0,000 0	0 E+00	0 E+00	0 E+00
00219	Y	0,000 0	0,000 0	0,000 0	0 E+00	0 E+00	0 E+00	0,000 0	0,000 0	0,000 0	0 E+00	0 E+00	0 E+00
00219	Z	0,000 0	0,000 0	0,000 0	0 E+00	0 E+00	0 E+00	0,000 0	0,000 0	0,000 0	0 E+00	0 E+00	0 E+00
00220	X	0,000 0	0,000 0	0,000 0	0 E+00	0 E+00	0 E+00	0,000 0	0,000 0	0,000 0	0 E+00	0 E+00	0 E+00
00220	Y	0,000 0	0,000 0	0,000 0	0 E+00	0 E+00	0 E+00	0,000 0	0,000 0	0,000 0	0 E+00	0 E+00	0 E+00
00220	Z	0,000 0	0,000 0	0,000 0	0 E+00	0 E+00	0 E+00	0,000 0	0,000 0	0,000 0	0 E+00	0 E+00	0 E+00
00221	X	0,000 0	0,000 0	0,000 0	0 E+00	0 E+00	0 E+00	0,000 0	0,000 0	0,000 0	0 E+00	0 E+00	0 E+00
00221	Y	0,000 0	0,000 0	0,000 0	0 E+00	0 E+00	0 E+00	0,000 0	0,000 0	0,000 0	0 E+00	0 E+00	0 E+00
00221	Z	0,000 0	0,000 0	0,000 0	0 E+00	0 E+00	0 E+00	0,000 0	0,000 0	0,000 0	0 E+00	0 E+00	0 E+00
00222	X	0,000 0	0,000 0	0,000 0	0 E+00	0 E+00	0 E+00	0,000 0	0,000 0	0,000 0	0 E+00	0 E+00	0 E+00
00222	Y	0,000 0	0,000 0	0,000 0	0 E+00	0 E+00	0 E+00	0,000 0	0,000 0	0,000 0	0 E+00	0 E+00	0 E+00
00222	Z	0,000 0	0,000 0	0,000 0	0 E+00	0 E+00	0 E+00	0,000 0	0,000 0	0,000 0	0 E+00	0 E+00	0 E+00

Nodi - Spostamenti per effetto del sisma													
Nodo	Dir	Stato Limite Ultimo						Stato Limite di Danno					
		S _x [cm]	S _y [cm]	S _z [cm]	Θ _x [rad]	Θ _y [rad]	Θ _z [rad]	S _x [cm]	S _y [cm]	S _z [cm]	Θ _x [rad]	Θ _y [rad]	Θ _z [rad]
00223	X	0,000 0	0,000 0	0,000 0	0 E+00	0 E+00	0 E+00	0,000 0	0,000 0	0,000 0	0 E+00	0 E+00	0 E+00
00223	Y	0,000 0	0,000 0	0,000 0	0 E+00	0 E+00	0 E+00	0,000 0	0,000 0	0,000 0	0 E+00	0 E+00	0 E+00
00223	Z	0,000 0	0,000 0	0,000 0	0 E+00	0 E+00	0 E+00	0,000 0	0,000 0	0,000 0	0 E+00	0 E+00	0 E+00
00224	X	0,000 0	0,000 0	0,000 0	0 E+00	0 E+00	3,7434 E-23	0,000 0	0,000 0	0,000 0	0 E+00	0 E+00	0 E+00
00224	Y	0,000 0	0,000 0	0,000 0	0 E+00	0 E+00	0 E+00	0,000 0	0,000 0	0,000 0	0 E+00	0 E+00	0 E+00
00224	Z	0,000 0	0,000 0	0,000 0	0 E+00	0 E+00	0 E+00	0,000 0	0,000 0	0,000 0	0 E+00	0 E+00	0 E+00
00225	X	0,000 0	0,000 0	0,000 0	0 E+00	3,7434 E-23	0 E+00	0,000 0	0,000 0	0,000 0	0 E+00	0 E+00	0 E+00
00225	Y	0,000 0	0,000 0	0,000 0	0 E+00	0 E+00	0 E+00	0,000 0	0,000 0	0,000 0	0 E+00	0 E+00	0 E+00
00225	Z	0,000 0	0,000 0	0,000 0	0 E+00	0 E+00	0 E+00	0,000 0	0,000 0	0,000 0	0 E+00	0 E+00	0 E+00
00226	X	0,000 0	0,000 0	0,000 0	3,4715 E-22	1,6317 E-22	7,1321 E-22	0,000 0	0,000 0	0,000 0	5,294 E-23	5,294 E-23	1,4974 E-22
00226	Y	0,000 0	0,000 0	0,000 0	0 E+00	0 E+00	0 E+00	0,000 0	0,000 0	0,000 0	0 E+00	0 E+00	0 E+00
00226	Z	0,000 0	0,000 0	0,000 0	0 E+00	0 E+00	0 E+00	0,000 0	0,000 0	0,000 0	0 E+00	0 E+00	0 E+00
00227	X	0,000 0	0,000 0	0,000 0	0 E+00	0 E+00	0 E+00	0,000 0	0,000 0	0,000 0	0 E+00	0 E+00	0 E+00
00227	Y	0,000 0	0,000 0	0,000 0	0 E+00	0 E+00	0 E+00	0,000 0	0,000 0	0,000 0	0 E+00	0 E+00	0 E+00
00227	Z	0,000 0	0,000 0	0,000 0	0 E+00	0 E+00	0 E+00	0,000 0	0,000 0	0,000 0	0 E+00	0 E+00	0 E+00
00228	X	0,000 0	0,000 0	0,000 0	8,3705 E-23	0 E+00	5,294 E-23	0,000 0	0,000 0	0,000 0	0 E+00	0 E+00	0 E+00
00228	Y	0,000 0	0,000 0	0,000 0	0 E+00	0 E+00	0 E+00	0,000 0	0,000 0	0,000 0	0 E+00	0 E+00	0 E+00
00228	Z	0,000 0	0,000 0	0,000 0	0 E+00	0 E+00	0 E+00	0,000 0	0,000 0	0,000 0	0 E+00	0 E+00	0 E+00
00229	X	0,000 0	0,000 0	0,000 0	0 E+00	0 E+00	0 E+00	0,000 0	0,000 0	0,000 0	0 E+00	0 E+00	0 E+00
00229	Y	0,000 0	0,000 0	0,000 0	0 E+00	0 E+00	0 E+00	0,000 0	0,000 0	0,000 0	0 E+00	0 E+00	0 E+00
00229	Z	0,000 0	0,000 0	0,000 0	0 E+00	0 E+00	0 E+00	0,000 0	0,000 0	0,000 0	0 E+00	0 E+00	0 E+00
00230	X	0,000 0	0,000 0	0,000 0	0 E+00	0 E+00	0 E+00	0,000 0	0,000 0	0,000 0	0 E+00	0 E+00	0 E+00
00230	Y	0,000 0	0,000 0	0,000 0	0 E+00	0 E+00	0 E+00	0,000 0	0,000 0	0,000 0	0 E+00	0 E+00	0 E+00
00230	Z	0,000 0	0,000 0	0,000 0	0 E+00	0 E+00	0 E+00	0,000 0	0,000 0	0,000 0	0 E+00	0 E+00	0 E+00
00231	X	0,000 0	0,000 0	0,000 0	4,1347 E-22	1,7953 E-22	5,9306 E-22	0,000 0	0,000 0	0,000 0	0 E+00	6,4837 E-23	8,3705 E-23
00231	Y	0,000 0	0,000 0	0,000 0	0 E+00	0 E+00	0 E+00	0,000 0	0,000 0	0,000 0	0 E+00	0 E+00	0 E+00
00231	Z	0,000 0	0,000 0	0,000 0	0 E+00	0 E+00	0 E+00	0,000 0	0,000 0	0,000 0	0 E+00	0 E+00	0 E+00
00232	X	0,000 0	0,000 0	0,000 0	1,2159 E-21	9,6678 E-22	1,5343 E-21	0,000 0	0,000 0	0,000 0	2,2146 E-22	1,9808 E-22	3,2202 E-22
00232	Y	0,000 0	0,000 0	0,000 0	0 E+00	0 E+00	6,4837 E-23	0,000 0	0,000 0	0,000 0	0 E+00	0 E+00	0 E+00
00232	Z	0,000 0	0,000 0	0,000 0	0 E+00	0 E+00	0 E+00	0,000 0	0,000 0	0,000 0	0 E+00	0 E+00	0 E+00

LEGENDA:

Dir Direzione del sisma.
S_x, S_y, S_z, Θ_x, Θ_y, Θ_z Le componenti dello spostamento sono relative al sistema di riferimento globale X, Y, Z.

TRAVI - SOLLECITAZIONI PER CONDIZIONI DI CARICO NON SISMICHE

Travi - Sollecitazioni per condizioni di carico non sismiche													
Id _{Tr}	CC	Estr. Inz.						Estr. Fin.					
		M ₁ [N-m]	M ₂ [N-m]	M ₃ [N-m]	N [N]	T ₂ [N]	T ₃ [N]	M ₁ [N-m]	M ₂ [N-m]	M ₃ [N-m]	N [N]	T ₂ [N]	T ₃ [N]
Piano Terra													
Travata: Trave 1a-139a													
Trave 1a-139a	001	0	0	0	0	0	0	0	0	0	0	0	0
	002	0	0	0	0	0	0	0	0	0	0	0	0
	003	0	0	0	0	0	0	0	0	0	0	0	0
	004	0	0	0	0	0	0	0	0	0	0	0	0
	005	0	0	0	0	0	0	0	0	0	0	0	0
	006	0	0	0	0	0	0	0	0	0	0	0	0
	007	0	0	0	0	0	0	0	0	0	0	0	0
Piano Terra													
Travata: Piano Terra													
Trave Acciaio 134a-137a	001	0	0	804	0	956	0	0	0	0	0	652	0
	002	0	0	476	0	476	0	0	0	0	0	476	0

Travi - Sollecitazioni per condizioni di carico non sismiche

Id _{Tr}	CC	Estr. Inz.						Estr. Fin.					
		M ₁ [N-m]	M ₂ [N-m]	M ₃ [N-m]	N [N]	T ₂ [N]	T ₃ [N]	M ₁ [N-m]	M ₂ [N-m]	M ₃ [N-m]	N [N]	T ₂ [N]	T ₃ [N]
	003	0	0	3 427	0	3 427	0	0	0	0	0	3 427	0
	004	-508	2 971	0	0	0	-3 027	-508	0	0	0	0	-2 914
	005	1	-38	0	0	0	66	1	0	0	0	0	10
	006	1	-38	0	-1	0	66	1	0	0	0	0	10
	007	1	-38	0	1	0	66	1	0	0	0	0	10
Trave Acciaio 25a-2	001	0	0	576	533	-2 492	0	0	0	3 501	533	-2 826	0
	002	0	0	271	229	-1 312	0	0	0	1 714	229	-1 312	0
	003	0	0	1 953	1 647	-9 448	0	0	0	12 346	1 647	-9 448	0
	004	1 224	1 016	-17	1	8	8 604	1 224	10 548	-26	1	8	8 728
	005	1	27	0	0	0	5	1	-1	0	0	0	-57
	006	1	27	2	0	-1	5	1	-1	3	2	-1	-57
	007	1	27	-1	0	1	5	1	-1	-2	-2	1	-57
Trave Acciaio 109a-6	001	0	0	972	488	-2 623	0	0	0	3 455	488	-2 896	0
	002	0	0	470	209	-1 381	0	0	0	1 714	209	-1 381	0
	003	0	0	3 387	1 505	-9 945	0	0	0	12 337	1 505	-9 945	0
	004	1 452	3 195	-18	0	7	8 422	1 452	10 820	-24	0	7	8 523
	005	1	25	0	0	0	6	1	8	0	0	0	-44
	006	1	25	2	-1	-1	6	1	8	2	0	-1	-44
	007	1	25	-2	1	1	6	1	8	-2	0	1	-44
Trave Acciaio 6a-7a	001	0	0	388	0	326	0	0	0	0	0	0	0
	002	0	0	283	0	238	0	0	0	0	0	0	0
	003	0	0	2 039	0	1 714	0	0	0	0	0	0	0
	004	0	0	0	-1 447	0	0	0	0	0	0	0	0
	005	0	0	0	0	0	0	0	0	0	0	0	0
	006	0	0	0	0	0	0	0	0	0	0	0	0
	007	0	0	0	0	0	0	0	0	0	0	0	0
Trave Acciaio 3a-4a	001	0	0	388	0	326	0	0	0	0	0	0	0
	002	0	0	283	0	238	0	0	0	0	0	0	0
	003	0	0	2 039	0	1 714	0	0	0	0	0	0	0
	004	0	0	0	-1 447	0	0	0	0	0	0	0	0
	005	0	0	0	0	0	0	0	0	0	0	0	0
	006	0	0	0	0	0	0	0	0	0	0	0	0
	007	0	0	0	0	0	0	0	0	0	0	0	0
Trave Acciaio 10a-11a	001	0	0	388	0	326	0	0	0	0	0	0	0
	002	0	0	283	0	238	0	0	0	0	0	0	0
	003	0	0	2 039	0	1 714	0	0	0	0	0	0	0
	004	0	0	0	-1 447	0	0	0	0	0	0	0	0
	005	0	0	0	0	0	0	0	0	0	0	0	0
	006	0	0	0	0	0	0	0	0	0	0	0	0
	007	0	0	0	0	0	0	0	0	0	0	0	0
Trave Acciaio 13a-14a	001	0	0	388	0	326	0	0	0	0	0	0	0
	002	0	0	283	0	238	0	0	0	0	0	0	0
	003	0	0	2 039	0	1 714	0	0	0	0	0	0	0
	004	0	0	0	-1 447	0	0	0	0	0	0	0	0
	005	0	0	0	0	0	0	0	0	0	0	0	0
	006	0	0	0	0	0	0	0	0	0	0	0	0
	007	0	0	0	0	0	0	0	0	0	0	0	0
Trave Acciaio 16a-17a	001	0	0	388	0	326	0	0	0	0	0	0	0
	002	0	0	283	0	238	0	0	0	0	0	0	0
	003	0	0	2 039	0	1 714	0	0	0	0	0	0	0
	004	0	0	0	-1 447	0	0	0	0	0	0	0	0
	005	0	0	0	0	0	0	0	0	0	0	0	0
	006	0	0	0	0	0	0	0	0	0	0	0	0
	007	0	0	0	0	0	0	0	0	0	0	0	0
Trave Acciaio 19a-20a	001	0	0	388	0	326	0	0	0	0	0	0	0
	002	0	0	283	0	238	0	0	0	0	0	0	0
	003	0	0	2 039	0	1 714	0	0	0	0	0	0	0
	004	0	0	0	-1 447	0	0	0	0	0	0	0	0
	005	0	0	0	0	0	0	0	0	0	0	0	0
	006	0	0	0	0	0	0	0	0	0	0	0	0
	007	0	0	0	0	0	0	0	0	0	0	0	0
Trave Acciaio 22a-23a	001	0	0	388	0	326	0	0	0	0	0	0	0
	002	0	0	283	0	238	0	0	0	0	0	0	0
	003	0	0	2 039	0	1 714	0	0	0	0	0	0	0
	004	0	0	0	-1 447	0	0	0	0	0	0	0	0
	005	0	0	0	0	0	0	0	0	0	0	0	0
	006	0	0	0	0	0	0	0	0	0	0	0	0
	007	0	0	0	0	0	0	0	0	0	0	0	0
Trave Acciaio 25a-26a	001	0	0	388	0	326	0	0	0	0	0	0	0
	002	0	0	283	0	238	0	0	0	0	0	0	0
	003	0	0	2 039	0	1 714	0	0	0	0	0	0	0
	004	0	0	0	-1 447	0	0	0	0	0	0	0	0
	005	0	0	0	0	0	0	0	0	0	0	0	0
	006	0	0	0	0	0	0	0	0	0	0	0	0
	007	0	0	0	0	0	0	0	0	0	0	0	0
Trave Acciaio 2-28a	001	0	0	388	0	326	0	0	0	0	0	0	0
	002	0	0	283	0	238	0	0	0	0	0	0	0
	003	0	0	2 039	0	1 714	0	0	0	0	0	0	0
	004	0	0	0	-1 447	0	0	0	0	0	0	0	0
	005	0	0	0	0	0	0	0	0	0	0	0	0
	006	0	0	0	0	0	0	0	0	0	0	0	0
	007	0	0	0	0	0	0	0	0	0	0	0	0
Trave Acciaio 31a-32a	001	0	0	388	0	326	0	0	0	0	0	0	0
	002	0	0	283	0	238	0	0	0	0	0	0	0

Id _{Tr}	CC	Estr. Inz.						Estr. Fin.					
		M ₁ [N-m]	M ₂ [N-m]	M ₃ [N-m]	N [N]	T ₂ [N]	T ₃ [N]	M ₁ [N-m]	M ₂ [N-m]	M ₃ [N-m]	N [N]	T ₂ [N]	T ₃ [N]
	003	0	0	2 039	0	1 714	0	0	0	0	0	0	0
	004	0	0	0	-1 447	0	0	0	0	0	0	0	0
	005	0	0	0	0	0	0	0	0	0	0	0	0
	006	0	0	0	0	0	0	0	0	0	0	0	0
	007	0	0	0	0	0	0	0	0	0	0	0	0
Trave Acciaio 34a-35a	001	0	0	388	0	326	0	0	0	0	0	0	0
	002	0	0	283	0	238	0	0	0	0	0	0	0
	003	0	0	2 039	0	1 714	0	0	0	0	0	0	0
	004	0	0	0	-1 447	0	0	0	0	0	0	0	0
	005	0	0	0	0	0	0	0	0	0	0	0	0
	006	0	0	0	0	0	0	0	0	0	0	0	0
	007	0	0	0	0	0	0	0	0	0	0	0	0
Trave Acciaio 37a-38a	001	0	0	388	0	326	0	0	0	0	0	0	0
	002	0	0	283	0	238	0	0	0	0	0	0	0
	003	0	0	2 039	0	1 714	0	0	0	0	0	0	0
	004	0	0	0	-1 447	0	0	0	0	0	0	0	0
	005	0	0	0	0	0	0	0	0	0	0	0	0
	006	0	0	0	0	0	0	0	0	0	0	0	0
	007	0	0	0	0	0	0	0	0	0	0	0	0
Trave Acciaio 40a-41a	001	0	0	388	0	326	0	0	0	0	0	0	0
	002	0	0	283	0	238	0	0	0	0	0	0	0
	003	0	0	2 039	0	1 714	0	0	0	0	0	0	0
	004	0	0	0	-1 447	0	0	0	0	0	0	0	0
	005	0	0	0	0	0	0	0	0	0	0	0	0
	006	0	0	0	0	0	0	0	0	0	0	0	0
	007	0	0	0	0	0	0	0	0	0	0	0	0
Trave Acciaio 43a-44a	001	0	0	388	0	326	0	0	0	0	0	0	0
	002	0	0	283	0	238	0	0	0	0	0	0	0
	003	0	0	2 039	0	1 714	0	0	0	0	0	0	0
	004	0	0	0	-1 447	0	0	0	0	0	0	0	0
	005	0	0	0	0	0	0	0	0	0	0	0	0
	006	0	0	0	0	0	0	0	0	0	0	0	0
	007	0	0	0	0	0	0	0	0	0	0	0	0
Trave Acciaio 46a-47a	001	0	0	388	0	326	0	0	0	0	0	0	0
	002	0	0	283	0	238	0	0	0	0	0	0	0
	003	0	0	2 039	0	1 714	0	0	0	0	0	0	0
	004	0	0	0	-1 447	0	0	0	0	0	0	0	0
	005	0	0	0	0	0	0	0	0	0	0	0	0
	006	0	0	0	0	0	0	0	0	0	0	0	0
	007	0	0	0	0	0	0	0	0	0	0	0	0
Trave Acciaio 50a-51a	001	0	0	388	0	326	0	0	0	0	0	0	0
	002	0	0	283	0	238	0	0	0	0	0	0	0
	003	0	0	2 039	0	1 714	0	0	0	0	0	0	0
	004	0	0	0	-1 447	0	0	0	0	0	0	0	0
	005	0	0	0	0	0	0	0	0	0	0	0	0
	006	0	0	0	0	0	0	0	0	0	0	0	0
	007	0	0	0	0	0	0	0	0	0	0	0	0
Trave Acciaio 53a-54a	001	0	0	388	0	326	0	0	0	0	0	0	0
	002	0	0	283	0	238	0	0	0	0	0	0	0
	003	0	0	2 039	0	1 714	0	0	0	0	0	0	0
	004	0	0	0	-1 447	0	0	0	0	0	0	0	0
	005	0	0	0	0	0	0	0	0	0	0	0	0
	006	0	0	0	0	0	0	0	0	0	0	0	0
	007	0	0	0	0	0	0	0	0	0	0	0	0
Trave Acciaio 56a-57a	001	0	0	387	0	326	0	0	0	0	0	0	0
	002	0	0	282	0	238	0	0	0	0	0	0	0
	003	0	0	2 034	0	1 711	0	0	0	0	0	0	0
	004	0	0	0	-1 445	0	0	0	0	0	0	0	0
	005	0	0	0	0	0	0	0	0	0	0	0	0
	006	0	0	0	0	0	0	0	0	0	0	0	0
	007	0	0	0	0	0	0	0	0	0	0	0	0
Trave Acciaio 59a-60a	001	0	0	387	0	326	0	0	0	0	0	0	0
	002	0	0	282	0	238	0	0	0	0	0	0	0
	003	0	0	2 034	0	1 711	0	0	0	0	0	0	0
	004	0	0	0	-1 445	0	0	0	0	0	0	0	0
	005	0	0	0	0	0	0	0	0	0	0	0	0
	006	0	0	0	0	0	0	0	0	0	0	0	0
	007	0	0	0	0	0	0	0	0	0	0	0	0
Trave Acciaio 62a-63a	001	0	0	387	0	326	0	0	0	0	0	0	0
	002	0	0	282	0	238	0	0	0	0	0	0	0
	003	0	0	2 034	0	1 711	0	0	0	0	0	0	0
	004	0	0	0	-1 445	0	0	0	0	0	0	0	0
	005	0	0	0	0	0	0	0	0	0	0	0	0
	006	0	0	0	0	0	0	0	0	0	0	0	0
	007	0	0	0	0	0	0	0	0	0	0	0	0
Trave Acciaio 65a-66a	001	0	0	388	0	326	0	0	0	0	0	0	0
	002	0	0	283	0	238	0	0	0	0	0	0	0
	003	0	0	2 039	0	1 714	0	0	0	0	0	0	0
	004	0	0	0	-1 447	0	0	0	0	0	0	0	0
	005	0	0	0	0	0	0	0	0	0	0	0	0
	006	0	0	0	0	0	0	0	0	0	0	0	0
	007	0	0	0	0	0	0	0	0	0	0	0	0
Trave Acciaio 68a-69a	001	0	0	388	0	326	0	0	0	0	0	0	0
	002	0	0	283	0	238	0	0	0	0	0	0	0

Travi - Sollecitazioni per condizioni di carico non sismiche

Id _{Tr}	CC	Estr. Inz.						Estr. Fin.					
		M ₁ [N-m]	M ₂ [N-m]	M ₃ [N-m]	N [N]	T ₂ [N]	T ₃ [N]	M ₁ [N-m]	M ₂ [N-m]	M ₃ [N-m]	N [N]	T ₂ [N]	T ₃ [N]
	003	0	0	2 039	0	1 714	0	0	0	0	0	0	0
	004	0	0	0	-1 447	0	0	0	0	0	0	0	0
	005	0	0	0	0	0	0	0	0	0	0	0	0
	006	0	0	0	0	0	0	0	0	0	0	0	0
	007	0	0	0	0	0	0	0	0	0	0	0	0
Trave Acciaio 72a-73a	001	0	0	388	0	326	0	0	0	0	0	0	0
	002	0	0	283	0	238	0	0	0	0	0	0	0
	003	0	0	2 039	0	1 714	0	0	0	0	0	0	0
	004	0	0	0	-1 447	0	0	0	0	0	0	0	0
	005	0	0	0	0	0	0	0	0	0	0	0	0
	006	0	0	0	0	0	0	0	0	0	0	0	0
	007	0	0	0	0	0	0	0	0	0	0	0	0
Trave Acciaio 75a-76a	001	0	0	388	0	326	0	0	0	0	0	0	0
	002	0	0	283	0	238	0	0	0	0	0	0	0
	003	0	0	2 039	0	1 714	0	0	0	0	0	0	0
	004	0	0	0	-1 447	0	0	0	0	0	0	0	0
	005	0	0	0	0	0	0	0	0	0	0	0	0
	006	0	0	0	0	0	0	0	0	0	0	0	0
	007	0	0	0	0	0	0	0	0	0	0	0	0
Trave Acciaio 78a-79a	001	0	0	388	0	326	0	0	0	0	0	0	0
	002	0	0	283	0	238	0	0	0	0	0	0	0
	003	0	0	2 039	0	1 714	0	0	0	0	0	0	0
	004	0	0	0	-1 447	0	0	0	0	0	0	0	0
	005	0	0	0	0	0	0	0	0	0	0	0	0
	006	0	0	0	0	0	0	0	0	0	0	0	0
	007	0	0	0	0	0	0	0	0	0	0	0	0
Trave Acciaio 81a-82a	001	0	0	388	0	326	0	0	0	0	0	0	0
	002	0	0	283	0	238	0	0	0	0	0	0	0
	003	0	0	2 039	0	1 714	0	0	0	0	0	0	0
	004	0	0	0	-1 447	0	0	0	0	0	0	0	0
	005	0	0	0	0	0	0	0	0	0	0	0	0
	006	0	0	0	0	0	0	0	0	0	0	0	0
	007	0	0	0	0	0	0	0	0	0	0	0	0
Trave Acciaio 84a-85a	001	0	0	388	0	326	0	0	0	0	0	0	0
	002	0	0	283	0	238	0	0	0	0	0	0	0
	003	0	0	2 039	0	1 714	0	0	0	0	0	0	0
	004	0	0	0	-1 447	0	0	0	0	0	0	0	0
	005	0	0	0	0	0	0	0	0	0	0	0	0
	006	0	0	0	0	0	0	0	0	0	0	0	0
	007	0	0	0	0	0	0	0	0	0	0	0	0
Trave Acciaio 87a-88a	001	0	0	388	0	326	0	0	0	0	0	0	0
	002	0	0	283	0	238	0	0	0	0	0	0	0
	003	0	0	2 039	0	1 714	0	0	0	0	0	0	0
	004	0	0	0	-1 447	0	0	0	0	0	0	0	0
	005	0	0	0	0	0	0	0	0	0	0	0	0
	006	0	0	0	0	0	0	0	0	0	0	0	0
	007	0	0	0	0	0	0	0	0	0	0	0	0
Trave Acciaio 90a-91a	001	0	0	388	0	326	0	0	0	0	0	0	0
	002	0	0	283	0	238	0	0	0	0	0	0	0
	003	0	0	2 039	0	1 714	0	0	0	0	0	0	0
	004	0	0	0	-1 447	0	0	0	0	0	0	0	0
	005	0	0	0	0	0	0	0	0	0	0	0	0
	006	0	0	0	0	0	0	0	0	0	0	0	0
	007	0	0	0	0	0	0	0	0	0	0	0	0
Trave Acciaio 94a-95a	001	0	0	388	0	326	0	0	0	0	0	0	0
	002	0	0	283	0	238	0	0	0	0	0	0	0
	003	0	0	2 039	0	1 714	0	0	0	0	0	0	0
	004	0	0	0	-1 447	0	0	0	0	0	0	0	0
	005	0	0	0	0	0	0	0	0	0	0	0	0
	006	0	0	0	0	0	0	0	0	0	0	0	0
	007	0	0	0	0	0	0	0	0	0	0	0	0
Trave Acciaio 97a-98a	001	0	0	388	0	326	0	0	0	0	0	0	0
	002	0	0	283	0	238	0	0	0	0	0	0	0
	003	0	0	2 039	0	1 714	0	0	0	0	0	0	0
	004	0	0	0	-1 447	0	0	0	0	0	0	0	0
	005	0	0	0	0	0	0	0	0	0	0	0	0
	006	0	0	0	0	0	0	0	0	0	0	0	0
	007	0	0	0	0	0	0	0	0	0	0	0	0
Trave Acciaio 100a-101a	001	0	0	388	0	326	0	0	0	0	0	0	0
	002	0	0	283	0	238	0	0	0	0	0	0	0
	003	0	0	2 039	0	1 714	0	0	0	0	0	0	0
	004	0	0	0	-1 447	0	0	0	0	0	0	0	0
	005	0	0	0	0	0	0	0	0	0	0	0	0
	006	0	0	0	0	0	0	0	0	0	0	0	0
	007	0	0	0	0	0	0	0	0	0	0	0	0
Trave Acciaio 103a-104a	001	0	0	388	0	326	0	0	0	0	0	0	0
	002	0	0	283	0	238	0	0	0	0	0	0	0
	003	0	0	2 039	0	1 714	0	0	0	0	0	0	0
	004	0	0	0	-1 447	0	0	0	0	0	0	0	0
	005	0	0	0	0	0	0	0	0	0	0	0	0
	006	0	0	0	0	0	0	0	0	0	0	0	0
	007	0	0	0	0	0	0	0	0	0	0	0	0
Trave Acciaio 106a-107a	001	0	0	388	0	326	0	0	0	0	0	0	0
	002	0	0	283	0	238	0	0	0	0	0	0	0

Travi - Sollecitazioni per condizioni di carico non sismiche

Id _{Tr}	CC	Estr. Inz.						Estr. Fin.					
		M ₁ [N-m]	M ₂ [N-m]	M ₃ [N-m]	N [N]	T ₂ [N]	T ₃ [N]	M ₁ [N-m]	M ₂ [N-m]	M ₃ [N-m]	N [N]	T ₂ [N]	T ₃ [N]
	003	0	0	2 039	0	1 714	0	0	0	0	0	0	0
	004	0	0	0	-1 447	0	0	0	0	0	0	0	0
	005	0	0	0	0	0	0	0	0	0	0	0	0
	006	0	0	0	0	0	0	0	0	0	0	0	0
	007	0	0	0	0	0	0	0	0	0	0	0	0
Trave Acciaio 109a-110a	001	0	0	388	0	326	0	0	0	0	0	0	0
	002	0	0	283	0	238	0	0	0	0	0	0	0
	003	0	0	2 039	0	1 714	0	0	0	0	0	0	0
	004	0	0	0	-1 447	0	0	0	0	0	0	0	0
	005	0	0	0	0	0	0	0	0	0	0	0	0
	006	0	0	0	0	0	0	0	0	0	0	0	0
	007	0	0	0	0	0	0	0	0	0	0	0	0
Trave Acciaio 6-113a	001	0	0	388	0	326	0	0	0	0	0	0	0
	002	0	0	283	0	238	0	0	0	0	0	0	0
	003	0	0	2 039	0	1 714	0	0	0	0	0	0	0
	004	0	0	0	-1 447	0	0	0	0	0	0	0	0
	005	0	0	0	0	0	0	0	0	0	0	0	0
	006	0	0	0	0	0	0	0	0	0	0	0	0
	007	0	0	0	0	0	0	0	0	0	0	0	0
Trave Acciaio 115a-116a	001	0	0	388	0	326	0	0	0	0	0	0	0
	002	0	0	283	0	238	0	0	0	0	0	0	0
	003	0	0	2 039	0	1 714	0	0	0	0	0	0	0
	004	0	0	0	-1 447	0	0	0	0	0	0	0	0
	005	0	0	0	0	0	0	0	0	0	0	0	0
	006	0	0	0	0	0	0	0	0	0	0	0	0
	007	0	0	0	0	0	0	0	0	0	0	0	0
Trave Acciaio 118a-119a	001	0	0	388	0	326	0	0	0	0	0	0	0
	002	0	0	283	0	238	0	0	0	0	0	0	0
	003	0	0	2 039	0	1 714	0	0	0	0	0	0	0
	004	0	0	0	-1 447	0	0	0	0	0	0	0	0
	005	0	0	0	0	0	0	0	0	0	0	0	0
	006	0	0	0	0	0	0	0	0	0	0	0	0
	007	0	0	0	0	0	0	0	0	0	0	0	0
Trave Acciaio 121a-122a	001	0	0	388	0	326	0	0	0	0	0	0	0
	002	0	0	283	0	238	0	0	0	0	0	0	0
	003	0	0	2 039	0	1 714	0	0	0	0	0	0	0
	004	0	0	0	-1 447	0	0	0	0	0	0	0	0
	005	0	0	0	0	0	0	0	0	0	0	0	0
	006	0	0	0	0	0	0	0	0	0	0	0	0
	007	0	0	0	0	0	0	0	0	0	0	0	0
Trave Acciaio 124a-125a	001	0	0	388	0	326	0	0	0	0	0	0	0
	002	0	0	283	0	238	0	0	0	0	0	0	0
	003	0	0	2 039	0	1 714	0	0	0	0	0	0	0
	004	0	0	0	-1 447	0	0	0	0	0	0	0	0
	005	0	0	0	0	0	0	0	0	0	0	0	0
	006	0	0	0	0	0	0	0	0	0	0	0	0
	007	0	0	0	0	0	0	0	0	0	0	0	0
Trave Acciaio 127a-128a	001	0	0	388	0	326	0	0	0	0	0	0	0
	002	0	0	283	0	238	0	0	0	0	0	0	0
	003	0	0	2 039	0	1 714	0	0	0	0	0	0	0
	004	0	0	0	-1 447	0	0	0	0	0	0	0	0
	005	0	0	0	0	0	0	0	0	0	0	0	0
	006	0	0	0	0	0	0	0	0	0	0	0	0
	007	0	0	0	0	0	0	0	0	0	0	0	0
Trave Acciaio 130a-131a	001	0	0	388	0	326	0	0	0	0	0	0	0
	002	0	0	283	0	238	0	0	0	0	0	0	0
	003	0	0	2 039	0	1 714	0	0	0	0	0	0	0
	004	0	0	0	-1 447	0	0	0	0	0	0	0	0
	005	0	0	0	0	0	0	0	0	0	0	0	0
	006	0	0	0	0	0	0	0	0	0	0	0	0
	007	0	0	0	0	0	0	0	0	0	0	0	0
Trave Acciaio 134a-135a	001	0	0	388	0	326	0	0	0	0	0	0	0
	002	0	0	283	0	238	0	0	0	0	0	0	0
	003	0	0	2 039	0	1 714	0	0	0	0	0	0	0
	004	0	0	0	-1 447	0	0	0	0	0	0	0	0
	005	0	0	0	0	0	0	0	0	0	0	0	0
	006	0	0	0	0	0	0	0	0	0	0	0	0
	007	0	0	0	0	0	0	0	0	0	0	0	0
Trave Acciaio 137a-138a	001	0	0	388	0	326	0	0	0	0	0	0	0
	002	0	0	283	0	238	0	0	0	0	0	0	0
	003	0	0	2 039	0	1 714	0	0	0	0	0	0	0
	004	0	0	0	-1 447	0	0	0	0	0	0	0	0
	005	0	0	0	0	0	0	0	0	0	0	0	0
	006	0	0	0	0	0	0	0	0	0	0	0	0
	007	0	0	0	0	0	0	0	0	0	0	0	0
Trave Acciaio 27a-2	001	0	0	0	0	0	0	0	0	388	0	-326	0
	002	0	0	0	0	0	0	0	0	283	0	-238	0
	003	0	0	0	0	0	0	0	0	2 039	0	-1 714	0
	004	0	0	0	0	0	0	0	0	0	1 447	0	0
	005	0	0	0	0	0	0	0	0	0	0	0	0
	006	0	0	0	0	0	0	0	0	0	0	0	0
	007	0	0	0	0	0	0	0	0	0	0	0	0
Trave Acciaio 112a-6	001	0	0	0	0	0	0	0	0	388	0	-326	0
	002	0	0	0	0	0	0	0	0	283	0	-238	0

Travi - Sollecitazioni per condizioni di carico non sismiche

Id _{Tr}	CC	Estr. Inz.						Estr. Fin.					
		M ₁ [N-m]	M ₂ [N-m]	M ₃ [N-m]	N [N]	T ₂ [N]	T ₃ [N]	M ₁ [N-m]	M ₂ [N-m]	M ₃ [N-m]	N [N]	T ₂ [N]	T ₃ [N]
	003	0	0	0	0	0	0	0	0	2 039	0	-1 714	0
	004	0	0	0	0	0	0	0	0	0	1 447	0	0
	005	0	0	0	0	0	0	0	0	0	0	0	0
	006	0	0	0	0	0	0	0	0	0	0	0	0
	007	0	0	0	0	0	0	0	0	0	0	0	0
Trave Acciaio 133a-134a	001	0	0	0	0	0	0	0	0	388	0	-326	0
	002	0	0	0	0	0	0	0	0	283	0	-238	0
	003	0	0	0	0	0	0	0	0	2 039	0	-1 714	0
	004	0	0	0	0	0	0	0	0	0	1 447	0	0
	005	0	0	0	0	0	0	0	0	0	0	0	0
	006	0	0	0	0	0	0	0	0	0	0	0	0
	007	0	0	0	0	0	0	0	0	0	0	0	0
Trave Acciaio 136a-137a	001	0	0	0	0	0	0	0	0	388	0	-326	0
	002	0	0	0	0	0	0	0	0	283	0	-238	0
	003	0	0	0	0	0	0	0	0	2 039	0	-1 714	0
	004	0	0	0	0	0	0	0	0	0	1 447	0	0
	005	0	0	0	0	0	0	0	0	0	0	0	0
	006	0	0	0	0	0	0	0	0	0	0	0	0
	007	0	0	0	0	0	0	0	0	0	0	0	0
Trave Acciaio 24a-25a	001	0	0	0	0	0	0	0	0	388	0	-326	0
	002	0	0	0	0	0	0	0	0	283	0	-238	0
	003	0	0	0	0	0	0	0	0	2 039	0	-1 714	0
	004	0	0	0	0	0	0	0	0	0	1 447	0	0
	005	0	0	0	0	0	0	0	0	0	0	0	0
	006	0	0	0	0	0	0	0	0	0	0	0	0
	007	0	0	0	0	0	0	0	0	0	0	0	0
Trave Acciaio 108a-109a	001	0	0	0	0	0	0	0	0	388	0	-326	0
	002	0	0	0	0	0	0	0	0	283	0	-238	0
	003	0	0	0	0	0	0	0	0	2 039	0	-1 714	0
	004	0	0	0	0	0	0	0	0	0	1 447	0	0
	005	0	0	0	0	0	0	0	0	0	0	0	0
	006	0	0	0	0	0	0	0	0	0	0	0	0
	007	0	0	0	0	0	0	0	0	0	0	0	0
Trave Acciaio 5a-6a	001	0	0	0	0	0	0	0	0	388	0	-326	0
	002	0	0	0	0	0	0	0	0	283	0	-238	0
	003	0	0	0	0	0	0	0	0	2 039	0	-1 714	0
	004	0	0	0	0	0	0	0	0	0	1 447	0	0
	005	0	0	0	0	0	0	0	0	0	0	0	0
	006	0	0	0	0	0	0	0	0	0	0	0	0
	007	0	0	0	0	0	0	0	0	0	0	0	0
Trave Acciaio 2a-3a	001	0	0	0	0	0	0	0	0	388	0	-326	0
	002	0	0	0	0	0	0	0	0	283	0	-238	0
	003	0	0	0	0	0	0	0	0	2 039	0	-1 714	0
	004	0	0	0	0	0	0	0	0	0	1 447	0	0
	005	0	0	0	0	0	0	0	0	0	0	0	0
	006	0	0	0	0	0	0	0	0	0	0	0	0
	007	0	0	0	0	0	0	0	0	0	0	0	0
Trave Acciaio 9a-10a	001	0	0	0	0	0	0	0	0	388	0	-326	0
	002	0	0	0	0	0	0	0	0	283	0	-238	0
	003	0	0	0	0	0	0	0	0	2 039	0	-1 714	0
	004	0	0	0	0	0	0	0	0	0	1 447	0	0
	005	0	0	0	0	0	0	0	0	0	0	0	0
	006	0	0	0	0	0	0	0	0	0	0	0	0
	007	0	0	0	0	0	0	0	0	0	0	0	0
Trave Acciaio 12a-13a	001	0	0	0	0	0	0	0	0	388	0	-326	0
	002	0	0	0	0	0	0	0	0	283	0	-238	0
	003	0	0	0	0	0	0	0	0	2 039	0	-1 714	0
	004	0	0	0	0	0	0	0	0	0	1 447	0	0
	005	0	0	0	0	0	0	0	0	0	0	0	0
	006	0	0	0	0	0	0	0	0	0	0	0	0
	007	0	0	0	0	0	0	0	0	0	0	0	0
Trave Acciaio 15a-16a	001	0	0	0	0	0	0	0	0	388	0	-326	0
	002	0	0	0	0	0	0	0	0	283	0	-238	0
	003	0	0	0	0	0	0	0	0	2 039	0	-1 714	0
	004	0	0	0	0	0	0	0	0	0	1 447	0	0
	005	0	0	0	0	0	0	0	0	0	0	0	0
	006	0	0	0	0	0	0	0	0	0	0	0	0
	007	0	0	0	0	0	0	0	0	0	0	0	0
Trave Acciaio 18a-19a	001	0	0	0	0	0	0	0	0	388	0	-326	0
	002	0	0	0	0	0	0	0	0	283	0	-238	0
	003	0	0	0	0	0	0	0	0	2 039	0	-1 714	0
	004	0	0	0	0	0	0	0	0	0	1 447	0	0
	005	0	0	0	0	0	0	0	0	0	0	0	0
	006	0	0	0	0	0	0	0	0	0	0	0	0
	007	0	0	0	0	0	0	0	0	0	0	0	0
Trave Acciaio 21a-22a	001	0	0	0	0	0	0	0	0	388	0	-326	0
	002	0	0	0	0	0	0	0	0	283	0	-238	0
	003	0	0	0	0	0	0	0	0	2 039	0	-1 714	0
	004	0	0	0	0	0	0	0	0	0	1 447	0	0
	005	0	0	0	0	0	0	0	0	0	0	0	0
	006	0	0	0	0	0	0	0	0	0	0	0	0
	007	0	0	0	0	0	0	0	0	0	0	0	0
Trave Acciaio 30a-31a	001	0	0	0	0	0	0	0	0	388	0	-326	0
	002	0	0	0	0	0	0	0	0	283	0	-238	0

Travi - Sollecitazioni per condizioni di carico non sismiche

Id _{Tr}	CC	Estr. Inz.						Estr. Fin.					
		M ₁ [N-m]	M ₂ [N-m]	M ₃ [N-m]	N [N]	T ₂ [N]	T ₃ [N]	M ₁ [N-m]	M ₂ [N-m]	M ₃ [N-m]	N [N]	T ₂ [N]	T ₃ [N]
	003	0	0	0	0	0	0	0	0	2 039	0	-1 714	0
	004	0	0	0	0	0	0	0	0	0	1 447	0	0
	005	0	0	0	0	0	0	0	0	0	0	0	0
	006	0	0	0	0	0	0	0	0	0	0	0	0
	007	0	0	0	0	0	0	0	0	0	0	0	0
Trave Acciaio 33a-34a	001	0	0	0	0	0	0	0	0	388	0	-326	0
	002	0	0	0	0	0	0	0	0	283	0	-238	0
	003	0	0	0	0	0	0	0	0	2 039	0	-1 714	0
	004	0	0	0	0	0	0	0	0	0	1 447	0	0
	005	0	0	0	0	0	0	0	0	0	0	0	0
	006	0	0	0	0	0	0	0	0	0	0	0	0
	007	0	0	0	0	0	0	0	0	0	0	0	0
Trave Acciaio 36a-37a	001	0	0	0	0	0	0	0	0	388	0	-326	0
	002	0	0	0	0	0	0	0	0	283	0	-238	0
	003	0	0	0	0	0	0	0	0	2 039	0	-1 714	0
	004	0	0	0	0	0	0	0	0	0	1 447	0	0
	005	0	0	0	0	0	0	0	0	0	0	0	0
	006	0	0	0	0	0	0	0	0	0	0	0	0
	007	0	0	0	0	0	0	0	0	0	0	0	0
Trave Acciaio 39a-40a	001	0	0	0	0	0	0	0	0	388	0	-326	0
	002	0	0	0	0	0	0	0	0	283	0	-238	0
	003	0	0	0	0	0	0	0	0	2 039	0	-1 714	0
	004	0	0	0	0	0	0	0	0	0	1 447	0	0
	005	0	0	0	0	0	0	0	0	0	0	0	0
	006	0	0	0	0	0	0	0	0	0	0	0	0
	007	0	0	0	0	0	0	0	0	0	0	0	0
Trave Acciaio 42a-43a	001	0	0	0	0	0	0	0	0	388	0	-326	0
	002	0	0	0	0	0	0	0	0	283	0	-238	0
	003	0	0	0	0	0	0	0	0	2 039	0	-1 714	0
	004	0	0	0	0	0	0	0	0	0	1 447	0	0
	005	0	0	0	0	0	0	0	0	0	0	0	0
	006	0	0	0	0	0	0	0	0	0	0	0	0
	007	0	0	0	0	0	0	0	0	0	0	0	0
Trave Acciaio 45a-46a	001	0	0	0	0	0	0	0	0	388	0	-326	0
	002	0	0	0	0	0	0	0	0	283	0	-238	0
	003	0	0	0	0	0	0	0	0	2 039	0	-1 714	0
	004	0	0	0	0	0	0	0	0	0	1 447	0	0
	005	0	0	0	0	0	0	0	0	0	0	0	0
	006	0	0	0	0	0	0	0	0	0	0	0	0
	007	0	0	0	0	0	0	0	0	0	0	0	0
Trave Acciaio 49a-50a	001	0	0	0	0	0	0	0	0	388	0	-326	0
	002	0	0	0	0	0	0	0	0	283	0	-238	0
	003	0	0	0	0	0	0	0	0	2 039	0	-1 714	0
	004	0	0	0	0	0	0	0	0	0	1 447	0	0
	005	0	0	0	0	0	0	0	0	0	0	0	0
	006	0	0	0	0	0	0	0	0	0	0	0	0
	007	0	0	0	0	0	0	0	0	0	0	0	0
Trave Acciaio 52a-53a	001	0	0	0	0	0	0	0	0	388	0	-326	0
	002	0	0	0	0	0	0	0	0	283	0	-238	0
	003	0	0	0	0	0	0	0	0	2 039	0	-1 714	0
	004	0	0	0	0	0	0	0	0	0	1 447	0	0
	005	0	0	0	0	0	0	0	0	0	0	0	0
	006	0	0	0	0	0	0	0	0	0	0	0	0
	007	0	0	0	0	0	0	0	0	0	0	0	0
Trave Acciaio 55a-56a	001	0	0	0	0	0	0	0	0	388	0	-326	0
	002	0	0	0	0	0	0	0	0	283	0	-238	0
	003	0	0	0	0	0	0	0	0	2 039	0	-1 714	0
	004	0	0	0	0	0	0	0	0	0	1 447	0	0
	005	0	0	0	0	0	0	0	0	0	0	0	0
	006	0	0	0	0	0	0	0	0	0	0	0	0
	007	0	0	0	0	0	0	0	0	0	0	0	0
Trave Acciaio 58a-59a	001	0	0	0	0	0	0	0	0	388	0	-326	0
	002	0	0	0	0	0	0	0	0	283	0	-238	0
	003	0	0	0	0	0	0	0	0	2 039	0	-1 714	0
	004	0	0	0	0	0	0	0	0	0	1 447	0	0
	005	0	0	0	0	0	0	0	0	0	0	0	0
	006	0	0	0	0	0	0	0	0	0	0	0	0
	007	0	0	0	0	0	0	0	0	0	0	0	0
Trave Acciaio 61a-62a	001	0	0	0	0	0	0	0	0	388	0	-326	0
	002	0	0	0	0	0	0	0	0	283	0	-238	0
	003	0	0	0	0	0	0	0	0	2 039	0	-1 714	0
	004	0	0	0	0	0	0	0	0	0	1 447	0	0
	005	0	0	0	0	0	0	0	0	0	0	0	0
	006	0	0	0	0	0	0	0	0	0	0	0	0
	007	0	0	0	0	0	0	0	0	0	0	0	0
Trave Acciaio 64a-65a	001	0	0	0	0	0	0	0	0	388	0	-326	0
	002	0	0	0	0	0	0	0	0	283	0	-238	0
	003	0	0	0	0	0	0	0	0	2 039	0	-1 714	0
	004	0	0	0	0	0	0	0	0	0	1 447	0	0
	005	0	0	0	0	0	0	0	0	0	0	0	0
	006	0	0	0	0	0	0	0	0	0	0	0	0
	007	0	0	0	0	0	0	0	0	0	0	0	0
Trave Acciaio 67a-68a	001	0	0	0	0	0	0	0	0	388	0	-326	0
	002	0	0	0	0	0	0	0	0	283	0	-238	0

Travi - Sollecitazioni per condizioni di carico non sismiche

Id _{Tr}	CC	Estr. Inz.						Estr. Fin.					
		M ₁ [N-m]	M ₂ [N-m]	M ₃ [N-m]	N [N]	T ₂ [N]	T ₃ [N]	M ₁ [N-m]	M ₂ [N-m]	M ₃ [N-m]	N [N]	T ₂ [N]	T ₃ [N]
	003	0	0	0	0	0	0	0	0	2 039	0	-1 714	0
	004	0	0	0	0	0	0	0	0	0	1 447	0	0
	005	0	0	0	0	0	0	0	0	0	0	0	0
	006	0	0	0	0	0	0	0	0	0	0	0	0
	007	0	0	0	0	0	0	0	0	0	0	0	0
Trave Acciaio 71a-72a	001	0	0	0	0	0	0	0	0	388	0	-326	0
	002	0	0	0	0	0	0	0	0	283	0	-238	0
	003	0	0	0	0	0	0	0	0	2 039	0	-1 714	0
	004	0	0	0	0	0	0	0	0	0	1 447	0	0
	005	0	0	0	0	0	0	0	0	0	0	0	0
	006	0	0	0	0	0	0	0	0	0	0	0	0
	007	0	0	0	0	0	0	0	0	0	0	0	0
Trave Acciaio 74a-75a	001	0	0	0	0	0	0	0	0	388	0	-326	0
	002	0	0	0	0	0	0	0	0	283	0	-238	0
	003	0	0	0	0	0	0	0	0	2 039	0	-1 714	0
	004	0	0	0	0	0	0	0	0	0	1 447	0	0
	005	0	0	0	0	0	0	0	0	0	0	0	0
	006	0	0	0	0	0	0	0	0	0	0	0	0
	007	0	0	0	0	0	0	0	0	0	0	0	0
Trave Acciaio 77a-78a	001	0	0	0	0	0	0	0	0	388	0	-326	0
	002	0	0	0	0	0	0	0	0	283	0	-238	0
	003	0	0	0	0	0	0	0	0	2 039	0	-1 714	0
	004	0	0	0	0	0	0	0	0	0	1 447	0	0
	005	0	0	0	0	0	0	0	0	0	0	0	0
	006	0	0	0	0	0	0	0	0	0	0	0	0
	007	0	0	0	0	0	0	0	0	0	0	0	0
Trave Acciaio 80a-81a	001	0	0	0	0	0	0	0	0	388	0	-326	0
	002	0	0	0	0	0	0	0	0	283	0	-238	0
	003	0	0	0	0	0	0	0	0	2 039	0	-1 714	0
	004	0	0	0	0	0	0	0	0	0	1 447	0	0
	005	0	0	0	0	0	0	0	0	0	0	0	0
	006	0	0	0	0	0	0	0	0	0	0	0	0
	007	0	0	0	0	0	0	0	0	0	0	0	0
Trave Acciaio 83a-84a	001	0	0	0	0	0	0	0	0	387	0	-326	0
	002	0	0	0	0	0	0	0	0	282	0	-238	0
	003	0	0	0	0	0	0	0	0	2 034	0	-1 711	0
	004	0	0	0	0	0	0	0	0	0	1 445	0	0
	005	0	0	0	0	0	0	0	0	0	0	0	0
	006	0	0	0	0	0	0	0	0	0	0	0	0
	007	0	0	0	0	0	0	0	0	0	0	0	0
Trave Acciaio 86a-87a	001	0	0	0	0	0	0	0	0	388	0	-326	0
	002	0	0	0	0	0	0	0	0	283	0	-238	0
	003	0	0	0	0	0	0	0	0	2 039	0	-1 714	0
	004	0	0	0	0	0	0	0	0	0	1 447	0	0
	005	0	0	0	0	0	0	0	0	0	0	0	0
	006	0	0	0	0	0	0	0	0	0	0	0	0
	007	0	0	0	0	0	0	0	0	0	0	0	0
Trave Acciaio 89a-90a	001	0	0	0	0	0	0	0	0	388	0	-326	0
	002	0	0	0	0	0	0	0	0	283	0	-238	0
	003	0	0	0	0	0	0	0	0	2 039	0	-1 714	0
	004	0	0	0	0	0	0	0	0	0	1 447	0	0
	005	0	0	0	0	0	0	0	0	0	0	0	0
	006	0	0	0	0	0	0	0	0	0	0	0	0
	007	0	0	0	0	0	0	0	0	0	0	0	0
Trave Acciaio 93a-94a	001	0	0	0	0	0	0	0	0	388	0	-326	0
	002	0	0	0	0	0	0	0	0	283	0	-238	0
	003	0	0	0	0	0	0	0	0	2 039	0	-1 714	0
	004	0	0	0	0	0	0	0	0	0	1 447	0	0
	005	0	0	0	0	0	0	0	0	0	0	0	0
	006	0	0	0	0	0	0	0	0	0	0	0	0
	007	0	0	0	0	0	0	0	0	0	0	0	0
Trave Acciaio 96a-97a	001	0	0	0	0	0	0	0	0	388	0	-326	0
	002	0	0	0	0	0	0	0	0	283	0	-238	0
	003	0	0	0	0	0	0	0	0	2 039	0	-1 714	0
	004	0	0	0	0	0	0	0	0	0	1 447	0	0
	005	0	0	0	0	0	0	0	0	0	0	0	0
	006	0	0	0	0	0	0	0	0	0	0	0	0
	007	0	0	0	0	0	0	0	0	0	0	0	0
Trave Acciaio 99a-100a	001	0	0	0	0	0	0	0	0	388	0	-326	0
	002	0	0	0	0	0	0	0	0	283	0	-238	0
	003	0	0	0	0	0	0	0	0	2 039	0	-1 714	0
	004	0	0	0	0	0	0	0	0	0	1 447	0	0
	005	0	0	0	0	0	0	0	0	0	0	0	0
	006	0	0	0	0	0	0	0	0	0	0	0	0
	007	0	0	0	0	0	0	0	0	0	0	0	0
Trave Acciaio 102a-103a	001	0	0	0	0	0	0	0	0	388	0	-326	0
	002	0	0	0	0	0	0	0	0	283	0	-238	0
	003	0	0	0	0	0	0	0	0	2 039	0	-1 714	0
	004	0	0	0	0	0	0	0	0	0	1 447	0	0
	005	0	0	0	0	0	0	0	0	0	0	0	0
	006	0	0	0	0	0	0	0	0	0	0	0	0
	007	0	0	0	0	0	0	0	0	0	0	0	0
Trave Acciaio 105a-106a	001	0	0	0	0	0	0	0	0	388	0	-326	0
	002	0	0	0	0	0	0	0	0	283	0	-238	0

Travi - Sollecitazioni per condizioni di carico non sismiche

Id _{Tr}	CC	Estr. Inz.						Estr. Fin.					
		M ₁ [N-m]	M ₂ [N-m]	M ₃ [N-m]	N [N]	T ₂ [N]	T ₃ [N]	M ₁ [N-m]	M ₂ [N-m]	M ₃ [N-m]	N [N]	T ₂ [N]	T ₃ [N]
	003	0	0	0	0	0	0	0	0	2 039	0	-1 714	0
	004	0	0	0	0	0	0	0	0	0	1 447	0	0
	005	0	0	0	0	0	0	0	0	0	0	0	0
	006	0	0	0	0	0	0	0	0	0	0	0	0
	007	0	0	0	0	0	0	0	0	0	0	0	0
Trave Acciaio 114a-115a	001	0	0	0	0	0	0	0	0	388	0	-326	0
	002	0	0	0	0	0	0	0	0	283	0	-238	0
	003	0	0	0	0	0	0	0	0	2 039	0	-1 714	0
	004	0	0	0	0	0	0	0	0	0	1 447	0	0
	005	0	0	0	0	0	0	0	0	0	0	0	0
	006	0	0	0	0	0	0	0	0	0	0	0	0
	007	0	0	0	0	0	0	0	0	0	0	0	0
Trave Acciaio 117a-118a	001	0	0	0	0	0	0	0	0	388	0	-326	0
	002	0	0	0	0	0	0	0	0	283	0	-238	0
	003	0	0	0	0	0	0	0	0	2 039	0	-1 714	0
	004	0	0	0	0	0	0	0	0	0	1 447	0	0
	005	0	0	0	0	0	0	0	0	0	0	0	0
	006	0	0	0	0	0	0	0	0	0	0	0	0
	007	0	0	0	0	0	0	0	0	0	0	0	0
Trave Acciaio 120a-121a	001	0	0	0	0	0	0	0	0	388	0	-326	0
	002	0	0	0	0	0	0	0	0	283	0	-238	0
	003	0	0	0	0	0	0	0	0	2 039	0	-1 714	0
	004	0	0	0	0	0	0	0	0	0	1 447	0	0
	005	0	0	0	0	0	0	0	0	0	0	0	0
	006	0	0	0	0	0	0	0	0	0	0	0	0
	007	0	0	0	0	0	0	0	0	0	0	0	0
Trave Acciaio 123a-124a	001	0	0	0	0	0	0	0	0	388	0	-326	0
	002	0	0	0	0	0	0	0	0	283	0	-238	0
	003	0	0	0	0	0	0	0	0	2 039	0	-1 714	0
	004	0	0	0	0	0	0	0	0	0	1 447	0	0
	005	0	0	0	0	0	0	0	0	0	0	0	0
	006	0	0	0	0	0	0	0	0	0	0	0	0
	007	0	0	0	0	0	0	0	0	0	0	0	0
Trave Acciaio 126a-127a	001	0	0	0	0	0	0	0	0	388	0	-326	0
	002	0	0	0	0	0	0	0	0	283	0	-238	0
	003	0	0	0	0	0	0	0	0	2 039	0	-1 714	0
	004	0	0	0	0	0	0	0	0	0	1 447	0	0
	005	0	0	0	0	0	0	0	0	0	0	0	0
	006	0	0	0	0	0	0	0	0	0	0	0	0
	007	0	0	0	0	0	0	0	0	0	0	0	0
Trave Acciaio 129a-130a	001	0	0	0	0	0	0	0	0	388	0	-326	0
	002	0	0	0	0	0	0	0	0	283	0	-238	0
	003	0	0	0	0	0	0	0	0	2 039	0	-1 714	0
	004	0	0	0	0	0	0	0	0	0	1 447	0	0
	005	0	0	0	0	0	0	0	0	0	0	0	0
	006	0	0	0	0	0	0	0	0	0	0	0	0
	007	0	0	0	0	0	0	0	0	0	0	0	0
Trave Acciaio 7-134a	001	0	0	1 646	0	1 760	0	0	0	804	0	1 608	0
	002	0	0	952	0	952	0	0	0	476	0	952	0
	003	0	0	6 854	0	6 854	0	0	0	3 427	0	6 854	0
	004	-1 015	5 931	0	0	0	-5 921	-1 015	2 971	0	0	0	-5 921
	005	1	-71	0	0	0	66	1	-38	0	0	0	66
	006	1	-71	0	-1	0	66	1	-38	0	-1	0	66
	007	1	-71	0	1	0	66	1	-38	0	1	0	66
Trave Acciaio 1-10a	001	0	0	3 206	533	3 093	0	0	0	1 697	533	2 941	0
	002	0	0	1 622	229	1 544	0	0	0	850	229	1 544	0
	003	0	0	11 677	1 647	11 115	0	0	0	6 120	1 647	11 115	0
	004	-1 815	5 788	28	1	8	-8 761	-1 815	1 408	24	1	8	-8 761
	005	1	0	0	0	0	5	1	2	0	0	0	5
	006	1	0	-3	0	-1	5	1	2	-2	0	-1	5
	007	1	0	2	0	1	5	1	2	2	0	1	5
Trave Acciaio 10a-13a	001	0	0	1 697	533	2 289	0	0	0	-439	533	1 985	0
	002	0	0	850	229	1 068	0	0	0	-218	229	1 068	0
	003	0	0	6 120	1 647	7 688	0	0	0	-1 568	1 647	7 688	0
	004	-1 308	1 408	24	1	8	-5 867	-1 308	-4 459	16	1	8	-5 867
	005	1	2	0	0	0	5	1	7	0	0	0	5
	006	1	2	-2	0	-1	5	1	7	-2	0	-1	5
	007	1	2	2	0	1	5	1	7	1	0	1	5
Trave Acciaio 13a-16a	001	0	0	-439	533	1 332	0	0	0	-1 620	533	1 028	0
	002	0	0	-218	229	592	0	0	0	-810	229	592	0
	003	0	0	-1 568	1 647	4 261	0	0	0	-5 829	1 647	4 261	0
	004	-802	-4 459	16	1	8	-2 973	-802	-7 431	8	1	8	-2 973
	005	1	7	0	0	0	5	1	12	0	0	0	5
	006	1	7	-2	0	-1	5	1	12	-1	0	-1	5
	007	1	7	1	0	1	5	1	12	1	0	1	5
Trave Acciaio 16a-19a	001	0	0	-1 620	533	376	0	0	0	-1 844	533	72	0
	002	0	0	-810	229	116	0	0	0	-925	229	116	0
	003	0	0	-5 829	1 647	833	0	0	0	-6 662	1 647	833	0
	004	-295	-7 431	8	1	8	-78	-295	-7 510	-1	1	8	-78
	005	1	12	0	0	0	5	1	17	0	0	0	5
	006	1	12	-1	0	-1	5	1	17	0	0	-1	5
	007	1	12	1	0	1	5	1	17	0	0	1	5
Trave Acciaio 19a-22a	001	0	0	-1 844	533	-580	0	0	0	-1 112	533	-884	0
	002	0	0	-925	229	-360	0	0	0	-565	229	-360	0

Travi - Sollecitazioni per condizioni di carico non sismiche

Id _{Tr}	CC	Estr. Inz.						Estr. Fin.					
		M ₁	M ₂	M ₃	N	T ₂	T ₃	M ₁	M ₂	M ₃	N	T ₂	T ₃
		[N-m]	[N-m]	[N-m]	[N]	[N]	[N]	[N-m]	[N-m]	[N-m]	[N]	[N]	[N]
	003	0	0	-6 662	1 647	-2 594	0	0	0	-4 068	1 647	-2 594	0
	004	211	-7 510	-1	1	8	2 816	211	-4 694	-9	1	8	2 816
	005	1	17	0	0	0	5	1	22	0	0	0	5
	006	1	17	0	0	-1	5	1	22	1	0	-1	5
	007	1	17	0	0	1	5	1	22	-1	0	1	5
Trave Acciaio 22a-25a	001	0	0	-1 112	533	-1 536	0	0	0	576	533	-1 840	0
	002	0	0	-565	229	-836	0	0	0	271	229	-836	0
	003	0	0	-4 068	1 647	-6 021	0	0	0	1 953	1 647	-6 021	0
	004	718	-4 694	-9	1	8	5 710	718	1 016	-17	1	8	5 710
	005	1	22	0	0	0	5	1	27	0	0	0	5
	006	1	22	1	0	-1	5	1	27	2	0	-1	5
	007	1	22	-1	0	1	5	1	27	-1	0	1	5
Trave Acciaio 5-94a	001	0	0	3 483	488	3 023	0	0	0	1 441	488	2 810	0
	002	0	0	1 737	209	1 475	0	0	0	705	209	1 475	0
	003	0	0	12 506	1 505	10 619	0	0	0	5 073	1 505	10 619	0
	004	-1 587	10 757	24	0	7	-8 943	-1 587	4 497	19	0	7	-8 943
	005	1	-10	0	0	0	6	1	-5	0	0	0	6
	006	1	-10	-2	-1	-1	6	1	-5	-2	-1	-1	6
	007	1	-10	2	1	1	6	1	-5	2	1	1	6
Trave Acciaio 94a-97a	001	0	0	1 441	488	2 158	0	0	0	-565	488	1 854	0
	002	0	0	705	209	999	0	0	0	-294	209	999	0
	003	0	0	5 073	1 505	7 191	0	0	0	-2 119	1 505	7 191	0
	004	-1 081	4 497	19	0	7	-6 049	-1 081	-1 551	12	0	7	-6 049
	005	1	-5	0	0	0	6	1	1	0	0	0	6
	006	1	-5	-2	-1	-1	6	1	1	-1	-1	-1	6
	007	1	-5	2	1	1	6	1	1	1	1	1	6
Trave Acciaio 97a-100a	001	0	0	-565	488	1 202	0	0	0	-1 615	488	898	0
	002	0	0	-294	209	523	0	0	0	-817	209	523	0
	003	0	0	-2 119	1 505	3 764	0	0	0	-5 883	1 505	3 764	0
	004	-574	-1 551	12	0	7	-3 155	-574	-4 706	4	0	7	-3 155
	005	1	1	0	0	0	6	1	7	0	0	0	6
	006	1	1	-1	-1	-1	6	1	7	0	-1	-1	6
	007	1	1	1	1	1	6	1	7	0	1	1	6
Trave Acciaio 100a-103a	001	0	0	-1 615	488	246	0	0	0	-1 709	488	-58	0
	002	0	0	-817	209	47	0	0	0	-864	209	47	0
	003	0	0	-5 883	1 505	337	0	0	0	-6 220	1 505	337	0
	004	-68	-4 706	4	0	7	-261	-68	-4 967	-3	0	7	-261
	005	1	7	0	0	0	6	1	13	0	0	0	6
	006	1	7	0	-1	-1	6	1	13	0	-1	-1	6
	007	1	7	0	1	1	6	1	13	0	1	1	6
Trave Acciaio 103a-106a	001	0	0	-1 709	488	-710	0	0	0	-847	488	-1 014	0
	002	0	0	-864	209	-429	0	0	0	-435	209	-429	0
	003	0	0	-6 220	1 505	-3 090	0	0	0	-3 130	1 505	-3 090	0
	004	439	-4 967	-3	0	7	2 634	439	-2 333	-10	0	7	2 634
	005	1	13	0	0	0	6	1	19	0	0	0	6
	006	1	13	0	-1	-1	6	1	19	1	-1	-1	6
	007	1	13	0	1	1	6	1	19	-1	1	1	6
Trave Acciaio 106a-109a	001	0	0	-847	488	-1 666	0	0	0	972	488	-1 970	0
	002	0	0	-435	209	-905	0	0	0	470	209	-905	0
	003	0	0	-3 130	1 505	-6 517	0	0	0	3 387	1 505	-6 517	0
	004	945	-2 333	-10	0	7	5 528	945	3 195	-18	0	7	5 528
	005	1	19	0	0	0	6	1	25	0	0	0	6
	006	1	19	1	-1	-1	6	1	25	2	-1	-1	6
	007	1	19	-1	1	1	6	1	25	-2	1	1	6
Trave Acciaio 3a-6a	001	0	0	0	0	-652	0	0	0	804	0	-956	0
	002	0	0	0	0	-476	0	0	0	476	0	-476	0
	003	0	0	0	0	-3 427	0	0	0	3 427	0	-3 427	0
	004	506	0	0	0	0	2 894	506	2 894	0	0	0	2 894
	005	0	0	0	0	0	0	0	0	0	0	0	0
	006	0	0	0	0	0	0	0	0	0	0	0	0
	007	0	0	0	0	0	0	0	0	0	0	0	0
Trave Acciaio 2-31a	001	0	0	3 455	488	2 896	0	0	0	972	488	2 623	0
	002	0	0	1 714	209	1 381	0	0	0	470	209	1 381	0
	003	0	0	12 337	1 505	9 945	0	0	0	3 387	1 505	9 945	0
	004	-1 450	10 838	24	1	7	-8 433	-1 450	3 248	18	1	7	-8 433
	005	-1	-1	0	0	0	-1	-1	-2	0	0	0	-1
	006	-1	-1	-2	1	-1	-1	-1	-2	-2	1	-1	-1
	007	-1	-1	2	-1	1	-1	-1	-2	2	-1	1	-1
Trave Acciaio 31a-34a	001	0	0	972	488	1 970	0	0	0	-847	488	1 666	0
	002	0	0	470	209	905	0	0	0	-435	209	905	0
	003	0	0	3 387	1 505	6 517	0	0	0	-3 130	1 505	6 517	0
	004	-944	3 248	18	1	7	-5 539	-944	-2 291	10	1	7	-5 539
	005	-1	-2	0	0	0	-1	-1	-2	0	0	0	-1
	006	-1	-2	-2	1	-1	-1	-1	-2	-1	1	-1	-1
	007	-1	-2	2	-1	1	-1	-1	-2	1	-1	1	-1
Trave Acciaio 34a-37a	001	0	0	-847	488	1 014	0	0	0	-1 709	488	710	0
	002	0	0	-435	209	429	0	0	0	-864	209	429	0
	003	0	0	-3 130	1 505	3 090	0	0	0	-6 220	1 505	3 090	0
	004	-437	-2 291	10	1	7	-2 645	-437	-4 935	3	1	7	-2 645
	005	-1	-2	0	0	0	-1	-1	-3	0	0	0	-1
	006	-1	-2	-1	1	-1	-1	-1	-3	0	1	-1	-1
	007	-1	-2	1	-1	1	-1	-1	-3	0	-1	1	-1
Trave Acciaio 37a-40a	001	0	0	-1 709	488	58	0	0	0	-1 615	488	-246	0
	002	0	0	-864	209	-47	0	0	0	-817	209	-47	0

Travi - Sollecitazioni per condizioni di carico non sismiche

Id _{Tr}	CC	Estr. Inz.						Estr. Fin.					
		M ₁ [N-m]	M ₂ [N-m]	M ₃ [N-m]	N [N]	T ₂ [N]	T ₃ [N]	M ₁ [N-m]	M ₂ [N-m]	M ₃ [N-m]	N [N]	T ₂ [N]	T ₃ [N]
	003	0	0	-6 220	1 505	-337	0	0	0	-5 883	1 505	-337	0
	004	69	-4 935	3	1	7	249	69	-4 686	-4	1	7	249
	005	-1	-3	0	0	0	-1	-1	-4	0	0	0	-1
	006	-1	-3	0	1	-1	-1	-1	-4	0	1	-1	-1
	007	-1	-3	0	-1	1	-1	-1	-4	0	-1	1	-1
Trave Acciaio 40a-43a	001	0	0	-1 615	488	-898	0	0	0	-565	488	-1 202	0
	002	0	0	-817	209	-523	0	0	0	-294	209	-523	0
	003	0	0	-5 883	1 505	-3 764	0	0	0	-2 119	1 505	-3 764	0
	004	576	-4 686	-4	1	7	3 144	576	-1 542	-12	1	7	3 144
	005	-1	-4	0	0	0	-1	-1	-5	0	0	0	-1
	006	-1	-4	0	1	-1	-1	-1	-5	1	1	-1	-1
	007	-1	-4	0	-1	1	-1	-1	-5	-1	-1	1	-1
Trave Acciaio 43a-46a	001	0	0	-565	488	-1 854	0	0	0	1 441	488	-2 158	0
	002	0	0	-294	209	-999	0	0	0	704	209	-999	0
	003	0	0	-2 119	1 505	-7 191	0	0	0	5 072	1 505	-7 191	0
	004	1 082	-1 542	-12	1	7	6 038	1 082	4 495	-19	1	7	6 038
	005	-1	-5	0	0	0	-1	-1	-5	0	0	0	-1
	006	-1	-5	1	1	-1	-1	-1	-5	2	1	-1	-1
	007	-1	-5	-1	-1	1	-1	-1	-5	-2	-1	1	-1
Trave Acciaio 3-50a	001	2	0	3 486	486	3 286	0	2	0	2 514	486	3 194	0
	002	1	0	1 740	209	1 666	0	1	0	1 240	209	1 666	0
	003	8	0	12 530	1 504	11 997	0	8	0	8 930	1 504	11 997	0
	004	-1 800	10 748	24	1	7	-10 201	-1 800	7 687	22	1	7	-10 201
	005	0	-6	0	0	0	0	0	-5	0	0	0	1
	006	0	-6	-2	0	-1	1	0	-5	-2	0	-1	1
	007	0	-6	2	0	1	1	0	-5	2	0	1	1
Trave Acciaio 50a-53a	001	2	0	2 514	486	2 542	0	2	0	124	486	2 238	0
	002	1	0	1 240	209	1 190	0	1	0	50	209	1 190	0
	003	8	0	8 930	1 504	8 570	0	8	0	361	1 504	8 570	0
	004	-1 294	7 687	22	1	7	-7 307	-1 294	380	15	1	7	-7 307
	005	0	-5	0	0	0	0	0	-4	0	0	0	1
	006	0	-5	-2	0	-1	1	0	-4	-2	0	-1	1
	007	0	-5	2	0	1	1	0	-4	1	0	1	1
Trave Acciaio 53a-56a	001	2	0	124	486	1 586	0	2	0	-1 310	486	1 282	0
	002	1	0	50	209	714	0	1	0	-664	209	714	0
	003	8	0	361	1 504	5 142	0	8	0	-4 782	1 504	5 142	0
	004	-787	380	15	1	7	-4 413	-787	-4 033	7	1	7	-4 413
	005	0	-4	0	0	0	0	0	-3	0	0	0	1
	006	0	-4	-2	0	-1	1	0	-3	-1	0	-1	1
	007	0	-4	1	0	1	1	0	-3	1	0	1	1
Trave Acciaio 56a-59a	001	1	0	-1 310	486	630	0	1	0	-1 789	486	326	0
	002	0	0	-664	209	239	0	0	0	-903	209	239	0
	003	3	0	-4 782	1 504	1 718	0	3	0	-6 499	1 504	1 718	0
	004	-281	-4 033	7	1	7	-1 521	-281	-5 554	0	1	7	-1 521
	005	0	-3	0	0	0	0	0	-2	0	0	0	1
	006	0	-3	-1	0	-1	1	0	-2	0	0	-1	1
	007	0	-3	1	0	1	1	0	-2	0	0	1	1
Trave Acciaio 59a-62a	001	-1	0	-1 789	486	-325	0	-1	0	-1 312	486	-629	0
	002	0	0	-903	209	-237	0	0	0	-666	209	-237	0
	003	-3	0	-6 499	1 504	-1 707	0	-3	0	-4 792	1 504	-1 707	0
	004	225	-5 554	0	1	7	1 371	225	-4 183	-7	1	7	1 371
	005	0	-2	0	0	0	0	0	-1	0	0	0	1
	006	0	-2	0	0	-1	1	0	-1	1	0	-1	1
	007	0	-2	0	0	1	1	0	-1	0	0	1	1
Trave Acciaio 62a-65a	001	-2	0	-1 312	486	-1 281	0	-2	0	121	486	-1 585	0
	002	-1	0	-666	209	-713	0	-1	0	47	209	-713	0
	003	-9	0	-4 792	1 504	-5 132	0	-9	0	340	1 504	-5 132	0
	004	731	-4 183	-7	1	7	4 263	731	80	-15	1	7	4 263
	005	0	-1	0	0	0	0	0	0	0	0	0	1
	006	0	-1	1	0	-1	1	0	0	2	0	-1	1
	007	0	-1	-1	0	1	1	0	0	-1	0	1	1
Trave Acciaio 65a-68a	001	-2	0	121	486	-2 237	0	-2	0	2 510	486	-2 541	0
	002	-1	0	47	209	-1 189	0	-1	0	1 236	209	-1 189	0
	003	-9	0	340	1 504	-8 559	0	-9	0	8 899	1 504	-8 559	0
	004	1 238	80	-15	1	7	7 157	1 238	7 237	-22	1	7	7 157
	005	0	0	0	0	0	0	0	2	0	0	0	1
	006	0	0	2	0	-1	1	0	2	2	0	-1	1
	007	0	0	-1	0	1	1	0	2	-2	0	1	1
Trave Acciaio 4-72a	001	0	0	3 482	486	3 285	0	0	0	2 511	486	3 194	0
	002	0	0	1 736	209	1 665	0	0	0	1 236	209	1 665	0
	003	-2	0	12 498	1 505	11 989	0	-2	0	8 902	1 505	11 989	0
	004	-1 745	10 252	24	-1	7	-10 052	-1 745	7 237	22	-1	7	-10 052
	005	0	2	0	0	0	-2	0	1	0	0	0	-2
	006	0	2	-2	0	-1	-2	0	1	-2	0	-1	-2
	007	0	2	2	0	1	-2	0	1	2	0	1	-2
Trave Acciaio 72a-75a	001	0	0	2 511	486	2 541	0	0	0	121	486	2 237	0
	002	0	0	1 236	209	1 189	0	0	0	47	209	1 189	0
	003	-2	0	8 902	1 505	8 562	0	-2	0	340	1 505	8 562	0
	004	-1 238	7 237	22	-1	7	-7 158	-1 238	79	15	-1	7	-7 158
	005	0	1	0	0	0	-2	0	0	0	0	0	-2
	006	0	1	-2	0	-1	-2	0	0	-2	0	-1	-2
	007	0	1	2	0	1	-2	0	0	1	0	1	-2
Trave Acciaio 75a-78a	001	0	0	121	486	1 585	0	0	0	-1 312	486	1 281	0
	002	0	0	47	209	713	0	0	0	-666	209	713	0

Travi - Sollecitazioni per condizioni di carico non sismiche

Id _{Tr}	CC	Estr. Inz.						Estr. Fin.					
		M ₁	M ₂	M ₃	N	T ₂	T ₃	M ₁	M ₂	M ₃	N	T ₂	T ₃
		[N-m]	[N-m]	[N-m]	[N]	[N]	[N]	[N-m]	[N-m]	[N-m]	[N]	[N]	[N]
	003	-2	0	340	1 505	5 135	0	-2	0	-4 795	1 505	5 135	0
	004	-732	79	15	-1	7	-4 264	-732	-4 185	7	-1	7	-4 264
	005	0	0	0	0	0	-2	0	-2	0	0	0	-2
	006	0	0	-2	0	-1	-2	0	-2	-1	0	-1	-2
	007	0	0	1	0	1	-2	0	-2	1	0	1	-2
Trave Acciaio 78a-81a	001	0	0	-1 312	486	629	0	0	0	-1 789	486	325	0
	002	0	0	-666	209	237	0	0	0	-903	209	237	0
	003	-2	0	-4 795	1 505	1 708	0	-2	0	-6 503	1 505	1 708	0
	004	-225	-4 185	7	-1	7	-1 370	-225	-5 555	0	-1	7	-1 370
	005	0	-2	0	0	0	-2	0	-4	0	0	0	-2
	006	0	-2	-1	0	-1	-2	0	-4	0	0	-1	-2
	007	0	-2	1	0	1	-2	0	-4	0	0	1	-2
Trave Acciaio 81a-84a	001	0	0	-1 789	486	-327	0	0	0	-1 311	486	-631	0
	002	0	0	-903	209	-239	0	0	0	-664	209	-239	0
	003	-2	0	-6 503	1 505	-1 720	0	-2	0	-4 783	1 505	-1 720	0
	004	281	-5 555	0	-1	7	1 524	281	-4 031	-7	-1	7	1 524
	005	0	-4	0	0	0	-2	0	-6	0	0	0	-2
	006	0	-4	0	0	-1	-2	0	-6	1	0	-1	-2
	007	0	-4	0	0	1	-2	0	-6	-1	0	1	-2
Trave Acciaio 84a-87a	001	1	0	-1 311	486	-1 283	0	1	0	124	486	-1 587	0
	002	0	0	-664	209	-715	0	0	0	50	209	-715	0
	003	4	0	-4 783	1 505	-5 144	0	4	0	361	1 505	-5 144	0
	004	787	-4 031	-7	-1	7	4 416	787	386	-15	-1	7	4 416
	005	0	-6	0	0	0	-2	0	-7	0	0	0	-2
	006	0	-6	1	0	-1	-2	0	-7	2	0	-1	-2
	007	0	-6	-1	0	1	-2	0	-7	-1	0	1	-2
Trave Acciaio 87a-90a	001	1	0	124	486	-2 239	0	1	0	2 515	486	-2 543	0
	002	0	0	50	209	-1 191	0	0	0	1 241	209	-1 191	0
	003	4	0	361	1 505	-8 572	0	4	0	8 933	1 505	-8 572	0
	004	1 294	386	-15	-1	7	7 310	1 294	7 696	-22	-1	7	7 310
	005	0	-7	0	0	0	-2	0	-9	0	0	0	-2
	006	0	-7	2	0	-1	-2	0	-9	2	0	-1	-2
	007	0	-7	-1	0	1	-2	0	-9	-2	0	1	-2
Trave Acciaio 6-115a	001	0	0	3 501	533	2 826	0	0	0	576	533	2 492	0
	002	0	0	1 715	229	1 312	0	0	0	271	229	1 312	0
	003	0	0	12 346	1 647	9 448	0	0	0	1 953	1 647	9 448	0
	004	-1 229	10 530	26	-1	8	-8 590	-1 229	1 082	17	-1	8	-8 590
	005	1	8	0	0	0	-12	1	-5	0	0	0	-12
	006	1	8	-3	-1	-1	-12	1	-5	-2	-1	-1	-12
	007	1	8	2	1	1	-12	1	-5	1	1	1	-12
Trave Acciaio 115a-118a	001	0	0	576	533	1 840	0	0	0	-1 112	533	1 536	0
	002	0	0	271	229	836	0	0	0	-565	229	836	0
	003	0	0	1 953	1 647	6 021	0	0	0	-4 068	1 647	6 021	0
	004	-723	1 082	17	-1	8	-5 696	-723	-4 614	9	-1	8	-5 696
	005	1	-5	0	0	0	-12	1	-17	0	0	0	-12
	006	1	-5	-2	-1	-1	-12	1	-17	-1	-1	-1	-12
	007	1	-5	1	1	1	-12	1	-17	1	1	1	-12
Trave Acciaio 118a-121a	001	0	0	-1 112	533	884	0	0	0	-1 844	533	580	0
	002	0	0	-565	229	360	0	0	0	-925	229	360	0
	003	0	0	-4 068	1 647	2 594	0	0	0	-6 662	1 647	2 594	0
	004	-216	-4 614	9	-1	8	-2 802	-216	-7 416	1	-1	8	-2 802
	005	1	-17	0	0	0	-12	1	-29	0	0	0	-12
	006	1	-17	-1	-1	-1	-12	1	-29	0	-1	-1	-12
	007	1	-17	1	1	1	-12	1	-29	0	1	1	-12
Trave Acciaio 121a-124a	001	0	0	-1 844	533	-72	0	0	0	-1 620	533	-376	0
	002	0	0	-925	229	-116	0	0	0	-810	229	-116	0
	003	0	0	-6 662	1 647	-833	0	0	0	-5 829	1 647	-833	0
	004	290	-7 416	1	-1	8	92	290	-7 323	-8	-1	8	92
	005	1	-29	0	0	0	-12	1	-41	0	0	0	-12
	006	1	-29	0	-1	-1	-12	1	-41	1	-1	-1	-12
	007	1	-29	0	1	1	-12	1	-41	-1	1	1	-12
Trave Acciaio 124a-127a	001	0	0	-1 620	533	-1 028	0	0	0	-439	533	-1 332	0
	002	0	0	-810	229	-592	0	0	0	-218	229	-592	0
	003	0	0	-5 829	1 647	-4 261	0	0	0	-1 568	1 647	-4 261	0
	004	796	-7 323	-8	-1	8	2 987	796	-4 337	-16	-1	8	2 987
	005	1	-41	0	0	0	-12	1	-53	0	0	0	-12
	006	1	-41	1	-1	-1	-12	1	-53	2	-1	-1	-12
	007	1	-41	-1	1	1	-12	1	-53	-2	1	1	-12
Trave Acciaio 127a-130a	001	0	0	-439	533	-1 985	0	0	0	1 697	533	-2 289	0
	002	0	0	-218	229	-1 068	0	0	0	850	229	-1 068	0
	003	0	0	-1 568	1 647	-7 688	0	0	0	6 120	1 647	-7 688	0
	004	1 303	-4 337	-16	-1	8	5 881	1 303	1 544	-24	-1	8	5 881
	005	1	-53	0	0	0	-12	1	-65	0	0	0	-12
	006	1	-53	2	-1	-1	-12	1	-65	2	-1	-1	-12
	007	1	-53	-1	1	1	-12	1	-65	-2	1	1	-12
Trave Acciaio 6a-1	001	0	0	804	0	-1 608	0	0	0	1 646	0	-1 760	0
	002	0	0	476	0	-952	0	0	0	952	0	-952	0
	003	0	0	3 427	0	-6 854	0	0	0	6 854	0	-6 854	0
	004	1 013	2 894	0	0	0	5 788	1 013	5 788	0	0	0	5 788
	005	0	0	0	0	0	0	0	0	0	0	0	0
	006	0	0	0	0	0	0	0	0	0	0	0	0
	007	0	0	0	0	0	0	0	0	0	0	0	0
Trave Acciaio 46a-3	001	0	0	1 441	488	-2 810	0	0	0	3 482	488	-3 023	0
	002	0	0	704	209	-1 475	0	0	0	1 737	209	-1 475	0

Travi - Sollecitazioni per condizioni di carico non sismiche

Id _{Tr}	CC	Estr. Inz.						Estr. Fin.					
		M ₁ [N-m]	M ₂ [N-m]	M ₃ [N-m]	N [N]	T ₂ [N]	T ₃ [N]	M ₁ [N-m]	M ₂ [N-m]	M ₃ [N-m]	N [N]	T ₂ [N]	T ₃ [N]
	003	0	0	5 072	1 505	-10 619	0	0	0	12 505	1 505	-10 619	0
	004	1 589	4 495	-19	1	7	8 932	1 589	10 748	-24	1	7	8 932
	005	-1	-5	0	0	0	-1	-1	-6	0	0	0	-1
	006	-1	-5	2	1	-1	-1	-1	-6	2	1	-1	-1
	007	-1	-5	-2	-1	1	-1	-1	-6	-2	-1	1	-1
Trave Acciaio 68a-4	001	-2	0	2 510	486	-3 193	0	-2	0	3 482	486	-3 284	0
	002	-1	0	1 236	209	-1 665	0	-1	0	1 735	209	-1 665	0
	003	-9	0	8 899	1 504	-11 986	0	-9	0	12 495	1 504	-11 986	0
	004	1 744	7 237	-22	1	7	10 051	1 744	10 252	-24	1	7	10 051
	005	0	2	0	0	0	1	0	2	0	0	0	1
	006	0	2	2	0	-1	1	0	2	2	0	-1	1
	007	0	2	-2	0	1	1	0	2	-2	0	1	1
Trave Acciaio 90a-5	001	1	0	2 515	486	-3 195	0	1	0	3 487	486	-3 286	0
	002	0	0	1 241	209	-1 667	0	0	0	1 741	209	-1 667	0
	003	4	0	8 933	1 505	-11 999	0	4	0	12 533	1 505	-11 999	0
	004	1 800	7 696	-22	-1	7	10 204	1 800	10 757	-24	-1	7	10 204
	005	0	-9	0	0	0	-2	0	-10	0	0	0	-2
	006	0	-9	2	0	-1	-2	0	-10	2	0	-1	-2
	007	0	-9	-2	0	1	-2	0	-10	-2	0	1	-2
Trave Acciaio 130a-7	001	0	0	1 697	533	-2 941	0	0	0	3 206	533	-3 093	0
	002	0	0	850	229	-1 544	0	0	0	1 622	229	-1 544	0
	003	0	0	6 120	1 647	-11 115	0	0	0	11 677	1 647	-11 115	0
	004	1 809	1 544	-24	-1	8	8 775	1 809	5 931	-28	-1	8	8 775
	005	1	-65	0	0	0	-12	1	-71	0	0	0	-12
	006	1	-65	2	-1	-1	-12	1	-71	3	-1	-1	-12
	007	1	-65	-2	1	1	-12	1	-71	-2	1	1	-12

LEGENDA:

Id_{Tr} Identificativo della trave. L'eventuale lettera tra parentesi distingue i diversi tratti della travata al livello considerato.

CC Identificativo della tipologia di carico nella relativa tabella.

Estr. Sollecitazione caratteristiche relative al sistema di riferimento locale 1, 2, 3 (N > 0: compressione).

Inz./Fin.

TRAVI - SOLLECITAZIONI PER EFFETTO DEL SISMA

Id _{Tr}	Di r	Estr. Inz.						Estr. Fin.					
		M ₁ [N-m]	M ₂ [N-m]	M ₃ [N-m]	N [N]	T ₂ [N]	T ₃ [N]	M ₁ [N-m]	M ₂ [N-m]	M ₃ [N-m]	N [N]	T ₂ [N]	T ₃ [N]
Piano Terra													
Travata: Trave 1a-139a													
Trave 1a-139a	X	0	0	0	0	0	0	0	0	0	0	0	0
	Y	0	0	0	0	0	0	0	0	0	0	0	0
	Z	0	0	0	0	0	0	0	0	0	0	0	0
Piano Terra													
Travata: Piano Terra													
Trave Acciaio 134a-137a	X	107	376	0	2	0	242	107	141	0	2	0	242
	Y	0	2	146	285	118	0	0	2	28	285	118	0
	Z	0	0	0	0	0	0	0	0	0	0	0	0
Trave Acciaio 25a-2	X	198	246	2	0	0	874	198	1 204	4	0	0	874
	Y	4	0	1 131	922	561	2	4	0	1 750	922	561	2
	Z	0	0	0	0	0	0	0	0	0	0	0	0
Trave Acciaio 109a-6	X	234	453	2	2	0	858	234	1 217	4	2	0	858
	Y	0	0	1 145	867	462	0	0	2	1 560	867	462	0
	Z	0	0	0	0	0	0	0	0	0	0	0	0
Trave Acciaio 6a-7a	X	0	50	67	50	30	24	0	0	4	50	30	24
	Y	6	173	22	2	8	73	6	0	0	2	8	73
	Z	0	0	0	0	0	0	0	0	0	0	0	0
Trave Acciaio 3a-4a	X	2	77	57	52	25	31	2	0	6	52	25	31
	Y	6	175	67	2	29	73	6	0	0	2	29	73
	Z	0	0	0	0	0	0	0	0	0	0	0	0
Trave Acciaio 10a-11a	X	2	32	77	51	34	13	2	0	4	51	34	13
	Y	6	173	14	0	6	73	6	0	0	0	6	73
	Z	0	0	0	0	0	0	0	0	0	0	0	0
Trave Acciaio 13a-14a	X	0	43	34	57	14	16	0	0	4	57	14	16
	Y	6	169	28	0	12	71	6	0	0	0	12	71
	Z	0	0	0	0	0	0	0	0	0	0	0	0
Trave Acciaio 16a-17a	X	0	21	56	61	24	7	0	0	4	61	24	7
	Y	6	169	22	0	10	71	6	0	0	0	10	71
	Z	0	0	0	0	0	0	0	0	0	0	0	0
Trave Acciaio 19a-20a	X	0	24	62	65	27	12	0	0	2	65	27	12
	Y	6	167	4	0	4	71	6	0	0	0	4	71
	Z	0	0	0	0	0	0	0	0	0	0	0	0
Trave Acciaio 22a-23a	X	2	49	39	59	16	23	2	0	2	59	16	23
	Y	6	167	10	0	4	71	6	0	0	0	4	71
	Z	0	0	0	0	0	0	0	0	0	0	0	0
Trave Acciaio 25a-26a	X	2	49	45	53	17	17	2	0	2	53	17	17
	Y	6	169	16	0	6	71	6	0	0	0	6	71
	Z	0	0	0	0	0	0	0	0	0	0	0	0
Trave Acciaio 2-28a	X	0	5	88	50	38	3	0	0	2	50	38	3
	Y	6	181	4	0	2	75	6	0	0	0	2	75
	Z	0	0	0	0	0	0	0	0	0	0	0	0
Trave Acciaio 31a-32a	X	2	47	46	53	19	23	2	0	2	53	19	23
	Y	6	169	18	0	8	71	6	0	0	0	8	71
	Z	0	0	0	0	0	0	0	0	0	0	0	0
Trave Acciaio 34a-35a	X	2	50	46	61	18	21	2	0	4	61	18	21

Travi - Sollecitazioni per effetto del sisma

Id _{Tr}	Dir	Estr. Inz.						Estr. Fin.					
		M ₁ [N-m]	M ₂ [N-m]	M ₃ [N-m]	N [N]	T ₂ [N]	T ₃ [N]	M ₁ [N-m]	M ₂ [N-m]	M ₃ [N-m]	N [N]	T ₂ [N]	T ₃ [N]
	Y	6	167	16	0	8	71	6	0	0	0	8	71
	Z	0	0	0	0	0	0	0	0	0	0	0	0
Trave Acciaio 37a-38a	X	0	17	51	63	21	8	0	0	4	63	21	8
	Y	6	169	6	0	4	71	6	0	0	0	4	71
	Z	0	0	0	0	0	0	0	0	0	0	0	0
Trave Acciaio 40a-41a	X	2	27	51	63	21	12	2	0	4	63	21	12
	Y	6	167	10	0	4	71	6	0	0	0	4	71
	Z	0	0	0	0	0	0	0	0	0	0	0	0
Trave Acciaio 43a-44a	X	4	52	40	59	17	23	4	0	4	59	17	23
	Y	6	169	18	0	8	71	6	0	0	0	8	71
	Z	0	0	0	0	0	0	0	0	0	0	0	0
Trave Acciaio 46a-47a	X	2	34	52	53	29	14	2	0	4	53	29	14
	Y	6	171	16	0	6	71	6	0	0	0	6	71
	Z	0	0	0	0	0	0	0	0	0	0	0	0
Trave Acciaio 50a-51a	X	0	20	79	53	36	8	0	0	4	53	36	8
	Y	6	173	8	0	4	71	6	0	0	0	4	71
	Z	0	0	0	0	0	0	0	0	0	0	0	0
Trave Acciaio 53a-54a	X	2	57	39	53	16	21	2	0	4	53	16	21
	Y	6	171	20	0	8	71	6	0	0	0	8	71
	Z	0	0	0	0	0	0	0	0	0	0	0	0
Trave Acciaio 56a-57a	X	0	34	51	57	22	17	0	0	4	57	22	17
	Y	6	167	14	0	6	71	6	0	0	0	6	71
	Z	0	0	0	0	0	0	0	0	0	0	0	0
Trave Acciaio 59a-60a	X	0	6	62	61	22	2	0	0	4	61	22	2
	Y	6	167	2	0	2	71	6	0	0	0	2	71
	Z	0	0	0	0	0	0	0	0	0	0	0	0
Trave Acciaio 62a-63a	X	0	39	52	59	21	20	0	0	4	59	21	20
	Y	6	167	14	0	6	71	6	0	0	0	6	71
	Z	0	0	0	0	0	0	0	0	0	0	0	0
Trave Acciaio 65a-66a	X	2	53	38	53	19	22	2	0	4	53	19	22
	Y	6	169	20	0	8	71	6	0	0	0	8	71
	Z	0	0	0	0	0	0	0	0	0	0	0	0
Trave Acciaio 68a-69a	X	0	20	77	53	36	10	0	0	4	53	36	10
	Y	6	173	8	0	4	73	6	0	0	0	4	73
	Z	0	0	0	0	0	0	0	0	0	0	0	0
Trave Acciaio 72a-73a	X	0	22	77	53	36	8	0	0	4	53	36	8
	Y	6	173	8	0	4	73	6	0	0	0	4	73
	Z	0	0	0	0	0	0	0	0	0	0	0	0
Trave Acciaio 75a-76a	X	2	53	39	53	18	22	2	0	4	53	18	22
	Y	6	171	20	0	8	71	6	0	0	0	8	71
	Z	0	0	0	0	0	0	0	0	0	0	0	0
Trave Acciaio 78a-79a	X	0	41	51	59	21	20	0	0	4	59	21	20
	Y	6	169	16	0	6	71	6	0	0	0	6	71
	Z	0	0	0	0	0	0	0	0	0	0	0	0
Trave Acciaio 81a-82a	X	0	8	59	61	22	0	0	0	4	61	22	0
	Y	6	169	2	0	2	71	6	0	0	0	2	71
	Z	0	0	0	0	0	0	0	0	0	0	0	0
Trave Acciaio 84a-85a	X	0	38	51	57	21	21	0	0	4	57	21	21
	Y	6	169	14	0	6	71	6	0	0	0	6	71
	Z	0	0	0	0	0	0	0	0	0	0	0	0
Trave Acciaio 87a-88a	X	2	57	38	53	16	23	2	0	4	53	16	23
	Y	6	169	20	0	8	71	6	0	0	0	8	71
	Z	0	0	0	0	0	0	0	0	0	0	0	0
Trave Acciaio 90a-91a	X	0	20	77	53	36	10	0	0	4	53	36	10
	Y	6	173	8	0	4	73	6	0	0	0	4	73
	Z	0	0	0	0	0	0	0	0	0	0	0	0
Trave Acciaio 94a-95a	X	0	37	52	53	29	12	0	0	4	53	29	12
	Y	6	173	16	0	6	73	6	0	0	0	6	73
	Z	0	0	0	0	0	0	0	0	0	0	0	0
Trave Acciaio 97a-98a	X	4	52	41	59	18	21	4	0	4	59	18	21
	Y	6	171	22	0	8	71	6	0	0	0	8	71
	Z	0	0	0	0	0	0	0	0	0	0	0	0
Trave Acciaio 100a-101a	X	2	27	51	63	22	10	2	0	4	63	22	10
	Y	6	169	10	0	6	71	6	0	0	0	6	71
	Z	0	0	0	0	0	0	0	0	0	0	0	0
Trave Acciaio 103a-104a	X	0	17	51	63	21	10	0	0	4	63	21	10
	Y	6	169	6	0	2	71	6	0	0	0	2	71
	Z	0	0	0	0	0	0	0	0	0	0	0	0
Trave Acciaio 106a-107a	X	2	50	45	61	18	22	2	0	4	61	18	22
	Y	6	171	18	0	6	71	6	0	0	0	6	71
	Z	0	0	0	0	0	0	0	0	0	0	0	0
Trave Acciaio 109a-110a	X	2	46	47	53	19	23	2	0	2	53	19	23
	Y	6	173	18	0	8	71	6	0	0	0	8	71
	Z	0	0	0	0	0	0	0	0	0	0	0	0
Trave Acciaio 6-113a	X	0	5	90	50	40	3	0	0	2	50	40	3
	Y	6	183	2	0	0	75	6	0	0	0	0	75
	Z	0	0	0	0	0	0	0	0	0	0	0	0
Trave Acciaio 115a-116a	X	2	47	47	55	17	19	2	0	2	55	17	19
	Y	6	171	18	0	8	71	6	0	0	0	8	71
	Z	0	0	0	0	0	0	0	0	0	0	0	0
Trave Acciaio 118a-119a	X	2	49	39	57	16	21	2	0	2	57	16	21
	Y	6	169	12	0	6	71	6	0	0	0	6	71
	Z	0	0	0	0	0	0	0	0	0	0	0	0

Travi - Sollecitazioni per effetto del sisma

Id _{tr}	Dir	Estr. Inz.						Estr. Fin.					
		M ₁	M ₂	M ₃	N	T ₂	T ₃	M ₁	M ₂	M ₃	N	T ₂	T ₃
		[N-m]	[N-m]	[N-m]	[N]	[N]	[N]	[N-m]	[N-m]	[N-m]	[N]	[N]	[N]
Trave Acciaio 121a-122a	X	0	24	62	65	27	10	0	0	2	65	27	10
	Y	6	169	6	0	0	71	6	0	0	0	0	71
	Z	0	0	0	0	0	0	0	0	0	0	0	0
Trave Acciaio 124a-125a	X	0	23	56	61	25	9	0	0	4	61	25	9
	Y	6	169	22	0	8	71	6	0	0	0	8	71
	Z	0	0	0	0	0	0	0	0	0	0	0	0
Trave Acciaio 127a-128a	X	0	45	33	57	13	20	0	0	4	57	13	20
	Y	6	171	26	0	12	71	6	0	0	0	12	71
	Z	0	0	0	0	0	0	0	0	0	0	0	0
Trave Acciaio 130a-131a	X	2	33	75	51	34	17	2	0	4	51	34	17
	Y	6	173	16	0	6	73	6	0	0	0	6	73
	Z	0	0	0	0	0	0	0	0	0	0	0	0
Trave Acciaio 134a-135a	X	0	45	67	50	30	19	0	0	4	50	30	19
	Y	6	177	24	2	12	73	6	0	0	2	12	73
	Z	0	0	0	0	0	0	0	0	0	0	0	0
Trave Acciaio 137a-138a	X	2	72	57	52	25	28	2	0	4	52	25	28
	Y	6	175	67	2	28	75	6	0	0	2	28	75
	Z	0	0	0	0	0	0	0	0	0	0	0	0
Trave Acciaio 27a-2	X	0	0	2	50	38	3	0	6	88	50	38	3
	Y	6	0	0	0	0	75	6	183	2	0	0	75
	Z	0	0	0	0	0	0	0	0	0	0	0	0
Trave Acciaio 112a-6	X	0	0	2	50	40	3	0	3	90	50	40	3
	Y	6	0	0	0	2	75	6	181	4	0	2	75
	Z	0	0	0	0	0	0	0	0	0	0	0	0
Trave Acciaio 133a-134a	X	0	0	4	50	30	22	0	47	67	50	30	22
	Y	6	0	0	2	8	73	6	173	22	2	8	73
	Z	0	0	0	0	0	0	0	0	0	0	0	0
Trave Acciaio 136a-137a	X	2	0	4	52	25	29	2	74	57	52	25	29
	Y	6	0	0	2	29	73	6	175	67	2	29	73
	Z	0	0	0	0	0	0	0	0	0	0	0	0
Trave Acciaio 24a-25a	X	2	0	2	53	17	17	2	47	45	53	17	17
	Y	6	0	0	0	8	71	6	171	18	0	8	71
	Z	0	0	0	0	0	0	0	0	0	0	0	0
Trave Acciaio 108a-109a	X	2	0	2	53	19	21	2	46	47	53	19	21
	Y	6	0	0	0	8	71	6	169	18	0	8	71
	Z	0	0	0	0	0	0	0	0	0	0	0	0
Trave Acciaio 5a-6a	X	0	0	4	50	30	22	0	50	67	50	30	22
	Y	6	0	0	2	12	73	6	177	24	2	12	73
	Z	0	0	0	0	0	0	0	0	0	0	0	0
Trave Acciaio 2a-3a	X	2	0	6	52	25	29	2	75	57	52	25	29
	Y	6	0	0	2	28	75	6	175	67	2	28	75
	Z	0	0	0	0	0	0	0	0	0	0	0	0
Trave Acciaio 9a-10a	X	2	0	4	51	34	15	2	31	75	51	34	15
	Y	6	0	0	0	6	73	6	173	16	0	6	73
	Z	0	0	0	0	0	0	0	0	0	0	0	0
Trave Acciaio 12a-13a	X	0	0	4	57	14	18	0	43	34	57	14	18
	Y	6	0	0	0	12	71	6	171	26	0	12	71
	Z	0	0	0	0	0	0	0	0	0	0	0	0
Trave Acciaio 15a-16a	X	0	0	4	61	25	9	0	21	56	61	25	9
	Y	6	0	0	0	8	71	6	169	22	0	8	71
	Z	0	0	0	0	0	0	0	0	0	0	0	0
Trave Acciaio 18a-19a	X	0	0	2	65	27	10	0	24	62	65	27	10
	Y	6	0	0	0	0	71	6	169	6	0	0	71
	Z	0	0	0	0	0	0	0	0	0	0	0	0
Trave Acciaio 21a-22a	X	2	0	2	59	16	21	2	49	39	59	16	21
	Y	6	0	0	0	6	71	6	169	12	0	6	71
	Z	0	0	0	0	0	0	0	0	0	0	0	0
Trave Acciaio 30a-31a	X	2	0	2	53	19	23	2	46	46	53	19	23
	Y	6	0	0	0	8	71	6	173	18	0	8	71
	Z	0	0	0	0	0	0	0	0	0	0	0	0
Trave Acciaio 33a-34a	X	2	0	4	61	18	23	2	49	46	61	18	23
	Y	6	0	0	0	6	71	6	171	18	0	6	71
	Z	0	0	0	0	0	0	0	0	0	0	0	0
Trave Acciaio 36a-37a	X	0	0	4	63	22	10	0	17	51	63	22	10
	Y	6	0	0	0	2	71	6	169	6	0	2	71
	Z	0	0	0	0	0	0	0	0	0	0	0	0
Trave Acciaio 39a-40a	X	2	0	4	63	21	10	2	27	51	63	21	10
	Y	6	0	0	0	6	71	6	169	10	0	6	71
	Z	0	0	0	0	0	0	0	0	0	0	0	0
Trave Acciaio 42a-43a	X	4	0	4	59	17	21	4	52	40	59	17	21
	Y	6	0	0	0	8	71	6	171	22	0	8	71
	Z	0	0	0	0	0	0	0	0	0	0	0	0
Trave Acciaio 45a-46a	X	0	0	4	53	29	12	0	37	52	53	29	12
	Y	6	0	0	0	6	73	6	173	16	0	6	73
	Z	0	0	0	0	0	0	0	0	0	0	0	0
Trave Acciaio 49a-50a	X	0	0	4	53	36	10	0	20	79	53	36	10
	Y	6	0	0	0	4	73	6	173	8	0	4	73
	Z	0	0	0	0	0	0	0	0	0	0	0	0
Trave Acciaio 52a-53a	X	2	0	4	53	16	23	2	57	38	53	16	23
	Y	6	0	0	0	8	71	6	169	20	0	8	71
	Z	0	0	0	0	0	0	0	0	0	0	0	0
Trave Acciaio 55a-56a	X	0	0	4	57	22	21	0	38	52	57	22	21
	Y	6	0	0	0	6	71	6	169	14	0	6	71

Travi - Sollecitazioni per effetto del sisma

Id _{Tr}	Dir	Estr. Inz.						Estr. Fin.						
		M ₁ [N-m]	M ₂ [N-m]	M ₃ [N-m]	N [N]	T ₂ [N]	T ₃ [N]	M ₁ [N-m]	M ₂ [N-m]	M ₃ [N-m]	N [N]	T ₂ [N]	T ₃ [N]	
	Z	0	0	0	0	0	0	0	0	0	0	0	0	0
Trave Acciaio 58a-59a	X	0	0	4	61	22	0	0	8	60	61	22	0	0
	Y	6	0	0	0	2	71	6	169	2	0	2	71	0
	Z	0	0	0	0	0	0	0	0	0	0	0	0	0
Trave Acciaio 61a-62a	X	0	0	4	59	21	20	0	43	52	59	21	20	0
	Y	6	0	0	0	6	71	6	169	16	0	6	71	0
	Z	0	0	0	0	0	0	0	0	0	0	0	0	0
Trave Acciaio 64a-65a	X	2	0	4	53	19	22	2	53	39	53	19	22	0
	Y	6	0	0	0	8	71	6	171	20	0	8	71	0
	Z	0	0	0	0	0	0	0	0	0	0	0	0	0
Trave Acciaio 67a-68a	X	0	0	4	53	36	8	0	20	77	53	36	8	0
	Y	6	0	0	0	4	73	6	173	8	0	4	73	0
	Z	0	0	0	0	0	0	0	0	0	0	0	0	0
Trave Acciaio 71a-72a	X	0	0	4	53	36	8	0	20	77	53	36	8	0
	Y	6	0	0	0	4	73	6	173	8	0	4	73	0
	Z	0	0	0	0	0	0	0	0	0	0	0	0	0
Trave Acciaio 74a-75a	X	2	0	4	53	18	22	2	53	39	53	18	22	0
	Y	6	0	0	0	8	71	6	169	20	0	8	71	0
	Z	0	0	0	0	0	0	0	0	0	0	0	0	0
Trave Acciaio 77a-78a	X	0	0	4	59	21	20	0	41	52	59	21	20	0
	Y	6	0	0	0	6	71	6	169	14	0	6	71	0
	Z	0	0	0	0	0	0	0	0	0	0	0	0	0
Trave Acciaio 80a-81a	X	0	0	4	61	22	2	0	8	59	61	22	2	0
	Y	6	0	0	0	2	71	6	167	2	0	2	71	0
	Z	0	0	0	0	0	0	0	0	0	0	0	0	0
Trave Acciaio 83a-84a	X	0	0	4	57	21	17	0	34	50	57	21	17	0
	Y	6	0	0	0	6	71	6	167	16	0	6	71	0
	Z	0	0	0	0	0	0	0	0	0	0	0	0	0
Trave Acciaio 86a-87a	X	2	0	4	53	16	21	2	57	39	53	16	21	0
	Y	6	0	0	0	8	71	6	171	20	0	8	71	0
	Z	0	0	0	0	0	0	0	0	0	0	0	0	0
Trave Acciaio 89a-90a	X	0	0	4	53	36	8	0	20	77	53	36	8	0
	Y	6	0	0	0	4	71	6	173	8	0	4	71	0
	Z	0	0	0	0	0	0	0	0	0	0	0	0	0
Trave Acciaio 93a-94a	X	2	0	4	53	27	14	2	34	52	53	27	14	0
	Y	6	0	0	0	6	71	6	171	16	0	6	71	0
	Z	0	0	0	0	0	0	0	0	0	0	0	0	0
Trave Acciaio 96a-97a	X	4	0	4	59	18	23	4	52	41	59	18	23	0
	Y	6	0	0	0	8	71	6	169	18	0	8	71	0
	Z	0	0	0	0	0	0	0	0	0	0	0	0	0
Trave Acciaio 99a-100a	X	2	0	4	63	22	12	2	27	51	63	22	12	0
	Y	6	0	0	0	4	71	6	167	10	0	4	71	0
	Z	0	0	0	0	0	0	0	0	0	0	0	0	0
Trave Acciaio 102a-103a	X	0	0	4	63	21	8	0	17	51	63	21	8	0
	Y	6	0	0	0	4	71	6	169	6	0	4	71	0
	Z	0	0	0	0	0	0	0	0	0	0	0	0	0
Trave Acciaio 105a-106a	X	2	0	4	61	18	20	2	50	45	61	18	20	0
	Y	6	0	0	0	8	71	6	167	16	0	8	71	0
	Z	0	0	0	0	0	0	0	0	0	0	0	0	0
Trave Acciaio 114a-115a	X	2	0	2	55	17	19	2	49	47	55	17	19	0
	Y	6	0	0	0	6	71	6	169	16	0	6	71	0
	Z	0	0	0	0	0	0	0	0	0	0	0	0	0
Trave Acciaio 117a-118a	X	2	0	2	57	16	23	2	49	39	57	16	23	0
	Y	6	0	0	0	4	71	6	167	10	0	4	71	0
	Z	0	0	0	0	0	0	0	0	0	0	0	0	0
Trave Acciaio 120a-121a	X	0	0	2	65	27	12	0	24	62	65	27	12	0
	Y	6	0	0	0	4	71	6	167	4	0	4	71	0
	Z	0	0	0	0	0	0	0	0	0	0	0	0	0
Trave Acciaio 123a-124a	X	0	0	4	61	24	7	0	23	56	61	24	7	0
	Y	6	0	0	0	10	71	6	169	22	0	10	71	0
	Z	0	0	0	0	0	0	0	0	0	0	0	0	0
Trave Acciaio 126a-127a	X	0	0	4	57	13	18	0	45	33	57	13	18	0
	Y	6	0	0	0	12	71	6	169	28	0	12	71	0
	Z	0	0	0	0	0	0	0	0	0	0	0	0	0
Trave Acciaio 129a-130a	X	2	0	4	51	34	15	2	33	77	51	34	15	0
	Y	6	0	0	0	6	73	6	173	14	0	6	73	0
	Z	0	0	0	0	0	0	0	0	0	0	0	0	0
Trave Acciaio 7-134a	X	218	687	0	0	0	481	218	455	0	0	0	481	0
	Y	2	3	256	584	161	0	2	0	177	584	161	0	0
	Z	0	0	0	0	0	0	0	0	0	0	0	0	0
Trave Acciaio 1-10a	X	300	707	6	2	2	868	300	309	4	2	2	868	0
	Y	2	2	1 813	891	480	1	2	2	1 573	891	480	1	0
	Z	0	0	0	0	0	0	0	0	0	0	0	0	0
Trave Acciaio 10a-13a	X	189	296	6	0	2	621	189	470	2	0	2	621	0
	Y	2	0	1 601	594	507	0	2	2	1 095	594	507	0	0
	Z	0	0	0	0	0	0	0	0	0	0	0	0	0
Trave Acciaio 13a-16a	X	129	554	2	2	0	330	129	860	0	2	0	330	0
	Y	2	4	1 125	291	561	2	2	0	564	291	561	2	0
	Z	0	0	0	0	0	0	0	0	0	0	0	0	0
Trave Acciaio 16a-19a	X	38	901	0	0	0	50	38	908	0	0	0	50	0
	Y	0	4	592	10	604	2	0	2	12	10	604	2	0
	Z	0	0	0	0	0	0	0	0	0	0	0	0	0
Trave Acciaio 19a-22a	X	75	873	0	0	0	304	75	564	0	0	0	304	0

Travi - Sollecitazioni per effetto del sisma

Id _{tr}	Dir	Estr. Inz.						Estr. Fin.					
		M ₁ [N-m]	M ₂ [N-m]	M ₃ [N-m]	N [N]	T ₂ [N]	T ₃ [N]	M ₁ [N-m]	M ₂ [N-m]	M ₃ [N-m]	N [N]	T ₂ [N]	T ₃ [N]
	Y	0	0	18	311	616	0	0	0	596	311	616	0
	Z	0	0	0	0	0	0	0	0	0	0	0	0
Trave Acciaio 22a-25a	X	134	470	0	0	0	602	134	152	2	0	0	602
	Y	0	0	568	612	594	0	0	2	1 162	612	594	0
	Z	0	0	0	0	0	0	0	0	0	0	0	0
Trave Acciaio 5-94a	X	259	1 224	4	0	0	887	259	603	2	0	0	887
	Y	0	0	1 562	944	454	0	0	0	1 245	944	454	0
	Z	0	0	0	0	0	0	0	0	0	0	0	0
Trave Acciaio 94a-97a	X	175	530	2	2	2	634	175	105	0	2	2	634
	Y	2	0	1 276	645	482	0	2	2	793	645	482	0
	Z	0	0	0	0	0	0	0	0	0	0	0	0
Trave Acciaio 97a-100a	X	95	207	0	0	2	339	95	546	2	0	2	339
	Y	2	0	822	342	521	0	2	2	301	342	521	0
	Z	0	0	0	0	0	0	0	0	0	0	0	0
Trave Acciaio 100a-103a	X	10	601	0	2	2	29	10	636	0	2	2	29
	Y	0	2	332	41	541	0	0	0	210	41	541	0
	Z	0	0	0	0	0	0	0	0	0	0	0	0
Trave Acciaio 103a-106a	X	76	605	0	0	2	287	76	323	2	0	2	287
	Y	2	0	179	260	531	2	2	0	710	260	531	2
	Z	0	0	0	0	0	0	0	0	0	0	0	0
Trave Acciaio 106a-109a	X	156	226	2	2	2	583	156	361	2	2	2	583
	Y	0	2	679	561	496	2	0	0	1 176	561	496	2
	Z	0	0	0	0	0	0	0	0	0	0	0	0
Trave Acciaio 3a-6a	X	107	147	0	2	0	245	107	384	0	2	0	245
	Y	0	2	28	285	118	0	0	2	146	285	118	0
	Z	0	0	0	0	0	0	0	0	0	0	0	0
Trave Acciaio 2-31a	X	232	1 207	4	2	0	852	232	445	2	2	0	852
	Y	0	2	1 560	867	462	0	0	0	1 145	867	462	0
	Z	0	0	0	0	0	0	0	0	0	0	0	0
Trave Acciaio 31a-34a	X	154	347	2	2	2	583	154	235	2	2	2	583
	Y	0	0	1 176	561	496	2	0	2	679	561	496	2
	Z	0	0	0	0	0	0	0	0	0	0	0	0
Trave Acciaio 34a-37a	X	74	331	2	0	2	282	74	611	0	0	2	282
	Y	2	0	710	260	531	2	2	0	179	260	531	2
	Z	0	0	0	0	0	0	0	0	0	0	0	0
Trave Acciaio 37a-40a	X	11	646	0	2	2	31	11	607	0	2	2	31
	Y	0	0	210	41	541	2	0	0	332	41	541	2
	Z	0	0	0	0	0	0	0	0	0	0	0	0
Trave Acciaio 40a-43a	X	95	557	2	0	2	343	95	211	0	0	2	343
	Y	2	2	301	342	521	2	2	0	822	342	521	2
	Z	0	0	0	0	0	0	0	0	0	0	0	0
Trave Acciaio 43a-46a	X	174	111	0	2	2	636	174	528	2	2	2	636
	Y	2	2	793	645	482	0	2	0	1 276	645	482	0
	Z	0	0	0	0	0	0	0	0	0	0	0	0
Trave Acciaio 3-50a	X	314	1 228	2	2	0	1 000	314	930	4	2	0	1 000
	Y	0	0	1 569	1 076	462	0	0	0	1 430	1 076	462	0
	Z	0	0	0	0	0	0	0	0	0	0	0	0
Trave Acciaio 50a-53a	X	201	879	4	0	2	757	201	128	2	0	2	757
	Y	2	0	1 459	785	476	0	2	0	983	785	476	0
	Z	0	0	0	0	0	0	0	0	0	0	0	0
Trave Acciaio 53a-56a	X	136	25	0	2	2	476	136	452	2	2	2	476
	Y	1	0	1 013	482	515	0	1	0	498	482	515	0
	Z	0	0	0	0	0	0	0	0	0	0	0	0
Trave Acciaio 56a-59a	X	51	533	2	0	2	165	51	694	0	0	2	165
	Y	0	2	529	179	543	0	0	2	14	179	543	0
	Z	0	0	0	0	0	0	0	0	0	0	0	0
Trave Acciaio 59a-62a	X	50	691	0	0	0	148	50	537	2	0	0	148
	Y	0	0	16	120	543	0	0	0	529	120	543	0
	Z	0	0	0	0	0	0	0	0	0	0	0	0
Trave Acciaio 62a-65a	X	134	457	2	0	2	453	134	8	0	0	2	453
	Y	2	2	498	423	515	0	2	0	1 013	423	515	0
	Z	0	0	0	0	0	0	0	0	0	0	0	0
Trave Acciaio 65a-68a	X	200	110	2	0	2	742	200	848	4	0	2	742
	Y	1	2	983	726	476	2	1	0	1 459	726	476	2
	Z	0	0	0	0	0	0	0	0	0	0	0	0
Trave Acciaio 4-72a	X	318	1 179	4	0	0	980	318	885	4	0	0	980
	Y	0	0	1 569	1 017	462	0	0	0	1 430	1 017	462	0
	Z	0	0	0	0	0	0	0	0	0	0	0	0
Trave Acciaio 72a-75a	X	203	852	4	0	2	742	203	110	2	0	2	742
	Y	1	0	1 459	726	476	2	1	0	983	726	476	2
	Z	0	0	0	0	0	0	0	0	0	0	0	0
Trave Acciaio 75a-78a	X	133	8	0	0	2	453	133	456	2	0	2	453
	Y	2	0	1 013	423	515	0	2	0	498	423	515	0
	Z	0	0	0	0	0	0	0	0	0	0	0	0
Trave Acciaio 78a-81a	X	49	537	2	0	2	150	49	689	0	0	2	150
	Y	0	2	529	120	543	0	0	0	16	120	543	0
	Z	0	0	0	0	0	0	0	0	0	0	0	0
Trave Acciaio 81a-84a	X	52	693	0	0	2	167	52	535	2	0	2	167
	Y	0	0	14	179	543	0	0	0	529	179	543	0
	Z	0	0	0	0	0	0	0	0	0	0	0	0
Trave Acciaio 84a-87a	X	137	454	2	2	2	476	137	23	0	2	2	476
	Y	1	2	498	482	515	2	1	0	1 013	482	515	2
	Z	0	0	0	0	0	0	0	0	0	0	0	0

Travi - Sollecitazioni per effetto del sisma

Id _{Tr}	Dir	Estr. Inz.						Estr. Fin.					
		M ₁ [N-m]	M ₂ [N-m]	M ₃ [N-m]	N [N]	T ₂ [N]	T ₃ [N]	M ₁ [N-m]	M ₂ [N-m]	M ₃ [N-m]	N [N]	T ₂ [N]	T ₃ [N]
Trave Acciaio 87a-90a	X	204	127	2	0	2	755	204	876	2	0	2	755
	Y	1	0	983	785	476	2	1	0	1 459	785	476	2
	Z	0	0	0	0	0	0	0	0	0	0	0	0
Trave Acciaio 6-115a	X	201	1 215	4	0	0	892	201	242	2	0	0	892
	Y	4	0	1 750	922	561	2	4	0	1 131	922	561	2
	Z	0	0	0	0	0	0	0	0	0	0	0	0
Trave Acciaio 115a-118a	X	135	141	2	0	0	614	135	494	0	0	0	614
	Y	0	2	1 162	612	594	0	0	0	568	612	594	0
	Z	0	0	0	0	0	0	0	0	0	0	0	0
Trave Acciaio 118a-121a	X	72	590	0	0	0	312	72	904	0	0	0	312
	Y	0	0	596	311	616	0	0	0	18	311	616	0
	Z	0	0	0	0	0	0	0	0	0	0	0	0
Trave Acciaio 121a-124a	X	38	942	0	0	0	50	38	937	0	0	0	50
	Y	2	2	12	10	604	2	2	2	592	10	604	2
	Z	0	0	0	0	0	0	0	0	0	0	0	0
Trave Acciaio 124a-127a	X	130	895	0	2	0	330	130	590	2	2	0	330
	Y	2	0	564	291	561	2	2	2	1 125	291	561	2
	Z	0	0	0	0	0	0	0	0	0	0	0	0
Trave Acciaio 127a-130a	X	191	501	2	0	2	623	191	285	6	0	2	623
	Y	2	2	1 095	594	507	0	2	0	1 601	594	507	0
	Z	0	0	0	0	0	0	0	0	0	0	0	0
Trave Acciaio 6a-1	X	220	471	0	0	0	486	220	707	0	0	0	486
	Y	3	0	177	584	161	0	3	2	256	584	161	0
	Z	0	0	0	0	0	0	0	0	0	0	0	0
Trave Acciaio 46a-3	X	258	601	2	0	0	894	258	1 228	4	0	0	894
	Y	0	0	1 245	944	454	0	0	0	1 562	944	454	0
	Z	0	0	0	0	0	0	0	0	0	0	0	0
Trave Acciaio 68a-4	X	313	885	4	0	0	980	313	1 179	4	0	0	980
	Y	0	0	1 430	1 017	462	2	0	0	1 569	1 017	462	2
	Z	0	0	0	0	0	0	0	0	0	0	0	0
Trave Acciaio 90a-5	X	321	924	4	2	0	998	321	1 224	2	2	0	998
	Y	0	0	1 430	1 076	462	2	0	0	1 569	1 076	462	2
	Z	0	0	0	0	0	0	0	0	0	0	0	0
Trave Acciaio 130a-7	X	297	295	4	2	2	870	297	687	6	2	2	870
	Y	2	2	1 573	891	480	2	2	3	1 813	891	480	2
	Z	0	0	0	0	0	0	0	0	0	0	0	0

LEGENDA:

- Id_{Tr}** Identificativo della trave. L'eventuale lettera tra parentesi distingue i diversi tratti della travata al livello considerato.
- Dir** Direzione del sisma.
- Estr.** Sollecitazione caratteristiche relative al sistema di riferimento locale 1, 2, 3 (N > 0: compressione).
- Inz./Fin.**

TRAVI - SOLLECITAZIONI PER ECCENTRICITÀ ACCIDENTALE

Travi - Sollecitazioni per eccentricità accidentale

Id _{Tr}	Dir	e	Estr. Inz.						Estr. Fin.					
			M ₁ [N-m]	M ₂ [N-m]	M ₃ [N-m]	N [N]	T ₂ [N]	T ₃ [N]	M ₁ [N-m]	M ₂ [N-m]	M ₃ [N-m]	N [N]	T ₂ [N]	T ₃ [N]
Piano Terra														
Travata: Trave 1a-139a														
Trave 1a-139a	X	+	0	0	0	0	0	0	0	0	0	0	0	0
	X	-	0	0	0	0	0	0	0	0	0	0	0	0
	Y	+	0	0	0	0	0	0	0	0	0	0	0	0
	Y	-	0	0	0	0	0	0	0	0	0	0	0	0
Piano Terra														
Travata: Piano Terra														
Trave Acciaio 134a-137a	X	+	0	-4 539	0	0	0	0	0	-4 539	0	0	0	0
	X	-	0	4 539	0	0	0	0	0	4 539	0	0	0	0
	Y	+	0	-510	0	0	0	0	0	-510	0	0	0	0
	Y	-	0	510	0	0	0	0	0	510	0	0	0	0
Trave Acciaio 25a-2	X	+	244	2 309	0	-12	0	-6 866	244	-5 243	0	-12	0	-6 866
	X	-	-244	-2 309	0	12	0	6 866	-244	5 243	0	12	0	6 866
	Y	+	25	338	0	-1	0	-711	25	-444	0	-1	0	-711
	Y	-	-25	-338	0	1	0	711	-25	444	0	1	0	711
Trave Acciaio 109a-6	X	+	-71	2 708	0	-8	0	-4 722	-71	-1 542	0	-8	0	-4 722
	X	-	71	-2 708	0	8	0	4 722	71	1 542	0	8	0	4 722
	Y	+	-7	380	0	-1	0	-495	-7	-66	0	-1	0	-495
	Y	-	7	-380	0	1	0	495	7	66	0	1	0	495
Trave Acciaio 6a-7a	X	+	0	-1 513	0	0	0	0	0	-1 513	0	0	0	0
	X	-	0	1 513	0	0	0	0	0	1 513	0	0	0	0
	Y	+	0	-170	0	0	0	0	0	-170	0	0	0	0
	Y	-	0	170	0	0	0	0	0	170	0	0	0	0
Trave Acciaio 3a-4a	X	+	0	-1 513	0	0	0	0	0	-1 513	0	0	0	0
	X	-	0	1 513	0	0	0	0	0	1 513	0	0	0	0
	Y	+	0	-170	0	0	0	0	0	-170	0	0	0	0
	Y	-	0	170	0	0	0	0	0	170	0	0	0	0
Trave Acciaio 10a-11a	X	+	0	-1 513	0	0	0	0	0	-1 513	0	0	0	0
	X	-	0	1 513	0	0	0	0	0	1 513	0	0	0	0
	Y	+	0	-170	0	0	0	0	0	-170	0	0	0	0
	Y	-	0	170	0	0	0	0	0	170	0	0	0	0
Trave Acciaio 13a-14a	X	+	0	-1 513	0	0	0	0	0	-1 513	0	0	0	0
	X	-	0	1 513	0	0	0	0	0	1 513	0	0	0	0
	Y	+	0	-170	0	0	0	0	0	-170	0	0	0	0
	Y	-	0	170	0	0	0	0	0	170	0	0	0	0
Trave Acciaio 16a-17a	X	+	0	-1 513	0	0	0	0	0	-1 513	0	0	0	0

Travi - Sollecitazioni per eccentricità accidentale

Id _{Tr}	D _r	e	Estr. Inz.						Estr. Fin.						
			M ₁	M ₂	M ₃	N	T ₂	T ₃	M ₁	M ₂	M ₃	N	T ₂	T ₃	
			[N-m]	[N-m]	[N-m]	[N]	[N]	[N]	[N-m]	[N-m]	[N-m]	[N]	[N]	[N]	
	X	-	0	-1 513	0	0	0	0	0	0	-1 513	0	0	0	0
	Y	+	0	170	0	0	0	0	0	0	170	0	0	0	0
	Y	-	0	-170	0	0	0	0	0	0	-170	0	0	0	0
Trave Acciaio 136a-137a	X	+	0	1 513	0	0	0	0	0	0	1 513	0	0	0	0
	X	-	0	-1 513	0	0	0	0	0	0	-1 513	0	0	0	0
	Y	+	0	170	0	0	0	0	0	0	170	0	0	0	0
Trave Acciaio 24a-25a	X	+	0	1 513	0	0	0	0	0	0	1 513	0	0	0	0
	X	-	0	-1 513	0	0	0	0	0	0	-1 513	0	0	0	0
	Y	+	0	170	0	0	0	0	0	0	170	0	0	0	0
Trave Acciaio 108a-109a	X	+	0	1 513	0	0	0	0	0	0	1 513	0	0	0	0
	X	-	0	-1 513	0	0	0	0	0	0	-1 513	0	0	0	0
	Y	+	0	170	0	0	0	0	0	0	170	0	0	0	0
Trave Acciaio 5a-6a	X	+	0	1 513	0	0	0	0	0	0	1 513	0	0	0	0
	X	-	0	-1 513	0	0	0	0	0	0	-1 513	0	0	0	0
	Y	+	0	170	0	0	0	0	0	0	170	0	0	0	0
Trave Acciaio 2a-3a	X	+	0	1 513	0	0	0	0	0	0	1 513	0	0	0	0
	X	-	0	-1 513	0	0	0	0	0	0	-1 513	0	0	0	0
	Y	+	0	170	0	0	0	0	0	0	170	0	0	0	0
Trave Acciaio 9a-10a	X	+	0	1 513	0	0	0	0	0	0	1 513	0	0	0	0
	X	-	0	-1 513	0	0	0	0	0	0	-1 513	0	0	0	0
	Y	+	0	170	0	0	0	0	0	0	170	0	0	0	0
Trave Acciaio 12a-13a	X	+	0	1 513	0	0	0	0	0	0	1 513	0	0	0	0
	X	-	0	-1 513	0	0	0	0	0	0	-1 513	0	0	0	0
	Y	+	0	170	0	0	0	0	0	0	170	0	0	0	0
Trave Acciaio 15a-16a	X	+	0	1 513	0	0	0	0	0	0	1 513	0	0	0	0
	X	-	0	-1 513	0	0	0	0	0	0	-1 513	0	0	0	0
	Y	+	0	170	0	0	0	0	0	0	170	0	0	0	0
Trave Acciaio 18a-19a	X	+	0	1 513	0	0	0	0	0	0	1 513	0	0	0	0
	X	-	0	-1 513	0	0	0	0	0	0	-1 513	0	0	0	0
	Y	+	0	170	0	0	0	0	0	0	170	0	0	0	0
Trave Acciaio 21a-22a	X	+	0	1 513	0	0	0	0	0	0	1 513	0	0	0	0
	X	-	0	-1 513	0	0	0	0	0	0	-1 513	0	0	0	0
	Y	+	0	170	0	0	0	0	0	0	170	0	0	0	0
Trave Acciaio 30a-31a	X	+	0	1 513	0	0	0	0	0	0	1 513	0	0	0	0
	X	-	0	-1 513	0	0	0	0	0	0	-1 513	0	0	0	0
	Y	+	0	170	0	0	0	0	0	0	170	0	0	0	0
Trave Acciaio 33a-34a	X	+	0	1 513	0	0	0	0	0	0	1 513	0	0	0	0
	X	-	0	-1 513	0	0	0	0	0	0	-1 513	0	0	0	0
	Y	+	0	170	0	0	0	0	0	0	170	0	0	0	0
Trave Acciaio 36a-37a	X	+	0	1 513	0	0	0	0	0	0	1 513	0	0	0	0
	X	-	0	-1 513	0	0	0	0	0	0	-1 513	0	0	0	0
	Y	+	0	170	0	0	0	0	0	0	170	0	0	0	0
Trave Acciaio 39a-40a	X	+	0	1 513	0	0	0	0	0	0	1 513	0	0	0	0
	X	-	0	-1 513	0	0	0	0	0	0	-1 513	0	0	0	0
	Y	+	0	170	0	0	0	0	0	0	170	0	0	0	0
Trave Acciaio 42a-43a	X	+	0	1 513	0	0	0	0	0	0	1 513	0	0	0	0
	X	-	0	-1 513	0	0	0	0	0	0	-1 513	0	0	0	0
	Y	+	0	170	0	0	0	0	0	0	170	0	0	0	0
Trave Acciaio 45a-46a	X	+	0	1 513	0	0	0	0	0	0	1 513	0	0	0	0
	X	-	0	-1 513	0	0	0	0	0	0	-1 513	0	0	0	0
	Y	+	0	170	0	0	0	0	0	0	170	0	0	0	0
Trave Acciaio 49a-50a	X	+	0	1 513	0	0	0	0	0	0	1 513	0	0	0	0
	X	-	0	-1 513	0	0	0	0	0	0	-1 513	0	0	0	0
	Y	+	0	170	0	0	0	0	0	0	170	0	0	0	0
Trave Acciaio 52a-53a	X	+	0	1 513	0	0	0	0	0	0	1 513	0	0	0	0
	X	-	0	-1 513	0	0	0	0	0	0	-1 513	0	0	0	0
	Y	+	0	170	0	0	0	0	0	0	170	0	0	0	0
Trave Acciaio 55a-56a	X	+	0	1 513	0	0	0	0	0	0	1 513	0	0	0	0
	X	-	0	-1 513	0	0	0	0	0	0	-1 513	0	0	0	0
	Y	+	0	170	0	0	0	0	0	0	170	0	0	0	0
Trave Acciaio 58a-59a	X	+	0	1 513	0	0	0	0	0	0	1 513	0	0	0	0
	X	-	0	-1 513	0	0	0	0	0	0	-1 513	0	0	0	0
	Y	+	0	170	0	0	0	0	0	0	170	0	0	0	0
Trave Acciaio 61a-62a	X	+	0	1 513	0	0	0	0	0	0	1 513	0	0	0	0

Travi - Sollecitazioni per eccentricità accidentale

Id _{Tr}	D _r	e	Estr. Inz.						Estr. Fin.						
			M ₁ [N-m]	M ₂ [N-m]	M ₃ [N-m]	N [N]	T ₂ [N]	T ₃ [N]	M ₁ [N-m]	M ₂ [N-m]	M ₃ [N-m]	N [N]	T ₂ [N]	T ₃ [N]	
	X	-	0	9 078	0	0	0	0	0	0	9 078	0	0	0	0
	Y	+	0	-1 020	0	0	0	0	0	0	-1 020	0	0	0	0
	Y	-	0	1 020	0	0	0	0	0	0	1 020	0	0	0	0
Trave Acciaio 1-10a	X	+	244	12 837	0	-12	0	-6 866	244	9 404	0	-12	0	-6 866	
	X	-	-244	-12 837	0	12	0	6 866	-244	-9 404	0	12	0	6 866	
	Y	+	25	1 190	0	-1	0	-711	25	834	0	-1	0	-711	
	Y	-	-25	-1 190	0	1	0	711	-25	-834	0	1	0	711	
Trave Acciaio 10a-13a	X	+	244	13 943	0	-12	0	-6 866	244	7 077	0	-12	0	-6 866	
	X	-	-244	-13 943	0	12	0	6 866	-244	-7 077	0	12	0	6 866	
	Y	+	25	1 344	0	-1	0	-711	25	633	0	-1	0	-711	
	Y	-	-25	-1 344	0	1	0	711	-25	-633	0	1	0	711	
Trave Acciaio 13a-16a	X	+	244	11 616	0	-12	0	-6 866	244	4 750	0	-12	0	-6 866	
	X	-	-244	-11 616	0	12	0	6 866	-244	-4 750	0	12	0	6 866	
	Y	+	25	1 143	0	-1	0	-711	25	432	0	-1	0	-711	
	Y	-	-25	-1 143	0	1	0	711	-25	-432	0	1	0	711	
Trave Acciaio 16a-19a	X	+	244	9 289	0	-12	0	-6 866	244	2 424	0	-12	0	-6 866	
	X	-	-244	-9 289	0	12	0	6 866	-244	-2 424	0	12	0	6 866	
	Y	+	25	942	0	-1	0	-711	25	231	0	-1	0	-711	
	Y	-	-25	-942	0	1	0	711	-25	-231	0	1	0	711	
Trave Acciaio 19a-22a	X	+	244	6 963	0	-12	0	-6 866	244	97	0	-12	0	-6 866	
	X	-	-244	-6 963	0	12	0	6 866	-244	-97	0	12	0	6 866	
	Y	+	25	741	0	-1	0	-711	25	29	0	-1	0	-711	
	Y	-	-25	-741	0	1	0	711	-25	-29	0	1	0	711	
Trave Acciaio 22a-25a	X	+	244	4 636	0	-12	0	-6 866	244	-2 230	0	-12	0	-6 866	
	X	-	-244	-4 636	0	12	0	6 866	-244	2 230	0	12	0	6 866	
	Y	+	25	539	0	-1	0	-711	25	-172	0	-1	0	-711	
	Y	-	-25	-539	0	1	0	711	-25	172	0	1	0	711	
Trave Acciaio 5-94a	X	+	-71	2 389	0	-8	0	-4 722	-71	-916	0	-8	0	-4 722	
	X	-	71	-2 389	0	8	0	4 722	71	916	0	8	0	4 722	
	Y	+	-7	143	0	-1	0	-495	-7	-203	0	-1	0	-495	
	Y	-	7	-143	0	1	0	495	7	203	0	1	0	495	
Trave Acciaio 94a-97a	X	+	-71	3 623	0	-8	0	-4 722	-71	-1 099	0	-8	0	-4 722	
	X	-	71	-3 623	0	8	0	4 722	71	1 099	0	8	0	4 722	
	Y	+	-7	307	0	-1	0	-495	-7	-189	0	-1	0	-495	
	Y	-	7	-307	0	1	0	495	7	189	0	1	0	495	
Trave Acciaio 97a-100a	X	+	-71	3 440	0	-8	0	-4 722	-71	-1 282	0	-8	0	-4 722	
	X	-	71	-3 440	0	8	0	4 722	71	1 282	0	8	0	4 722	
	Y	+	-7	321	0	-1	0	-495	-7	-174	0	-1	0	-495	
	Y	-	7	-321	0	1	0	495	7	174	0	1	0	495	
Trave Acciaio 100a-103a	X	+	-71	3 257	0	-8	0	-4 722	-71	-1 465	0	-8	0	-4 722	
	X	-	71	-3 257	0	8	0	4 722	71	1 465	0	8	0	4 722	
	Y	+	-7	336	0	-1	0	-495	-7	-159	0	-1	0	-495	
	Y	-	7	-336	0	1	0	495	7	159	0	1	0	495	
Trave Acciaio 103a-106a	X	+	-71	3 074	0	-8	0	-4 722	-71	-1 648	0	-8	0	-4 722	
	X	-	71	-3 074	0	8	0	4 722	71	1 648	0	8	0	4 722	
	Y	+	-7	351	0	-1	0	-495	-7	-145	0	-1	0	-495	
	Y	-	7	-351	0	1	0	495	7	145	0	1	0	495	
Trave Acciaio 106a-109a	X	+	-71	2 891	0	-8	0	-4 722	-71	-1 831	0	-8	0	-4 722	
	X	-	71	-2 891	0	8	0	4 722	71	1 831	0	8	0	4 722	
	Y	+	-7	365	0	-1	0	-495	-7	-130	0	-1	0	-495	
	Y	-	7	-365	0	1	0	495	7	130	0	1	0	495	
Trave Acciaio 3a-6a	X	+	0	4 539	0	0	0	0	0	4 539	0	0	0	0	
	X	-	0	-4 539	0	0	0	0	0	-4 539	0	0	0	0	
	Y	+	0	510	0	0	0	0	0	510	0	0	0	0	
	Y	-	0	-510	0	0	0	0	0	-510	0	0	0	0	
Trave Acciaio 2-31a	X	+	-71	1 542	0	-8	0	-4 722	-71	-2 708	0	-8	0	-4 722	
	X	-	71	-1 542	0	8	0	4 722	71	2 708	0	8	0	4 722	
	Y	+	-7	66	0	-1	0	-495	-7	-380	0	-1	0	-495	
	Y	-	7	-66	0	1	0	495	7	380	0	1	0	495	
Trave Acciaio 31a-34a	X	+	-71	1 831	0	-8	0	-4 722	-71	-2 891	0	-8	0	-4 722	
	X	-	71	-1 831	0	8	0	4 722	71	2 891	0	8	0	4 722	
	Y	+	-7	130	0	-1	0	-495	-7	-365	0	-1	0	-495	
	Y	-	7	-130	0	1	0	495	7	365	0	1	0	495	
Trave Acciaio 34a-37a	X	+	-71	1 648	0	-8	0	-4 722	-71	-3 074	0	-8	0	-4 722	
	X	-	71	-1 648	0	8	0	4 722	71	3 074	0	8	0	4 722	
	Y	+	-7	145	0	-1	0	-495	-7	-351	0	-1	0	-495	
	Y	-	7	-145	0	1	0	495	7	351	0	1	0	495	
Trave Acciaio 37a-40a	X	+	-71	1 465	0	-8	0	-4 722	-71	-3 257	0	-8	0	-4 722	
	X	-	71	-1 465	0	8	0	4 722	71	3 257	0	8	0	4 722	
	Y	+	-7	159	0	-1	0	-495	-7	-336	0	-1	0	-495	
	Y	-	7	-159	0	1	0	495	7	336	0	1	0	495	
Trave Acciaio 40a-43a	X	+	-71	1 282	0	-8	0	-4 722	-71	-3 440	0	-8	0	-4 722	
	X	-	71	-1 282	0	8	0	4 722	71	3 440	0	8	0	4 722	
	Y	+	-7	174	0	-1	0	-495	-7	-321	0	-1	0	-495	
	Y	-	7	-174	0	1	0	495	7	321	0	1	0	495	
Trave Acciaio 43a-46a	X	+	-71	1 099	0	-8	0	-4 722	-71	-3 623	0	-8	0	-4 722	
	X	-	71	-1 099	0	8	0	4 722	71	3 623	0	8	0	4 722	
	Y	+	-7	189	0	-1	0	-495	-7	-307	0	-1	0	-495	
	Y	-	7	-189	0	1	0	495	7	307	0	1	0	495	
Trave Acciaio 3-50a	X	+	15	1 369	0	-9	0	-5 306	15	-222	0	-9	0	-5 306	
	X	-	-15	-1 369	0	9	0	5 306	-15	222	0	9	0	5 306	
	Y	+	2	27	0	-1	0	-558	2	-141	0	-1	0	-558	
	Y	-	-2	-27	0	1	0	558	-2	141	0	1	0	558	
Trave Acciaio 50a-53a	X	+	15	4 317	0	-9	0	-5 306	15	-990	0	-9	0	-5 306	

Travi - Sollecitazioni per eccentricità accidentale

Id _{Tr}	D _r	e	Estr. Inz.							Estr. Fin.						
			M ₁	M ₂	M ₃	N	T ₂	T ₃	M ₁	M ₂	M ₃	N	T ₂	T ₃		
			[N-m]	[N-m]	[N-m]	[N]	[N]	[N]	[N-m]	[N-m]	[N-m]	[N]	[N]	[N]		
	X	-	-15	-4 317	0	9	0	5 306	-15	990	0	9	0	5 306		
	Y	+	2	369	0	-1	0	-558	2	-189	0	-1	0	-558		
	Y	-	-2	-369	0	1	0	558	-2	189	0	1	0	558		
Trave Acciaio 53a-56a	X	+	15	3 549	0	-9	0	-5 306	15	-1 757	0	-9	0	-5 306		
	X	-	-15	-3 549	0	9	0	5 306	-15	1 757	0	9	0	5 306		
	Y	+	2	321	0	-1	0	-558	2	-236	0	-1	0	-558		
	Y	-	-2	-321	0	1	0	558	-2	236	0	1	0	558		
Trave Acciaio 56a-59a	X	+	15	2 782	0	-9	0	-5 306	15	-2 524	0	-9	0	-5 306		
	X	-	-15	-2 782	0	9	0	5 306	-15	2 524	0	9	0	5 306		
	Y	+	2	274	0	-1	0	-558	2	-284	0	-1	0	-558		
	Y	-	-2	-274	0	1	0	558	-2	284	0	1	0	558		
Trave Acciaio 59a-62a	X	+	15	2 015	0	-9	0	-5 306	15	-3 292	0	-9	0	-5 306		
	X	-	-15	-2 015	0	9	0	5 306	-15	3 292	0	9	0	5 306		
	Y	+	2	226	0	-1	0	-558	2	-332	0	-1	0	-558		
	Y	-	-2	-226	0	1	0	558	-2	332	0	1	0	558		
Trave Acciaio 62a-65a	X	+	15	1 247	0	-9	0	-5 306	15	-4 059	0	-9	0	-5 306		
	X	-	-15	-1 247	0	9	0	5 306	-15	4 059	0	9	0	5 306		
	Y	+	2	178	0	-1	0	-558	2	-380	0	-1	0	-558		
	Y	-	-2	-178	0	1	0	558	-2	380	0	1	0	558		
Trave Acciaio 65a-68a	X	+	15	480	0	-9	0	-5 306	15	-4 826	0	-9	0	-5 306		
	X	-	-15	-480	0	9	0	5 306	-15	4 826	0	9	0	5 306		
	Y	+	2	130	0	-1	0	-558	2	-428	0	-1	0	-558		
	Y	-	-2	-130	0	1	0	558	-2	428	0	1	0	558		
Trave Acciaio 4-72a	X	+	15	1 879	0	-9	0	-5 306	15	287	0	-9	0	-5 306		
	X	-	-15	-1 879	0	9	0	5 306	-15	-287	0	9	0	5 306		
	Y	+	2	85	0	-1	0	-558	2	-82	0	-1	0	-558		
	Y	-	-2	-85	0	1	0	558	-2	82	0	1	0	558		
Trave Acciaio 72a-75a	X	+	15	4 826	0	-9	0	-5 306	15	-480	0	-9	0	-5 306		
	X	-	-15	-4 826	0	9	0	5 306	-15	480	0	9	0	5 306		
	Y	+	2	428	0	-1	0	-558	2	-130	0	-1	0	-558		
	Y	-	-2	-428	0	1	0	558	-2	130	0	1	0	558		
Trave Acciaio 75a-78a	X	+	15	4 059	0	-9	0	-5 306	15	-1 247	0	-9	0	-5 306		
	X	-	-15	-4 059	0	9	0	5 306	-15	1 247	0	9	0	5 306		
	Y	+	2	380	0	-1	0	-558	2	-178	0	-1	0	-558		
	Y	-	-2	-380	0	1	0	558	-2	178	0	1	0	558		
Trave Acciaio 78a-81a	X	+	15	3 292	0	-9	0	-5 306	15	-2 015	0	-9	0	-5 306		
	X	-	-15	-3 292	0	9	0	5 306	-15	2 015	0	9	0	5 306		
	Y	+	2	332	0	-1	0	-558	2	-226	0	-1	0	-558		
	Y	-	-2	-332	0	1	0	558	-2	226	0	1	0	558		
Trave Acciaio 81a-84a	X	+	15	2 524	0	-9	0	-5 306	15	-2 782	0	-9	0	-5 306		
	X	-	-15	-2 524	0	9	0	5 306	-15	2 782	0	9	0	5 306		
	Y	+	2	284	0	-1	0	-558	2	-274	0	-1	0	-558		
	Y	-	-2	-284	0	1	0	558	-2	274	0	1	0	558		
Trave Acciaio 84a-87a	X	+	15	1 757	0	-9	0	-5 306	15	-3 549	0	-9	0	-5 306		
	X	-	-15	-1 757	0	9	0	5 306	-15	3 549	0	9	0	5 306		
	Y	+	2	236	0	-1	0	-558	2	-321	0	-1	0	-558		
	Y	-	-2	-236	0	1	0	558	-2	321	0	1	0	558		
Trave Acciaio 87a-90a	X	+	15	990	0	-9	0	-5 306	15	-4 317	0	-9	0	-5 306		
	X	-	-15	-990	0	9	0	5 306	-15	4 317	0	9	0	5 306		
	Y	+	2	189	0	-1	0	-558	2	-369	0	-1	0	-558		
	Y	-	-2	-189	0	1	0	558	-2	369	0	1	0	558		
Trave Acciaio 6-115a	X	+	244	5 243	0	-12	0	-6 866	244	-2 309	0	-12	0	-6 866		
	X	-	-244	-5 243	0	12	0	6 866	-244	2 309	0	12	0	6 866		
	Y	+	25	444	0	-1	0	-711	25	-338	0	-1	0	-711		
	Y	-	-25	-444	0	1	0	711	-25	338	0	1	0	711		
Trave Acciaio 115a-118a	X	+	244	2 230	0	-12	0	-6 866	244	-4 636	0	-12	0	-6 866		
	X	-	-244	-2 230	0	12	0	6 866	-244	4 636	0	12	0	6 866		
	Y	+	25	172	0	-1	0	-711	25	-539	0	-1	0	-711		
	Y	-	-25	-172	0	1	0	711	-25	539	0	1	0	711		
Trave Acciaio 118a-121a	X	+	244	-97	0	-12	0	-6 866	244	-6 963	0	-12	0	-6 866		
	X	-	-244	97	0	12	0	6 866	-244	6 963	0	12	0	6 866		
	Y	+	25	-29	0	-1	0	-711	25	-741	0	-1	0	-711		
	Y	-	-25	29	0	1	0	711	-25	741	0	1	0	711		
Trave Acciaio 121a-124a	X	+	244	-2 424	0	-12	0	-6 866	244	-9 289	0	-12	0	-6 866		
	X	-	-244	2 424	0	12	0	6 866	-244	9 289	0	12	0	6 866		
	Y	+	25	-231	0	-1	0	-711	25	-942	0	-1	0	-711		
	Y	-	-25	231	0	1	0	711	-25	942	0	1	0	711		
Trave Acciaio 124a-127a	X	+	244	-4 750	0	-12	0	-6 866	244	-11 616	0	-12	0	-6 866		
	X	-	-244	4 750	0	12	0	6 866	-244	11 616	0	12	0	6 866		
	Y	+	25	-432	0	-1	0	-711	25	-1 143	0	-1	0	-711		
	Y	-	-25	432	0	1	0	711	-25	1 143	0	1	0	711		
Trave Acciaio 127a-130a	X	+	244	-7 077	0	-12	0	-6 866	244	-13 943	0	-12	0	-6 866		
	X	-	-244	7 077	0	12	0	6 866	-244	13 943	0	12	0	6 866		
	Y	+	25	-633	0	-1	0	-711	25	-1 344	0	-1	0	-711		
	Y	-	-25	633	0	1	0	711	-25	1 344	0	1	0	711		
Trave Acciaio 6a-1	X	+	0	9 078	0	0	0	0	0	9 078	0	0	0	0		
	X	-	0	-9 078	0	0	0	0	0	-9 078	0	0	0	0		
	Y	+	0	1 020	0	0	0	0	0	1 020	0	0	0	0		
	Y	-	0	-1 020	0	0	0	0	0	-1 020	0	0	0	0		
Trave Acciaio 46a-3	X	+	-71	916	0	-8	0	-4 722	-71	-2 389	0	-8	0	-4 722		
	X	-	71	-916	0	8	0	4 722	71	2 389	0	8	0	4 722		
	Y	+	-7	203	0	-1	0	-495	-7	-143	0	-1	0	-495		
	Y	-	7	-203	0	1	0	495	7	143	0	1	0	495		
Trave Acciaio 68a-4	X	+	15	-287	0	-9	0	-5 306	15	-1 879	0	-9	0	-5 306		

Travi - Sollecitazioni per eccentricità accidentale

Id _{Tr}	Dir	e	Estr. Inz.							Estr. Fin.						
			M ₁	M ₂	M ₃	N	T ₂	T ₃	M ₁	M ₂	M ₃	N	T ₂	T ₃		
			[N-m]	[N-m]	[N-m]	[N]	[N]	[N]	[N-m]	[N-m]	[N-m]	[N]	[N]	[N]		
	X	-	-15	287	0	9	0	5 306	-15	1 879	0	9	0	5 306		
	Y	+	2	82	0	-1	0	-558	2	-85	0	-1	0	-558		
	Y	-	-2	-82	0	1	0	558	-2	85	0	1	0	558		
Trave Acciaio 90a-5	X	+	15	222	0	-9	0	-5 306	15	-1 369	0	-9	0	-5 306		
	X	-	-15	-222	0	9	0	5 306	-15	1 369	0	9	0	5 306		
	Y	+	2	141	0	-1	0	-558	2	-27	0	-1	0	-558		
	Y	-	-2	-141	0	1	0	558	-2	27	0	1	0	558		
Trave Acciaio 130a-7	X	+	244	-9 404	0	-12	0	-6 866	244	-12 837	0	-12	0	-6 866		
	X	-	-244	9 404	0	12	0	6 866	-244	12 837	0	12	0	6 866		
	Y	+	25	-834	0	-1	0	-711	25	-1 190	0	-1	0	-711		
	Y	-	-25	834	0	1	0	711	-25	1 190	0	1	0	711		

LEGENDA:

- Id_{Tr}** Identificativo della trave. L'eventuale lettera tra parentesi distingue i diversi tratti della travata al livello considerato.
- Dir** Direzione del sisma.
- e** Segno dell'eccentricità accidentale.
- Estr.** Sollecitazione caratteristiche relative al sistema di riferimento locale 1, 2, 3 (N > 0: compressione).
- Inz./Fin.**

PILASTRI - SOLLECITAZIONI PER CONDIZIONI DI CARICO NON SISMICHE

Pilastri - Sollecitazioni per condizioni di carico non sismiche

Id _{Pil}	CC	Estr. Inf.							Estr. Sup.							Lv
		M ₁	M ₂	M ₃	N	T ₂	T ₃	M ₁	M ₂	M ₃	N	T ₂	T ₃			
		[N-m]	[N-m]	[N-m]	[N]	[N]	[N]	[N-m]	[N-m]	[N-m]	[N]	[N]	[N]			
Pilastrata: Piano Terra																
Pilastro Acciaio 1	001	0	361	0	7 828	0	533	0	1 613	0	4 853	0	533	01		
	002	0	155	0	2 496	0	229	0	693	0	2 496	0	229	01		
	003	0	1 117	0	17 969	0	1 647	0	4 987	0	17 969	0	1 647	01		
	004	0	25	-36 029	8	-14 946	1	0	28	-1 373	8	-14 549	1	01		
	005	0	0	245	0	202	0	0	0	1	0	5	0	01		
	006	0	3	245	-1	202	-5	0	-3	1	-1	5	0	01		
	007	0	-4	245	1	202	5	0	2	1	1	5	0	01		
Pilastro Acciaio 2	001	0	-10	0	9 350	0	-45	0	-116	0	6 375	0	-45	01		
	002	0	-4	0	3 169	0	-20	0	-51	0	3 169	0	-20	01		
	003	0	-32	0	22 820	0	-142	0	-365	0	22 820	0	-142	01		
	004	0	52	-48 771	-1	-20 452	-1	0	50	-1 175	-1	-20 055	-1	01		
	005	0	0	355	0	253	0	0	0	-8	0	56	0	01		
	006	0	2	355	0	253	-6	0	-5	-8	0	56	-1	01		
	007	0	-3	355	0	253	6	0	4	-8	0	56	1	01		
Pilastro Acciaio 3	001	0	8	2	9 284	0	-2	0	3	2	6 309	0	-2	01		
	002	0	4	1	3 141	0	0	0	3	1	3 141	0	0	01		
	003	0	27	8	22 615	0	-1	0	24	8	22 615	0	-1	01		
	004	0	48	-46 905	0	-19 530	0	0	49	-1 476	0	-19 133	0	01		
	005	0	0	238	0	199	0	0	0	1	0	2	0	01		
	006	0	3	238	0	199	-6	0	-5	1	0	2	-1	01		
	007	0	-3	238	0	199	6	0	4	1	0	2	1	01		
Pilastro Acciaio 4	001	0	0	1	9 544	0	0	0	1	1	6 569	0	0	01		
	002	0	0	1	3 330	0	0	0	0	1	3 330	0	0	01		
	003	0	1	6	23 976	0	1	0	3	6	23 976	0	1	01		
	004	0	52	-49 188	0	-20 500	-1	0	49	-1 478	0	-20 103	-1	01		
	005	0	0	226	0	194	0	0	0	1	0	-3	0	01		
	006	0	3	226	0	194	-6	0	-5	1	0	-3	-1	01		
	007	0	-3	226	0	194	6	0	4	1	0	-3	1	01		
Pilastro Acciaio 5	001	0	-8	-1	9 284	0	2	0	-4	-1	6 309	0	2	01		
	002	0	-4	0	3 141	0	0	0	-4	0	3 141	0	0	01		
	003	0	-28	-3	22 618	0	0	0	-27	-4	22 618	0	0	01		
	004	0	48	-46 935	0	-19 544	0	0	49	-1 472	0	-19 147	0	01		
	005	0	0	250	0	205	0	0	0	0	0	8	0	01		
	006	0	3	250	0	205	-6	0	-5	0	0	8	-1	01		
	007	0	-3	250	0	205	6	0	4	0	0	8	1	01		
Pilastro Acciaio 6	001	0	10	0	9 350	0	45	0	116	0	6 375	0	45	01		
	002	0	4	0	3 169	0	20	0	51	0	3 169	0	20	01		
	003	0	32	0	22 820	0	142	0	365	0	22 820	0	142	01		
	004	0	52	-48 671	1	-20 404	-1	0	50	-1 187	1	-20 007	-1	01		
	005	0	0	305	0	230	0	0	0	-3	0	32	0	01		
	006	0	3	305	0	230	-6	0	-5	-3	0	32	-1	01		
	007	0	-3	305	0	230	6	0	4	-3	0	32	1	01		
Pilastro Acciaio 7	001	0	-361	0	7 828	0	-533	0	-1 613	0	4 853	0	-533	01		
	002	0	-155	0	2 496	0	-229	0	-693	0	2 496	0	-229	01		
	003	0	-1 117	0	17 969	0	-1 647	0	-4 988	0	17 969	0	-1 647	01		
	004	0	25	-36 357	-8	-15 093	1	0	28	-1 355	-8	-14 696	1	01		
	005	0	-1	407	0	275	0	0	0	-8	0	78	0	01		
	006	0	3	407	1	275	-5	0	-3	-8	1	78	0	01		
	007	0	-4	407	-1	275	5	0	2	-8	-1	78	0	01		
Pilastro Acciaio 6	001	0	-16	0	8 359	0	18	0	-7	0	7 726	0	18	01		
	002	0	-7	0	2 711	0	8	0	-3	0	2 711	0	8	01		
	003	0	-51	0	19 516	0	57	0	-22	0	19 516	0	57	01		
	004	0	62	-54 157	1	810	-12	0	56	-54 562	1	810	-12	01		
	005	0	0	401	0	38	0	0	0	382	0	38	0	01		
	006	0	5	401	0	38	-1	0	4	382	0	38	-1	01		
	007	0	-6	401	0	38	1	0	-5	382	0	38	1	01		
Pilastro Acciaio 6	001	0	-19	0	6 628	0	-1	0	-20	0	5 995	0	-1	01		
	002	0	-8	0	2 103	0	0	0	-9	0	2 103	0	0	01		

Pilastri - Sollecitazioni per condizioni di carico non sismiche

IdPII	CC	Estr. Inf.						Estr. Sup.						Lv
		M ₁	M ₂	M ₃	N	T ₂	T ₃	M ₁	M ₂	M ₃	N	T ₂	T ₃	
		[N-m]	[N-m]	[N-m]	[N]	[N]	[N]	[N-m]	[N-m]	[N-m]	[N]	[N]	[N]	
	003	0	-60	0	15 143	0	-4	0	-61	0	15 143	0	-4	01
	004	0	64	-42 012	1	14 836	2	0	66	-49 430	1	14 836	2	01
	005	0	0	331	0	-97	0	0	0	380	0	-97	0	01
	006	0	4	331	0	-97	2	0	5	380	0	-97	2	01
	007	0	-5	331	0	-97	-2	0	-6	380	0	-97	-2	01
Pilastro Acciaio 6	001	0	-12	0	4 909	0	-8	0	-16	0	4 276	0	-8	01
	002	0	-5	0	1 500	0	-3	0	-7	0	1 500	0	-3	01
	003	0	-38	0	10 797	0	-25	0	-51	0	10 797	0	-25	01
	004	0	47	-24 131	0	18 188	22	0	58	-33 225	0	18 188	22	01
	005	0	0	197	0	-140	0	0	0	267	0	-140	0	01
	006	0	2	197	0	-140	2	0	3	267	0	-140	2	01
	007	0	-3	197	0	-140	-2	0	-4	267	0	-140	-2	01
Pilastro Acciaio 5	001	0	-2	0	4 877	0	-2	0	-3	0	4 244	0	-2	01
	002	0	-1	0	1 486	0	-1	0	-1	0	1 486	0	-1	01
	003	0	-5	-1	10 702	1	-7	0	-9	-1	10 702	1	-7	01
	004	0	45	-23 211	0	17 506	20	0	55	-31 964	0	17 506	20	01
	005	0	0	169	0	-119	0	0	0	228	0	-119	0	01
	006	0	2	169	0	-119	2	0	3	228	0	-119	2	01
	007	0	-3	169	0	-119	-2	0	-4	228	0	-119	-2	01
Pilastro Acciaio 5	001	0	-5	0	6 584	0	-3	0	-6	0	5 951	0	-3	01
	002	0	-2	0	2 085	0	-1	0	-2	0	2 085	0	-1	01
	003	0	-13	-2	15 009	1	-9	0	-18	-2	15 009	1	-9	01
	004	0	61	-40 427	0	14 302	2	0	62	-47 577	0	14 302	2	01
	005	0	0	282	0	-80	0	0	0	322	0	-80	0	01
	006	0	4	282	0	-80	2	0	5	322	0	-80	2	01
	007	0	-5	282	0	-80	-2	0	-5	322	0	-80	-2	01
Pilastro Acciaio 5	001	0	-7	0	8 302	0	-2	0	-8	-1	7 669	0	-2	01
	002	0	-3	0	2 687	0	-1	0	-4	0	2 687	0	-1	01
	003	0	-22	-2	19 343	1	-8	0	-26	-3	19 343	1	-8	01
	004	0	58	-52 146	0	837	-12	0	52	-52 565	0	837	-12	01
	005	0	0	339	0	39	0	0	0	319	0	39	0	01
	006	0	5	339	0	39	-1	0	5	319	0	39	-1	01
	007	0	-6	339	0	39	1	0	-5	319	0	39	1	01
Pilastro Acciaio 4	001	0	0	0	5 000	0	0	0	0	1	4 367	0	0	01
	002	0	0	0	1 576	0	0	0	0	0	1 576	0	0	01
	003	0	0	2	11 344	-2	0	0	0	3	11 344	-2	0	01
	004	0	48	-24 333	0	18 351	22	0	59	-33 509	0	18 351	22	01
	005	0	0	156	0	-110	0	0	0	211	0	-110	0	01
	006	0	2	156	0	-110	2	0	3	211	0	-110	2	01
	007	0	-3	156	0	-110	-2	0	-4	211	0	-110	-2	01
Pilastro Acciaio 4	001	0	0	1	6 757	0	0	0	0	1	6 124	0	0	01
	002	0	0	0	2 210	0	0	0	0	1	2 210	0	0	01
	003	0	0	4	15 910	-2	0	0	0	4	15 910	-2	0	01
	004	0	65	-42 379	0	14 989	3	0	67	-49 873	0	14 989	3	01
	005	0	0	261	0	-73	0	0	0	297	0	-73	0	01
	006	0	4	261	0	-73	2	0	5	297	0	-73	2	01
	007	0	-5	261	0	-73	-2	0	-5	297	0	-73	-2	01
Pilastro Acciaio 4	001	0	0	1	8 525	0	0	0	0	1	7 892	0	0	01
	002	0	0	1	2 848	0	0	0	0	1	2 848	0	0	01
	003	0	0	5	20 505	-1	1	0	0	6	20 505	-1	1	01
	004	0	63	-54 660	0	870	-12	0	57	-55 095	0	870	-12	01
	005	0	0	311	0	39	0	0	0	292	0	39	0	01
	006	0	5	311	0	39	-1	0	5	292	0	39	-1	01
	007	0	-6	311	0	39	1	0	-5	292	0	39	1	01
Pilastro Acciaio 3	001	0	2	0	4 877	0	2	0	3	1	4 244	0	2	01
	002	0	1	0	1 486	0	1	0	1	0	1 486	0	1	01
	003	0	6	2	10 701	-2	7	0	9	4	10 701	-2	7	01
	004	0	45	-23 196	0	17 494	20	0	55	-31 943	0	17 494	20	01
	005	0	0	162	0	-114	0	0	0	219	0	-114	0	01
	006	0	2	162	0	-114	2	0	3	219	0	-114	2	01
	007	0	-3	162	0	-114	-2	0	-4	219	0	-114	-2	01
Pilastro Acciaio 3	001	0	5	1	6 584	0	3	0	6	1	5 951	0	3	01
	002	0	2	1	2 084	0	1	0	2	1	2 084	0	1	01
	003	0	13	5	15 008	-2	9	0	18	6	15 008	-2	9	01
	004	0	61	-40 399	0	14 292	2	0	62	-47 546	0	14 292	2	01
	005	0	0	271	0	-77	0	0	0	309	0	-77	0	01
	006	0	4	271	0	-77	2	0	5	309	0	-77	2	01
	007	0	-5	271	0	-77	-2	0	-5	309	0	-77	-2	01
Pilastro Acciaio 3	001	0	7	1	8 302	0	2	0	8	1	7 669	0	2	01
	002	0	3	1	2 686	0	1	0	4	1	2 686	0	1	01
	003	0	22	7	19 342	-2	7	0	26	8	19 342	-2	7	01
	004	0	58	-52 112	0	838	-12	0	52	-52 530	0	838	-12	01
	005	0	0	325	0	39	0	0	0	305	0	39	0	01
	006	0	5	325	0	39	-1	0	5	305	0	39	-1	01
	007	0	-6	325	0	39	1	0	-5	305	0	39	1	01
Pilastro Acciaio 2	001	0	12	0	4 909	0	8	0	16	0	4 276	0	8	01
	002	0	5	0	1 500	0	3	0	7	0	1 500	0	3	01
	003	0	38	0	10 797	0	25	0	51	0	10 797	0	25	01
	004	0	47	-24 183	0	18 227	22	0	58	-33 297	0	18 227	22	01
	005	0	0	223	0	-159	0	0	-1	302	0	-159	0	01
	006	0	2	223	0	-159	2	0	3	302	0	-159	2	01
	007	0	-3	223	0	-159	-2	0	-4	302	0	-159	-2	01
Pilastro Acciaio 2	001	0	19	0	6 628	0	1	0	20	0	5 995	0	1	01
	002	0	8	0	2 103	0	1	0	9	0	2 103	0	1	01

Pilastri - Sollecitazioni per condizioni di carico non sismiche

IdPII	CC	Estr. Inf.						Estr. Sup.						Lv
		M ₁	M ₂	M ₃	N	T ₂	T ₃	M ₁	M ₂	M ₃	N	T ₂	T ₃	
		[N-m]	[N-m]	[N-m]	[N]	[N]	[N]	[N-m]	[N-m]	[N-m]	[N]	[N]	[N]	
	003	0	60	0	15 143	0	4	0	62	0	15 143	0	4	01
	004	0	64	-42 102	-1	14 867	3	0	66	-49 536	-1	14 867	3	01
	005	0	-1	375	0	-113	0	0	-1	432	0	-113	0	01
	006	0	4	375	0	-113	2	0	5	432	0	-113	2	01
	007	0	-5	375	0	-113	-2	0	-6	432	0	-113	-2	01
Pilastro Acciaio 2	001	0	17	0	8 359	0	-18	0	7	0	7 726	0	-18	01
	002	0	7	0	2 711	0	-8	0	3	0	2 711	0	-8	01
	003	0	51	0	19 517	0	-57	0	22	0	19 517	0	-57	01
	004	0	62	-54 272	-1	809	-12	0	56	-54 677	-1	809	-12	01
	005	0	-1	458	0	39	0	0	0	439	0	39	0	01
	006	0	5	458	0	39	-1	0	4	439	0	39	-1	01
	007	0	-6	458	0	39	1	0	-5	439	0	39	1	01
Pilastro Acciaio 1	001	0	-98	0	4 188	0	-36	0	-116	0	3 555	0	-36	01
	002	0	-42	0	1 181	0	-16	0	-50	0	1 181	0	-16	01
	003	0	-304	0	8 502	0	-113	0	-360	0	8 502	0	-113	01
	004	0	32	-17 793	4	13 424	13	0	38	-24 504	4	13 424	13	01
	005	0	0	166	0	-117	0	0	0	224	0	-117	0	01
	006	0	2	166	0	-117	2	0	3	224	0	-117	2	01
	007	0	-3	166	0	-117	-2	0	-4	224	0	-117	-2	01
Pilastro Acciaio 1	001	0	-115	0	5 618	0	67	0	-81	0	4 985	0	67	01
	002	0	-49	0	1 656	0	29	0	-35	0	1 656	0	29	01
	003	0	-355	0	11 925	0	206	0	-252	0	11 925	0	206	01
	004	0	40	-30 995	5	10 976	-3	0	39	-36 483	5	10 976	-3	01
	005	0	0	277	0	-79	0	0	0	316	0	-79	0	01
	006	0	4	277	-1	-79	2	0	5	316	-1	-79	2	01
	007	0	-5	277	0	-79	-2	0	-5	316	0	-79	-2	01
Pilastro Acciaio 1	001	0	-2	0	7 057	0	284	0	140	0	6 424	0	284	01
	002	0	-1	0	2 134	0	122	0	60	0	2 134	0	122	01
	003	0	-5	0	15 368	0	880	0	434	0	15 368	0	880	01
	004	0	34	-39 995	7	667	-12	0	28	-40 329	7	667	-12	01
	005	0	0	332	0	39	0	0	0	313	0	39	0	01
	006	0	5	332	-1	39	-1	0	5	313	-1	39	-1	01
	007	0	-6	332	1	39	1	0	-5	313	1	39	1	01
Pilastro Acciaio 7	001	0	-140	1	7 781	-4	-441	0	-361	3	7 148	-4	-441	01
	002	0	-60	1	2 375	-2	-190	0	-155	1	2 375	-2	-190	01
	003	0	-434	4	17 100	-12	-1 365	0	-1 117	10	17 100	-12	-1 365	01
	004	0	-326	-40 698	-8	-8 686	69	0	-292	-36 355	-8	-8 686	69	01
	005	0	4	497	0	180	-1	0	3	407	0	180	-1	01
	006	0	9	497	1	180	-5	0	6	407	1	180	-5	01
	007	0	-1	497	-1	180	2	0	0	407	-1	180	2	01
Pilastro Acciaio 7	001	0	116	-1	4 902	0	-3	0	115	-1	4 269	0	-3	01
	002	0	50	0	1 418	0	-1	0	49	0	1 418	0	-1	01
	003	0	360	-3	10 211	0	-9	0	355	-3	10 211	0	-9	01
	004	0	-177	-24 733	-5	13 101	-109	0	-232	-31 283	-5	13 101	-109	01
	005	0	2	338	0	-165	1	0	3	421	0	-165	1	01
	006	0	6	338	0	-165	3	0	7	420	0	-165	3	01
	007	0	-1	338	0	-165	-1	0	-1	421	0	-165	-1	01
Pilastro Acciaio 7	001	0	81	-1	6 336	-1	-159	0	2	0	5 703	-1	-159	01
	002	0	35	0	1 895	-1	-69	0	1	0	1 895	-1	-69	01
	003	0	252	-2	13 643	-5	-493	0	5	0	13 643	-5	-493	01
	004	0	-282	-36 821	-6	7 085	-71	0	-317	-40 364	-6	7 085	-71	01
	005	0	4	485	0	-63	1	0	4	516	0	-63	1	01
	006	0	9	485	1	-63	1	0	9	516	1	-63	1	01
	007	0	-1	485	-1	-63	0	0	-2	516	-1	-63	0	01
Pilastro Acciaio 7	001	0	115	0	5 618	0	-67	0	81	0	4 985	0	-67	01
	002	0	49	0	1 656	0	-29	0	35	0	1 656	0	-29	01
	003	0	355	0	11 925	0	-206	0	252	0	11 925	0	-206	01
	004	0	41	-31 284	-5	11 076	-3	0	40	-36 822	-5	11 076	-3	01
	005	0	-1	421	0	-129	0	0	-1	485	0	-129	0	01
	006	0	3	421	1	-129	2	0	4	485	1	-129	2	01
	007	0	-5	421	0	-129	-2	0	-6	485	0	-129	-2	01
Pilastro Acciaio 7	001	0	2	0	7 057	0	-284	0	-140	0	6 424	0	-284	01
	002	0	1	0	2 134	0	-122	0	-60	0	2 134	0	-122	01
	003	0	5	0	15 368	0	-880	0	-434	0	15 368	0	-880	01
	004	0	35	-40 365	-7	668	-12	0	29	-40 699	-7	668	-12	01
	005	0	-1	516	0	38	0	0	-1	497	0	38	0	01
	006	0	5	516	1	38	-1	0	4	497	1	38	-1	01
	007	0	-6	516	-1	38	1	0	-6	497	-1	38	1	01
Pilastro Acciaio 7	001	0	98	0	4 188	0	36	0	116	0	3 555	0	36	01
	002	0	42	0	1 181	0	16	0	50	0	1 181	0	16	01
	003	0	304	0	8 502	0	113	0	360	0	8 502	0	113	01
	004	0	32	-17 959	-4	13 549	13	0	38	-24 734	-4	13 549	13	01
	005	0	-1	248	0	-179	0	0	-1	338	0	-179	0	01
	006	0	2	248	0	-179	2	0	3	338	0	-179	2	01
	007	0	-3	248	0	-179	-2	0	-4	338	0	-179	-2	01
Pilastro Acciaio 6	001	0	-16	0	5 767	0	-6	0	-19	0	5 134	0	-6	01
	002	0	-7	0	1 801	0	-2	0	-8	0	1 801	0	-2	01
	003	0	-51	0	12 968	0	-18	0	-60	0	12 968	0	-18	01
	004	0	-232	-33 224	0	17 573	-141	0	-302	-42 011	0	17 573	-141	01
	005	0	2	267	0	-128	1	0	2	331	0	-128	1	01
	006	0	5	267	0	-128	3	0	7	331	0	-128	3	01
	007	0	-1	267	0	-128	-1	0	-2	331	0	-128	-1	01
Pilastro Acciaio 6	001	0	-20	0	7 492	0	6	0	-16	0	6 859	0	6	01
	002	0	-9	0	2 406	0	3	0	-7	0	2 406	0	3	01

Pilastri - Sollecitazioni per condizioni di carico non sismiche

IdPII	CC	Estr. Inf.						Estr. Sup.						Lv
		M ₁	M ₂	M ₃	N	T ₂	T ₃	M ₁	M ₂	M ₃	N	T ₂	T ₃	
		[N-m]	[N-m]	[N-m]	[N]	[N]	[N]	[N-m]	[N-m]	[N-m]	[N]	[N]	[N]	
	003	0	-61	0	17 326	0	21	0	-51	0	17 326	0	21	01
	004	0	-366	-49 429	1	9 454	-90	0	-411	-54 156	1	9 454	-90	01
	005	0	3	379	0	-43	0	0	3	401	0	-43	0	01
	006	0	8	379	0	-43	1	0	8	401	0	-43	1	01
	007	0	-2	380	0	-43	0	0	-2	401	0	-43	0	01
Pilastro Acciaio 6	001	0	-7	0	9 229	0	34	0	10	0	8 596	0	34	01
	002	0	-3	0	3 016	0	15	0	4	0	3 016	0	15	01
	003	0	-22	0	21 715	1	109	0	32	-1	21 715	1	109	01
	004	0	-420	-54 561	1	-11 783	94	0	-373	-48 669	1	-11 783	94	01
	005	0	3	382	0	153	-1	0	2	305	0	153	-1	01
	006	0	8	382	0	153	-5	0	5	305	0	153	-5	01
	007	0	-2	382	0	153	3	0	-1	305	0	153	3	01
Pilastro Acciaio 5	001	0	-3	0	5 730	0	-3	0	-5	0	5 097	0	-3	01
	002	0	-1	0	1 785	0	-1	0	-2	0	1 785	0	-1	01
	003	0	-9	-1	12 853	1	-8	0	-13	-2	12 853	1	-8	01
	004	0	-224	-31 964	0	16 924	-136	0	-292	-40 425	0	16 924	-136	01
	005	0	2	228	0	-108	1	0	2	282	0	-108	1	01
	006	0	5	228	0	-108	3	0	6	282	0	-108	3	01
	007	0	-2	228	0	-108	-1	0	-2	282	0	-108	-1	01
Pilastro Acciaio 5	001	0	-6	0	7 442	0	-3	0	-7	0	6 809	0	-3	01
	002	0	-2	0	2 385	0	-1	0	-3	0	2 385	0	-1	01
	003	0	-18	-2	17 172	1	-9	0	-22	-2	17 172	1	-9	01
	004	0	-354	-47 576	0	9 137	-87	0	-397	-52 145	0	9 137	-87	01
	005	0	2	322	0	-33	0	0	3	339	0	-33	0	01
	006	0	8	322	0	-33	1	0	8	339	0	-33	1	01
	007	0	-3	322	0	-33	0	0	-3	339	0	-33	0	01
Pilastro Acciaio 5	001	0	-8	0	9 167	0	0	0	-8	-1	8 534	0	0	01
	002	0	-4	0	2 989	0	0	0	-4	0	2 989	0	0	01
	003	0	-26	-3	21 523	0	-4	0	-28	-3	21 523	0	-4	01
	004	0	-407	-52 563	0	-11 259	90	0	-361	-46 934	0	-11 259	90	01
	005	0	3	319	0	139	-1	0	2	250	0	139	-1	01
	006	0	7	319	0	139	-5	0	5	250	0	139	-5	01
	007	0	-2	319	0	139	3	0	-1	250	0	139	3	01
Pilastro Acciaio 4	001	0	0	1	5 877	0	0	0	0	1	5 244	0	0	01
	002	0	0	0	1 892	0	0	0	0	0	1 892	0	0	01
	003	0	0	3	13 624	-2	0	0	0	4	13 624	-2	0	01
	004	0	-234	-33 508	0	17 739	-142	0	-305	-42 378	0	17 739	-142	01
	005	0	2	211	0	-99	1	0	2	261	0	-99	1	01
	006	0	5	211	0	-99	3	0	6	261	0	-99	3	01
	007	0	-2	211	0	-99	-1	0	-2	261	0	-99	-1	01
Pilastro Acciaio 4	001	0	0	1	7 639	0	0	0	0	1	7 006	0	0	01
	002	0	0	1	2 528	0	0	0	0	1	2 528	0	0	01
	003	0	0	4	18 204	-2	0	0	0	5	18 204	-2	0	01
	004	0	-369	-49 872	0	9 573	-91	0	-414	-54 658	0	9 573	-91	01
	005	0	2	297	0	-28	0	0	2	311	0	-28	0	01
	006	0	7	297	0	-28	1	0	8	311	0	-28	1	01
	007	0	-3	297	0	-28	0	0	-3	312	0	-28	0	01
Pilastro Acciaio 4	001	0	0	1	9 414	0	0	0	0	1	8 781	0	0	01
	002	0	0	1	3 169	0	0	0	0	1	3 169	0	0	01
	003	0	0	6	22 815	-1	1	0	1	6	22 815	-1	1	01
	004	0	-424	-55 093	0	-11 814	94	0	-377	-49 186	0	-11 814	94	01
	005	0	2	292	0	133	-1	0	2	226	0	133	-1	01
	006	0	7	292	0	132	-5	0	5	226	0	132	-5	01
	007	0	-3	292	0	133	3	0	-1	226	0	133	3	01
Pilastro Acciaio 3	001	0	3	1	5 729	0	3	0	5	1	5 096	0	3	01
	002	0	1	0	1 785	0	1	0	2	1	1 785	0	1	01
	003	0	9	3	12 851	-2	8	0	13	5	12 851	-2	8	01
	004	0	-224	-31 942	0	16 912	-136	0	-292	-40 398	0	16 912	-136	01
	005	0	2	219	0	-103	1	0	2	271	0	-103	1	01
	006	0	5	219	0	-103	3	0	6	271	0	-103	3	01
	007	0	-2	219	0	-103	-1	0	-2	271	0	-103	-1	01
Pilastro Acciaio 3	001	0	6	1	7 441	0	3	0	7	1	6 808	0	3	01
	002	0	2	1	2 385	0	1	0	3	1	2 385	0	1	01
	003	0	18	6	17 171	-2	9	0	23	7	17 171	-2	9	01
	004	0	-353	-47 544	0	9 132	-87	0	-397	-52 110	0	9 132	-87	01
	005	0	2	309	0	-31	0	0	3	325	0	-31	0	01
	006	0	7	309	0	-31	1	0	8	324	0	-31	1	01
	007	0	-3	309	0	-31	0	0	-3	325	0	-31	0	01
Pilastro Acciaio 3	001	0	8	1	9 166	0	0	0	8	1	8 533	0	0	01
	002	0	4	1	2 989	0	0	0	4	1	2 989	0	0	01
	003	0	26	8	21 521	-1	3	0	28	8	21 521	-1	3	01
	004	0	-406	-52 529	0	-11 251	90	0	-361	-46 903	0	-11 251	90	01
	005	0	2	305	0	135	-1	0	2	238	0	135	-1	01
	006	0	7	305	0	135	-5	0	5	238	0	135	-5	01
	007	0	-2	305	0	135	3	0	-1	238	0	135	3	01
Pilastro Acciaio 2	001	0	16	0	5 767	0	6	0	19	0	5 134	0	6	01
	002	0	7	0	1 801	0	2	0	8	0	1 801	0	2	01
	003	0	51	0	12 968	0	18	0	60	0	12 968	0	18	01
	004	0	-232	-33 296	0	17 611	-141	0	-303	-42 101	0	17 611	-141	01
	005	0	2	302	0	-147	1	0	3	375	0	-147	1	01
	006	0	5	302	0	-147	3	0	7	375	0	-147	3	01
	007	0	-1	302	0	-147	-1	0	-2	375	0	-147	-1	01
Pilastro Acciaio 2	001	0	20	0	7 492	0	-6	0	17	0	6 859	0	-6	01
	002	0	9	0	2 406	0	-3	0	7	0	2 406	0	-3	01

Pilastri - Sollecitazioni per condizioni di carico non sismiche

IdPII	CC	Estr. Inf.						Estr. Sup.						Lv
		M ₁ [N-m]	M ₂ [N-m]	M ₃ [N-m]	N [N]	T ₂ [N]	T ₃ [N]	M ₁ [N-m]	M ₂ [N-m]	M ₃ [N-m]	N [N]	T ₂ [N]	T ₃ [N]	
	003	0	62	0	17 326	0	-21	0	51	0	17 326	0	-21	01
	004	0	-367	-49 535	-1	9 473	-90	0	-411	-54 271	-1	9 473	-90	01
	005	0	3	432	0	-53	1	0	3	458	0	-53	1	01
	006	0	8	432	0	-53	1	0	9	458	0	-53	1	01
	007	0	-2	432	0	-53	0	0	-2	458	0	-53	0	01
Pilastro Acciaio 2	001	0	7	0	9 229	0	-34	0	-10	0	8 596	0	-34	01
	002	0	3	0	3 016	0	-15	0	-4	0	3 016	0	-15	01
	003	0	22	0	21 716	-1	-109	0	-32	1	21 716	-1	-109	01
	004	0	-421	-54 675	-1	-11 812	94	0	-374	-48 770	-1	-11 812	94	01
	005	0	3	439	0	167	-1	0	3	355	0	167	-1	01
	006	0	8	439	0	167	-5	0	6	355	0	167	-5	01
	007	0	-2	439	0	167	2	0	0	355	0	167	2	01
Pilastro Acciaio 1	001	0	-116	1	4 902	0	3	0	-115	1	4 269	0	3	01
	002	0	-50	0	1 418	0	1	0	-49	0	1 418	0	1	01
	003	0	-360	3	10 211	0	9	0	-355	3	10 211	0	9	01
	004	0	-176	-24 504	5	12 981	-108	0	-230	-30 994	5	12 981	-108	01
	005	0	2	224	0	-106	1	0	2	277	0	-106	1	01
	006	0	5	224	0	-106	3	0	6	277	0	-106	3	01
	007	0	-2	224	0	-106	-1	0	-2	277	0	-106	-1	01
Pilastro Acciaio 1	001	0	-81	1	6 336	1	159	0	-2	0	5 703	1	159	01
	002	0	-35	0	1 895	1	69	0	-1	0	1 895	1	69	01
	003	0	-252	2	13 643	5	493	0	-5	0	13 643	5	493	01
	004	0	-279	-36 482	6	7 023	-71	0	-315	-39 994	6	7 023	-71	01
	005	0	2	316	0	-32	0	0	3	332	0	-32	0	01
	006	0	7	316	-1	-32	1	0	8	332	-1	-32	1	01
	007	0	-3	316	1	-32	0	0	-3	332	1	-32	0	01
Pilastro Acciaio 1	001	0	140	-1	7 781	4	441	0	361	-3	7 148	4	441	01
	002	0	60	-1	2 375	2	190	0	155	-1	2 375	2	190	01
	003	0	434	-4	17 100	12	1 364	0	1 117	-10	17 100	12	1 364	01
	004	0	-324	-40 327	8	-8 599	68	0	-290	-36 028	8	-8 599	68	01
	005	0	2	313	0	137	-1	0	2	245	0	137	-1	01
	006	0	7	313	-1	137	-4	0	5	245	-1	137	-4	01
	007	0	-3	313	1	137	2	0	-1	245	1	137	2	01
Pilastro Acciaio 1	001	0	-40	0	2 766	0	-60	0	-70	0	2 133	0	-60	01
	002	0	-17	0	708	0	-26	0	-30	0	708	0	-26	01
	003	0	-125	0	5 095	0	-185	0	-217	0	5 095	0	-185	01
	004	0	13	-6 122	2	10 736	19	0	23	-11 491	2	10 736	19	01
	005	0	0	59	0	-100	0	0	0	109	0	-100	0	01
	006	0	1	59	0	-100	1	0	1	109	0	-100	1	01
	007	0	-1	59	0	-100	-2	0	-2	109	0	-100	-2	01
Pilastro Acciaio 1	001	0	-70	1	3 476	-1	-56	0	-98	1	2 843	-1	-56	01
	002	0	-30	0	944	0	-24	0	-42	0	944	0	-24	01
	003	0	-217	2	6 797	-2	-173	0	-304	3	6 797	-2	-173	01
	004	0	-77	-11 490	3	12 603	-93	0	-124	-17 792	3	12 603	-93	01
	005	0	1	109	0	-114	1	0	1	166	0	-114	1	01
	006	0	2	109	0	-114	3	0	3	166	0	-114	3	01
	007	0	-1	109	0	-114	-1	0	-1	166	0	-114	-1	01
Pilastro Acciaio 1	001	0	-15	0	2 056	-1	-51	0	-40	0	1 423	-1	-51	01
	002	0	-6	0	472	0	-22	0	-17	0	472	0	-22	01
	003	0	-46	0	3 396	-2	-157	0	-125	1	3 396	-2	-157	01
	004	0	-14	-2 144	2	7 956	-53	0	-40	-6 122	2	7 956	-53	01
	005	0	0	21	0	-76	1	0	0	59	0	-76	1	01
	006	0	0	21	0	-76	1	0	1	59	0	-76	1	01
	007	0	0	21	0	-76	0	0	0	59	0	-76	0	01
Pilastro Acciaio 2	001	0	8	0	4 052	0	8	0	12	0	3 419	0	8	01
	002	0	4	0	1 199	0	4	0	5	0	1 199	0	4	01
	003	0	25	0	8 632	0	26	0	38	0	8 632	0	26	01
	004	0	-103	-15 621	0	17 123	-122	0	-164	-24 183	0	17 123	-122	01
	005	0	1	145	0	-154	1	0	2	222	0	-154	1	01
	006	0	2	145	0	-154	3	0	4	222	0	-154	3	01
	007	0	-1	145	0	-154	-1	0	-1	223	0	-154	-1	01
Pilastro Acciaio 2	001	0	2	0	2 344	0	6	0	4	0	1 711	0	6	01
	002	0	1	0	599	0	2	0	2	0	599	0	2	01
	003	0	5	0	4 312	0	18	0	14	0	4 312	0	18	01
	004	0	-18	-2 916	0	10 818	-70	0	-53	-8 325	0	10 818	-70	01
	005	0	0	28	0	-101	1	0	1	78	0	-101	1	01
	006	0	0	28	0	-101	2	0	1	78	0	-101	2	01
	007	0	0	28	0	-101	0	0	0	78	0	-101	0	01
Pilastro Acciaio 3	001	0	1	0	4 027	0	2	0	2	0	3 394	0	2	01
	002	0	0	0	1 188	0	1	0	1	0	1 188	0	1	01
	003	0	3	1	8 555	-2	5	0	6	2	8 555	-2	5	01
	004	0	-99	-14 981	0	16 429	-118	0	-158	-23 195	0	16 429	-118	01
	005	0	1	106	0	-112	1	0	1	162	0	-112	1	01
	006	0	2	106	0	-112	3	0	4	162	0	-112	3	01
	007	0	-1	106	0	-112	-1	0	-1	162	0	-112	-1	01
Pilastro Acciaio 3	001	0	0	0	2 331	0	1	0	1	0	1 698	0	1	01
	002	0	0	0	594	0	0	0	0	0	594	0	0	01
	003	0	0	0	4 273	-1	2	0	1	1	4 273	-1	2	01
	004	0	-17	-2 796	0	10 374	-68	0	-51	-7 983	0	10 374	-68	01
	005	0	0	20	0	-74	1	0	0	57	0	-74	1	01
	006	0	0	20	0	-74	2	0	1	57	0	-74	2	01
	007	0	0	20	0	-74	0	0	0	57	0	-74	0	01
Pilastro Acciaio 4	001	0	0	0	4 126	0	0	0	0	0	3 493	0	0	01
	002	0	0	0	1 260	0	0	0	0	0	1 260	0	0	01

Pilastri - Sollecitazioni per condizioni di carico non sismiche

IdPII	CC	Estr. Inf.						Estr. Sup.						Lv
		M ₁ [N-m]	M ₂ [N-m]	M ₃ [N-m]	N [N]	T ₂ [N]	T ₃ [N]	M ₁ [N-m]	M ₂ [N-m]	M ₃ [N-m]	N [N]	T ₂ [N]	T ₃ [N]	
	003	0	0	1	9 069	-1	0	0	0	2	9 069	-1	0	01
	004	0	-103	-15 716	0	17 234	-123	0	-165	-24 333	0	17 234	-123	01
	005	0	1	103	0	-108	1	0	1	156	0	-108	1	01
	006	0	2	103	0	-108	3	0	3	156	0	-108	3	01
	007	0	-1	103	0	-108	-1	0	-1	156	0	-108	-1	01
Pilastro Acciaio 4	001	0	0	0	2 381	0	0	0	0	0	1 748	0	0	01
	002	0	0	0	629	0	0	0	0	0	629	0	0	01
	003	0	0	0	4 531	-1	0	0	0	1	4 531	-1	0	01
	004	0	-18	-2 933	0	10 883	-71	0	-54	-8 375	0	10 883	-71	01
	005	0	0	20	0	-72	0	0	0	55	0	-72	0	01
	006	0	0	20	0	-72	1	0	1	55	0	-72	1	01
	007	0	0	20	0	-72	-1	0	0	55	0	-72	-1	01
Pilastro Acciaio 5	001	0	-1	0	4 027	0	-2	0	-2	0	3 394	0	-2	01
	002	0	0	0	1 188	0	-1	0	-1	0	1 188	0	-1	01
	003	0	-3	0	8 556	1	-5	0	-5	-1	8 556	1	-5	01
	004	0	-99	-14 991	0	16 440	-118	0	-158	-23 211	0	16 440	-118	01
	005	0	1	111	0	-116	1	0	1	169	0	-116	1	01
	006	0	2	111	0	-116	3	0	4	169	0	-116	3	01
	007	0	-1	111	0	-116	-1	0	-1	169	0	-116	-1	01
Pilastro Acciaio 5	001	0	0	0	2 331	0	-1	0	-1	0	1 698	0	-1	01
	002	0	0	0	594	0	0	0	0	0	594	0	0	01
	003	0	0	0	4 274	0	-2	0	-1	0	4 274	0	-2	01
	004	0	-17	-2 798	0	10 381	-68	0	-51	-7 988	0	10 381	-68	01
	005	0	0	21	0	-77	1	0	0	60	0	-77	1	01
	006	0	0	21	0	-77	2	0	1	60	0	-77	2	01
	007	0	0	21	0	-77	0	0	0	60	0	-77	0	01
Pilastro Acciaio 6	001	0	-8	0	4 052	0	-8	0	-12	0	3 419	0	-8	01
	002	0	-4	0	1 199	0	-4	0	-5	0	1 199	0	-4	01
	003	0	-25	0	8 632	0	-26	0	-38	0	8 632	0	-26	01
	004	0	-103	-15 587	0	17 086	-122	0	-164	-24 130	0	17 086	-122	01
	005	0	1	129	0	-136	1	0	1	197	0	-136	1	01
	006	0	2	129	0	-136	3	0	4	197	0	-136	3	01
	007	0	-1	129	0	-136	-1	0	-1	197	0	-136	-1	01
Pilastro Acciaio 6	001	0	-2	0	2 344	0	-6	0	-4	0	1 711	0	-6	01
	002	0	-1	0	599	0	-2	0	-2	0	599	0	-2	01
	003	0	-5	0	4 312	0	-18	0	-14	0	4 312	0	-18	01
	004	0	-18	-2 910	0	10 794	-70	0	-53	-8 307	0	10 794	-70	01
	005	0	0	25	0	-90	1	0	0	69	0	-90	1	01
	006	0	0	25	0	-90	2	0	1	69	0	-90	2	01
	007	0	0	25	0	-90	0	0	0	69	0	-90	0	01
Pilastro Acciaio 7	001	0	70	-1	3 476	1	56	0	98	-1	2 843	1	56	01
	002	0	30	0	944	0	24	0	42	0	944	0	24	01
	003	0	217	-2	6 797	2	173	0	304	-3	6 797	2	173	01
	004	0	-78	-11 598	-3	12 721	-93	0	-125	-17 959	-3	12 721	-93	01
	005	0	1	162	0	-173	1	0	2	248	0	-173	1	01
	006	0	2	162	0	-173	3	0	4	248	0	-173	3	01
	007	0	0	162	0	-173	-1	0	-1	248	0	-173	-1	01
Pilastro Acciaio 7	001	0	15	0	2 056	1	51	0	40	0	1 423	1	51	01
	002	0	6	0	472	0	22	0	17	0	472	0	22	01
	003	0	46	0	3 396	2	157	0	125	-1	3 396	2	157	01
	004	0	-14	-2 164	-2	8 031	-53	0	-40	-6 180	-2	8 031	-53	01
	005	0	0	31	0	-113	1	0	1	87	0	-113	1	01
	006	0	0	31	0	-113	2	0	1	87	0	-113	2	01
	007	0	0	31	0	-113	0	0	0	87	0	-113	0	01
Pilastro Acciaio 2	001	0	4	0	3 197	0	7	0	8	0	2 564	0	7	01
	002	0	2	0	899	0	3	0	4	0	899	0	3	01
	003	0	14	0	6 471	0	23	0	25	0	6 471	0	23	01
	004	0	19	-8 325	0	14 593	28	0	34	-15 621	0	14 593	28	01
	005	0	0	78	0	-134	0	0	0	145	0	-134	0	01
	006	0	1	78	0	-134	1	0	1	145	0	-134	1	01
	007	0	-1	78	0	-134	-2	0	-2	145	0	-134	-2	01
Pilastro Acciaio 2	001	0	0	0	1 485	0	3	0	2	0	858	0	3	01
	002	0	0	0	299	0	1	0	1	0	299	0	1	01
	003	0	0	0	2 155	0	10	0	5	0	2 155	0	10	01
	004	0	0	0	0	5 891	15	0	7	-2 916	0	5 891	15	01
	005	0	0	0	0	-56	0	0	0	28	0	-56	0	01
	006	0	0	0	0	-56	0	0	0	28	0	-56	0	01
	007	0	0	0	0	-56	-1	0	0	28	0	-56	-1	01
Pilastro Acciaio 3	001	0	1	0	3 179	0	1	0	1	0	2 546	0	1	01
	002	0	0	0	891	0	0	0	0	0	891	0	0	01
	003	0	1	1	6 413	-1	3	0	3	2	6 413	-1	3	01
	004	0	18	-7 983	0	13 997	27	0	32	-14 981	0	13 997	27	01
	005	0	0	57	0	-98	0	0	0	106	0	-98	0	01
	006	0	1	57	0	-98	1	0	1	106	0	-98	1	01
	007	0	-1	57	0	-98	-2	0	-2	106	0	-98	-2	01
Pilastro Acciaio 3	001	0	0	0	1 479	0	0	0	0	0	852	0	0	01
	002	0	0	0	297	0	0	0	0	0	297	0	0	01
	003	0	0	0	2 136	-1	1	0	0	0	2 136	-1	1	01
	004	0	0	0	0	5 648	14	0	7	-2 796	0	5 648	14	01
	005	0	0	0	0	-41	0	0	0	20	0	-41	0	01
	006	0	0	0	0	-41	0	0	0	20	0	-41	0	01
	007	0	0	0	0	-41	-1	0	0	20	0	-41	-1	01
Pilastro Acciaio 4	001	0	0	0	3 252	0	0	0	0	0	2 619	0	0	01
	002	0	0	0	944	0	0	0	0	0	944	0	0	01

Pilastri - Sollecitazioni per condizioni di carico non sismiche

Id _{PII}	CC	Estr. Inf.						Estr. Sup.						Lv
		M ₁ [N-m]	M ₂ [N-m]	M ₃ [N-m]	N [N]	T ₂ [N]	T ₃ [N]	M ₁ [N-m]	M ₂ [N-m]	M ₃ [N-m]	N [N]	T ₂ [N]	T ₃ [N]	
	003	0	0	1	6 798	-1	0	0	0	1	6 798	-1	0	01
	004	0	20	-8 375	0	14 683	29	0	34	-15 716	0	14 683	29	01
	005	0	0	55	0	-94	0	0	0	103	0	-94	0	01
	006	0	1	55	0	-94	1	0	1	103	0	-94	1	01
	007	0	-1	55	0	-94	-2	0	-2	103	0	-94	-2	01
Pilastro Acciaio 4	001	0	0	0	1 503	0	0	0	0	0	877	0	0	01
	002	0	0	0	315	0	0	0	0	0	315	0	0	01
	003	0	0	0	2 265	0	0	0	0	0	2 265	0	0	01
	004	0	0	0	0	5 926	15	0	7	-2 933	0	5 926	15	01
	005	0	0	0	0	-40	0	0	0	20	0	-40	0	01
	006	0	0	0	0	-40	0	0	0	20	0	-40	0	01
	007	0	0	0	0	-40	-1	0	0	20	0	-40	-1	01
Pilastro Acciaio 5	001	0	-1	0	3 179	0	-1	0	-1	0	2 546	0	-1	01
	002	0	0	0	891	0	0	0	0	0	891	0	0	01
	003	0	-1	0	6 413	1	-3	0	-3	-1	6 413	1	-3	01
	004	0	18	-7 988	0	14 006	27	0	32	-14 991	0	14 006	27	01
	005	0	0	60	0	-102	0	0	0	111	0	-102	0	01
	006	0	1	60	0	-102	1	0	1	111	0	-102	1	01
	007	0	-1	60	0	-102	-2	0	-2	111	0	-102	-2	01
Pilastro Acciaio 5	001	0	0	0	1 479	0	0	0	0	0	852	0	0	01
	002	0	0	0	297	0	0	0	0	0	297	0	0	01
	003	0	0	0	2 136	0	-1	0	0	0	2 136	0	-1	01
	004	0	0	0	0	5 652	14	0	7	-2 798	0	5 652	14	01
	005	0	0	0	0	-43	0	0	0	21	0	-43	0	01
	006	0	0	0	0	-43	0	0	0	21	0	-43	0	01
	007	0	0	0	0	-43	-1	0	0	21	0	-43	-1	01
Pilastro Acciaio 6	001	0	-4	0	3 197	0	-7	0	-8	0	2 564	0	-7	01
	002	0	-2	0	899	0	-3	0	-4	0	899	0	-3	01
	003	0	-14	0	6 471	0	-23	0	-25	0	6 471	0	-23	01
	004	0	19	-8 307	0	14 561	28	0	33	-15 587	0	14 561	28	01
	005	0	0	69	0	-119	0	0	0	129	0	-119	0	01
	006	0	1	69	0	-119	1	0	1	129	0	-119	1	01
	007	0	-1	69	0	-119	-2	0	-2	129	0	-119	-2	01
Pilastro Acciaio 6	001	0	0	0	1 485	0	-3	0	-2	0	858	0	-3	01
	002	0	0	0	299	0	-1	0	-1	0	299	0	-1	01
	003	0	0	0	2 155	0	-10	0	-5	0	2 155	0	-10	01
	004	0	0	0	0	5 878	15	0	7	-2 910	0	5 878	15	01
	005	0	0	0	0	-50	0	0	0	25	0	-50	0	01
	006	0	0	0	0	-50	0	0	0	25	0	-50	0	01
	007	0	0	0	0	-50	-1	0	0	25	0	-50	-1	01
Pilastro Acciaio 7	001	0	40	0	2 766	0	60	0	70	0	2 133	0	60	01
	002	0	17	0	708	0	26	0	30	0	708	0	26	01
	003	0	125	0	5 095	0	185	0	217	0	5 095	0	185	01
	004	0	14	-6 180	-2	10 837	19	0	23	-11 598	-2	10 837	19	01
	005	0	0	87	0	-150	0	0	0	162	0	-150	0	01
	006	0	0	87	0	-150	1	0	1	162	0	-150	1	01
	007	0	-1	87	0	-150	-2	0	-2	162	0	-150	-2	01
Pilastro Acciaio 7	001	0	0	0	1 341	0	30	0	15	0	714	0	30	01
	002	0	0	0	236	0	13	0	6	0	236	0	13	01
	003	0	0	0	1 697	0	93	0	46	0	1 697	0	93	01
	004	0	0	0	-1	4 372	10	0	5	-2 164	-1	4 372	10	01
	005	0	0	0	0	-62	0	0	0	31	0	-62	0	01
	006	0	0	0	0	-62	0	0	0	31	0	-62	0	01
	007	0	0	0	0	-62	-1	0	0	31	0	-62	-1	01
Pilastro Acciaio 1	001	0	0	0	1 341	0	-30	0	-15	0	714	0	-30	01
	002	0	0	0	236	0	-13	0	-6	0	236	0	-13	01
	003	0	0	0	1 697	1	-93	0	-46	0	1 697	1	-93	01
	004	0	0	0	1	4 331	48	0	24	-2 144	1	4 331	48	01
	005	0	0	0	0	-42	0	0	0	21	0	-42	0	01
	006	0	0	0	0	-42	0	0	0	21	0	-42	0	01
	007	0	0	0	0	-42	-1	0	0	21	0	-42	-1	01

LEGENDA:

- Id_{PII}** Identificativo del Pilastro.
- CC** Identificativo della tipologia di carico nella relativa tabella.
- Lv** Identificativo del livello, nella relativa tabella.
- Estr.** Sollecitazione caratteristiche relative al sistema di riferimento locale 1, 2, 3 (N > 0: compressione).
- Inf./Sup.**

PILASTRI - SOLLECITAZIONI PER EFFETTO DEL SISMA

Id _{PII}	Dir	Dist r	Estr. Inf.						Estr. Sup.						Lv
			M ₁ [N-m]	M ₂ [N-m]	M ₃ [N-m]	N [N]	T ₂ [N]	T ₃ [N]	M ₁ [N-m]	M ₂ [N-m]	M ₃ [N-m]	N [N]	T ₂ [N]	T ₃ [N]	
Pilastrata: Piano Terra															
Pilastro Acciaio 1	X	-	0	5	4 110	0	1 649	1	0	4	426	0	1 649	1	01
	Y	-	0	2 504	4	645	2	1 790	0	1 703	0	645	2	1 790	01
	Z	-	0	0	0	0	0	0	0	0	0	0	0	0	01
Pilastro Acciaio 2	X	-	0	4	5 525	2	2 254	1	0	7	437	2	2 254	1	01
	Y	-	0	2 116	5	98	3	2 384	0	3 487	2	98	3	2 384	01
	Z	-	0	0	0	0	0	0	0	0	0	0	0	0	01
Pilastro Acciaio 3	X	-	0	6	5 335	0	2 187	2	0	7	470	0	2 187	2	01
	Y	-	0	2 150	6	8	1	2 333	0	3 332	3	8	1	2 333	01

Pilastri - Sollecitazioni per effetto del sisma

Id _{PII}	Dir	Dist r	Estr. Inf.						Estr. Sup.						Lv	
			M ₁ [N-m]	M ₂ [N-m]	M ₃ [N-m]	N [N]	T ₂ [N]	T ₃ [N]	M ₁ [N-m]	M ₂ [N-m]	M ₃ [N-m]	N [N]	T ₂ [N]	T ₃ [N]		
	Z	-	0	0	0	0	0	0	0	0	0	0	0	0	0	01
Pilastro Acciaio 4	X	-	0	6	5 576	0	2 255	2	0	7	509	0	2 255	2	0	01
	Y	-	0	2 148	5	0	2	2 336	0	3 338	2	0	2	2 336	0	01
	Z	-	0	0	0	0	0	0	0	0	0	0	0	0	0	01
Pilastro Acciaio 5	X	-	0	6	5 333	0	2 181	2	0	7	476	0	2 181	2	0	01
	Y	-	0	2 150	7	8	2	2 333	0	3 332	3	8	2	2 333	0	01
	Z	-	0	0	0	0	0	0	0	0	0	0	0	0	0	01
Pilastro Acciaio 6	X	-	0	4	5 580	2	2 272	1	0	7	441	2	2 272	1	0	01
	Y	-	0	2 116	6	98	3	2 384	0	3 487	2	98	3	2 384	0	01
	Z	-	0	0	0	0	0	0	0	0	0	0	0	0	0	01
Pilastro Acciaio 7	X	-	0	5	4 095	0	1 644	1	0	4	428	0	1 644	1	0	01
	Y	-	0	2 504	5	645	1	1 790	0	1 703	2	645	1	1 790	0	01
	Z	-	0	0	0	0	0	0	0	0	0	0	0	0	0	01
Pilastro Acciaio 6	X	-	0	7	6 234	0	98	2	0	3	6 266	0	98	2	0	01
	Y	-	0	3 017	6	85	2	258	0	2 889	6	85	2	258	0	01
	Z	-	0	0	0	0	0	0	0	0	0	0	0	0	0	01
Pilastro Acciaio 6	X	-	0	6	4 856	0	1 695	0	0	3	5 703	0	1 695	0	0	01
	Y	-	0	2 277	4	65	4	948	0	2 751	5	65	4	948	0	01
	Z	-	0	0	0	0	0	0	0	0	0	0	0	0	0	01
Pilastro Acciaio 6	X	-	0	4	2 800	0	2 100	0	0	4	3 844	0	2 100	0	0	01
	Y	-	0	1 198	5	47	3	1 064	0	1 729	3	47	3	1 064	0	01
	Z	-	0	0	0	0	0	0	0	0	0	0	0	0	0	01
Pilastro Acciaio 5	X	-	0	6	2 685	0	2 009	0	0	8	3 688	0	2 009	0	0	01
	Y	-	0	1 188	3	4	1	1 060	0	1 717	3	4	1	1 060	0	01
	Z	-	0	0	0	0	0	0	0	0	0	0	0	0	0	01
Pilastro Acciaio 5	X	-	0	10	4 654	0	1 623	0	0	7	5 460	0	1 623	0	0	01
	Y	-	0	2 264	5	6	2	952	0	2 740	5	6	2	952	0	01
	Z	-	0	0	0	0	0	0	0	0	0	0	0	0	0	01
Pilastro Acciaio 5	X	-	0	7	5 973	0	102	2	0	5	5 999	0	102	2	0	01
	Y	-	0	3 015	7	6	2	230	0	2 899	7	6	2	230	0	01
	Z	-	0	0	0	0	0	0	0	0	0	0	0	0	0	01
Pilastro Acciaio 4	X	-	0	8	2 795	0	2 087	0	0	8	3 837	0	2 087	0	0	01
	Y	-	0	1 188	5	0	3	1 060	0	1 719	5	0	3	1 060	0	01
	Z	-	0	0	0	0	0	0	0	0	0	0	0	0	0	01
Pilastro Acciaio 4	X	-	0	8	4 841	0	1 694	0	0	5	5 692	0	1 694	0	0	01
	Y	-	0	2 266	6	0	2	952	0	2 742	5	0	2	952	0	01
	Z	-	0	0	0	0	0	0	0	0	0	0	0	0	0	01
Pilastro Acciaio 4	X	-	0	5	6 227	0	108	2	0	4	6 260	0	108	2	0	01
	Y	-	0	3 015	4	0	0	232	0	2 899	5	0	0	232	0	01
	Z	-	0	0	0	0	0	0	0	0	0	0	0	0	0	01
Pilastro Acciaio 3	X	-	0	6	2 688	0	2 011	0	0	8	3 691	0	2 011	0	0	01
	Y	-	0	1 188	3	4	1	1 060	0	1 717	3	4	1	1 060	0	01
	Z	-	0	0	0	0	0	0	0	0	0	0	0	0	0	01
Pilastro Acciaio 3	X	-	0	10	4 658	0	1 621	0	0	7	5 468	0	1 621	0	0	01
	Y	-	0	2 264	4	6	2	952	0	2 740	5	6	2	952	0	01
	Z	-	0	0	0	0	0	0	0	0	0	0	0	0	0	01
Pilastro Acciaio 3	X	-	0	7	5 979	0	99	2	0	5	6 005	0	99	2	0	01
	Y	-	0	3 015	5	6	2	230	0	2 899	6	6	2	230	0	01
	Z	-	0	0	0	0	0	0	0	0	0	0	0	0	0	01
Pilastro Acciaio 2	X	-	0	4	2 774	0	2 074	0	0	4	3 812	0	2 074	0	0	01
	Y	-	0	1 198	3	47	3	1 064	0	1 729	3	47	3	1 064	0	01
	Z	-	0	0	0	0	0	0	0	0	0	0	0	0	0	01
Pilastro Acciaio 2	X	-	0	6	4 810	0	1 677	0	0	3	5 650	0	1 677	0	0	01
	Y	-	0	2 277	4	65	4	948	0	2 751	5	65	4	948	0	01
	Z	-	0	0	0	0	0	0	0	0	0	0	0	0	0	01
Pilastro Acciaio 2	X	-	0	7	6 176	0	98	2	0	3	6 209	0	98	2	0	01
	Y	-	0	3 017	6	85	2	258	0	2 889	6	85	2	258	0	01
	Z	-	0	0	0	0	0	0	0	0	0	0	0	0	0	01
Pilastro Acciaio 1	X	-	0	4	2 068	2	1 537	2	0	4	2 835	2	1 537	2	0	01
	Y	-	0	1 080	4	307	2	1 017	0	1 589	4	307	2	1 017	0	01
	Z	-	0	0	0	0	0	0	0	0	0	0	0	0	0	01
Pilastro Acciaio 1	X	-	0	4	3 577	0	1 244	0	0	5	4 205	0	1 244	0	0	01
	Y	-	0	2 136	4	431	1	1 015	0	2 643	3	431	1	1 015	0	01
	Z	-	0	0	0	0	0	0	0	0	0	0	0	0	0	01
Pilastro Acciaio 1	X	-	0	4	4 590	0	84	0	0	4	4 620	0	84	0	0	01
	Y	-	0	2 997	3	555	0	59	0	3 027	4	555	0	59	0	01
	Z	-	0	0	0	0	0	0	0	0	0	0	0	0	0	01
Pilastro Acciaio 7	X	-	0	36	4 604	0	1 016	8	0	29	4 093	0	1 016	8	0	01
	Y	-	0	3 027	28	618	10	1 044	0	2 506	24	618	10	1 044	0	01
	Z	-	0	0	0	0	0	0	0	0	0	0	0	0	0	01
Pilastro Acciaio 7	X	-	0	18	2 824	0	1 475	12	0	24	3 567	0	1 475	12	0	01
	Y	-	0	1 591	18	370	10	1 090	0	2 136	24	370	10	1 090	0	01
	Z	-	0	0	0	0	0	0	0	0	0	0	0	0	0	01
Pilastro Acciaio 7	X	-	0	29	4 190	2	780	10	0	34	4 579	2	780	10	0	01
	Y	-	0	2 645	28	492	4	708	0	2 999	28	492	4	708	0	01
	Z	-	0	0	0	0	0	0	0	0	0	0	0	0	0	01
Pilastro Acciaio 7	X	-	0	4	3 567	0	1 242	0	0	5	4 192	0	1 242	0	0	01
	Y	-	0	2 136	6	431	1	1 015	0	2 643	4	431	1	1 015	0	01
	Z	-	0	0	0	0	0	0	0	0	0	0	0	0	0	01
Pilastro Acciaio 7	X	-	0	4	4 581	0	84	0	0	4	4 606	0	84	0	0	01
	Y	-	0	2 997	4	555	0	59	0	3 027	4	555	0	59	0	01
	Z	-	0	0	0	0	0	0	0	0	0	0	0	0	0	01
Pilastro Acciaio 7	X	-	0	4	2 060	2	1 531	2	0	4	2 824	2	1 531	2	0	01

Pilastri - Sollecitazioni per effetto del sisma

IdPII	Dir	Dist r	Estr. Inf.						Estr. Sup.						Lv
			M ₁	M ₂	M ₃	N	T ₂	T ₃	M ₁	M ₂	M ₃	N	T ₂	T ₃	
			[N-m]	[N-m]	[N-m]	[N]	[N]	[N]	[N-m]	[N-m]	[N-m]	[N]	[N]	[N]	
	Y	-	0	1 080	6	307	2	1 017	0	1 589	4	307	2	1 017	01
	Z	-	0	0	0	0	0	0	0	0	0	0	0	0	01
Pilastro Acciaio 6	X	-	0	27	3 844	0	2 015	18	0	35	4 856	0	2 015	18	01
	Y	-	0	1 731	18	57	12	1 095	0	2 277	23	57	12	1 095	01
	Z	-	0	0	0	0	0	0	0	0	0	0	0	0	01
Pilastro Acciaio 6	X	-	0	46	5 705	0	1 070	8	0	48	6 234	0	1 070	8	01
	Y	-	0	2 751	22	75	2	533	0	3 017	24	75	2	533	01
	Z	-	0	0	0	0	0	0	0	0	0	0	0	0	01
Pilastro Acciaio 6	X	-	0	52	6 266	2	1 392	12	0	43	5 580	2	1 392	12	01
	Y	-	0	2 889	22	94	14	1 544	0	2 116	16	94	14	1 544	01
	Z	-	0	0	0	0	0	0	0	0	0	0	0	0	01
Pilastro Acciaio 5	X	-	0	29	3 688	0	1 931	18	0	31	4 654	0	1 931	18	01
	Y	-	0	1 719	14	4	6	1 095	0	2 264	19	4	6	1 095	01
	Z	-	0	0	0	0	0	0	0	0	0	0	0	0	01
Pilastro Acciaio 5	X	-	0	40	5 460	0	1 019	12	0	48	5 971	0	1 019	12	01
	Y	-	0	2 742	23	6	2	547	0	3 015	24	6	2	547	01
	Z	-	0	0	0	0	0	0	0	0	0	0	0	0	01
Pilastro Acciaio 5	X	-	0	48	5 999	0	1 341	12	0	41	5 333	0	1 341	12	01
	Y	-	0	2 899	22	8	12	1 501	0	2 150	15	8	12	1 501	01
	Z	-	0	0	0	0	0	0	0	0	0	0	0	0	01
Pilastro Acciaio 4	X	-	0	24	3 837	0	2 014	16	0	35	4 841	0	2 014	16	01
	Y	-	0	1 719	20	0	8	1 095	0	2 266	25	0	8	1 095	01
	Z	-	0	0	0	0	0	0	0	0	0	0	0	0	01
Pilastro Acciaio 4	X	-	0	44	5 692	0	1 074	12	0	46	6 227	0	1 074	12	01
	Y	-	0	2 742	26	0	4	547	0	3 015	28	0	4	547	01
	Z	-	0	0	0	0	0	0	0	0	0	0	0	0	01
Pilastro Acciaio 4	X	-	0	48	6 260	0	1 380	10	0	41	5 576	0	1 380	10	01
	Y	-	0	2 899	30	0	14	1 501	0	2 148	22	0	14	1 501	01
	Z	-	0	0	0	0	0	0	0	0	0	0	0	0	01
Pilastro Acciaio 3	X	-	0	29	3 691	0	1 933	18	0	31	4 658	0	1 933	18	01
	Y	-	0	1 719	16	4	8	1 095	0	2 264	21	4	8	1 095	01
	Z	-	0	0	0	0	0	0	0	0	0	0	0	0	01
Pilastro Acciaio 3	X	-	0	40	5 468	0	1 020	12	0	48	5 979	0	1 020	12	01
	Y	-	0	2 742	25	6	2	547	0	3 015	30	6	2	547	01
	Z	-	0	0	0	0	0	0	0	0	0	0	0	0	01
Pilastro Acciaio 3	X	-	0	48	6 005	0	1 347	12	0	41	5 335	0	1 347	12	01
	Y	-	0	2 899	26	8	14	1 501	0	2 150	19	8	14	1 501	01
	Z	-	0	0	0	0	0	0	0	0	0	0	0	0	01
Pilastro Acciaio 2	X	-	0	27	3 812	0	1 997	18	0	35	4 810	0	1 997	18	01
	Y	-	0	1 731	18	57	12	1 095	0	2 277	23	57	12	1 095	01
	Z	-	0	0	0	0	0	0	0	0	0	0	0	0	01
Pilastro Acciaio 2	X	-	0	46	5 650	0	1 057	8	0	48	6 176	0	1 057	8	01
	Y	-	0	2 751	22	75	2	533	0	3 017	24	75	2	533	01
	Z	-	0	0	0	0	0	0	0	0	0	0	0	0	01
Pilastro Acciaio 2	X	-	0	52	6 209	2	1 380	12	0	43	5 525	2	1 380	12	01
	Y	-	0	2 889	22	94	14	1 544	0	2 116	16	94	14	1 544	01
	Z	-	0	0	0	0	0	0	0	0	0	0	0	0	01
Pilastro Acciaio 1	X	-	0	18	2 835	0	1 483	12	0	24	3 577	0	1 483	12	01
	Y	-	0	1 591	18	370	10	1 090	0	2 136	22	370	10	1 090	01
	Z	-	0	0	0	0	0	0	0	0	0	0	0	0	01
Pilastro Acciaio 1	X	-	0	29	4 201	2	784	10	0	34	4 588	2	784	10	01
	Y	-	0	2 645	24	492	4	708	0	2 999	26	492	4	708	01
	Z	-	0	0	0	0	0	0	0	0	0	0	0	0	01
Pilastro Acciaio 1	X	-	0	36	4 618	0	1 018	8	0	29	4 108	0	1 018	8	01
	Y	-	0	3 027	26	618	8	1 044	0	2 506	22	618	8	1 044	01
	Z	-	0	0	0	0	0	0	0	0	0	0	0	0	01
Pilastro Acciaio 1	X	-	0	0	715	0	1 239	2	0	2	1 339	0	1 239	2	01
	Y	-	0	326	2	185	0	655	0	653	1	185	0	655	01
	Z	-	0	0	0	0	0	0	0	0	0	0	0	0	01
Pilastro Acciaio 1	X	-	0	10	1 339	0	1 454	12	0	16	2 068	0	1 454	12	01
	Y	-	0	653	6	246	8	856	0	1 082	13	246	8	856	01
	Z	-	0	0	0	0	0	0	0	0	0	0	0	0	01
Pilastro Acciaio 1	X	-	0	2	252	0	925	4	0	4	715	0	925	4	01
	Y	-	0	108	2	124	4	437	0	326	2	124	4	437	01
	Z	-	0	0	0	0	0	0	0	0	0	0	0	0	01
Pilastro Acciaio 2	X	-	0	12	1 792	0	1 954	14	0	20	2 774	0	1 954	14	01
	Y	-	0	736	6	37	10	926	0	1 198	14	37	10	926	01
	Z	-	0	0	0	0	0	0	0	0	0	0	0	0	01
Pilastro Acciaio 2	X	-	0	2	334	0	1 241	10	0	6	958	0	1 241	10	01
	Y	-	0	124	0	18	6	496	0	372	4	18	6	496	01
	Z	-	0	0	0	0	0	0	0	0	0	0	0	0	01
Pilastro Acciaio 3	X	-	0	10	1 740	0	1 892	14	0	18	2 688	0	1 892	14	01
	Y	-	0	728	8	4	8	920	0	1 188	14	4	8	920	01
	Z	-	0	0	0	0	0	0	0	0	0	0	0	0	01
Pilastro Acciaio 3	X	-	0	2	327	0	1 205	10	0	8	932	0	1 205	10	01
	Y	-	0	122	2	2	6	492	0	368	6	2	6	492	01
	Z	-	0	0	0	0	0	0	0	0	0	0	0	0	01
Pilastro Acciaio 4	X	-	0	16	1 808	0	1 970	16	0	18	2 795	0	1 970	16	01
	Y	-	0	728	6	0	8	920	0	1 188	14	0	8	920	01
	Z	-	0	0	0	0	0	0	0	0	0	0	0	0	01
Pilastro Acciaio 4	X	-	0	2	339	0	1 249	10	0	8	966	0	1 249	10	01
	Y	-	0	122	2	0	4	492	0	368	6	0	4	492	01
	Z	-	0	0	0	0	0	0	0	0	0	0	0	0	01

Pilastri - Sollecitazioni per effetto del sisma

Id _{PII}	Dir	Dist r	Estr. Inf.							Estr. Sup.							Lv
			M ₁	M ₂	M ₃	N	T ₂	T ₃	M ₁	M ₂	M ₃	N	T ₂	T ₃			
			[N-m]	[N-m]	[N-m]	[N]	[N]	[N]	[N-m]	[N-m]	[N-m]	[N]	[N]	[N]			
Pilastro Acciaio 5	X	-	0	10	1 738	0	1 891	14	0	18	2 685	0	1 891	14	01		
	Y	-	0	728	6	4	6	920	0	1 188	12	4	6	920	01		
	Z	-	0	0	0	0	0	0	0	0	0	0	0	0	01		
Pilastro Acciaio 5	X	-	0	2	327	0	1 206	10	0	8	930	0	1 206	10	01		
	Y	-	0	122	0	2	6	492	0	368	4	2	6	492	01		
	Z	-	0	0	0	0	0	0	0	0	0	0	0	0	01		
Pilastro Acciaio 6	X	-	0	12	1 811	0	1 972	14	0	20	2 800	0	1 972	14	01		
	Y	-	0	736	8	37	10	926	0	1 198	14	37	10	926	01		
	Z	-	0	0	0	0	0	0	0	0	0	0	0	0	01		
Pilastro Acciaio 6	X	-	0	2	338	0	1 255	10	0	6	968	0	1 255	10	01		
	Y	-	0	124	0	18	6	496	0	372	4	18	6	496	01		
	Z	-	0	0	0	0	0	0	0	0	0	0	0	0	01		
Pilastro Acciaio 7	X	-	0	10	1 334	0	1 449	12	0	16	2 060	0	1 449	12	01		
	Y	-	0	653	8	246	10	856	0	1 082	13	246	10	856	01		
	Z	-	0	0	0	0	0	0	0	0	0	0	0	0	01		
Pilastro Acciaio 7	X	-	0	2	250	0	923	4	0	4	713	0	923	4	01		
	Y	-	0	108	2	124	4	437	0	326	2	124	4	437	01		
	Z	-	0	0	0	0	0	0	0	0	0	0	0	0	01		
Pilastro Acciaio 2	X	-	0	0	958	0	1 673	0	0	2	1 792	0	1 673	0	01		
	Y	-	0	372	0	28	2	726	0	736	0	28	2	726	01		
	Z	-	0	0	0	0	0	0	0	0	0	0	0	0	01		
Pilastro Acciaio 2	X	-	0	0	0	0	684	2	0	0	334	0	684	2	01		
	Y	-	0	0	0	10	2	252	0	124	2	10	2	252	01		
	Z	-	0	0	0	0	0	0	0	0	0	0	0	0	01		
Pilastro Acciaio 3	X	-	0	2	932	0	1 620	2	0	2	1 740	0	1 620	2	01		
	Y	-	0	368	2	2	3	720	0	728	2	2	3	720	01		
	Z	-	0	0	0	0	0	0	0	0	0	0	0	0	01		
Pilastro Acciaio 3	X	-	0	0	0	0	656	2	0	0	327	0	656	2	01		
	Y	-	0	0	0	0	0	248	0	122	0	0	0	248	01		
	Z	-	0	0	0	0	0	0	0	0	0	0	0	0	01		
Pilastro Acciaio 4	X	-	0	2	966	0	1 684	2	0	4	1 808	0	1 684	2	01		
	Y	-	0	368	2	0	1	720	0	728	1	0	1	720	01		
	Z	-	0	0	0	0	0	0	0	0	0	0	0	0	01		
Pilastro Acciaio 4	X	-	0	0	0	0	687	2	0	0	339	0	687	2	01		
	Y	-	0	0	0	0	0	248	0	122	0	0	0	248	01		
	Z	-	0	0	0	0	0	0	0	0	0	0	0	0	01		
Pilastro Acciaio 5	X	-	0	2	930	0	1 617	2	0	2	1 738	0	1 617	2	01		
	Y	-	0	368	2	2	1	720	0	728	0	2	1	720	01		
	Z	-	0	0	0	0	0	0	0	0	0	0	0	0	01		
Pilastro Acciaio 5	X	-	0	0	0	0	656	2	0	0	327	0	656	2	01		
	Y	-	0	0	0	0	0	248	0	122	0	0	0	248	01		
	Z	-	0	0	0	0	0	0	0	0	0	0	0	0	01		
Pilastro Acciaio 6	X	-	0	0	968	0	1 688	0	0	2	1 811	0	1 688	0	01		
	Y	-	0	372	0	28	2	726	0	736	0	28	2	726	01		
	Z	-	0	0	0	0	0	0	0	0	0	0	0	0	01		
Pilastro Acciaio 6	X	-	0	0	0	0	692	2	0	0	338	0	692	2	01		
	Y	-	0	0	0	10	2	252	0	124	2	10	2	252	01		
	Z	-	0	0	0	0	0	0	0	0	0	0	0	0	01		
Pilastro Acciaio 7	X	-	0	0	713	0	1 237	2	0	2	1 334	0	1 237	2	01		
	Y	-	0	326	0	185	2	655	0	653	2	185	2	655	01		
	Z	-	0	0	0	0	0	0	0	0	0	0	0	0	01		
Pilastro Acciaio 7	X	-	0	0	0	0	508	0	0	0	250	0	508	0	01		
	Y	-	0	0	0	61	2	216	0	108	0	61	2	216	01		
	Z	-	0	0	0	0	0	0	0	0	0	0	0	0	01		
Pilastro Acciaio 1	X	-	0	0	0	0	508	6	0	0	252	0	508	6	01		
	Y	-	0	0	0	61	0	216	0	108	0	61	0	216	01		
	Z	-	0	0	0	0	0	0	0	0	0	0	0	0	01		

LEGENDA:

Id_{PII} Identificativo del Pilastro.

Dir Direzione del sisma.

Distr Distribuzione delle forze (0P = Principale non richiesta; 1P = Principale proporzionale alle forze statiche; 2P = Proporzionale I Modo vibrazione; 3P = Principale proporzionale ai taglianti; 0S = Secondaria non richiesta; 1S = Secondaria proporzionale alle masse; 2S = secondaria multimodale).

Lv Identificativo del livello, nella relativa tabella.

Estr. Sollecitazione caratteristiche relative al sistema di riferimento locale 1, 2, 3 (N > 0: compressione).

Inf./Sup.

PILASTRI - SOLLECITAZIONI PER ECCENTRICITÀ ACCIDENTALE

Pilastri - Sollecitazioni per eccentricità accidentale

Id _{PII}	Di r	e	Estr. Inf.							Estr. Sup.							Lv
			M ₁	M ₂	M ₃	N	T ₂	T ₃	M ₁	M ₂	M ₃	N	T ₂	T ₃			
			[N-m]	[N-m]	[N-m]	[N]	[N]	[N]	[N-m]	[N-m]	[N-m]	[N]	[N]	[N]			
Pilastrata: Piano Terra																	
Pilastro Acciaio 1	X	+	2 246	26	-15 204	0	-6 866	-12	2 246	-1	930	0	-6 866	-12	01		
	X	-	-2 246	-26	15 204	0	6 866	12	-2 246	1	-930	0	6 866	12	01		
	Y	+	0	3	-1 575	0	-711	-1	0	0	96	0	-711	-1	01		
	Y	-	0	-3	1 575	0	711	1	0	0	-96	0	711	1	01		
Pilastro Acciaio 2	X	+	2 246	-8	4 508	0	2 144	4	2 246	1	-529	0	2 144	4	01		
	X	-	-2 246	8	-4 508	0	-2 144	-4	-2 246	-1	529	0	-2 144	-4	01		
	Y	+	0	-1	453	0	216	0	0	0	-54	0	216	0	01		
	Y	-	0	1	-453	0	-216	0	0	0	54	0	-216	0	01		
Pilastro Acciaio 3	X	+	2 246	2	-1 228	0	-584	-1	2 246	0	145	0	-584	-1	01		
	X	-	-2 246	-2	1 228	0	584	1	-2 246	0	-145	0	584	1	01		

Pilastri - Sollecitazioni per eccentricità accidentale

IdPII	Dir	e	Estr. Inf.						Estr. Sup.						Lv
			M ₁	M ₂	M ₃	N	T ₂	T ₃	M ₁	M ₂	M ₃	N	T ₂	T ₃	
			[N-m]	[N-m]	[N-m]	[N]	[N]	[N]	[N-m]	[N-m]	[N-m]	[N]	[N]	[N]	
	Y	+	0	0	-132	0	-62	0	0	0	15	0	-62	0	01
	Y	-	0	0	132	0	62	0	0	-15	0	62	0	01	
Pilastro Acciaio 4	X	+	2 246	0	0	0	0	0	2 246	0	0	0	0	0	01
	X	-	-2 246	0	0	0	0	0	-2 246	0	0	0	0	0	01
	Y	+	0	0	0	0	0	0	0	0	0	0	0	0	01
	Y	-	0	0	0	0	0	0	0	0	0	0	0	0	01
Pilastro Acciaio 5	X	+	2 246	-2	1 228	0	584	1	2 246	0	-145	0	584	1	01
	X	-	-2 246	2	-1 228	0	-584	-1	-2 246	0	145	0	-584	-1	01
	Y	+	0	0	132	0	62	0	0	0	-15	0	62	0	01
	Y	-	0	0	-132	0	-62	0	0	0	15	0	-62	0	01
Pilastro Acciaio 6	X	+	2 246	8	-4 508	0	-2 144	-4	2 246	-1	529	0	-2 144	-4	01
	X	-	-2 246	-8	4 508	0	2 144	4	-2 246	1	-529	0	2 144	4	01
	Y	+	0	1	-453	0	-216	0	0	0	54	0	-216	0	01
	Y	-	0	-1	453	0	216	0	0	0	-54	0	216	0	01
Pilastro Acciaio 7	X	+	2 246	-26	15 204	0	6 866	12	2 246	1	-930	0	6 866	12	01
	X	-	-2 246	26	-15 204	0	-6 866	-12	-2 246	-1	930	0	-6 866	-12	01
	Y	+	0	-3	1 575	0	711	1	0	0	-96	0	711	1	01
	Y	-	0	3	-1 575	0	-711	-1	0	0	96	0	-711	-1	01
Pilastro Acciaio 6	X	+	0	10	-5 170	0	-33	-2	0	10	-5 153	0	-33	-2	01
	X	-	0	-10	5 170	0	33	2	0	-10	5 153	0	33	2	01
	Y	+	0	1	-520	0	-3	0	0	1	-518	0	-3	0	01
	Y	-	0	-1	520	0	3	0	0	-1	518	0	3	0	01
Pilastro Acciaio 6	X	+	0	10	-4 059	0	1 385	2	0	10	-4 752	0	1 385	2	01
	X	-	0	-10	4 059	0	-1 385	-2	0	-10	4 752	0	-1 385	-2	01
	Y	+	0	1	-408	0	139	0	0	1	-478	0	139	0	01
	Y	-	0	-1	408	0	-139	0	0	-1	478	0	-139	0	01
Pilastro Acciaio 6	X	+	0	6	-2 348	0	1 749	4	0	8	-3 223	0	1 749	4	01
	X	-	0	-6	2 348	0	-1 749	-4	0	-8	3 223	0	-1 749	-4	01
	Y	+	0	1	-236	0	176	0	0	1	-324	0	176	0	01
	Y	-	0	-1	236	0	-176	0	0	-1	324	0	-176	0	01
Pilastro Acciaio 5	X	+	0	-2	640	0	-477	-1	0	-2	878	0	-477	-1	01
	X	-	0	2	-640	0	477	1	0	2	-878	0	477	1	01
	Y	+	0	0	68	0	-51	0	0	0	94	0	-51	0	01
	Y	-	0	0	-68	0	51	0	0	0	-94	0	51	0	01
Pilastro Acciaio 5	X	+	0	-2	1 106	0	-377	0	0	-3	1 295	0	-377	0	01
	X	-	0	2	-1 106	0	377	0	0	3	-1 295	0	377	0	01
	Y	+	0	0	118	0	-40	0	0	0	139	0	-40	0	01
	Y	-	0	0	-118	0	40	0	0	0	-139	0	40	0	01
Pilastro Acciaio 5	X	+	0	-3	1 409	0	9	0	0	-2	1 404	0	9	0	01
	X	-	0	3	-1 409	0	-9	0	0	2	-1 404	0	-9	0	01
	Y	+	0	0	151	0	1	0	0	0	150	0	1	0	01
	Y	-	0	0	-151	0	-1	0	0	0	-150	0	-1	0	01
Pilastro Acciaio 4	X	+	0	0	0	0	0	0	0	0	0	0	0	0	01
	X	-	0	0	0	0	0	0	0	0	0	0	0	0	01
	Y	+	0	0	0	0	0	0	0	0	0	0	0	0	01
	Y	-	0	0	0	0	0	0	0	0	0	0	0	0	01
Pilastro Acciaio 4	X	+	0	0	0	0	0	0	0	0	0	0	0	0	01
	X	-	0	0	0	0	0	0	0	0	0	0	0	0	01
	Y	+	0	0	0	0	0	0	0	0	0	0	0	0	01
	Y	-	0	0	0	0	0	0	0	0	0	0	0	0	01
Pilastro Acciaio 4	X	+	0	0	0	0	0	0	0	0	0	0	0	0	01
	X	-	0	0	0	0	0	0	0	0	0	0	0	0	01
	Y	+	0	0	0	0	0	0	0	0	0	0	0	0	01
	Y	-	0	0	0	0	0	0	0	0	0	0	0	0	01
Pilastro Acciaio 3	X	+	0	2	-640	0	477	1	0	2	-878	0	477	1	01
	X	-	0	-2	640	0	-477	-1	0	-2	878	0	-477	-1	01
	Y	+	0	0	-68	0	51	0	0	0	-94	0	51	0	01
	Y	-	0	0	68	0	-51	0	0	0	94	0	-51	0	01
Pilastro Acciaio 3	X	+	0	2	-1 106	0	377	0	0	3	-1 295	0	377	0	01
	X	-	0	-2	1 106	0	-377	0	0	-3	1 295	0	-377	0	01
	Y	+	0	0	-118	0	40	0	0	0	-139	0	40	0	01
	Y	-	0	0	118	0	-40	0	0	0	139	0	-40	0	01
Pilastro Acciaio 3	X	+	0	3	-1 409	0	-9	0	0	2	-1 404	0	-9	0	01
	X	-	0	-3	1 409	0	9	0	0	-2	1 404	0	9	0	01
	Y	+	0	0	-151	0	-1	0	0	0	-150	0	-1	0	01
	Y	-	0	0	151	0	1	0	0	0	150	0	1	0	01
Pilastro Acciaio 2	X	+	0	-6	2 348	0	-1 749	-4	0	-8	3 223	0	-1 749	-4	01
	X	-	0	6	-2 348	0	1 749	4	0	8	-3 223	0	1 749	4	01
	Y	+	0	-1	236	0	-176	0	0	-1	324	0	-176	0	01
	Y	-	0	1	-236	0	176	0	0	1	-324	0	176	0	01
Pilastro Acciaio 2	X	+	0	-10	4 059	0	-1 385	-2	0	-10	4 752	0	-1 385	-2	01
	X	-	0	10	-4 059	0	1 385	2	0	10	-4 752	0	1 385	2	01
	Y	+	0	-1	408	0	-139	0	0	-1	478	0	-139	0	01
	Y	-	0	1	-408	0	139	0	0	1	-478	0	139	0	01
Pilastro Acciaio 2	X	+	0	-10	5 170	0	33	2	0	-10	5 153	0	33	2	01
	X	-	0	10	-5 170	0	-33	-2	0	10	-5 153	0	-33	-2	01
	Y	+	0	-1	520	0	3	0	0	-1	518	0	3	0	01
	Y	-	0	1	-520	0	-3	0	0	1	-518	0	-3	0	01
Pilastro Acciaio 1	X	+	0	20	-7 757	0	5 807	12	0	26	-10 661	0	5 807	12	01
	X	-	0	-20	7 757	0	-5 807	-12	0	-26	10 661	0	-5 807	-12	01
	Y	+	0	2	-804	0	602	1	0	3	-1 104	0	602	1	01
	Y	-	0	-2	804	0	-602	-1	0	-3	1 104	0	-602	-1	01
Pilastro Acciaio 1	X	+	0	31	-13 449	0	4 655	5	0	34	-15 776	0	4 655	5	01
	X	-	0	-31	13 449	0	-4 655	-5	0	-34	15 776	0	-4 655	-5	01

Pilastri - Sollecitazioni per eccentricità accidentale

IdPii	Dir	e	Estr. Inf.						Estr. Sup.						Lv
			M ₁	M ₂	M ₃	N	T ₂	T ₃	M ₁	M ₂	M ₃	N	T ₂	T ₃	
			[N-m]	[N-m]	[N-m]	[N]	[N]	[N]	[N-m]	[N-m]	[N-m]	[N]	[N]	[N]	
Pilastro Acciaio 1	Y	+	0	3	-1 393	0	482	1	0	3	-1 634	0	482	1	01
	Y	-	0	-3	1 393	0	-482	-1	0	1 634	0	-482	-1	01	
	X	+	0	34	-17 215	0	43	-5	0	31	-17 236	0	43	-5	01
	X	-	0	-34	17 215	0	-43	5	0	-31	17 236	0	-43	5	01
Pilastro Acciaio 7	Y	+	0	3	-1 783	0	4	-1	0	3	-1 786	0	4	-1	01
	Y	-	0	-3	1 783	0	-4	1	0	-3	1 786	0	-4	1	01
	X	+	0	119	17 236	0	4 064	-26	0	106	15 204	0	4 064	-26	01
	X	-	0	-119	-17 236	0	-4 064	26	0	-106	-15 204	0	-4 064	26	01
Pilastro Acciaio 7	Y	+	0	12	1 786	0	421	-3	0	11	1 575	0	421	-3	01
	Y	-	0	-12	-1 786	0	-421	3	0	-11	-1 575	0	-421	3	01
	X	+	0	67	10 660	0	-5 576	40	0	86	13 448	0	-5 576	40	01
	X	-	0	-67	-10 660	0	5 576	-40	0	-86	-13 448	0	5 576	-40	01
Pilastro Acciaio 7	Y	+	0	7	1 104	0	-578	4	0	9	1 393	0	-578	4	01
	Y	-	0	-7	-1 104	0	578	-4	0	-9	-1 393	0	578	-4	01
	X	+	0	104	15 776	0	-2 877	25	0	117	17 214	0	-2 877	25	01
	X	-	0	-104	-15 776	0	2 877	-25	0	-117	-17 214	0	2 877	-25	01
Pilastro Acciaio 7	Y	+	0	11	1 634	0	-298	3	0	12	1 783	0	-298	3	01
	Y	-	0	-11	-1 634	0	298	-3	0	-12	-1 783	0	298	-3	01
	X	+	0	-31	13 449	0	-4 655	-5	0	-34	15 776	0	-4 655	-5	01
	X	-	0	31	-13 449	0	4 655	5	0	34	-15 776	0	4 655	5	01
Pilastro Acciaio 7	Y	+	0	-3	1 393	0	-482	-1	0	-3	1 634	0	-482	-1	01
	Y	-	0	3	-1 393	0	482	1	0	3	-1 634	0	482	1	01
	X	+	0	-34	17 215	0	-43	5	0	-31	17 236	0	-43	5	01
	X	-	0	34	-17 215	0	43	-5	0	31	-17 236	0	43	-5	01
Pilastro Acciaio 7	Y	+	0	-3	1 783	0	-4	1	0	-3	1 786	0	-4	1	01
	Y	-	0	3	-1 783	0	4	-1	0	3	-1 786	0	4	-1	01
	X	+	0	-20	7 757	0	-5 807	-12	0	-26	10 661	0	-5 807	-12	01
	X	-	0	20	-7 757	0	5 807	12	0	26	-10 661	0	5 807	12	01
Pilastro Acciaio 6	Y	+	0	-2	804	0	-602	-1	0	-3	1 104	0	-602	-1	01
	Y	-	0	2	-804	0	602	1	0	3	-1 104	0	602	1	01
	X	+	0	-20	3 223	0	1 673	-12	0	-26	4 059	0	1 673	-12	01
	X	-	0	20	-3 223	0	-1 673	12	0	26	-4 059	0	-1 673	12	01
Pilastro Acciaio 6	Y	+	0	-2	324	0	168	-1	0	-3	408	0	168	-1	01
	Y	-	0	2	-324	0	-168	1	0	3	-408	0	-168	1	01
	X	+	0	-31	4 752	0	836	-7	0	-35	5 170	0	836	-7	01
	X	-	0	31	-4 752	0	-836	7	0	35	-5 170	0	-836	7	01
Pilastro Acciaio 6	Y	+	0	-3	478	0	84	-1	0	-3	520	0	84	-1	01
	Y	-	0	3	-478	0	-84	1	0	3	-520	0	-84	1	01
	X	+	0	-35	5 153	0	-1 289	8	0	-31	4 508	0	-1 289	8	01
	X	-	0	35	-5 153	0	1 289	-8	0	31	-4 508	0	1 289	-8	01
Pilastro Acciaio 5	Y	+	0	-4	518	0	-130	1	0	-3	453	0	-130	1	01
	Y	-	0	4	-518	0	130	-1	0	3	-453	0	130	-1	01
	X	+	0	6	878	0	-456	3	0	7	1 106	0	-456	3	01
	X	-	0	-6	-878	0	456	-3	0	-7	-1 106	0	456	-3	01
Pilastro Acciaio 5	Y	+	0	1	94	0	-49	0	0	1	118	0	-49	0	01
	Y	-	0	-1	-94	0	49	0	0	-1	-118	0	49	0	01
	X	+	0	9	1 295	0	-228	2	0	10	1 409	0	-228	2	01
	X	-	0	-9	-1 295	0	228	-2	0	-10	-1 409	0	228	-2	01
Pilastro Acciaio 5	Y	+	0	1	139	0	-24	0	0	1	151	0	-24	0	01
	Y	-	0	-1	-139	0	24	0	0	-1	-151	0	24	0	01
	X	+	0	10	1 404	0	352	-2	0	9	1 228	0	352	-2	01
	X	-	0	-10	-1 404	0	-352	2	0	-9	-1 228	0	-352	2	01
Pilastro Acciaio 4	Y	+	0	1	150	0	38	0	0	1	132	0	38	0	01
	Y	-	0	-1	-150	0	-38	0	0	-1	-132	0	-38	0	01
	X	+	0	0	0	0	0	0	0	0	0	0	0	0	01
	X	-	0	0	0	0	0	0	0	0	0	0	0	0	01
Pilastro Acciaio 4	Y	+	0	0	0	0	0	0	0	0	0	0	0	0	01
	Y	-	0	0	0	0	0	0	0	0	0	0	0	0	01
	X	+	0	0	0	0	0	0	0	0	0	0	0	0	01
	X	-	0	0	0	0	0	0	0	0	0	0	0	0	01
Pilastro Acciaio 4	Y	+	0	0	0	0	0	0	0	0	0	0	0	0	01
	Y	-	0	0	0	0	0	0	0	0	0	0	0	0	01
	X	+	0	0	0	0	0	0	0	0	0	0	0	0	01
	X	-	0	0	0	0	0	0	0	0	0	0	0	0	01
Pilastro Acciaio 3	Y	+	0	0	0	0	0	0	0	0	0	0	0	0	01
	Y	-	0	0	0	0	0	0	0	0	0	0	0	0	01
	X	+	0	-6	878	0	456	-3	0	-7	-1 106	0	456	-3	01
	X	-	0	6	-878	0	-456	3	0	7	1 106	0	-456	3	01
Pilastro Acciaio 3	Y	+	0	-1	94	0	49	0	0	-1	118	0	49	0	01
	Y	-	0	1	-94	0	-49	0	0	1	-118	0	-49	0	01
	X	+	0	-9	1 295	0	228	-2	0	-10	1 409	0	228	-2	01
	X	-	0	9	-1 295	0	-228	2	0	10	-1 409	0	-228	2	01
Pilastro Acciaio 3	Y	+	0	-1	139	0	24	0	0	-1	151	0	24	0	01
	Y	-	0	1	-139	0	-24	0	0	1	-151	0	-24	0	01
	X	+	0	-10	1 404	0	-352	2	0	-9	1 228	0	-352	2	01
	X	-	0	10	-1 404	0	352	-2	0	9	-1 228	0	352	-2	01
Pilastro Acciaio 2	Y	+	0	-1	150	0	38	0	0	-1	132	0	38	0	01
	Y	-	0	1	-150	0	-38	0	0	1	-132	0	-38	0	01
	X	+	0	20	3 223	0	-1 673	12	0	26	4 059	0	-1 673	12	01
	X	-	0	-20	-3 223	0	1 673	-12	0	-26	-4 059	0	1 673	-12	01
Pilastro Acciaio 2	Y	+	0	2	324	0	-168	1	0	3	408	0	-168	1	01
	Y	-	0	-2	-324	0	168	-1	0	-3	-408	0	168	-1	01
	X	+	0	31	4 752	0	-836	7	0	35	5 170	0	-836	7	01
	X	-	0	-31	-4 752	0	836	-7	0	-35	-5 170	0	836	-7	01

Pilastri - Sollecitazioni per eccentricità accidentale

IdPii	Dir	e	Estr. Inf.						Estr. Sup.						Lv
			M ₁	M ₂	M ₃	N	T ₂	T ₃	M ₁	M ₂	M ₃	N	T ₂	T ₃	
			[N-m]	[N-m]	[N-m]	[N]	[N]	[N]	[N-m]	[N-m]	[N-m]	[N]	[N]	[N]	
	Y	+	0	3	478	0	-84	1	0	3	520	0	-84	1	01
	Y	-	0	-3	-478	0	84	-1	0	-3	-520	0	84	-1	01
Pilastro Acciaio 2	X	+	0	35	5 153	0	1 289	-8	0	31	4 508	0	1 289	-8	01
	X	-	0	-35	-5 153	0	-1 289	8	0	-31	-4 508	0	-1 289	8	01
	Y	+	0	4	518	0	130	-1	0	3	453	0	130	-1	01
	Y	-	0	-4	-518	0	-130	1	0	-3	-453	0	-130	1	01
Pilastro Acciaio 1	X	+	0	-67	-10 660	0	5 576	-40	0	-86	-13 448	0	5 576	-40	01
	X	-	0	67	10 660	0	-5 576	40	0	86	13 448	0	-5 576	40	01
	Y	+	0	-7	-1 104	0	578	-4	0	-9	-1 393	0	578	-4	01
	Y	-	0	7	1 104	0	-578	4	0	9	1 393	0	-578	4	01
Pilastro Acciaio 1	X	+	0	-104	-15 776	0	2 877	-25	0	-117	-17 214	0	2 877	-25	01
	X	-	0	104	15 776	0	-2 877	25	0	117	17 214	0	-2 877	25	01
	Y	+	0	-11	-1 634	0	298	-3	0	-12	-1 783	0	298	-3	01
	Y	-	0	11	1 634	0	-298	3	0	12	1 783	0	-298	3	01
Pilastro Acciaio 1	X	+	0	-119	-17 236	0	-4 064	26	0	-106	-15 204	0	-4 064	26	01
	X	-	0	119	17 236	0	4 064	-26	0	106	15 204	0	4 064	-26	01
	Y	+	0	-12	-1 786	0	-421	3	0	-11	-1 575	0	-421	3	01
	Y	-	0	12	1 786	0	421	-3	0	11	1 575	0	421	-3	01
Pilastro Acciaio 1	X	+	0	8	-2 678	0	4 681	12	0	14	-5 019	0	4 681	12	01
	X	-	0	-8	2 678	0	-4 681	-12	0	-14	5 019	0	-4 681	-12	01
	Y	+	0	1	-277	0	485	1	0	1	-520	0	485	1	01
	Y	-	0	-1	277	0	-485	-1	0	-1	520	0	-485	-1	01
Pilastro Acciaio 1	X	+	0	-30	-5 019	0	5 477	-35	0	-47	-7 757	0	5 477	-35	01
	X	-	0	30	5 019	0	-5 477	35	0	47	7 757	0	-5 477	35	01
	Y	+	0	-3	-520	0	567	-4	0	-5	-804	0	567	-4	01
	Y	-	0	3	520	0	-567	4	0	5	804	0	-567	4	01
Pilastro Acciaio 1	X	+	0	-5	-939	0	3 478	-20	0	-16	-2 678	0	3 478	-20	01
	X	-	0	5	939	0	-3 478	20	0	16	2 678	0	-3 478	20	01
	Y	+	0	-1	-97	0	360	-2	0	-2	-277	0	360	-2	01
	Y	-	0	1	97	0	-360	2	0	2	277	0	-360	2	01
Pilastro Acciaio 2	X	+	0	9	1 521	0	-1 655	10	0	14	2 348	0	-1 655	10	01
	X	-	0	-9	-1 521	0	1 655	-10	0	-14	-2 348	0	1 655	-10	01
	Y	+	0	1	153	0	-166	1	0	1	236	0	-166	1	01
	Y	-	0	-1	-153	0	166	-1	0	-1	-236	0	166	-1	01
Pilastro Acciaio 2	X	+	0	2	285	0	-1 055	6	0	5	812	0	-1 055	6	01
	X	-	0	-2	-285	0	1 055	-6	0	-5	-812	0	1 055	-6	01
	Y	+	0	0	29	0	-106	1	0	0	82	0	-106	1	01
	Y	-	0	0	-29	0	106	-1	0	0	-82	0	106	-1	01
Pilastro Acciaio 3	X	+	0	-2	-415	0	451	-3	0	-4	-640	0	451	-3	01
	X	-	0	2	415	0	-451	3	0	4	640	0	-451	3	01
	Y	+	0	0	-44	0	48	0	0	0	-68	0	48	0	01
	Y	-	0	0	44	0	-48	0	0	0	68	0	-48	0	01
Pilastro Acciaio 3	X	+	0	0	-78	0	287	-2	0	-1	-221	0	287	-2	01
	X	-	0	0	78	0	-287	2	0	1	221	0	-287	2	01
	Y	+	0	0	-8	0	31	0	0	0	-24	0	31	0	01
	Y	-	0	0	8	0	-31	0	0	0	24	0	-31	0	01
Pilastro Acciaio 4	X	+	0	0	0	0	0	0	0	0	0	0	0	0	01
	X	-	0	0	0	0	0	0	0	0	0	0	0	0	01
	Y	+	0	0	0	0	0	0	0	0	0	0	0	0	01
	Y	-	0	0	0	0	0	0	0	0	0	0	0	0	01
Pilastro Acciaio 4	X	+	0	0	0	0	0	0	0	0	0	0	0	0	01
	X	-	0	0	0	0	0	0	0	0	0	0	0	0	01
	Y	+	0	0	0	0	0	0	0	0	0	0	0	0	01
	Y	-	0	0	0	0	0	0	0	0	0	0	0	0	01
Pilastro Acciaio 5	X	+	0	2	415	0	-451	3	0	4	640	0	-451	3	01
	X	-	0	-2	-415	0	451	-3	0	-4	-640	0	451	-3	01
	Y	+	0	0	44	0	-48	0	0	0	68	0	-48	0	01
	Y	-	0	0	-44	0	48	0	0	0	-68	0	48	0	01
Pilastro Acciaio 5	X	+	0	0	78	0	-287	2	0	1	221	0	-287	2	01
	X	-	0	0	-78	0	287	-2	0	-1	-221	0	287	-2	01
	Y	+	0	0	8	0	-31	0	0	0	24	0	-31	0	01
	Y	-	0	0	-8	0	31	0	0	0	-24	0	31	0	01
Pilastro Acciaio 6	X	+	0	-9	-1 521	0	1 655	-10	0	-14	-2 348	0	1 655	-10	01
	X	-	0	9	1 521	0	-1 655	10	0	14	2 348	0	-1 655	10	01
	Y	+	0	-1	-153	0	166	-1	0	-1	-236	0	166	-1	01
	Y	-	0	1	153	0	-166	1	0	1	236	0	-166	1	01
Pilastro Acciaio 6	X	+	0	-2	-285	0	1 055	-6	0	-5	-812	0	1 055	-6	01
	X	-	0	2	285	0	-1 055	6	0	5	812	0	-1 055	6	01
	Y	+	0	0	-29	0	106	-1	0	0	-82	0	106	-1	01
	Y	-	0	0	29	0	-106	1	0	0	82	0	-106	1	01
Pilastro Acciaio 7	X	+	0	30	5 019	0	-5 477	35	0	47	7 757	0	-5 477	35	01
	X	-	0	-30	-5 019	0	5 477	-35	0	-47	-7 757	0	5 477	-35	01
	Y	+	0	3	520	0	-567	4	0	5	804	0	-567	4	01
	Y	-	0	-3	-520	0	567	-4	0	-5	-804	0	567	-4	01
Pilastro Acciaio 7	X	+	0	5	939	0	-3 478	20	0	16	2 678	0	-3 478	20	01
	X	-	0	-5	-939	0	3 478	-20	0	-16	-2 678	0	3 478	-20	01
	Y	+	0	1	97	0	-360	2	0	2	277	0	-360	2	01
	Y	-	0	-1	-97	0	360	-2	0	-2	-277	0	360	-2	01
Pilastro Acciaio 2	X	+	0	-2	812	0	-1 417	-4	0	-4	1 521	0	-1 417	-4	01
	X	-	0	2	-812	0	1 417	4	0	4	-1 521	0	1 417	4	01
	Y	+	0	0	82	0	-143	0	0	0	153	0	-143	0	01
	Y	-	0	0	-82	0	143	0	0	0	-153	0	143	0	01
Pilastro Acciaio 2	X	+	0	0	0	0	-576	-2	0	-1	285	0	-576	-2	01
	X	-	0	0	0	0	576	2	0	1	-285	0	576	2	01

Pilastri - Sollecitazioni per eccentricità accidentale

Id _{Pil}	Dir	e	Estr. Inf.						Estr. Sup.						Lv	
			M ₁	M ₂	M ₃	N	T ₂	T ₃	M ₁	M ₂	M ₃	N	T ₂	T ₃		
			[N-m]	[N-m]	[N-m]	[N]	[N]	[N]	[N]	[N-m]	[N-m]	[N-m]	[N]	[N]	[N]	[N]
	Y +		0	0	0	0	-58	0	0	0	0	29	0	-58	0	01
	Y -		0	0	0	0	58	0	0	0	0	-29	0	58	0	01
Pilastro Acciaio 3	X +		0	1	-221	0	386	1	0	1	-415	0	386	1	01	
	X -		0	-1	221	0	-386	-1	0	-1	415	0	-386	-1	01	
	Y +		0	0	-24	0	41	0	0	0	-44	0	41	0	01	
	Y -		0	0	24	0	-41	0	0	0	44	0	-41	0	01	
Pilastro Acciaio 3	X +		0	0	0	0	157	0	0	0	-78	0	157	0	01	
	X -		0	0	0	0	-157	0	0	0	78	0	-157	0	01	
	Y +		0	0	0	0	17	0	0	0	-8	0	17	0	01	
	Y -		0	0	0	0	-17	0	0	0	8	0	-17	0	01	
Pilastro Acciaio 4	X +		0	0	0	0	0	0	0	0	0	0	0	0	01	
	X -		0	0	0	0	0	0	0	0	0	0	0	0	01	
	Y +		0	0	0	0	0	0	0	0	0	0	0	0	01	
	Y -		0	0	0	0	0	0	0	0	0	0	0	0	01	
Pilastro Acciaio 4	X +		0	0	0	0	0	0	0	0	0	0	0	0	01	
	X -		0	0	0	0	0	0	0	0	0	0	0	0	01	
	Y +		0	0	0	0	0	0	0	0	0	0	0	0	01	
	Y -		0	0	0	0	0	0	0	0	0	0	0	0	01	
Pilastro Acciaio 5	X +		0	-1	221	0	-386	-1	0	-1	415	0	-386	-1	01	
	X -		0	1	-221	0	386	1	0	1	-415	0	386	1	01	
	Y +		0	0	24	0	-41	0	0	0	44	0	-41	0	01	
	Y -		0	0	-24	0	41	0	0	0	-44	0	41	0	01	
Pilastro Acciaio 5	X +		0	0	0	0	-157	0	0	0	78	0	-157	0	01	
	X -		0	0	0	0	157	0	0	0	-78	0	157	0	01	
	Y +		0	0	0	0	-17	0	0	0	8	0	-17	0	01	
	Y -		0	0	0	0	17	0	0	0	-8	0	17	0	01	
Pilastro Acciaio 6	X +		0	2	-812	0	1 417	4	0	4	-1 521	0	1 417	4	01	
	X -		0	-2	812	0	-1 417	-4	0	-4	1 521	0	-1 417	-4	01	
	Y +		0	0	-82	0	143	0	0	0	-153	0	143	0	01	
	Y -		0	0	82	0	-143	0	0	0	153	0	-143	0	01	
Pilastro Acciaio 6	X +		0	0	0	0	576	2	0	1	-285	0	576	2	01	
	X -		0	0	0	0	-576	-2	0	-1	285	0	-576	-2	01	
	Y +		0	0	0	0	58	0	0	0	-29	0	58	0	01	
	Y -		0	0	0	0	-58	0	0	0	29	0	-58	0	01	
Pilastro Acciaio 7	X +		0	-8	2 678	0	-4 681	-12	0	-14	5 019	0	-4 681	-12	01	
	X -		0	8	-2 678	0	4 681	12	0	14	-5 019	0	4 681	12	01	
	Y +		0	-1	277	0	-485	-1	0	-1	520	0	-485	-1	01	
	Y -		0	1	-277	0	485	1	0	1	-520	0	485	1	01	
Pilastro Acciaio 7	X +		0	0	0	0	-1 898	-6	0	-3	939	0	-1 898	-6	01	
	X -		0	0	0	0	1 898	6	0	3	-939	0	1 898	6	01	
	Y +		0	0	0	0	-197	-1	0	0	97	0	-197	-1	01	
	Y -		0	0	0	0	197	1	0	0	-97	0	197	1	01	
Pilastro Acciaio 1	X +		0	0	0	0	1 897	22	0	11	-939	0	1 897	22	01	
	X -		0	0	0	0	-1 897	-22	0	-11	939	0	-1 897	-22	01	
	Y +		0	0	0	0	197	2	0	1	-97	0	197	2	01	
	Y -		0	0	0	0	-197	-2	0	-1	97	0	-197	-2	01	

LEGENDA:

- Id_{Pil} Identificativo del Pilastro.
- Dir Direzione del sisma.
- e Segno dell'eccentricità accidentale.
- Lv Identificativo del livello, nella relativa tabella.
- Estr. Sollecitazione caratteristiche relative al sistema di riferimento locale 1, 2, 3 (N > 0: compressione).
- Inf./Sup.

TRAVI (AC) - VERIFICHE A PRESSOFLESSIONE (Elevazione) allo SLU

Id _{Tr}	%L _{L1}	N _{Ed}	V _{Ed}	M _{Ed,3}	CS	Tp Vr	Travi (AC) - Verifiche a pressoflessione					
							M _{C,Rd}	V _{C,Rd}	ρ	A _v	t _w	N _{pl,Rd}
	[%]	[N]	[N]	[N-m]			[N-m]	[N]		[mm ²]	[mm]	[N]
Piano Terra							Piano Terra					
Trave Acciaio 134a-137a	0%	-	7 097	6 899	9,18	PLS	63 338	250 239	0,000	1 937	10,00	866 853
	25,0%	-	6 998	5 138	12,33	PLS	63 338	250 239	0,000	1 937	10,00	866 853
	50,0%	87	242	4 810	13,17	PLS	63 338	250 239	0,000	1 937	10,00	866 853
	75,0%	-83	242	4 704	13,46	PLS	63 338	250 239	0,000	1 937	10,00	866 853
	100%	87	242	4 834	13,10	PLS	63 338	250 239	0,000	1 937	10,00	866 853
Trave Acciaio 25a-2	0%	3 507	-19 381	4 087	15,50	PLS	63 338	250 239	0,000	1 937	10,00	866 853
	25,0%	3 507	-19 490	9 430	6,72	PLS	63 338	250 239	0,000	1 937	10,00	866 853
	50,0%	3 509	-19 598	14 808	4,28	PLS	63 338	250 239	0,000	1 937	10,00	866 853
	75,0%	3 509	-19 707	20 210	3,13	PLS	63 338	250 239	0,000	1 937	10,00	866 853
	100,0%	3 509	-19 815	25 644	2,47	PLS	63 338	250 239	0,000	1 937	10,00	866 853
Trave Acciaio 109a-6	0%	3 205	-20 401	7 051	8,98	PLS	63 338	250 239	0,000	1 937	10,00	866 853
	25,0%	3 205	-20 489	11 653	5,44	PLS	63 338	250 239	0,000	1 937	10,00	866 853
	50,0%	3 206	-20 579	16 269	3,89	PLS	63 338	250 239	0,000	1 937	10,00	866 853
75,0%	3 206	-20	20 912	3,03	PLS	63 338	250 239	0,000	1 937	10,00	866 853	

Travi (AC) - Verifiche a pressoflessione

IdTr	%LL	N _{Ed}	V _{Ed}	M _{Ed,3}	CS	Tp Vr	M _{c,Rd}	V _{c,Rd}	ρ	A _v	t _w	N _{pl,Rd}
	[%]											
			667									
	100,0		-20									
	%	3 206	757	25 573	2,48	PLS	63 338	250 239	0,000	1 937	10,00	866 853
Trave Acciaio 6a-7a	0%	-1 302	3 352	3 986	3,77	ELA	15 212	155 060	0,000	1 200	4,00	388 264
	25,0%	51	46	1 641	5,02	ELA	8 243	78 564	0,000	608	4,00	388 264
	50,0%	51	46	1 615	5,10	ELA	8 243	78 564	0,000	608	4,00	388 264
	75,0%	51	46	1 589	5,18	ELA	8 243	78 564	0,000	608	4,00	388 264
	100,0	51	46	1 564	5,27	ELA	8 243	78 564	0,000	608	4,00	388 264
Trave Acciaio 3a-4a	0%	-1 302	3 352	3 986	3,77	ELA	15 212	155 060	0,000	1 200	4,00	388 264
	25,0%	53	53	1 661	4,96	ELA	8 243	78 564	0,000	608	4,00	388 264
	50,0%	53	53	1 629	5,06	ELA	8 243	78 564	0,000	608	4,00	388 264
	75,0%	53	53	1 596	5,16	ELA	8 243	78 564	0,000	608	4,00	388 264
	100,0	53	53	1 564	5,27	ELA	8 243	78 564	0,000	608	4,00	388 264
Trave Acciaio 10a-11a	0%	-1 302	3 352	3 986	3,77	ELA	15 212	155 060	0,000	1 200	4,00	388 264
	25,0%	51	35	1 627	5,06	ELA	8 243	78 564	0,000	608	4,00	388 264
	50,0%	51	35	1 606	5,13	ELA	8 243	78 564	0,000	608	4,00	388 264
	75,0%	51	35	1 585	5,20	ELA	8 243	78 564	0,000	608	4,00	388 264
	100,0	51	35	1 564	5,27	ELA	8 243	78 564	0,000	608	4,00	388 264
Trave Acciaio 13a-14a	0%	-1 302	3 352	3 986	3,77	ELA	15 212	155 060	0,000	1 200	4,00	388 264
	25,0%	57	37	1 634	5,04	ELA	8 243	78 564	0,000	608	4,00	388 264
	50,0%	57	37	1 610	5,12	ELA	8 243	78 564	0,000	608	4,00	388 264
	75,0%	57	37	1 588	5,19	ELA	8 243	78 564	0,000	608	4,00	388 264
	100,0	57	37	1 564	5,27	ELA	8 243	78 564	0,000	608	4,00	388 264
Trave Acciaio 16a-17a	0%	-1 302	3 352	3 986	3,77	ELA	15 212	155 060	0,000	1 200	4,00	388 264
	25,0%	61	28	1 618	5,09	ELA	8 243	78 564	0,000	608	4,00	388 264
	50,0%	61	28	1 600	5,15	ELA	8 243	78 564	0,000	608	4,00	388 264
	75,0%	61	28	1 582	5,21	ELA	8 243	78 564	0,000	608	4,00	388 264
	100,0	61	28	1 564	5,27	ELA	8 243	78 564	0,000	608	4,00	388 264
Trave Acciaio 19a-20a	0%	-1 302	3 352	3 986	3,77	ELA	15 212	155 060	0,000	1 200	4,00	388 264
	25,0%	65	33	1 619	5,09	ELA	8 243	78 564	0,000	608	4,00	388 264
	50,0%	65	33	1 601	5,14	ELA	8 243	78 564	0,000	608	4,00	388 264
	75,0%	65	33	1 583	5,20	ELA	8 243	78 564	0,000	608	4,00	388 264
	100,0	65	33	1 564	5,27	ELA	8 243	78 564	0,000	608	4,00	388 264
Trave Acciaio 22a-23a	0%	-1 302	3 352	3 986	3,77	ELA	15 212	155 060	0,000	1 200	4,00	388 264
	25,0%	59	44	1 638	5,03	ELA	8 243	78 564	0,000	608	4,00	388 264
	50,0%	59	44	1 614	5,10	ELA	8 243	78 564	0,000	608	4,00	388 264
	75,0%	59	44	1 589	5,18	ELA	8 243	78 564	0,000	608	4,00	388 264
	100,0	59	44	1 564	5,27	ELA	8 243	78 564	0,000	608	4,00	388 264
Trave Acciaio 25a-26a	0%	-1 302	3 352	3 986	3,77	ELA	15 212	155 060	0,000	1 200	4,00	388 264
	25,0%	53	38	1 639	5,03	ELA	8 243	78 564	0,000	608	4,00	388 264
	50,0%	53	38	1 614	5,10	ELA	8 243	78 564	0,000	608	4,00	388 264
	75,0%	53	38	1 589	5,18	ELA	8 243	78 564	0,000	608	4,00	388 264
	100,0	53	38	1 564	5,27	ELA	8 243	78 564	0,000	608	4,00	388 264
Trave Acciaio 2-28a	0%	-1 302	3 352	3 986	3,77	ELA	15 212	155 060	0,000	1 200	4,00	388 264
	25,0%	50	25	1 609	5,12	ELA	8 243	78 564	0,000	608	4,00	388 264
	50,0%	50	25	1 594	5,17	ELA	8 243	78 564	0,000	608	4,00	388 264
	75,0%	50	25	1 578	5,22	ELA	8 243	78 564	0,000	608	4,00	388 264
	100,0	50	25	1 564	5,27	ELA	8 243	78 564	0,000	608	4,00	388 264
Trave Acciaio 31a-32a	0%	-1 302	3 352	3 986	3,77	ELA	15 212	155 060	0,000	1 200	4,00	388 264
	25,0%	53	44	1 637	5,03	ELA	8 243	78 564	0,000	608	4,00	388 264
	50,0%	53	44	1 612	5,11	ELA	8 243	78 564	0,000	608	4,00	388 264
	75,0%	53	44	1 589	5,18	ELA	8 243	78 564	0,000	608	4,00	388 264
	100,0	53	44	1 564	5,27	ELA	8 243	78 564	0,000	608	4,00	388 264
Trave Acciaio 34a-35a	0%	-1 302	3 352	3 986	3,77	ELA	15 212	155 060	0,000	1 200	4,00	388 264
	25,0%	61	42	1 639	5,03	ELA	8 243	78 564	0,000	608	4,00	388 264
	50,0%	61	42	1 614	5,10	ELA	8 243	78 564	0,000	608	4,00	388 264
	75,0%	61	42	1 589	5,18	ELA	8 243	78 564	0,000	608	4,00	388 264
	100,0	61	42	1 564	5,27	ELA	8 243	78 564	0,000	608	4,00	388 264
Trave Acciaio 37a-38a	0%	-1 302	3 352	3 986	3,77	ELA	15 212	155 060	0,000	1 200	4,00	388 264
	25,0%	63	29	1 615	5,10	ELA	8 243	78 564	0,000	608	4,00	388 264
	50,0%	63	29	1 598	5,15	ELA	8 243	78 564	0,000	608	4,00	388 264
	75,0%	63	29	1 581	5,21	ELA	8 243	78 564	0,000	608	4,00	388 264
	100,0	63	29	1 564	5,27	ELA	8 243	78 564	0,000	608	4,00	388 264
Trave Acciaio 40a-41a	0%	-1 302	3 352	3 986	3,77	ELA	15 212	155 060	0,000	1 200	4,00	388 264
	25,0%	63	33	1 621	5,08	ELA	8 243	78 564	0,000	608	4,00	388 264
	50,0%	63	33	1 602	5,14	ELA	8 243	78 564	0,000	608	4,00	388 264
	75,0%	63	33	1 584	5,20	ELA	8 243	78 564	0,000	608	4,00	388 264
	100,0	63	33	1 564	5,27	ELA	8 243	78 564	0,000	608	4,00	388 264
Trave Acciaio 43a-44a	0%	-1 302	3 352	3 986	3,77	ELA	15 212	155 060	0,000	1 200	4,00	388 264
	25,0%	59	44	1 641	5,02	ELA	8 243	78 564	0,000	608	4,00	388 264
	50,0%	59	44	1 615	5,10	ELA	8 243	78 564	0,000	608	4,00	388 264
	75,0%	59	44	1 590	5,18	ELA	8 243	78 564	0,000	608	4,00	388 264
	100,0	59	44	1 564	5,27	ELA	8 243	78 564	0,000	608	4,00	388 264

Travi (AC) - Verifiche a pressoflessione

IdTr	%LL	N _{Ed}	V _{Ed}	M _{Ed,3}	CS	Tp Vr	M _{c,Rd}	V _{c,Rd}	ρ	A _v	t _w	N _{pl,Rd}
	[%]											
Trave Acciaio 46a-47a	0%	-1 302	3 352	3 986	3,77	ELA	15 212	155 060	0,000	1 200	4,00	388 264
	25,0%	53	35	1 628	5,06	ELA	8 243	78 564	0,000	608	4,00	388 264
	50,0%	53	35	1 606	5,13	ELA	8 243	78 564	0,000	608	4,00	388 264
	75,0%	53	35	1 585	5,20	ELA	8 243	78 564	0,000	608	4,00	388 264
	100,0%	53	35	1 564	5,27	ELA	8 243	78 564	0,000	608	4,00	388 264
Trave Acciaio 50a-51a	0%	-1 302	3 352	3 986	3,77	ELA	15 212	155 060	0,000	1 200	4,00	388 264
	25,0%	53	29	1 618	5,09	ELA	8 243	78 564	0,000	608	4,00	388 264
	50,0%	53	29	1 600	5,15	ELA	8 243	78 564	0,000	608	4,00	388 264
	75,0%	53	29	1 582	5,21	ELA	8 243	78 564	0,000	608	4,00	388 264
	100,0%	53	29	1 564	5,27	ELA	8 243	78 564	0,000	608	4,00	388 264
Trave Acciaio 53a-54a	0%	-1 302	3 352	3 986	3,77	ELA	15 212	155 060	0,000	1 200	4,00	388 264
	25,0%	53	42	1 645	5,01	ELA	8 243	78 564	0,000	608	4,00	388 264
	50,0%	53	42	1 618	5,09	ELA	8 243	78 564	0,000	608	4,00	388 264
	75,0%	53	42	1 591	5,18	ELA	8 243	78 564	0,000	608	4,00	388 264
	100,0%	53	42	1 564	5,27	ELA	8 243	78 564	0,000	608	4,00	388 264
Trave Acciaio 56a-57a	0%	-1 300	3 347	3 977	3,78	ELA	15 212	155 060	0,000	1 200	4,00	388 264
	25,0%	57	38	1 627	5,06	ELA	8 243	78 564	0,000	608	4,00	388 264
	50,0%	57	38	1 606	5,13	ELA	8 243	78 564	0,000	608	4,00	388 264
	75,0%	57	38	1 585	5,20	ELA	8 243	78 564	0,000	608	4,00	388 264
	100,0%	57	38	1 564	5,27	ELA	8 243	78 564	0,000	608	4,00	388 264
Trave Acciaio 59a-60a	0%	-1 300	3 347	3 977	3,78	ELA	15 212	155 060	0,000	1 200	4,00	388 264
	25,0%	61	23	1 605	5,13	ELA	8 243	78 564	0,000	608	4,00	388 264
	50,0%	61	23	1 592	5,17	ELA	8 243	78 564	0,000	608	4,00	388 264
	75,0%	61	23	1 579	5,22	ELA	8 243	78 564	0,000	608	4,00	388 264
	100,0%	61	23	1 564	5,27	ELA	8 243	78 564	0,000	608	4,00	388 264
Trave Acciaio 62a-63a	0%	-1 300	3 347	3 977	3,78	ELA	15 212	155 060	0,000	1 200	4,00	388 264
	25,0%	59	41	1 630	5,05	ELA	8 243	78 564	0,000	608	4,00	388 264
	50,0%	59	41	1 608	5,12	ELA	8 243	78 564	0,000	608	4,00	388 264
	75,0%	59	41	1 587	5,19	ELA	8 243	78 564	0,000	608	4,00	388 264
	100,0%	59	41	1 564	5,27	ELA	8 243	78 564	0,000	608	4,00	388 264
Trave Acciaio 65a-66a	0%	-1 302	3 352	3 986	3,77	ELA	15 212	155 060	0,000	1 200	4,00	388 264
	25,0%	53	43	1 642	5,02	ELA	8 243	78 564	0,000	608	4,00	388 264
	50,0%	53	43	1 616	5,10	ELA	8 243	78 564	0,000	608	4,00	388 264
	75,0%	53	43	1 590	5,18	ELA	8 243	78 564	0,000	608	4,00	388 264
	100,0%	53	43	1 564	5,27	ELA	8 243	78 564	0,000	608	4,00	388 264
Trave Acciaio 68a-69a	0%	-1 302	3 352	3 986	3,77	ELA	15 212	155 060	0,000	1 200	4,00	388 264
	25,0%	53	32	1 618	5,09	ELA	8 243	78 564	0,000	608	4,00	388 264
	50,0%	53	32	1 600	5,15	ELA	8 243	78 564	0,000	608	4,00	388 264
	75,0%	53	32	1 582	5,21	ELA	8 243	78 564	0,000	608	4,00	388 264
	100,0%	53	32	1 564	5,27	ELA	8 243	78 564	0,000	608	4,00	388 264
Trave Acciaio 72a-73a	0%	-1 302	3 352	3 986	3,77	ELA	15 212	155 060	0,000	1 200	4,00	388 264
	25,0%	53	30	1 619	5,09	ELA	8 243	78 564	0,000	608	4,00	388 264
	50,0%	53	30	1 601	5,14	ELA	8 243	78 564	0,000	608	4,00	388 264
	75,0%	53	30	1 583	5,20	ELA	8 243	78 564	0,000	608	4,00	388 264
	100,0%	53	30	1 564	5,27	ELA	8 243	78 564	0,000	608	4,00	388 264
Trave Acciaio 75a-76a	0%	-1 302	3 352	3 986	3,77	ELA	15 212	155 060	0,000	1 200	4,00	388 264
	25,0%	53	43	1 642	5,02	ELA	8 243	78 564	0,000	608	4,00	388 264
	50,0%	53	43	1 616	5,10	ELA	8 243	78 564	0,000	608	4,00	388 264
	75,0%	53	43	1 590	5,18	ELA	8 243	78 564	0,000	608	4,00	388 264
	100,0%	53	43	1 564	5,27	ELA	8 243	78 564	0,000	608	4,00	388 264
Trave Acciaio 78a-79a	0%	-1 302	3 352	3 986	3,77	ELA	15 212	155 060	0,000	1 200	4,00	388 264
	25,0%	59	41	1 633	5,04	ELA	8 243	78 564	0,000	608	4,00	388 264
	50,0%	59	41	1 610	5,12	ELA	8 243	78 564	0,000	608	4,00	388 264
	75,0%	59	41	1 587	5,19	ELA	8 243	78 564	0,000	608	4,00	388 264
	100,0%	59	41	1 564	5,27	ELA	8 243	78 564	0,000	608	4,00	388 264
Trave Acciaio 81a-82a	0%	-1 302	3 352	3 986	3,77	ELA	15 212	155 060	0,000	1 200	4,00	388 264
	25,0%	61	21	1 608	5,12	ELA	8 243	78 564	0,000	608	4,00	388 264
	50,0%	61	21	1 593	5,17	ELA	8 243	78 564	0,000	608	4,00	388 264
	75,0%	61	21	1 579	5,22	ELA	8 243	78 564	0,000	608	4,00	388 264
	100,0%	61	21	1 564	5,27	ELA	8 243	78 564	0,000	608	4,00	388 264
Trave Acciaio 84a-85a	0%	-1 302	3 352	3 986	3,77	ELA	15 212	155 060	0,000	1 200	4,00	388 264
	25,0%	57	42	1 630	5,05	ELA	8 243	78 564	0,000	608	4,00	388 264
	50,0%	57	42	1 608	5,12	ELA	8 243	78 564	0,000	608	4,00	388 264
	75,0%	57	42	1 587	5,19	ELA	8 243	78 564	0,000	608	4,00	388 264
	100,0%	57	42	1 564	5,27	ELA	8 243	78 564	0,000	608	4,00	388 264
Trave Acciaio 87a-88a	0%	-1 302	3 352	3 986	3,77	ELA	15 212	155 060	0,000	1 200	4,00	388 264
	25,0%	53	44	1 645	5,01	ELA	8 243	78 564	0,000	608	4,00	388 264
	50,0%	53	44	1 618	5,09	ELA	8 243	78 564	0,000	608	4,00	388 264
	75,0%	53	44	1 591	5,18	ELA	8 243	78 564	0,000	608	4,00	388 264
	100,0%	53	44	1 564	5,27	ELA	8 243	78 564	0,000	608	4,00	388 264
Trave Acciaio 90a-91a	0%	-1 302	3 352	3 986	3,77	ELA	15 212	155 060	0,000	1 200	4,00	388 264
	25,0%	53	32	1 618	5,09	ELA	8 243	78 564	0,000	608	4,00	388 264
	50,0%	53	32	1 600	5,15	ELA	8 243	78 564	0,000	608	4,00	388 264
	75,0%	53	32	1 582	5,21	ELA	8 243	78 564	0,000	608	4,00	388 264
	100,0%	53	32	1 564	5,27	ELA	8 243	78 564	0,000	608	4,00	388 264

Travi (AC) - Verifiche a pressoflessione

IdTr	%LL	N _{Ed}	V _{Ed}	M _{Ed,3}	CS	Tp Vr	M _{c,Rd}	V _{c,Rd}	ρ	A _v	t _w	N _{pl,Rd}
	[%]											
Trave Acciaio 94a-95a	0%	-1 302	3 352	3 986	3,77	ELA	15 212	155 060	0,000	1 200	4,00	388 264
	25,0%	53	34	1 631	5,05	ELA	8 243	78 564	0,000	608	4,00	388 264
	50,0%	53	34	1 609	5,12	ELA	8 243	78 564	0,000	608	4,00	388 264
	75,0%	53	34	1 586	5,19	ELA	8 243	78 564	0,000	608	4,00	388 264
	100,0 %	53	34	1 564	5,27	ELA	8 243	78 564	0,000	608	4,00	388 264
Trave Acciaio 97a-98a	0%	-1 302	3 352	3 986	3,77	ELA	15 212	155 060	0,000	1 200	4,00	388 264
	25,0%	59	42	1 641	5,02	ELA	8 243	78 564	0,000	608	4,00	388 264
	50,0%	59	42	1 615	5,10	ELA	8 243	78 564	0,000	608	4,00	388 264
	75,0%	59	42	1 590	5,18	ELA	8 243	78 564	0,000	608	4,00	388 264
	100,0 %	59	42	1 564	5,27	ELA	8 243	78 564	0,000	608	4,00	388 264
Trave Acciaio 100a-101a	0%	-1 302	3 352	3 986	3,77	ELA	15 212	155 060	0,000	1 200	4,00	388 264
	25,0%	63	31	1 622	5,08	ELA	8 243	78 564	0,000	608	4,00	388 264
	50,0%	63	31	1 602	5,14	ELA	8 243	78 564	0,000	608	4,00	388 264
	75,0%	63	31	1 584	5,20	ELA	8 243	78 564	0,000	608	4,00	388 264
	100,0 %	63	31	1 564	5,27	ELA	8 243	78 564	0,000	608	4,00	388 264
Trave Acciaio 103a-104a	0%	-1 302	3 352	3 986	3,77	ELA	15 212	155 060	0,000	1 200	4,00	388 264
	25,0%	63	31	1 615	5,10	ELA	8 243	78 564	0,000	608	4,00	388 264
	50,0%	63	31	1 598	5,15	ELA	8 243	78 564	0,000	608	4,00	388 264
	75,0%	63	31	1 581	5,21	ELA	8 243	78 564	0,000	608	4,00	388 264
	100,0 %	63	31	1 564	5,27	ELA	8 243	78 564	0,000	608	4,00	388 264
Trave Acciaio 106a-107a	0%	-1 302	3 352	3 986	3,77	ELA	15 212	155 060	0,000	1 200	4,00	388 264
	25,0%	61	43	1 640	5,02	ELA	8 243	78 564	0,000	608	4,00	388 264
	50,0%	61	43	1 614	5,10	ELA	8 243	78 564	0,000	608	4,00	388 264
	75,0%	61	43	1 589	5,18	ELA	8 243	78 564	0,000	608	4,00	388 264
	100,0 %	61	43	1 564	5,27	ELA	8 243	78 564	0,000	608	4,00	388 264
Trave Acciaio 109a-110a	0%	-1 302	3 352	3 986	3,77	ELA	15 212	155 060	0,000	1 200	4,00	388 264
	25,0%	53	44	1 637	5,03	ELA	8 243	78 564	0,000	608	4,00	388 264
	50,0%	53	44	1 613	5,11	ELA	8 243	78 564	0,000	608	4,00	388 264
	75,0%	53	44	1 588	5,19	ELA	8 243	78 564	0,000	608	4,00	388 264
	100,0 %	53	44	1 564	5,27	ELA	8 243	78 564	0,000	608	4,00	388 264
Trave Acciaio 6-113a	0%	-1 302	3 352	3 986	3,77	ELA	15 212	155 060	0,000	1 200	4,00	388 264
	25,0%	50	25	1 609	5,12	ELA	8 243	78 564	0,000	608	4,00	388 264
	50,0%	50	25	1 594	5,17	ELA	8 243	78 564	0,000	608	4,00	388 264
	75,0%	50	25	1 579	5,22	ELA	8 243	78 564	0,000	608	4,00	388 264
	100,0 %	50	25	1 564	5,27	ELA	8 243	78 564	0,000	608	4,00	388 264
Trave Acciaio 115a-116a	0%	-1 302	3 352	3 986	3,77	ELA	15 212	155 060	0,000	1 200	4,00	388 264
	25,0%	55	40	1 637	5,03	ELA	8 243	78 564	0,000	608	4,00	388 264
	50,0%	55	40	1 612	5,11	ELA	8 243	78 564	0,000	608	4,00	388 264
	75,0%	55	40	1 589	5,18	ELA	8 243	78 564	0,000	608	4,00	388 264
	100,0 %	55	40	1 564	5,27	ELA	8 243	78 564	0,000	608	4,00	388 264
Trave Acciaio 118a-119a	0%	-1 302	3 352	3 986	3,77	ELA	15 212	155 060	0,000	1 200	4,00	388 264
	25,0%	57	42	1 639	5,03	ELA	8 243	78 564	0,000	608	4,00	388 264
	50,0%	57	42	1 614	5,10	ELA	8 243	78 564	0,000	608	4,00	388 264
	75,0%	57	42	1 589	5,18	ELA	8 243	78 564	0,000	608	4,00	388 264
	100,0 %	57	42	1 564	5,27	ELA	8 243	78 564	0,000	608	4,00	388 264
Trave Acciaio 121a-122a	0%	-1 302	3 352	3 986	3,77	ELA	15 212	155 060	0,000	1 200	4,00	388 264
	25,0%	65	31	1 620	5,08	ELA	8 243	78 564	0,000	608	4,00	388 264
	50,0%	65	31	1 601	5,14	ELA	8 243	78 564	0,000	608	4,00	388 264
	75,0%	65	31	1 583	5,20	ELA	8 243	78 564	0,000	608	4,00	388 264
	100,0 %	65	31	1 564	5,27	ELA	8 243	78 564	0,000	608	4,00	388 264
Trave Acciaio 124a-125a	0%	-1 302	3 352	3 986	3,77	ELA	15 212	155 060	0,000	1 200	4,00	388 264
	25,0%	61	30	1 619	5,09	ELA	8 243	78 564	0,000	608	4,00	388 264
	50,0%	61	30	1 600	5,15	ELA	8 243	78 564	0,000	608	4,00	388 264
	75,0%	61	30	1 583	5,20	ELA	8 243	78 564	0,000	608	4,00	388 264
	100,0 %	61	30	1 564	5,27	ELA	8 243	78 564	0,000	608	4,00	388 264
Trave Acciaio 127a-128a	0%	-1 302	3 352	3 986	3,77	ELA	15 212	155 060	0,000	1 200	4,00	388 264
	25,0%	57	41	1 636	5,03	ELA	8 243	78 564	0,000	608	4,00	388 264
	50,0%	57	41	1 612	5,11	ELA	8 243	78 564	0,000	608	4,00	388 264
	75,0%	57	41	1 588	5,19	ELA	8 243	78 564	0,000	608	4,00	388 264
	100,0 %	57	41	1 564	5,27	ELA	8 243	78 564	0,000	608	4,00	388 264
Trave Acciaio 130a-131a	0%	-1 302	3 352	3 986	3,77	ELA	15 212	155 060	0,000	1 200	4,00	388 264
	25,0%	51	39	1 628	5,06	ELA	8 243	78 564	0,000	608	4,00	388 264
	50,0%	51	39	1 607	5,13	ELA	8 243	78 564	0,000	608	4,00	388 264

Travi (AC) - Verifiche a pressoflessione

IdTr	%LLT	N _{Ed}	V _{Ed}	M _{Ed,3}	CS	Tp Vr	M _{c,Rd}	V _{c,Rd}	ρ	A _v	t _w	N _{pl,Rd}
	[%]	[N]	[N]	[N·m]			[N·m]	[N]		[mm ²]	[mm]	[N]
Trave Acciaio 134a-135a	75,0%	51	39	1 585	5,20	ELA	8 243	78 564	0,000	608	4,00	388 264
	100,0%	51	39	1 564	5,27	ELA	8 243	78 564	0,000	608	4,00	388 264
	0%	-1 302	3 352	3 986	3,77	ELA	15 212	155 060	0,000	1 200	4,00	388 264
	25,0%	51	41	1 638	5,03	ELA	8 243	78 564	0,000	608	4,00	388 264
	50,0%	51	41	1 614	5,10	ELA	8 243	78 564	0,000	608	4,00	388 264
Trave Acciaio 137a-138a	75,0%	51	41	1 588	5,19	ELA	8 243	78 564	0,000	608	4,00	388 264
	100,0%	51	41	1 564	5,27	ELA	8 243	78 564	0,000	608	4,00	388 264
	0%	-1 302	3 352	3 986	3,77	ELA	15 212	155 060	0,000	1 200	4,00	388 264
	25,0%	53	50	1 657	4,97	ELA	8 243	78 564	0,000	608	4,00	388 264
	50,0%	53	50	1 626	5,07	ELA	8 243	78 564	0,000	608	4,00	388 264
Trave Acciaio 27a-2	75,0%	53	50	1 595	5,16	ELA	8 243	78 564	0,000	608	4,00	388 264
	100,0%	53	50	1 564	5,27	ELA	8 243	78 564	0,000	608	4,00	388 264
	0%	50	25	1 564	5,27	ELA	8 243	78 564	0,000	608	4,00	388 264
	25,0%	50	25	1 580	5,21	ELA	8 243	78 564	0,000	608	4,00	388 264
	50,0%	50	25	1 595	5,16	ELA	8 243	78 564	0,000	608	4,00	388 264
Trave Acciaio 112a-6	75,0%	50	25	1 609	5,12	ELA	8 243	78 564	0,000	608	4,00	388 264
	100%	1 302	-3 352	3 986	3,77	ELA	15 212	155 060	0,000	1 200	4,00	388 264
	0%	50	25	1 564	5,27	ELA	8 243	78 564	0,000	608	4,00	388 264
	25,0%	50	25	1 578	5,22	ELA	8 243	78 564	0,000	608	4,00	388 264
	50,0%	50	25	1 593	5,17	ELA	8 243	78 564	0,000	608	4,00	388 264
Trave Acciaio 133a-134a	75,0%	50	25	1 607	5,13	ELA	8 243	78 564	0,000	608	4,00	388 264
	100%	1 302	-3 352	3 986	3,77	ELA	15 212	155 060	0,000	1 200	4,00	388 264
	0%	51	44	1 564	5,27	ELA	8 243	78 564	0,000	608	4,00	388 264
	25,0%	51	44	1 589	5,18	ELA	8 243	78 564	0,000	608	4,00	388 264
	50,0%	51	44	1 614	5,10	ELA	8 243	78 564	0,000	608	4,00	388 264
Trave Acciaio 136a-137a	75,0%	51	44	1 638	5,03	ELA	8 243	78 564	0,000	608	4,00	388 264
	100%	1 302	-3 352	3 986	3,77	ELA	15 212	155 060	0,000	1 200	4,00	388 264
	0%	53	51	1 564	5,27	ELA	8 243	78 564	0,000	608	4,00	388 264
	25,0%	53	51	1 595	5,16	ELA	8 243	78 564	0,000	608	4,00	388 264
	50,0%	53	51	1 627	5,06	ELA	8 243	78 564	0,000	608	4,00	388 264
Trave Acciaio 24a-25a	75,0%	53	51	1 659	4,97	ELA	8 243	78 564	0,000	608	4,00	388 264
	100%	1 302	-3 352	3 986	3,77	ELA	15 212	155 060	0,000	1 200	4,00	388 264
	0%	53	38	1 564	5,27	ELA	8 243	78 564	0,000	608	4,00	388 264
	25,0%	53	38	1 589	5,18	ELA	8 243	78 564	0,000	608	4,00	388 264
	50,0%	53	38	1 614	5,10	ELA	8 243	78 564	0,000	608	4,00	388 264
Trave Acciaio 108a-109a	75,0%	53	38	1 637	5,03	ELA	8 243	78 564	0,000	608	4,00	388 264
	100%	1 302	-3 352	3 986	3,77	ELA	15 212	155 060	0,000	1 200	4,00	388 264
	0%	53	42	1 564	5,27	ELA	8 243	78 564	0,000	608	4,00	388 264
	25,0%	53	42	1 589	5,18	ELA	8 243	78 564	0,000	608	4,00	388 264
	50,0%	53	42	1 612	5,11	ELA	8 243	78 564	0,000	608	4,00	388 264
Trave Acciaio 5a-6a	75,0%	53	42	1 636	5,03	ELA	8 243	78 564	0,000	608	4,00	388 264
	100%	1 302	-3 352	3 986	3,77	ELA	15 212	155 060	0,000	1 200	4,00	388 264
	0%	51	44	1 564	5,27	ELA	8 243	78 564	0,000	608	4,00	388 264
	25,0%	51	44	1 589	5,18	ELA	8 243	78 564	0,000	608	4,00	388 264
	50,0%	51	44	1 615	5,10	ELA	8 243	78 564	0,000	608	4,00	388 264
Trave Acciaio 2a-3a	75,0%	51	44	1 642	5,02	ELA	8 243	78 564	0,000	608	4,00	388 264
	100,0%	1 302	-3 352	3 986	3,77	ELA	15 212	155 060	0,000	1 200	4,00	388 264
	0%	53	51	1 564	5,27	ELA	8 243	78 564	0,000	608	4,00	388 264
	25,0%	53	51	1 596	5,16	ELA	8 243	78 564	0,000	608	4,00	388 264
	50,0%	53	51	1 628	5,06	ELA	8 243	78 564	0,000	608	4,00	388 264
Trave Acciaio 9a-10a	75,0%	53	51	1 659	4,97	ELA	8 243	78 564	0,000	608	4,00	388 264
	100%	1 302	-3 352	3 986	3,77	ELA	15 212	155 060	0,000	1 200	4,00	388 264
	0%	51	37	1 564	5,27	ELA	8 243	78 564	0,000	608	4,00	388 264
	25,0%	51	37	1 585	5,20	ELA	8 243	78 564	0,000	608	4,00	388 264
	50,0%	51	37	1 606	5,13	ELA	8 243	78 564	0,000	608	4,00	388 264
Trave Acciaio 12a-13a	75,0%	51	37	1 626	5,07	ELA	8 243	78 564	0,000	608	4,00	388 264
	100%	1 302	-3 352	3 986	3,77	ELA	15 212	155 060	0,000	1 200	4,00	388 264
	0%	57	39	1 564	5,27	ELA	8 243	78 564	0,000	608	4,00	388 264
	25,0%	57	39	1 588	5,19	ELA	8 243	78 564	0,000	608	4,00	388 264
	50,0%	57	39	1 612	5,11	ELA	8 243	78 564	0,000	608	4,00	388 264
Trave Acciaio 15a-16a	75,0%	57	39	1 634	5,04	ELA	8 243	78 564	0,000	608	4,00	388 264
	100%	1 302	-3 352	3 986	3,77	ELA	15 212	155 060	0,000	1 200	4,00	388 264
	0%	61	30	1 564	5,27	ELA	8 243	78 564	0,000	608	4,00	388 264
	25,0%	61	30	1 582	5,21	ELA	8 243	78 564	0,000	608	4,00	388 264
	50,0%	61	30	1 599	5,15	ELA	8 243	78 564	0,000	608	4,00	388 264
Trave Acciaio 18a-19a	75,0%	61	30	1 618	5,09	ELA	8 243	78 564	0,000	608	4,00	388 264
	100%	1 302	-3 352	3 986	3,77	ELA	15 212	155 060	0,000	1 200	4,00	388 264
	0%	65	31	1 564	5,27	ELA	8 243	78 564	0,000	608	4,00	388 264
	25,0%	65	31	1 583	5,20	ELA	8 243	78 564	0,000	608	4,00	388 264
	50,0%	65	31	1 601	5,14	ELA	8 243	78 564	0,000	608	4,00	388 264
Trave Acciaio 21a-22a	75,0%	65	31	1 620	5,08	ELA	8 243	78 564	0,000	608	4,00	388 264
	100%	1 302	-3 352	3 986	3,77	ELA	15 212	155 060	0,000	1 200	4,00	388 264
	0%	59	42	1 564	5,27	ELA	8 243	78 564	0,000	608	4,00	388 264
	25,0%	59	42	1 589	5,18	ELA	8 243	78 564	0,000	608	4,00	388 264
	50,0%	59	42	1 613	5,11	ELA	8 243	78 564	0,000	608	4,00	388 264
Trave Acciaio 21a-22a	75,0%	59	42	1 639	5,03	ELA	8 243	78 564	0,000	608	4,00	388 264
	100%	1 302	-3 352	3 986	3,77	ELA	15 212	155 060	0,000	1 200	4,00	388 264

Travi (AC) - Verifiche a pressoflessione

Id _{Tr}	%L _{Lt}	N _{Ed}	V _{Ed}	M _{Ed,3}	CS	Tp Vr	M _{c,Rd}	V _{c,Rd}	ρ	A _v	t _w	N _{pl,Rd}
	[%]	[N]	[N]	[N·m]			[N·m]	[N]		[mm ²]	[mm]	[N]
Trave Acciaio 86a-87a	25,0%	57	38	1 585	5,20	ELA	8 243	78 564	0,000	608	4,00	388 264
	50,0%	57	38	1 606	5,13	ELA	8 243	78 564	0,000	608	4,00	388 264
	75,0%	57	38	1 627	5,06	ELA	8 243	78 564	0,000	608	4,00	388 264
	100%	1 302	-3 347	3 977	3,78	ELA	15 212	155 060	0,000	1 200	4,00	388 264
	0%	53	42	1 564	5,27	ELA	8 243	78 564	0,000	608	4,00	388 264
Trave Acciaio 89a-90a	25,0%	53	42	1 591	5,18	ELA	8 243	78 564	0,000	608	4,00	388 264
	50,0%	53	42	1 618	5,09	ELA	8 243	78 564	0,000	608	4,00	388 264
	75,0%	53	42	1 645	5,01	ELA	8 243	78 564	0,000	608	4,00	388 264
	100%	1 302	-3 352	3 986	3,77	ELA	15 212	155 060	0,000	1 200	4,00	388 264
	0%	53	29	1 564	5,27	ELA	8 243	78 564	0,000	608	4,00	388 264
Trave Acciaio 93a-94a	25,0%	53	29	1 582	5,21	ELA	8 243	78 564	0,000	608	4,00	388 264
	50,0%	53	29	1 600	5,15	ELA	8 243	78 564	0,000	608	4,00	388 264
	75,0%	53	29	1 618	5,09	ELA	8 243	78 564	0,000	608	4,00	388 264
	100%	1 302	-3 352	3 986	3,77	ELA	15 212	155 060	0,000	1 200	4,00	388 264
	0%	53	35	1 564	5,27	ELA	8 243	78 564	0,000	608	4,00	388 264
Trave Acciaio 96a-97a	25,0%	53	35	1 585	5,20	ELA	8 243	78 564	0,000	608	4,00	388 264
	50,0%	53	35	1 607	5,13	ELA	8 243	78 564	0,000	608	4,00	388 264
	75,0%	53	35	1 628	5,06	ELA	8 243	78 564	0,000	608	4,00	388 264
	100%	1 302	-3 352	3 986	3,77	ELA	15 212	155 060	0,000	1 200	4,00	388 264
	0%	59	44	1 564	5,27	ELA	8 243	78 564	0,000	608	4,00	388 264
Trave Acciaio 99a-100a	25,0%	59	44	1 590	5,18	ELA	8 243	78 564	0,000	608	4,00	388 264
	50,0%	59	44	1 615	5,10	ELA	8 243	78 564	0,000	608	4,00	388 264
	75,0%	59	44	1 641	5,02	ELA	8 243	78 564	0,000	608	4,00	388 264
	100%	1 302	-3 352	3 986	3,77	ELA	15 212	155 060	0,000	1 200	4,00	388 264
	0%	63	33	1 564	5,27	ELA	8 243	78 564	0,000	608	4,00	388 264
Trave Acciaio 102a-103a	25,0%	63	33	1 584	5,20	ELA	8 243	78 564	0,000	608	4,00	388 264
	50,0%	63	33	1 603	5,14	ELA	8 243	78 564	0,000	608	4,00	388 264
	75,0%	63	33	1 621	5,08	ELA	8 243	78 564	0,000	608	4,00	388 264
	100%	1 302	-3 352	3 986	3,77	ELA	15 212	155 060	0,000	1 200	4,00	388 264
	0%	63	29	1 564	5,27	ELA	8 243	78 564	0,000	608	4,00	388 264
Trave Acciaio 105a-106a	25,0%	63	29	1 581	5,21	ELA	8 243	78 564	0,000	608	4,00	388 264
	50,0%	63	29	1 597	5,16	ELA	8 243	78 564	0,000	608	4,00	388 264
	75,0%	63	29	1 615	5,10	ELA	8 243	78 564	0,000	608	4,00	388 264
	100%	1 302	-3 352	3 986	3,77	ELA	15 212	155 060	0,000	1 200	4,00	388 264
	0%	61	41	1 564	5,27	ELA	8 243	78 564	0,000	608	4,00	388 264
Trave Acciaio 114a-115a	25,0%	61	41	1 589	5,18	ELA	8 243	78 564	0,000	608	4,00	388 264
	50,0%	61	41	1 614	5,10	ELA	8 243	78 564	0,000	608	4,00	388 264
	75,0%	61	41	1 639	5,03	ELA	8 243	78 564	0,000	608	4,00	388 264
	100%	1 302	-3 352	3 986	3,77	ELA	15 212	155 060	0,000	1 200	4,00	388 264
	0%	55	40	1 564	5,27	ELA	8 243	78 564	0,000	608	4,00	388 264
Trave Acciaio 117a-118a	25,0%	55	40	1 589	5,18	ELA	8 243	78 564	0,000	608	4,00	388 264
	50,0%	55	40	1 613	5,11	ELA	8 243	78 564	0,000	608	4,00	388 264
	75,0%	55	40	1 639	5,03	ELA	8 243	78 564	0,000	608	4,00	388 264
	100%	1 302	-3 352	3 986	3,77	ELA	15 212	155 060	0,000	1 200	4,00	388 264
	0%	57	44	1 564	5,27	ELA	8 243	78 564	0,000	608	4,00	388 264
Trave Acciaio 120a-121a	25,0%	57	44	1 589	5,18	ELA	8 243	78 564	0,000	608	4,00	388 264
	50,0%	57	44	1 613	5,11	ELA	8 243	78 564	0,000	608	4,00	388 264
	75,0%	57	44	1 638	5,03	ELA	8 243	78 564	0,000	608	4,00	388 264
	100%	1 302	-3 352	3 986	3,77	ELA	15 212	155 060	0,000	1 200	4,00	388 264
	0%	65	33	1 564	5,27	ELA	8 243	78 564	0,000	608	4,00	388 264
Trave Acciaio 123a-124a	25,0%	65	33	1 583	5,20	ELA	8 243	78 564	0,000	608	4,00	388 264
	50,0%	65	33	1 601	5,14	ELA	8 243	78 564	0,000	608	4,00	388 264
	75,0%	65	33	1 619	5,09	ELA	8 243	78 564	0,000	608	4,00	388 264
	100%	1 302	-3 352	3 986	3,77	ELA	15 212	155 060	0,000	1 200	4,00	388 264
	0%	61	28	1 564	5,27	ELA	8 243	78 564	0,000	608	4,00	388 264
Trave Acciaio 126a-127a	25,0%	61	28	1 583	5,20	ELA	8 243	78 564	0,000	608	4,00	388 264
	50,0%	61	28	1 601	5,14	ELA	8 243	78 564	0,000	608	4,00	388 264
	75,0%	61	28	1 619	5,09	ELA	8 243	78 564	0,000	608	4,00	388 264
	100%	1 302	-3 352	3 986	3,77	ELA	15 212	155 060	0,000	1 200	4,00	388 264
	0%	57	39	1 564	5,27	ELA	8 243	78 564	0,000	608	4,00	388 264
Trave Acciaio 129a-130a	25,0%	57	39	1 588	5,19	ELA	8 243	78 564	0,000	608	4,00	388 264
	50,0%	57	39	1 611	5,11	ELA	8 243	78 564	0,000	608	4,00	388 264
	75,0%	57	39	1 636	5,03	ELA	8 243	78 564	0,000	608	4,00	388 264
	100%	1 302	-3 352	3 986	3,77	ELA	15 212	155 060	0,000	1 200	4,00	388 264
	0%	51	37	1 564	5,27	ELA	8 243	78 564	0,000	608	4,00	388 264
Trave Acciaio 7-134a	25,0%	51	37	1 585	5,20	ELA	8 243	78 564	0,000	608	4,00	388 264
	50,0%	51	37	1 606	5,13	ELA	8 243	78 564	0,000	608	4,00	388 264
	75,0%	51	37	1 628	5,06	ELA	8 243	78 564	0,000	608	4,00	388 264
	100%	1 302	-3 352	3 986	3,77	ELA	15 212	155 060	0,000	1 200	4,00	388 264
	0%	-	13 997	13 849	4,57	PLS	63 338	250 239	0,000	1 937	10,00	866 853
Trave Acciaio 1-10a	25,0%	-	13 948	12 102	5,23	PLS	63 338	250 239	0,000	1 937	10,00	866 853
	50,0%	-	13 898	10 362	6,11	PLS	63 338	250 239	0,000	1 937	10,00	866 853
	75,0%	-175	481	9 553	6,63	PLS	63 338	250 239	0,000	1 937	10,00	866 853
	100%	-175	481	9 839	6,44	PLS	63 338	250 239	0,000	1 937	10,00	866 853
	0%	3 508	23 016	24 142	2,62	PLS	63 338	250 239	0,000	1 937	10,00	866 853
Trave Acciaio 1-10a	25,0%	3 508	22 966	21 267	2,98	PLS	63 338	250 239	0,000	1 937	10,00	866 853
	50,0%	3 508	22 917	18 399	3,44	PLS	63 338	250 239	0,000	1 937	10,00	866 853
	75,0%	3 508	22 868	15 537	4,08	PLS	63 338	250 239	0,000	1 937	10,00	866 853

Travi (AC) - Verifiche a pressoflessione

IdTr	%LLT	N _{Ed}	V _{Ed}	M _{Ed,3}	CS	Tp Vr	M _{c,Rd}	V _{c,Rd}	ρ	A _v	t _w	N _{pl,Rd}
	[%]	[N]	[N]	[N·m]			[N·m]	[N]		[mm ²]	[mm]	[N]
Trave Acciaio 10a-13a	100%	3 508	22 818	12 684	4,99	PLS	63 338	250 239	0,000	1 937	10,00	866 853
	0%	952	7 700	14 642	4,33	PLS	63 338	250 239	0,000	1 937	10,00	866 853
	25,0%	952	7 700	12 681	4,99	PLS	63 338	250 239	0,000	1 937	10,00	866 853
	50,0%	572	-6 458	10 894	5,81	PLS	63 338	250 239	0,000	1 937	10,00	866 853
	75,0%	572	-6 458	9 315	6,80	PLS	63 338	250 239	0,000	1 937	10,00	866 853
Trave Acciaio 13a-16a	100%	572	-6 458	7 737	8,19	PLS	63 338	250 239	0,000	1 937	10,00	866 853
	0%	864	7 410	12 514	5,06	PLS	63 338	250 239	0,000	1 937	10,00	866 853
	25,0%	864	7 410	10 390	6,10	PLS	63 338	250 239	0,000	1 937	10,00	866 853
	50,0%	718	-4 460	8 918	7,10	PLS	63 338	250 239	0,000	1 937	10,00	866 853
	75,0%	718	-4 460	10 034	6,31	PLS	63 338	250 239	0,000	1 937	10,00	866 853
Trave Acciaio 16a-19a	100%	3 507	8 615	12 065	5,25	PLS	63 338	250 239	0,000	1 937	10,00	866 853
	0%	3 507	1 912	12 066	5,25	PLS	63 338	250 239	0,000	1 937	10,00	866 853
	25,0%	3 507	1 813	12 530	5,05	PLS	63 338	250 239	0,000	1 937	10,00	866 853
	50,0%	3 507	1 714	12 972	4,88	PLS	63 338	250 239	0,000	1 937	10,00	866 853
	75,0%	3 507	1 616	13 388	4,73	PLS	63 338	250 239	0,000	1 937	10,00	866 853
Trave Acciaio 19a-22a	100%	3 507	1 518	13 779	4,60	PLS	63 338	250 239	0,000	1 937	10,00	866 853
	0%	3 508	-5 178	13 779	4,60	PLS	63 338	250 239	0,000	1 937	10,00	866 853
	25,0%	3 508	-5 277	12 473	5,08	PLS	63 338	250 239	0,000	1 937	10,00	866 853
	50,0%	3 508	-5 376	11 141	5,69	PLS	63 338	250 239	0,000	1 937	10,00	866 853
	75,0%	3 508	-5 474	9 785	6,47	PLS	63 338	250 239	0,000	1 937	10,00	866 853
Trave Acciaio 22a-25a	100%	3 508	-5 573	8 404	7,54	PLS	63 338	250 239	0,000	1 937	10,00	866 853
	0%	3 508	-12 276	8 404	7,54	PLS	63 338	250 239	0,000	1 937	10,00	866 853
	25,0%	3 508	-12 375	5 321	11,90	PLS	63 338	250 239	0,000	1 937	10,00	866 853
	50,0%	718	8 565	2 758	22,97	PLS	63 338	250 239	0,000	1 937	10,00	866 853
	75,0%	3 507	-12 580	931	68,03	PLS	63 338	250 239	0,000	1 937	10,00	866 853
Trave Acciaio 5-94a	100%	3 507	-12 679	4 087	15,50	PLS	63 338	250 239	0,000	1 937	10,00	866 853
	0%	3 206	22 076	25 915	2,44	PLS	63 338	250 239	0,000	1 937	10,00	866 853
	25,0%	3 206	22 007	22 058	2,87	PLS	63 338	250 239	0,000	1 937	10,00	866 853
	50,0%	3 206	21 938	18 213	3,48	PLS	63 338	250 239	0,000	1 937	10,00	866 853
	75,0%	3 206	21 868	14 377	4,41	PLS	63 338	250 239	0,000	1 937	10,00	866 853
Trave Acciaio 94a-97a	100%	3 206	21 799	10 558	6,00	PLS	63 338	250 239	0,000	1 937	10,00	866 853
	0%	3 206	15 095	10 558	6,00	PLS	63 338	250 239	0,000	1 937	10,00	866 853
	25,0%	3 206	14 997	6 793	9,32	PLS	63 338	250 239	0,000	1 937	10,00	866 853
	50,0%	3 206	14 898	3 057	20,72	PLS	63 338	250 239	0,000	1 937	10,00	866 853
	75,0%	3 205	14 792	665	95,25	PLS	63 338	250 239	0,000	1 937	10,00	866 853
Trave Acciaio 97a-100a	100%	3 205	14 693	4 353	14,55	PLS	63 338	250 239	0,000	1 937	10,00	866 853
	0%	3 205	7 992	4 354	14,55	PLS	63 338	250 239	0,000	1 937	10,00	866 853
	25,0%	3 205	7 893	6 340	9,99	PLS	63 338	250 239	0,000	1 937	10,00	866 853
	50,0%	3 205	7 794	8 303	7,63	PLS	63 338	250 239	0,000	1 937	10,00	866 853
	75,0%	3 206	7 696	10 237	6,19	PLS	63 338	250 239	0,000	1 937	10,00	866 853
Trave Acciaio 100a-103a	100%	3 206	7 597	12 149	5,21	PLS	63 338	250 239	0,000	1 937	10,00	866 853
	0%	3 206	896	12 149	5,21	PLS	63 338	250 239	0,000	1 937	10,00	866 853
	25,0%	3 206	797	12 361	5,12	PLS	63 338	250 239	0,000	1 937	10,00	866 853
	50,0%	3 206	698	12 548	5,05	PLS	63 338	250 239	0,000	1 937	10,00	866 853
	75,0%	3 207	600	12 710	4,98	PLS	63 338	250 239	0,000	1 937	10,00	866 853
Trave Acciaio 103a-106a	100%	3 206	507	12 851	4,93	PLS	63 338	250 239	0,000	1 937	10,00	866 853
	0%	3 206	-6 196	12 851	4,93	PLS	63 338	250 239	0,000	1 937	10,00	866 853
	25,0%	3 206	-6 295	11 289	5,61	PLS	63 338	250 239	0,000	1 937	10,00	866 853
	50,0%	3 206	-6 394	9 704	6,53	PLS	63 338	250 239	0,000	1 937	10,00	866 853
	75,0%	3 206	-6 492	8 091	7,83	PLS	63 338	250 239	0,000	1 937	10,00	866 853
Trave Acciaio 106a-109a	100%	3 206	-6 591	6 457	9,81	PLS	63 338	250 239	0,000	1 937	10,00	866 853
	0%	3 206	-13 294	6 457	9,81	PLS	63 338	250 239	0,000	1 937	10,00	866 853
	25,0%	3 206	-13 393	3 124	20,27	PLS	63 338	250 239	0,000	1 937	10,00	866 853
	50,0%	655	8 292	646	98,05	PLS	63 338	250 239	0,000	1 937	10,00	866 853
	75,0%	3 205	-13 597	3 641	17,40	PLS	63 338	250 239	0,000	1 937	10,00	866 853
Trave Acciaio 3a-6a	100%	3 205	-13 696	7 049	8,99	PLS	63 338	250 239	0,000	1 937	10,00	866 853
	0%	87	245	4 840	13,09	PLS	63 338	250 239	0,000	1 937	10,00	866 853
	25,0%	87	245	4 706	13,46	PLS	63 338	250 239	0,000	1 937	10,00	866 853
	50,0%	-83	245	4 811	13,17	PLS	63 338	250 239	0,000	1 937	10,00	866 853
	75,0%	-	-6 998	5 138	12,33	PLS	63 338	250 239	0,000	1 937	10,00	866 853
Trave Acciaio 2-31a	100,0 %	-	-7 097	6 899	9,18	PLS	63 338	250 239	0,000	1 937	10,00	866 853
	0%	3 207	20 761	25 590	2,48	PLS	63 338	250 239	0,000	1 937	10,00	866 853
	25,0%	3 207	20 672	20 926	3,03	PLS	63 338	250 239	0,000	1 937	10,00	866 853
	50,0%	3 207	20 583	16 290	3,89	PLS	63 338	250 239	0,000	1 937	10,00	866 853
	75,0%	3 207	20 494	11 666	5,43	PLS	63 338	250 239	0,000	1 937	10,00	866 853
Trave Acciaio 31a-34a	100%	3 207	20 405	7 066	8,96	PLS	63 338	250 239	0,000	1 937	10,00	866 853
	0%	3 207	13 701	7 065	8,97	PLS	63 338	250 239	0,000	1 937	10,00	866 853
	25,0%	3 207	13 602	3 654	17,33	PLS	63 338	250 239	0,000	1 937	10,00	866 853
	50,0%	657	-8 308	717	88,34	PLS	63 338	250 239	0,000	1 937	10,00	866 853
	75,0%	3 207	13 398	3 113	20,35	PLS	63 338	250 239	0,000	1 937	10,00	866 853
Trave Acciaio 34a-37a	100%	3 207	13 299	6 448	9,82	PLS	63 338	250 239	0,000	1 937	10,00	866 853
	0%	3 207	6 596	6 449	9,82	PLS	63 338	250 239	0,000	1 937	10,00	866 853
	25,0%	3 207	6 497	8 085	7,83	PLS	63 338	250 239	0,000	1 937	10,00	866 853
	50,0%	3 207	6 399	9 698	6,53	PLS	63 338	250 239	0,000	1 937	10,00	866 853
	75,0%	3 206	6 301	11 285	5,61	PLS	63 338	250 239	0,000	1 937	10,00	866 853

Travi (AC) - Verifiche a pressoflessione

IdTr	%LLT	N _{Ed}	V _{Ed}	M _{Ed,3}	CS	Tp Vr	M _{c,Rd}	V _{c,Rd}	ρ	A _v	t _w	N _{pl,Rd}
	[%]	[N]	[N]	[N·m]			[N·m]	[N]		[mm ²]	[mm]	[N]
Trave Acciaio 37a-40a	100%	3 206	6 202	12 848	4,93	PLS	63 338	250 239	0,000	1 937	10,00	866 853
	0%	3 206	-501	12 848	4,93	PLS	63 338	250 239	0,000	1 937	10,00	866 853
	25,0%	3 206	-599	12 709	4,98	PLS	63 338	250 239	0,000	1 937	10,00	866 853
	50,0%	3 207	-692	12 549	5,05	PLS	63 338	250 239	0,000	1 937	10,00	866 853
	75,0%	3 207	-791	12 363	5,12	PLS	63 338	250 239	0,000	1 937	10,00	866 853
Trave Acciaio 40a-43a	100%	3 207	-890	12 153	5,21	PLS	63 338	250 239	0,000	1 937	10,00	866 853
	0%	3 207	-7 591	12 153	5,21	PLS	63 338	250 239	0,000	1 937	10,00	866 853
	25,0%	3 207	-7 690	10 242	6,18	PLS	63 338	250 239	0,000	1 937	10,00	866 853
	50,0%	3 207	-7 789	8 307	7,62	PLS	63 338	250 239	0,000	1 937	10,00	866 853
	75,0%	3 207	-7 888	6 347	9,98	PLS	63 338	250 239	0,000	1 937	10,00	866 853
Trave Acciaio 43a-46a	100%	3 207	-7 987	4 363	14,52	PLS	63 338	250 239	0,000	1 937	10,00	866 853
	0%	3 207	-14 688	4 364	14,51	PLS	63 338	250 239	0,000	1 937	10,00	866 853
	25,0%	3 207	-14 787	679	93,28	PLS	63 338	250 239	0,000	1 937	10,00	866 853
	50,0%	3 207	-14 893	3 046	20,79	PLS	63 338	250 239	0,000	1 937	10,00	866 853
	75,0%	3 207	-14 992	6 779	9,34	PLS	63 338	250 239	0,000	1 937	10,00	866 853
Trave Acciaio 3-50a	100%	3 207	-15 090	10 541	6,01	PLS	63 338	250 239	0,000	1 937	10,00	866 853
	0%	3 203	24 773	25 959	2,44	PLS	63 338	250 239	0,000	1 937	10,00	866 853
	25,0%	3 203	24 743	24 101	2,63	PLS	63 338	250 239	0,000	1 937	10,00	866 853
	50,0%	3 203	24 713	22 246	2,85	PLS	63 338	250 239	0,000	1 937	10,00	866 853
	75,0%	3 203	24 684	20 395	3,11	PLS	63 338	250 239	0,000	1 937	10,00	866 853
Trave Acciaio 50a-53a	100%	3 203	24 654	18 544	3,42	PLS	63 338	250 239	0,000	1 937	10,00	866 853
	0%	3 203	17 951	18 543	3,42	PLS	63 338	250 239	0,000	1 937	10,00	866 853
	25,0%	3 203	17 852	14 067	4,50	PLS	63 338	250 239	0,000	1 937	10,00	866 853
	50,0%	3 203	17 753	9 617	6,59	PLS	63 338	250 239	0,000	1 937	10,00	866 853
	75,0%	3 203	17 654	5 192	12,20	PLS	63 338	250 239	0,000	1 937	10,00	866 853
Trave Acciaio 53a-56a	100%	450	-4 716	1 175	53,90	PLS	63 338	250 239	0,000	1 937	10,00	866 853
	0%	851	5 949	3 670	17,26	PLS	63 338	250 239	0,000	1 937	10,00	866 853
	25,0%	543	-4 997	2 372	26,70	PLS	63 338	250 239	0,000	1 937	10,00	866 853
	50,0%	3 202	10 647	4 597	13,78	PLS	63 338	250 239	0,000	1 937	10,00	866 853
	75,0%	3 202	10 548	7 246	8,74	PLS	63 338	250 239	0,000	1 937	10,00	866 853
Trave Acciaio 56a-59a	100%	3 202	10 450	9 872	6,42	PLS	63 338	250 239	0,000	1 937	10,00	866 853
	0%	3 202	3 753	9 873	6,42	PLS	63 338	250 239	0,000	1 937	10,00	866 853
	25,0%	3 202	3 654	10 800	5,86	PLS	63 338	250 239	0,000	1 937	10,00	866 853
	50,0%	3 202	3 555	11 702	5,41	PLS	63 338	250 239	0,000	1 937	10,00	866 853
	75,0%	3 202	3 458	12 574	5,04	PLS	63 338	250 239	0,000	1 937	10,00	866 853
Trave Acciaio 59a-62a	100%	3 202	3 359	13 428	4,72	PLS	63 338	250 239	0,000	1 937	10,00	866 853
	0%	3 202	-3 338	13 428	4,72	PLS	63 338	250 239	0,000	1 937	10,00	866 853
	25,0%	3 203	-3 431	12 583	5,03	PLS	63 338	250 239	0,000	1 937	10,00	866 853
	50,0%	3 203	-3 530	11 716	5,41	PLS	63 338	250 239	0,000	1 937	10,00	866 853
	75,0%	3 203	-3 629	10 817	5,86	PLS	63 338	250 239	0,000	1 937	10,00	866 853
Trave Acciaio 62a-65a	100%	3 203	-3 728	9 899	6,40	PLS	63 338	250 239	0,000	1 937	10,00	866 853
	0%	3 203	-10 427	9 899	6,40	PLS	63 338	250 239	0,000	1 937	10,00	866 853
	25,0%	3 203	-10 526	7 281	8,70	PLS	63 338	250 239	0,000	1 937	10,00	866 853
	50,0%	3 203	-10 625	4 638	13,66	PLS	63 338	250 239	0,000	1 937	10,00	866 853
	75,0%	831	5 926	2 913	21,74	PLS	63 338	250 239	0,000	1 937	10,00	866 853
Trave Acciaio 65a-68a	100%	559	-5 020	4 181	15,15	PLS	63 338	250 239	0,000	1 937	10,00	866 853
	0%	1 425	-2 949	1 152	54,98	PLS	63 338	250 239	0,000	1 937	10,00	866 853
	25,0%	3 202	-17 630	5 135	12,33	PLS	63 338	250 239	0,000	1 937	10,00	866 853
	50,0%	3 202	-17 729	9 554	6,63	PLS	63 338	250 239	0,000	1 937	10,00	866 853
	75,0%	3 202	-17 827	13 999	4,52	PLS	63 338	250 239	0,000	1 937	10,00	866 853
Trave Acciaio 4-72a	100%	3 202	-17 926	18 468	3,43	PLS	63 338	250 239	0,000	1 937	10,00	866 853
	0%	3 203	24 758	25 900	2,45	PLS	63 338	250 239	0,000	1 937	10,00	866 853
	25,0%	3 203	24 729	24 043	2,63	PLS	63 338	250 239	0,000	1 937	10,00	866 853
	50,0%	3 203	24 699	22 190	2,85	PLS	63 338	250 239	0,000	1 937	10,00	866 853
	75,0%	3 203	24 670	20 338	3,11	PLS	63 338	250 239	0,000	1 937	10,00	866 853
Trave Acciaio 72a-75a	100%	3 203	24 640	18 492	3,43	PLS	63 338	250 239	0,000	1 937	10,00	866 853
	0%	3 203	17 936	18 491	3,43	PLS	63 338	250 239	0,000	1 937	10,00	866 853
	25,0%	3 203	17 837	14 021	4,52	PLS	63 338	250 239	0,000	1 937	10,00	866 853
	50,0%	3 203	17 739	9 574	6,62	PLS	63 338	250 239	0,000	1 937	10,00	866 853
	75,0%	3 203	17 640	5 149	12,30	PLS	63 338	250 239	0,000	1 937	10,00	866 853
Trave Acciaio 75a-78a	100%	1 425	3 903	1 153	54,93	PLS	63 338	250 239	0,000	1 937	10,00	866 853
	0%	831	5 926	4 181	15,15	PLS	63 338	250 239	0,000	1 937	10,00	866 853
	25,0%	559	-5 020	2 913	21,74	PLS	63 338	250 239	0,000	1 937	10,00	866 853
	50,0%	3 204	10 634	4 631	13,68	PLS	63 338	250 239	0,000	1 937	10,00	866 853
	75,0%	3 204	10 535	7 276	8,71	PLS	63 338	250 239	0,000	1 937	10,00	866 853
Trave Acciaio 78a-81a	100%	3 204	10 436	9 898	6,40	PLS	63 338	250 239	0,000	1 937	10,00	866 853
	0%	3 204	3 735	9 898	6,40	PLS	63 338	250 239	0,000	1 937	10,00	866 853
	25,0%	3 204	3 636	10 819	5,85	PLS	63 338	250 239	0,000	1 937	10,00	866 853
	50,0%	3 204	3 537	11 715	5,41	PLS	63 338	250 239	0,000	1 937	10,00	866 853
	75,0%	3 204	3 439	12 587	5,03	PLS	63 338	250 239	0,000	1 937	10,00	866 853
Trave Acciaio 81a-84a	100%	3 204	3 340	13 434	4,71	PLS	63 338	250 239	0,000	1 937	10,00	866 853
	0%	3 204	-3 363	13 434	4,71	PLS	63 338	250 239	0,000	1 937	10,00	866 853
	25,0%	3 203	-3 456	12 582	5,03	PLS	63 338	250 239	0,000	1 937	10,00	866 853
50,0%	3 203	-3 555	11 705	5,41	PLS	63 338	250 239	0,000	1 937	10,00	866 853	

Travi (AC) - Verifiche a pressoflessione

IdTr	%LLT	N _{Ed}	V _{Ed}	M _{Ed,3}	CS	Tp Vr	M _{c,Rd}	V _{c,Rd}	ρ	A _v	t _w	N _{pl,Rd}
	[%]	[N]	[N]	[N·m]			[N·m]	[N]		[mm ²]	[mm]	[N]
Trave Acciaio 84a-87a	75,0%	3 203	-3 653	10 805	5,86	PLS	63 338	250 239	0,000	1 937	10,00	866 853
	100%	3 203	-3 752	9 879	6,41	PLS	63 338	250 239	0,000	1 937	10,00	866 853
	0%	3 203	-10 450	9 880	6,41	PLS	63 338	250 239	0,000	1 937	10,00	866 853
	25,0%	3 203	-10 549	7 256	8,73	PLS	63 338	250 239	0,000	1 937	10,00	866 853
	50,0%	3 203	-10 647	4 605	13,75	PLS	63 338	250 239	0,000	1 937	10,00	866 853
Trave Acciaio 87a-90a	75,0%	851	5 950	2 374	26,68	PLS	63 338	250 239	0,000	1 937	10,00	866 853
	100%	543	-4 998	3 668	17,27	PLS	63 338	250 239	0,000	1 937	10,00	866 853
	0%	940	6 229	1 174	53,95	PLS	63 338	250 239	0,000	1 937	10,00	866 853
	25,0%	3 204	-17 654	5 182	12,22	PLS	63 338	250 239	0,000	1 937	10,00	866 853
	50,0%	3 204	-17 753	9 608	6,59	PLS	63 338	250 239	0,000	1 937	10,00	866 853
Trave Acciaio 6-115a	75,0%	3 204	-17 852	14 058	4,51	PLS	63 338	250 239	0,000	1 937	10,00	866 853
	100%	3 204	-17 951	18 534	3,42	PLS	63 338	250 239	0,000	1 937	10,00	866 853
	0%	3 506	19 821	25 665	2,47	PLS	63 338	250 239	0,000	1 937	10,00	866 853
	25,0%	3 506	19 712	20 230	3,13	PLS	63 338	250 239	0,000	1 937	10,00	866 853
	50,0%	3 506	19 604	14 826	4,27	PLS	63 338	250 239	0,000	1 937	10,00	866 853
Trave Acciaio 115a-118a	75,0%	3 506	19 494	9 448	6,70	PLS	63 338	250 239	0,000	1 937	10,00	866 853
	100%	3 506	19 387	4 102	15,44	PLS	63 338	250 239	0,000	1 937	10,00	866 853
	0%	3 506	12 685	4 100	15,45	PLS	63 338	250 239	0,000	1 937	10,00	866 853
	25,0%	3 506	12 586	942	67,24	PLS	63 338	250 239	0,000	1 937	10,00	866 853
	50,0%	714	-8 544	2 649	23,91	PLS	63 338	250 239	0,000	1 937	10,00	866 853
Trave Acciaio 118a-121a	75,0%	3 506	12 381	5 312	11,92	PLS	63 338	250 239	0,000	1 937	10,00	866 853
	100,0 %	3 506	12 282	8 397	7,54	PLS	63 338	250 239	0,000	1 937	10,00	866 853
	0%	3 506	5 579	8 397	7,54	PLS	63 338	250 239	0,000	1 937	10,00	866 853
	25,0%	3 506	5 480	9 778	6,48	PLS	63 338	250 239	0,000	1 937	10,00	866 853
	50,0%	3 506	5 382	11 138	5,69	PLS	63 338	250 239	0,000	1 937	10,00	866 853
Trave Acciaio 121a-124a	75,0%	3 507	5 284	12 469	5,08	PLS	63 338	250 239	0,000	1 937	10,00	866 853
	100%	3 507	5 185	13 778	4,60	PLS	63 338	250 239	0,000	1 937	10,00	866 853
	0%	3 507	-1 518	13 778	4,60	PLS	63 338	250 239	0,000	1 937	10,00	866 853
	25,0%	3 506	-1 609	13 387	4,73	PLS	63 338	250 239	0,000	1 937	10,00	866 853
	50,0%	3 506	-1 708	12 973	4,88	PLS	63 338	250 239	0,000	1 937	10,00	866 853
Trave Acciaio 124a-127a	75,0%	3 506	-1 807	12 532	5,05	PLS	63 338	250 239	0,000	1 937	10,00	866 853
	100%	3 506	-1 906	12 070	5,25	PLS	63 338	250 239	0,000	1 937	10,00	866 853
	0%	3 506	-8 609	12 072	5,25	PLS	63 338	250 239	0,000	1 937	10,00	866 853
	25,0%	3 506	-8 708	9 907	6,39	PLS	63 338	250 239	0,000	1 937	10,00	866 853
	50,0%	714	4 480	8 744	7,24	PLS	63 338	250 239	0,000	1 937	10,00	866 853
Trave Acciaio 127a-130a	75,0%	664	-6 750	10 409	6,08	PLS	63 338	250 239	0,000	1 937	10,00	866 853
	100%	664	-6 750	12 549	5,05	PLS	63 338	250 239	0,000	1 937	10,00	866 853
	0%	952	7 702	7 768	8,15	PLS	63 338	250 239	0,000	1 937	10,00	866 853
	25,0%	952	7 702	9 342	6,78	PLS	63 338	250 239	0,000	1 937	10,00	866 853
	50,0%	952	7 702	10 915	5,80	PLS	63 338	250 239	0,000	1 937	10,00	866 853
Trave Acciaio 6a-1	75,0%	572	-6 456	12 666	5,00	PLS	63 338	250 239	0,000	1 937	10,00	866 853
	100%	572	-6 456	14 631	4,33	PLS	63 338	250 239	0,000	1 937	10,00	866 853
	0%	175	486	9 855	6,43	PLS	63 338	250 239	0,000	1 937	10,00	866 853
	25,0%	175	486	9 561	6,62	PLS	63 338	250 239	0,000	1 937	10,00	866 853
	50,0%	-	-13 898	10 364	6,11	PLS	63 338	250 239	0,000	1 937	10,00	866 853
Trave Acciaio 46a-3	75,0%	-	-13 948	12 102	5,23	PLS	63 338	250 239	0,000	1 937	10,00	866 853
	100,0 %	-	-13 997	13 849	4,57	PLS	63 338	250 239	0,000	1 937	10,00	866 853
	0%	3 207	-21 794	10 539	6,01	PLS	63 338	250 239	0,000	1 937	10,00	866 853
	25,0%	3 207	-21 863	14 359	4,41	PLS	63 338	250 239	0,000	1 937	10,00	866 853
	50,0%	3 207	-21 932	18 193	3,48	PLS	63 338	250 239	0,000	1 937	10,00	866 853
Trave Acciaio 68a-4	75,0%	3 207	-22 002	22 035	2,87	PLS	63 338	250 239	0,000	1 937	10,00	866 853
	100,0 %	3 207	-22 071	25 894	2,45	PLS	63 338	250 239	0,000	1 937	10,00	866 853
	0%	3 202	-24 629	18 467	3,43	PLS	63 338	250 239	0,000	1 937	10,00	866 853
	25,0%	3 202	-24 659	20 316	3,12	PLS	63 338	250 239	0,000	1 937	10,00	866 853
	50,0%	3 202	-24 689	22 167	2,86	PLS	63 338	250 239	0,000	1 937	10,00	866 853
Trave Acciaio 90a-5	75,0%	3 202	-24 717	24 019	2,64	PLS	63 338	250 239	0,000	1 937	10,00	866 853
	100,0 %	3 202	-24 747	25 875	2,45	PLS	63 338	250 239	0,000	1 937	10,00	866 853
	0%	3 204	-24 652	18 533	3,42	PLS	63 338	250 239	0,000	1 937	10,00	866 853
	25,0%	3 204	-24 652	20 384	3,11	PLS	63 338	250 239	0,000	1 937	10,00	866 853

Travi (AC) - Verifiche a pressoflessione

Id _{Tr}	%L _{L1}	N _{Ed}	V _{Ed}	M _{Ed,3}	CS	Tp Vr	M _{c,Rd}	V _{c,Rd}	ρ	A _v	t _w	N _{pl,Rd}
	[%]		[N]	[N]			[N·m]	[N·m]		[N]	[mm ²]	[mm]
Trave Acciaio 130a-7	50,0%	3 204	682 -24 712	22 234	2,85	PLS	63 338	250 239	0,000	1 937	10,00	866 853
	75,0%	3 204	-24 741	24 091	2,63	PLS	63 338	250 239	0,000	1 937	10,00	866 853
	100,0 %	3 204	-24 771	25 948	2,44	PLS	63 338	250 239	0,000	1 937	10,00	866 853
	0%	3 506	-22 812	12 663	5,00	PLS	63 338	250 239	0,000	1 937	10,00	866 853
	25,0%	3 506	-22 862	15 517	4,08	PLS	63 338	250 239	0,000	1 937	10,00	866 853
	50,0%	3 506	-22 911	18 379	3,45	PLS	63 338	250 239	0,000	1 937	10,00	866 853
	75,0%	3 506	-22 960	21 245	2,98	PLS	63 338	250 239	0,000	1 937	10,00	866 853
	100,0 %	3 506	-23 010	24 121	2,63	PLS	63 338	250 239	0,000	1 937	10,00	866 853

LEGENDA:

- Id_{Tr}** Identificativo della trave. L'eventuale lettera tra parentesi distingue i diversi tratti della travata al livello considerato.
- %L_{L1}** Posizione della sezione per la quale vengono forniti i valori di verifica, valutata come % della lunghezza libera d'inflessione (L_{L1}), a partire dall'estremo iniziale.
- N_{Ed}** Sforzo normale di progetto.
- V_{Ed}** Taglio di progetto utilizzato per il calcolo di ρ .
- M_{Ed,3}** Momento flettente di progetto intorno a 3.
- CS** Coefficiente di sicurezza ([NS] = Non Significativo se CS ≥ 100; [VNR]= Verifica Non Richiesta; Informazioni aggiuntive sulla condizione: [V] = statica; [E] = eccezionale; [S] = sismica; [N] = sismica non lineare).
- Tp Vr** Tipo di verifica considerata: "PLS" = con Modulo di resistenza plastico; "ELA" = con modulo di resistenza elastico; "EFF" = con modulo di resistenza efficace.
- M_{c,Rd}** Momento resistente.
- V_{c,Rd}** Taglio resistente.
- ρ** Coefficiente riduttivo per presenza di taglio.
- A_v** Area resistente a taglio.
- t_w** Spessore anima resistente a taglio.
- N_{pl,Rd}** Resistenza plastica a Sforzo Normale.

TRAVI (AC) - VERIFICHE A TAGLIO (Elevazione) per pressoflessione retta allo SLU

Id _{Tr}	%L _{L1}	CS	A _v	τ _{T,Ed}	V _{Ed}	Travi (AC) - Verifiche a taglio	
						V _{c,Rd}	P. Vrf.
	[%]		[mm ²]	[N/mm ²]	[N]	[N]	
Piano Terra							
Trave Acciaio 134a-137a	0%	34,93	1 937	1,20	7 097	247 912	-
	25,0%	35,43	1 937	1,20	6 998	247 912	-
	50,0%	35,93	1 937	1,20	6 899	247 912	-
	75,0%	36,46	1 937	1,20	6 800	247 912	-
	100%	36,99	1 937	1,20	6 702	247 912	-
Trave Acciaio 25a-2	0%	12,63	1 937	2,90	-19 373	244 627	-
	25,0%	12,56	1 937	2,90	-19 482	244 627	-
	50,0%	12,49	1 937	2,90	-19 590	244 627	-
	75,0%	12,42	1 937	2,90	-19 699	244 627	-
	100,0%	12,35	1 937	2,90	-19 807	244 627	-
Trave Acciaio 109a-6	0%	11,94	1 937	3,44	-20 394	243 583	-
	25,0%	11,89	1 937	3,44	-20 482	243 583	-
	50,0%	11,84	1 937	3,44	-20 572	243 583	-
	75,0%	11,79	1 937	3,44	-20 660	243 583	-
	100,0%	11,74	1 937	3,44	-20 750	243 583	-
Trave Acciaio 6a-7a	0%	46,26	1 200	0,00	3 352	155 060	-
	25,0%	61,68	1 200	0,00	2 514	155 060	-
	50,0%	92,52	1 200	0,00	1 676	155 060	-
	75,0%	NS	1 200	0,00	839	155 060	-
	100%	NS	608	0,00	80	78 564	-
Trave Acciaio 3a-4a	0%	46,26	1 200	0,00	3 352	155 060	-
	25,0%	61,70	1 200	0,00	2 513	155 060	-
	50,0%	92,52	1 200	0,00	1 676	155 060	-
	75,0%	NS	1 200	0,00	837	155 060	-
	100,0%	NS	608	0,00	82	78 564	-
Trave Acciaio 10a-11a	0%	46,26	1 200	0,00	3 352	155 060	-
	25,0%	61,70	1 200	0,00	2 513	155 060	-
	50,0%	92,52	1 200	0,00	1 676	155 060	-
	75,0%	NS	1 200	0,00	837	155 060	-
	100,0%	NS	608	0,00	77	78 564	-
Trave Acciaio 13a-14a	0%	46,26	1 200	0,00	3 352	155 060	-
	25,0%	61,70	1 200	0,00	2 513	155 060	-
	50,0%	92,52	1 200	0,00	1 676	155 060	-
	75,0%	NS	1 200	0,00	837	155 060	-
	100,0%	NS	608	0,00	76	78 564	-
Trave Acciaio 16a-17a	0%	46,26	1 200	0,00	3 352	155 060	-
	25,0%	61,70	1 200	0,00	2 513	155 060	-
	50,0%	92,52	1 200	0,00	1 676	155 060	-
	75,0%	NS	1 200	0,00	837	155 060	-
	100,0%	NS	608	0,00	73	78 564	-
Trave Acciaio 19a-20a	0%	46,26	1 200	0,00	3 352	155 060	-
	25,0%	61,70	1 200	0,00	2 513	155 060	-
	50,0%	92,52	1 200	0,00	1 676	155 060	-
	75,0%	NS	1 200	0,00	837	155 060	-
	100,0%	NS	608	0,00	75	78 564	-
Trave Acciaio 22a-23a	0%	46,26	1 200	0,00	3 352	155 060	-

Travi (AC) - Verifiche a taglio

Id _{Tr}	%L _{Lt}	CS	A _v	τ _{T,Ed}	V _{Ed}	V _{c,Rd}	P. Vrf.
	[%]		[mm ²]	[N/mm ²]	[N]	[N]	
	25,0%	61,70	1 200	0,00	2 513	155 060	-
	50,0%	92,52	1 200	0,00	1 676	155 060	-
	75,0%	NS	1 200	0,00	837	155 060	-
	100,0%	NS	608	0,00	78	78 564	-
Trave Acciaio 25a-26a	0%	46,26	1 200	0,00	3 352	155 060	-
	25,0%	61,70	1 200	0,00	2 513	155 060	-
	50,0%	92,52	1 200	0,00	1 676	155 060	-
	75,0%	NS	1 200	0,00	837	155 060	-
	100,0%	NS	608	0,00	76	78 564	-
Trave Acciaio 2-28a	0%	46,26	1 200	0,00	3 352	155 060	-
	25,0%	61,70	1 200	0,00	2 513	155 060	-
	50,0%	92,52	1 200	0,00	1 676	155 060	-
	75,0%	NS	1 200	0,00	837	155 060	-
	100,0%	NS	608	0,00	76	78 564	-
Trave Acciaio 31a-32a	0%	46,26	1 200	0,00	3 352	155 060	-
	25,0%	61,70	1 200	0,00	2 513	155 060	-
	50,0%	92,52	1 200	0,00	1 676	155 060	-
	75,0%	NS	1 200	0,00	837	155 060	-
	100,0%	NS	608	0,00	78	78 564	-
Trave Acciaio 34a-35a	0%	46,26	1 200	0,00	3 352	155 060	-
	25,0%	61,70	1 200	0,00	2 513	155 060	-
	50,0%	92,52	1 200	0,00	1 676	155 060	-
	75,0%	NS	1 200	0,00	837	155 060	-
	100,0%	NS	608	0,00	77	78 564	-
Trave Acciaio 37a-38a	0%	46,26	1 200	0,00	3 352	155 060	-
	25,0%	61,70	1 200	0,00	2 513	155 060	-
	50,0%	92,52	1 200	0,00	1 676	155 060	-
	75,0%	NS	1 200	0,00	837	155 060	-
	100,0%	NS	608	0,00	73	78 564	-
Trave Acciaio 40a-41a	0%	46,26	1 200	0,00	3 352	155 060	-
	25,0%	61,70	1 200	0,00	2 513	155 060	-
	50,0%	92,52	1 200	0,00	1 676	155 060	-
	75,0%	NS	1 200	0,00	837	155 060	-
	100,0%	NS	608	0,00	75	78 564	-
Trave Acciaio 43a-44a	0%	46,26	1 200	0,00	3 352	155 060	-
	25,0%	61,70	1 200	0,00	2 513	155 060	-
	50,0%	92,52	1 200	0,00	1 676	155 060	-
	75,0%	NS	1 200	0,00	837	155 060	-
	100,0%	NS	608	0,00	78	78 564	-
Trave Acciaio 46a-47a	0%	46,26	1 200	0,00	3 352	155 060	-
	25,0%	61,70	1 200	0,00	2 513	155 060	-
	50,0%	92,52	1 200	0,00	1 676	155 060	-
	75,0%	NS	1 200	0,00	837	155 060	-
	100,0%	NS	608	0,00	75	78 564	-
Trave Acciaio 50a-51a	0%	46,26	1 200	0,00	3 352	155 060	-
	25,0%	61,70	1 200	0,00	2 513	155 060	-
	50,0%	92,52	1 200	0,00	1 676	155 060	-
	75,0%	NS	1 200	0,00	837	155 060	-
	100,0%	NS	608	0,00	73	78 564	-
Trave Acciaio 53a-54a	0%	46,26	1 200	0,00	3 352	155 060	-
	25,0%	61,70	1 200	0,00	2 513	155 060	-
	50,0%	92,52	1 200	0,00	1 676	155 060	-
	75,0%	NS	1 200	0,00	837	155 060	-
	100,0%	NS	608	0,00	77	78 564	-
Trave Acciaio 56a-57a	0%	46,33	1 200	0,00	3 347	155 060	-
	25,0%	61,78	1 200	0,00	2 510	155 060	-
	50,0%	92,74	1 200	0,00	1 672	155 060	-
	75,0%	NS	1 200	0,00	839	155 060	-
	100%	NS	608	0,00	76	78 564	-
Trave Acciaio 59a-60a	0%	46,33	1 200	0,00	3 347	155 060	-
	25,0%	61,78	1 200	0,00	2 510	155 060	-
	50,0%	92,74	1 200	0,00	1 672	155 060	-
	75,0%	NS	1 200	0,00	839	155 060	-
	100%	NS	608	0,00	72	78 564	-
Trave Acciaio 62a-63a	0%	46,33	1 200	0,00	3 347	155 060	-
	25,0%	61,78	1 200	0,00	2 510	155 060	-
	50,0%	92,74	1 200	0,00	1 672	155 060	-
	75,0%	NS	1 200	0,00	839	155 060	-
	100%	NS	608	0,00	77	78 564	-
Trave Acciaio 65a-66a	0%	46,26	1 200	0,00	3 352	155 060	-
	25,0%	61,70	1 200	0,00	2 513	155 060	-
	50,0%	92,52	1 200	0,00	1 676	155 060	-
	75,0%	NS	1 200	0,00	837	155 060	-
	100,0%	NS	608	0,00	78	78 564	-
Trave Acciaio 68a-69a	0%	46,26	1 200	0,00	3 352	155 060	-
	25,0%	61,70	1 200	0,00	2 513	155 060	-
	50,0%	92,52	1 200	0,00	1 676	155 060	-
	75,0%	NS	1 200	0,00	837	155 060	-
	100,0%	NS	608	0,00	76	78 564	-
Trave Acciaio 72a-73a	0%	46,26	1 200	0,00	3 352	155 060	-
	25,0%	61,70	1 200	0,00	2 513	155 060	-
	50,0%	92,52	1 200	0,00	1 676	155 060	-
	75,0%	NS	1 200	0,00	837	155 060	-
	100,0%	NS	608	0,00	75	78 564	-
Trave Acciaio 75a-76a	0%	46,26	1 200	0,00	3 352	155 060	-
	25,0%	61,70	1 200	0,00	2 513	155 060	-

Travi (AC) - Verifiche a taglio

Id _{Tr}	%L _{Lt}	CS	A _v	τ _{T,Ed}	V _{Ed}	V _{c,Rd}	P. Vrf.
	[%]			[mm ²]			
	50,0%	92,52	1 200	0,00	1 676	155 060	-
	75,0%	NS	1 200	0,00	837	155 060	-
	100,0%	NS	608	0,00	78	78 564	-
Trave Acciaio 78a-79a	0%	46,26	1 200	0,00	3 352	155 060	-
	25,0%	61,70	1 200	0,00	2 513	155 060	-
	50,0%	92,52	1 200	0,00	1 676	155 060	-
	75,0%	NS	1 200	0,00	837	155 060	-
	100,0%	NS	608	0,00	77	78 564	-
Trave Acciaio 81a-82a	0%	46,26	1 200	0,00	3 352	155 060	-
	25,0%	61,70	1 200	0,00	2 513	155 060	-
	50,0%	92,52	1 200	0,00	1 676	155 060	-
	75,0%	NS	1 200	0,00	837	155 060	-
	100,0%	NS	608	0,00	71	78 564	-
Trave Acciaio 84a-85a	0%	46,26	1 200	0,00	3 352	155 060	-
	25,0%	61,70	1 200	0,00	2 513	155 060	-
	50,0%	92,52	1 200	0,00	1 676	155 060	-
	75,0%	NS	1 200	0,00	837	155 060	-
	100,0%	NS	608	0,00	77	78 564	-
Trave Acciaio 87a-88a	0%	46,26	1 200	0,00	3 352	155 060	-
	25,0%	61,70	1 200	0,00	2 513	155 060	-
	50,0%	92,52	1 200	0,00	1 676	155 060	-
	75,0%	NS	1 200	0,00	837	155 060	-
	100,0%	NS	608	0,00	78	78 564	-
Trave Acciaio 90a-91a	0%	46,26	1 200	0,00	3 352	155 060	-
	25,0%	61,70	1 200	0,00	2 513	155 060	-
	50,0%	92,52	1 200	0,00	1 676	155 060	-
	75,0%	NS	1 200	0,00	837	155 060	-
	100,0%	NS	608	0,00	76	78 564	-
Trave Acciaio 94a-95a	0%	46,26	1 200	0,00	3 352	155 060	-
	25,0%	61,70	1 200	0,00	2 513	155 060	-
	50,0%	92,52	1 200	0,00	1 676	155 060	-
	75,0%	NS	1 200	0,00	837	155 060	-
	100,0%	NS	608	0,00	77	78 564	-
Trave Acciaio 97a-98a	0%	46,26	1 200	0,00	3 352	155 060	-
	25,0%	61,70	1 200	0,00	2 513	155 060	-
	50,0%	92,52	1 200	0,00	1 676	155 060	-
	75,0%	NS	1 200	0,00	837	155 060	-
	100,0%	NS	608	0,00	77	78 564	-
Trave Acciaio 100a-101a	0%	46,26	1 200	0,00	3 352	155 060	-
	25,0%	61,70	1 200	0,00	2 513	155 060	-
	50,0%	92,52	1 200	0,00	1 676	155 060	-
	75,0%	NS	1 200	0,00	837	155 060	-
	100,0%	NS	608	0,00	74	78 564	-
Trave Acciaio 103a-104a	0%	46,26	1 200	0,00	3 352	155 060	-
	25,0%	61,70	1 200	0,00	2 513	155 060	-
	50,0%	92,52	1 200	0,00	1 676	155 060	-
	75,0%	NS	1 200	0,00	837	155 060	-
	100,0%	NS	608	0,00	74	78 564	-
Trave Acciaio 106a-107a	0%	46,26	1 200	0,00	3 352	155 060	-
	25,0%	61,70	1 200	0,00	2 513	155 060	-
	50,0%	92,52	1 200	0,00	1 676	155 060	-
	75,0%	NS	1 200	0,00	837	155 060	-
	100,0%	NS	608	0,00	78	78 564	-
Trave Acciaio 109a-110a	0%	46,26	1 200	0,00	3 352	155 060	-
	25,0%	61,70	1 200	0,00	2 513	155 060	-
	50,0%	92,52	1 200	0,00	1 676	155 060	-
	75,0%	NS	1 200	0,00	837	155 060	-
	100,0%	NS	608	0,00	78	78 564	-
Trave Acciaio 6-113a	0%	46,26	1 200	0,00	3 352	155 060	-
	25,0%	61,70	1 200	0,00	2 513	155 060	-
	50,0%	92,52	1 200	0,00	1 676	155 060	-
	75,0%	NS	1 200	0,00	837	155 060	-
	100,0%	NS	608	0,00	76	78 564	-
Trave Acciaio 115a-116a	0%	46,26	1 200	0,00	3 352	155 060	-
	25,0%	61,70	1 200	0,00	2 513	155 060	-
	50,0%	92,52	1 200	0,00	1 676	155 060	-
	75,0%	NS	1 200	0,00	837	155 060	-
	100,0%	NS	608	0,00	77	78 564	-
Trave Acciaio 118a-119a	0%	46,26	1 200	0,00	3 352	155 060	-
	25,0%	61,70	1 200	0,00	2 513	155 060	-
	50,0%	92,52	1 200	0,00	1 676	155 060	-
	75,0%	NS	1 200	0,00	837	155 060	-
	100,0%	NS	608	0,00	77	78 564	-
Trave Acciaio 121a-122a	0%	46,26	1 200	0,00	3 352	155 060	-
	25,0%	61,70	1 200	0,00	2 513	155 060	-
	50,0%	92,52	1 200	0,00	1 676	155 060	-
	75,0%	NS	1 200	0,00	837	155 060	-
	100,0%	NS	608	0,00	74	78 564	-
Trave Acciaio 124a-125a	0%	46,26	1 200	0,00	3 352	155 060	-
	25,0%	61,70	1 200	0,00	2 513	155 060	-
	50,0%	92,52	1 200	0,00	1 676	155 060	-
	75,0%	NS	1 200	0,00	837	155 060	-
	100,0%	NS	608	0,00	74	78 564	-
Trave Acciaio 127a-128a	0%	46,26	1 200	0,00	3 352	155 060	-
	25,0%	61,70	1 200	0,00	2 513	155 060	-
	50,0%	92,52	1 200	0,00	1 676	155 060	-

Travi (AC) - Verifiche a taglio

Id _{Tr}	%L _{Lt}	CS	A _v	τ _{T,Ed}	V _{Ed}	V _{c,Rd}	P. Vrf.
	[%]		[mm ²]	[N/mm ²]	[N]	[N]	
	75,0%	NS	1 200	0,00	837	155 060	-
	100,0%	NS	608	0,00	77	78 564	-
Trave Acciaio 130a-131a	0%	46,26	1 200	0,00	3 352	155 060	-
	25,0%	61,70	1 200	0,00	2 513	155 060	-
	50,0%	92,52	1 200	0,00	1 676	155 060	-
	75,0%	NS	1 200	0,00	837	155 060	-
	100,0%	NS	608	0,00	78	78 564	-
Trave Acciaio 134a-135a	0%	46,26	1 200	0,00	3 352	155 060	-
	25,0%	61,70	1 200	0,00	2 513	155 060	-
	50,0%	92,52	1 200	0,00	1 676	155 060	-
	75,0%	NS	1 200	0,00	837	155 060	-
	100,0%	NS	608	0,00	79	78 564	-
Trave Acciaio 137a-138a	0%	46,26	1 200	0,00	3 352	155 060	-
	25,0%	61,70	1 200	0,00	2 513	155 060	-
	50,0%	92,52	1 200	0,00	1 676	155 060	-
	75,0%	NS	1 200	0,00	837	155 060	-
	100,0%	NS	608	0,00	83	78 564	-
Trave Acciaio 27a-2	0%	NS	608	0,00	76	78 564	-
	25,0%	NS	1 200	0,00	-837	155 060	-
	50,0%	92,52	1 200	0,00	-1 676	155 060	-
	75,0%	61,70	1 200	0,00	-2 513	155 060	-
	100%	46,26	1 200	0,00	-3 352	155 060	-
Trave Acciaio 112a-6	0%	NS	608	0,00	76	78 564	-
	25,0%	NS	1 200	0,00	-837	155 060	-
	50,0%	92,52	1 200	0,00	-1 676	155 060	-
	75,0%	61,70	1 200	0,00	-2 513	155 060	-
	100%	46,26	1 200	0,00	-3 352	155 060	-
Trave Acciaio 133a-134a	0%	NS	608	0,00	80	78 564	-
	25,0%	NS	1 200	0,00	-837	155 060	-
	50,0%	92,52	1 200	0,00	-1 676	155 060	-
	75,0%	61,70	1 200	0,00	-2 513	155 060	-
	100%	46,26	1 200	0,00	-3 352	155 060	-
Trave Acciaio 136a-137a	0%	NS	608	0,00	82	78 564	-
	25,0%	NS	1 200	0,00	-837	155 060	-
	50,0%	92,52	1 200	0,00	-1 676	155 060	-
	75,0%	61,70	1 200	0,00	-2 513	155 060	-
	100%	46,26	1 200	0,00	-3 352	155 060	-
Trave Acciaio 24a-25a	0%	NS	608	0,00	76	78 564	-
	25,0%	NS	1 200	0,00	-837	155 060	-
	50,0%	92,52	1 200	0,00	-1 676	155 060	-
	75,0%	61,70	1 200	0,00	-2 513	155 060	-
	100%	46,26	1 200	0,00	-3 352	155 060	-
Trave Acciaio 108a-109a	0%	NS	608	0,00	77	78 564	-
	25,0%	NS	1 200	0,00	-837	155 060	-
	50,0%	92,52	1 200	0,00	-1 676	155 060	-
	75,0%	61,70	1 200	0,00	-2 513	155 060	-
	100%	46,26	1 200	0,00	-3 352	155 060	-
Trave Acciaio 5a-6a	0%	NS	608	0,00	80	78 564	-
	25,0%	NS	1 200	0,00	-839	155 060	-
	50,0%	92,52	1 200	0,00	-1 676	155 060	-
	75,0%	61,68	1 200	0,00	-2 514	155 060	-
	100,0%	46,26	1 200	0,00	-3 352	155 060	-
Trave Acciaio 2a-3a	0%	NS	608	0,00	84	78 564	-
	25,0%	NS	1 200	0,00	-837	155 060	-
	50,0%	92,52	1 200	0,00	-1 676	155 060	-
	75,0%	61,70	1 200	0,00	-2 513	155 060	-
	100%	46,26	1 200	0,00	-3 352	155 060	-
Trave Acciaio 9a-10a	0%	NS	608	0,00	77	78 564	-
	25,0%	NS	1 200	0,00	-837	155 060	-
	50,0%	92,52	1 200	0,00	-1 676	155 060	-
	75,0%	61,70	1 200	0,00	-2 513	155 060	-
	100%	46,26	1 200	0,00	-3 352	155 060	-
Trave Acciaio 12a-13a	0%	NS	608	0,00	76	78 564	-
	25,0%	NS	1 200	0,00	-837	155 060	-
	50,0%	92,52	1 200	0,00	-1 676	155 060	-
	75,0%	61,70	1 200	0,00	-2 513	155 060	-
	100%	46,26	1 200	0,00	-3 352	155 060	-
Trave Acciaio 15a-16a	0%	NS	608	0,00	74	78 564	-
	25,0%	NS	1 200	0,00	-837	155 060	-
	50,0%	92,52	1 200	0,00	-1 676	155 060	-
	75,0%	61,70	1 200	0,00	-2 513	155 060	-
	100%	46,26	1 200	0,00	-3 352	155 060	-
Trave Acciaio 18a-19a	0%	NS	608	0,00	74	78 564	-
	25,0%	NS	1 200	0,00	-837	155 060	-
	50,0%	92,52	1 200	0,00	-1 676	155 060	-
	75,0%	61,70	1 200	0,00	-2 513	155 060	-
	100%	46,26	1 200	0,00	-3 352	155 060	-
Trave Acciaio 21a-22a	0%	NS	608	0,00	77	78 564	-
	25,0%	NS	1 200	0,00	-837	155 060	-
	50,0%	92,52	1 200	0,00	-1 676	155 060	-
	75,0%	61,70	1 200	0,00	-2 513	155 060	-
	100%	46,26	1 200	0,00	-3 352	155 060	-
Trave Acciaio 30a-31a	0%	NS	608	0,00	78	78 564	-
	25,0%	NS	1 200	0,00	-837	155 060	-
	50,0%	92,52	1 200	0,00	-1 676	155 060	-
	75,0%	61,70	1 200	0,00	-2 513	155 060	-

Id _{Tr}	%L _{Lt}	CS	A _v	τ _{T,Ed}	V _{Ed}	V _{c,Rd}	P. Vrf.
	[%]		[mm ²]	[N/mm ²]	[N]	[N]	
Trave Acciaio 33a-34a	100%	46,26	1 200	0,00	-3 352	155 060	-
	0%	NS	608	0,00	78	78 564	-
	25,0%	NS	1 200	0,00	-837	155 060	-
	50,0%	92,52	1 200	0,00	-1 676	155 060	-
	75,0%	61,70	1 200	0,00	-2 513	155 060	-
Trave Acciaio 36a-37a	100%	46,26	1 200	0,00	-3 352	155 060	-
	0%	NS	608	0,00	74	78 564	-
	25,0%	NS	1 200	0,00	-837	155 060	-
	50,0%	92,52	1 200	0,00	-1 676	155 060	-
	75,0%	61,70	1 200	0,00	-2 513	155 060	-
Trave Acciaio 39a-40a	100%	46,26	1 200	0,00	-3 352	155 060	-
	0%	NS	608	0,00	74	78 564	-
	25,0%	NS	1 200	0,00	-837	155 060	-
	50,0%	92,52	1 200	0,00	-1 676	155 060	-
	75,0%	61,70	1 200	0,00	-2 513	155 060	-
Trave Acciaio 42a-43a	100%	46,26	1 200	0,00	-3 352	155 060	-
	0%	NS	608	0,00	77	78 564	-
	25,0%	NS	1 200	0,00	-837	155 060	-
	50,0%	92,52	1 200	0,00	-1 676	155 060	-
	75,0%	61,70	1 200	0,00	-2 513	155 060	-
Trave Acciaio 45a-46a	100%	46,26	1 200	0,00	-3 352	155 060	-
	0%	NS	608	0,00	77	78 564	-
	25,0%	NS	1 200	0,00	-837	155 060	-
	50,0%	92,52	1 200	0,00	-1 676	155 060	-
	75,0%	61,70	1 200	0,00	-2 513	155 060	-
Trave Acciaio 49a-50a	100%	46,26	1 200	0,00	-3 352	155 060	-
	0%	NS	608	0,00	76	78 564	-
	25,0%	NS	1 200	0,00	-837	155 060	-
	50,0%	92,52	1 200	0,00	-1 676	155 060	-
	75,0%	61,70	1 200	0,00	-2 513	155 060	-
Trave Acciaio 52a-53a	100%	46,26	1 200	0,00	-3 352	155 060	-
	0%	NS	608	0,00	78	78 564	-
	25,0%	NS	1 200	0,00	-837	155 060	-
	50,0%	92,52	1 200	0,00	-1 676	155 060	-
	75,0%	61,70	1 200	0,00	-2 513	155 060	-
Trave Acciaio 55a-56a	100%	46,26	1 200	0,00	-3 352	155 060	-
	0%	NS	608	0,00	77	78 564	-
	25,0%	NS	1 200	0,00	-837	155 060	-
	50,0%	92,52	1 200	0,00	-1 676	155 060	-
	75,0%	61,70	1 200	0,00	-2 513	155 060	-
Trave Acciaio 58a-59a	100%	46,26	1 200	0,00	-3 352	155 060	-
	0%	NS	608	0,00	71	78 564	-
	25,0%	NS	1 200	0,00	-837	155 060	-
	50,0%	92,52	1 200	0,00	-1 676	155 060	-
	75,0%	61,70	1 200	0,00	-2 513	155 060	-
Trave Acciaio 61a-62a	100%	46,26	1 200	0,00	-3 352	155 060	-
	0%	NS	608	0,00	77	78 564	-
	25,0%	NS	1 200	0,00	-837	155 060	-
	50,0%	92,52	1 200	0,00	-1 676	155 060	-
	75,0%	61,70	1 200	0,00	-2 513	155 060	-
Trave Acciaio 64a-65a	100%	46,26	1 200	0,00	-3 352	155 060	-
	0%	NS	608	0,00	78	78 564	-
	25,0%	NS	1 200	0,00	-837	155 060	-
	50,0%	92,52	1 200	0,00	-1 676	155 060	-
	75,0%	61,70	1 200	0,00	-2 513	155 060	-
Trave Acciaio 67a-68a	100%	46,26	1 200	0,00	-3 352	155 060	-
	0%	NS	608	0,00	75	78 564	-
	25,0%	NS	1 200	0,00	-837	155 060	-
	50,0%	92,52	1 200	0,00	-1 676	155 060	-
	75,0%	61,70	1 200	0,00	-2 513	155 060	-
Trave Acciaio 71a-72a	100%	46,26	1 200	0,00	-3 352	155 060	-
	0%	NS	608	0,00	75	78 564	-
	25,0%	NS	1 200	0,00	-837	155 060	-
	50,0%	92,52	1 200	0,00	-1 676	155 060	-
	75,0%	61,70	1 200	0,00	-2 513	155 060	-
Trave Acciaio 74a-75a	100%	46,26	1 200	0,00	-3 352	155 060	-
	0%	NS	608	0,00	78	78 564	-
	25,0%	NS	1 200	0,00	-837	155 060	-
	50,0%	92,52	1 200	0,00	-1 676	155 060	-
	75,0%	61,70	1 200	0,00	-2 513	155 060	-
Trave Acciaio 77a-78a	100%	46,26	1 200	0,00	-3 352	155 060	-
	0%	NS	608	0,00	77	78 564	-
	25,0%	NS	1 200	0,00	-837	155 060	-
	50,0%	92,52	1 200	0,00	-1 676	155 060	-
	75,0%	61,70	1 200	0,00	-2 513	155 060	-
Trave Acciaio 80a-81a	100%	46,26	1 200	0,00	-3 352	155 060	-
	0%	NS	608	0,00	72	78 564	-
	25,0%	NS	1 200	0,00	-837	155 060	-
	50,0%	92,52	1 200	0,00	-1 676	155 060	-
	75,0%	61,70	1 200	0,00	-2 513	155 060	-
Trave Acciaio 83a-84a	100%	46,26	1 200	0,00	-3 352	155 060	-
	0%	NS	608	0,00	76	78 564	-
	25,0%	NS	1 200	0,00	-835	155 060	-
	50,0%	92,63	1 200	0,00	-1 674	155 060	-
	75,0%	61,83	1 200	0,00	-2 508	155 060	-
100%	46,33	1 200	0,00	-3 347	155 060	-	

Travi (AC) - Verifiche a taglio

Id _{Tr}	%L _{Lt}	CS	A _v	τ _{T,Ed}	V _{Ed}	V _{c,Rd}	P. Vrf.
	[%]			[mm ²]	[N/mm ²]	[N]	
Trave Acciaio 86a-87a	0%	NS	608	0,00	77	78 564	-
	25,0%	NS	1 200	0,00	-837	155 060	-
	50,0%	92,52	1 200	0,00	-1 676	155 060	-
	75,0%	61,70	1 200	0,00	-2 513	155 060	-
	100%	46,26	1 200	0,00	-3 352	155 060	-
Trave Acciaio 89a-90a	0%	NS	608	0,00	73	78 564	-
	25,0%	NS	1 200	0,00	-837	155 060	-
	50,0%	92,52	1 200	0,00	-1 676	155 060	-
	75,0%	61,70	1 200	0,00	-2 513	155 060	-
	100%	46,26	1 200	0,00	-3 352	155 060	-
Trave Acciaio 93a-94a	0%	NS	608	0,00	75	78 564	-
	25,0%	NS	1 200	0,00	-837	155 060	-
	50,0%	92,52	1 200	0,00	-1 676	155 060	-
	75,0%	61,70	1 200	0,00	-2 513	155 060	-
	100%	46,26	1 200	0,00	-3 352	155 060	-
Trave Acciaio 96a-97a	0%	NS	608	0,00	78	78 564	-
	25,0%	NS	1 200	0,00	-837	155 060	-
	50,0%	92,52	1 200	0,00	-1 676	155 060	-
	75,0%	61,70	1 200	0,00	-2 513	155 060	-
	100%	46,26	1 200	0,00	-3 352	155 060	-
Trave Acciaio 99a-100a	0%	NS	608	0,00	75	78 564	-
	25,0%	NS	1 200	0,00	-837	155 060	-
	50,0%	92,52	1 200	0,00	-1 676	155 060	-
	75,0%	61,70	1 200	0,00	-2 513	155 060	-
	100%	46,26	1 200	0,00	-3 352	155 060	-
Trave Acciaio 102a-103a	0%	NS	608	0,00	73	78 564	-
	25,0%	NS	1 200	0,00	-837	155 060	-
	50,0%	92,52	1 200	0,00	-1 676	155 060	-
	75,0%	61,70	1 200	0,00	-2 513	155 060	-
	100%	46,26	1 200	0,00	-3 352	155 060	-
Trave Acciaio 105a-106a	0%	NS	608	0,00	77	78 564	-
	25,0%	NS	1 200	0,00	-837	155 060	-
	50,0%	92,52	1 200	0,00	-1 676	155 060	-
	75,0%	61,70	1 200	0,00	-2 513	155 060	-
	100%	46,26	1 200	0,00	-3 352	155 060	-
Trave Acciaio 114a-115a	0%	NS	608	0,00	77	78 564	-
	25,0%	NS	1 200	0,00	-837	155 060	-
	50,0%	92,52	1 200	0,00	-1 676	155 060	-
	75,0%	61,70	1 200	0,00	-2 513	155 060	-
	100%	46,26	1 200	0,00	-3 352	155 060	-
Trave Acciaio 117a-118a	0%	NS	608	0,00	78	78 564	-
	25,0%	NS	1 200	0,00	-837	155 060	-
	50,0%	92,52	1 200	0,00	-1 676	155 060	-
	75,0%	61,70	1 200	0,00	-2 513	155 060	-
	100%	46,26	1 200	0,00	-3 352	155 060	-
Trave Acciaio 120a-121a	0%	NS	608	0,00	75	78 564	-
	25,0%	NS	1 200	0,00	-837	155 060	-
	50,0%	92,52	1 200	0,00	-1 676	155 060	-
	75,0%	61,70	1 200	0,00	-2 513	155 060	-
	100%	46,26	1 200	0,00	-3 352	155 060	-
Trave Acciaio 123a-124a	0%	NS	608	0,00	73	78 564	-
	25,0%	NS	1 200	0,00	-837	155 060	-
	50,0%	92,52	1 200	0,00	-1 676	155 060	-
	75,0%	61,70	1 200	0,00	-2 513	155 060	-
	100%	46,26	1 200	0,00	-3 352	155 060	-
Trave Acciaio 126a-127a	0%	NS	608	0,00	76	78 564	-
	25,0%	NS	1 200	0,00	-837	155 060	-
	50,0%	92,52	1 200	0,00	-1 676	155 060	-
	75,0%	61,70	1 200	0,00	-2 513	155 060	-
	100%	46,26	1 200	0,00	-3 352	155 060	-
Trave Acciaio 129a-130a	0%	NS	608	0,00	77	78 564	-
	25,0%	NS	1 200	0,00	-837	155 060	-
	50,0%	92,52	1 200	0,00	-1 676	155 060	-
	75,0%	61,70	1 200	0,00	-2 513	155 060	-
	100%	46,26	1 200	0,00	-3 352	155 060	-
Trave Acciaio 7-134a	0%	17,55	1 937	2,40	13 997	245 589	-
	25,0%	17,61	1 937	2,40	13 948	245 589	-
	50,0%	17,67	1 937	2,40	13 898	245 589	-
	75,0%	17,73	1 937	2,40	13 849	245 589	-
	100%	17,80	1 937	2,40	13 799	245 589	-
Trave Acciaio 1-10a	0%	10,51	1 937	4,29	23 016	241 922	-
	25,0%	10,53	1 937	4,29	22 966	241 922	-
	50,0%	10,56	1 937	4,29	22 917	241 922	-
	75,0%	10,58	1 937	4,29	22 868	241 922	-
	100%	10,60	1 937	4,29	22 818	241 922	-
Trave Acciaio 10a-13a	0%	15,15	1 937	3,10	16 117	244 245	-
	25,0%	15,25	1 937	3,10	16 018	244 245	-
	50,0%	15,34	1 937	3,10	15 919	244 245	-
	75,0%	15,44	1 937	3,10	15 820	244 245	-
	100%	15,54	1 937	3,10	15 721	244 245	-
Trave Acciaio 13a-16a	0%	27,34	1 937	1,90	9 019	246 562	-
	25,0%	27,64	1 937	1,90	8 920	246 562	-
	50,0%	27,95	1 937	1,90	8 821	246 562	-
	75,0%	28,27	1 937	1,90	8 722	246 562	-
	100%	28,59	1 937	1,90	8 623	246 562	-
Trave Acciaio 16a-19a	0%	34,89	1 937	0,76	7 130	248 767	-

Travi (AC) - Verifiche a taglio

Id _{Tr}	%L _{Lt}	CS	A _v	τ _{T,Ed}	V _{Ed}	V _{c,Rd}	P. Vrf.
	[%]			[mm ²]			
	25,0%	34,89	1 937	0,76	7 130	248 767	-
	50,0%	34,89	1 937	0,76	7 130	248 767	-
	75,0%	34,89	1 937	0,76	7 130	248 767	-
	100%	34,89	1 937	0,76	7 130	248 767	-
Trave Acciaio 19a-22a	0%	33,67	1 937	0,86	7 383	248 579	-
	25,0%	33,67	1 937	0,86	7 383	248 579	-
	50,0%	33,67	1 937	0,86	7 383	248 579	-
	75,0%	33,67	1 937	0,86	7 383	248 579	-
	100%	33,67	1 937	0,86	7 383	248 579	-
Trave Acciaio 22a-25a	0%	20,12	1 937	1,70	-12 276	246 949	-
	25,0%	19,96	1 937	1,70	-12 375	246 949	-
	50,0%	19,80	1 937	1,70	-12 473	246 949	-
	75,0%	19,64	1 937	1,70	-12 572	246 949	-
	100%	19,49	1 937	1,70	-12 671	246 949	-
Trave Acciaio 5-94a	0%	11,01	1 937	3,76	22 076	242 966	-
	25,0%	11,04	1 937	3,76	22 007	242 966	-
	50,0%	11,08	1 937	3,76	21 938	242 966	-
	75,0%	11,11	1 937	3,76	21 868	242 966	-
	100%	11,15	1 937	3,76	21 799	242 966	-
Trave Acciaio 94a-97a	0%	16,25	1 937	2,56	15 095	245 284	-
	25,0%	16,36	1 937	2,56	14 997	245 284	-
	50,0%	16,46	1 937	2,56	14 898	245 284	-
	75,0%	16,57	1 937	2,56	14 799	245 284	-
	100%	16,69	1 937	2,56	14 700	245 284	-
Trave Acciaio 97a-100a	0%	30,95	1 937	1,36	7 999	247 606	-
	25,0%	31,34	1 937	1,36	7 900	247 606	-
	50,0%	31,74	1 937	1,36	7 801	247 606	-
	75,0%	32,15	1 937	1,36	7 702	247 606	-
	100%	32,57	1 937	1,36	7 603	247 606	-
Trave Acciaio 100a-103a	0%	50,99	1 937	0,22	4 899	249 816	-
	25,0%	50,99	1 937	0,22	4 899	249 816	-
	50,0%	50,99	1 937	0,22	4 899	249 816	-
	75,0%	50,99	1 937	0,22	4 899	249 816	-
	100%	50,99	1 937	0,22	4 899	249 816	-
Trave Acciaio 103a-106a	0%	40,06	1 937	1,04	-6 196	248 227	-
	25,0%	39,43	1 937	1,04	-6 295	248 227	-
	50,0%	38,82	1 937	1,04	-6 394	248 227	-
	75,0%	38,24	1 937	1,04	-6 492	248 227	-
	100%	37,66	1 937	1,04	-6 591	248 227	-
Trave Acciaio 106a-109a	0%	18,50	1 937	2,24	-13 294	245 910	-
	25,0%	18,36	1 937	2,24	-13 393	245 910	-
	50,0%	18,23	1 937	2,24	-13 491	245 910	-
	75,0%	18,09	1 937	2,24	-13 590	245 910	-
	100%	17,96	1 937	2,24	-13 689	245 910	-
Trave Acciaio 3a-6a	0%	36,99	1 937	1,20	-6 702	247 922	-
	25,0%	36,46	1 937	1,20	-6 800	247 922	-
	50,0%	35,94	1 937	1,20	-6 899	247 922	-
	75,0%	35,43	1 937	1,20	-6 998	247 922	-
	100,0%	34,93	1 937	1,20	-7 097	247 922	-
Trave Acciaio 2-31a	0%	11,73	1 937	3,43	20 761	243 593	-
	25,0%	11,78	1 937	3,43	20 672	243 593	-
	50,0%	11,83	1 937	3,43	20 583	243 593	-
	75,0%	11,89	1 937	3,43	20 494	243 593	-
	100%	11,94	1 937	3,43	20 405	243 593	-
Trave Acciaio 31a-34a	0%	17,95	1 937	2,24	13 701	245 910	-
	25,0%	18,08	1 937	2,24	13 602	245 910	-
	50,0%	18,21	1 937	2,24	13 503	245 910	-
	75,0%	18,34	1 937	2,24	13 405	245 910	-
	100%	18,48	1 937	2,24	13 306	245 910	-
Trave Acciaio 34a-37a	0%	37,59	1 937	1,03	6 603	248 237	-
	25,0%	38,17	1 937	1,03	6 504	248 237	-
	50,0%	38,75	1 937	1,03	6 406	248 237	-
	75,0%	39,36	1 937	1,03	6 307	248 237	-
	100%	39,99	1 937	1,03	6 208	248 237	-
Trave Acciaio 37a-40a	0%	50,96	1 937	0,22	4 902	249 811	-
	25,0%	50,96	1 937	0,22	4 902	249 811	-
	50,0%	50,96	1 937	0,22	4 902	249 811	-
	75,0%	50,96	1 937	0,22	4 902	249 811	-
	100%	50,96	1 937	0,22	4 902	249 811	-
Trave Acciaio 40a-43a	0%	32,62	1 937	1,36	-7 591	247 601	-
	25,0%	32,20	1 937	1,36	-7 690	247 601	-
	50,0%	31,79	1 937	1,36	-7 789	247 601	-
	75,0%	31,39	1 937	1,36	-7 888	247 601	-
	100%	31,00	1 937	1,36	-7 987	247 601	-
Trave Acciaio 43a-46a	0%	16,70	1 937	2,56	-14 688	245 278	-
	25,0%	16,59	1 937	2,56	-14 787	245 278	-
	50,0%	16,48	1 937	2,56	-14 886	245 278	-
	75,0%	16,37	1 937	2,56	-14 985	245 278	-
	100%	16,26	1 937	2,56	-15 083	245 278	-
Trave Acciaio 3-50a	0%	9,77	1 937	4,22	24 773	242 075	-
	25,0%	9,78	1 937	4,22	24 743	242 075	-
	50,0%	9,80	1 937	4,22	24 713	242 075	-
	75,0%	9,81	1 937	4,22	24 684	242 075	-
	100%	9,82	1 937	4,22	24 654	242 075	-
Trave Acciaio 50a-53a	0%	13,61	1 937	3,02	17 951	244 392	-
	25,0%	13,69	1 937	3,02	17 852	244 392	-

Travi (AC) - Verifiche a taglio

Id _{Tr}	%L _{Lt}	CS	A _v	τ _{T,Ed}	V _{Ed}	V _{c,Rd}	P. Vrf.
	[%]			[mm ²]	[N/mm ²]	[N]	
	50,0%	13,77	1 937	3,02	17 753	244 392	-
	75,0%	13,84	1 937	3,02	17 654	244 392	-
	100%	13,92	1 937	3,02	17 555	244 392	-
Trave Acciaio 53a-56a	0%	22,73	1 937	1,82	10 852	246 720	-
	25,0%	22,94	1 937	1,82	10 753	246 720	-
	50,0%	23,16	1 937	1,82	10 654	246 720	-
	75,0%	23,37	1 937	1,82	10 555	246 720	-
	100%	23,59	1 937	1,82	10 457	246 720	-
Trave Acciaio 56a-59a	0%	44,32	1 937	0,18	5 638	249 893	-
	25,0%	44,32	1 937	0,18	5 638	249 893	-
	50,0%	44,32	1 937	0,18	5 638	249 893	-
	75,0%	44,32	1 937	0,18	5 638	249 893	-
	100%	44,32	1 937	0,18	5 638	249 893	-
Trave Acciaio 59a-62a	0%	44,46	1 937	0,18	5 621	249 898	-
	25,0%	44,46	1 937	0,18	5 621	249 898	-
	50,0%	44,46	1 937	0,18	5 621	249 898	-
	75,0%	44,46	1 937	0,18	5 621	249 898	-
	100%	44,46	1 937	0,18	5 621	249 898	-
Trave Acciaio 62a-65a	0%	23,69	1 937	1,68	-10 427	246 985	-
	25,0%	23,46	1 937	1,68	-10 526	246 985	-
	50,0%	23,25	1 937	1,68	-10 625	246 985	-
	75,0%	23,03	1 937	1,68	-10 724	246 985	-
	100%	22,82	1 937	1,68	-10 822	246 985	-
Trave Acciaio 65a-68a	0%	13,96	1 937	2,88	-17 524	244 662	-
	25,0%	13,88	1 937	2,88	-17 623	244 662	-
	50,0%	13,81	1 937	2,88	-17 722	244 662	-
	75,0%	13,73	1 937	2,88	-17 820	244 662	-
	100%	13,65	1 937	2,88	-17 919	244 662	-
Trave Acciaio 4-72a	0%	9,78	1 937	4,14	24 758	242 228	-
	25,0%	9,80	1 937	4,14	24 729	242 228	-
	50,0%	9,81	1 937	4,14	24 699	242 228	-
	75,0%	9,82	1 937	4,14	24 670	242 228	-
	100%	9,83	1 937	4,14	24 640	242 228	-
Trave Acciaio 72a-75a	0%	13,63	1 937	2,94	17 936	244 550	-
	25,0%	13,71	1 937	2,94	17 837	244 550	-
	50,0%	13,79	1 937	2,94	17 739	244 550	-
	75,0%	13,86	1 937	2,94	17 640	244 550	-
	100%	13,94	1 937	2,94	17 541	244 550	-
Trave Acciaio 75a-78a	0%	22,78	1 937	1,74	10 838	246 867	-
	25,0%	22,99	1 937	1,74	10 740	246 867	-
	50,0%	23,20	1 937	1,74	10 641	246 867	-
	75,0%	23,42	1 937	1,74	10 542	246 867	-
	100%	23,64	1 937	1,74	10 443	246 867	-
Trave Acciaio 78a-81a	0%	44,44	1 937	0,17	5 623	249 908	-
	25,0%	44,44	1 937	0,17	5 623	249 908	-
	50,0%	44,44	1 937	0,17	5 623	249 908	-
	75,0%	44,44	1 937	0,17	5 623	249 908	-
	100%	44,44	1 937	0,17	5 623	249 908	-
Trave Acciaio 81a-84a	0%	44,31	1 937	0,18	5 640	249 893	-
	25,0%	44,31	1 937	0,18	5 640	249 893	-
	50,0%	44,31	1 937	0,18	5 640	249 893	-
	75,0%	44,31	1 937	0,18	5 640	249 893	-
	100%	44,31	1 937	0,18	5 640	249 893	-
Trave Acciaio 84a-87a	0%	23,60	1 937	1,88	-10 450	246 598	-
	25,0%	23,38	1 937	1,88	-10 549	246 598	-
	50,0%	23,16	1 937	1,88	-10 647	246 598	-
	75,0%	22,95	1 937	1,88	-10 746	246 598	-
	100%	22,74	1 937	1,88	-10 845	246 598	-
Trave Acciaio 87a-90a	0%	13,92	1 937	3,08	-17 549	244 270	-
	25,0%	13,84	1 937	3,08	-17 647	244 270	-
	50,0%	13,76	1 937	3,08	-17 746	244 270	-
	75,0%	13,69	1 937	3,08	-17 845	244 270	-
	100%	13,61	1 937	3,08	-17 944	244 270	-
Trave Acciaio 6-115a	0%	12,34	1 937	2,91	19 821	244 606	-
	25,0%	12,41	1 937	2,91	19 712	244 606	-
	50,0%	12,48	1 937	2,91	19 604	244 606	-
	75,0%	12,55	1 937	2,91	19 494	244 606	-
	100%	12,62	1 937	2,91	19 387	244 606	-
Trave Acciaio 115a-118a	0%	19,47	1 937	1,71	12 685	246 924	-
	25,0%	19,62	1 937	1,71	12 586	246 924	-
	50,0%	19,77	1 937	1,71	12 487	246 924	-
	75,0%	19,93	1 937	1,71	12 389	246 924	-
	100,0%	20,09	1 937	1,71	12 290	246 924	-
Trave Acciaio 118a-121a	0%	33,63	1 937	0,85	7 391	248 594	-
	25,0%	33,63	1 937	0,85	7 391	248 594	-
	50,0%	33,63	1 937	0,85	7 391	248 594	-
	75,0%	33,63	1 937	0,85	7 391	248 594	-
	100%	33,63	1 937	0,85	7 391	248 594	-
Trave Acciaio 121a-124a	0%	34,89	1 937	0,76	7 130	248 762	-
	25,0%	34,89	1 937	0,76	7 130	248 762	-
	50,0%	34,89	1 937	0,76	7 130	248 762	-
	75,0%	34,89	1 937	0,76	7 130	248 762	-
	100%	34,89	1 937	0,76	7 130	248 762	-
Trave Acciaio 124a-127a	0%	28,64	1 937	1,88	-8 609	246 592	-
	25,0%	28,32	1 937	1,88	-8 708	246 592	-
	50,0%	28,00	1 937	1,88	-8 807	246 592	-

Travi (AC) - Verifiche a taglio							
Id _{Tr}	%L _{Lt}	CS	A _v	τ _{T,Ed}	V _{Ed}	V _{c,Rd}	P. Vrf.
	[%]		[mm ²]	[N/mm ²]	[N]	[N]	
Trave Acciaio 127a-130a	75,0%	27,69	1 937	1,88	-8 906	246 592	-
	100%	27,38	1 937	1,88	-9 005	246 592	-
	0%	15,55	1 937	3,08	-15 707	244 265	-
	25,0%	15,45	1 937	3,08	-15 806	244 265	-
	50,0%	15,36	1 937	3,08	-15 905	244 265	-
	75,0%	15,26	1 937	3,08	-16 004	244 265	-
Trave Acciaio 6a-1	100%	15,17	1 937	3,08	-16 103	244 265	-
	0%	17,80	1 937	2,40	-13 799	245 594	-
	25,0%	17,73	1 937	2,40	-13 849	245 594	-
	50,0%	17,67	1 937	2,40	-13 898	245 594	-
	75,0%	17,61	1 937	2,40	-13 948	245 594	-
	100,0%	17,55	1 937	2,40	-13 997	245 594	-
Trave Acciaio 46a-3	0%	11,15	1 937	3,76	-21 787	242 956	-
	25,0%	11,12	1 937	3,76	-21 856	242 956	-
	50,0%	11,08	1 937	3,76	-21 925	242 956	-
	75,0%	11,05	1 937	3,76	-21 995	242 956	-
	100,0%	11,01	1 937	3,76	-22 064	242 956	-
	0%	9,84	1 937	4,08	-24 622	242 340	-
Trave Acciaio 68a-4	25,0%	9,83	1 937	4,08	-24 652	242 340	-
	50,0%	9,82	1 937	4,08	-24 682	242 340	-
	75,0%	9,81	1 937	4,08	-24 710	242 340	-
	100,0%	9,80	1 937	4,08	-24 740	242 340	-
	0%	9,82	1 937	4,28	-24 645	241 953	-
	25,0%	9,81	1 937	4,28	-24 675	241 953	-
Trave Acciaio 90a-5	50,0%	9,79	1 937	4,28	-24 705	241 953	-
	75,0%	9,78	1 937	4,28	-24 734	241 953	-
	100,0%	9,77	1 937	4,28	-24 764	241 953	-
	0%	10,61	1 937	4,28	-22 804	241 948	-
	25,0%	10,59	1 937	4,28	-22 854	241 948	-
	50,0%	10,56	1 937	4,28	-22 903	241 948	-
Trave Acciaio 130a-7	75,0%	10,54	1 937	4,28	-22 952	241 948	-
	100,0%	10,52	1 937	4,28	-23 002	241 948	-

LEGENDA:

- Id_{Tr}** Identificativo della trave. L'eventuale lettera tra parentesi distingue i diversi tratti della travata al livello considerato.
- %L_{Lt}** Posizione della sezione per la quale vengono forniti i valori di verifica, valutata come % della lunghezza libera d'inflessione (L_{Lt}), a partire dall'estremo iniziale.
- CS** Coefficiente di sicurezza ([NS] = Non Significativo se CS ≥ 100; [VNR]= Verifica Non Richiesta; Informazioni aggiuntive sulla condizione: [V] = statica; [E] = eccezionale; [S] = sismica; [N] = sismica non lineare).
- A_v** Area resistente a taglio.
- τ_{T,Ed}** Tensione tangenziale di calcolo per torsione.
- V_{Ed}** Taglio di progetto.
- V_{c,Rd}** Taglio resistente.
- P. Vrf.** Piano di minima resistenza.

TRAVI (AC) - VERIFICHE INSTABILITÀ A PRESSOFLESSIONE DEVIATA (Elevazione)

Travi (AC) - Verifiche instabilità a pressoflessione deviata															
Id _{Tr}	N _{eq,Ed}	M _{eq,Ed,3}	M _{eq,Ed,2}	CS	L _N	L _{Cr}	Dir	λ _{LT}	α	φ	χ	β	k _c	χ _{LT}	N _{cr}
	[N]	[N·m]	[N·m]		[m]	[m]									[N]
Piano Terra															
Trave Acciaio 134a-137a	-	5 174	2 006	8,82	1,00	1,00	x-x	0,065	0,210	0,502	1,000	1,000	0,940	1,000	50 675 484
							y-y	0,065	0,210	0,502	1,000	1,000	0,940	1,000	
Trave Acciaio 25a-2	3 508	19 258	7 120	2,38	1,10	1,10	x-x	0,068	0,210	0,505	1,000	1,000	0,940	1,000	41 880 565
							y-y	0,068	0,210	0,505	1,000	1,000	0,940	1,000	
Trave Acciaio 109a-6	3 206	21 151	8 193	2,14	0,90	0,90	x-x	0,061	0,210	0,499	1,000	1,000	0,940	1,000	62 562 326
							y-y	0,061	0,210	0,499	1,000	1,000	0,940	1,000	
Trave Acciaio 6a-7a	51	559	1 625	4,27	2,38	2,38	x-x	0,068	0,490	0,675	0,861	1,000	0,940	1,000	1 024 161
							y-y	0,049	0,490	0,805	0,767	1,000	0,980	1,000	
Trave Acciaio 3a-4a	53	561	1 641	4,23	2,38	2,38	x-x	0,068	0,490	0,675	0,861	1,000	0,940	1,000	1 024 160
							y-y	0,049	0,490	0,805	0,767	1,000	0,975	1,000	
Trave Acciaio 10a-11a	51	564	1 614	4,29	2,38	2,38	x-x	0,068	0,490	0,675	0,861	1,000	0,940	1,000	1 024 160
							y-y	0,049	0,490	0,805	0,767	1,000	0,983	1,000	
Trave Acciaio 13a-14a	57	535	1 620	4,31	2,38	2,38	x-x	0,068	0,490	0,675	0,861	1,000	0,940	1,000	1 024 160
							y-y	0,049	0,490	0,805	0,767	1,000	0,982	1,000	
Trave Acciaio 16a-17a	61	550	1 607	4,32	2,38	2,38	x-x	0,068	0,490	0,675	0,861	1,000	0,940	1,000	1 024 160
							y-y	0,049	0,490	0,805	0,767	1,000	0,986	1,000	
Trave Acciaio 19a-20a	65	550	1 608	4,32	2,38	2,38	x-x	0,068	0,490	0,675	0,861	1,000	0,940	1,000	1 024 160
							y-y	0,049	0,490	0,805	0,767	1,000	0,985	1,000	
Trave Acciaio 22a-23a	59	535	1 623	4,31	2,38	2,38	x-x	0,068	0,490	0,675	0,861	1,000	0,940	1,000	1 024 160
							y-y	0,049	0,490	0,805	0,767	1,000	0,981	1,000	
Trave Acciaio 25a-26a	53	541	1 624	4,30	2,38	2,38	x-x	0,068	0,490	0,675	0,861	1,000	0,940	1,000	1 024 160
							y-y	0,049	0,490	0,805	0,767	1,000	0,981	1,000	
Trave Acciaio 2-28a	50	570	1 599	4,32	2,38	2,38	x-x	0,068	0,490	0,675	0,861	1,000	0,940	1,000	1 024 160
							y-y	0,049	0,490	0,805	0,767	1,000	0,988	1,000	
Trave Acciaio 31a-32a	53	542	1 623	4,30	2,38	2,38	x-x	0,068	0,490	0,675	0,861	1,000	0,940	1,000	1 024 160
							y-y	0,049	0,490	0,805	0,767	1,000	0,981	1,000	
Trave Acciaio 34a-35a	61	542	1 624	4,29	2,38	2,38	x-x	0,068	0,490	0,675	0,861	1,000	0,940	1,000	1 024 160
							y-y	0,049	0,490	0,805	0,767	1,000	0,981	1,000	
Trave Acciaio 37a-38a	63	543	1 605	4,34	2,38	2,38	x-x	0,068	0,490	0,675	0,861	1,000	0,940	1,000	1 024 160
							y-y	0,049	0,490	0,805	0,767	1,000	0,986	1,000	
Trave Acciaio 40a-41a	63	544	1 610	4,32	2,38	2,38	x-x	0,068	0,490	0,675	0,861	1,000	0,940	1,000	1 024 160
							y-y	0,049	0,490	0,805	0,767	1,000	0,985	1,000	
Trave Acciaio 43a-44a	59	537	1 626	4,30	2,38	2,38	x-x	0,068	0,490	0,675	0,861	1,000	0,940	1,000	1 024 160
							y-y	0,049	0,490	0,805	0,767	1,000	0,980	1,000	

Travi (AC) - Verifiche instabilità a pressoflessione deviata																
IdTr	Neq,Ed	Meq,Ed,3	Meq,Ed,2	CS	LN	Lcr	Dir	λ _{LT}	α	φ	χ	β	k _c	χ _{LT}	N _{cr}	
	[N]	[N-m]	[N-m]		[m]	[m]									[N]	
Trave Acciaio 46a-47a	53	546	1 615	4,31	2,38	2,38		x-x	0,068	0,490	0,675	0,861	1,000	0,940	1,000	1 024 160
								y-y	0,049	0,490	0,805	0,767	1,000	0,983	1,000	
Trave Acciaio 50a-51a	53	564	1 607	4,31	2,38	2,38		x-x	0,068	0,490	0,675	0,861	1,000	0,940	1,000	1 024 160
								y-y	0,049	0,490	0,805	0,767	1,000	0,986	1,000	
Trave Acciaio 53a-54a	53	537	1 629	4,29	2,38	2,38		x-x	0,068	0,490	0,675	0,861	1,000	0,940	1,000	1 024 160
								y-y	0,049	0,490	0,805	0,767	1,000	0,979	1,000	
Trave Acciaio 56a-57a	57	543	1 614	4,32	2,38	2,38		x-x	0,067	0,490	0,674	0,861	1,000	0,940	1,000	1 027 007
								y-y	0,048	0,490	0,804	0,767	1,000	0,983	1,000	
Trave Acciaio 59a-60a	61	549	1 598	4,34	2,38	2,38		x-x	0,067	0,490	0,674	0,861	1,000	0,940	1,000	1 027 007
								y-y	0,048	0,490	0,804	0,767	1,000	0,989	1,000	
Trave Acciaio 62a-63a	59	544	1 617	4,31	2,38	2,38		x-x	0,067	0,490	0,674	0,861	1,000	0,940	1,000	1 027 007
								y-y	0,048	0,490	0,804	0,767	1,000	0,983	1,000	
Trave Acciaio 65a-66a	53	536	1 626	4,30	2,38	2,38		x-x	0,068	0,490	0,675	0,861	1,000	0,940	1,000	1 024 160
								y-y	0,049	0,490	0,805	0,767	1,000	0,980	1,000	
Trave Acciaio 68a-69a	53	562	1 607	4,31	2,38	2,38		x-x	0,068	0,490	0,675	0,861	1,000	0,940	1,000	1 024 160
								y-y	0,049	0,490	0,805	0,767	1,000	0,986	1,000	
Trave Acciaio 72a-73a	53	562	1 608	4,31	2,38	2,38		x-x	0,068	0,490	0,675	0,861	1,000	0,940	1,000	1 024 160
								y-y	0,049	0,490	0,805	0,767	1,000	0,985	1,000	
Trave Acciaio 75a-76a	53	537	1 626	4,30	2,38	2,38		x-x	0,068	0,490	0,675	0,861	1,000	0,940	1,000	1 024 160
								y-y	0,049	0,490	0,805	0,767	1,000	0,980	1,000	
Trave Acciaio 78a-79a	59	545	1 619	4,30	2,38	2,38		x-x	0,068	0,490	0,675	0,861	1,000	0,940	1,000	1 024 160
								y-y	0,049	0,490	0,805	0,767	1,000	0,982	1,000	
Trave Acciaio 81a-82a	61	548	1 599	4,34	2,38	2,38		x-x	0,068	0,490	0,675	0,861	1,000	0,940	1,000	1 024 160
								y-y	0,049	0,490	0,805	0,767	1,000	0,988	1,000	
Trave Acciaio 84a-85a	57	544	1 617	4,31	2,38	2,38		x-x	0,068	0,490	0,675	0,861	1,000	0,940	1,000	1 024 160
								y-y	0,049	0,490	0,805	0,767	1,000	0,983	1,000	
Trave Acciaio 87a-88a	53	536	1 629	4,29	2,38	2,38		x-x	0,068	0,490	0,675	0,861	1,000	0,940	1,000	1 024 160
								y-y	0,049	0,490	0,805	0,767	1,000	0,979	1,000	
Trave Acciaio 90a-91a	53	562	1 607	4,31	2,38	2,38		x-x	0,068	0,490	0,675	0,861	1,000	0,940	1,000	1 024 160
								y-y	0,049	0,490	0,805	0,767	1,000	0,986	1,000	
Trave Acciaio 94a-95a	53	546	1 617	4,31	2,38	2,38		x-x	0,068	0,490	0,675	0,861	1,000	0,940	1,000	1 024 160
								y-y	0,049	0,490	0,805	0,767	1,000	0,983	1,000	
Trave Acciaio 97a-98a	59	539	1 626	4,29	2,38	2,38		x-x	0,068	0,490	0,675	0,861	1,000	0,940	1,000	1 024 160
								y-y	0,049	0,490	0,805	0,767	1,000	0,980	1,000	
Trave Acciaio 100a-101a	63	544	1 611	4,32	2,38	2,38		x-x	0,068	0,490	0,675	0,861	1,000	0,940	1,000	1 024 160
								y-y	0,049	0,490	0,805	0,767	1,000	0,985	1,000	
Trave Acciaio 103a-104a	63	543	1 605	4,34	2,38	2,38		x-x	0,068	0,490	0,675	0,861	1,000	0,940	1,000	1 024 160
								y-y	0,049	0,490	0,805	0,767	1,000	0,986	1,000	
Trave Acciaio 106a-107a	61	541	1 625	4,29	2,38	2,38		x-x	0,068	0,490	0,675	0,861	1,000	0,940	1,000	1 024 160
								y-y	0,049	0,490	0,805	0,767	1,000	0,980	1,000	
Trave Acciaio 109a-110a	53	542	1 623	4,30	2,38	2,38		x-x	0,068	0,490	0,675	0,861	1,000	0,940	1,000	1 024 160
								y-y	0,049	0,490	0,805	0,767	1,000	0,981	1,000	
Trave Acciaio 6-113a	50	572	1 600	4,31	2,38	2,38		x-x	0,068	0,490	0,675	0,861	1,000	0,940	1,000	1 024 160
								y-y	0,049	0,490	0,805	0,767	1,000	0,988	1,000	
Trave Acciaio 115a-116a	55	542	1 623	4,30	2,38	2,38		x-x	0,068	0,490	0,675	0,861	1,000	0,940	1,000	1 024 160
								y-y	0,049	0,490	0,805	0,767	1,000	0,981	1,000	
Trave Acciaio 118a-119a	57	536	1 624	4,30	2,38	2,38		x-x	0,068	0,490	0,675	0,861	1,000	0,940	1,000	1 024 160
								y-y	0,049	0,490	0,805	0,767	1,000	0,981	1,000	
Trave Acciaio 121a-122a	65	551	1 609	4,32	2,38	2,38		x-x	0,068	0,490	0,675	0,861	1,000	0,940	1,000	1 024 160
								y-y	0,049	0,490	0,805	0,767	1,000	0,985	1,000	
Trave Acciaio 124a-125a	61	550	1 608	4,32	2,38	2,38		x-x	0,068	0,490	0,675	0,861	1,000	0,940	1,000	1 024 160
								y-y	0,049	0,490	0,805	0,767	1,000	0,985	1,000	
Trave Acciaio 127a-128a	57	534	1 622	4,31	2,38	2,38		x-x	0,068	0,490	0,675	0,861	1,000	0,940	1,000	1 024 160
								y-y	0,049	0,490	0,805	0,767	1,000	0,981	1,000	
Trave Acciaio 130a-131a	51	563	1 615	4,29	2,38	2,38		x-x	0,068	0,490	0,675	0,861	1,000	0,940	1,000	1 024 160
								y-y	0,049	0,490	0,805	0,767	1,000	0,983	1,000	
Trave Acciaio 134a-135a	51	559	1 623	4,28	2,38	2,38		x-x	0,068	0,490	0,675	0,861	1,000	0,940	1,000	1 024 160
								y-y	0,049	0,490	0,805	0,767	1,000	0,981	1,000	
Trave Acciaio 137a-138a	53	561	1 638	4,24	2,38	2,38		x-x	0,068	0,490	0,675	0,861	1,000	0,940	1,000	1 024 160
								y-y	0,049	0,490	0,805	0,767	1,000	0,976	1,000	
Trave Acciaio 27a-2	50	568	1 601	4,32	2,38	2,38		x-x	0,068	0,490	0,675	0,861	1,000	0,910	1,000	1 024 161
								y-y	0,049	0,490	0,805	0,767	1,000	0,988	1,000	
Trave Acciaio 112a-6	50	570	1 598	4,32	2,38	2,38		x-x	0,068	0,490	0,675	0,861	1,000	0,910	1,000	1 024 161
								y-y	0,049	0,490	0,805	0,767	1,000	0,989	1,000	
Trave Acciaio 133a-134a	51	548	1 623	4,29	2,38	2,38		x-x	0,068	0,490	0,675	0,861	1,000	0,910	1,000	1 024 161
								y-y	0,049	0,490	0,805	0,767	1,000	0,981	1,000	
Trave Acciaio 136a-137a	53	531	1 640	4,27	2,38	2,38		x-x	0,068	0,490	0,675	0,861	1,000	0,910	1,000	1 024 161
								y-y	0,049	0,490	0,805	0,767	1,000	0,976	1,000	
Trave Acciaio 24a-25a	53	533	1 623	4,31	2,38	2,38		x-x	0,068	0,490	0,675	0,861	1,000	0,910	1,000	1 024 161
								y-y	0,049	0,490	0,805	0,767	1,000	0,981	1,000	
Trave Acciaio 108a-109a	53	535	1 622	4,31	2,38	2,38		x-x	0,068	0,490	0,675	0,861	1,000	0,910	1,000	1 024 161
								y-y	0,049	0,490	0,805	0,767	1,000	0,981	1,000	
Trave Acciaio 5a-6a	51	548	1 626	4,28	2,38	2,38		x-x	0,068	0,490	0,675	0,861	1,000	0,910	1,000	1 024 160
								y-y	0,049	0,490	0,805	0,767	1,000	0,980	1,000	
Trave Acciaio 2a-3a	53	531	1 640	4,27	2,38	2,38		x-x	0,068	0,490	0,675	0,861	1,000	0,910	1,000	1 024 161
								y-y	0,049	0,490	0,805	0,767	1,000	0,976	1,000	
Trave Acciaio 9a-10a	51	556	1 614	4,30	2,38	2,38		x-x	0,068	0,490	0,675	0,861	1,000	0,910	1,000	1 024 161
								y-y	0,049	0,490	0,805	0,767	1,000	0,984	1,000	
Trave Acciaio 12a-13a	57	523	1 620	4,33	2,38	2,38										

Travi (AC) - Verifiche instabilità a pressoflessione deviata															
Id _{Tr}	M _{eq,Ed} [N]	M _{eq,Ed,3} [N-m]	M _{eq,Ed,2} [N-m]	CS	L _N [m]	L _{Cr} [m]	Dir	λ _{LT}	α	φ	χ	β	k _c	χ _{LT}	N _{cr} [N]
							γ-γ	0,049	0,490	0,805	0,767	1,000	0,986	1,000	
Trave Acciaio 18a-19a	65	548	1 609	4,32	2,38	2,38	x-x	0,068	0,490	0,675	0,861	1,000	0,910	1,000	1 024 161
							γ-γ	0,049	0,490	0,805	0,767	1,000	0,985	1,000	
Trave Acciaio 21a-22a	59	530	1 624	4,31	2,38	2,38	x-x	0,068	0,490	0,675	0,861	1,000	0,910	1,000	1 024 161
							γ-γ	0,049	0,490	0,805	0,767	1,000	0,981	1,000	
Trave Acciaio 30a-31a	53	534	1 623	4,31	2,38	2,38	x-x	0,068	0,490	0,675	0,861	1,000	0,910	1,000	1 024 161
							γ-γ	0,049	0,490	0,805	0,767	1,000	0,981	1,000	
Trave Acciaio 33a-34a	61	534	1 624	4,30	2,38	2,38	x-x	0,068	0,490	0,675	0,861	1,000	0,910	1,000	1 024 161
							γ-γ	0,049	0,490	0,805	0,767	1,000	0,981	1,000	
Trave Acciaio 36a-37a	63	540	1 605	4,34	2,38	2,38	x-x	0,068	0,490	0,675	0,861	1,000	0,910	1,000	1 024 161
							γ-γ	0,049	0,490	0,805	0,767	1,000	0,986	1,000	
Trave Acciaio 39a-40a	63	539	1 611	4,33	2,38	2,38	x-x	0,068	0,490	0,675	0,861	1,000	0,910	1,000	1 024 161
							γ-γ	0,049	0,490	0,805	0,767	1,000	0,985	1,000	
Trave Acciaio 42a-43a	59	528	1 626	4,31	2,38	2,38	x-x	0,068	0,490	0,675	0,861	1,000	0,910	1,000	1 024 161
							γ-γ	0,049	0,490	0,805	0,767	1,000	0,980	1,000	
Trave Acciaio 45a-46a	53	538	1 617	4,32	2,38	2,38	x-x	0,068	0,490	0,675	0,861	1,000	0,910	1,000	1 024 161
							γ-γ	0,049	0,490	0,805	0,767	1,000	0,983	1,000	
Trave Acciaio 49a-50a	53	561	1 607	4,31	2,38	2,38	x-x	0,068	0,490	0,675	0,861	1,000	0,910	1,000	1 024 161
							γ-γ	0,049	0,490	0,805	0,767	1,000	0,986	1,000	
Trave Acciaio 52a-53a	53	527	1 629	4,30	2,38	2,38	x-x	0,068	0,490	0,675	0,861	1,000	0,910	1,000	1 024 161
							γ-γ	0,049	0,490	0,805	0,767	1,000	0,979	1,000	
Trave Acciaio 55a-56a	57	539	1 617	4,31	2,38	2,38	x-x	0,068	0,490	0,675	0,861	1,000	0,910	1,000	1 024 161
							γ-γ	0,049	0,490	0,805	0,767	1,000	0,983	1,000	
Trave Acciaio 58a-59a	61	548	1 599	4,34	2,38	2,38	x-x	0,068	0,490	0,675	0,861	1,000	0,910	1,000	1 024 161
							γ-γ	0,049	0,490	0,805	0,767	1,000	0,988	1,000	
Trave Acciaio 61a-62a	59	538	1 620	4,31	2,38	2,38	x-x	0,068	0,490	0,675	0,861	1,000	0,910	1,000	1 024 161
							γ-γ	0,049	0,490	0,805	0,767	1,000	0,982	1,000	
Trave Acciaio 64a-65a	53	528	1 626	4,31	2,38	2,38	x-x	0,068	0,490	0,675	0,861	1,000	0,910	1,000	1 024 161
							γ-γ	0,049	0,490	0,805	0,767	1,000	0,980	1,000	
Trave Acciaio 67a-68a	53	560	1 607	4,31	2,38	2,38	x-x	0,068	0,490	0,675	0,861	1,000	0,910	1,000	1 024 161
							γ-γ	0,049	0,490	0,805	0,767	1,000	0,986	1,000	
Trave Acciaio 71a-72a	53	560	1 607	4,31	2,38	2,38	x-x	0,068	0,490	0,675	0,861	1,000	0,910	1,000	1 024 161
							γ-γ	0,049	0,490	0,805	0,767	1,000	0,986	1,000	
Trave Acciaio 74a-75a	53	528	1 626	4,31	2,38	2,38	x-x	0,068	0,490	0,675	0,861	1,000	0,910	1,000	1 024 161
							γ-γ	0,049	0,490	0,805	0,767	1,000	0,980	1,000	
Trave Acciaio 77a-78a	59	539	1 619	4,31	2,38	2,38	x-x	0,068	0,490	0,675	0,861	1,000	0,910	1,000	1 024 161
							γ-γ	0,049	0,490	0,805	0,767	1,000	0,982	1,000	
Trave Acciaio 80a-81a	61	547	1 599	4,34	2,38	2,38	x-x	0,068	0,490	0,675	0,861	1,000	0,910	1,000	1 024 161
							γ-γ	0,049	0,490	0,805	0,767	1,000	0,988	1,000	
Trave Acciaio 83a-84a	57	536	1 614	4,32	2,38	2,38	x-x	0,067	0,490	0,674	0,861	1,000	0,910	1,000	1 027 007
							γ-γ	0,048	0,490	0,804	0,767	1,000	0,983	1,000	
Trave Acciaio 86a-87a	53	528	1 629	4,30	2,38	2,38	x-x	0,068	0,490	0,675	0,861	1,000	0,910	1,000	1 024 161
							γ-γ	0,049	0,490	0,805	0,767	1,000	0,979	1,000	
Trave Acciaio 89a-90a	53	560	1 607	4,31	2,38	2,38	x-x	0,068	0,490	0,675	0,861	1,000	0,910	1,000	1 024 161
							γ-γ	0,049	0,490	0,805	0,767	1,000	0,986	1,000	
Trave Acciaio 93a-94a	53	538	1 615	4,32	2,38	2,38	x-x	0,068	0,490	0,675	0,861	1,000	0,910	1,000	1 024 161
							γ-γ	0,049	0,490	0,805	0,767	1,000	0,983	1,000	
Trave Acciaio 96a-97a	59	530	1 626	4,30	2,38	2,38	x-x	0,068	0,490	0,675	0,861	1,000	0,910	1,000	1 024 161
							γ-γ	0,049	0,490	0,805	0,767	1,000	0,980	1,000	
Trave Acciaio 99a-100a	63	539	1 610	4,33	2,38	2,38	x-x	0,068	0,490	0,675	0,861	1,000	0,910	1,000	1 024 161
							γ-γ	0,049	0,490	0,805	0,767	1,000	0,985	1,000	
Trave Acciaio 102a-103a	63	540	1 605	4,34	2,38	2,38	x-x	0,068	0,490	0,675	0,861	1,000	0,910	1,000	1 024 161
							γ-γ	0,049	0,490	0,805	0,767	1,000	0,986	1,000	
Trave Acciaio 105a-106a	61	533	1 624	4,31	2,38	2,38	x-x	0,068	0,490	0,675	0,861	1,000	0,910	1,000	1 024 161
							γ-γ	0,049	0,490	0,805	0,767	1,000	0,981	1,000	
Trave Acciaio 114a-115a	55	535	1 624	4,30	2,38	2,38	x-x	0,068	0,490	0,675	0,861	1,000	0,910	1,000	1 024 161
							γ-γ	0,049	0,490	0,805	0,767	1,000	0,981	1,000	
Trave Acciaio 117a-118a	57	530	1 623	4,31	2,38	2,38	x-x	0,068	0,490	0,675	0,861	1,000	0,910	1,000	1 024 161
							γ-γ	0,049	0,490	0,805	0,767	1,000	0,981	1,000	
Trave Acciaio 120a-121a	65	549	1 608	4,32	2,38	2,38	x-x	0,068	0,490	0,675	0,861	1,000	0,910	1,000	1 024 161
							γ-γ	0,049	0,490	0,805	0,767	1,000	0,985	1,000	
Trave Acciaio 123a-124a	61	540	1 608	4,33	2,38	2,38	x-x	0,068	0,490	0,675	0,861	1,000	0,910	1,000	1 024 161
							γ-γ	0,049	0,490	0,805	0,767	1,000	0,985	1,000	
Trave Acciaio 126a-127a	57	522	1 622	4,32	2,38	2,38	x-x	0,068	0,490	0,675	0,861	1,000	0,910	1,000	1 024 161
							γ-γ	0,049	0,490	0,805	0,767	1,000	0,981	1,000	
Trave Acciaio 129a-130a	51	558	1 615	4,30	2,38	2,38	x-x	0,068	0,490	0,675	0,861	1,000	0,910	1,000	1 024 161
							γ-γ	0,049	0,490	0,805	0,767	1,000	0,983	1,000	
Trave Acciaio 7-134a	-	13 478	4 272	3,57	0,50	0,50	x-x	0,046	0,210	0,488	1,000	1,000	0,940	1,000	202 701
							γ-γ	0,045	0,210	0,488	1,000	1,000	0,859	1,000	935
Trave Acciaio 1-10a	3 508	23 928	3 632	2,28	0,50	0,50	x-x	0,046	0,210	0,488	1,000	1,000	0,940	1,000	202 701
							γ-γ	0,042	0,210	0,488	1,000	1,000	0,800	1,000	935
Trave Acciaio 10a-13a	928	2 275	11 524	4,57	1,00	1,00	x-x	0,065	0,210	0,502	1,000	1,000	0,910	1,000	50 675 484
							γ-γ	0,064	0,210	0,502	1,000	1,000	0,871	1,000	
Trave Acciaio 13a-16a	2 274	6 356	9 364	3,99	1,00	1,00	x-x	0,065	0,210	0,502	1,000	1,000	0,940	1,000	50 675 484
							γ-γ	0,064	0,210	0,502	1,000	1,000	0,883	1,000	
Trave Acciaio 16a-19a	3 508	13 779	6 730	3,05	1,00	1,00	x-x	0,065	0,210	0,502	1,000	1,000	0,940	1,000	50 675 484
							γ-								

Travi (AC) - Verifiche instabilità a pressoflessione deviata															
Id _{Tr}	N _{eq,Ed} [N]	M _{eq,Ed,3} [N·m]	M _{eq,Ed,2} [N·m]	CS	L _N [m]	L _{Cr} [m]	Dir	λ _{LT}	α	φ	χ	β	k _c	χ _{LT}	N _{cr} [N]
Trave Acciaio 5-94a	3 206	23 691	7 427	2,02	0,70	0,70	x-x	0,054	0,210	0,493	1,000	1,000	0,940	1,000	103 419
							y-y	0,053	0,210	0,493	1,000	1,000	0,839	1,000	355
Trave Acciaio 94a-97a	3 206	7 918	1 869	6,32	1,00	1,00	x-x	0,065	0,210	0,502	1,000	1,000	0,910	1,000	50 675 484
							y-y	0,049	0,210	0,502	1,000	1,000	0,693	1,000	
Trave Acciaio 97a-100a	3 206	10 750	3 099	4,50	1,00	1,00	x-x	0,065	0,210	0,502	1,000	1,000	0,940	1,000	50 675 484
							y-y	0,059	0,210	0,502	1,000	1,000	0,819	1,000	
Trave Acciaio 100a-103a	3 206	12 851	4 376	3,63	1,00	1,00	x-x	0,065	0,210	0,502	1,000	1,000	0,940	1,000	50 675 484
							y-y	0,073	0,210	0,502	1,000	1,000	0,983	1,000	
Trave Acciaio 103a-106a	3 206	12 581	3 522	3,88	1,00	1,00	x-x	0,065	0,210	0,502	1,000	1,000	0,940	1,000	50 675 484
							y-y	0,064	0,210	0,502	1,000	1,000	0,851	1,000	
Trave Acciaio 106a-109a	3 206	5 274	1 150	9,51	1,00	1,00	x-x	0,065	0,210	0,502	1,000	1,000	0,910	1,000	50 675 484
							y-y	0,043	0,210	0,502	1,000	1,000	0,637	1,000	
Trave Acciaio 3a-6a	-	5 174	1 563	9,40	1,00	1,00	x-x	0,065	0,210	0,502	1,000	1,000	0,940	1,000	50 675 484
							y-y	0,054	0,210	0,502	1,000	1,000	0,752	1,000	
Trave Acciaio 2-31a	3 207	21 200	7 022	2,23	0,90	0,90	x-x	0,061	0,210	0,499	1,000	1,000	0,940	1,000	62 562 326
							y-y	0,056	0,210	0,499	1,000	1,000	0,812	1,000	
Trave Acciaio 31a-34a	3 207	5 299	1 169	9,45	1,00	1,00	x-x	0,065	0,210	0,502	1,000	1,000	0,910	1,000	50 675 484
							y-y	0,043	0,210	0,502	1,000	1,000	0,640	1,000	
Trave Acciaio 34a-37a	3 207	12 567	3 490	3,89	1,00	1,00	x-x	0,065	0,210	0,502	1,000	1,000	0,940	1,000	50 675 484
							y-y	0,064	0,210	0,502	1,000	1,000	0,850	1,000	
Trave Acciaio 37a-40a	3 207	12 845	4 351	3,63	1,00	1,00	x-x	0,065	0,210	0,502	1,000	1,000	0,940	1,000	50 675 484
							y-y	0,073	0,210	0,502	1,000	1,000	0,984	1,000	
Trave Acciaio 40a-43a	3 207	10 767	3 085	4,50	1,00	1,00	x-x	0,065	0,210	0,502	1,000	1,000	0,940	1,000	50 675 484
							y-y	0,059	0,210	0,502	1,000	1,000	0,819	1,000	
Trave Acciaio 43a-46a	3 207	7 892	1 872	6,33	1,00	1,00	x-x	0,065	0,210	0,502	1,000	1,000	0,910	1,000	50 675 484
							y-y	0,049	0,210	0,502	1,000	1,000	0,693	1,000	
Trave Acciaio 3-50a	3 203	22 993	8 571	1,99	0,30	0,30	x-x	0,038	0,210	0,484	1,000	1,000	0,914	1,000	563 060
							y-y	0,038	0,210	0,484	1,000	1,000	0,914	1,000	931
Trave Acciaio 50a-53a	3 203	13 907	4 288	3,44	1,00	1,00	x-x	0,065	0,210	0,502	1,000	1,000	0,940	1,000	50 675 484
							y-y	0,054	0,210	0,502	1,000	1,000	0,761	1,000	
Trave Acciaio 53a-56a	3 203	7 398	2 041	6,55	1,00	1,00	x-x	0,065	0,210	0,502	1,000	1,000	0,910	1,000	50 675 484
							y-y	0,054	0,210	0,502	1,000	1,000	0,735	1,000	
Trave Acciaio 56a-59a	3 203	13 428	4 451	3,50	1,00	1,00	x-x	0,065	0,210	0,502	1,000	1,000	0,940	1,000	50 675 484
							y-y	0,069	0,210	0,502	1,000	1,000	0,917	1,000	
Trave Acciaio 59a-62a	3 203	13 428	4 505	3,49	1,00	1,00	x-x	0,065	0,210	0,502	1,000	1,000	0,940	1,000	50 675 484
							y-y	0,069	0,210	0,502	1,000	1,000	0,925	1,000	
Trave Acciaio 62a-65a	3 203	7 424	2 230	6,41	1,00	1,00	x-x	0,065	0,210	0,502	1,000	1,000	0,910	1,000	50 675 484
							y-y	0,054	0,210	0,502	1,000	1,000	0,748	1,000	
Trave Acciaio 65a-68a	3 203	13 834	3 937	3,52	1,00	1,00	x-x	0,065	0,210	0,502	1,000	1,000	0,940	1,000	50 675 484
							y-y	0,054	0,210	0,502	1,000	1,000	0,754	1,000	
Trave Acciaio 4-72a	3 203	22 937	8 141	2,02	0,30	0,30	x-x	0,038	0,210	0,484	1,000	1,000	0,914	1,000	563 060
							y-y	0,038	0,210	0,484	1,000	1,000	0,911	1,000	931
Trave Acciaio 72a-75a	3 203	13 868	3 936	3,51	1,00	1,00	x-x	0,065	0,210	0,502	1,000	1,000	0,940	1,000	50 675 484
							y-y	0,054	0,210	0,502	1,000	1,000	0,754	1,000	
Trave Acciaio 75a-78a	3 203	7 418	2 231	6,41	1,00	1,00	x-x	0,065	0,210	0,502	1,000	1,000	0,910	1,000	50 675 484
							y-y	0,054	0,210	0,502	1,000	1,000	0,748	1,000	
Trave Acciaio 78a-81a	3 203	13 434	4 506	3,48	1,00	1,00	x-x	0,065	0,210	0,502	1,000	1,000	0,940	1,000	50 675 484
							y-y	0,069	0,210	0,502	1,000	1,000	0,925	1,000	
Trave Acciaio 81a-84a	3 203	13 434	4 451	3,50	1,00	1,00	x-x	0,065	0,210	0,502	1,000	1,000	0,940	1,000	50 675 484
							y-y	0,069	0,210	0,502	1,000	1,000	0,917	1,000	
Trave Acciaio 84a-87a	3 203	7 410	2 038	6,54	1,00	1,00	x-x	0,065	0,210	0,502	1,000	1,000	0,910	1,000	50 675 484
							y-y	0,054	0,210	0,502	1,000	1,000	0,734	1,000	
Trave Acciaio 87a-90a	3 203	13 883	4 294	3,44	1,00	1,00	x-x	0,065	0,210	0,502	1,000	1,000	0,940	1,000	50 675 484
							y-y	0,054	0,210	0,502	1,000	1,000	0,761	1,000	
Trave Acciaio 6-115a	3 506	19 310	6 075	2,47	1,10	1,10	x-x	0,068	0,210	0,505	1,000	1,000	0,940	1,000	41 880 565
							y-y	0,056	0,210	0,505	1,000	1,000	0,772	1,000	
Trave Acciaio 115a-118a	3 506	6 291	2 102	7,32	1,00	1,00	x-x	0,065	0,210	0,502	1,000	1,000	0,910	1,000	50 675 484
							y-y	0,049	0,210	0,502	1,000	1,000	0,711	1,000	
Trave Acciaio 118a-121a	3 506	13 777	5 666	3,22	1,00	1,00	x-x	0,065	0,210	0,502	1,000	1,000	0,940	1,000	50 675 484
							y-y	0,064	0,210	0,502	1,000	1,000	0,889	1,000	
Trave Acciaio 121a-124a	3 506	13 777	6 641	3,06	1,00	1,00	x-x	0,065	0,210	0,502	1,000	1,000	0,940	1,000	50 675 484
							y-y	0,073	0,210	0,502	1,000	1,000	0,996	1,000	
Trave Acciaio 124a-127a	3 506	10 001	5 515	4,02	1,00	1,00	x-x	0,065	0,210	0,502	1,000	1,000	0,940	1,000	50 675 484
							y-y	0,064	0,210	0,502	1,000	1,000	0,881	1,000	
Trave Acciaio 127a-130a	952	2 276	11 544	4,56	1,00	1,00	x-x	0,065	0,210	0,502	1,000	1,000	0,910	1,000	50 675 484
							y-y	0,064	0,210	0,502	1,000	1,000	0,871	1,000	
Trave Acciaio 6a-1	-	12 828	4 167	3,73	0,50	0,50	x-x	0,046	0,210	0,488	1,000	1,000	0,940	1,000	202 701
							y-y	0,045	0,210	0,488	1,000	1,000	0,858	1,000	935
Trave Acciaio 46a-3	3 207	23 637	7 421	2,02	0,70	0,70	x-x	0,054	0,210	0,493	1,000	1,000	0,940	1,000	103 419
							y-y	0,053	0,210	0,493	1,000	1,000	0,839	1,000	355
Trave Acciaio 68a-4	3 203	22 889	8 141	2,03	0,30	0,30	x-x	0,038	0,210	0,484	1,000	1,000	0,914	1,000	563 060
							y-y	0,038	0,210	0,484	1,000	1,000	0,912	1,000	931
Trave Acciaio 90a-5	3 203	22 959	8 579	1,99	0,30	0,30	x-x	0,038	0,210	0,484	1,000	1,000	0,914	1,000	563 060
							y-y	0,038	0,210	0,484	1,000	1,000	0,914	1,000	931
Trave Acciaio 130a-7	3 506	23 868	3 759	2,27	0,50	0,50	x-x	0,046	0,210	0,488	1,000	1,000	0,940	1,000	202 701
							y-y	0,042	0,210	0,488	1,000	1,000	0,804	1,000	935

LEGENDA:

- Id_{Tr}** Identificativo della trave. L'eventuale lettera tra parentesi distingue i diversi tratti della travata al livello considerato.
N_{eq,Ed} Sforzo Normale equivalente di progetto.
M_{eq,Ed,3} Momento equivalente di progetto intorno a 3.
M_{eq,Ed,2} Momento equivalente di progetto intorno a 2.

Travi (AC) - Verifiche instabilità a pressoflessione deviata

Id _{Tr}	N _{eq,Ed} [N]	M _{eq,Ed,3} [N·m]	M _{eq,Ed,2} [N·m]	CS	L _N [m]	L _{Cr} [m]	Dir	λ _{LT}	α	φ	χ	β	k _c	χ _{LT}	N _{cr} [N]
CS	Coefficiente di sicurezza ([NS] = Non Significativo se CS ≥ 100; [VNR]= Verifica Non Richiesta; Informazioni aggiuntive sulla condizione: [V] = statica; [E] = eccezionale; [S] = sismica; [N] = sismica non lineare).														
L_N	Luce netta.														
L_{Cr}	Lunghezza di libera inflessione laterale, misurata tra due ritegni torsionali successivi.														
λ_{LT}	Coefficiente di snellezza normalizzata (per il calcolo di φ _{LT}).														
α	Fattore di imperfezione.														
φ	Coefficiente per il calcolo di χ														
χ	Coefficiente di riduzione per instabilità a compressione														
β	Coefficiente di riduzione della luce libera di inflessione.														
k_c	Coefficiente per il calcolo di χ _{LT}														
χ_{LT}	Coefficiente di riduzione ai fini dell'instabilità flessotorsionale.														
N_{cr}	Sforzo Normale Critico Euleriano.														

TRAVI (AC) - VERIFICHE DI DEFORMABILITÀ ALLO SLE (Elevazione)

Travi (AC) - Verifiche di deformabilità allo SLE

Id _{Tr}	Carichi Permanenti + Variabili			Carichi Variabili		
	CS	δ _{max} [cm]	δ _{amm} [cm]	CS	δ _{max} [cm]	δ _{amm} [cm]
Piano Terra				Piano Terra		
Trave Acciaio 134a-137a	70,76	0,0057	0,4000	84,19	0,0048	0,4000
Trave Acciaio 25a-2	14,73	0,0299	0,4400	18,34	0,0240	0,4400
Trave Acciaio 109a-6	16,38	0,0220	0,3600	20,39	0,0177	0,3600
Trave Acciaio 6a-7a	2,26	1,0521	2,3800	1,90	1,0008	1,9040
Trave Acciaio 3a-4a	2,03	1,1742	2,3800	1,70	1,1229	1,9040
Trave Acciaio 10a-11a	2,07	1,1488	2,3800	1,73	1,0974	1,9040
Trave Acciaio 13a-14a	1,63	1,4641	2,3800	1,35	1,4127	1,9040
Trave Acciaio 16a-17a	1,44	1,6573	2,3800	1,19	1,6060	1,9040
Trave Acciaio 19a-20a	1,38	1,7285	2,3800	1,14	1,6772	1,9040
Trave Acciaio 22a-23a	1,42	1,6776	2,3800	1,17	1,6262	1,9040
Trave Acciaio 25a-26a	1,58	1,5046	2,3800	1,31	1,4533	1,9040
Trave Acciaio 2-28a	2,02	1,1800	2,3800	1,69	1,1287	1,9040
Trave Acciaio 31a-32a	1,59	1,4946	2,3800	1,32	1,4433	1,9040
Trave Acciaio 34a-35a	1,38	1,7220	2,3800	1,14	1,6707	1,9040
Trave Acciaio 37a-38a	1,30	1,8274	2,3800	1,07	1,7761	1,9040
Trave Acciaio 40a-41a	1,31	1,8107	2,3800	1,08	1,7594	1,9040
Trave Acciaio 43a-44a	1,42	1,6719	2,3800	1,17	1,6206	1,9040
Trave Acciaio 46a-47a	1,69	1,4111	2,3800	1,40	1,3597	1,9040
Trave Acciaio 50a-51a	1,87	1,2727	2,3800	1,56	1,2215	1,9040
Trave Acciaio 53a-54a	1,50	1,5828	2,3800	1,24	1,5320	1,9040
Trave Acciaio 56a-57a	1,34	1,7675	2,3767	1,11	1,7174	1,9014
Trave Acciaio 59a-60a	1,30	1,8346	2,3767	1,07	1,7847	1,9014
Trave Acciaio 62a-63a	1,33	1,7810	2,3767	1,10	1,7310	1,9014
Trave Acciaio 65a-66a	1,48	1,6100	2,3800	1,22	1,5592	1,9040
Trave Acciaio 68a-69a	1,81	1,3134	2,3800	1,51	1,2622	1,9040
Trave Acciaio 72a-73a	1,81	1,3141	2,3800	1,51	1,2627	1,9040
Trave Acciaio 75a-76a	1,48	1,6130	2,3800	1,22	1,5615	1,9040
Trave Acciaio 78a-79a	1,33	1,7898	2,3800	1,10	1,7382	1,9040
Trave Acciaio 81a-82a	1,29	1,8445	2,3800	1,06	1,7929	1,9040
Trave Acciaio 84a-85a	1,34	1,7772	2,3800	1,10	1,7254	1,9040
Trave Acciaio 87a-88a	1,50	1,5867	2,3800	1,24	1,5351	1,9040
Trave Acciaio 90a-91a	1,87	1,2742	2,3800	1,56	1,2228	1,9040
Trave Acciaio 94a-95a	1,69	1,4115	2,3800	1,40	1,3602	1,9040
Trave Acciaio 97a-98a	1,42	1,6720	2,3800	1,17	1,6206	1,9040
Trave Acciaio 100a-101a	1,31	1,8104	2,3800	1,08	1,7590	1,9040
Trave Acciaio 103a-104a	1,30	1,8266	2,3800	1,07	1,7753	1,9040
Trave Acciaio 106a-107a	1,38	1,7209	2,3800	1,14	1,6695	1,9040
Trave Acciaio 109a-110a	1,59	1,4930	2,3800	1,32	1,4417	1,9040
Trave Acciaio 6-113a	2,02	1,1781	2,3800	1,69	1,1267	1,9040
Trave Acciaio 115a-116a	1,58	1,5040	2,3800	1,31	1,4527	1,9040
Trave Acciaio 118a-119a	1,42	1,6783	2,3800	1,17	1,6270	1,9040
Trave Acciaio 121a-122a	1,38	1,7305	2,3800	1,13	1,6791	1,9040
Trave Acciaio 124a-125a	1,43	1,6606	2,3800	1,18	1,6093	1,9040
Trave Acciaio 127a-128a	1,62	1,4686	2,3800	1,34	1,4173	1,9040
Trave Acciaio 130a-131a	2,06	1,1546	2,3800	1,73	1,1032	1,9040
Trave Acciaio 134a-135a	2,25	1,0588	2,3800	1,89	1,0075	1,9040
Trave Acciaio 137a-138a	2,01	1,1814	2,3800	1,68	1,1301	1,9040
Trave Acciaio 27a-2	3,25	0,7328	2,3800	2,43	0,7842	1,9040
Trave Acciaio 112a-6	3,26	0,7309	2,3800	2,43	0,7822	1,9040
Trave Acciaio 133a-134a	3,89	0,6116	2,3800	2,87	0,6630	1,9040
Trave Acciaio 136a-137a	3,24	0,7342	2,3800	2,42	0,7855	1,9040
Trave Acciaio 24a-25a	2,25	1,0574	2,3800	1,72	1,1087	1,9040
Trave Acciaio 108a-109a	2,28	1,0458	2,3800	1,74	1,0971	1,9040
Trave Acciaio 5a-6a	3,93	0,6049	2,3800	2,90	0,6563	1,9040
Trave Acciaio 2a-3a	3,27	0,7270	2,3800	2,45	0,7783	1,9040
Trave Acciaio 9a-10a	3,39	0,7016	2,3800	2,53	0,7529	1,9040
Trave Acciaio 12a-13a	2,34	1,0169	2,3800	1,78	1,0682	1,9040
Trave Acciaio 15a-16a	1,97	1,2101	2,3800	1,51	1,2615	1,9040
Trave Acciaio 18a-19a	1,86	1,2813	2,3800	1,43	1,3326	1,9040
Trave Acciaio 21a-22a	1,93	1,2304	2,3800	1,49	1,2817	1,9040
Trave Acciaio 30a-31a	2,27	1,0474	2,3800	1,73	1,0987	1,9040
Trave Acciaio 33a-34a	1,87	1,2749	2,3800	1,44	1,3262	1,9040
Trave Acciaio 36a-37a	1,72	1,3802	2,3800	1,33	1,4316	1,9040
Trave Acciaio 39a-40a	1,75	1,3635	2,3800	1,35	1,4149	1,9040
Trave Acciaio 42a-43a	1,94	1,2247	2,3800	1,49	1,2761	1,9040
Trave Acciaio 45a-46a	2,47	0,9639	2,3800	1,88	1,0152	1,9040

Travi (AC) - Verifiche di deformabilità allo SLE

Id _{Tr}	Carichi Permanenti + Variabili			Carichi Variabili		
	CS	δ _{max}	δ _{amm}	CS	δ _{max}	δ _{amm}
		[cm]	[cm]		[cm]	[cm]
Trave Acciaio 49a-50a	2,88	0,8255	2,3800	2,17	0,8769	1,9040
Trave Acciaio 52a-53a	2,10	1,1356	2,3800	1,60	1,1875	1,9040
Trave Acciaio 55a-56a	1,80	1,3237	2,3800	1,38	1,3760	1,9040
Trave Acciaio 58a-59a	1,71	1,3909	2,3800	1,32	1,4433	1,9040
Trave Acciaio 61a-62a	1,78	1,3373	2,3800	1,37	1,3895	1,9040
Trave Acciaio 64a-65a	2,05	1,1628	2,3800	1,57	1,2146	1,9040
Trave Acciaio 67a-68a	2,75	0,8662	2,3800	2,07	0,9176	1,9040
Trave Acciaio 71a-72a	2,75	0,8669	2,3800	2,07	0,9182	1,9040
Trave Acciaio 74a-75a	2,04	1,1658	2,3800	1,56	1,2170	1,9040
Trave Acciaio 77a-78a	1,77	1,3426	2,3800	1,37	1,3937	1,9040
Trave Acciaio 80a-81a	1,70	1,3973	2,3800	1,31	1,4483	1,9040
Trave Acciaio 83a-84a	1,79	1,3290	2,3767	1,38	1,3797	1,9014
Trave Acciaio 86a-87a	2,09	1,1395	2,3800	1,60	1,1906	1,9040
Trave Acciaio 89a-90a	2,88	0,8270	2,3800	2,17	0,8782	1,9040
Trave Acciaio 93a-94a	2,47	0,9643	2,3800	1,87	1,0157	1,9040
Trave Acciaio 96a-97a	1,94	1,2248	2,3800	1,49	1,2761	1,9040
Trave Acciaio 99a-100a	1,75	1,3632	2,3800	1,35	1,4145	1,9040
Trave Acciaio 102a-103a	1,73	1,3795	2,3800	1,33	1,4308	1,9040
Trave Acciaio 105a-106a	1,87	1,2737	2,3800	1,44	1,3250	1,9040
Trave Acciaio 114a-115a	2,25	1,0568	2,3800	1,72	1,1082	1,9040
Trave Acciaio 117a-118a	1,93	1,2311	2,3800	1,48	1,2824	1,9040
Trave Acciaio 120a-121a	1,85	1,2833	2,3800	1,43	1,3346	1,9040
Trave Acciaio 123a-124a	1,96	1,2134	2,3800	1,51	1,2647	1,9040
Trave Acciaio 126a-127a	2,33	1,0214	2,3800	1,77	1,0728	1,9040
Trave Acciaio 129a-130a	3,36	0,7074	2,3800	2,51	0,7587	1,9040
Trave Acciaio 7-134a	46,47	0,0043	0,2000	56,13	0,0036	0,2000
Trave Acciaio 1-10a	26,09	0,0077	0,2000	32,38	0,0062	0,2000
Trave Acciaio 10a-13a	51,33	0,0078	0,4000	63,10	0,0063	0,4000
Trave Acciaio 13a-16a	31,15	0,0128	0,4000	39,00	0,0103	0,4000
Trave Acciaio 16a-19a	18,51	0,0216	0,4000	23,10	0,0173	0,4000
Trave Acciaio 19a-22a	21,55	0,0186	0,4000	26,88	0,0149	0,4000
Trave Acciaio 22a-25a	98,59	0,0041	0,4000	NS	0,0033	0,4000
Trave Acciaio 5-94a	20,23	0,0138	0,2800	25,16	0,0111	0,2800
Trave Acciaio 94a-97a	74,26	0,0054	0,4000	92,24	0,0043	0,4000
Trave Acciaio 97a-100a	28,93	0,0138	0,4000	36,06	0,0111	0,4000
Trave Acciaio 100a-103a	19,14	0,0209	0,4000	23,84	0,0168	0,4000
Trave Acciaio 103a-106a	24,75	0,0162	0,4000	30,84	0,0130	0,4000
Trave Acciaio 106a-109a	NS	0,0017	0,4000	NS	0,0014	0,4000
Trave Acciaio 3a-6a	70,76	0,0057	0,4000	84,19	0,0048	0,4000
Trave Acciaio 2-31a	16,37	0,0220	0,3600	20,36	0,0177	0,3600
Trave Acciaio 31a-34a	NS	0,0017	0,4000	NS	0,0014	0,4000
Trave Acciaio 34a-37a	24,77	0,0162	0,4000	30,86	0,0130	0,4000
Trave Acciaio 37a-40a	19,14	0,0209	0,4000	23,84	0,0168	0,4000
Trave Acciaio 40a-43a	28,91	0,0138	0,4000	36,02	0,0111	0,4000
Trave Acciaio 43a-46a	74,50	0,0054	0,4000	92,61	0,0043	0,4000
Trave Acciaio 3-50a	-	0,0000	0,1200	-	0,0000	0,1200
Trave Acciaio 50a-53a	24,94	0,0160	0,4000	30,99	0,0129	0,4000
Trave Acciaio 53a-56a	52,28	0,0077	0,4000	65,25	0,0061	0,4000
Trave Acciaio 56a-59a	20,52	0,0195	0,4000	25,57	0,0156	0,4000
Trave Acciaio 59a-62a	20,50	0,0195	0,4000	25,54	0,0157	0,4000
Trave Acciaio 62a-65a	51,85	0,0077	0,4000	64,64	0,0062	0,4000
Trave Acciaio 65a-68a	25,10	0,0159	0,4000	31,22	0,0128	0,4000
Trave Acciaio 4-72a	-	0,0000	0,1200	-	0,0000	0,1200
Trave Acciaio 72a-75a	25,05	0,0160	0,4000	31,16	0,0128	0,4000
Trave Acciaio 75a-78a	51,91	0,0077	0,4000	64,74	0,0062	0,4000
Trave Acciaio 78a-81a	20,50	0,0195	0,4000	25,54	0,0157	0,4000
Trave Acciaio 81a-84a	20,51	0,0195	0,4000	25,56	0,0157	0,4000
Trave Acciaio 84a-87a	52,18	0,0077	0,4000	65,10	0,0061	0,4000
Trave Acciaio 87a-90a	24,96	0,0160	0,4000	31,04	0,0129	0,4000
Trave Acciaio 6-115a	14,71	0,0299	0,4400	18,31	0,0240	0,4400
Trave Acciaio 115a-118a	98,88	0,0040	0,4000	NS	0,0032	0,4000
Trave Acciaio 118a-121a	21,56	0,0186	0,4000	26,89	0,0149	0,4000
Trave Acciaio 121a-124a	18,51	0,0216	0,4000	23,09	0,0173	0,4000
Trave Acciaio 124a-127a	31,11	0,0129	0,4000	38,94	0,0103	0,4000
Trave Acciaio 127a-130a	51,48	0,0078	0,4000	63,35	0,0063	0,4000
Trave Acciaio 6a-1	46,47	0,0043	0,2000	56,13	0,0036	0,2000
Trave Acciaio 46a-3	20,25	0,0138	0,2800	25,19	0,0111	0,2800
Trave Acciaio 68a-4	-	0,0000	0,1200	-	0,0000	0,1200
Trave Acciaio 90a-5	-	0,0000	0,1200	-	0,0000	0,1200
Trave Acciaio 130a-7	26,12	0,0077	0,2000	32,42	0,0062	0,2000

LEGENDA:

- Id_{Tr}** Identificativo della trave. L'eventuale lettera tra parentesi distingue i diversi tratti della travata al livello considerato.
- CS** Coefficiente di sicurezza ([NS] = Non Significativo se CS ≥ 100; [VNR]= Verifica Non Richiesta; Informazioni aggiuntive sulla condizione: [V] = statica; [E] = eccezionale; [S] = sismica; [N] = sismica non lineare).
- δ_{max}** Spostamento allo SLE.
- δ_{amm}** Spostamento Differenziale ammissibile.

PILASTRI (AC) - VERIFICHE A PRESSOFLESSIONE DEVIATA (Elevazione) allo SLU

Pilastri (AC) - Verifiche a pressoflessione deviata

Pilastro	%L _{Lt}	N _{Ed}	V _{Ed}	M _{Ed,3}	M _{Ed,2}	CS	Tp Vr	max/m in	M _{C,Rd}	V _{C,Rd}	ρ	A _v	t _w	N _{pl,Rd}
	[%]	[N]	[N]	[N-m]	[N-m]				[N-m]	[N]		[mm ²]	[mm]	[N]
Piano Terra														

Pilastri (AC) - Verifiche a pressoflessione deviata

Pilastro	%L _{Lt}	N _{Ed}	V _{Ed}	M _{Ed,3}	M _{Ed,2}	CS	Tp Vr	max/m in	M _{C,Rd}	V _{C,Rd}	ρ	A _v	t _w	N _{pl,Rd}
	[%]	[N]	[N]	[N-m]	[N-m]	[N-m]			[N-m]	[N]	[N]	[mm ²]	[mm]	[N]
Pilastro Acciaio 1	0%	27 409	2 274	-54 044	1 577	8.33[V]	PLS	Max	480 967	668 958	0,000	5 177	12 41	3 611 005
			Min					210 180	1 750 467	0,000	13 547			
	50,0%	25 475	2 274	-27 876	4 247	12.78[V]	PLS	Max	480 967	668 958	0,000	5 177	12 41	3 611 005
			Min					210 180	1 750 467	0,000	13 547			
	100%	37 014	3 508	-1 236	10 642	18.80[V]	PLS	Max	480 967	668 958	0,000	5 177	12 41	3 611 005
			Min					210 180	1 750 467	0,000	13 547			
Pilastro Acciaio 2	0%	11 883	-63	-73 156	65	6.55[V]	PLS	Max	480 967	668 958	0,000	5 177	12 41	3 611 005
			-30 678					Min	210 180	1 750 467	0,000	13 547		
	50,0%	32 088	-196	-37 286	-197	12.75[V]	PLS	Max	480 967	668 958	0,000	5 177	12 41	3 611 005
			-30 380					Min	210 180	1 750 467	0,000	13 547		
	100%	9 643	2 318	-346	-3 656	55.21[S]	PLS	Max	480 967	668 958	0,000	5 177	12 41	3 611 005
			-180					Min	210 180	1 750 467	0,000	13 547		
Pilastro Acciaio 3	0%	33 742	-4	-70 347	108	6.80[V]	PLS	Max	480 967	668 958	0,000	5 177	12 41	3 611 005
			-29 295					Min	210 180	1 750 467	0,000	13 547		
	50,0%	31 808	-4	-36 100	106	13.23[V]	PLS	Max	480 967	668 958	0,000	5 177	12 41	3 611 005
			-28 996					Min	210 180	1 750 467	0,000	13 547		
	100%	9 458	2 331	205	3 341	61.27[S]	PLS	Max	480 967	668 958	0,000	5 177	12 41	3 611 005
			420					Min	210 180	1 750 467	0,000	13 547		
Pilastro Acciaio 4	0%	12 208	-2	-73 780	78	6.50[V]	PLS	Max	480 967	668 958	0,000	5 177	12 41	3 611 005
			-30 750					Min	210 180	1 750 467	0,000	13 547		
	50,0%	28 702	-1	-37 820	78	12.66[V]	PLS	Max	480 967	668 958	0,000	5 177	12 41	3 611 005
			-30 452					Min	210 180	1 750 467	0,000	13 547		
	100%	9 899	2 337	157	-3 340	61.65[S]	PLS	Max	480 967	668 958	0,000	5 177	12 41	3 611 005
			678					Min	210 180	1 750 467	0,000	13 547		
Pilastro Acciaio 5	0%	11 797	2	-70 403	61	6.82[V]	PLS	Max	480 967	668 958	0,000	5 177	12 41	3 611 005
			-29 316					Min	210 180	1 750 467	0,000	13 547		
	50,0%	10 309	2	-36 133	63	13.25[V]	PLS	Max	480 967	668 958	0,000	5 177	12 41	3 611 005
			-29 018					Min	210 180	1 750 467	0,000	13 547		
	100%	9 458	2 335	-205	-3 341	61.27[S]	PLS	Max	480 967	668 958	0,000	5 177	12 41	3 611 005
			419					Min	210 180	1 750 467	0,000	13 547		
Pilastro Acciaio 6	0%	34 026	192	-73 006	121	6.55[V]	PLS	Max	480 967	668 958	0,000	5 177	12 41	3 611 005
			-30 606					Min	210 180	1 750 467	0,000	13 547		
	50,0%	32 092	192	-37 220	349	12.65[V]	PLS	Max	480 967	668 958	0,000	5 177	12 41	3 611 005
			-30 308					Min	210 180	1 750 467	0,000	13 547		
	100%	9 643	2 448	-347	3 656	55.20[S]	PLS	Max	480 967	668 958	0,000	5 177	12 41	3 611 005
			-175					Min	210 180	1 750 467	0,000	13 547		
Pilastro Acciaio 7	0%	27 385	-2 270	-54 536	-1 501	8.30[V]	PLS	Max	480 967	668 958	0,000	5 177	12 41	3 611 005
			-22 640					Min	210 180	1 750 467	0,000	13 547		
	50,0%	25 451	-2 270	-28 110	-4 169	12.76[V]	PLS	Max	480 967	668 958	0,000	5 177	12 41	3 611 005
			-22 341					Min	210 180	1 750 467	0,000	13 547		
	100%	37 000	-3 506	-1 219	-10 594	18.89[V]	PLS	Max	480 967	668 958	0,000	5 177	12 41	3 611 005
			-13 226					Min	210 180	1 750 467	0,000	13 547		
Pilastro Acciaio 6	0%	10 530	6	-81 236	71	5.91[V]	PLS	Max	480 967	668 958	0,000	5 177	12 41	3 611 005
			1 215					Min	210 180	1 750 467	0,000	13 547		
	50,0%	10 214	6	-81 538	72	5.88[V]	PLS	Max	480 967	668 958	0,000	5 177	12 41	3 611 005
			1 215					Min	210 180	1 750 467	0,000	13 547		
	100%	9 897	6	-81 843	75	5.86[V]	PLS	Max	480 967	668 958	0,000	5 177	12 41	3 611 005
			1 215					Min	210 180	1 750 467	0,000	13 547		
Pilastro Acciaio 6	0%	8 312	2	-63 018	71	7.61[V]	PLS	Max	480 967	668 958	0,000	5 177	12 41	3 611 005
			22 254					Min	210 180	1 750 467	0,000	13 547		
	50,0%	7 996	2	-68 582	71	7.00[V]	PLS	Max	480 967	668 958	0,000	5 177	12 41	3 611 005
			22 254					Min	210 180	1 750 467	0,000	13 547		
	100%	7 679	2	-74 145	73	6.46[V]	PLS	Max	480 967	668 958	0,000	5 177	12 41	3 611 005
			22 254					Min	210 180	1 750 467	0,000	13 547		
Pilastro Acciaio 6	0%	6 109	23	-36 196	54	13.24[V]	PLS	Max	480 967	668 958	0,000	5 177	12 41	3 611 005
			27 282					Min	210 180	1 750 467	0,000	13 547		
	50,0%	5 793	23	-43 017	61	11.14[V]	PLS	Max	480 967	668 958	0,000	5 177	12 41	3 611 005
			27 282					Min	210 180	1 750 467	0,000	13 547		
	100%	5 476	23	-49 838	65	9.61[V]	PLS	Max	480 967	668 958	0,000	5 177	12 41	3 611 005
			27 282					Min	210 180	1 750 467	0,000	13 547		
Pilastro Acciaio 5	0%	6 066	27	-34 816	65	13.75[V]	PLS	Max	480 967	668 958	0,000	5 177	12 41	3 611 005
			26 259					Min	210 180	1 750 467	0,000	13 547		
	50,0%	5 750	27	-41 380	72	11.58[V]	PLS	Max	480 967	668 958	0,000	5 177	12 41	3 611 005
			26 259					Min	210 180	1 750 467	0,000	13 547		
	100%	5 433	27	-47 946	78	9.99[V]	PLS	Max	480 967	668 958	0,000	5 177	12 41	3 611 005
			27					Min	210 180	1 750 467	0,000	13 547		

Pilastri (AC) - Verifiche a pressoflessione deviata

Pilastro	%L _{Lt}	N _{Ed}	V _{Ed}	M _{Ed,3}	M _{Ed,2}	CS	Tp Vr	max/m in	M _{C,Rd}	V _{C,Rd}	ρ	A _v	t _w	N _{pl,Rd}
	[%]	[N]	[N]	[N-m]	[N-m]				[N-m]	[N]		[mm ²]	[mm]	[N]
Pilastro Acciaio 5	0%	8 252	26 259					Min	210 180	1 750 467	0,000	13 547	41	
			-1	-60 640	85	7.91[V	PLS	Max	480 967	668 958	0,000	5 177	12	3 611 005
	50,0%	7 936	21 453					Min	210 180	1 750 467	0,000	13 547	41	
			-1	-66 004	84	7.26[V	PLS	Max	480 967	668 958	0,000	5 177	12	3 611 005
	100%	7 619	21 453					Min	210 180	1 750 467	0,000	13 547	41	
			-1	-71 367	84	6.71[V	PLS	Max	480 967	668 958	0,000	5 177	12	3 611 005
Pilastro Acciaio 5	0%	10 452	-21					Min	210 180	1 750 467	0,000	13 547	41	
			1 256	-78 219	78	6.12[V	PLS	Max	480 967	668 958	0,000	5 177	12	3 611 005
	50,0%	10 136	-21					Min	210 180	1 750 467	0,000	13 547	41	
			1 256	-78 532	73	6.11[V	PLS	Max	480 967	668 958	0,000	5 177	12	3 611 005
	100%	9 819	-21					Min	210 180	1 750 467	0,000	13 547	41	
			1 256	-78 846	68	6.08[V	PLS	Max	480 967	668 958	0,000	5 177	12	3 611 005
Pilastro Acciaio 4	0%	6 261	33					Min	210 180	1 750 467	0,000	13 547	41	
			27 526	-36 500	72	13.11[V	PLS	Max	480 967	668 958	0,000	5 177	12	3 611 005
	50,0%	5 945	33					Min	210 180	1 750 467	0,000	13 547	41	
			27 526	-43 382	81	11.03[V	PLS	Max	480 967	668 958	0,000	5 177	12	3 611 005
	100%	5 628	33					Min	210 180	1 750 467	0,000	13 547	41	
			27 526	-50 264	88	9.52[V	PLS	Max	480 967	668 958	0,000	5 177	12	3 611 005
Pilastro Acciaio 4	0%	8 525	4					Min	210 180	1 750 467	0,000	13 547	41	
			22 484	-63 567	98	7.54[V	PLS	Max	480 967	668 958	0,000	5 177	12	3 611 005
	50,0%	8 209	4					Min	210 180	1 750 467	0,000	13 547	41	
			22 484	-69 188	99	6.92[V	PLS	Max	480 967	668 958	0,000	5 177	12	3 611 005
	100%	7 892	4					Min	210 180	1 750 467	0,000	13 547	41	
			22 484	-74 809	100	6.41[V	PLS	Max	480 967	668 958	0,000	5 177	12	3 611 005
Pilastro Acciaio 4	0%	10 803	-18					Min	210 180	1 750 467	0,000	13 547	41	
			1 305	-81 988	94	5.84[V	PLS	Max	480 967	668 958	0,000	5 177	12	3 611 005
	50,0%	10 487	-18					Min	210 180	1 750 467	0,000	13 547	41	
			1 305	-82 315	90	5.83[V	PLS	Max	480 967	668 958	0,000	5 177	12	3 611 005
	100%	10 170	-18					Min	210 180	1 750 467	0,000	13 547	41	
			1 305	-82 640	86	5.80[V	PLS	Max	480 967	668 958	0,000	5 177	12	3 611 005
Pilastro Acciaio 3	0%	16 595	40					Min	210 180	1 750 467	0,000	13 547	41	
			26 239	-34 792	77	13.75[V	PLS	Max	480 967	668 958	0,000	5 177	12	3 611 005
	50,0%	16 184	40					Min	210 180	1 750 467	0,000	13 547	41	
			26 239	-41 353	86	11.58[V	PLS	Max	480 967	668 958	0,000	5 177	12	3 611 005
	100%	15 772	40					Min	210 180	1 750 467	0,000	13 547	41	
			26 239	-47 912	96	9.99[V	PLS	Max	480 967	668 958	0,000	5 177	12	3 611 005
Pilastro Acciaio 3	0%	22 941	16					Min	210 180	1 750 467	0,000	13 547	41	
			21 436	-60 591	111	7.90[V	PLS	Max	480 967	668 958	0,000	5 177	12	3 611 005
	50,0%	22 530	16					Min	210 180	1 750 467	0,000	13 547	41	
			21 436	-65 951	114	7.25[V	PLS	Max	480 967	668 958	0,000	5 177	12	3 611 005
	100%	22 118	16					Min	210 180	1 750 467	0,000	13 547	41	
			21 436	-71 311	118	6.71[V	PLS	Max	480 967	668 958	0,000	5 177	12	3 611 005
Pilastro Acciaio 3	0%	29 328	-8					Min	210 180	1 750 467	0,000	13 547	41	
			1 255	-78 160	116	6.12[V	PLS	Max	480 967	668 958	0,000	5 177	12	3 611 005
	50,0%	28 917	-8					Min	210 180	1 750 467	0,000	13 547	41	
			1 255	-78 475	113	6.11[V	PLS	Max	480 967	668 958	0,000	5 177	12	3 611 005
	100%	28 505	-8					Min	210 180	1 750 467	0,000	13 547	41	
			1 255	-78 787	112	6.08[V	PLS	Max	480 967	668 958	0,000	5 177	12	3 611 005
Pilastro Acciaio 2	0%	16 730	66					Min	210 180	1 750 467	0,000	13 547	41	
			27 340	-36 274	122	13.16[V	PLS	Max	480 967	668 958	0,000	5 177	12	3 611 005
	50,0%	16 319	66					Min	210 180	1 750 467	0,000	13 547	41	
			27 340	-43 110	140	11.07[V	PLS	Max	480 967	668 958	0,000	5 177	12	3 611 005
	100%	15 907	66					Min	210 180	1 750 467	0,000	13 547	41	
			27 340	-49 946	156	9.56[V	PLS	Max	480 967	668 958	0,000	5 177	12	3 611 005
Pilastro Acciaio 2	0%	23 125	10					Min	210 180	1 750 467	0,000	13 547	41	
			22 300	-63 153	178	7.57[V	PLS	Max	480 967	668 958	0,000	5 177	12	3 611 005
	50,0%	22 715	10					Min	210 180	1 750 467	0,000	13 547	41	
			22 300	-68 728	181	6.95[V	PLS	Max	480 967	668 958	0,000	5 177	12	3 611 005
	100%	22 302	10					Min	210 180	1 750 467	0,000	13 547	41	
			22 300	-74 304	182	6.44[V	PLS	Max	480 967	668 958	0,000	5 177	12	3 611 005
Pilastro Acciaio 2	0%	29 569	-96					Min	210 180	1 750 467	0,000	13 547	41	
			1 214	-81 408	163	5.87[V	PLS	Max	480 967	668 958	0,000	5 177	12	3 611 005
	50,0%	29 158	-96					Min	210 180	1 750 467	0,000	13 547	41	
			1 214	-81 711	141	5.86[V	PLS	Max	480 967	668 958	0,000	5 177	12	3 611 005
	100%	28 746	-96					Min	210 180	1 750 467	0,000	13 547	41	
			1 214	-82 014	115	5.84[V	PLS	Max	480 967	668 958	0,000	5 177	12	3 611 005
Pilastro Acciaio 1	0%	13 598	-136					Min	210 180	1 750 467	0,000	13 547	41	
			20 136	-26 690	-370	17.46[V	PLS	Max	480 967	668 958	0,000	5 177	12	3 611 005
	50,0%	13 188	-136					Min	210 180	1 750 467	0,000	13 547	41	
			20 136	-31 724	-405	14.73[V	PLS	Max	480 967	668 958	0,000	5 177	12	3 611 005
	100%	12 775	-136					Min	210 180	1 750 467	0,000	13 547	41	
			20 136	-36 758	-439	12.74[V	PLS	Max	480 967	668 958	0,000	5 177	12	3 611 005
Pilastro Acciaio 1	0%	18 739	281					Min	210 180	1 750 467	0,000	13 547	41	
			16 464	-46 492	-429	10.13[V	PLS	Max	480 967	668 958	0,000	5 177	12	3 611 005
	50,0%	18 329	281					Min	210 180	1 750 467	0,000	13 547	41	
			16 464	-50 608	-359	9.34[V	PLS	Max	480 967	668 958	0,000	5 177	12	3 611 005
	100%	17 916	281					Min	210 180	1 750 467	0,000	13 547	41	
			16 464	-54 724	-289	8.67[V	PLS	Max	480 967	668 958	0,000	5 177	12	3 611 005
Pilastro Acciaio 1	0%	8 774	364					Min	210 180	1 750 467	0,000	13 547	41	
								Max	480 967	668 958	0,000	5 177	12	3 611 005

Pilastri (AC) - Verifiche a pressoflessione deviata

Pilastro	%L _{Lt}	N _{Ed}	V _{Ed}	M _{Ed,3}	M _{Ed,2}	CS	Tp Vr	max/m in	M _{C,Rd}	V _{C,Rd}	ρ	A _v	t _w	N _{pl,Rd}
	[%]	[N]	[N]	[N-m]	[N-m]				[N-m]	[N]		[mm ²]	[mm]	[N]
Pilastro Acciaio 7	50,0%	23 500	1 000	-60 243	341	7.87[V]	PLS	Min	210 180	1 750 467	0,000	13 547	41	3 611 005
			Max					480 967	668 958	0,000	5 177	12		
	100%	23 088	1 000	-60 494	640	7.75[V]	PLS	Min	210 180	1 750 467	0,000	13 547	41	
			Max					480 967	668 958	0,000	5 177	12		
	0%	26 490	-1 778	-61 041	-1 087	8.85[V]	PLS	Min	210 180	1 750 467	0,000	13 547	41	
			Max					562 833	782 823	0,000	5 177	12		
50,0%	26 079	-1 778	-57 779	-1 532	9.17[V]	PLS	Min	245 955	2 048 419	0,000	13 547	41		
		Max					562 833	782 823	0,000	5 177	12			
100%	25 667	-1 778	-54 517	-1 975	9.52[V]	PLS	Min	245 955	2 048 419	0,000	13 547	41		
		Max					562 833	782 823	0,000	5 177	12			
Pilastro Acciaio 7	50,0%	15 739	-177	-42 015	186	13.25[V]	PLS	Min	245 955	2 048 419	0,000	13 547	41	4 225 644
			Max					562 833	782 823	0,000	5 177	12		
	100%	5 395	-168	-46 925	-192	11.88[V]	PLS	Min	245 955	2 048 419	0,000	13 547	41	
			Max					562 833	782 823	0,000	5 177	12		
	0%	16 150	-177	-37 103	230	14.96[V]	PLS	Min	245 955	2 048 419	0,000	13 547	41	
			Max					562 833	782 823	0,000	5 177	12		
50,0%	16 150	-177	-42 015	186	13.25[V]	PLS	Min	245 955	2 048 419	0,000	13 547	41		
		Max					562 833	782 823	0,000	5 177	12			
100%	5 395	-168	-46 925	-192	11.88[V]	PLS	Min	245 955	2 048 419	0,000	13 547	41		
		Max					562 833	782 823	0,000	5 177	12			
Pilastro Acciaio 7	50,0%	7 527	-320	-57 889	-395	9.57[V]	PLS	Min	245 955	2 048 419	0,000	13 547	41	4 225 644
			Max					562 833	782 823	0,000	5 177	12		
	100%	7 210	-320	-60 545	-475	9.13[V]	PLS	Min	245 955	2 048 419	0,000	13 547	41	
			Max					562 833	782 823	0,000	5 177	12		
	0%	7 843	-320	-55 233	-314	10.06[V]	PLS	Min	245 955	2 048 419	0,000	13 547	41	
			Max					562 833	782 823	0,000	5 177	12		
50,0%	7 527	-320	-57 889	-395	9.57[V]	PLS	Min	245 955	2 048 419	0,000	13 547	41		
		Max					562 833	782 823	0,000	5 177	12			
Pilastro Acciaio 7	50,0%	18 313	-289	-51 080	477	9.22[V]	PLS	Min	210 180	1 750 467	0,000	13 547	41	3 611 005
			Max					480 967	668 958	0,000	5 177	12		
	100%	17 900	-289	-55 233	404	8.56[V]	PLS	Min	210 180	1 750 467	0,000	13 547	41	
			Max					480 967	668 958	0,000	5 177	12		
	0%	18 723	-289	-46 926	551	9.98[V]	PLS	Min	210 180	1 750 467	0,000	13 547	41	
			Max					480 967	668 958	0,000	5 177	12		
50,0%	18 313	-289	-51 080	477	9.22[V]	PLS	Min	210 180	1 750 467	0,000	13 547	41		
		Max					480 967	668 958	0,000	5 177	12			
Pilastro Acciaio 7	50,0%	23 480	-1 230	-60 798	-247	7.83[V]	PLS	Min	210 180	1 750 467	0,000	13 547	41	3 611 005
			Max					480 967	668 958	0,000	5 177	12		
	100%	23 068	-1 230	-61 048	-554	7.71[V]	PLS	Min	210 180	1 750 467	0,000	13 547	41	
			Max					480 967	668 958	0,000	5 177	12		
	0%	23 891	-1 230	-60 548	61	7.92[V]	PLS	Min	210 180	1 750 467	0,000	13 547	41	
			Max					480 967	668 958	0,000	5 177	12		
50,0%	23 480	-1 230	-60 798	-247	7.83[V]	PLS	Min	210 180	1 750 467	0,000	13 547	41		
		Max					480 967	668 958	0,000	5 177	12			
Pilastro Acciaio 7	50,0%	13 176	176	-32 019	509	14.49[V]	PLS	Min	210 180	1 750 467	0,000	13 547	41	3 611 005
			Max					480 967	668 958	0,000	5 177	12		
	100%	12 763	176	-37 100	553	12.53[V]	PLS	Min	210 180	1 750 467	0,000	13 547	41	
			Max					480 967	668 958	0,000	5 177	12		
	0%	13 586	176	-26 938	466	17.17[V]	PLS	Min	210 180	1 750 467	0,000	13 547	41	
			Max					480 967	668 958	0,000	5 177	12		
50,0%	13 176	176	-32 019	509	14.49[V]	PLS	Min	210 180	1 750 467	0,000	13 547	41		
		Max					480 967	668 958	0,000	5 177	12			
Pilastro Acciaio 6	50,0%	19 514	-237	-56 426	-474	9.78[V]	PLS	Min	245 955	2 048 419	0,000	13 547	41	4 225 644
			Max					562 833	782 823	0,000	5 177	12		
	100%	19 102	-237	-63 015	-535	8.75[V]	PLS	Min	245 955	2 048 419	0,000	13 547	41	
			Max					562 833	782 823	0,000	5 177	12		
	0%	26 345	-107	-74 144	-635	7.45[V]	PLS	Min	245 955	2 048 419	0,000	13 547	41	
			Max					562 833	782 823	0,000	5 177	12		
50,0%	25 934	-107	-77 690	-659	7.11[V]	PLS	Min	245 955	2 048 419	0,000	13 547	41		
		Max					562 833	782 823	0,000	5 177	12			
100%	25 522	-107	-81 234	-686	6.79[V]	PLS	Min	245 955	2 048 419	0,000	13 547	41		
		Max					562 833	782 823	0,000	5 177	12			
Pilastro Acciaio 6	50,0%	11 328	289	-77 422	-592	7.13[V]	PLS	Min	245 955	2 048 419	0,000	13 547	41	4 225 644
			Max					562 833	782 823	0,000	5 177	12		
	100%	11 011	187	-73 004	-546	7.58[V]	PLS	Min	245 955	2 048 419	0,000	13 547	41	
			Max					562 833	782 823	0,000	5 177	12		
	0%	32 810	-17	-81 842	-659	6.75[V]	PLS	Min	245 955	2 048 419	0,000	13 547	41	
			Max					562 833	782 823	0,000	5 177	12		
50,0%	11 328	-17	-77 422	-592	7.13[V]	PLS	Min	245 955	2 048 419	0,000	13 547	41		
		Max					562 833	782 823	0,000	5 177	12			
Pilastro Acciaio 5	50,0%	19 356	-216	-54 293	-402	10.18[V]	PLS	Min	245 955	2 048 419	0,000	13 547	41	4 225 644
			Max					562 833	782 823	0,000	5 177	12		
	100%	18 944	-216	-60 640	-456	9.11[V]	PLS	Min	245 955	2 048 419	0,000	13 547	41	
			Max					562 833	782 823	0,000	5 177	12		
	0%	19 767	-216	-47 947	-349	11.55[V]	PLS	Min	245 955	2 048 419	0,000	13 547	41	
			Max					562 833	782 823	0,000	5 177	12		
50,0%	19 356	-216	-54 293	-402	10.18[V]	PLS	Min	245 955	2 048 419	0,000	13 547	41		
		Max					562 833	782 823	0,000	5 177	12			
Pilastro Acciaio 5	50,0%	25 721	-143	-74 792	-591	7.38[V]	PLS	Min	245 955	2 048 419	0,000	13 547	41	4 225 644
			Max					562 833	782 823	0,000	5 177	12		
	100%	25 309	-143	-78 218	-626	7.07[V]	PLS	Min	245 955	2 048 419	0,000	13 547	41	
			Max					562 833	782 823	0,000	5 177	12		
	0%	26 132	-143	-71 366	-556	7.75[V]	PLS	Min	245 955	2 048 419	0,000	13 547	41	
			Max					562 833	782 823	0,000	5 177	12		
50,0%	25 721	-143	-74 792	-591	7.38[V]	PLS	Min	245 955	2 048 419	0,000	13 547	41		
		Max					562 833	782 823	0,000	5 177	12			
100%	25 309	-143	-78 218	-626	7.07[V]	PLS	Min	245 955	2 048 419	0,000	13 547	41		
		Max					562 833	782 823	0,000	5 177	12			
Pilastro Acciaio 5	0%	32 543	132	-78 846	-646	7.00[V]	PLS	Min	245 955	2 048 419	0,000	13 547	41	4 225 644
			Max					562 833	782 823	0,000	5 177	12		
	50,0%	32 132	132	-74 624	-614	7.40[V]	PLS	Max	562 833	782 823	0,000	5 177	12	

Pilastri (AC) - Verifiche a pressoflessione deviata

Pilastro	%L _L	N _{Ed}	V _{Ed}	M _{Ed,3}	M _{Ed,2}	CS	TP Vr	max/m in	M _{C,Rd}	V _{C,Rd}	ρ	A _v	t _w	N _{pl,Rd}
	[%]	[N]	[N]	[N-m]	[N-m]				[N-m]	[N]		[mm ²]	[mm]	[N]
Pilastro Acciaio 4	100%	31 720	-16 888	-70 402	-580	7.84[V]	PLS	Min	245 955	2 048 419	0,000	13 547	41	4 225 644
			Max					562 833	782 823	0,000	5 177			
			Min					245 955	2 048 419	0,000	13 547			
Pilastro Acciaio 4	0%	7 391	-213 26 608	-50 261	-351	11.01[V]	PLS	Max	562 833	782 823	0,000	5 177	12	4 225 644
			Min					245 955	2 048 419	0,000	13 547			
			Max					562 833	782 823	0,000	5 177			
Pilastro Acciaio 4	50,0%	7 075	-213 26 608	-56 913	-405	9.73[V]	PLS	Max	562 833	782 823	0,000	5 177	12	4 225 644
			Min					245 955	2 048 419	0,000	13 547			
			Max					562 833	782 823	0,000	5 177			
Pilastro Acciaio 4	100%	6 758	-213 26 608	-63 566	-458	8.71[V]	PLS	Max	562 833	782 823	0,000	5 177	12	4 225 644
			Min					245 955	2 048 419	0,000	13 547			
			Max					562 833	782 823	0,000	5 177			
Pilastro Acciaio 4	0%	9 661	-136 14 360	-74 806	-554	7.40[V]	PLS	Max	562 833	782 823	0,000	5 177	12	4 225 644
			Min					245 955	2 048 419	0,000	13 547			
			Max					562 833	782 823	0,000	5 177			
Pilastro Acciaio 4	50,0%	9 345	-136 14 360	-78 396	-588	7.05[V]	PLS	Max	562 833	782 823	0,000	5 177	12	4 225 644
			Min					245 955	2 048 419	0,000	13 547			
			Max					562 833	782 823	0,000	5 177			
Pilastro Acciaio 4	100%	9 028	-136 14 360	-81 985	-622	6.75[V]	PLS	Max	562 833	782 823	0,000	5 177	12	4 225 644
			Min					245 955	2 048 419	0,000	13 547			
			Max					562 833	782 823	0,000	5 177			
Pilastro Acciaio 4	0%	11 949	141 -17 721	-82 638	-636	6.69[V]	PLS	Max	562 833	782 823	0,000	5 177	12	4 225 644
			Min					245 955	2 048 419	0,000	13 547			
			Max					562 833	782 823	0,000	5 177			
Pilastro Acciaio 4	50,0%	11 633	141 -17 721	-78 206	-600	7.07[V]	PLS	Max	562 833	782 823	0,000	5 177	12	4 225 644
			Min					245 955	2 048 419	0,000	13 547			
			Max					562 833	782 823	0,000	5 177			
Pilastro Acciaio 4	100%	11 316	141 -17 721	-73 777	-566	7.50[V]	PLS	Max	562 833	782 823	0,000	5 177	12	4 225 644
			Min					245 955	2 048 419	0,000	13 547			
			Max					562 833	782 823	0,000	5 177			
Pilastro Acciaio 3	0%	7 157	-200 25 368	-47 912	-332	11.56[V]	PLS	Max	562 833	782 823	0,000	5 177	12	4 225 644
			Min					245 955	2 048 419	0,000	13 547			
			Max					562 833	782 823	0,000	5 177			
Pilastro Acciaio 3	50,0%	6 841	-200 25 368	-54 254	-382	10.21[V]	PLS	Max	562 833	782 823	0,000	5 177	12	4 225 644
			Min					245 955	2 048 419	0,000	13 547			
			Max					562 833	782 823	0,000	5 177			
Pilastro Acciaio 3	100%	6 524	-200 25 368	-60 596	-432	9.14[V]	PLS	Max	562 833	782 823	0,000	5 177	12	4 225 644
			Min					245 955	2 048 419	0,000	13 547			
			Max					562 833	782 823	0,000	5 177			
Pilastro Acciaio 3	0%	9 349	-126 13 698	-71 314	-522	7.75[V]	PLS	Max	562 833	782 823	0,000	5 177	12	4 225 644
			Min					245 955	2 048 419	0,000	13 547			
			Max					562 833	782 823	0,000	5 177			
Pilastro Acciaio 3	50,0%	9 033	-126 13 698	-74 738	-553	7.41[V]	PLS	Max	562 833	782 823	0,000	5 177	12	4 225 644
			Min					245 955	2 048 419	0,000	13 547			
			Max					562 833	782 823	0,000	5 177			
Pilastro Acciaio 3	100%	8 716	-126 13 698	-78 163	-586	7.08[V]	PLS	Max	562 833	782 823	0,000	5 177	12	4 225 644
			Min					245 955	2 048 419	0,000	13 547			
			Max					562 833	782 823	0,000	5 177			
Pilastro Acciaio 3	0%	11 557	135 -16 876	-78 792	-598	7.01[V]	PLS	Max	562 833	782 823	0,000	5 177	12	4 225 644
			Min					245 955	2 048 419	0,000	13 547			
			Max					562 833	782 823	0,000	5 177			
Pilastro Acciaio 3	50,0%	11 241	135 -16 876	-74 572	-565	7.41[V]	PLS	Max	562 833	782 823	0,000	5 177	12	4 225 644
			Min					245 955	2 048 419	0,000	13 547			
			Max					562 833	782 823	0,000	5 177			
Pilastro Acciaio 3	100%	10 924	135 -16 876	-70 352	-531	7.86[V]	PLS	Max	562 833	782 823	0,000	5 177	12	4 225 644
			Min					245 955	2 048 419	0,000	13 547			
			Max					562 833	782 823	0,000	5 177			
Pilastro Acciaio 2	0%	7 208	-204 26 416	-49 944	-326	11.09[V]	PLS	Max	562 833	782 823	0,000	5 177	12	4 225 644
			Min					245 955	2 048 419	0,000	13 547			
			Max					562 833	782 823	0,000	5 177			
Pilastro Acciaio 2	50,0%	6 892	-204 26 416	-56 548	-376	9.80[V]	PLS	Max	562 833	782 823	0,000	5 177	12	4 225 644
			Min					245 955	2 048 419	0,000	13 547			
			Max					562 833	782 823	0,000	5 177			
Pilastro Acciaio 2	100%	6 575	-204 26 416	-63 153	-428	8.77[V]	PLS	Max	562 833	782 823	0,000	5 177	12	4 225 644
			Min					245 955	2 048 419	0,000	13 547			
			Max					562 833	782 823	0,000	5 177			
Pilastro Acciaio 2	0%	9 415	-143 14 210	-74 302	-523	7.45[V]	PLS	Max	562 833	782 823	0,000	5 177	12	4 225 644
			Min					245 955	2 048 419	0,000	13 547			
			Max					562 833	782 823	0,000	5 177			
Pilastro Acciaio 2	50,0%	9 099	-143 14 210	-77 854	-560	7.11[V]	PLS	Max	562 833	782 823	0,000	5 177	12	4 225 644
			Min					245 955	2 048 419	0,000	13 547			
			Max					562 833	782 823	0,000	5 177			
Pilastro Acciaio 2	100%	8 782	-143 14 210	-81 406	-595	6.79[V]	PLS	Max	562 833	782 823	0,000	5 177	12	4 225 644
			Min					245 955	2 048 419	0,000	13 547			
			Max					562 833	782 823	0,000	5 177			
Pilastro Acciaio 2	0%	11 640	95 -17 718	-82 012	-623	6.75[V]	PLS	Max	562 833	782 823	0,000	5 177	12	4 225 644
			Min					245 955	2 048 419	0,000	13 547			
			Max					562 833	782 823	0,000	5 177			
Pilastro Acciaio 2	50,0%	29 722	3 -17 719	-77 583	-603	7.12[V]	PLS	Max	562 833	782 823	0,000	5 177	12	4 225 644
			Min					245 955	2 048 419	0,000	13 547			
			Max					562 833	782 823	0,000	5 177			
Pilastro Acciaio 2	100%	31 984	-7 -17 719	-73 154	-606	7.54[V]	PLS	Max	562 833	782 823	0,000	5 177	12	4 225 644
			Min					245 955	2 048 419	0,000	13 547			
			Max					562 833	782 823	0,000	5 177			
Pilastro Acciaio 1	0%	16 166	-149 19 472	-36 753	-760	14.61[V]	PLS	Max	562 833	782 823	0,000	5 177	12	4 225 644
			Min					245 955	2 048 419	0,000	13 547			
			Max					562 833	782 823	0,000	5 177			
Pilastro Acciaio 1	50,0%	15 755	-149 19 472	-41 621	-796	12.96[V]	PLS	Max	562 833	782 823	0,000	5 177	12	4 225 644
			Min					245 955	2 048 419	0,000	13 547			
			Max					562 833	782 823	0,000	5 177			
Pilastro Acciaio 1	100%	15 343	-149 19 472	-46 488	-835	11.63[V]	PLS	Max	562 833	782 823	0,000	5 177	12	4 225 644
			Min					245 955	2 048 419	0,000	13 547			
			Max					562 833	782 823	0,000	5 177			
Pilastro Acciaio 1	0%	21 320	575 10 541	-54 720	-764	9.97[V]	PLS	Max	562 833	782 823	0,000	5 177	12	4 225 644
			Min					245 955	2 048 419	0,000	13 547			
			Max					562 833	782 823	0,000	5 177			
Pilastro Acciaio 1	50,0%	20 909	575 10 541	-57 355	-623	9.58[V]	PLS	Max	562 833	782 823	0,000	5 177	12	4 225 644
			Min					245 955	2 048 419	0,000	13 547			
			Max					562 833	782 823	0,000	5 177			
Pilastro Acciaio 1	100%	18 786	527 10 541	-59 990	-479	9.21[V]	PLS	Max	562 833	782 823	0,000	5 177	12	4 225 644
			Min					245 955	2 048 419	0,000	13 547			
			Max					562 833	782 823	0,000	5 177			
Pilastro Acciaio 1	0%	9 693	695	-60 492	-298	9.19[V	PLS	Max	562 833	782 823	0,000	5 177	12	4 225 644

Pilastri (AC) - Verifiche a pressoflessione deviata

Pilastro	%L _{Lt}	N _{Ed}	V _{Ed}	M _{Ed,3}	M _{Ed,2}	CS	TP Vr	max/m in	M _{C,Rd}	V _{C,Rd}	ρ	A _v	t _w	N _{pl,Rd}
	[%]	[N]	[N]	[N-m]	[N-m]				[N-m]	[N]		[mm ²]	[mm]	[N]
Pilastro Acciaio 1	50,0%	26 103	-12 892	-57 276	608	9.58[V]	PLS	Min	245 955	2 048 419	0,000	13 547	41	4 225 644
			1 983					Max	562 833	782 823	0,000	5 177		
			-12 881					Min	245 955	2 048 419	0,000	13 547		
Pilastro Acciaio 1	100%	25 691	1 983	-54 055	1 102	9.94[V]	PLS	Max	562 833	782 823	0,000	5 177	12 41	4 225 644
			-12 881					Min	245 955	2 048 419	0,000	13 547		
			-228 16 104					Max	480 967	668 958	0,000	5 177		
Pilastro Acciaio 1	50,0%	8 071	-228 16 104	-13 209	-206	35.15[V]	PLS	Max	480 967	668 958	0,000	5 177	12 41	3 611 005
			-228 16 104					Min	210 180	1 750 467	0,000	13 547		
			-228 16 104					Max	480 967	668 958	0,000	5 177		
Pilastro Acciaio 1	100%	7 659	-228 16 104	-17 235	-265	26.96[V]	PLS	Max	480 967	668 958	0,000	5 177	12 41	3 611 005
			-228 16 104					Min	210 180	1 750 467	0,000	13 547		
			-379 18 901					Max	562 833	782 823	0,000	5 177		
Pilastro Acciaio 1	50,0%	10 626	-379 18 901	-21 959	-508	24.33[V]	PLS	Max	562 833	782 823	0,000	5 177	12 41	4 225 644
			-379 18 901					Min	245 955	2 048 419	0,000	13 547		
			-379 18 901					Max	562 833	782 823	0,000	5 177		
Pilastro Acciaio 1	100%	10 214	-379 18 901	-26 685	-601	20.05[V]	PLS	Max	562 833	782 823	0,000	5 177	12 41	4 225 644
			-297 11 931					Min	245 955	2 048 419	0,000	13 547		
			-297 11 931					Max	562 833	782 823	0,000	5 177		
Pilastro Acciaio 1	50,0%	5 520	-297 11 931	-6 200	-158	85.78[V]	PLS	Max	562 833	782 823	0,000	5 177	12 41	4 225 644
			-297 11 931					Min	245 955	2 048 419	0,000	13 547		
			-297 11 931					Max	562 833	782 823	0,000	5 177		
Pilastro Acciaio 1	100%	5 108	-297 11 931	-9 182	-232	57.95[V]	PLS	Max	562 833	782 823	0,000	5 177	12 41	4 225 644
			-297 11 931					Min	245 955	2 048 419	0,000	13 547		
			-172 25 684					Max	562 833	782 823	0,000	5 177		
Pilastro Acciaio 2	50,0%	4 695	-172 25 684	-29 853	-186	18.58[V]	PLS	Max	562 833	782 823	0,000	5 177	12 41	4 225 644
			-172 25 684					Min	245 955	2 048 419	0,000	13 547		
			-172 25 684					Max	562 833	782 823	0,000	5 177		
Pilastro Acciaio 2	100%	4 378	-172 25 684	-36 274	-229	15.30[V]	PLS	Max	562 833	782 823	0,000	5 177	12 41	4 225 644
			-172 25 684					Min	245 955	2 048 419	0,000	13 547		
			-97 16 227					Max	562 833	782 823	0,000	5 177		
Pilastro Acciaio 2	50,0%	2 507	-97 16 227	-8 430	-49	65.89[V]	PLS	Max	562 833	782 823	0,000	5 177	12 41	4 225 644
			-97 16 227					Min	245 955	2 048 419	0,000	13 547		
			-97 16 227					Max	562 833	782 823	0,000	5 177		
Pilastro Acciaio 2	100%	2 190	-97 16 227	-12 488	-73	44.46[V]	PLS	Max	562 833	782 823	0,000	5 177	12 41	4 225 644
			-97 16 227					Min	245 955	2 048 419	0,000	13 547		
			-174 24 644					Max	562 833	782 823	0,000	5 177		
Pilastro Acciaio 3	50,0%	4 661	-174 24 644	-28 632	-193	19.35[V]	PLS	Max	562 833	782 823	0,000	5 177	12 41	4 225 644
			-174 24 644					Min	245 955	2 048 419	0,000	13 547		
			-174 24 644					Max	562 833	782 823	0,000	5 177		
Pilastro Acciaio 3	100%	4 344	-174 24 644	-34 792	-235	15.92[V]	PLS	Max	562 833	782 823	0,000	5 177	12 41	4 225 644
			-174 24 644					Min	245 955	2 048 419	0,000	13 547		
			-101 15 561					Max	562 833	782 823	0,000	5 177		
Pilastro Acciaio 3	50,0%	2 490	-101 15 561	-8 085	-51	68.62[V]	PLS	Max	562 833	782 823	0,000	5 177	12 41	4 225 644
			-101 15 561					Min	245 955	2 048 419	0,000	13 547		
			-101 15 561					Max	562 833	782 823	0,000	5 177		
Pilastro Acciaio 3	100%	2 173	-101 15 561	-11 974	-76	46.32[V]	PLS	Max	562 833	782 823	0,000	5 177	12 41	4 225 644
			-101 15 561					Min	245 955	2 048 419	0,000	13 547		
			-184 25 851					Max	562 833	782 823	0,000	5 177		
Pilastro Acciaio 4	50,0%	4 818	-184 25 851	-30 036	-201	18.46[V]	PLS	Max	562 833	782 823	0,000	5 177	12 41	4 225 644
			-184 25 851					Min	245 955	2 048 419	0,000	13 547		
			-184 25 851					Max	562 833	782 823	0,000	5 177		
Pilastro Acciaio 4	100%	4 501	-184 25 851	-36 500	-248	15.17[V]	PLS	Max	562 833	782 823	0,000	5 177	12 41	4 225 644
			-184 25 851					Min	245 955	2 048 419	0,000	13 547		
			-106 16 324					Max	562 833	782 823	0,000	5 177		
Pilastro Acciaio 4	50,0%	2 568	-106 16 324	-8 481	-54	65.40[V]	PLS	Max	562 833	782 823	0,000	5 177	12 41	4 225 644
			-106 16 324					Min	245 955	2 048 419	0,000	13 547		
			-106 16 324					Max	562 833	782 823	0,000	5 177		
Pilastro Acciaio 4	100%	2 251	-106 16 324	-12 562	-81	44.14[V]	PLS	Max	562 833	782 823	0,000	5 177	12 41	4 225 644
			-106 16 324					Min	245 955	2 048 419	0,000	13 547		
			-184 24 661					Max	562 833	782 823	0,000	5 177		
Pilastro Acciaio 5	50,0%	11 078	-184 24 661	-28 652	-198	19.33[V]	PLS	Max	562 833	782 823	0,000	5 177	12 41	4 225 644
			-184 24 661					Min	245 955	2 048 419	0,000	13 547		
			-185 24 661					Max	562 833	782 823	0,000	5 177		
Pilastro Acciaio 5	100%	11 779	-185 24 661	-34 816	-244	15.91[V]	PLS	Max	562 833	782 823	0,000	5 177	12 41	4 225 644
			-185 24 661					Min	245 955	2 048 419	0,000	13 547		
			-103 15 572					Max	562 833	782 823	0,000	5 177		
Pilastro Acciaio 5	50,0%	2 490	-103 15 572	-8 090	-51	68.57[V]	PLS	Max	562 833	782 823	0,000	5 177	12 41	4 225 644
			-103 15 572					Min	245 955	2 048 419	0,000	13 547		
			-103 15 572					Max	562 833	782 823	0,000	5 177		
Pilastro Acciaio 5	100%	5 379	-103 15 572	-11 982	-77	46.28[V]	PLS	Max	562 833	782 823	0,000	5 177	12 41	4 225 644
			-103 15 572					Min	245 955	2 048 419	0,000	13 547		
			-219 25 629					Max	562 833	782 823	0,000	5 177		
Pilastro Acciaio 6	50,0%	13 129	-219 25 629	-29 788	-244	18.55[V]	PLS	Max	562 833	782 823	0,000	5 177	12 41	4 225 644
			-219 25 629					Min	245 955	2 048 419	0,000	13 547		
			-219 25 629					Max	562 833	782 823	0,000	5 177		
Pilastro Acciaio 6	100%	12 717	-219 25 629	-36 195	-299	15.25[V]	PLS	Max	562 833	782 823	0,000	5 177	12 41	4 225 644
			-219 25 629					Min	245 955	2 048 419	0,000	13 547		
			-219 25 629					Max	562 833	782 823	0,000	5 177		

Pilastri (AC) - Verifiche a pressoflessione deviata

Pilastro	%L _{Lt}	N _{Ed}	V _{Ed}	M _{Ed,3}	M _{Ed,2}	CS	Tp Vr	max/m in	M _{C,Rd}	V _{C,Rd}	ρ	A _v	t _w	N _{pl,Rd}
	[%]	[N]	[N]	[N-m]	[N-m]				[N-m]	[N]		[N]		
Pilastro Acciaio 6	0%	7 179	-130	-4 365	-36	NS	PLS	Max	562 833	782 823	0,000	5 177	12	4 225 644
			Min					245 955	2 048 419	13 547				
	50,0%	6 768	-130	-8 412	-68	65.68[V]	PLS	Max	562 833	782 823	0,000	5 177	12	4 225 644
			Min					245 955	2 048 419	13 547				
	100%	6 356	-130	-12 460	-99	44.35[V]	PLS	Max	562 833	782 823	0,000	5 177	12	4 225 644
			Min					245 955	2 048 419	13 547				
Pilastro Acciaio 7	0%	11 029	99	-17 400	182	31.58[V]	PLS	Max	562 833	782 823	0,000	5 177	12	4 225 644
			Min					245 955	2 048 419	13 547				
	50,0%	10 618	99	-22 170	206	24.85[V]	PLS	Max	562 833	782 823	0,000	5 177	12	4 225 644
			Min					245 955	2 048 419	13 547				
	100%	10 206	99	-26 940	231	20.48[V]	PLS	Max	562 833	782 823	0,000	5 177	12	4 225 644
			Min					245 955	2 048 419	13 547				
Pilastro Acciaio 7	0%	5 925	137	-3 246	41	NS	PLS	Max	562 833	782 823	0,000	5 177	12	4 225 644
			Min					245 955	2 048 419	13 547				
	50,0%	5 514	137	-6 258	78	87.43[V]	PLS	Max	562 833	782 823	0,000	5 177	12	4 225 644
			Min					245 955	2 048 419	13 547				
	100%	5 102	137	-9 271	112	59.07[V]	PLS	Max	562 833	782 823	0,000	5 177	12	4 225 644
			Min					245 955	2 048 419	13 547				
Pilastro Acciaio 2	0%	10 357	72	-12 488	46	38.18[V]	PLS	Max	480 967	668 958	0,000	5 177	12	3 611 005
			Min					210 180	1 750 467	13 547				
	50,0%	9 946	72	-17 960	66	26.55[V]	PLS	Max	480 967	668 958	0,000	5 177	12	3 611 005
			Min					210 180	1 750 467	13 547				
	100%	9 534	72	-23 432	86	20.35[V]	PLS	Max	480 967	668 958	0,000	5 177	12	3 611 005
			Min					210 180	1 750 467	13 547				
Pilastro Acciaio 2	0%	5 610	21	-	-	NS	PLS	Max	480 967	668 958	0,000	5 177	12	3 611 005
			Min					210 180	1 750 467	13 547				
	50,1%	3 027	34	-2 187	9	NS	PLS	Max	480 967	668 958	0,000	5 177	12	3 611 005
			Min					210 180	1 750 467	13 547				
	100%	2 713	34	-4 374	15	NS	PLS	Max	480 967	668 958	0,000	5 177	12	3 611 005
			Min					210 180	1 750 467	13 547				
Pilastro Acciaio 3	0%	8 702	43	-11 973	29	39.95[V]	PLS	Max	480 967	668 958	0,000	5 177	12	3 611 005
			Min					210 180	1 750 467	13 547				
	50,0%	8 386	43	-17 222	41	27.78[V]	PLS	Max	480 967	668 958	0,000	5 177	12	3 611 005
			Min					210 180	1 750 467	13 547				
	100%	8 069	43	-22 471	51	21.28[V]	PLS	Max	480 967	668 958	0,000	5 177	12	3 611 005
			Min					210 180	1 750 467	13 547				
Pilastro Acciaio 3	0%	5 573	2	-	-	NS	PLS	Max	480 967	668 958	0,000	5 177	12	3 611 005
			Min					210 180	1 750 467	13 547				
	50,1%	1 404	21	-2 097	4	NS	PLS	Max	480 967	668 958	0,000	5 177	12	3 611 005
			Min					210 180	1 750 467	13 547				
	100%	1 090	21	-4 194	10	NS	PLS	Max	480 967	668 958	0,000	5 177	12	3 611 005
			Min					210 180	1 750 467	13 547				
Pilastro Acciaio 4	0%	4 007	44	-12 562	30	38.07[V]	PLS	Max	480 967	668 958	0,000	5 177	12	3 611 005
			Min					210 180	1 750 467	13 547				
	50,0%	3 691	44	-18 069	40	26.48[V]	PLS	Max	480 967	668 958	0,000	5 177	12	3 611 005
			Min					210 180	1 750 467	13 547				
	100%	3 374	44	-23 576	51	20.30[V]	PLS	Max	480 967	668 958	0,000	5 177	12	3 611 005
			Min					210 180	1 750 467	13 547				
Pilastro Acciaio 4	0%	5 824	-	-	-	NS	PLS	Max	480 967	668 958	0,000	5 177	12	3 611 005
			Min					210 180	1 750 467	13 547				
	50,1%	1 442	22	-2 200	6	NS	PLS	Max	480 967	668 958	0,000	5 177	12	3 611 005
			Min					210 180	1 750 467	13 547				
	100%	1 128	22	-4 400	10	NS	PLS	Max	480 967	668 958	0,000	5 177	12	3 611 005
			Min					210 180	1 750 467	13 547				
Pilastro Acciaio 5	0%	3 892	39	-11 982	26	39.93[V]	PLS	Max	480 967	668 958	0,000	5 177	12	3 611 005
			Min					210 180	1 750 467	13 547				
	50,0%	3 576	39	-17 235	37	27.76[V]	PLS	Max	480 967	668 958	0,000	5 177	12	3 611 005
			Min					210 180	1 750 467	13 547				
	100%	3 259	39	-22 486	47	21.28[V]	PLS	Max	480 967	668 958	0,000	5 177	12	3 611 005
			Min					210 180	1 750 467	13 547				
Pilastro Acciaio 5	0%	5 573	-2	-	-	NS	PLS	Max	480 967	668 958	0,000	5 177	12	3 611 005
			Min					210 180	1 750 467	13 547				
	50,1%	1 404	21	-2 098	4	NS	PLS	Max	480 967	668 958	0,000	5 177	12	3 611 005
			Min					210 180	1 750 467	13 547				
	100%	1 090	21	-4 197	10	NS	PLS	Max	480 967	668 958	0,000	5 177	12	3 611 005
			Min					210 180	1 750 467	13 547				
Pilastro Acciaio 6	0%	3 916	33	-12 460	22	38.45[V]	PLS	Max	480 967	668 958	0,000	5 177	12	3 611 005
			Min					210 180	1 750 467	13 547				
	50,0%	3 600	33	-17 920	31	26.73[V]	PLS	Max	480 967	668 958	0,000	5 177	12	3 611 005
			Min					210 180	1 750 467	13 547				
	100%	3 283	33	-23 380	39	20.48[V]	PLS	Max	480 967	668 958	0,000	5 177	12	3 611 005
			Min					210 180	1 750 467	13 547				
Pilastro Acciaio 6	0%	5 610	-21	-	-	NS	PLS	Max	480 967	668 958	0,000	5 177	12	3 611 005
			Min					210 180	1 750 467	13 547				
	50,1%	1 411	18	-2 182	5	NS	PLS	Max	480 967	668 958	0,000	5 177	12	3 611 005
			Min					210 180	1 750 467	13 547				
	100%	1 097	18	-4 365	9	NS	PLS	Max	480 967	668 958	0,000	5 177	12	3 611 005
			Min					210 180	1 750 467	13 547				
Pilastro Acciaio 7	0%	8 476	284	-9 270	193	49.52[V]	PLS	Max	480 967	668 958	0,000	5 177	12	3 611 005
			Min					210 180	1 750 467	13 547				

Pilastri (AC) - Verifiche a pressoflessione deviata

Pilastro	%L _{LI}	N _{Ed}	V _{Ed}	M _{Ed,3}	M _{Ed,2}	CS	Tp Vr	max/m in	M _{c,Rd}	V _{c,Rd}	ρ	A _v	t _w	N _{pl,Rd}	
	[%]	[N]	[N]	[N-m]	[N-m]				[N-m]	[N]		[N]			[mm ²]
Pilastro Acciaio 7	50,0%	8 065	284	-13 334	261	34.52[V]	PLS	Max	480 967	668 958	0,000	5 177	12	3 611 005	
			Min					210 180	1 750 467	0,000		13 547	41		
	100%	7 653	284	-17 397	335		26.48[V]	PLS	Max	480 967	668 958	0,000	5 177		12
			Min						210 180	1 750 467	0,000		13 547		41
Pilastro Acciaio 7	0%	4 643	199	-	-	NS	PLS	Max	480 967	668 958	0,000	5 177	12	3 611 005	
			Min					210 180	1 750 467	0,000		13 547	41		
	50,1%	2 961	144	-1 623	33		NS	PLS	Max	480 967	668 958	0,000	5 177		12
			Min						210 180	1 750 467	0,000		13 547		41
100%	2 553	144	-3 246	70	NS	PLS	Max	480 967	668 958	0,000	5 177	12			
		Min					210 180	1 750 467	0,000		13 547	41			
Pilastro Acciaio 1	0%	4 644	-156	-	-	NS	PLS	Max	480 967	668 958	0,000	5 177	12	3 611 005	
			Min					210 180	1 750 467	0,000		13 547	41		
	50,1%	2 965	-57	-1 608	-12		NS	PLS	Max	480 967	668 958	0,000	5 177		12
			Min						210 180	1 750 467	0,000		13 547		41
	100%	2 557	-57	-3 216	-26	NS	PLS	Max	480 967	668 958	0,000	5 177	12		
			Min					210 180	1 750 467	0,000		13 547	41		

LEGENDA:

- Pilastro** Identificativo del pilastro. L'eventuale lettera tra parentesi distingue i diversi tratti della pilastriata al livello considerato.
- %L_{LI}** Posizione della sezione per la quale vengono forniti i valori di verifica, valutata come % della lunghezza libera d'inflessione (L_{LI}), a partire dall'estremo iniziale.
- N_{Ed}** Sforzo normale di progetto.
- V_{Ed}** Taglio di progetto utilizzato per il calcolo di ρ.
- M_{Ed,3}** Momento flettente di progetto intorno a 3.
- M_{Ed,2}** Momento flettente di progetto intorno a 2.
- CS** Coefficiente di sicurezza ([NS] = Non Significativo se CS ≥ 100; [VNR]= Verifica Non Richiesta; Informazioni aggiuntive sulla condizione: [V] = statica; [E] = eccezionale; [S] = sismica; [N] = sismica non lineare).
- Tp Vr** Tipo di verifica considerata: "PLS" = con Modulo di resistenza plastico; "ELA" = con modulo di resistenza elastico; "EFF" = con modulo di resistenza efficace.
- max/mi** [max] = valore per la verifica con modulo di resistenza maggiore; [min] = valore per la verifica con modulo di resistenza minore.
- n**
- M_{c,Rd}** Momento resistente.
- V_{c,Rd}** Taglio resistente.
- ρ** Coefficiente riduttivo per presenza di taglio.
- A_v** Area resistente a taglio.
- t_w** Spessore anima.
- N_{pl,Rd}** Resistenza plastica a Sforzo Normale.

PILASTRI (AC) - VERIFICHE A TAGLIO (Elevazione) per pressoflessione deviata allo SLU

Pilastro	%L _{LI}	CS	A _v	τ _{T,Ed}	V _{Ed}	V _{c,Rd}	P. Vrf.	Ω _{Min}
	[%]							
Piano Terra								
Pilastro Acciaio 1	0%	29,84	5 177	0,00	-22 419	668 958	Piano XX	1,00
	50,0%	30,24	5 177	0,00	-22 120	668 958	Piano XX	1,00
	100%	30,65	5 177	0,00	-21 824	668 958	Piano XX	1,00
Pilastro Acciaio 2	0%	21,81	5 177	0,00	-30 678	668 958	Piano XX	1,00
	50,0%	22,02	5 177	0,00	-30 380	668 958	Piano XX	1,00
	100%	22,24	5 177	0,00	-30 082	668 958	Piano XX	1,00
Pilastro Acciaio 3	0%	22,84	5 177	0,00	-29 295	668 958	Piano XX	1,00
	50,0%	23,07	5 177	0,00	-28 996	668 958	Piano XX	1,00
	100%	23,31	5 177	0,00	-28 700	668 958	Piano XX	1,00
Pilastro Acciaio 4	0%	21,75	5 177	0,00	-30 750	668 958	Piano XX	1,00
	50,0%	21,97	5 177	0,00	-30 452	668 958	Piano XX	1,00
	100%	22,18	5 177	0,00	-30 154	668 958	Piano XX	1,00
Pilastro Acciaio 5	0%	22,82	5 177	0,00	-29 316	668 958	Piano XX	1,00
	50,0%	23,05	5 177	0,00	-29 018	668 958	Piano XX	1,00
	100%	23,29	5 177	0,00	-28 720	668 958	Piano XX	1,00
Pilastro Acciaio 6	0%	21,86	5 177	0,00	-30 606	668 958	Piano XX	1,00
	50,0%	22,07	5 177	0,00	-30 308	668 958	Piano XX	1,00
	100%	22,29	5 177	0,00	-30 010	668 958	Piano XX	1,00
Pilastro Acciaio 7	0%	29,55	5 177	0,00	-22 640	668 958	Piano XX	1,00
	50,0%	29,94	5 177	0,00	-22 341	668 958	Piano XX	1,00
	100%	30,35	5 177	0,00	-22 044	668 958	Piano XX	1,00
Pilastro Acciaio 6	0%	NS	5 177	0,00	1 215	668 958	Piano XX	1,00
	50,0%	NS	5 177	0,00	1 215	668 958	Piano XX	1,00
	100%	NS	5 177	0,00	1 215	668 958	Piano XX	1,00
Pilastro Acciaio 6	0%	30,06	5 177	0,00	22 254	668 958	Piano XX	1,00
	50,0%	30,06	5 177	0,00	22 254	668 958	Piano XX	1,00
	100%	30,06	5 177	0,00	22 254	668 958	Piano XX	1,00
Pilastro Acciaio 6	0%	24,52	5 177	0,00	27 282	668 958	Piano XX	1,00
	50,0%	24,52	5 177	0,00	27 282	668 958	Piano XX	1,00
	100%	24,52	5 177	0,00	27 282	668 958	Piano XX	1,00
Pilastro Acciaio 5	0%	25,47	5 177	0,00	26 260	668 958	Piano XX	1,00
	50,0%	25,47	5 177	0,00	26 260	668 958	Piano XX	1,00
	100%	25,47	5 177	0,00	26 260	668 958	Piano XX	1,00
Pilastro Acciaio 5	0%	31,18	5 177	0,00	21 454	668 958	Piano XX	1,00
	50,0%	31,18	5 177	0,00	21 454	668 958	Piano XX	1,00
	100%	31,18	5 177	0,00	21 454	668 958	Piano XX	1,00
Pilastro Acciaio 5	0%	NS	5 177	0,00	1 257	668 958	Piano XX	1,00
	50,0%	NS	5 177	0,00	1 257	668 958	Piano XX	1,00
	100%	NS	5 177	0,00	1 257	668 958	Piano XX	1,00
Pilastro Acciaio 4	0%	24,30	5 177	0,00	27 526	668 958	Piano XX	1,00
	50,0%	24,30	5 177	0,00	27 526	668 958	Piano XX	1,00
	100%	24,30	5 177	0,00	27 526	668 958	Piano XX	1,00

Pilastri (AC) - Verifiche a taglio

Pilastro	%L _{Lt} [%]	CS	A _v [mm ²]	τ _{T,Ed} [N/mm ²]	V _{Ed} [N]	V _{c,Rd} [N]	P. Vrf.	Ω _{Min}
Pilastro Acciaio 4	0%	29,75	5 177	0,00	22 484	668 958	Piano XX	1,00
	50,0%	29,75	5 177	0,00	22 484	668 958	Piano XX	1,00
	100%	29,75	5 177	0,00	22 484	668 958	Piano XX	1,00
Pilastro Acciaio 4	0%	NS	5 177	0,00	1 305	668 958	Piano XX	1,00
	50,0%	NS	5 177	0,00	1 305	668 958	Piano XX	1,00
	100%	NS	5 177	0,00	1 305	668 958	Piano XX	1,00
Pilastro Acciaio 3	0%	25,49	5 177	0,00	26 241	668 958	Piano XX	1,00
	50,0%	25,49	5 177	0,00	26 241	668 958	Piano XX	1,00
	100%	25,49	5 177	0,00	26 241	668 958	Piano XX	1,00
Pilastro Acciaio 3	0%	31,20	5 177	0,00	21 438	668 958	Piano XX	1,00
	50,0%	31,20	5 177	0,00	21 438	668 958	Piano XX	1,00
	100%	31,20	5 177	0,00	21 438	668 958	Piano XX	1,00
Pilastro Acciaio 3	0%	NS	5 177	0,00	1 257	668 958	Piano XX	1,00
	50,0%	NS	5 177	0,00	1 257	668 958	Piano XX	1,00
	100%	NS	5 177	0,00	1 257	668 958	Piano XX	1,00
Pilastro Acciaio 2	0%	24,47	5 177	0,00	27 340	668 958	Piano XX	1,00
	50,0%	24,47	5 177	0,00	27 340	668 958	Piano XX	1,00
	100%	24,47	5 177	0,00	27 340	668 958	Piano XX	1,00
Pilastro Acciaio 2	0%	30,00	5 177	0,00	22 300	668 958	Piano XX	1,00
	50,0%	30,00	5 177	0,00	22 300	668 958	Piano XX	1,00
	100%	30,00	5 177	0,00	22 300	668 958	Piano XX	1,00
Pilastro Acciaio 2	0%	NS	5 177	0,00	1 214	668 958	Piano XX	1,00
	50,0%	NS	5 177	0,00	1 214	668 958	Piano XX	1,00
	100%	NS	5 177	0,00	1 214	668 958	Piano XX	1,00
Pilastro Acciaio 1	0%	33,22	5 177	0,00	20 136	668 958	Piano XX	1,00
	50,0%	33,22	5 177	0,00	20 136	668 958	Piano XX	1,00
	100%	33,22	5 177	0,00	20 136	668 958	Piano XX	1,00
Pilastro Acciaio 1	0%	40,63	5 177	0,00	16 464	668 958	Piano XX	1,00
	50,0%	40,63	5 177	0,00	16 464	668 958	Piano XX	1,00
	100%	40,63	5 177	0,00	16 464	668 958	Piano XX	1,00
Pilastro Acciaio 1	0%	NS	5 177	0,00	1 000	668 958	Piano XX	1,00
	50,0%	NS	5 177	0,00	1 000	668 958	Piano XX	1,00
	100%	NS	5 177	0,00	1 000	668 958	Piano XX	1,00
Pilastro Acciaio 7	0%	60,00	5 177	0,00	-13 046	782 823	Piano XX	1,00
	50,0%	60,00	5 177	0,00	-13 046	782 823	Piano XX	1,00
	100%	60,00	5 177	0,00	-13 046	782 823	Piano XX	1,00
Pilastro Acciaio 7	0%	39,83	5 177	0,00	19 652	782 823	Piano XX	1,00
	50,0%	39,83	5 177	0,00	19 652	782 823	Piano XX	1,00
	100%	39,83	5 177	0,00	19 652	782 823	Piano XX	1,00
Pilastro Acciaio 7	0%	73,67	5 177	0,00	10 626	782 823	Piano XX	1,00
	50,0%	73,67	5 177	0,00	10 626	782 823	Piano XX	1,00
	100%	73,67	5 177	0,00	10 626	782 823	Piano XX	1,00
Pilastro Acciaio 7	0%	40,26	5 177	0,00	16 614	668 958	Piano XX	1,00
	50,0%	40,26	5 177	0,00	16 614	668 958	Piano XX	1,00
	100%	40,26	5 177	0,00	16 614	668 958	Piano XX	1,00
Pilastro Acciaio 7	0%	NS	5 177	0,00	1 002	668 958	Piano XX	1,00
	50,0%	NS	5 177	0,00	1 002	668 958	Piano XX	1,00
	100%	NS	5 177	0,00	1 002	668 958	Piano XX	1,00
Pilastro Acciaio 7	0%	32,91	5 177	0,00	20 324	668 958	Piano XX	1,00
	50,0%	32,91	5 177	0,00	20 324	668 958	Piano XX	1,00
	100%	32,91	5 177	0,00	20 324	668 958	Piano XX	1,00
Pilastro Acciaio 6	0%	29,70	5 177	0,00	26 360	782 823	Piano XX	1,00
	50,0%	29,70	5 177	0,00	26 360	782 823	Piano XX	1,00
	100%	29,70	5 177	0,00	26 360	782 823	Piano XX	1,00
Pilastro Acciaio 6	0%	55,20	5 177	0,00	14 181	782 823	Piano XX	1,00
	50,0%	55,20	5 177	0,00	14 181	782 823	Piano XX	1,00
	100%	55,20	5 177	0,00	14 181	782 823	Piano XX	1,00
Pilastro Acciaio 6	0%	44,29	5 177	0,00	-17 674	782 823	Piano XX	1,00
	50,0%	44,29	5 177	0,00	-17 674	782 823	Piano XX	1,00
	100%	44,29	5 177	0,00	-17 674	782 823	Piano XX	1,00
Pilastro Acciaio 5	0%	30,84	5 177	0,00	25 387	782 823	Piano XX	1,00
	50,0%	30,84	5 177	0,00	25 387	782 823	Piano XX	1,00
	100%	30,84	5 177	0,00	25 387	782 823	Piano XX	1,00
Pilastro Acciaio 5	0%	57,11	5 177	0,00	13 707	782 823	Piano XX	1,00
	50,0%	57,11	5 177	0,00	13 707	782 823	Piano XX	1,00
	100%	57,11	5 177	0,00	13 707	782 823	Piano XX	1,00
Pilastro Acciaio 5	0%	46,35	5 177	0,00	-16 888	782 823	Piano XX	1,00
	50,0%	46,35	5 177	0,00	-16 888	782 823	Piano XX	1,00
	100%	46,35	5 177	0,00	-16 888	782 823	Piano XX	1,00
Pilastro Acciaio 4	0%	29,42	5 177	0,00	26 608	782 823	Piano XX	1,00
	50,0%	29,42	5 177	0,00	26 608	782 823	Piano XX	1,00
	100%	29,42	5 177	0,00	26 608	782 823	Piano XX	1,00
Pilastro Acciaio 4	0%	54,51	5 177	0,00	14 360	782 823	Piano XX	1,00
	50,0%	54,51	5 177	0,00	14 360	782 823	Piano XX	1,00
	100%	54,51	5 177	0,00	14 360	782 823	Piano XX	1,00
Pilastro Acciaio 4	0%	44,17	5 177	0,00	-17 722	782 823	Piano XX	1,00
	50,0%	44,17	5 177	0,00	-17 722	782 823	Piano XX	1,00
	100%	44,17	5 177	0,00	-17 722	782 823	Piano XX	1,00
Pilastro Acciaio 3	0%	30,86	5 177	0,00	25 368	782 823	Piano XX	1,00
	50,0%	30,86	5 177	0,00	25 368	782 823	Piano XX	1,00
	100%	30,86	5 177	0,00	25 368	782 823	Piano XX	1,00
Pilastro Acciaio 3	0%	57,15	5 177	0,00	13 698	782 823	Piano XX	1,00
	50,0%	57,15	5 177	0,00	13 698	782 823	Piano XX	1,00
	100%	57,15	5 177	0,00	13 698	782 823	Piano XX	1,00
Pilastro Acciaio 3	0%	46,38	5 177	0,00	-16 877	782 823	Piano XX	1,00
	50,0%	46,38	5 177	0,00	-16 877	782 823	Piano XX	1,00

Pilastri (AC) - Verifiche a taglio

Pilastro	%L _T [%]	CS	A _v [mm ²]	τ _{T,Ed} [N/mm ²]	V _{Ed} [N]	V _{c,Rd} [N]	P. Vrf.	Ω _{Min}
Pilastro Acciaio 2	100%	46,38	5 177	0,00	-16 877	782 823	Piano XX	1,00
	0%	29,63	5 177	0,00	26 416	782 823	Piano XX	1,00
	50,0%	29,63	5 177	0,00	26 416	782 823	Piano XX	1,00
Pilastro Acciaio 2	100%	29,63	5 177	0,00	26 416	782 823	Piano XX	1,00
	0%	55,09	5 177	0,00	14 210	782 823	Piano XX	1,00
	50,0%	55,09	5 177	0,00	14 210	782 823	Piano XX	1,00
Pilastro Acciaio 2	100%	55,09	5 177	0,00	14 210	782 823	Piano XX	1,00
	0%	44,18	5 177	0,00	-17 719	782 823	Piano XX	1,00
	50,0%	44,18	5 177	0,00	-17 719	782 823	Piano XX	1,00
Pilastro Acciaio 1	100%	44,18	5 177	0,00	-17 719	782 823	Piano XX	1,00
	0%	40,20	5 177	0,00	19 472	782 823	Piano XX	1,00
	50,0%	40,20	5 177	0,00	19 472	782 823	Piano XX	1,00
Pilastro Acciaio 1	100%	40,20	5 177	0,00	19 472	782 823	Piano XX	1,00
	0%	74,26	5 177	0,00	10 541	782 823	Piano XX	1,00
	50,0%	74,26	5 177	0,00	10 541	782 823	Piano XX	1,00
Pilastro Acciaio 1	100%	74,26	5 177	0,00	10 541	782 823	Piano XX	1,00
	0%	60,72	5 177	0,00	-12 892	782 823	Piano XX	1,00
	50,0%	60,72	5 177	0,00	-12 892	782 823	Piano XX	1,00
Pilastro Acciaio 1	100%	60,72	5 177	0,00	-12 892	782 823	Piano XX	1,00
	0%	41,54	5 177	0,00	16 104	668 958	Piano XX	1,00
	50,0%	41,54	5 177	0,00	16 104	668 958	Piano XX	1,00
Pilastro Acciaio 1	100%	41,54	5 177	0,00	16 104	668 958	Piano XX	1,00
	0%	41,41	5 177	0,00	18 903	782 823	Piano XX	1,00
	50,0%	41,41	5 177	0,00	18 903	782 823	Piano XX	1,00
Pilastro Acciaio 1	100%	41,41	5 177	0,00	18 903	782 823	Piano XX	1,00
	0%	65,60	5 177	0,00	11 933	782 823	Piano XX	1,00
	50,0%	65,60	5 177	0,00	11 933	782 823	Piano XX	1,00
Pilastro Acciaio 2	100%	65,60	5 177	0,00	11 933	782 823	Piano XX	1,00
	0%	30,48	5 177	0,00	25 684	782 823	Piano XX	1,00
	50,0%	30,48	5 177	0,00	25 684	782 823	Piano XX	1,00
Pilastro Acciaio 2	100%	30,48	5 177	0,00	25 684	782 823	Piano XX	1,00
	0%	48,24	5 177	0,00	16 227	782 823	Piano XX	1,00
	50,0%	48,24	5 177	0,00	16 227	782 823	Piano XX	1,00
Pilastro Acciaio 2	100%	48,24	5 177	0,00	16 227	782 823	Piano XX	1,00
	0%	31,77	5 177	0,00	24 644	782 823	Piano XX	1,00
	50,0%	31,77	5 177	0,00	24 644	782 823	Piano XX	1,00
Pilastro Acciaio 3	100%	31,77	5 177	0,00	24 644	782 823	Piano XX	1,00
	0%	50,31	5 177	0,00	15 561	782 823	Piano XX	1,00
	50,0%	50,31	5 177	0,00	15 561	782 823	Piano XX	1,00
Pilastro Acciaio 3	100%	50,31	5 177	0,00	15 561	782 823	Piano XX	1,00
	0%	30,28	5 177	0,00	25 851	782 823	Piano XX	1,00
	50,0%	30,28	5 177	0,00	25 851	782 823	Piano XX	1,00
Pilastro Acciaio 4	100%	30,28	5 177	0,00	25 851	782 823	Piano XX	1,00
	0%	47,96	5 177	0,00	16 324	782 823	Piano XX	1,00
	50,0%	47,96	5 177	0,00	16 324	782 823	Piano XX	1,00
Pilastro Acciaio 4	100%	47,96	5 177	0,00	16 324	782 823	Piano XX	1,00
	0%	31,74	5 177	0,00	24 661	782 823	Piano XX	1,00
	50,0%	31,74	5 177	0,00	24 661	782 823	Piano XX	1,00
Pilastro Acciaio 5	100%	31,74	5 177	0,00	24 661	782 823	Piano XX	1,00
	0%	50,27	5 177	0,00	15 572	782 823	Piano XX	1,00
	50,0%	50,27	5 177	0,00	15 572	782 823	Piano XX	1,00
Pilastro Acciaio 5	100%	50,27	5 177	0,00	15 572	782 823	Piano XX	1,00
	0%	30,54	5 177	0,00	25 629	782 823	Piano XX	1,00
	50,0%	30,54	5 177	0,00	25 629	782 823	Piano XX	1,00
Pilastro Acciaio 6	100%	30,54	5 177	0,00	25 629	782 823	Piano XX	1,00
	0%	48,35	5 177	0,00	16 191	782 823	Piano XX	1,00
	50,0%	48,35	5 177	0,00	16 191	782 823	Piano XX	1,00
Pilastro Acciaio 6	100%	48,35	5 177	0,00	16 191	782 823	Piano XX	1,00
	0%	41,02	5 177	0,00	19 085	782 823	Piano XX	1,00
	50,0%	41,02	5 177	0,00	19 085	782 823	Piano XX	1,00
Pilastro Acciaio 7	100%	41,02	5 177	0,00	19 085	782 823	Piano XX	1,00
	0%	64,97	5 177	0,00	12 049	782 823	Piano XX	1,00
	50,0%	64,97	5 177	0,00	12 049	782 823	Piano XX	1,00
Pilastro Acciaio 2	100%	64,97	5 177	0,00	12 049	782 823	Piano XX	1,00
	0%	30,56	5 177	0,00	21 890	668 958	Piano XX	1,00
	50,0%	30,56	5 177	0,00	21 890	668 958	Piano XX	1,00
Pilastro Acciaio 2	100%	30,56	5 177	0,00	21 890	668 958	Piano XX	1,00
	0%	75,71	5 177	0,00	8 836	668 958	Piano XX	1,00
	50,1%	75,71	5 177	0,00	8 836	668 958	Piano XX	1,00
Pilastro Acciaio 3	100%	75,71	5 177	0,00	8 836	668 958	Piano XX	1,00
	0%	31,86	5 177	0,00	20 996	668 958	Piano XX	1,00
	50,0%	31,86	5 177	0,00	20 996	668 958	Piano XX	1,00
Pilastro Acciaio 3	100%	31,86	5 177	0,00	20 996	668 958	Piano XX	1,00
	0%	78,96	5 177	0,00	8 472	668 958	Piano XX	1,00
	50,1%	78,96	5 177	0,00	8 472	668 958	Piano XX	1,00
Pilastro Acciaio 4	100%	78,96	5 177	0,00	8 472	668 958	Piano XX	1,00
	0%	30,37	5 177	0,00	22 024	668 958	Piano XX	1,00
	50,0%	30,37	5 177	0,00	22 024	668 958	Piano XX	1,00
Pilastro Acciaio 4	100%	30,37	5 177	0,00	22 024	668 958	Piano XX	1,00
	0%	75,26	5 177	0,00	8 889	668 958	Piano XX	1,00
	50,1%	75,26	5 177	0,00	8 889	668 958	Piano XX	1,00
Pilastro Acciaio 5	100%	75,26	5 177	0,00	8 889	668 958	Piano XX	1,00
	0%	31,84	5 177	0,00	21 010	668 958	Piano XX	1,00
	50,0%	31,84	5 177	0,00	21 010	668 958	Piano XX	1,00
Pilastro Acciaio 5	100%	31,84	5 177	0,00	21 010	668 958	Piano XX	1,00
	0%	78,91	5 177	0,00	8 478	668 958	Piano XX	1,00

Pilastri (AC) - Verifiche a taglio

Pilastro	%L _{LT} [%]	CS	A _v [mm ²]	τ _{T,Ed} [N/mm ²]	V _{Ed} [N]	V _{c,Rd} [N]	P. Vrf.	Ω _{Min}
Pilastro Acciaio 6	50,1%	78,91	5 177	0,00	8 478	668 958	Piano XX	1,00
	100%	78,91	5 177	0,00	8 478	668 958	Piano XX	1,00
	0%	30,63	5 177	0,00	21 842	668 958	Piano XX	1,00
	50,0%	30,63	5 177	0,00	21 842	668 958	Piano XX	1,00
Pilastro Acciaio 6	100%	30,63	5 177	0,00	21 842	668 958	Piano XX	1,00
	0%	75,87	5 177	0,00	8 817	668 958	Piano XX	1,00
	50,1%	75,87	5 177	0,00	8 817	668 958	Piano XX	1,00
	100%	75,87	5 177	0,00	8 817	668 958	Piano XX	1,00
Pilastro Acciaio 7	0%	41,15	5 177	0,00	16 256	668 958	Piano XX	1,00
	50,0%	41,15	5 177	0,00	16 256	668 958	Piano XX	1,00
	100%	41,15	5 177	0,00	16 256	668 958	Piano XX	1,00
	0%	NS	5 177	0,00	6 558	668 958	Piano XX	1,00
Pilastro Acciaio 7	50,1%	NS	5 177	0,00	6 558	668 958	Piano XX	1,00
	100%	NS	5 177	0,00	6 558	668 958	Piano XX	1,00
	0%	NS	5 177	0,00	6 497	668 958	Piano XX	1,00
	50,1%	NS	5 177	0,00	6 497	668 958	Piano XX	1,00
Pilastro Acciaio 1	100%	NS	5 177	0,00	6 497	668 958	Piano XX	1,00

LEGENDA:

- Pilastro** Identificativo del pilastro. L'eventuale lettera tra parentesi distingue i diversi tratti della pilastriata al livello considerato.
- %L_{LT}** Posizione della sezione per la quale vengono forniti i valori di verifica, valutata come % della lunghezza libera d'inflessione (L_{LT}), a partire dall'estremo iniziale.
- CS** Coefficiente di sicurezza ([NS] = Non Significativo se CS ≥ 100; [VNR]= Verifica Non Richiesta; Informazioni aggiuntive sulla condizione: [V] = statica; [E] = eccezionale; [S] = sismica; [N] = sismica non lineare).
- A_v** Area resistente a taglio.
- τ_{T,Ed}** Tensione tangenziale di calcolo per torsione.
- V_{Ed}** Taglio di progetto.
- V_{c,Rd}** Taglio resistente.
- P. Vrf.** Piano di minima resistenza.
- Ω_{Min}** Rapporto minimo momento plastico/momento progetto travi concorrenti.

PILASTRI (AC) - VERIFICHE INSTABILITÀ A PRESSOFLESSIONE DEVIATA (Elevazione)

Pilastro	Pilastri (AC) - Verifiche instabilità a pressoflessione deviata														
	N _{eq,Ed} [N]	M _{eq,Ed,3} [N-m]	M _{eq,Ed,2} [N-m]	CS	L _N [m]	L _{Cr} [m]	Dir	λ _{LT}	α	φ	χ	β	k _c	χ _{LT}	N _{cr} [N]
Piano Terra															
Pilastro Acciaio 1	25 476	40 533	4 782	8,72	2,35	2,35	x-x	0,226	0,340	0,513	1,000	1,000	0,860	1,000	34 674 346
							y-y	0,117	0,490	0,587	0,933	1,000	0,797	1,000	
Pilastro Acciaio 2	32 088	54 867	242	8,01	2,35	2,35	x-x	0,225	0,340	0,513	1,000	1,000	0,860	1,000	34 674 346
							y-y	0,107	0,490	0,587	0,933	1,000	0,737	1,000	
Pilastro Acciaio 3	31 808	52 760	105	8,36	2,35	2,35	x-x	0,226	0,340	0,513	1,000	1,000	0,860	1,000	34 674 346
							y-y	0,143	0,490	0,587	0,933	1,000	0,979	1,000	
Pilastro Acciaio 4	33 450	55 331	78	7,98	2,35	2,35	x-x	0,226	0,340	0,513	1,000	1,000	0,860	1,000	34 674 346
							y-y	0,144	0,490	0,587	0,933	1,000	0,992	1,000	
Pilastro Acciaio 5	31 812	52 804	39	8,37	2,35	2,35	x-x	0,226	0,340	0,513	1,000	1,000	0,860	1,000	34 674 346
							y-y	0,140	0,490	0,587	0,933	1,000	0,954	1,000	
Pilastro Acciaio 6	32 092	54 754	394	7,98	2,35	2,35	x-x	0,225	0,340	0,513	1,000	1,000	0,860	1,000	34 674 346
							y-y	0,117	0,490	0,587	0,933	1,000	0,793	1,000	
Pilastro Acciaio 7	25 452	40 902	4 703	8,70	2,35	2,35	x-x	0,226	0,340	0,513	1,000	1,000	0,860	1,000	34 674 346
							y-y	0,117	0,490	0,587	0,933	1,000	0,795	1,000	
Pilastro Acciaio 6	29 160	81 600	42	5,62	0,50	0,50	x-x	0,066	0,340	0,473	1,000	1,000	0,998	1,000	765 956
							y-y	0,028	0,490	0,471	1,000	1,000	0,845	1,000	311
Pilastro Acciaio 6	22 718	69 694	15	6,61	0,50	0,50	x-x	0,064	0,340	0,473	1,000	1,000	0,953	1,000	765 956
							y-y	0,032	0,490	0,471	1,000	1,000	0,978	1,000	311
Pilastro Acciaio 6	16 318	44 381	18	10,32	0,50	0,50	x-x	0,062	0,340	0,473	1,000	1,000	0,917	1,000	765 956
							y-y	0,032	0,490	0,471	1,000	1,000	1,000	1,000	311
Pilastro Acciaio 5	16 184	42 695	65	10,69	0,50	0,50	x-x	0,062	0,340	0,473	1,000	1,000	0,917	1,000	765 956
							y-y	0,031	0,490	0,471	1,000	1,000	0,954	1,000	311
Pilastro Acciaio 5	22 532	67 078	71	6,85	0,50	0,50	x-x	0,064	0,340	0,473	1,000	1,000	0,953	1,000	765 956
							y-y	0,032	0,490	0,471	1,000	1,000	0,978	1,000	311
Pilastro Acciaio 5	28 918	78 597	52	5,83	0,50	0,50	x-x	0,066	0,340	0,473	1,000	1,000	0,997	1,000	765 956
							y-y	0,031	0,490	0,471	1,000	1,000	0,926	1,000	311
Pilastro Acciaio 4	16 960	44 756	82	10,19	0,50	0,50	x-x	0,062	0,340	0,473	1,000	1,000	0,917	1,000	765 956
							y-y	0,031	0,490	0,471	1,000	1,000	0,943	1,000	311
Pilastro Acciaio 4	23 620	70 309	99	6,53	0,50	0,50	x-x	0,064	0,340	0,473	1,000	1,000	0,953	1,000	765 956
							y-y	0,032	0,490	0,471	1,000	1,000	0,993	1,000	311
Pilastro Acciaio 4	30 322	82 374	91	5,55	0,50	0,50	x-x	0,066	0,340	0,473	1,000	1,000	0,997	1,000	765 956
							y-y	0,032	0,490	0,471	1,000	1,000	0,973	1,000	311
Pilastro Acciaio 3	16 184	42 664	88	10,68	0,50	0,50	x-x	0,062	0,340	0,473	1,000	1,000	0,917	1,000	765 956
							y-y	0,031	0,490	0,471	1,000	1,000	0,939	1,000	311
Pilastro Acciaio 3	22 530	67 023	115	6,84	0,50	0,50	x-x	0,064	0,340	0,473	1,000	1,000	0,953	1,000	765 956
							y-y	0,032	0,490	0,471	1,000	1,000	0,981	1,000	311
Pilastro Acciaio 3	28 916	78 536	114	5,82	0,50	0,50	x-x	0,066	0,340	0,473	1,000	1,000	0,997	1,000	765 956
							y-y	0,032	0,490	0,471	1,000	1,000	0,989	1,000	311
Pilastro Acciaio 2	16 318	44 477	142	10,24	0,50	0,50	x-x	0,062	0,340	0,473	1,000	1,000	0,917	1,000	765 956
							y-y	0,031	0,490	0,471	1,000	1,000	0,933	1,000	311
Pilastro Acciaio 2	22 714	69 844	180	6,56	0,50	0,50	x-x	0,064	0,340	0,473	1,000	1,000	0,953	1,000	765 956
							y-y	0,032	0,490	0,471	1,000	1,000	0,993	1,000	311
Pilastro Acciaio 2	29 158	81 772	144	5,59	0,50	0,50	x-x	0,066	0,340	0,473	1,000	1,000	0,998	1,000	765 956
							y-y	0,030	0,490	0,471	1,000	1,000	0,911	1,000	311
Pilastro Acciaio 1	13 186	32 731	411	13,58	0,50	0,50	x-x	0,062	0,340	0,473	1,000	1,000	0,917	1,000	765 956
							y-y	0,031	0,490	0,471	1,000	1,000	0,951	1,000	311
Pilastro Acciaio 1	18 328	51 431	373	8,79	0,50	0,50	x-x	0,064	0,340	0,473	1,000	1,000	0,953	1,000	765 956

Pilastri (AC) - Verifiche instabilità a pressoflessione deviata															
Pilastro	N _{eq,Ed} [N]	M _{eq,Ed,3} [N-m]	M _{eq,Ed,2} [N-m]	CS	L _N [m]	L _{Cr} [m]	Dir	λ _{LT}	α	φ	χ	β	k _c	χ _{LT}	N _{cr} [N]
							γ-γ	0,030	0,490	0,471	1,000	1,000	0,903	1,000	311
							x-x	0,066	0,340	0,473	1,000	1,000	0,997	1,000	765
							γ-γ	0,025	0,490	0,471	1,000	1,000	0,764	1,000	311
Pilastro Acciaio 1	23 500	60 293	401	7,48	0,50	0,50	x-x	0,070	0,340	0,474	1,000	1,000	0,966	1,000	765
							γ-γ	0,031	0,490	0,473	1,000	1,000	0,871	1,000	311
Pilastro Acciaio 7	26 078	58 431	1 620	8,58	0,50	0,50	x-x	0,068	0,340	0,474	1,000	1,000	0,935	1,000	765
							γ-γ	0,032	0,490	0,473	1,000	1,000	0,890	1,000	311
Pilastro Acciaio 7	15 738	42 997	196	12,36	0,50	0,50	x-x	0,070	0,340	0,474	1,000	1,000	0,972	1,000	765
							γ-γ	0,028	0,490	0,473	1,000	1,000	0,784	1,000	311
Pilastro Acciaio 7	20 890	58 421	313	9,09	0,50	0,50	x-x	0,064	0,340	0,473	1,000	1,000	0,953	1,000	765
							γ-γ	0,030	0,490	0,471	1,000	1,000	0,919	1,000	311
Pilastro Acciaio 7	18 312	51 910	492	8,67	0,50	0,50	x-x	0,066	0,340	0,473	1,000	1,000	0,997	1,000	765
							γ-γ	0,024	0,490	0,471	1,000	1,000	0,732	1,000	311
Pilastro Acciaio 7	23 480	60 848	308	7,44	0,50	0,50	x-x	0,062	0,340	0,473	1,000	1,000	0,917	1,000	765
							γ-γ	0,031	0,490	0,471	1,000	1,000	0,951	1,000	311
Pilastro Acciaio 7	13 174	33 035	518	13,37	0,50	0,50	x-x	0,068	0,340	0,474	1,000	1,000	0,935	1,000	765
							γ-γ	0,033	0,490	0,473	1,000	1,000	0,932	1,000	311
Pilastro Acciaio 6	19 514	57 743	488	9,16	0,50	0,50	x-x	0,070	0,340	0,474	1,000	1,000	0,972	1,000	765
							γ-γ	0,034	0,490	0,473	1,000	1,000	0,976	1,000	311
Pilastro Acciaio 6	25 934	78 398	666	6,75	0,50	0,50	x-x	0,070	0,340	0,474	1,000	1,000	0,966	1,000	765
							γ-γ	0,033	0,490	0,473	1,000	1,000	0,933	1,000	311
Pilastro Acciaio 6	32 398	78 307	601	6,70	0,50	0,50	x-x	0,068	0,340	0,474	1,000	1,000	0,935	1,000	765
							γ-γ	0,033	0,490	0,473	1,000	1,000	0,928	1,000	311
Pilastro Acciaio 5	19 356	55 563	413	9,53	0,50	0,50	x-x	0,070	0,340	0,474	1,000	1,000	0,972	1,000	765
							γ-γ	0,034	0,490	0,473	1,000	1,000	0,964	1,000	311
Pilastro Acciaio 5	25 720	75 477	598	7,01	0,50	0,50	x-x	0,070	0,340	0,474	1,000	1,000	0,966	1,000	765
							γ-γ	0,034	0,490	0,473	1,000	1,000	0,967	1,000	311
Pilastro Acciaio 5	32 132	75 468	620	6,93	0,50	0,50	x-x	0,068	0,340	0,474	1,000	1,000	0,935	1,000	765
							γ-γ	0,033	0,490	0,473	1,000	1,000	0,928	1,000	311
Pilastro Acciaio 4	20 284	58 241	415	9,09	0,50	0,50	x-x	0,070	0,340	0,474	1,000	1,000	0,972	1,000	765
							γ-γ	0,034	0,490	0,473	1,000	1,000	0,965	1,000	311
Pilastro Acciaio 4	26 964	79 109	595	6,70	0,50	0,50	x-x	0,070	0,340	0,474	1,000	1,000	0,966	1,000	765
							γ-γ	0,034	0,490	0,473	1,000	1,000	0,965	1,000	311
Pilastro Acciaio 4	33 692	79 089	608	6,62	0,50	0,50	x-x	0,070	0,340	0,474	1,000	1,000	0,966	1,000	765
							γ-γ	0,034	0,490	0,473	1,000	1,000	0,965	1,000	311
Pilastro Acciaio 4	19 352	55 520	381	9,54	0,50	0,50	x-x	0,068	0,340	0,474	1,000	1,000	0,935	1,000	765
							γ-γ	0,033	0,490	0,473	1,000	1,000	0,929	1,000	311
Pilastro Acciaio 3	25 718	75 418	542	7,03	0,50	0,50	x-x	0,070	0,340	0,474	1,000	1,000	0,972	1,000	765
							γ-γ	0,034	0,490	0,473	1,000	1,000	0,965	1,000	311
Pilastro Acciaio 3	32 130	75 409	546	6,95	0,50	0,50	x-x	0,070	0,340	0,474	1,000	1,000	0,966	1,000	765
							γ-γ	0,034	0,490	0,473	1,000	1,000	0,962	1,000	311
Pilastro Acciaio 3	19 514	57 869	334	9,19	0,50	0,50	x-x	0,068	0,340	0,474	1,000	1,000	0,935	1,000	765
							γ-γ	0,033	0,490	0,473	1,000	1,000	0,924	1,000	311
Pilastro Acciaio 2	25 930	78 564	514	6,77	0,50	0,50	x-x	0,070	0,340	0,474	1,000	1,000	0,972	1,000	765
							γ-γ	0,034	0,490	0,473	1,000	1,000	0,952	1,000	311
Pilastro Acciaio 2	32 396	78 469	605	6,69	0,50	0,50	x-x	0,070	0,340	0,474	1,000	1,000	0,966	1,000	765
							γ-γ	0,035	0,490	0,473	1,000	1,000	0,998	1,000	311
Pilastro Acciaio 2	15 754	42 594	805	12,09	0,50	0,50	x-x	0,068	0,340	0,474	1,000	1,000	0,935	1,000	765
							γ-γ	0,034	0,490	0,473	1,000	1,000	0,971	1,000	311
Pilastro Acciaio 1	20 908	57 882	650	9,06	0,50	0,50	x-x	0,070	0,340	0,474	1,000	1,000	0,972	1,000	765
							γ-γ	0,032	0,490	0,473	1,000	1,000	0,890	1,000	311
Pilastro Acciaio 1	26 102	57 920	706	8,93	0,50	0,50	x-x	0,070	0,340	0,474	1,000	1,000	0,966	1,000	765
							γ-γ	0,027	0,490	0,473	1,000	1,000	0,771	1,000	311
Pilastro Acciaio 1	8 070	14 014	220	30,85	0,50	0,50	x-x	0,059	0,340	0,473	1,000	1,000	0,866	1,000	765
							γ-γ	0,029	0,490	0,471	1,000	1,000	0,877	1,000	311
Pilastro Acciaio 1	10 626	22 904	527	22,05	0,50	0,50	x-x	0,065	0,340	0,474	1,000	1,000	0,895	1,000	765
							γ-γ	0,032	0,490	0,473	1,000	1,000	0,907	1,000	311
Pilastro Acciaio 1	5 520	6 796	172	71,02	0,50	0,50	x-x	0,060	0,340	0,474	1,000	1,000	0,823	1,000	765
							γ-γ	0,029	0,490	0,473	1,000	1,000	0,825	1,000	311
Pilastro Acciaio 2	13 128	31 137	163	16,92	0,50	0,50	x-x	0,065	0,340	0,474	1,000	1,000	0,895	1,000	765
							γ-γ	0,032	0,490	0,473	1,000	1,000	0,888	1,000	311
Pilastro Acciaio 2	6 768	9 242	44	54,94	0,50	0,50	x-x	0,060	0,340	0,474	1,000	1,000	0,823	1,000	765
							γ-γ	0,029	0,490	0,473	1,000	1,000	0,811	1,000	311
Pilastro Acciaio 3	13 022	29 862	196	17,56	0,50	0,50	x-x	0,065	0,340	0,474	1,000	1,000	0,895	1,000	765
							γ-γ	0,032	0,490	0,473	1,000	1,000	0,891	1,000	311
Pilastro Acciaio 3	6 714	8 862	55	56,95	0,50	0,50	x-x	0,060	0,340	0,474	1,000	1,000	0,823	1,000	765
							γ-γ	0,029	0,490	0,473	1,000	1,000	0,823	1,000	311
Pilastro Acciaio 4	13 644	31 329	210	16,74	0,50	0,50	x-x	0,065	0,340	0,474	1,000	1,000	0,895	1,000	765
							γ-γ	0,032	0,490	0,473	1,000	1,000	0,889	1,000	311
Pilastro Acciaio 4	7 026	9 297	59	54,29	0,50	0,50	x-x	0,060	0,340	0,474	1,000	1,000	0,823	1,000	765
							γ-γ	0,029	0,490	0,473	1,000	1,000	0,820	1,000	311
Pilastro Acciaio 5	13 022	29 884	207	17,54	0,50	0,50	x-x	0,065	0,340	0,474	1,000	1,000	0,895	1,000	765
							γ-γ	0,032	0,490	0,473	1,000	1,000	0,888	1,000	311
Pilastro Acciaio 5	6 716	8 868	57	56,89	0,50	0,50	x-x	0,060	0,340	0,474	1,000	1,000	0,823	1,000	765
							γ-γ	0,029	0,490	0,473	1,000	1,000	0,821	1,000	311
Pilastro Acciaio 6	13 128	31 069	255	16,85	0,50	0,50	x-x	0,065	0,340	0,474	1,000	1,000	0,895	1,000	765
							γ-γ	0,032	0,490	0,473	1,000	1,000	0,892	1,000	311
Pilastro Acciaio 6	6 768	9 222	74	54,68	0,50	0,50	x-x	0,060	0,340	0,474	1,000	1,000	0,823	1,000	765
							γ-γ	0,030	0,490	0,473	1,000	1,000	0,826	1,000	311
Pilastro Acciaio 7	10 618	23 124	211	22,49	0,50	0,50	x-x	0,065	0,340	0,474	1,000	1,000	0,895	1,000	765
							γ-γ	0,033	0,490	0,473	1,000	1,000	0,935	1,000	311
Pilastro Acciaio 7	5 514	6 861	84	72,27	0,50	0,50	x-x	0,060	0,340	0,474	1,000	1,000	0,823	1,000	765
							γ-γ	0,030	0,490	0,473	1,000	1,000	0,827	1,000	311

Pilastri (AC) - Verifiche instabilità a pressoflessione deviata

Pilastro	$N_{eq,Ed}$	$M_{eq,Ed,3}$	$M_{eq,Ed,2}$	CS	L_N	L_{Cr}	Dir	λ_{LT}	α	ϕ	χ	β	k_c	χ_{LT}	N_{Cr}	
	[N]	[N-m]	[N-m]		[m]	[m]										[N]
Pilastro Acciaio 2	9 946	19 054	70	23,42	0,50	0,50	x-x	0,059	0,340	0,473	1,000	1,000	0,866	1,000	765	956
							y-y	0,029	0,490	0,471	1,000	1,000	0,867	1,000	311	
Pilastro Acciaio 2	3 586	2 624	9	NS	0,50	0,50	x-x	0,050	0,340	0,473	1,000	1,000	0,752	1,000	781	508
							y-y	0,024	0,490	0,470	1,000	1,000	0,752	1,000	326	
Pilastro Acciaio 3	9 868	18 272	42	24,44	0,50	0,50	x-x	0,059	0,340	0,473	1,000	1,000	0,866	1,000	765	956
							y-y	0,029	0,490	0,471	1,000	1,000	0,875	1,000	311	
Pilastro Acciaio 3	3 564	2 516	6	NS	0,50	0,50	x-x	0,050	0,340	0,473	1,000	1,000	0,752	1,000	781	508
							y-y	0,024	0,490	0,470	1,000	1,000	0,752	1,000	326	
Pilastro Acciaio 4	10 330	19 169	43	23,30	0,50	0,50	x-x	0,059	0,340	0,473	1,000	1,000	0,866	1,000	765	956
							y-y	0,029	0,490	0,471	1,000	1,000	0,880	1,000	311	
Pilastro Acciaio 4	3 718	2 640	6	NS	0,50	0,50	x-x	0,050	0,340	0,473	1,000	1,000	0,752	1,000	781	508
							y-y	0,024	0,490	0,470	1,000	1,000	0,752	1,000	326	
Pilastro Acciaio 5	9 868	18 284	37	24,44	0,50	0,50	x-x	0,059	0,340	0,473	1,000	1,000	0,866	1,000	765	956
							y-y	0,029	0,490	0,471	1,000	1,000	0,872	1,000	311	
Pilastro Acciaio 5	3 564	2 518	6	NS	0,50	0,50	x-x	0,050	0,340	0,473	1,000	1,000	0,752	1,000	781	508
							y-y	0,024	0,490	0,470	1,000	1,000	0,752	1,000	326	
Pilastro Acciaio 6	9 946	19 012	12	23,62	0,50	0,50	x-x	0,059	0,340	0,473	1,000	1,000	0,866	1,000	765	956
							y-y	0,030	0,490	0,471	1,000	1,000	0,914	1,000	311	
Pilastro Acciaio 6	3 586	2 619	3	NS	0,50	0,50	x-x	0,050	0,340	0,473	1,000	1,000	0,752	1,000	781	508
							y-y	0,024	0,490	0,470	1,000	1,000	0,752	1,000	326	
Pilastro Acciaio 7	8 064	14 146	278	30,33	0,50	0,50	x-x	0,059	0,340	0,473	1,000	1,000	0,866	1,000	765	956
							y-y	0,029	0,490	0,471	1,000	1,000	0,877	1,000	311	
Pilastro Acciaio 7	2 960	1 948	42	NS	0,50	0,50	x-x	0,050	0,340	0,473	1,000	1,000	0,752	1,000	781	508
							y-y	0,024	0,490	0,470	1,000	1,000	0,752	1,000	326	
Pilastro Acciaio 1	2 964	1 930	16	NS	0,50	0,50	x-x	0,050	0,340	0,473	1,000	1,000	0,752	1,000	781	508
							y-y	0,024	0,490	0,470	1,000	1,000	0,752	1,000	326	

LEGENDA:

- Pilastro** Identificativo del pilastro. L'eventuale lettera tra parentesi distingue i diversi tratti della pilastriata al livello considerato.
- $N_{eq,Ed}$** Sforzo Normale equivalente di progetto.
- $M_{eq,Ed,3}$** Momento equivalente di progetto intorno a 3.
- $M_{eq,Ed,2}$** Momento equivalente di progetto intorno a 2.
- CS** Coefficiente di sicurezza ([NS] = Non Significativo se $CS \geq 100$; [VNR]= Verifica Non Richiesta; Informazioni aggiuntive sulla condizione: [V] = statica; [E] = eccezionale; [S] = sismica; [N] = sismica non lineare).
- L_N** Luce netta.
- L_{Cr}** Lunghezza di libera inflessione laterale, misurata tra due ritegni torsionali successivi.
- λ_{LT}** Coefficiente di snellezza normalizzata (per il calcolo di Φ_{LT}).
- α** Fattore di imperfezione.
- ϕ** Coefficiente ϕ (per il calcolo di χ).
- χ** Coefficiente di riduzione per instabilità a compressione
- β** Coefficiente di riduzione della luce libera di inflessione.
- k_c** Coefficiente per il calcolo di χ_{LT}
- χ_{LT}** Coefficiente di riduzione ai fini dell'instabilità flessorotazionale.
- N_{Cr}** Sforzo Normale Critico Euleriano.

PIANI - VERIFICHE REGOLARITÀ (Elevazione)

REGOLARITÀ DELLA STRUTTURA IN PIANTA

a)	la configurazione in pianta è compatta ossia la distribuzione di masse e rigidezze è approssimativamente simmetrica rispetto a due direzioni ortogonali e il contorno di ogni orizzontamento è convesso; il requisito può ritenersi soddisfatto, anche in presenza di rientranze in pianta, quando esse non influenzano significativamente la rigidezza nel piano dell'orizzontamento e, per ogni rientranza, l'area compresa tra il perimetro dell'orizzontamento e la linea convessa circoscritta all'orizzontamento non supera il 5% dell'area dell'orizzontamento;	SI
b)	il rapporto tra i lati del rettangolo circoscritto alla pianta di ogni orizzontamento è inferiore a 4;	NO
c)	ciascun orizzontamento ha una rigidezza nel proprio piano tanto maggiore della corrispondente rigidezza degli elementi strutturali verticali da potersi assumere che la sua deformazione in pianta influenzi in modo trascurabile la distribuzione delle azioni sismiche tra questi ultimi e ha resistenza sufficiente a garantire l'efficacia di tale distribuzione;	NO

La struttura non è regolare in pianta.

REGOLARITÀ DELLA STRUTTURA IN ALTEZZA

d)	tutti i sistemi resistenti alle azioni orizzontali si estendono per tutta l'altezza della costruzione o, se sono presenti parti aventi differenti altezze, fino alla sommità della rispettiva parte dell'edificio;	SI
e)	massa e rigidezza rimangono costanti o variano gradualmente, senza bruschi cambiamenti, dalla base alla sommità della costruzione (le variazioni di massa da un orizzontamento all'altro non superano il 25%, la rigidezza non si riduce da un orizzontamento a quello sovrastante più del 30% e non aumenta più del 10%); ai fini della rigidezza si possono considerare regolari in altezza strutture dotate di pareti o nuclei in c.a. o di pareti e nuclei in muratura di sezione costante sull'altezza o di telai controventati in acciaio, ai quali sia affidato almeno il 50% dell'azione sismica alla base;	NO
f)	nelle strutture intelaiate, il rapporto tra la capacità e la domanda allo SLV non è significativamente diverso, in termini di resistenza, per orizzontamenti diversi (tale rapporto, calcolato per un generico orizzontamento, non deve differire più del 30% dall'analogo rapporto calcolato per l'orizzontamento adiacente); può fare eccezione l'ultimo orizzontamento di strutture intelaiate di almeno tre orizzontamenti;	NO
g)	eventuali restringimenti della sezione orizzontale della costruzione avvengano con continuità da un orizzontamento al successivo; oppure avvengano in modo che il rientro di un orizzontamento non superi il 10% della dimensione corrispondente all'orizzontamento immediatamente sottostante, né il 30% della dimensione corrispondente al primo orizzontamento. Fa eccezione l'ultimo orizzontamento di costruzioni di almeno quattro orizzontamenti, per il quale non sono previste limitazioni di restringimento;	NO

La struttura è regolare in altezza.

Piani - Verifiche Regolarità

Id_piano	Q_{Lv}	H_{Lv}	Rd_{Tmp}	Ir_{Tmp}	M_{SLU}	K_{SLU}		R_{eff}		R_{ric}	
						X	Y	X	Y	X	Y
	[m]	[m]			[N-s/m]	[N/cm]	[N/cm]	[N]	[N]	[N]	[N]
Piano Terra	0,00	2,35	NO	NO	7 441	63 547	217 068	1 252 132	2 865 331	41 395	21 626

LEGENDA:

- Id_piano** Identificativo del livello o piano.
- Q_{Lv}** Quota del livello o piano.
- H_{Lv}** Altezza del livello o piano.

Rd_{tmp}	Per i piani con riduzione dei tamponamenti, sono state incrementate le azioni di calcolo per gli elementi verticali (pilastri e pareti) di un fattore 1,4: [SI] = Piano con riduzione dei tamponamenti - [NO] = Piano senza riduzione dei tamponamenti.
Ir_{tmp}	Per piani con distribuzione dei tamponamenti in pianta fortemente irregolare, l'eccentricità accidentale è stata incrementata di un fattore pari a 2: [SI] = Distribuzione tamponamenti irregolare fortemente - [NO] = Distribuzione tamponamenti regolare.
M_{SLU}	Massa eccitabile della struttura allo S.L. Ultimo, nelle direzioni X, Y, Z.
K_{SLU}	Valori delle Rigidezze di Piano, valutate allo SLU, riferite agli assi X ed Y del riferimento globale.
R_{eff}	Valori delle Resistenze Effettive di Piano, valutate allo SLU, relative al sistema di riferimento globale X, Y, Z.
R_{ric}	Valori delle Resistenze Richieste di Piano, valutate allo SLU, relative al sistema di riferimento globale X, Y, Z.
(*)	Vedi tabelle "Livelli o Piani" o "Solai e Balconi".

EFFETTI DELLE NON LINEARITÀ GEOMETRICHE PER SISMA (Elevazione)

Effetti delle non linearità geometriche per sisma

Id_{Piano}	Q_{Lv}	H_{Lv}	δ_{d,x}	δ_{d,y}	P_{θ,x}	P_{θ,y}	T_{θ,x}	T_{θ,y}	θ_x	θ_y
	[m]	[m]	[cm]	[cm]	[N]	[N]	[N]	[N]	[rad]	[rad]
Piano Terra	0,00	2,35	1,5318	0,4532	458 037	458 037	97 341	98 366	3,0672 E-02	8,9792 E-03

LEGENDA:

Id_{Piano}	Identificativo del livello o piano.
H_{Lv}	Altezza del livello o piano.
δ_{d,x}, δ_{d,y}	Componenti dello spostamento differenziale rispetto al piano inferiore.
P_{θ,x}, P_{θ,z}	Valori del carico verticale del piano utilizzato per il calcolo di "θ".
T_{θ,x}, T_{θ,y}	Valori del tagliante di piano utilizzati per il calcolo di "θ".
θ_x, θ_y	Coefficienti "θ" del piano.
Nota	Le forze sismiche orizzontali agenti sui piani caratterizzati da valori di θ compresi tra 0,1 e 0,2, sono state incrementate del fattore "1/(1-θ)", per portare in conto gli effetti del secondo ordine.

PIANI - VERIFICHE AGLI SPOSTAMENTI

Piani - Verifiche

Id_{Piano}	Q_{Lv}	H_{Lv}	δ_{d,x}	δ_{d,y}	C_{lg Tmp}	δ_{lim}	δ_{lim} - δ_{d,x}	δ_{lim} - δ_{d,y}	Note
	[m]	[m]	[cm]	[cm]		[cm]	[cm]	[cm]	
Piano Terra	0,00	2,35	0,5574	0,1010	RF	1,1750	0,6176	1,0740	Verificato

LEGENDA:

Id_{Piano}	Identificativo del livello o piano.
Q_{Lv}	Quota del livello o piano.
H_{Lv}	Altezza del livello o piano.
C_{lg Tmp}	Tipo di collegamento delle tamponature alla struttura: [R] = Rigido - [E] = Elastico - [RF] = Rigidamente fragili - [RD] = Rigidamente Duttile.
δ_{lim}	Valore limite dello spostamento differenziale indicato dalla normativa.
δ_{d,x}, δ_{d,y}	Componenti dello spostamento differenziale rispetto al piano inferiore.

PIANI - VERIFICHE ALLO SLE (Elevazione)

Piani - Verifiche allo SLE

Id_{Piano}	Q_{Lv}	H_{Lv}	δ_{amm,SLE}	δ_{d,SLE}		Δδ_{SLE}		Note
				X	Y	X	Y	
	[m]	[m]	[cm]	[cm]	[cm]	[cm]	[cm]	
Piano Terra	0,00	2,35	0,7833	0,8897	0,0377	-0,1064	0,7457	Verificato

LEGENDA:

Id_{Piano}	Identificativo del livello o piano.
Q_{Lv}	Quota del livello o piano.
H_{Lv}	Altezza del livello o piano.
δ_{amm,SLE}	Spostamento Differenziale ammissibile.
δ_{d,SLE}	Spostamento Differenziale.
Δδ_{SLE}	Differenza fra spostamento limite e quello di calcolo nelle direzioni X e Y.

TRAVI (CA) - VERIFICHE PRESSOFLESSIONE RETTA ALLO SLU (Fondazione)

Travi (CA) - Verifiche pressoflessione retta allo SLU

Id_{Tr}	%L_{Li}	N_{Ed,s}	M_{Ed,3,s}	N_{Ed,i}	M_{Ed,3,i}	A_{s,s}	A_{s,i}	CS_s	(X/d)_s	CS_i	(X/d)_i	R_f	
													[N]
Piano Terra													
Travata: Trave 1a-139a													
Trave 1a-139a	0%	-	-	-	-	3,39	3,39	-	VNR	-	VNR	NO	
	12,5%	-	-	-	-	3 204	3,39	-	VNR	18.11[V]	0,10	NO	
	25,0%	-	-	-	-	2 746	3,39	-	VNR	21.13[V]	0,10	NO	
	37,5%	-	550	-	-	-	3,39	3,39	NS	0,10	-	VNR	NO
	50,0%	-	7 363	-	-	-	3,39	3,39	7.88[V]	0,10	-	VNR	NO
	62,5%	-	-	-	-	166	3,39	3,39	-	VNR	NS	0,10	NO
	75,0%	-	-	-	-	2 948	3,39	3,39	-	VNR	19.68[V]	0,10	NO
	87,5%	-	-	-	-	3 071	3,39	3,39	-	VNR	18.90[V]	0,10	NO
100%	-	-	-	-	1	3,39	3,39	-	VNR	NS	0,10	NO	

LEGENDA:

Id_{Tr}	Identificativo della trave. L'eventuale lettera tra parentesi distingue i diversi tratti della travata al livello considerato.
%L_{Li}	Posizione della sezione per la quale vengono forniti i valori di verifica, valutata come % della lunghezza libera d'inflessione (L _{Li}), a partire dall'estremo iniziale.
N_{Ed,s}, M_{Ed,3,s}	Sollecitazioni di progetto per armatura superiore.
N_{Ed,i}, M_{Ed,3,i}	Sollecitazioni di progetto per armatura inferiore.
A_{s,s}, A_{s,i}	Armatura a flessione superiore e inferiore.
(X/d)_s	Indice di duttilità superiore (VNR = Verifica non richiesta).
(X/d)_i	Indice di duttilità inferiore (VNR = Verifica non richiesta).
CS_s, CS_i	Coefficiente di sicurezza relativo alle sollecitazioni che tendono le fibre superiori e inferiori ([NS] = Non Significativo se CS ≥ 100; [VNR]= Verifica Non Richiesta; Informazioni aggiuntive sulla condizione: [V] = statica; [E] = eccezionale; [S] = sismica; [N] = sismica non lineare).
R_f	[SI] = elemento con presenza di rinforzo; [NO] = elemento senza rinforzo.

TRAVI (CA) - VERIFICHE A TAGLIO PER PRESSOFLESSIONE RETTA ALLO SLU (Fondazione)

Travi (CA) - Verifiche a taglio per pressoflessione retta allo SLU

Id _{Tr}	%L _{LI}	+/-	V _{Ed,2}	CS	V _{Rcd}	V _{Rsd,s}	N _{Ed}	V _{Rsd,p}	V _{R1}	V _{Rd,f}	Ctg _⊙	A _{sw}	A _{sw,p}	A _{s,Dg}	R _f
Piano Terra															
Travata: Trave 1a-139a															
Trave 1a-139a	0%	+	-	-	296 237	443 534	0	0	0	0	2,50	0,11170	0,0000	0,0000	NO
		-	-	-	296 237	443 534	0	0	0	0	2,50	0,11170	0,0000	0,0000	NO
	12,5%	+	-	-	296 237	181 446	0	0	0	0	2,50	0,04570	0,0000	0,0000	NO
		-	-458	NS	296 237	181 446	0	0	0	0	2,50	0,04570	0,0000	0,0000	NO
	25,0%	+	1 326	NS	296 237	181 446	0	0	0	0	2,50	0,04570	0,0000	0,0000	NO
		-	-	-	296 237	181 446	0	0	0	0	2,50	0,04570	0,0000	0,0000	NO
	37,5%	+	4 391	41,32	296 237	181 446	0	0	0	0	2,50	0,04570	0,0000	0,0000	NO
		-	-	-	296 237	181 446	0	0	0	0	2,50	0,04570	0,0000	0,0000	NO
	50,0%	+	-	-	296 237	181 446	0	0	0	0	2,50	0,04570	0,0000	0,0000	NO
		-	-8 784	20,66	296 237	181 446	0	0	0	0	2,50	0,04570	0,0000	0,0000	NO
62,5%	+	-	-	296 237	181 446	0	0	0	0	2,50	0,04570	0,0000	0,0000	NO	
	-	-3 838	47,28	296 237	181 446	0	0	0	0	2,50	0,04570	0,0000	0,0000	NO	
75,0%	+	-	-	296 237	181 446	0	0	0	0	2,50	0,04570	0,0000	0,0000	NO	
	-	-1 010	NS	296 237	181 446	0	0	0	0	2,50	0,04570	0,0000	0,0000	NO	
87,5%	+	712	NS	296 237	181 446	0	0	0	0	2,50	0,04570	0,0000	0,0000	NO	
	-	-	-	296 237	181 446	0	0	0	0	2,50	0,04570	0,0000	0,0000	NO	
100%	+	26	NS	296 237	443 534	0	0	0	0	2,50	0,11170	0,0000	0,0000	NO	
	-	-	-	296 237	443 534	0	0	0	0	2,50	0,11170	0,0000	0,0000	NO	

LEGENDA:

- Id_{Tr}** Identificativo della trave. L'eventuale lettera tra parentesi distingue i diversi tratti della travata al livello considerato.
- %L_{LI}** Posizione della sezione per la quale vengono forniti i valori di verifica, valutata come % della lunghezza libera d'inflessione (L_{LI}), a partire dall'estremo iniziale.
- +/-** [+] = sollecitazione massima; [-] = sollecitazione minima.
- V_{Ed,2}** Taglio di progetto in direzione 2.
- CS** Coefficiente di sicurezza ([NS] = Non Significativo se CS ≥ 100; [VNR]= Verifica Non Richiesta; Informazioni aggiuntive sulla condizione: [V] = statica; [E] = eccezionale; [S] = sismica; [N] = sismica non lineare).
- V_{Rcd}** Resistenza a taglio compressione del calcestruzzo.
- V_{Rsd,s}** Resistenza a taglio trazione delle staffe.
- N_{Ed}** Sforzo Normale medio nella sezione di verifica.
- V_{Rsd,p}** Resistenza a taglio trazione dei ferri piegati.
- V_{R1}** Resistenza a taglio in assenza di armatura incrociata.
- V_{Rd,f}** Resistenza a taglio dovuta al rinforzo FRP.
- Ctg_⊙** Cotangente dell'angolo ⊙ utilizzata nella verifica.
- A_{sw}** Area delle staffe per unità di lunghezza.
- A_{sw,p}** Area dei ferri piegati.
- A_{s,Dg}** Area di ferri incrociati nelle zone critiche.
- R_f** [SI] = elemento con presenza di rinforzo; [NO] = elemento senza rinforzo.

TRAVI (CA) - VERIFICHE A TORSIONE ALLO SLU (Fondazione)

Id _{Tr}	%L _{LI}	T _{Ed}	CS	T _{Rcd}	T _{Rsd}	T _{Rld}	Ctg _⊙	u _m	A	t	A _{sw}	A _{s,l}	A _{f,t}	R _f
Piano Terra														
Travata: Trave 1a-139a														
Trave 1a-139a	0%	0	-	-	-	-	-	-	-	-	-	-	-	NO
	25,0%	0	-	-	-	-	-	-	-	-	-	-	-	NO
	50,0%	0	-	-	-	-	-	-	-	-	-	-	-	NO
	75,0%	0	-	-	-	-	-	-	-	-	-	-	-	NO
	100%	0	-	-	-	-	-	-	-	-	-	-	-	NO

LEGENDA:

- Id_{Tr}** Identificativo della trave. L'eventuale lettera tra parentesi distingue i diversi tratti della travata al livello considerato.
- %L_{LI}** Posizione della sezione per la quale vengono forniti i valori di verifica, valutata come % della lunghezza libera d'inflessione (L_{LI}), a partire dall'estremo iniziale.
- T_{Ed}** Momento torcente di progetto.
- CS** Coefficiente di sicurezza ([NS] = Non Significativo se CS ≥ 100; [VNR]= Verifica Non Richiesta; Informazioni aggiuntive sulla condizione: [V] = statica; [E] = eccezionale; [S] = sismica; [N] = sismica non lineare).
- T_{Rcd}** Momento resistente del calcestruzzo.
- T_{Rsd}** Momento resistente delle staffe.
- T_{Rld}** Momento resistente dell'armatura longitudinale.
- Ctg_⊙** Cotangente dell'angolo ⊙ utilizzata nella verifica.
- u_m** Perimetro medio del nucleo resistente.
- A** Area racchiusa dalla fibra media del profilo periferico (u_m).
- t** Spessore della sezione cava.
- A_{sw}** Area delle staffe strettamente necessaria per la torsione.
- A_{s,l}** Area barre longitudinali di parete esecutive.
- A_{f,t}** Area di ferri a flessione strettamente necessaria per torsione.
- R_f** [SI] = elemento con presenza di rinforzo; [NO] = elemento senza rinforzo.

TRAVI (CA) - VERIFICA COMPOSTA TAGLIO/TORSIONE ALLO SLU (Fondazione)

Id _{Tr}	%L _{LI}	T _{Ed}	+/-	V _{Ed,2}	V _{Rcd}	T _{Rcd}	Ctg _⊙	CS _{v,T}
Piano Terra								
Travata: Trave 1a-139a								
Trave 1a-139a	0%	0	+	0	296 237	-	-	VNR
			-	0	296 237	-	-	VNR
	12,5%	0	+	0	296 237	-	-	VNR
			-	-458	296 237	-	-	VNR
	25,0%	0	+	1 326	296 237	-	-	VNR
			-	0	296 237	-	-	VNR
37,5%	0	+	4 391	296 237	-	-	VNR	
		-	0	296 237	-	-	VNR	
50,0%	0	+	0	296 237	-	-	VNR	
		-	-8 784	296 237	-	-	VNR	

Travi (CA) - Verifica composta taglio e torsione SLU

Id _{Tr}	%L _{L1}	T _{Ed}	+/-	V _{Ed,2}	V _{Rcd}	T _{Rcd}	Ctg θ	CS _{v,T}
	[%]	[N-m]		[N]	[N]	[N-m]		
	62,5%	0	+ -	0 -3 838	296 237 296 237	- -	- -	VNR VNR
	75,0%	0	+ -	0 -1 010	296 237 296 237	- -	- -	VNR VNR
	87,5%	0	+ -	712 0	296 237 296 237	- -	- -	VNR VNR
	100%	0	+ -	26 0	296 237 296 237	- -	- -	VNR VNR

LEGENDA:

- Id_{Tr}** Identificativo della trave. L'eventuale lettera tra parentesi distingue i diversi tratti della travata al livello considerato.
- %L_{L1}** Posizione della sezione per la quale vengono forniti i valori di verifica, valutata come % della lunghezza libera d'inflessione (L_{L1}), a partire dall'estremo iniziale.
- T_{Ed}** Momento torcente di progetto.
- +/-** [+] = sollecitazione massima; [-] = sollecitazione minima.
- V_{Ed,2}** Taglio di progetto in direzione 2.
- V_{Rcd}** Resistenza a taglio compressione del calcestruzzo.
- T_{Rcd}** Momento resistente del calcestruzzo.
- Ctg θ** Cotangente dell'angolo θ utilizzata nella verifica.
- CS_{v,T}** Coefficiente di sicurezza per taglio e torsione ([NS] = Non Significativo per valori di CS \geq 100; [VNR]= Verifica Non Richiesta).

Travi - VERIFICHE DELLE TENSIONI DI ESERCIZIO (Fondazione)

%L _{L1}	TP _{rnf}	Compressione calcestruzzo								Trazione acciaio							
		Compressione calcestruzzo rinforzo								Trazione acciaio/FRP rinforzo							
		Id _{Cmb}	σ_{cc}	$\sigma_{cd,amm}$	N _{Ed}	M _{Ed,3}	M _{Ed,2}	CS	Verificato	Id _{Cmb}	σ_{at}	$\sigma_{td,amm}$	N _{Ed}	M _{Ed,3}	M _{Ed,2}	CS	Verificato
[%]	[N/mm ²]	[N/mm ²]	[N]	[N-m]	[N-m]				[N/mm ²]	[N/mm ²]	[N]	[N-m]	[N-m]				
Piano Terra																	
Trave: Trave 1a-139a									Travata: Trave 1a-139a								
0%		RAR	0,000	14,94	-	-	-	SI	RAR	0,000	360,00	-	-	-	-	SI	
		QPR	0,000	11,21	-	-	-	SI									
25,0%		RAR	0,149	14,94	-	-2 112	-	NS	RAR	1,801	360,00	-	-2 112	-	NS	SI	
		QPR	0,149	11,21	-	-2 112	-	SI									
50,0%		RAR	0,400	14,94	-	5 664	-	SI	RAR	4,829	360,00	-	5 664	-	74.54	SI	
		QPR	0,400	11,21	-	5 664	-	SI									
75,0%		RAR	0,160	14,94	-	-2 268	-	SI	RAR	1,934	360,00	-	-2 268	-	NS	SI	
		QPR	0,160	11,21	-	-2 268	-	SI									
100%		RAR	0,000	14,94	-	-1	-	NS	RAR	0,001	360,00	-	-1	-	NS	SI	
		QPR	0,000	11,21	-	-1	-	SI									

LEGENDA:

- %L_{L1}** Posizione della sezione per la quale vengono forniti i valori di verifica, valutata come % della lunghezza libera d'inflessione (L_{L1}), a partire dall'estremo iniziale.
- Rinf.** Indica la presenza del rinforzo sulla sezione di verifica.
- FRC** Spostamento massimo (freccia) dell'elemento, valutata in combinazione Caratteristica (RARA).
- Id_{Cmb}** Identificativo della Combinazione di Azione: [QPR] = Quasi Permanente - [FRQ] = Frequente - [RAR] = Rara.
- σ_{cc}** Tensione massima di compressione nel calcestruzzo.
- $\sigma_{cd,amm}$** Tensione ammissibile per la verifica a compressione del calcestruzzo.
- N_{Ed}, M_{Ed,3}, M_{Ed,2}** Sollecitazioni di progetto.
- σ_{at}** Tensione massima di trazione nell'acciaio della Trave/Rinforzo o nel FRP.
- $\sigma_{td,amm}$** Tensione ammissibile per la verifica a trazione dell'acciaio/rinforzo.
- CS** Coefficiente di Sicurezza (= $\sigma_{cc} \leq \sigma_{cd,amm} / \sigma_{cc}$; $\sigma_{td,amm} / \sigma_{at}$). [NS] = Non Significativo (CS \geq 100).
- Verificato** [SI] = La verifica è soddisfatta ($\sigma_{cc} \leq \sigma_{cd,amm}$; $\sigma_{at} \leq \sigma_{td,amm}$). [NO] = La verifica NON è soddisfatta ($\sigma_{cc} > \sigma_{cd,amm}$; $\sigma_{at} > \sigma_{td,amm}$).

Travi - VERIFICA ALLO STATO LIMITE DI FESSURAZIONE (Fondazione)

%L _{L1}	Id _{Cmb}	N _{Ed}	M _{Ed,3}	M _{Ed,2}	$\sigma_{ct,f}$	σ_t	ϵ_{sm}	Travi - verifica allo stato limite di fessurazione								
								A _e	Δ_{sm}	W _d	W _{amm}	CS	Verificato			
								[cm ²]	[mm]	[mm]	[mm]					
Piano Terra																
Trave: Trave 1a-139a									Travata: Trave 1a-139a							
AA= PCA																
0%		FRQ	-	-	0,00	2,13	0 E+00	0	0	0,000	0,400	-	SI			
		QPR	-	-	0,00	2,13	0 E+00	0	0	0,000	0,300	-	SI			
12,5%		FRQ	-	-2 465	0,17	2,13	0 E+00	0	0	0,000	0,400	-	SI			
		QPR	-	-2 465	0,17	2,13	0 E+00	0	0	0,000	0,300	-	SI			
25,0%		FRQ	-	-2 112	0,15	2,13	0 E+00	0	0	0,000	0,400	-	SI			
		QPR	-	-2 112	0,15	2,13	0 E+00	0	0	0,000	0,300	-	SI			
37,5%		FRQ	-	423	0,03	2,13	0 E+00	0	0	0,000	0,400	-	SI			
		QPR	-	423	0,03	2,13	0 E+00	0	0	0,000	0,300	-	SI			
50,0%		FRQ	-	5 664	0,40	2,13	0 E+00	0	0	0,000	0,400	-	SI			
		QPR	-	5 664	0,40	2,13	0 E+00	0	0	0,000	0,300	-	SI			
62,5%		FRQ	-	-128	0,01	2,13	0 E+00	0	0	0,000	0,400	-	SI			
		QPR	-	-128	0,01	2,13	0 E+00	0	0	0,000	0,300	-	SI			
75,0%		FRQ	-	-2 268	0,16	2,13	0 E+00	0	0	0,000	0,400	-	SI			
		QPR	-	-2 268	0,16	2,13	0 E+00	0	0	0,000	0,300	-	SI			
87,5%		FRQ	-	-2 362	0,17	2,13	0 E+00	0	0	0,000	0,400	-	SI			
		QPR	-	-2 362	0,17	2,13	0 E+00	0	0	0,000	0,300	-	SI			
100%		FRQ	-	-1	0,00	2,13	0 E+00	0	0	0,000	0,400	-	SI			
		QPR	-	-1	0,00	2,13	0 E+00	0	0	0,000	0,300	-	SI			

LEGENDA:

- %L_{L1}** Posizione della sezione per la quale vengono forniti i valori di verifica, valutata come % della lunghezza libera d'inflessione (L_{L1}), a partire dall'estremo iniziale.
- FRC** Spostamento massimo (freccia) dell'elemento, valutata in combinazione Caratteristica (RARA).

Travi - verifica allo stato limite di fessurazione

%LLI	IdCmb	N _{Ed}	M _{Ed,3}	M _{Ed,2}	σ _{ct,f}	σ _t	ε _{sm}	A _e	Δ _{sm}	W _d	W _{amm}	CS	Verificato
[%]		[N]	[N-m]	[N-m]	[N/mm ²]	[N/mm ²]		[cm ²]	[mm]	[mm]	[mm]		
AA	Identificativo dell'aggressività dell'ambiente: [PCA] = "Ordinario"; [MDA] = "Aggressivo"; [MLA] = "Molto aggressivo".												
IdCmb	Identificativo della Combinazione di Azione: [QPR] = Quasi Permanente - [FRQ] = Frequente - [RAR] = Rara.												
N_{Ed}, M_{Ed,3}, M_{Ed,2}	Sollecitazioni di progetto.												
σ_{ct,f}	Tensione massima di trazione nel calcestruzzo per la fessurazione, calcolata nell'ipotesi di calcestruzzo resistente a trazione. Se tale valore è maggiore di σ _t la sezione è soggetta a fessurazione. N.B. I valori negativi indicano una sezione interamente compressa. In tal caso le sollecitazioni forniscono il minimo valore di compressione.												
σ_t	Tensione massima di trazione nel calcestruzzo relativa allo stato limite di formazione delle fessure [relazione (4.1.13) del § 4.1.2.2.4 del DM 2018].												
ε_{sm}	Deformazione unitaria media delle barre di armatura.												
A_e	Area efficace del calcestruzzo teso.												
Δ_{sm}	Distanza media tra le fessure.												
W_d	Valore di calcolo di apertura massima delle fessure.												
W_{amm}	Valore ammissibile di apertura delle fessure.												
CS	Coefficiente di Sicurezza (=W _d / W _{amm}). [NS] = Non Significativo (CS ≥ 100). [-] = Fessurazioni nulle (W _d = 0).												
Verificato	[SI] = W _d ≤ W _{amm} ; [NO] = W _d > W _{amm}												

PALI - VERIFICHE A PRESSOFLESSIONE DEVIATA ALLO SLU (Fondazione)

Pali - Verifiche a pressoflessione deviata allo SLU

Id _{PI}	Id _{Nd}	N _{Ed}	M _{Ed,X}	M _{Ed,Y}	CS	N _u	φ _s	n _s	φ _{As,st}
		[N]	[N-m]	[N-m]		[N]	[mm]		[mm]
PALO1	00218	42 466	771	0	53.71[V]	1 269 255	14	6	8
PALO2	00216	66 372	-34	0	19.12[V]	1 269 255	14	6	8
PALO3	00219	51 066	93	0	24.85[V]	1 269 255	14	6	8
PALO4	00220	66 382	-31	0	19.12[V]	1 269 255	14	6	8
PALO5	00221	66 387	-7	0	19.11[V]	1 269 255	14	6	8
PALO6	00222	66 355	-25	0	19.12[V]	1 269 255	14	6	8
PALO7	00223	41 874	-1 076	0	38.44[V]	1 269 255	14	6	8

LEGENDA:

- Id_{PI}** Identificativo del palo.
- Id_{Nd}** Identificativo del nodo in testa al palo.
- CS** Coefficiente di sicurezza ([NS] = Non Significativo se CS ≥ 100; [VNR]= Verifica Non Richiesta; Informazioni aggiuntive sulla condizione: [V] = statica; [E] = eccezionale; [S] = sismica; [N] = sismica non lineare).
- N_u** Sforzo Normale Ultimo per compressione semplice.
- φ_s** Diametro delle barre di acciaio.
- n_s** Numero delle barre di acciaio.
- φ_{As,st}** Diametro delle staffe.
- N_{Ed}** Sollecitazioni di progetto.
- M_{Ed,X}**
- M_{Ed,Y}**

PALI - VERIFICHE A TAGLIO (Fondazione)

Pali - Verifiche a Taglio

Id _{PI}	Id _{Nd}	V _{Ed}	CS	V _{Rcd}		V _{Rsd,s}		A _{sw}	S _{Asw}	φ _{As,st}
		[N]		X	Y	X	Y	[cm ² /cm]	[cm]	[mm]
PALO1	00218	19 402	10,11	196178	0	225298	0	0,09139	11	8
PALO2	00216	26 974	7,27	196178	0	225298	0	0,09139	11	8
PALO3	00219	26 960	7,28	196178	0	225298	0	0,09139	11	8
PALO4	00220	26 955	7,28	196178	0	225298	0	0,09139	11	8
PALO5	00221	26 959	7,28	196178	0	225298	0	0,09139	11	8
PALO6	00222	26 989	7,27	196178	0	225298	0	0,09139	11	8
PALO7	00223	19 473	10,07	196178	0	225298	0	0,09139	11	8

LEGENDA:

- Id_{PI}** Identificativo del palo.
- Id_{Nd}** Identificativo del nodo in testa al palo.
- V_{Ed}** Massima sollecitazione di taglio composta in funzione di V_{Ed,X}, V_{Ed,Y} e dell'asse neutro.
- CS** Coefficiente di sicurezza ([NS] = Non Significativo se CS ≥ 100; [VNR]= Verifica Non Richiesta; Informazioni aggiuntive sulla condizione: [V] = statica; [E] = eccezionale; [S] = sismica; [N] = sismica non lineare).
- V_{Rcd}** Resistenza a taglio compressione del calcestruzzo.
- V_{Rsd,s}** Resistenza a taglio trazione delle staffe.
- A_{sw}** Area delle staffe per unità di lunghezza.
- S_{Asw}** Passo massimo staffe da normativa.
- φ_{As,st}** Diametro delle staffe.

PALI - VERIFICHE A CARICO LIMITE VERTICALE E ORIZZONTALE ALLO SLU

Pali - Verifiche a carico limite verticale e orizzontale allo SLU

Id _{PI} /Pnt PI	Id _{Nd,sup}	Q _{Ed,V}	Q _{Ed,O}	Q _{Rd,V}	Q _{Rd,V,Pt}	Q _{Rd,V,Lt}	Q _{Rd,O}	M _{max,O}	T.R.	Z _{c,pls}	CS _v	CS _o
		[N]	[N]	[N]	[N]	[N]	[N]	[N-m]		[m]		
PALO1	00218	46 130	19 402	70 847	25 644	45 203	28 798	42277	Palo Lungo	2,09	1,54	1,48
PALO2	00216	70 036	26 974	70 847	25 644	45 203	28 798	42277	Palo Lungo	2,09	1,01	1,07
PALO3	00219	70 049	26 960	70 847	25 644	45 203	28 798	42277	Palo Lungo	2,09	1,01	1,07
PALO4	00220	70 046	26 955	70 847	25 644	45 203	28 798	42277	Palo Lungo	2,09	1,01	1,07
PALO5	00221	70 051	26 959	70 847	25 644	45 203	28 798	42277	Palo Lungo	2,09	1,01	1,07
PALO6	00222	70 019	26 989	70 847	25 644	45 203	28 798	42277	Palo Lungo	2,09	1,01	1,07
PALO7	00223	45 538	19 473	70 847	25 644	45 203	28 798	42277	Palo Lungo	2,09	1,56	1,48

LEGENDA:

- Id_{PI}/Pnt PI** Identificativo del palo o del plinto su pali.
- Id_{Nd,sup}** Identificativo del nodo all'estremo superiore del palo o della pilastrata cui il plinto è collegato.
- Q_{Ed,V}** Carico verticale di progetto.
- Q_{Ed,O}** Carico orizzontale di progetto.

Pali - Verifiche a carico limite verticale e orizzontale allo SLU

Id_{PI}/Pnt PI	Id_{Nd,sup}	Q_{Ed,V} [N]	Q_{Ed,O} [N]	Q_{Rd,V} [N]	Q_{Rd,V,Pt} [N]	Q_{Rd,V,Lt} [N]	Q_{Rd,O} [N]	M_{max,O} [N·m]	T.R.	Z_{c,pls} [m]	CS_v	CS_o
Q_{Rd,V}	Resistenza di progetto verticale.											
Q_{Rd,V,Pt}	Aliquota della resistenza di progetto verticale dovuto alla resistenza alla punta.											
Q_{Rd,V,Lt}	Aliquota della resistenza di progetto verticale dovuto alla resistenza laterale.											
Q_{Rd,O}	Resistenza di progetto orizzontale.											
M_{max,O}	Momento massimo lungo il palo per carichi orizzontali.											
T.R.	Modalità di rottura per carico limite orizzontale (Palo Corto, Palo Medio, Palo Lungo).											
Z_{c,pls}	Profondità della seconda cerniera plastica.											
CS_v	Coefficiente di sicurezza per azioni verticali ([NS] = Non Significativo per valori di CS >= 100; [VNR]= Verifica Non Richiesta).											
CS_o	Coefficiente di sicurezza per azioni orizzontali ([NS] = Non Significativo per valori di CS >= 100; [VNR]= Verifica Non Richiesta).											

PALI - VERIFICHE A CARICO LIMITE VERTICALE E ORIZZONTALE ALLO SLD

Pali - Verifiche a carico limite verticale e orizzontale allo SLD

Id_{PI}/Pnt PI	Id_{Nd,sup}	Q_{Ed,V} [N]	Q_{Ed,O} [N]	Q_{Rd,V} [N]	Q_{Rd,V,Pt} [N]	Q_{Rd,V,Lt} [N]	Q_{Rd,O} [N]	M_{max,O} [N·m]	T.R.	Z_{c,pls} [m]	CS_v	CS_o
PALO1	00218	35 484	0	70 847	25 644	45 203	28 798	42277	Palo Lungo	2,09	2,00	-
PALO2	00216	53 873	0	70 847	25 644	45 203	28 798	42277	Palo Lungo	2,09	1,32	-
PALO3	00219	53 884	0	70 847	25 644	45 203	28 798	42277	Palo Lungo	2,09	1,31	-
PALO4	00220	53 881	0	70 847	25 644	45 203	28 798	42277	Palo Lungo	2,09	1,31	-
PALO5	00221	53 885	0	70 847	25 644	45 203	28 798	42277	Palo Lungo	2,09	1,31	-
PALO6	00222	53 860	0	70 847	25 644	45 203	28 798	42277	Palo Lungo	2,09	1,32	-
PALO7	00223	35 029	0	70 847	25 644	45 203	28 798	42277	Palo Lungo	2,09	2,02	-

LEGENDA:

- Id_{PI}/Pnt PI** Identificativo del palo o del plinto su pali.
- Id_{Nd,sup}** Identificativo del nodo all'estremo superiore del palo o della pilastrata cui il plinto è collegato.
- Q_{Ed,V}** Carico verticale di progetto.
- Q_{Ed,O}** Carico orizzontale di progetto.
- Q_{Rd,V}** Resistenza di progetto verticale.
- Q_{Rd,V,Pt}** Aliquota della resistenza di progetto verticale dovuto alla resistenza alla punta.
- Q_{Rd,V,Lt}** Aliquota della resistenza di progetto verticale dovuto alla resistenza laterale.
- Q_{Rd,O}** Resistenza di progetto orizzontale.
- M_{max,O}** Momento massimo lungo il palo per carichi orizzontali.
- T.R.** Modalità di rottura per carico limite orizzontale (Palo Corto, Palo Medio, Palo Lungo).
- Z_{c,pls}** Profondità della seconda cerniera plastica.
- CS_v** Coefficiente di sicurezza per azioni verticali ([NS] = Non Significativo per valori di CS >= 100; [VNR]= Verifica Non Richiesta).
- CS_o** Coefficiente di sicurezza per azioni orizzontali ([NS] = Non Significativo per valori di CS >= 100; [VNR]= Verifica Non Richiesta).

INFORMAZIONI GENERALI	pag.	2
MATERIALI CALCESTRUZZO ARMATO	pag.	2
MATERIALI ACCIAIO	pag.	2
TENSIONI AMMISSIBILI ALLO SLE DEI VARI MATERIALI	pag.	2
TERRENI	pag.	3
STRATIGRAFIE	pag.	3
SEZIONI ASTE	pag.	3
SEZIONI PROFILATI IN ACCIAIO	pag.	3
TIPOLOGIE DI CARICO	pag.	4
SLU: Non Sismica - Strutturale senza azioni geotecniche	pag.	4
SLU: Sismica - Strutturale senza azioni geotecniche	pag.	6
COMBINAZIONI SISMICHE	pag.	6
SERVIZIO(SLE): Caratteristica(RARA)	pag.	7
SERVIZIO(SLE): Frequente	pag.	7
SERVIZIO(SLE): Quasi permanente	pag.	7
DATI GENERALI ANALISI SISMICA	pag.	8
DATI GENERALI ANALISI SISMICA - FATTORI DI COMPORTAMENTO	pag.	8
.....	pag.	8
PRINCIPALI ELEMENTI ANALISI SISMICA	pag.	9
RIEPILOGO MODI DI VIBRAZIONE	pag.	9
LIVELLI O PIANI	pag.	11
TRAVI IN ELEVAZIONE	pag.	11
TRAVI DI FONDAZIONE	pag.	15
PILASTRI	pag.	15
PALI	pag.	18
CARICHI SULLE TRAVI	pag.	18
CARICHI SUI PILASTRI	pag.	25
NODI - SPOSTAMENTI PER CONDIZIONI DI CARICO NON SISMICHE	pag.	26
NODI - SPOSTAMENTI PER EFFETTO DEL SISMA	pag.	45
TRAVI - SOLLECITAZIONI PER CONDIZIONI DI CARICO NON SISMICHE	pag.	62
TRAVI - SOLLECITAZIONI PER EFFETTO DEL SISMA	pag.	74
TRAVI - SOLLECITAZIONI PER ECCENTRICITÀ ACCIDENTALE	pag.	79
PILASTRI - SOLLECITAZIONI PER CONDIZIONI DI CARICO NON SISMICHE	pag.	85
PILASTRI - SOLLECITAZIONI PER EFFETTO DEL SISMA	pag.	92
PILASTRI - SOLLECITAZIONI PER ECCENTRICITÀ ACCIDENTALE	pag.	95
TRAVI (AC) - VERIFICHE A PRESSOFLESSIONE (Elevazione) allo SLU	pag.	99
TRAVI (AC) - VERIFICHE A TAGLIO (Elevazione) per pressoflessione retta allo SLU	pag.	109
TRAVI (AC) - VERIFICHE INSTABILITÀ A PRESSOFLESSIONE DEVIATA (Elevazione)	pag.	117
TRAVI (AC) - VERIFICHE DI DEFORMABILITÀ ALLO SLE (Elevazione)	pag.	121
PILASTRI (AC) - VERIFICHE A PRESSOFLESSIONE DEVIATA (Elevazione) allo SLU	pag.	123
PILASTRI (AC) - VERIFICHE A TAGLIO (Elevazione) per pressoflessione deviata allo SLU	pag.	131
PILASTRI (AC) - VERIFICHE INSTABILITÀ A PRESSOFLESSIONE DEVIATA (Elevazione)	pag.	134
PIANI - VERIFICHE REGOLARITÀ (Elevazione)	pag.	136
EFFETTI DELLE NON LINEARITÀ GEOMETRICHE PER SISMA (Elevazione)	pag.	137
PIANI - VERIFICHE AGLI SPOSTAMENTI	pag.	137
PIANI - VERIFICHE ALLO SLE (Elevazione)	pag.	137
TRAVI (CA) - VERIFICHE PRESSOFLESSIONE RETTA ALLO SLU (Fondazione)	pag.	137

TRAVI (CA) - VERIFICHE A TAGLIO PER PRESSOFLESSIONE RETTA ALLO SLU (Fondazione)	pag.	138
TRAVI (CA) - VERIFICHE A TORSIONE ALLO SLU (Fondazione)	pag.	138
TRAVI (CA) - VERIFICA COMPOSTA TAGLIO/TORSIONE ALLO SLU (Fondazione)	pag.	138
Travi - VERIFICHE DELLE TENSIONI DI ESERCIZIO (Fondazione)	pag.	139
Travi - VERIFICA ALLO STATO LIMITE DI FESSURAZIONE (Fondazione)	pag.	139
PALI - VERIFICHE A PRESSOFLESSIONE DEVIATA ALLO SLU (Fondazione)	pag.	140
PALI - VERIFICHE A TAGLIO (Fondazione)	pag.	140
PALI - VERIFICHE A CARICO LIMITE VERTICALE E ORIZZONTALE ALLO SLU	pag.	140
PALI - VERIFICHE A CARICO LIMITE VERTICALE E ORIZZONTALE ALLO SLD	pag.	141

IMPIANTO FOTOVOLTAICO UTILITY SCALE

SITO CAR 01 SV317_CARAPELLE

**RELAZIONE DI CALCOLO PRELIMINARE VANI ALLOGGIO IMPIANTI
: EDIFICIO A e B**

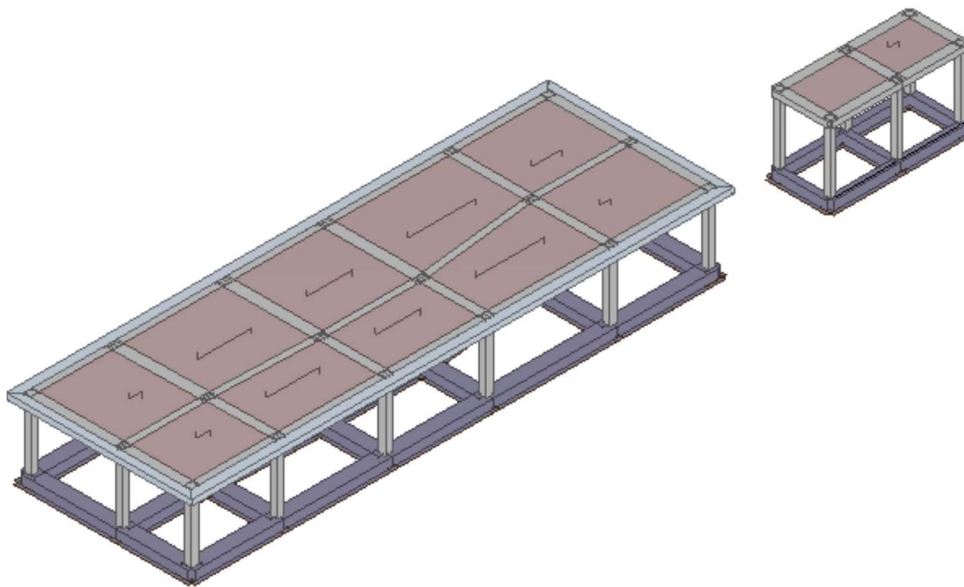
1 - DESCRIZIONE GENERALE DELL'OPERA

La presente relazione di calcolo preliminare ha per oggetto le strutture dei manufatti inc.a. di un campo fotovoltaico da realizzarsi in agro di Carapelle, provincia di Foggia denominato CAR 01 - La Pescia SV317. Le strutture, destinate ad alloggiare gli impianti tecnologici che gestiranno i siti, si distinguono in edificio A, di dimensioni in pianta di circa 22,80m x 7,30m ed edificio B di dimensioni più ridotte, ovvero 5.90x2,45m. Il sistema fondale sarà realizzato da un grigliato di fondazione che per il primo manufatto avrà sezione 60x40cm mentre nel secondo caso 30x40cm, tale grigliato è sufficiente a contenere le pressioni di contatto, tra terreno e struttura, al disotto di valori di 0,3Kg/cmq garantendo la stabilità della struttura ai cedimenti differenziali. La sovrastruttura sarà realizzata con pilastri 30x30 ed avrà le travi principali di sezione pari a 40x25 per le travi di bordo e 50x25 per quelle di spina nel solo corpo A. Le travi secondarie avranno dimensione 30x25 avendo funzione di semplice connessione tra le teste dei pilastri. Infine il solaio sarà del tipo in laterocemento con spessore 20+5cm ed interasse 50cm.

Vengono riportate di seguito due viste assonometriche contrapposte, allo scopo di consentire una migliore comprensione della struttura oggetto della presente relazione:

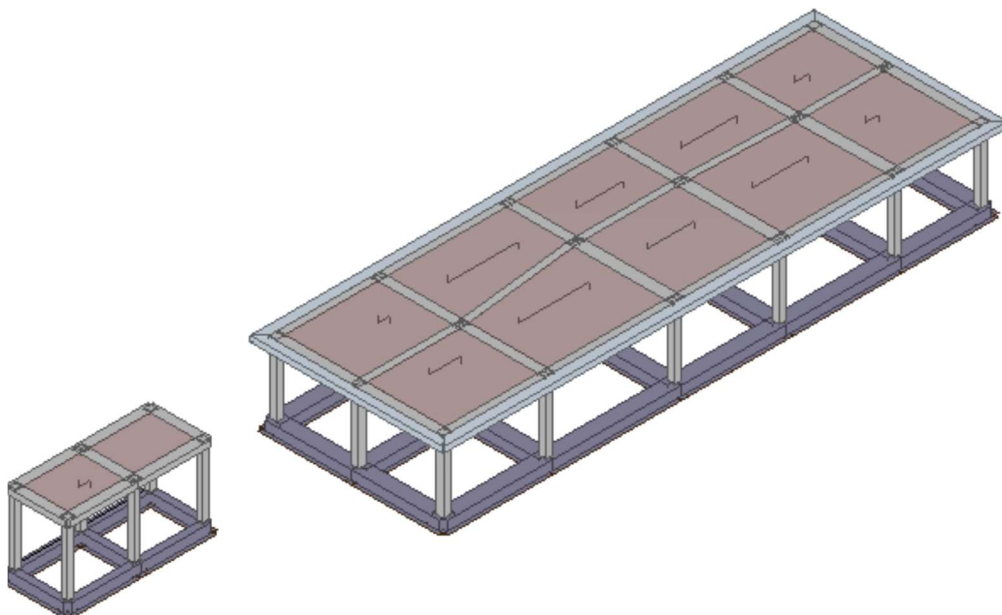
Vista Anteriore

La direzione di visualizzazione (bisettrice del cono ottico), relativamente al sistema di riferimento globale 0,X,Y, Z, ha versore (1;1;-1)



Vista Posteriore

La direzione di visualizzazione (bisettrice del cono ottico), relativamente al sistema di riferimento globale 0,X,Y, Z, ha versore (-1;-1;-1)



2 - NORMATIVA DI RIFERIMENTO

Le fasi di analisi e verifica della struttura sono state condotte in accordo alle seguenti disposizioni normative, per quanto applicabili in relazione al criterio di calcolo adottato dal progettista, evidenziato nel prosieguo della presente relazione:

Legge 5 novembre 1971 n. 1086 (G.U. 21 dicembre 1971 n. 321)

"Norme per la disciplina delle opere di conglomerato cementizio armato, normale e precompresso ed a struttura metallica".

Legge 2 febbraio 1974 n. 64 (G.U. 21 marzo 1974 n. 76)

"Provvedimenti per le costruzioni con particolari prescrizioni per le zone sismiche".

Indicazioni progettive per le nuove costruzioni in zone sismiche a cura del Ministero per la Ricerca scientifica - Roma 1981.

D. M. Infrastrutture Trasporti 17/01/2018 (G.U. 20/02/2018 n. 42 - Suppl. Ord. n. 8)

"Aggiornamento delle Norme tecniche per le Costruzioni".

Inoltre, in mancanza di specifiche indicazioni, ad integrazione della norma precedente e per quanto con esse non in contrasto, sono state utilizzate le indicazioni contenute nelle seguenti norme:

Circolare 21 gennaio 2019, n. 7 C.S.LL.PP. (G.U. Serie Generale n. 35 del 11/02/2019 - Suppl. Ord. n. 5)

Istruzioni per l'applicazione dell'«Aggiornamento delle "Norme tecniche per le costruzioni"» di cui al decreto ministeriale 17 gennaio 2018.

3 - MATERIALI IMPIEGATI E RESISTENZE DI CALCOLO

Tutti i materiali strutturali impiegati devono essere muniti di marcatura "CE", ed essere conformi alle prescrizioni del "REGOLAMENTO (UE) N. 305/2011 DEL PARLAMENTO EUROPEO E DEL CONSIGLIO del 9 marzo 2011", in merito ai prodotti da costruzione.

Per la realizzazione dell'opera in oggetto saranno impiegati i seguenti materiali:

MATERIALI CALCESTRUZZO ARMATO

N _{id}	γ _k [N/m ³]	α _{T,i} [1/°C]	E [N/mm ²]	G [N/mm ²]	C _{Erid} [%]	Stz	R _{ck} [N/mm ²]	R _{cm} [N/mm ²]	%R _{ck}	γ _c	Caratteristiche calcestruzzo armato				
											f _{cd} [N/mm ²]	f _{ctd} [N/mm ²]	f _{cfm} [N/mm ²]	N	n Ac
Cl. C25/30_B450C - (C25/30)															
001	25 000	0,000010	31 447	13 103	60	P	30,00	-	0,85	1,50	14,11	1,19	3,07	15	002

LEGENDA:

N_{id}	Numero identificativo del materiale, nella relativa tabella dei materiali.
γ_k	Peso specifico.
α_{T,i}	Coefficiente di dilatazione termica.
E	Modulo elastico normale.
G	Modulo elastico tangenziale.
C_{Erid}	Coefficiente di riduzione del Modulo elastico normale per Analisi Sismica [E _{sisma} = E · C _{Erid}].
Stz	Tipo di situazione: [F] = di Fatto (Esistente); [P] = di Progetto (Nuovo).
R_{ck}	Resistenza caratteristica cubica.
R_{cm}	Resistenza media cubica.
%R_{ck}	Percentuale di riduzione della R _{ck} .
γ_c	Coefficiente parziale di sicurezza del materiale.
f_{cd}	Resistenza di calcolo a compressione.
f_{ctd}	Resistenza di calcolo a trazione.
f_{cfm}	Resistenza media a trazione per flessione.
n Ac	Identificativo, nella relativa tabella materiali, dell'acciaio utilizzato: [-] = parametro NON significativo per il materiale.

MATERIALI ACCIAIO

N _{id}	γ _k [N/m ³]	α _{T,i} [1/°C]	E [N/mm ²]	G [N/mm ²]	Stz	Caratteristiche acciaio										
						f _{yk,1} / f _{yk,2} [N/mm ²]	f _{tk,1} / f _{tk,2} [N/mm ²]	f _{yd,1} / f _{yd,2} [N/mm ²]	f _{td} [N/mm ²]	γ _s	γ _{M1}	γ _{M2}	γ _{M3,SLV}	γ _{M3,SLE}	γ _{M7} NCnt Cnt	
Acciaio B450C - (B450C)																
002	78 500	0,000010	210 000	80 769	P	450,00 -	-	391,30 -	-	1,15	-	-	-	-	-	-

LEGENDA:

N_{id}	Numero identificativo del materiale, nella relativa tabella dei materiali.
γ_k	Peso specifico.
α_{T,i}	Coefficiente di dilatazione termica.

Caratteristiche acciaio

N _{id}	γ _k	α _{T, i}	E	G	Stz	f _{yk,1} / f _{yk,2}	f _{tk,1} / f _{tk,2}	f _{yd,1} / f _{yd,2}	f _{td}	γ _s	γ _{M1}	γ _{M2}	γ _{M3,SLV}	γ _{M3,SLE}	γ _{M7}	NCnt	Cnt
	[N/m ³]	[1/°C]	[N/mm ²]	[N/mm ²]		[N/mm ²]	[N/mm ²]	[N/mm ²]	[N/mm ²]								
E	Modulo elastico normale.																
G	Modulo elastico tangenziale.																
Stz	Tipo di situazione: [F] = di Fatto (Esistente); [P] = di Progetto (Nuovo).																
f_{tk,1}	Resistenza caratteristica a Rottura (per profili con t ≤ 40 mm).																
f_{tk,2}	Resistenza caratteristica a Rottura (per profili con 40 mm < t ≤ 80 mm).																
f_{td}	Resistenza di calcolo a Rottura (Bulloni).																
γ_s	Coefficiente parziale di sicurezza allo SLV del materiale.																
γ_{M1}	Coefficiente parziale di sicurezza per instabilità.																
γ_{M2}	Coefficiente parziale di sicurezza per sezioni tese indebolite.																
γ_{M3,SLV}	Coefficiente parziale di sicurezza per scorrimento allo SLV (Bulloni).																
γ_{M3,SLE}	Coefficiente parziale di sicurezza per scorrimento allo SLE (Bulloni).																
γ_{M7}	Coefficiente parziale di sicurezza precarico di bulloni ad alta resistenza (Bulloni - NCnt = con serraggio NON controllato; Cnt = con serraggio controllato). [-] = parametro NON significativo per il materiale.																
f_{yk,1}	Resistenza caratteristica allo snervamento (per profili con t ≤ 40 mm).																
f_{yk,2}	Resistenza caratteristica allo snervamento (per profili con 40 mm < t ≤ 80 mm).																
f_{yd,1}	Resistenza di calcolo (per profili con t ≤ 40 mm).																
f_{yd,2}	Resistenza di calcolo (per profili con 40 mm < t ≤ 80 mm).																
NOTE	[-] = Parametro non significativo per il materiale.																

TENSIONI AMMISSIBILI ALLO SLE DEI VARI MATERIALI

Tensioni ammissibili allo SLE dei vari materiali			
Materiale	SL	Tensione di verifica	σ _{d,amm} [N/mm ²]
Cls C25/30_B450C	Caratteristica(RARA)	Compressione Calcestruzzo	14,94
	Quasi permanente	Compressione Calcestruzzo	11,21
Acciaio B450C	Caratteristica(RARA)	Trazione Acciaio	360,00

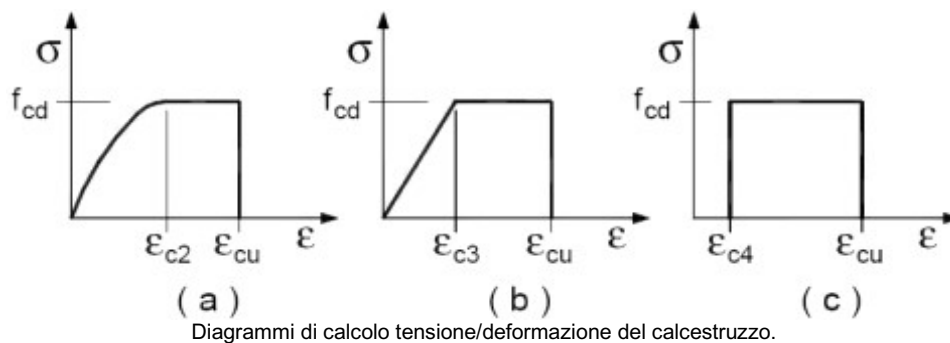
LEGENDA:

- SL** Stato limite di esercizio per cui si esegue la verifica.
- σ_{d,amm}** Tensione ammissibile per la verifica.

I valori dei parametri caratteristici dei suddetti materiali sono riportati anche nei "*Tabulati di calcolo*", nella relativa sezione.

Tutti i materiali impiegati dovranno essere comunque verificati con opportune prove di laboratorio secondo le prescrizioni della vigente Normativa.

I diagrammi costitutivi degli elementi in calcestruzzo sono stati adottati in conformità alle indicazioni riportate al §4.1.2.1.2.1 del D.M. 2018; in particolare per le verifiche effettuate a pressoflessione retta e pressoflessione deviata è adottato il modello (a) riportato nella seguente figura.

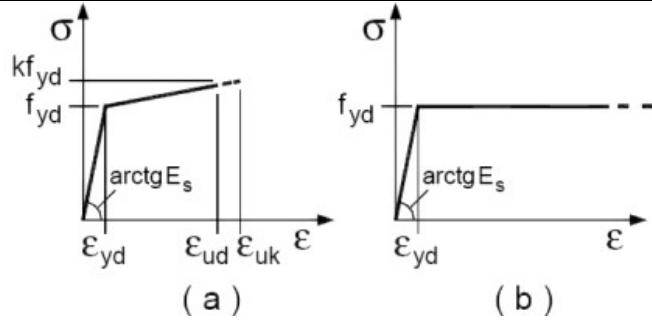


I valori di deformazione assunti sono:

$\epsilon_{c2} = 0,0020;$

$\epsilon_{cu2} = 0,0035.$

I diagrammi costitutivi dell'acciaio sono stati adottati in conformità alle indicazioni riportate al §4.1.2.1.2.2 del D.M. 2018; in particolare è adottato il modello elasticamente plastico tipo (b) rappresentato nella figura sulla destra. La resistenza di calcolo è data da f_{yk}/γ_s . Il coefficiente di sicurezza γ_s si assume pari a 1,15.



4 - TERRENO DI FONDAZIONE

Le proprietà meccaniche dei terreni sono state investigate mediante specifiche prove mirate alla misurazione della velocità delle onde di taglio negli strati del sottosuolo. In particolare, è stata calcolata una velocità di propagazione equivalente delle onde di taglio con la seguente relazione (eq. [3.2.1] D.M. 2018):

$$V_{S,eq} = \frac{H}{\sum_{i=1}^N \frac{h_i}{V_{S,i}}}$$

dove:

- h_i è lo spessore dell' i -simo strato;
- $V_{S,i}$ è la velocità delle onde di taglio nell' i -simo strato;
- N è il numero totale di strati investigati;
- H è la profondità del substrato con $V_s \geq 800$ m/s.

Le proprietà dei terreni sono, quindi, state ricondotte a quelle individuate nella seguente tabella, ponendo $H = 30$ m nella relazione precedente ed ottenendo il parametro $V_{S,30}$.

Categorie di sottosuolo che permettono l'utilizzo dell'approccio semplificato (Tab. 3.2.II D.M. 2018)

Categoria	Caratteristiche della superficie topografica
A	<i>Ammassi rocciosi affioranti o terreni molto rigidi</i> caratterizzati da valori di velocità delle onde di taglio superiori a 800 m/s, eventualmente comprendenti in superficie terreni di caratteristiche meccaniche più scadenti con spessore massimo pari a 3 m.
B	<i>Rocce tenere e depositi di terreni a grana grossa molto addensati o terreni a grana fina molto consistenti</i> , caratterizzati da un miglioramento delle proprietà meccaniche con la profondità e da valori di velocità equivalente compresi tra 360 m/s e 800 m/s.
C	<i>Depositati di terreni a grana grossa mediamente addensati o terreni a grana fina mediamente consistenti</i> con profondità del substrato superiori a 30 m, caratterizzati da un miglioramento delle proprietà meccaniche con la profondità e da valori di velocità equivalente compresi tra 180 m/s e 360 m/s.
D	<i>Depositati di terreni a grana grossa scarsamente addensati o di terreni a grana fina scarsamente consistenti</i> , con profondità del substrato superiori a 30 m, caratterizzati da un miglioramento delle proprietà meccaniche con la profondità e da valori di velocità equivalente compresi tra 100 e 180 m/s.
E	<i>Terreni con caratteristiche e valori di velocità equivalente riconducibili a quelle definite per le categorie C o D</i> , con profondità del substrato non superiore a 30 m.

Le indagini effettuate, mirate alla valutazione della velocità delle onde di taglio ($V_{S,30}$), permettono di classificare il profilo stratigrafico, ai fini della determinazione dell'azione sismica, di categoria B **[B - Rocce tenere e depositi di terreni a grana grossa molto addensati o terreni a grana fina molto consistenti]**.

Le costanti di sottofondo (alla Winkler) del terreno sono state corrette secondo la seguente espressione:

$$K = c \cdot K_1;$$

dove K_1 è la costante di Winkler del terreno riferita alla piastra standard di lato $b = 30$ cm;

Evaluation of coefficients of subgrade reaction K. Terzaghi, 1955 p. 315;

K_1 = costante di Winkler del terreno riferita alla piastra standard di lato $b = 30$ cm;

c = coefficiente di correzione funzione del comportamento del terreno e della particolare geometria degli strati per terreni incoerenti

$$c = \left[\frac{b + 6}{2 \cdot B} \right]$$

$$c = \left(\frac{L/B + 0,5}{1,5 \cdot L/B} \right) \cdot \frac{b}{B}$$

per terreni coerenti

Essendo:

$b = 0,30$ m, dimensione della piastra standard;
 L = lato maggiore della fondazione;
 B = lato minore della fondazione.

Nel caso di stratigrafia la costante di sottofondo utilizzata nel calcolo delle **sollecitazioni** è quella del terreno a contatto con la fondazione, mentre nel calcolo dei **cedimenti** la costante di sottofondo utilizzata è calcolata come media pesata delle costanti di sottofondo presenti nel volume significativo della fondazione.

Tutti i parametri che caratterizzano i terreni di fondazione sono riportati nei "Tabulati di calcolo", nella relativa sezione. Per ulteriori dettagli si rimanda alle relazioni geologica e geotecnica.

5 - ANALISI DEI CARICHI

Un'accurata valutazione dei carichi è un requisito imprescindibile di una corretta progettazione, in particolare per le costruzioni realizzate in zona sismica. Essa, infatti, è fondamentale ai fini della determinazione delle forze sismiche, in quanto incide sulla valutazione delle masse e dei periodi propri della struttura dai quali dipendono i valori delle accelerazioni (ordinate degli spettri di progetto).

La valutazione dei carichi e dei sovraccarichi è stata effettuata in accordo con le disposizioni del punto 3.1 del **D.M. 2018**. In particolare, è stato fatto utile riferimento alle Tabelle 3.1.I e 3.1.II del D.M. 2018, per i pesi propri dei materiali e per la quantificazione e classificazione dei sovraccarichi, rispettivamente.

La valutazione dei carichi permanenti è effettuata sulle dimensioni definitive.

Le analisi effettuate, corredate da dettagliate descrizioni, oltre che nei "Tabulati di calcolo" nella relativa sezione, sono di seguito riportate:

ANALISI CARICHI

N _{id}	T. C.	Descrizione del Carico	Tipologie di Carico	Peso Proprio		Permanente NON Strutturale		Sovraccarico Accidentale		Carico Neve
				Descrizione	PP	Descrizione	PNS	Descrizione	SA	
001	S	Pannello sandwich	Carico Permanente	Pannello sandwich coibentato da 6cm	300	Incidenza intelaiatura intermedia	200		0	0
002	S	Siporex o similari	Carico Permanente	Tamponatura in monoblocco clavato tipo siporex	1 600	Intonaco interno, intonaco esterno, isolante poliuretano espanso	740		0	0
003	S	LatCem Cop.non acc. H25	Coperture accessibili solo per manutenzione	Solaio di tipo tradizionale latero-cementizio di spessore 25 cm (20+5)	3 350	Manto di copertura, impermeabilizzazione e intonaco inferiore	1 360	Coperture accessibili per sola manutenzione (Cat. H – Tab. 3.1.II - DM 17.01.2018)	500	720
004	S	LatCem Balcone H25	Coperture accessibili solo per manutenzione	Solaio di tipo tradizionale latero-cementizio di spessore 25 cm (20+5)	3 350	Pavimento, sottofondo e intonaco inferiore	1 360	Coperture accessibili per sola manutenzione (Cat. H – Tab. 3.1.II - DM 17.01.2018)	500	720

LEGENDA:

N_{id} Numero identificativo dell'analisi di carico.

T. C. Identificativo del tipo di carico: [S] = Superficiale - [L] = Lineare - [C] = Concentrato.

PP, PNS, SA Valori, rispettivamente, del Peso Proprio, del Sovraccarico Permanente NON strutturale, del Sovraccarico Accidentale. Secondo il tipo di carico indicato nella colonna "T.C." ("S" - "L" - "C"), i valori riportati nelle colonne "PP", "PNS" e "SA", sono espressi in [N/m²] per carichi Superficiali, [N/m] per carichi Lineari, [N] per carichi Concentrati.

6 - VALUTAZIONE DELL'AZIONE SISMICA

L'azione sismica è stata valutata in conformità alle indicazioni riportate al §3.2 del D.M. 2018. particolare il procedimento per la definizione degli spettri di progetto per i vari Stati Limite per cui sono state effettuate le verifiche è stato il seguente:

- definizione della Vita Nominale e della Classe d'Uso della struttura, il cui uso combinato ha portato alla definizione del Periodo di Riferimento dell'azione sismica;
- individuazione, tramite latitudine e longitudine, dei parametri sismici di base a_g , F_0 e T_c^* per tutti e quattro gli Stati Limite previsti (SLO, SLD, SLV e SLC); l'individuazione è stata effettuata interpolando tra i 4 punti più vicini al punto di riferimento dell'edificio;
- determinazione dei coefficienti di amplificazione stratigrafica e topografica;
- calcolo del periodo T_c corrispondente all'inizio del tratto a velocità costante dello Spettro.

I dati così calcolati sono stati utilizzati per determinare gli Spettri di Progetto nelle verifiche agli Stati Limite considerate.

Si riportano di seguito le coordinate geografiche del sito rispetto al Datum **ED50**:

Latitudine	Longitudine	Altitudine
[°]	[°]	[m]
41.446879	15.761442	0

6.1 Verifiche di regolarità

Sia per la scelta del metodo di calcolo, sia per la valutazione del fattore di comportamento adottato, deve essere effettuato il controllo della regolarità della struttura. tabella seguente riepiloga, per la struttura in esame, le condizioni di regolarità in pianta ed in altezza soddisfatte.

REGOLARITÀ DELLA STRUTTURA IN PIANTA	
La distribuzione di masse e rigidezze è approssimativamente simmetrica rispetto a due direzioni ortogonali e la forma in pianta è compatta, ossia il contorno di ogni orizzontamento è convesso; il requisito può ritenersi soddisfatto, anche in presenza di rientranze in pianta, quando esse non influenzano significativamente la rigidezza nel piano dell'orizzontamento e, per ogni rientranza, l'area compresa tra il perimetro dell'orizzontamento e la linea convessa circoscritta all'orizzontamento non supera il 5% dell'area dell'orizzontamento	SI
Il rapporto tra i lati di un rettangolo in cui la costruzione risulta inscritta è inferiore a 4	SI
Ciascun orizzontamento ha una rigidezza nel proprio piano tanto maggiore della corrispondente rigidezza degli elementi strutturali verticali da potersi assumere che la sua deformazione in pianta influenzi in modo trascurabile la distribuzione delle azioni sismiche tra questi ultimi e ha resistenza sufficiente a garantire l'efficacia di tale distribuzione	SI

REGOLARITÀ DELLA STRUTTURA IN ALTEZZA	
Tutti i sistemi resistenti alle azioni orizzontali si estendono per tutta l'altezza della costruzione o, se sono presenti parti aventi differenti altezze, fino alla sommità della rispettiva parte dell'edificio	SI
Massa e rigidezza rimangono costanti o variano gradualmente, senza bruschi cambiamenti, dalla base alla sommità della costruzione (le variazioni di massa da un orizzontamento all'altro non superano il 25 %, la rigidezza non si riduce da un orizzontamento a quello sovrastante più del 30% e non aumenta più del 10%); ai fini della rigidezza si possono considerare regolari in altezza strutture dotate di pareti o nuclei in c.a. o pareti e nuclei in muratura di sezione costante sull'altezza o di telai controventati in acciaio, ai quali sia affidato almeno il 50% dell'azione sismica alla base	SI
Il rapporto tra la capacità e la domanda allo SLV non è significativamente diverso, in termini di resistenza, per orizzontamenti successivi (tale rapporto, calcolato per un generico orizzontamento, non deve differire più del 30% dall'analogo rapporto calcolato per l'orizzontamento adiacente); può fare eccezione l'ultimo orizzontamento di strutture intelaiate di almeno tre orizzontamenti	SI
Eventuali restringimenti della sezione orizzontale della costruzione avvengano con continuità da un orizzontamento al successivo; oppure avvengano in modo che il rientro di un orizzontamento non superi il 10% della dimensione corrispondente all'orizzontamento immediatamente sottostante, né il 30% della dimensione corrispondente al primo orizzontamento. Fa eccezione l'ultimo orizzontamento di costruzioni di almeno quattro orizzontamenti, per il quale non sono previste limitazioni di restringimento	SI

La rigidezza è calcolata come rapporto fra il taglio complessivamente agente al piano e δ , spostamento relativo di piano (il taglio di piano è la sommatoria delle azioni orizzontali agenti al di sopra del piano considerato). I valori calcolati ed utilizzati per le verifiche sono riportati nei "*Tabulati di calcolo*" nella relativa sezione.

La struttura è pertanto:

in pianta REGOLARE	in altezza REGOLARE
------------------------------	-------------------------------

6.2 Classe di duttilità

La classe di duttilità è rappresentativa della capacità dell'edificio di dissipare energia in campo anelastico per azioni cicliche ripetute. deformazioni anelastiche devono essere distribuite nel maggior numero di elementi duttili, in particolare le travi, salvaguardando in tal modo i pilastri e soprattutto i nodi travi pilastro che sono gli elementi più fragili. D.M. 2018 definisce due tipi di comportamento strutturale:

- a) comportamento strutturale non-dissipativo;
- b) comportamento strutturale dissipativo.

Per strutture con comportamento strutturale dissipativo si distinguono due livelli di Capacità Dissipativa o Classi di Duttilità (CD).

- CD "A" (Alta);
- CD "B" (Media).

La differenza tra le due classi risiede nell'entità delle plasticizzazioni cui ci si riconduce in fase di progettazione;

per ambedue le classi, onde assicurare alla struttura un comportamento dissipativo e duttile evitando rotture fragili e la formazione di meccanismi instabili impreveduti, si fa ricorso ai procedimenti tipici della gerarchia delle resistenze.

La struttura in esame è stata progettata in classe di duttilità "**MEDIA**" (**CD**"**B**").

6.3 Spettri di Progetto per S.L.U. e S.L.D.

L'edificio è stato progettato per una **Vita Nominale** pari a **50** e per **Classe d'Uso** pari a **2**.

In base alle indagini geognostiche effettuate si è classificato il **suolo** di fondazione di **categoria B**, cui corrispondono i seguenti valori per i parametri necessari alla costruzione degli spettri di risposta orizzontale e verticale:

Stato Limite	a_g/g	F_0	Parametri di pericolosità sismica					
			T^*_c [s]	C_c	T_B [s]	T_c [s]	T_D [s]	S_s
SLO	0.0443	2.472	0.290	1.41	0.136	0.409	1.773	1.20
SLD	0.0556	2.536	0.323	1.37	0.151	0.453	1.817	1.20
SLV	0.1332	2.594	0.427	1.30	0.190	0.570	2.131	1.20
SLC	0.1698	2.609	0.442	1.29	0.190	0.581	2.286	1.20

Per la definizione degli spettri di risposta, oltre all'accelerazione (a_g) al suolo (dipendente dalla classificazione sismica del Comune) occorre determinare il Fattore di Comportamento (q).

Il Fattore di comportamento q è un fattore riduttivo delle forze elastiche introdotto per tenere conto delle capacità dissipative della struttura che dipende dal sistema costruttivo adottato, dalla Classe di Duttilità e dalla regolarità in altezza.

Si è inoltre assunto il **Coefficiente di Amplificazione Topografica** (S_T) pari a **1.00**.

Tali succitate caratteristiche sono riportate negli allegati "Tabulati di calcolo" al punto "DATI GENERALI ANALISI SISMICA".

Per la struttura in esame sono stati utilizzati i seguenti valori:

Stato Limite di Danno

Fattore di Comportamento (q_x) per sisma orizzontale in direzione X: **1.00**;
 Fattore di Comportamento (q_y) per sisma orizzontale in direzione Y: **1.00**;
 Fattore di Comportamento (q_z) per sisma verticale: **1.00** (se richiesto).

Stato Limite di salvaguardia della Vita

Fattore di Comportamento (q_x) per sisma orizzontale in direzione X: **2.527 (N.B.2)**;
 Fattore di Comportamento (q_y) per sisma orizzontale in direzione Y: **2.527 (N.B.2)**;
 Fattore di Comportamento (q_z) per sisma verticale: **1.50** (se richiesto).

Di seguito si esplicita il calcolo del fattore di comportamento per il sisma orizzontale:

Tipologia (§7.5.2.2 D.M. 2018)	Dir. X	Dir. Y
	Tipologia strutturale	A telaio
α_u/α_1	con più campate	con più campate
q_0	1	1
k_R	4.000	4.000
	1.00	

Il fattore di comportamento è calcolato secondo la relazione (7.3.1) del §7.3.1 del D.M. 2018:

$$q = q_0 \cdot k_R;$$

dove:

q_0 è il valore massimo del fattore di comportamento che dipende dal livello di duttilità attesa, dalla tipologia strutturale e dal rapporto α_u/α_1 tra il valore dell'azione sismica per il quale si verifica la formazione di un numero di cerniere plastiche tali da rendere la struttura labile e quello per il quale il primo elemento strutturale raggiunge la plasticizzazione a flessione;

k_R è un fattore riduttivo che dipende dalle caratteristiche di regolarità in altezza della costruzione, con valore pari ad 1 per costruzioni regolari in altezza e pari a 0,8 per costruzioni non regolari in altezza.

N.B.1: Per le costruzioni **regolari in pianta**, qualora non si proceda ad un'analisi non lineare finalizzata alla valutazione del rapporto α_u/α_1 , per esso possono essere adottati i valori indicati al §7.4.3.2 del D.M. 2018 per le diverse tipologie costruttive. Per le costruzioni **non regolari in pianta**, si possono adottare valori di α_u/α_1 pari alla media tra 1,0 ed i valori di volta in volta forniti per le diverse tipologie costruttive.

Valori massimi del valore di base q_0 del fattore di comportamento allo SLV per costruzioni d'acciaio (§ 7.5.2.2 D.M. 2018)(cfr. Tabella 7.3.II D.M. 2018)

Tipologia strutturale	q_0	
	CD"A"	CD"B"
a) Strutture intelaiate) Strutture con controventi eccentrici	5,0 α_u/α_1	4,0
b1) Strutture con controventi concentrici a diagonale tesa attiva	4,0	4,0
b2) Strutture con controventi concentrici a V	2,5	2,0
d) Strutture a mensola o a pendolo inverso	2,0 α_u/α_1	2,0
e) Strutture intelaiate con controventi concentrici	4,0 α_u/α_1	4,0
f) Strutture intelaiate con tamponature in muratura	2,0	2,0

N.B.2: Al fine di evitare che le ordinate dello spettro di progetto allo SLV, ottenuto con il fattore di comportamento illustrato nei precedenti paragrafi, siano inferiori a quelle dello spettro allo SLD, è stato necessario ridurre il fattore di comportamento nel seguente modo (come previsto dalla Circolare 2019 delle NTC 2018 al punto C7.3.1):

$$q' = q_{ND} \cdot S_{e,SLV}(T_1) / S_{e,SLD}(T_1)$$

dove:

q_{ND} è il fattore di comportamento non dissipativo, assunto pari ad 1, ed in generale pari a:

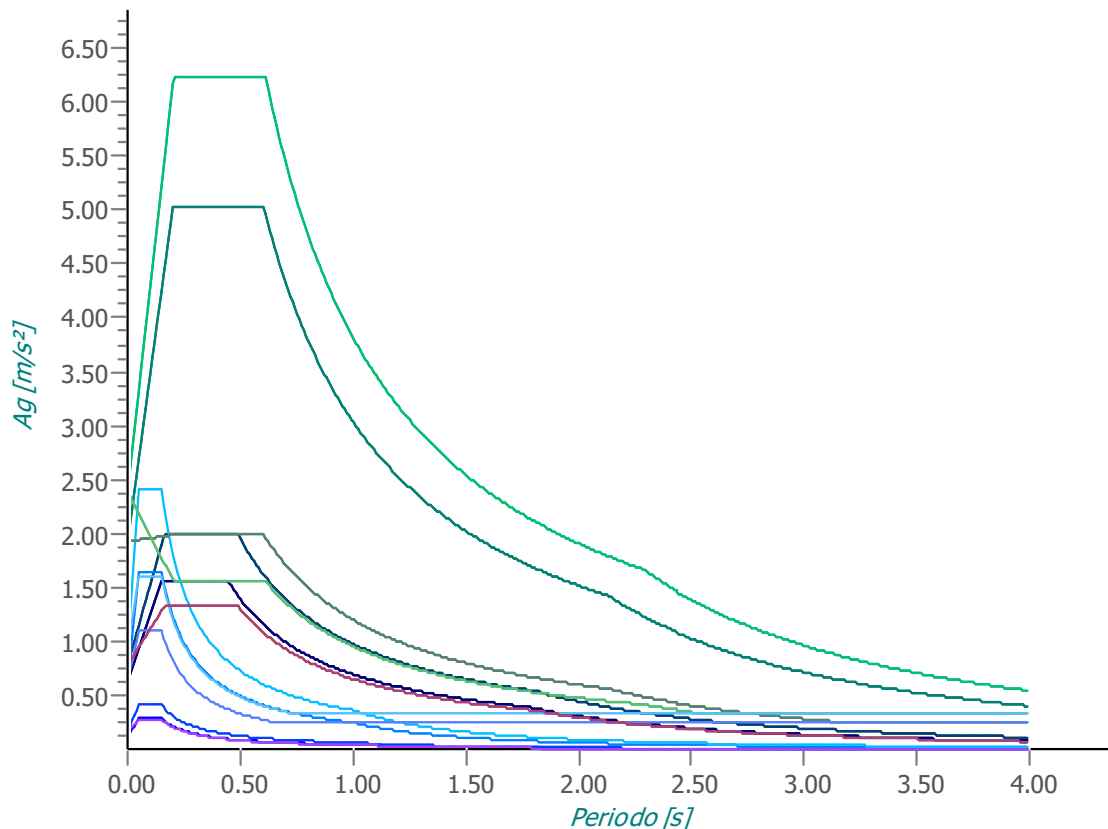
$$1 \leq q_{ND} = (2/3) \cdot q_{0,CD"B"} \leq 1,5$$

$q_{0,CD"B"}$ è il fattore di struttura per CD"B" di cui nella Tab. 7.3.II;

T_1 è il periodo del primo modo di vibrare traslazionale nella direzione considerata; $S_{e,SLV}(T_1)$ ed $S_{e,SLD}(T_1)$ sono la risposta spettrale elastica allo SLV e allo SLD, rispettivamente.

Gli spettri utilizzati sono riportati nella successiva figura.

Grafico degli Spettri di Risposta



— Spettro Elastico SLO X	— Spettro Elastico SLO Y	— Spettro Elastico SLO Z
— Spettro Elastico SLD X	— Spettro Elastico SLD Y	— Spettro Elastico SLD Z
— Spettro Elastico SLV X	— Spettro Elastico SLV Y	— Spettro Elastico SLV Z
— Spettro Elastico SLC X	— Spettro Elastico SLC Y	— Spettro Elastico SLC Z
— Spettro Progetto SLV X	— Spettro Progetto SLV Y	— Spettro Progetto SLV Z
— Spettro Progetto SLC X	— Spettro Progetto SLC Y	— Spettro Progetto SLC Z
— Spettro Verifiche SLD X	— Spettro Verifiche SLD Y	— Spettro Verifiche SLD Z

6.4 Metodo di Analisi

Il calcolo delle azioni sismiche è stato eseguito in analisi dinamica modale, considerando il comportamento della struttura in regime elastico lineare.

Il numero di **modi di vibrazione** considerato (**15**) ha consentito, nelle varie condizioni, di mobilitare le seguenti percentuali delle masse della struttura:

Stato Limite	Direzione Sisma	%
salvaguardia della vita	X	100.0
salvaguardia della vita	Y	99.9
salvaguardia della vita	Z	100.0
salvaguardia della vita	Torsionale	-

Per valutare la risposta massima complessiva di una generica caratteristica E , conseguente alla sovrapposizione dei modi, si è utilizzata una tecnica di combinazione probabilistica definita CQC (*Complete Quadratic Combination - Combinazione Quadratica Completa*):

$$E = \sqrt{\sum_{i,j=1,n} \rho_{ij} \cdot E_i \cdot E_j} \quad \rho_{ij} = \frac{8 \cdot \xi^2 \cdot (1 + \beta_{ij}) \cdot \beta_{ij}^{3/2}}{(1 - \beta_{ij}^2)^2 + 4 \cdot \xi^2 \cdot \beta_{ij} \cdot (1 + \beta_{ij})^2} \quad \beta_{ij} = \frac{T_j}{T_i}$$

dove:

- n è il numero di modi di vibrazione considerati;
- ξ è il coefficiente di smorzamento viscoso equivalente espresso in percentuale;
- β_{ij} è il rapporto tra le frequenze di ciascuna coppia i-j di modi di vibrazione.

Le sollecitazioni derivanti da tali azioni sono state composte poi con quelle derivanti da carichi verticali, orizzontali non sismici secondo le varie combinazioni di carico probabilistiche. Il calcolo è stato effettuato mediante un programma agli elementi finiti le cui caratteristiche verranno descritte nel seguito.

Il calcolo degli effetti dell'azione sismica è stato eseguito con riferimento alla struttura spaziale, tenendo cioè conto degli elementi interagenti fra loro secondo l'effettiva realizzazione escludendo i tamponamenti. Non ci sono approssimazioni su tetti inclinati, piani sfalsati o scale, solette, pareti irrigidenti e nuclei.

Si è tenuto conto delle deformabilità taglianti e flessionali degli elementi monodimensionali; muri, pareti, setti, solette sono stati correttamente schematizzati tramite elementi finiti a tre/quattro nodi con comportamento a guscio (sia a piastra che a lastra).

Sono stati considerati sei gradi di libertà per nodo; in ogni nodo della struttura sono state applicate le forze sismiche derivanti dalle masse circostanti.

Le sollecitazioni derivanti da tali forze sono state poi combinate con quelle derivanti dagli altri carichi come prima specificato.

6.5 Valutazione degli spostamenti

Gli spostamenti d_E della struttura sotto l'azione sismica di progetto allo SLV sono stati ottenuti moltiplicando per il fattore μ_d i valori d_{Ee} ottenuti dall'analisi lineare, dinamica o statica, secondo l'espressione seguente:

$$d_E = \pm \mu_d \cdot d_{Ee}$$

dove

$$\mu_d = q \quad \text{se } T_1 \geq T_c;$$

$$\mu_d = 1 + (q-1) \cdot T_c / T_1 \quad \text{se } T_1 < T_c.$$

In ogni caso $\mu_d \leq 5q - 4$.

6.6 Combinazione delle componenti dell'azione sismica

Le azioni orizzontali dovute al sisma sulla struttura vengono convenzionalmente determinate come agenti

separatamente in due direzioni tra loro ortogonali prefissate. In generale, però, le componenti orizzontali del sisma devono essere considerate come agenti simultaneamente. A tale scopo, la combinazione delle componenti orizzontali dell'azione sismica è stata tenuta in conto come segue:

- gli effetti delle azioni dovuti alla combinazione delle componenti orizzontali dell'azione sismica sono stati valutati mediante le seguenti combinazioni:

$$E_{EdX} \pm 0,30E_{EdY}$$

$$E_{EdY} \pm 0,30E_{EdX}$$

dove:

E_{EdX} rappresenta gli effetti dell'azione dovuti all'applicazione dell'azione sismica lungo l'asse orizzontale X scelto della struttura;

E_{EdY} rappresenta gli effetti dell'azione dovuti all'applicazione dell'azione sismica lungo l'asse orizzontale Y scelto della struttura.

L'azione sismica verticale deve essere considerata in presenza di: elementi pressoché orizzontali con luce superiore a 20 m, elementi pressoché orizzontali precompressi, elementi a sbalzo pressoché orizzontali con luce maggiore di 5 m, travi che sostengono colonne, strutture isolate.

La combinazione della componente verticale del sisma, qualora portata in conto, con quelle orizzontali è stata tenuta in conto come segue:

- gli effetti delle azioni dovuti alla combinazione delle componenti orizzontali e verticali del sisma sono stati valutati mediante le seguenti combinazioni:

$$E_{EdX} \pm 0,30E_{EdY} \pm 0,30E_{EdZ}$$

$$E_{EdY} \pm 0,30E_{EdX} \pm 0,30E_{EdZ}$$

$$E_{EdZ} \pm 0,30E_{EdX} \pm 0,30E_{EdY}$$

dove:

E_{EdX} e E_{EdY} sono gli effetti dell'azione sismica nelle direzioni orizzontali prima definite;

E_{EdZ} rappresenta gli effetti dell'azione dovuti all'applicazione della componente verticale dell'azione sismica di progetto.

6.7 Eccentricità accidentali

Per valutare le eccentricità accidentali, previste in aggiunta all'eccentricità effettiva sono state considerate condizioni di carico aggiuntive ottenute applicando l'azione sismica nelle posizioni del centro di massa di ogni piano ottenute traslando gli stessi, in ogni direzione considerata, di una distanza pari a +/- 5% della dimensione massima del piano in direzione perpendicolare all'azione sismica. Si noti che la distanza precedente, nel caso di distribuzione degli elementi non strutturali fortemente irregolare in pianta, viene raddoppiata ai sensi del § 7.2.3 del D.M. 2018.

7 - AZIONI SULLA STRUTTURA

I calcoli e le verifiche sono condotti con il metodo semiprobabilistico degli stati limite secondo le indicazioni del D.M. 2018. I carichi agenti sui solai, derivanti dall'analisi dei carichi, vengono ripartiti dal programma di calcolo in modo automatico sulle membrature (travi, pilastri, pareti, solette, platee, ecc.).

I carichi dovuti ai tamponamenti, sia sulle travi di fondazione che su quelle di piano, sono schematizzati come carichi lineari agenti esclusivamente sulle aste.

Su tutti gli elementi strutturali è inoltre possibile applicare direttamente ulteriori azioni concentrate e/o distribuite (variabili con legge lineare ed agenti lungo tutta l'asta o su tratti limitati di essa).

Le azioni introdotte direttamente sono combinate con le altre (carichi permanenti, accidentali e sisma) mediante le combinazioni di carico di seguito descritte; da esse si ottengono i valori probabilistici da impiegare successivamente nelle verifiche.

7.1 Stato Limite di Salvaguardia della Vita

Le azioni sulla costruzione sono state cumulate in modo da determinare condizioni di carico tali da risultare più sfavorevoli ai fini delle singole verifiche, tenendo conto della probabilità ridotta di intervento simultaneo di tutte le azioni con i rispettivi valori più sfavorevoli, come consentito dalle norme vigenti.

Per gli stati limite ultimi sono state adottate le combinazioni del tipo:

$$\gamma_{G1} \cdot G_1 + \gamma_{G2} \cdot G_2 + \gamma_P \cdot P + \gamma_{Q1} \cdot Q_{K1} + \gamma_{Q2} \cdot \psi_{02} \cdot Q_{K2} + \gamma_{Q3} \cdot \psi_{03} \cdot Q_{K3} + \dots \quad (1)$$

dove:

- G_1 rappresenta il peso proprio di tutti gli elementi strutturali; peso proprio del terreno, quando pertinente; forze indotte dal terreno (esclusi gli effetti di carichi variabili applicati al terreno); forze risultanti dalla pressione dell'acqua (quando si configurino costanti nel tempo);
- G_2 rappresenta il peso proprio di tutti gli elementi non strutturali;
- P rappresenta l'azione di pretensione e/o precompressione;
- Q azioni sulla struttura o sull'elemento strutturale con valori istantanei che possono risultare sensibilmente diversi fra loro nel tempo:
- di lunga durata: agiscono con un'intensità significativa, anche non continuativamente, per un tempo non trascurabile rispetto alla vita nominale della struttura;
 - di breve durata: azioni che agiscono per un periodo di tempo breve rispetto alla vita nominale della struttura;
- Q_{ki} rappresenta il valore caratteristico della i -esima azione variabile;
- $\gamma_g, \gamma_q, \gamma_p$ coefficienti parziali come definiti nella Tab. 2.6.I del D.M. 2018;
- ψ_{0i} sono i coefficienti di combinazione per tenere conto della ridotta probabilità di concomitanza delle azioni variabili con i rispettivi valori caratteristici.

Le **134 combinazioni** risultanti sono state costruite a partire dalle sollecitazioni caratteristiche calcolate per ogni condizione di carico elementare: ciascuna condizione di carico accidentale, a rotazione, è stata considerata sollecitazione di base (Q_{k1} nella formula precedente).

I coefficienti relativi a tali combinazioni di carico sono riportati negli allegati "*Tabulati di calcolo*".

In zona sismica, oltre alle sollecitazioni derivanti dalle generiche condizioni di carico statiche, devono essere considerate anche le sollecitazioni derivanti dal sisma. L'azione sismica è stata combinata con le altre azioni secondo la seguente relazione:

$$G_1 + G_2 + P + E + \sum_i \psi_{2i} \cdot Q_{ki}$$

dove:

- E rappresenta l'azione sismica per lo stato limite in esame;
- G_1 rappresenta peso proprio di tutti gli elementi strutturali;
- G_2 rappresenta il peso proprio di tutti gli elementi non strutturali;
- P rappresenta l'azione di pretensione e/o precompressione;
- ψ_{2i} coefficiente di combinazione delle azioni variabili Q_i ;
- Q_{ki} valore caratteristico dell'azione variabile Q_i .

Gli effetti dell'azione sismica sono valutati tenendo conto delle masse associate ai seguenti carichi gravitazionali:

$$G_k + \sum_i (\psi_{2i} \cdot Q_{ki})$$

I valori dei coefficienti ψ_{2i} sono riportati nella seguente tabella:

Categoria/Azione	ψ_{2i}
Categoria A - Ambienti ad uso residenziale	0,3
Categoria B - Uffici	0,3
Categoria C - Ambienti suscettibili di affollamento	0,6
Categoria D - Ambienti ad uso commerciale	0,6
Categoria E - Biblioteche, archivi, magazzini e ambienti ad uso industriale	0,8
Categoria F - Rimesse e parcheggi (per autoveicoli di peso ≤ 30 kN)	0,6
Categoria G - Rimesse e parcheggi (per autoveicoli di peso > 30 kN)	0,3
Categoria H - Coperture	0,0
Categoria I - Coperture praticabili	*
Categoria K - Coperture per usi speciali (impianti, eliporti, ...)	*
Vento	0,0
Neve (a quota ≤ 1000 m s.l.m.)	0,0
Neve (a quota > 1000 m s.l.m.)	0,2
Variazioni termiche	0,0
* "Da valutarsi caso per caso"	

Le verifiche strutturali e geotecniche delle fondazioni, sono state effettuate con l'**Approccio 2** come definito al §2.6.1 del D.M. 2018, attraverso la combinazione **A1+M1+R3**. Le azioni sono state amplificate tramite i coefficienti della colonna A1 definiti nella Tab. 6.2.I del D.M. 2018.

I valori di resistenza del terreno sono stati ridotti tramite i coefficienti della colonna M1 definiti nella Tab. 6.2.II del D.M. 2018.

I valori calcolati delle resistenze totali dell'elemento strutturale sono stati divisi per i coefficienti R3 della Tab. 6.4.I del D.M. 2018 per le fondazioni superficiali.

Si è quindi provveduto a progettare le armature di ogni elemento strutturale per ciascuno dei valori ottenuti secondo le modalità precedentemente illustrate. Nella sezione relativa alle verifiche dei "Tabulati di calcolo" in allegato sono riportati, per brevità, i valori della sollecitazione relativi alla combinazione cui corrisponde il minimo valore del coefficiente di sicurezza.

7.2 Stato Limite di Danno

L'azione sismica, ottenuta dallo spettro di progetto per lo Stato Limite di Danno, è stata combinata con le altre azioni mediante una relazione del tutto analoga alla precedente:

$$G_1 + G_2 + P + E + \sum_i \psi_{2i} \cdot Q_{ki}$$

dove:

- E rappresenta l'azione sismica per lo stato limite in esame;
- G₁ rappresenta peso proprio di tutti gli elementi strutturali;
- G₂ rappresenta il peso proprio di tutti gli elementi non strutturali;
- P rappresenta l'azione di pretensione e/o precompressione;
- ψ_{2i} coefficiente di combinazione delle azioni variabili Q_i;
- Q_{ki} valore caratteristico dell'azione variabile Q_i.

Gli effetti dell'azione sismica sono valutati tenendo conto delle masse associate ai seguenti carichi gravitazionali:

$$G_k + \sum_i (\psi_{2i} \cdot Q_{ki})$$

I valori dei coefficienti ψ_{2i} sono riportati nella tabella di cui allo SLV.

7.3 Stati Limite di Esercizio

Allo Stato Limite di Esercizio le sollecitazioni con cui sono state semiprogettate le aste in c.a. sono state ricavate applicando le formule riportate nel D.M. 2018 al §2.5.3. Per le verifiche agli stati limite di esercizio, a seconda dei casi, si fa riferimento alle seguenti combinazioni di carico:

rara	frequente	quasi permanente
$\sum_{j \geq 1} G_{kj} + P + Q_{k1} + \sum_{i > 1} \psi_{0i} \cdot Q_{ki}$	$\sum_{j \geq 1} G_{kj} + P + \psi_{11} \cdot Q_{k1} + \sum_{i > 1} \psi_{2i} \cdot Q_{ki}$	$\sum_{j \geq 1} G_{kj} + P + \sum_{i > 1} \psi_{2i} \cdot Q_{ki}$

dove:

- G_{kj}: valore caratteristico della j-esima azione permanente;
- P_{kh}: valore caratteristico della h-esima deformazione impressa;
- Q_{ki}: valore caratteristico dell'azione variabile di base di ogni combinazione;
- Q_{ki}: valore caratteristico della i-esima azione variabile;
- ψ_{0i}: coefficiente atto a definire i valori delle azioni ammissibili di durata breve ma ancora significativi nei riguardi della possibile concomitanza con altre azioni variabili;
- ψ_{1i}: coefficiente atto a definire i valori delle azioni ammissibili ai frattili di ordine 0,95 delle distribuzioni dei valori istantanei;
- ψ_{2i}: coefficiente atto a definire i valori quasi permanenti delle azioni ammissibili ai valori medi delle distribuzioni dei valori istantanei.

Ai coefficienti ψ_{0i}, ψ_{1i}, ψ_{2i} sono attribuiti i seguenti valori:

Azione	ψ _{0i}	ψ _{1i}	ψ _{2i}
Categoria A – Ambienti ad uso residenziale	0,7	0,5	0,3
Categoria B – Uffici	0,7	0,5	0,3
Categoria C – Ambienti suscettibili di affollamento	0,7	0,7	0,6
Categoria D – Ambienti ad uso commerciale	0,7	0,7	0,6
Categoria E – Biblioteche, archivi, magazzini e ambienti ad uso industriale	1,0	0,9	0,8
Categoria F – Rimesse e parcheggi (per autoveicoli di peso ≤ 30 kN)	0,7	0,7	0,6
Categoria G – Rimesse e parcheggi (per autoveicoli di peso > 30 kN)	0,7	0,5	0,3
Categoria H – Coperture	0,0	0,0	0,0

Vento	0,6	0,2	0,0
Neve (a quota ≤ 1000 m s.l.m.)	0,5	0,2	0,0
Neve (a quota > 1000 m s.l.m.)	0,7	0,5	0,2
Variazioni termiche	0,6	0,5	0,0

In maniera analoga a quanto illustrato nel caso dello SLU le combinazioni risultanti sono state costruite a partire dalle sollecitazioni caratteristiche calcolate per ogni condizione di carico; a turno ogni condizione di carico accidentale è stata considerata sollecitazione di base [Q_{k1} nella formula (1)], con ciò dando origine a tanti valori combinati. Per ognuna delle combinazioni ottenute, in funzione dell'elemento (trave, pilastro, etc...) sono state effettuate le verifiche allo SLE (tensioni, deformazioni e fessurazione).

Negli allegati "*Tabulati Di Calcolo*" sono riportati i coefficienti relativi alle combinazioni di calcolo generate relativamente alle combinazioni di azioni "**Quasi Permanente**" (1), "**Frequente**" (6) e "**Rara**" (19).

Nelle sezioni relative alle verifiche allo SLE dei citati tabulati, inoltre, sono riportati i valori delle sollecitazioni relativi alle combinazioni che hanno originato i risultati più gravosi.

7.4 Azione del Vento

L'applicazione dell'azione del vento sulla struttura si articola in due fasi:

1. calcolo della pressione Normale e Tangenziale lungo l'altezza dell'edificio;
2. trasformazione delle pressioni in forze (lineari/concentrate) sugli elementi (strutturali/non strutturali) dell'edificio.

7.4.1 Calcolo pressione normale e tangenziale

Per il caso in esame:

VENTO - CALCOLO PRESSIONE DEL VENTO

Vento - calcolo pressione del vento								
Z	q _b	C _e	C _p	C _d	p	Scz	C _f	p _f
[m]	[N/m ²]				[N/m ²]			[N/m ²]
0,00	-	-	-	-	703	-	-	7
3,00	-	-	-	-	703	-	-	7

LEGENDA:

- Z** Altezza dell'edificio a cui viene calcolata la pressione del vento;
- q_b** Pressione cinetica di riferimento.
- C_e** Coefficiente di esposizione;
- C_p** Coefficiente di forma/aerodinamico.
(*) Valorizzato al momento del calcolo della pressione agente sul singolo elemento strutturale ed è funzione della posizione dello stesso (sopravento/sottovento);
- C_d** Coefficiente dinamico;
- p** Pressione normale (senza il contributo di C_p);
- Scz** Scabrezza della superficie (liscia, scabra, molto scabra);
- C_f** Coefficiente d'attrito;
- p_f** Pressione tangenziale (senza il contributo di C_p).

7.4.2 Applicazione delle forze sulla struttura

Per ogni superficie esposta all'azione del vento si individua la posizione del baricentro e in corrispondenza di esso, dal diagramma delle pressioni dell'edificio, si ricava la pressione per unità di superficie.

Per gli elementi **strutturali** la pressione è trasformata in:

- forze lineari per i beam (*pilastri e travi*);
- forze nodali per le shell (*pareti, muri e solette*).

Per gli elementi **non strutturali** (*tamponature, solai e balconi*) la forza totale (pressione nel baricentro x superficie) viene divisa per il perimetro in modo da ottenere una forza per unità di lunghezza che viene applicata sugli elementi strutturali confinanti.

7.5 Azione della Neve

Il carico da neve è stato calcolato seguendo le prescrizioni del §3.4 del D.M. 2018 e le integrazioni della Circolare 2019 n. 7. Il carico da neve, calcolato come di seguito riportato, è stato combinato con le altre azioni variabili definite al §2.5.3, ed utilizzando i coefficienti di combinazione della Tabella 2.5.I del D.M. 2018. Il carico da neve superficiale da applicare sulle coperture è stato stimato utilizzando la relazione [cfr. §3.4.1 D.M. 2018]:

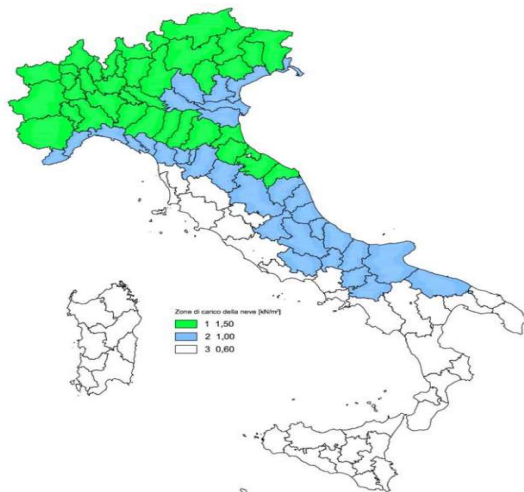
$$q_s = q_{sk} \cdot \mu_i \cdot C_e \cdot C_t$$

dove:

- q_{sk} è il valore di riferimento del carico della neve al suolo, in [kN/m²]. Tale valore è calcolato in base alla posizione ed all'altitudine (a_s) secondo quanto indicato alla seguente tabella;

Valori di riferimento del carico della neve al suolo, q_{sk} (cfr. §3.4.2 D.M. 2018)

Zona	$a_s \leq 200$ m	$a_s > 200$ m
I – Alpina	$q_{sk} = 1,50$ kN/m ²	$q_{sk} = 1,39 [1+(a_s/728)^2]$ kN/m ²
I – Mediterranea	$q_{sk} = 1,50$ kN/m ²	$q_{sk} = 1,35 [1+(a_s/602)^2]$ kN/m ²
II	$q_{sk} = 1,00$ kN/m ²	$q_{sk} = 0,85 [1+(a_s/481)^2]$ kN/m ²
III	$q_{sk} = 0,60$ kN/m ²	$q_{sk} = 0,51 [1+(a_s/481)^2]$ kN/m ²



Mappa delle zone di carico della neve [cfr. Fig. 3.4.1 D.M. 2018].

Zone di carico della neve

I - Alpina: Aosta, Belluno, Bergamo, Biella, Bolzano, Brescia, Como, Cuneo, Lecco, Pordenone, Sondrio, Torino, Trento, Udine, Verbano-Cusio-Ossola, Vercelli, Vicenza

I - Mediterranea: Alessandria, Ancona, Asti, Bologna, Cremona, Forlì-Cesena, Lodi, Milano, Modena, Monza Brianza, Novara, Parma, Pavia, Pesaro e Urbino, Piacenza, Ravenna, Reggio Emilia, Rimini, Treviso, Varese

II: Arezzo, Ascoli Piceno, Avellino, Bari, Barletta-Andria-Trani, Benevento, Campobasso, Chieti, Fermo, Ferrara, Firenze, Foggia, Frosinone, Genova, Gorizia, Imperia, Isernia, L'Aquila, La Spezia, Lucca, Macerata, Mantova, Massa Carrara, Padova, Perugia, Pescara, Pistoia, Prato, Rieti, Rovigo, Savona, Teramo, Trieste, Venezia, Verona

III: Agrigento, Brindisi, Cagliari, Caltanissetta, Carbonia-Iglesias, Caserta, Catania, Catanzaro, Cosenza, Crotone, Enna, Grosseto, Latina, Lecce, Livorno, Matera, Medio Campidano, Messina, Napoli, Nuoro, Ogliastra, Olbia-Tempio, Oristano, Palermo, Pisa, Potenza, Ragusa, Reggio Calabria, Roma, Salerno, Sassari, Siena, Siracusa, Taranto, Terni, Trapani, Vibo Valentia, Viterbo

- μ_i è il coefficiente di forma della copertura, funzione dell'inclinazione della falda (α) e della sua morfologia (vedi tabelle seguenti);

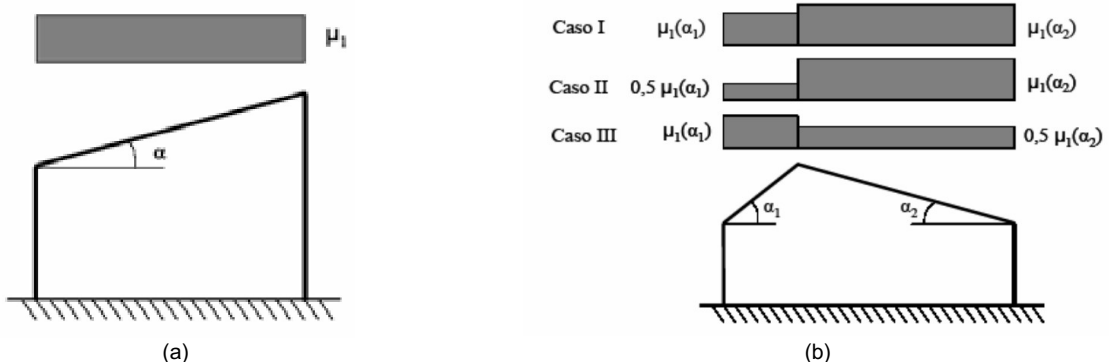
Valori dei coefficienti di forma per falde piane (cfr. Tab. 3.4.II D.M. 2018 e Tab. C3.4.I Circolare 2019 n. 7)

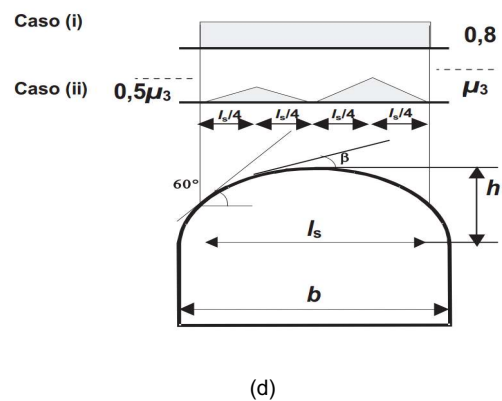
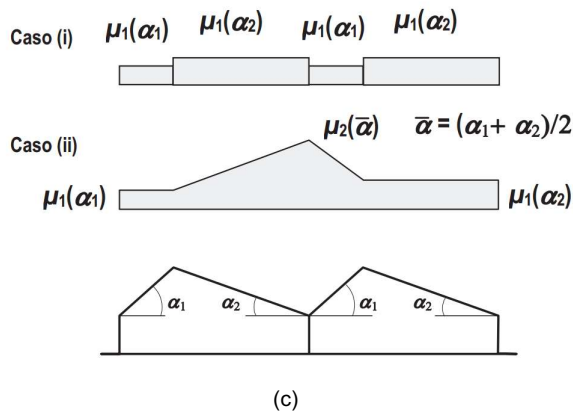
Coefficiente di forma	$0^\circ \leq \alpha \leq 30^\circ$	$30^\circ < \alpha < 60^\circ$	$\alpha \geq 60^\circ$
μ_1	0,8	$0,8 \cdot (60 - \alpha) / 30$	0,0
μ_2	$0,8 + 0,8 \cdot \alpha / 30$	1,6	-

Valori dei coefficienti di forma per coperture cilindriche (cfr. §C3.4.3.1 Circolare 2019 n. 7)

Angolo di tangenza delle coperture cilindriche, β	Coefficiente di forma, μ_3
per $\beta > 60^\circ$	$\mu_3 = 0$
per $\beta \leq 60^\circ$	$\mu_3 = 0,2 + 10 h / b \leq 2,0$

I coefficienti di forma definiti nelle tabelle precedenti sono stati utilizzati per la scelta delle combinazioni di carico da neve indicate nelle seguenti figure.





Coefficienti di forma e relative combinazioni di carico per la neve: (a) coperture ad una falda [cfr. 3.4.5.2 D.M. 2018], (b) coperture a due falde [cfr. 3.4.5.3 D.M. 2018], (c) coperture a più falde [cfr. C3.4.3.3 Circolare 2019 n. 7], (d) coperture cilindriche [cfr. C3.4.3.3.1 Circolare 2019 n. 7].

- C_E è il coefficiente di esposizione, funzione della topografia del sito (si veda la seguente tabella);

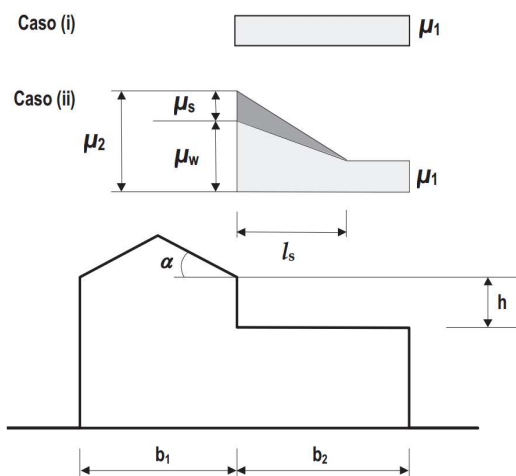
Valori di C_E per diverse classi di esposizione (cfr. Tab. 3.4.1 D.M. 2018)

Topografia	Descrizione	C_E
Battuta dai venti	Aree pianeggianti non ostruite esposte su tutti i lati, senza costruzioni o alberi più alti	0,9
Normale	Aree in cui non è presente una significativa rimozione di neve sulla costruzione prodotta dal vento, a causa del terreno, altre costruzioni o alberi	1,0
Riparata	Aree in cui la costruzione considerata è sensibilmente più bassa del circostante terreno o circondata da costruzioni o alberi più alti	1,1

- C_t è il coefficiente termico, cautelativamente posto pari ad 1 (cfr. §3.4.4 D.M. 2018).

7.5.1 Coperture adiacenti ed effetti locali

Nel caso di coperture adiacenti, si è proceduto alla stima di un carico da neve aggiuntivo dovuto a fenomeni di accumulo (cfr. §3.4.3.3.3 Circolare 2019 n. 7).



Coefficienti di forma per coperture adiacenti

$$\begin{aligned} \mu_1 &= 0,8 \\ \mu_2 &= \mu_s + \mu_w \\ \mu_s &= 0 \text{ per } \alpha \leq 15^\circ \\ \mu_s &= 0,5 \mu_{sup} \text{ per } \alpha > 15^\circ \end{aligned}$$

dove:

$$\begin{aligned} \mu_{sup} &\text{ è il coefficiente valutato sulla copertura superiore} \\ \mu_w &= (b_1 + b_2) / 2 h \leq \gamma h / q_{sk} \\ \gamma &= 2 \text{ kN/m}^3 \text{ è il peso specifico della neve } s = 2 h \end{aligned}$$

Inoltre, deve risultare comunque:

$$\begin{aligned} 0,8 &\leq \mu_w \leq 4,0 \\ m &\leq l_s \leq 15 \text{ m} \end{aligned}$$

Ulteriori carichi aggiuntivi dovuti a neve sono stati considerati nelle seguenti casistiche:

- accumuli in corrispondenza di sporgenze (cfr. §C3.4.3.3.4 Circolare 2019 n. 7);
- accumuli di neve aggettante dai bordi sporgenti delle coperture (cfr. §C3.4.3.3.5 Circolare 2019 n. 7);
- accumuli in corrispondenza di barriere paraneve o altri ostacoli (cfr. §C3.4.3.3.6 Circolare 2019 n. 7).

8 - CODICE DI CALCOLO IMPIEGATO

8.1 Denominazione

Nome del Software	EdiLus
Versione	BIM ONE(c)
Caratteristiche del Software	Software per il calcolo di strutture agli elementi finiti per Windows
Numero di serie	15121423

Intestatario Licenza	PAPEO ing. NICOLA
Produzione e Distribuzione	ACCA software S.p.A. Contrada Rosole 13 83043 BAGNOLI IRPINO (AV) - Italy Tel. 0827/69504 r.a. - Fax 0827/601235 e-mail: info@acca.it - Internet: www.acca.it

8.2 Sintesi delle funzionalità generali

Il pacchetto consente di modellare la struttura, di effettuare il dimensionamento e le verifiche di tutti gli elementi strutturali e di generare gli elaborati grafici esecutivi.

È una procedura integrata dotata di tutte le funzionalità necessarie per consentire il calcolo completo di una struttura mediante il metodo degli elementi finiti (FEM); la modellazione della struttura è realizzata tramite elementi Beam (travi e pilastri) e Shell (platee, pareti, solette, setti, travi-parete).

L'input della struttura avviene per oggetti (travi, pilastri, solai, solette, pareti, etc.) in un ambiente grafico integrato; il modello di calcolo agli elementi finiti, che può essere visualizzato in qualsiasi momento in una apposita finestra, viene generato dinamicamente dal software.

Apposite funzioni consentono la creazione e la manutenzione di archivi Sezioni, Materiali e Carichi; tali archivi sono generali, nel senso che sono creati una tantum e sono pronti per ogni calcolo, potendoli comunque integrare/modificare in ogni momento.

L'utente non può modificare il codice ma soltanto eseguire delle scelte come:

- definire i vincoli di estremità per ciascuna asta (vincoli interni) e gli eventuali vincoli nei nodi (vincoli esterni);
- modificare i parametri necessari alla definizione dell'azione sismica;
- definire condizioni di carico;
- definire gli impalcati come rigidi o meno.

Il programma è dotato di un manuale tecnico ed operativo. L'assistenza è effettuata direttamente dalla casa produttrice, mediante linea telefonica o e-mail.

Il calcolo si basa sul solutore agli elementi finiti **MICROSAP** prodotto dalla società **TESYS srl**. La scelta di tale codice è motivata dall'elevata affidabilità dimostrata e dall'ampia documentazione a disposizione, dalla quale risulta la sostanziale uniformità dei risultati ottenuti su strutture standard con i risultati internazionalmente accettati ed utilizzati come riferimento.

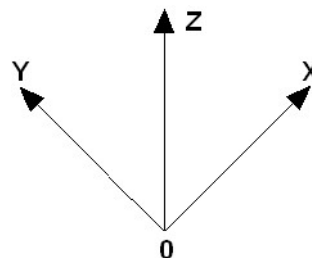
Tutti i risultati del calcolo sono forniti, oltre che in formato numerico, anche in formato grafico permettendo così di evidenziare agevolmente eventuali incongruenze.

Il programma consente la stampa di tutti i dati di input, dei dati del modello strutturale utilizzato, dei risultati del calcolo e delle verifiche dei diagrammi delle sollecitazioni e delle deformate.

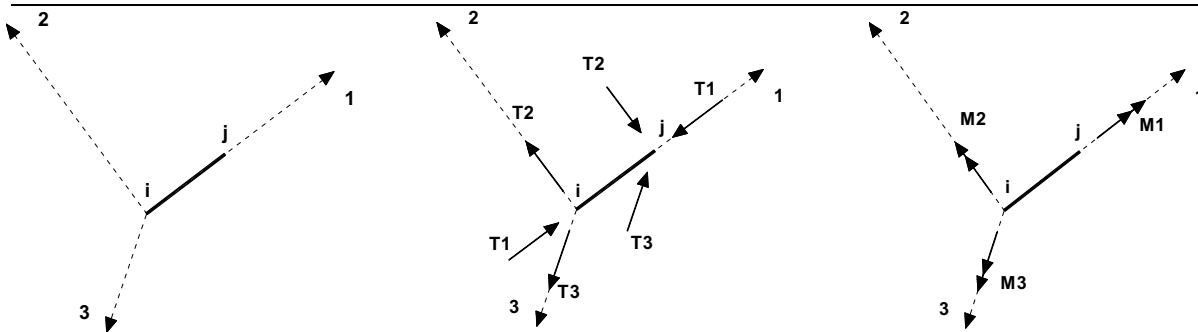
8.3 Sistemi di Riferimento

8.3.1 Riferimento globale

Il sistema di riferimento globale, rispetto al quale va riferita l'intera struttura, è costituito da una terna di assi cartesiani sinistrorsa O, X, Y, Z (X, Y, e Z sono disposti e orientati rispettivamente secondo il pollice, l'indice ed il medio della mano destra, una volta posizionati questi ultimi a 90° tra loro).



8.3.2 Riferimento locale per travi



L'elemento Trave è un classico elemento strutturale in grado di ricevere Carichi distribuiti e Carichi Nodali applicati ai due nodi di estremità; per effetto di tali carichi nascono, negli estremi, sollecitazioni di taglio, sforzo normale, momenti flettenti e torcenti.

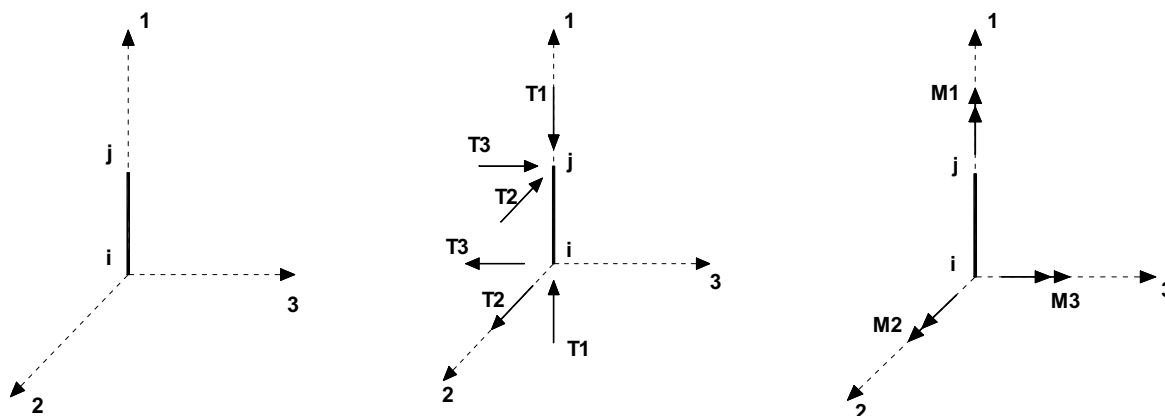
Definiti i e j (nodi iniziale e finale della Trave) viene individuato un sistema di assi cartesiani 1-2-3 locale all'elemento, con origine nel Nodo i così composto:

- asse 1 orientato dal nodo i al nodo j;
- assi 2 e 3 appartenenti alla sezione dell'elemento e coincidenti con gli assi principali d'inerzia della sezione stessa.

Le sollecitazioni verranno fornite in riferimento a tale sistema di riferimento:

1. Sollecitazione di Trazione o Compressione T_1 (agente nella direzione i-j);
2. Sollecitazioni taglienti T_2 e T_3 , agenti nei due piani 1-2 e 1-3, rispettivamente secondo l'asse 2 e l'asse 3;
3. Sollecitazioni che inducono flessione nei piani 1-3 e 1-2 (M_2 e M_3);
4. Sollecitazione torcente M_1 .

8.3.3 Riferimento locale per pilastri



Definiti i e j come i due nodi iniziale e finale del pilastro, viene individuato un sistema di assi cartesiani 1-2-3 locale all'elemento, con origine nel Nodo i così composto:

- asse 1 orientato dal nodo i al nodo j;
- asse 2 perpendicolare all' asse 1, parallelo e discorde all'asse globale Y;
- asse 3 che completa la terna destrorsa, parallelo e concorde all'asse globale X.

Tale sistema di riferimento è valido per Pilastri con angolo di rotazione pari a '0' gradi; una rotazione del pilastro nel piano XY ha l'effetto di ruotare anche tale sistema (ad es. una rotazione di '90' gradi porterebbe l'asse 2 a essere parallelo e concorde all'asse X, mentre l'asse 3 sarebbe parallelo e concorde all'asse globale Y). La rotazione non ha alcun effetto sull'asse 1 che coinciderà sempre e comunque con l'asse globale Z.

Per quanto riguarda le sollecitazioni si ha:

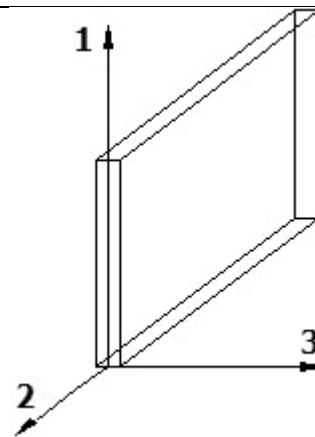
- una forza di trazione o compressione T_1 , agente lungo l'asse locale 1;
- due forze taglienti T_2 e T_3 agenti lungo i due assi locali 2 e 3;
- due vettori momento (flettente) M_2 e M_3 agenti lungo i due assi locali 2 e 3;
- un vettore momento (torcente) M_1 agente lungo l'asse locale nel piano 1.

8.3.4 Riferimento locale per pareti

Una parete è costituita da una sequenza di setti; ciascun setto è caratterizzato da un sistema di riferimento locale 1-2-3 così individuato:

- asse 1, coincidente con l'asse globale Z;
- asse 2, parallelo e discorde alla linea d'asse della traccia del setto in pianta;
- asse 3, ortogonale al piano della parete, che completa la terna levogira.

Su ciascun setto l'utente ha la possibilità di applicare uno o più carichi uniformemente distribuiti comunque orientati nello spazio; le componenti di tali carichi possono essere fornite, a discrezione dell'utente, rispetto al riferimento globale X,Y,Z oppure rispetto al riferimento locale 1,2,3 appena definito.



Si rende necessario, a questo punto, meglio precisare le modalità con cui EdiLus restituisce i risultati di calcolo. Nel modello di calcolo agli elementi finiti ciascun setto è discretizzato in una serie di elementi tipo "shell" interconnessi; il solutore agli elementi finiti integrato nel programma EdiLus, definisce un riferimento locale per ciascun elemento shell e restituisce i valori delle tensioni esclusivamente rispetto a tali riferimenti.

Il software EdiLus provvede ad omogeneizzare tutti i valori riferendoli alla terna 1-2-3. Tale operazione consente, in fase di input, di ridurre al minimo gli errori dovuti alla complessità d'immissione dei dati stessi ed allo stesso tempo di restituire all'utente dei risultati facilmente interpretabili.

Tutti i dati cioè, sia in fase di input che in fase di output, sono organizzati secondo un criterio razionale vicino al modo di operare del tecnico e svincolato dal procedimento seguito dall'elaboratore elettronico.

In tal modo ad esempio, il significato dei valori delle tensioni può essere compreso con immediatezza non solo dal progettista che ha operato con il programma ma anche da un tecnico terzo non coinvolto nell'elaborazione; entrambi, così, potranno controllare con facilità dal tabulato di calcolo, la congruità dei valori riportati.

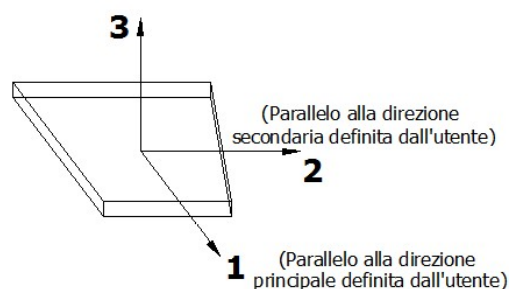
Un'ultima notazione deve essere riservata alla modalità con cui il programma fornisce le armature delle pareti, con riferimento alla faccia anteriore e posteriore.

La faccia anteriore è quella di normale uscente concorde all'asse 3 come prima definito o, identicamente, quella posta alla destra dell'osservatore che percorresse il bordo superiore della parete concordemente al verso di tracciamento.

8.3.5 Riferimento locale per solette e platee

Ciascuna soletta e platea è caratterizzata da un sistema di riferimento locale 1,2,3 così definito:

- asse 1, coincidente con la direzione principale di armatura;
- asse 2, coincidente con la direzione secondaria di armatura;
- asse 3, ortogonale al piano della parete, che completa la terna levogira.



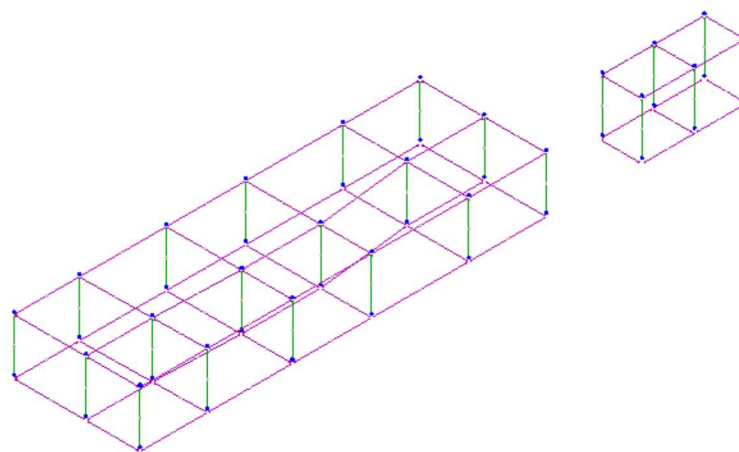
8.4 Modello di Calcolo

Il modello della struttura viene creato automaticamente dal codice di calcolo, individuando i vari elementi strutturali e fornendo le loro caratteristiche geometriche e meccaniche.

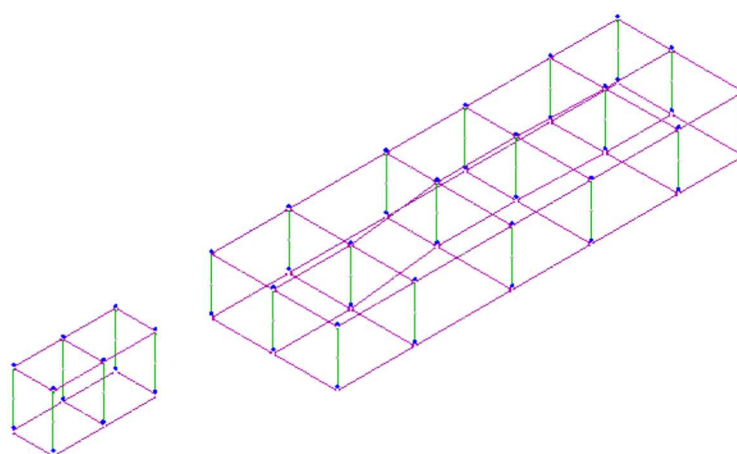
Viene definita un'opportuna numerazione degli elementi (nodi, aste, shell) costituenti il modello, al fine di individuare celermente ed univocamente ciascun elemento nei "Tabulati di calcolo".

Qui di seguito è fornita una rappresentazione grafica dettagliata della discretizzazione operata con evidenziazione dei nodi e degli elementi.

Vista Anteriore



Vista Posteriore



Le aste in **c.a.**, sia travi che pilastri, sono schematizzate con un tratto flessibile centrale e da due tratti (braccetti) rigidi alle estremità. I nodi vengono posizionati sull'asse verticale dei pilastri, in corrispondenza dell'estradosso della trave più alta che in esso si collega. Tramite i braccetti i tratti flessibili sono quindi collegati ad esso. In questa maniera il nodo risulta perfettamente aderente alla realtà poiché vengono presi in conto tutti gli eventuali disassamenti degli elementi con gli effetti che si possono determinare, quali momenti flettenti/torcenti aggiuntivi.

Le sollecitazioni vengono determinate solo per il tratto flessibile. Sui tratti rigidi, infatti, essendo (teoricamente) nulle le deformazioni, le sollecitazioni risultano indeterminate.

Questa schematizzazione dei nodi viene automaticamente realizzata dal programma anche quando il nodo sia determinato dall'incontro di più travi senza il pilastro, o all'attacco di travi/pilastri con elementi shell.

La modellazione del materiale degli elementi in c.a., acciaio e legno segue la classica teoria dell'elasticità lineare; per cui il materiale è caratterizzato oltre che dal peso specifico, da un modulo elastico (E) e un modulo tagliante (G).

La possibile fessurazione degli elementi in c.a. è stata tenuta in conto nel modello considerando un opportuno decremento del modulo di elasticità e del modulo di taglio, nei limiti di quanto previsto dalla normativa vigente per ciascuno stato limite.

Gli eventuali elementi di **fondazione** (travi, platee, plinti, plinti su pali e pali) sono modellati assumendo un comportamento elastico-lineare sia a trazione che a compressione.

9 PROGETTO E VERIFICA DEGLI ELEMENTI STRUTTURALI

La verifica degli elementi allo SLU avviene col seguente procedimento:

- si costruiscono le combinazioni non sismiche in base al D.M. 2018, ottenendo un insieme di sollecitazioni;
- si combinano tali sollecitazioni con quelle dovute all'azione del sisma secondo quanto indicato nel §2.5.3, relazione (2.5.5) del D.M. 2018;
- per sollecitazioni semplici (flessione retta, taglio, etc.) si individuano i valori minimo e massimo con cui progettare o verificare l'elemento considerato; per sollecitazioni composte (pressoflessione retta/deviata) vengono eseguite le verifiche per tutte le possibili combinazioni e solo a seguito di ciò si individua quella che ha originato il minimo coefficiente di sicurezza.

9.1 Verifiche di Resistenza

9.1.1 Elementi in C.A.

Illustriamo, in dettaglio, il procedimento seguito in presenza di pressoflessione deviata (pilastri e trave di sezione generica):

- per tutte le terne M_x , M_y , N , individuate secondo la modalità precedentemente illustrata, si calcola il coefficiente di sicurezza in base alla formula 4.1.19 del D.M. 2018, effettuando due verifiche a pressoflessione retta con la seguente formula:

$$\left(\frac{M_{Ex}}{M_{Rx}}\right)^\alpha + \left(\frac{M_{Ey}}{M_{Ry}}\right)^\alpha \leq 1$$

dove:

M_{Ex} , M_{Ey} sono i valori di calcolo delle due componenti di flessione retta dell'azione attorno agli assi di flessione X ed Y del sistema di riferimento locale;

M_{Rx} , M_{Ry} sono i valori di calcolo dei momenti resistenti di pressoflessione retta corrispondenti allo sforzo assiale N_{Ed} valutati separatamente attorno agli assi di flessione.

L'esponente α può dedursi in funzione della geometria della sezione, della percentuale meccanica dell'armatura e della sollecitazione di sforzo normale agente.

- se per almeno una di queste terne la relazione 4.1.19 non è rispettata, si incrementa l'armatura variando il diametro delle barre utilizzate e/o il numero delle stesse in maniera iterativa fino a quando la suddetta relazione è rispettata per tutte le terne considerate.

Sempre quanto concerne il progetto degli elementi in c.a. illustriamo in dettaglio il procedimento seguito per le travi verificate/semiprogettate a pressoflessione retta:

- per tutte le coppie M_x , N , individuate secondo la modalità precedentemente illustrata, si calcola il coefficiente di sicurezza in base all'armatura adottata;
- se per almeno una di queste coppie esso è inferiore all'unità, si incrementa l'armatura variando il diametro delle barre utilizzate e/o il numero delle stesse in maniera iterativa fino a quando il coefficiente di sicurezza risulta maggiore o al più uguale all'unità per tutte le coppie considerate.

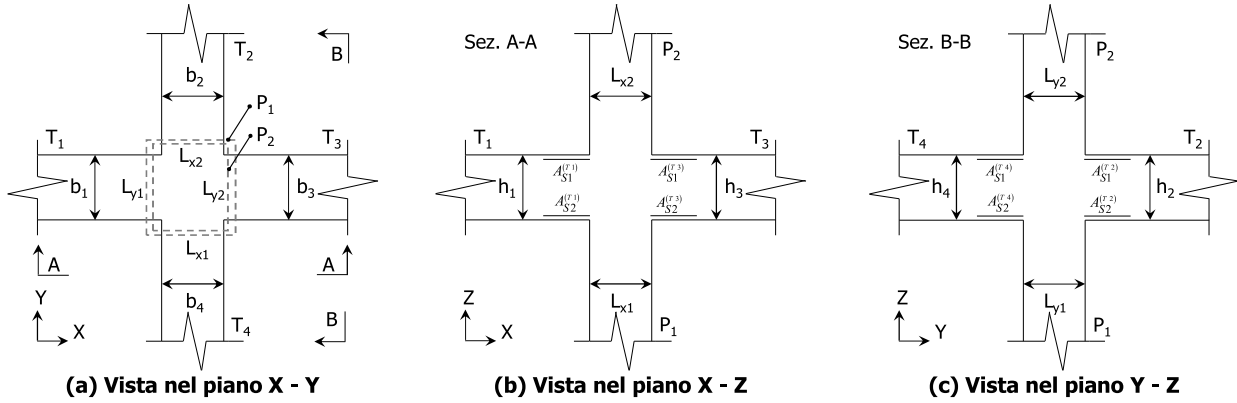
Nei "*Tabulati di calcolo*", per brevità, non potendo riportare una così grossa mole di dati, si riporta la terna M_x , M_y , N , o la coppia M_x , N che ha dato luogo al minimo coefficiente di sicurezza.

Una volta semiprogettate le armature allo SLU, si procede alla verifica delle sezioni allo Stato Limite di Esercizio con le sollecitazioni derivanti dalle combinazioni rare, frequenti e quasi permanenti; se necessario, le armature vengono integrate per far rientrare le tensioni entro i massimi valori previsti. si procede alle verifiche alla deformazione, quando richiesto, ed alla fessurazione che, come è noto, sono tese ad assicurare la durabilità dell'opera nel tempo.

9.1.1.1 Verifica di confinamento dei nodi

La progettazione dei nodi delle strutture in c.a. viene condotta secondo le prescrizioni del § 7.4.4.3 del D.M. 2018. Sono stati esclusi dalla verifica i nodi "interamente confinati", come definiti nel seguito, progettati in CD "B", ovvero quelli di strutture progettate come non dissipative, ai sensi del § C7.4.4.3.1 della Circolare 2019 del

D.M. 2018. Si consideri, in generale, lo schema di nodo rappresentato nella figura seguente in cui $n_t = 4$ e $n_p = 2$ sono, rispettivamente, il numero di travi e pilastri concorrenti nel nodo.



In base alle dimensioni geometriche delle membrature (travi e pilastri) concorrenti nel nodo è possibile classificare i nodi in:

- **Interamente Confinati [IC]**, se $n_t = 4$ e:

$$\min\{b_1, b_3\} \geq \frac{3}{4} \max\{L_{y1}, L_{y2}\} \qquad \min\{h_1, h_3\} \geq \frac{3}{4} \max\{h_1, h_3\}$$

$$\min\{b_2, b_4\} \geq \frac{3}{4} \max\{L_{x1}, L_{x2}\} \qquad \min\{h_2, h_4\} \geq \frac{3}{4} \max\{h_2, h_4\}$$

- **Non Interamente Confinati [NIC]**, se non tutte le precedenti condizioni sono rispettate.

In base all'ubicazione del nodo nella struttura è possibile distinguere tra:

- **Nodi Interni [NI]**: in cui, evidentemente, $n_t = 4$;
- **Nodi Esterni [NE]**, in cui $1 \leq n_t < 4$.

I nodi sono stati progettati considerando una sollecitazione tagliante pari a (cfr. [7.4.6-7] D.M. 2018):

$$V_{jbd}^{(T_i)} = \gamma_{Rd} \left(A_{S1}^{(T_i)} + A_{S2}^{(T_i)} \right) f_{yd} - V_C^{(P_{2,i})} \quad i = 1, \dots, n_t \quad [NI]$$

$$V_{jbd}^{(T_i)} = \gamma_{Rd} A_{S1}^{(T_i)} f_{yd} - V_C^{(P_{2,i})} \quad i = 1, \dots, n_t \quad [NE]$$

dove:

$\gamma_{Rd} = 1,20$ in CD-A e $1,10$ in CD-B ed in caso di comportamento non dissipativo (cfr. Tab. 7.2.I e § 7.4.1 D.M. 2018);

f_{yd} è la tensione di progetto dell'acciaio delle armature delle travi;

$V_C^{(P_{2,i})}$ è il taglio in condizioni sismiche del pilastro superiore, lungo la direzione della trave considerata:

$$V_C^{(P_{2,i})} = V_C^{(P_{2,x})} \quad i = 1, 3$$

$$V_C^{(P_{2,i})} = V_C^{(P_{2,y})} \quad i = 2, 4$$

Le terne (A_{S1}, A_{S2}, V_C) sono state scelte in modo da considerare la situazione più sfavorevole. La verifica a taglio-compressione si esegue controllando che (cfr. [7.4.8] D.M. 2018):

$$V_{jbd}^{(T_i)} \leq V_{R,jbd}^{(T_i)} = \eta f_{cd} b_j^{(T_i)} h_{jc}^{(P_{2,i})} \sqrt{1 - \frac{V_d}{\eta}}$$

dove:

$$\eta = \alpha_j \left(1 - \frac{f_{ck} [MPa]}{250} \right);$$

$\alpha_j = 0,48 (f_{ck,c}/f_{ck})$ (cfr. § C7.4.4.3.1 Circolare 2019 del D.M. 2018);

$f_{ck,c}$ è la resistenza a compressione cilindrica caratteristica del calcestruzzo confinato (cfr. § 4.1.2.1.2.1 D.M. 2018);

b_j è la larghezza effettiva del nodo, pari a:

$$b_j^{(T_i)} = \min\{b_{j1}^{(T_i)}, b_{j2}^{(T_i)}\} \quad i = 1, \dots, n_t$$

$$b_{j1}^{(T_i)} = \max \{L_{x1}, L_{x2}, b_i\} \quad i = 1,3$$

$$b_{j1}^{(T_i)} = \max \{L_{y1}, L_{y2}, b_i\} \quad i = 2,4$$

$$b_{j2}^{(T_i)} = \max \left\{ L_{x1} + \frac{L_{y1}}{2}, b_i + \frac{L_{y1}}{2} \right\} \quad i = 1,3$$

$$b_{j2}^{(T_i)} = \max \left\{ L_{y1} + \frac{L_{x1}}{2}, b_i + \frac{L_{x1}}{2} \right\} \quad i = 2,4$$

$h_{jc}^{(R_i)}$ è la distanza tra le armature del pilastro:

$$h_{jc}^{(R_i)} = L_{x1} - 2(c + \Phi_{st}) - \Phi_L \quad i = 1,3$$

$$h_{jc}^{(R_i)} = L_{y1} - 2(c + \Phi_{st}) - \Phi_L \quad i = 2,4$$

c , Φ_{st} e Φ_L sono, rispettivamente, il ricoprimento, il diametro delle staffe nel pilastro, ed il diametro delle armature longitudinali del pilastro;

$v_d = \frac{N_{Ed}^{(P_2)}}{L_{x2}L_{y2}f_{cd}}$ è lo sforzo normale adimensionalizzato del pilastro superiore.

Le armature a taglio per il confinamento del nodo sono progettate adottando la meno stringente tra la relazione ([7.4.10] D.M. 2018):

$$\frac{A_{sh,i} f_{ywd}}{b_j^{(T_i)} h_{jw}^{(T_i)}} \geq \frac{\left[\frac{V_{jbd}^{(T_i)}}{b_j^{(T_i)} h_{jw}^{(T_i)}} \right]}{f_{ctd} + v_d f_{cd}} - f_{ctd} \quad i = 1, \dots, n_t$$

dove:

$A_{sh,i}$ è l'armatura totale a taglio nel nodo nella direzione in esame:

$$A_{sh,i} = n_{st,i} n_{br,x} \left(\frac{\pi \Phi_{st}^2}{4} \right) \quad i = 1,3$$

$$A_{sh,i} = n_{st,i} n_{br,y} \left(\frac{\pi \Phi_{st}^2}{4} \right) \quad i = 2,4$$

$n_{st,i}$ è il numero totale di staffe nel nodo, uniformemente ripartito lungo l'altezza della trave in esame;

$n_{br,x}$ e $n_{br,y}$ sono il numero di bracci delle staffe nel nodo, nella direzione in esame;

Φ_{st} è il diametro delle staffe nel nodo;

f_{ywd} è la tensione di progetto dell'acciaio delle staffe;

$$h_{jw}^{(T_i)} = h_i - 2(c + \Phi_{st}) - \Phi_L \quad i$$

c , Φ_{st} e Φ_L sono, rispettivamente, il ricoprimento, il diametro delle staffe nella trave, ed il diametro delle armature longitudinali nella trave;

e le seguenti relazioni ([7.4.11-12] D.M. 2018):

$$A_{sh,i} f_{ywd} \geq \gamma_{Rd} \left(A_{s1}^{(T_i)} + A_{s2}^{(T_i)} \right) f_{yd} \left(1 - 0,8 v_d^{[NI]} \right) \quad i = 1, \dots, n_t \quad [NI]$$

$$A_{sh,i} f_{ywd} \geq \gamma_{Rd} A_{s1}^{(T_i)} f_{yd} \left(1 - 0,8 v_d^{[NE]} \right) \quad i = 1, \dots, n_t \quad [NE]$$

dove:

$v_d^{[NI]} = \frac{N_{Ed}^{(P_2)}}{L_{x2}L_{y2}f_{cd}}$ è lo sforzo normale adimensionalizzato del pilastro superiore;

$v_d^{[NE]} = \frac{N_{Ed}^{(R_1)}}{L_{x1}L_{y1}f_{cd}}$ è lo sforzo normale adimensionalizzato del pilastro inferiore.

Il passo delle staffe da disporre per tutta l'altezza del nodo (pari all'altezza maggiore delle travi in esso convergenti) è pari a:

$$p_{st} = \min_{i=1, \dots, n_t} \left\{ \frac{h_{jw}^{(T_i)}}{n_{st,i} + 1} \right\}$$

dove $n_{st} = \max_i n_{st,i}$ è il numero totale di staffe da disporre nel nodo.

9.1.1.2 Fondazioni superficiali

Le metodologie, i modelli usati ed i risultati del calcolo del **carico limite** sono esposti nella relazione GEOTECNICA.

9.2 Gerarchia delle Resistenze

9.2.1 Elementi in C.A.

Relativamente agli elementi in c.a., sono state applicate le disposizioni contenute al §7.4.4 del D.M. 2018. Più in particolare:

- per le **travi**, al fine di escludere la formazione di meccanismi inelastici dovuti al **taglio**, le sollecitazioni di calcolo si ottengono sommando il contributo dovuto ai carichi gravitazionali agenti sulla trave, considerata incernierata agli estremi, alle sollecitazioni di taglio corrispondenti alla formazione delle cerniere plastiche nella trave e prodotte dai momenti resistenti delle due sezioni di estremità, amplificati del fattore di sovrarresistenza γ_{Rd} assunto pari, rispettivamente, ad 1,20 per strutture in CD"A", ad 1,10 per strutture in CD"B". La verifica di resistenza è eseguita secondo le indicazioni del par. 7.4.4.1.1 D.M. 2018.
- per i **pilastr**i, al fine di scongiurare l'attivazione di meccanismi fragili globali, come il meccanismo di "piano debole" che comporta la plasticizzazione, anticipata rispetto alle travi, di gran parte dei pilastri di un piano, il progetto a **flessione** delle zone dissipative dei pilastri è effettuato considerando le sollecitazioni corrispondenti alla resistenza delle zone dissipative delle travi amplificata mediante il coefficiente γ_{Rd} che vale 1,3 in CD"A" e 1,3 per CD"B". In tali casi, generalmente, il meccanismo dissipativo prevede la localizzazione delle cerniere alle estremità delle travi e le sollecitazioni di progetto dei pilastri possono essere ottenute a partire dalle resistenze d'estremità delle travi che su di essi convergono, facendo in modo che, per ogni nodo trave-pilastro ed ogni direzione e verso dell'azione sismica, la resistenza complessiva dei pilastri sia maggiore della resistenza complessiva delle travi amplificata del coefficiente γ_{Rd} , in accordo con la formula (7.4.4) del D.M. 2018. Le verifiche di resistenza sono eseguite secondo le indicazioni del par. 7.4.4.2.1 D.M. 2018.
Al fine di escludere la formazione di meccanismi inelastici dovuti al **taglio**, le sollecitazioni di calcolo da utilizzare per le verifiche ed il dimensionamento delle armature si ottengono dalla condizione di equilibrio del pilastro soggetto all'azione dei momenti resistenti nelle sezioni di estremità superiore ed inferiore secondo l'espressione (7.4.5). Le verifiche di resistenza sono eseguite secondo le indicazioni del par. 7.4.4.2.1.
- per i **nodi trave-pilastro**, si deve verificare che la resistenza del nodo sia tale da assicurare che non pervenga a rottura prima delle zone della trave e del pilastro ad esso adiacente. L'azione di taglio, agente in direzione orizzontale per le varie direzioni del sisma, nel nucleo di calcestruzzo del nodo è calcolata secondo l'espressione (7.4.6) per i nodi interni e (7.4.7) per quelli esterni. Le verifiche di resistenza sono eseguite invece secondo le indicazioni del §7.4.4.3.1 D.M. 2018.
- per i **setti** sismo resistenti, le sollecitazioni di calcolo sono determinate secondo quanto indicato nel par. 7.4.4.5 D.M. 2018. Le verifiche di resistenza sono eseguite invece secondo le indicazioni del par. 7.4.4.5.1 D.M. 2018.

9.2.2 Fondazioni

Per quanto riguarda la struttura di fondazione sono applicate le disposizioni contenute al §7.2.5 del D.M. 2018. Più in particolare:

- le azioni trasmesse in fondazione derivano dall'analisi del comportamento dell'intera struttura, condotta esaminando la sola struttura in elevazione alla quale sono applicate le azioni statiche e sismiche;
- il dimensionamento della struttura di fondazione e la verifica di sicurezza del complesso fondazione-terreno sono eseguite, nell'ipotesi di comportamento strutturale dissipativo, assumendo come azioni in fondazione quelle trasferite dagli elementi soprastanti amplificate di un coefficiente γ_{Rd} pari a 1,1 in CD"B" e 1,3 in CD"A".

I risultati delle suddette verifiche sono riportate nei "*Tabulati di calcolo*".

9.3 DETTAGLI STRUTTURALI

Il progetto delle strutture è stato condotto rispettando i dettagli strutturali previsti dal D.M. 2018, nel seguito illustrati. Il rispetto dei dettagli può essere evinto, oltreché dagli elaborati grafici, anche dalle verifiche riportate nei tabulati allegati alla presente relazione.

10 - TABULATI DI CALCOLO

Per quanto non espressamente sopra riportato, ed in particolar modo per ciò che concerne i dati numerici di calcolo, si rimanda all'allegato "*Tabulati di calcolo*" costituente parte integrante della presente relazione ed allegati in coda.

IMPIANTO FOTOVOLTAICO UTILITY SCALE

SITO CAR 01 SV317_CARAPELLE

**TABULATI DI CALCOLO VANI ALLOGGIO IMPIANTI
EDIFICIO A e B**

INFORMAZIONI GENERALI

Edificio	Acciaio
Costruzione	Nuova
Situazione	-
Intervento	-
Comune	
Provincia	
Oggetto	Realizzazione di parco fotovoltaico di tipo tracker su pali infissi e telaio in acciaio - D'ISIDORO - MAN 1
Parte d'opera	
Normativa di riferimento	D.M. 17/01/2018
Calcolo semplificato per siti a bassa sismicità (§ 7.0)	-
Analisi sismica	Dinamica solo Orizzontale

MATERIALI CALCESTRUZZO ARMATO

N _{id}	γ _k [N/m ³]	α _{T, i} [1/°C]	E [N/mm ²]	G [N/mm ²]	C _{Erid} [%]	Stz	R _{ck} [N/mm ²]	R _{cm} [N/mm ²]	%R _{ck}	γ _c	Caratteristiche calcestruzzo armato				
											f _{cd} [N/mm ²]	f _{ctd} [N/mm ²]	f _{cfm} [N/mm ²]	N	n Ac
Cls C25/30_B450C - (C25/30)															
001	25 000	0,000010	31 447	13 103	60	P	30,00	-	0,85	1,50	14,11	1,19	3,07	15	002

LEGENDA:

N_{id}	Numero identificativo del materiale, nella relativa tabella dei materiali.
γ_k	Peso specifico.
α_{T, i}	Coefficiente di dilatazione termica.
E	Modulo elastico normale.
G	Modulo elastico tangenziale.
C_{Erid}	Coefficiente di riduzione del Modulo elastico normale per Analisi Sismica [E _{sisma} = E · C _{Erid}].
Stz	Tipo di situazione: [F] = di Fatto (Esistente); [P] = di Progetto (Nuovo).
R_{ck}	Resistenza caratteristica cubica.
R_{cm}	Resistenza media cubica.
%R_{ck}	Percentuale di riduzione della R _{ck}
γ_c	Coefficiente parziale di sicurezza del materiale.
f_{cd}	Resistenza di calcolo a compressione.
f_{ctd}	Resistenza di calcolo a trazione.
f_{cfm}	Resistenza media a trazione per flessione.
n Ac	Identificativo, nella relativa tabella materiali, dell'acciaio utilizzato: [-] = parametro NON significativo per il materiale.

MATERIALI ACCIAIO

N _{id}	γ _k [N/m ³]	α _{T, i} [1/°C]	E [N/mm ²]	G [N/mm ²]	Stz	f _{yk,1} /f _{yk,2} [N/mm ²]		f _{tk,1} /f _{tk,2} [N/mm ²]		f _{yd,1} /f _{yd,2} [N/mm ²]		f _{td} [N/mm ²]	γ _s	γ _{M1}	γ _{M2}	γ _{M3,SLV}	γ _{M3,SLE}	N _{Cnt}	γ _{M7} Cnt	
Acciaio B450C - (B450C)																				
002	78 500	0,000010	210 000	80 769	P	450,00	-	391,30	-	1,15	-	-	-	-	-	-	-	-	-	-

LEGENDA:

N_{id}	Numero identificativo del materiale, nella relativa tabella dei materiali.
γ_k	Peso specifico.
α_{T, i}	Coefficiente di dilatazione termica.
E	Modulo elastico normale.
G	Modulo elastico tangenziale.
Stz	Tipo di situazione: [F] = di Fatto (Esistente); [P] = di Progetto (Nuovo).
f_{tk,1}	Resistenza caratteristica a Rottura (per profili con t ≤ 40 mm).
f_{tk,2}	Resistenza caratteristica a Rottura (per profili con 40 mm < t ≤ 80 mm).
f_{td}	Resistenza di calcolo a Rottura (Bulloni).
γ_s	Coefficiente parziale di sicurezza allo SLV del materiale.
γ_{M1}	Coefficiente parziale di sicurezza per instabilità.
γ_{M2}	Coefficiente parziale di sicurezza per sezioni tese indebolite.
γ_{M3,SLV}	Coefficiente parziale di sicurezza per scorrimento allo SLV (Bulloni).
γ_{M3,SLE}	Coefficiente parziale di sicurezza per scorrimento allo SLE (Bulloni).
γ_{M7}	Coefficiente parziale di sicurezza precarico di bulloni ad alta resistenza (Bulloni - N _{Cnt} = con serraggio NON controllato; Cnt = con serraggio controllato). [-] = parametro NON significativo per il materiale.
f_{yk,1}	Resistenza caratteristica allo snervamento (per profili con t ≤ 40 mm).
f_{yk,2}	Resistenza caratteristica allo snervamento (per profili con 40 mm < t ≤ 80 mm).
f_{yd,1}	Resistenza di calcolo (per profili con t ≤ 40 mm).
f_{yd,2}	Resistenza di calcolo (per profili con 40 mm < t ≤ 80 mm).
NOTE	[-] = Parametro non significativo per il materiale.

TENSIONI AMMISSIBILI ALLO SLE DEI VARI MATERIALI

Materiale	SL	Tensioni ammissibili allo SLE dei vari materiali	
		Tensione di verifica	σ _{d,amm} [N/mm ²]
Clc C25/30_B450C	Caratteristica(RARA) Quasi permanente	Compressione Calcestruzzo	14,94
		Compressione Calcestruzzo	11,21
Acciaio B450C	Caratteristica(RARA)	Trazione Acciaio	360,00

LEGENDA:

SL	Stato limite di esercizio per cui si esegue la verifica.
σ_{d,amm}	Tensione ammissibile per la verifica.

TERRENI

N _{TRN}	γ _T [N/m ³]	K1			φ [°]	c _u [N/mm ²]	c' [N/mm ²]	E _d [N/mm ²]	E _{cu} [N/mm ²]	A _{S-B}
		K _{1X} [N/cm ²]	K _{1Y} [N/cm ²]	K _{1Z} [N/cm ²]						
Depositi siltosi e sabbiosi poco coesi										
T001	15 900	60	60	200	32	0,200	0,200	190	1	0,000

LEGENDA:

- N_{TRN}** Numero identificativo del terreno.
γ_T Peso specifico del terreno.
K1 Valori della costante di Winkler riferita alla piastra Standard di lato b = 30 cm nelle direzioni degli assi del riferimento globale X (K_{1X}), Y (K_{1Y}), e Z (K_{1Z}).
φ Angolo di attrito del terreno.
c_u Coesione non drenata.
c' Coesione efficace.
E_d Modulo edometrico.
E_{cu} Modulo elastico in condizione non drenate.
A_{S-B} Parametro "A" di Skempton-Bjerrum per pressioni interstiziali.

SEZIONI ASTE

N _{id}	Tp	Label	Dimensioni										v	A [cm ²]	Area per Taglio		Inerzia				ΔΘI _{pr} [°]
			B [cm]	H [cm]	Sp _w [cm]	L _w [cm]	Sp _{f,0} [cm]	L _{f,0} [cm]	Sp _{f,1} [cm]	L _{f,1} [cm]	L _{f,2} [cm]	L _{f,3} [cm]			A _{X,T} [cm ²]	A _{Y,T} [cm ²]	I _X [cm ⁴]	I _T [cm ⁴]	I _Y [cm ⁴]	I _{XY} [cm ⁴]	
001	▣	40x25	40	25	-	-	-	-	-	-	-	-	4	1 000	833	833	52 083	126 525	133 333	0	0,00
002	▣	50x25	50	25	-	-	-	-	-	-	-	-	4	1 250	1 042	1 042	65 104	178 906	260 417	0	0,00
003	▣	30x25	30	25	-	-	-	-	-	-	-	-	4	750	625	625	39 063	77 859	56 250	0	0,00
004	▣	60x40	60	40	-	-	-	-	-	-	-	-	4	2 400	2 000	2 000	320 000	751 872	720 000	0	0,00
005	▣	30x40	30	40	-	-	-	-	-	-	-	-	4	1 200	1 000	1 000	160 000	193 644	90 000	0	0,00
006	▣	30x30	30	30	-	-	-	-	-	-	-	-	4	900	750	750	67 500	113 886	67 500	0	0,00
007	▣	25x25	25	25	-	-	-	-	-	-	-	-	4	625	521	521	32 552	54 922	32 552	0	0,00

LEGENDA:

- N_{id}** Numero identificativo della sezione.
Tp Tipo di sezione.
Label Identificativo della sezione come indicato nelle carpenterie.
B Base/Diametro/Raggio.
H Altezza/Lato/Altezza di colmo.
Sp_w Spessore anima.
L_w Lunghezza anima.
Sp_{f,0} Spessore ala 0.
L_{f,0} Lunghezza ala 0.
Sp_{f,1} Spessore ala 1.
L_{f,1} Lunghezza ala 1.
L_{f,2} Lunghezza ala 2.
L_{f,3} Lunghezza ala 3.
v Nel caso di sezioni poligonali, indica il numero dei vertici della sezione.
A Area della sezione.
ΔΘI_{pr} Rotazione degli assi principali d'inerzia rispetto agli assi X, Y, espresse in gradi sessadecimali.
Inerzia Inerzie della sezione rispetto agli assi.

ANALISI CARICHI

N _{id}	T. C.	Descrizione del Carico	Tipologie di Carico	Peso Proprio		Permanente NON Strutturale		Sovraccarico Accidentale		Carico Neve [N/m ²]
				Descrizione	PP	Descrizione	PNS	Descrizione	SA	
001	S	Pannello sandwich	Carico Permanente	Pannello sandwich coibentato da 6cm	300	Incidenza intelaiatura intermedia	200		0	0
002	S	Siporex o similari	Carico Permanente	Tamponatura in monoblocco clavato tipo siporex	1 600	Intonaco interno, intonaco esterno, isolante poliuretano espanso	740		0	0
003	S	LatCem Cop.non acc. H25	Coperture accessibili solo per manutenzione	Solaio di tipo tradizionale latero-cementizio di spessore 25 cm (20+5)	3 350	Manto di copertura, impermeabilizzazione e intonaco inferiore	1 360	Coperture accessibili per sola manutenzione (Cat. H - Tab. 3.1.II - DM 17.01.2018)	500	720
004	S	LatCem Balcone H25	Coperture accessibili solo per manutenzione	Solaio di tipo tradizionale latero-cementizio di spessore 25 cm (20+5)	3 350	Pavimento, sottofondo e intonaco inferiore	1 360	Coperture accessibili per sola manutenzione (Cat. H - Tab. 3.1.II - DM 17.01.2018)	500	720

LEGENDA:

- N_{id}** Numero identificativo dell'analisi di carico.
T. C. Identificativo del tipo di carico: [S] = Superficiale - [L] = Lineare - [C] = Concentrato.
PP, PNS, SA Valori, rispettivamente, del Peso Proprio, del Sovraccarico Permanente NON strutturale, del Sovraccarico Accidentale. Secondo il tipo di carico indicato nella colonna "T.C." ("S" - "L" - "C"), i valori riportati nelle colonne "PP", "PNS" e "SA", sono espressi in [N/m²] per carichi Superficiali, [N/m] per carichi Lineari, [N] per carichi Concentrati.

TIPOLOGIE DI CARICO

N _{id}	Descrizione	Tipologie di carico		
		F+E	+/- F	CDC
0001	Carico Permanente	SI	NO	Permanente
0002	Permanenti NON Strutturali	SI	NO	Permanente
0003	Coperture accessibili solo per manutenzione	SI	NO	Media
0004	Carico da Neve <= 1000 m s.l.m.	SI	NO	Breve
0005	Pressione del Vento (+X)	NO	NO	Istantanea

N _{id}	Descrizione	F+E	+/- F	CDC	Tipologie di carico		
					ψ ₀	ψ ₁	ψ ₂
0006	Pressione del Vento (-X)	NO	NO	Istantanea	0,60	0,20	0,00
0007	Pressione del Vento (+Y)	NO	NO	Istantanea	0,60	0,20	0,00
0008	Pressione del Vento (-Y)	NO	NO	Istantanea	0,60	0,20	0,00
0009	Sisma X	-	-	-	-	-	-
0010	Sisma Y	-	-	-	-	-	-
0011	Sisma Z	-	-	-	-	-	-
0012	Sisma Ecc.X	-	-	-	-	-	-
0013	Sisma Ecc.Y	-	-	-	-	-	-

LEGENDA:

N_{id} Numero identificativo della Tipologia di Carico.

F+E Indica se la tipologia di carico considerata è AGENTE con il sisma.

+/- F Indica se la tipologia di carico è ALTERNATA (cioè considerata due volte con segno opposto) o meno.

CDC Indica la classe di durata del carico.

NOTA: dato significativo solo per elementi in materiale legnoso.

ψ₀ Coefficiente riduttivo dei carichi allo SLU e SLE (carichi rari).

ψ₁ Coefficiente riduttivo dei carichi allo SLE (carichi frequenti).

ψ₂ Coefficiente riduttivo dei carichi allo SLE (carichi frequenti e quasi permanenti).

SLU: Non Sismica - Strutturale senza azioni geotecniche

Id _{Comb}	SLU: Non Sismica - Strutturale senza azioni geotecniche							
	CC 01 Carico Permanente	CC 02 Permanenti NON Strutturali	CC 03 Coperture accessibili solo per manutenzione	CC 04 Carico da Neve <= 1000 m s.l.m.	CC 05 Pressione del Vento (+X)	CC 06 Pressione del Vento (-X)	CC 07 Pressione del Vento (+Y)	CC 08 Pressione del Vento (-Y)
01	1,00	0,00	0,00	0,00	0,00	0,00	0,00	0,00
02	1,00	0,80	0,00	0,00	0,00	0,00	0,00	0,00
03	1,00	0,80	0,00	0,00	0,00	0,00	0,00	0,90
04	1,00	0,80	0,00	0,00	0,00	0,00	0,90	0,00
05	1,00	0,80	0,00	0,00	0,00	0,90	0,00	0,00
06	1,00	0,80	0,00	0,00	0,90	0,00	0,00	0,00
07	1,00	0,80	0,00	0,75	0,00	0,00	0,00	0,00
08	1,00	0,80	0,00	0,75	0,00	0,00	0,00	0,90
09	1,00	0,80	0,00	0,75	0,00	0,00	0,90	0,00
10	1,00	0,80	0,00	0,75	0,00	0,90	0,00	0,00
11	1,00	0,80	0,00	0,75	0,90	0,00	0,00	0,00
12	1,00	1,50	0,00	0,00	0,00	0,00	0,00	0,00
13	1,00	1,50	0,00	0,00	0,00	0,00	0,00	0,90
14	1,00	1,50	0,00	0,00	0,00	0,00	0,90	0,00
15	1,00	1,50	0,00	0,00	0,00	0,90	0,00	0,00
16	1,00	1,50	0,00	0,00	0,90	0,00	0,00	0,00
17	1,00	1,50	0,00	0,75	0,00	0,00	0,00	0,00
18	1,00	1,50	0,00	0,75	0,00	0,00	0,00	0,90
19	1,00	1,50	0,00	0,75	0,00	0,00	0,90	0,00
20	1,00	1,50	0,00	0,75	0,00	0,90	0,00	0,00
21	1,00	1,50	0,00	0,75	0,90	0,00	0,00	0,00
22	1,00	0,80	1,50	0,00	0,00	0,00	0,00	0,00
23	1,00	0,80	1,50	0,00	0,00	0,00	0,00	0,90
24	1,00	0,80	1,50	0,00	0,00	0,00	0,90	0,00
25	1,00	0,80	1,50	0,00	0,00	0,90	0,00	0,00
26	1,00	0,80	1,50	0,00	0,90	0,00	0,00	0,00
27	1,00	0,80	1,50	0,75	0,00	0,00	0,00	0,00
28	1,00	0,80	1,50	0,75	0,00	0,00	0,00	0,90
29	1,00	0,80	1,50	0,75	0,00	0,00	0,90	0,00
30	1,00	0,80	1,50	0,75	0,00	0,90	0,00	0,00
31	1,00	0,80	1,50	0,75	0,90	0,00	0,00	0,00
32	1,00	1,50	1,50	0,00	0,00	0,00	0,00	0,00
33	1,00	1,50	1,50	0,00	0,00	0,00	0,00	0,90
34	1,00	1,50	1,50	0,00	0,00	0,00	0,90	0,00
35	1,00	1,50	1,50	0,00	0,00	0,90	0,00	0,00
36	1,00	1,50	1,50	0,00	0,90	0,00	0,00	0,00
37	1,00	1,50	1,50	0,75	0,00	0,00	0,00	0,00
38	1,00	1,50	1,50	0,75	0,00	0,00	0,00	0,90
39	1,00	1,50	1,50	0,75	0,00	0,00	0,90	0,00
40	1,00	1,50	1,50	0,75	0,00	0,90	0,00	0,00
41	1,00	1,50	1,50	0,75	0,90	0,00	0,00	0,00
42	1,00	0,80	0,00	1,50	0,00	0,00	0,00	0,00
43	1,00	0,80	0,00	1,50	0,00	0,00	0,00	0,90
44	1,00	0,80	0,00	1,50	0,00	0,00	0,90	0,00
45	1,00	0,80	0,00	1,50	0,00	0,90	0,00	0,00
46	1,00	0,80	0,00	1,50	0,90	0,00	0,00	0,00
47	1,00	1,50	0,00	1,50	0,00	0,00	0,00	0,00
48	1,00	1,50	0,00	1,50	0,00	0,00	0,00	0,90
49	1,00	1,50	0,00	1,50	0,00	0,00	0,90	0,00
50	1,00	1,50	0,00	1,50	0,00	0,90	0,00	0,00
51	1,00	1,50	0,00	1,50	0,90	0,00	0,00	0,00

SLU: Non Sismica - Strutturale senza azioni geotecniche

IdComb	CC 01 Carico Permanente	CC 02 Permanenti NON Strutturali	CC 03 Coperture accessibili solo per manutenzione	CC 04 Carico da Neve <= 1000 m s.l.m.	CC 05 Pressione del Vento (+X)	CC 06 Pressione del Vento (-X)	CC 07 Pressione del Vento (+Y)	CC 08 Pressione del Vento (-Y)
52	1,00	0,80	0,00	0,00	1,50	0,00	0,00	0,00
53	1,00	0,80	0,00	0,75	1,50	0,00	0,00	0,00
54	1,00	1,50	0,00	0,00	1,50	0,00	0,00	0,00
55	1,00	1,50	0,00	0,75	1,50	0,00	0,00	0,00
56	1,00	0,80	0,00	0,00	0,00	1,50	0,00	0,00
57	1,00	0,80	0,00	0,75	0,00	1,50	0,00	0,00
58	1,00	1,50	0,00	0,00	0,00	1,50	0,00	0,00
59	1,00	1,50	0,00	0,75	0,00	1,50	0,00	0,00
60	1,00	0,80	0,00	0,00	0,00	0,00	1,50	0,00
61	1,00	0,80	0,00	0,75	0,00	0,00	1,50	0,00
62	1,00	1,50	0,00	0,00	0,00	0,00	1,50	0,00
63	1,00	1,50	0,00	0,75	0,00	0,00	1,50	0,00
64	1,00	0,80	0,00	0,00	0,00	0,00	0,00	1,50
65	1,00	0,80	0,00	0,75	0,00	0,00	0,00	1,50
66	1,00	1,50	0,00	0,00	0,00	0,00	0,00	1,50
67	1,00	1,50	0,00	0,75	0,00	0,00	0,00	1,50
68	1,30	0,00	0,00	0,00	0,00	0,00	0,00	0,00
69	1,30	0,80	0,00	0,00	0,00	0,00	0,00	0,00
70	1,30	0,80	0,00	0,00	0,00	0,00	0,00	0,90
71	1,30	0,80	0,00	0,00	0,00	0,00	0,90	0,00
72	1,30	0,80	0,00	0,00	0,00	0,90	0,00	0,00
73	1,30	0,80	0,00	0,00	0,90	0,00	0,00	0,00
74	1,30	0,80	0,00	0,75	0,00	0,00	0,00	0,00
75	1,30	0,80	0,00	0,75	0,00	0,00	0,00	0,90
76	1,30	0,80	0,00	0,75	0,00	0,00	0,90	0,00
77	1,30	0,80	0,00	0,75	0,00	0,90	0,00	0,00
78	1,30	0,80	0,00	0,75	0,90	0,00	0,00	0,00
79	1,30	1,50	0,00	0,00	0,00	0,00	0,00	0,00
80	1,30	1,50	0,00	0,00	0,00	0,00	0,00	0,90
81	1,30	1,50	0,00	0,00	0,00	0,00	0,90	0,00
82	1,30	1,50	0,00	0,00	0,00	0,90	0,00	0,00
83	1,30	1,50	0,00	0,00	0,90	0,00	0,00	0,00
84	1,30	1,50	0,00	0,75	0,00	0,00	0,00	0,00
85	1,30	1,50	0,00	0,75	0,00	0,00	0,00	0,90
86	1,30	1,50	0,00	0,75	0,00	0,00	0,90	0,00
87	1,30	1,50	0,00	0,75	0,00	0,90	0,00	0,00
88	1,30	1,50	0,00	0,75	0,90	0,00	0,00	0,00
89	1,30	0,80	1,50	0,00	0,00	0,00	0,00	0,00
90	1,30	0,80	1,50	0,00	0,00	0,00	0,00	0,90
91	1,30	0,80	1,50	0,00	0,00	0,00	0,90	0,00
92	1,30	0,80	1,50	0,00	0,00	0,90	0,00	0,00
93	1,30	0,80	1,50	0,00	0,90	0,00	0,00	0,00
94	1,30	0,80	1,50	0,75	0,00	0,00	0,00	0,00
95	1,30	0,80	1,50	0,75	0,00	0,00	0,00	0,90
96	1,30	0,80	1,50	0,75	0,00	0,00	0,90	0,00
97	1,30	0,80	1,50	0,75	0,00	0,90	0,00	0,00
98	1,30	0,80	1,50	0,75	0,90	0,00	0,00	0,00
99	1,30	1,50	1,50	0,00	0,00	0,00	0,00	0,00
100	1,30	1,50	1,50	0,00	0,00	0,00	0,00	0,90
101	1,30	1,50	1,50	0,00	0,00	0,00	0,90	0,00
102	1,30	1,50	1,50	0,00	0,00	0,90	0,00	0,00
103	1,30	1,50	1,50	0,00	0,90	0,00	0,00	0,00
104	1,30	1,50	1,50	0,75	0,00	0,00	0,00	0,00
105	1,30	1,50	1,50	0,75	0,00	0,00	0,00	0,90
106	1,30	1,50	1,50	0,75	0,00	0,00	0,90	0,00
107	1,30	1,50	1,50	0,75	0,00	0,90	0,00	0,00
108	1,30	1,50	1,50	0,75	0,90	0,00	0,00	0,00
109	1,30	0,80	0,00	1,50	0,00	0,00	0,00	0,00
110	1,30	0,80	0,00	1,50	0,00	0,00	0,00	0,90
111	1,30	0,80	0,00	1,50	0,00	0,00	0,90	0,00
112	1,30	0,80	0,00	1,50	0,00	0,90	0,00	0,00
113	1,30	0,80	0,00	1,50	0,90	0,00	0,00	0,00
114	1,30	1,50	0,00	1,50	0,00	0,00	0,00	0,00
115	1,30	1,50	0,00	1,50	0,00	0,00	0,00	0,90
116	1,30	1,50	0,00	1,50	0,00	0,00	0,90	0,00
117	1,30	1,50	0,00	1,50	0,00	0,90	0,00	0,00
118	1,30	1,50	0,00	1,50	0,90	0,00	0,00	0,00
119	1,30	0,80	0,00	0,00	1,50	0,00	0,00	0,00
120	1,30	0,80	0,00	0,75	1,50	0,00	0,00	0,00
121	1,30	1,50	0,00	0,00	1,50	0,00	0,00	0,00
122	1,30	1,50	0,00	0,75	1,50	0,00	0,00	0,00
123	1,30	0,80	0,00	0,00	0,00	1,50	0,00	0,00

SLU: Non Sismica - Strutturale senza azioni geotecniche

Id_{Comb}	CC 01 Carico Permanente	CC 02 Permanenti NON Strutturali	CC 03 Coperture accessibili solo per manutenzione	CC 04 Carico da Neve <= 1000 m s.l.m.	CC 05 Pressione del Vento (+X)	CC 06 Pressione del Vento (-X)	CC 07 Pressione del Vento (+Y)	CC 08 Pressione del Vento (-Y)
124	1,30	0,80	0,00	0,75	0,00	1,50	0,00	0,00
125	1,30	1,50	0,00	0,00	0,00	1,50	0,00	0,00
126	1,30	1,50	0,00	0,75	0,00	1,50	0,00	0,00
127	1,30	0,80	0,00	0,00	0,00	0,00	1,50	0,00
128	1,30	0,80	0,00	0,75	0,00	0,00	1,50	0,00
129	1,30	1,50	0,00	0,00	0,00	0,00	1,50	0,00
130	1,30	1,50	0,00	0,75	0,00	0,00	1,50	0,00
131	1,30	0,80	0,00	0,00	0,00	0,00	0,00	1,50
132	1,30	0,80	0,00	0,75	0,00	0,00	0,00	1,50
133	1,30	1,50	0,00	0,00	0,00	0,00	0,00	1,50
134	1,30	1,50	0,00	0,75	0,00	0,00	0,00	1,50

LEGENDA:

- Id_{Comb}** Numero identificativo della Combinazione di Carico.
CC Identificativo della tipologia di carico nella relativa tabella.
 CC 01= Carico Permanente
 CC 02= Permanenti NON Strutturali
 CC 03= Coperture accessibili solo per manutenzione
 CC 04= Carico da Neve <= 1000 m s.l.m.
 CC 05= Pressione del Vento (+X)
 CC 06= Pressione del Vento (-X)
 CC 07= Pressione del Vento (+Y)
 CC 08= Pressione del Vento (-Y)

SLU: Sismica - Strutturale senza azioni geotecniche

SLU: Sismica - Strutturale senza azioni geotecniche

Id_{Comb}	CC 01 Carico Permanente	CC 02 Permanenti NON Strutturali	CC 03 Coperture accessibili solo per manutenzione	CC 04 Carico da Neve <= 1000 m s.l.m.	CC 05 Pressione del Vento (+X)	CC 06 Pressione del Vento (-X)	CC 07 Pressione del Vento (+Y)	CC 08 Pressione del Vento (-Y)
01	1,00	1,00	0,00	0,00	0,00	0,00	0,00	0,00

LEGENDA:

- Id_{Comb}** Numero identificativo della Combinazione di Carico.
CC Identificativo della tipologia di carico nella relativa tabella.
 CC 01= Carico Permanente
 CC 02= Permanenti NON Strutturali
 CC 03= Coperture accessibili solo per manutenzione
 CC 04= Carico da Neve <= 1000 m s.l.m.
 CC 05= Pressione del Vento (+X)
 CC 06= Pressione del Vento (-X)
 CC 07= Pressione del Vento (+Y)
 CC 08= Pressione del Vento (-Y)

COMBINAZIONI SISMICHE

Alle combinazioni riportate nella precedente tabella è stato aggiunto l'effetto del sisma. L'azione sismica è stata considerata come caratterizzata da tre componenti traslazionali lungo i tre assi globali X, Y e Z; la risposta della struttura è stata calcolata separatamente per i tre effetti e quindi combinata secondo la seguente espressione simbolica:

$$\alpha = \alpha_i + 0,3 \cdot \alpha_{ii} + 0,3 \cdot \alpha_{iii}$$

con α effetto totale dell'azione sismica, α_i , α_{ii} e α_{iii} azioni sismiche nelle tre direzioni. E' stata effettuata una rotazione degli indici e dei segni, per cui le combinazioni totali generate sono le:

(con α'_p sollecitazione dovuta alla combinazione delle condizioni statiche e α sollecitazione dovuta al sisma; in particolare $\alpha_x, \alpha_y, \alpha_z, \alpha_{ex}, \alpha_{ey}$ sono rispettivamente le sollecitazioni dovute al sisma agente in direzione x, in direzioni y, in direzione z, per eccentricità accidentale positiva in direzione x e per eccentricità accidentale positiva in direzione y)

- 3) $\alpha'_p + (\alpha_x + \alpha_{ex}) + 0,3 \cdot (\alpha_y + \alpha_{ey}) - 0,3 \cdot \alpha_z$; 4) $\alpha'_p + (\alpha_x + \alpha_{ex}) - 0,3 \cdot (\alpha_y + \alpha_{ey}) - 0,3 \cdot \alpha_z$
- 5) $\alpha'_p + (\alpha_x + \alpha_{ex}) + 0,3 \cdot (\alpha_y - \alpha_{ey}) + 0,3 \cdot \alpha_z$; 6) $\alpha'_p + (\alpha_x + \alpha_{ex}) - 0,3 \cdot (\alpha_y - \alpha_{ey}) + 0,3 \cdot \alpha_z$
- 7) $\alpha'_p + (\alpha_x + \alpha_{ex}) + 0,3 \cdot (\alpha_y - \alpha_{ey}) - 0,3 \cdot \alpha_z$; 8) $\alpha'_p + (\alpha_x + \alpha_{ex}) - 0,3 \cdot (\alpha_y - \alpha_{ey}) - 0,3 \cdot \alpha_z$
- 9) $\alpha'_p + (\alpha_x - \alpha_{ex}) + 0,3 \cdot (\alpha_y + \alpha_{ey}) + 0,3 \cdot \alpha_z$; 10) $\alpha'_p + (\alpha_x - \alpha_{ex}) - 0,3 \cdot (\alpha_y + \alpha_{ey}) + 0,3 \cdot \alpha_z$
- 11) $\alpha'_p + (\alpha_x - \alpha_{ex}) + 0,3 \cdot (\alpha_y + \alpha_{ey}) - 0,3 \cdot \alpha_z$; 12) $\alpha'_p + (\alpha_x - \alpha_{ex}) - 0,3 \cdot (\alpha_y + \alpha_{ey}) - 0,3 \cdot \alpha_z$
- 13) $\alpha'_p + (\alpha_x - \alpha_{ex}) + 0,3 \cdot (\alpha_y - \alpha_{ey}) + 0,3 \cdot \alpha_z$; 14) $\alpha'_p + (\alpha_x - \alpha_{ex}) - 0,3 \cdot (\alpha_y - \alpha_{ey}) + 0,3 \cdot \alpha_z$
- 15) $\alpha'_p + (\alpha_x - \alpha_{ex}) + 0,3 \cdot (\alpha_y - \alpha_{ey}) - 0,3 \cdot \alpha_z$; 16) $\alpha'_p + (\alpha_x - \alpha_{ex}) - 0,3 \cdot (\alpha_y - \alpha_{ey}) - 0,3 \cdot \alpha_z$
- 17) $\alpha'_p + (\alpha_y + \alpha_{ey}) + 0,3 \cdot (\alpha_x + \alpha_{ex}) + 0,3 \cdot \alpha_z$; 18) $\alpha'_p + (\alpha_y + \alpha_{ey}) - 0,3 \cdot (\alpha_x + \alpha_{ex}) + 0,3 \cdot \alpha_z$
- 19) $\alpha'_p + (\alpha_y + \alpha_{ey}) + 0,3 \cdot (\alpha_x + \alpha_{ex}) - 0,3 \cdot \alpha_z$; 20) $\alpha'_p + (\alpha_y + \alpha_{ey}) - 0,3 \cdot (\alpha_x + \alpha_{ex}) - 0,3 \cdot \alpha_z$
- 21) $\alpha'_p + (\alpha_y + \alpha_{ey}) + 0,3 \cdot (\alpha_x - \alpha_{ex}) + 0,3 \cdot \alpha_z$; 22) $\alpha'_p + (\alpha_y + \alpha_{ey}) - 0,3 \cdot (\alpha_x - \alpha_{ex}) + 0,3 \cdot \alpha_z$
- 23) $\alpha'_p + (\alpha_y + \alpha_{ey}) + 0,3 \cdot (\alpha_x - \alpha_{ex}) - 0,3 \cdot \alpha_z$; 24) $\alpha'_p + (\alpha_y + \alpha_{ey}) - 0,3 \cdot (\alpha_x - \alpha_{ex}) - 0,3 \cdot \alpha_z$
- 25) $\alpha'_p + (\alpha_y - \alpha_{ey}) + 0,3 \cdot (\alpha_x + \alpha_{ex}) + 0,3 \cdot \alpha_z$; 26) $\alpha'_p + (\alpha_y - \alpha_{ey}) - 0,3 \cdot (\alpha_x + \alpha_{ex}) + 0,3 \cdot \alpha_z$
- 27) $\alpha'_p + (\alpha_y - \alpha_{ey}) + 0,3 \cdot (\alpha_x + \alpha_{ex}) - 0,3 \cdot \alpha_z$; 28) $\alpha'_p + (\alpha_y - \alpha_{ey}) - 0,3 \cdot (\alpha_x + \alpha_{ex}) - 0,3 \cdot \alpha_z$
- 29) $\alpha'_p + (\alpha_y - \alpha_{ey}) + 0,3 \cdot (\alpha_x - \alpha_{ex}) + 0,3 \cdot \alpha_z$; 30) $\alpha'_p + (\alpha_y - \alpha_{ey}) - 0,3 \cdot (\alpha_x - \alpha_{ex}) + 0,3 \cdot \alpha_z$
- 31) $\alpha'_p + (\alpha_y - \alpha_{ey}) + 0,3 \cdot (\alpha_x - \alpha_{ex}) - 0,3 \cdot \alpha_z$; 32) $\alpha'_p + (\alpha_y - \alpha_{ey}) - 0,3 \cdot (\alpha_x - \alpha_{ex}) - 0,3 \cdot \alpha_z$
- 33) $\alpha'_p + \alpha_z + 0,3 \cdot (\alpha_x + \alpha_{ex}) + 0,3 \cdot (\alpha_y + \alpha_{ey})$; 34) $\alpha'_p + \alpha_z - 0,3 \cdot (\alpha_x + \alpha_{ex}) + 0,3 \cdot (\alpha_y + \alpha_{ey})$
- 35) $\alpha'_p + \alpha_z + 0,3 \cdot (\alpha_x + \alpha_{ex}) - 0,3 \cdot (\alpha_y + \alpha_{ey})$; 36) $\alpha'_p + \alpha_z - 0,3 \cdot (\alpha_x + \alpha_{ex}) - 0,3 \cdot (\alpha_y + \alpha_{ey})$

37) $\alpha'_p + \alpha_z + 0,3 \cdot (\alpha_x + \alpha_{ex}) + 0,3 \cdot (\alpha_y - \alpha_{ey})$; 38) $\alpha'_p + \alpha_z - 0,3 \cdot (\alpha_x + \alpha_{ex}) + 0,3 \cdot (\alpha_y - \alpha_{ey})$;
39) $\alpha'_p + \alpha_z + 0,3 \cdot (\alpha_x + \alpha_{ex}) - 0,3 \cdot (\alpha_y - \alpha_{ey})$; 40) $\alpha'_p + \alpha_z - 0,3 \cdot (\alpha_x + \alpha_{ex}) - 0,3 \cdot (\alpha_y - \alpha_{ey})$;
41) $\alpha'_p + \alpha_z + 0,3 \cdot (\alpha_x - \alpha_{ex}) + 0,3 \cdot (\alpha_y + \alpha_{ey})$; 42) $\alpha'_p + \alpha_z - 0,3 \cdot (\alpha_x - \alpha_{ex}) + 0,3 \cdot (\alpha_y + \alpha_{ey})$;
43) $\alpha'_p + \alpha_z + 0,3 \cdot (\alpha_x - \alpha_{ex}) - 0,3 \cdot (\alpha_y + \alpha_{ey})$; 44) $\alpha'_p + \alpha_z - 0,3 \cdot (\alpha_x - \alpha_{ex}) - 0,3 \cdot (\alpha_y + \alpha_{ey})$;
45) $\alpha'_p + \alpha_z + 0,3 \cdot (\alpha_x - \alpha_{ex}) + 0,3 \cdot (\alpha_y - \alpha_{ey})$; 46) $\alpha'_p + \alpha_z - 0,3 \cdot (\alpha_x - \alpha_{ex}) + 0,3 \cdot (\alpha_y - \alpha_{ey})$;
47) $\alpha'_p + \alpha_z + 0,3 \cdot (\alpha_x - \alpha_{ex}) - 0,3 \cdot (\alpha_y - \alpha_{ey})$; 48) $\alpha'_p + \alpha_z - 0,3 \cdot (\alpha_x - \alpha_{ex}) - 0,3 \cdot (\alpha_y - \alpha_{ey})$.

Nel caso di verifiche effettuate con sollecitazioni composte, per tenere conto del fatto che le sollecitazioni sismiche sono state ricavate come CQC delle sollecitazioni derivanti dai modi di vibrazione, dette N, Mx, My, Tx e Ty le sollecitazioni dovute al sisma, per ognuna delle combinazioni precedenti, sono state ricavate 32 combinazioni di carico permutando nel seguente modo i segni delle sollecitazioni derivanti dal sisma:

1) N, Mx, My, Tx e Ty; **2)** N, Mx, -My, Tx e Ty; **3)** N, -Mx, My, Tx e Ty; **4)** N, -Mx, -My, Tx e Ty; **5)** -N, Mx, My, Tx e Ty; **6)** -N, Mx, -My, Tx e Ty; **7)** -N, -Mx, My, Tx e Ty; **8)** -N, -Mx, -My, Tx e Ty; **9)** N, Mx, My, Tx e -Ty; **10)** N, Mx, -My, Tx e -Ty; **11)** N, -Mx, My, Tx e -Ty; **12)** N, -Mx, -My, Tx e -Ty; **13)** -N, Mx, My, Tx e -Ty; **14)** -N, Mx, -My, Tx e -Ty; **15)** -N, -Mx, My, Tx e -Ty; **16)** -N, -Mx, -My, Tx e -Ty; **17)** N, Mx, My, -Tx e Ty; **18)** N, Mx, -My, -Tx e Ty; **19)** N, -Mx, My, -Tx e Ty; **20)** N, -Mx, -My, -Tx e Ty; **21)** -N, Mx, My, -Tx e Ty; **22)** -N, Mx, -My, -Tx e Ty; **23)** -N, -Mx, My, -Tx e Ty; **24)** -N, -Mx, -My, -Tx e Ty; **25)** N, Mx, My, -Tx e -Ty; **26)** N, Mx, -My, -Tx e -Ty; **27)** N, -Mx, My, -Tx e -Ty; **28)** N, -Mx, -My, -Tx e -Ty; **29)** -N, Mx, My, -Tx e -Ty; **30)** -N, Mx, -My, -Tx e -Ty; **31)** -N, -Mx, My, -Tx e -Ty; **32)** -N, -Mx, -My, -Tx e -Ty.

SERVIZIO(SLE): Caratteristica(RARA)

SERVIZIO(SLE): Caratteristica(RARA)								
IdComb	CC 01 Carico Permanente	CC 02 Permanenti NON Strutturali	CC 03 Coperture accessibili solo per manutenzione	CC 04 Carico da Neve <= 1000 m s.l.m.	CC 05 Pressione del Vento (+X)	CC 06 Pressione del Vento (-X)	CC 07 Pressione del Vento (+Y)	CC 08 Pressione del Vento (-Y)
01	1,00	1,00	0,00	0,50	0,00	0,00	0,00	0,00
02	1,00	1,00	0,00	0,50	0,00	0,00	0,00	0,60
03	1,00	1,00	0,00	0,50	0,00	0,00	0,60	0,00
04	1,00	1,00	0,00	0,50	0,00	0,60	0,00	0,00
05	1,00	1,00	0,00	0,50	0,60	0,00	0,00	0,00
06	1,00	1,00	1,00	0,50	0,00	0,00	0,00	0,00
07	1,00	1,00	1,00	0,50	0,00	0,00	0,00	0,60
08	1,00	1,00	1,00	0,50	0,00	0,00	0,60	0,00
09	1,00	1,00	1,00	0,50	0,00	0,60	0,00	0,00
10	1,00	1,00	1,00	0,50	0,60	0,00	0,00	0,00
11	1,00	1,00	0,00	1,00	0,00	0,00	0,00	0,00
12	1,00	1,00	0,00	1,00	0,00	0,00	0,00	0,60
13	1,00	1,00	0,00	1,00	0,00	0,00	0,60	0,00
14	1,00	1,00	0,00	1,00	0,00	0,60	0,00	0,00
15	1,00	1,00	0,00	1,00	0,60	0,00	0,00	0,00
16	1,00	1,00	0,00	0,50	1,00	0,00	0,00	0,00
17	1,00	1,00	0,00	0,50	0,00	1,00	0,00	0,00
18	1,00	1,00	0,00	0,50	0,00	0,00	1,00	0,00
19	1,00	1,00	0,00	0,50	0,00	0,00	0,00	1,00

LEGENDA:

IdComb	Numero identificativo della Combinazione di Carico.
CC	Identificativo della tipologia di carico nella relativa tabella.
	CC 01= Carico Permanente
	CC 02= Permanenti NON Strutturali
	CC 03= Coperture accessibili solo per manutenzione
	CC 04= Carico da Neve <= 1000 m s.l.m.
	CC 05= Pressione del Vento (+X)
	CC 06= Pressione del Vento (-X)
	CC 07= Pressione del Vento (+Y)
	CC 08= Pressione del Vento (-Y)

SERVIZIO(SLE): Frequente

SERVIZIO(SLE): Frequente								
IdComb	CC 01 Carico Permanente	CC 02 Permanenti NON Strutturali	CC 03 Coperture accessibili solo per manutenzione	CC 04 Carico da Neve <= 1000 m s.l.m.	CC 05 Pressione del Vento (+X)	CC 06 Pressione del Vento (-X)	CC 07 Pressione del Vento (+Y)	CC 08 Pressione del Vento (-Y)
01	1,00	1,00	0,00	0,00	0,00	0,00	0,00	0,00
02	1,00	1,00	0,00	0,20	0,00	0,00	0,00	0,00
03	1,00	1,00	0,00	0,00	0,20	0,00	0,00	0,00
04	1,00	1,00	0,00	0,00	0,00	0,20	0,00	0,00
05	1,00	1,00	0,00	0,00	0,00	0,00	0,20	0,00
06	1,00	1,00	0,00	0,00	0,00	0,00	0,00	0,20

LEGENDA:

IdComb	Numero identificativo della Combinazione di Carico.
CC	Identificativo della tipologia di carico nella relativa tabella.
	CC 01= Carico Permanente
	CC 02= Permanenti NON Strutturali
	CC 03= Coperture accessibili solo per manutenzione
	CC 04= Carico da Neve <= 1000 m s.l.m.
	CC 05= Pressione del Vento (+X)
	CC 06= Pressione del Vento (-X)
	CC 07= Pressione del Vento (+Y)

SERVIZIO(SLE): Frequente

Id_{Comb}	CC 01 Carico Permanente	CC 02 Permanenti NON Strutturali	CC 03 Coperture accessibili solo per manutenzione	CC 04 Carico da Neve <= 1000 m s.l.m.	CC 05 Pressione del Vento (+X)	CC 06 Pressione del Vento (-X)	CC 07 Pressione del Vento (+Y)	CC 08 Pressione del Vento (-Y)
--------------------------	--------------------------------------	---	--	---	---	---	---	---

CC 08= Pressione del Vento (-Y)

SERVIZIO(SLE): Quasi permanente

SERVIZIO(SLE): Quasi permanente

Id_{Comb}	CC 01 Carico Permanente	CC 02 Permanenti NON Strutturali	CC 03 Coperture accessibili solo per manutenzione	CC 04 Carico da Neve <= 1000 m s.l.m.	CC 05 Pressione del Vento (+X)	CC 06 Pressione del Vento (-X)	CC 07 Pressione del Vento (+Y)	CC 08 Pressione del Vento (-Y)
01	1,00	1,00	0,00	0,00	0,00	0,00	0,00	0,00

LEGENDA:

- Id_{Comb}** Numero identificativo della Combinazione di Carico.
CC Identificativo della tipologia di carico nella relativa tabella.
 CC 01= Carico Permanente
 CC 02= Permanenti NON Strutturali
 CC 03= Coperture accessibili solo per manutenzione
 CC 04= Carico da Neve <= 1000 m s.l.m.
 CC 05= Pressione del Vento (+X)
 CC 06= Pressione del Vento (-X)
 CC 07= Pressione del Vento (+Y)
 CC 08= Pressione del Vento (-Y)

DATI GENERALI ANALISI SISMICA

Dati generali analisi sismica

Ang [°]	NV	CD	MP	Dir	TS	EcA	Ir_{Temp}	C.S.T.	RP	RH	ξ [%]
0	15	B	ac	X Y	[TT] [TT]	S	N	C	SI	SI	5

LEGENDA:

- Ang** Direzione di una componente dell'azione sismica rispetto all'asse X (sistema di riferimento globale); la seconda componente dell'azione sismica e' assunta con direzione ruotata di 90 gradi rispetto alla prima.
NV Nel caso di analisi dinamica, indica il numero di modi di vibrazione considerati.
CD Classe di duttilità: [A] = Alta - [B] = Media - [ND] = Non Dissipativa - [-] = Nessuna.
MP Tipo di struttura sismo-resistente prevalente: [ca] = calcestruzzo armato - [caOld] = calcestruzzo armato esistente - [muOld] = muratura esistente - [muNew] = muratura nuova - [muArm] = muratura armata - [ac] = acciaio.
Dir Direzione del sisma.
TS Tipologia della struttura:
 Cemento armato: [T 1C] = Telai ad una sola campata - [T+C] = Telai a più campate - [P] = Pareti accoppiate o miste equivalenti a pareti - [2P NC] = Due pareti per direzione non accoppiate - [P NC] = Pareti non accoppiate - [DT] = Deformabili torsionalmente - [PI] = Pendolo inverso - [PM] = Pendolo inverso intelaiate monopiano;
 Muratura: [P] = un solo piano - [PP] = più di un piano - [C-P/MP] = muratura in pietra e/o mattoni pieni - [C-BAS] = muratura in blocchi artificiali con percentuale di foratura > 15%;
 Acciaio: [T 1C] = Telai ad una sola campata - [T+C] = Telai a più campate - [CT] = controventi concentrici diagonale tesa - [CV] = controventi concentrici a V - [M] = mensola o pendolo inverso - [TT] = telaio con tamponature.
EcA Eccentricità accidentale: [S] = considerata come condizione di carico statica aggiuntiva - [N] = Considerata come incremento delle sollecitazioni.
Ir_{Temp} Per piani con distribuzione dei tamponamenti in pianta fortemente irregolare, l'eccentricità accidentale è stata incrementata di un fattore pari a 2: [SI] = Distribuzione tamponamenti irregolare fortemente - [NO] = Distribuzione tamponamenti regolare.
C.S.T. Categoria di sottosuolo: [A] = Ammassi rocciosi affioranti o terreni molto rigidi - [B] = Rocce tenere e depositi di terreni a grana grossa molto addensati o terreni a grana fina molto consistenti - [C] = Depositi di terreni a grana grossa mediamente addensati o terreni a grana fina mediamente consistenti - [D] = Depositi di terreni a grana grossa scarsamente addensati o di terreni a grana fina scarsamente consistenti - [E] = Terreni con caratteristiche e valori di velocità equivalente riconducibili a quelle definite per le categorie C o D.
RP Regolarità in pianta: [SI] = Struttura regolare - [NO] = Struttura non regolare.
RH Regolarità in altezza: [SI] = Struttura regolare - [NO] = Struttura non regolare.
ξ Coefficiente viscoso equivalente.
NOTE [-] = Parametro non significativo per il tipo di calcolo effettuato.

DATI GENERALI ANALISI SISMICA - FATTORI DI COMPORTAMENTO

Fattori di comportamento

Dir	q'	q	q₀	k_R	α_u/α₁	K_w
X	-	2,000	2,00	1,00	1,00	-
Y	-	2,000	2,00	1,00	1,00	-
Z	-	1,500	-	-	-	-

LEGENDA:

- q'** Fattore di riduzione dello spettro di risposta sismico allo SLU ridotto (Fattore di comportamento ridotto - relazione C7.3.1 circolare NTC)
q Fattore di riduzione dello spettro di risposta sismico allo SLU (Fattore di comportamento).
q₀ Valore di base (comprensivo di K_w).
k_R Fattore riduttivo funzione della regolarità in altezza: pari ad 1 per costruzioni regolari in altezza, 0,8 per costruzioni non regolari in altezza, e 0,75 per costruzioni in muratura esistenti non regolari in altezza (§ C8.5.5.1).
α_u/α₁ Rapporto di sovraresistenza.
K_w Fattore di riduzione di q₀.

Stato Limite	T _r	a _g /g	Amplif. Stratigrafica		F ₀	T [*] _c	T _B	T _C	T _D
			S _s	C _c					
	[t]					[s]	[s]	[s]	[s]
SLO	30	0,0443	1,500	1,580	2,472	0,290	0,153	0,458	1,777
SLD	50	0,0556	1,500	1,524	2,536	0,323	0,164	0,493	1,822
SLV	475	0,1332	1,493	1,390	2,594	0,427	0,198	0,594	2,133
SLC	975	0,1698	1,434	1,374	2,609	0,442	0,203	0,608	2,279

LEGENDA:

- T_r** Periodo di ritorno dell'azione sismica. [t] = anni.
a_g/g Coefficiente di accelerazione al suolo.
S_s Coefficienti di Amplificazione Stratigrafica allo SLO/SLD/SLV/SLC.
C_c Coefficienti di Amplificazione di T_c allo SLO/SLD/SLV/SLC.
F₀ Valore massimo del fattore di amplificazione dello spettro in accelerazione orizzontale.
T^{*}_c Periodo di inizio del tratto a velocità costante dello spettro in accelerazione orizzontale.
T_B Periodo di inizio del tratto accelerazione costante dello spettro di progetto.
T_C Periodo di inizio del tratto a velocità costante dello spettro di progetto.
T_D Periodo di inizio del tratto a spostamento costante dello spettro di progetto.

CI Ed	V _N	V _R	Lat.	Long.	Q _g	CTop	S _T
	[t]	[t]	[°ssdc]	[°ssdc]	[m]		
2	50	50	41.446879	15.761442	0	T1	1,00

LEGENDA:

- CI Ed** Classe dell'edificio
Lat. Latitudine geografica del sito.
Long. Longitudine geografica del sito.
Q_g Altitudine geografica del sito.
CTop Categoria topografica (Vedi NOTE).
S_T Coefficiente di amplificazione topografica.
NOTE [-] = Parametro non significativo per il tipo di calcolo effettuato.
 Categoria topografica.
 T1: Superficie pianeggiante, pendii e rilievi isolati con inclinazione media $i < 15^\circ$.
 T2: Pendii con inclinazione media $i > 15^\circ$.
 T3: Rilievi con larghezza in cresta molto minore che alla base e inclinazione media $15^\circ \leq i \leq 30^\circ$.
 T4: Rilievi con larghezza in cresta molto minore che alla base e inclinazione media $i > 30^\circ$.

PRINCIPALI ELEMENTI ANALISI SISMICA

Dir	M _{Str}	M _{SLU}	M _{Ecc,SLU}	M _{SLD}	M _{Ecc,SLD}	%T.M _{Ecc}	ΣV _{Ed,SLU}
	[N-s ² /m]	[N-s ² /m]	[N-s ² /m]	[N-s ² /m]	[N-s ² /m]	[%]	[N]
X	255 142	116 521	116 511	116 521	116 511	99,99	294 756
Y	255 142	116 521	116 462	116 521	116 462	99,95	294 756
Z	255 142	0	0	0	0	100,00	0

LEGENDA:

- Dir** Direzione del sisma.
M_{Str} Massa complessiva della struttura.
M_{SLU} Massa eccitabile allo SLU.
M_{Ecc,SLU} Massa Eccitata dal sisma allo SLU.
M_{SLD} Massa eccitabile della struttura allo SLD, nelle direzioni X, Y, Z.
M_{Ecc,SLD} Massa Eccitata dal sisma allo SLD.
%T.M_{Ecc} Percentuale Totale di Masse Eccitate dal sisma.
ΣV_{Ed,SLU} Tagliante totale, alla base, per sisma allo SLU.

RIEPILOGO MODI DI VIBRAZIONE MODI DI VIBRAZIONE N.15

Sptr	T	a _{g,o}	a _{g,v}	Γ	CM	%M.M	M _{Ecc}
	[s]	[m/s ²]	[m/s ²]			[%]	[N-s ² /m]
Modo Vibrazione n. 1							
SLU-X	0,249	2,530	0,000	-324,913	-0,5119	90,60	105 569
SLU-Y	0,249	2,530	0,000	7,633	0,0120	0,05	58
SLU-Z	0,000	0,000	0,644	0,000	0,0000	0,00	0
SLD-X	0,249	2,073	0,000	-324,913	-0,5119	90,60	105 569
SLD-Y	0,249	2,073	0,000	7,633	0,0120	0,05	58
SLD-Z	0,000	0,000	0,173	0,000	0,0000	0,00	0
Elast-X	-	2,073	0,000	-	-	-	-
Elast-Y	-	2,073	0,000	-	-	-	-
Elast-Z	-	0,000	0,644	-	-	-	-
Modo Vibrazione n. 2							
SLU-X	0,237	2,530	0,000	11,175	0,0159	0,11	125
SLU-Y	0,237	2,530	0,000	320,161	0,4568	87,97	102 503
SLU-Z	0,000	0,000	0,644	0,000	0,0000	0,00	0
SLD-X	0,237	2,073	0,000	11,175	0,0159	0,11	125
SLD-Y	0,237	2,073	0,000	320,161	0,4568	87,97	102 503
SLD-Z	0,000	0,000	0,173	0,000	0,0000	0,00	0
Elast-X	-	2,073	0,000	-	-	-	-
Elast-Y	-	2,073	0,000	-	-	-	-
Elast-Z	-	0,000	0,644	-	-	-	-
Modo Vibrazione n. 3							
SLU-X	0,166	2,437	0,000	101,912	0,0714	8,91	10 386
SLU-Y	0,166	2,437	0,000	-0,088	-0,0001	0,00	0
SLU-Z	0,000	0,000	0,644	0,000	0,0000	0,00	0
SLD-X	0,166	2,061	0,000	101,912	0,0714	8,91	10 386
SLD-Y	0,166	2,061	0,000	-0,088	-0,0001	0,00	0
SLD-Z	0,000	0,000	0,173	0,000	0,0000	0,00	0

Sptr	T	a _{g,o}	a _{g,v}	Γ	CM	%M.M	M _{Ecc}
Elast-X	-	2,061	0,000	-	-	-	-
Elast-Y	-	2,061	0,000	-	-	-	-
Elast-Z	-	0,000	0,644	-	-	-	-
Modo Vibrazione n. 4							
SLU-X	0,175	2,464	0,000	-0,091	-0,0001	0,00	0
SLU-Y	0,175	2,464	0,000	-101,643	-0,0791	8,87	10 331
SLU-Z	0,000	0,000	0,644	0,000	0,0000	0,00	0
SLD-X	0,175	2,073	0,000	-0,091	-0,0001	0,00	0
SLD-Y	0,175	2,073	0,000	-101,643	-0,0791	8,87	10 331
SLD-Z	0,000	0,000	0,173	0,000	0,0000	0,00	0
Elast-X	-	2,073	0,000	-	-	-	-
Elast-Y	-	2,073	0,000	-	-	-	-
Elast-Z	-	0,000	0,644	-	-	-	-
Modo Vibrazione n. 5							
SLU-X	0,212	2,530	0,000	-18,862	-0,0215	0,31	356
SLU-Y	0,212	2,530	0,000	58,296	0,0665	2,92	3 398
SLU-Z	0,000	0,000	0,644	0,000	0,0000	0,00	0
SLD-X	0,212	2,073	0,000	-18,862	-0,0215	0,31	356
SLD-Y	0,212	2,073	0,000	58,296	0,0665	2,92	3 398
SLD-Z	0,000	0,000	0,173	0,000	0,0000	0,00	0
Elast-X	-	2,073	0,000	-	-	-	-
Elast-Y	-	2,073	0,000	-	-	-	-
Elast-Z	-	0,000	0,644	-	-	-	-
Modo Vibrazione n. 6							
SLU-X	0,031	2,042	0,000	0,003	0,0000	0,00	0
SLU-Y	0,031	2,042	0,000	7,615	0,0002	0,05	58
SLU-Z	0,000	0,000	0,644	0,000	0,0000	0,00	0
SLD-X	0,031	1,058	0,000	0,003	0,0000	0,00	0
SLD-Y	0,031	1,058	0,000	7,615	0,0002	0,05	58
SLD-Z	0,000	0,000	0,173	0,000	0,0000	0,00	0
Elast-X	-	1,058	0,000	-	-	-	-
Elast-Y	-	1,058	0,000	-	-	-	-
Elast-Z	-	0,000	0,644	-	-	-	-
Modo Vibrazione n. 7							
SLU-X	0,050	2,097	0,000	1,710	0,0001	0,00	3
SLU-Y	0,050	2,097	0,000	5,689	0,0004	0,03	32
SLU-Z	0,000	0,000	0,644	0,000	0,0000	0,00	0
SLD-X	0,050	1,200	0,000	1,710	0,0001	0,00	3
SLD-Y	0,050	1,200	0,000	5,689	0,0004	0,03	32
SLD-Z	0,000	0,000	0,173	0,000	0,0000	0,00	0
Elast-X	-	1,200	0,000	-	-	-	-
Elast-Y	-	1,200	0,000	-	-	-	-
Elast-Z	-	0,000	0,644	-	-	-	-
Modo Vibrazione n. 8							
SLU-X	0,046	2,085	0,000	-4,791	-0,0003	0,02	23
SLU-Y	0,046	2,085	0,000	-3,756	-0,0002	0,01	14
SLU-Z	0,000	0,000	0,644	0,000	0,0000	0,00	0
SLD-X	0,046	1,169	0,000	-4,791	-0,0003	0,02	23
SLD-Y	0,046	1,169	0,000	-3,756	-0,0002	0,01	14
SLD-Z	0,000	0,000	0,173	0,000	0,0000	0,00	0
Elast-X	-	1,169	0,000	-	-	-	-
Elast-Y	-	1,169	0,000	-	-	-	-
Elast-Z	-	0,000	0,644	-	-	-	-
Modo Vibrazione n. 9							
SLU-X	0,049	2,094	0,000	4,642	0,0003	0,02	22
SLU-Y	0,049	2,094	0,000	-2,088	-0,0001	0,00	4
SLU-Z	0,000	0,000	0,644	0,000	0,0000	0,00	0
SLD-X	0,049	1,193	0,000	4,642	0,0003	0,02	22
SLD-Y	0,049	1,193	0,000	-2,088	-0,0001	0,00	4
SLD-Z	0,000	0,000	0,173	0,000	0,0000	0,00	0
Elast-X	-	1,193	0,000	-	-	-	-
Elast-Y	-	1,193	0,000	-	-	-	-
Elast-Z	-	0,000	0,644	-	-	-	-
Modo Vibrazione n. 10							
SLU-X	0,032	2,044	0,000	4,493	0,0001	0,02	20
SLU-Y	0,032	2,044	0,000	-0,171	0,0000	0,00	0
SLU-Z	0,000	0,000	0,644	0,000	0,0000	0,00	0
SLD-X	0,032	1,062	0,000	4,493	0,0001	0,02	20
SLD-Y	0,032	1,062	0,000	-0,171	0,0000	0,00	0
SLD-Z	0,000	0,000	0,173	0,000	0,0000	0,00	0
Elast-X	-	1,062	0,000	-	-	-	-
Elast-Y	-	1,062	0,000	-	-	-	-
Elast-Z	-	0,000	0,644	-	-	-	-
Modo Vibrazione n. 11							
SLU-X	0,045	2,082	0,000	-0,063	0,0000	0,00	0
SLU-Y	0,045	2,082	0,000	4,382	0,0002	0,02	19
SLU-Z	0,000	0,000	0,644	0,000	0,0000	0,00	0
SLD-X	0,045	1,162	0,000	-0,063	0,0000	0,00	0
SLD-Y	0,045	1,162	0,000	4,382	0,0002	0,02	19
SLD-Z	0,000	0,000	0,173	0,000	0,0000	0,00	0
Elast-X	-	1,162	0,000	-	-	-	-
Elast-Y	-	1,162	0,000	-	-	-	-
Elast-Z	-	0,000	0,644	-	-	-	-
Modo Vibrazione n. 12							
SLU-X	0,048	2,090	0,000	-2,293	-0,0001	0,00	5
SLU-Y	0,048	2,090	0,000	3,490	0,0002	0,01	12
SLU-Z	0,000	0,000	0,644	0,000	0,0000	0,00	0
SLD-X	0,048	1,181	0,000	-2,293	-0,0001	0,00	5

Sptr	T	a _{g,o}	a _{g,v}	Γ	CM	%M.M	M _{Ecc}
SLD-Y	0,048	1,181	0,000	3,490	0,0002	0,01	12
SLD-Z	0,000	0,000	0,173	0,000	0,0000	0,00	0
Elast-X	-	1,181	0,000	-	-	-	-
Elast-Y	-	1,181	0,000	-	-	-	-
Elast-Z	-	0,000	0,644	-	-	-	-
Modo Vibrazione n. 13							
SLU-X	0,048	2,090	0,000	-1,437	-0,0001	0,00	2
SLU-Y	0,048	2,090	0,000	3,338	0,0002	0,01	11
SLU-Z	0,000	0,000	0,644	0,000	0,0000	0,00	0
SLD-X	0,048	1,181	0,000	-1,437	-0,0001	0,00	2
SLD-Y	0,048	1,181	0,000	3,338	0,0002	0,01	11
SLD-Z	0,000	0,000	0,173	0,000	0,0000	0,00	0
Elast-X	-	1,181	0,000	-	-	-	-
Elast-Y	-	1,181	0,000	-	-	-	-
Elast-Z	-	0,000	0,644	-	-	-	-
Modo Vibrazione n. 14							
SLU-X	0,040	2,068	0,000	-0,563	0,0000	0,00	0
SLU-Y	0,040	2,068	0,000	3,291	0,0001	0,01	11
SLU-Z	0,000	0,000	0,644	0,000	0,0000	0,00	0
SLD-X	0,040	1,125	0,000	-0,563	0,0000	0,00	0
SLD-Y	0,040	1,125	0,000	3,291	0,0001	0,01	11
SLD-Z	0,000	0,000	0,173	0,000	0,0000	0,00	0
Elast-X	-	1,125	0,000	-	-	-	-
Elast-Y	-	1,125	0,000	-	-	-	-
Elast-Z	-	0,000	0,644	-	-	-	-
Modo Vibrazione n. 15							
SLU-X	0,044	2,079	0,000	0,372	0,0000	0,00	0
SLU-Y	0,044	2,079	0,000	3,276	0,0002	0,01	11
SLU-Z	0,000	0,000	0,644	0,000	0,0000	0,00	0
SLD-X	0,044	1,154	0,000	0,372	0,0000	0,00	0
SLD-Y	0,044	1,154	0,000	3,276	0,0002	0,01	11
SLD-Z	0,000	0,000	0,173	0,000	0,0000	0,00	0
Elast-X	-	1,154	0,000	-	-	-	-
Elast-Y	-	1,154	0,000	-	-	-	-
Elast-Z	-	0,000	0,644	-	-	-	-

LEGENDA:

Sptr	Spettro di risposta considerato.
T	Periodo del Modo di vibrazione.
a_{g,o}	Valore dell'Accelerazione Spettrale Orizzontale, riferita al corrispondente periodo.
a_{g,v}	Valore dell'Accelerazione Spettrale Verticale, riferita al corrispondente periodo.
Γ	Coefficiente di partecipazione.
CM	Coefficiente modale del modo di vibrazione.
%M.M	Percentuale di mobilitazione delle masse nel modo di vibrazione.
M_{Ecc}	Massa Eccitata nel modo di vibrazione.
SLU-X	Spettro di progetto allo S.L. Ultimo per sisma in direzione X.
SLU-Y	Spettro di progetto allo S.L. Ultimo per sisma in direzione Y.
SLU-Z	Spettro di progetto allo S.L. Ultimo per sisma in direzione Z.
SLD-X	Spettro di progetto allo S.L. di Danno per sisma in direzione X.
SLD-Y	Spettro di progetto allo S.L. di Danno per sisma in direzione Y.
SLD-Z	Spettro di progetto allo S.L. di Danno per sisma in direzione Z.
Elast-X	Spettro Elastico per sisma in direzione X.
Elast-Y	Spettro Elastico per sisma in direzione Y.
Elast-Z	Spettro Elastico per sisma in direzione Z.

LIVELLI O PIANI

Id _{Lv}	Descrizione	Z _{Lv}	H _{Lv}	Q _{ex,lv}	PR	Rd _{Temp}	Massa del piano			Dir	G _{st}	G _{SLU}	G _{SLD}	R _{SLU}
							M _{L,Str}	M _{L,SLU}	M _{L,SLD}					
							[N·s ² /m]	[N·s ² /m]	[N·s ² /m]					
01	Piano Terra	0,00	3,00	3,00	NO	NO	140 446	116 521	116 521	X	9,79	9,72	9,72	8,78
										Y	-3,45	-3,44	-3,44	-3,10
02	Fondazione	0,00		0,00	NO	NO	114 695	114 695	114 695	X	10,00	10,00	10,00	-
										Y	-3,41	-3,41	-3,41	-

LEGENDA:

Id_{Lv}	Numero identificativo del livello o piano.
Z_{Lv}	Quota di calpestio del livello o piano, relativa al sistema di riferimento globale X, Y, Z.
H_{Lv}	Altezza del livello o piano.
Q_{ex,lv}	Quota dell'estradosso dell'impalcato del livello o piano.
PR	Indica se l'impalcato (orizzontale) è considerato rigido nel calcolo: [SI] = Piano Rigido - [NO] = Piano non Rigido. In alternativa vedere tabella "Solai e Balconi" in quanto il comportamento rigido potrebbe essere stato assegnato ai singoli solai del livello.
Rd_{Temp}	Per i piani con riduzione dei tamponamenti, sono state incrementate le azioni di calcolo per gli elementi verticali (pilastri e pareti) di un fattore 1,4: [SI] = Piano con riduzione dei tamponamenti - [NO] = Piano senza riduzione dei tamponamenti.
M_{L,Str}	Massa del piano valutata in condizioni statiche.
M_{L,SLU}	Massa del piano valutata allo SLU.
M_{L,SLD}	Massa del piano valutata allo SLD.
G_{st}	Coordinate del baricentro delle masse, valutate in condizioni statiche.
G_{SLU}	Coordinate del baricentro delle masse, valutate per SLU.
G_{SLD}	Coordinate del baricentro delle masse, valutate per SLD.
R_{SLU}	Coordinate del baricentro delle rigidezze, valutate per SLU.

TRAVI IN ELEVAZIONE

Id _{Tr}	L _{LI}	Sezione	V. Int.	Stz	Note	Mt	AA	Nd	Nd	Disi-	Travi in elevazione		
											Q _{LLI}	Clc	Pr/

		IdSz	Tp	Label	Rtz	Iniz.	Fin.			rl	/C IS	i	f	j	Iniz	Fin.	Fnd	Sc
	[m]				[°ssdc]									[m]	[m]	[m]		
Piano Terra																		
Travata: Trave 1-2-3-4-5-6																		
Trave 1-2	4,00	003	▣	30x25	0,00	S;S;S;S;S;S	S;S;S;S;S;S	-		00 1	PC A	00 02	00 08	4,30	2,88	2,88	NO	-
Trave 2-3	5,09	003	▣	30x25	0,00	S;S;S;S;S;S	S;S;S;S;S;S	-		00 1	PC A	00 08	00 18	5,39	2,88	2,88	NO	-
Trave 3-4	4,09	003	▣	30x25	0,00	S;S;S;S;S;S	S;S;S;S;S;S	-		00 1	PC A	00 18	00 24	4,39	2,88	2,88	NO	-
Trave 4-5	4,53	003	▣	30x25	0,00	S;S;S;S;S;S	S;S;S;S;S;S	-		00 1	PC A	00 24	00 30	4,83	2,88	2,88	NO	-
Trave 5-6	3,32	003	▣	30x25	0,00	S;S;S;S;S;S	S;S;S;S;S;S	-		00 1	PC A	00 30	00 36	3,62	2,88	2,88	NO	-
Piano Terra																		
Travata: Trave 7-8-9-10-11-12																		
Trave 7-8	4,00	003	▣	30x25	0,00	S;S;S;S;S;S	S;S;S;S;S;S	-		00 1	PC A	00 06	00 12	4,30	2,88	2,88	NO	-
Trave 8-9	5,10	003	▣	30x25	0,00	S;S;S;S;S;S	S;S;S;S;S;S	-		00 1	PC A	00 12	00 14	5,43	2,88	2,88	NO	-
Trave 9-10	4,09	003	▣	30x25	0,00	S;S;S;S;S;S	S;S;S;S;S;S	-		00 1	PC A	00 14	00 22	4,39	2,88	2,88	NO	-
Trave 11-10	4,46	003	▣	30x25	0,00	S;S;S;S;S;S	S;S;S;S;S;S	-		00 1	PC A	00 28	00 22	4,77	2,88	2,88	NO	-
Trave 11-12	3,39	003	▣	30x25	0,00	S;S;S;S;S;S	S;S;S;S;S;S	-		00 1	PC A	00 28	00 34	3,69	2,88	2,88	NO	-
Piano Terra																		
Travata: Trave 13-14-15																		
Trave 14-13	2,51	001	▣	40x25	0,00	S;S;S;S;S;S	S;S;S;S;S;S	-		00 1	PC A	00 44	00 43	2,76	2,88	2,88	NO	-
Trave 15-14	2,65	001	▣	40x25	0,00	S;S;S;S;S;S	S;S;S;S;S;S	-		00 1	PC A	00 45	00 44	2,90	2,88	2,88	NO	-
Piano Terra																		
Travata: Trave 16-17-18																		
Trave 16-17	2,51	001	▣	40x25	0,00	S;S;S;S;S;S	S;S;S;S;S;S	-		00 1	PC A	00 46	00 47	2,76	2,88	2,88	NO	-
Trave 17-18	2,65	001	▣	40x25	0,00	S;S;S;S;S;S	S;S;S;S;S;S	-		00 1	PC A	00 47	00 48	2,90	2,88	2,88	NO	-
Piano Terra																		
Travata: Trave 19-20-21-22-23-24																		
Trave 19-20	4,00	003	▣	30x25	0,00	S;S;S;S;S;S	S;S;S;S;S;S	-		00 1	PC A	00 04	00 10	4,30	2,88	2,88	NO	-
Trave 20-21	5,09	003	▣	30x25	0,00	S;S;S;S;S;S	S;S;S;S;S;S	-		00 1	PC A	00 10	00 16	5,39	2,88	2,88	NO	-
Trave 21-22	4,09	003	▣	30x25	0,00	S;S;S;S;S;S	S;S;S;S;S;S	-		00 1	PC A	00 16	00 20	4,39	2,88	2,88	NO	-
Trave 22-23	4,41	003	▣	30x25	0,00	S;S;S;S;S;S	S;S;S;S;S;S	-		00 1	PC A	00 20	00 26	4,71	2,88	2,88	NO	-
Trave 23-24	3,43	003	▣	30x25	0,00	S;S;S;S;S;S	S;S;S;S;S;S	-		00 1	PC A	00 26	00 32	3,73	2,88	2,88	NO	-
Piano Terra																		
Travata: Trave 1-7-19																		
Trave 1-7	3,25	001	▣	40x25	0,00	S;S;S;S;S;S	S;S;S;S;S;S	-		00 1	PC A	00 02	00 06	3,55	2,88	2,88	NO	-
Trave 7-19	3,14	001	▣	40x25	0,00	S;S;S;S;S;S	S;S;S;S;S;S	-		00 1	PC A	00 06	00 04	3,44	2,88	2,88	NO	-
Piano Terra																		
Travata: Trave 2-8-20																		
Trave 2-8	3,25	001	▣	40x25	0,00	S;S;S;S;S;S	S;S;S;S;S;S	-		00 1	PC A	00 08	00 12	3,55	2,88	2,88	NO	-
Trave 8-20	3,14	001	▣	40x25	0,00	S;S;S;S;S;S	S;S;S;S;S;S	-		00 1	PC A	00 12	00 10	3,44	2,88	2,88	NO	-
Piano Terra																		
Travata: Trave 3-9-21																		
Trave 3-9	3,86	002	▣	50x25	0,00	S;S;S;S;S;S	S;S;S;S;S;S	-		00 1	PC A	00 18	00 14	4,16	2,88	2,88	NO	-
Trave 9-21	2,53	001	▣	40x25	0,00	S;S;S;S;S;S	S;S;S;S;S;S	-		00 1	PC A	00 14	00 16	2,83	2,88	2,88	NO	-
Piano Terra																		
Travata: Trave 4-10-22																		
Trave 4-10	3,86	002	▣	50x25	0,00	S;S;S;S;S;S	S;S;S;S;S;S	-		00 1	PC A	00 24	00 22	4,16	2,88	2,88	NO	-
Trave 10-22	2,53	001	▣	40x25	0,00	S;S;S;S;S;S	S;S;S;S;S;S	-		00 1	PC A	00 22	00 20	2,83	2,88	2,88	NO	-
Piano Terra																		
Travata: Trave 5-11-23																		
Trave 5-11	3,69	002	▣	50x25	0,00	S;S;S;S;S;S	S;S;S;S;S;S	-		00 1	PC A	00 30	00 28	4,00	2,88	2,88	NO	-
Trave 11-23	2,69	001	▣	40x25	0,00	S;S;S;S;S;S	S;S;S;S;S;S	-		00 1	PC A	00 28	00 26	3,00	2,88	2,88	NO	-
Piano Terra																		
Travata: Trave 6-12-24																		
Trave 6-12	3,70	001	▣	40x25	0,00	S;S;S;S;S;S	S;S;S;S;S;S	-		00 1	PC A	00 36	00 34	4,00	2,88	2,88	NO	-
Trave 12-24	2,70	001	▣	40x25	0,00	S;S;S;S;S;S	S;S;S;S;S;S	-		00 1	PC A	00 34	00 32	3,00	2,88	2,88	NO	-
Piano Terra																		
Travata: Trave 13-16																		
Trave 13-16	1,95	001	▣	40x25	0,00	S;S;S;S;S;S	S;S;S;S;S;S	-		00 1	PC A	00 43	00 46	2,20	2,88	2,88	NO	-
Piano Terra																		
Travata: Trave 14-17																		
Trave 14-17	1,96	001	▣	40x25	0,00	S;S;S;S;S;S	S;S;S;S;S;S	-		00 1	PC A	00 44	00 47	2,21	2,88	2,88	NO	-
Piano Terra																		
Travata: Trave 15-18																		
Trave 15-18	1,96	001	▣	40x25	0,00	S;S;S;S;S;S	S;S;S;S;S;S	-		00 1	PC A	00 45	00 48	2,21	2,88	2,88	NO	-

LEGENDA:

Id_{Tr} Identificativo della trave. L'eventuale lettera tra parentesi distingue i diversi tratti della travata al livello considerato.
L_{Lt} Lunghezza libera d'Inflexione.

Id _{Tr}	L _{LI}	Sezione				V. Int.		Stz	Note	M _{tr}	AA / C / IS	N _d _i	N _d _f	Dis _{i-j}	Travi in elevazione			
		Id _{Sz}	Tp	Label	Rtz	Iniz.	Fin.								Q _{LLI}		Clc Fnd	Pr / Sc
															Iniz	Fin.		
	[m]				[°ssdc]													

Id_{Sz} Identificativo della sezione, nella relativa tabella.
Tp Tipo di sezione.
Label Identificativo della sezione, come indicato nelle carpenterie.
Rtz Angolo di rotazione della sezione.
V. Int. Identificativo delle condizioni di vincolo agli estremi inferiore e superiore del pilastro, costituito da sei caratteri. I primi tre, sono relativi alla traslazione rispettivamente lungo gli assi 1, 2 e 3, mentre i secondi tre sono relativi rispettivamente alla rotazione intorno agli assi 1, 2 e 3 (Assi 1, 2, 3: riferimento locale). Il carattere "S" o "N" indica se il vincolo allo spostamento/rotazione è presente o assente.
Stz Tipo di situazione: [F] = di Fatto (Esistente); [P] = di Progetto (Nuovo).
Note Nota relativa alla verifica di deformabilità delle travi in acciaio e in legno.
 Se presente "elemento a sbalzo" = la freccia viene valutata nell'ipotesi di trave a mensola; altrimenti la freccia viene valutata nell'ipotesi di trave appoggiata-appoggiata.
M_{tr} Identificativo del materiale.
AA/CIS Identificativo dell'aggressività dell'ambiente o della classe di servizio:
 Aggressività dell'ambiente: [PCA] = "Ordinario"; [MDA] = "Aggressivo"; [MLA] = "Molto aggressivo";
 Classe di servizio: [1] = Ambiente con umidità bassa - [2] = Ambiente con umidità media - [3] = Ambiente con umidità alta.
N_d_i Identificativo del nodo iniziale, nella relativa tabella.
N_d_f Identificativo del nodo finale, nella relativa tabella.
Dis_{i-j} Distanza tra il nodo iniziale e finale.
Q_{LLI} Quota agli estremi iniziale e finale del tratto di trave libero d'inflattersi (Lunghezza Libera d'Inflessione), valutata rispetto al livello (piano) di appartenenza.
Clc Fnd [SI] = elemento progettato attraverso una modalità di rispetto della Gerarchia delle Resistenze per le Fondazioni. [No] = elemento progettato con le sollecitazioni ottenute dall'analisi (senza nessuna modalità di rispetto della Gerarchia delle Resistenze per le Fondazioni).
Pr/Sc Indica se l'elemento strutturale è incluso nel modello per il calcolo delle azioni sismiche. [1] = non incluso; [-] = incluso.

TRAVI DI FONDAZIONE

Id _{Tr}	L _{LI}	Sezione				V. Int.		B _{beam}	M _{tr}	Id _{Ter}	AA	N _d _i	N _d _f	Dis _{i-j}	Q _{LLI,i}	Clc Fnd	C _{rid,v}	C _{rid,h}		
		Id _{Sz}	Tp	Label	Rtz	Iniz.	Fin.												Q _{LLI,i}	
																			Iniz	Fin.
Fondazione Travata: Trave 1-2-3-4-5-6																				
Trave 1-2	4,00	004	▣	60x40	0,00	S;S;S; S;S;S	S;S;S; S;S;S	NO	001	T001	PCA	0001	0007	4,30	-0,20	SI	0,444	1,000		
Trave 2-3	5,09	004	▣	60x40	0,00	S;S;S; S;S;S	S;S;S; S;S;S	NO	001	T001	PCA	0007	0017	5,39	-0,20	SI	0,444	1,000		
Trave 3-4	4,09	004	▣	60x40	0,00	S;S;S; S;S;S	S;S;S; S;S;S	NO	001	T001	PCA	0017	0023	4,39	-0,20	SI	0,444	1,000		
Trave 4-5	4,53	004	▣	60x40	0,00	S;S;S; S;S;S	S;S;S; S;S;S	NO	001	T001	PCA	0023	0029	4,83	-0,20	SI	0,444	1,000		
Trave 5-6	3,32	004	▣	60x40	0,00	S;S;S; S;S;S	S;S;S; S;S;S	NO	001	T001	PCA	0029	0035	3,62	-0,20	SI	0,444	1,000		
Fondazione Travata: Trave 7-8-9-10-11-12																				
Trave 7-8	4,00	004	▣	60x40	0,00	S;S;S; S;S;S	S;S;S; S;S;S	NO	001	T001	PCA	0005	0011	4,30	-0,20	SI	0,444	1,000		
Trave 8-9	5,10	004	▣	60x40	0,00	S;S;S; S;S;S	S;S;S; S;S;S	NO	001	T001	PCA	0011	0013	5,43	-0,20	SI	0,444	1,000		
Trave 9-10	4,09	004	▣	60x40	0,00	S;S;S; S;S;S	S;S;S; S;S;S	NO	001	T001	PCA	0013	0021	4,39	-0,20	SI	0,444	1,000		
Trave 11-10	4,46	004	▣	60x40	0,00	S;S;S; S;S;S	S;S;S; S;S;S	NO	001	T001	PCA	0027	0021	4,77	-0,20	SI	0,444	1,000		
Trave 11-12	3,39	004	▣	60x40	0,00	S;S;S; S;S;S	S;S;S; S;S;S	NO	001	T001	PCA	0027	0033	3,69	-0,20	SI	0,444	1,000		
Fondazione Travata: Trave 13-14-15																				
Trave 13-14	2,51	005	▣	30x40	0,00	S;S;S; S;S;S	S;S;S; S;S;S	NO	001	T001	PCA	0037	0038	2,76	-0,20	SI	0,563	1,000		
Trave 14-15	2,65	005	▣	30x40	0,00	S;S;S; S;S;S	S;S;S; S;S;S	NO	001	T001	PCA	0038	0039	2,90	-0,20	SI	0,563	1,000		
Fondazione Travata: Trave 16-17-18																				
Trave 16-17	2,51	005	▣	30x40	0,00	S;S;S; S;S;S	S;S;S; S;S;S	NO	001	T001	PCA	0040	0042	2,76	-0,20	SI	0,563	1,000		
Trave 17-18	2,65	005	▣	30x40	0,00	S;S;S; S;S;S	S;S;S; S;S;S	NO	001	T001	PCA	0042	0041	2,90	-0,20	SI	0,563	1,000		
Fondazione Travata: Trave 19-20-21-22-23-24																				
Trave 19-20	4,00	004	▣	60x40	0,00	S;S;S; S;S;S	S;S;S; S;S;S	NO	001	T001	PCA	0003	0009	4,30	-0,20	SI	0,444	1,000		
Trave 20-21	5,09	004	▣	60x40	0,00	S;S;S; S;S;S	S;S;S; S;S;S	NO	001	T001	PCA	0009	0015	5,39	-0,20	SI	0,444	1,000		
Trave 21-22	4,09	004	▣	60x40	0,00	S;S;S; S;S;S	S;S;S; S;S;S	NO	001	T001	PCA	0015	0019	4,39	-0,20	SI	0,444	1,000		
Trave 22-23	4,41	004	▣	60x40	0,00	S;S;S; S;S;S	S;S;S; S;S;S	NO	001	T001	PCA	0019	0025	4,71	-0,20	SI	0,444	1,000		
Trave 23-24	3,43	004	▣	60x40	0,00	S;S;S; S;S;S	S;S;S; S;S;S	NO	001	T001	PCA	0025	0031	3,73	-0,20	SI	0,444	1,000		
Fondazione Travata: Trave 1-7-19																				
Trave 1-7	3,25	004	▣	60x40	0,00	S;S;S; S;S;S	S;S;S; S;S;S	NO	001	T001	PCA	0001	0005	3,55	-0,20	SI	0,444	1,000		
Trave 7-19	3,14	004	▣	60x40	0,00	S;S;S; S;S;S	S;S;S; S;S;S	NO	001	T001	PCA	0005	0003	3,44	-0,20	SI	0,444	1,000		
Fondazione Travata: Trave 2-8-20																				
Trave 2-8	3,25	004	▣	60x40	0,00	S;S;S; S;S;S	S;S;S; S;S;S	NO	001	T001	PCA	0007	0011	3,55	-0,20	SI	0,444	1,000		
Trave 8-20	3,14	004	▣	60x40	0,00	S;S;S; S;S;S	S;S;S; S;S;S	NO	001	T001	PCA	0011	0009	3,44	-0,20	SI	0,444	1,000		
Fondazione Travata: Trave 3-9-21																				
Trave	3,86	004	▣	60x40	0,00	S;S;S; S;S;S	S;S;S; S;S;S	NO	001	T001	PCA	0017	0013	4,16	-0,20	SI	0,444	1,000		

																	Travi di fondazione		
Id _{Tr}	L _{LI}	Sezione			R _{tz}	V. Int.		B _{beam}	M _{trl}	Id _{Ter}	AA	Nd _i	Nd _f	Di _{Si-j}	Q _{LLI,i}	Clc Fnd	C _{rid,v}	C _{rid,h}	
		Id _{Sz}	Tp	Label		Iniz.	Fin.												
3-9	[m]				[°ssdc]	S;S;S	S;S;S							[m]	[m]				
Trave 9-21	2,53	004	▣	60x40	0,00	S;S;S;S;S;S	S;S;S;S;S;S	NO	001	T001	PCA	0013	0015	2,83	-0,20	SI	0,444	1,000	
Fondazione					Travata: Trave 4-10-22														
Trave 4-10	3,86	004	▣	60x40	0,00	S;S;S;S;S;S	S;S;S;S;S;S	NO	001	T001	PCA	0023	0021	4,16	-0,20	SI	0,444	1,000	
Trave 10-22	2,53	004	▣	60x40	0,00	S;S;S;S;S;S	S;S;S;S;S;S	NO	001	T001	PCA	0021	0019	2,83	-0,20	SI	0,444	1,000	
Fondazione					Travata: Trave 5-11-23														
Trave 5-11	3,69	004	▣	60x40	0,00	S;S;S;S;S;S	S;S;S;S;S;S	NO	001	T001	PCA	0029	0027	4,00	-0,20	SI	0,444	1,000	
Trave 11-23	2,69	004	▣	60x40	0,00	S;S;S;S;S;S	S;S;S;S;S;S	NO	001	T001	PCA	0027	0025	3,00	-0,20	SI	0,444	1,000	
Fondazione					Travata: Trave 6-12-24														
Trave 6-12	3,70	004	▣	60x40	0,00	S;S;S;S;S;S	S;S;S;S;S;S	NO	001	T001	PCA	0035	0033	4,00	-0,20	SI	0,444	1,000	
Trave 12-24	2,70	004	▣	60x40	0,00	S;S;S;S;S;S	S;S;S;S;S;S	NO	001	T001	PCA	0033	0031	3,00	-0,20	SI	0,444	1,000	
Fondazione					Travata: Trave 13-16														
Trave 13-16	1,95	005	▣	30x40	0,00	S;S;S;S;S;S	S;S;S;S;S;S	NO	001	T001	PCA	0037	0040	2,20	-0,20	SI	0,563	1,000	
Fondazione					Travata: Trave 14-17														
Trave 14-17	1,96	005	▣	30x40	0,00	S;S;S;S;S;S	S;S;S;S;S;S	NO	001	T001	PCA	0038	0042	2,21	-0,20	SI	0,563	1,000	
Fondazione					Travata: Trave 15-18														
Trave 15-18	1,96	005	▣	30x40	0,00	S;S;S;S;S;S	S;S;S;S;S;S	NO	001	T001	PCA	0039	0041	2,21	-0,20	SI	0,563	1,000	

LEGENDA:

- Id_{Tr}** Identificativo della trave. L'eventuale lettera tra parentesi distingue i diversi tratti della travata al livello considerato.
- L_{LI}** Lunghezza libera d'Inflessione.
- Id_{Sz}** Identificativo della sezione, nella relativa tabella.
- Tp** Tipo di sezione.
- Label** Identificativo della sezione, come indicato nelle carpenterie.
- R_{tz}** Angolo di rotazione della sezione.
- V. Int.** Identificativo delle condizioni di vincolo agli estremi inferiore e superiore del pilastro, costituito da sei caratteri. I primi tre, sono relativi alla traslazione rispettivamente lungo gli assi 1, 2 e 3, mentre i secondi tre sono relativi rispettivamente alla rotazione intorno agli assi 1, 2 e 3 (Assi 1, 2, 3: riferimento locale). Il carattere " S " o " N " indica se il vincolo allo spostamento/rotazione è presente o assente.
- B_{beam}** [SI] = Nella valutazione della superficie di contatto con il terreno della trave di fondazione, non si considera la presenza del "magrone" aggettante rispetto alla base della sezione
- M_{trl}** Identificativo del materiale.
- Id_{Ter}** Identificativo del terreno, nella relativa tabella.
- AA** Identificativo dell'aggressività dell'ambiente: [PCA] = "Ordinario"; [MDA] = "Aggressivo"; [MLA] = "Molto aggressivo".
- Nd_i** Identificativo del nodo iniziale, nella relativa tabella.
- Nd_f** Identificativo del nodo finale, nella relativa tabella.
- Di_{Si-j}** Distanza tra il nodo iniziale e finale.
- Q_{LLI,i}** Quota dell'estremo iniziale del tratto di trave libero d'inflattersi (Lunghezza Libera d'Inflessione), valutata rispetto al livello (piano) di appartenenza.
- Clc Fnd** [SI] = elemento progettato attraverso una modalità di rispetto della Gerarchia delle Resistenze per le Fondazioni. [No] = elemento progettato con le sollecitazioni ottenute dall'analisi (senza nessuna modalità di rispetto della Gerarchia delle Resistenze per le Fondazioni).
- C_{rid,v}** Coefficiente di riduzione della costante di sottofondo verticale
- C_{rid,h}** Coefficiente di riduzione della costante di sottofondo orizzontale

PILASTRI

N _{id}	Lv	L _{LI}	Id _{Sz}	Sezione		R _{tz}	V. Int.		M _{trl}	AA/Cl S	Nod		Di _{Si-j}	Q _{LLI}		Clc Fnd	Pr/Sc
				Label	Label		Inf.	Sup.			Inf.	Sup.		Inf.	Sup.		
		[m]				[°ssdc]							[m]	[m]	[m]		
001	01	2,75	006	▣	30x30	0,00	S;S;S;S;S;S	S;S;S;S;S;S	001	PCA	0001	0002	3,00	0,00	2,75	NO	-
002	01	2,75	006	▣	30x30	0,00	S;S;S;S;S;S	S;S;S;S;S;S	001	PCA	0007	0008	3,00	0,00	2,75	NO	-
003	01	2,75	006	▣	30x30	0,00	S;S;S;S;S;S	S;S;S;S;S;S	001	PCA	0017	0018	3,00	0,00	2,75	NO	-
004	01	2,75	006	▣	30x30	0,00	S;S;S;S;S;S	S;S;S;S;S;S	001	PCA	0023	0024	3,00	0,00	2,75	NO	-
005	01	2,75	006	▣	30x30	0,00	S;S;S;S;S;S	S;S;S;S;S;S	001	PCA	0029	0030	3,00	0,00	2,75	NO	-
006	01	2,75	006	▣	30x30	0,00	S;S;S;S;S;S	S;S;S;S;S;S	001	PCA	0035	0036	3,00	0,00	2,75	NO	-
007	01	2,75	006	▣	30x30	0,00	S;S;S;S;S;S	S;S;S;S;S;S	001	PCA	0005	0006	3,00	0,00	2,75	NO	-
008	01	2,75	006	▣	30x30	0,00	S;S;S;S;S;S	S;S;S;S;S;S	001	PCA	0011	0012	3,00	0,00	2,75	NO	-
009	01	2,75	006	▣	30x30	0,00	S;S;S;S;S;S	S;S;S;S;S;S	001	PCA	0013	0014	3,00	0,00	2,75	NO	-
010	01	2,75	006	▣	30x30	0,00	S;S;S;S;S;S	S;S;S;S;S;S	001	PCA	0021	0022	3,00	0,00	2,75	NO	-
011	01	2,75	006	▣	30x30	0,00	S;S;S;S;S;S	S;S;S;S;S;S	001	PCA	0027	0028	3,00	0,00	2,75	NO	-
12 (a)	01	2,75	006	▣	30x30	0,00	S;S;S;S;S;S	S;S;S;S;S;S	001	PCA	0033	0034	3,00	0,00	2,75	NO	-
013	01	2,75	007	▣	25x25	0,00	S;S;S;S;S;S	S;S;S;S;S;S	001	PCA	0037	0043	3,00	0,00	2,75	NO	-
014	01	2,75	007	▣	25x25	0,00	S;S;S;S;S;S	S;S;S;S;S;S	001	PCA	0038	0044	3,00	0,00	2,75	NO	-
015	01	2,75	007	▣	25x25	0,00	S;S;S;S;S;S	S;S;S;S;S;S	001	PCA	0039	0045	3,00	0,00	2,75	NO	-
016	01	2,75	007	▣	25x25	0,00	S;S;S;S;S;S	S;S;S;S;S;S	001	PCA	0040	0046	3,00	0,00	2,75	NO	-
17 (a)	01	2,75	007	▣	25x25	0,00	S;S;S;S;S;S	S;S;S;S;S;S	001	PCA	0042	0047	3,00	0,00	2,75	NO	-
018	01	2,75	007	▣	25x25	0,00	S;S;S;S;S;S	S;S;S;S;S;S	001	PCA	0041	0048	3,00	0,00	2,75	NO	-
019	01	2,75	006	▣	30x30	0,00	S;S;S;S;S;S	S;S;S;S;S;S	001	PCA	0003	0004	3,00	0,00	2,75	NO	-
020	01	2,75	006	▣	30x30	0,00	S;S;S;S;S;S	S;S;S;S;S;S	001	PCA	0009	0010	3,00	0,00	2,75	NO	-
021	01	2,75	006	▣	30x30	0,00	S;S;S;S;S;S	S;S;S;S;S;S	001	PCA	0015	0016	3,00	0,00	2,75	NO	-
022	01	2,75	006	▣	30x30	0,00	S;S;S;S;S;S	S;S;S;S;S;S	001	PCA	0019	0020	3,00	0,00	2,75	NO	-
23 (a)	01	2,75	006	▣	30x30	0,00	S;S;S;S;S;S	S;S;S;S;S;S	001	PCA	0025	0026	3,00	0,00	2,75	NO	-
024	01	2,75	006	▣	30x30	0,00	S;S;S;S;S;S	S;S;S;S;S;S	001	PCA	0031	0032	3,00	0,00	2,75	NO	-

LEGENDA:

- N_{id}** Numero identificativo della pilastrata. L'eventuale lettera tra parentesi distingue i diversi tratti della pilastrata al livello considerato.

N _{id}	Lv	L _{LI}	Sezione				V. Int.		Mtrl	AA/CI S	Nod		Dis _{i-j}	Q _{LLI}		Clc Fnd	Pr/Sc
			Id _{Sz}	Tp	Label	Rtz	Inf.	Sup.			Inf.	Sup.		Inf.	Sup.		
		[m]				[°ssdc]						[m]	[m]	[m]			

Lv Identificativo del livello, nella relativa tabella.
L_{LI} Lunghezza libera d'Inflessione.
Id_{Sz} Identificativo della sezione, nella relativa tabella.
Tp Tipo di sezione.
Label Identificativo della sezione, come indicato nelle carpenterie.
Rtz Angolo di rotazione della sezione.
V. Int. Identificativo delle condizioni di vincolo agli estremi inferiore e superiore del pilastro, costituito da sei caratteri. I primi tre, sono relativi alla traslazione rispettivamente lungo gli assi 1, 2 e 3, mentre i secondi tre sono relativi rispettivamente alla rotazione intorno agli assi 1, 2 e 3 (Assi 1, 2, 3: riferimento locale). Il carattere " S " o " N " indica se il vincolo allo spostamento/rotazione è presente o assente.
Mtrl Identificativo del materiale.
AA/CI S Identificativo dell'aggressività dell'ambiente o della classe di servizio:
 Aggressività dell'ambiente: [PCA] = "Ordinario"; [MDA] = "Aggressivo"; [MLA] = "Molto aggressivo";
 Classe di servizio: [1] = Ambiente con umidità bassa - [2] = Ambiente con umidità media - [3] = Ambiente con umidità alta.
Nod Identificativo del nodo nella relativa tabella.
Dis_{i-j} Distanza tra il nodo iniziale e finale.
Q_{LLI} Quota agli estremi inferiore e superiore del tratto di elemento libero d'inflettersi (Lunghezza Libera d'Inflessione), valutata rispetto al livello (piano) di appartenenza.
Clc Fnd [SI] = elemento progettato attraverso una modalità di rispetto della Gerarchia delle Resistenze per le Fondazioni. [No] = elemento progettato con le sollecitazioni ottenute dall'analisi (senza nessuna modalità di rispetto della Gerarchia delle Resistenze per le Fondazioni).
Pr/Sc Indica se l'elemento strutturale è incluso nel modello per il calcolo delle azioni sismiche. [1] = non incluso; [-] = incluso.

SOLAI E BALCONI

Id _{EI} m	Vertici del solaio	A _{EI}	Sp	Tipologia	B _{tr}	TA	B _{pg}	Sp _{s,s} up	Sp _{s,i} nf	Rpt		PR	I
										N	b		
		[m ²]	[cm]		[cm]		[cm]	[cm]	[cm]		[cm]		
Piano Terra													
001	7-1-2-8	12,68	25,00	Solaio latero cementizio con travetti precompressi	10	NO	40	4	-	0	0	SI	O
002	8-2-3-9	17,57	25,00	Solaio latero cementizio con travetti precompressi	10	NO	40	4	-	0	0	SI	O
003	9-3-4-10	15,03	25,00	Solaio latero cementizio con travetti precompressi	10	NO	40	4	-	0	0	SI	O
004	10-4-5-11	16,22	25,00	Solaio latero cementizio con travetti precompressi	10	NO	40	4	-	0	0	SI	O
005	11-5-6-12	11,85	25,00	Solaio latero cementizio con travetti precompressi	10	NO	40	4	-	0	0	SI	O
006	19-7-8-20	12,24	25,00	Solaio latero cementizio con travetti precompressi	10	NO	40	4	-	0	0	SI	O
007	20-8-9-21	14,17	25,00	Solaio latero cementizio con travetti precompressi	10	NO	40	4	-	0	0	SI	O
008	21-9-10-22	10,12	25,00	Solaio latero cementizio con travetti precompressi	10	NO	40	4	-	0	0	SI	O
009	22-10-11-23	11,35	25,00	Solaio latero cementizio con travetti precompressi	10	NO	40	4	-	0	0	SI	O
010	23-11-12-24	8,92	25,00	Solaio latero cementizio con travetti precompressi	10	NO	40	4	-	0	0	SI	O
011	16-13-14-17	4,38	25,00	Solaio latero cementizio con travetti precompressi	10	NO	40	4	-	0	0	SI	O
012	17-14-15-18	4,73	25,00	Solaio latero cementizio con travetti precompressi	10	NO	40	4	-	0	0	SI	O
Fondazione													
Piano Terra													
013	-	2,71	25,00	Balcone a soletta piena	-	NO	-	-	-	-	-	-	-
014	-	9,30	25,00	Balcone a soletta piena	-	NO	-	-	-	-	-	-	-
015	-	2,66	25,00	Balcone a soletta piena	-	NO	-	-	-	-	-	-	-
016	-	9,21	25,00	Balcone a soletta piena	-	NO	-	-	-	-	-	-	-

LEGENDA:

Id_{Elm} Identificativo dell'elemento strutturale.
A_{EI} Superficie elemento.
Sp Spessore dell'elemento.
B_{tr} Larghezza dell'anima del travetto.
TA [SI] = Solaio realizzato con travetti accoppiati.
B_{pg} Larghezza della Pignatta.
Sp_{s,sup} Spessore della soletta superiore.
Sp_{s,inf} Spessore della soletta inferiore.
PR Indica se l'impalcato (orizzontale) è considerato rigido nel calcolo: [SI] = Piano Rigido - [NO] = Piano non Rigido.
 In alternativa vedere tabella "Solai e Balconi" in quanto il comportamento rigido potrebbe essere stato assegnato ai singoli solai del livello.
I [O]: Solaio orizzontale; [I]: Solaio inclinato.
Rpt/n Numero di rompitratta.
Rpt/b Larghezza rompitratta.

CARICHI SULLE TRAVI

TC	C	CC	SR	Dis _i	F _{X,i} /Q _{X,i}	F _{Y,i} /Q _{Y,i}	F _{Z,i} /Q _{Z,i}	M _{X,i} /M _{T,i}	M _{Y,i}	M _{Z,i}	Dis _f	Q _{X,f}	Q _{Y,f}	Q _{Z,f}	M _{T,f}
Piano Terra															
				Travata: Trave 1-2-3-4-5-6				Trave: Trave 1-2				Peso proprio		-1 875	
L	CR001	002	G	0,05	0	0	-204	0	-	-	0,05	0	0	-204	0
L	CR002	003	G	0,05	0	0	-75	0	-	-	0,05	0	0	-75	0
L	CR003	004	G	0,05	0	0	-108	0	-	-	0,05	0	0	-108	0
L	CR004	001	G	0,00	0	0	-1 327	462	-	-	0,00	0	0	-1 327	462
L	CR005	002	G	0,00	0	0	-539	188	-	-	0,00	0	0	-539	188
L	CR006	003	G	0,00	0	0	-198	69	-	-	0,00	0	0	-198	69
L	CR007	004	G	0,00	0	0	-285	99	-	-	0,00	0	0	-285	99
L	CR008	005	G	0,00	0	-229	0	0	-	-	0,00	0	-229	0	0
L	CR008	006	G	0,00	0	-229	0	0	-	-	0,00	0	-229	0	0
L	CR008	007	G	0,00	0	458	0	0	-	-	0,00	0	458	0	0
L	CR008	008	G	0,00	0	-229	0	0	-	-	0,00	0	-229	0	0
L	CR009	005	G	0,00	0	-70	0	0	-	-	0,00	0	-70	0	0
L	CR009	006	G	0,00	0	-70	0	0	-	-	0,00	0	-70	0	0
L	CR009	007	G	0,00	0	141	0	0	-	-	0,00	0	141	0	0
L	CR009	008	G	0,00	0	-70	0	0	-	-	0,00	0	-70	0	0
C	CR008	005	G	2,00	23	0	0	0	0	0	-	-	-	-	-

														Carichi sulle travi			
TC	C	CC	SR	Dis _i	F _{X,i} /Q _{X,i}	F _{Y,i} /Q _{Y,i}	F _{Z,i} /Q _{Z,i}	M _{X,i} /M _{T,i}	M _{Y,i}	M _{Z,i}	Dis _f	Q _{X,f}	Q _{Y,f}	Q _{Z,f}	M _{T,f}		
				[m]	[N;N/m]	[N;N/m]	[N;N/m]	[N-m;N-m/m]	[N-m;N-m/m]	[N-m;N-m/m]	[m]	[N/m]	[N/m]	[N/m]	[N-m/m]		
C	CR008	006	G	2,00	-23	0	0	0	0	0	-	-	-	-	-		
C	CR009	005	G	2,00	7	0	0	0	0	0	-	-	-	-	-		
C	CR009	006	G	2,00	-7	0	0	0	0	0	-	-	-	-	-		
Piano Terra			Travata: Trave 1-2-3-4-5-6					Trave: Trave 2-3			Peso proprio			-1 875			
L	CR001	002	G	0,05	0	0	-204	0	-	-	0,10	0	0	-204	0		
L	CR002	003	G	0,05	0	0	-75	0	-	-	0,10	0	0	-75	0		
L	CR003	004	G	0,05	0	0	-108	0	-	-	0,10	0	0	-108	0		
L	CR004	001	G	0,00	0	0	-1 327	462	-	-	0,00	0	0	-1 327	462		
L	CR005	002	G	0,00	0	0	-539	188	-	-	0,00	0	0	-539	188		
L	CR006	003	G	0,00	0	0	-198	69	-	-	0,00	0	0	-198	69		
L	CR007	004	G	0,00	0	0	-285	99	-	-	0,00	0	0	-285	99		
L	CR008	005	G	0,00	0	-251	0	0	-	-	0,00	0	-251	0	0		
L	CR008	006	G	0,00	0	-251	0	0	-	-	0,00	0	-251	0	0		
L	CR008	007	G	0,00	0	502	0	0	-	-	0,00	0	502	0	0		
L	CR008	008	G	0,00	0	-251	0	0	-	-	0,00	0	-251	0	0		
L	CR009	005	G	0,00	0	-70	0	0	-	-	0,00	0	-70	0	0		
L	CR009	006	G	0,00	0	-70	0	0	-	-	0,00	0	-70	0	0		
L	CR009	007	G	0,00	0	141	0	0	-	-	0,00	0	141	0	0		
L	CR009	008	G	0,00	0	-70	0	0	-	-	0,00	0	-70	0	0		
C	CR008	005	G	2,55	32	0	0	0	0	0	-	-	-	-	-		
C	CR008	006	G	2,55	-32	0	0	0	0	0	-	-	-	-	-		
C	CR009	005	G	2,55	9	0	0	0	0	0	-	-	-	-	-		
C	CR009	006	G	2,55	-9	0	0	0	0	0	-	-	-	-	-		
Piano Terra			Travata: Trave 1-2-3-4-5-6					Trave: Trave 3-4			Peso proprio			-1 875			
L	CR001	002	G	0,10	0	0	-204	0	-	-	0,10	0	0	-204	0		
L	CR002	003	G	0,10	0	0	-75	0	-	-	0,10	0	0	-75	0		
L	CR003	004	G	0,10	0	0	-108	0	-	-	0,10	0	0	-108	0		
L	CR004	001	G	0,10	0	0	-1 327	462	-	-	0,00	0	0	-1 327	462		
L	CR005	002	G	0,10	0	0	-539	188	-	-	0,00	0	0	-539	188		
L	CR006	003	G	0,10	0	0	-198	69	-	-	0,00	0	0	-198	69		
L	CR007	004	G	0,10	0	0	-285	99	-	-	0,00	0	0	-285	99		
L	CR008	005	G	0,00	0	-231	0	0	-	-	0,00	0	-231	0	0		
L	CR008	006	G	0,00	0	-231	0	0	-	-	0,00	0	-231	0	0		
L	CR008	007	G	0,00	0	463	0	0	-	-	0,00	0	463	0	0		
L	CR008	008	G	0,00	0	-231	0	0	-	-	0,00	0	-231	0	0		
L	CR009	005	G	0,00	0	-70	0	0	-	-	0,00	0	-70	0	0		
L	CR009	006	G	0,00	0	-70	0	0	-	-	0,00	0	-70	0	0		
L	CR009	007	G	0,00	0	141	0	0	-	-	0,00	0	141	0	0		
L	CR009	008	G	0,00	0	-70	0	0	-	-	0,00	0	-70	0	0		
C	CR008	005	G	2,05	24	0	0	0	0	0	-	-	-	-	-		
C	CR008	006	G	2,05	-24	0	0	0	0	0	-	-	-	-	-		
C	CR009	005	G	2,05	7	0	0	0	0	0	-	-	-	-	-		
C	CR009	006	G	2,05	-7	0	0	0	0	0	-	-	-	-	-		
Piano Terra			Travata: Trave 1-2-3-4-5-6					Trave: Trave 4-5			Peso proprio			-1 875			
L	CR001	002	G	0,10	0	0	-204	0	-	-	0,10	0	0	-204	0		
L	CR002	003	G	0,10	0	0	-75	0	-	-	0,10	0	0	-75	0		
L	CR003	004	G	0,10	0	0	-108	0	-	-	0,10	0	0	-108	0		
L	CR004	001	G	0,00	0	0	-1 327	462	-	-	0,10	0	0	-1 327	462		
L	CR005	002	G	0,00	0	0	-539	188	-	-	0,10	0	0	-539	188		
L	CR006	003	G	0,00	0	0	-198	69	-	-	0,10	0	0	-198	69		
L	CR007	004	G	0,00	0	0	-285	99	-	-	0,10	0	0	-285	99		
L	CR008	005	G	0,00	0	-241	0	0	-	-	0,00	0	-241	0	0		
L	CR008	006	G	0,00	0	-241	0	0	-	-	0,00	0	-241	0	0		
L	CR008	007	G	0,00	0	481	0	0	-	-	0,00	0	481	0	0		
L	CR008	008	G	0,00	0	-241	0	0	-	-	0,00	0	-241	0	0		
L	CR009	005	G	0,00	0	-70	0	0	-	-	0,00	0	-70	0	0		
L	CR009	006	G	0,00	0	-70	0	0	-	-	0,00	0	-70	0	0		
L	CR009	007	G	0,00	0	141	0	0	-	-	0,00	0	141	0	0		
L	CR009	008	G	0,00	0	-70	0	0	-	-	0,00	0	-70	0	0		
C	CR008	005	G	2,26	27	0	0	0	0	0	-	-	-	-	-		
C	CR008	006	G	2,26	-27	0	0	0	0	0	-	-	-	-	-		
C	CR009	005	G	2,26	8	0	0	0	0	0	-	-	-	-	-		
C	CR009	006	G	2,26	-8	0	0	0	0	0	-	-	-	-	-		
Piano Terra			Travata: Trave 1-2-3-4-5-6					Trave: Trave 5-6			Peso proprio			-1 875			
L	CR001	002	G	0,10	0	0	-204	0	-	-	0,05	0	0	-204	0		
L	CR002	003	G	0,10	0	0	-75	0	-	-	0,05	0	0	-75	0		
L	CR003	004	G	0,10	0	0	-108	0	-	-	0,05	0	0	-108	0		
L	CR004	001	G	0,00	0	0	-1 327	462	-	-	0,00	0	0	-1 327	462		
L	CR005	002	G	0,00	0	0	-539	188	-	-	0,00	0	0	-539	188		
L	CR006	003	G	0,00	0	0	-198	69	-	-	0,00	0	0	-198	69		
L	CR007	004	G	0,00	0	0	-285	99	-	-	0,00	0	0	-285	99		
L	CR008	005	G	0,00	0	-212	0	0	-	-	0,00	0	-212	0	0		
L	CR008	006	G	0,00	0	-212	0	0	-	-	0,00	0	-212	0	0		
L	CR008	007	G	0,00	0	423	0	0	-	-	0,00	0	423	0	0		
L	CR008	008	G	0,00	0	-212	0	0	-	-	0,00	0	-212	0	0		
L	CR009	005	G	0,00	0	-70	0	0	-	-	0,00	0	-70	0	0		
L	CR009	006	G	0,00	0	-70	0	0	-	-	0,00	0	-70	0	0		
L	CR009	007	G	0,00	0	141	0	0	-	-	0,00	0	141	0	0		
L	CR009	008	G	0,00	0	-70	0	0	-	-	0,00	0	-70	0	0		
C	CR008	005	G	1,66	18	0	0	0	0	0	-	-	-	-	-		
C	CR008	006	G	1,66	-18	0	0	0	0	0	-	-	-	-	-		
C	CR009	005	G	1,66	6	0	0	0	0	0	-	-	-	-	-		
C	CR009	006	G	1,66	-6	0	0	0	0	0	-	-	-	-	-		
Piano Terra			Travata: Trave 7-8-9-10-11-12					Trave: Trave 7-8			Peso proprio			-1 875			
L	CR001	002	G	0,05	0	0	-204	0	-	-	0,05	0	0	-204	0		
L	CR002	003	G	0,05	0	0	-75	0	-	-	0,05	0	0	-75	0		

															Carichi sulle travi			
TC	C	CC	SR	Dis _i	F _{X,i} /Q _{X,i}	F _{Y,i} /Q _{Y,i}	F _{Z,i} /Q _{Z,i}	M _{X,i} /M _{T,i}	M _{Y,i}	M _{Z,i}	Dis _f	Q _{X,f}	Q _{Y,f}	Q _{Z,f}	M _{T,f}			
				[m]	[N;N/m]	[N;N/m]	[N;N/m]	[N-m;N-m/m]	[N-m;N-m/m]	[N-m;N-m/m]	[m]	[N/m]	[N/m]	[N/m]	[N-m/m]			
L	CR003	004	G	0,05	0	0	-108	0	-	-	0,05	0	0	-108	0			
L	CR001	002	G	0,05	0	0	-204	0	-	-	0,05	0	0	-204	0			
L	CR002	003	G	0,05	0	0	-75	0	-	-	0,05	0	0	-75	0			
L	CR003	004	G	0,05	0	0	-108	0	-	-	0,05	0	0	-108	0			
Piano Terra			Travata: Trave 7-8-9-10-11-12					Trave: Trave 8-9			Peso proprio			-1 875				
L	CR010	001	G	0,05	0	0	0	0	-	-	0,02	0	0	-936	0			
L	CR001	002	G	0,05	0	0	0	0	-	-	0,02	0	0	-380	0			
L	CR002	003	G	0,05	0	0	0	0	-	-	0,02	0	0	-140	0			
L	CR003	004	G	0,05	0	0	0	0	-	-	0,02	0	0	-201	0			
L	CR001	002	G	0,05	0	0	-204	0	-	-	0,02	0	0	-204	0			
L	CR002	003	G	0,05	0	0	-75	0	-	-	0,02	0	0	-75	0			
L	CR003	004	G	0,05	0	0	-108	0	-	-	0,02	0	0	-108	0			
L	CR010	001	G	0,02	0	0	-926	0	-	-	0,10	0	0	0	0			
L	CR001	002	G	0,02	0	0	-376	0	-	-	0,10	0	0	0	0			
L	CR002	003	G	0,02	0	0	-138	0	-	-	0,10	0	0	0	0			
L	CR003	004	G	0,02	0	0	-199	0	-	-	0,10	0	0	0	0			
L	CR001	002	G	0,02	0	0	-204	0	-	-	0,10	0	0	-204	0			
L	CR002	003	G	0,02	0	0	-75	0	-	-	0,10	0	0	-75	0			
L	CR003	004	G	0,02	0	0	-108	0	-	-	0,10	0	0	-108	0			
Piano Terra			Travata: Trave 7-8-9-10-11-12					Trave: Trave 9-10			Peso proprio			-1 875				
L	CR001	002	G	0,05	0	0	-204	0	-	-	0,05	0	0	-204	0			
L	CR002	003	G	0,05	0	0	-75	0	-	-	0,05	0	0	-75	0			
L	CR003	004	G	0,05	0	0	-108	0	-	-	0,05	0	0	-108	0			
L	CR001	002	G	0,10	0	0	-204	0	-	-	0,10	0	0	-204	0			
L	CR002	003	G	0,10	0	0	-75	0	-	-	0,10	0	0	-75	0			
L	CR003	004	G	0,10	0	0	-108	0	-	-	0,10	0	0	-108	0			
Piano Terra			Travata: Trave 7-8-9-10-11-12					Trave: Trave 11-10			Peso proprio			-1 875				
L	CR010	001	G	0,05	0	0	0	0	-	-	0,04	0	0	-249	0			
L	CR001	002	G	0,05	0	0	0	0	-	-	0,04	0	0	-101	0			
L	CR002	003	G	0,05	0	0	0	0	-	-	0,04	0	0	-37	0			
L	CR003	004	G	0,05	0	0	0	0	-	-	0,04	0	0	-54	0			
L	CR001	002	G	0,05	0	0	-204	0	-	-	0,04	0	0	-204	0			
L	CR002	003	G	0,05	0	0	-75	0	-	-	0,04	0	0	-75	0			
L	CR003	004	G	0,05	0	0	-108	0	-	-	0,04	0	0	-108	0			
L	CR010	001	G	0,09	0	0	-244	0	-	-	0,10	0	0	0	0			
L	CR001	002	G	0,09	0	0	-99	0	-	-	0,10	0	0	0	0			
L	CR002	003	G	0,09	0	0	-36	0	-	-	0,10	0	0	0	0			
L	CR003	004	G	0,09	0	0	-52	0	-	-	0,10	0	0	0	0			
L	CR001	002	G	0,09	0	0	-204	0	-	-	0,10	0	0	-204	0			
L	CR002	003	G	0,09	0	0	-75	0	-	-	0,10	0	0	-75	0			
L	CR003	004	G	0,09	0	0	-108	0	-	-	0,10	0	0	-108	0			
Piano Terra			Travata: Trave 7-8-9-10-11-12					Trave: Trave 11-12			Peso proprio			-1 875				
L	CR001	002	G	0,05	0	0	-204	0	-	-	0,05	0	0	-204	0			
L	CR002	003	G	0,05	0	0	-75	0	-	-	0,05	0	0	-75	0			
L	CR003	004	G	0,05	0	0	-108	0	-	-	0,05	0	0	-108	0			
L	CR001	002	G	0,10	0	0	-204	0	-	-	0,05	0	0	-204	0			
L	CR002	003	G	0,10	0	0	-75	0	-	-	0,05	0	0	-75	0			
L	CR003	004	G	0,10	0	0	-108	0	-	-	0,05	0	0	-108	0			
Piano Terra			Travata: Trave 13-14-15					Trave: Trave 14-13			Peso proprio			-2 500				
L	CR010	001	G	0,10	0	0	0	0	-	-	0,05	0	0	-3	0			
L	CR001	002	G	0,10	0	0	0	0	-	-	0,05	0	0	-1	0			
L	CR003	004	G	0,10	0	0	0	0	-	-	0,05	0	0	-1	0			
L	CR001	002	G	0,10	0	0	-272	0	-	-	0,05	0	0	-272	0			
L	CR002	003	G	0,10	0	0	-100	0	-	-	0,05	0	0	-100	0			
L	CR003	004	G	0,10	0	0	-144	0	-	-	0,05	0	0	-144	0			
Piano Terra			Travata: Trave 13-14-15					Trave: Trave 15-14			Peso proprio			-2 500				
L	CR010	001	G	0,05	0	0	0	0	-	-	0,05	0	0	-3	0			
L	CR001	002	G	0,05	0	0	0	0	-	-	0,05	0	0	-1	0			
L	CR003	004	G	0,05	0	0	0	0	-	-	0,05	0	0	-1	0			
L	CR001	002	G	0,05	0	0	-272	0	-	-	0,05	0	0	-272	0			
L	CR002	003	G	0,05	0	0	-100	0	-	-	0,05	0	0	-100	0			
L	CR003	004	G	0,05	0	0	-144	0	-	-	0,05	0	0	-144	0			
Piano Terra			Travata: Trave 16-17-18					Trave: Trave 16-17			Peso proprio			-2 500				
L	CR001	002	G	0,05	0	0	-272	0	-	-	0,10	0	0	-272	0			
L	CR002	003	G	0,05	0	0	-100	0	-	-	0,10	0	0	-100	0			
L	CR003	004	G	0,05	0	0	-144	0	-	-	0,10	0	0	-144	0			
Piano Terra			Travata: Trave 16-17-18					Trave: Trave 17-18			Peso proprio			-2 500				
L	CR001	002	G	0,05	0	0	-272	0	-	-	0,05	0	0	-272	0			
L	CR002	003	G	0,05	0	0	-100	0	-	-	0,05	0	0	-100	0			
L	CR003	004	G	0,05	0	0	-144	0	-	-	0,05	0	0	-144	0			
Piano Terra			Travata: Trave 19-20-21-22-23-24					Trave: Trave 19-20			Peso proprio			-1 875				
L	CR001	002	G	0,05	0	0	-204	0	-	-	0,05	0	0	-204	0			
L	CR002	003	G	0,05	0	0	-75	0	-	-	0,05	0	0	-75	0			
L	CR003	004	G	0,05	0	0	-108	0	-	-	0,05	0	0	-108	0			
L	CR004	001	G	0,00	0	0	-1 340	-469	-	-	0,00	0	0	-1 340	-469			
L	CR005	002	G	0,00	0	0	-544	-190	-	-	0,00	0	0	-544	-190			
L	CR006	003	G	0,00	0	0	-200	-70	-	-	0,00	0	0	-200	-70			
L	CR007	004	G	0,00	0	0	-288	-101	-	-	0,00	0	0	-288	-101			
L	CR008	005	G	0,00	0	229	0	0	-	-	0,00	0	229	0	0			
L	CR008	006	G	0,00	0	229	0	0	-	-	0,00	0	229	0	0			
L	CR008	007	G	0,00	0	229	0	0	-	-	0,00	0	229	0	0			
L	CR008	008	G	0,00	0	-458	0	0	-	-	0,00	0	-458	0	0			
L	CR009	005	G	0,00	0	70	0	0	-	-	0,00	0	70	0	0			
L	CR009	006	G	0,00	0	70	0	0	-	-	0,00	0	70	0	0			
L	CR009	007	G	0,00	0	70	0	0	-	-	0,00	0	70	0	0			
L	CR009	008	G	0,00	0	-141	0	0	-	-	0,00	0	-141	0	0			

Carichi sulle travi															
TC	C	CC	SR	Dis _i	F _{X,i} /Q _{X,i}	F _{Y,i} /Q _{Y,i}	F _{Z,i} /Q _{Z,i}	M _{X,i} /M _{T,i}	M _{Y,i}	M _{Z,i}	Dis _f	Q _{X,f}	Q _{Y,f}	Q _{Z,f}	M _{T,f}
				[m]	[N;N/m]	[N;N/m]	[N;N/m]	[N-m;N-m/m]	[N-m;N-m/m]	[N-m;N-m/m]	[m]	[N/m]	[N/m]	[N/m]	[N-m/m]
C	CR008	005	G	2,00	23	0	0	0	0	0	-	-	-	-	-
C	CR008	006	G	2,00	-23	0	0	0	0	0	-	-	-	-	-
C	CR009	005	G	2,00	7	0	0	0	0	0	-	-	-	-	-
C	CR009	006	G	2,00	-7	0	0	0	0	0	-	-	-	-	-
Piano Terra			Travata: Trave 19-20-21-22-23-24					Trave: Trave 20-21			Peso proprio			-1 875	
L	CR001	002	G	0,05	0	0	-204	0	-	-	0,05	0	0	-204	0
L	CR002	003	G	0,05	0	0	-75	0	-	-	0,05	0	0	-75	0
L	CR003	004	G	0,05	0	0	-108	0	-	-	0,05	0	0	-108	0
L	CR004	001	G	0,00	0	0	-1 340	-469	-	-	0,00	0	0	-1 340	-469
L	CR005	002	G	0,00	0	0	-544	-190	-	-	0,00	0	0	-544	-190
L	CR006	003	G	0,00	0	0	-200	-70	-	-	0,00	0	0	-200	-70
L	CR007	004	G	0,00	0	0	-288	-101	-	-	0,00	0	0	-288	-101
L	CR008	005	G	0,00	0	251	0	0	-	-	0,00	0	251	0	0
L	CR008	006	G	0,00	0	251	0	0	-	-	0,00	0	251	0	0
L	CR008	007	G	0,00	0	251	0	0	-	-	0,00	0	251	0	0
L	CR008	008	G	0,00	0	-502	0	0	-	-	0,00	0	-502	0	0
L	CR009	005	G	0,00	0	70	0	0	-	-	0,00	0	70	0	0
L	CR009	006	G	0,00	0	70	0	0	-	-	0,00	0	70	0	0
L	CR009	007	G	0,00	0	70	0	0	-	-	0,00	0	70	0	0
L	CR009	008	G	0,00	0	-141	0	0	-	-	0,00	0	-141	0	0
C	CR008	005	G	2,55	32	0	0	0	0	0	-	-	-	-	-
C	CR008	006	G	2,55	-32	0	0	0	0	0	-	-	-	-	-
C	CR009	005	G	2,55	9	0	0	0	0	0	-	-	-	-	-
C	CR009	006	G	2,55	-9	0	0	0	0	0	-	-	-	-	-
Piano Terra			Travata: Trave 19-20-21-22-23-24					Trave: Trave 21-22			Peso proprio			-1 875	
L	CR001	002	G	0,05	0	0	-204	0	-	-	0,05	0	0	-204	0
L	CR002	003	G	0,05	0	0	-75	0	-	-	0,05	0	0	-75	0
L	CR003	004	G	0,05	0	0	-108	0	-	-	0,05	0	0	-108	0
L	CR004	001	G	0,00	0	0	-1 340	-469	-	-	0,00	0	0	-1 340	-469
L	CR005	002	G	0,00	0	0	-544	-190	-	-	0,00	0	0	-544	-190
L	CR006	003	G	0,00	0	0	-200	-70	-	-	0,00	0	0	-200	-70
L	CR007	004	G	0,00	0	0	-288	-101	-	-	0,00	0	0	-288	-101
L	CR008	005	G	0,00	0	231	0	0	-	-	0,00	0	231	0	0
L	CR008	006	G	0,00	0	231	0	0	-	-	0,00	0	231	0	0
L	CR008	007	G	0,00	0	231	0	0	-	-	0,00	0	231	0	0
L	CR008	008	G	0,00	0	-463	0	0	-	-	0,00	0	-463	0	0
L	CR009	005	G	0,00	0	70	0	0	-	-	0,00	0	70	0	0
L	CR009	006	G	0,00	0	70	0	0	-	-	0,00	0	70	0	0
L	CR009	007	G	0,00	0	70	0	0	-	-	0,00	0	70	0	0
L	CR009	008	G	0,00	0	-141	0	0	-	-	0,00	0	-141	0	0
C	CR008	005	G	2,05	24	0	0	0	0	0	-	-	-	-	-
C	CR008	006	G	2,05	-24	0	0	0	0	0	-	-	-	-	-
C	CR009	005	G	2,05	7	0	0	0	0	0	-	-	-	-	-
C	CR009	006	G	2,05	-7	0	0	0	0	0	-	-	-	-	-
Piano Terra			Travata: Trave 19-20-21-22-23-24					Trave: Trave 22-23			Peso proprio			-1 875	
L	CR001	002	G	0,05	0	0	-204	0	-	-	0,05	0	0	-204	0
L	CR002	003	G	0,05	0	0	-75	0	-	-	0,05	0	0	-75	0
L	CR003	004	G	0,05	0	0	-108	0	-	-	0,05	0	0	-108	0
L	CR004	001	G	0,00	0	0	-1 340	-469	-	-	0,00	0	0	-1 340	-469
L	CR005	002	G	0,00	0	0	-544	-190	-	-	0,00	0	0	-544	-190
L	CR006	003	G	0,00	0	0	-200	-70	-	-	0,00	0	0	-200	-70
L	CR007	004	G	0,00	0	0	-288	-101	-	-	0,00	0	0	-288	-101
L	CR008	005	G	0,00	0	238	0	0	-	-	0,00	0	238	0	0
L	CR008	006	G	0,00	0	238	0	0	-	-	0,00	0	238	0	0
L	CR008	007	G	0,00	0	238	0	0	-	-	0,00	0	238	0	0
L	CR008	008	G	0,00	0	-477	0	0	-	-	0,00	0	-477	0	0
L	CR009	005	G	0,00	0	70	0	0	-	-	0,00	0	70	0	0
L	CR009	006	G	0,00	0	70	0	0	-	-	0,00	0	70	0	0
L	CR009	007	G	0,00	0	70	0	0	-	-	0,00	0	70	0	0
L	CR009	008	G	0,00	0	-141	0	0	-	-	0,00	0	-141	0	0
C	CR008	005	G	2,21	26	0	0	0	0	0	-	-	-	-	-
C	CR008	006	G	2,21	-26	0	0	0	0	0	-	-	-	-	-
C	CR009	005	G	2,21	8	0	0	0	0	0	-	-	-	-	-
C	CR009	006	G	2,21	-8	0	0	0	0	0	-	-	-	-	-
Piano Terra			Travata: Trave 19-20-21-22-23-24					Trave: Trave 23-24			Peso proprio			-1 875	
L	CR001	002	G	0,05	0	0	-204	0	-	-	0,05	0	0	-204	0
L	CR002	003	G	0,05	0	0	-75	0	-	-	0,05	0	0	-75	0
L	CR003	004	G	0,05	0	0	-108	0	-	-	0,05	0	0	-108	0
L	CR004	001	G	0,05	0	0	-1 340	-469	-	-	0,00	0	0	-1 340	-469
L	CR005	002	G	0,05	0	0	-544	-190	-	-	0,00	0	0	-544	-190
L	CR006	003	G	0,05	0	0	-200	-70	-	-	0,00	0	0	-200	-70
L	CR007	004	G	0,05	0	0	-288	-101	-	-	0,00	0	0	-288	-101
L	CR008	005	G	0,00	0	215	0	0	-	-	0,00	0	215	0	0
L	CR008	006	G	0,00	0	215	0	0	-	-	0,00	0	215	0	0
L	CR008	007	G	0,00	0	215	0	0	-	-	0,00	0	215	0	0
L	CR008	008	G	0,00	0	-430	0	0	-	-	0,00	0	-430	0	0
L	CR009	005	G	0,00	0	70	0	0	-	-	0,00	0	70	0	0
L	CR009	006	G	0,00	0	70	0	0	-	-	0,00	0	70	0	0
L	CR009	007	G	0,00	0	70	0	0	-	-	0,00	0	70	0	0
L	CR009	008	G	0,00	0	-141	0	0	-	-	0,00	0	-141	0	0
C	CR008	005	G	1,72	18	0	0	0	0	0	-	-	-	-	-
C	CR008	006	G	1,72	-18	0	0	0	0	0	-	-	-	-	-
C	CR009	005	G	1,72	6	0	0	0	0	0	-	-	-	-	-
C	CR009	006	G	1,72	-6	0	0	0	0	0	-	-	-	-	-
Piano Terra			Travata: Trave 1-7-19					Trave: Trave 1-7			Peso proprio			-2 500	
L	CR004	001	G	0,00	0	0	-1 172	-440	-	-	0,00	0	0	-1 172	-440

															Carichi sulle travi			
TC	C	CC	SR	Dis _i	F _{X,i} /Q _{X,i}	F _{Y,i} /Q _{Y,i}	F _{Z,i} /Q _{Z,i}	M _{X,i} /M _{T,i}	M _{Y,i}	M _{Z,i}	Dis _f	Q _{X,f}	Q _{Y,f}	Q _{Z,f}	M _{T,f}			
				[m]	[N;N/m]	[N;N/m]	[N;N/m]	[N-m;N-m/m]	[N-m;N-m/m]	[N-m;N-m/m]	[m]	[N/m]	[N/m]	[N/m]	[N-m/m]			
L	CR001	002	G	0,16	0	0	-2 963	0	-	-	0,00	0	0	-2 937	0			
L	CR002	003	G	0,16	0	0	-1 089	0	-	-	0,00	0	0	-1 080	0			
L	CR003	004	G	0,16	0	0	-1 569	0	-	-	0,00	0	0	-1 555	0			
L	CR010	001	G	0,00	0	0	0	0	-	-	2,54	0	0	-7 300	0			
L	CR001	002	G	0,00	0	0	0	0	-	-	2,54	0	0	-2 963	0			
L	CR002	003	G	0,00	0	0	0	0	-	-	2,54	0	0	-1 089	0			
L	CR003	004	G	0,00	0	0	0	0	-	-	2,54	0	0	-1 569	0			
L	CR001	002	G	0,00	0	0	-272	0	-	-	0,00	0	0	-272	0			
L	CR002	003	G	0,00	0	0	-100	0	-	-	0,00	0	0	-100	0			
L	CR003	004	G	0,00	0	0	-144	0	-	-	0,00	0	0	-144	0			
Piano Terra			Travata: Trave 6-12-24					Trave: Trave 6-12			Peso proprio			-2 500				
L	CR004	001	G	0,00	0	0	-1 156	431	-	-	0,00	0	0	-1 156	431			
L	CR005	002	G	0,00	0	0	-469	175	-	-	0,00	0	0	-469	175			
L	CR006	003	G	0,00	0	0	-173	64	-	-	0,00	0	0	-173	64			
L	CR007	004	G	0,00	0	0	-248	92	-	-	0,00	0	0	-248	92			
L	CR010	001	G	0,00	0	0	-5 319	0	-	-	0,00	0	0	-5 415	0			
L	CR001	002	G	0,00	0	0	-2 159	0	-	-	0,00	0	0	-2 198	0			
L	CR002	003	G	0,00	0	0	-794	0	-	-	0,00	0	0	-808	0			
L	CR003	004	G	0,00	0	0	-1 143	0	-	-	0,00	0	0	-1 164	0			
L	CR001	002	G	0,00	0	0	-272	0	-	-	0,00	0	0	-272	0			
L	CR002	003	G	0,00	0	0	-100	0	-	-	0,00	0	0	-100	0			
L	CR003	004	G	0,00	0	0	-144	0	-	-	0,00	0	0	-144	0			
L	CR008	005	G	0,00	222	0	0	0	-	-	0,00	222	0	0	0			
L	CR008	006	G	0,00	-444	0	0	0	-	-	0,00	-444	0	0	0			
L	CR008	007	G	0,00	222	0	0	0	-	-	0,00	222	0	0	0			
L	CR008	008	G	0,00	222	0	0	0	-	-	0,00	222	0	0	0			
L	CR009	005	G	0,00	70	0	0	0	-	-	0,00	70	0	0	0			
L	CR009	006	G	0,00	-141	0	0	0	-	-	0,00	-141	0	0	0			
L	CR009	007	G	0,00	70	0	0	0	-	-	0,00	70	0	0	0			
L	CR009	008	G	0,00	70	0	0	0	-	-	0,00	70	0	0	0			
C	CR008	007	G	1,85	0	21	0	0	0	0	-	-	-	-	-			
C	CR008	008	G	1,85	0	-21	0	0	0	0	-	-	-	-	-			
C	CR009	007	G	1,85	0	7	0	0	0	0	-	-	-	-	-			
C	CR009	008	G	1,85	0	-7	0	0	0	0	-	-	-	-	-			
Piano Terra			Travata: Trave 6-12-24					Trave: Trave 12-24			Peso proprio			-2 500				
L	CR004	001	G	0,00	0	0	-1 156	431	-	-	0,00	0	0	-1 156	431			
L	CR005	002	G	0,00	0	0	-469	175	-	-	0,00	0	0	-469	175			
L	CR006	003	G	0,00	0	0	-173	64	-	-	0,00	0	0	-173	64			
L	CR007	004	G	0,00	0	0	-248	92	-	-	0,00	0	0	-248	92			
L	CR010	001	G	0,00	0	0	-5 507	0	-	-	0,00	0	0	-5 577	0			
L	CR001	002	G	0,00	0	0	-2 236	0	-	-	0,00	0	0	-2 264	0			
L	CR002	003	G	0,00	0	0	-822	0	-	-	0,00	0	0	-832	0			
L	CR003	004	G	0,00	0	0	-1 184	0	-	-	0,00	0	0	-1 199	0			
L	CR001	002	G	0,00	0	0	-272	0	-	-	0,00	0	0	-272	0			
L	CR002	003	G	0,00	0	0	-100	0	-	-	0,00	0	0	-100	0			
L	CR003	004	G	0,00	0	0	-144	0	-	-	0,00	0	0	-144	0			
L	CR008	005	G	0,00	192	0	0	0	-	-	0,00	192	0	0	0			
L	CR008	006	G	0,00	-383	0	0	0	-	-	0,00	-383	0	0	0			
L	CR008	007	G	0,00	192	0	0	0	-	-	0,00	192	0	0	0			
L	CR008	008	G	0,00	192	0	0	0	-	-	0,00	192	0	0	0			
L	CR009	005	G	0,00	70	0	0	0	-	-	0,00	70	0	0	0			
L	CR009	006	G	0,00	-141	0	0	0	-	-	0,00	-141	0	0	0			
L	CR009	007	G	0,00	70	0	0	0	-	-	0,00	70	0	0	0			
L	CR009	008	G	0,00	70	0	0	0	-	-	0,00	70	0	0	0			
C	CR008	007	G	1,35	0	13	0	0	0	0	-	-	-	-	-			
C	CR008	008	G	1,35	0	-13	0	0	0	0	-	-	-	-	-			
C	CR009	007	G	1,35	0	5	0	0	0	0	-	-	-	-	-			
C	CR009	008	G	1,35	0	-5	0	0	0	0	-	-	-	-	-			
Piano Terra			Travata: Trave 13-16					Trave: Trave 13-16			Peso proprio			-2 500				
L	CR010	001	G	0,05	0	0	-3 961	0	-	-	0,05	0	0	-3 961	0			
L	CR001	002	G	0,05	0	0	-1 608	0	-	-	0,05	0	0	-1 608	0			
L	CR002	003	G	0,05	0	0	-591	0	-	-	0,05	0	0	-591	0			
L	CR003	004	G	0,05	0	0	-851	0	-	-	0,05	0	0	-851	0			
L	CR001	002	G	0,05	0	0	-272	0	-	-	0,05	0	0	-272	0			
L	CR002	003	G	0,05	0	0	-100	0	-	-	0,05	0	0	-100	0			
L	CR003	004	G	0,05	0	0	-144	0	-	-	0,05	0	0	-144	0			
Piano Terra			Travata: Trave 14-17					Trave: Trave 14-17			Peso proprio			-2 500				
L	CR010	001	G	0,06	0	0	-3 961	0	-	-	0,05	0	0	-3 961	0			
L	CR001	002	G	0,06	0	0	-1 608	0	-	-	0,05	0	0	-1 608	0			
L	CR002	003	G	0,06	0	0	-591	0	-	-	0,05	0	0	-591	0			
L	CR003	004	G	0,06	0	0	-851	0	-	-	0,05	0	0	-851	0			
L	CR001	002	G	0,05	0	0	-272	0	-	-	0,05	0	0	-272	0			
L	CR002	003	G	0,05	0	0	-100	0	-	-	0,05	0	0	-100	0			
L	CR003	004	G	0,05	0	0	-144	0	-	-	0,05	0	0	-144	0			
L	CR010	001	G	0,05	0	0	-4 271	0	-	-	0,05	0	0	-4 271	0			
L	CR001	002	G	0,05	0	0	-1 734	0	-	-	0,05	0	0	-1 734	0			
L	CR002	003	G	0,05	0	0	-638	0	-	-	0,05	0	0	-638	0			
L	CR003	004	G	0,05	0	0	-918	0	-	-	0,05	0	0	-918	0			
L	CR001	002	G	0,05	0	0	-272	0	-	-	0,05	0	0	-272	0			
L	CR002	003	G	0,05	0	0	-100	0	-	-	0,05	0	0	-100	0			
L	CR003	004	G	0,05	0	0	-144	0	-	-	0,05	0	0	-144	0			
Piano Terra			Travata: Trave 15-18					Trave: Trave 15-18			Peso proprio			-2 500				
L	CR010	001	G	0,05	0	0	-4 271	0	-	-	0,05	0	0	-4 271	0			
L	CR001	002	G	0,05	0	0	-1 734	0	-	-	0,05	0	0	-1 734	0			
L	CR002	003	G	0,05	0	0	-638	0	-	-	0,05	0	0	-638	0			
L	CR003	004	G	0,05	0	0	-918	0	-	-	0,05	0	0	-918	0			

TC	C	CC	SR	Dis _i	F _{x,i} /Q _{x,i}	F _{y,i} /Q _{y,i}	F _{z,i} /Q _{z,i}	M _{x,i} /M _{T,i}	M _{y,i}	M _{z,i}	Dis _f	Q _{x,f}	Q _{y,f}	Q _{z,f}	M _{T,f}
				[m]	[N;N/m]	[N;N/m]	[N;N/m]	[N-m;N-m/m]	[N-m;N-m/m]	[N-m;N-m/m]	[m]	[N/m]	[N/m]	[N/m]	[N-m/m]
L	CR001	002	G	0,05	0	0	-272	0	-	-	0,05	0	0	-272	0
L	CR002	003	G	0,05	0	0	-100	0	-	-	0,05	0	0	-100	0
L	CR003	004	G	0,05	0	0	-144	0	-	-	0,05	0	0	-144	0
Fondazione			Travata: Trave 1-2-3-4-5-6					Trave: Trave 1-2			Peso proprio			-6 000	
L	CR011	001	G	0,00	0	0	-4 400	0	-	-	0,00	0	0	-4 400	0
L	CR011	002	G	0,00	0	0	-2 035	0	-	-	0,00	0	0	-2 035	0
L	CR008	005	G	0,00	0	-229	0	0	-	-	0,00	0	-229	0	0
L	CR008	006	G	0,00	0	-229	0	0	-	-	0,00	0	-229	0	0
L	CR008	007	G	0,00	0	458	0	0	-	-	0,00	0	458	0	0
L	CR008	008	G	0,00	0	-229	0	0	-	-	0,00	0	-229	0	0
C	CR008	005	G	2,00	23	0	0	0	0	0	-	-	-	-	-
C	CR008	006	G	2,00	-23	0	0	0	0	0	-	-	-	-	-
Fondazione			Travata: Trave 1-2-3-4-5-6					Trave: Trave 2-3			Peso proprio			-6 000	
L	CR011	001	G	0,00	0	0	-4 400	0	-	-	0,00	0	0	-4 400	0
L	CR011	002	G	0,00	0	0	-2 035	0	-	-	0,00	0	0	-2 035	0
L	CR008	005	G	0,00	0	-251	0	0	-	-	0,00	0	-251	0	0
L	CR008	006	G	0,00	0	-251	0	0	-	-	0,00	0	-251	0	0
L	CR008	007	G	0,00	0	502	0	0	-	-	0,00	0	502	0	0
L	CR008	008	G	0,00	0	-251	0	0	-	-	0,00	0	-251	0	0
C	CR008	005	G	2,55	32	0	0	0	0	0	-	-	-	-	-
C	CR008	006	G	2,55	-32	0	0	0	0	0	-	-	-	-	-
Fondazione			Travata: Trave 1-2-3-4-5-6					Trave: Trave 3-4			Peso proprio			-6 000	
L	CR011	001	G	0,00	0	0	-4 400	0	-	-	0,00	0	0	-4 400	0
L	CR011	002	G	0,00	0	0	-2 035	0	-	-	0,00	0	0	-2 035	0
L	CR008	005	G	0,00	0	-231	0	0	-	-	0,00	0	-231	0	0
L	CR008	006	G	0,00	0	-231	0	0	-	-	0,00	0	-231	0	0
L	CR008	007	G	0,00	0	463	0	0	-	-	0,00	0	463	0	0
L	CR008	008	G	0,00	0	-231	0	0	-	-	0,00	0	-231	0	0
C	CR008	005	G	2,05	24	0	0	0	0	0	-	-	-	-	-
C	CR008	006	G	2,05	-24	0	0	0	0	0	-	-	-	-	-
Fondazione			Travata: Trave 1-2-3-4-5-6					Trave: Trave 4-5			Peso proprio			-6 000	
L	CR011	001	G	0,00	0	0	-4 400	0	-	-	0,00	0	0	-4 400	0
L	CR011	002	G	0,00	0	0	-2 035	0	-	-	0,00	0	0	-2 035	0
L	CR008	005	G	0,00	0	-241	0	0	-	-	0,00	0	-241	0	0
L	CR008	006	G	0,00	0	-241	0	0	-	-	0,00	0	-241	0	0
L	CR008	007	G	0,00	0	481	0	0	-	-	0,00	0	481	0	0
L	CR008	008	G	0,00	0	-241	0	0	-	-	0,00	0	-241	0	0
C	CR008	005	G	2,26	27	0	0	0	0	0	-	-	-	-	-
C	CR008	006	G	2,26	-27	0	0	0	0	0	-	-	-	-	-
Fondazione			Travata: Trave 1-2-3-4-5-6					Trave: Trave 5-6			Peso proprio			-6 000	
L	CR011	001	G	0,00	0	0	-4 400	0	-	-	0,00	0	0	-4 400	0
L	CR011	002	G	0,00	0	0	-2 035	0	-	-	0,00	0	0	-2 035	0
L	CR008	005	G	0,00	0	-212	0	0	-	-	0,00	0	-212	0	0
L	CR008	006	G	0,00	0	-212	0	0	-	-	0,00	0	-212	0	0
L	CR008	007	G	0,00	0	423	0	0	-	-	0,00	0	423	0	0
L	CR008	008	G	0,00	0	-212	0	0	-	-	0,00	0	-212	0	0
C	CR008	005	G	1,66	18	0	0	0	0	0	-	-	-	-	-
C	CR008	006	G	1,66	-18	0	0	0	0	0	-	-	-	-	-
Fondazione			Travata: Trave 7-8-9-10-11-12					Trave: Trave 7-8			Peso proprio			-6 000	
Fondazione			Travata: Trave 7-8-9-10-11-12					Trave: Trave 8-9			Peso proprio			-6 000	
Fondazione			Travata: Trave 7-8-9-10-11-12					Trave: Trave 9-10			Peso proprio			-6 000	
Fondazione			Travata: Trave 7-8-9-10-11-12					Trave: Trave 11-10			Peso proprio			-6 000	
Fondazione			Travata: Trave 7-8-9-10-11-12					Trave: Trave 11-12			Peso proprio			-6 000	
Fondazione			Travata: Trave 13-14-15					Trave: Trave 13-14			Peso proprio			-3 000	
L	CR012	001	G	0,00	0	0	-825	0	-	-	0,00	0	0	-825	0
L	CR012	002	G	0,00	0	0	-550	0	-	-	0,00	0	0	-550	0
Fondazione			Travata: Trave 13-14-15					Trave: Trave 14-15			Peso proprio			-3 000	
L	CR012	001	G	0,00	0	0	-825	0	-	-	0,00	0	0	-825	0
L	CR012	002	G	0,00	0	0	-550	0	-	-	0,00	0	0	-550	0
Fondazione			Travata: Trave 16-17-18					Trave: Trave 16-17			Peso proprio			-3 000	
L	CR012	001	G	0,00	0	0	-825	0	-	-	0,00	0	0	-825	0
L	CR012	002	G	0,00	0	0	-550	0	-	-	0,00	0	0	-550	0
Fondazione			Travata: Trave 16-17-18					Trave: Trave 17-18			Peso proprio			-3 000	
L	CR012	001	G	0,00	0	0	-825	0	-	-	0,00	0	0	-825	0
L	CR012	002	G	0,00	0	0	-550	0	-	-	0,00	0	0	-550	0
Fondazione			Travata: Trave 19-20-21-22-23-24					Trave: Trave 19-20			Peso proprio			-6 000	
L	CR011	001	G	0,00	0	0	-4 400	0	-	-	0,00	0	0	-4 400	0
L	CR011	002	G	0,00	0	0	-2 035	0	-	-	0,00	0	0	-2 035	0
L	CR008	005	G	0,00	0	229	0	0	-	-	0,00	0	229	0	0
L	CR008	006	G	0,00	0	229	0	0	-	-	0,00	0	229	0	0
L	CR008	007	G	0,00	0	229	0	0	-	-	0,00	0	229	0	0
L	CR008	008	G	0,00	0	-458	0	0	-	-	0,00	0	-458	0	0
C	CR008	005	G	2,00	23	0	0	0	0	0	-	-	-	-	-
C	CR008	006	G	2,00	-23	0	0	0	0	0	-	-	-	-	-
Fondazione			Travata: Trave 19-20-21-22-23-24					Trave: Trave 20-21			Peso proprio			-6 000	
L	CR011	001	G	0,00	0	0	-4 400	0	-	-	0,00	0	0	-4 400	0
L	CR011	002	G	0,00	0	0	-2 035	0	-	-	0,00	0	0	-2 035	0
L	CR008	005	G	0,00	0	251	0	0	-	-	0,00	0	251	0	0
L	CR008	006	G	0,00	0	251	0	0	-	-	0,00	0	251	0	0
L	CR008	007	G	0,00	0	251	0	0	-	-	0,00	0	251	0	0
L	CR008	008	G	0,00	0	-502	0	0	-	-	0,00	0	-502	0	0
C	CR008	005	G	2,55	32	0	0	0	0	0	-	-	-	-	-
C	CR008	006	G	2,55	-32	0	0	0	0	0	-	-	-	-	-
Fondazione			Travata: Trave 19-20-21-22-23-24					Trave: Trave 21-22			Peso proprio			-6 000	
L	CR011	001	G	0,00	0	0	-4 400	0	-	-	0,00	0	0	-4 400	0
L	CR011	002	G	0,00	0	0	-2 035	0	-	-	0,00	0	0	-2 035	0

Carichi sulle travi															
TC	C	CC	SR	Dis _i	F _{x,i} /Q _{x,i}	F _{y,i} /Q _{y,i}	F _{z,i} /Q _{z,i}	M _{x,i} /M _{T,i}	M _{y,i}	M _{z,i}	Dis _f	Q _{x,f}	Q _{y,f}	Q _{z,f}	M _{T,f}
				[m]	[N;N/m]	[N;N/m]	[N;N/m]	[N-m;N-m/m]	[N-m;N-m/m]	[N-m;N-m/m]	[m]	[N/m]	[N/m]	[N/m]	[N-m/m]
L	CR008	005	G	0,00	0	231	0	0	-	-	0,00	0	231	0	0
L	CR008	006	G	0,00	0	231	0	0	-	-	0,00	0	231	0	0
L	CR008	007	G	0,00	0	231	0	0	-	-	0,00	0	231	0	0
L	CR008	008	G	0,00	0	-463	0	0	-	-	0,00	0	-463	0	0
C	CR008	005	G	2,05	24	0	0	0	0	0	-	-	-	-	-
C	CR008	006	G	2,05	-24	0	0	0	0	0	-	-	-	-	-
Fondazione			Travata: Trave 19-20-21-22-23-24				Trave: Trave 22-23				Peso proprio			-6 000	
L	CR011	001	G	0,00	0	0	-4 400	0	-	-	0,00	0	0	-4 400	0
L	CR011	002	G	0,00	0	0	-2 035	0	-	-	0,00	0	0	-2 035	0
L	CR008	005	G	0,00	0	238	0	0	-	-	0,00	0	238	0	0
L	CR008	006	G	0,00	0	238	0	0	-	-	0,00	0	238	0	0
L	CR008	007	G	0,00	0	238	0	0	-	-	0,00	0	238	0	0
L	CR008	008	G	0,00	0	-477	0	0	-	-	0,00	0	-477	0	0
C	CR008	005	G	2,21	26	0	0	0	0	0	-	-	-	-	-
C	CR008	006	G	2,21	-26	0	0	0	0	0	-	-	-	-	-
Fondazione			Travata: Trave 19-20-21-22-23-24				Trave: Trave 23-24				Peso proprio			-6 000	
L	CR011	001	G	0,00	0	0	-4 400	0	-	-	0,00	0	0	-4 400	0
L	CR011	002	G	0,00	0	0	-2 035	0	-	-	0,00	0	0	-2 035	0
L	CR008	005	G	0,00	0	215	0	0	-	-	0,00	0	215	0	0
L	CR008	006	G	0,00	0	215	0	0	-	-	0,00	0	215	0	0
L	CR008	007	G	0,00	0	215	0	0	-	-	0,00	0	215	0	0
L	CR008	008	G	0,00	0	-430	0	0	-	-	0,00	0	-430	0	0
C	CR008	005	G	1,72	18	0	0	0	0	0	-	-	-	-	-
C	CR008	006	G	1,72	-18	0	0	0	0	0	-	-	-	-	-
Fondazione			Travata: Trave 1-7-19				Trave: Trave 1-7				Peso proprio			-6 000	
L	CR011	001	G	0,00	0	0	-4 400	0	-	-	0,00	0	0	-4 400	0
L	CR011	002	G	0,00	0	0	-2 035	0	-	-	0,00	0	0	-2 035	0
L	CR008	005	G	0,00	419	1	0	0	-	-	0,00	419	1	0	0
L	CR008	006	G	0,00	-210	0	0	0	-	-	0,00	-210	0	0	0
L	CR008	007	G	0,00	-210	0	0	0	-	-	0,00	-210	0	0	0
L	CR008	008	G	0,00	-210	0	0	0	-	-	0,00	-210	0	0	0
C	CR008	007	G	1,63	0	17	0	0	0	0	-	-	-	-	-
C	CR008	008	G	1,63	0	-17	0	0	0	0	-	-	-	-	-
Fondazione			Travata: Trave 1-7-19				Trave: Trave 7-19				Peso proprio			-6 000	
L	CR011	001	G	0,00	0	0	-4 400	0	-	-	0,00	0	0	-4 400	0
L	CR011	002	G	0,00	0	0	-2 035	0	-	-	0,00	0	0	-2 035	0
L	CR008	005	G	0,00	413	1	0	0	-	-	0,00	413	1	0	0
L	CR008	006	G	0,00	-206	0	0	0	-	-	0,00	-206	0	0	0
L	CR008	007	G	0,00	-206	0	0	0	-	-	0,00	-206	0	0	0
L	CR008	008	G	0,00	-206	0	0	0	-	-	0,00	-206	0	0	0
C	CR008	007	G	1,57	0	16	0	0	0	0	-	-	-	-	-
C	CR008	008	G	1,57	0	-16	0	0	0	0	-	-	-	-	-
Fondazione			Travata: Trave 2-8-20				Trave: Trave 2-8				Peso proprio			-6 000	
Fondazione			Travata: Trave 2-8-20				Trave: Trave 8-20				Peso proprio			-6 000	
Fondazione			Travata: Trave 3-9-21				Trave: Trave 3-9				Peso proprio			-6 000	
Fondazione			Travata: Trave 3-9-21				Trave: Trave 9-21				Peso proprio			-6 000	
Fondazione			Travata: Trave 4-10-22				Trave: Trave 4-10				Peso proprio			-6 000	
Fondazione			Travata: Trave 4-10-22				Trave: Trave 10-22				Peso proprio			-6 000	
Fondazione			Travata: Trave 5-11-23				Trave: Trave 5-11				Peso proprio			-6 000	
Fondazione			Travata: Trave 5-11-23				Trave: Trave 11-23				Peso proprio			-6 000	
Fondazione			Travata: Trave 6-12-24				Trave: Trave 6-12				Peso proprio			-6 000	
L	CR011	001	G	0,00	0	0	-4 400	0	-	-	0,00	0	0	-4 400	0
L	CR011	002	G	0,00	0	0	-2 035	0	-	-	0,00	0	0	-2 035	0
L	CR008	005	G	0,00	222	0	0	0	-	-	0,00	222	0	0	0
L	CR008	006	G	0,00	-444	0	0	0	-	-	0,00	-444	0	0	0
L	CR008	007	G	0,00	222	0	0	0	-	-	0,00	222	0	0	0
L	CR008	008	G	0,00	222	0	0	0	-	-	0,00	222	0	0	0
C	CR008	007	G	1,85	0	21	0	0	0	0	-	-	-	-	-
C	CR008	008	G	1,85	0	-21	0	0	0	0	-	-	-	-	-
Fondazione			Travata: Trave 6-12-24				Trave: Trave 12-24				Peso proprio			-6 000	
L	CR011	001	G	0,00	0	0	-4 400	0	-	-	0,00	0	0	-4 400	0
L	CR011	002	G	0,00	0	0	-2 035	0	-	-	0,00	0	0	-2 035	0
L	CR008	005	G	0,00	192	0	0	0	-	-	0,00	192	0	0	0
L	CR008	006	G	0,00	-383	0	0	0	-	-	0,00	-383	0	0	0
L	CR008	007	G	0,00	192	0	0	0	-	-	0,00	192	0	0	0
L	CR008	008	G	0,00	192	0	0	0	-	-	0,00	192	0	0	0
C	CR008	007	G	1,35	0	13	0	0	0	0	-	-	-	-	-
C	CR008	008	G	1,35	0	-13	0	0	0	0	-	-	-	-	-
Fondazione			Travata: Trave 13-16				Trave: Trave 13-16				Peso proprio			-3 000	
L	CR012	001	G	0,00	0	0	-825	0	-	-	0,00	0	0	-825	0
L	CR012	002	G	0,00	0	0	-550	0	-	-	0,00	0	0	-550	0
Fondazione			Travata: Trave 14-17				Trave: Trave 14-17				Peso proprio			-3 000	
Fondazione			Travata: Trave 15-18				Trave: Trave 15-18				Peso proprio			-3 000	
L	CR012	001	G	0,00	0	0	-825	0	-	-	0,00	0	0	-825	0
L	CR012	002	G	0,00	0	0	-550	0	-	-	0,00	0	0	-550	0

LEGENDA:

TC Descrizione del tipo di carico: [L] = Lineare - [C] = Concentrato - [S] = Superficiale - [T] = Termico.

C Descrizione del carico:

CR001= SOLAIO: LatCem Cop.non acc. H25 (sovraccarico permanente) CR002= SOLAIO: LatCem Cop.non acc. H25 (sovraccarico accidentale) CR003= SOLAIO: LatCem Cop.non acc. H25 (carico neve) CR004= BALCONE: LatCem Balcone H25 CR005= BALCONE: LatCem Balcone H25 (sovraccarico permanente) CR006= BALCONE: LatCem Balcone H25 (sovraccarico accidentale) CR007= BALCONE: LatCem Balcone H25 (carico neve) CR008= Azione del Vento (Tamponatura) CR009= Azione del Vento (Trave) CR010= SOLAIO: LatCem Cop.non acc. H25 CR011= TAMPONATURA: Siporex o similari CR012= TAMPONATURA: Pannello sandwich

CC Identificativo della tipologia di carico nella relativa tabella.

SR Identificativo del sistema di riferimento considerato: [G] = Sistema di riferimento Globale X, Y, Z - [L] = Sistema di riferimento Locale 1, 2, 3.

Carichi sulle travi															
TC	C	CC	SR	Dis _i	F _{X,i} /Q _{X,i}	F _{Y,i} /Q _{Y,i}	F _{Z,i} /Q _{Z,i}	M _{X,i} /M _{T,i}	M _{Y,i}	M _{Z,i}	Dis _f	Q _{X,f}	Q _{Y,f}	Q _{Z,f}	M _{T,f}
				[m]	[N;N/m]	[N;N/m]	[N;N/m]	[N-m;N-m/m]	[N-m;N-m/m]	[N-m;N-m/m]	[m]	[N/m]	[N/m]	[N/m]	[N-m/m]
Dis _i	Distanza del punto "i" dall'estremo iniziale dell'elemento. Il punto "i" indica il punto iniziale del tratto interessato dal carico distribuito sul bordo.														
M _{X,i} /M _{T,i}	Se nella colonna "TC" è riportato "Concentrato", è il valore del vettore momento concentrato collocato nel punto "i", riferito agli assi del sistema di riferimento indicato nella colonna "S.R.". Se nella colonna "TC" è riportato "Lineare", è il valore nel punto "i", del vettore momento (torcente) distribuito sempre riferito all'asse 1 (asse dell'elemento) del sistema di riferimento locale 1, 2, 3, quale che sia il sistema di riferimento indicato nella colonna "S.R."														
Dis _f	Distanza del punto "f" dall'estremo inferiore dell'elemento. Il punto "f" indica il punto finale del tratto interessato dal carico distribuito.														
M _{T,f}	Se nella colonna "TC" è riportato "Lineare", è il valore nel punto "f", del vettore momento (torcente) distribuito sempre riferito all'asse 1 (asse dell'elemento) del sistema di riferimento locale 1, 2, 3, quale che sia il sistema di riferimento indicato nella colonna "S.R."														
F _{X,i} /Q _{X,i}	Valore (nel punto "i") della forza concentrata/distribuita riferita agli assi del sistema di riferimento indicato nella colonna "S.R."														
F _{Y,i} /Q _{Y,i}															
F _{Z,i} /Q _{Z,i}															
M _{Y,i} , M _{Z,i}	Valore (nel punto "i") del vettore momento concentrato riferito agli assi del sistema di riferimento indicato nella colonna "S.R."														
Q _{X,f} , Q _{Y,f}	Valore (nel punto "f") della forza distribuita riferita agli assi del sistema di riferimento indicato nella colonna "S.R."														
Q _{Z,f}															
ΔT ₁ , ΔT ₂ , ΔT ₃	Variazione di temperatura rispettivamente lungo gli assi 1, 2 o 3 del sistema locale.														

CARICHI SUI PILASTRI

Carichi sui pilastri																
TC	C	CC	SR	Dis _i	F _{X,i} /Q _{X,i}	F _{Y,i} /Q _{Y,i}	F _{Z,i} /Q _{Z,i}	M _{X,i} /M _{T,i}	M _{Y,i}	M _{Z,i}	Dis _f	Q _{X,f}	Q _{Y,f}	Q _{Z,f}	M _{T,f}	
				[m]	[N;N/m]	[N;N/m]	[N;N/m]	[N-m;N-m/m]	[N-m;N-m/m]	[N-m;N-m/m]	[m]	[N/m]	[N/m]	[N/m]	[N-m/m]	
Piano Terra				Pilastro 001						Peso proprio						-2 250
L	CR001	005	G	0,00	419	1	0	0	-	-	0,00	419	1	0	0	
L	CR001	006	G	0,00	-210	0	0	0	-	-	0,00	-210	0	0	0	
L	CR001	007	G	0,00	-210	0	0	0	-	-	0,00	-210	0	0	0	
L	CR001	008	G	0,00	-210	0	0	0	-	-	0,00	-210	0	0	0	
L	CR002	005	G	0,00	169	0	0	0	-	-	0,00	169	0	0	0	
L	CR002	006	G	0,00	-84	0	0	0	-	-	0,00	-84	0	0	0	
L	CR002	007	G	0,00	-84	0	0	0	-	-	0,00	-84	0	0	0	
L	CR002	008	G	0,00	-84	0	0	0	-	-	0,00	-84	0	0	0	
L	CR001	005	G	0,00	0	-229	0	0	-	-	0,00	0	-229	0	0	
L	CR001	006	G	0,00	0	-229	0	0	-	-	0,00	0	-229	0	0	
L	CR001	007	G	0,00	0	458	0	0	-	-	0,00	0	458	0	0	
L	CR001	008	G	0,00	0	-229	0	0	-	-	0,00	0	-229	0	0	
L	CR002	005	G	0,00	0	-84	0	0	-	-	0,00	0	-84	0	0	
L	CR002	006	G	0,00	0	-84	0	0	-	-	0,00	0	-84	0	0	
L	CR002	007	G	0,00	0	169	0	0	-	-	0,00	0	169	0	0	
L	CR002	008	G	0,00	0	-84	0	0	-	-	0,00	0	-84	0	0	
C	CR003	001	G	0,00	0	0	-900	0	0	0	-	-	-	-	-	
C	CR003	001	G	2,75	0	0	-562	0	0	0	-	-	-	-	-	
C	CR001	007	G	1,37	0	14	0	0	0	0	-	-	-	-	-	
C	CR001	008	G	1,37	0	-14	0	0	0	0	-	-	-	-	-	
C	CR002	007	G	1,37	0	6	0	0	0	0	-	-	-	-	-	
C	CR002	008	G	1,37	0	-6	0	0	0	0	-	-	-	-	-	
C	CR001	005	G	1,37	16	0	0	0	0	0	-	-	-	-	-	
C	CR001	006	G	1,37	-16	0	0	0	0	0	-	-	-	-	-	
C	CR002	005	G	1,37	6	0	0	0	0	0	-	-	-	-	-	
C	CR002	006	G	1,37	-6	0	0	0	0	0	-	-	-	-	-	
Piano Terra				Pilastro 002						Peso proprio						-2 250
L	CR001	005	G	0,00	0	-229	0	0	-	-	0,00	0	-229	0	0	
L	CR001	006	G	0,00	0	-229	0	0	-	-	0,00	0	-229	0	0	
L	CR001	007	G	0,00	0	458	0	0	-	-	0,00	0	458	0	0	
L	CR001	008	G	0,00	0	-229	0	0	-	-	0,00	0	-229	0	0	
L	CR002	005	G	0,00	0	-84	0	0	-	-	0,00	0	-84	0	0	
L	CR002	006	G	0,00	0	-84	0	0	-	-	0,00	0	-84	0	0	
L	CR002	007	G	0,00	0	169	0	0	-	-	0,00	0	169	0	0	
L	CR002	008	G	0,00	0	-84	0	0	-	-	0,00	0	-84	0	0	
L	CR001	005	G	0,00	0	-251	0	0	-	-	0,00	0	-251	0	0	
L	CR001	006	G	0,00	0	-251	0	0	-	-	0,00	0	-251	0	0	
L	CR001	007	G	0,00	0	502	0	0	-	-	0,00	0	502	0	0	
L	CR001	008	G	0,00	0	-251	0	0	-	-	0,00	0	-251	0	0	
C	CR003	001	G	2,75	0	0	-562	0	0	0	-	-	-	-	-	
C	CR003	001	G	0,00	0	0	-900	0	0	0	-	-	-	-	-	
C	CR001	005	G	1,37	16	0	0	0	0	0	-	-	-	-	-	
C	CR001	006	G	1,37	-16	0	0	0	0	0	-	-	-	-	-	
C	CR002	005	G	1,37	6	0	0	0	0	0	-	-	-	-	-	
C	CR002	006	G	1,37	-6	0	0	0	0	0	-	-	-	-	-	
C	CR001	005	G	1,37	17	0	0	0	0	0	-	-	-	-	-	
C	CR001	006	G	1,37	-17	0	0	0	0	0	-	-	-	-	-	
Piano Terra				Pilastro 003						Peso proprio						-2 250
L	CR001	005	G	0,00	0	-251	0	0	-	-	0,00	0	-251	0	0	
L	CR001	006	G	0,00	0	-251	0	0	-	-	0,00	0	-251	0	0	
L	CR001	007	G	0,00	0	502	0	0	-	-	0,00	0	502	0	0	
L	CR001	008	G	0,00	0	-251	0	0	-	-	0,00	0	-251	0	0	
L	CR002	005	G	0,00	0	-84	0	0	-	-	0,00	0	-84	0	0	
L	CR002	006	G	0,00	0	-84	0	0	-	-	0,00	0	-84	0	0	
L	CR002	007	G	0,00	0	169	0	0	-	-	0,00	0	169	0	0	
L	CR002	008	G	0,00	0	-84	0	0	-	-	0,00	0	-84	0	0	
L	CR001	005	G	0,00	0	-231	0	0	-	-	0,00	0	-231	0	0	
L	CR001	006	G	0,00	0	-231	0	0	-	-	0,00	0	-231	0	0	
L	CR001	007	G	0,00	0	463	0	0	-	-	0,00	0	463	0	0	
L	CR001	008	G	0,00	0	-231	0	0	-	-	0,00	0	-231	0	0	
C	CR003	001	G	2,75	0	0	-562	0	0	0	-	-	-	-	-	
C	CR003	001	G	0,00	0	0	-900	0	0	0	-	-	-	-	-	
C	CR001	005	G	1,37	17	0	0	0	0	0	-	-	-	-	-	
C	CR001	006	G	1,37	-17	0	0	0	0	0	-	-	-	-	-	

													Carichi sui pilastri			
TC	C	CC	SR	Dis _i	F _{X,i} /Q _{X,i}	F _{Y,i} /Q _{Y,i}	F _{Z,i} /Q _{Z,i}	M _{X,i} /M _{T,i}	M _{Y,i}	M _{Z,i}	Dis _f	Q _{X,f}	Q _{Y,f}	Q _{Z,f}	M _{T,f}	
				[m]	[N/m]	[N/m]	[N/m]	[N-m/m]	[N-m/m]	[N-m/m]	[m]	[N/m]	[N/m]	[N/m]	[N-m/m]	
C	CR002	005	G	1,37	6	0	0	0	0	0	-	-	-	-	-	
C	CR002	006	G	1,37	-6	0	0	0	0	0	-	-	-	-	-	
C	CR001	005	G	1,37	16	0	0	0	0	0	-	-	-	-	-	
C	CR001	006	G	1,37	-16	0	0	0	0	0	-	-	-	-	-	
Piano Terra				Pilastro 004							Peso proprio				-2 250	
L	CR001	005	G	0,00	0	-231	0	0	-	-	0,00	0	-231	0	0	
L	CR001	006	G	0,00	0	-231	0	0	-	-	0,00	0	-231	0	0	
L	CR001	007	G	0,00	0	463	0	0	-	-	0,00	0	463	0	0	
L	CR001	008	G	0,00	0	-231	0	0	-	-	0,00	0	-231	0	0	
L	CR002	005	G	0,00	0	-84	0	0	-	-	0,00	0	-84	0	0	
L	CR002	006	G	0,00	0	-84	0	0	-	-	0,00	0	-84	0	0	
L	CR002	007	G	0,00	0	169	0	0	-	-	0,00	0	169	0	0	
L	CR002	008	G	0,00	0	-84	0	0	-	-	0,00	0	-84	0	0	
L	CR001	005	G	0,00	0	-241	0	0	-	-	0,00	0	-241	0	0	
L	CR001	006	G	0,00	0	-241	0	0	-	-	0,00	0	-241	0	0	
L	CR001	007	G	0,00	0	481	0	0	-	-	0,00	0	481	0	0	
L	CR001	008	G	0,00	0	-241	0	0	-	-	0,00	0	-241	0	0	
C	CR003	001	G	2,75	0	0	-562	0	0	0	-	-	-	-	-	
C	CR003	001	G	0,00	0	0	-900	0	0	0	-	-	-	-	-	
C	CR001	005	G	1,37	16	0	0	0	0	0	-	-	-	-	-	
C	CR001	006	G	1,37	-16	0	0	0	0	0	-	-	-	-	-	
C	CR002	005	G	1,37	6	0	0	0	0	0	-	-	-	-	-	
C	CR002	006	G	1,37	-6	0	0	0	0	0	-	-	-	-	-	
C	CR001	005	G	1,37	17	0	0	0	0	0	-	-	-	-	-	
C	CR001	006	G	1,37	-17	0	0	0	0	0	-	-	-	-	-	
Piano Terra				Pilastro 005							Peso proprio				-2 250	
L	CR001	005	G	0,00	0	-241	0	0	-	-	0,00	0	-241	0	0	
L	CR001	006	G	0,00	0	-241	0	0	-	-	0,00	0	-241	0	0	
L	CR001	007	G	0,00	0	481	0	0	-	-	0,00	0	481	0	0	
L	CR001	008	G	0,00	0	-241	0	0	-	-	0,00	0	-241	0	0	
L	CR002	005	G	0,00	0	-84	0	0	-	-	0,00	0	-84	0	0	
L	CR002	006	G	0,00	0	-84	0	0	-	-	0,00	0	-84	0	0	
L	CR002	007	G	0,00	0	169	0	0	-	-	0,00	0	169	0	0	
L	CR002	008	G	0,00	0	-84	0	0	-	-	0,00	0	-84	0	0	
L	CR001	005	G	0,00	0	-212	0	0	-	-	0,00	0	-212	0	0	
L	CR001	006	G	0,00	0	-212	0	0	-	-	0,00	0	-212	0	0	
L	CR001	007	G	0,00	0	423	0	0	-	-	0,00	0	423	0	0	
L	CR001	008	G	0,00	0	-212	0	0	-	-	0,00	0	-212	0	0	
C	CR003	001	G	2,75	0	0	-562	0	0	0	-	-	-	-	-	
C	CR003	001	G	0,00	0	0	-900	0	0	0	-	-	-	-	-	
C	CR001	005	G	1,37	17	0	0	0	0	0	-	-	-	-	-	
C	CR001	006	G	1,37	-17	0	0	0	0	0	-	-	-	-	-	
C	CR002	005	G	1,37	6	0	0	0	0	0	-	-	-	-	-	
C	CR002	006	G	1,37	-6	0	0	0	0	0	-	-	-	-	-	
C	CR001	005	G	1,37	15	0	0	0	0	0	-	-	-	-	-	
C	CR001	006	G	1,37	-15	0	0	0	0	0	-	-	-	-	-	
Piano Terra				Pilastro 006							Peso proprio				-2 250	
L	CR001	005	G	0,00	0	-212	0	0	-	-	0,00	0	-212	0	0	
L	CR001	006	G	0,00	0	-212	0	0	-	-	0,00	0	-212	0	0	
L	CR001	007	G	0,00	0	423	0	0	-	-	0,00	0	423	0	0	
L	CR001	008	G	0,00	0	-212	0	0	-	-	0,00	0	-212	0	0	
L	CR002	005	G	0,00	0	-84	0	0	-	-	0,00	0	-84	0	0	
L	CR002	006	G	0,00	0	-84	0	0	-	-	0,00	0	-84	0	0	
L	CR002	007	G	0,00	0	169	0	0	-	-	0,00	0	169	0	0	
L	CR002	008	G	0,00	0	-84	0	0	-	-	0,00	0	-84	0	0	
L	CR001	005	G	0,00	222	0	0	0	-	-	0,00	222	0	0	0	
L	CR001	006	G	0,00	-444	0	0	0	-	-	0,00	-444	0	0	0	
L	CR001	007	G	0,00	222	0	0	0	-	-	0,00	222	0	0	0	
L	CR001	008	G	0,00	222	0	0	0	-	-	0,00	222	0	0	0	
L	CR002	005	G	0,00	84	0	0	0	-	-	0,00	84	0	0	0	
L	CR002	006	G	0,00	-169	0	0	0	-	-	0,00	-169	0	0	0	
L	CR002	007	G	0,00	84	0	0	0	-	-	0,00	84	0	0	0	
L	CR002	008	G	0,00	84	0	0	0	-	-	0,00	84	0	0	0	
C	CR003	001	G	2,75	0	0	-562	0	0	0	-	-	-	-	-	
C	CR003	001	G	0,00	0	0	-900	0	0	0	-	-	-	-	-	
C	CR001	005	G	1,37	15	0	0	0	0	0	-	-	-	-	-	
C	CR001	006	G	1,37	-15	0	0	0	0	0	-	-	-	-	-	
C	CR002	005	G	1,37	6	0	0	0	0	0	-	-	-	-	-	
C	CR002	006	G	1,37	-6	0	0	0	0	0	-	-	-	-	-	
C	CR001	007	G	1,37	0	15	0	0	0	0	-	-	-	-	-	
C	CR001	008	G	1,37	0	-15	0	0	0	0	-	-	-	-	-	
C	CR002	007	G	1,37	0	6	0	0	0	0	-	-	-	-	-	
C	CR002	008	G	1,37	0	-6	0	0	0	0	-	-	-	-	-	
Piano Terra				Pilastro 007							Peso proprio				-2 250	
L	CR001	005	G	0,00	413	1	0	0	-	-	0,00	413	1	0	0	
L	CR001	006	G	0,00	-206	0	0	0	-	-	0,00	-206	0	0	0	
L	CR001	007	G	0,00	-206	0	0	0	-	-	0,00	-206	0	0	0	
L	CR001	008	G	0,00	-206	0	0	0	-	-	0,00	-206	0	0	0	
L	CR002	005	G	0,00	169	0	0	0	-	-	0,00	169	0	0	0	
L	CR002	006	G	0,00	-84	0	0	0	-	-	0,00	-84	0	0	0	
L	CR002	007	G	0,00	-84	0	0	0	-	-	0,00	-84	0	0	0	
L	CR002	008	G	0,00	-84	0	0	0	-	-	0,00	-84	0	0	0	
L	CR001	005	G	0,00	419	1	0	0	-	-	0,00	419	1	0	0	
L	CR001	006	G	0,00	-210	0	0	0	-	-	0,00	-210	0	0	0	
L	CR001	007	G	0,00	-210	0	0	0	-	-	0,00	-210	0	0	0	
L	CR001	008	G	0,00	-210	0	0	0	-	-	0,00	-210	0	0	0	

														Carichi sui pilastri		
TC	C	CC	SR	Dis _i	F _{X,i} /Q _{X,i}	F _{Y,i} /Q _{Y,i}	F _{Z,i} /Q _{Z,i}	M _{X,i} /M _{T,i}	M _{Y,i}	M _{Z,i}	Dis _f	Q _{X,f}	Q _{Y,f}	Q _{Z,f}	M _{T,f}	
				[m]	[N;N/m]	[N;N/m]	[N;N/m]	[N-m;N-m/m]	[N-m;N-m/m]	[N-m;N-m/m]	[m]	[N/m]	[N/m]	[N/m]	[N-m/m]	
C	CR003	001	G	0,00	0	0	-900	0	0	0	-	-	-	-	-	
C	CR003	001	G	2,75	0	0	-562	0	0	0	-	-	-	-	-	
C	CR001	007	G	1,37	0	14	0	0	0	0	-	-	-	-	-	
C	CR001	008	G	1,37	0	-14	0	0	0	0	-	-	-	-	-	
C	CR002	007	G	1,37	0	6	0	0	0	0	-	-	-	-	-	
C	CR002	008	G	1,37	0	-6	0	0	0	0	-	-	-	-	-	
C	CR001	007	G	1,37	0	14	0	0	0	0	-	-	-	-	-	
C	CR001	008	G	1,37	0	-14	0	0	0	0	-	-	-	-	-	
Piano Terra				Pilastro 008							Peso proprio					-2 250
C	CR003	001	G	2,75	0	0	-562	0	0	0	-	-	-	-	-	
C	CR003	001	G	0,00	0	0	-900	0	0	0	-	-	-	-	-	
Piano Terra				Pilastro 009							Peso proprio					-2 250
C	CR003	001	G	2,75	0	0	-562	0	0	0	-	-	-	-	-	
C	CR003	001	G	0,00	0	0	-900	0	0	0	-	-	-	-	-	
Piano Terra				Pilastro 010							Peso proprio					-2 250
C	CR003	001	G	2,75	0	0	-562	0	0	0	-	-	-	-	-	
C	CR003	001	G	0,00	0	0	-900	0	0	0	-	-	-	-	-	
Piano Terra				Pilastro 011							Peso proprio					-2 250
C	CR003	001	G	2,75	0	0	-562	0	0	0	-	-	-	-	-	
C	CR003	001	G	0,00	0	0	-900	0	0	0	-	-	-	-	-	
Piano Terra				Pilastro 12 (a)							Peso proprio					-2 250
L	CR001	005	G	0,00	222	0	0	0	-	-	0,00	222	0	0	0	
L	CR001	006	G	0,00	-444	0	0	0	-	-	0,00	-444	0	0	0	
L	CR001	007	G	0,00	222	0	0	0	-	-	0,00	222	0	0	0	
L	CR001	008	G	0,00	222	0	0	0	-	-	0,00	222	0	0	0	
L	CR002	005	G	0,00	84	0	0	0	-	-	0,00	84	0	0	0	
L	CR002	006	G	0,00	-169	0	0	0	-	-	0,00	-169	0	0	0	
L	CR002	007	G	0,00	84	0	0	0	-	-	0,00	84	0	0	0	
L	CR002	008	G	0,00	84	0	0	0	-	-	0,00	84	0	0	0	
L	CR001	005	G	0,00	192	0	0	0	-	-	0,00	192	0	0	0	
L	CR001	006	G	0,00	-383	0	0	0	-	-	0,00	-383	0	0	0	
L	CR001	007	G	0,00	192	0	0	0	-	-	0,00	192	0	0	0	
L	CR001	008	G	0,00	192	0	0	0	-	-	0,00	192	0	0	0	
C	CR003	001	G	2,75	0	0	-562	0	0	0	-	-	-	-	-	
C	CR003	001	G	0,00	0	0	-900	0	0	0	-	-	-	-	-	
C	CR001	007	G	1,37	0	15	0	0	0	0	-	-	-	-	-	
C	CR001	008	G	1,37	0	-15	0	0	0	0	-	-	-	-	-	
C	CR002	007	G	1,37	0	6	0	0	0	0	-	-	-	-	-	
C	CR002	008	G	1,37	0	-6	0	0	0	0	-	-	-	-	-	
C	CR001	007	G	1,37	0	13	0	0	0	0	-	-	-	-	-	
C	CR001	008	G	1,37	0	-13	0	0	0	0	-	-	-	-	-	
Piano Terra				Pilastro 013							Peso proprio					-1 562
C	CR003	001	G	0,00	0	0	-625	0	0	0	-	-	-	-	-	
C	CR003	001	G	2,75	0	0	-391	0	0	0	-	-	-	-	-	
Piano Terra				Pilastro 014							Peso proprio					-1 562
C	CR003	001	G	0,00	0	0	-625	0	0	0	-	-	-	-	-	
C	CR003	001	G	2,75	0	0	-391	0	0	0	-	-	-	-	-	
Piano Terra				Pilastro 015							Peso proprio					-1 562
C	CR003	001	G	0,00	0	0	-625	0	0	0	-	-	-	-	-	
C	CR003	001	G	2,75	0	0	-391	0	0	0	-	-	-	-	-	
Piano Terra				Pilastro 016							Peso proprio					-1 562
C	CR003	001	G	0,00	0	0	-625	0	0	0	-	-	-	-	-	
C	CR003	001	G	2,75	0	0	-391	0	0	0	-	-	-	-	-	
Piano Terra				Pilastro 17 (a)							Peso proprio					-1 562
C	CR003	001	G	0,00	0	0	-625	0	0	0	-	-	-	-	-	
C	CR003	001	G	2,75	0	0	-391	0	0	0	-	-	-	-	-	
Piano Terra				Pilastro 018							Peso proprio					-1 562
C	CR003	001	G	0,00	0	0	-625	0	0	0	-	-	-	-	-	
C	CR003	001	G	2,75	0	0	-391	0	0	0	-	-	-	-	-	
Piano Terra				Pilastro 019							Peso proprio					-2 250
L	CR001	005	G	0,00	0	229	0	0	-	-	0,00	0	229	0	0	
L	CR001	006	G	0,00	0	229	0	0	-	-	0,00	0	229	0	0	
L	CR001	007	G	0,00	0	229	0	0	-	-	0,00	0	229	0	0	
L	CR001	008	G	0,00	0	-458	0	0	-	-	0,00	0	-458	0	0	
L	CR002	005	G	0,00	0	84	0	0	-	-	0,00	0	84	0	0	
L	CR002	006	G	0,00	0	84	0	0	-	-	0,00	0	84	0	0	
L	CR002	007	G	0,00	0	84	0	0	-	-	0,00	0	84	0	0	
L	CR002	008	G	0,00	0	-169	0	0	-	-	0,00	0	-169	0	0	
L	CR001	005	G	0,00	413	1	0	0	-	-	0,00	413	1	0	0	
L	CR001	006	G	0,00	-206	0	0	0	-	-	0,00	-206	0	0	0	
L	CR001	007	G	0,00	-206	0	0	0	-	-	0,00	-206	0	0	0	
L	CR001	008	G	0,00	-206	0	0	0	-	-	0,00	-206	0	0	0	
L	CR002	005	G	0,00	169	0	0	0	-	-	0,00	169	0	0	0	
L	CR002	006	G	0,00	-84	0	0	0	-	-	0,00	-84	0	0	0	
L	CR002	007	G	0,00	-84	0	0	0	-	-	0,00	-84	0	0	0	
L	CR002	008	G	0,00	-84	0	0	0	-	-	0,00	-84	0	0	0	
C	CR003	001	G	2,75	0	0	-562	0	0	0	-	-	-	-	-	
C	CR003	001	G	0,00	0	0	-900	0	0	0	-	-	-	-	-	
C	CR001	005	G	1,38	16	0	0	0	0	0	-	-	-	-	-	
C	CR001	006	G	1,38	-16	0	0	0	0	0	-	-	-	-	-	
C	CR002	005	G	1,38	6	0	0	0	0	0	-	-	-	-	-	
C	CR002	006	G	1,38	-6	0	0	0	0	0	-	-	-	-	-	
C	CR001	007	G	1,38	0	14	0	0	0	0	-	-	-	-	-	
C	CR001	008	G	1,38	0	-14	0	0	0	0	-	-	-	-	-	
C	CR002	007	G	1,38	0	6	0	0	0	0	-	-	-	-	-	

Carichi sui pilastri

Table with columns: TC, C, CC, SR, Dis_i, F_x,i/Q_x,i, F_y,i/Q_y,i, F_z,i/Q_z,i, M_x,i/M_T,i, M_y,i, M_z,i, Dis_f, Q_x,f, Q_y,f, Q_z,f, M_T,f. It contains data for various floors (Piano Terra) and columns (Pilastro 020, 021, 022, 023 (a), 024) with associated structural load values.

Carichi sui pilastri

TC	C	CC	SR	Dis _i	F _{x,i} /Q _{x,i}	F _{y,i} /Q _{y,i}	F _{z,i} /Q _{z,i}	M _{x,i} /M _{T,i}	M _{y,i}	M _{z,i}	Dis _f	Q _{x,f}	Q _{y,f}	Q _{z,f}	M _{T,f}
L	CR001	005	G	0,00	0	215	0	0	-	-	0,00	0	215	0	0
L	CR001	006	G	0,00	0	215	0	0	-	-	0,00	0	215	0	0
L	CR001	007	G	0,00	0	215	0	0	-	-	0,00	0	215	0	0
L	CR001	008	G	0,00	0	-430	0	0	-	-	0,00	0	-430	0	0
L	CR002	005	G	0,00	0	84	0	0	-	-	0,00	0	84	0	0
L	CR002	006	G	0,00	0	84	0	0	-	-	0,00	0	84	0	0
L	CR002	007	G	0,00	0	84	0	0	-	-	0,00	0	84	0	0
L	CR002	008	G	0,00	0	-169	0	0	-	-	0,00	0	-169	0	0
L	CR001	005	G	0,00	192	0	0	0	-	-	0,00	192	0	0	0
L	CR001	006	G	0,00	-383	0	0	0	-	-	0,00	-383	0	0	0
L	CR001	007	G	0,00	192	0	0	0	-	-	0,00	192	0	0	0
L	CR001	008	G	0,00	192	0	0	0	-	-	0,00	192	0	0	0
L	CR002	005	G	0,00	84	0	0	0	-	-	0,00	84	0	0	0
L	CR002	006	G	0,00	-169	0	0	0	-	-	0,00	-169	0	0	0
L	CR002	007	G	0,00	84	0	0	0	-	-	0,00	84	0	0	0
L	CR002	008	G	0,00	84	0	0	0	-	-	0,00	84	0	0	0
C	CR003	001	G	0,00	0	0	-900	0	0	0	-	-	-	-	-
C	CR003	001	G	2,75	0	0	-562	0	0	0	-	-	-	-	-
C	CR001	005	G	1,37	15	0	0	0	0	0	-	-	-	-	-
C	CR001	006	G	1,37	-15	0	0	0	0	0	-	-	-	-	-
C	CR002	005	G	1,37	6	0	0	0	0	0	-	-	-	-	-
C	CR002	006	G	1,37	-6	0	0	0	0	0	-	-	-	-	-
C	CR001	007	G	1,37	0	13	0	0	0	0	-	-	-	-	-
C	CR001	008	G	1,37	0	-13	0	0	0	0	-	-	-	-	-
C	CR002	007	G	1,37	0	6	0	0	0	0	-	-	-	-	-
C	CR002	008	G	1,37	0	-6	0	0	0	0	-	-	-	-	-

LEGENDA:

TC Descrizione del tipo di carico: [L] = Lineare - [C] = Concentrato - [S] = Superficiale - [T] = Termico.

C Descrizione del carico:

CR001= Azione del Vento (Tamponatura) CR002= Azione del Vento (Pilastro) CR003= PESO PROPRIO (concio)

CC Identificativo della tipologia di carico nella relativa tabella.

SR Identificativo del sistema di riferimento considerato: [G] = Sistema di riferimento Globale X, Y, Z - [L] = Sistema di riferimento Locale 1, 2, 3.

Dis_i Distanza del punto "i" dall'estremo inferiore dell'elemento. Il punto "i", in relazione alla descrizione riportata nella colonna "TC" ("Lineare" o "Concentrato"), indica rispettivamente il punto iniziale del tratto interessato dal carico distribuito o in cui è posizionato il carico concentrato.

M_{x,i}/M_{T,i} Se nella colonna "TC" è riportato "Concentrato", è il valore del vettore momento concentrato collocato nel punto "i", riferito agli assi del sistema di riferimento indicato nella colonna "S.R.". Se nella colonna "TC" è riportato "Lineare", è il valore nel punto "i", del vettore momento (torcente) distribuito sempre riferito all'asse 1 (asse dell'elemento) del sistema di riferimento locale 1, 2, 3, quale che sia il sistema di riferimento indicato nella colonna "S.R."

Dis_f Distanza del punto "f" dall'estremo inferiore dell'elemento. Il punto "f" indica il punto finale del tratto interessato dal carico distribuito.

M_{T,f} Se nella colonna "TC" è riportato "Lineare", è il valore nel punto "f", del vettore momento (torcente) distribuito sempre riferito all'asse 1 (asse dell'elemento) del sistema di riferimento locale 1, 2, 3, quale che sia il sistema di riferimento indicato nella colonna "S.R."

F_{x,i}/Q_{x,i}, F_{y,i}/Q_{y,i}, F_{z,i}/Q_{z,i} Valore (nel punto "i") della forza concentrata/distribuita riferita agli assi del sistema di riferimento indicato nella colonna "S.R."

M_{x,i}, M_{z,i} Valore (nel punto "i") del vettore momento concentrato riferito agli assi del sistema di riferimento indicato nella colonna "S.R."

Q_{x,f}, Q_{y,f}, Q_{z,f} Valore (nel punto "f") della forza distribuita riferita agli assi del sistema di riferimento indicato nella colonna "S.R."

ΔT₁, ΔT₂, ΔT₃ Variazione di temperatura rispettivamente lungo gli assi 1, 2 o 3 del sistema locale.

ΔT₃

NODI - SPOSTAMENTI PER CONDIZIONI DI CARICO NON SISMICHE

Nodo	CC	Nodi - Spostamenti per condizioni di carico non sismiche								
		S _x	S _y	S _z	Θ _x	Θ _y	Θ _z			
		[cm]	[cm]	[cm]	[rad]	[rad]	[rad]			
00001	001	0,0000	0,0000	-0,0311	6,4412 E-05	-7,4132 E-05	0 E+00			
	002	0,0000	0,0000	-0,0068	1,6385 E-05	-1,7562 E-05	0 E+00			
	003	0,0000	0,0000	-0,0015	5,449 E-06	-5,9776 E-06	0 E+00			
	004	0,0000	0,0000	-0,0022	7,8531 E-06	-8,6169 E-06	0 E+00			
	005	0,0000	0,0000	0,0004	-4,6681 E-07	7,2025 E-06	0 E+00			
	006	0,0000	0,0000	-0,0005	1,9449 E-06	-6,4209 E-06	0 E+00			
	007	0,0000	0,0000	0,0011	-1,3697 E-05	2,9502 E-06	0 E+00			
	008	0,0000	0,0000	-0,0012	1,2999 E-05	-4,9371 E-06	0 E+00			
00002	001	0,0020	0,0035	-0,0335	-2,0422 E-04	1,0247 E-04	7,616 E-07			
	002	0,0004	0,0012	-0,0074	-6,6928 E-05	2,0366 E-05	2,5266 E-07			
	003	0,0001	0,0004	-0,0018	-2,4898 E-05	7,5038 E-06	5,226 E-08			
	004	0,0002	0,0006	-0,0025	-3,586 E-05	1,0864 E-05	7,4623 E-08			
	005	0,0085	-0,0002	0,0005	-3,8438 E-06	1,561 E-05	-1,9105 E-05			
	006	-0,0086	0,0000	-0,0005	-4,5818 E-06	-2,1038 E-05	2,3237 E-07			
	007	0,0000	0,0186	0,0012	-4,0289 E-05	4,1352 E-06	2,5625 E-05			
	008	-0,0001	-0,0184	-0,0012	4,3981 E-05	5,6528 E-06	-7,3245 E-06			
00003	001	0,0000	0,0000	-0,0308	-6,0177 E-05	-7,2823 E-05	0 E+00			
	002	0,0000	0,0000	-0,0067	-1,5107 E-05	-1,7183 E-05	0 E+00			
	003	0,0000	0,0000	-0,0015	-4,9314 E-06	-5,8335 E-06	0 E+00			
	004	0,0000	0,0000	-0,0021	-7,1031 E-06	-8,4056 E-06	0 E+00			
	005	0,0000	0,0000	0,0005	7,1172 E-07	7,2772 E-06	0 E+00			
	006	0,0000	0,0000	-0,0004	-1,9008 E-06	-6,1055 E-06	0 E+00			
	007	0,0000	0,0000	-0,0012	-1,3199 E-05	-5,2665 E-06	0 E+00			
	008	0,0000	0,0000	0,0011	1,3416 E-05	2,7611 E-06	0 E+00			
00004	001	0,0015	-0,0017	-0,0331	1,7718 E-04	1,013 E-04	1,2041 E-06			
	002	0,0002	-0,0005	-0,0073	5,783 E-05	2,0089 E-05	4,3681 E-07			
	003	0,0001	-0,0002	-0,0017	2,1629 E-05	7,419 E-06	1,6147 E-07			
	004	0,0001	-0,0003	-0,0025	3,1162 E-05	1,0743 E-05	2,3377 E-07			
	005	0,0085	-0,0001	0,0005	4,7446 E-06	1,5697 E-05	1,7131 E-05			
	006	-0,0080	0,0001	-0,0004	4,1007 E-06	-1,944 E-05	-1,048 E-06			
	007	-0,0004	0,0186	-0,0013	-4,3978 E-05	4,8618 E-06	9,2188 E-06			

Nodi - Spostamenti per condizioni di carico non sismiche

Nodo	CC	Sx [cm]	Sy [cm]	Sz [cm]	Θx [rad]	Θy [rad]	Θz [rad]
	008	-0,0005	-0,0184	0,0012	3,9036 E-05	2,788 E-06	-2,3601 E-05
00005	001	0,0000	0,0000	-0,0256	-1,0042 E-06	-7,0758 E-05	0 E+00
	002	0,0000	0,0000	-0,0056	-2,3713 E-07	-2,0419 E-05	0 E+00
	003	0,0000	0,0000	-0,0014	-6,9501 E-08	-5,1645 E-06	0 E+00
	004	0,0000	0,0000	-0,0020	-9,9003 E-08	-7,4441 E-06	0 E+00
	005	0,0000	0,0000	0,0003	1,032 E-07	7,8764 E-06	0 E+00
	006	0,0000	0,0000	-0,0003	-3,1713 E-08	-6,2521 E-06	0 E+00
	007	0,0000	0,0000	0,0000	-7,6072 E-06	-1,5795 E-06	0 E+00
	008	0,0000	0,0000	-0,0001	7,4697 E-06	-1,6126 E-06	0 E+00
00006	001	0,0013	0,0006	-0,0299	1,0711 E-05	5,6578 E-05	1,0184 E-06
	002	0,0002	0,0002	-0,0069	3,6684 E-06	7,5117 E-06	3,3152 E-07
	003	0,0001	0,0001	-0,0018	1,3859 E-06	2,5899 E-06	1,1234 E-07
	004	0,0001	0,0001	-0,0026	1,998 E-06	3,8203 E-06	1,6196 E-07
	005	0,0102	-0,0002	0,0003	2,5201 E-07	1,4782 E-05	5,5075 E-07
	006	-0,0092	0,0001	-0,0003	-1,2914 E-07	-1,9805 E-05	-1,1076 E-06
	007	-0,0007	0,0184	0,0000	-2,7992 E-05	5,9945 E-06	-2,5122 E-06
	008	-0,0009	-0,0182	-0,0001	2,7658 E-05	5,2592 E-06	2,9407 E-06
00007	001	0,0000	0,0000	-0,0260	6,9447 E-05	-1,2974 E-05	0 E+00
	002	0,0000	0,0000	-0,0059	2,2644 E-05	-3,2062 E-06	0 E+00
	003	0,0000	0,0000	-0,0015	5,9341 E-06	-1,1299 E-06	0 E+00
	004	0,0000	0,0000	-0,0021	8,5476 E-06	-1,6274 E-06	0 E+00
	005	0,0000	0,0000	-0,0001	1,3722 E-06	3,0535 E-06	0 E+00
	006	0,0000	0,0000	0,0000	9,612 E-07	-3,0435 E-06	0 E+00
	007	0,0000	0,0000	0,0008	-1,6734 E-05	5,047 E-07	0 E+00
	008	0,0000	0,0000	-0,0008	1,5282 E-05	-6,6625 E-07	0 E+00
00008	001	0,0013	0,0064	-0,0303	-3,3375 E-04	4,9157 E-05	2,7992 E-06
	002	0,0003	0,0024	-0,0072	-1,2453 E-04	1,2974 E-05	9,9202 E-07
	003	0,0001	0,0009	-0,0019	-4,6188 E-05	4,9871 E-06	3,2111 E-07
	004	0,0001	0,0012	-0,0028	-6,6531 E-05	7,1746 E-06	4,6238 E-07
	005	0,0083	-0,0008	-0,0001	-5,8429 E-06	2,0301 E-05	-5,0064 E-06
	006	-0,0085	-0,0001	0,0001	-7,3122 E-06	-1,9896 E-05	-2,2201 E-06
	007	0,0000	0,0287	0,0009	-5,798 E-05	-6,5581 E-07	1,2966 E-05
	008	0,0000	-0,0275	-0,0009	6,2918 E-05	-9,0707 E-07	-8,9433 E-06
00009	001	0,0000	0,0000	-0,0257	-6,1608 E-05	-1,2627 E-05	0 E+00
	002	0,0000	0,0000	-0,0058	-1,992 E-05	-3,0795 E-06	0 E+00
	003	0,0000	0,0000	-0,0014	-4,862 E-06	-1,0818 E-06	0 E+00
	004	0,0000	0,0000	-0,0021	-7,0019 E-06	-1,5577 E-06	0 E+00
	005	0,0000	0,0000	0,0000	-6,8517 E-07	3,0704 E-06	0 E+00
	006	0,0000	0,0000	0,0000	-9,8205 E-07	-2,8597 E-06	0 E+00
	007	0,0000	0,0000	-0,0008	-1,5582 E-05	-8,5081 E-07	0 E+00
	008	0,0000	0,0000	0,0008	1,6097 E-05	4,3819 E-07	0 E+00
00010	001	0,0007	-0,0020	-0,0299	2,753 E-04	4,5977 E-05	4,0533 E-06
	002	0,0001	-0,0008	-0,0070	1,0239 E-04	1,1886 E-05	1,4715 E-06
	003	0,0000	-0,0003	-0,0019	3,8309 E-05	4,5969 E-06	5,0719 E-07
	004	0,0000	-0,0005	-0,0027	5,5175 E-05	6,6155 E-06	7,3139 E-07
	005	0,0084	-0,0005	0,0000	8,6344 E-06	2,0357 E-05	5,5903 E-06
	006	-0,0079	0,0001	0,0000	7,3249 E-06	-1,8631 E-05	1,2819 E-06
	007	-0,0003	0,0285	-0,0009	-6,4199 E-05	-1,5298 E-06	9,166 E-06
	008	-0,0005	-0,0277	0,0009	5,4605 E-05	-1,6825 E-06	-1,3041 E-05
00011	001	0,0000	0,0000	-0,0225	6,5154 E-07	-1,3589 E-05	0 E+00
	002	0,0000	0,0000	-0,0048	1,6839 E-07	-4,0849 E-06	0 E+00
	003	0,0000	0,0000	-0,0018	1,6753 E-07	-1,1851 E-06	0 E+00
	004	0,0000	0,0000	-0,0026	2,4136 E-07	-1,7063 E-06	0 E+00
	005	0,0000	0,0000	-0,0001	3,1166 E-07	3,38 E-06	0 E+00
	006	0,0000	0,0000	0,0000	-9,0811 E-08	-3,0787 E-06	0 E+00
	007	0,0000	0,0000	0,0001	-9,5801 E-06	-5,4006 E-07	0 E+00
	008	0,0000	0,0000	0,0000	9,2547 E-06	6,9676 E-09	0 E+00
00012	001	0,0016	0,0015	-0,0298	2,1009 E-05	7,5464 E-05	1,584 E-06
	002	0,0005	0,0006	-0,0073	9,1467 E-06	2,5407 E-05	5,3858 E-07
	003	0,0002	0,0002	-0,0027	3,4587 E-06	9,7998 E-06	1,8209 E-07
	004	0,0002	0,0002	-0,0039	4,9922 E-06	1,4102 E-05	2,6247 E-07
	005	0,0099	-0,0007	-0,0001	1,3386 E-06	2,3817 E-05	5,6784 E-08
	006	-0,0091	0,0000	0,0000	-5,354 E-07	-2,1224 E-05	-7,1575 E-07
	007	-0,0005	0,0282	0,0001	-4,12 E-05	-3,0563 E-06	4,5729 E-07
	008	-0,0007	-0,0272	0,0000	3,9859 E-05	-1,4329 E-06	3,3351 E-07
00013	001	0,0000	0,0000	-0,0234	-1,5903 E-05	4,1189 E-06	0 E+00
	002	0,0000	0,0000	-0,0051	-5,1012 E-06	1,2795 E-06	0 E+00
	003	0,0000	0,0000	-0,0019	-1,1445 E-06	5,2951 E-07	0 E+00
	004	0,0000	0,0000	-0,0027	-1,6483 E-06	7,6268 E-07	0 E+00
	005	0,0000	0,0000	0,0000	-2,0565 E-08	2,8114 E-06	0 E+00
	006	0,0000	0,0000	0,0000	-9,3944 E-08	-2,7542 E-06	0 E+00
	007	0,0000	0,0000	0,0003	-1,0235 E-05	-4,4161 E-07	0 E+00
	008	0,0000	0,0000	-0,0002	1,0525 E-05	3,5084 E-07	0 E+00
00014	001	-0,0011	0,0051	-0,0309	2,136 E-04	-7,4138 E-05	1,0321 E-06
	002	-0,0004	0,0018	-0,0076	7,7407 E-05	-2,3638 E-05	3,2675 E-07
	003	-0,0002	0,0006	-0,0028	2,8895 E-05	-8,7893 E-06	1,1177 E-07
	004	-0,0002	0,0008	-0,0040	4,161 E-05	-1,2641 E-05	1,6112 E-07
	005	0,0092	0,0006	0,0000	-4,1741 E-07	2,1362 E-05	2,5203 E-07
	006	-0,0091	0,0002	-0,0001	-8,7463 E-07	-2,129 E-05	-1,0586 E-06
	007	-0,0002	0,0288	0,0003	-3,811 E-05	-1,2837 E-06	2,3017 E-06
	008	0,0000	-0,0299	-0,0003	3,9593 E-05	1,112 E-06	-1,3942 E-06
00015	001	0,0000	0,0000	-0,0246	-3,8893 E-05	3,3699 E-06	0 E+00
	002	0,0000	0,0000	-0,0053	-1,2306 E-05	8,2787 E-07	0 E+00
	003	0,0000	0,0000	-0,0013	-1,8414 E-06	3,6456 E-07	0 E+00
	004	0,0000	0,0000	-0,0018	-2,6518 E-06	5,2533 E-07	0 E+00

Nodi - Spostamenti per condizioni di carico non sismiche

Nodo	CC	S _x [cm]	S _y [cm]	S _z [cm]	Θ _x [rad]	Θ _y [rad]	Θ _z [rad]
	005	0,0000	0,0000	0,0000	-9,6601 E-07	2,5944 E-06	0 E+00
	006	0,0000	0,0000	0,0000	-9,5663 E-07	-2,4788 E-06	0 E+00
	007	0,0000	0,0000	-0,0011	-1,578 E-05	1,0046 E-07	0 E+00
	008	0,0000	0,0000	0,0011	1,7077 E-05	-2,6444 E-07	0 E+00
00016	001	-0,0009	0,0062	-0,0281	1,0629 E-04	-5,8819 E-05	1,7083 E-06
	002	-0,0003	0,0022	-0,0063	4,059 E-05	-1,4867 E-05	5,809 E-07
	003	-0,0001	0,0007	-0,0016	1,6075 E-05	-5,5447 E-06	1,9678 E-07
	004	-0,0002	0,0010	-0,0023	2,3147 E-05	-7,9789 E-06	2,8369 E-07
	005	0,0082	0,0007	0,0000	5,4471 E-06	1,936 E-05	2,4319 E-07
	006	-0,0079	0,0003	0,0000	6,5249 E-06	-1,8648 E-05	-6,5437 E-06
	007	0,0000	0,0291	-0,0012	-6,0842 E-05	5,9149 E-08	-5,4609 E-06
	008	-0,0005	-0,0303	0,0013	5,6469 E-05	-9,6552 E-07	8,529 E-06
00017	001	0,0000	0,0000	-0,0281	9,3576 E-05	3,8796 E-06	0 E+00
	002	0,0000	0,0000	-0,0066	3,1264 E-05	1,0004 E-06	0 E+00
	003	0,0000	0,0000	-0,0017	8,9932 E-06	4,2639 E-07	0 E+00
	004	0,0000	0,0000	-0,0025	1,2948 E-05	6,142 E-07	0 E+00
	005	0,0000	0,0000	0,0000	8,2442 E-07	2,5794 E-06	0 E+00
	006	0,0000	0,0000	0,0000	1,1304 E-06	-2,6456 E-06	0 E+00
	007	0,0000	0,0000	0,0008	-1,8432 E-05	-1,4658 E-07	0 E+00
	008	0,0000	0,0000	-0,0008	1,7797 E-05	2,1198 E-07	0 E+00
00018	001	-0,0003	0,0149	-0,0330	-5,2377 E-04	-5,6072 E-05	2,8734 E-06
	002	-0,0001	0,0055	-0,0081	-1,9282 E-04	-1,3842 E-05	1,0102 E-06
	003	-0,0001	0,0019	-0,0023	-7,1033 E-05	-5,1759 E-06	3,4015 E-07
	004	-0,0001	0,0028	-0,0033	-1,0229 E-04	-7,4419 E-06	4,894 E-07
	005	0,0082	0,0005	0,0000	-8,9403 E-06	1,9247 E-05	3,7929 E-07
	006	-0,0085	0,0001	0,0000	-7,8049 E-06	-1,9952 E-05	4,4609 E-06
	007	0,0000	0,0293	0,0009	-5,8729 E-05	2,3374 E-08	-6,4899 E-06
	008	0,0003	-0,0303	-0,0009	6,8915 E-05	8,5236 E-07	4,3909 E-06
00019	001	0,0000	0,0000	-0,0237	-3,6546 E-05	-6,3786 E-07	0 E+00
	002	0,0000	0,0000	-0,0050	-1,1584 E-05	-2,0176 E-07	0 E+00
	003	0,0000	0,0000	-0,0012	-1,5627 E-06	-1,1251 E-07	0 E+00
	004	0,0000	0,0000	-0,0017	-2,2484 E-06	-1,6164 E-07	0 E+00
	005	0,0000	0,0000	0,0000	-9,1132 E-07	2,5135 E-06	0 E+00
	006	0,0000	0,0000	0,0000	-8,0605 E-07	-2,4541 E-06	0 E+00
	007	0,0000	0,0000	-0,0010	-1,5059 E-05	5,5411 E-08	0 E+00
	008	0,0000	0,0000	0,0011	1,6119 E-05	-9,2082 E-08	0 E+00
00020	001	0,0001	0,0064	-0,0270	9,3808 E-05	2,2664 E-05	-1,0821 E-06
	002	0,0000	0,0023	-0,0059	3,5463 E-05	5,3565 E-06	-4,4107 E-07
	003	0,0000	0,0007	-0,0015	1,4234 E-05	1,9865 E-06	-1,6886 E-07
	004	0,0000	0,0010	-0,0022	2,0502 E-05	2,8666 E-06	-2,4312 E-07
	005	0,0082	0,0002	0,0000	6,3585 E-06	1,8459 E-05	3,428 E-06
	006	-0,0079	0,0002	0,0000	6,4715 E-06	-1,7867 E-05	-2,7014 E-06
	007	0,0002	0,0275	-0,0012	-5,7363 E-05	2,1073 E-07	-3,7251 E-07
	008	-0,0005	-0,0281	0,0012	5,1811 E-05	-8,0514 E-07	1,2633 E-06
00021	001	0,0000	0,0000	-0,0224	-1,3673 E-05	-1,1004 E-06	0 E+00
	002	0,0000	0,0000	-0,0047	-4,4176 E-06	-3,8616 E-07	0 E+00
	003	0,0000	0,0000	-0,0017	-8,7448 E-07	-1,9861 E-07	0 E+00
	004	0,0000	0,0000	-0,0025	-1,2588 E-06	-2,859 E-07	0 E+00
	005	0,0000	0,0000	0,0000	-2,1913 E-08	2,6912 E-06	0 E+00
	006	0,0000	0,0000	0,0000	6,7136 E-08	-2,7602 E-06	0 E+00
	007	0,0000	0,0000	0,0003	-9,7904 E-06	1,4351 E-07	0 E+00
	008	0,0000	0,0000	-0,0003	9,9016 E-06	-2,7926 E-08	0 E+00
00022	001	0,0002	0,0051	-0,0294	2,0563 E-04	2,6079 E-05	4,4743 E-07
	002	0,0000	0,0019	-0,0071	7,4829 E-05	7,4012 E-06	1,0605 E-07
	003	0,0000	0,0006	-0,0026	2,7961 E-05	2,7548 E-06	3,6153 E-08
	004	0,0000	0,0008	-0,0037	4,0268 E-05	3,986 E-06	5,2186 E-08
	005	0,0091	0,0002	0,0000	-5,0543 E-07	2,0319 E-05	2,9348 E-07
	006	-0,0093	0,0001	0,0000	-1,5973 E-07	-2,0625 E-05	-1,1358 E-06
	007	0,0001	0,0273	0,0003	-3,6286 E-05	4,5585 E-07	-2,1158 E-06
	008	0,0003	-0,0278	-0,0003	3,7067 E-05	4,0199 E-08	3,3541 E-06
00023	001	0,0000	0,0000	-0,0272	9,0906 E-05	-1,11 E-06	0 E+00
	002	0,0000	0,0000	-0,0063	3,025 E-05	-3,4776 E-07	0 E+00
	003	0,0000	0,0000	-0,0016	8,6342 E-06	-1,7461 E-07	0 E+00
	004	0,0000	0,0000	-0,0023	1,2431 E-05	-2,5093 E-07	0 E+00
	005	0,0000	0,0000	0,0000	1,1181 E-06	2,5082 E-06	0 E+00
	006	0,0000	0,0000	0,0000	1,0881 E-06	-2,6383 E-06	0 E+00
	007	0,0000	0,0000	0,0007	-1,7715 E-05	5,7913 E-08	0 E+00
	008	0,0000	0,0000	-0,0007	1,681 E-05	1,3975 E-07	0 E+00
00024	001	0,0007	0,0146	-0,0318	-5,0013 E-04	2,9178 E-05	-2,6068 E-07
	002	0,0001	0,0053	-0,0077	-1,8311 E-04	6,8729 E-06	-1,5539 E-07
	003	0,0000	0,0019	-0,0021	-6,7429 E-05	2,5483 E-06	-5,2689 E-08
	004	0,0000	0,0027	-0,0031	-9,7089 E-05	3,6741 E-06	-7,6241 E-08
	005	0,0081	0,0000	0,0000	-7,7264 E-06	1,8538 E-05	-3,6488 E-06
	006	-0,0086	0,0000	0,0000	-7,596 E-06	-1,9353 E-05	5,6966 E-07
	007	0,0000	0,0277	0,0008	-5,4989 E-05	7,4594 E-08	1,3692 E-06
	008	0,0006	-0,0281	-0,0008	6,3651 E-05	1,0856 E-06	5,6696 E-07
00025	001	0,0000	0,0000	-0,0233	-4,0589 E-05	1,2009 E-05	0 E+00
	002	0,0000	0,0000	-0,0049	-1,2642 E-05	2,6643 E-06	0 E+00
	003	0,0000	0,0000	-0,0011	-2,1427 E-06	8,6547 E-07	0 E+00
	004	0,0000	0,0000	-0,0016	-3,0862 E-06	1,2461 E-06	0 E+00
	005	0,0000	0,0000	0,0001	-8,806 E-07	2,8977 E-06	0 E+00
	006	0,0000	0,0000	-0,0001	-7,3783 E-07	-2,8795 E-06	0 E+00
	007	0,0000	0,0000	-0,0008	-1,3242 E-05	1,0356 E-06	0 E+00
	008	0,0000	0,0000	0,0008	1,3977 E-05	-9,0044 E-07	0 E+00
00026	001	-0,0006	0,0037	-0,0266	1,2581 E-04	-2,8178 E-05	-1,2188 E-06

Nodi - Spostamenti per condizioni di carico non sismiche

Nodo	CC	S _x [cm]	S _y [cm]	S _z [cm]	Θ _x [rad]	Θ _y [rad]	Θ _z [rad]
	002	-0,0002	0,0013	-0,0058	4,6804 E-05	-7,3818 E-06	-5,8747 E-07
	003	-0,0001	0,0004	-0,0014	1,8258 E-05	-3,0057 E-06	-2,0468 E-07
	004	-0,0001	0,0005	-0,0021	2,6304 E-05	-4,328 E-06	-2,948 E-07
	005	0,0082	0,0002	0,0001	6,2302 E-06	1,751 E-05	1,7206 E-07
	006	-0,0080	-0,0001	-0,0001	7,1377 E-06	-1,802 E-05	-5,711 E-06
	007	0,0005	0,0238	-0,0010	-4,9939 E-05	2,3429 E-06	-8,8871 E-06
	008	-0,0005	-0,0237	0,0009	4,2885 E-05	-6,7807 E-07	1,308 E-05
00027	001	0,0000	0,0000	-0,0213	-9,271 E-06	1,3244 E-05	0 E+00
	002	0,0000	0,0000	-0,0043	-2,9611 E-06	3,7984 E-06	0 E+00
	003	0,0000	0,0000	-0,0016	-5,2047 E-07	8,8566 E-07	0 E+00
	004	0,0000	0,0000	-0,0023	-7,4983 E-07	1,2753 E-06	0 E+00
	005	0,0000	0,0000	0,0000	-3,0623 E-08	2,9365 E-06	0 E+00
	006	0,0000	0,0000	-0,0001	1,7641 E-07	-3,1582 E-06	0 E+00
	007	0,0000	0,0000	0,0002	-8,4029 E-06	2,6424 E-07	0 E+00
	008	0,0000	0,0000	-0,0002	8,2731 E-06	1,4393 E-07	0 E+00
00028	001	-0,0006	0,0036	-0,0279	1,4883 E-04	-3,3206 E-05	2,4523 E-07
	002	-0,0002	0,0012	-0,0065	5,3662 E-05	-1,0074 E-05	1,0119 E-08
	003	-0,0001	0,0004	-0,0024	2,0053 E-05	-4,2928 E-06	9,3139 E-09
	004	-0,0002	0,0005	-0,0034	2,8866 E-05	-6,189 E-06	1,3575 E-08
	005	0,0090	0,0001	0,0000	-6,2224 E-07	1,9223 E-05	-4,7556 E-07
	006	-0,0096	-0,0003	-0,0001	6,2127 E-07	-2,1463 E-05	-4,1173 E-07
	007	0,0003	0,0236	0,0002	-3,1879 E-05	2,6364 E-06	-1,092 E-06
	008	0,0007	-0,0234	-0,0002	3,1637 E-05	1,4182 E-06	1,8212 E-06
00029	001	0,0000	0,0000	-0,0259	8,0293 E-05	1,4914 E-05	0 E+00
	002	0,0000	0,0000	-0,0058	2,5918 E-05	3,489 E-06	0 E+00
	003	0,0000	0,0000	-0,0014	7,2433 E-06	1,1583 E-06	0 E+00
	004	0,0000	0,0000	-0,0021	1,0427 E-05	1,6678 E-06	0 E+00
	005	0,0000	0,0000	0,0001	9,3363 E-07	2,8722 E-06	0 E+00
	006	0,0000	0,0000	-0,0001	1,3496 E-06	-3,0854 E-06	0 E+00
	007	0,0000	0,0000	0,0007	-1,5437 E-05	-5,24 E-07	0 E+00
	008	0,0000	0,0000	-0,0006	1,423 E-05	9,3135 E-07	0 E+00
00030	001	-0,0003	0,0111	-0,0301	-4,1032 E-04	-4,4416 E-05	-3,4606 E-07
	002	-0,0001	0,0040	-0,0071	-1,4826 E-04	-1,2354 E-05	-2,6142 E-07
	003	-0,0001	0,0014	-0,0019	-5,4769 E-05	-4,8905 E-06	-6,1468 E-08
	004	-0,0001	0,0020	-0,0028	-7,8857 E-05	-7,0432 E-06	-8,8466 E-08
	005	0,0082	0,0000	0,0001	-7,2675 E-06	1,7546 E-05	8,2831 E-07
	006	-0,0087	-0,0003	-0,0001	-6,1637 E-06	-1,939 E-05	2,9029 E-06
	007	0,0001	0,0240	0,0007	-4,5037 E-05	1,2882 E-06	-8,7517 E-06
	008	0,0009	-0,0236	-0,0007	5,1319 E-05	2,2129 E-06	7,7319 E-06
00031	001	0,0000	0,0000	-0,0285	-4,1894 E-05	5,4754 E-05	0 E+00
	002	0,0000	0,0000	-0,0059	-9,5497 E-06	1,1989 E-05	0 E+00
	003	0,0000	0,0000	-0,0012	-2,732 E-06	3,8139 E-06	0 E+00
	004	0,0000	0,0000	-0,0017	-3,933 E-06	5,4889 E-06	0 E+00
	005	0,0000	0,0000	-0,0005	-1,8629 E-06	6,1068 E-06	0 E+00
	006	0,0000	0,0000	0,0005	6,234 E-07	-6,8438 E-06	0 E+00
	007	0,0000	0,0000	-0,0013	-1,2245 E-05	4,7881 E-06	0 E+00
	008	0,0000	0,0000	0,0012	1,2685 E-05	-2,9263 E-06	0 E+00
00032	001	-0,0011	0,0038	-0,0304	7,7526 E-05	-6,7532 E-05	1,3035 E-07
	002	-0,0003	0,0012	-0,0063	2,448 E-05	-1,2864 E-05	-8,8203 E-08
	003	-0,0001	0,0004	-0,0014	9,5551 E-06	-4,9249 E-06	-4,4082 E-08
	004	-0,0002	0,0005	-0,0020	1,3776 E-05	-7,0905 E-06	-6,3736 E-08
	005	0,0082	0,0002	-0,0005	3,4093 E-06	1,9303 E-05	5,8465 E-07
	006	-0,0081	0,0000	0,0005	4,1422 E-06	-1,4218 E-05	-1,164 E-05
	007	0,0005	0,0168	-0,0014	-3,7112 E-05	-3,9355 E-06	-8,3233 E-06
	008	-0,0005	-0,0168	0,0013	3,3116 E-05	-5,1755 E-06	1,8077 E-05
00033	001	0,0000	0,0000	-0,0247	-8,933 E-06	5,478 E-05	0 E+00
	002	0,0000	0,0000	-0,0052	-2,0038 E-06	1,5348 E-05	0 E+00
	003	0,0000	0,0000	-0,0012	-5,897 E-07	3,3561 E-06	0 E+00
	004	0,0000	0,0000	-0,0018	-8,4836 E-07	4,8304 E-06	0 E+00
	005	0,0000	0,0000	-0,0003	-2,8192 E-07	5,9644 E-06	0 E+00
	006	0,0000	0,0000	0,0003	3,1092 E-07	-7,3707 E-06	0 E+00
	007	0,0000	0,0000	0,0001	-7,245 E-06	1,1864 E-06	0 E+00
	008	0,0000	0,0000	-0,0002	7,1789 E-06	1,6104 E-06	0 E+00
00034	001	-0,0005	0,0039	-0,0286	8,1483 E-05	-3,2839 E-05	4,4019 E-07
	002	-0,0001	0,0012	-0,0063	2,6761 E-05	-3,075 E-06	7,6102 E-08
	003	-0,0001	0,0004	-0,0016	1,0083 E-05	-1,3053 E-06	2,5877 E-08
	004	-0,0001	0,0006	-0,0024	1,4505 E-05	-1,8951 E-06	3,7423 E-08
	005	0,0091	0,0002	-0,0003	-4,5884 E-07	1,8582 E-05	3,0972 E-06
	006	-0,0099	0,0000	0,0003	-4,8329 E-08	-1,3299 E-05	-6,2276 E-06
	007	0,0004	0,0166	0,0002	-2,5219 E-05	-6,3159 E-06	2,5815 E-06
	008	0,0009	-0,0166	-0,0002	2,5379 E-05	-4,9973 E-06	3,372 E-06
00035	001	0,0000	0,0000	-0,0308	7,362 E-05	5,8118 E-05	0 E+00
	002	0,0000	0,0000	-0,0067	1,8874 E-05	1,3268 E-05	0 E+00
	003	0,0000	0,0000	-0,0015	6,491 E-06	4,2846 E-06	0 E+00
	004	0,0000	0,0000	-0,0021	9,3432 E-06	6,1669 E-06	0 E+00
	005	0,0000	0,0000	-0,0005	2,1812 E-06	5,9865 E-06	0 E+00
	006	0,0000	0,0000	0,0005	-7,0826 E-07	-7,0252 E-06	0 E+00
	007	0,0000	0,0000	0,0009	-1,2963 E-05	-1,8775 E-06	0 E+00
	008	0,0000	0,0000	-0,0010	1,2437 E-05	4,0991 E-06	0 E+00
00036	001	-0,0005	0,0087	-0,0331	-2,7466 E-04	-5,7505 E-05	-2,1861 E-07
	002	-0,0001	0,0028	-0,0073	-8,7559 E-05	-1,0091 E-05	-2,7533 E-07
	003	-0,0001	0,0010	-0,0017	-3,2315 E-05	-3,9421 E-06	-5,3095 E-08
	004	-0,0001	0,0014	-0,0025	-4,6512 E-05	-5,6596 E-06	-7,6456 E-08
	005	0,0083	0,0001	-0,0005	-4,8946 E-06	1,8697 E-05	-4,2511 E-06
	006	-0,0088	-0,0001	0,0005	-4,0992 E-06	-1,5339 E-05	1,9458 E-05

Nodi - Spostamenti per condizioni di carico non sismiche

Nodo	CC	S _x [cm]	S _y [cm]	S _z [cm]	Θ _x [rad]	Θ _y [rad]	Θ _z [rad]
	007	0,0001	0,0169	0,0010	-3,7624 E-05	-4,2969 E-06	-2,2883 E-05
	008	0,0009	-0,0168	-0,0011	4,1885 E-05	-2,7809 E-06	5,1625 E-06
00037	001	0,0000	0,0000	-0,0170	1,4652 E-05	-2,9476 E-05	0 E+00
	002	0,0000	0,0000	-0,0025	2,7128 E-06	-3,8613 E-06	0 E+00
	003	0,0000	0,0000	-0,0006	9,8566 E-07	-1,2886 E-06	0 E+00
	004	0,0000	0,0000	-0,0009	1,4231 E-06	-1,8581 E-06	0 E+00
	005	0,0000	0,0000	0,0000	0 E+00	0 E+00	0 E+00
	006	0,0000	0,0000	0,0000	0 E+00	0 E+00	0 E+00
	007	0,0000	0,0000	0,0000	0 E+00	0 E+00	0 E+00
	008	0,0000	0,0000	0,0000	0 E+00	0 E+00	0 E+00
00038	001	0,0000	0,0000	-0,0150	1,2255 E-05	-2,3758 E-06	0 E+00
	002	0,0000	0,0000	-0,0024	3,5141 E-06	-3,7988 E-07	0 E+00
	003	0,0000	0,0000	-0,0007	1 E-06	-1,0104 E-07	0 E+00
	004	0,0000	0,0000	-0,0010	1,4425 E-06	-1,4669 E-07	0 E+00
	005	0,0000	0,0000	0,0000	0 E+00	0 E+00	0 E+00
	006	0,0000	0,0000	0,0000	0 E+00	0 E+00	0 E+00
	007	0,0000	0,0000	0,0000	0 E+00	0 E+00	0 E+00
	008	0,0000	0,0000	0,0000	0 E+00	0 E+00	0 E+00
00039	001	0,0000	0,0000	-0,0170	1,4992 E-05	3,1652 E-05	0 E+00
	002	0,0000	0,0000	-0,0025	2,8048 E-06	4,3284 E-06	0 E+00
	003	0,0000	0,0000	-0,0006	1,0233 E-06	1,4987 E-06	0 E+00
	004	0,0000	0,0000	-0,0009	1,4749 E-06	2,1568 E-06	0 E+00
	005	0,0000	0,0000	0,0000	0 E+00	0 E+00	0 E+00
	006	0,0000	0,0000	0,0000	0 E+00	0 E+00	0 E+00
	007	0,0000	0,0000	0,0000	0 E+00	0 E+00	0 E+00
	008	0,0000	0,0000	0,0000	0 E+00	0 E+00	0 E+00
00040	001	0,0000	0,0000	-0,0170	-1,4984 E-05	-2,9517 E-05	0 E+00
	002	0,0000	0,0000	-0,0025	-2,7552 E-06	-3,8541 E-06	0 E+00
	003	0,0000	0,0000	-0,0006	-1,0035 E-06	-1,2868 E-06	0 E+00
	004	0,0000	0,0000	-0,0009	-1,4417 E-06	-1,8534 E-06	0 E+00
	005	0,0000	0,0000	0,0000	0 E+00	0 E+00	0 E+00
	006	0,0000	0,0000	0,0000	0 E+00	0 E+00	0 E+00
	007	0,0000	0,0000	0,0000	0 E+00	0 E+00	0 E+00
	008	0,0000	0,0000	0,0000	0 E+00	0 E+00	0 E+00
00041	001	0,0000	0,0000	-0,0170	-1,5068 E-05	3,1655 E-05	0 E+00
	002	0,0000	0,0000	-0,0025	-2,8299 E-06	4,327 E-06	0 E+00
	003	0,0000	0,0000	-0,0006	-1,0337 E-06	1,4986 E-06	0 E+00
	004	0,0000	0,0000	-0,0009	-1,4856 E-06	2,1558 E-06	0 E+00
	005	0,0000	0,0000	0,0000	0 E+00	0 E+00	0 E+00
	006	0,0000	0,0000	0,0000	0 E+00	0 E+00	0 E+00
	007	0,0000	0,0000	0,0000	0 E+00	0 E+00	0 E+00
	008	0,0000	0,0000	0,0000	0 E+00	0 E+00	0 E+00
00042	001	0,0000	0,0000	-0,0150	-1,2187 E-05	-2,3923 E-06	0 E+00
	002	0,0000	0,0000	-0,0024	-3,5284 E-06	-3,7932 E-07	0 E+00
	003	0,0000	0,0000	-0,0007	-1,0054 E-06	-1,0107 E-07	0 E+00
	004	0,0000	0,0000	-0,0010	-1,4448 E-06	-1,4625 E-07	0 E+00
	005	0,0000	0,0000	0,0000	0 E+00	0 E+00	0 E+00
	006	0,0000	0,0000	0,0000	0 E+00	0 E+00	0 E+00
	007	0,0000	0,0000	0,0000	0 E+00	0 E+00	0 E+00
	008	0,0000	0,0000	0,0000	0 E+00	0 E+00	0 E+00
00043	001	0,0001	0,0012	-0,0185	-9,2531 E-05	3,6202 E-05	8,3945 E-08
	002	0,0000	0,0004	-0,0028	-2,8058 E-05	4,879 E-06	3,9826 E-08
	003	0,0000	0,0001	-0,0007	-1,0302 E-05	2,0208 E-06	1,3905 E-08
	004	0,0000	0,0002	-0,0010	-1,4829 E-05	2,9163 E-06	2,0594 E-08
	005	0,0000	0,0000	0,0000	0 E+00	0 E+00	0 E+00
	006	0,0000	0,0000	0,0000	0 E+00	0 E+00	0 E+00
	007	0,0000	0,0000	0,0000	0 E+00	0 E+00	0 E+00
	008	0,0000	0,0000	0,0000	0 E+00	0 E+00	0 E+00
00044	001	-0,0003	0,0016	-0,0179	-1,2606 E-04	-3,1231 E-07	1,358 E-07
	002	0,0000	0,0006	-0,0030	-4,4786 E-05	-8,451 E-07	5,9684 E-08
	003	0,0000	0,0002	-0,0009	-1,6419 E-05	-2,9991 E-07	2,1968 E-08
	004	0,0000	0,0003	-0,0013	-2,3631 E-05	-4,3073 E-07	3,2212 E-08
	005	0,0000	0,0000	0,0000	0 E+00	0 E+00	0 E+00
	006	0,0000	0,0000	0,0000	0 E+00	0 E+00	0 E+00
	007	0,0000	0,0000	0,0000	0 E+00	0 E+00	0 E+00
	008	0,0000	0,0000	0,0000	0 E+00	0 E+00	0 E+00
00045	001	-0,0009	0,0012	-0,0186	-9,5914 E-05	-4,2328 E-05	-2,3807 E-07
	002	-0,0001	0,0004	-0,0028	-2,9416 E-05	-4,688 E-06	-8,1623 E-08
	003	0,0000	0,0001	-0,0007	-1,081 E-05	-1,9221 E-06	-2,993 E-08
	004	0,0000	0,0002	-0,0011	-1,5554 E-05	-2,7763 E-06	-4,2483 E-08
	005	0,0000	0,0000	0,0000	0 E+00	0 E+00	0 E+00
	006	0,0000	0,0000	0,0000	0 E+00	0 E+00	0 E+00
	007	0,0000	0,0000	0,0000	0 E+00	0 E+00	0 E+00
	008	0,0000	0,0000	0,0000	0 E+00	0 E+00	0 E+00
00046	001	0,0001	-0,0011	-0,0185	9,2302 E-05	3,6013 E-05	-1,2306 E-07
	002	0,0000	-0,0004	-0,0028	2,8033 E-05	4,8208 E-06	-3,803 E-08
	003	0,0000	-0,0001	-0,0007	1,029 E-05	2,0018 E-06	-1,3798 E-08
	004	0,0000	-0,0002	-0,0010	1,482 E-05	2,8825 E-06	-1,9277 E-08
	005	0,0000	0,0000	0,0000	0 E+00	0 E+00	0 E+00
	006	0,0000	0,0000	0,0000	0 E+00	0 E+00	0 E+00
	007	0,0000	0,0000	0,0000	0 E+00	0 E+00	0 E+00
	008	0,0000	0,0000	0,0000	0 E+00	0 E+00	0 E+00
00047	001	-0,0003	-0,0016	-0,0179	1,2549 E-04	-4,2617 E-07	-1,8262 E-07
	002	0,0000	-0,0006	-0,0030	4,472 E-05	-8,7636 E-07	-5,9044 E-08
	003	0,0000	-0,0002	-0,0009	1,6393 E-05	-3,1074 E-07	-2,2256 E-08

Nodi - Spostamenti per condizioni di carico non sismiche

Nodo	CC	S _x [cm]	S _y [cm]	S _z [cm]	Θ _x [rad]	Θ _y [rad]	Θ _z [rad]
	004	0,0000	-0,0003	-0,0013	2,3601 E-05	-4,4805 E-07	-3,1429 E-08
	005	0,0000	0,0000	0,0000	0 E+00	0 E+00	0 E+00
	006	0,0000	0,0000	0,0000	0 E+00	0 E+00	0 E+00
	007	0,0000	0,0000	0,0000	0 E+00	0 E+00	0 E+00
	008	0,0000	0,0000	0,0000	0 E+00	0 E+00	0 E+00
00048	001	-0,0009	-0,0012	-0,0186	9,5776 E-05	-4,2225 E-05	1,911 E-07
	002	-0,0001	-0,0004	-0,0028	2,939 E-05	-4,6555 E-06	8,2057 E-08
	003	0,0000	-0,0001	-0,0007	1,0798 E-05	-1,9122 E-06	2,9619 E-08
	004	0,0000	-0,0002	-0,0011	1,5543 E-05	-2,7563 E-06	4,3202 E-08
	005	0,0000	0,0000	0,0000	0 E+00	0 E+00	0 E+00
	006	0,0000	0,0000	0,0000	0 E+00	0 E+00	0 E+00
	007	0,0000	0,0000	0,0000	0 E+00	0 E+00	0 E+00
	008	0,0000	0,0000	0,0000	0 E+00	0 E+00	0 E+00

LEGENDA:

CC Identificativo della tipologia di carico nella relativa tabella.
S_x, S_y, S_z, Θ_x, Θ_y, Θ_z Le componenti dello spostamento sono relative al sistema di riferimento globale X, Y, Z.

NODI - SPOSTAMENTI PER EFFETTO DEL SISMA

Nodo	Di r	Stato Limite Ultimo						Stato Limite di Danno					
		S _x	S _y	S _z	Θ _x	Θ _y	Θ _z	S _x	S _y	S _z	Θ _x	Θ _y	Θ _z
		[cm]	[cm]	[cm]	[rad]	[rad]	[rad]	[cm]	[cm]	[cm]	[rad]	[rad]	[rad]
00001	X	0,000 0	0,000 0	0,047 8	1,6872 E-04	7,7049 E-04	0 E+00	0,000 0	0,000 0	0,011 6	4,1046 E-05	1,8694 E-04	0 E+00
00001	Y	0,000 0	0,000 0	0,060 7	7,9755 E-04	2,5901 E-04	0 E+00	0,000 0	0,000 0	0,014 3	1,8688 E-04	6,083 E-05	0 E+00
00001	Z	0,000 0	0,000 0	0,000 0	0 E+00	0 E+00	0 E+00	0,000 0	0,000 0	0,000 0	0 E+00	0 E+00	0 E+00
00002	X	1,355 6	0,037 2	0,051 2	1,0281 E-04	4,1275 E-03	2,964 E-05	0,328 6	0,009 0	0,012 4	2,4916 E-05	1,0006 E-03	7,1854 E-06
00002	Y	0,023 5	1,322 3	0,065 9	3,275 E-03	1,1539 E-04	5,873 E-05	0,005 5	0,309 5	0,015 5	7,6651 E-04	2,7031 E-05	1,3745 E-05
00002	Z	0,000 0	0,000 0	0,000 0	0 E+00	0 E+00	0 E+00	0,000 0	0,000 0	0,000 0	0 E+00	0 E+00	0 E+00
00003	X	0,000 0	0,000 0	0,049 9	2,0194 E-04	7,6958 E-04	0 E+00	0,000 0	0,000 0	0,012 1	4,9079 E-05	1,8671 E-04	0 E+00
00003	Y	0,000 0	0,000 0	0,062 6	7,972 E-04	2,6636 E-04	0 E+00	0,000 0	0,000 0	0,014 7	1,8679 E-04	6,2538 E-05	0 E+00
00003	Z	0,000 0	0,000 0	0,000 0	0 E+00	0 E+00	0 E+00	0,000 0	0,000 0	0,000 0	0 E+00	0 E+00	0 E+00
00004	X	1,334 7	0,037 2	0,053 4	8,1162 E-05	4,0668 E-03	2,931 E-05	0,323 6	0,009 0	0,013 0	1,9679 E-05	9,8585 E-04	7,1052 E-06
00004	Y	0,022 6	1,322 3	0,068 1	3,2279 E-03	1,1349 E-04	5,8985 E-05	0,005 3	0,309 5	0,016 0	7,555 E-04	2,6578 E-05	1,3805 E-05
00004	Z	0,000 0	0,000 0	0,000 0	0 E+00	0 E+00	0 E+00	0,000 0	0,000 0	0,000 0	0 E+00	0 E+00	0 E+00
00005	X	0,000 0	0,000 0	0,023 3	1,442 E-05	6,7102 E-04	0 E+00	0,000 0	0,000 0	0,005 6	3,4963 E-06	1,6269 E-04	0 E+00
00005	Y	0,000 0	0,000 0	0,001 1	4,4697 E-04	1,3087 E-06	0 E+00	0,000 0	0,000 0	0,000 3	1,0468 E-04	3,0321 E-07	0 E+00
00005	Z	0,000 0	0,000 0	0,000 0	0 E+00	0 E+00	0 E+00	0,000 0	0,000 0	0,000 0	0 E+00	0 E+00	0 E+00
00006	X	1,345 0	0,037 2	0,027 2	6,7203 E-05	4,103 E-03	3,1269 E-05	0,326 1	0,009 0	0,006 6	1,6292 E-05	9,9464 E-04	7,5802 E-06
00006	Y	0,000 4	1,322 1	0,001 4	2,3675 E-03	2,205 E-06	6,0969 E-05	0,000 1	0,309 4	0,000 3	5,5418 E-04	5,1645 E-07	1,4269 E-05
00006	Z	0,000 0	0,000 0	0,000 0	0 E+00	0 E+00	0 E+00	0,000 0	0,000 0	0,000 0	0 E+00	0 E+00	0 E+00
00007	X	0,000 0	0,000 0	0,005 8	1,8113 E-05	4,0814 E-04	0 E+00	0,000 0	0,000 0	0,001 4	4,3926 E-06	9,8956 E-05	0 E+00
00007	Y	0,000 0	0,000 0	0,028 2	6,4983 E-04	2,3893 E-05	0 E+00	0,000 0	0,000 0	0,006 6	1,5219 E-04	5,6162 E-06	0 E+00
00007	Z	0,000 0	0,000 0	0,000 0	0 E+00	0 E+00	0 E+00	0,000 0	0,000 0	0,000 0	0 E+00	0 E+00	0 E+00
00008	X	1,355 5	0,023 3	0,007 4	6,0251 E-05	3,3715 E-03	2,9515 E-05	0,328 6	0,005 6	0,001 8	1,4607 E-05	8,1733 E-04	7,1547 E-06
00008	Y	0,023 5	1,296 4	0,033 6	3,1992 E-03	4,5267 E-05	6,2477 E-05	0,005 5	0,303 4	0,007 9	7,4878 E-04	1,059 E-05	1,4623 E-05
00008	Z	0,000 0	0,000 0	0,000 0	0 E+00	0 E+00	0 E+00	0,000 0	0,000 0	0,000 0	0 E+00	0 E+00	0 E+00
00009	X	0,000 0	0,000 0	0,004 3	9,9428 E-06	4,034 E-04	0 E+00	0,000 0	0,000 0	0,001 1	2,41 E-06	9,7807 E-05	0 E+00
00009	Y	0,000 0	0,000 0	0,029 1	6,451 E-04	2,7666 E-05	0 E+00	0,000 0	0,000 0	0,006 8	1,5103 E-04	6,4969 E-06	0 E+00
00009	Z	0,000 0	0,000 0	0,000 0	0 E+00	0 E+00	0 E+00	0,000 0	0,000 0	0,000 0	0 E+00	0 E+00	0 E+00
00010	X	1,334 6	0,023 3	0,005 7	5,5943 E-05	3,3235 E-03	3,0766 E-05	0,323 5	0,005 6	0,001 4	1,356 E-05	8,0571 E-04	7,4584 E-06
00010	Y	0,022 6	1,296 4	0,034 8	3,1477 E-03	4,1694 E-05	5,9059 E-05	0,005 3	0,303 4	0,008 2	7,367 E-04	9,7522 E-06	1,3823 E-05
00010	Z	0,000 0	0,000 0	0,000 0	0 E+00	0 E+00	0 E+00	0,000 0	0,000 0	0,000 0	0 E+00	0 E+00	0 E+00

Nodi - Spostamenti per effetto del sisma													
Nodo	Dir	Stato Limite Ultimo						Stato Limite di Danno					
		S _x [cm]	S _y [cm]	S _z [cm]	Θ _x [rad]	Θ _y [rad]	Θ _z [rad]	S _x [cm]	S _y [cm]	S _z [cm]	Θ _x [rad]	Θ _y [rad]	Θ _z [rad]
		0	0	0				0	0	0			
00011	X	0,000	0,000	0,003	1,918 E-05	3,937 E-04	0 E+00	0,000	0,000	0,000	4,6498 E-06	9,5444 E-05	0 E+00
00011	Y	0,000	0,000	0,001	3,925 E-04	1,2058 E-05	0 E+00	0,000	0,000	0,000	9,1886 E-05	2,8234 E-06	0 E+00
00011	Z	0,000	0,000	0,000	0 E+00	0 E+00	0 E+00	0,000	0,000	0,000	0 E+00	0 E+00	0 E+00
00012	X	1,345	0,023	0,004	8,856 E-05	3,3397 E-03	3,1386 E-05	0,326	0,005	0,001	2,1469 E-05	8,0961 E-04	7,6086 E-06
00012	Y	0,000	1,296	0,002	2,2708 E-03	4,728 E-05	6,3044 E-05	0,000	0,303	0,000	5,3149 E-04	1,1066 E-05	1,4755 E-05
00012	Z	0,000	0,000	0,000	0 E+00	0 E+00	0 E+00	0,000	0,000	0,000	0 E+00	0 E+00	0 E+00
00013	X	0,000	0,000	0,001	1,4445 E-05	3,6508 E-04	0 E+00	0,000	0,000	0,000	3,5014 E-06	8,8503 E-05	0 E+00
00013	Y	0,000	0,000	0,008	3,884 E-04	1,2064 E-05	0 E+00	0,000	0,000	0,001	9,0908 E-05	2,8239 E-06	0 E+00
00013	Z	0,000	0,000	0,000	0 E+00	0 E+00	0 E+00	0,000	0,000	0,000	0 E+00	0 E+00	0 E+00
00014	X	1,343	0,005	0,002	5,4415 E-05	3,3278 E-03	3,1108 E-05	0,325	0,001	0,000	1,319 E-05	8,0671 E-04	7,5411 E-06
00014	Y	0,003	1,263	0,011	2,0462 E-03	3,4051 E-05	6,3742 E-05	0,000	0,295	0,002	4,789 E-04	7,9654 E-06	1,4919 E-05
00014	Z	0,000	0,000	0,000	0 E+00	0 E+00	0 E+00	0,000	0,000	0,000	0 E+00	0 E+00	0 E+00
00015	X	0,000	0,000	0,003	1,2657 E-05	3,6749 E-04	0 E+00	0,000	0,000	0,000	3,0691 E-06	8,9089 E-05	0 E+00
00015	Y	0,000	0,000	0,036	6,0956 E-04	4,962 E-06	0 E+00	0,000	0,000	0,008	1,4267 E-04	1,161 E-06	0 E+00
00015	Z	0,000	0,000	0,000	0 E+00	0 E+00	0 E+00	0,000	0,000	0,000	0 E+00	0 E+00	0 E+00
00016	X	1,334	0,005	0,004	1,4256 E-05	3,3057 E-03	3,0405 E-05	0,323	0,001	0,001	3,4558 E-06	8,0135 E-04	7,3707 E-06
00016	Y	0,022	1,263	0,043	2,7839 E-03	5,1571 E-05	5,9164 E-05	0,005	0,295	0,010	6,5156 E-04	1,207 E-05	1,3847 E-05
00016	Z	0,000	0,000	0,000	0 E+00	0 E+00	0 E+00	0,000	0,000	0,000	0 E+00	0 E+00	0 E+00
00017	X	0,000	0,000	0,002	5,844 E-06	3,7245 E-04	0 E+00	0,000	0,000	0,000	1,4248 E-06	9,0292 E-05	0 E+00
00017	Y	0,000	0,000	0,025	6,6806 E-04	7,0129 E-06	0 E+00	0,000	0,000	0,006	1,5639 E-04	1,6416 E-06	0 E+00
00017	Z	0,000	0,000	0,000	0 E+00	0 E+00	0 E+00	0,000	0,000	0,000	0 E+00	0 E+00	0 E+00
00018	X	1,355	0,005	0,003	1,621 E-05	3,3535 E-03	3,0673 E-05	0,328	0,001	0,000	3,9292 E-06	8,1295 E-04	7,4357 E-06
00018	Y	0,023	1,263	0,030	3,0423 E-03	5,4588 E-05	6,3249 E-05	0,005	0,295	0,007	7,1205 E-04	1,2773 E-05	1,4803 E-05
00018	Z	0,000	0,000	0,000	0 E+00	0 E+00	0 E+00	0,000	0,000	0,000	0 E+00	0 E+00	0 E+00
00019	X	0,000	0,000	0,002	8,4481 E-06	3,6553 E-04	0 E+00	0,000	0,000	0,000	2,0472 E-06	8,8615 E-05	0 E+00
00019	Y	0,000	0,000	0,035	5,9642 E-04	8,3584 E-06	0 E+00	0,000	0,000	0,008	1,396 E-04	1,9571 E-06	0 E+00
00019	Z	0,000	0,000	0,000	0 E+00	0 E+00	0 E+00	0,000	0,000	0,000	0 E+00	0 E+00	0 E+00
00020	X	1,334	0,008	0,002	2,0005 E-05	3,1898 E-03	3,027 E-05	0,323	0,002	0,000	4,8497 E-06	7,7326 E-04	7,338 E-06
00020	Y	0,022	1,237	0,042	2,7211 E-03	4,9869 E-05	6,3819 E-05	0,005	0,289	0,009	6,3686 E-04	1,1674 E-05	1,4937 E-05
00020	Z	0,000	0,000	0,000	0 E+00	0 E+00	0 E+00	0,000	0,000	0,000	0 E+00	0 E+00	0 E+00
00021	X	0,000	0,000	0,001	6,5875 E-06	3,6307 E-04	0 E+00	0,000	0,000	0,000	1,5962 E-06	8,8017 E-05	0 E+00
00021	Y	0,000	0,000	0,008	3,8259 E-04	4,4756 E-06	0 E+00	0,000	0,000	0,002	8,9551 E-05	1,0477 E-06	0 E+00
00021	Z	0,000	0,000	0,000	0 E+00	0 E+00	0 E+00	0,000	0,000	0,000	0 E+00	0 E+00	0 E+00
00022	X	1,343	0,008	0,001	2,8564 E-05	3,2152 E-03	3,0866 E-05	0,325	0,002	0,000	6,9234 E-06	7,7942 E-04	7,4826 E-06
00022	Y	0,003	1,237	0,011	2,0025 E-03	2,1779 E-05	6,4493 E-05	0,000	0,289	0,002	4,6869 E-04	5,0983 E-06	1,5094 E-05
00022	Z	0,000	0,000	0,000	0 E+00	0 E+00	0 E+00	0,000	0,000	0,000	0 E+00	0 E+00	0 E+00
00023	X	0,000	0,000	0,001	2,2078 E-06	3,7124 E-04	0 E+00	0,000	0,000	0,000	5,434 E-07	8,9998 E-05	0 E+00
00023	Y	0,000	0,000	0,025	6,5713 E-04	7,3948 E-06	0 E+00	0,000	0,000	0,005	1,5382 E-04	1,7313 E-06	0 E+00
00023	Z	0,000	0,000	0,000	0 E+00	0 E+00	0 E+00	0,000	0,000	0,000	0 E+00	0 E+00	0 E+00
00024	X	1,355	0,008	0,002	2,1665 E-05	3,2546 E-03	3,0252 E-05	0,328	0,002	0,000	5,2514 E-06	7,8897 E-04	7,3336 E-06
00024	Y	0,023	1,237	0,029	2,9735 E-03	5,1492 E-05	6,1792 E-05	0,005	0,289	0,007	6,9595 E-04	1,2053 E-05	1,4462 E-05
00024	Z	0,000	0,000	0,000	0 E+00	0 E+00	0 E+00	0,000	0,000	0,000	0 E+00	0 E+00	0 E+00

Nodi - Spostamenti per effetto del sisma													
Nodo	Di r	Stato Limite Ultimo						Stato Limite di Danno					
		S _x [cm]	S _y [cm]	S _z [cm]	Θ _x [rad]	Θ _y [rad]	Θ _z [rad]	S _x [cm]	S _y [cm]	S _z [cm]	Θ _x [rad]	Θ _y [rad]	Θ _z [rad]
		0	0	0				0	0	0			
00025	X	0,000	0,000	0,007	7,4458 E-06	3,9931 E-04	0 E+00	0,000	0,000	0,001	1,8057 E-06	9,6822 E-05	0 E+00
		0	0	4				0	0	8			
00025	Y	0,000	0,000	0,031	5,9244 E-04	4,9126 E-05	0 E+00	0,000	0,000	0,007	1,3872 E-04	1,1523 E-05	0 E+00
		0	0	2				0	0	3			
00025	Z	0,000	0,000	0,000	0 E+00	0 E+00	0 E+00	0,000	0,000	0,000	0 E+00	0 E+00	0 E+00
		0	0	0				0	0	0			
00026	X	1,334	0,023	0,009	7,5645 E-05	3,0775 E-03	3,1498 E-05	0,323	0,005	0,002	1,8336 E-05	7,4605 E-04	7,6359 E-06
		5	9	1				5	8	2			
00026	Y	0,022	1,208	0,037	2,7274 E-03	8,4412 E-05	6,1144 E-05	0,005	0,282	0,008	6,3835 E-04	1,9772 E-05	1,431 E-05
		9	5	7				4	8	9			
00026	Z	0,000	0,000	0,000	0 E+00	0 E+00	0 E+00	0,000	0,000	0,000	0 E+00	0 E+00	0 E+00
		0	0	0				0	0	0			
00027	X	0,000	0,000	0,005	1,2228 E-05	3,8321 E-04	0 E+00	0,000	0,000	0,001	2,9634 E-06	9,2903 E-05	0 E+00
		0	0	6				0	0	4			
00027	Y	0,000	0,000	0,006	3,743 E-04	4,5173 E-06	0 E+00	0,000	0,000	0,001	8,7629 E-05	1,0608 E-06	0 E+00
		0	0	6				0	0	5			
00027	Z	0,000	0,000	0,000	0 E+00	0 E+00	0 E+00	0,000	0,000	0,000	0 E+00	0 E+00	0 E+00
		0	0	0				0	0	0			
00028	X	1,343	0,024	0,007	8,4787 E-05	3,0755 E-03	3,1645 E-05	0,325	0,005	0,001	2,0554 E-05	7,4556 E-04	7,6713 E-06
		5	0	8				7	8	9			
00028	Y	0,002	1,208	0,008	1,9657 E-03	4,4328 E-05	6,4972 E-05	0,000	0,282	0,002	4,601 E-04	1,0374 E-05	1,5206 E-05
		9	1	6				7	8	0			
00028	Z	0,000	0,000	0,000	0 E+00	0 E+00	0 E+00	0,000	0,000	0,000	0 E+00	0 E+00	0 E+00
		0	0	0				0	0	0			
00029	X	0,000	0,000	0,009	2,9834 E-05	4,0362 E-04	0 E+00	0,000	0,000	0,002	7,2374 E-06	9,7869 E-05	0 E+00
		0	0	4				0	0	3			
00029	Y	0,000	0,000	0,024	6,4346 E-04	3,8154 E-05	0 E+00	0,000	0,000	0,005	1,5069 E-04	8,9526 E-06	0 E+00
		0	0	9				0	0	9			
00029	Z	0,000	0,000	0,000	0 E+00	0 E+00	0 E+00	0,000	0,000	0,000	0 E+00	0 E+00	0 E+00
		0	0	0				0	0	0			
00030	X	1,355	0,024	0,011	8,1462 E-05	3,1104 E-03	3,0068 E-05	0,328	0,005	0,002	1,975 E-05	7,5405 E-04	7,2888 E-06
		5	2	7				6	9	8			
00030	Y	0,023	1,207	0,029	2,8521 E-03	4,2022 E-05	6,6489 E-05	0,005	0,282	0,006	6,6754 E-04	9,8381 E-06	1,5561 E-05
		9	8	6				6	7	9			
00030	Z	0,000	0,000	0,000	0 E+00	0 E+00	0 E+00	0,000	0,000	0,000	0 E+00	0 E+00	0 E+00
		0	0	0				0	0	0			
00031	X	0,000	0,000	0,056	1,975 E-04	7,6743 E-04	0 E+00	0,000	0,000	0,013	4,7992 E-05	1,8618 E-04	0 E+00
		0	0	0				0	0	6			
00031	Y	0,000	0,000	0,066	7,282 E-04	2,6432 E-04	0 E+00	0,000	0,000	0,015	1,7063 E-04	6,2046 E-05	0 E+00
		0	0	0				0	0	5			
00031	Z	0,000	0,000	0,000	0 E+00	0 E+00	0 E+00	0,000	0,000	0,000	0 E+00	0 E+00	0 E+00
		0	0	0				0	0	0			
00032	X	1,334	0,036	0,060	8,802 E-05	3,8414 E-03	3,042 E-05	0,323	0,008	0,014	2,1348 E-05	9,3123 E-04	7,3743 E-06
		6	0	3				5	7	7			
00032	Y	0,022	1,185	0,072	2,7209 E-03	3,3713 E-05	6,3094 E-05	0,005	0,277	0,017	6,3686 E-04	7,8974 E-06	1,4767 E-05
		9	8	3				4	5	0			
00032	Z	0,000	0,000	0,000	0 E+00	0 E+00	0 E+00	0,000	0,000	0,000	0 E+00	0 E+00	0 E+00
		0	0	0				0	0	0			
00033	X	0,000	0,000	0,027	3,9621 E-05	6,6179 E-04	0 E+00	0,000	0,000	0,006	9,6209 E-06	1,6047 E-04	0 E+00
		0	0	1				0	0	6			
00033	Y	0,000	0,000	0,009	4,1558 E-04	1,692 E-05	0 E+00	0,000	0,000	0,002	9,7341 E-05	3,9298 E-06	0 E+00
		0	0	4				0	0	2			
00033	Z	0,000	0,000	0,000	0 E+00	0 E+00	0 E+00	0,000	0,000	0,000	0 E+00	0 E+00	0 E+00
		0	0	0				0	0	0			
00034	X	1,343	0,036	0,032	7,3718 E-05	3,8445 E-03	3,2093 E-05	0,325	0,008	0,007	1,7877 E-05	9,3198 E-04	7,7799 E-06
		6	0	0				7	7	8			
00034	Y	0,002	1,185	0,011	2,1034 E-03	9,4271 E-06	6,6218 E-05	0,000	0,277	0,002	4,9238 E-04	2,2041 E-06	1,5498 E-05
		9	7	8				7	5	7			
00034	Z	0,000	0,000	0,000	0 E+00	0 E+00	0 E+00	0,000	0,000	0,000	0 E+00	0 E+00	0 E+00
		0	0	0				0	0	0			
00035	X	0,000	0,000	0,054	2,0433 E-04	7,6524 E-04	0 E+00	0,000	0,000	0,013	4,9673 E-05	1,8566 E-04	0 E+00
		0	0	7				0	0	3			
00035	Y	0,000	0,000	0,049	7,3167 E-04	2,0624 E-04	0 E+00	0,000	0,000	0,011	1,7144 E-04	4,8421 E-05	0 E+00
		0	0	9				0	0	7			
00035	Z	0,000	0,000	0,000	0 E+00	0 E+00	0 E+00	0,000	0,000	0,000	0 E+00	0 E+00	0 E+00
		0	0	0				0	0	0			
00036	X	1,355	0,036	0,059	1,1949 E-04	3,8531 E-03	2,9771 E-05	0,328	0,008	0,014	2,8966 E-05	9,3407 E-04	7,2171 E-06
		5	0	1				6	7	4			
00036	Y	0,023	1,185	0,053	3,084 E-03	3,9539 E-05	6,4682 E-05	0,005	0,277	0,012	7,2179 E-04	9,2574 E-06	1,5139 E-05
		9	9	7				6	5	6			
00036	Z	0,000	0,000	0,000	0 E+00	0 E+00	0 E+00	0,000	0,000	0,000	0 E+00	0 E+00	0 E+00
		0	0	0				0	0	0			
00037	X	0,000	0,000	0,024	5,1633 E-05	3,3552 E-04	0 E+00	0,000	0,000	0,006	1,2939 E-05	8,3994 E-05	0 E+00
		0	0	8				0	0	2			
00037	Y	0,000	0,000	0,044	5,6913 E-04	1,8449 E-04	0 E+00	0,000	0,000	0,010	1,3708 E-04	4,4478 E-05	0 E+00
		0	0	0				0	0	6			
00037	Z	0,000	0,000	0,000	0 E+00	0 E+00	0 E+00	0,000	0,000	0,000	0 E+00	0 E+00	0 E+00
		0	0	0				0	0	0			
00038	X	0,000	0,000	0,000	2,8512 E-06	1,9123 E-04	0 E+00	0,000	0,000	0,000	7,1466 E-07	4,7874 E-05	0 E+00
		0	0	3				0	0	1			
00038	Y	0,000	0,000	0,022	3,8791 E-04	1,0204 E-06	0 E+00	0,000	0,000	0,005	9,3298 E-05	1,4993 E-07	0 E+00
		0	0	2				0	0	3			
00038	Z	0,000	0,000	0,000	0 E+00	0 E+00	0 E+00	0,000	0,000	0,000	0 E+00	0 E+00	0 E+00
		0	0	0				0	0	0			

Nodi - Spostamenti per effetto del sisma													
Nodo	Dir	Stato Limite Ultimo						Stato Limite di Danno					
		S _x [cm]	S _y [cm]	S _z [cm]	Θ _x [rad]	Θ _y [rad]	Θ _z [rad]	S _x [cm]	S _y [cm]	S _z [cm]	Θ _x [rad]	Θ _y [rad]	Θ _z [rad]
		0	0	0				0	0	0			
00039	X	0,000	0,000	0,023	4,9655 E-05	3,3619 E-04	0 E+00	0,000	0,000	0,005	1,2467 E-05	8,4215 E-05	0 E+00
00039	Y	0,000	0,000	0,046	6,0367 E-04	1,9809 E-04	0 E+00	0,000	0,000	0,011	1,4521 E-04	4,7662 E-05	0 E+00
00039	Z	0,000	0,000	0,000	0 E+00	0 E+00	0 E+00	0,000	0,000	0,000	0 E+00	0 E+00	0 E+00
00040	X	0,000	0,000	0,024	5,0679 E-05	3,3522 E-04	0 E+00	0,000	0,000	0,006	1,2699 E-05	8,3918 E-05	0 E+00
00040	Y	0,000	0,000	0,044	5,7007 E-04	1,8384 E-04	0 E+00	0,000	0,000	0,010	1,3731 E-04	4,4333 E-05	0 E+00
00040	Z	0,000	0,000	0,000	0 E+00	0 E+00	0 E+00	0,000	0,000	0,000	0 E+00	0 E+00	0 E+00
00041	X	0,000	0,000	0,023	4,9257 E-05	3,3619 E-04	0 E+00	0,000	0,000	0,005	1,2352 E-05	8,4206 E-05	0 E+00
00041	Y	0,000	0,000	0,046	6,0367 E-04	1,9827 E-04	0 E+00	0,000	0,000	0,011	1,4521 E-04	4,7703 E-05	0 E+00
00041	Z	0,000	0,000	0,000	0 E+00	0 E+00	0 E+00	0,000	0,000	0,000	0 E+00	0 E+00	0 E+00
00042	X	0,000	0,000	0,000	3,0025 E-06	1,912 E-04	0 E+00	0,000	0,000	0,000	7,5009 E-07	4,7865 E-05	0 E+00
00042	Y	0,000	0,000	0,022	3,8706 E-04	1,17 E-06	0 E+00	0,000	0,000	0,005	9,3094 E-05	1,7457 E-07	0 E+00
00042	Z	0,000	0,000	0,000	0 E+00	0 E+00	0 E+00	0,000	0,000	0,000	0 E+00	0 E+00	0 E+00
00043	X	0,575	0,000	0,027	1,5296 E-07	8,4596 E-04	1,1848 E-05	0,143	0,000	0,006	4,0045 E-08	2,1163 E-04	2,9627 E-06
00043	Y	0,008	0,644	0,048	1,019 E-03	4,049 E-05	7,6086 E-05	0,002	0,154	0,011	2,4512 E-04	9,7657 E-06	1,8289 E-05
00043	Z	0,000	0,000	0,000	0 E+00	0 E+00	0 E+00	0,000	0,000	0,000	0 E+00	0 E+00	0 E+00
00044	X	0,575	0,000	0,000	2,1868 E-06	5,7398 E-04	1,6756 E-05	0,143	0,000	0,000	5,4506 E-07	1,4363 E-04	4,1903 E-06
00044	Y	0,008	0,666	0,028	9,5017 E-04	1,3969 E-05	7,5723 E-05	0,002	0,160	0,006	2,2844 E-04	3,3791 E-06	1,8203 E-05
00044	Z	0,000	0,000	0,000	0 E+00	0 E+00	0 E+00	0,000	0,000	0,000	0 E+00	0 E+00	0 E+00
00045	X	0,575	0,000	0,026	1,5864 E-06	8,6688 E-04	1,2359 E-05	0,143	0,000	0,006	3,9395 E-07	2,1689 E-04	3,0911 E-06
00045	Y	0,008	0,688	0,051	1,0808 E-03	2,0015 E-05	7,4843 E-05	0,002	0,165	0,012	2,5984 E-04	4,8132 E-06	1,7989 E-05
00045	Z	0,000	0,000	0,000	0 E+00	0 E+00	0 E+00	0,000	0,000	0,000	0 E+00	0 E+00	0 E+00
00046	X	0,575	0,000	0,027	2,1777 E-06	8,4652 E-04	1,5507 E-05	0,144	0,000	0,006	5,4646 E-07	2,1177 E-04	3,8776 E-06
00046	Y	0,008	0,644	0,048	1,0189 E-03	3,9269 E-05	7,6053 E-05	0,002	0,154	0,011	2,4511 E-04	9,478 E-06	1,8282 E-05
00046	Z	0,000	0,000	0,000	0 E+00	0 E+00	0 E+00	0,000	0,000	0,000	0 E+00	0 E+00	0 E+00
00047	X	0,575	0,000	0,000	1,4052 E-06	5,7417 E-04	1,4718 E-05	0,144	0,000	0,000	3,5322 E-07	1,4368 E-04	3,6809 E-06
00047	Y	0,008	0,666	0,028	9,5042 E-04	1,3315 E-05	7,5727 E-05	0,002	0,160	0,006	2,285 E-04	3,225 E-06	1,8204 E-05
00047	Z	0,000	0,000	0,000	0 E+00	0 E+00	0 E+00	0,000	0,000	0,000	0 E+00	0 E+00	0 E+00
00048	X	0,575	0,000	0,026	2,2983 E-06	8,675 E-04	1,6044 E-05	0,144	0,000	0,006	5,8261 E-07	2,1704 E-04	4,0126 E-06
00048	Y	0,008	0,688	0,051	1,0808 E-03	1,9988 E-05	7,487 E-05	0,002	0,165	0,012	2,5984 E-04	4,8045 E-06	1,7996 E-05
00048	Z	0,000	0,000	0,000	0 E+00	0 E+00	0 E+00	0,000	0,000	0,000	0 E+00	0 E+00	0 E+00

LEGENDA:

Dir Direzione del sisma.
S_x, S_y, S_z Le componenti dello spostamento sono relative al sistema di riferimento globale X, Y, Z.
Θ_x, Θ_y, Θ_z

PILASTRI - SOLLECITAZIONI PER CONDIZIONI DI CARICO NON SISMICHE

IdPil	CC	Pilastri - Sollecitazioni per condizioni di carico non sismiche											Lv	
		Estr. Inf.						Estr. Sup.						
		M ₁ [N-m]	M ₂ [N-m]	M ₃ [N-m]	N [N]	T ₂ [N]	T ₃ [N]	M ₁ [N-m]	M ₂ [N-m]	M ₃ [N-m]	N [N]	T ₂ [N]		T ₃ [N]
Pilastrata: Pilastrata 1														
Pilastro 1	001	-4	645	-1 312	28 703	-2 462	522	-4	2 081	5 459	21 053	-2 462	522	01
	002	-1	209	-568	6 583	-881	61	-1	376	1 854	6 583	-881	61	01
	003	0	61	-233	2 437	-340	31	0	147	701	2 437	-340	31	01
	004	0	87	-336	3 512	-489	46	0	214	1 010	3 512	-489	46	01
	005	104	1 247	-314	-190	-533	-1 404	104	-361	-27	-190	325	235	01
	006	-1	-1 010	-219	132	-483	927	-1	398	-75	132	378	97	01
	007	-139	-352	2 270	-625	2 081	532	-139	0	-1 055	-625	337	-276	01
	008	40	-158	-1 982	617	-1 559	444	40	-49	1 095	617	-679	-364	01
Pilastrata: Pilastrata 2														

Pilastri - Sollecitazioni per condizioni di carico non sismiche

IdPil	CC	Estr. Inf.						Estr. Sup.						Lv
		M ₁	M ₂	M ₃	N	T ₂	T ₃	M ₁	M ₂	M ₃	N	T ₂	T ₃	
		[N-m]	[N-m]	[N-m]	[N]	[N]	[N]	[N-m]	[N-m]	[N-m]	[N]	[N]	[N]	
Pilastro 2	001	-15	-321	-3 114	48 474	-4 528	582	-15	1 280	9 339	40 824	-4 528	582	01
	002	-5	-101	-1 260	13 221	-1 743	165	-5	351	3 532	13 221	-1 743	165	01
	003	-2	-44	-548	4 888	-691	66	-2	139	1 353	4 888	-691	66	01
	004	-3	-63	-789	7 041	-996	95	-3	199	1 948	7 041	-996	95	01
	005	27	900	-552	-1	-959	-568	27	-607	-47	-1	592	-529	01
	006	12	-937	-482	-145	-914	596	12	650	-101	-145	637	557	01
	007	-70	-5	3 793	-928	3 562	-3	-70	-13	-1 733	-928	457	-3	01
	008	49	38	-3 202	1 009	-2 578	-29	49	-41	1 755	1 009	-1 027	-29	01
Pilastrata: Pilastrata 3														
Pilastro 3	001	-16	886	-4 565	54 568	-6 786	-981	-16	-1 811	14 095	46 919	-6 786	-981	01
	002	-5	210	-1 781	15 410	-2 553	-236	-5	-439	5 240	15 410	-2 553	-236	01
	003	-2	75	-747	5 698	-993	-86	-2	-161	1 983	5 698	-993	-86	01
	004	-3	108	-1 076	8 202	-1 430	-124	-3	-232	2 855	8 202	-1 430	-124	01
	005	-2	910	-420	-136	-879	-578	-2	-626	-142	-136	677	-529	01
	006	-24	-942	-457	-13	-901	598	-24	648	-118	-13	655	559	01
	007	35	4	3 822	-829	3 593	-2	35	-2	-1 771	-829	475	-2	01
	008	-24	32	-3 459	918	-2 748	-19	-24	-22	1 956	918	-1 191	-19	01
Pilastrata: Pilastrata 4														
Pilastro 4	001	1	-397	-4 262	51 629	-6 418	458	1	864	13 386	43 979	-6 418	458	01
	002	1	-97	-1 655	14 405	-2 401	111	1	208	4 948	14 405	-2 401	111	01
	003	0	-37	-702	5 329	-938	42	0	79	1 876	5 329	-938	42	01
	004	0	-53	-1 011	7 672	-1 350	61	0	114	2 702	7 672	-1 350	61	01
	005	20	915	-454	-35	-889	-586	20	-641	-110	-35	640	-547	01
	006	-3	-964	-460	-100	-893	617	-3	679	-107	-100	636	578	01
	007	-7	3	3 652	-785	3 467	-2	-7	-3	-1 674	-785	406	-2	01
	008	-3	69	-3 233	858	-2 598	-45	-3	-55	1 809	858	-1 069	-45	01
Pilastrata: Pilastrata 5														
Pilastro 5	001	2	329	-3 467	47 791	-5 275	-572	2	-1 245	11 040	40 141	-5 275	-572	01
	002	1	104	-1 354	12 937	-1 962	-165	1	-349	4 043	12 937	-1 962	-165	01
	003	0	45	-585	4 781	-774	-67	0	-138	1 542	4 781	-774	-67	01
	004	0	65	-842	6 882	-1 114	-96	0	-199	2 221	6 882	-1 114	-96	01
	005	-4	926	-443	-166	-861	-601	-4	-673	-107	-166	616	-563	01
	006	-16	-974	-470	15	-876	626	-16	696	-91	15	601	588	01
	007	47	8	3 269	-698	3 195	5	47	20	-1 460	-698	244	5	01
	008	-42	69	-2 794	805	-2 316	-43	-42	-49	1 545	805	-839	-43	01
Pilastrata: Pilastrata 6														
Pilastro 6	001	1	-756	-1 516	28 113	-3 058	-99	1	-1 029	6 892	20 464	-3 058	-99	01
	002	1	-227	-617	6 344	-1 046	34	1	-133	2 260	6 344	-1 046	34	01
	003	0	-65	-253	2 352	-402	1	0	-62	852	2 352	-402	1	01
	004	0	-94	-364	3 385	-578	2	0	-89	1 226	3 385	-578	2	01
	005	23	1 013	-195	189	-453	-951	23	-417	-68	189	361	-89	01
	006	-106	-1 332	-294	-249	-504	1 489	-106	417	-27	-249	310	-217	01
	007	124	346	2 034	-463	1 889	-546	124	2	-893	-463	240	296	01
	008	-28	274	-1 776	466	-1 403	-519	-28	5	934	466	-568	323	01
Pilastrata: Pilastrata 7														
Pilastro 7	001	-6	1 288	268	48 053	260	-222	-6	678	-449	40 404	260	-222	01
	002	-2	506	96	12 995	92	-211	-2	-75	-156	12 995	92	-211	01
	003	-1	118	34	4 765	33	-43	-1	1	-57	4 765	33	-43	01
	004	-1	170	49	6 863	48	-60	-1	4	-82	6 863	48	-60	01
	005	-3	1 782	-17	-113	-10	-2 175	-3	-414	17	-113	-15	578	01
	006	6	-1 253	10	304	7	1 294	6	414	-9	304	7	-81	01
	007	14	-494	2 251	-92	1 531	860	14	-19	-1 913	-92	1 497	-515	01
	008	-16	-510	-2 226	-30	-1 514	868	-16	-14	1 891	-30	-1 480	-507	01
Pilastrata: Pilastrata 8														
Pilastro 8	001	-9	-742	664	78 711	597	1 040	-9	2 117	-978	71 061	597	1 040	01
	002	-3	-279	267	25 326	244	368	-3	734	-405	25 326	244	368	01
	003	-1	-120	96	9 225	88	149	-1	290	-147	9 225	88	149	01
	004	-1	-173	138	13 285	127	215	-1	417	-212	13 285	127	215	01
	005	0	1 057	-72	196	-47	-654	0	-742	56	196	-47	-654	01
	006	4	-988	-10	79	-10	617	4	708	17	79	-10	617	01
	007	-2	-13	3 537	-125	2 395	-5	-2	-26	-3 049	-125	2 395	-5	01
	008	-2	-85	-3 408	24	-2 307	54	-2	62	2 936	24	-2 307	54	01
Pilastrata: Pilastrata 9														
Pilastro 9	001	-6	1 089	4 350	81 023	4 452	-1 231	-6	-2 297	-7 893	73 373	4 452	-1 231	01
	002	-2	335	1 598	26 032	1 626	-384	-2	-720	-2 872	26 032	1 626	-384	01
	003	-1	122	601	9 493	606	-141	-1	-266	-1 065	9 493	606	-141	01
	004	-1	175	866	13 666	872	-203	-1	-382	-1 534	13 666	872	-203	01
	005	-1	1 020	88	103	62	-638	-1	-734	-82	103	62	-638	01
	006	6	-1 006	13	235	5	628	6	720	-1	235	5	628	01
	007	-12	4	3 659	-616	2 505	-8	-12	-17	-3 229	-616	2 505	-8	01
	008	8	-31	-3 807	451	-2 606	27	8	42	3 359	451	-2 606	27	01
Pilastrata: Pilastrata 10														
Pilastro 10	001	-2	-416	4 277	76 181	4 342	455	-2	836	-7 663	68 531	4 342	455	01
	002	-1	-126	1 573	24 219	1 589	136	-1	247	-2 796	24 219	1 589	136	01
	003	0	-48	590	8 824	591	52	0	94	-1 035	8 824	591	52	01
	004	0	-69	850	12 708	851	74	0	135	-1 491	12 708	851	74	01
	005	-2	1 014	15	203	8	-638	-2	-742	-7	203	8	-638	01
	006	6	-1 040	16	139	10	656	6	765	-12	139	10	656	01
	007	11	3	3 465	-608	2 371	0	11	2	-3 056	-608	2 371	0	01
	008	-18	41	-3 530	432	-2 415	-30	-18	-40	3 111	432	-2 415	-30	01
Pilastrata: Pilastrata 11														
Pilastro 11	001	-1	129	3 096	71 709	3 139	-354	-1	-846	-5 537	64 059	3 139	-354	01
	002	0	37	1 120	22 422	1 132	-105	0	-252	-1 994	22 422	1 132	-105	01
	003	0	35	419	8 143	420	-54	0	-115	-737	8 143	420	-54	01

Pilastri - Sollecitazioni per condizioni di carico non sismiche

IdPil	CC	Estr. Inf.						Estr. Sup.						Lv
		M ₁ [N-m]	M ₂ [N-m]	M ₃ [N-m]	N [N]	T ₂ [N]	T ₃ [N]	M ₁ [N-m]	M ₂ [N-m]	M ₃ [N-m]	N [N]	T ₂ [N]	T ₃ [N]	
	004	0	51	604	11 727	605	-79	0	-166	-1 061	11 727	605	-79	01
	005	3	1 019	7	65	2	-650	3	-768	2	65	2	-650	01
	006	2	-1 073	-25	219	-16	678	2	791	18	219	-16	678	01
	007	6	-7	2 992	-346	2 044	19	6	44	-2 630	-346	2 044	19	01
	008	-10	87	-2 962	256	-2 023	-56	-10	-68	2 601	256	-2 023	-56	01
Pilastrata: Pilastrata 12														
Pilastro 12	001	-2	-1 120	1 889	43 951	1 881	323	-2	-232	-3 285	36 301	1 881	323	01
	002	0	-422	644	11 416	630	204	0	138	-1 088	11 416	630	204	01
	003	0	-88	235	4 193	231	38	0	17	-399	4 193	231	38	01
	004	0	-127	337	6 035	332	54	0	23	-575	6 035	332	54	01
	005	-17	1 272	8	357	5	-1 311	-17	-450	-6	357	5	58	01
	006	34	-1 775	3	-159	0	2 171	34	428	3	-159	0	-568	01
	007	-14	466	2 028	-339	1 383	-838	-14	45	-1 727	-339	1 349	532	01
	008	-18	504	-2 024	199	-1 379	-860	-18	21	1 720	199	-1 345	509	01
Pilastrata: Pilastrata 13														
Pilastro 13	001	0	109	-538	13 898	-681	99	0	380	1 335	8 587	-681	99	01
	002	0	14	-189	2 035	-221	13	0	51	418	2 035	-221	13	01
	003	0	2	-69	752	-81	8	0	23	153	752	-81	8	01
	004	0	3	-100	1 083	-117	11	0	33	221	1 083	-117	11	01
	005	0	0	0	0	0	0	0	0	0	0	0	0	01
	006	0	0	0	0	0	0	0	0	0	0	0	0	01
	007	0	0	0	0	0	0	0	0	0	0	0	0	01
	008	0	0	0	0	0	0	0	0	0	0	0	0	01
Pilastrata: Pilastrata 14														
Pilastro 14	001	0	10	-846	23 208	-990	-2	0	5	1 876	17 897	-990	-2	01
	002	0	10	-313	4 356	-359	-9	0	-14	673	4 356	-359	-9	01
	003	0	3	-119	1 593	-134	-3	0	-5	249	1 593	-134	-3	01
	004	0	5	-171	2 294	-193	-4	0	-7	358	2 294	-193	-4	01
	005	0	0	0	0	0	0	0	0	0	0	0	0	01
	006	0	0	0	0	0	0	0	0	0	0	0	0	01
	007	0	0	0	0	0	0	0	0	0	0	0	0	01
	008	0	0	0	0	0	0	0	0	0	0	0	0	01
Pilastrata: Pilastrata 15														
Pilastro 15	001	1	-144	-561	14 311	-708	-95	1	-406	1 387	9 000	-708	-95	01
	002	0	-27	-199	2 143	-232	-4	0	-40	438	2 143	-232	-4	01
	003	0	-7	-73	792	-85	-4	0	-19	161	792	-85	-4	01
	004	0	-10	-105	1 141	-123	-6	0	-27	232	1 141	-123	-6	01
	005	0	0	0	0	0	0	0	0	0	0	0	0	01
	006	0	0	0	0	0	0	0	0	0	0	0	0	01
	007	0	0	0	0	0	0	0	0	0	0	0	0	01
	008	0	0	0	0	0	0	0	0	0	0	0	0	01
Pilastrata: Pilastrata 16														
Pilastro 16	001	0	111	537	13 892	681	96	0	376	-1 336	8 580	681	96	01
	002	0	15	189	2 033	221	13	0	50	-418	2 033	221	13	01
	003	0	2	69	751	81	7	0	22	-154	751	81	7	01
	004	0	3	100	1 082	117	11	0	32	-221	1 082	117	11	01
	005	0	0	0	0	0	0	0	0	0	0	0	0	01
	006	0	0	0	0	0	0	0	0	0	0	0	0	01
	007	0	0	0	0	0	0	0	0	0	0	0	0	01
	008	0	0	0	0	0	0	0	0	0	0	0	0	01
Pilastrata: Pilastrata 17														
Pilastro 17	001	0	12	848	23 277	989	-3	0	3	-1 873	17 966	989	-3	01
	002	0	10	314	4 377	359	-9	0	-14	-673	4 377	359	-9	01
	003	0	4	119	1 601	134	-3	0	-5	-249	1 601	134	-3	01
	004	0	5	172	2 305	193	-5	0	-7	-358	2 305	193	-5	01
	005	0	0	0	0	0	0	0	0	0	0	0	0	01
	006	0	0	0	0	0	0	0	0	0	0	0	0	01
	007	0	0	0	0	0	0	0	0	0	0	0	0	01
	008	0	0	0	0	0	0	0	0	0	0	0	0	01
Pilastrata: Pilastrata 18														
Pilastro 18	001	-1	-145	563	14 320	709	-95	-1	-405	-1 388	9 008	709	-95	01
	002	0	-28	199	2 146	232	-4	0	-39	-439	2 146	232	-4	01
	003	0	-7	73	793	85	-4	0	-19	-161	793	85	-4	01
	004	0	-10	105	1 142	123	-6	0	-27	-232	1 142	123	-6	01
	005	0	0	0	0	0	0	0	0	0	0	0	0	01
	006	0	0	0	0	0	0	0	0	0	0	0	0	01
	007	0	0	0	0	0	0	0	0	0	0	0	0	01
	008	0	0	0	0	0	0	0	0	0	0	0	0	01
Pilastrata: Pilastrata 19														
Pilastro 19	001	-7	533	1 231	28 113	2 227	590	-7	2 156	-4 895	20 463	2 227	590	01
	002	-2	174	540	6 391	802	82	-2	401	-1 666	6 391	802	82	01
	003	-1	48	221	2 367	310	39	-1	156	-631	2 367	310	39	01
	004	-1	69	318	3 409	446	57	-1	227	-909	3 409	446	57	01
	005	-93	1 242	286	-207	519	-1 395	-93	-363	47	-207	-345	228	01
	006	6	-950	238	123	494	888	6	364	64	123	-367	68	01
	007	-50	-181	2 011	666	1 581	454	-50	-29	-1 127	666	701	-343	01
	008	128	-392	-2 264	-637	-2 082	551	128	26	1 064	-637	-338	-247	01
Pilastrata: Pilastrata 20														
Pilastro 20	001	-22	-372	2 973	47 576	4 053	600	-22	1 277	-8 174	39 927	4 053	600	01
	002	-8	-116	1 195	12 865	1 556	168	-8	347	-3 083	12 865	1 556	168	01
	003	-3	-49	517	4 758	618	67	-3	137	-1 183	4 758	618	67	01
	004	-4	-70	744	6 852	890	97	-4	196	-1 704	6 852	890	97	01
	005	-30	902	413	-59	869	-569	-30	-608	154	-59	-682	-530	01
	006	-7	-870	484	-134	916	554	-7	599	98	-134	-635	515	01

Pilastri - Sollecitazioni per condizioni di carico non sismiche

IdPil	CC	Estr. Inf.						Estr. Sup.						Lv
		M ₁	M ₂	M ₃	N	T ₂	T ₃	M ₁	M ₂	M ₃	N	T ₂	T ₃	
		[N-m]	[N-m]	[N-m]	[N]	[N]	[N]	[N-m]	[N-m]	[N-m]	[N]	[N]	[N]	
	007	-50	5	3 330	1 099	2 666	-7	-50	-15	-1 869	1 099	1 115	-7	01
	008	71	-58	-3 708	-950	-3 515	30	71	25	1 691	-950	-411	30	01
Pilastrata: Pilastrata 21														
Pilastro 21	001	-9	857	1 836	40 196	2 150	-972	-9	-1 817	-4 077	32 546	2 150	-972	01
	002	-3	206	755	10 240	846	-238	-3	-448	-1 571	10 240	846	-238	01
	003	-1	73	361	3 817	363	-87	-1	-165	-638	3 817	363	-87	01
	004	-2	106	520	5 495	523	-125	-2	-237	-918	5 495	523	-125	01
	005	-1	913	542	-137	949	-579	-1	-627	73	-137	-608	-540	01
	006	36	-872	496	-35	921	553	36	595	102	-35	-635	514	01
	007	30	-3	3 472	1 453	2 791	2	30	2	-2 063	1 453	1 235	2	01
	008	-46	-51	-4 073	-1 408	-3 780	33	-46	41	2 035	-1 408	-662	33	01
Pilastrata: Pilastrata 22														
Pilastro 22	001	6	-385	1 694	37 734	1 964	411	6	745	-3 707	30 084	1 964	411	01
	002	2	-100	689	9 453	765	104	2	186	-1 415	9 453	765	104	01
	003	1	-38	336	3 527	333	40	1	71	-580	3 527	333	40	01
	004	1	-55	483	5 077	479	57	1	102	-835	5 077	479	57	01
	005	-19	920	477	-64	895	-589	-19	-648	108	-64	-626	-551	01
	006	15	-890	474	-124	893	571	15	626	110	-124	-628	533	01
	007	2	32	3 305	1 372	2 673	-22	2	-29	-1 955	1 372	1 152	-22	01
	008	-7	-58	-3 824	-1 305	-3 597	38	-7	47	1 875	-1 305	-547	38	01
Pilastrata: Pilastrata 23														
Pilastro 23	001	7	68	1 738	37 920	2 198	-275	7	-689	-4 307	30 271	2 198	-275	01
	002	3	24	702	9 464	844	-74	3	-180	-1 620	9 464	844	-74	01
	003	1	14	336	3 516	359	-32	1	-74	-650	3 516	359	-32	01
	004	2	21	483	5 064	516	-47	2	-107	-937	5 064	516	-47	01
	005	-1	927	458	-167	865	-601	-1	-676	109	-167	-612	-564	01
	006	31	-888	427	-52	847	570	31	629	129	-52	-630	533	01
	007	48	4	2 886	1 129	2 385	5	48	16	-1 643	1 129	909	5	01
	008	-71	-37	-3 313	-972	-3 234	28	-71	40	1 511	-972	-275	28	01
Pilastrata: Pilastrata 24														
Pilastro 24	001	-1	-567	813	23 352	1 262	-274	-1	-1 321	-2 657	15 702	1 262	-274	01
	002	0	-165	372	4 834	462	-20	0	-219	-898	4 834	462	-20	01
	003	0	-43	159	1 799	184	-18	0	-92	-348	1 799	184	-18	01
	004	0	-61	229	2 589	266	-26	0	-133	-502	2 589	266	-26	01
	005	-3	977	226	163	468	-895	-3	-411	69	163	-354	-115	01
	006	63	-1 194	280	-236	498	1 338	63	370	42	-236	-325	-201	01
	007	45	191	1 863	736	1 494	-441	45	22	-1 089	736	653	318	01
	008	-98	279	-2 113	-734	-1 976	-469	-98	34	1 030	-734	-310	290	01

LEGENDA:

- IdPil** Identificativo del Pilastro.
- CC** Identificativo della tipologia di carico nella relativa tabella.
- Lv** Identificativo del livello, nella relativa tabella.
- Estr.** Sollecitazione caratteristiche relative al sistema di riferimento locale 1, 2, 3 (N > 0: compressione).
- Inf./Sup.**

PILASTRI - SOLLECITAZIONI PER EFFETTO DEL SISMA

Pilastri - Sollecitazioni per effetto del sisma

IdPil	Dir	Dist r	Estr. Inf.						Estr. Sup.						Lv
			M ₁	M ₂	M ₃	N	T ₂	T ₃	M ₁	M ₂	M ₃	N	T ₂	T ₃	
			[N-m]	[N-m]	[N-m]	[N]	[N]	[N]	[N-m]	[N-m]	[N-m]	[N]	[N]	[N]	
Pilastrata: Pilastrata 1															
Pilastro 1	X	-	31	21 333	1 594	6 036	895	12 169	31	12 133	865	6 036	895	12 169	01
	Y	-	55	1 587	22 263	9 111	13 809	796	55	604	15 710	9 111	13 809	796	01
	Z	-	0	0	0	0	0	0	0	0	0	0	0	0	01
Pilastrata: Pilastrata 2															
Pilastro 2	X	-	28	25 777	378	2 995	233	15 796	28	17 659	259	2 995	233	15 796	01
	Y	-	60	625	22 547	9 549	13 944	389	60	447	15 804	9 549	13 944	389	01
	Z	-	0	0	0	0	0	0	0	0	0	0	0	0	01
Pilastrata: Pilastrata 3															
Pilastro 3	X	-	28	26 032	140	1 791	79	15 964	28	17 865	82	1 791	79	15 964	01
	Y	-	59	449	22 052	7 880	13 753	281	59	324	15 769	7 880	13 753	281	01
	Z	-	0	0	0	0	0	0	0	0	0	0	0	0	01
Pilastrata: Pilastrata 4															
Pilastro 4	X	-	28	26 366	178	1 066	109	16 300	28	18 466	116	1 066	109	16 300	01
	Y	-	59	459	21 583	7 806	13 470	292	59	345	15 455	7 806	13 470	292	01
	Z	-	0	0	0	0	0	0	0	0	0	0	0	0	01
Pilastrata: Pilastrata 5															
Pilastro 5	X	-	28	26 672	283	4 208	158	16 699	28	19 251	153	4 208	158	16 699	01
	Y	-	60	352	21 222	8 201	13 312	249	60	333	15 379	8 201	13 312	249	01
	Z	-	0	0	0	0	0	0	0	0	0	0	0	0	01
Pilastrata: Pilastrata 6															
Pilastro 6	X	-	31	22 269	1 690	8 191	913	13 118	31	13 805	820	8 191	913	13 118	01
	Y	-	62	578	19 407	6 707	11 852	254	62	141	13 188	6 707	11 852	254	01
	Z	-	0	0	0	0	0	0	0	0	0	0	0	0	01
Pilastrata: Pilastrata 7															
Pilastro 7	X	-	29	21 634	776	7 172	510	12 315	29	12 231	630	7 172	510	12 315	01
	Y	-	58	6	26 980	484	17 772	5	58	9	21 899	484	17 772	5	01
	Z	-	0	0	0	0	0	0	0	0	0	0	0	0	01
Pilastrata: Pilastrata 8															
Pilastro 8	X	-	29	25 655	301	2 942	163	15 723	29	17 583	167	2 942	163	15 723	01
	Y	-	58	214	26 855	807	17 726	192	58	308	21 883	807	17 726	192	01
	Z	-	0	0	0	0	0	0	0	0	0	0	0	0	01

Pilastri - Sollecitazioni per effetto del sisma

Id _{PII}	Dir	Dist r	Estr. Inf.						Estr. Sup.						Lv
			M ₁	M ₂	M ₃	N	T ₂	T ₃	M ₁	M ₂	M ₃	N	T ₂	T ₃	
			[N-m]	[N-m]	[N-m]	[N]	[N]	[N]	[N-m]	[N-m]	[N-m]	[N]	[N]	[N]	[N]
Pilastrata: Pilastrata 9															
Pilastro 9	X	-	29	25 798	120	1 870	123	15 809	29	17 677	221	1 870	123	15 809	01
	Y	-	61	274	26 688	5 145	17 815	218	61	333	22 305	5 145	17 815	218	01
	Z	-	0	0	0	0	0	0	0	0	0	0	0	0	01
Pilastrata: Pilastrata 10															
Pilastro 10	X	-	29	26 181	123	988	69	16 197	29	18 368	71	988	69	16 197	01
	Y	-	61	31	26 115	5 246	17 437	20	61	41	21 829	5 246	17 437	20	01
	Z	-	0	0	0	0	0	0	0	0	0	0	0	0	01
Pilastrata: Pilastrata 11															
Pilastro 11	X	-	29	26 549	360	3 994	198	16 626	29	19 171	197	3 994	198	16 626	01
	Y	-	62	91	25 464	3 587	16 988	104	62	198	21 255	3 587	16 988	104	01
	Z	-	0	0	0	0	0	0	0	0	0	0	0	0	01
Pilastrata: Pilastrata 12															
Pilastro 12	X	-	29	22 507	596	9 016	396	13 197	29	13 784	498	9 016	396	13 197	01
	Y	-	63	135	24 185	4 219	15 966	71	63	66	19 719	4 219	15 966	71	01
	Z	-	0	0	0	0	0	0	0	0	0	0	0	0	01
Pilastrata: Pilastrata 13															
Pilastro 13	X	-	5	5 853	126	3 731	68	4 013	5	5 181	58	3 731	68	4 013	01
	Y	-	34	410	5 733	5 404	3 961	229	34	226	5 161	5 404	3 961	229	01
	Z	-	0	0	0	0	0	0	0	0	0	0	0	0	01
Pilastrata: Pilastrata 14															
Pilastro 14	X	-	7	6 670	5	238	3	4 669	7	6 165	2	238	3	4 669	01
	Y	-	34	97	6 589	7 451	4 531	63	34	77	5 872	7 451	4 531	63	01
	Z	-	0	0	0	0	0	0	0	0	0	0	0	0	01
Pilastrata: Pilastrata 15															
Pilastro 15	X	-	5	5 816	121	3 468	65	3 975	5	5 117	53	3 468	65	3 975	01
	Y	-	34	646	6 147	5 684	4 249	389	34	418	5 538	5 684	4 249	389	01
	Z	-	0	0	0	0	0	0	0	0	0	0	0	0	01
Pilastrata: Pilastrata 16															
Pilastro 16	X	-	7	5 858	136	3 718	73	4 016	7	5 183	66	3 718	73	4 016	01
	Y	-	34	407	5 733	5 402	3 961	231	34	224	5 158	5 402	3 961	231	01
	Z	-	0	0	0	0	0	0	0	0	0	0	0	0	01
Pilastrata: Pilastrata 17															
Pilastro 17	X	-	7	6 677	5	246	0	4 671	7	6 170	3	246	0	4 671	01
	Y	-	34	95	6 591	7 441	4 531	63	34	77	5 872	7 441	4 531	63	01
	Z	-	0	0	0	0	0	0	0	0	0	0	0	0	01
Pilastrata: Pilastrata 18															
Pilastro 18	X	-	7	5 824	130	3 467	68	3 979	7	5 121	63	3 467	68	3 979	01
	Y	-	34	644	6 147	5 690	4 249	383	34	415	5 538	5 690	4 249	383	01
	Z	-	0	0	0	0	0	0	0	0	0	0	0	0	01
Pilastrata: Pilastrata 19															
Pilastro 19	X	-	31	20 934	415	6 423	194	11 939	31	11 899	182	6 423	194	11 939	01
	Y	-	55	1 608	22 414	9 627	13 966	806	55	610	15 985	9 627	13 966	806	01
	Z	-	0	0	0	0	0	0	0	0	0	0	0	0	01
Pilastrata: Pilastrata 20															
Pilastro 20	X	-	30	25 361	433	2 450	271	15 534	30	17 357	308	2 450	271	15 534	01
	Y	-	57	629	22 736	10 151	14 127	395	57	451	16 115	10 151	14 127	395	01
	Z	-	0	0	0	0	0	0	0	0	0	0	0	0	01
Pilastrata: Pilastrata 21															
Pilastro 21	X	-	30	25 609	62	2 025	42	15 699	30	17 559	52	2 025	42	15 699	01
	Y	-	55	441	23 178	13 098	14 766	278	55	318	17 427	13 098	14 766	278	01
	Z	-	0	0	0	0	0	0	0	0	0	0	0	0	01
Pilastrata: Pilastrata 22															
Pilastro 22	X	-	28	26 006	137	1 009	89	16 099	28	18 269	104	1 009	89	16 099	01
	Y	-	59	436	22 703	12 750	14 467	275	59	324	17 085	12 750	14 467	275	01
	Z	-	0	0	0	0	0	0	0	0	0	0	0	0	01
Pilastrata: Pilastrata 23															
Pilastro 23	X	-	30	26 199	403	3 192	225	16 385	30	18 857	222	3 192	225	16 385	01
	Y	-	58	196	21 903	11 558	13 876	120	58	139	16 255	11 558	13 876	120	01
	Z	-	0	0	0	0	0	0	0	0	0	0	0	0	01
Pilastrata: Pilastrata 24															
Pilastro 24	X	-	28	21 692	435	7 955	215	12 712	28	13 268	188	7 955	215	12 712	01
	Y	-	60	866	20 591	10 984	13 059	401	60	235	15 320	10 984	13 059	401	01
	Z	-	0	0	0	0	0	0	0	0	0	0	0	0	01

LEGENDA:

- Id_{PII}** Identificativo del Pilastro.
- Dir** Direzione del sisma.
- Distr** Distribuzione delle forze (0P = Principale non richiesta; 1P = Principale proporzionale alle forze statiche; 2P = Proporzionale I Modo vibrazione; 3P = Principale proporzionale ai taglianti; 0S = Secondaria non richiesta; 1S = Secondaria proporzionale alle masse; 2S = secondaria multimodale).
- Lv** Identificativo del livello, nella relativa tabella.
- Estr.** Sollecitazione caratteristiche relative al sistema di riferimento locale 1, 2, 3 (N > 0: compressione).
- Inf./Sup.**

PILASTRI - SOLLECITAZIONI PER ECCENTRICITÀ ACCIDENTALE

Id _{PII}	Dir	e	Estr. Inf.						Estr. Sup.						Lv
			M ₁	M ₂	M ₃	N	T ₂	T ₃	M ₁	M ₂	M ₃	N	T ₂	T ₃	
			[N-m]	[N-m]	[N-m]	[N]	[N]	[N]	[N-m]	[N-m]	[N-m]	[N]	[N]	[N]	
Pilastrata: Pilastrata 1															
Pilastro 1	X	+	-283	380	-987	314	-619	-241	-283	-281	716	314	-619	-241	01
	X	-	283	-380	987	-314	619	241	283	281	-716	-314	619	241	01
	Y	+	-1 351	1 814	-4 708	1 499	-2 954	-1 148	-1 351	-1 341	3 416	1 499	-2 954	-1 148	01

Pilastri - Sollecitazioni per eccentricità accidentale

IdPii	Dir	e	Estr. Inf.						Estr. Sup.						Lv
			M ₁	M ₂	M ₃	N	T ₂	T ₃	M ₁	M ₂	M ₃	N	T ₂	T ₃	
			[N-m]	[N-m]	[N-m]	[N]	[N]	[N]	[N-m]	[N-m]	[N-m]	[N]	[N]	[N]	
	Y	-	1 351	-1 814	4 708	-1 499	2 954	1 148	1 351	1 341	-3 416	-1 499	2 954	1 148	01
Pilastrata: Pilastrata 2															
Pilastro 2	X	+	-222	375	-610	282	-374	-248	-222	-308	418	282	-374	-248	01
	X	-	222	-375	610	-282	374	248	222	308	-418	-282	374	248	01
	Y	+	-1 057	1 791	-2 908	1 343	-1 782	-1 185	-1 057	-1 467	1 993	1 343	-1 782	-1 185	01
	Y	-	1 057	-1 791	2 908	-1 343	1 782	1 185	1 057	1 467	-1 993	-1 343	1 782	1 185	01
Pilastrata: Pilastrata 3															
Pilastro 3	X	+	-182	374	-167	39	-105	-249	-182	-310	122	39	-105	-249	01
	X	-	182	-374	167	-39	105	249	182	310	-122	-39	105	249	01
	Y	+	-870	1 785	-798	186	-502	-1 187	-870	-1 480	582	186	-502	-1 187	01
	Y	-	870	-1 785	798	-186	502	1 187	870	1 480	-582	-186	502	1 187	01
Pilastrata: Pilastrata 4															
Pilastro 4	X	+	-183	377	210	-60	132	-252	-183	-315	-153	-60	132	-252	01
	X	-	183	-377	-210	60	-132	252	183	315	153	60	-132	252	01
	Y	+	-874	1 799	1 000	-288	628	-1 201	-874	-1 504	-728	-288	628	-1 201	01
	Y	-	874	-1 799	-1 000	288	-628	1 201	874	1 504	728	288	-628	1 201	01
Pilastrata: Pilastrata 5															
Pilastro 5	X	+	-156	384	608	-274	377	-256	-156	-321	-429	-274	377	-256	01
	X	-	156	-384	-608	274	-377	256	156	321	429	274	-377	256	01
	Y	+	-742	1 831	2 900	-1 308	1 798	-1 222	-742	-1 529	-2 045	-1 308	1 798	-1 222	01
	Y	-	742	-1 831	-2 900	1 308	-1 798	1 222	742	1 529	2 045	1 308	-1 798	1 222	01
Pilastrata: Pilastrata 6															
Pilastro 6	X	+	-299	372	913	-199	567	-237	-299	-281	-647	-199	567	-237	01
	X	-	299	-372	-913	199	-567	237	299	281	647	199	-567	237	01
	Y	+	-1 426	1 773	4 352	-951	2 704	-1 131	-1 426	-1 338	-3 084	-951	2 704	-1 131	01
	Y	-	1 426	-1 773	-4 352	951	-2 704	1 131	1 426	1 338	3 084	951	-2 704	1 131	01
Pilastrata: Pilastrata 7															
Pilastro 7	X	+	-96	10	-1 165	19	-770	-7	-96	-8	954	19	-770	-7	01
	X	-	96	-10	1 165	-19	770	7	96	8	-954	-19	770	7	01
	Y	+	-456	49	-5 556	89	-3 674	-32	-456	-38	4 548	89	-3 674	-32	01
	Y	-	456	-49	5 556	-89	3 674	32	456	38	-4 548	-89	3 674	32	01
Pilastrata: Pilastrata 8															
Pilastro 8	X	+	-115	6	-733	24	-483	-3	-115	-2	596	24	-483	-3	01
	X	-	115	-6	733	-24	483	3	115	2	-596	-24	483	3	01
	Y	+	-549	29	-3 497	112	-2 305	-15	-549	-11	2 841	112	-2 305	-15	01
	Y	-	549	-29	3 497	-112	2 305	15	549	11	-2 841	-112	2 305	15	01
Pilastrata: Pilastrata 9															
Pilastro 9	X	+	-86	-40	-200	41	-133	22	-86	21	167	41	-133	22	01
	X	-	86	40	200	-41	133	-22	86	-21	-167	-41	133	-22	01
	Y	+	-410	-192	-952	195	-636	106	-410	101	798	195	-636	106	01
	Y	-	410	192	952	-195	636	-106	410	-101	-798	-195	636	-106	01
Pilastrata: Pilastrata 10															
Pilastro 10	X	+	-87	-40	251	-50	168	23	-87	22	-210	-50	168	23	01
	X	-	87	40	-251	50	-168	-23	87	-22	210	50	-168	-23	01
	Y	+	-415	-192	1 197	-241	800	108	-415	104	-1 003	-241	800	108	01
	Y	-	415	192	-1 197	241	-800	-108	415	-104	1 003	241	-800	-108	01
Pilastrata: Pilastrata 11															
Pilastro 11	X	+	-94	-31	734	-92	489	19	-94	22	-611	-92	489	19	01
	X	-	94	31	-734	92	-489	-19	94	-22	611	92	-489	-19	01
	Y	+	-446	-148	3 500	-439	2 332	92	-446	105	-2 913	-439	2 332	92	01
	Y	-	446	148	-3 500	439	-2 332	-92	446	-105	2 913	439	-2 332	-92	01
Pilastrata: Pilastrata 12															
Pilastro 12	X	+	-98	-7	1 096	-195	727	-3	-98	-14	-902	-195	727	-3	01
	X	-	98	7	-1 096	195	-727	3	98	14	902	195	-727	3	01
	Y	+	-469	-32	5 225	-931	3 465	-13	-469	-67	-4 304	-931	3 465	-13	01
	Y	-	469	32	-5 225	931	-3 465	13	469	67	4 304	931	-3 465	13	01
Pilastrata: Pilastrata 13															
Pilastro 13	X	+	-405	1 196	-2 250	1 295	-1 571	-829	-405	-1 085	2 071	1 295	-1 571	-829	01
	X	-	405	-1 196	2 250	-1 295	1 571	829	405	1 085	-2 071	-1 295	1 571	829	01
	Y	+	-1 930	5 704	-10 729	6 174	-7 493	-3 956	-1 930	-5 175	9 878	6 174	-7 493	-3 956	01
	Y	-	1 930	-5 704	10 729	-6 174	7 493	3 956	1 930	5 175	-9 878	-6 174	7 493	3 956	01
Pilastrata: Pilastrata 14															
Pilastro 14	X	+	-386	1 196	-28	65	-19	-856	-386	-1 158	25	65	-19	-856	01
	X	-	386	-1 196	28	-65	19	856	386	1 158	-25	-65	19	856	01
	Y	+	-1 843	5 705	-136	308	-93	-4 082	-1 843	-5 522	119	308	-93	-4 082	01
	Y	-	1 843	-5 705	136	-308	93	4 082	1 843	5 522	-119	-308	93	4 082	01
Pilastrata: Pilastrata 15															
Pilastro 15	X	+	-406	1 203	2 278	-1 356	1 590	-832	-406	-1 086	-2 096	-1 356	1 590	-832	01
	X	-	406	-1 203	-2 278	1 356	-1 590	832	406	1 086	2 096	1 356	-1 590	832	01
	Y	+	-1 935	5 738	10 863	-6 470	7 585	-3 970	-1 935	-5 179	-9 994	-6 470	7 585	-3 970	01
	Y	-	1 935	-5 738	-10 863	6 470	-7 585	3 970	1 935	5 179	9 994	6 470	-7 585	3 970	01
Pilastrata: Pilastrata 16															
Pilastro 16	X	+	-405	-1 199	-2 249	-1 294	-1 571	832	-405	1 089	2 071	-1 294	-1 571	832	01
	X	-	405	1 199	2 249	1 294	1 571	-832	405	-1 089	-2 071	1 294	1 571	-832	01
	Y	+	-1 930	-5 720	-10 725	-6 172	-7 491	3 968	-1 930	5 192	9 876	-6 172	-7 491	3 968	01
	Y	-	1 930	5 720	10 725	6 172	7 491	-3 968	1 930	-5 192	-9 876	6 172	7 491	-3 968	01
Pilastrata: Pilastrata 17															
Pilastro 17	X	+	-386	-1 192	-28	-65	-19	853	-386	1 153	25	-65	-19	853	01
	X	-	386	1 192	28	65	19	-853	386	-1 153	-25	65	19	-853	01
	Y	+	-1 842	-5 686	-135	-311	-92	4 068	-1 842	5 501	118	-311	-92	4 068	01
	Y	-	1 842	5 686	135	311	92	-4 068	1 842	-5 501	-118	311	92	-4 068	01
Pilastrata: Pilastrata 18															
Pilastro 18	X	+	-406	-1 203	2 278	1 357	1 590	833	-406	1 087	-2 096	1 357	1 590	833	01
	X	-	406	1 203	-2 278	-1 357	-1 590	-833	406	-1 087	2 096	-1 357	-1 590	-833	01

Pilastri - Sollecitazioni per eccentricità accidentale

Id _{Pil}	Dir	e	Estr. Inf.						Estr. Sup.						Lv
			M ₁	M ₂	M ₃	N	T ₂	T ₃	M ₁	M ₂	M ₃	N	T ₂	T ₃	
			[N-m]	[N-m]	[N-m]	[N]	[N]	[N]	[N-m]	[N-m]	[N-m]	[N]	[N]	[N]	
	Y	+	-1 935	-5 739	10 863	6 471	7 585	3 972	-1 935	5 184	-9 994	6 471	7 585	3 972	01
	Y	-	1 935	5 739	-10 863	-6 471	-7 585	-3 972	1 935	-5 184	9 994	-6 471	-7 585	-3 972	01
Pilastrata: Pilastrata 19															
Pilastro 19	X	+	-277	-360	-992	-343	-625	230	-277	272	726	-343	-625	230	01
	X	-	277	360	992	343	625	-230	277	-272	-726	343	625	-230	01
	Y	+	-1 322	-1 716	-4 729	-1 637	-2 979	1 095	-1 322	1 296	3 464	-1 637	-2 979	1 095	01
	Y	-	1 322	1 716	4 729	1 637	2 979	-1 095	1 322	-1 296	-3 464	1 637	2 979	-1 095	01
Pilastrata: Pilastrata 20															
Pilastro 20	X	+	-216	-349	-615	-293	-379	233	-216	291	428	-293	-379	233	01
	X	-	216	349	615	293	379	-233	216	-291	-428	293	379	-233	01
	Y	+	-1 029	-1 663	-2 934	-1 398	-1 809	1 110	-1 029	1 390	2 040	-1 398	-1 809	1 110	01
	Y	-	1 029	1 663	2 934	1 398	1 809	-1 110	1 029	-1 390	-2 040	1 398	1 809	-1 110	01
Pilastrata: Pilastrata 21															
Pilastro 21	X	+	-206	-352	-176	-79	-113	238	-206	303	135	-79	-113	238	01
	X	-	206	352	176	79	113	-238	206	-303	-135	79	113	-238	01
	Y	+	-981	-1 679	-837	-377	-538	1 137	-981	1 447	643	-377	-538	1 137	01
	Y	-	981	1 679	837	377	538	-1 137	981	-1 447	-643	377	538	-1 137	01
Pilastrata: Pilastrata 22															
Pilastro 22	X	+	-201	-355	219	111	140	241	-201	308	-167	111	140	241	01
	X	-	201	355	-219	-111	-140	-241	201	-308	167	-111	-140	-241	01
	Y	+	-960	-1 692	1 046	531	669	1 149	-960	1 467	-794	531	669	1 149	01
	Y	-	960	1 692	-1 046	-531	-669	-1 149	960	-1 467	794	-531	-669	-1 149	01
Pilastrata: Pilastrata 23															
Pilastro 23	X	+	-193	-364	619	358	389	247	-193	315	-450	358	389	247	01
	X	-	193	364	-619	-358	-389	-247	193	-315	450	-358	-389	-247	01
	Y	+	-920	-1 736	2 954	1 709	1 855	1 177	-920	1 502	-2 146	1 709	1 855	1 177	01
	Y	-	920	1 736	-2 954	-1 709	-1 855	-1 177	920	-1 502	2 146	-1 709	-1 855	-1 177	01
Pilastrata: Pilastrata 24															
Pilastro 24	X	+	-240	-373	957	399	614	243	-240	296	-731	399	614	243	01
	X	-	240	373	-957	-399	-614	-243	240	-296	731	-399	-614	-243	01
	Y	+	-1 143	-1 777	4 564	1 905	2 928	1 159	-1 143	1 411	-3 487	1 905	2 928	1 159	01
	Y	-	1 143	1 777	-4 564	-1 905	-2 928	-1 159	1 143	-1 411	3 487	-1 905	-2 928	-1 159	01

LEGENDA:

- Id_{Pil}** Identificativo del Pilastro.
- Dir** Direzione del sisma.
- e** Segno dell'eccentricità accidentale.
- Lv** Identificativo del livello, nella relativa tabella.
- Estr.** Sollecitazione caratteristiche relative al sistema di riferimento locale 1, 2, 3 (N > 0: compressione).
- Inf./Sup.**

NODI (CA) - VERIFICA DI CONFINAMENTO PARTE 1 (Elevazione)

Id _{Nd}	Pos	Stato	Id _{Pil,sup}	σ _{CR}	σ _{TR}	f _{yk}	f _{rk}	N _{d,sup}	N _{d,inf}	A _{s,st}	Dati generali di verifica		
											CS		R _f
											η	ξ/f	
Nodo 2	E	NC	-	[N/mm ²]	[N/mm ²]	[N/mm ²]	[N/mm ²]	[N]	[N]	4/φ8/5/2	4,29	1,10	NO
Nodo 4	E	NC	-	11,26	1,19	450,00	-	0	15 122	4/φ8/5/2	4,29	1,09	NO
Nodo 6	E	NC	-	15,66	1,19	450,00	-	0	46 036	4/φ8/5/4	4,04	1,10	NO
Nodo 8	E	NC	-	12,14	1,19	450,00	-	0	42 171	4/φ8/6/4	3,30	1,24	NO
Nodo 10	E	NC	-	12,14	1,19	450,00	-	0	40 420	4/φ8/6/4	3,35	1,26	NO
Nodo 12	I	NC	-	20,08	1,19	450,00	-	0	93 146	6/φ8/4/4	4,14	1,06	NO
Nodo 14	I	NC	-	20,08	1,19	450,00	-	0	93 493	6/φ8/4/4	4,02	1,03	NO
Nodo 16	E	NC	-	12,14	1,19	450,00	-	0	28 680	4/φ8/6/4	3,41	1,28	NO
Nodo 18	E	NC	-	12,14	1,19	450,00	-	0	53 714	4/φ8/6/4	3,36	1,26	NO
Nodo 20	E	NC	-	12,14	1,19	450,00	-	0	25 921	4/φ8/6/4	3,46	1,30	NO
Nodo 22	I	C	-	0,00	0,00	450,00	-	0	86 953	1/φ8/15/2	VNR	VNR	NO
Nodo 24	E	NC	-	12,14	1,19	450,00	-	0	49 953	4/φ8/6/4	3,42	1,28	NO
Nodo 26	E	NC	-	12,14	1,19	450,00	-	0	25 403	4/φ8/6/4	3,17	1,19	NO
Nodo 28	I	C	-	0,00	0,00	450,00	-	0	81 188	1/φ8/15/2	VNR	VNR	NO
Nodo 30	E	NC	-	12,14	1,19	450,00	-	0	42 225	4/φ8/6/4	3,09	1,16	NO
Nodo 32	E	NC	-	11,26	1,19	450,00	-	0	5 142	4/φ8/5/2	4,30	1,09	NO
Nodo 34	E	NC	-	15,66	1,19	450,00	-	0	36 962	4/φ8/5/4	4,38	1,19	NO
Nodo 36	E	NC	-	11,26	1,19	450,00	-	0	16 121	4/φ8/5/2	4,29	1,10	NO
Nodo 43	E	NC	-	12,82	1,19	450,00	-	0	552	4/φ8/5/2	5,30	1,19	NO
Nodo 44	E	NC	-	7,16	1,19	450,00	-	0	14 403	2/φ8/12/2	5,26	1,22	NO
Nodo 45	E	NC	-	12,82	1,19	450,00	-	0	436	4/φ8/5/2	5,10	1,14	NO
Nodo 46	E	NC	-	12,82	1,19	450,00	-	0	544	4/φ8/5/2	5,30	1,19	NO
Nodo 47	E	NC	-	7,16	1,19	450,00	-	0	14 498	2/φ8/12/2	5,24	1,22	NO
Nodo 48	E	NC	-	12,82	1,19	450,00	-	0	441	4/φ8/5/2	5,10	1,14	NO

NODI (CA) - VERIFICA DI CONFINAMENTO PARTE 2 (Elevazione)

Dir	Id _{Tr}	b _j	h _{jw}	A _{sup} /M ⁺	A _{inf} /M ⁻	O _{rVj}	V _{c,η}	V _{c,ξ}	σ _η	σ _ξ	V _{jsd,sup}	V _{jsd,inf}	V _d	V _{jsr}	V _{rsd}	h _{jc}																
																	Dati indicati per direzione															
																	[cm]	[cm]	[cm ² ;N-m]	[cm ² ;N-m]	[N]	[N]	[N/mm ²]	[N/mm ²]	[N]	[N]	[N]	[N]	[N]	[N]	[cm]	
Nodo 2																																
1	Trave 1-7	40	18	4,21	4,21	A	0	0	1,97	1,03	-	-	179 475	-	196 691	23																
2	Trave 1-2	30	18	4,21	4,21	A	0	0	2,63	1,37	-	-	179 475	-	196 691	23																
Nodo 4																																
1	Trave 7-19	40	18	4,21	4,21	A	0	0	1,97	1,03	-	-	179 653	-	196 691	23																

Dati indicati per direzione

Dir	IdTr	b _j	h _{jw}	A _{sup} /M ⁺	A _{inf} /M ⁻	Or _{vj} _d	V _{c,η}	V _{c,ξ}	σ _η	σ _ξ	V _{jsd,sup}	V _{jsd,inf}	V _d	V _{jsr}	V _{r_{sd}}	h _{jc}
		[cm]	[cm]	[cm ² ;N-m]	[cm ² ;N-m]		[N]	[N]	[N/mm ²]	[N/mm ²]	[N]	[N]	[N]	[N]	[N]	[cm]
2	Trave 19-20	30	18	4,21	4,21	A	0	0	2,63	1,37	-	-	179 653	-	196 691	23
Nodo 6																
1	Trave 1-7	40	18	5,34	4,21	A	0	0	3,88	2,01	-	-	356 769	-	393 382	23
	Trave 7-19	40	18	5,34	4,21	A	0	0	3,88	2,01	-	-	356 769	-	393 382	23
2	Trave 7-8	30	18	4,21	4,21	A	0	0	2,36	0,70	-	-	124 957	-	393 382	23
Nodo 8																
1	Trave 2-8	40	18	4,21	4,21	A	0	0	1,97	0,76	-	-	176 388	-	314 706	23
2	Trave 2-3	30	18	4,21	4,21	A	0	0	3,68	1,78	-	-	254 154	-	314 706	23
	Trave 1-2	30	18	4,21	4,21	A	0	0	3,68	1,78	-	-	254 154	-	314 706	23
Nodo 10																
1	Trave 8-20	40	18	5,34	4,21	A	0	0	1,97	0,76	-	-	176 587	-	314 706	23
2	Trave 20-21	30	18	4,21	4,21	A	0	0	3,62	1,74	-	-	250 050	-	314 706	23
	Trave 19-20	30	18	4,21	4,21	A	0	0	3,62	1,74	-	-	250 050	-	314 706	23
Nodo 12																
1	Trave 2-8	40	18	6,16	4,21	A	0	0	4,85	2,58	-	-	446 243	-	472 058	23
	Trave 8-20	40	18	6,16	4,21	A	0	0	4,85	2,58	-	-	446 243	-	472 058	23
2	Trave 7-8	30	18	4,21	4,21	A	0	0	2,63	0,73	-	-	170 569	-	472 058	23
Nodo 14																
1	Trave 3-9	45	18	7,60	4,21	A	0	0	5,00	2,87	-	-	459 765	-	472 058	23
	Trave 9-21	40	18	6,47	4,21	A	0	0	5,00	2,87	-	-	459 765	-	472 058	23
2	Trave 9-10	30	18	4,21	4,21	A	0	0	2,46	0,65	-	-	74 148	-	472 058	23
Nodo 16																
1	Trave 9-21	40	18	4,21	4,21	A	0	0	1,97	0,76	-	-	177 928	-	314 706	23
2	Trave 21-22	30	18	4,21	4,21	A	0	0	3,56	1,68	-	-	245 458	-	314 706	23
	Trave 20-21	30	18	4,21	4,21	A	0	0	3,56	1,68	-	-	245 458	-	314 706	23
Nodo 18																
1	Trave 3-9	45	18	5,34	4,21	A	0	0	2,22	1,01	-	-	222 103	-	314 706	23
2	Trave 3-4	30	18	4,21	4,21	A	0	0	3,61	1,73	-	-	249 063	-	314 706	23
	Trave 2-3	30	18	4,21	4,21	A	0	0	3,61	1,73	-	-	249 063	-	314 706	23
Nodo 20																
1	Trave 10-22	40	18	4,21	4,21	A	0	0	1,97	0,76	-	-	178 242	-	314 706	23
2	Trave 22-23	30	18	4,21	4,21	A	0	0	3,51	1,65	-	-	242 141	-	314 706	23
	Trave 21-22	30	18	4,21	4,21	A	0	0	3,51	1,65	-	-	242 141	-	314 706	23
Nodo 22																
1	Trave 4-10	45	18	0,00	0,00	A	0	0	0,00	0,00	-	-	0	-	0	23
	Trave 10-22	40	18	0,00	0,00	A	0	0	0,00	0,00	-	-	0	-	0	23
2	Trave 11-10	31	18	0,00	0,00	A	0	0	0,00	0,00	-	-	0	-	0	23
	Trave 9-10	30	18	0,00	0,00	A	0	0	0,00	0,00	-	-	0	-	0	23
Nodo 24																
1	Trave 4-10	45	18	5,34	4,21	A	0	0	2,22	1,01	-	-	222 648	-	314 706	23
2	Trave 4-5	30	18	4,21	4,21	A	0	0	3,56	1,68	-	-	245 302	-	314 706	23
	Trave 3-4	30	18	4,21	4,21	A	0	0	3,56	1,68	-	-	245 302	-	314 706	23
Nodo 26																
1	Trave 11-23	40	18	4,21	4,21	A	0	0	1,97	0,76	-	-	178 302	-	314 706	23
2	Trave 23-24	30	18	4,21	4,21	A	0	0	3,83	1,89	-	-	263 960	-	314 706	23
	Trave 22-23	30	18	4,21	4,21	A	0	0	3,83	1,89	-	-	263 960	-	314 706	23
Nodo 28																
1	Trave 5-11	46	18	0,00	0,00	A	0	0	0,00	0,00	-	-	0	-	0	23
	Trave 11-23	40	18	0,00	0,00	A	0	0	0,00	0,00	-	-	0	-	0	23
2	Trave 11-12	30	18	0,00	0,00	A	0	0	0,00	0,00	-	-	0	-	0	24
	Trave 11-10	31	18	0,00	0,00	A	0	0	0,00	0,00	-	-	0	-	0	24
Nodo 30																
1	Trave 5-11	46	18	5,34	4,21	A	0	0	2,17	0,99	-	-	223 767	-	314 706	23
2	Trave 5-6	30	18	4,21	4,21	A	0	0	3,93	1,98	-	-	271 226	-	314 706	23
	Trave 4-5	30	18	4,21	4,21	A	0	0	3,93	1,98	-	-	271 226	-	314 706	23
Nodo 32																
1	Trave 12-24	40	18	4,21	4,21	A	0	0	1,97	1,03	-	-	180 614	-	196 691	23
2	Trave 23-24	30	18	4,21	4,21	A	0	0	2,62	1,37	-	-	180 301	-	196 691	23
Nodo 34																
1	Trave 6-12	40	18	5,34	4,21	A	0	0	3,58	1,77	-	-	329 372	-	393 382	23
	Trave 12-24	40	18	5,34	4,21	A	0	0	3,58	1,77	-	-	329 372	-	393 382	23
2	Trave 11-12	30	18	4,21	4,21	A	0	0	2,53	0,79	-	-	143 284	-	393 382	23
Nodo 36																
1	Trave 6-12	40	18	4,21	4,21	A	0	0	1,97	1,03	-	-	179 361	-	196 691	23
2	Trave 5-6	30	18	4,21	4,21	A	0	0	2,63	1,37	-	-	179 361	-	196 691	23
Nodo 43																
1	Trave 13-16	38	18	4,21	4,21	A	0	0	2,42	1,38	-	-	165 308	-	196 691	18
2	Trave 14-13	38	18	4,21	4,21	A	0	0	1,11	0,38	-	-	76 106	-	196 691	18
Nodo 44																
1	Trave 14-17	38	18	4,21	4,21	A	0	0	1,36	0,90	-	-	91 873	-	78 676	18
2	Trave 15-14	38	18	4,21	4,21	A	0	0	1,45	0,98	-	-	98 869	-	78 676	18
	Trave 14-13	38	18	4,21	4,21	A	0	0	1,45	0,98	-	-	98 869	-	78 676	18
Nodo 45																
1	Trave 15-18	38	18	4,21	4,21	A	0	0	2,51	1,46	-	-	171 790	-	196 691	18
2	Trave 15-14	38	18	4,21	4,21	A	0	0	1,11	0,38	-	-	69 050	-	196 691	18
Nodo 46																
1	Trave 13-16	38	18	4,21	4,21	A	0	0	2,42	1,38	-	-	165 365	-	196 691	18
2	Trave 16-17	38	18	4,21	4,21	A	0	0	1,11	0,38	-	-	69 632	-	196 691	18
Nodo 47																
1	Trave 14-17	38	18	4,21	4,21	A	0	0	1,36	0,91	-	-	92 117	-	78 676	18
2	Trave 17-18	38	18	4,21	4,21	A	0	0	1,45	0,98	-	-	98 924	-	78 676	18
	Trave 16-17	38	18	4,21	4,21	A	0	0	1,45	0,98	-	-	98 924	-	78 676	18
Nodo 48																
1	Trave 15-18	38	18	4,21	4,21	A	0	0	2,51	1,46	-	-	171 823	-	196 691	18

Dir	Id _{Tr}	b _j	h _{jw}	A _{sup} /M ⁺	A _{inf} /M ⁻	Or _{Vj_d}	V _{c,η}	V _{c,ξ}	σ _η	σ _ξ	V _{jsd,sup}	V _{jsd,inf}	V _d	V _{jsr}	V _{rsd}	h _{jc}
		[cm]	[cm]	[cm ² ;N-m]	[cm ² ;N-m]		[N]	[N]	[N/mm ²]	[N/mm ²]	[N]	[N]	[N]	[N]	[N]	[cm]
2	Trave 17-18	38	18	4,21	4,21	A	0	0	1,11	0,38	-	-	75 814	-	196 691	18

LEGENDA:

- Dir** Direzione di verifica: 1 = asse locale 3 del pilastro; 2 = asse locale 2 del pilastro
- Id_{Tr}** Identificativo delle travi che definiscono la direzione.
- b_j** Larghezza effettiva del nodo relativo alla trave esaminata.
- h_{jw}** Distanza tra le armature superiori ed inferiori della trave.
- A_{sup}/M⁺** Se Or. V_{jd} = A -> Armatura superiore a flessione; se Or. V_{jd} = M -> Massimo momento di calcolo nella sezione della trave a contatto con il nodo.
- A_{inf}/M⁻** Se Or. V_{jd} = A -> Armatura inferiore a flessione; se Or. V_{jd} = M -> Minimo momento di calcolo nella sezione della trave a contatto con il nodo.
- Or_{Vj_d}** Origine del taglio nel nodo per la direzione considerata: [A] = taglio derivante dalle armature delle travi concorrenti nel nodo; [M] = taglio derivante dai momenti agenti agli estremi delle travi concorrenti nel nodo.
- V_d** Taglio di Progetto per Fessurazione Diagonale.
- V_{jsr}** Forza orizzontale resistente del rinforzo.
- V_{rsd}** Forza orizzontale resistente del rinforzo+staffe.
- h_{jc}** Distanza, tra le giaciture più esterne delle armature del pilastro, nella direzione in esame.
- Id_f** Identificativo dell'intervento.
- Pos** Posizione del nodo: [I] = interno; [E] = esterno
- C/NC** Identificativo dello stato del nodo ([NC] = Non Confinato; [C] = Confinato).
- Id_{pil,sup}** Identificativo del pilastro al di sopra del nodo.
- σ_{cR}** Resistenza di calcolo a compressione del calcestruzzo per la verifica del nodo.
- σ_{tR}** Resistenza di calcolo a trazione del calcestruzzo per la verifica del nodo.
- f_{yk}** Resistenza caratteristica allo snervamento delle staffe nel nodo.
- f_{tk}** Resistenza caratteristica ultima del rinforzo in FRP; [-] = rinforzo non presente.
- N_{d,sup}** Sforzo normale nel pilastro al di sopra del nodo.
- N_{d,inf}** Sforzo normale nel pilastro al di sotto del nodo.
- A_{sw}** Staffe nel nodo (numero di staffe/diametro in mm/passi in cm/numero di bracci; [-] = assenza di staffe nel nodo).
- CS** Coefficiente di sicurezza: [η] = a compressione; [ξ/f] = max tra controllo f_{ctd} e fessurazione diagonale garantita da staffe e rinforzo ([NS] = Non Significativo per valori di CS ≥ 100; [VNR] = Verifica Non Richiesta).
- R_f** [SI] = elemento con presenza di rinforzo; [NO] = elemento senza rinforzo.
- V_c** Tagli nel pilastro al di sopra del nodo impiegato per la verifica: [η] = tensione principale di compressione; [ξ] = tensione principale di trazione
- σ** Tensioni principali di progetto: [η] = compressione; [ξ] = trazione; [-] = rinforzo presente.
- V_{jsd}** Forze orizzontali di progetto del rinforzo e delle staffe superiori e inferiori. [-] = rinforzo non presente.

TRAVI (CA) - VERIFICHE PRESSOFLESSIONE RETTA ALLO SLU (Elevazione)

Id _{Tr}	%oL _{L1}	N _{Ed,s}	M _{Ed,3,s}	N _{Ed,i}	M _{Ed,3,i}	A _{s,s}	A _{s,i}	Travi (CA) - Verifiche pressoflessione retta allo SLU				R _f
								CS _s	(X/d) _s	CS _i	(X/d) _i	
Piano Terra		Travata: Trave 1-2-3-4-5-6										
Trave 1-2	0%	-9 656	16 543	-9 656	10 368	4,21	4,21	1.75[S]	0,24	2.79[S]	0,24	NO
	12,5%	-9 656	10 794	-9 656	10 116	4,21	4,21	2.68[S]	0,24	2.86[S]	0,24	NO
	25,0%	-9 656	5 494	-9 656	8 910	4,21	4,21	5.27[S]	0,24	3.25[S]	0,24	NO
	37,5%	-9 656	1 175	-9 656	6 719	4,21	4,21	24.66[S]	0,24	4.31[S]	0,24	NO
	50,0%	-	-	-60	4 320	4,21	4,21	-	VNR	6.88[V]	0,25	NO
	62,5%	-9 281	1 380	-9 281	4 788	4,21	4,21	21.02[S]	0,24	6.05[S]	0,24	NO
	75,0%	-9 281	6 684	-9 281	5 994	4,21	4,21	4.34[S]	0,24	4.83[S]	0,24	NO
	87,5%	-9 281	12 973	-9 281	6 246	4,21	4,21	2.23[S]	0,24	4.64[S]	0,24	NO
	100,0%	-9 281	19 627	-9 281	5 640	4,21	4,21	1.47[S]	0,24	5.14[S]	0,24	NO
	Trave 2-3	0%	1 297	17 759	1 297	1 256	4,21	4,21	1.68[S]	0,25	23.75[S]	0,25
12,5%		1 297	10 229	1 297	4 452	4,21	4,21	2.91[S]	0,25	6.70[S]	0,25	NO
25,0%		1 297	3 745	1 297	6 050	4,21	4,21	7.96[S]	0,25	4.93[S]	0,25	NO
37,5%		-	-	1 297	6 136	4,21	4,21	-	VNR	4.86[S]	0,25	NO
50,0%		-	-	1 053	6 957	4,21	4,21	-	VNR	4.28[V]	0,25	NO
62,5%		-	-	1 312	6 210	4,21	4,21	-	VNR	4.80[S]	0,25	NO
75,0%		1 312	3 561	1 312	6 196	4,21	4,21	8.38[S]	0,25	4.81[S]	0,25	NO
87,5%		1 312	9 963	1 312	4 681	4,21	4,21	2.99[S]	0,25	6.37[S]	0,25	NO
100,0%		1 312	17 415	1 312	1 570	4,21	4,21	1.71[S]	0,25	19.00[S]	0,25	NO
Trave 3-4		0%	-972	17 575	-972	5 525	4,21	4,21	1.68[S]	0,24	5.36[S]	0,24
	12,5%	-972	11 517	-972	6 260	4,21	4,21	2.57[S]	0,24	4.73[S]	0,24	NO
	25,0%	-972	5 925	-972	6 077	4,21	4,21	5.00[S]	0,24	4.88[S]	0,24	NO
	37,5%	-972	1 368	-972	4 910	4,21	4,21	21.68[S]	0,24	6.04[S]	0,24	NO
	50,0%	-	-	-684	3 698	4,21	4,21	-	VNR	8.02[V]	0,24	NO
	62,5%	-903	1 126	-903	4 940	4,21	4,21	26.34[S]	0,24	6.00[S]	0,24	NO
	75,0%	-903	5 554	-903	6 236	4,21	4,21	5.34[S]	0,24	4.75[S]	0,24	NO
	87,5%	-903	11 018	-903	6 526	4,21	4,21	2.69[S]	0,24	4.54[S]	0,24	NO
	100,0%	-903	16 967	-903	5 917	4,21	4,21	1.74[S]	0,24	5.01[S]	0,24	NO
	Trave 4-5	0%	-865	16 715	-865	3 730	4,21	4,21	1.77[S]	0,24	7.95[S]	0,24
12,5%		-865	10 206	-865	5 572	4,21	4,21	2.90[S]	0,24	5.32[S]	0,24	NO
25,0%		-865	4 415	-865	6 150	4,21	4,21	6.72[S]	0,24	4.82[S]	0,24	NO
37,5%		-	-	-865	5 635	4,21	4,21	-	VNR	5.26[S]	0,24	NO
50,0%		-	-	77	5 496	4,21	4,21	-	VNR	5.41[V]	0,25	NO
62,5%		-	-	-778	5 544	4,21	4,21	-	VNR	5.35[S]	0,24	NO
75,0%		-778	4 179	-778	6 101	4,21	4,21	7.10[S]	0,24	4.86[S]	0,24	NO
87,5%		-778	9 921	-778	5 568	4,21	4,21	2.99[S]	0,24	5.33[S]	0,24	NO
100,0%		-778	16 380	-778	3 775	4,21	4,21	1.81[S]	0,24	7.86[S]	0,24	NO
Trave 5-6		0%	-11 811	19 051	-11 811	8 495	4,21	4,21	1.51[S]	0,24	3.39[S]	0,24
	12,5%	-11 811	13 265	-11 811	7 831	4,21	4,21	2.17[S]	0,24	3.67[S]	0,24	NO
	25,0%	-11 811	7 507	-11 811	6 453	4,21	4,21	3.83[S]	0,24	4.46[S]	0,24	NO
	37,5%	-11 811	2 433	-11 811	4 393	4,21	4,21	11.84[S]	0,24	6.55[S]	0,24	NO
	50,0%	-	-	-11 295	2 734	4,21	4,21	-	VNR	10.55[S]	0,24	NO
	62,5%	-11 295	2 502	-11 295	6 322	4,21	4,21	11.53[S]	0,24	4.56[S]	0,24	NO
	75,0%	-11 295	6 733	-11 295	9 227	4,21	4,21	4.28[S]	0,24	3.12[S]	0,24	NO
	87,5%	-11 295	11 640	-11 295	11 454	4,21	4,21	2.47[S]	0,24	2.51[S]	0,24	NO
	100,0%	-11 295	16 663	-11 295	12 881	4,21	4,21	1.73[S]	0,24	2.23[S]	0,24	NO
	Piano Terra		Travata: Trave 7-8-9-10-11-12									

Travi (CA) - Verifiche pressoflessione retta allo SLU

Id _{Tr}	%L _{LT} [%]	N _{Ed,s} [N]	M _{Ed,3,s} [N·m]	N _{Ed,i} [N]	M _{Ed,3,i} [N·m]	A _{s,s} [cm ²]	A _{s,i} [cm ²]	CS _s	(X/d) _s	CS _i	(X/d) _i	R _f
Trave 7-8	0%	-10 626	14 678	-10 626	11 582	4,21	4,21	1.96[S]	0,24	2.49[S]	0,24	NO
	12,5%	-10 626	10 264	-10 626	10 144	4,21	4,21	2.81[S]	0,24	2.84[S]	0,24	NO
	25,0%	-10 626	6 015	-10 626	8 033	4,21	4,21	4.80[S]	0,24	3.59[S]	0,24	NO
	37,5%	-10 626	2 335	-10 626	5 353	4,21	4,21	12.37[S]	0,24	5.39[S]	0,24	NO
	50,0%	-	-	-10 283	2 116	4,21	4,21	-	VNR	13.67[S]	0,24	NO
	62,5%	-10 573	2 386	-10 573	3 668	4,21	4,21	12.11[S]	0,24	7.88[S]	0,24	NO
	75,0%	-10 573	6 868	-10 573	5 546	4,21	4,21	4.20[S]	0,24	5.21[S]	0,24	NO
	87,5%	-10 573	11 919	-10 573	6 857	4,21	4,21	2.42[S]	0,24	4.21[S]	0,24	NO
	100,0%	-10 573	17 069	-10 573	7 557	4,21	4,21	1.69[S]	0,24	3.82[S]	0,24	NO
Trave 8-9	0%	653	16 716	653	1 960	4,21	4,21	1.78[S]	0,25	15.19[S]	0,25	NO
	12,5%	653	9 681	653	4 716	4,21	4,21	3.07[S]	0,25	6.31[S]	0,25	NO
	25,0%	653	3 580	653	6 023	4,21	4,21	8.32[S]	0,25	4.94[S]	0,25	NO
	37,5%	-	-	653	5 972	4,21	4,21	-	VNR	4.98[S]	0,25	NO
	50,0%	-	-	-144	6 873	4,21	4,21	-	VNR	4.32[V]	0,25	NO
	62,5%	-	-	843	6 126	4,21	4,21	-	VNR	4.86[S]	0,25	NO
	75,0%	843	3 278	843	6 305	4,21	4,21	9.09[S]	0,25	4.72[S]	0,25	NO
	87,5%	843	9 235	843	5 145	4,21	4,21	3.22[S]	0,25	5.79[S]	0,25	NO
	100,0%	843	16 133	843	2 534	4,21	4,21	1.84[S]	0,25	11.76[S]	0,25	NO
Trave 9-10	0%	-2 263	15 307	-2 263	7 091	4,21	4,21	1.93[S]	0,24	4.16[S]	0,24	NO
	12,5%	-2 263	10 671	-2 263	6 597	4,21	4,21	2.77[S]	0,24	4.48[S]	0,24	NO
	25,0%	-2 263	6 214	-2 263	5 486	4,21	4,21	4.75[S]	0,24	5.38[S]	0,24	NO
	37,5%	-2 263	2 354	-2 263	3 778	4,21	4,21	12.55[S]	0,24	7.82[S]	0,24	NO
	50,0%	-	-	-2 346	1 797	4,21	4,21	-	VNR	16.44[V]	0,24	NO
	62,5%	-2 253	1 939	-2 253	3 929	4,21	4,21	15.24[S]	0,24	7.52[S]	0,24	NO
	75,0%	-2 253	5 536	-2 253	5 900	4,21	4,21	5.34[S]	0,24	5.01[S]	0,24	NO
	87,5%	-2 253	9 729	-2 253	7 273	4,21	4,21	3.03[S]	0,24	4.06[S]	0,24	NO
	100,0%	-2 253	14 122	-2 253	8 010	4,21	4,21	2.09[S]	0,24	3.69[S]	0,24	NO
Trave 11-10	0%	-1 815	14 112	-1 815	5 644	4,21	4,21	2.09[S]	0,24	5.24[S]	0,24	NO
	12,5%	-1 815	9 105	-1 815	5 994	4,21	4,21	3.25[S]	0,24	4.93[S]	0,24	NO
	25,0%	-1 815	4 490	-1 815	5 640	4,21	4,21	6.59[S]	0,24	5.24[S]	0,24	NO
	37,5%	-1 815	695	-1 815	4 473	4,21	4,21	42.58[S]	0,24	6.61[S]	0,24	NO
	50,0%	-	-	-1 497	3 652	4,21	4,21	-	VNR	8.11[V]	0,24	NO
	62,5%	-1 685	775	-1 685	4 693	4,21	4,21	38.20[S]	0,24	6.30[S]	0,24	NO
	75,0%	-1 685	4 504	-1 685	5 928	4,21	4,21	6.57[S]	0,24	4.99[S]	0,24	NO
	87,5%	-1 685	9 050	-1 685	6 346	4,21	4,21	3.27[S]	0,24	4.66[S]	0,24	NO
	100%	-1 685	13 997	-1 685	6 056	4,21	4,21	2.11[S]	0,24	4.88[S]	0,24	NO
Trave 11-12	0%	-12 750	16 644	-12 750	10 320	4,21	4,21	1.72[S]	0,24	2.78[S]	0,24	NO
	12,5%	-12 750	11 951	-12 750	6 683	4,21	4,21	2.40[S]	0,24	3.30[S]	0,24	NO
	25,0%	-12 750	7 158	-12 750	6 486	4,21	4,21	4.01[S]	0,24	4.43[S]	0,24	NO
	37,5%	-12 750	2 771	-12 750	3 885	4,21	4,21	10.37[S]	0,24	7.39[S]	0,24	NO
	50,0%	-	-	-12 014	1 923	4,21	4,21	-	VNR	14.97[S]	0,24	NO
	62,5%	-12 331	3 244	-12 331	5 404	4,21	4,21	8.86[S]	0,24	5.32[S]	0,24	NO
	75,0%	-12 331	7 152	-12 331	8 484	4,21	4,21	4.02[S]	0,24	3.39[S]	0,24	NO
	87,5%	-12 331	11 469	-12 331	11 157	4,21	4,21	2.50[S]	0,24	2.57[S]	0,24	NO
	100,0%	-12 331	15 731	-12 331	13 225	4,21	4,21	1.82[S]	0,24	2.17[S]	0,24	NO
Piano Terra						Travata: Trave 13-14-15						
Trave 14-13	0%	-8 859	7 839	-8 859	3 689	4,21	4,21	3.88[S]	0,22	8.24[S]	0,22	NO
	12,5%	-8 859	5 449	-8 859	3 391	4,21	4,21	5.58[S]	0,22	8.97[S]	0,22	NO
	25,0%	-8 859	2 967	-8 859	2 793	4,21	4,21	10.25[S]	0,22	10.89[S]	0,22	NO
	37,5%	-8 859	759	-8 859	1 921	4,21	4,21	40.09[S]	0,22	15.84[S]	0,22	NO
	50,0%	-	-	-5 529	1 633	4,21	4,21	-	VNR	18.79[S]	0,22	NO
	62,5%	-5 932	1 049	-5 932	3 213	4,21	4,21	29.23[S]	0,22	9.54[S]	0,22	NO
	75,0%	-5 932	2 811	-5 932	4 531	4,21	4,21	10.90[S]	0,22	6.76[S]	0,22	NO
	87,5%	-5 932	4 849	-5 932	5 571	4,21	4,21	6.32[S]	0,22	5.50[S]	0,22	NO
	100%	-5 932	6 853	-5 932	6 257	4,21	4,21	4.47[S]	0,22	4.90[S]	0,22	NO
Trave 15-14	0%	-9 114	6 829	-9 114	6 217	4,21	4,21	4.45[S]	0,22	4.89[S]	0,22	NO
	12,5%	-9 114	4 758	-9 114	5 596	4,21	4,21	6.39[S]	0,22	5.43[S]	0,22	NO
	25,0%	-9 114	2 687	-9 114	4 605	4,21	4,21	11.31[S]	0,22	6.60[S]	0,22	NO
	37,5%	-9 114	921	-9 114	3 309	4,21	4,21	33.02[S]	0,22	9.19[S]	0,22	NO
	50,0%	-	-	-8 623	1 723	4,21	4,21	-	VNR	17.67[S]	0,22	NO
	62,5%	-6 123	699	-6 123	1 929	4,21	4,21	43.84[S]	0,22	15.88[S]	0,22	NO
	75,0%	-6 123	2 983	-6 123	2 707	4,21	4,21	10.27[S]	0,22	11.32[S]	0,22	NO
	87,5%	-6 123	5 568	-6 123	3 182	4,21	4,21	5.50[S]	0,22	9.63[S]	0,22	NO
	100%	-6 123	8 093	-6 123	3 351	4,21	4,21	3.78[S]	0,22	9.14[S]	0,22	NO
Piano Terra						Travata: Trave 16-17-18						
Trave 16-17	0%	-8 919	6 848	-8 919	6 270	4,21	4,21	4.44[S]	0,22	4.85[S]	0,22	NO
	12,5%	-8 919	4 847	-8 919	5 581	4,21	4,21	6.27[S]	0,22	5.45[S]	0,22	NO
	25,0%	-8 919	2 810	-8 919	4 536	4,21	4,21	10.82[S]	0,22	6.70[S]	0,22	NO
	37,5%	-8 919	1 046	-8 919	3 216	4,21	4,21	29.08[S]	0,22	9.46[S]	0,22	NO
	50,0%	-	-	-8 524	1 634	4,21	4,21	-	VNR	18.64[S]	0,22	NO
	62,5%	-5 840	764	-5 840	1 922	4,21	4,21	40.14[S]	0,22	15.95[S]	0,22	NO
	75,0%	-5 840	2 976	-5 840	2 794	4,21	4,21	10.30[S]	0,22	10.97[S]	0,22	NO
	87,5%	-5 840	5 461	-5 840	3 391	4,21	4,21	5.61[S]	0,22	9.04[S]	0,22	NO
	100%	-5 840	7 852	-5 840	3 690	4,21	4,21	3.90[S]	0,22	8.31[S]	0,22	NO
Trave 17-18	0%	-9 150	8 099	-9 150	3 345	4,21	4,21	3.75[S]	0,22	9.09[S]	0,22	NO
	12,5%	-9 150	5 573	-9 150	3 179	4,21	4,21	5.45[S]	0,22	9.56[S]	0,22	NO
	25,0%	-9 150	2 987	-9 150	2 705	4,21	4,21	10.18[S]	0,22	11.24[S]	0,22	NO
	37,5%	-9 150	702	-9 150	1 926	4,21	4,21	43.31[S]	0,22	15.78[S]	0,22	NO
	50,0%	-	-	-5 572	1 718	4,21	4,21	-	VNR	17.86[S]	0,22	NO
	62,5%	-6 052	924	-6 052	3 308	4,21	4,21	33.17[S]	0,22	9.26[S]	0,22	NO
	75,0%	-6 052	2 688	-6 052	4 606	4,21	4,21	11.40[S]	0,22	6.65[S]	0,22	NO
	87,5%	-6 052	4 758	-6 052	5 598	4,21	4,21	6.44[S]	0,22	5.47[S]	0,22	NO
	100,0%	-6 052	6 826	-6 052	6 220	4,21	4,21	4.49[S]	0,22	4.92[S]	0,22	NO
Piano Terra						Travata: Trave 19-20-21-22-23-24						
Trave 19-20	0%	-9 401	16 379	-9 401	10 068	4,21	4,21	1.77[S]	0,24	2.88[S]	0,24	NO

Travi (CA) - Verifiche pressoflessione retta allo SLU

Id _{Tr}	%L _{Lt} [%]	N _{Ed,s} [N]	M _{Ed,3,s} [N·m]	N _{Ed,i} [N]	M _{Ed,3,i} [N·m]	A _{s,s} [cm ²]	A _{s,i} [cm ²]	CS _s	(X/d) _s	CS _i	(X/d) _i	R _f
	12,5%	-9 401	10 657	-9 401	9 889	4,21	4,21	2.72[S]	0,24	2.93[S]	0,24	NO
	25,0%	-9 401	5 387	-9 401	8 765	4,21	4,21	5.38[S]	0,24	3.30[S]	0,24	NO
	37,5%	-9 401	1 103	-9 401	6 651	4,21	4,21	26.29[S]	0,24	4.36[S]	0,24	NO
	50,0%	-	-	70	4 354	4,21	4,21	-	VNR	6.83[V]	0,25	NO
	62,5%	-9 080	1 291	-9 080	4 765	4,21	4,21	22.48[S]	0,24	6.09[S]	0,24	NO
	75,0%	-9 080	6 532	-9 080	5 922	4,21	4,21	4.44[S]	0,24	4.90[S]	0,24	NO
	87,5%	-9 080	12 761	-9 080	6 128	4,21	4,21	2.27[S]	0,24	4.73[S]	0,24	NO
	100,0%	-9 080	19 366	-9 080	5 463	4,21	4,21	1.49[S]	0,24	5.31[S]	0,24	NO
Trave 20-21	0%	1 151	17 505	1 151	1 155	4,21	4,21	1.70[S]	0,25	25.82[S]	0,25	NO
	12,5%	1 151	10 022	1 151	4 392	4,21	4,21	2.97[S]	0,25	6.79[S]	0,25	NO
	25,0%	1 151	3 594	1 151	6 025	4,21	4,21	8.29[S]	0,25	4.95[S]	0,25	NO
	37,5%	-	-	1 151	6 133	4,21	4,21	-	VNR	4.86[S]	0,25	NO
	50,0%	-	-	877	6 986	4,21	4,21	-	VNR	4.26[V]	0,25	NO
	62,5%	-	-	1 233	6 138	4,21	4,21	-	VNR	4.86[S]	0,25	NO
	75,0%	1 233	3 522	1 233	6 051	4,21	4,21	8.47[S]	0,25	4.93[S]	0,25	NO
	87,5%	1 233	9 928	1 233	4 443	4,21	4,21	3.00[S]	0,25	6.71[S]	0,25	NO
	100%	1 233	17 389	1 233	1 229	4,21	4,21	1.71[S]	0,25	24.27[S]	0,25	NO
Trave 21-22	0%	-1 506	17 487	-1 506	5 168	4,21	4,21	1.69[S]	0,24	5.73[S]	0,24	NO
	12,5%	-1 506	11 432	-1 506	6 013	4,21	4,21	2.59[S]	0,24	4.92[S]	0,24	NO
	25,0%	-1 506	5 860	-1 506	5 916	4,21	4,21	5.05[S]	0,24	5.00[S]	0,24	NO
	37,5%	-1 506	1 324	-1 506	4 846	4,21	4,21	22.37[S]	0,24	6.11[S]	0,24	NO
	50,0%	-	-	-1 146	3 737	4,21	4,21	-	VNR	7.93[V]	0,24	NO
	62,5%	-1 454	998	-1 454	4 918	4,21	4,21	29.68[S]	0,24	6.02[S]	0,24	NO
	75,0%	-1 454	5 345	-1 454	6 177	4,21	4,21	5.54[S]	0,24	4.79[S]	0,24	NO
	87,5%	-1 454	10 732	-1 454	6 429	4,21	4,21	2.76[S]	0,24	4.60[S]	0,24	NO
	100,0%	-1 454	16 616	-1 454	5 773	4,21	4,21	1.78[S]	0,24	5.13[S]	0,24	NO
Trave 22-23	0%	-849	16 502	-849	4 061	4,21	4,21	1.79[S]	0,24	7.30[S]	0,24	NO
	12,5%	-849	10 181	-849	5 671	4,21	4,21	2.91[S]	0,24	5.23[S]	0,24	NO
	25,0%	-849	4 528	-849	6 090	4,21	4,21	6.55[S]	0,24	4.87[S]	0,24	NO
	37,5%	-849	82	-849	5 462	4,21	4,21	NS	0,24	5.43[S]	0,24	NO
	50,0%	-	-	-218	5 149	4,21	4,21	-	VNR	5.77[V]	0,25	NO
	62,5%	-	-	-761	5 384	4,21	4,21	-	VNR	5.51[S]	0,24	NO
	75,0%	-761	4 380	-761	6 034	4,21	4,21	6.77[S]	0,24	4.91[S]	0,24	NO
	87,5%	-761	10 009	-761	5 635	4,21	4,21	2.96[S]	0,24	5.26[S]	0,24	NO
	100,0%	-761	16 311	-761	4 049	4,21	4,21	1.81[S]	0,24	7.33[S]	0,24	NO
Trave 23-24	0%	-11 691	18 507	-11 691	7 835	4,21	4,21	1.55[S]	0,24	3.67[S]	0,24	NO
	12,5%	-11 691	12 697	-11 691	7 445	4,21	4,21	2.26[S]	0,24	3.87[S]	0,24	NO
	25,0%	-11 691	6 984	-11 691	6 320	4,21	4,21	4.12[S]	0,24	4.56[S]	0,24	NO
	37,5%	-11 691	2 000	-11 691	4 468	4,21	4,21	14.41[S]	0,24	6.45[S]	0,24	NO
	50,0%	-	-	-11 393	2 965	4,21	4,21	-	VNR	9.72[S]	0,24	NO
	62,5%	-11 393	2 128	-11 393	6 352	4,21	4,21	13.55[S]	0,24	4.54[S]	0,24	NO
	75,0%	-11 393	6 309	-11 393	9 007	4,21	4,21	4.57[S]	0,24	3.20[S]	0,24	NO
	87,5%	-11 393	11 221	-11 393	10 933	4,21	4,21	2.57[S]	0,24	2.63[S]	0,24	NO
	100,0%	-11 393	16 307	-11 393	12 047	4,21	4,21	1.76[S]	0,24	2.39[S]	0,24	NO
Piano Terra						Travata: Trave 1-7-19						
Trave 1-7	0%	-18 953	24 980	-18 953	13 291	4,21	4,21	1.18[S]	0,21	2.22[S]	0,21	NO
	12,5%	-18 953	14 749	-18 953	15 293	4,21	4,21	2.00[S]	0,21	1.93[S]	0,21	NO
	25,0%	-18 953	5 538	-18 953	15 272	4,21	4,21	5.35[S]	0,21	1.94[S]	0,21	NO
	37,5%	-	-	-18 953	13 223	4,21	4,21	-	VNR	2.24[S]	0,21	NO
	50,0%	-	-	4 531	11 974	4,21	4,21	-	VNR	2.63[V]	0,22	NO
	62,5%	-	-	-11 753	8 831	4,21	4,21	-	VNR	3.42[S]	0,22	NO
	75,0%	-11 753	8 414	-11 753	8 829	5,34	4,21	4.40[S]	0,23	3.42[S]	0,22	NO
	87,5%	-11 753	19 896	-11 753	6 803	5,34	4,21	1.86[S]	0,23	4.44[S]	0,22	NO
	100,0%	-11 753	32 178	-11 753	2 530	5,34	4,21	1.15[S]	0,23	11.95[S]	0,22	NO
Trave 7-19	0%	-18 754	31 838	-18 754	3 167	5,34	4,21	1.14[S]	0,23	9.37[S]	0,22	NO
	12,5%	-18 754	20 048	-18 754	6 886	5,34	4,21	1.82[S]	0,23	4.31[S]	0,22	NO
	25,0%	-18 754	8 913	-18 754	8 506	4,21	4,21	3.32[S]	0,21	3.48[S]	0,21	NO
	37,5%	-	-	-18 754	8 299	4,21	4,21	-	VNR	3.57[S]	0,21	NO
	50,0%	-	-	4 009	10 883	4,21	4,21	-	VNR	2.89[V]	0,22	NO
	62,5%	-	-	-11 684	12 650	4,21	4,21	-	VNR	2.38[S]	0,22	NO
	75,0%	-11 684	5 972	-11 684	14 976	4,21	4,21	5.05[S]	0,22	2.01[S]	0,22	NO
	87,5%	-11 684	14 834	-11 684	15 328	4,21	4,21	2.03[S]	0,22	1.97[S]	0,22	NO
	100,0%	-11 684	24 580	-11 684	13 884	4,21	4,21	1.22[S]	0,22	2.17[S]	0,22	NO
Piano Terra						Travata: Trave 2-8-20						
Trave 2-8	0%	-15 803	29 425	-15 803	7 187	4,21	4,21	1.01[S]	0,21	4.15[S]	0,21	NO
	12,5%	-15 803	14 563	-15 803	14 627	4,21	4,21	2.05[S]	0,21	2.04[S]	0,21	NO
	25,0%	-15 803	1 833	-15 803	18 121	4,21	4,21	16.30[S]	0,21	1.64[S]	0,21	NO
	37,5%	-	-	8 504	20 930	4,21	4,21	-	VNR	1.52[V]	0,22	NO
	50,0%	-	-	8 459	21 241	4,21	4,21	-	VNR	1.49[V]	0,22	NO
	62,5%	-	-	10 155	16 099	4,21	4,21	-	VNR	1.98[V]	0,22	NO
	75,0%	-10 110	7 334	-10 110	9 657	6,16	4,21	5.74[S]	0,25	3.14[S]	0,22	NO
	87,5%	-10 110	23 557	-10 110	2 670	6,16	4,21	1.78[S]	0,25	11.38[S]	0,22	NO
	100,0%	-10 110	41 566	-	-	6,16	4,21	1.01[S]	0,25	-	VNR	NO
Trave 8-20	0%	-16 190	40 550	-	-	6,16	4,21	1.02[S]	0,25	-	VNR	NO
	12,5%	-16 190	23 981	-16 190	2 707	6,16	4,21	1.73[S]	0,25	11.05[S]	0,22	NO
	25,0%	-16 190	8 355	-16 190	8 983	4,21	4,21	3.57[S]	0,21	3.32[S]	0,21	NO
	37,5%	-	-	-16 190	11 571	4,21	4,21	-	VNR	2.57[S]	0,21	NO
	50,0%	-	-	6 948	19 081	4,21	4,21	-	VNR	1.66[V]	0,22	NO
	62,5%	-	-	6 948	18 933	4,21	4,21	-	VNR	1.67[V]	0,22	NO
	75,0%	-10 636	2 846	-10 636	17 353	5,34	4,21	13.06[S]	0,23	1.74[S]	0,22	NO
	87,5%	-10 636	15 043	-10 636	14 538	5,34	4,21	2.47[S]	0,23	2.08[S]	0,22	NO
	100,0%	-10 636	29 155	-10 636	8 021	5,34	4,21	1.27[S]	0,23	3.78[S]	0,22	NO
Piano Terra						Travata: Trave 3-9-21						
Trave 3-9	0%	-13 334	33 780	-	-	5,34	4,21	1.13[S]	0,21	-	VNR	NO
	12,5%	-13 334	13 422	-13 334	13 637	5,34	4,21	2.85[S]	0,21	2.30[S]	0,20	NO

Travi (CA) - Verifiche pressoflessione retta allo SLU

Id _{Tr}	%L _{Li} [%]	N _{Ed,s} [N]	M _{Ed,3,s} [N·m]	N _{Ed,i} [N]	M _{Ed,3,i} [N·m]	A _{s,s} [cm ²]	A _{s,i} [cm ²]	CS _s	(X/d) _s	CS _i	(X/d) _i	R _f
	12,5%	1 307	4 406	1 307	6 338	4,21	4,21	7.09[S]	0,22	4.93[S]	0,22	NO
	25,0%	1 307	421	1 307	6 738	4,21	4,21	74.21[S]	0,22	4.63[S]	0,22	NO
	37,5%	-	-	2 186	7 826	4,21	4,21	-	VNR	4.00[V]	0,22	NO
	50,0%	-	-	2 186	8 318	4,21	4,21	-	VNR	3.76[V]	0,22	NO
	62,5%	-	-	2 186	7 820	4,21	4,21	-	VNR	4.00[V]	0,22	NO
	75,0%	1 321	433	1 321	6 733	4,21	4,21	72.16[S]	0,22	4.64[S]	0,22	NO
	87,5%	1 338	4 419	1 321	6 327	4,21	4,21	7.07[S]	0,22	4.93[S]	0,22	NO
	100,0%	1 321	8 414	1 338	5 048	4,21	4,21	3.71[S]	0,22	6.19[S]	0,22	NO
Piano Terra												
Travata: Trave 15-18												
Trave 15-18	0%	905	15 493	905	14 099	4,21	4,21	2.01[S]	0,22	2.21[S]	0,22	NO
	12,5%	905	10 834	905	12 570	4,21	4,21	2.88[S]	0,22	2.48[S]	0,22	NO
	25,0%	905	5 736	905	10 270	4,21	4,21	5.44[S]	0,22	3.03[S]	0,22	NO
	37,5%	920	1 162	905	7 445	4,21	4,21	26.86[S]	0,22	4.19[S]	0,22	NO
	50,0%	-	-	1 490	5 476	4,21	4,21	-	VNR	5.70[V]	0,22	NO
	62,5%	920	1 162	920	7 444	4,21	4,21	26.86[S]	0,22	4.19[S]	0,22	NO
	75,0%	920	5 738	920	10 268	4,21	4,21	5.44[S]	0,22	3.04[S]	0,22	NO
	87,5%	920	10 837	920	12 569	4,21	4,21	2.88[S]	0,22	2.48[S]	0,22	NO
	100,0%	920	15 496	920	14 096	4,21	4,21	2.01[S]	0,22	2.21[S]	0,22	NO

LEGENDA:

- Id_{Tr}**: Identificativo della trave. L'eventuale lettera tra parentesi distingue i diversi tratti della travata al livello considerato.
- %L_{Li}**: Posizione della sezione per la quale vengono forniti i valori di verifica, valutata come % della lunghezza libera d'inflessione (L_{Li}), a partire dall'estremo iniziale.
- N_{Ed,s}, M_{Ed,3,s}**: Sollecitazioni di progetto per armatura superiore.
- N_{Ed,i}, M_{Ed,3,i}**: Sollecitazioni di progetto per armatura inferiore.
- A_{s,s}, A_{s,i}**: Armatura a flessione superiore e inferiore.
- (X/d)_s**: Indice di duttilità superiore (VNR = Verifica non richiesta).
- (X/d)_i**: Indice di duttilità inferiore (VNR = Verifica non richiesta).
- CS_s, CS_i**: Coefficiente di sicurezza relativo alle sollecitazioni che tendono le fibre superiori e inferiori ([NS] = Non Significativo se CS ≥ 100; [VNR]= Verifica Non Richiesta; Informazioni aggiuntive sulla condizione: [V] = statica; [E] = eccezionale; [S] = sismica; [N] = sismica non lineare).
- R_f**: [SI] = elemento con presenza di rinforzo; [NO] = elemento senza rinforzo.

TRAVI (CA) - VERIFICHE A TAGLIO PER PRESSOFLESSIONE RETTA ALLO SLU (Elevazione)

Travi (CA) - Verifiche a taglio per pressoflessione retta allo SLU

Id _{Tr}	%L _{Li}	+/-	V _{Ed,2}	CS	V _{Rcd}	V _{Rsd,s}	N _{Ed}	V _{Rsd,p}	V _{R1}	V _{Rd,f}	Ctg ⊙	A _{sw}	A _{sw,p}	A _{s,Dg}	R _f
	[%]		[N]		[N]	[N]	[N]	[N]	[N]	[N]		[cm ² /cm]	[cm ²]	[cm ²]	
Piano Terra															
Travata: Trave 1-2-3-4-5-6															
Trave 1-2	0%	+	23 833	5,52	131 588	350 502	0	0	0	0	2,50	0,20106	0,0000	0,0000	NO
		-	-9 560	13,76	131 588	350 502	0	0	0	0	2,50	0,20106	0,0000	0,0000	NO
	12,5%	+	21 872	4,77	131 588	104 303	0	0	0	0	2,50	0,05914	0,0000	0,0000	NO
		-	-11 160	9,35	131 588	104 303	0	0	0	0	2,50	0,05914	0,0000	0,0000	NO
	25,0%	+	19 900	5,24	131 588	104 303	0	0	0	0	2,50	0,05914	0,0000	0,0000	NO
		-	-12 760	8,17	131 588	104 303	0	0	0	0	2,50	0,05914	0,0000	0,0000	NO
	37,5%	+	17 930	5,82	131 588	104 303	0	0	0	0	2,50	0,05914	0,0000	0,0000	NO
		-	-14 359	7,26	131 588	104 303	0	0	0	0	2,50	0,05914	0,0000	0,0000	NO
	50,0%	+	15 960	6,54	131 588	104 303	0	0	0	0	2,50	0,05914	0,0000	0,0000	NO
		-	-15 959	6,54	131 588	104 303	0	0	0	0	2,50	0,05914	0,0000	0,0000	NO
62,5%	+	14 360	6,97	131 588	100 096	0	0	0	0	2,50	0,05914	0,0000	0,0000	NO	
	-	-17 930	5,58	131 588	100 096	0	0	0	0	2,50	0,05914	0,0000	0,0000	NO	
75,0%	+	12 760	7,72	131 588	98 500	0	0	0	0	2,50	0,05914	0,0000	0,0000	NO	
	-	-19 901	4,95	131 588	98 500	0	0	0	0	2,50	0,05914	0,0000	0,0000	NO	
87,5%	+	11 160	8,68	131 588	96 914	0	0	0	0	2,50	0,05914	0,0000	0,0000	NO	
	-	-21 872	4,43	131 588	96 914	0	0	0	0	2,50	0,05914	0,0000	0,0000	NO	
100,0%	+	9 560	13,76	131 588	345 772	0	0	0	0	2,50	0,20106	0,0000	0,0000	NO	
	-	-23 833	5,52	131 588	345 772	0	0	0	0	2,50	0,20106	0,0000	0,0000	NO	
Trave 2-3	0%	+	22 925	5,74	131 588	348 969	0	0	0	0	2,50	0,20106	0,0000	0,0000	NO
		-	-4 730	27,82	131 588	348 969	0	0	0	0	2,50	0,20106	0,0000	0,0000	NO
	12,5%	+	20 423	5,24	131 588	107 060	0	0	0	0	2,50	0,06283	0,0000	0,0000	NO
		-	-6 769	15,82	131 588	107 060	0	0	0	0	2,50	0,06283	0,0000	0,0000	NO
	25,0%	+	17 910	6,19	131 588	110 822	0	0	0	0	2,50	0,06283	0,0000	0,0000	NO
		-	-8 808	12,58	131 588	110 822	0	0	0	0	2,50	0,06283	0,0000	0,0000	NO
	37,5%	+	15 398	7,20	131 588	110 822	0	0	0	0	2,50	0,06283	0,0000	0,0000	NO
		-	-10 847	10,22	131 588	110 822	0	0	0	0	2,50	0,06283	0,0000	0,0000	NO
	50,0%	+	12 887	8,60	131 588	110 822	0	0	0	0	2,50	0,06283	0,0000	0,0000	NO
		-	-12 886	8,60	131 588	110 822	0	0	0	0	2,50	0,06283	0,0000	0,0000	NO
62,5%	+	10 848	9,79	131 588	106 161	0	0	0	0	2,50	0,06283	0,0000	0,0000	NO	
	-	-15 397	6,89	131 588	106 161	0	0	0	0	2,50	0,06283	0,0000	0,0000	NO	
75,0%	+	8 808	11,82	131 588	104 133	0	0	0	0	2,50	0,06283	0,0000	0,0000	NO	
	-	-17 911	5,81	131 588	104 133	0	0	0	0	2,50	0,06283	0,0000	0,0000	NO	
87,5%	+	6 769	15,08	131 588	102 102	0	0	0	0	2,50	0,06283	0,0000	0,0000	NO	
	-	-20 423	5,00	131 588	102 102	0	0	0	0	2,50	0,06283	0,0000	0,0000	NO	
100%	+	4 729	27,83	131 588	344 008	0	0	0	0	2,50	0,20106	0,0000	0,0000	NO	
	-	-22 916	5,74	131 588	344 008	0	0	0	0	2,50	0,20106	0,0000	0,0000	NO	
Trave 3-4	0%	+	23 812	5,53	131 588	347 995	0	0	0	0	2,50	0,20106	0,0000	0,0000	NO
		-	-9 516	13,83	131 588	347 995	0	0	0	0	2,50	0,20106	0,0000	0,0000	NO
	12,5%	+	22 000	4,79	131 588	105 371	0	0	0	0	2,50	0,06283	0,0000	0,0000	NO
		-	-11 022	9,56	131 588	105 371	0	0	0	0	2,50	0,06283	0,0000	0,0000	NO
	25,0%	+	19 981	5,36	131 588	107 000	0	0	0	0	2,50	0,06283	0,0000	0,0000	NO
		-	-12 661	8,45	131 588	107 000	0	0	0	0	2,50	0,06283	0,0000	0,0000	NO
37,5%	+	17 961	6,17	131 588	110 822	0	0	0	0	2,50	0,06283	0,0000	0,0000	NO	
	-	-14 300	7,75	131 588	110 822	0	0	0	0	2,50	0,06283	0,0000	0,0000	NO	
50,0%	+	15 942	6,95	131 588	110 822	0	0	0	0	2,50	0,06283	0,0000	0,0000	NO	

Travi (CA) - Verifiche a taglio per pressoflessione retta allo SLU

Id _{Tr}	%L _{LI}	+/-	V _{Ed,2}	CS	V _{Rcd}	V _{Rsd,s}	N _{Ed}	V _{Rsd,p}	V _{R1}	V _{Rd,f}	Ctg ⊙	A _{sw}	A _{sw,p}	A _{s,Dg}	R _r	
																[N]
		-	-15 939	6,95	131 588	110 822	0	0	0	0	0	2,50	0,06283	0,0000	0,0000	NO
	62,5%	+	14 303	7,75	131 588	110 822	0	0	0	0	0	2,50	0,06283	0,0000	0,0000	NO
		-	-17 957	6,17	131 588	110 822	0	0	0	0	0	2,50	0,06283	0,0000	0,0000	NO
	75,0%	+	12 664	8,51	131 588	107 802	0	0	0	0	0	2,50	0,06283	0,0000	0,0000	NO
		-	-19 976	5,40	131 588	107 802	0	0	0	0	0	2,50	0,06283	0,0000	0,0000	NO
	87,5%	+	11 026	9,63	131 588	106 179	0	0	0	0	0	2,50	0,06283	0,0000	0,0000	NO
		-	-21 994	4,83	131 588	106 179	0	0	0	0	0	2,50	0,06283	0,0000	0,0000	NO
	100,0 %	+	9 386	14,02	131 588	348 476	0	0	0	0	0	2,50	0,20106	0,0000	0,0000	NO
		-	-23 994	5,48	131 588	348 476	0	0	0	0	0	2,50	0,20106	0,0000	0,0000	NO
Trave 4-5	0%	+	23 327	5,64	131 588	345 991	0	0	0	0	0	2,50	0,20106	0,0000	0,0000	NO
		-	-7 170	18,35	131 588	345 991	0	0	0	0	0	2,50	0,20106	0,0000	0,0000	NO
	12,5%	+	21 115	4,61	131 588	97 338	0	0	0	0	0	2,50	0,05914	0,0000	0,0000	NO
		-	-8 982	10,84	131 588	97 338	0	0	0	0	0	2,50	0,05914	0,0000	0,0000	NO
	25,0%	+	18 882	5,25	131 588	99 141	0	0	0	0	0	2,50	0,05914	0,0000	0,0000	NO
		-	-10 794	9,18	131 588	99 141	0	0	0	0	0	2,50	0,05914	0,0000	0,0000	NO
	37,5%	+	16 649	6,06	131 588	100 947	0	0	0	0	0	2,50	0,05914	0,0000	0,0000	NO
		-	-12 607	8,01	131 588	100 947	0	0	0	0	0	2,50	0,05914	0,0000	0,0000	NO
	50,0%	+	14 417	7,23	131 588	104 303	0	0	0	0	0	2,50	0,05914	0,0000	0,0000	NO
		-	-14 419	7,23	131 588	104 303	0	0	0	0	0	2,50	0,05914	0,0000	0,0000	NO
	62,5%	+	12 605	8,27	131 588	104 303	0	0	0	0	0	2,50	0,05914	0,0000	0,0000	NO
		-	-16 652	6,26	131 588	104 303	0	0	0	0	0	2,50	0,05914	0,0000	0,0000	NO
	75,0%	+	10 793	9,66	131 588	104 303	0	0	0	0	0	2,50	0,05914	0,0000	0,0000	NO
		-	-18 884	5,52	131 588	104 303	0	0	0	0	0	2,50	0,05914	0,0000	0,0000	NO
87,5%	+	8 979	11,14	131 588	100 060	0	0	0	0	0	2,50	0,05914	0,0000	0,0000	NO	
	-	-21 119	4,74	131 588	100 060	0	0	0	0	0	2,50	0,05914	0,0000	0,0000	NO	
100%	+	7 300	18,03	131 588	349 023	0	0	0	0	0	2,50	0,20106	0,0000	0,0000	NO	
	-	-23 144	5,69	131 588	349 023	0	0	0	0	0	2,50	0,20106	0,0000	0,0000	NO	
Trave 5-6	0%	+	25 632	5,13	131 588	346 271	0	0	0	0	0	2,50	0,20106	0,0000	0,0000	NO
		-	-13 785	9,55	131 588	346 271	0	0	0	0	0	2,50	0,20106	0,0000	0,0000	NO
	12,5%	+	24 014	4,05	131 588	97 139	0	0	0	0	0	2,50	0,05914	0,0000	0,0000	NO
		-	-15 114	6,43	131 588	97 139	0	0	0	0	0	2,50	0,05914	0,0000	0,0000	NO
	25,0%	+	22 376	4,40	131 588	98 458	0	0	0	0	0	2,50	0,05914	0,0000	0,0000	NO
		-	-16 444	5,99	131 588	98 458	0	0	0	0	0	2,50	0,05914	0,0000	0,0000	NO
	37,5%	+	20 739	4,81	131 588	99 781	0	0	0	0	0	2,50	0,05914	0,0000	0,0000	NO
		-	-17 772	5,61	131 588	99 781	0	0	0	0	0	2,50	0,05914	0,0000	0,0000	NO
	50,0%	+	19 102	5,29	131 588	101 109	0	0	0	0	0	2,50	0,05914	0,0000	0,0000	NO
		-	-19 101	5,29	131 588	101 109	0	0	0	0	0	2,50	0,05914	0,0000	0,0000	NO
	62,5%	+	17 773	5,87	131 588	104 303	0	0	0	0	0	2,50	0,05914	0,0000	0,0000	NO
		-	-20 739	5,03	131 588	104 303	0	0	0	0	0	2,50	0,05914	0,0000	0,0000	NO
	75,0%	+	16 443	6,34	131 588	104 303	0	0	0	0	0	2,50	0,05914	0,0000	0,0000	NO
		-	-22 377	4,66	131 588	104 303	0	0	0	0	0	2,50	0,05914	0,0000	0,0000	NO
87,5%	+	15 114	6,90	131 588	104 303	0	0	0	0	0	2,50	0,05914	0,0000	0,0000	NO	
	-	-24 014	4,34	131 588	104 303	0	0	0	0	0	2,50	0,05914	0,0000	0,0000	NO	
100%	+	13 785	9,55	131 588	354 630	0	0	0	0	0	2,50	0,20106	0,0000	0,0000	NO	
	-	-25 642	5,13	131 588	354 630	0	0	0	0	0	2,50	0,20106	0,0000	0,0000	NO	
Piano Terra											Travata: Trave 7-8-9-10-11-12					
Trave 7-8	0%	+	20 453	6,43	131 588	354 630	0	0	0	0	0	2,50	0,20106	0,0000	0,0000	NO
		-	-12 163	10,82	131 588	354 630	0	0	0	0	0	2,50	0,20106	0,0000	0,0000	NO
	12,5%	+	19 332	5,40	131 588	104 303	0	0	0	0	0	2,50	0,05914	0,0000	0,0000	NO
		-	-13 100	7,96	131 588	104 303	0	0	0	0	0	2,50	0,05914	0,0000	0,0000	NO
	25,0%	+	18 191	5,73	131 588	104 303	0	0	0	0	0	2,50	0,05914	0,0000	0,0000	NO
		-	-14 037	7,43	131 588	104 303	0	0	0	0	0	2,50	0,05914	0,0000	0,0000	NO
	37,5%	+	17 051	6,12	131 588	104 303	0	0	0	0	0	2,50	0,05914	0,0000	0,0000	NO
		-	-14 973	6,97	131 588	104 303	0	0	0	0	0	2,50	0,05914	0,0000	0,0000	NO
	50,0%	+	15 910	6,56	131 588	104 303	0	0	0	0	0	2,50	0,05914	0,0000	0,0000	NO
		-	-15 911	6,56	131 588	104 303	0	0	0	0	0	2,50	0,05914	0,0000	0,0000	NO
	62,5%	+	14 973	6,97	131 588	104 303	0	0	0	0	0	2,50	0,05914	0,0000	0,0000	NO
		-	-17 050	6,12	131 588	104 303	0	0	0	0	0	2,50	0,05914	0,0000	0,0000	NO
	75,0%	+	14 036	7,43	131 588	104 303	0	0	0	0	0	2,50	0,05914	0,0000	0,0000	NO
		-	-18 191	5,73	131 588	104 303	0	0	0	0	0	2,50	0,05914	0,0000	0,0000	NO
87,5%	+	13 099	7,96	131 588	104 303	0	0	0	0	0	2,50	0,05914	0,0000	0,0000	NO	
	-	-19 332	5,40	131 588	104 303	0	0	0	0	0	2,50	0,05914	0,0000	0,0000	NO	
100,0 %	+	12 162	10,82	131 588	354 630	0	0	0	0	0	2,50	0,20106	0,0000	0,0000	NO	
	-	-20 453	6,43	131 588	354 630	0	0	0	0	0	2,50	0,20106	0,0000	0,0000	NO	
Trave 8-9	0%	+	21 938	6,00	131 588	354 630	0	0	0	0	0	2,50	0,20106	0,0000	0,0000	NO
		-	-5 755	22,86	131 588	354 630	0	0	0	0	0	2,50	0,20106	0,0000	0,0000	NO
	12,5%	+	19 698	5,63	131 588	110 822	0	0	0	0	0	2,50	0,06283	0,0000	0,0000	NO
		-	-7 519	14,74	131 588	110 822	0	0	0	0	0	2,50	0,06283	0,0000	0,0000	NO
	25,0%	+	17 420	6,36	131 588	110 822	0	0	0	0	0	2,50	0,06283	0,0000	0,0000	NO
		-	-9 299	11,92	131 588	110 822	0	0	0	0	0	2,50	0,06283	0,0000	0,0000	NO
	37,5%	+	15 141	7,32	131 588	110 822	0	0	0	0	0	2,50	0,06283	0,0000	0,0000	NO
		-	-11 080	10,00	131 588	110 822	0	0	0	0	0	2,50	0,06283	0,0000	0,0000	NO
	50,0%	+	12 862	8,62	131 588	110 822	0	0	0	0	0	2,50	0,06283	0,0000	0,0000	NO
		-	-12 861	8,62	131 588	110 822	0	0	0	0	0	2,50	0,06283	0,0000	0,0000	NO
	62,5%	+	11 081	10,00	131 588	110 822	0	0	0	0	0	2,50	0,06283	0,0000	0,0000	NO
		-	-15 139	7,32	131 588	110 822	0	0	0	0	0	2,50	0,06283			

Travi (CA) - Verifiche a taglio per pressoflessione retta allo SLU

Id _{Tr}	%L _{Lt}	+/-	V _{Ed,2}	CS	V _{Rcd}	V _{Rsd,s}	N _{Ed}	V _{Rsd,p}	V _{R1}	V _{Rd,f}	Ctg	A _{sw}	A _{sw,p}	A _{s,Dg}	R _r
	[%]		[N]		[N]	[N]	[N]	[N]	[N]	[N]	°	[cm ² /cm]	[cm ²]	[cm ²]	
Trave 9-10	0%	-	-21 928	6,00	131 588	354 630	0	0	0	0	2,50	0,20106	0,0000	0,0000	NO
		+	20 527	6,41	131 588	354 630	0	0	0	0	2,50	0,20106	0,0000	0,0000	NO
	12,5%	+	19 389	5,72	131 588	110 822	0	0	0	0	2,50	0,06283	0,0000	0,0000	NO
		-	-13 006	8,52	131 588	110 822	0	0	0	0	2,50	0,06283	0,0000	0,0000	NO
	25,0%	+	18 221	6,08	131 588	110 822	0	0	0	0	2,50	0,06283	0,0000	0,0000	NO
		-	-13 965	7,94	131 588	110 822	0	0	0	0	2,50	0,06283	0,0000	0,0000	NO
	37,5%	+	17 052	6,50	131 588	110 822	0	0	0	0	2,50	0,06283	0,0000	0,0000	NO
		-	-14 925	7,43	131 588	110 822	0	0	0	0	2,50	0,06283	0,0000	0,0000	NO
	50,0%	+	15 884	6,98	131 588	110 822	0	0	0	0	2,50	0,06283	0,0000	0,0000	NO
		-	-15 885	6,98	131 588	110 822	0	0	0	0	2,50	0,06283	0,0000	0,0000	NO
	62,5%	+	14 925	7,43	131 588	110 822	0	0	0	0	2,50	0,06283	0,0000	0,0000	NO
		-	-17 053	6,50	131 588	110 822	0	0	0	0	2,50	0,06283	0,0000	0,0000	NO
	75,0%	+	13 965	7,94	131 588	110 822	0	0	0	0	2,50	0,06283	0,0000	0,0000	NO
		-	-18 221	6,08	131 588	110 822	0	0	0	0	2,50	0,06283	0,0000	0,0000	NO
	87,5%	+	13 006	8,52	131 588	110 822	0	0	0	0	2,50	0,06283	0,0000	0,0000	NO
		-	-19 389	5,72	131 588	110 822	0	0	0	0	2,50	0,06283	0,0000	0,0000	NO
	100,0%	+	12 046	10,92	131 588	354 630	0	0	0	0	2,50	0,20106	0,0000	0,0000	NO
		-	-20 527	6,41	131 588	354 630	0	0	0	0	2,50	0,20106	0,0000	0,0000	NO
Trave 11-10	0%	+	20 414	6,45	131 588	354 630	0	0	0	0	2,50	0,20106	0,0000	0,0000	NO
		-	-9 913	13,27	131 588	354 630	0	0	0	0	2,50	0,20106	0,0000	0,0000	NO
	12,5%	+	19 009	5,83	131 588	110 822	0	0	0	0	2,50	0,06283	0,0000	0,0000	NO
		-	-11 072	10,01	131 588	110 822	0	0	0	0	2,50	0,06283	0,0000	0,0000	NO
	25,0%	+	17 545	6,32	131 588	110 822	0	0	0	0	2,50	0,06283	0,0000	0,0000	NO
		-	-12 254	9,04	131 588	110 822	0	0	0	0	2,50	0,06283	0,0000	0,0000	NO
	37,5%	+	16 080	6,89	131 588	110 822	0	0	0	0	2,50	0,06283	0,0000	0,0000	NO
		-	-13 436	8,25	131 588	110 822	0	0	0	0	2,50	0,06283	0,0000	0,0000	NO
	50,0%	+	14 617	7,58	131 588	110 822	0	0	0	0	2,50	0,06283	0,0000	0,0000	NO
		-	-14 617	7,58	131 588	110 822	0	0	0	0	2,50	0,06283	0,0000	0,0000	NO
	62,5%	+	13 436	8,25	131 588	110 822	0	0	0	0	2,50	0,06283	0,0000	0,0000	NO
		-	-16 079	6,89	131 588	110 822	0	0	0	0	2,50	0,06283	0,0000	0,0000	NO
75,0%	+	12 254	9,04	131 588	110 822	0	0	0	0	2,50	0,06283	0,0000	0,0000	NO	
	-	-17 544	6,32	131 588	110 822	0	0	0	0	2,50	0,06283	0,0000	0,0000	NO	
87,5%	+	11 073	10,01	131 588	110 822	0	0	0	0	2,50	0,06283	0,0000	0,0000	NO	
	-	-19 008	5,83	131 588	110 822	0	0	0	0	2,50	0,06283	0,0000	0,0000	NO	
100%	+	9 902	13,29	131 588	354 630	0	0	0	0	2,50	0,20106	0,0000	0,0000	NO	
	-	-20 429	6,44	131 588	354 630	0	0	0	0	2,50	0,20106	0,0000	0,0000	NO	
Trave 11-12	0%	+	22 520	5,84	131 588	354 630	0	0	0	0	2,50	0,20106	0,0000	0,0000	NO
		-	-15 512	8,48	131 588	354 630	0	0	0	0	2,50	0,20106	0,0000	0,0000	NO
	12,5%	+	21 585	4,83	131 588	104 303	0	0	0	0	2,50	0,05914	0,0000	0,0000	NO
		-	-16 305	6,40	131 588	104 303	0	0	0	0	2,50	0,05914	0,0000	0,0000	NO
	25,0%	+	20 618	5,06	131 588	104 303	0	0	0	0	2,50	0,05914	0,0000	0,0000	NO
		-	-17 099	6,10	131 588	104 303	0	0	0	0	2,50	0,05914	0,0000	0,0000	NO
	37,5%	+	19 653	5,31	131 588	104 303	0	0	0	0	2,50	0,05914	0,0000	0,0000	NO
		-	-17 892	5,83	131 588	104 303	0	0	0	0	2,50	0,05914	0,0000	0,0000	NO
	50,0%	+	18 686	5,58	131 588	104 303	0	0	0	0	2,50	0,05914	0,0000	0,0000	NO
		-	-18 686	5,58	131 588	104 303	0	0	0	0	2,50	0,05914	0,0000	0,0000	NO
	62,5%	+	17 893	5,83	131 588	104 303	0	0	0	0	2,50	0,05914	0,0000	0,0000	NO
		-	-19 652	5,31	131 588	104 303	0	0	0	0	2,50	0,05914	0,0000	0,0000	NO
75,0%	+	17 099	6,10	131 588	104 303	0	0	0	0	2,50	0,05914	0,0000	0,0000	NO	
	-	-20 618	5,06	131 588	104 303	0	0	0	0	2,50	0,05914	0,0000	0,0000	NO	
87,5%	+	16 306	6,40	131 588	104 303	0	0	0	0	2,50	0,05914	0,0000	0,0000	NO	
	-	-21 584	4,83	131 588	104 303	0	0	0	0	2,50	0,05914	0,0000	0,0000	NO	
100,0%	+	15 512	8,48	131 588	354 630	0	0	0	0	2,50	0,20106	0,0000	0,0000	NO	
	-	-22 531	5,84	131 588	354 630	0	0	0	0	2,50	0,20106	0,0000	0,0000	NO	
Piano Terra										Travata: Trave 13-14-15					
Trave 14-13	0%	+	30 185	5,81	175 463	350 452	98	0	0	0	2,50	0,20106	0,0000	0,0000	NO
		-	-23 580	7,44	175 463	350 452	98	0	0	0	2,50	0,20106	0,0000	0,0000	NO
	12,5%	+	29 341	3,89	175 463	114 031	98	0	0	0	2,50	0,06702	0,0000	0,0000	NO
		-	-24 366	4,68	175 463	114 031	98	0	0	0	2,50	0,06702	0,0000	0,0000	NO
	25,0%	+	28 469	4,01	175 463	114 031	98	0	0	0	2,50	0,06702	0,0000	0,0000	NO
		-	-25 152	4,53	175 463	114 031	98	0	0	0	2,50	0,06702	0,0000	0,0000	NO
	37,5%	+	27 598	4,13	175 463	114 031	98	0	0	0	2,50	0,06702	0,0000	0,0000	NO
		-	-25 938	4,40	175 463	114 031	98	0	0	0	2,50	0,06702	0,0000	0,0000	NO
	50,0%	+	26 726	4,27	175 463	114 031	98	0	0	0	2,50	0,06702	0,0000	0,0000	NO
		-	-26 724	4,27	175 463	114 031	98	0	0	0	2,50	0,06702	0,0000	0,0000	NO
	62,5%	+	25 940	4,40	175 463	114 031	98	0	0	0	2,50	0,06702	0,0000	0,0000	NO
		-	-27 595	4,13	175 463	114 031	98	0	0	0	2,50	0,06702	0,0000	0,0000	NO
75,0%	+	25 153	4,53	175 463	114 031	98	0	0	0	2,50	0,06702	0,0000	0,0000	NO	
	-	-28 469	4,01	175 463	114 031	98	0	0	0	2,50	0,06702	0,0000	0,0000	NO	
87,5%	+	24 366	4,68	175 463	114 031	98	0	0	0	2,50	0,06702	0,0000	0,0000	NO	
	-	-29 341	3,89	175 463	114 031	98	0	0	0	2,50	0,06702	0,0000	0,0000	NO	
100%	+	23 579	7,44	175 463	350 452	98	0	0	0	2,50	0,20106	0,0000	0,0000	NO	
	-	-30 200	5,81	175 463	350 452	98	0	0	0	2,50	0,20106	0,0000	0,0000	NO	
Trave 15-14	0%	+	29 009	6,05	175 462	350 359	96	0	0	0	2,50	0,20106	0,0000	0,0000	NO
		-	-22 035	7,96	175 462	350 359	96	0	0	0	2,50	0,20106	0,0000	0,0000	NO
	12,5%	+	28 105	4,05	175 462	113 939	96	0	0	0	2,50	0,06702	0,0000	0,0000	NO
		-	-22 863	4,98	175 462	113 939	96	0	0	0	2,50	0,06702	0,0000	0,0000	NO
25,0%	+	27 186	4,19	175 462	113 939	96	0	0	0	2,50	0,06702	0,0000	0,0000	NO	
	-	-23 691	4,81	175 462	113 939	96	0	0	0	2,50	0,06702	0,0000	0,0000	NO	

Travi (CA) - Verifiche a taglio per pressoflessione retta allo SLU

Id _{Tr}	%oL _{Li}	+/ -	V _{Ed,2}	CS	V _{Rcd}	V _{Rsd,s}	N _{Ed}	V _{Rsd,p}	V _{R1}	V _{Rd,f}	Ctg θ	A _{sw}	A _{sw,p}	A _{s,Dg}	R _r	
																[%]
	37,5%	+	26 267	4,34	175 462	113 939	96	0	0	0	0	2,50	0,06702	0,0000	0,0000	NO
		-	-24 520	4,65	175 462	113 939	96	0	0	0	0	2,50	0,06702	0,0000	0,0000	NO
	50,0%	+	25 349	4,49	175 462	113 939	96	0	0	0	0	2,50	0,06702	0,0000	0,0000	NO
		-	-25 348	4,49	175 462	113 939	96	0	0	0	0	2,50	0,06702	0,0000	0,0000	NO
	62,5%	+	24 520	4,65	175 462	113 939	96	0	0	0	0	2,50	0,06702	0,0000	0,0000	NO
		-	-26 268	4,34	175 462	113 939	96	0	0	0	0	2,50	0,06702	0,0000	0,0000	NO
	75,0%	+	23 692	4,81	175 462	113 939	96	0	0	0	0	2,50	0,06702	0,0000	0,0000	NO
		-	-27 186	4,19	175 462	113 939	96	0	0	0	0	2,50	0,06702	0,0000	0,0000	NO
	87,5%	+	22 863	4,98	175 462	113 939	96	0	0	0	0	2,50	0,06702	0,0000	0,0000	NO
		-	-28 105	4,05	175 462	113 939	96	0	0	0	0	2,50	0,06702	0,0000	0,0000	NO
	100%	+	22 033	7,96	175 462	350 359	96	0	0	0	0	2,50	0,20106	0,0000	0,0000	NO
		-	-29 012	6,05	175 462	350 359	96	0	0	0	0	2,50	0,20106	0,0000	0,0000	NO
Piano Terra											Travata: Trave 16-17-18					
Trave 16-17	0%	+	30 196	5,81	175 463	350 452	97	0	0	0	0	2,50	0,20106	0,0000	0,0000	NO
		-	-23 581	7,44	175 463	350 452	97	0	0	0	0	2,50	0,20106	0,0000	0,0000	NO
	12,5%	+	29 338	3,89	175 463	114 031	97	0	0	0	0	2,50	0,06702	0,0000	0,0000	NO
		-	-24 367	4,68	175 463	114 031	97	0	0	0	0	2,50	0,06702	0,0000	0,0000	NO
	25,0%	+	28 467	4,01	175 463	114 031	97	0	0	0	0	2,50	0,06702	0,0000	0,0000	NO
		-	-25 153	4,53	175 463	114 031	97	0	0	0	0	2,50	0,06702	0,0000	0,0000	NO
	37,5%	+	27 595	4,13	175 463	114 031	97	0	0	0	0	2,50	0,06702	0,0000	0,0000	NO
		-	-25 939	4,40	175 463	114 031	97	0	0	0	0	2,50	0,06702	0,0000	0,0000	NO
	50,0%	+	26 724	4,27	175 463	114 031	97	0	0	0	0	2,50	0,06702	0,0000	0,0000	NO
		-	-26 725	4,27	175 463	114 031	97	0	0	0	0	2,50	0,06702	0,0000	0,0000	NO
	62,5%	+	25 938	4,40	175 463	114 031	97	0	0	0	0	2,50	0,06702	0,0000	0,0000	NO
		-	-27 597	4,13	175 463	114 031	97	0	0	0	0	2,50	0,06702	0,0000	0,0000	NO
	75,0%	+	25 153	4,53	175 463	114 031	97	0	0	0	0	2,50	0,06702	0,0000	0,0000	NO
		-	-28 467	4,01	175 463	114 031	97	0	0	0	0	2,50	0,06702	0,0000	0,0000	NO
	87,5%	+	24 367	4,68	175 463	114 031	97	0	0	0	0	2,50	0,06702	0,0000	0,0000	NO
		-	-29 339	3,89	175 463	114 031	97	0	0	0	0	2,50	0,06702	0,0000	0,0000	NO
	100%	+	23 581	7,44	175 463	350 452	97	0	0	0	0	2,50	0,20106	0,0000	0,0000	NO
		-	-30 183	5,81	175 463	350 452	97	0	0	0	0	2,50	0,20106	0,0000	0,0000	NO
Trave 17-18	0%	+	29 007	6,05	175 462	350 365	94	0	0	0	0	2,50	0,20106	0,0000	0,0000	NO
		-	-22 035	7,96	175 462	350 365	94	0	0	0	0	2,50	0,20106	0,0000	0,0000	NO
	12,5%	+	28 102	4,05	175 462	113 945	94	0	0	0	0	2,50	0,06702	0,0000	0,0000	NO
		-	-22 863	4,98	175 462	113 945	94	0	0	0	0	2,50	0,06702	0,0000	0,0000	NO
	25,0%	+	27 184	4,19	175 462	113 945	94	0	0	0	0	2,50	0,06702	0,0000	0,0000	NO
		-	-23 691	4,81	175 462	113 945	94	0	0	0	0	2,50	0,06702	0,0000	0,0000	NO
	37,5%	+	26 266	4,34	175 462	113 945	94	0	0	0	0	2,50	0,06702	0,0000	0,0000	NO
		-	-24 519	4,65	175 462	113 945	94	0	0	0	0	2,50	0,06702	0,0000	0,0000	NO
	50,0%	+	25 347	4,50	175 462	113 945	94	0	0	0	0	2,50	0,06702	0,0000	0,0000	NO
		-	-25 348	4,50	175 462	113 945	94	0	0	0	0	2,50	0,06702	0,0000	0,0000	NO
	62,5%	+	24 519	4,65	175 462	113 945	94	0	0	0	0	2,50	0,06702	0,0000	0,0000	NO
		-	-26 266	4,34	175 462	113 945	94	0	0	0	0	2,50	0,06702	0,0000	0,0000	NO
	75,0%	+	23 691	4,81	175 462	113 945	94	0	0	0	0	2,50	0,06702	0,0000	0,0000	NO
		-	-27 184	4,19	175 462	113 945	94	0	0	0	0	2,50	0,06702	0,0000	0,0000	NO
	87,5%	+	22 863	4,98	175 462	113 945	94	0	0	0	0	2,50	0,06702	0,0000	0,0000	NO
		-	-28 102	4,05	175 462	113 945	94	0	0	0	0	2,50	0,06702	0,0000	0,0000	NO
	100,0%	+	22 035	7,96	175 462	350 365	94	0	0	0	0	2,50	0,20106	0,0000	0,0000	NO
		-	-29 007	6,05	175 462	350 365	94	0	0	0	0	2,50	0,20106	0,0000	0,0000	NO
Piano Terra											Travata: Trave 19-20-21-22-23-24					
Trave 19-20	0%	+	23 879	5,51	131 588	349 850	0	0	0	0	0	2,50	0,20106	0,0000	0,0000	NO
		-	-9 544	13,79	131 588	349 850	0	0	0	0	0	2,50	0,20106	0,0000	0,0000	NO
	12,5%	+	21 908	4,61	131 588	101 010	0	0	0	0	0	2,50	0,05914	0,0000	0,0000	NO
		-	-11 151	9,06	131 588	101 010	0	0	0	0	0	2,50	0,05914	0,0000	0,0000	NO
	25,0%	+	19 928	5,23	131 588	104 303	0	0	0	0	0	2,50	0,05914	0,0000	0,0000	NO
		-	-12 757	8,18	131 588	104 303	0	0	0	0	0	2,50	0,05914	0,0000	0,0000	NO
	37,5%	+	17 949	5,81	131 588	104 303	0	0	0	0	0	2,50	0,05914	0,0000	0,0000	NO
		-	-14 363	7,26	131 588	104 303	0	0	0	0	0	2,50	0,05914	0,0000	0,0000	NO
	50,0%	+	15 969	6,53	131 588	104 303	0	0	0	0	0	2,50	0,05914	0,0000	0,0000	NO
		-	-15 969	6,53	131 588	104 303	0	0	0	0	0	2,50	0,05914	0,0000	0,0000	NO
	62,5%	+	14 362	7,01	131 588	100 631	0	0	0	0	0	2,50	0,05914	0,0000	0,0000	NO
		-	-17 949	5,61	131 588	100 631	0	0	0	0	0	2,50	0,05914	0,0000	0,0000	NO
	75,0%	+	12 756	7,76	131 588	99 017	0	0	0	0	0	2,50	0,05914	0,0000	0,0000	NO
		-	-19 929	4,97	131 588	99 017	0	0	0	0	0	2,50	0,05914	0,0000	0,0000	NO
	87,5%	+	11 149	8,74	131 588	97 401	0	0	0	0	0	2,50	0,05914	0,0000	0,0000	NO
		-	-21 910	4,45	131 588	97 401	0	0	0	0	0	2,50	0,05914	0,0000	0,0000	NO
	100,0%	+	9 543	13,79	131 588	346 244	0	0	0	0	0	2,50	0,20106	0,0000	0,0000	NO
		-	-23 879	5,51	131 588	346 244	0	0	0	0	0	2,50	0,20106	0,0000	0,0000	NO
Trave 20-21	0%	+	22 967	5,73	131 588	344 158	0	0	0	0	0	2,50	0,20106	0,0000	0,0000	NO
		-	-4 693	28,04	131 588	344 158	0	0	0	0	0	2,50	0,20106	0,0000	0,0000	NO
	12,5%	+	20 454	5,00	131 588	102 276	0	0	0	0	0	2,50	0,06283	0,0000	0,0000	NO
		-	-6 740	15,17	131 588	102 276	0	0	0	0	0	2,50	0,06283	0,0000	0,0000	NO
	25,0%	+	17 929	5,82	131 588	104 334	0	0	0	0	0	2,50	0,06283	0,0000	0,0000	NO
		-	-8 788	11,87	131 588	104 334	0	0	0	0	0	2,50	0,06283	0,0000	0,0000	NO
	37,5%	+	15 406	6,91	131 588	106 390	0	0	0	0	0	2,50	0,06283	0,0000	0,0000	

Travi (CA) - Verifiche a taglio per pressoflessione retta allo SLU

Id _{Tr}	%L _{LI}	+ / -	V _{Ed,2}	CS	V _{Rcd}	V _{Rsd,s}	N _{Ed}	V _{Rsd,p}	V _{R1}	V _{Rd,f}	Ctg _θ	A _{sw}	A _{sw,p}	A _{s,Dg}	R _r
	[%]		[N]		[N]	[N]	[N]	[N]	[N]	[N]		[cm ² /cm]	[cm ²]	[cm ²]	
	12,5%	+	41 526	4,23	175 539	354 630	709	0	0	0	2,50	0,20106	0,0000	0,0000	NO
		-	-30 115	5,83	175 539	354 630	709	0	0	0	2,50	0,20106	0,0000	0,0000	NO
	25,0%	+	39 380	3,00	175 539	118 210	709	0	0	0	2,50	0,06702	0,0000	0,0000	NO
		-	-31 771	3,72	175 539	118 210	709	0	0	0	2,50	0,06702	0,0000	0,0000	NO
	37,5%	+	37 231	3,18	175 539	118 210	709	0	0	0	2,50	0,06702	0,0000	0,0000	NO
		-	-33 428	3,54	175 539	118 210	709	0	0	0	2,50	0,06702	0,0000	0,0000	NO
	50,0%	+	35 084	3,37	175 539	118 210	709	0	0	0	2,50	0,06702	0,0000	0,0000	NO
		-	-35 085	3,37	175 539	118 210	709	0	0	0	2,50	0,06702	0,0000	0,0000	NO
	62,5%	+	33 428	3,54	175 539	118 210	709	0	0	0	2,50	0,06702	0,0000	0,0000	NO
		-	-37 231	3,18	175 539	118 210	709	0	0	0	2,50	0,06702	0,0000	0,0000	NO
	75,0%	+	31 771	3,72	175 539	118 210	709	0	0	0	2,50	0,06702	0,0000	0,0000	NO
		-	-39 379	3,00	175 539	118 210	709	0	0	0	2,50	0,06702	0,0000	0,0000	NO
	87,5%	+	30 114	5,83	175 539	354 630	709	0	0	0	2,50	0,20106	0,0000	0,0000	NO
		-	-41 527	4,23	175 539	354 630	709	0	0	0	2,50	0,20106	0,0000	0,0000	NO
	100,0 %	+	28 672	6,12	175 539	354 630	709	0	0	0	2,50	0,20106	0,0000	0,0000	NO
		-	-43 359	4,05	175 539	354 630	709	0	0	0	2,50	0,20106	0,0000	0,0000	NO

LEGENDA:

- Id_{Tr}** Identificativo della trave. L'eventuale lettera tra parentesi distingue i diversi tratti della travata al livello considerato.
- %L_{LI}** Posizione della sezione per la quale vengono forniti i valori di verifica, valutata come % della lunghezza libera d'inflessione (L_{LI}), a partire dall'estremo iniziale.
- + / -** [+] = sollecitazione massima; [-] = sollecitazione minima.
- V_{Ed,2}** Taglio di progetto in direzione 2.
- CS** Coefficiente di sicurezza ([NS] = Non Significativo se CS ≥ 100; [VNR]= Verifica Non Richiesta; Informazioni aggiuntive sulla condizione: [V] = statica; [E] = eccezionale; [S] = sismica; [N] = sismica non lineare).
- V_{Rcd}** Resistenza a taglio compressione del calcestruzzo.
- V_{Rsd,s}** Resistenza a taglio trazione delle staffe.
- N_{Ed}** Sforzo Normale medio nella sezione di verifica.
- V_{Rsd,p}** Resistenza a taglio trazione dei ferri piegati.
- V_{R1}** Resistenza a taglio in assenza di armatura incrociata.
- V_{Rd,f}** Resistenza a taglio dovuta al rinforzo FRP.
- Ctg_θ** Cotangente dell'angolo θ utilizzata nella verifica.
- A_{sw}** Area delle staffe per unità di lunghezza.
- A_{sw,p}** Area dei ferri piegati.
- A_{s,Dg}** Area di ferri incrociati nelle zone critiche.
- R_r** [SI] = elemento con presenza di rinforzo; [NO] = elemento senza rinforzo.

TRAVI (CA) - VERIFICHE A TORSIONE ALLO SLU (Elevazione)

Id _{Tr}	%L _{LI}	T _{Ed}	CS	T _{Rcd}	T _{Rsd}	T _{R1d}	Ctg _θ	U _m	A	t	A _{sw}	A _{s,l}	A _{r,t}	R _r
	[%]	[N-m]		[N-m]	[N-m]	[N-m]		[mm]	[mm ²]	[mm]	[cm ² /cm]	[cm ²]	[cm ²]	
Travi (CA) - Verifiche a torsione allo SLU														
Piano Terra														
Travata: Trave 1-2-3-4-5-6														
Trave 1-2	0%	1 374	4,85	14 597	91 600	6 668	2,50	700	30 000	100	0,00234	0,00	4,97	NO
	25,0%	0	-	-	-	-	-	-	-	-	-	-	-	NO
	50,0%	0	-	-	-	-	-	-	-	-	-	-	-	NO
	75,0%	1 931	4,28	14 597	8 297	8 261	2,50	700	30 000	100	0,00329	0,00	6,16	NO
	100,0 %	2 948	1,75	14 597	91 600	5 150	2,50	700	30 000	100	0,00502	0,00	3,84	NO
Trave 2-3	0%	1 884	2,98	14 597	91 600	5 606	2,50	700	30 000	100	0,00321	0,00	4,18	NO
	25,0%	0	-	-	-	-	-	-	-	-	-	-	-	NO
	50,0%	0	-	-	-	-	-	-	-	-	-	-	-	NO
	75,0%	2 226	4,05	14 597	10 466	9 020	2,50	700	30 000	100	0,00379	0,00	6,72	NO
	100%	3 535	1,91	14 597	91 600	6 744	2,50	700	30 000	100	0,00602	0,00	5,03	NO
Trave 3-4	0%	2 208	3,00	14 597	91 600	6 630	2,50	700	30 000	100	0,00376	0,00	4,94	NO
	25,0%	1 272	7,03	14 597	10 466	8 944	2,50	700	30 000	100	0,00217	0,00	6,67	NO
	50,0%	0	-	-	-	-	-	-	-	-	-	-	-	NO
	75,0%	1 005	8,90	14 597	10 466	8 944	2,50	700	30 000	100	0,00171	0,00	6,67	NO
	100,0 %	2 048	3,29	14 597	91 600	6 744	2,50	700	30 000	100	0,00349	0,00	5,03	NO
Trave 4-5	0%	2 875	2,35	14 597	91 600	6 744	2,50	700	30 000	100	0,00490	0,00	5,03	NO
	25,0%	1 718	4,83	14 597	8 297	8 944	2,50	700	30 000	100	0,00293	0,00	6,67	NO
	50,0%	0	-	-	-	-	-	-	-	-	-	-	-	NO
	75,0%	0	-	-	-	-	-	-	-	-	-	-	-	NO
	100%	1 866	3,61	14 597	91 600	6 744	2,50	700	30 000	100	0,00318	0,00	5,03	NO
	0%	2 782	1,93	14 597	91 600	5 378	2,50	700	30 000	100	0,00474	0,00	4,01	NO
Trave 5-6	25,0%	1 945	4,25	14 597	8 297	8 261	2,50	700	30 000	100	0,00331	0,00	6,16	NO
	50,0%	1 063	7,81	14 597	8 297	9 020	2,50	700	30 000	100	0,00181	0,00	6,72	NO
	75,0%	0	-	-	-	-	-	-	-	-	-	-	-	NO
	100%	0	-	-	-	-	-	-	-	-	-	-	-	NO
Piano Terra														
Travata: Trave 7-8-9-10-11-12														
Trave 7-8	0%	0	-	-	-	-	-	-	-	-	-	-	-	NO
	25,0%	0	-	-	-	-	-	-	-	-	-	-	-	NO
	50,0%	0	-	-	-	-	-	-	-	-	-	-	-	NO
	75,0%	0	-	-	-	-	-	-	-	-	-	-	-	NO
	100,0 %	0	-	-	-	-	-	-	-	-	-	-	-	NO
Trave 8-9	0%	0	-	-	-	-	-	-	-	-	-	-	-	NO
	25,0%	0	-	-	-	-	-	-	-	-	-	-	-	NO
	50,0%	0	-	-	-	-	-	-	-	-	-	-	-	NO
	75,0%	0	-	-	-	-	-	-	-	-	-	-	-	NO
	100,0 %	0	-	-	-	-	-	-	-	-	-	-	-	NO
Trave 9-10	0%	0	-	-	-	-	-	-	-	-	-	-	-	NO
	25,0%	0	-	-	-	-	-	-	-	-	-	-	-	NO

Travi (CA) - Verifiche a torsione allo SLU															
Id _{Tr}	%L _{Lt}	T _{Ed}	CS	T _{Rcd}	T _{Rsd}	T _{Rld}	Ctg _θ	u _m	A	t	A _{sw}	A _{s,l}	A _{r,t}	R _r	
	[%]	[N-m]		[N-m]	[N-m]	[N-m]		[mm]	[mm ²]	[mm]	[cm ² /cm]	[cm ²]	[cm ²]		
Trave 11-10	50,0%	0	-	-	-	-	-	-	-	-	-	-	-	NO	
	75,0%	0	-	-	-	-	-	-	-	-	-	-	-	NO	
	100,0%	0	-	-	-	-	-	-	-	-	-	-	-	NO	
	0%	0	-	-	-	-	-	-	-	-	-	-	-	NO	
	25,0%	0	-	-	-	-	-	-	-	-	-	-	-	NO	
	50,0%	0	-	-	-	-	-	-	-	-	-	-	-	NO	
	75,0%	0	-	-	-	-	-	-	-	-	-	-	-	NO	
Trave 11-12	100%	0	-	-	-	-	-	-	-	-	-	-	-	NO	
	0%	0	-	-	-	-	-	-	-	-	-	-	-	NO	
	25,0%	0	-	-	-	-	-	-	-	-	-	-	-	NO	
	50,0%	0	-	-	-	-	-	-	-	-	-	-	-	NO	
	75,0%	0	-	-	-	-	-	-	-	-	-	-	-	NO	
	100%	0	-	-	-	-	-	-	-	-	-	-	-	NO	
	0%	0	-	-	-	-	-	-	-	-	-	-	-	NO	
Piano Terra								Travata: Trave 13-14-15							
Trave 14-13	0%	2 086	5,04	21 895	124 194	10 523	2,50	900	45 000	100	0,00237	0,00	6,72	NO	
	25,0%	2 086	2,96	21 895	6 181	10 523	2,50	900	45 000	100	0,00237	0,00	6,72	NO	
	50,0%	2 086	2,96	21 895	6 181	10 523	2,50	900	45 000	100	0,00237	0,00	6,72	NO	
	75,0%	2 086	2,96	21 895	6 181	10 523	2,50	900	45 000	100	0,00237	0,00	6,72	NO	
	100%	2 086	4,62	21 895	124 194	9 638	2,50	900	45 000	100	0,00237	0,00	6,16	NO	
	0%	2 132	4,52	21 895	124 194	9 638	2,50	900	45 000	100	0,00242	0,00	6,16	NO	
	25,0%	2 132	2,90	21 895	6 181	10 523	2,50	900	45 000	100	0,00242	0,00	6,72	NO	
Trave 15-14	50,0%	2 132	2,90	21 895	6 181	10 523	2,50	900	45 000	100	0,00242	0,00	6,72	NO	
	75,0%	2 132	2,90	21 895	6 181	10 523	2,50	900	45 000	100	0,00242	0,00	6,72	NO	
	100%	2 132	4,94	21 895	124 194	10 523	2,50	900	45 000	100	0,00242	0,00	6,72	NO	
	Piano Terra								Travata: Trave 16-17-18						
	Trave 16-17	0%	2 086	4,62	21 895	124 194	9 638	2,50	900	45 000	100	0,00237	0,00	6,16	NO
		25,0%	2 086	2,96	21 895	6 181	10 523	2,50	900	45 000	100	0,00237	0,00	6,72	NO
		50,0%	2 086	2,96	21 895	6 181	10 523	2,50	900	45 000	100	0,00237	0,00	6,72	NO
75,0%		2 086	2,96	21 895	6 181	10 523	2,50	900	45 000	100	0,00237	0,00	6,72	NO	
100%		2 086	5,04	21 895	124 194	10 523	2,50	900	45 000	100	0,00237	0,00	6,72	NO	
0%		2 129	4,94	21 895	124 194	10 523	2,50	900	45 000	100	0,00242	0,00	6,72	NO	
25,0%		2 129	2,90	21 895	6 181	10 523	2,50	900	45 000	100	0,00242	0,00	6,72	NO	
Trave 17-18	50,0%	2 129	2,90	21 895	6 181	10 523	2,50	900	45 000	100	0,00242	0,00	6,72	NO	
	75,0%	2 129	2,90	21 895	6 181	10 523	2,50	900	45 000	100	0,00242	0,00	6,72	NO	
	100,0%	2 129	4,53	21 895	124 194	9 638	2,50	900	45 000	100	0,00242	0,00	6,16	NO	
	Piano Terra								Travata: Trave 19-20-21-22-23-24						
	Trave 19-20	0%	1 591	4,24	14 597	91 600	6 744	2,50	700	30 000	100	0,00271	0,00	5,03	NO
		25,0%	0	-	-	-	-	-	-	-	-	-	-	-	NO
		50,0%	0	-	-	-	-	-	-	-	-	-	-	-	NO
75,0%		1 759	4,70	14 597	8 297	8 261	2,50	700	30 000	100	0,00300	0,00	6,16	NO	
100,0%		2 791	1,89	14 597	91 600	5 264	2,50	700	30 000	100	0,00476	0,00	3,92	NO	
0%		3 485	1,61	14 597	91 600	5 606	2,50	700	30 000	100	0,00594	0,00	4,18	NO	
25,0%		2 159	4,18	14 597	10 466	9 020	2,50	700	30 000	100	0,00368	0,00	6,72	NO	
Trave 20-21	50,0%	0	-	-	-	-	-	-	-	-	-	-	-	NO	
	75,0%	0	-	-	-	-	-	-	-	-	-	-	-	NO	
	100%	2 006	3,36	14 597	91 600	6 744	2,50	700	30 000	100	0,00342	0,00	5,03	NO	
	0%	2 284	2,90	14 597	91 600	6 630	2,50	700	30 000	100	0,00389	0,00	4,94	NO	
	25,0%	1 226	7,36	14 597	10 466	9 020	2,50	700	30 000	100	0,00209	0,00	6,72	NO	
	50,0%	0	-	-	-	-	-	-	-	-	-	-	-	NO	
	75,0%	1 081	8,27	14 597	10 466	8 944	2,50	700	30 000	100	0,00184	0,00	6,67	NO	
Trave 21-22	100,0%	2 139	3,15	14 597	91 600	6 744	2,50	700	30 000	100	0,00364	0,00	5,03	NO	
	0%	2 234	3,02	14 597	91 600	6 744	2,50	700	30 000	100	0,00381	0,00	5,03	NO	
	25,0%	1 089	8,21	14 597	10 466	8 944	2,50	700	30 000	100	0,00186	0,00	6,67	NO	
	50,0%	0	-	-	-	-	-	-	-	-	-	-	-	NO	
	75,0%	1 405	6,37	14 597	10 466	8 944	2,50	700	30 000	100	0,00239	0,00	6,67	NO	
	100,0%	2 549	2,65	14 597	91 600	6 744	2,50	700	30 000	100	0,00434	0,00	5,03	NO	
	0%	2 170	2,58	14 597	91 600	5 606	2,50	700	30 000	100	0,00370	0,00	4,18	NO	
Trave 22-23	25,0%	1 346	6,14	14 597	10 466	8 261	2,50	700	30 000	100	0,00229	0,00	6,16	NO	
	50,0%	0	-	-	-	-	-	-	-	-	-	-	-	NO	
	75,0%	0	-	-	-	-	-	-	-	-	-	-	-	NO	
	100,0%	1 528	3,87	14 597	91 600	5 909	2,50	700	30 000	100	0,00260	0,00	4,40	NO	
	Piano Terra								Travata: Trave 1-7-19						
	Trave 1-7	0%	2 110	2,28	21 895	124 194	4 814	2,50	900	45 000	100	0,00240	0,00	3,08	NO
		25,0%	1 331	4,64	21 895	6 181	7 868	2,50	900	45 000	100	0,00151	0,00	5,03	NO
50,0%		0	-	-	-	-	-	-	-	-	-	-	-	NO	
75,0%		0	-	-	-	-	-	-	-	-	-	-	-	NO	
100,0%		1 183	3,21	21 895	124 194	3 796	2,50	900	45 000	100	0,00134	0,00	2,43	NO	
0%		1 123	3,62	21 895	124 194	4 062	2,50	900	45 000	100	0,00128	0,00	2,59	NO	
25,0%		0	-	-	-	-	-	-	-	-	-	-	-	NO	
Trave 7-19	50,0%	0	-	-	-	-	-	-	-	-	-	-	-	NO	
	75,0%	1 309	1,90	21 895	2 493	7 868	2,50	900	45 000	100	0,00149	0,00	5,03	NO	
	100,0%	2 060	2,34	21 895	124 194	4 814	2,50	900	45 000	100	0,00234	0,00	3,08	NO	
	Piano Terra								Travata: Trave 2-8-20						
	Trave 2-8	0%	0	-	-	-	-	-	-	-	-	-	-	-	NO
		25,0%	0	-	-	-	-	-	-	-	-	-	-	-	NO
		50,0%	0	-	-	-	-	-	-	-	-	-	-	-	NO
75,0%		0	-	-	-	-	-	-	-	-	-	-	-	NO	

Travi (CA) - Verifiche a torsione allo SLU														
Id _{Tr}	%L _{LI}	T _{Ed}	CS	T _{Rcd}	T _{Rsd}	T _{Rld}	Ctg θ	u _m	A	t	A _{sw}	A _{s,l}	A _{r,t}	R _r
	[%]	[N-m]		[N-m]	[N-m]	[N-m]		[mm]	[mm ²]	[mm]	[cm ² /cm]	[cm ²]	[cm ²]	
Trave 8-20	100,0 %	0	-	-	-	-	-	-	-	-	-	-	-	NO
	0%	0	-	-	-	-	-	-	-	-	-	-	-	NO
	25,0%	0	-	-	-	-	-	-	-	-	-	-	-	NO
	50,0%	0	-	-	-	-	-	-	-	-	-	-	-	NO
	75,0%	0	-	-	-	-	-	-	-	-	-	-	-	NO
	100,0 %	0	-	-	-	-	-	-	-	-	-	-	-	NO
Piano Terra								Travata: Trave 3-9-21						
Trave 3-9	0%	0	-	-	-	-	-	-	-	-	-	-	-	NO
	25,0%	0	-	-	-	-	-	-	-	-	-	-	-	NO
	50,0%	0	-	-	-	-	-	-	-	-	-	-	-	NO
	75,0%	0	-	-	-	-	-	-	-	-	-	-	-	NO
	100%	0	-	-	-	-	-	-	-	-	-	-	-	NO
	Trave 9-21	0%	0	-	-	-	-	-	-	-	-	-	-	-
25,0%		0	-	-	-	-	-	-	-	-	-	-	-	NO
50,0%		0	-	-	-	-	-	-	-	-	-	-	-	NO
75,0%		0	-	-	-	-	-	-	-	-	-	-	-	NO
100%		0	-	-	-	-	-	-	-	-	-	-	-	NO
Piano Terra								Travata: Trave 4-10-22						
Trave 4-10	0%	0	-	-	-	-	-	-	-	-	-	-	-	NO
	25,0%	0	-	-	-	-	-	-	-	-	-	-	-	NO
	50,0%	0	-	-	-	-	-	-	-	-	-	-	-	NO
	75,0%	0	-	-	-	-	-	-	-	-	-	-	-	NO
	100%	0	-	-	-	-	-	-	-	-	-	-	-	NO
	Trave 10-22	0%	0	-	-	-	-	-	-	-	-	-	-	-
25,0%		0	-	-	-	-	-	-	-	-	-	-	-	NO
50,0%		0	-	-	-	-	-	-	-	-	-	-	-	NO
75,0%		0	-	-	-	-	-	-	-	-	-	-	-	NO
100%		0	-	-	-	-	-	-	-	-	-	-	-	NO
Piano Terra								Travata: Trave 5-11-23						
Trave 5-11	0%	0	-	-	-	-	-	-	-	-	-	-	-	NO
	25,0%	0	-	-	-	-	-	-	-	-	-	-	-	NO
	50,0%	0	-	-	-	-	-	-	-	-	-	-	-	NO
	75,0%	0	-	-	-	-	-	-	-	-	-	-	-	NO
	100%	0	-	-	-	-	-	-	-	-	-	-	-	NO
	Trave 11-23	0%	0	-	-	-	-	-	-	-	-	-	-	-
25,0%		0	-	-	-	-	-	-	-	-	-	-	-	NO
50,0%		0	-	-	-	-	-	-	-	-	-	-	-	NO
75,0%		0	-	-	-	-	-	-	-	-	-	-	-	NO
100,0 %		0	-	-	-	-	-	-	-	-	-	-	-	NO
Piano Terra								Travata: Trave 6-12-24						
Trave 6-12	0%	2 054	2,54	21 895	124 194	5 212	2,50	900	45 000	100	0,00233	0,00	3,33	NO
	25,0%	1 182	2,11	21 895	2 493	7 868	2,50	900	45 000	100	0,00134	0,00	5,03	NO
	50,0%	0	-	-	-	-	-	-	-	-	-	-	-	NO
	75,0%	0	-	-	-	-	-	-	-	-	-	-	-	NO
	100%	1 614	2,93	21 895	124 194	4 725	2,50	900	45 000	100	0,00183	0,00	3,02	NO
	Trave 12-24	0%	0	-	-	-	-	-	-	-	-	-	-	-
25,0%		0	-	-	-	-	-	-	-	-	-	-	-	NO
50,0%		0	-	-	-	-	-	-	-	-	-	-	-	NO
75,0%		1 136	2,19	21 895	2 493	8 753	2,50	900	45 000	100	0,00129	0,00	5,59	NO
100%		1 762	3,08	21 895	124 194	5 434	2,50	900	45 000	100	0,00200	0,00	3,47	NO
Piano Terra								Travata: Trave 13-16						
Trave 13-16	0%	1 002	6,97	21 895	124 194	6 983	2,50	900	45 000	100	0,00114	0,00	4,46	NO
	25,0%	1 002	6,17	21 895	6 181	8 753	2,50	900	45 000	100	0,00114	0,00	5,59	NO
	50,0%	1 002	6,17	21 895	6 181	10 523	2,50	900	45 000	100	0,00114	0,00	6,72	NO
	75,0%	1 002	6,17	21 895	6 181	8 753	2,50	900	45 000	100	0,00114	0,00	5,59	NO
	100,0 %	1 002	6,97	21 895	124 194	6 983	2,50	900	45 000	100	0,00114	0,00	4,46	NO
	Piano Terra								Travata: Trave 14-17					
Trave 14-17	0%	0	-	-	-	-	-	-	-	-	-	-	-	NO
	25,0%	0	-	-	-	-	-	-	-	-	-	-	-	NO
	50,0%	0	-	-	-	-	-	-	-	-	-	-	-	NO
	75,0%	0	-	-	-	-	-	-	-	-	-	-	-	NO
	100,0 %	0	-	-	-	-	-	-	-	-	-	-	-	NO
	Piano Terra								Travata: Trave 15-18					
Trave 15-18	0%	0	-	-	-	-	-	-	-	-	-	-	-	NO
	25,0%	0	-	-	-	-	-	-	-	-	-	-	-	NO
	50,0%	0	-	-	-	-	-	-	-	-	-	-	-	NO
	75,0%	0	-	-	-	-	-	-	-	-	-	-	-	NO
	100,0 %	0	-	-	-	-	-	-	-	-	-	-	-	NO

LEGENDA:

Id_{Tr}	Identificativo della trave. L'eventuale lettera tra parentesi distingue i diversi tratti della travata al livello considerato.
%L_{LI}	Posizione della sezione per la quale vengono forniti i valori di verifica, valutata come % della lunghezza libera d'inflessione (L _{LI}), a partire dall'estremo iniziale.
T_{Ed}	Momento torcente di progetto.
CS	Coefficiente di sicurezza ([NS] = Non Significativo se CS \geq 100; [VNR]= Verifica Non Richiesta; Informazioni aggiuntive sulla condizione: [V] = statica; [E] = eccezionale; [S] = sismica; [N] = sismica non lineare).
T_{Rcd}	Momento resistente del calcestruzzo.
T_{Rsd}	Momento resistente delle staffe.
T_{Rld}	Momento resistente dell'armatura longitudinale.
Ctgθ	Cotangente dell'angolo θ utilizzata nella verifica.
u_m	Perimetro medio del nucleo resistente.

Travi (CA) - Verifiche a torsione allo SLU

Id _{Tr}	%L _{Lt} [%]	T _{Ed} [N-m]	CS	T _{Rcd} [N-m]	T _{Rsd} [N-m]	T _{Rld} [N-m]	Ctg θ	u _m [mm]	A [mm ²]	t [mm]	A _{sw} [cm ² /cm]	A _{s,l} [cm ²]	A _{f,t} [cm ²]	R _f
A	Area racchiusa dalla fibra media del profilo periferico (u _m).													
t	Spessore della sezione cava.													
A_{sw}	Area delle staffe strettamente necessaria per la torsione.													
A_{s,l}	Area barre longitudinali di parete esecutive.													
A_{f,t}	Area di ferri a flessione strettamente necessaria per torsione.													
R_f	[SI] = elemento con presenza di rinforzo; [NO] = elemento senza rinforzo.													

TRAVI (CA) - VERIFICA COMPOSTA TAGLIO/TORSIONE ALLO SLU (Elevazione)

Travi (CA) - Verifica composta taglio e torsione SLU														
Id _{Tr}	%L _{Lt} [%]	T _{Ed} [N-m]	+ / -	V _{Ed,2} [N]	V _{Rcd} [N]	T _{Rcd} [N-m]	Ctg θ	CS _{v,T}						
Piano Terra					Travata: Trave 1-2-3-4-5-6									
Trave 1-2	0%	1374	+ -	23 833 -9 560	131 588 131 588	14 597 14 597	2,50 2,50	3,63 6,00						
	12,5%	0	+ -	21 872 -11 160	131 588 131 588	- -	- -	VNR VNR						
	25,0%	0	+ -	19 900 -12 760	131 588 131 588	- -	- -	VNR VNR						
	37,5%	0	+ -	17 930 -14 359	131 588 131 588	- -	- -	VNR VNR						
	50,0%	0	+ -	15 960 -15 959	131 588 131 588	- -	- -	VNR VNR						
	62,5%	1400	+ -	14 360 -17 930	131 588 131 588	14 597 14 597	2,50 2,50	4,88 4,31						
	75,0%	1931	+ -	12 760 -19 901	131 588 131 588	14 597 14 597	2,50 2,50	4,36 3,53						
	87,5%	2459	+ -	11 160 -21 872	131 588 131 588	14 597 14 597	2,50 2,50	3,95 2,99						
	100,0%	2948	+ -	9 560 -23 833	131 588 131 588	14 597 14 597	2,50 2,50	3,64 2,61						
	Trave 2-3	0%	1884	+ -	22 925 -4 730	131 588 131 588	14 597 14 597	2,50 2,50	3,30 6,06					
12,5%		1252	+ -	20 423 -6 769	131 588 131 588	14 597 14 597	2,50 2,50	4,15 7,29						
25,0%		0	+ -	17 910 -8 808	131 588 131 588	- -	- -	VNR VNR						
37,5%		0	+ -	15 398 -10 847	131 588 131 588	- -	- -	VNR VNR						
50,0%		0	+ -	12 887 -12 886	131 588 131 588	- -	- -	VNR VNR						
62,5%		1551	+ -	10 848 -15 397	131 588 131 588	14 597 14 597	2,50 2,50	5,30 4,48						
75,0%		2226	+ -	8 808 -17 911	131 588 131 588	14 597 14 597	2,50 2,50	4,56 3,46						
87,5%		2902	+ -	6 769 -20 423	131 588 131 588	14 597 14 597	2,50 2,50	4,00 2,82						
100%		3535	+ -	4 729 -22 916	131 588 131 588	14 597 14 597	2,50 2,50	3,60 2,40						
Trave 3-4		0%	2208	+ -	23 812 -9 516	131 588 131 588	14 597 14 597	2,50 2,50	3,01 4,47					
	12,5%	1814	+ -	22 000 -11 022	131 588 131 588	14 597 14 597	2,50 2,50	3,43 4,81						
	25,0%	1272	+ -	19 981 -12 661	131 588 131 588	14 597 14 597	2,50 2,50	4,18 5,45						
	37,5%	0	+ -	17 961 -14 300	131 588 131 588	- -	- -	VNR VNR						
	50,0%	0	+ -	15 942 -15 939	131 588 131 588	- -	- -	VNR VNR						
	62,5%	0	+ -	14 303 -17 957	131 588 131 588	- -	- -	VNR VNR						
	75,0%	1005	+ -	12 664 -19 976	131 588 131 588	14 597 14 597	2,50 2,50	6,06 4,53						
	87,5%	1545	+ -	11 026 -21 994	131 588 131 588	14 597 14 597	2,50 2,50	5,27 3,66						
	100,0%	2048	+ -	9 386 -23 994	131 588 131 588	14 597 14 597	2,50 2,50	4,73 3,10						
	Trave 4-5	0%	2875	+ -	23 327 -7 170	131 588 131 588	14 597 14 597	2,50 2,50	2,67 3,98					
12,5%		2318	+ -	21 115 -8 982	131 588 131 588	14 597 14 597	2,50 2,50	3,13 4,40						
25,0%		1718	+ -	18 882 -10 794	131 588 131 588	14 597 14 597	2,50 2,50	3,83 5,01						
37,5%		1117	+ -	16 649 -12 607	131 588 131 588	14 597 14 597	2,50 2,50	4,92 5,80						
50,0%		0	+ -	14 417 -14 419	131 588 131 588	- -	- -	VNR VNR						
62,5%		0	+ -	12 605 -16 652	131 588 131 588	- -	- -	VNR VNR						
75,0%		0	+ -	10 793 -18 884	131 588 131 588	- -	- -	VNR VNR						
87,5%		1412	+ -	8 979 -21 119	131 588 131 588	14 597 14 597	2,50 2,50	6,06 3,89						
100%		1866	+ -	7 300	131 588	14 597	2,50	5,46						

Travi (CA) - Verifica composta taglio e torsione SLU

Id _{Tr}	%L _{Lt} [%]	T _{Ed} [N-m]	+ / -	V _{Ed,2} [N]	V _{Rcd} [N]	T _{Rcd} [N-m]	Ctg θ	CS _{v,T}
Trave 5-6	0%	2782	-	-23 144	131 588	14 597	2,50	3,29
			+	25 632	131 588	14 597	2,50	2,59
	12,5%	2384	-	-13 785	131 588	14 597	2,50	3,39
			+	24 014	131 588	14 597	2,50	2,89
	25,0%	1945	-	-15 114	131 588	14 597	2,50	3,59
			+	22 376	131 588	14 597	2,50	3,30
	37,5%	1505	-	-16 444	131 588	14 597	2,50	3,87
			+	20 739	131 588	14 597	2,50	3,84
	50,0%	1063	-	-17 772	131 588	14 597	2,50	4,20
			+	19 102	131 588	14 597	2,50	4,59
62,5%	0	-	-19 101	131 588	14 597	2,50	4,59	
		+	17 773	131 588	-	-	VNR	
75,0%	0	-	-20 739	131 588	-	-	VNR	
		+	16 443	131 588	-	-	VNR	
87,5%	0	-	-22 377	131 588	-	-	VNR	
		+	15 114	131 588	-	-	VNR	
100%	0	-	-24 014	131 588	-	-	VNR	
		+	13 785	131 588	-	-	VNR	
100%	0	-	-25 642	131 588	-	-	VNR	
		+	25 642	131 588	-	-	VNR	
Piano Terra					Travata: Trave 7-8-9-10-11-12			
Trave 7-8	0%	0	+	20 453	131 588	-	-	VNR
			-	-12 163	131 588	-	-	VNR
	12,5%	0	+	19 332	131 588	-	-	VNR
			-	-13 100	131 588	-	-	VNR
	25,0%	0	+	18 191	131 588	-	-	VNR
			-	-14 037	131 588	-	-	VNR
	37,5%	0	+	17 051	131 588	-	-	VNR
			-	-14 973	131 588	-	-	VNR
	50,0%	0	+	15 910	131 588	-	-	VNR
			-	-15 911	131 588	-	-	VNR
62,5%	0	+	14 973	131 588	-	-	VNR	
		-	-17 050	131 588	-	-	VNR	
75,0%	0	+	14 036	131 588	-	-	VNR	
		-	-18 191	131 588	-	-	VNR	
87,5%	0	+	13 099	131 588	-	-	VNR	
		-	-19 332	131 588	-	-	VNR	
100,0%	0	+	12 162	131 588	-	-	VNR	
		-	-20 453	131 588	-	-	VNR	
Trave 8-9	0%	0	+	21 938	131 588	-	-	VNR
			-	-5 755	131 588	-	-	VNR
	12,5%	0	+	19 698	131 588	-	-	VNR
			-	-7 519	131 588	-	-	VNR
	25,0%	0	+	17 420	131 588	-	-	VNR
			-	-9 299	131 588	-	-	VNR
	37,5%	0	+	15 141	131 588	-	-	VNR
			-	-11 080	131 588	-	-	VNR
	50,0%	0	+	12 862	131 588	-	-	VNR
			-	-12 861	131 588	-	-	VNR
62,5%	0	+	11 081	131 588	-	-	VNR	
		-	-15 139	131 588	-	-	VNR	
75,0%	0	+	9 299	131 588	-	-	VNR	
		-	-17 419	131 588	-	-	VNR	
87,5%	0	+	7 519	131 588	-	-	VNR	
		-	-19 697	131 588	-	-	VNR	
100,0%	0	+	5 754	131 588	-	-	VNR	
		-	-21 928	131 588	-	-	VNR	
Trave 9-10	0%	0	+	20 527	131 588	-	-	VNR
			-	-12 046	131 588	-	-	VNR
	12,5%	0	+	19 389	131 588	-	-	VNR
			-	-13 006	131 588	-	-	VNR
	25,0%	0	+	18 221	131 588	-	-	VNR
			-	-13 965	131 588	-	-	VNR
	37,5%	0	+	17 052	131 588	-	-	VNR
			-	-14 925	131 588	-	-	VNR
	50,0%	0	+	15 884	131 588	-	-	VNR
			-	-15 885	131 588	-	-	VNR
62,5%	0	+	14 925	131 588	-	-	VNR	
		-	-17 053	131 588	-	-	VNR	
75,0%	0	+	13 965	131 588	-	-	VNR	
		-	-18 221	131 588	-	-	VNR	
87,5%	0	+	13 006	131 588	-	-	VNR	
		-	-19 389	131 588	-	-	VNR	
100,0%	0	+	12 046	131 588	-	-	VNR	
		-	-20 527	131 588	-	-	VNR	
Trave 11-10	0%	0	+	20 414	131 588	-	-	VNR
			-	-9 913	131 588	-	-	VNR
	12,5%	0	+	19 009	131 588	-	-	VNR
			-	-11 072	131 588	-	-	VNR
	25,0%	0	+	17 545	131 588	-	-	VNR
-			-12 254	131 588	-	-	VNR	
37,5%	0	+	16 080	131 588	-	-	VNR	
		-	-13 436	131 588	-	-	VNR	
50,0%	0	+	14 617	131 588	-	-	VNR	

Travi (CA) - Verifica composta taglio e torsione SLU

Id _{Tr}	%L _{Lt} [%]	T _{Ed} [N-m]	+ / -	V _{Ed,2} [N]	V _{Rcd} [N]	T _{Rcd} [N-m]	Ctg θ	CS _{v,T}
			-	-14 617	131 588	-	-	VNR
	62,5%	0	+	13 436	131 588	-	-	VNR
			-	-16 079	131 588	-	-	VNR
	75,0%	0	+	12 254	131 588	-	-	VNR
			-	-17 544	131 588	-	-	VNR
	87,5%	0	+	11 073	131 588	-	-	VNR
			-	-19 008	131 588	-	-	VNR
	100%	0	+	9 902	131 588	-	-	VNR
			-	-20 429	131 588	-	-	VNR
Trave 11-12	0%	0	+	22 520	131 588	-	-	VNR
			-	-15 512	131 588	-	-	VNR
	12,5%	0	+	21 585	131 588	-	-	VNR
			-	-16 305	131 588	-	-	VNR
	25,0%	0	+	20 618	131 588	-	-	VNR
			-	-17 099	131 588	-	-	VNR
	37,5%	0	+	19 653	131 588	-	-	VNR
			-	-17 892	131 588	-	-	VNR
	50,0%	0	+	18 686	131 588	-	-	VNR
			-	-18 686	131 588	-	-	VNR
	62,5%	0	+	17 893	131 588	-	-	VNR
			-	-19 652	131 588	-	-	VNR
	75,0%	0	+	17 099	131 588	-	-	VNR
			-	-20 618	131 588	-	-	VNR
	87,5%	0	+	16 306	131 588	-	-	VNR
			-	-21 584	131 588	-	-	VNR
	100,0%	0	+	15 512	131 588	-	-	VNR
			-	-22 531	131 588	-	-	VNR
Piano Terra					Travata: Trave 13-14-15			
Trave 14-13	0%	2086	+	30 185	175 463	21 895	2,50	3,74
			-	-23 580	175 463	21 895	2,50	4,35
	12,5%	2086	+	29 341	175 463	21 895	2,50	3,81
			-	-24 366	175 463	21 895	2,50	4,27
	25,0%	2086	+	28 469	175 463	21 895	2,50	3,88
			-	-25 152	175 463	21 895	2,50	4,19
	37,5%	2086	+	27 598	175 463	21 895	2,50	3,96
			-	-25 938	175 463	21 895	2,50	4,11
	50,0%	2086	+	26 726	175 463	21 895	2,50	4,04
			-	-26 724	175 463	21 895	2,50	4,04
	62,5%	2086	+	25 940	175 463	21 895	2,50	4,11
			-	-27 595	175 463	21 895	2,50	3,96
	75,0%	2086	+	25 153	175 463	21 895	2,50	4,19
			-	-28 469	175 463	21 895	2,50	3,88
	87,5%	2086	+	24 366	175 463	21 895	2,50	4,27
			-	-29 341	175 463	21 895	2,50	3,81
	100%	2086	+	23 579	175 463	21 895	2,50	4,35
			-	-30 200	175 463	21 895	2,50	3,74
Trave 15-14	0%	2132	+	29 009	175 462	21 895	2,50	3,81
			-	-22 035	175 462	21 895	2,50	4,49
	12,5%	2132	+	28 105	175 462	21 895	2,50	3,88
			-	-22 863	175 462	21 895	2,50	4,39
	25,0%	2132	+	27 186	175 462	21 895	2,50	3,96
			-	-23 691	175 462	21 895	2,50	4,30
	37,5%	2132	+	26 267	175 462	21 895	2,50	4,05
			-	-24 520	175 462	21 895	2,50	4,22
	50,0%	2132	+	25 349	175 462	21 895	2,50	4,13
			-	-25 348	175 462	21 895	2,50	4,13
	62,5%	2132	+	24 520	175 462	21 895	2,50	4,22
			-	-26 268	175 462	21 895	2,50	4,05
	75,0%	2132	+	23 692	175 462	21 895	2,50	4,30
			-	-27 186	175 462	21 895	2,50	3,96
	87,5%	2132	+	22 863	175 462	21 895	2,50	4,39
			-	-28 105	175 462	21 895	2,50	3,88
	100%	2132	+	22 033	175 462	21 895	2,50	4,49
			-	-29 012	175 462	21 895	2,50	3,81
Piano Terra					Travata: Trave 16-17-18			
Trave 16-17	0%	2086	+	30 196	175 463	21 895	2,50	3,74
			-	-23 581	175 463	21 895	2,50	4,35
	12,5%	2086	+	29 338	175 463	21 895	2,50	3,81
			-	-24 367	175 463	21 895	2,50	4,27
	25,0%	2086	+	28 467	175 463	21 895	2,50	3,88
			-	-25 153	175 463	21 895	2,50	4,19
	37,5%	2086	+	27 595	175 463	21 895	2,50	3,96
			-	-25 939	175 463	21 895	2,50	4,11
	50,0%	2086	+	26 724	175 463	21 895	2,50	4,04
			-	-26 725	175 463	21 895	2,50	4,04
	62,5%	2086	+	25 938	175 463	21 895	2,50	4,11
			-	-27 597	175 463	21 895	2,50	3,96
	75,0%	2086	+	25 153	175 463	21 895	2,50	4,19
			-	-28 467	175 463	21 895	2,50	3,88
	87,5%	2086	+	24 367	175 463	21 895	2,50	4,27
			-	-29 339	175 463	21 895	2,50	3,81
	100%	2086	+	23 581	175 463	21 895	2,50	4,35
			-	-30 183	175 463	21 895	2,50	3,74
Trave 17-18	0%	2129	+	29 007	175 462	21 895	2,50	3,81

Travi (CA) - Verifica composta taglio e torsione SLU

Id _{Tr}	%L _{Lt} [%]	T _{Ed} [N-m]	+ / -	V _{Ed,2} [N]	V _{Rcd} [N]	T _{Rcd} [N-m]	Ctg θ	CS _{v,T}	
			-	-22 035	175 462	21 895	2,50	4,49	
	12,5%	2129	+	28 102	175 462	21 895	2,50	3,89	
			-	-22 863	175 462	21 895	2,50	4,39	
	25,0%	2129	+	27 184	175 462	21 895	2,50	3,97	
			-	-23 691	175 462	21 895	2,50	4,31	
	37,5%	2129	+	26 266	175 462	21 895	2,50	4,05	
			-	-24 519	175 462	21 895	2,50	4,22	
	50,0%	2129	+	25 347	175 462	21 895	2,50	4,14	
			-	-25 348	175 462	21 895	2,50	4,14	
	62,5%	2129	+	24 519	175 462	21 895	2,50	4,22	
			-	-26 266	175 462	21 895	2,50	4,05	
	75,0%	2129	+	23 691	175 462	21 895	2,50	4,31	
			-	-27 184	175 462	21 895	2,50	3,97	
	87,5%	2129	+	22 863	175 462	21 895	2,50	4,39	
			-	-28 102	175 462	21 895	2,50	3,89	
	100,0%	2129	+	22 035	175 462	21 895	2,50	4,49	
			-	-29 007	175 462	21 895	2,50	3,81	
Piano Terra					Travata: Trave 19-20-21-22-23-24				
Trave 19-20	0%	1591	+	23 879	131 588	14 597	2,50	3,44	
			-	-9 544	131 588	14 597	2,50	5,51	
	12,5%	1096	+	21 908	131 588	14 597	2,50	4,14	
			-	-11 151	131 588	14 597	2,50	6,26	
	25,0%	0	+	19 928	131 588	-	-	VNR	
			-	-12 757	131 588	-	-	VNR	
	37,5%	0	+	17 949	131 588	-	-	VNR	
			-	-14 363	131 588	-	-	VNR	
	50,0%	0	+	15 969	131 588	-	-	VNR	
			-	-15 969	131 588	-	-	VNR	
	62,5%	1222	+	14 362	131 588	14 597	2,50	5,19	
			-	-17 949	131 588	14 597	2,50	4,54	
	75,0%	1759	+	12 756	131 588	14 597	2,50	4,60	
			-	-19 929	131 588	14 597	2,50	3,68	
	87,5%	2297	+	11 149	131 588	14 597	2,50	4,13	
			-	-21 910	131 588	14 597	2,50	3,09	
	100,0%	2791	+	9 543	131 588	14 597	2,50	3,79	
			-	-23 879	131 588	14 597	2,50	2,68	
Trave 20-21	0%	3485	+	22 967	131 588	14 597	2,50	2,42	
			-	-4 693	131 588	14 597	2,50	3,64	
	12,5%	2844	+	20 454	131 588	14 597	2,50	2,85	
			-	-6 740	131 588	14 597	2,50	4,06	
	25,0%	2159	+	17 929	131 588	14 597	2,50	3,52	
			-	-8 788	131 588	14 597	2,50	4,66	
	37,5%	1475	+	15 406	131 588	14 597	2,50	4,58	
			-	-10 835	131 588	14 597	2,50	5,45	
	50,0%	0	+	12 883	131 588	-	-	VNR	
			-	-12 882	131 588	-	-	VNR	
	62,5%	0	+	10 835	131 588	-	-	VNR	
			-	-15 406	131 588	-	-	VNR	
	75,0%	0	+	8 788	131 588	-	-	VNR	
			-	-17 930	131 588	-	-	VNR	
	87,5%	1363	+	6 740	131 588	14 597	2,50	6,92	
			-	-20 454	131 588	14 597	2,50	4,02	
	100%	2006	+	4 692	131 588	14 597	2,50	5,78	
			-	-22 969	131 588	14 597	2,50	3,21	
Trave 21-22	0%	2284	+	24 020	131 588	14 597	2,50	2,95	
			-	-9 336	131 588	14 597	2,50	4,40	
	12,5%	1776	+	22 002	131 588	14 597	2,50	3,46	
			-	-10 982	131 588	14 597	2,50	4,88	
	25,0%	1226	+	19 973	131 588	14 597	2,50	4,24	
			-	-12 627	131 588	14 597	2,50	5,56	
	37,5%	0	+	17 946	131 588	-	-	VNR	
			-	-14 272	131 588	-	-	VNR	
	50,0%	0	+	15 917	131 588	-	-	VNR	
			-	-15 918	131 588	-	-	VNR	
	62,5%	0	+	14 272	131 588	-	-	VNR	
			-	-17 945	131 588	-	-	VNR	
	75,0%	1081	+	12 626	131 588	14 597	2,50	5,88	
			-	-19 974	131 588	14 597	2,50	4,43	
	87,5%	1631	+	10 981	131 588	14 597	2,50	5,12	
			-	-22 002	131 588	14 597	2,50	3,59	
	100,0%	2139	+	9 335	131 588	14 597	2,50	4,60	
			-	-24 020	131 588	14 597	2,50	3,04	
Trave 22-23	0%	2234	+	23 527	131 588	14 597	2,50	3,01	
			-	-7 694	131 588	14 597	2,50	4,73	
	12,5%	1682	+	21 351	131 588	14 597	2,50	3,60	
			-	-9 468	131 588	14 597	2,50	5,34	
	25,0%	1089	+	19 164	131 588	14 597	2,50	4,54	
			-	-11 242	131 588	14 597	2,50	6,25	
	37,5%	0	+	16 978	131 588	-	-	VNR	
			-	-13 016	131 588	-	-	VNR	
	50,0%	0	+	14 790	131 588	-	-	VNR	
			-	-14 791	131 588	-	-	VNR	
	62,5%	0	+	13 016	131 588	-	-	VNR	

Travi (CA) - Verifica composta taglio e torsione SLU

Id _{Tr}	%L _{Lt} [%]	T _{Ed} [N-m]	+ / -	V _{Ed,2} [N]	V _{Rcd} [N]	T _{Rcd} [N-m]	Ctg θ	CS _{v,T}
			-	-16 978	131 588	-	-	VNR
	75,0%	1405	+ -	11 243 -19 163	131 588 131 588	14 597 14 597	2,50 2,50	5,50 4,13
	87,5%	1997	+ -	9 468 -21 351	131 588 131 588	14 597 14 597	2,50 2,50	4,79 3,34
	100,0%	2549	+ -	7 694 -23 528	131 588 131 588	14 597 14 597	2,50 2,50	4,29 2,83
Trave 23-24	0%	2170	+ -	25 171 -13 017	131 588 131 588	14 597 14 597	2,50 2,50	2,94 4,04
	12,5%	1807	+ -	23 576 -14 330	131 588 131 588	14 597 14 597	2,50 2,50	3,30 4,30
	25,0%	1346	+ -	21 874 -15 710	131 588 131 588	14 597 14 597	2,50 2,50	3,87 4,73
	37,5%	0	+ -	20 172 -17 091	131 588 131 588	- -	- -	VNR VNR
	50,0%	0	+ -	18 471 -18 471	131 588 131 588	- -	- -	VNR VNR
	62,5%	0	+ -	17 092 -20 171	131 588 131 588	- -	- -	VNR VNR
	75,0%	0	+ -	15 712 -21 872	131 588 131 588	- -	- -	VNR VNR
	87,5%	1109	+ -	14 331 -23 574	131 588 131 588	14 597 14 597	2,50 2,50	5,41 3,92
	100,0%	1528	+ -	12 951 -25 265	131 588 131 588	14 597 14 597	2,50 2,50	4,92 3,37
Piano Terra					Travata: Trave 1-7-19			
Trave 1-7	0%	2110	+ -	42 367 -5 976	175 742 175 742	21 895 21 895	2,50 2,50	2,96 7,67
	12,5%	1741	+ -	36 839 -10 122	175 742 175 742	21 895 21 895	2,50 2,50	3,46 7,29
	25,0%	1331	+ -	31 310 -14 270	175 742 175 742	21 895 21 895	2,50 2,50	4,18 7,04
	37,5%	0	+ -	25 782 -18 416	175 742 175 742	- -	- -	VNR VNR
	50,0%	0	+ -	20 254 -22 564	175 742 175 742	- -	- -	VNR VNR
	62,5%	0	+ -	16 107 -28 092	175 742 175 742	- -	- -	VNR VNR
	75,0%	0	+ -	11 960 -33 619	175 742 175 742	- -	- -	VNR VNR
	87,5%	0	+ -	7 813 -39 149	175 742 175 742	- -	- -	VNR VNR
	100,0%	1183	+ -	3 666 -44 677	175 742 175 742	21 895 21 895	2,50 2,50	13,35 3,24
Trave 7-19	0%	1123	+ -	44 728 -4 959	175 704 175 704	21 895 21 895	2,50 2,50	3,27 12,58
	12,5%	0	+ -	39 388 -8 964	175 704 175 704	- -	- -	VNR VNR
	25,0%	0	+ -	34 049 -12 969	175 704 175 704	- -	- -	VNR VNR
	37,5%	0	+ -	28 709 -16 975	175 704 175 704	- -	- -	VNR VNR
	50,0%	0	+ -	23 370 -20 980	175 704 175 704	- -	- -	VNR VNR
	62,5%	0	+ -	19 365 -26 320	175 704 175 704	- -	- -	VNR VNR
	75,0%	1309	+ -	15 360 -31 658	175 704 175 704	21 895 21 895	2,50 2,50	6,79 4,17
	87,5%	1704	+ -	11 355 -36 998	175 704 175 704	21 895 21 895	2,50 2,50	7,02 3,47
	100,0%	2060	+ -	7 349 -42 338	175 704 175 704	21 895 21 895	2,50 2,50	7,36 2,98
Piano Terra					Travata: Trave 2-8-20			
Trave 2-8	0%	0	+ -	59 470 0	175 851 175 851	- -	- -	VNR VNR
	12,5%	0	+ -	49 767 -3 254	175 851 175 851	- -	- -	VNR VNR
	25,0%	0	+ -	40 066 -10 291	175 851 175 851	- -	- -	VNR VNR
	37,5%	0	+ -	30 364 -17 327	175 851 175 851	- -	- -	VNR VNR
	50,0%	0	+ -	20 663 -24 364	175 851 175 851	- -	- -	VNR VNR
	62,5%	0	+ -	13 626 -34 066	175 851 175 851	- -	- -	VNR VNR
	75,0%	0	+ -	6 589 -43 767	175 851 175 851	- -	- -	VNR VNR
	87,5%	0	+ -	0 -56 222	175 851 175 851	- -	- -	VNR VNR
	100,0%	0	+ -	0 -70 348	175 851 175 851	- -	- -	VNR VNR
Trave 8-20	0%	0	+ -	62 879 0	175 725 175 725	- -	- -	VNR VNR
	12,5%	0	+ -	54 155 0	175 725 175 725	- -	- -	VNR VNR

Travi (CA) - Verifica composta taglio e torsione SLU

Id _{Tr}	%L _{Lt} [%]	T _{Ed} [N-m]	+ / -	V _{Ed,2} [N]	V _{Rcd} [N]	T _{Rcd} [N-m]	Ctg θ	CS _{v,T}
			-	-3 577	175 725	-	-	VNR
	25,0%	0	+	44 276	175 725	-	-	VNR
			-	-10 128	175 725	-	-	VNR
	37,5%	0	+	34 860	175 725	-	-	VNR
			-	-16 958	175 725	-	-	VNR
	50,0%	0	+	25 443	175 725	-	-	VNR
			-	-23 787	175 725	-	-	VNR
	62,5%	0	+	18 549	175 725	-	-	VNR
			-	-33 141	175 725	-	-	VNR
	75,0%	0	+	11 720	175 725	-	-	VNR
			-	-42 557	175 725	-	-	VNR
	87,5%	0	+	4 890	175 725	-	-	VNR
			-	-51 974	175 725	-	-	VNR
	100,0%	0	+	0	175 725	-	-	VNR
			-	-61 392	175 725	-	-	VNR
Piano Terra					Travata: Trave 3-9-21			
Trave 3-9	0%	0	+	71 256	220 321	-	-	VNR
			-	0	220 321	-	-	VNR
	12,5%	0	+	55 678	220 321	-	-	VNR
			-	0	220 321	-	-	VNR
	25,0%	0	+	43 802	220 321	-	-	VNR
			-	-7 647	220 321	-	-	VNR
	37,5%	0	+	31 923	220 321	-	-	VNR
			-	-16 298	220 321	-	-	VNR
	50,0%	0	+	20 097	220 321	-	-	VNR
			-	-25 001	220 321	-	-	VNR
62,5%	0	+	11 447	220 321	-	-	VNR	
		-	-36 879	220 321	-	-	VNR	
75,0%	0	+	2 796	220 321	-	-	VNR	
		-	-48 757	220 321	-	-	VNR	
87,5%	0	+	0	220 321	-	-	VNR	
		-	-65 608	220 321	-	-	VNR	
100%	0	+	0	220 321	-	-	VNR	
		-	-77 652	220 321	-	-	VNR	
Trave 9-21	0%	0	+	62 545	175 716	-	-	VNR
			-	-4 290	175 716	-	-	VNR
	12,5%	0	+	54 876	175 716	-	-	VNR
			-	-9 851	175 716	-	-	VNR
	25,0%	0	+	47 209	175 716	-	-	VNR
			-	-15 411	175 716	-	-	VNR
	37,5%	0	+	39 539	175 716	-	-	VNR
			-	-20 972	175 716	-	-	VNR
	50,0%	0	+	31 870	175 716	-	-	VNR
			-	-26 533	175 716	-	-	VNR
62,5%	0	+	26 310	175 716	-	-	VNR	
		-	-34 201	175 716	-	-	VNR	
75,0%	0	+	20 749	175 716	-	-	VNR	
		-	-41 869	175 716	-	-	VNR	
87,5%	0	+	15 188	175 716	-	-	VNR	
		-	-49 538	175 716	-	-	VNR	
100%	0	+	9 629	175 716	-	-	VNR	
		-	-57 206	175 716	-	-	VNR	
Piano Terra					Travata: Trave 4-10-22			
Trave 4-10	0%	0	+	70 773	220 305	-	-	VNR
			-	0	220 305	-	-	VNR
	12,5%	0	+	59 605	220 305	-	-	VNR
			-	0	220 305	-	-	VNR
	25,0%	0	+	48 446	220 305	-	-	VNR
			-	-4 023	220 305	-	-	VNR
	37,5%	0	+	37 295	220 305	-	-	VNR
			-	-12 156	220 305	-	-	VNR
	50,0%	0	+	26 152	220 305	-	-	VNR
			-	-20 284	220 305	-	-	VNR
62,5%	0	+	16 321	220 305	-	-	VNR	
		-	-29 707	220 305	-	-	VNR	
75,0%	0	+	8 205	220 305	-	-	VNR	
		-	-43 884	220 305	-	-	VNR	
87,5%	0	+	95	220 305	-	-	VNR	
		-	-61 789	220 305	-	-	VNR	
100%	0	+	0	220 305	-	-	VNR	
		-	-76 926	220 305	-	-	VNR	
Trave 10-22	0%	0	+	64 932	175 716	-	-	VNR
			-	-2 636	175 716	-	-	VNR
	12,5%	0	+	57 740	175 716	-	-	VNR
			-	-7 858	175 716	-	-	VNR
	25,0%	0	+	50 552	175 716	-	-	VNR
			-	-13 077	175 716	-	-	VNR
	37,5%	0	+	43 367	175 716	-	-	VNR
			-	-18 293	175 716	-	-	VNR
50,0%	0	+	36 184	175 716	-	-	VNR	
		-	-23 507	175 716	-	-	VNR	
62,5%	0	+	29 735	175 716	-	-	VNR	
		-	-29 448	175 716	-	-	VNR	
75,0%	0	+	24 527	175 716	-	-	VNR	

Travi (CA) - Verifica composta taglio e torsione SLU

Id _{Tr}	%L _{Lt} [%]	T _{Ed} [N-m]	+ / -	V _{Ed,2} [N]	V _{Rcd} [N]	T _{Rcd} [N-m]	Ctg θ	CS _{v,T}
			-	-36 621	175 716	-	-	VNR
	87,5%	0	+	19 321	175 716	-	-	VNR
			-	-43 791	175 716	-	-	VNR
	100%	0	+	14 118	175 716	-	-	VNR
			-	-50 958	175 716	-	-	VNR
Piano Terra					Travata: Trave 5-11-23			
Trave 5-11	0%	0	+	62 255	220 085	-	-	VNR
			-	0	220 085	-	-	VNR
	12,5%	0	+	52 348	220 085	-	-	VNR
			-	-26	220 085	-	-	VNR
	25,0%	0	+	42 440	220 085	-	-	VNR
			-	-7 266	220 085	-	-	VNR
	37,5%	0	+	32 535	220 085	-	-	VNR
			-	-14 504	220 085	-	-	VNR
	50,0%	0	+	22 628	220 085	-	-	VNR
			-	-21 745	220 085	-	-	VNR
	62,5%	0	+	14 933	220 085	-	-	VNR
			-	-31 195	220 085	-	-	VNR
	75,0%	0	+	7 693	220 085	-	-	VNR
			-	-41 102	220 085	-	-	VNR
	87,5%	0	+	454	220 085	-	-	VNR
			-	-55 500	220 085	-	-	VNR
	100%	0	+	0	220 085	-	-	VNR
			-	-70 057	220 085	-	-	VNR
Trave 11-23	0%	0	+	58 162	175 684	-	-	VNR
			-	-4 601	175 684	-	-	VNR
	12,5%	0	+	51 882	175 684	-	-	VNR
			-	-9 180	175 684	-	-	VNR
	25,0%	0	+	44 796	175 684	-	-	VNR
			-	-14 334	175 684	-	-	VNR
	37,5%	0	+	37 711	175 684	-	-	VNR
			-	-19 485	175 684	-	-	VNR
	50,0%	0	+	30 626	175 684	-	-	VNR
			-	-24 638	175 684	-	-	VNR
	62,5%	0	+	25 302	175 684	-	-	VNR
			-	-31 553	175 684	-	-	VNR
	75,0%	0	+	20 150	175 684	-	-	VNR
			-	-38 637	175 684	-	-	VNR
	87,5%	0	+	14 998	175 684	-	-	VNR
			-	-45 723	175 684	-	-	VNR
	100,0%	0	+	9 844	175 684	-	-	VNR
			-	-52 810	175 684	-	-	VNR
Piano Terra					Travata: Trave 6-12-24			
Trave 6-12	0%	2054	+	35 564	175 854	21 895	2,50	3,38
			-	-6 558	175 854	21 895	2,50	7,63
	12,5%	1637	+	30 072	175 854	21 895	2,50	4,07
			-	-10 708	175 854	21 895	2,50	7,37
	25,0%	1182	+	24 574	175 854	21 895	2,50	5,16
			-	-14 864	175 854	21 895	2,50	7,22
	37,5%	0	+	19 066	175 854	-	-	VNR
			-	-19 026	175 854	-	-	VNR
	50,0%	0	+	14 876	175 854	-	-	VNR
			-	-24 517	175 854	-	-	VNR
	62,5%	0	+	10 704	175 854	-	-	VNR
			-	-30 039	175 854	-	-	VNR
	75,0%	0	+	6 525	175 854	-	-	VNR
			-	-35 570	175 854	-	-	VNR
	87,5%	1197	+	2 342	175 854	21 895	2,50	14,71
			-	-41 108	175 854	21 895	2,50	3,47
	100%	1614	+	0	175 854	21 895	2,50	VNR
			-	-46 655	175 854	21 895	2,50	2,95
Trave 12-24	0%	0	+	40 262	175 567	-	-	VNR
			-	-14 634	175 567	-	-	VNR
	12,5%	0	+	36 167	175 567	-	-	VNR
			-	-17 725	175 567	-	-	VNR
	25,0%	0	+	32 071	175 567	-	-	VNR
			-	-20 816	175 567	-	-	VNR
	37,5%	0	+	27 968	175 567	-	-	VNR
			-	-23 913	175 567	-	-	VNR
	50,0%	0	+	24 861	175 567	-	-	VNR
			-	-28 015	175 567	-	-	VNR
	62,5%	0	+	21 761	175 567	-	-	VNR
			-	-32 123	175 567	-	-	VNR
	75,0%	1136	+	18 655	175 567	21 895	2,50	6,32
			-	-36 240	175 567	21 895	2,50	3,87
	87,5%	1469	+	15 547	175 567	21 895	2,50	6,42
			-	-40 360	175 567	21 895	2,50	3,37
	100%	1762	+	12 438	175 567	21 895	2,50	6,61
			-	-44 480	175 567	21 895	2,50	3,00
Piano Terra					Travata: Trave 13-16			
Trave 13-16	0%	1002	+	43 009	175 534	21 895	2,50	3,44
			-	-29 043	175 534	21 895	2,50	4,73
	12,5%	1002	+	41 263	175 534	21 895	2,50	3,56
			-	-30 423	175 534	21 895	2,50	4,56

Travi (CA) - Verifica composta taglio e torsione SLU

Id _{Tr}	%L _{Lt} [%]	T _{Ed} [N-m]	+/-	V _{Ed,2} [N]	V _{Rcd} [N]	T _{Rcd} [N-m]	Ctg θ	CS _{v,T}	
	25,0%	1002	+ -	39 227 -32 001	175 534 175 534	21 895 21 895	2,50 2,50	3,71 4,38	
	37,5%	1002	+ -	37 190 -33 578	175 534 175 534	21 895 21 895	2,50 2,50	3,88 4,22	
	50,0%	1002	+ -	35 155 -35 155	175 534 175 534	21 895 21 895	2,50 2,50	4,06 4,06	
	62,5%	1002	+ -	33 577 -37 191	175 534 175 534	21 895 21 895	2,50 2,50	4,22 3,88	
	75,0%	1002	+ -	32 000 -39 227	175 534 175 534	21 895 21 895	2,50 2,50	4,38 3,71	
	87,5%	1002	+ -	30 423 -41 263	175 534 175 534	21 895 21 895	2,50 2,50	4,56 3,56	
	100,0%	1002	+ -	29 043 -43 008	175 534 175 534	21 895 21 895	2,50 2,50	4,73 3,44	
Piano Terra					Travata: Trave 14-17				
Trave 14-17	0%	0	+ -	48 727 -25 012	175 575 175 575	- -	- -	VNR VNR	
	12,5%	0	+ -	45 818 -27 184	175 575 175 575	- -	- -	VNR VNR	
	25,0%	0	+ -	42 239 -29 812	175 575 175 575	- -	- -	VNR VNR	
	37,5%	0	+ -	38 655 -32 443	175 575 175 575	- -	- -	VNR VNR	
	50,0%	0	+ -	35 075 -35 071	175 575 175 575	- -	- -	VNR VNR	
	62,5%	0	+ -	32 445 -38 652	175 575 175 575	- -	- -	VNR VNR	
	75,0%	0	+ -	29 816 -42 234	175 575 175 575	- -	- -	VNR VNR	
	87,5%	0	+ -	27 186 -45 817	175 575 175 575	- -	- -	VNR VNR	
	100,0%	0	+ -	24 969 -48 791	175 575 175 575	- -	- -	VNR VNR	
Piano Terra					Travata: Trave 15-18				
Trave 15-18	0%	0	+ -	43 348 -28 680	175 539 175 539	- -	- -	VNR VNR	
	12,5%	0	+ -	41 526 -30 115	175 539 175 539	- -	- -	VNR VNR	
	25,0%	0	+ -	39 380 -31 771	175 539 175 539	- -	- -	VNR VNR	
	37,5%	0	+ -	37 231 -33 428	175 539 175 539	- -	- -	VNR VNR	
	50,0%	0	+ -	35 084 -35 085	175 539 175 539	- -	- -	VNR VNR	
	62,5%	0	+ -	33 428 -37 231	175 539 175 539	- -	- -	VNR VNR	
	75,0%	0	+ -	31 771 -39 379	175 539 175 539	- -	- -	VNR VNR	
	87,5%	0	+ -	30 114 -41 527	175 539 175 539	- -	- -	VNR VNR	
	100,0%	0	+ -	28 672 -43 359	175 539 175 539	- -	- -	VNR VNR	

LEGENDA:

Id_{Tr}	Identificativo della trave. L'eventuale lettera tra parentesi distingue i diversi tratti della travata al livello considerato.
%L_{Lt}	Posizione della sezione per la quale vengono forniti i valori di verifica, valutata come % della lunghezza libera d'inflessione (L _{Lt}), a partire dall'estremo iniziale.
T_{Ed}	Momento torcente di progetto.
+/-	[+] = sollecitazione massima; [-] = sollecitazione minima.
V_{Ed,2}	Taglio di progetto in direzione 2.
V_{Rcd}	Resistenza a taglio compressione del calcestruzzo.
T_{Rcd}	Momento resistente del calcestruzzo.
Ctgθ	Cotangente dell'angolo θ utilizzata nella verifica.
CS_{v,T}	Coefficiente di sicurezza per taglio e torsione ([NS] = Non Significativo per valori di CS >= 100; [VNR]= Verifica Non Richiesta).

Travi - VERIFICHE DELLE TENSIONI DI ESERCIZIO (Elevazione)

Travi - verifiche delle tensioni di esercizio

%LLI T _{prnf}	Compressione calcestruzzo								Trazione acciaio							
	Compressione calcestruzzo rinforzo								Trazione acciaio/FRP rinforzo							
Id _{Cmb}	σ_{cc}	$\sigma_{cd,amm}$	N _{Ed}	M _{Ed,3}	M _{Ed,2}	CS	Verific ato	Id _{Cmb}	σ_{at}	$\sigma_{td,amm}$	N _{Ed}	M _{Ed,3}	M _{Ed,2}	CS	Verific ato	
[%]	[N/mm ²]	[N/mm ²]	[N]	[N-m]	[N-m]				[N/mm ²]	[N/mm ²]	[N]	[N-m]	[N-m]			
Piano Terra					Travata: Trave 1-2-3-4-5-6											
Trave: Trave 1-2					FRC=0,03 cm											
0%	RAR	1,015	14,94	379	3 738	-	14.71	SI	RAR	9,072	360,00	379	3 738	-	39.68	SI
	QPR	0,843	11,21	620	3 093	-	13.28	SI								
25,0%	RAR	0,585	14,94	1 292	-2 108	-	25.55	SI	RAR	5,005	360,00	33	-2 050	-	71.92	SI
	QPR	0,502	11,21	620	-1 829	-	22.33	SI								
50,0%	RAR	0,862	14,94	1 310	-3 131	-	17.34	SI	RAR	7,699	360,00	33	-3 152	-	46.76	SI
	QPR	0,768	11,21	620	-2 813	-	14.59	SI								
75,0%	RAR	0,107	14,94	1 693	324	-	NS	SI	RAR	0,502	360,00	1 693	324	-	NS	SI
	QPR	0,046	11,21	620	143	-	NS	SI								
100,0%	RAR	3,850	14,94	1 310	8 053	-	3.88	SI	RAR	108,712	360,00	1 310	8 053	-	3.31	SI
	QPR	1,911	11,21	620	7 040	-	5.86	SI								

Travi - verifiche delle tensioni di esercizio

%LLI T _{prnf}	Compressione calcestruzzo								Trazione acciaio							
	Compressione calcestruzzo rinforzo								Trazione acciaio/FRP rinforzo							
	IdCmb	σ _{cc}	σ _{cd,amm}	N _{Ed}	M _{Ed,3}	M _{Ed,2}	CS	Verificato	IdCmb	σ _{at}	σ _{td,amm}	N _{Ed}	M _{Ed,3}	M _{Ed,2}	CS	Verificato
[%]	[N/mm ²]	[N/mm ²]	[N]	[N-m]	[N-m]				[N/mm ²]	[N/mm ²]	[N]	[N-m]	[N-m]			
25,0%	RAR	0,407	14,94	2 655	1 816	-	36.74	SI	RAR	3,113	360,00	2 655	1 816	-	NS	SI
	QPR	0,293	11,21	1 700	1 316	-	38.28	SI								
50,0%	RAR	0,919	14,94	2 498	-4 250	-	16.26	SI	RAR	7,889	360,00	1 479	-4 236	-	45.63	SI
	QPR	0,786	11,21	1 700	-3 654	-	14.26	SI								
75,0%	RAR	0,832	14,94	2 498	-3 841	-	17.95	SI	RAR	7,000	360,00	2 498	-3 841	-	51.43	SI
	QPR	0,666	11,21	1 700	-3 085	-	16.83	SI								
100%	RAR	0,936	14,94	1 765	4 363	-	15.96	SI	RAR	8,094	360,00	1 765	4 363	-	44.47	SI
	QPR	0,655	11,21	1 700	3 036	-	17.09	SI								
Piano Terra								Travata: Trave 13-16								
Trave: Trave 13-16								FRC=0,01 cm								
0%	RAR	0,157	14,94	1 029	702	-	95.01	SI	RAR	1,202	360,00	1 029	702	-	NS	SI
	QPR	0,139	11,21	891	623	-	80.41	SI								
25,0%	RAR	0,578	14,94	1 029	-2 695	-	25.86	SI	RAR	5,003	360,00	1 029	-2 695	-	71.96	SI
	QPR	0,504	11,21	891	-2 352	-	22.22	SI								
50,0%	RAR	0,818	14,94	1 029	-3 832	-	18.27	SI	RAR	7,171	360,00	1 029	-3 832	-	50.20	SI
	QPR	0,714	11,21	891	-3 346	-	15.69	SI								
75,0%	RAR	0,578	14,94	1 029	-2 695	-	25.86	SI	RAR	5,003	360,00	1 029	-2 695	-	71.96	SI
	QPR	0,504	11,21	891	-2 352	-	22.22	SI								
100,0%	RAR	0,158	14,94	1 029	705	-	94.63	SI	RAR	1,208	360,00	1 029	705	-	NS	SI
	QPR	0,140	11,21	891	625	-	80.16	SI								
Piano Terra								Travata: Trave 14-17								
Trave: Trave 14-17								FRC=0,01 cm								
0%	RAR	0,460	14,94	1 590	2 114	-	32.47	SI	RAR	3,820	360,00	1 590	2 114	-	94.24	SI
	QPR	0,392	11,21	1 358	1 803	-	28.55	SI								
25,0%	RAR	0,860	14,94	1 590	-4 010	-	17.37	SI	RAR	7,436	360,00	1 590	-4 010	-	48.41	SI
	QPR	0,738	11,21	1 358	-3 439	-	15.19	SI								
50,0%	RAR	1,292	14,94	1 590	-6 056	-	11.56	SI	RAR	11,338	360,00	1 590	-6 056	-	31.75	SI
	QPR	1,107	11,21	1 358	-5 191	-	10.12	SI								
75,0%	RAR	0,858	14,94	1 590	-4 002	-	17.40	SI	RAR	7,421	360,00	1 590	-4 002	-	48.51	SI
	QPR	0,736	11,21	1 358	-3 431	-	15.22	SI								
100,0%	RAR	0,465	14,94	1 590	2 135	-	32.16	SI	RAR	3,860	360,00	1 590	2 135	-	93.26	SI
	QPR	0,397	11,21	1 358	1 824	-	28.23	SI								
Piano Terra								Travata: Trave 15-18								
Trave: Trave 15-18								FRC=0,01 cm								
0%	RAR	0,176	14,94	1 088	789	-	84.83	SI	RAR	1,360	360,00	1 088	789	-	NS	SI
	QPR	0,155	11,21	941	697	-	72.10	SI								
25,0%	RAR	0,602	14,94	1 088	-2 809	-	24.80	SI	RAR	5,212	360,00	1 088	-2 809	-	69.06	SI
	QPR	0,525	11,21	941	-2 447	-	21.35	SI								
50,0%	RAR	0,855	14,94	1 088	-4 009	-	17.46	SI	RAR	7,501	360,00	1 088	-4 009	-	47.99	SI
	QPR	0,746	11,21	941	-3 496	-	15.02	SI								
75,0%	RAR	0,602	14,94	1 088	-2 806	-	24.83	SI	RAR	5,207	360,00	1 088	-2 806	-	69.14	SI
	QPR	0,524	11,21	941	-2 445	-	21.37	SI								
100,0%	RAR	0,177	14,94	1 088	793	-	84.42	SI	RAR	1,367	360,00	1 088	793	-	NS	SI
	QPR	0,156	11,21	941	700	-	71.81	SI								

LEGENDA:

- %LLI** Posizione della sezione per la quale vengono forniti i valori di verifica, valutata come % della lunghezza libera d'inflessione (L_{LI}), a partire dall'estremo iniziale.
- Rinf.** Indica la presenza del rinforzo sulla sezione di verifica.
- FRC** Spostamento massimo (freccia) dell'elemento, valutata in combinazione Caratteristica (RARA).
- IdCmb** Identificativo della Combinazione di Azione: [QPR] = Quasi Permanente - [FRQ] = Frequente - [RAR] = Rara.
- σ_{cc}** Tensione massima di compressione nel calcestruzzo.
- σ_{cd,amm}** Tensione ammissibile per la verifica a compressione del calcestruzzo.
- N_{Ed}, M_{Ed,3}, M_{Ed,2}** Sollecitazioni di progetto.
- σ_{at}** Tensione massima di trazione nell'acciaio della Trave/Rinforzo o nel FRP.
- σ_{td,amm}** Tensione ammissibile per la verifica a trazione dell'acciaio/rinforzo.
- CS** Coefficiente di Sicurezza (= σ_{cd,amm}/σ_{cc} ; σ_{td,amm}/σ_{at}). [NS] = Non Significativo (CS ≥ 100).
- Verificato** [SI] = La verifica è soddisfatta (σ_{cc} ≤ σ_{cd,amm} ; σ_{at} ≤ σ_{td,amm}). [NO] = La verifica NON è soddisfatta (σ_{cc} > σ_{cd,amm} ; σ_{at} > σ_{td,amm}).

Travi - VERIFICA ALLO STATO LIMITE DI FESSURAZIONE (Elevazione)

Travi - verifica allo stato limite di fessurazione

%LLI	IdCmb	N _{Ed}	M _{Ed,3}	M _{Ed,2}	σ _{ct,f}	σ _t	ε _{sm}	A _e	Δ _{sm}	W _d	W _{amm}	CS	Verificato
[%]		[N]	[N-m]	[N-m]	[N/mm ²]	[N/mm ²]		[cm ²]	[mm]	[mm]	[mm]		
Piano Terra								Travata: Trave 1-2-3-4-5-6					
Trave: Trave 1-2								AA= PCA					
0%	FRQ	519	3 169	-	0,85	2,13	0 E+00	0	0	0,000	0,400	-	SI
	QPR	620	3 093	-	0,83	2,13	0 E+00	0	0	0,000	0,300	-	SI
12,5%	FRQ	519	197	-	0,05	2,13	0 E+00	0	0	0,000	0,400	-	SI
	QPR	620	140	-	0,03	2,13	0 E+00	0	0	0,000	0,300	-	SI
25,0%	FRQ	630	-1 861	-	0,50	2,13	0 E+00	0	0	0,000	0,400	-	SI
	QPR	620	-1 829	-	0,49	2,13	0 E+00	0	0	0,000	0,300	-	SI
37,5%	FRQ	630	-2 866	-	0,77	2,13	0 E+00	0	0	0,000	0,400	-	SI
	QPR	620	-2 813	-	0,75	2,13	0 E+00	0	0	0,000	0,300	-	SI
50,0%	FRQ	630	-2 868	-	0,77	2,13	0 E+00	0	0	0,000	0,400	-	SI
	QPR	620	-2 813	-	0,75	2,13	0 E+00	0	0	0,000	0,300	-	SI
62,5%	FRQ	630	-1 864	-	0,50	2,13	0 E+00	0	0	0,000	0,400	-	SI
	QPR	620	-1 827	-	0,49	2,13	0 E+00	0	0	0,000	0,300	-	SI
75,0%	FRQ	829	179	-	0,04	2,13	0 E+00	0	0	0,000	0,400	-	SI
	QPR	620	143	-	0,03	2,13	0 E+00	0	0	0,000	0,300	-	SI
87,5%	FRQ	630	3 157	-	0,85	2,13	0 E+00	0	0	0,000	0,400	-	SI
	QPR	620	3 099	-	0,83	2,13	0 E+00	0	0	0,000	0,300	-	SI

Travi - verifica allo stato limite di fessurazione

%LLT	IdCmb	NEd	MEd,3	MEd,2	σct,f	σt	εsm	Ae	Δsm	Wd	Wamm	CS	Verificat o
[%]		[N]	[N-m]	[N-m]	[N/mm ²]	[N/mm ²]		[cm ²]	[mm]	[mm]	[mm]		
50,0%	FRQ	-862	-1 068	-	0,30	2,13	0 E+00	0	0	0,000	0,400	-	SI
	QPR	-535	-1 062	-	0,29	2,13	0 E+00	0	0	0,000	0,300	-	SI
62,5%	FRQ	-862	-1 107	-	0,31	2,13	0 E+00	0	0	0,000	0,400	-	SI
	QPR	-535	-1 098	-	0,30	2,13	0 E+00	0	0	0,000	0,300	-	SI
75,0%	FRQ	-862	-734	-	0,21	2,13	0 E+00	0	0	0,000	0,400	-	SI
	QPR	-535	-723	-	0,20	2,13	0 E+00	0	0	0,000	0,300	-	SI
87,5%	FRQ	-705	123	-	0,04	2,13	0 E+00	0	0	0,000	0,400	-	SI
	QPR	-535	61	-	0,02	2,13	0 E+00	0	0	0,000	0,300	-	SI
100,0%	FRQ	-705	1 336	-	0,37	2,13	0 E+00	0	0	0,000	0,400	-	SI
	QPR	-535	1 253	-	0,34	2,13	0 E+00	0	0	0,000	0,300	-	SI
Piano Terra								Travata: Trave 13-14-15					
Trave: Trave 14-13								AA= PCA					
				FRC=0,00 cm									
0%	FRQ	113	2 089	-	0,44	2,13	0 E+00	0	0	0,000	0,400	-	SI
	QPR	111	2 075	-	0,44	2,13	0 E+00	0	0	0,000	0,300	-	SI
12,5%	FRQ	113	898	-	0,19	2,13	0 E+00	0	0	0,000	0,400	-	SI
	QPR	111	895	-	0,19	2,13	0 E+00	0	0	0,000	0,300	-	SI
25,0%	FRQ	113	-17	-	0,00	2,13	0 E+00	0	0	0,000	0,400	-	SI
	QPR	111	-12	-	0,00	2,13	0 E+00	0	0	0,000	0,300	-	SI
37,5%	FRQ	113	-656	-	0,14	2,13	0 E+00	0	0	0,000	0,400	-	SI
	QPR	111	-646	-	0,14	2,13	0 E+00	0	0	0,000	0,300	-	SI
50,0%	FRQ	113	-1 019	-	0,21	2,13	0 E+00	0	0	0,000	0,400	-	SI
	QPR	111	-1 007	-	0,21	2,13	0 E+00	0	0	0,000	0,300	-	SI
62,5%	FRQ	113	-1 101	-	0,23	2,13	0 E+00	0	0	0,000	0,400	-	SI
	QPR	111	-1 090	-	0,23	2,13	0 E+00	0	0	0,000	0,300	-	SI
75,0%	FRQ	113	-910	-	0,19	2,13	0 E+00	0	0	0,000	0,400	-	SI
	QPR	111	-902	-	0,19	2,13	0 E+00	0	0	0,000	0,300	-	SI
87,5%	FRQ	113	-441	-	0,09	2,13	0 E+00	0	0	0,000	0,400	-	SI
	QPR	111	-440	-	0,09	2,13	0 E+00	0	0	0,000	0,300	-	SI
100%	FRQ	113	306	-	0,06	2,13	0 E+00	0	0	0,000	0,400	-	SI
	QPR	111	298	-	0,06	2,13	0 E+00	0	0	0,000	0,300	-	SI
Trave: Trave 15-14								AA= PCA					
				FRC=0,00 cm									
0%	FRQ	102	313	-	0,07	2,13	0 E+00	0	0	0,000	0,400	-	SI
	QPR	101	306	-	0,06	2,13	0 E+00	0	0	0,000	0,300	-	SI
12,5%	FRQ	102	-503	-	0,11	2,13	0 E+00	0	0	0,000	0,400	-	SI
	QPR	101	-500	-	0,10	2,13	0 E+00	0	0	0,000	0,300	-	SI
25,0%	FRQ	102	-1 011	-	0,21	2,13	0 E+00	0	0	0,000	0,400	-	SI
	QPR	101	-1 002	-	0,21	2,13	0 E+00	0	0	0,000	0,300	-	SI
37,5%	FRQ	102	-1 214	-	0,26	2,13	0 E+00	0	0	0,000	0,400	-	SI
	QPR	101	-1 202	-	0,25	2,13	0 E+00	0	0	0,000	0,300	-	SI
50,0%	FRQ	102	-1 107	-	0,23	2,13	0 E+00	0	0	0,000	0,400	-	SI
	QPR	101	-1 096	-	0,23	2,13	0 E+00	0	0	0,000	0,300	-	SI
62,5%	FRQ	102	-693	-	0,15	2,13	0 E+00	0	0	0,000	0,400	-	SI
	QPR	101	-685	-	0,14	2,13	0 E+00	0	0	0,000	0,300	-	SI
75,0%	FRQ	101	29	-	0,01	2,13	0 E+00	0	0	0,000	0,400	-	SI
	QPR	101	29	-	0,01	2,13	0 E+00	0	0	0,000	0,300	-	SI
87,5%	FRQ	102	1 059	-	0,22	2,13	0 E+00	0	0	0,000	0,400	-	SI
	QPR	101	1 050	-	0,22	2,13	0 E+00	0	0	0,000	0,300	-	SI
100%	FRQ	102	2 392	-	0,50	2,13	0 E+00	0	0	0,000	0,400	-	SI
	QPR	101	2 371	-	0,50	2,13	0 E+00	0	0	0,000	0,300	-	SI
Piano Terra								Travata: Trave 16-17-18					
Trave: Trave 16-17								AA= PCA					
				FRC=0,00 cm									
0%	FRQ	112	296	-	0,06	2,13	0 E+00	0	0	0,000	0,400	-	SI
	QPR	110	289	-	0,06	2,13	0 E+00	0	0	0,000	0,300	-	SI
12,5%	FRQ	112	-446	-	0,09	2,13	0 E+00	0	0	0,000	0,400	-	SI
	QPR	110	-444	-	0,09	2,13	0 E+00	0	0	0,000	0,300	-	SI
25,0%	FRQ	112	-914	-	0,19	2,13	0 E+00	0	0	0,000	0,400	-	SI
	QPR	110	-906	-	0,19	2,13	0 E+00	0	0	0,000	0,300	-	SI
37,5%	FRQ	112	-1 105	-	0,23	2,13	0 E+00	0	0	0,000	0,400	-	SI
	QPR	110	-1 093	-	0,23	2,13	0 E+00	0	0	0,000	0,300	-	SI
50,0%	FRQ	112	-1 017	-	0,21	2,13	0 E+00	0	0	0,000	0,400	-	SI
	QPR	110	-1 005	-	0,21	2,13	0 E+00	0	0	0,000	0,300	-	SI
62,5%	FRQ	112	-654	-	0,14	2,13	0 E+00	0	0	0,000	0,400	-	SI
	QPR	110	-644	-	0,13	2,13	0 E+00	0	0	0,000	0,300	-	SI
75,0%	FRQ	112	-14	-	0,00	2,13	0 E+00	0	0	0,000	0,400	-	SI
	QPR	110	-9	-	0,00	2,13	0 E+00	0	0	0,000	0,300	-	SI
87,5%	FRQ	112	903	-	0,19	2,13	0 E+00	0	0	0,000	0,400	-	SI
	QPR	110	900	-	0,19	2,13	0 E+00	0	0	0,000	0,300	-	SI
100%	FRQ	112	2 095	-	0,44	2,13	0 E+00	0	0	0,000	0,400	-	SI
	QPR	110	2 081	-	0,44	2,13	0 E+00	0	0	0,000	0,300	-	SI
Trave: Trave 17-18								AA= PCA					
				FRC=0,00 cm									
0%	FRQ	99	2 398	-	0,51	2,13	0 E+00	0	0	0,000	0,400	-	SI
	QPR	98	2 377	-	0,50	2,13	0 E+00	0	0	0,000	0,300	-	SI
12,5%	FRQ	99	1 063	-	0,22	2,13	0 E+00	0	0	0,000	0,400	-	SI
	QPR	98	1 054	-	0,22	2,13	0 E+00	0	0	0,000	0,300	-	SI
25,0%	FRQ	98	34	-	0,01	2,13	0 E+00	0	0	0,000	0,400	-	SI
	QPR	98	34	-	0,01	2,13	0 E+00	0	0	0,000	0,300	-	SI
37,5%	FRQ	99	-690	-	0,14	2,13	0 E+00	0	0	0,000	0,400	-	SI
	QPR	98	-682	-	0,14	2,13	0 E+00	0	0	0,000	0,300	-	SI
50,0%	FRQ	99	-1 104	-	0,23	2,13	0 E+00	0	0	0,000	0,400	-	SI
	QPR	98	-1 093	-	0,23	2,13	0 E+00	0	0	0,000	0,300	-	SI
62,5%	FRQ	99	-1 212	-	0,25	2,13	0 E+00	0	0	0,000	0,400	-	SI
	QPR	98	-1 200	-	0,25	2,13	0 E+00	0	0	0,000	0,300	-	SI
75,0%	FRQ	99	-1 012	-	0,21	2,13	0 E+00	0	0	0,000	0,400	-	SI
	QPR	98	-1 003	-	0,21	2,13	0 E+00	0	0	0,000	0,300	-	SI

Travi - verifica allo stato limite di fessurazione

%LLI	IdCmb	N _{Ed}	M _{Ed,3}	M _{Ed,2}	σ _{ct,f}	σ _t	ε _{sm}	A _e	Δ _{sm}	W _d	W _{amm}	CS	Verificato
[%]		[N]	[N-m]	[N-m]	[N/mm ²]	[N/mm ²]		[cm ²]	[mm]	[mm]	[mm]		
	QPR	578	6 212	-	1,67	2,13	0 E+00	0	0	0,000	0,300	-	SI
Trave: Trave 23-24				FRC=0,02 cm				AA= PCA					
0%	FRQ	268	5 437	-	1,47	2,13	0 E+00	0	0	0,000	0,400	-	SI
	QPR	263	5 336	-	1,44	2,13	0 E+00	0	0	0,000	0,300	-	SI
12,5%	FRQ	428	2 434	-	0,65	2,13	0 E+00	0	0	0,000	0,400	-	SI
	QPR	263	2 381	-	0,64	2,13	0 E+00	0	0	0,000	0,300	-	SI
25,0%	FRQ	428	191	-	0,05	2,13	0 E+00	0	0	0,000	0,400	-	SI
	QPR	263	155	-	0,04	2,13	0 E+00	0	0	0,000	0,300	-	SI
37,5%	FRQ	268	-1 368	-	0,37	2,13	0 E+00	0	0	0,000	0,400	-	SI
	QPR	263	-1 341	-	0,36	2,13	0 E+00	0	0	0,000	0,300	-	SI
50,0%	FRQ	268	-2 150	-	0,58	2,13	0 E+00	0	0	0,000	0,400	-	SI
	QPR	263	-2 109	-	0,57	2,13	0 E+00	0	0	0,000	0,300	-	SI
62,5%	FRQ	268	-2 185	-	0,59	2,13	0 E+00	0	0	0,000	0,400	-	SI
	QPR	263	-2 145	-	0,58	2,13	0 E+00	0	0	0,000	0,300	-	SI
75,0%	FRQ	424	-1 481	-	0,40	2,13	0 E+00	0	0	0,000	0,400	-	SI
	QPR	263	-1 450	-	0,39	2,13	0 E+00	0	0	0,000	0,300	-	SI
87,5%	FRQ	424	-74	-	0,02	2,13	0 E+00	0	0	0,000	0,400	-	SI
	QPR	263	-26	-	0,00	2,13	0 E+00	0	0	0,000	0,300	-	SI
100,0%	FRQ	190	2 209	-	0,60	2,13	0 E+00	0	0	0,000	0,400	-	SI
	QPR	263	2 130	-	0,57	2,13	0 E+00	0	0	0,000	0,300	-	SI
Piano Terra				FRC=0,04 cm				Travata: Trave 1-7-19					
Trave: Trave 1-7				FRC=0,04 cm				AA= PCA					
0%	FRQ	3 340	6 231	-	1,28	2,13	0 E+00	0	0	0,000	0,400	-	SI
	QPR	3 368	6 004	-	1,24	2,13	0 E+00	0	0	0,000	0,300	-	SI
12,5%	FRQ	3 567	-888	-	0,16	2,13	0 E+00	0	0	0,000	0,400	-	SI
	QPR	3 368	-726	-	0,12	2,13	0 E+00	0	0	0,000	0,300	-	SI
25,0%	FRQ	3 467	-5 342	-	1,10	2,13	0 E+00	0	0	0,000	0,400	-	SI
	QPR	3 368	-5 210	-	1,07	2,13	0 E+00	0	0	0,000	0,300	-	SI
37,5%	FRQ	3 467	-7 638	-	1,58	2,13	0 E+00	0	0	0,000	0,400	-	SI
	QPR	3 368	-7 444	-	1,54	2,13	0 E+00	0	0	0,000	0,300	-	SI
50,0%	FRQ	3 467	-7 627	-	1,58	2,13	0 E+00	0	0	0,000	0,400	-	SI
	QPR	3 368	-7 430	-	1,54	2,13	0 E+00	0	0	0,000	0,300	-	SI
62,5%	FRQ	3 467	-5 311	-	1,09	2,13	0 E+00	0	0	0,000	0,400	-	SI
	QPR	3 368	-5 171	-	1,06	2,13	0 E+00	0	0	0,000	0,300	-	SI
75,0%	FRQ	3 336	-752	-	0,13	2,13	0 E+00	0	0	0,000	0,400	-	SI
	QPR	3 368	-663	-	0,11	2,13	0 E+00	0	0	0,000	0,300	-	SI
87,5%	FRQ	3 467	6 245	-	1,25	2,13	0 E+00	0	0	0,000	0,400	-	SI
	QPR	3 368	6 093	-	1,22	2,13	0 E+00	0	0	0,000	0,300	-	SI
100,0%	FRQ	3 467	15 483	-	3,15	2,13	4,6496 E-04	496	354	0,164	0,400	2,43	SI
	QPR	3 368	15 096	-	3,08	2,13	4,5344 E-04	496	354	0,160	0,300	1,87	SI
Trave: Trave 7-19				FRC=0,03 cm				AA= PCA					
0%	FRQ	3 129	14 958	-	3,05	2,13	4,5007 E-04	496	354	0,159	0,400	2,51	SI
	QPR	3 039	14 584	-	2,97	2,13	4,3894 E-04	496	354	0,155	0,300	1,93	SI
12,5%	FRQ	3 129	6 259	-	1,26	2,13	0 E+00	0	0	0,000	0,400	-	SI
	QPR	3 039	6 107	-	1,23	2,13	0 E+00	0	0	0,000	0,300	-	SI
25,0%	FRQ	3 009	-364	-	0,05	2,13	0 E+00	0	0	0,000	0,400	-	SI
	QPR	3 039	-272	-	0,03	2,13	0 E+00	0	0	0,000	0,300	-	SI
37,5%	FRQ	3 129	-4 679	-	0,96	2,13	0 E+00	0	0	0,000	0,400	-	SI
	QPR	3 039	-4 555	-	0,93	2,13	0 E+00	0	0	0,000	0,300	-	SI
50,0%	FRQ	3 129	-6 918	-	1,43	2,13	0 E+00	0	0	0,000	0,400	-	SI
	QPR	3 039	-6 740	-	1,39	2,13	0 E+00	0	0	0,000	0,300	-	SI
62,5%	FRQ	3 129	-7 009	-	1,45	2,13	0 E+00	0	0	0,000	0,400	-	SI
	QPR	3 039	-6 831	-	1,41	2,13	0 E+00	0	0	0,000	0,300	-	SI
75,0%	FRQ	3 129	-4 945	-	1,02	2,13	0 E+00	0	0	0,000	0,400	-	SI
	QPR	3 039	-4 823	-	0,99	2,13	0 E+00	0	0	0,000	0,300	-	SI
87,5%	FRQ	3 235	-882	-	0,16	2,13	0 E+00	0	0	0,000	0,400	-	SI
	QPR	3 039	-720	-	0,12	2,13	0 E+00	0	0	0,000	0,300	-	SI
100,0%	FRQ	3 014	5 715	-	1,18	2,13	0 E+00	0	0	0,000	0,400	-	SI
	QPR	3 039	5 481	-	1,13	2,13	0 E+00	0	0	0,000	0,300	-	SI
Piano Terra				FRC=0,07 cm				Travata: Trave 2-8-20					
Trave: Trave 2-8				FRC=0,07 cm				AA= PCA					
0%	FRQ	6 291	11 933	-	2,46	2,13	4,3607 E-04	496	411	0,179	0,400	2,23	SI
	QPR	6 346	11 592	-	2,39	2,13	4,2287 E-04	496	411	0,174	0,300	1,73	SI
12,5%	FRQ	6 825	-714	-	0,09	2,13	0 E+00	0	0	0,000	0,400	-	SI
	QPR	6 346	-467	-	0,04	2,13	0 E+00	0	0	0,000	0,300	-	SI
25,0%	FRQ	6 547	-8 819	-	1,80	2,13	0 E+00	0	0	0,000	0,400	-	SI
	QPR	6 346	-8 580	-	1,75	2,13	0 E+00	0	0	0,000	0,300	-	SI
37,5%	FRQ	6 547	-13 116	-	2,71	2,13	4,8037 E-04	496	411	0,197	0,400	2,03	SI
	QPR	6 346	-12 750	-	2,63	2,13	4,6738 E-04	496	411	0,192	0,300	1,56	SI
50,0%	FRQ	6 547	-13 355	-	2,76	2,13	4,8959 E-04	496	411	0,201	0,400	1,99	SI
	QPR	6 346	-12 977	-	2,68	2,13	4,7593 E-04	496	411	0,195	0,300	1,54	SI
62,5%	FRQ	6 547	-9 534	-	1,95	2,13	0 E+00	0	0	0,000	0,400	-	SI
	QPR	6 346	-9 258	-	1,90	2,13	0 E+00	0	0	0,000	0,300	-	SI
75,0%	FRQ	6 291	-1 733	-	0,31	2,13	0 E+00	0	0	0,000	0,400	-	SI

Travi - verifica allo stato limite di fessurazione

%LLI	IdCmb	N _{Ed}	M _{Ed,3}	M _{Ed,2}	σ _{ct,f}	σ _t	ε _{sm}	A _e	Δ _{sm}	W _d	W _{amm}	CS	Verificato
[%]		[N]	[N-m]	[N-m]	[N/mm ²]	[N/mm ²]		[cm ²]	[mm]	[mm]	[mm]		
87,5%	QPR	6 346	-1 597	-	0,28	2,13	0 E+00	0	0	0,000	0,300	-	SI
	FRQ	6 547	10 282	-	2,02	2,13	0 E+00	0	0	0,000	0,400	-	SI
	QPR	6 346	10 008	-	1,97	2,13	0 E+00	0	0	0,000	0,300	-	SI
100,0%	FRQ	6 547	26 278	-	5,26	2,13	7,2268 E-04	496	327	0,236	0,400	1,69	SI
	QPR	6 346	25 558	-	5,11	2,13	6,9117 E-04	496	327	0,226	0,300	1,33	SI
Trave: Trave 8-20				FRC=0,06 cm				AA= PCA					
0%	FRQ	5 674	24 866	-	4,98	2,13	6,6203 E-04	496	327	0,216	0,400	1,85	SI
	QPR	5 499	24 182	-	4,84	2,13	6,3443 E-04	496	327	0,207	0,300	1,45	SI
12,5%	FRQ	5 674	10 465	-	2,07	2,13	0 E+00	0	0	0,000	0,400	-	SI
	QPR	5 499	10 183	-	2,01	2,13	0 E+00	0	0	0,000	0,300	-	SI
25,0%	FRQ	5 469	-914	-	0,14	2,13	0 E+00	0	0	0,000	0,400	-	SI
	QPR	5 499	-771	-	0,11	2,13	0 E+00	0	0	0,000	0,300	-	SI
37,5%	FRQ	5 674	-8 293	-	1,70	2,13	0 E+00	0	0	0,000	0,400	-	SI
	QPR	5 499	-8 054	-	1,65	2,13	0 E+00	0	0	0,000	0,300	-	SI
50,0%	FRQ	5 674	-11 976	-	2,48	2,13	4,3991 E-04	496	411	0,181	0,400	2,21	SI
	QPR	5 499	-11 638	-	2,41	2,13	4,2761 E-04	496	411	0,176	0,300	1,71	SI
62,5%	FRQ	5 674	-11 855	-	2,45	2,13	4,3515 E-04	496	411	0,179	0,400	2,24	SI
	QPR	5 499	-11 525	-	2,38	2,13	4,2298 E-04	496	411	0,174	0,300	1,73	SI
75,0%	FRQ	5 674	-7 927	-	1,61	2,13	0 E+00	0	0	0,000	0,400	-	SI
	QPR	5 499	-7 713	-	1,57	2,13	0 E+00	0	0	0,000	0,300	-	SI
87,5%	FRQ	5 997	-445	-	0,04	2,13	0 E+00	0	0	0,000	0,400	-	SI
	QPR	5 499	-205	-	-0,01	2,13	0 E+00	0	0	0,000	0,300	-	SI
100,0%	FRQ	5 469	11 362	-	2,29	2,13	3,3331 E-04	496	355	0,118	0,400	3,38	SI
	QPR	5 499	11 003	-	2,22	2,13	3,2202 E-04	496	355	0,114	0,300	2,63	SI
Piano Terra				Travata: Trave 3-9-21				AA= PCA					
Trave: Trave 3-9				FRC=0,14 cm				AA= PCA					
0%	FRQ	9 495	18 273	-	3,03	2,13	5,2555 E-04	617	396	0,208	0,400	1,92	SI
	QPR	9 213	17 742	-	2,94	2,13	5,1039 E-04	617	396	0,202	0,300	1,48	SI
12,5%	FRQ	9 711	-700	-	0,05	2,13	0 E+00	0	0	0,000	0,400	-	SI
	QPR	9 213	-439	-	0,01	2,13	0 E+00	0	0	0,000	0,300	-	SI
25,0%	FRQ	9 166	-12 681	-	2,07	2,13	3,7467 E-04	617	396	0,148	0,400	2,69	SI
	QPR	9 213	-12 891	-	2,10	2,13	0 E+00	0	0	0,000	0,300	-	SI
37,5%	FRQ	9 495	-20 169	-	3,35	2,13	5,8258 E-04	617	396	0,231	0,400	1,73	SI
	QPR	9 213	-19 611	-	3,25	2,13	5,6637 E-04	617	396	0,224	0,300	1,34	SI
50,0%	FRQ	9 495	-21 193	-	3,52	2,13	6,1336 E-04	617	396	0,243	0,400	1,65	SI
	QPR	9 213	-20 602	-	3,42	2,13	5,9635 E-04	617	396	0,236	0,300	1,27	SI
62,5%	FRQ	9 495	-16 321	-	2,70	2,13	4,6648 E-04	617	396	0,185	0,400	2,16	SI
	QPR	9 213	-15 861	-	2,62	2,13	4,5333 E-04	617	396	0,180	0,300	1,67	SI
75,0%	FRQ	9 495	-5 551	-	0,86	2,13	0 E+00	0	0	0,000	0,400	-	SI
	QPR	9 213	-5 388	-	0,84	2,13	0 E+00	0	0	0,000	0,300	-	SI
87,5%	FRQ	9 495	11 108	-	1,78	2,13	0 E+00	0	0	0,000	0,400	-	SI
	QPR	9 213	10 810	-	1,73	2,13	0 E+00	0	0	0,000	0,300	-	SI
100%	FRQ	9 495	32 950	-	5,30	2,13	7,2767 E-04	617	322	0,234	0,400	1,71	SI
	QPR	9 213	32 047	-	5,15	2,13	6,9653 E-04	617	322	0,224	0,300	1,34	SI
Trave: Trave 9-21				FRC=0,02 cm				AA= PCA					
0%	FRQ	3 209	23 140	-	4,62	2,13	5,8315 E-04	494	311	0,181	0,400	2,20	SI
	QPR	3 102	22 515	-	4,49	2,13	5,6704 E-04	494	311	0,176	0,300	1,70	SI
12,5%	FRQ	3 209	12 180	-	2,42	2,13	3,0368 E-04	494	311	0,095	0,400	4,23	SI
	QPR	3 102	11 858	-	2,35	2,13	2,9539 E-04	494	311	0,092	0,300	3,26	SI
25,0%	FRQ	3 557	3 785	-	0,77	2,13	0 E+00	0	0	0,000	0,400	-	SI
	QPR	3 102	3 628	-	0,74	2,13	0 E+00	0	0	0,000	0,300	-	SI
37,5%	FRQ	3 209	-2 246	-	0,44	2,13	0 E+00	0	0	0,000	0,400	-	SI
	QPR	3 102	-2 173	-	0,43	2,13	0 E+00	0	0	0,000	0,300	-	SI
50,0%	FRQ	3 209	-5 710	-	1,17	2,13	0 E+00	0	0	0,000	0,400	-	SI
	QPR	3 102	-5 546	-	1,14	2,13	0 E+00	0	0	0,000	0,300	-	SI
62,5%	FRQ	3 209	-6 672	-	1,38	2,13	0 E+00	0	0	0,000	0,400	-	SI
	QPR	3 102	-6 487	-	1,34	2,13	0 E+00	0	0	0,000	0,300	-	SI
75,0%	FRQ	3 557	-5 202	-	1,06	2,13	0 E+00	0	0	0,000	0,400	-	SI
	QPR	3 102	-5 001	-	1,03	2,13	0 E+00	0	0	0,000	0,300	-	SI
87,5%	FRQ	3 557	-1 378	-	0,26	2,13	0 E+00	0	0	0,000	0,400	-	SI

Travi - verifica allo stato limite di fessurazione

%LLI	IdCmb	N _{Ed}	M _{Ed,3}	M _{Ed,2}	σ _{ct,f}	σ _t	ε _{sm}	A _e	Δ _{sm}	W _d	W _{amm}	CS	Verificato
[%]		[N]	[N-m]	[N-m]	[N/mm ²]	[N/mm ²]		[cm ²]	[mm]	[mm]	[mm]		
100%	QPR	3 102	-1 088	-	0,20	2,13	0 E+00	0	0	0,000	0,300	-	SI
	FRQ	3 053	5 657	-	1,17	2,13	0 E+00	0	0	0,000	0,400	-	SI
	QPR	3 102	5 257	-	1,08	2,13	0 E+00	0	0	0,000	0,300	-	SI
Piano Terra								Travata: Trave 4-10-22					
Trave: Trave 4-10				FRC=0,13 cm				AA= PCA					
0%	FRQ	9 045	16 983	-	2,81	2,13	4,8781 E-04	617	396	0,193	0,400	2,07	SI
	QPR	8 776	16 489	-	2,73	2,13	4,7371 E-04	617	396	0,188	0,300	1,60	SI
12,5%	FRQ	9 234	-814	-	0,07	2,13	0 E+00	0	0	0,000	0,400	-	SI
	QPR	8 776	-568	-	0,03	2,13	0 E+00	0	0	0,000	0,300	-	SI
25,0%	FRQ	9 045	-12 579	-	2,06	2,13	0 E+00	0	0	0,000	0,400	-	SI
	QPR	8 776	-12 240	-	2,01	2,13	0 E+00	0	0	0,000	0,300	-	SI
37,5%	FRQ	9 045	-19 054	-	3,16	2,13	5,5018 E-04	617	396	0,218	0,400	1,84	SI
	QPR	8 776	-18 529	-	3,07	2,13	5,3536 E-04	617	396	0,212	0,300	1,41	SI
50,0%	FRQ	9 045	-19 997	-	3,32	2,13	5,79 E-04	617	396	0,229	0,400	1,74	SI
	QPR	8 776	-19 441	-	3,23	2,13	5,6292 E-04	617	396	0,223	0,300	1,35	SI
62,5%	FRQ	9 045	-15 411	-	2,54	2,13	4,4023 E-04	617	396	0,174	0,400	2,29	SI
	QPR	8 776	-14 978	-	2,47	2,13	4,278 E-04	617	396	0,169	0,300	1,77	SI
75,0%	FRQ	9 045	-5 302	-	0,82	2,13	0 E+00	0	0	0,000	0,400	-	SI
	QPR	8 776	-5 145	-	0,80	2,13	0 E+00	0	0	0,000	0,300	-	SI
87,5%	FRQ	9 045	10 326	-	1,62	2,13	0 E+00	0	0	0,000	0,400	-	SI
	QPR	8 776	10 052	-	1,57	2,13	0 E+00	0	0	0,000	0,300	-	SI
100%	FRQ	9 045	31 430	-	5,05	2,13	6,7446 E-04	617	322	0,217	0,400	1,84	SI
	QPR	8 776	30 573	-	4,91	2,13	6,4471 E-04	617	322	0,207	0,300	1,45	SI
Trave: Trave 10-22				FRC=0,01 cm				AA= PCA					
0%	FRQ	2 878	21 815	-	4,35	2,13	5,5048 E-04	494	311	0,171	0,400	2,33	SI
	QPR	2 781	21 227	-	4,24	2,13	5,3523 E-04	494	311	0,167	0,300	1,80	SI
12,5%	FRQ	2 878	11 538	-	2,29	2,13	2,8799 E-04	494	311	0,090	0,400	4,46	SI
	QPR	2 781	11 234	-	2,23	2,13	2,8012 E-04	494	311	0,087	0,300	3,44	SI
25,0%	FRQ	3 204	3 664	-	0,74	2,13	0 E+00	0	0	0,000	0,400	-	SI
	QPR	2 781	3 518	-	0,72	2,13	0 E+00	0	0	0,000	0,300	-	SI
37,5%	FRQ	2 749	-1 985	-	0,39	2,13	0 E+00	0	0	0,000	0,400	-	SI
	QPR	2 781	-1 925	-	0,38	2,13	0 E+00	0	0	0,000	0,300	-	SI
50,0%	FRQ	2 878	-5 239	-	1,08	2,13	0 E+00	0	0	0,000	0,400	-	SI
	QPR	2 781	-5 089	-	1,05	2,13	0 E+00	0	0	0,000	0,300	-	SI
62,5%	FRQ	2 878	-6 149	-	1,27	2,13	0 E+00	0	0	0,000	0,400	-	SI
	QPR	2 781	-5 979	-	1,24	2,13	0 E+00	0	0	0,000	0,300	-	SI
75,0%	FRQ	3 204	-4 781	-	0,98	2,13	0 E+00	0	0	0,000	0,400	-	SI
	QPR	2 781	-4 597	-	0,94	2,13	0 E+00	0	0	0,000	0,300	-	SI
87,5%	FRQ	3 204	-1 212	-	0,23	2,13	0 E+00	0	0	0,000	0,400	-	SI
	QPR	2 781	-945	-	0,17	2,13	0 E+00	0	0	0,000	0,300	-	SI
100%	FRQ	2 749	5 358	-	1,10	2,13	0 E+00	0	0	0,000	0,400	-	SI
	QPR	2 781	4 980	-	1,02	2,13	0 E+00	0	0	0,000	0,300	-	SI
Piano Terra								Travata: Trave 5-11-23					
Trave: Trave 5-11				FRC=0,10 cm				AA= PCA					
0%	FRQ	7 478	13 978	-	2,31	2,13	4,0158 E-04	618	398	0,160	0,400	2,50	SI
	QPR	7 255	13 569	-	2,25	2,13	3,8961 E-04	618	398	0,155	0,300	1,94	SI
12,5%	FRQ	7 685	-998	-	0,12	2,13	0 E+00	0	0	0,000	0,400	-	SI
	QPR	7 255	-786	-	0,08	2,13	0 E+00	0	0	0,000	0,300	-	SI
25,0%	FRQ	7 478	-10 859	-	1,77	2,13	0 E+00	0	0	0,000	0,400	-	SI
	QPR	7 255	-10 569	-	1,73	2,13	0 E+00	0	0	0,000	0,300	-	SI
37,5%	FRQ	7 478	-16 222	-	2,69	2,13	4,6927 E-04	618	398	0,187	0,400	2,14	SI
	QPR	7 255	-15 778	-	2,62	2,13	4,5618 E-04	618	398	0,181	0,300	1,65	SI
50,0%	FRQ	7 478	-16 882	-	2,80	2,13	4,8905 E-04	618	398	0,195	0,400	2,06	SI
	QPR	7 255	-16 415	-	2,73	2,13	4,7544 E-04	618	398	0,189	0,300	1,59	SI
62,5%	FRQ	7 478	-12 837	-	2,12	2,13	0 E+00	0	0	0,000	0,400	-	SI
	QPR	7 255	-12 477	-	2,06	2,13	0 E+00	0	0	0,000	0,300	-	SI
75,0%	FRQ	7 219	-4 091	-	0,63	2,13	0 E+00	0	0	0,000	0,400	-	SI
	QPR	7 255	-3 970	-	0,61	2,13	0 E+00	0	0	0,000	0,300	-	SI
87,5%	FRQ	7 478	9 358	-	1,50	2,13	0 E+00	0	0	0,000	0,400	-	SI
	QPR	7 255	9 113	-	1,46	2,13	0 E+00	0	0	0,000	0,300	-	SI
100%	FRQ	7 478	27 508	-	4,51	2,13	6,7579 E-04	618	354	0,239	0,400	1,67	SI
	QPR	7 255	26 766	-	4,39	2,13	6,5771 E-04	618	354	0,233	0,300	1,29	SI
Trave: Trave 11-23				FRC=0,02 cm				AA= PCA					

Pilastri (CA) - Verifiche pressoflessione deviata allo SLU

Lv	N _{Ed}	M _{Ed,X}	M _{Ed,Y}	CS	M _{Rd,X}	M _{Rd,Y}	N _{Ed,max}	N _R	α	R _f	φ _{ve}	φ _{vi}	φ _w	Lato 1				Lato 2				
														L	n _{reg}	n _f	φ	L	n _{reg}	n _f	φ	
	[N]	[N-m]	[N-m]		[N-m]	[N-m]	[N]	[N]			[m]	[m]	[m]	[cm]				[cm]				
Pilastrata: Pilastrata 1																						
Piano Terra	21 871	-29 625	-10 769	1.51[S]	42 917	42 917	46 901	825 435	1,61	NO	12	-	8	30	1	1	12	30	1	1	12	
Pilastrata: Pilastrata 2																						
Piano Terra	45 026	30 871	-8 936	1.59[S]	45 232	45 232	72 670	825 435	1,57	NO	12	-	8	30	1	1	12	30	1	1	12	
Pilastrata: Pilastrata 3																						
Piano Terra	54 109	35 748	9 507	1.31[S]	46 138	46 138	77 693	825 435	1,55	NO	12	-	8	30	1	1	12	30	1	1	12	
Pilastrata: Pilastrata 4																						
Piano Terra	50 565	34 599	-8 553	1.38[S]	45 794	45 794	73 566	825 435	1,56	NO	12	-	8	30	1	1	12	30	1	1	12	
Pilastrata: Pilastrata 5																						
Piano Terra	45 006	32 679	9 328	1.45[S]	45 223	45 223	70 682	825 435	1,57	NO	12	-	8	30	1	1	12	30	1	1	12	
Pilastrata: Pilastrata 6																						
Piano Terra	23 382	-26 673	10 126	1.78[S]	43 073	43 073	44 244	825 435	1,60	NO	12	-	8	30	1	1	12	30	1	1	12	
Pilastrata: Pilastrata 7																						
Piano Terra	57 418	33 482	-8 342	1.48[S]	46 468	46 468	67 511	825 435	1,55	NO	12	-	8	30	1	1	12	30	1	1	12	
Pilastrata: Pilastrata 8																						
Piano Terra	101 328	31 593	8 962	1.73[S]	50 718	50 718	106 379	825 435	1,48	NO	12	-	8	30	1	1	12	30	1	1	12	
Pilastrata: Pilastrata 9																						
Piano Terra	93 907	-33 985	8 760	1.56[S]	50 010	50 010	112 068	825 435	1,49	NO	12	-	8	30	1	1	12	30	1	1	12	
Pilastrata: Pilastrata 10																						
Piano Terra	93 702	33 274	8 631	1.61[S]	49 993	49 993	105 298	825 435	1,49	NO	12	-	8	30	1	1	12	30	1	1	12	
Pilastrata: Pilastrata 11																						
Piano Terra	87 979	33 508	-8 379	1.59[S]	49 440	49 440	98 525	825 435	1,50	NO	12	-	8	30	1	1	12	30	1	1	12	
Pilastrata: Pilastrata 12																						
Piano Terra (a)	46 554	32 451	8 463	1.50[S]	45 398	45 398	65 223	825 435	1,56	NO	12	-	8	30	1	1	12	30	1	1	12	
Pilastrata: Pilastrata 13																						
Piano Terra	2 222	-17 902	-8 352	1.55[S]	27 824	27 824	28 394	573 219	1,59	NO	16	-	8	25	1	0	12	25	1	0	12	
Pilastrata: Pilastrata 14																						
Piano Terra	15 058	8 549	7 806	3.55[S]	28 804	28 804	34 789	573 219	1,56	NO	16	-	8	25	1	0	12	25	1	0	12	
Pilastrata: Pilastrata 15																						
Piano Terra	2 228	-18 490	8 661	1.47[S]	27 829	27 829	29 430	573 219	1,59	NO	16	-	8	25	1	0	12	25	1	0	12	
Pilastrata: Pilastrata 16																						
Piano Terra	2 222	17 899	-8 370	1.55[S]	27 824	27 824	28 378	573 219	1,59	NO	16	-	8	25	1	0	12	25	1	0	12	
Pilastrata: Pilastrata 17																						
Piano Terra (a)	15 159	-8 543	7 786	3.56[S]	28 814	28 814	34 874	573 219	1,56	NO	16	-	8	25	1	0	12	25	1	0	12	
Pilastrata: Pilastrata 18																						
Piano Terra	2 233	18 494	8 664	1.47[S]	27 829	27 829	29 449	573 219	1,59	NO	16	-	8	25	1	0	12	25	1	0	12	
Pilastrata: Pilastrata 19																						
Piano Terra	20 310	29 336	-10 419	1.54[S]	42 759	42 759	46 898	825 435	1,61	NO	12	-	8	30	1	1	12	30	1	1	12	
Pilastrata: Pilastrata 20																						
Piano Terra	47 169	30 152	10 493	1.59[S]	45 446	45 446	71 913	825 435	1,56	NO	12	-	8	30	1	1	12	30	1	1	12	
Pilastrata: Pilastrata 21																						
Piano Terra	43 390	10 033	-27 660	1.78[S]	45 076	45 076	63 642	825 435	1,57	NO	12	-	8	30	1	1	12	30	1	1	12	
Pilastrata: Pilastrata 22																						
Piano Terra	41 183	9 864	27 484	1.80[S]	44 849	44 849	59 904	825 435	1,57	NO	12	-	8	30	1	1	12	30	1	1	12	
Pilastrata: Pilastrata 23																						
Piano Terra (a)	32 152	27 604	-9 993	1.74[S]	43 948	43 948	60 816	825 435	1,59	NO	12	-	8	30	1	1	12	30	1	1	12	
Pilastrata: Pilastrata 24																						
Piano Terra	11 891	26 758	9 994	1.72[S]	41 906	41 906	42 681	825 435	1,62	NO	12	-	8	30	1	1	12	30	1	1	12	

LEGENDA:

- Lv** Livello o piano di appartenenza dell'elemento strutturale.
- CS** Coefficiente di sicurezza ([NS] = Non Significativo se CS ≥ 100; [VNR]= Verifica Non Richiesta; Informazioni aggiuntive sulla condizione: [V] = statica; [E] = eccezionale; [S] = sismica; [N] = sismica non lineare).
- N_{Ed,max}** Massimo sforzo di compressione.
- N_R** Sforzo Normale resistente.
- α** Esponente per la valutazione del coefficiente di sicurezza.
- R_f** [SI] = elemento con presenza di rinforzo; [NO] = elemento senza rinforzo.
- N_{Ed}** Sollecitazioni di progetto (N_{Ed} > 0: compressione).
- M_{Ed,X}**
- M_{Ed,Y}**
- M_{Rd,X}** Momento Resistente intorno ad X e Y.
- M_{Rd,Y}**
- φ_{ve}, φ_{vi}** Diametri, rispettivamente, delle barre di acciaio nei vertici esterni e nei vertici interni e delle staffe; [φ_{vi}] = Significativo e valorizzato solo in caso di sezione cava.
- φ_{st}**
- L, n_{reg}** Per sezione del pilastro rettangolare e armata simmetricamente, lunghezza, numero di registri, numero di barre e relativo diametro per il lato 1 e 2 della sezione.
- n_f, φ** Se la sezione considerata non è rettangolare e/o simmetricamente armata, tali colonne sono vuote e le informazioni riguardanti l'armatura sono riportate per ciascun lato in apposita casella di testo.

PILASTRI (CA) - VERIFICHE A TAGLIO PER PRESSOFLESSIONE DEVIATA ALLO SLU (Elevazione)

Lv	Pilastri (CA) - Verifiche a taglio per pressoflessione deviata allo SLU															
	V _{Ed,3}	V _{Ed,2}	CS	V _{Rcd}		V _{Rsd,s}		V _{Rd,f}		V _{Rd,j}		V _{Rd,s}	A _{sw}		S _{Asw}	R _f
				X	Y	X	Y	X	Y	X	Y		X	Y		
[N]	[N]		[N]	[N]	[N]	[N]	[N]	[N]	[N]	[N]	[N]	[cm ² /cm]	[cm ² /cm]	[cm]		
Pilastrata: Pilastrata 1																
Piano Terra	36 463	36 463	4,60	167806	167806	368792	368792	0	0	0	0	-	0,16755	0,16755	9	NO

Pilastri (CA) - Verifiche a taglio per pressoflessione deviata allo SLU

Lv	V _{Ed,3}	V _{Ed,2}	CS	V _{Rcd}		V _{Rsd,s}		V _{Rd,f}		V _{Rd,j}		V _{Rd,s}	A _{sw}		S _{Asw}	R _f
	[N]	[N]		X	Y	X	Y	X	Y	X	Y		[cm ² /cm]	[cm ² /cm]		
Pilastrata: Pilastrata 2																
Piano Terra	39 772	39 772	4,28	170363	170363	368792	368792	0	0	0	0	-	0,16755	0,16755	9	NO
Pilastrata: Pilastrata 3																
Piano Terra	40 776	40 776	4,20	171151	171151	368792	368792	0	0	0	0	-	0,16755	0,16755	9	NO
Pilastrata: Pilastrata 4																
Piano Terra	40 294	40 294	4,24	170771	170771	368792	368792	0	0	0	0	-	0,16755	0,16755	9	NO
Pilastrata: Pilastrata 5																
Piano Terra	39 636	39 636	4,30	170275	170275	368792	368792	0	0	0	0	-	0,16755	0,16755	9	NO
Pilastrata: Pilastrata 6																
Piano Terra	36 347	36 347	4,61	167730	167730	368792	368792	0	0	0	0	-	0,16755	0,16755	9	NO
Pilastrata: Pilastrata 7																
Piano Terra	39 629	39 629	4,30	170309	170309	368792	368792	0	0	0	0	-	0,16755	0,16755	9	NO
Pilastrata: Pilastrata 8																
Piano Terra	44 794	44 794	3,89	174273	174273	368792	368792	0	0	0	0	-	0,16755	0,16755	9	NO
Pilastrata: Pilastrata 9																
Piano Terra	45 144	45 144	3,87	174572	174572	368792	368792	0	0	0	0	-	0,16755	0,16755	9	NO
Pilastrata: Pilastrata 10																
Piano Terra	44 382	44 382	3,92	173946	173946	368792	368792	0	0	0	0	-	0,16755	0,16755	9	NO
Pilastrata: Pilastrata 11																
Piano Terra	43 631	43 631	3,97	173368	173368	368792	368792	0	0	0	0	-	0,16755	0,16755	9	NO
Pilastrata: Pilastrata 12																
Piano Terra (a)	38 925	38 925	4,36	169778	169778	368792	368792	0	0	0	0	-	0,16755	0,16755	9	NO
Pilastrata: Pilastrata 13																
Piano Terra	23 715	23 715	4,69	111122	111122	147517	147517	0	0	0	0	-	0,08377	0,08377	12	NO
Pilastrata: Pilastrata 14																
Piano Terra	24 372	24 372	4,61	112278	112278	147517	147517	0	0	0	0	-	0,08377	0,08377	12	NO
Pilastrata: Pilastrata 15																
Piano Terra	23 778	23 778	4,68	111173	111173	147517	147517	0	0	0	0	-	0,08377	0,08377	12	NO
Pilastrata: Pilastrata 16																
Piano Terra	23 713	23 713	4,69	111121	111121	147517	147517	0	0	0	0	-	0,08377	0,08377	12	NO
Pilastrata: Pilastrata 17																
Piano Terra (a)	24 380	24 380	4,61	112286	112286	147517	147517	0	0	0	0	-	0,08377	0,08377	12	NO
Pilastrata: Pilastrata 18																
Piano Terra	23 778	23 778	4,68	111174	111174	147517	147517	0	0	0	0	-	0,08377	0,08377	12	NO
Pilastrata: Pilastrata 19																
Piano Terra	36 370	36 370	4,61	167730	167730	368792	368792	0	0	0	0	-	0,16755	0,16755	9	NO
Pilastrata: Pilastrata 20																
Piano Terra	39 618	39 618	4,30	170247	170247	368792	368792	0	0	0	0	-	0,16755	0,16755	9	NO
Pilastrata: Pilastrata 21																
Piano Terra	38 410	38 410	4,41	169293	169293	368792	368792	0	0	0	0	-	0,16755	0,16755	9	NO
Pilastrata: Pilastrata 22																
Piano Terra	38 002	38 002	4,45	168974	168974	368792	368792	0	0	0	0	-	0,16755	0,16755	9	NO
Pilastrata: Pilastrata 23																
Piano Terra (a)	38 002	38 002	4,45	168998	168998	368792	368792	0	0	0	0	-	0,16755	0,16755	9	NO
Pilastrata: Pilastrata 24																
Piano Terra	35 732	35 732	4,68	167114	167114	368792	368792	0	0	0	0	-	0,16755	0,16755	9	NO

LEGENDA:

- Lv** Livello o piano di appartenenza dell'elemento strutturale.
- V_{Ed,3}** Taglio di progetto in direzione 3.
- V_{Ed,2}** Taglio di progetto in direzione 2.
- CS** Coefficiente di sicurezza ([NS] = Non Significativo se CS ≥ 100; [VNR]= Verifica Non Richiesta; Informazioni aggiuntive sulla condizione: [V] = statica; [E] = eccezionale; [S] = sismica; [N] = sismica non lineare).
- V_{Rcd}** Resistenza a taglio compressione del calcestruzzo.
- V_{Rsd,s}** Resistenza a taglio trazione delle staffe.
- V_{Rd,f}** Resistenza a taglio dovuta al rinforzo FRP.
- V_{Rd,j}** Contributo acciaio al Taglio ultimo dovuto all'incamiciatura in acciaio.
- V_{Rd,s}** Resistenza a taglio per scorrimento.
- A_{sw}** Area delle staffe per unità di lunghezza.
- S_{Asw}** Passo massimo staffe da normativa.
- R_f** [SI] = elemento con presenza di rinforzo; [NO] = elemento senza rinforzo.

Pilastri - VERIFICHE DELLE TENSIONI DI ESERCIZIO (Elevazione)

Pilastri - verifiche delle tensioni di esercizio

Lv	Tp _{inf}	Compressione calcestruzzo							Verificato	Trazione acciaio							Verificato
		Compressione calcestruzzo rinforzo								Trazione acciaio/FRP rinforzo							
		IdCmb	σ _{cc}	σ _{cd,amm}	N _{Ed}	M _{Ed,3}	M _{Ed,2}	CS		IdCmb	σ _{at}	σ _{td,amm}	N _{Ed}	M _{Ed,3}	M _{Ed,2}	CS	
	[N/mm ²]	[N/mm ²]	[N]	[N-m]	[N-m]			[N/mm ²]	[N/mm ²]	[N]	[N-m]	[N-m]					
Pilastrata: Pilastrata 1																	
Piano Terra																	
	RAR	2,594	14,94	32 200	-9 175	2 680	5.75	SI	RAR	18,397	360,00	32 200	-9 175	2 680	19.56	SI	
	QPR	2,148	11,21	27 637	-7 313	2 457	5.21	SI									
Pilastrata: Pilastrata 2																	
Piano Terra																	
	RAR	6,579	14,94	63 059	-16 250	1 843	2.27	SI	RAR	123,517	360,00	63 059	-16 250	1 843	2.91	SI	
	QPR	5,258	11,21	54 046	-12 871	1 632	2.13	SI									
Pilastrata: Pilastrata 3																	
Piano Terra																	
	RAR	9,717	14,94	72 679	-23 923	-2 540	1.53	SI	RAR	203,937	360,00	72 679	-23 923	-2 540	1.76	SI	
	QPR	7,924	11,21	62 329	-19 336	-2 251	1.41	SI									
Pilastrata: Pilastrata 4																	
Piano Terra																	
	RAR	8,650	14,94	68 065	-22 647	1 173	1.72	SI	RAR	187,925	360,00	68 065	-22 647	1 173	1.91	SI	
	QPR	7,045	11,21	58 385	-18 335	1 070	1.59	SI									
Pilastrata: Pilastrata 5																	
Piano Terra																	
	RAR	7,501	14,94	61 784	-18 659	-1 862	1.99	SI	RAR	152,622	360,00	61 784	-18 659	-1 862	2.35	SI	
	QPR	6,085	11,21	53 079	-15 080	-1 594	1.84	SI									
Pilastrata: Pilastrata 6																	
Piano Terra																	
	RAR	2,697	14,94	31 132	-11 176	-1 266	5.53	SI	RAR	19,694	360,00	31 132	-11 176	-1 266	18.28	SI	
	QPR	2,245	11,21	26 808	-9 152	-1 162	4.99	SI									
Pilastrata: Pilastrata 7																	
Piano Terra																	
	RAR	1,389	14,94	63 467	-371	3 661	10.75	SI	RAR	0,000	360,00	-	-	-	-	SI	
	QPR	0,996	11,21	60 148	-364	1 794	11.24	SI									
Pilastrata: Pilastrata 8																	
Piano Terra																	
	RAR	2,452	14,94	102 905	4 537	3 033	6.09	SI	RAR	0,000	360,00	-	-	-	-	SI	
	QPR	1,746	11,21	96 388	1 382	2 851	6.41	SI									
Pilastrata: Pilastrata 9																	
Piano Terra																	
	RAR	6,197	14,94	105 623	14 762	-3 227	2.41	SI	RAR	69,737	360,00	105 623	14 762	-3 227	5.16	SI	
	QPR	3,614	11,21	99 406	10 766	-3 017	3.10	SI									
Pilastrata: Pilastrata 10																	
Piano Terra																	
	RAR	3,989	14,94	107 564	14 073	1 247	3.74	SI	RAR	15,717	360,00	98 497	14 260	1 153	22.90	SI	
	QPR	3,119	11,21	92 751	10 460	1 083	3.59	SI									
Pilastrata: Pilastrata 11																	
Piano Terra																	
	RAR	3,209	14,94	100 281	10 372	-1 265	4.65	SI	RAR	9,672	360,00	92 000	10 688	-1 134	37.21	SI	
	QPR	2,496	11,21	86 482	7 529	-1 096	4.48	SI									
Pilastrata: Pilastrata 12																	
Piano Terra																	
	RAR	1,725	14,94	57 326	-2 704	-3 381	8.65	SI	RAR	5,201	360,00	50 397	6 388	-38	69.21	SI	
	QPR	1,321	11,21	47 718	4 372	-93	8.48	SI									
Pilastrata: Pilastrata 13																	
Piano Terra																	
	RAR	0,955	14,94	11 916	-2 019	471	15.64	SI	RAR	4,661	360,00	11 916	-2 019	471	77.23	SI	
	QPR	0,840	11,21	10 622	-1 754	431	13.34	SI									
Pilastrata: Pilastrata 14																	
Piano Terra																	
	RAR	1,292	14,94	24 993	-2 979	-18	11.56	SI	RAR	3,468	360,00	24 993	-2 979	-18	NS	SI	
	QPR	1,116	11,21	22 253	-2 550	-10	10.04	SI									
Pilastrata: Pilastrata 15																	
Piano Terra																	
	RAR	0,990	14,94	12 505	-2 102	-474	15.09	SI	RAR	4,786	360,00	12 505	-2 102	-474	75.21	SI	
	QPR	0,873	11,21	11 143	-1 825	-443	12.82	SI									
Pilastrata: Pilastrata 16																	
Piano Terra																	
	RAR	0,952	14,94	11 906	2 020	463	15.68	SI	RAR	4,643	360,00	11 906	2 020	463	77.53	SI	
	QPR	0,839	11,21	10 614	1 755	426	13.36	SI									
Pilastrata: Pilastrata 17																	
Piano Terra																	
	RAR	1,292	14,94	25 096	2 974	-19	11.56	SI	RAR	3,436	360,00	25 096	2 974	-19	NS	SI	
	QPR	1,116	11,21	22 343	2 545	-11	10.04	SI									
Pilastrata: Pilastrata 18																	
Piano Terra																	
	RAR	0,991	14,94	12 519	2 103	-476	15.07	SI	RAR	4,792	360,00	12 519	2 103	-476	75.12	SI	
	QPR	0,875	11,21	11 155	1 826	-445	12.81	SI									
Pilastrata: Pilastrata 19																	

Pilastri - verifiche delle tensioni di esercizio

Lv Tp _{mf}	Compressione calcestruzzo								Trazione acciaio							
	Compressione calcestruzzo rinforzo								Trazione acciaio/FRP rinforzo							
	Id _{Cmb}	σ _{cc}	σ _{cd,amm}	N _{Ed}	M _{Ed,3}	M _{Ed,2}	CS	Verificato	Id _{Cmb}	σ _{at}	σ _{td,amm}	N _{Ed}	M _{Ed,3}	M _{Ed,2}	CS	Verificato
	[N/mm ²]	[N/mm ²]	[N]	[N-m]	[N-m]				[N/mm ²]	[N/mm ²]	[N]	[N-m]	[N-m]			
Piano Terra																
	RAR	2,445	14,94	31 326	8 319	2 804	6.11	SI	RAR	17,10 0	360,00	31 326	8 319	2 804	21.05	SI
	QPR	2,014	11,21	26 855	6 558	2 554	5.56	SI								
Pilastrata: Pilastrata 20																
Piano Terra																
	RAR	5,890	14,94	61 635	14 412	1 849	2.53	SI	RAR	104,2 25	360,00	61 635	14 412	1 849	3.45	SI
	QPR	2,991	11,21	52 792	11 257	1 624	3.74	SI								
Pilastrata: Pilastrata 21																
Piano Terra																
	RAR	2,513	14,94	50 223	7 983	-2 548	5.94	SI	RAR	13,72 1	360,00	46 987	8 171	-2 381	26.23	SI
	QPR	1,937	11,21	42 786	5 649	-2 265	5.78	SI								
Pilastrata: Pilastrata 22																
Piano Terra																
	RAR	2,052	14,94	46 426	7 292	1 037	7.27	SI	RAR	10,14 1	360,00	43 448	7 494	954	35.50	SI
	QPR	1,548	11,21	39 538	5 122	931	7.24	SI								
Pilastrata: Pilastrata 23																
Piano Terra																
	RAR	2,184	14,94	46 460	8 029	-984	6.83	SI	RAR	11,10 1	360,00	43 396	8 035	-903	32.42	SI
	QPR	1,692	11,21	39 735	5 925	-867	6.62	SI								
Pilastrata: Pilastrata 24																
Piano Terra																
	RAR	1,483	14,94	24 072	4 806	-1 685	10.07	SI	RAR	9,333	360,00	22 567	4 894	-1 584	38.57	SI
	QPR	1,180	11,21	20 537	3 555	-1 540	9.49	SI								

LEGENDA:

- Lv** Livello o piano di appartenenza dell'elemento strutturale. L'eventuale lettera tra parentesi distingue i diversi tratti del pilastro al livello considerato.
- Rinf.** Indica la presenza del rinforzo sulla sezione di verifica.
- Id_{Cmb}** Identificativo della Combinazione di Azione: [QPR] = Quasi Permanente - [FRQ] = Frequente - [RAR] = Rara.
- σ_{cc}** Tensione massima di compressione nel calcestruzzo.
- σ_{cd,amm}** Tensione ammissibile per la verifica a compressione del calcestruzzo.
- N_{Ed}, M_{Ed,3}, M_{Ed,2}** Sollecitazioni di progetto.
- σ_{at}** Tensione massima di trazione nell'acciaio della Trave/Rinforzo o nel FRP.
- σ_{td,amm}** Tensione ammissibile per la verifica a trazione dell'acciaio.
- CS** Coefficiente di Sicurezza (= σ_{cd,amm}/σ_{cc} ; σ_{td,amm}/σ_{at}). [NS] = Non Significativo (CS ≥ 100).
- Verificato** [SI] = σ_{cc} ≤ σ_{cd,amm}; σ_{at} ≤ σ_{td,amm}. [NO] = σ_{cc} > σ_{cd,amm}; σ_{at} > σ_{td,amm}.

Pilastri - VERIFICA ALLO STATO LIMITE DI FESSURAZIONE (Elevazione)

Pilastri - verifica allo stato limite di fessurazione

Lv	Id _{Cmb}	N _{Ed}	M _{Ed,3}	M _{Ed,2}	σ _{ct,f}	σ _t	ε _{sm}	A _e	Δ _{sm}	W _d	W _{amm}	CS	Verificato
		[N]	[N-m]	[N-m]	[N/mm ²]	[N/mm ²]		[cm ²]	[mm]	[mm]	[mm]		
Pilastrata: Pilastrata 1													
Piano Terra													
													AA= PCA
-	FRQ	28 339	-7 515	2 500	1,66	2,13	0 E+00	0	0	0,000	0,400	-	SI
-	QPR	27 637	-7 313	2 457	1,61	2,13	0 E+00	0	0	0,000	0,300	-	SI
Pilastrata: Pilastrata 2													
Piano Terra													
													AA= PCA
-	FRQ	54 046	-12 871	1 632	2,27	2,13	1,0883 E-04	82	267	0,029	0,400	13,77	SI
-	QPR	54 046	-12 871	1 632	2,27	2,13	1,0883 E-04	82	267	0,029	0,300	10,33	SI
Pilastrata: Pilastrata 3													
Piano Terra													
													AA= PCA
-	FRQ	62 329	-19 336	-2 251	3,56	2,13	3,154 E-04	251	270	0,085	0,400	4,70	SI
-	QPR	62 329	-19 336	-2 251	3,56	2,13	3,154 E-04	251	270	0,085	0,300	3,52	SI
Pilastrata: Pilastrata 4													
Piano Terra													
													AA= PCA
-	FRQ	58 385	-18 335	1 070	3,17	2,13	1,4598 E-04	76	256	0,037	0,400	10,70	SI
-	QPR	58 385	-18 335	1 070	3,17	2,13	1,4598 E-04	76	256	0,037	0,300	8,03	SI
Pilastrata: Pilastrata 5													
Piano Terra													
													AA= PCA
-	FRQ	53 079	-15 080	-1 594	2,70	2,13	2,3396 E-04	249	269	0,063	0,400	6,36	SI
-	QPR	53 079	-15 080	-1 594	2,70	2,13	2,3396 E-04	249	269	0,063	0,300	4,77	SI
Pilastrata: Pilastrata 6													
Piano Terra													
													AA= PCA
-	FRQ	27 485	-9 397	-1 180	1,77	2,13	0 E+00	0	0	0,000	0,400	-	SI
-	QPR	26 808	-9 152	-1 162	1,73	2,13	0 E+00	0	0	0,000	0,300	-	SI
Pilastrata: Pilastrata 7													
Piano Terra													
													AA= PCA

Lv	Idcmb	N _{Ed}	M _{Ed,3}	M _{Ed,2}	σ _{ct,f}	σ _t	ε _{sm}	A _e	Δ _{sm}	W _d	W _{amm}	CS	Verificato
		[N]	[N·m]	[N·m]	[N/mm ²]	[N/mm ²]		[cm ²]	[mm]	[mm]	[mm]		
-	FRQ	60 125	-361	2 150	-0,10	2,13	0 E+00	0	0	0,000	0,400	-	SI
-	QPR	60 148	-364	1 794	-0,17	2,13	0 E+00	0	0	0,000	0,300	-	SI
Pilastrata: Pilastrata 8													
Piano Terra AA= PCA													
-	FRQ	96 363	1 992	2 846	0,00	2,13	0 E+00	0	0	0,000	0,400	-	SI
-	QPR	96 388	1 382	2 851	-0,12	2,13	0 E+00	0	0	0,000	0,300	-	SI
Pilastrata: Pilastrata 9													
Piano Terra AA= PCA													
-	FRQ	99 283	11 412	-3 021	1,82	2,13	0 E+00	0	0	0,000	0,400	-	SI
-	QPR	99 406	10 766	-3 017	1,69	2,13	0 E+00	0	0	0,000	0,300	-	SI
Pilastrata: Pilastrata 10													
Piano Terra AA= PCA													
-	FRQ	92 629	11 071	1 084	1,45	2,13	0 E+00	0	0	0,000	0,400	-	SI
-	QPR	92 751	10 460	1 083	1,33	2,13	0 E+00	0	0	0,000	0,300	-	SI
Pilastrata: Pilastrata 11													
Piano Terra AA= PCA													
-	FRQ	86 413	8 055	-1 087	0,93	2,13	0 E+00	0	0	0,000	0,400	-	SI
-	QPR	86 482	7 529	-1 096	0,83	2,13	0 E+00	0	0	0,000	0,300	-	SI
Pilastrata: Pilastrata 12													
Piano Terra AA= PCA													
-	FRQ	47 650	4 718	-84	0,46	2,13	0 E+00	0	0	0,000	0,400	-	SI
-	QPR	47 718	4 372	-93	0,40	2,13	0 E+00	0	0	0,000	0,300	-	SI
Pilastrata: Pilastrata 13													
Piano Terra AA= PCA													
-	FRQ	10 839	-1 798	438	0,57	2,13	0 E+00	0	0	0,000	0,400	-	SI
-	QPR	10 622	-1 754	431	0,56	2,13	0 E+00	0	0	0,000	0,300	-	SI
Pilastrata: Pilastrata 14													
Piano Terra AA= PCA													
-	FRQ	22 712	-2 622	-11	0,54	2,13	0 E+00	0	0	0,000	0,400	-	SI
-	QPR	22 253	-2 550	-10	0,52	2,13	0 E+00	0	0	0,000	0,300	-	SI
Pilastrata: Pilastrata 15													
Piano Terra AA= PCA													
-	FRQ	11 371	-1 872	-448	0,59	2,13	0 E+00	0	0	0,000	0,400	-	SI
-	QPR	11 143	-1 825	-443	0,57	2,13	0 E+00	0	0	0,000	0,300	-	SI
Pilastrata: Pilastrata 16													
Piano Terra AA= PCA													
-	FRQ	10 830	1 799	433	0,57	2,13	0 E+00	0	0	0,000	0,400	-	SI
-	QPR	10 614	1 755	426	0,55	2,13	0 E+00	0	0	0,000	0,300	-	SI
Pilastrata: Pilastrata 17													
Piano Terra AA= PCA													
-	FRQ	22 804	2 617	-13	0,53	2,13	0 E+00	0	0	0,000	0,400	-	SI
-	QPR	22 343	2 545	-11	0,52	2,13	0 E+00	0	0	0,000	0,300	-	SI
Pilastrata: Pilastrata 18													
Piano Terra AA= PCA													
-	FRQ	11 383	1 873	-450	0,59	2,13	0 E+00	0	0	0,000	0,400	-	SI
-	QPR	11 155	1 826	-445	0,58	2,13	0 E+00	0	0	0,000	0,300	-	SI
Pilastrata: Pilastrata 19													
Piano Terra AA= PCA													
-	FRQ	26 988	6 783	2 548	1,54	2,13	0 E+00	0	0	0,000	0,400	-	SI
-	QPR	26 855	6 558	2 554	1,50	2,13	0 E+00	0	0	0,000	0,300	-	SI
Pilastrata: Pilastrata 20													
Piano Terra AA= PCA													
-	FRQ	53 012	11 631	1 621	2,04	2,13	0 E+00	0	0	0,000	0,400	-	SI
-	QPR	52 792	11 257	1 624	1,97	2,13	0 E+00	0	0	0,000	0,300	-	SI
Pilastrata: Pilastrata 21													
Piano Terra AA= PCA													
-	FRQ	43 077	6 062	-2 264	1,19	2,13	0 E+00	0	0	0,000	0,400	-	SI
-	QPR	42 786	5 649	-2 265	1,11	2,13	0 E+00	0	0	0,000	0,300	-	SI
Pilastrata: Pilastrata 22													
Piano Terra AA= PCA													
-	FRQ	39 812	5 513	925	0,86	2,13	0 E+00	0	0	0,000	0,400	-	SI
-	QPR	39 538	5 122	931	0,78	2,13	0 E+00	0	0	0,000	0,300	-	SI
Pilastrata: Pilastrata 23													
Piano Terra AA= PCA													
-	FRQ	39 961	6 253	-863	0,98	2,13	0 E+00	0	0	0,000	0,400	-	SI
-	QPR	39 735	5 925	-867	0,92	2,13	0 E+00	0	0	0,000	0,300	-	SI
Pilastrata: Pilastrata 24													
Piano Terra AA= PCA													
-	FRQ	20 684	3 773	-1 536	0,82	2,13	0 E+00	0	0	0,000	0,400	-	SI
-	QPR	20 537	3 555	-1 540	0,78	2,13	0 E+00	0	0	0,000	0,300	-	SI

LEGENDA:

Lv	Livello o piano di appartenenza dell'elemento strutturale. L'eventuale lettera tra parentesi distingue i diversi tratti del pilastro al livello considerato.
AA	Identificativo dell'aggressività dell'ambiente: [PCA] = "Ordinario"; [MDA] = "Aggressivo"; [MLA] = "Molto aggressivo".
Idcmb	Identificativo della Combinazione di Azione: [QPR] = Quasi Permanente - [FRQ] = Frequente - [RAR] = Rara.
N_{Ed}, M_{Ed,3}, M_{Ed,2}	Sollecitazioni di progetto.
σ_{ct,f}	Tensione massima di trazione nel calcestruzzo per la fessurazione, calcolata nell'ipotesi di calcestruzzo resistente a trazione. Se tale valore è maggiore di σ _t la sezione è soggetta a fessurazione. N.B. I valori negativi indicano una sezione interamente compressa. In tal caso le sollecitazioni forniscono il minimo valore di compressione.
σ_t	Tensione massima di trazione nel calcestruzzo relativa allo stato limite di formazione delle fessure [relazione (4.1.13) del § 4.1.2.2.4 del DM 2018].
ε_{sm}	Deformazione unitaria media delle barre di armatura.
A_e	Area efficace del calcestruzzo teso.

Lv	IdCmb	N _{Ed}	M _{Ed,3}	M _{Ed,2}	σ _{ct,f}	σ _t	ε _{sm}	A _e	Δ _{sm}	W _d	W _{amm}	CS	Verificato
		[N]	[N·m]	[N·m]	[N/mm ²]	[N/mm ²]		[cm ²]	[mm]	[mm]	[mm]		

Δ_{sm} Distanza media tra le fessure.
W_d Valore di calcolo di apertura massima delle fessure.
W_{amm} Valore ammissibile di apertura delle fessure.
CS Coefficiente di Sicurezza (=W_d / W_{amm}). [NS] = Non Significativo (CS ≥ 100). [-] = Fessurazioni nulle (W_d = 0).
Verificato [SI] = W_d ≤ W_{amm} ; [NO] = W_d > W_{amm}

PILASTRI (CA) - VERIFICA DI GERARCHIA DELLE RESISTENZE A TAGLIO (Elevazione)

Pilastri (CA) - Verifica di gerarchia delle resistenze a taglio													
Lv	%L _{LI}	L _{LI}	Dir	M _{Rd} ⁽⁺⁾	M _{Rd} ⁽⁻⁾	γ _{Rd}	V _{Ed,GR} ⁽⁻⁾	V _{Ed,GR} ⁽⁻⁾	V _{Ed,EL} ⁽⁺⁾	V _{Ed,EL} ⁽⁻⁾	CS	Note	
	[%]	[m]		[N·m]	[N·m]		[N]	[N]	[N]	[N]			
Pilastrata: Pilastrata 1													
Piano Terra	0%	2,75	X	46 014	-46 014	1,1	36 463	36 463	0	0	4,60	GR	
			Y	46 014	-46 014		36 463	36 463	0	0			
	100%		X	45 144	-45 144		36 463	36 463	0	0	4,60		
			Y	45 144	-45 144		36 463	36 463	0	0	4,60		
Pilastrata: Pilastrata 2													
Piano Terra	0%	2,75	X	50 136	-50 136	1,1	39 772	39 772	0	0	4,28	GR	
			Y	50 136	-50 136		39 772	39 772	0	0	4,28		
	100%		X	49 294	-49 294		39 772	39 772	0	0	4,28		
			Y	49 294	-49 294		39 772	39 772	0	0	4,28		
Pilastrata: Pilastrata 3													
Piano Terra	0%	2,75	X	51 387	-51 387	1,1	40 776	40 776	0	0	4,20	GR	
			Y	51 387	-51 387		40 776	40 776	0	0	4,20		
	100%		X	50 553	-50 553		40 776	40 776	0	0	4,20		
			Y	50 553	-50 553		40 776	40 776	0	0	4,20		
Pilastrata: Pilastrata 4													
Piano Terra	0%	2,75	X	50 784	-50 784	1,1	40 294	40 294	0	0	4,24	GR	
			Y	50 784	-50 784		40 294	40 294	0	0	4,24		
	100%		X	49 951	-49 951		40 294	40 294	0	0	4,24		
			Y	49 951	-49 951		40 294	40 294	0	0	4,24		
Pilastrata: Pilastrata 5													
Piano Terra	0%	2,75	X	49 968	-49 968	1,1	39 636	39 636	0	0	4,30	GR	
			Y	49 968	-49 968		39 636	39 636	0	0	4,30		
	100%		X	49 121	-49 121		39 636	39 636	0	0	4,30		
			Y	49 121	-49 121		39 636	39 636	0	0	4,30		
Pilastrata: Pilastrata 6													
Piano Terra	0%	2,75	X	45 871	-45 871	1,1	36 347	36 347	0	0	4,61	GR	
			Y	45 871	-45 871		36 347	36 347	0	0	4,61		
	100%		X	44 997	-44 997		36 347	36 347	0	0	4,61		
			Y	44 997	-44 997		36 347	36 347	0	0	4,61		
Pilastrata: Pilastrata 7													
Piano Terra	0%	2,75	X	49 959	-49 959	1,1	39 629	39 629	0	0	4,30	GR	
			Y	49 959	-49 959		39 629	39 629	0	0	4,30		
	100%		X	49 113	-49 113		39 629	39 629	0	0	4,30		
			Y	49 113	-49 113		39 629	39 629	0	0	4,30		
Pilastrata: Pilastrata 8													
Piano Terra	0%	2,75	X	56 381	-56 381	1,1	44 794	44 794	0	0	3,89	GR	
			Y	56 381	-56 381		44 794	44 794	0	0	3,89		
	100%		X	55 604	-55 604		44 794	44 794	0	0	3,89		
			Y	55 604	-55 604		44 794	44 794	0	0	3,89		
Pilastrata: Pilastrata 9													
Piano Terra	0%	2,75	X	56 816	-56 816	1,1	45 144	45 144	0	0	3,87	GR	
			Y	56 816	-56 816		45 144	45 144	0	0	3,87		
	100%		X	56 044	-56 044		45 144	45 144	0	0	3,87		
			Y	56 044	-56 044		45 144	45 144	0	0	3,87		
Pilastrata: Pilastrata 10													
Piano Terra	0%	2,75	X	55 870	-55 870	1,1	44 382	44 382	0	0	3,92	GR	
			Y	55 870	-55 870		44 382	44 382	0	0	3,92		
	100%		X	55 086	-55 086		44 382	44 382	0	0	3,92		
			Y	55 086	-55 086		44 382	44 382	0	0	3,92		
Pilastrata: Pilastrata 11													
Piano Terra	0%	2,75	X	54 936	-54 936	1,1	43 631	43 631	0	0	3,97	GR	
			Y	54 936	-54 936		43 631	43 631	0	0	3,97		
	100%		X	54 142	-54 142		43 631	43 631	0	0	3,97		
			Y	54 142	-54 142		43 631	43 631	0	0	3,97		
Pilastrata: Pilastrata 12													
Piano Terra (a)	0%	2,75	X	49 078	-49 078	1,1	38 925	38 925	0	0	4,36	GR	
			Y	49 078	-49 078		38 925	38 925	0	0	4,36		
	100%		X	48 234	-48 234		38 925	38 925	0	0	4,36		
			Y	48 234	-48 234		38 925	38 925	0	0	4,36		
Pilastrata: Pilastrata 13													
Piano Terra	0%	2,75	X	29 822	-29 822	1,1	23 715	23 715	0	0	4,69	GR	
			Y	29 822	-29 822		23 715	23 715	0	0	4,69		
	100%		X	29 465	-29 465		23 715	23 715	0	0	4,69		
			Y	29 465	-29 465		23 715	23 715	0	0	4,69		
Pilastrata: Pilastrata 14													
Piano Terra	0%	2,75	X	30 696	-30 696	1,1	24 372	24 372	0	0	4,61	GR	
			Y	30 696	-30 696		24 372	24 372	0	0	4,61		
	100%		X	30 234	-30 234		24 372	24 372	0	0	4,61		
			Y	30 234	-30 234		24 372	24 372	0	0	4,61		
Pilastrata: Pilastrata 15													

Pilastri (CA) - Verifica di gerarchia delle resistenze a taglio

Lv	%L _{LI}	L _{LI}	Dir	M _{Rd} (+)	M _{Rd} (-)	γ _{Rd}	V _{Ed,GR} (-)	V _{Ed,GR} (-)	V _{Ed,EL} (+)	V _{Ed,EL} (-)	CS	Note
	[%]	[m]		[N-m]	[N-m]		[N]	[N]	[N]	[N]		
Piano Terra	0%	2,75	X	29 900	-29 900	1,1	23 778	23 778	0	0	4,68	GR
			Y	29 900	-29 900		23 778	23 778	0	0	4,68	
	100%		X	29 544	-29 544		23 778	23 778	0	0	4,68	
			Y	29 544	-29 544		23 778	23 778	0	0	4,68	
Pilastrata: Pilastrata 16												
Piano Terra	0%	2,75	X	29 818	-29 818	1,1	23 713	23 713	0	0	4,69	GR
			Y	29 818	-29 818		23 713	23 713	0	0	4,69	
	100%		X	29 465	-29 465		23 713	23 713	0	0	4,69	
			Y	29 465	-29 465		23 713	23 713	0	0	4,69	
Pilastrata: Pilastrata 17												
Piano Terra (a)	0%	2,75	X	30 704	-30 704	1,1	24 380	24 380	0	0	4,61	GR
			Y	30 704	-30 704		24 380	24 380	0	0	4,61	
	100%		X	30 246	-30 246		24 380	24 380	0	0	4,61	
			Y	30 246	-30 246		24 380	24 380	0	0	4,61	
Pilastrata: Pilastrata 18												
Piano Terra	0%	2,75	X	29 900	-29 900	1,1	23 778	23 778	0	0	4,68	GR
			Y	29 900	-29 900		23 778	23 778	0	0	4,68	
	100%		X	29 544	-29 544		23 778	23 778	0	0	4,68	
			Y	29 544	-29 544		23 778	23 778	0	0	4,68	
Pilastrata: Pilastrata 19												
Piano Terra	0%	2,75	X	45 899	-45 899	1,1	36 370	36 370	0	0	4,61	GR
			Y	45 899	-45 899		36 370	36 370	0	0	4,61	
	100%		X	45 027	-45 027		36 370	36 370	0	0	4,61	
			Y	45 027	-45 027		36 370	36 370	0	0	4,61	
Pilastrata: Pilastrata 20												
Piano Terra	0%	2,75	X	49 942	-49 942	1,1	39 618	39 618	0	0	4,30	GR
			Y	49 942	-49 942		39 618	39 618	0	0	4,30	
	100%		X	49 104	-49 104		39 618	39 618	0	0	4,30	
			Y	49 104	-49 104		39 618	39 618	0	0	4,30	
Pilastrata: Pilastrata 21												
Piano Terra	0%	2,75	X	48 438	-48 438	1,1	38 410	38 410	0	0	4,41	GR
			Y	48 438	-48 438		38 410	38 410	0	0	4,41	
	100%		X	47 587	-47 587		38 410	38 410	0	0	4,41	
			Y	47 587	-47 587		38 410	38 410	0	0	4,41	
Pilastrata: Pilastrata 22												
Piano Terra	0%	2,75	X	47 930	-47 930	1,1	38 002	38 002	0	0	4,45	GR
			Y	47 930	-47 930		38 002	38 002	0	0	4,45	
	100%		X	47 074	-47 074		38 002	38 002	0	0	4,45	
			Y	47 074	-47 074		38 002	38 002	0	0	4,45	
Pilastrata: Pilastrata 23												
Piano Terra (a)	0%	2,75	X	47 930	-47 930	1,1	38 002	38 002	0	0	4,45	GR
			Y	47 930	-47 930		38 002	38 002	0	0	4,45	
	100%		X	47 074	-47 074		38 002	38 002	0	0	4,45	
			Y	47 074	-47 074		38 002	38 002	0	0	4,45	
Pilastrata: Pilastrata 24												
Piano Terra	0%	2,75	X	44 997	-44 997	1,1	35 732	35 732	0	0	4,68	GR
			Y	44 997	-44 997		35 732	35 732	0	0	4,68	
	100%		X	44 332	-44 332		35 732	35 732	0	0	4,68	
			Y	44 332	-44 332		35 732	35 732	0	0	4,68	

LEGENDA:

- Lv** Livello o piano di appartenenza dell'elemento strutturale.
- %L_{LI}** Posizione della sezione per la quale vengono forniti i valori di verifica, valutata come % della lunghezza libera d'inflessione (L_{LI}), a partire dall'estremo iniziale.
- L_{LI}** Lunghezza libera d'inflessione.
- Dir** Direzione locale della sezione rispetto a cui è eseguita la verifica.
- γ_{Rd}** Coefficiente di sovrarresistenza.
- CS** Coefficiente di sicurezza ([NS] = Non Significativo se CS ≥ 100; [VNR]= Verifica Non Richiesta; Informazioni aggiuntive sulla condizione: [V] = statica; [E] = eccezionale; [S] = sismica; [N] = sismica non lineare).
- Note** GR = verifica eseguita con il taglio derivante dall'applicazione del criterio della Gerarchia delle Resistenze; SE = verifica eseguita con il taglio derivante da un'analisi con spettro elastico con q=1.
- M_{Rd}** Momento resistente del beam, con riferimento alla direzione positiva e negativa del sisma.
- V_{Ed,GR}** Taglio di calcolo dovuto all'applicazione del criterio di Gerarchia delle resistenze.
- V_{Ed,EL}** Taglio di calcolo valutato attraverso un'analisi con spettro elastico con q=1.

DETTAGLI COSTRUTTIVI PER LA DUTTILITÀ - PILASTRI IN PRESENZA DI SISMA (Elevazione)

Dettagli Costruttivi per la Duttilità - Pilastri in Presenza di Sisma										
Lv	V _{sw,c}	V _{nc}	ω _{wd}	α _n	α _s	V _d	ω _{wd,min}	CS	CS _{min}	
	[cm ²]	[cm ²]								
Duttilità di curvatura richiesta allo SLV nelle direzioni X e Y: [μ_{d,x}= 5,76; μ_{d,y}= 6,00]										
Pilastrata: Pilastrata 1										
Piano Terra	66,15	4436	0,414	0,724	0,636	0,000	0,080	NS	5,170	
Pilastrata: Pilastrata 2										
Piano Terra	66,15	4436	0,414	0,724	0,636	0,000	0,080	NS	5,170	
Pilastrata: Pilastrata 3										
Piano Terra	66,15	4436	0,414	0,724	0,636	0,000	0,080	NS	5,170	
Pilastrata: Pilastrata 4										
Piano Terra	66,15	4436	0,414	0,724	0,636	0,000	0,080	NS	5,170	
Pilastrata: Pilastrata 5										
Piano Terra	66,15	4436	0,414	0,724	0,636	0,000	0,080	NS	5,170	
Pilastrata: Pilastrata 6										
Piano Terra	66,15	4436	0,414	0,724	0,636	0,000	0,080	NS	5,170	

Dettagli Costruttivi per la Duttilità - Pilastrati in Presenza di Sisma

Lv	V _{sw,c} [cm ³]	V _{nc} [cm ³]	ω _{wd}	α _n	α _s	V _d	ω _{wd,min}	CS	CS _{min}
Pilastrata: Pilastrata 7									
Piano Terra	66,15	4436	0,414	0,724	0,636	0,000	0,080	NS	5,170
Pilastrata: Pilastrata 8									
Piano Terra	66,15	4436	0,414	0,724	0,636	0,084	0,080	63,744	5,170
Pilastrata: Pilastrata 9									
Piano Terra	66,15	4436	0,414	0,724	0,636	0,088	0,080	37,937	5,170
Pilastrata: Pilastrata 10									
Piano Terra	66,15	4436	0,414	0,724	0,636	0,083	0,080	73,207	5,170
Pilastrata: Pilastrata 11									
Piano Terra	66,15	4436	0,414	0,724	0,636	0,078	0,080	NS	5,170
Pilastrata: Pilastrata 12									
Piano Terra	66,15	4436	0,414	0,724	0,636	0,000	0,080	NS	5,170
Pilastrata: Pilastrata 13									
Piano Terra	34,58	3550	0,270	0,506	0,424	0,000	0,080	NS	3,377
Pilastrata: Pilastrata 14									
Piano Terra	34,58	3550	0,270	0,506	0,424	0,000	0,080	NS	3,377
Pilastrata: Pilastrata 15									
Piano Terra	34,58	3550	0,270	0,506	0,424	0,000	0,080	NS	3,377
Pilastrata: Pilastrata 16									
Piano Terra	34,58	3550	0,270	0,506	0,424	0,000	0,080	NS	3,377
Pilastrata: Pilastrata 17									
Piano Terra	34,58	3550	0,270	0,506	0,424	0,000	0,080	NS	3,377
Pilastrata: Pilastrata 18									
Piano Terra	34,58	3550	0,270	0,506	0,424	0,000	0,080	NS	3,377
Pilastrata: Pilastrata 19									
Piano Terra	66,15	4436	0,414	0,724	0,636	0,000	0,080	NS	5,170
Pilastrata: Pilastrata 20									
Piano Terra	66,15	4436	0,414	0,724	0,636	0,000	0,080	NS	5,170
Pilastrata: Pilastrata 21									
Piano Terra	66,15	4436	0,414	0,724	0,636	0,000	0,080	NS	5,170
Pilastrata: Pilastrata 22									
Piano Terra	66,15	4436	0,414	0,724	0,636	0,000	0,080	NS	5,170
Pilastrata: Pilastrata 23									
Piano Terra	66,15	4436	0,414	0,724	0,636	0,000	0,080	NS	5,170
Pilastrata: Pilastrata 24									
Piano Terra	66,15	4436	0,414	0,724	0,636	0,000	0,080	NS	5,170

LEGENDA:

Lv	Livello o piano di appartenenza dell'elemento strutturale.
V_{sw,c}	Volume delle staffe di confinamento
V_{nc}	Volume del nucleo confinato di calcestruzzo
ω_{wd}	Rapporto meccanico dell'armatura di confinamento
α_n	Coefficiente di efficacia del confinamento nel piano della sezione
α_s	Coefficiente di efficacia del confinamento nel piano verticale
V_d	Forza assiale adimensionalizzata di progetto allo SLV
ω_{wd,min}	Minimo rapporto meccanico dell'armatura di confinamento
CS	Coefficiente di sicurezza del rapporto meccanico dell'armatura trasversale di confinamento
CS_{min}	Coefficiente di sicurezza del rapporto meccanico minimo dell'armatura trasversale di confinamento

PIANI - VERIFICHE REGOLARITÀ (Elevazione)

REGOLARITÀ DELLA STRUTTURA IN PIANTA		
a)	la configurazione in pianta è compatta ossia la distribuzione di masse e rigidzze è approssimativamente simmetrica rispetto a due direzioni ortogonali e il contorno di ogni orizzontamento è convesso; il requisito può ritenersi soddisfatto, anche in presenza di rientranze in pianta, quando esse non influenzano significativamente la rigidzza nel piano dell'orizzontamento e, per ogni rientranza, l'area compresa tra il perimetro dell'orizzontamento e la linea convessa circoscritta all'orizzontamento non supera il 5% dell'area dell'orizzontamento;	SI
b)	il rapporto tra i lati del rettangolo circoscritto alla pianta di ogni orizzontamento è inferiore a 4;	SI
c)	ciascun orizzontamento ha una rigidzza nel proprio piano tanto maggiore della corrispondente rigidzza degli elementi strutturali verticali da potersi assumere che la sua deformazione in pianta influenzi in modo trascurabile la distribuzione delle azioni sismiche tra questi ultimi e ha resistenza sufficiente a garantire l'efficacia di tale distribuzione;	SI
La struttura è regolare in pianta.		
REGOLARITÀ DELLA STRUTTURA IN ALTEZZA		
d)	tutti i sistemi resistenti alle azioni orizzontali si estendono per tutta l'altezza della costruzione o, se sono presenti parti aventi differenti altezze, fino alla sommità della rispettiva parte dell'edificio;	SI
e)	massa e rigidzza rimangono costanti o variano gradualmente, senza bruschi cambiamenti, dalla base alla sommità della costruzione (le variazioni di massa da un orizzontamento all'altro non superano il 25%, la rigidzza non si riduce da un orizzontamento a quello sovrastante più del 30% e non aumenta più del 10%); ai fini della rigidzza si possono considerare regolari in altezza strutture dotate di pareti o nuclei in c.a. o di pareti e nuclei in muratura di sezione costante sull'altezza o di telai controventati in acciaio, ai quali sia affidato almeno il 50% dell'azione sismica alla base;	SI
f)	nelle strutture intelaiate, il rapporto tra la capacità e la domanda allo SLV non è significativamente diverso, in termini di resistenza, per orizzontamenti diversi (tale rapporto, calcolato per un generico orizzontamento, non deve differire più del 30% dall'analogo rapporto calcolato per l'orizzontamento adiacente); può fare eccezione l'ultimo orizzontamento di strutture intelaiate di almeno tre orizzontamenti;	SI
g)	eventuali restringimenti della sezione orizzontale della costruzione avvengano con continuità da un orizzontamento al successivo; oppure avvengano in modo che il rientro di un orizzontamento non superi il 10% della dimensione corrispondente all'orizzontamento immediatamente sottostante, né il 30% della dimensione corrispondente al primo orizzontamento. Fa eccezione l'ultimo orizzontamento di costruzioni di almeno quattro orizzontamenti, per il quale non sono previste limitazioni di restringimento;	SI
La struttura è regolare in altezza.		

Piani - Verifiche Regolarità

Id _{Piano}	Q _{Lv} [m]	H _{Lv} [m]	Rd _{Tmp}	Ir _{Tmp}	M _{SLU} [N·s ² /m]	K _{SLU}		R _{eff}		R _{ric}	
						X [N/cm]	Y [N/cm]	X [N]	Y [N]	X [N]	Y [N]
Piano Terra	0,00	3,00	NO	NO	116 521	209 751	157 602	787 763	787 763	328 263	448 508

LEGENDA:

Id_{Piano} Identificativo del livello o piano.

QLv	Quota del livello o piano.
HLv	Altezza del livello o piano.
RdTmp	Per i piani con riduzione dei tamponamenti, sono state incrementate le azioni di calcolo per gli elementi verticali (pilastri e pareti) di un fattore 1,4: [SI] = Piano con riduzione dei tamponamenti - [NO] = Piano senza riduzione dei tamponamenti.
IrTmp	Per piani con distribuzione dei tamponamenti in pianta fortemente irregolare, l'eccentricità accidentale è stata incrementata di un fattore pari a 2: [SI] = Distribuzione tamponamenti irregolare fortemente - [NO] = Distribuzione tamponamenti regolare.
Mslu	Massa eccitabile della struttura allo S.L. Ultimo, nelle direzioni X, Y, Z.
Kslu	Valori delle Rigidezze di Piano, valutate allo SLU, riferite agli assi X ed Y del riferimento globale.
R_{eff}	Valori delle Resistenze Effettive di Piano, valutate allo SLU, relative al sistema di riferimento globale X, Y, Z.
R_{ric}	Valori delle Resistenze Richieste di Piano, valutate allo SLU, relative al sistema di riferimento globale X, Y, Z.
(*)	Vedi tabelle "Livelli o Piani" o "Solai e Balconi".

EFFETTI DELLE NON LINEARITÀ GEOMETRICHE PER SISMA (Elevazione)

Effetti delle non linearità geometriche per sisma										
IdPiano	QLv	HLv	δ _{d,X}	δ _{d,Y}	P _{θ,X}	P _{θ,Y}	T _{θ,X}	T _{θ,Y}	θ _X	θ _Y
	[m]	[m]	[cm]	[cm]	[N]	[N]	[N]	[N]	[rad]	[rad]
Piano Terra	0,00	3,00	1,4053	1,8703	1 143 073	1 143 073	294 756	294 756	1,8166 E-02	2,4176 E-02

LEGENDA:

IdPiano	Identificativo del livello o piano.
HLv	Altezza del livello o piano.
δ_{d,X}, δ_{d,Y}	Componenti dello spostamento differenziale rispetto al piano inferiore.
P_{θ,X}, P_{θ,Z}	Valori del carico verticale del piano utilizzato per il calcolo di "θ".
T_{θ,X}, T_{θ,Y}	Valori del tagliante di piano utilizzati per il calcolo di "θ".
θ_X, θ_Y	Coefficienti "θ" del piano.
Nota	Le forze sismiche orizzontali agenti sui piani caratterizzati da valori di θ compresi tra 0,1 e 0,2, sono state incrementate del fattore "1/(1-θ)", per portare in conto gli effetti del secondo ordine.

PIANI - VERIFICHE AGLI SPOSTAMENTI

Piani - Verifiche									
IdPiano	QLv	HLv	δ _{d,X}	δ _{d,Y}	C _{lg} Tmp	δ _{lim}	δ _{lim} - δ _{d,X}	δ _{lim} - δ _{d,Y}	Note
	[m]	[m]	[cm]	[cm]		[cm]	[cm]	[cm]	
Piano Terra	0,00	3,00	0,3504	0,6600	RF	1,5000	1,1496	0,8400	Verificato

LEGENDA:

IdPiano	Identificativo del livello o piano.
QLv	Quota del livello o piano.
HLv	Altezza del livello o piano.
C_{lg}Tmp	Tipo di collegamento delle tamponature alla struttura: [R] = Rigido - [E] = Elastico - [RF] = Rigidamente fragili - [RD] = Rigidamente Duttilli.
δ_{lim}	Valore limite dello spostamento differenziale indicato dalla normativa.
δ_{d,X}, δ_{d,Y}	Componenti dello spostamento differenziale rispetto al piano inferiore.

PIANI - VERIFICHE ALLO SLE (Elevazione)

Piani - Verifiche allo SLE									
IdPiano	QLv	HLv	δ _{amm,SLE}	δ _{d,SLE}		Δδ _{SLE}		Note	
	[m]	[m]	[cm]	X	Y	X	Y		
				[cm]	[cm]	[cm]	[cm]		
Piano Terra	0,00	3,00	1,0000	0,0121	0,0511	0,9879	0,9489	Verificato	

LEGENDA:

IdPiano	Identificativo del livello o piano.
QLv	Quota del livello o piano.
HLv	Altezza del livello o piano.
δ_{amm,SLE}	Spostamento Differenziale ammissibile.
δ_{d,SLE}	Spostamento Differenziale.
Δδ_{SLE}	Differenza fra spostamento limite e quello di calcolo nelle direzioni X e Y.

NODI (CA) - VERIFICA DI CONFINAMENTO PARTE 1 (Fondazione)

Dati generali di verifica											
IdNd	Pos	Stato	IdPil,sup	σ _{cR}	σ _{tR}	f _{yk}	f _{rk}	N _{d,sup}	N _{d,inf}	A _{S,st}	R _f
				[N/mm ²]	[N/mm ²]	[N/mm ²]	[N/mm ²]	[N]	[N]		
										CS	
										η	ξ/f

NODI (CA) - VERIFICA DI CONFINAMENTO PARTE 2 (Fondazione)

Dati indicati per direzione																
Di	IdTr	b _j	h _{jw}	A _{sup} /M ⁺	A _{inf} /M ⁻	Or _{vj}	V _{c,η}	V _{c,ξ}	σ _η	σ _ξ	V _{jsd,sup}	V _{jsd,inf}	V _d	V _{jsr}	V _{rzd}	h _{jc}
		[cm]	[cm]	[cm ² ;N-m]	[cm ² ;N-m]	[d]	[N]	[N]	[N/mm ²]	[N/mm ²]	[N]	[N]	[N]	[N]	[N]	[cm]

LEGENDA:

Dir	Direzione di verifica: 1 = asse locale 3 del pilastro; 2 = asse locale 2 del pilastro
IdTr	Identificativo delle travi che definiscono la direzione.
b_j	Larghezza effettiva del nodo relativo alla trave esaminata.
h_{jw}	Distanza tra le armature superiori ed inferiori della trave.
A_{sup}/M⁺	Se Or. V _{jd} = A -> Armatura superiore a flessione; se Or. V _{jd} = M -> Massimo momento di calcolo nella sezione della trave a contatto con il nodo.
A_{inf}/M⁻	Se Or. V _{jd} = A -> Armatura inferiore a flessione; se Or. V _{jd} = M -> Minimo momento di calcolo nella sezione della trave a contatto con il nodo.
Or_{vj}	Origine del taglio nel nodo per la direzione considerata: [A] = taglio derivante dalle armature delle travi concorrenti nel nodo; [M] = taglio derivante dai momenti agenti agli estremi delle travi concorrenti nel nodo.
V_d	Taglio di Progetto per Fessurazione Diagonale.
V_{jsr}	Forza orizzontale resistente del rinforzo.
V_{rzd}	Forza orizzontale resistente del rinforzo+staffe.
h_{jc}	Distanza, tra le giaciture più esterne delle armature del pilastro, nella direzione in esame.
Id_f	Identificativo dell'intervento.

Id _{Tr}	%L _{Lt} [%]	N _{Ed,s} [N]	M _{Ed,3,s} [N-m]	N _{Ed,i} [N]	M _{Ed,3,i} [N-m]	A _{s,s} [cm ²]	A _{s,i} [cm ²]	CS _s	(X/d) _s	CS _i	(X/d) _i	R _f
	87,5%	2 373	5 098	9 422	11 974	5,65	5,65	14.96[S]	0,12	6.46[S]	0,12	NO
	100%	2 373	2 864	9 422	28 538	11,31	11,31	50.21[S]	0,15	5.07[S]	0,15	NO
Trave 21-22	0%	-1 272	2 743	-2 443	27 397	11,31	11,31	52.23[S]	0,15	5.22[S]	0,15	NO
	12,5%	-1 272	5 384	-2 443	13 784	5,65	5,65	14.06[S]	0,12	5.47[S]	0,12	NO
	25,0%	-1 391	6 784	-2 324	4 507	5,65	5,65	11.15[S]	0,12	16.76[S]	0,12	NO
	37,5%	-1 897	7 662	-	-	5,65	5,65	9.86[S]	0,12	-	VNR	NO
	50,0%	-1 897	8 581	-	-	5,65	5,65	8.81[S]	0,12	-	VNR	NO
	62,5%	-2 212	7 949	-	-	5,65	5,65	9.50[S]	0,12	-	VNR	NO
	75,0%	-2 443	7 272	-1 272	3 972	5,65	5,65	10.38[S]	0,12	19.06[S]	0,12	NO
	87,5%	-2 324	6 252	-1 391	12 643	5,65	5,65	12.08[S]	0,12	5.98[S]	0,12	NO
	100,0%	-2 324	4 497	-1 391	25 666	11,31	11,31	31.82[S]	0,15	5.58[S]	0,15	NO
Trave 22-23	0%	708	4 628	9 901	27 654	11,31	11,31	31.02[S]	0,15	5.24[S]	0,15	NO
	12,5%	708	6 188	9 901	13 536	5,65	5,65	12.28[S]	0,12	5.72[S]	0,12	NO
	25,0%	3 250	6 854	7 359	4 241	5,65	5,65	11.14[S]	0,12	18.17[S]	0,12	NO
	37,5%	3 250	7 396	-	-	5,65	5,65	10.33[S]	0,12	-	VNR	NO
	50,0%	8 543	8 407	-	-	5,65	5,65	9.18[S]	0,12	-	VNR	NO
	62,5%	10 537	8 159	-	-	5,65	5,65	9.50[S]	0,12	-	VNR	NO
	75,0%	9 901	8 312	708	3 755	5,65	5,65	9.31[S]	0,12	20.24[S]	0,12	NO
	87,5%	7 359	8 516	3 250	12 309	5,65	5,65	9.04[S]	0,12	6.20[S]	0,12	NO
	100,0%	7 359	9 154	3 250	26 447	11,31	11,31	15.79[S]	0,15	5.44[S]	0,15	NO
Trave 23-24	0%	-17 640	5 339	63 416	28 925	11,31	11,31	26.36[S]	0,15	5.29[S]	0,16	NO
	12,5%	-17 640	5 962	63 416	15 560	5,65	5,65	12.27[S]	0,12	5.51[S]	0,13	NO
	25,0%	-17 640	5 334	50 994	5 155	5,65	5,65	13.71[S]	0,12	16.26[S]	0,13	NO
	37,5%	-5 218	5 724	-	-	5,65	5,65	13.12[S]	0,12	-	VNR	NO
	50,0%	53 885	11 401	-	-	5,65	5,65	7.39[S]	0,13	-	VNR	NO
	62,5%	63 416	14 559	-17 640	2 201	5,65	5,65	5.89[S]	0,13	33.23[S]	0,12	NO
	75,0%	63 416	16 572	-17 640	6 469	5,65	5,65	5.17[S]	0,13	11.30[S]	0,12	NO
	87,5%	50 994	15 180	-17 640	11 567	5,65	5,65	5.52[S]	0,13	6.52[S]	0,12	NO
	100,0%	50 994	13 448	-5 218	19 549	5,65	5,65	6.23[S]	0,13	3.84[S]	0,12	NO
Fondazione		Travata: Trave 1-7-19										
Trave 1-7	0%	63 971	14 883	12 190	20 982	5,65	5,65	5.77[S]	0,13	3.70[S]	0,12	NO
	12,5%	63 971	17 360	2 383	11 615	5,65	5,65	4.94[S]	0,13	6.56[S]	0,12	NO
	25,0%	63 971	16 878	2 383	5 850	5,65	5,65	5.08[S]	0,13	13.04[S]	0,12	NO
	37,5%	73 778	15 933	2 383	1 120	5,65	5,65	5.48[S]	0,13	68.11[S]	0,12	NO
	50,0%	63 671	11 455	-	-	5,65	5,65	7.49[S]	0,13	-	VNR	NO
	62,5%	12 190	7 238	-	-	5,65	5,65	10.75[S]	0,12	-	VNR	NO
	75,0%	12 190	8 532	63 971	5 372	5,65	5,65	9.12[S]	0,12	15.98[S]	0,13	NO
	87,5%	2 383	8 545	63 971	16 004	5,65	5,65	8.92[S]	0,12	5.36[S]	0,13	NO
	100%	2 383	8 408	73 778	30 662	11,31	11,31	17.10[S]	0,15	5.04[S]	0,16	NO
Trave 7-19	0%	-2 188	8 434	73 355	30 324	11,31	11,31	16.97[S]	0,15	5.09[S]	0,16	NO
	12,5%	-2 188	8 462	62 132	15 554	5,65	5,65	8.93[S]	0,12	5.50[S]	0,13	NO
	25,0%	-2 188	7 307	62 132	5 307	5,65	5,65	10.34[S]	0,12	16.12[S]	0,13	NO
	37,5%	9 035	6 847	-	-	5,65	5,65	11.29[S]	0,12	-	VNR	NO
	50,0%	63 933	11 330	-	-	5,65	5,65	7.58[S]	0,13	-	VNR	NO
	62,5%	73 355	15 833	-2 188	1 609	5,65	5,65	5.51[S]	0,13	46.96[S]	0,12	NO
	75,0%	73 355	17 917	-2 188	6 352	5,65	5,65	4.87[S]	0,13	11.89[S]	0,12	NO
	87,5%	62 132	16 891	-2 188	12 009	5,65	5,65	5.06[S]	0,13	6.29[S]	0,12	NO
	100%	62 132	14 525	9 035	20 200	5,65	5,65	5.89[S]	0,13	3.82[S]	0,12	NO
Fondazione		Travata: Trave 2-8-20										
Trave 2-8	0%	66 073	17 342	18 654	20 466	5,65	5,65	4.97[S]	0,13	3.85[S]	0,12	NO
	12,5%	66 162	19 058	18 565	10 372	5,65	5,65	4.52[S]	0,13	7.59[S]	0,12	NO
	25,0%	66 162	18 250	18 565	2 863	5,65	5,65	4.72[S]	0,13	27.52[S]	0,12	NO
	37,5%	66 162	15 258	-	-	5,65	5,65	5.65[S]	0,13	-	VNR	NO
	50,0%	61 077	12 256	-	-	5,65	5,65	6.97[V]	0,13	-	VNR	NO
	62,5%	18 654	7 913	-	-	5,65	5,65	9.96[S]	0,12	-	VNR	NO
	75,0%	18 565	7 917	66 162	6 112	5,65	5,65	9.95[S]	0,12	14.10[S]	0,13	NO
	87,5%	18 565	6 352	66 162	18 270	5,65	5,65	12.40[S]	0,12	4.71[S]	0,13	NO
	100,0%	18 565	2 813	66 162	33 428	11,31	11,31	52.00[S]	0,16	4.59[S]	0,16	NO
Trave 8-20	0%	15 655	3 078	63 493	31 407	11,31	11,31	47.38[S]	0,16	4.87[S]	0,16	NO
	12,5%	15 655	6 652	63 493	17 420	5,65	5,65	11.77[S]	0,12	4.92[S]	0,13	NO
	25,0%	15 655	8 189	63 493	6 049	5,65	5,65	9.56[S]	0,12	14.18[S]	0,13	NO
	37,5%	15 655	7 928	-	-	5,65	5,65	9.88[S]	0,12	-	VNR	NO
	50,0%	56 655	11 718	-	-	5,65	5,65	7.23[V]	0,13	-	VNR	NO
	62,5%	64 266	14 607	-	-	5,65	5,65	5.88[S]	0,13	-	VNR	NO
	75,0%	63 493	17 521	15 655	3 475	5,65	5,65	4.89[S]	0,13	22.54[S]	0,12	NO
	87,5%	63 493	18 501	15 655	11 287	5,65	5,65	4.63[S]	0,13	6.94[S]	0,12	NO
	100,0%	63 493	16 917	15 655	21 362	5,65	5,65	5.07[S]	0,13	3.66[S]	0,12	NO
Fondazione		Travata: Trave 3-9-21										
Trave 3-9	0%	77 736	14 668	36 338	21 404	5,65	5,65	6.00[S]	0,13	3.81[S]	0,13	NO
	12,5%	77 736	18 179	35 083	9 104	5,65	5,65	4.84[S]	0,13	8.94[S]	0,13	NO
	25,0%	77 736	18 141	35 083	758	5,65	5,65	4.85[S]	0,13	NS	0,13	NO
	37,5%	78 991	15 917	-	-	5,65	5,65	5.54[S]	0,13	-	VNR	NO
	50,0%	84 336	14 746	-	-	5,65	5,65	6.03[V]	0,13	-	VNR	NO
	62,5%	36 338	9 189	-	-	5,65	5,65	8.87[S]	0,13	-	VNR	NO
	75,0%	36 338	8 846	77 736	3 752	5,65	5,65	9.22[S]	0,13	23.46[S]	0,13	NO
	87,5%	36 338	6 651	77 736	16 432	5,65	5,65	12.26[S]	0,13	5.35[S]	0,13	NO
	100%	36 338	2 034	77 736	33 466	11,31	11,31	73.25[S]	0,16	4.63[S]	0,16	NO
Trave 9-21	0%	-8 708	752	44 685	31 875	11,31	11,31	NS	0,15	4.71[S]	0,16	NO
	12,5%	-8 708	3 646	44 685	19 337	5,65	5,65	20.44[S]	0,12	4.28[S]	0,13	NO
	25,0%	-8 708	4 924	44 685	8 596	5,65	5,65	15.14[S]	0,12	9.64[S]	0,13	NO
	37,5%	-8 890	4 714	-	-	5,65	5,65	15.80[S]	0,12	-	VNR	NO
	50,0%	28 286	8 261	-	-	5,65	5,65	9.72[V]	0,12	-	VNR	NO
	62,5%	44 685	13 074	-	-	5,65	5,65	6.33[S]	0,13	-	VNR	NO
	75,0%	44 685	16 935	-8 708	4 217	5,65	5,65	4.89[S]	0,13	17.67[S]	0,12	NO
	87,5%	44 685	19 034	-8 708	9 840	5,65	5,65	4.35[S]	0,13	7.57[S]	0,12	NO

Id _{Tr}	%L _{Lt}	N _{Ed,s}	M _{Ed,3,s}	N _{Ed,i}	M _{Ed,3,i}	A _{s,s}	A _{s,i}	CS _s	(X/d) _s	CS _i	(X/d) _i	R _f
	[%]	[N]	[N-m]	[N]	[N-m]	[cm ²]	[cm ²]					
		44 685	19 137	-8 708	16 708	5,65	5,65	4.33[S]	0,13	4.46[S]	0,12	NO
Fondazione		Travata: Trave 4-10-22										
Trave 4-10	0%	75 260	14 807	33 656	20 656	5,65	5,65	5.91[S]	0,13	3.92[S]	0,13	NO
	12,5%	75 260	17 953	33 656	9 062	5,65	5,65	4.88[S]	0,13	8.95[S]	0,13	NO
	25,0%	75 260	17 715	33 314	968	5,65	5,65	4.94[S]	0,13	83.79[S]	0,13	NO
	37,5%	75 601	15 360	-	-	5,65	5,65	5.70[S]	0,13	-	VNR	NO
	50,0%	85 532	14 350	-	-	5,65	5,65	6.21[V]	0,13	-	VNR	NO
	62,5%	33 656	8 663	-	-	5,65	5,65	9.36[S]	0,13	-	VNR	NO
	75,0%	33 656	8 488	75 260	3 845	5,65	5,65	9.56[S]	0,13	22.79[S]	0,13	NO
	87,5%	33 314	6 626	75 260	16 115	5,65	5,65	12.24[S]	0,13	5.43[S]	0,13	NO
	100%	33 314	2 680	75 601	32 617	11,31	11,31	55.42[S]	0,16	4.75[S]	0,16	NO
Trave 10-22	0%	-8 123	1 783	43 915	29 829	11,31	11,31	79.76[S]	0,15	5.03[S]	0,16	NO
	12,5%	-8 123	4 243	43 915	18 092	5,65	5,65	17.59[S]	0,12	4.57[S]	0,13	NO
	25,0%	-8 123	5 182	43 915	8 016	5,65	5,65	14.40[S]	0,12	10.32[S]	0,13	NO
	37,5%	-8 171	4 753	-	-	5,65	5,65	15.70[S]	0,12	-	VNR	NO
	50,0%	28 001	7 839	-	-	5,65	5,65	10.24[V]	0,12	-	VNR	NO
	62,5%	43 915	12 419	-8 171	101	5,65	5,65	6.66[S]	0,13	NS	0,12	NO
	75,0%	43 915	16 094	-8 123	4 501	5,65	5,65	5.14[S]	0,13	16.58[S]	0,12	NO
	87,5%	43 962	18 128	-8 171	10 109	5,65	5,65	4.56[S]	0,13	7.38[S]	0,12	NO
	100%	43 962	18 333	-8 171	16 957	5,65	5,65	4.51[S]	0,13	4.40[S]	0,12	NO
Fondazione		Travata: Trave 5-11-23										
Trave 5-11	0%	69 720	15 425	27 123	20 819	5,65	5,65	5.62[S]	0,13	3.84[S]	0,12	NO
	12,5%	69 720	17 699	27 123	9 733	5,65	5,65	4.90[S]	0,13	8.23[S]	0,12	NO
	25,0%	70 731	17 310	26 112	2 010	5,65	5,65	5.02[S]	0,13	39.79[S]	0,12	NO
	37,5%	70 731	14 881	-	-	5,65	5,65	5.84[S]	0,13	-	VNR	NO
	50,0%	70 904	12 758	-	-	5,65	5,65	6.81[V]	0,13	-	VNR	NO
	62,5%	27 123	8 283	-	-	5,65	5,65	9.67[S]	0,12	-	VNR	NO
	75,0%	27 123	8 246	69 720	4 392	5,65	5,65	9.71[S]	0,12	19.75[S]	0,13	NO
	87,5%	26 112	6 880	70 731	16 158	5,65	5,65	11.62[S]	0,12	5.38[S]	0,13	NO
	100%	26 112	3 768	70 731	31 710	11,31	11,31	39.12[S]	0,16	4.86[S]	0,16	NO
Trave 11-23	0%	-2 220	3 481	48 231	28 792	11,31	11,31	41.11[S]	0,15	5.23[S]	0,16	NO
	12,5%	-1 890	5 653	47 901	17 109	5,65	5,65	13.37[S]	0,12	4.87[S]	0,13	NO
	25,0%	-1 890	6 410	47 901	7 299	5,65	5,65	11.79[S]	0,12	11.42[S]	0,13	NO
	37,5%	-1 890	5 715	-	-	5,65	5,65	13.23[S]	0,12	-	VNR	NO
	50,0%	35 777	8 473	-	-	5,65	5,65	9.61[V]	0,13	-	VNR	NO
	62,5%	48 231	12 525	-2 220	11	5,65	5,65	6.66[S]	0,13	NS	0,12	NO
	75,0%	47 901	15 889	-1 890	4 734	5,65	5,65	5.24[S]	0,13	15.97[S]	0,12	NO
	87,5%	47 901	17 804	-1 890	11 056	5,65	5,65	4.68[S]	0,13	6.83[S]	0,12	NO
	100,0%	47 901	17 850	-1 890	18 786	5,65	5,65	4.67[S]	0,13	4.02[S]	0,12	NO
Fondazione		Travata: Trave 6-12-24										
Trave 6-12	0%	60 078	13 360	24 387	20 390	5,65	5,65	6.38[S]	0,13	3.90[S]	0,12	NO
	12,5%	60 078	16 128	12 094	10 229	5,65	5,65	5.28[S]	0,13	7.60[S]	0,12	NO
	25,0%	72 371	17 152	12 094	4 718	5,65	5,65	5.08[S]	0,13	16.49[S]	0,12	NO
	37,5%	72 371	15 610	12 094	432	5,65	5,65	5.58[S]	0,13	NS	0,12	NO
	50,0%	69 923	12 400	-	-	5,65	5,65	7.00[S]	0,13	-	VNR	NO
	62,5%	24 387	7 626	-	-	5,65	5,65	10.45[S]	0,12	-	VNR	NO
	75,0%	24 387	8 795	60 078	4 628	5,65	5,65	9.06[S]	0,12	18.42[S]	0,13	NO
	87,5%	12 094	9 026	60 078	15 143	5,65	5,65	8.61[S]	0,12	5.63[S]	0,13	NO
	100%	12 094	9 649	72 371	30 872	11,31	11,31	15.05[S]	0,15	5.00[S]	0,16	NO
Trave 12-24	0%	-17 905	6 020	63 253	24 652	11,31	11,31	23.37[S]	0,15	6.20[S]	0,16	NO
	12,5%	-17 905	5 880	52 329	13 024	5,65	5,65	12.43[S]	0,12	6.45[S]	0,13	NO
	25,0%	-17 905	4 781	52 329	4 904	5,65	5,65	15.29[S]	0,12	17.14[S]	0,13	NO
	37,5%	-6 981	4 530	-	-	5,65	5,65	16.51[S]	0,12	-	VNR	NO
	50,0%	51 415	9 333	-	-	5,65	5,65	8.99[S]	0,13	-	VNR	NO
	62,5%	63 253	13 376	-17 905	2 792	5,65	5,65	6.41[S]	0,13	26.18[S]	0,12	NO
	75,0%	63 253	15 312	-17 905	6 404	5,65	5,65	5.60[S]	0,13	11.41[S]	0,12	NO
	87,5%	52 329	14 725	-17 905	10 377	5,65	5,65	5.70[S]	0,13	7.04[S]	0,12	NO
	100%	52 329	13 399	-6 981	16 239	5,65	5,65	6.27[S]	0,13	4.60[S]	0,12	NO
Fondazione		Travata: Trave 13-16										
Trave 13-16	0%	7 336	4 413	19 798	7 735	3,39	3,39	10.40[S]	0,13	6.18[S]	0,13	NO
	12,5%	7 336	4 068	15 501	3 956	3,39	3,39	11.28[S]	0,13	11.92[S]	0,13	NO
	25,0%	11 633	3 716	15 501	1 273	3,39	3,39	12.53[S]	0,13	37.05[S]	0,13	NO
	37,5%	11 633	2 950	-	-	3,39	3,39	15.78[S]	0,13	-	VNR	NO
	50,0%	21 954	3 561	-	-	3,39	3,39	13.52[S]	0,14	-	VNR	NO
	62,5%	19 798	4 282	7 336	414	3,39	3,39	11.17[S]	0,13	NS	0,13	NO
	75,0%	19 798	4 546	7 336	2 080	3,39	3,39	10.52[S]	0,13	22.06[S]	0,13	NO
	87,5%	15 501	3 939	7 336	3 886	3,39	3,39	11.97[S]	0,13	11.81[S]	0,13	NO
	100,0%	15 501	3 019	11 633	6 292	3,39	3,39	15.62[S]	0,13	7.40[S]	0,13	NO
Fondazione		Travata: Trave 14-17										
Trave 14-17	0%	10 252	5 140	13 975	8 566	3,39	3,39	9.01[S]	0,13	5.47[S]	0,13	NO
	12,5%	10 252	4 849	13 975	4 931	3,39	3,39	9.56[S]	0,13	9.51[S]	0,13	NO
	25,0%	10 252	4 140	13 975	1 874	3,39	3,39	11.19[S]	0,13	25.04[S]	0,13	NO
	37,5%	10 252	3 057	-	-	3,39	3,39	15.16[S]	0,13	-	VNR	NO
	50,0%	18 296	3 060	-	-	3,39	3,39	15.55[V]	0,13	-	VNR	NO
	62,5%	13 975	3 808	10 252	163	3,39	3,39	12.32[S]	0,13	NS	0,13	NO
	75,0%	13 975	4 539	10 252	2 293	3,39	3,39	10.34[S]	0,13	20.21[S]	0,13	NO
	87,5%	13 975	4 655	10 252	4 769	3,39	3,39	10.08[S]	0,13	9.72[S]	0,13	NO
	100,0%	13 975	4 107	10 252	7 579	3,39	3,39	11.42[S]	0,13	6.11[S]	0,13	NO
Fondazione		Travata: Trave 15-18										
Trave 15-18	0%	9 592	4 381	16 733	7 742	3,39	3,39	10.55[S]	0,13	6.11[S]	0,13	NO
	12,5%	10 797	4 379	16 733	4 291	3,39	3,39	10.60[S]	0,13	11.03[S]	0,13	NO
	25,0%	10 797	3 851	16 733	1 363	3,39	3,39	12.05[S]	0,13	34.74[S]	0,13	NO
	37,5%	10 797	2 900	-	-	3,39	3,39	16.01[S]	0,13	-	VNR	NO
	50,0%	20 374	3 205	-	-	3,39	3,39	14.95[V]	0,13	-	VNR	NO
	62,5%	17 938	4 066	9 592	155	3,39	3,39	11.69[S]	0,13	NS	0,13	NO

Travi (CA) - Verifiche pressoflessione retta allo SLU

Id _{Tr}	%L _{LI} [%]	N _{Ed,s} [N]	M _{Ed,3,s} [N·m]	N _{Ed,i} [N]	M _{Ed,3,i} [N·m]	A _{s,s} [cm ²]	A _{s,i} [cm ²]	CS _s	(X/d) _s	CS _i	(X/d) _i	R _f
	75,0%	17 938	4 516	9 592	2 026	3,39	3,39	10.52[S]	0,13	22.83[S]	0,13	NO
	87,5%	16 733	4 218	9 592	4 125	3,39	3,39	11.22[S]	0,13	11.21[S]	0,13	NO
	100,0%	16 733	3 164	9 592	6 402	3,39	3,39	14.96[S]	0,13	7.22[S]	0,13	NO

LEGENDA:

Id_{Tr}	Identificativo della trave. L'eventuale lettera tra parentesi distingue i diversi tratti della travata al livello considerato.
%L_{LI}	Posizione della sezione per la quale vengono forniti i valori di verifica, valutata come % della lunghezza libera d'inflessione (L _{LI}), a partire dall'estremo iniziale.
N_{Ed,s}, M_{Ed,3,s}	Sollecitazioni di progetto per armatura superiore.
N_{Ed,i}, M_{Ed,3,i}	Sollecitazioni di progetto per armatura inferiore.
A_{s,s}, A_{s,i}	Armatura a flessione superiore e inferiore.
(X/d)_s	Indice di duttilità superiore (VNR = Verifica non richiesta).
(X/d)_i	Indice di duttilità inferiore (VNR = Verifica non richiesta).
CS_s, CS_i	Coefficiente di sicurezza relativo alle sollecitazioni che tendono le fibre superiori e inferiori ([NS] = Non Significativo se CS ≥ 100; [VNR]= Verifica Non Richiesta; Informazioni aggiuntive sulla condizione: [V] = statica; [E] = eccezionale; [S] = sismica; [N] = sismica non lineare).
R_f	[SI] = elemento con presenza di rinforzo; [NO] = elemento senza rinforzo.

TRAVI (CA) - VERIFICHE A TAGLIO PER PRESSOFLESSIONE RETTA ALLO SLU (Fondazione)
Travi (CA) - Verifiche a taglio per pressoflessione retta allo SLU

Id _{Tr}	%L _{LI} [%]	+/ -	V _{Ed,2} [N]	CS	V _{Rcd} [N]	V _{Rsd,s} [N]	N _{Ed} [N]	V _{Rsd,p} [N]	V _{R1} [N]	V _{Rd,f} [N]	Ct _g [°]	A _{sw} [cm ² /cm]	A _{sw,p} [cm ²]	A _{s,Dg} [cm ²]	R _f
											Travata: Trave 1-2-3-4-5-6				
Fondazione Trave 1-2	0%	+	-	-	464 250	343 552	23 095	0	0	0	2,50	0,11170	0,0000	0,0000	NO
		-	-32 391	10,61	464 250	343 552	23 095	0	0	0	2,50	0,11170	0,0000	0,0000	NO
	12,5%	+	-	-	464 250	280 791	23 095	0	0	0	2,50	0,09139	0,0000	0,0000	NO
		-	-20 525	13,68	464 250	280 791	23 095	0	0	0	2,50	0,09139	0,0000	0,0000	NO
	25,0%	+	3 704	75,81	464 250	280 791	23 095	0	0	0	2,50	0,09139	0,0000	0,0000	NO
		-	-13 565	20,70	464 250	280 791	23 095	0	0	0	2,50	0,09139	0,0000	0,0000	NO
	37,5%	+	6 972	40,27	464 250	280 791	23 095	0	0	0	2,50	0,09139	0,0000	0,0000	NO
		-	-8 249	34,04	464 250	280 791	23 095	0	0	0	2,50	0,09139	0,0000	0,0000	NO
	50,0%	+	10 646	26,38	464 250	280 791	23 095	0	0	0	2,50	0,09139	0,0000	0,0000	NO
		-	-4 519	62,14	464 250	280 791	23 095	0	0	0	2,50	0,09139	0,0000	0,0000	NO
62,5%	+	15 510	18,10	464 250	280 791	23 095	0	0	0	2,50	0,09139	0,0000	0,0000	NO	
	-	-1 613	NS	464 250	280 791	23 095	0	0	0	2,50	0,09139	0,0000	0,0000	NO	
75,0%	+	21 731	12,92	464 250	280 791	23 095	0	0	0	2,50	0,09139	0,0000	0,0000	NO	
	-	-	-	464 250	280 791	23 095	0	0	0	2,50	0,09139	0,0000	0,0000	NO	
87,5%	+	29 298	9,58	464 250	280 791	23 095	0	0	0	2,50	0,09139	0,0000	0,0000	NO	
	-	-	-	464 250	280 791	23 095	0	0	0	2,50	0,09139	0,0000	0,0000	NO	
100,0%	+	38 481	8,93	464 250	343 552	23 095	0	0	0	2,50	0,11170	0,0000	0,0000	NO	
	-	-	-	464 250	343 552	23 095	0	0	0	2,50	0,11170	0,0000	0,0000	NO	
Trave 2-3	0%	+	-	-	461 785	343 952	4 993	0	0	0	2,50	0,11170	0,0000	0,0000	NO
		-	-33 617	10,23	461 785	343 952	4 993	0	0	0	2,50	0,11170	0,0000	0,0000	NO
	12,5%	+	-	-	461 785	281 190	4 993	0	0	0	2,50	0,09139	0,0000	0,0000	NO
		-	-22 438	12,53	461 785	281 190	4 993	0	0	0	2,50	0,09139	0,0000	0,0000	NO
	25,0%	+	-	-	461 785	281 190	4 993	0	0	0	2,50	0,09139	0,0000	0,0000	NO
		-	-12 888	21,82	461 785	281 190	4 993	0	0	0	2,50	0,09139	0,0000	0,0000	NO
	37,5%	+	867	NS	461 785	281 190	4 993	0	0	0	2,50	0,09139	0,0000	0,0000	NO
		-	-6 285	44,74	461 785	281 190	4 993	0	0	0	2,50	0,09139	0,0000	0,0000	NO
	50,0%	+	2 392	NS	461 785	281 190	4 993	0	0	0	2,50	0,09139	0,0000	0,0000	NO
		-	-2 244	NS	461 785	281 190	4 993	0	0	0	2,50	0,09139	0,0000	0,0000	NO
62,5%	+	6 336	44,38	461 785	281 190	4 993	0	0	0	2,50	0,09139	0,0000	0,0000	NO	
	-	-10	NS	461 785	281 190	4 993	0	0	0	2,50	0,09139	0,0000	0,0000	NO	
75,0%	+	13 286	21,16	461 785	281 190	4 993	0	0	0	2,50	0,09139	0,0000	0,0000	NO	
	-	-	-	461 785	281 190	4 993	0	0	0	2,50	0,09139	0,0000	0,0000	NO	
87,5%	+	24 021	11,71	461 785	281 190	4 993	0	0	0	2,50	0,09139	0,0000	0,0000	NO	
	-	-	-	461 785	281 190	4 993	0	0	0	2,50	0,09139	0,0000	0,0000	NO	
100%	+	38 876	8,85	461 785	343 952	4 993	0	0	0	2,50	0,11170	0,0000	0,0000	NO	
	-	-	-	461 785	343 952	4 993	0	0	0	2,50	0,11170	0,0000	0,0000	NO	
Trave 3-4	0%	+	-	-	461 105	345 189	0	0	0	0	2,50	0,11170	0,0000	0,0000	NO
		-	-40 505	8,52	461 105	345 189	0	0	0	0	2,50	0,11170	0,0000	0,0000	NO
	12,5%	+	-	-	461 105	282 428	0	0	0	0	2,50	0,09139	0,0000	0,0000	NO
		-	-28 070	10,06	461 105	282 428	0	0	0	0	2,50	0,09139	0,0000	0,0000	NO
	25,0%	+	-	-	461 105	282 428	0	0	0	0	2,50	0,09139	0,0000	0,0000	NO
		-	-17 962	15,72	461 105	282 428	0	0	0	0	2,50	0,09139	0,0000	0,0000	NO
	37,5%	+	682	NS	461 105	282 428	0	0	0	0	2,50	0,09139	0,0000	0,0000	NO
		-	-10 741	26,29	461 105	282 428	0	0	0	0	2,50	0,09139	0,0000	0,0000	NO
	50,0%	+	4 650	60,74	461 105	282 428	0	0	0	0	2,50	0,09139	0,0000	0,0000	NO
		-	-5 034	56,10	461 105	282 428	0	0	0	0	2,50	0,09139	0,0000	0,0000	NO
62,5%	+	10 219	27,64	461 105	282 428	0	0	0	0	2,50	0,09139	0,0000	0,0000	NO	
	-	-1 135	NS	461 105	282 428	0	0	0	0	2,50	0,09139	0,0000	0,0000	NO	
75,0%	+	17 172	16,45	461 105	282 428	0	0	0	0	2,50	0,09139	0,0000	0,0000	NO	
	-	-	-	461 105	282 428	0	0	0	0	2,50	0,09139	0,0000	0,0000	NO	
87,5%	+	26 044	10,84	461 105	282 428	0	0	0	0	2,50	0,09139	0,0000	0,0000	NO	
	-	-	-	461 105	282 428	0	0	0	0	2,50	0,09139	0,0000	0,0000	NO	
100,0%	+	37 616	9,18	461 105	345 189	0	0	0	0	2,50	0,11170	0,0000	0,0000	NO	
	-	-	-	461 105	345 189	0	0	0	0	2,50	0,11170	0,0000	0,0000	NO	
Trave 4-5	0%	+	-	-	461 832	345 189	5 342	0	0	0	2,50	0,11170	0,0000	0,0000	NO
		-	-37 294	9,26	461 832	345 189	5 342	0	0	0	2,50	0,11170	0,0000	0,0000	NO
	12,5%	+	-	-	461 832	282 428	5 342	0	0	0	2,50	0,09139	0,0000	0,0000	NO
		-	-24 708	11,43	461 832	282 428	5 342	0	0	0	2,50	0,09139	0,0000	0,0000	NO
25,0%	+	-	-	461 832	282 428	5 342	0	0	0	2,50	0,09139	0,0000	0,0000	NO	

Travi (CA) - Verifiche a taglio per pressoflessione retta allo SLU

Id _{Tr}	% _{oLLI}	+/-	V _{Ed,2}	CS	V _{Rcd}	V _{Rsd,s}	N _{Ed}	V _{Rsd,p}	V _{R1}	V _{Rd,f}	Ctg _⊙	A _{sw}	A _{sw,p}	A _{s,Dg}	R _f
	[%]		[N]		[N]	[N]	[N]	[N]	[N]	[N]		[cm ² /cm]	[cm ²]	[cm ²]	

LEGGENDA:

- Id_{Tr}** Identificativo della trave. L'eventuale lettera tra parentesi distingue i diversi tratti della travata al livello considerato.
- %_{oLLI}** Posizione della sezione per la quale vengono forniti i valori di verifica, valutata come % della lunghezza libera d'inflessione (L_{Li}), a partire dall'estremo iniziale.
- +/-** [+] = sollecitazione massima; [-] = sollecitazione minima.
- V_{Ed,2}** Taglio di progetto in direzione 2.
- CS** Coefficiente di sicurezza ([NS] = Non Significativo se CS ≥ 100; [VNR]= Verifica Non Richiesta; Informazioni aggiuntive sulla condizione: [V] = statica; [E] = eccezionale; [S] = sismica; [N] = sismica non lineare).
- V_{Rcd}** Resistenza a taglio compressione del calcestruzzo.
- V_{Rsd,s}** Resistenza a taglio trazione delle staffe.
- N_{Ed}** Sforzo Normale medio nella sezione di verifica.
- V_{Rsd,p}** Resistenza a taglio trazione dei ferri piegati.
- V_{R1}** Resistenza a taglio in assenza di armatura incrociata.
- V_{Rd,f}** Resistenza a taglio dovuta al rinforzo FRP.
- Ctg_⊙** Cotangente dell'angolo ⊙ utilizzata nella verifica.
- A_{sw}** Area delle staffe per unità di lunghezza.
- A_{sw,p}** Area dei ferri piegati.
- A_{s,Dg}** Area di ferri incrociati nelle zone critiche.
- R_f** [SI] = elemento con presenza di rinforzo; [NO] = elemento senza rinforzo.

TRAVI (CA) - VERIFICHE A TORSIONE ALLO SLU (Fondazione)

Travi (CA) - Verifiche a torsione allo SLU														
Id _{Tr}	% _{oLLI}	T _{Ed}	CS	T _{Rcd}	T _{Rsd}	T _{Rld}	Ctg _⊙	u _m	A	t	A _{sw}	A _{s,l}	A _{r,t}	R _f
	[%]	[N-m]		[N-m]	[N-m]	[N-m]		[mm]	[mm ²]	[mm]	[cm ² /cm]	[cm ²]	[cm ²]	
Fondazione														
Travata: Trave 1-2-3-4-5-6														
Trave 1-2	0%	1 393	14,61	78 471	57 062	20 348	2,50	1 520	134 400	120	0,00053	0,00	7,35	NO
	25,0%	1 393	2,63	78 471	3 657	26 609	2,50	1 520	134 400	120	0,00053	0,00	9,61	NO
	50,0%	1 393	2,63	78 471	3 657	26 609	2,50	1 520	134 400	120	0,00053	0,00	9,61	NO
	75,0%	1 393	2,63	78 471	3 657	26 609	2,50	1 520	134 400	120	0,00053	0,00	9,61	NO
	100,0%	1 393	39,89	78 471	57 062	55 566	2,50	1 520	134 400	120	0,00053	0,00	20,07	NO
Trave 2-3	0%	1 053	50,09	78 471	57 062	52 749	2,50	1 520	134 400	120	0,00040	0,00	19,06	NO
	25,0%	1 053	3,47	78 471	3 657	26 609	2,50	1 520	134 400	120	0,00040	0,00	9,61	NO
	50,0%	1 053	3,47	78 471	3 657	26 609	2,50	1 520	134 400	120	0,00040	0,00	9,61	NO
	75,0%	1 053	3,47	78 471	3 657	26 609	2,50	1 520	134 400	120	0,00040	0,00	9,61	NO
	100%	1 053	51,28	78 471	57 062	54 001	2,50	1 520	134 400	120	0,00040	0,00	19,51	NO
Trave 3-4	0%	0	-	-	-	-	-	-	-	-	-	-	-	NO
	25,0%	0	-	-	-	-	-	-	-	-	-	-	-	NO
	50,0%	0	-	-	-	-	-	-	-	-	-	-	-	NO
	75,0%	0	-	-	-	-	-	-	-	-	-	-	-	NO
	100,0%	0	-	-	-	-	-	-	-	-	-	-	-	NO
Trave 4-5	0%	0	-	-	-	-	-	-	-	-	-	-	-	NO
	25,0%	0	-	-	-	-	-	-	-	-	-	-	-	NO
	50,0%	0	-	-	-	-	-	-	-	-	-	-	-	NO
	75,0%	0	-	-	-	-	-	-	-	-	-	-	-	NO
	100%	0	-	-	-	-	-	-	-	-	-	-	-	NO
Trave 5-6	0%	1 943	28,68	78 471	57 062	55 723	2,50	1 520	134 400	120	0,00074	0,00	20,13	NO
	25,0%	1 943	1,88	78 471	3 657	26 609	2,50	1 520	134 400	120	0,00074	0,00	9,61	NO
	50,0%	1 943	1,88	78 471	3 657	26 609	2,50	1 520	134 400	120	0,00074	0,00	9,61	NO
	75,0%	1 943	1,88	78 471	3 657	26 609	2,50	1 520	134 400	120	0,00074	0,00	9,61	NO
	100%	1 943	10,47	78 471	57 062	20 348	2,50	1 520	134 400	120	0,00074	0,00	7,35	NO
Fondazione														
Travata: Trave 7-8-9-10-11-12														
Trave 7-8	0%	0	-	-	-	-	-	-	-	-	-	-	-	NO
	25,0%	0	-	-	-	-	-	-	-	-	-	-	-	NO
	50,0%	0	-	-	-	-	-	-	-	-	-	-	-	NO
	75,0%	0	-	-	-	-	-	-	-	-	-	-	-	NO
	100,0%	0	-	-	-	-	-	-	-	-	-	-	-	NO
Trave 8-9	0%	0	-	-	-	-	-	-	-	-	-	-	-	NO
	25,0%	0	-	-	-	-	-	-	-	-	-	-	-	NO
	50,0%	0	-	-	-	-	-	-	-	-	-	-	-	NO
	75,0%	0	-	-	-	-	-	-	-	-	-	-	-	NO
	100,0%	0	-	-	-	-	-	-	-	-	-	-	-	NO
Trave 9-10	0%	0	-	-	-	-	-	-	-	-	-	-	-	NO
	25,0%	0	-	-	-	-	-	-	-	-	-	-	-	NO
	50,0%	0	-	-	-	-	-	-	-	-	-	-	-	NO
	75,0%	0	-	-	-	-	-	-	-	-	-	-	-	NO
	100,0%	0	-	-	-	-	-	-	-	-	-	-	-	NO
Trave 11-10	0%	0	-	-	-	-	-	-	-	-	-	-	-	NO
	25,0%	0	-	-	-	-	-	-	-	-	-	-	-	NO
	50,0%	0	-	-	-	-	-	-	-	-	-	-	-	NO
	75,0%	0	-	-	-	-	-	-	-	-	-	-	-	NO
	100%	0	-	-	-	-	-	-	-	-	-	-	-	NO
Trave 11-12	0%	0	-	-	-	-	-	-	-	-	-	-	-	NO
	25,0%	0	-	-	-	-	-	-	-	-	-	-	-	NO
	50,0%	0	-	-	-	-	-	-	-	-	-	-	-	NO
	75,0%	0	-	-	-	-	-	-	-	-	-	-	-	NO
	100,0%	0	-	-	-	-	-	-	-	-	-	-	-	NO
Fondazione														
Travata: Trave 13-14-15														
Trave 13-14	0%	0	-	-	-	-	-	-	-	-	-	-	-	NO

Travi (CA) - Verifiche a torsione allo SLU														
Id _{Tr}	%LL _t	T _{Ed}	CS	T _{Rcd}	T _{Rsd}	T _{Rld}	Ctg θ	u _m	A	t	A _{sw}	A _{s,l}	A _{r,t}	R _r
	[%]	[N-m]		[N-m]	[N-m]	[N-m]		[mm]	[mm ²]	[mm]	[cm ² /cm]	[cm ²]	[cm ²]	
Trave 14-15	25,0%	0	-	-	-	-	-	-	-	-	-	-	-	NO
	50,0%	0	-	-	-	-	-	-	-	-	-	-	-	NO
	75,0%	0	-	-	-	-	-	-	-	-	-	-	-	NO
	100%	0	-	-	-	-	-	-	-	-	-	-	-	NO
	0%	0	-	-	-	-	-	-	-	-	-	-	-	NO
	25,0%	0	-	-	-	-	-	-	-	-	-	-	-	NO
	50,0%	0	-	-	-	-	-	-	-	-	-	-	-	NO
	75,0%	0	-	-	-	-	-	-	-	-	-	-	-	NO
100%	0	-	-	-	-	-	-	-	-	-	-	-	NO	
Fondazione								Travata: Trave 16-17-18						
Trave 16-17	0%	0	-	-	-	-	-	-	-	-	-	-	-	NO
	25,0%	0	-	-	-	-	-	-	-	-	-	-	-	NO
	50,0%	0	-	-	-	-	-	-	-	-	-	-	-	NO
	75,0%	0	-	-	-	-	-	-	-	-	-	-	-	NO
Trave 17-18	100%	0	-	-	-	-	-	-	-	-	-	-	-	NO
	0%	0	-	-	-	-	-	-	-	-	-	-	-	NO
	25,0%	0	-	-	-	-	-	-	-	-	-	-	-	NO
	50,0%	0	-	-	-	-	-	-	-	-	-	-	-	NO
Trave 19-20	75,0%	0	-	-	-	-	-	-	-	-	-	-	-	NO
	100,0	0	-	-	-	-	-	-	-	-	-	-	-	NO
	%	0	-	-	-	-	-	-	-	-	-	-	-	NO
Fondazione								Travata: Trave 19-20-21-22-23-24						
Trave 19-20	0%	1 396	14,58	78 471	57 062	20 348	2,50	1 520	134 400	120	0,00053	0,00	7,35	NO
	25,0%	1 396	2,62	78 471	3 657	26 609	2,50	1 520	134 400	120	0,00053	0,00	9,61	NO
	50,0%	1 396	2,62	78 471	3 657	26 609	2,50	1 520	134 400	120	0,00053	0,00	9,61	NO
	75,0%	1 396	2,62	78 471	3 657	26 609	2,50	1 520	134 400	120	0,00053	0,00	9,61	NO
Trave 20-21	100,0	1 396	38,91	78 471	57 062	54 314	2,50	1 520	134 400	120	0,00053	0,00	19,62	NO
	0%	0	-	-	-	-	-	-	-	-	-	-	-	NO
	25,0%	0	-	-	-	-	-	-	-	-	-	-	-	NO
	50,0%	0	-	-	-	-	-	-	-	-	-	-	-	NO
Trave 21-22	75,0%	0	-	-	-	-	-	-	-	-	-	-	-	NO
	100%	0	-	-	-	-	-	-	-	-	-	-	-	NO
	0%	0	-	-	-	-	-	-	-	-	-	-	-	NO
	25,0%	0	-	-	-	-	-	-	-	-	-	-	-	NO
Trave 22-23	50,0%	0	-	-	-	-	-	-	-	-	-	-	-	NO
	75,0%	0	-	-	-	-	-	-	-	-	-	-	-	NO
	100,0	0	-	-	-	-	-	-	-	-	-	-	-	NO
	%	0	-	-	-	-	-	-	-	-	-	-	-	NO
Trave 23-24	0%	1 518	36,71	78 471	57 062	55 723	2,50	1 520	134 400	120	0,00058	0,00	20,13	NO
	25,0%	1 518	2,41	78 471	3 657	26 609	2,50	1 520	134 400	120	0,00058	0,00	9,61	NO
	50,0%	1 518	2,41	78 471	3 657	26 609	2,50	1 520	134 400	120	0,00058	0,00	9,61	NO
	75,0%	1 518	2,41	78 471	3 657	26 453	2,50	1 520	134 400	120	0,00058	0,00	9,56	NO
Trave 1-7	100,0	1 518	13,40	78 471	57 062	20 348	2,50	1 520	134 400	120	0,00058	0,00	7,35	NO
	0%	1 739	13,50	78 471	57 062	23 479	2,50	1 520	134 400	120	0,00066	0,00	8,48	NO
	25,0%	1 739	2,10	78 471	3 657	26 609	2,50	1 520	134 400	120	0,00066	0,00	9,61	NO
	50,0%	1 739	2,10	78 471	3 657	26 609	2,50	1 520	134 400	120	0,00066	0,00	9,61	NO
Trave 7-19	75,0%	1 739	2,10	78 471	3 657	26 609	2,50	1 520	134 400	120	0,00066	0,00	9,61	NO
	100%	1 739	31,50	78 471	57 062	54 783	2,50	1 520	134 400	120	0,00066	0,00	19,79	NO
	0%	1 883	29,09	78 471	57 062	54 783	2,50	1 520	134 400	120	0,00072	0,00	19,79	NO
	25,0%	1 883	1,94	78 471	3 657	26 609	2,50	1 520	134 400	120	0,00072	0,00	9,61	NO
Trave 2-8-20	50,0%	1 883	1,94	78 471	3 657	26 609	2,50	1 520	134 400	120	0,00072	0,00	9,61	NO
	75,0%	1 883	1,94	78 471	3 657	26 609	2,50	1 520	134 400	120	0,00072	0,00	9,61	NO
	100%	1 883	12,47	78 471	57 062	23 479	2,50	1 520	134 400	120	0,00072	0,00	8,48	NO
	0%	0	-	-	-	-	-	-	-	-	-	-	-	NO
Fondazione								Travata: Trave 2-8-20						
Trave 2-8	25,0%	0	-	-	-	-	-	-	-	-	-	-	-	NO
	50,0%	0	-	-	-	-	-	-	-	-	-	-	-	NO
	75,0%	0	-	-	-	-	-	-	-	-	-	-	-	NO
	100,0	0	-	-	-	-	-	-	-	-	-	-	-	NO
Trave 8-20	%	0	-	-	-	-	-	-	-	-	-	-	-	NO
	0%	0	-	-	-	-	-	-	-	-	-	-	-	NO
	25,0%	0	-	-	-	-	-	-	-	-	-	-	-	NO
	50,0%	0	-	-	-	-	-	-	-	-	-	-	-	NO
Trave 3-9-21	75,0%	0	-	-	-	-	-	-	-	-	-	-	-	NO
	100,0	0	-	-	-	-	-	-	-	-	-	-	-	NO
	0%	0	-	-	-	-	-	-	-	-	-	-	-	NO
	25,0%	0	-	-	-	-	-	-	-	-	-	-	-	NO
Trave 9-21	50,0%	0	-	-	-	-	-	-	-	-	-	-	-	NO
	75,0%	0	-	-	-	-	-	-	-	-	-	-	-	NO
	100%	0	-	-	-	-	-	-	-	-	-	-	-	NO
	0%	0	-	-	-	-	-	-	-	-	-	-	-	NO

Travi (CA) - Verifiche a torsione allo SLU														
Id _{Tr}	%L _{Lt}	T _{Ed}	CS	T _{Rcd}	T _{Rsd}	T _{Rld}	Ctg θ	u _m	A	t	A _{sw}	A _{s,l}	A _{r,t}	R _r
	[%]	[N-m]		[N-m]	[N-m]	[N-m]		[mm]	[mm ²]	[mm]	[cm ² /cm]	[cm ²]	[cm ²]	
Fondazione								Travata: Trave 4-10-22						
Trave 4-10	0%	0	-	-	-	-	-	-	-	-	-	-	-	NO
	25,0%	0	-	-	-	-	-	-	-	-	-	-	-	NO
	50,0%	0	-	-	-	-	-	-	-	-	-	-	-	NO
	75,0%	0	-	-	-	-	-	-	-	-	-	-	-	NO
	100%	0	-	-	-	-	-	-	-	-	-	-	-	NO
Trave 10-22	0%	0	-	-	-	-	-	-	-	-	-	-	-	NO
	25,0%	0	-	-	-	-	-	-	-	-	-	-	-	NO
	50,0%	0	-	-	-	-	-	-	-	-	-	-	-	NO
	75,0%	0	-	-	-	-	-	-	-	-	-	-	-	NO
	100%	0	-	-	-	-	-	-	-	-	-	-	-	NO
Fondazione								Travata: Trave 5-11-23						
Trave 5-11	0%	0	-	-	-	-	-	-	-	-	-	-	-	NO
	25,0%	0	-	-	-	-	-	-	-	-	-	-	-	NO
	50,0%	0	-	-	-	-	-	-	-	-	-	-	-	NO
	75,0%	0	-	-	-	-	-	-	-	-	-	-	-	NO
	100%	0	-	-	-	-	-	-	-	-	-	-	-	NO
Trave 11-23	0%	0	-	-	-	-	-	-	-	-	-	-	-	NO
	25,0%	0	-	-	-	-	-	-	-	-	-	-	-	NO
	50,0%	0	-	-	-	-	-	-	-	-	-	-	-	NO
	75,0%	0	-	-	-	-	-	-	-	-	-	-	-	NO
	100,0 %	0	-	-	-	-	-	-	-	-	-	-	-	NO
Fondazione								Travata: Trave 6-12-24						
Trave 6-12	0%	1 366	17,19	78 471	57 062	23 479	2,50	1 520	134 400	120	0,00052	0,00	8,48	NO
	25,0%	1 366	2,68	78 471	3 657	26 609	2,50	1 520	134 400	120	0,00052	0,00	9,61	NO
	50,0%	1 366	2,68	78 471	3 657	26 609	2,50	1 520	134 400	120	0,00052	0,00	9,61	NO
	75,0%	1 366	2,68	78 471	3 657	26 609	2,50	1 520	134 400	120	0,00052	0,00	9,61	NO
	100%	1 366	40,10	78 471	57 062	54 783	2,50	1 520	134 400	120	0,00052	0,00	19,79	NO
Trave 12-24	0%	2 640	21,34	78 471	57 062	56 349	2,50	1 520	134 400	120	0,00100	0,00	20,36	NO
	25,0%	2 640	1,39	78 471	3 657	26 609	2,50	1 520	134 400	120	0,00100	0,00	9,61	NO
	50,0%	2 640	1,39	78 471	3 657	26 609	2,50	1 520	134 400	120	0,00100	0,00	9,61	NO
	75,0%	2 640	1,39	78 471	3 657	26 453	2,50	1 520	134 400	120	0,00100	0,00	9,56	NO
	100%	2 640	8,89	78 471	57 062	23 479	2,50	1 520	134 400	120	0,00100	0,00	8,48	NO
Fondazione								Travata: Trave 13-16						
Trave 13-16	0%	0	-	-	-	-	-	-	-	-	-	-	-	NO
	25,0%	0	-	-	-	-	-	-	-	-	-	-	-	NO
	50,0%	0	-	-	-	-	-	-	-	-	-	-	-	NO
	75,0%	0	-	-	-	-	-	-	-	-	-	-	-	NO
	100,0 %	0	-	-	-	-	-	-	-	-	-	-	-	NO
Fondazione								Travata: Trave 14-17						
Trave 14-17	0%	0	-	-	-	-	-	-	-	-	-	-	-	NO
	25,0%	0	-	-	-	-	-	-	-	-	-	-	-	NO
	50,0%	0	-	-	-	-	-	-	-	-	-	-	-	NO
	75,0%	0	-	-	-	-	-	-	-	-	-	-	-	NO
	100,0 %	0	-	-	-	-	-	-	-	-	-	-	-	NO
Fondazione								Travata: Trave 15-18						
Trave 15-18	0%	0	-	-	-	-	-	-	-	-	-	-	-	NO
	25,0%	0	-	-	-	-	-	-	-	-	-	-	-	NO
	50,0%	0	-	-	-	-	-	-	-	-	-	-	-	NO
	75,0%	0	-	-	-	-	-	-	-	-	-	-	-	NO
	100,0 %	0	-	-	-	-	-	-	-	-	-	-	-	NO

LEGENDA:

Id_{Tr}	Identificativo della trave. L'eventuale lettera tra parentesi distingue i diversi tratti della travata al livello considerato.
%L_{Lt}	Posizione della sezione per la quale vengono forniti i valori di verifica, valutata come % della lunghezza libera d'inflessione (L _{Lt}), a partire dall'estremo iniziale.
T_{Ed}	Momento torcente di progetto.
CS	Coefficiente di sicurezza ([NS] = Non Significativo se CS ≥ 100; [VNR]= Verifica Non Richiesta; Informazioni aggiuntive sulla condizione: [V] = statica; [E] = eccezionale; [S] = sismica; [N] = sismica non lineare).
T_{Rcd}	Momento resistente del calcestruzzo.
T_{Rsd}	Momento resistente delle staffe.
T_{Rld}	Momento resistente dell'armatura longitudinale.
Ctgθ	Cotangente dell'angolo θ utilizzata nella verifica.
u_m	Perimetro medio del nucleo resistente.
A	Area racchiusa dalla fibra media del profilo periferico (u _m).
t	Spessore della sezione cava.
A_{sw}	Area delle staffe strettamente necessaria per la torsione.
A_{s,l}	Area barre longitudinali di parete esecutive.
A_{r,t}	Area di ferri a flessione strettamente necessaria per torsione.
R_r	[SI] = elemento con presenza di rinforzo; [NO] = elemento senza rinforzo.

TRAVI (CA) - VERIFICA COMPOSTA TAGLIO/TORSIONE ALLO SLU (Fondazione)

Travi (CA) - Verifica composta taglio e torsione SLU										
Id _{Tr}	%L _{Lt}	T _{Ed}	+ / -	V _{Ed,2}	V _{Rcd}	T _{Rcd}	Ctg θ	CS _{v,T}		
	[%]	[N-m]		[N]	[N]	[N-m]				
Fondazione								Travata: Trave 1-2-3-4-5-6		
Trave 1-2	0%	1393	+	0	464 250	78 471	2,50	VNR		
			-	-32 391	464 250	78 471	2,50	11,43		
	12,5%	1393	+	0	464 250	78 471	2,50	VNR		
			-	-20 525	464 250	78 471	2,50	16,14		
25,0%	1393	+	3 704	464 250	78 471	2,50	38,86			
		-	-13 565	464 250	78 471	2,50	21,29			

Travi (CA) - Verifica composta taglio e torsione SLU

Id _{Tr}	%L _{Lt} [%]	T _{Ed} [N-m]	+ / -	V _{Ed,2} [N]	V _{Rcd} [N]	T _{Rcd} [N-m]	Ctg θ	CS _{v,T}
	37,5%	1393	+	6 972	464 250	78 471	2,50	30,52
			-	-8 249	464 250	78 471	2,50	28,15
	50,0%	1393	+	10 646	464 250	78 471	2,50	24,58
			-	-4 519	464 250	78 471	2,50	36,38
	62,5%	1393	+	15 510	464 250	78 471	2,50	19,55
			-	-1 613	464 250	78 471	2,50	47,11
	75,0%	1393	+	21 731	464 250	78 471	2,50	15,49
-			0	464 250	78 471	2,50	VNR	
87,5%	1393	+	29 298	464 250	78 471	2,50	12,37	
		-	0	464 250	78 471	2,50	VNR	
100,0%	1393	+	38 481	464 250	78 471	2,50	9,94	
		-	0	464 250	78 471	2,50	VNR	
Trave 2-3	0%	1053	+	0	461 785	78 471	2,50	VNR
			-	-33 617	461 785	78 471	2,50	11,60
	12,5%	1053	+	0	461 785	78 471	2,50	VNR
			-	-22 438	461 785	78 471	2,50	16,13
	25,0%	1053	+	0	461 785	78 471	2,50	VNR
			-	-12 888	461 785	78 471	2,50	24,20
	37,5%	1053	+	867	461 785	78 471	2,50	65,37
			-	-6 285	461 785	78 471	2,50	37,00
	50,0%	1053	+	2 392	461 785	78 471	2,50	53,77
-			-2 244	461 785	78 471	2,50	54,71	
62,5%	1053	+	6 336	461 785	78 471	2,50	36,85	
		-	-10	461 785	78 471	2,50	74,40	
75,0%	1053	+	13 286	461 785	78 471	2,50	23,70	
		-	0	461 785	78 471	2,50	VNR	
87,5%	1053	+	24 021	461 785	78 471	2,50	15,28	
		-	0	461 785	78 471	2,50	VNR	
100%	1053	+	38 876	461 785	78 471	2,50	10,25	
		-	0	461 785	78 471	2,50	VNR	
Trave 3-4	0%	0	+	0	461 105	-	-	VNR
			-	-40 505	461 105	-	-	VNR
	12,5%	0	+	0	461 105	-	-	VNR
			-	-28 070	461 105	-	-	VNR
	25,0%	0	+	0	461 105	-	-	VNR
			-	-17 962	461 105	-	-	VNR
	37,5%	0	+	682	461 105	-	-	VNR
			-	-10 741	461 105	-	-	VNR
	50,0%	0	+	4 650	461 105	-	-	VNR
-			-5 034	461 105	-	-	VNR	
62,5%	0	+	10 219	461 105	-	-	VNR	
		-	-1 135	461 105	-	-	VNR	
75,0%	0	+	17 172	461 105	-	-	VNR	
		-	0	461 105	-	-	VNR	
87,5%	0	+	26 044	461 105	-	-	VNR	
		-	0	461 105	-	-	VNR	
100,0%	0	+	37 616	461 105	-	-	VNR	
		-	0	461 105	-	-	VNR	
Trave 4-5	0%	0	+	0	461 832	-	-	VNR
			-	-37 294	461 832	-	-	VNR
	12,5%	0	+	0	461 832	-	-	VNR
			-	-24 708	461 832	-	-	VNR
	25,0%	0	+	0	461 832	-	-	VNR
			-	-15 379	461 832	-	-	VNR
	37,5%	0	+	450	461 832	-	-	VNR
			-	-8 654	461 832	-	-	VNR
	50,0%	0	+	3 461	461 832	-	-	VNR
-			-4 282	461 832	-	-	VNR	
62,5%	0	+	8 186	461 832	-	-	VNR	
		-	-2 116	461 832	-	-	VNR	
75,0%	0	+	15 037	461 832	-	-	VNR	
		-	-774	461 832	-	-	VNR	
87,5%	0	+	24 050	461 832	-	-	VNR	
		-	0	461 832	-	-	VNR	
100%	0	+	34 164	461 832	-	-	VNR	
		-	0	461 832	-	-	VNR	
Trave 5-6	0%	1943	+	0	463 779	78 471	2,50	VNR
			-	-37 349	463 779	78 471	2,50	9,50
	12,5%	1943	+	0	463 779	78 471	2,50	VNR
			-	-31 240	463 779	78 471	2,50	10,86
	25,0%	1943	+	0	463 779	78 471	2,50	VNR
			-	-24 910	463 779	78 471	2,50	12,74
	37,5%	1943	+	3 325	463 779	78 471	2,50	31,32
			-	-18 990	463 779	78 471	2,50	15,22
	50,0%	1943	+	6 572	463 779	78 471	2,50	25,69
-			-13 515	463 779	78 471	2,50	18,55	
62,5%	1943	+	10 205	463 779	78 471	2,50	21,38	
		-	-8 478	463 779	78 471	2,50	23,23	
75,0%	1943	+	14 973	463 779	78 471	2,50	17,53	
		-	-3 847	463 779	78 471	2,50	30,25	
87,5%	1943	+	19 925	463 779	78 471	2,50	14,77	
		-	0	463 779	78 471	2,50	VNR	
100%	1943	+	28 603	463 779	78 471	2,50	11,57	

Travi (CA) - Verifica composta taglio e torsione SLU

Id _{Tr}	%L _{Lt} [%]	T _{Ed} [N-m]	+ / -	V _{Ed,2} [N]	V _{Rcd} [N]	T _{Rcd} [N-m]	Ctg θ	CS _{v,T}
			-	0	463 779	78 471	2,50	VNR
Fondazione					Travata: Trave 7-8-9-10-11-12			
Trave 7-8	0%	0	+ -	0 -30 528	464 045 464 045	- -	- -	VNR VNR
	12,5%	0	+ -	0 -21 674	464 045 464 045	- -	- -	VNR VNR
	25,0%	0	+ -	2 998 -14 642	464 045 464 045	- -	- -	VNR VNR
	37,5%	0	+ -	6 693 -8 714	464 045 464 045	- -	- -	VNR VNR
	50,0%	0	+ -	10 329 -3 773	464 045 464 045	- -	- -	VNR VNR
	62,5%	0	+ -	15 068 0	464 045 464 045	- -	- -	VNR VNR
	75,0%	0	+ -	21 586 0	464 045 464 045	- -	- -	VNR VNR
	87,5%	0	+ -	32 473 0	464 045 464 045	- -	- -	VNR VNR
	100,0%	0	+ -	45 014 0	464 045 464 045	- -	- -	VNR VNR
Trave 8-9	0%	0	+ -	0 -38 294	461 889 461 889	- -	- -	VNR VNR
	12,5%	0	+ -	0 -23 570	461 889 461 889	- -	- -	VNR VNR
	25,0%	0	+ -	0 -12 921	461 889 461 889	- -	- -	VNR VNR
	37,5%	0	+ -	0 -6 231	461 889 461 889	- -	- -	VNR VNR
	50,0%	0	+ -	2 363 -2 152	461 889 461 889	- -	- -	VNR VNR
	62,5%	0	+ -	6 446 0	461 889 461 889	- -	- -	VNR VNR
	75,0%	0	+ -	13 714 0	461 889 461 889	- -	- -	VNR VNR
	87,5%	0	+ -	25 845 0	461 889 461 889	- -	- -	VNR VNR
	100,0%	0	+ -	41 732 0	461 889 461 889	- -	- -	VNR VNR
Trave 9-10	0%	0	+ -	0 -43 559	461 105 461 105	- -	- -	VNR VNR
	12,5%	0	+ -	0 -30 220	461 105 461 105	- -	- -	VNR VNR
	25,0%	0	+ -	0 -18 525	461 105 461 105	- -	- -	VNR VNR
	37,5%	0	+ -	0 -10 845	461 105 461 105	- -	- -	VNR VNR
	50,0%	0	+ -	4 540 -4 976	461 105 461 105	- -	- -	VNR VNR
	62,5%	0	+ -	10 284 -391	461 105 461 105	- -	- -	VNR VNR
	75,0%	0	+ -	17 393 0	461 105 461 105	- -	- -	VNR VNR
	87,5%	0	+ -	27 987 0	461 105 461 105	- -	- -	VNR VNR
	100,0%	0	+ -	40 339 0	461 105 461 105	- -	- -	VNR VNR
Trave 11-10	0%	0	+ -	0 -35 215	461 773 461 773	- -	- -	VNR VNR
	12,5%	0	+ -	0 -24 045	461 773 461 773	- -	- -	VNR VNR
	25,0%	0	+ -	0 -15 213	461 773 461 773	- -	- -	VNR VNR
	37,5%	0	+ -	1 169 -8 403	461 773 461 773	- -	- -	VNR VNR
	50,0%	0	+ -	4 228 -3 474	461 773 461 773	- -	- -	VNR VNR
	62,5%	0	+ -	8 915 0	461 773 461 773	- -	- -	VNR VNR
	75,0%	0	+ -	15 761 0	461 773 461 773	- -	- -	VNR VNR
	87,5%	0	+ -	26 711 0	461 773 461 773	- -	- -	VNR VNR
	100%	0	+ -	39 974 0	461 773 461 773	- -	- -	VNR VNR
Trave 11-12	0%	0	+ -	0 -40 267	463 627 463 627	- -	- -	VNR VNR
	12,5%	0	+ -	0 -30 689	463 627 463 627	- -	- -	VNR VNR
	25,0%	0	+ -	0 -24 055	463 627 463 627	- -	- -	VNR VNR
	37,5%	0	+ -	1 557 -18 165	463 627 463 627	- -	- -	VNR VNR
	50,0%	0	+ -	6 072 0	463 627 463 627	- -	- -	VNR VNR

Travi (CA) - Verifica composta taglio e torsione SLU

Id _{Tr}	%L _{Lt} [%]	T _{Ed} [N-m]	+ / -	V _{Ed,2} [N]	V _{Rcd} [N]	T _{Rcd} [N-m]	Ctg θ	CS _{v,T}
			-	-13 192	463 627	-	-	VNR
	62,5%	0	+	11 102	463 627	-	-	VNR
			-	-8 960	463 627	-	-	VNR
	75,0%	0	+	16 646	463 627	-	-	VNR
			-	-4 580	463 627	-	-	VNR
	87,5%	0	+	22 640	463 627	-	-	VNR
			-	0	463 627	-	-	VNR
	100,0%	0	+	28 601	463 627	-	-	VNR
			-	0	463 627	-	-	VNR
Fondazione					Travata: Trave 13-14-15			
Trave 13-14	0%	0	+	0	231 660	-	-	VNR
			-	-11 504	231 660	-	-	VNR
	12,5%	0	+	0	231 660	-	-	VNR
			-	-7 771	231 660	-	-	VNR
	25,0%	0	+	0	231 660	-	-	VNR
			-	-5 688	231 660	-	-	VNR
	37,5%	0	+	2 178	231 660	-	-	VNR
			-	-3 963	231 660	-	-	VNR
	50,0%	0	+	4 568	231 660	-	-	VNR
			-	-2 270	231 660	-	-	VNR
	62,5%	0	+	6 943	231 660	-	-	VNR
			-	-569	231 660	-	-	VNR
	75,0%	0	+	9 408	231 660	-	-	VNR
			-	0	231 660	-	-	VNR
	87,5%	0	+	11 967	231 660	-	-	VNR
			-	0	231 660	-	-	VNR
	100%	0	+	14 704	231 660	-	-	VNR
			-	0	231 660	-	-	VNR
Trave 14-15	0%	0	+	0	231 872	-	-	VNR
			-	-14 532	231 872	-	-	VNR
	12,5%	0	+	0	231 872	-	-	VNR
			-	-11 563	231 872	-	-	VNR
	25,0%	0	+	0	231 872	-	-	VNR
			-	-8 975	231 872	-	-	VNR
	37,5%	0	+	741	231 872	-	-	VNR
			-	-6 604	231 872	-	-	VNR
	50,0%	0	+	2 636	231 872	-	-	VNR
			-	-4 455	231 872	-	-	VNR
	62,5%	0	+	4 704	231 872	-	-	VNR
			-	-2 460	231 872	-	-	VNR
	75,0%	0	+	7 161	231 872	-	-	VNR
			-	-586	231 872	-	-	VNR
	87,5%	0	+	9 914	231 872	-	-	VNR
			-	0	231 872	-	-	VNR
	100%	0	+	12 861	231 872	-	-	VNR
			-	0	231 872	-	-	VNR
Fondazione					Travata: Trave 16-17-18			
Trave 16-17	0%	0	+	0	231 661	-	-	VNR
			-	-14 923	231 661	-	-	VNR
	12,5%	0	+	0	231 661	-	-	VNR
			-	-10 468	231 661	-	-	VNR
	25,0%	0	+	351	231 661	-	-	VNR
			-	-6 436	231 661	-	-	VNR
	37,5%	0	+	2 257	231 661	-	-	VNR
			-	-4 045	231 661	-	-	VNR
	50,0%	0	+	4 554	231 661	-	-	VNR
			-	-2 247	231 661	-	-	VNR
	62,5%	0	+	7 400	231 661	-	-	VNR
			-	-1 011	231 661	-	-	VNR
	75,0%	0	+	10 311	231 661	-	-	VNR
			-	0	231 661	-	-	VNR
	87,5%	0	+	13 421	231 661	-	-	VNR
			-	0	231 661	-	-	VNR
	100%	0	+	17 243	231 661	-	-	VNR
			-	0	231 661	-	-	VNR
Trave 17-18	0%	0	+	0	231 873	-	-	VNR
			-	-16 899	231 873	-	-	VNR
	12,5%	0	+	0	231 873	-	-	VNR
			-	-12 937	231 873	-	-	VNR
	25,0%	0	+	0	231 873	-	-	VNR
			-	-9 711	231 873	-	-	VNR
	37,5%	0	+	1 096	231 873	-	-	VNR
			-	-6 971	231 873	-	-	VNR
	50,0%	0	+	2 637	231 873	-	-	VNR
			-	-4 461	231 873	-	-	VNR
	62,5%	0	+	5 157	231 873	-	-	VNR
			-	-2 911	231 873	-	-	VNR
	75,0%	0	+	8 088	231 873	-	-	VNR
			-	-1 506	231 873	-	-	VNR
	87,5%	0	+	12 184	231 873	-	-	VNR
			-	-777	231 873	-	-	VNR
	100,0%	0	+	17 312	231 873	-	-	VNR
			-	-489	231 873	-	-	VNR
Fondazione					Travata: Trave 19-20-21-22-23-24			

Travi (CA) - Verifica composta taglio e torsione SLU

Id _{Tr}	%L _{Lt} [%]	T _{Ed} [N-m]	+ / -	V _{Ed,2} [N]	V _{Rcd} [N]	T _{Rcd} [N-m]	Ctg θ	CS _{v,T}
Trave 19-20	0%	1396	+	0	464 200	78 471	2,50	VNR
			-	-32 207	464 200	78 471	2,50	11,47
	12,5%	1396	+	0	464 200	78 471	2,50	VNR
			-	-20 398	464 200	78 471	2,50	16,20
	25,0%	1396	+	3 486	464 200	78 471	2,50	39,53
			-	-13 130	464 200	78 471	2,50	21,70
	37,5%	1396	+	6 825	464 200	78 471	2,50	30,78
			-	-8 067	464 200	78 471	2,50	28,43
	50,0%	1396	+	10 570	464 200	78 471	2,50	24,65
			-	-4 577	464 200	78 471	2,50	36,17
62,5%	1396	+	15 487	464 200	78 471	2,50	19,55	
		-	-1 906	464 200	78 471	2,50	45,67	
75,0%	1396	+	21 735	464 200	78 471	2,50	15,48	
		-	0	464 200	78 471	2,50	VNR	
87,5%	1396	+	29 320	464 200	78 471	2,50	12,35	
		-	0	464 200	78 471	2,50	VNR	
100,0%	1396	+	37 791	464 200	78 471	2,50	10,08	
		-	0	464 200	78 471	2,50	VNR	
Trave 20-21	0%	0	+	0	461 750	-	-	VNR
			-	-32 276	461 750	-	-	VNR
	12,5%	0	+	0	461 750	-	-	VNR
			-	-21 459	461 750	-	-	VNR
	25,0%	0	+	407	461 750	-	-	VNR
			-	-12 198	461 750	-	-	VNR
	37,5%	0	+	1 277	461 750	-	-	VNR
			-	-5 838	461 750	-	-	VNR
	50,0%	0	+	2 482	461 750	-	-	VNR
			-	-2 073	461 750	-	-	VNR
62,5%	0	+	5 958	461 750	-	-	VNR	
		-	-629	461 750	-	-	VNR	
75,0%	0	+	12 007	461 750	-	-	VNR	
		-	0	461 750	-	-	VNR	
87,5%	0	+	20 868	461 750	-	-	VNR	
		-	0	461 750	-	-	VNR	
100%	0	+	32 801	461 750	-	-	VNR	
		-	0	461 750	-	-	VNR	
Trave 21-22	0%	0	+	0	461 105	-	-	VNR
			-	-33 395	461 105	-	-	VNR
	12,5%	0	+	0	461 105	-	-	VNR
			-	-23 686	461 105	-	-	VNR
	25,0%	0	+	0	461 105	-	-	VNR
			-	-15 563	461 105	-	-	VNR
	37,5%	0	+	2 016	461 105	-	-	VNR
			-	-9 584	461 105	-	-	VNR
	50,0%	0	+	4 569	461 105	-	-	VNR
			-	-4 940	461 105	-	-	VNR
62,5%	0	+	9 124	461 105	-	-	VNR	
		-	-2 495	461 105	-	-	VNR	
75,0%	0	+	14 906	461 105	-	-	VNR	
		-	-471	461 105	-	-	VNR	
87,5%	0	+	22 044	461 105	-	-	VNR	
		-	0	461 105	-	-	VNR	
100,0%	0	+	31 156	461 105	-	-	VNR	
		-	0	461 105	-	-	VNR	
Trave 22-23	0%	0	+	0	461 694	-	-	VNR
			-	-31 698	461 694	-	-	VNR
	12,5%	0	+	0	461 694	-	-	VNR
			-	-21 780	461 694	-	-	VNR
	25,0%	0	+	373	461 694	-	-	VNR
			-	-13 946	461 694	-	-	VNR
	37,5%	0	+	1 874	461 694	-	-	VNR
			-	-8 283	461 694	-	-	VNR
	50,0%	0	+	3 867	461 694	-	-	VNR
			-	-4 577	461 694	-	-	VNR
62,5%	0	+	7 838	461 694	-	-	VNR	
		-	-3 113	461 694	-	-	VNR	
75,0%	0	+	13 754	461 694	-	-	VNR	
		-	-2 603	461 694	-	-	VNR	
87,5%	0	+	21 410	461 694	-	-	VNR	
		-	-1 938	461 694	-	-	VNR	
100,0%	0	+	29 804	461 694	-	-	VNR	
		-	-74	461 694	-	-	VNR	
Trave 23-24	0%	1518	+	0	463 663	78 471	2,50	VNR
			-	-34 810	463 663	78 471	2,50	10,59
	12,5%	1518	+	136	463 663	78 471	2,50	50,92
			-	-28 333	463 663	78 471	2,50	12,43
	25,0%	1518	+	2 700	463 663	78 471	2,50	39,73
			-	-22 621	463 663	78 471	2,50	14,68
	37,5%	1518	+	4 851	463 663	78 471	2,50	33,55
-			-17 299	463 663	78 471	2,50	17,65	
50,0%	1518	+	6 872	463 663	78 471	2,50	29,27	
		-	-12 395	463 663	78 471	2,50	21,70	
62,5%	1518	+	9 537	463 663	78 471	2,50	25,05	

Travi (CA) - Verifica composta taglio e torsione SLU

Id _{Tr}	%L _{Lt} [%]	T _{Ed} [N-m]	+ / -	V _{Ed,2} [N]	V _{Rcd} [N]	T _{Rcd} [N-m]	Ctgθ	CS _{v,T}
			-	-8 078	463 663	78 471	2,50	27,20
	75,0%	1518	+	13 620	463 663	78 471	2,50	20,53
			-	-4 372	463 663	78 471	2,50	34,75
	87,5%	1518	+	19 743	463 663	78 471	2,50	16,15
			-	-1 199	463 663	78 471	2,50	45,60
	100,0%	1518	+	29 596	463 663	78 471	2,50	12,02
			-	0	463 663	78 471	2,50	VNR
Fondazione					Travata: Trave 1-7-19			
Trave 1-7	0%	1739	+	0	465 239	78 471	2,50	VNR
			-	-29 240	465 239	78 471	2,50	11,76
	12,5%	1739	+	0	465 239	78 471	2,50	VNR
			-	-20 377	465 239	78 471	2,50	15,16
	25,0%	1739	+	4 165	465 239	78 471	2,50	32,14
			-	-15 562	465 239	78 471	2,50	17,98
	37,5%	1739	+	9 117	465 239	78 471	2,50	23,95
			-	-11 579	465 239	78 471	2,50	21,25
	50,0%	1739	+	13 665	465 239	78 471	2,50	19,41
			-	-8 105	465 239	78 471	2,50	25,26
	62,5%	1739	+	19 431	465 239	78 471	2,50	15,64
			-	-5 983	465 239	78 471	2,50	28,55
	75,0%	1739	+	25 669	465 239	78 471	2,50	12,93
			-	-3 820	465 239	78 471	2,50	32,93
	87,5%	1739	+	32 393	465 239	78 471	2,50	10,89
			-	-1 263	465 239	78 471	2,50	40,20
	100%	1739	+	39 058	465 239	78 471	2,50	9,42
			-	0	465 239	78 471	2,50	VNR
Trave 7-19	0%	1883	+	0	464 977	78 471	2,50	VNR
			-	-39 163	464 977	78 471	2,50	9,24
	12,5%	1883	+	1 564	464 977	78 471	2,50	36,55
			-	-32 832	464 977	78 471	2,50	10,57
	25,0%	1883	+	4 224	464 977	78 471	2,50	30,23
			-	-26 341	464 977	78 471	2,50	12,40
	37,5%	1883	+	6 488	464 977	78 471	2,50	26,35
			-	-20 183	464 977	78 471	2,50	14,84
	50,0%	1883	+	8 654	464 977	78 471	2,50	23,47
			-	-14 366	464 977	78 471	2,50	18,22
	62,5%	1883	+	11 646	464 977	78 471	2,50	20,39
			-	-9 239	464 977	78 471	2,50	22,80
	75,0%	1883	+	15 501	464 977	78 471	2,50	17,44
			-	-4 185	464 977	78 471	2,50	30,31
	87,5%	1883	+	19 588	464 977	78 471	2,50	15,12
			-	0	464 977	78 471	2,50	VNR
	100%	1883	+	28 262	464 977	78 471	2,50	11,80
			-	0	464 977	78 471	2,50	VNR
Fondazione					Travata: Trave 2-8-20			
Trave 2-8	0%	0	+	0	465 453	-	-	VNR
			-	-28 037	465 453	-	-	VNR
	12,5%	0	+	0	465 453	-	-	VNR
			-	-21 885	465 453	-	-	VNR
	25,0%	0	+	5 154	465 453	-	-	VNR
			-	-16 060	465 453	-	-	VNR
	37,5%	0	+	9 844	465 453	-	-	VNR
			-	-10 839	465 453	-	-	VNR
	50,0%	0	+	14 627	465 453	-	-	VNR
			-	-6 405	465 453	-	-	VNR
	62,5%	0	+	20 032	465 453	-	-	VNR
			-	-2 378	465 453	-	-	VNR
	75,0%	0	+	26 369	465 453	-	-	VNR
			-	0	465 453	-	-	VNR
	87,5%	0	+	33 561	465 453	-	-	VNR
			-	0	465 453	-	-	VNR
	100,0%	0	+	42 815	465 453	-	-	VNR
			-	0	465 453	-	-	VNR
Trave 8-20	0%	0	+	0	465 179	-	-	VNR
			-	-41 617	465 179	-	-	VNR
	12,5%	0	+	0	465 179	-	-	VNR
			-	-32 493	465 179	-	-	VNR
	25,0%	0	+	0	465 179	-	-	VNR
			-	-25 783	465 179	-	-	VNR
	37,5%	0	+	2 855	465 179	-	-	VNR
			-	-19 857	465 179	-	-	VNR
	50,0%	0	+	7 235	465 179	-	-	VNR
			-	-14 734	465 179	-	-	VNR
	62,5%	0	+	11 919	465 179	-	-	VNR
			-	-10 055	465 179	-	-	VNR
	75,0%	0	+	17 104	465 179	-	-	VNR
			-	-5 242	465 179	-	-	VNR
	87,5%	0	+	22 758	465 179	-	-	VNR
			-	0	465 179	-	-	VNR
	100,0%	0	+	28 528	465 179	-	-	VNR
			-	0	465 179	-	-	VNR
Fondazione					Travata: Trave 3-9-21			
Trave 3-9	0%	0	+	0	466 935	-	-	VNR
			-	-32 261	466 935	-	-	VNR

Travi (CA) - Verifica composta taglio e torsione SLU

Id _{Tr}	%L _{Lt} [%]	T _{Ed} [N-m]	+ / -	V _{Ed,2} [N]	V _{Rcd} [N]	T _{Rcd} [N-m]	Ctg θ	CS _{v,T}
	12,5%	0	+ -	0 -21 256	466 935 466 935	- -	- -	VNR VNR
	25,0%	0	+ -	2 772 -14 231	466 935 466 935	- -	- -	VNR VNR
	37,5%	0	+ -	6 851 -8 696	466 935 466 935	- -	- -	VNR VNR
	50,0%	0	+ -	10 712 -4 474	466 935 466 935	- -	- -	VNR VNR
	62,5%	0	+ -	15 576 -997	466 935 466 935	- -	- -	VNR VNR
	75,0%	0	+ -	22 247 0	466 935 466 935	- -	- -	VNR VNR
	87,5%	0	+ -	30 873 0	466 935 466 935	- -	- -	VNR VNR
	100%	0	+ -	43 055 0	466 935 466 935	- -	- -	VNR VNR
Trave 9-21	0%	0	+ -	0 -44 444	462 640 462 640	- -	- -	VNR VNR
	12,5%	0	+ -	0 -36 785	462 640 462 640	- -	- -	VNR VNR
	25,0%	0	+ -	0 -31 047	462 640 462 640	- -	- -	VNR VNR
	37,5%	0	+ -	2 939 -25 441	462 640 462 640	- -	- -	VNR VNR
	50,0%	0	+ -	7 292 -20 073	462 640 462 640	- -	- -	VNR VNR
	62,5%	0	+ -	11 537 -14 842	462 640 462 640	- -	- -	VNR VNR
	75,0%	0	+ -	15 754 -9 532	462 640 462 640	- -	- -	VNR VNR
	87,5%	0	+ -	19 954 -3 822	462 640 462 640	- -	- -	VNR VNR
	100%	0	+ -	23 868 0	462 640 462 640	- -	- -	VNR VNR
Fondazione					Travata: Trave 4-10-22			
Trave 4-10	0%	0	+ -	0 -30 319	466 674 466 674	- -	- -	VNR VNR
	12,5%	0	+ -	0 -20 256	466 674 466 674	- -	- -	VNR VNR
	25,0%	0	+ -	3 049 -13 600	466 674 466 674	- -	- -	VNR VNR
	37,5%	0	+ -	6 899 -8 365	466 674 466 674	- -	- -	VNR VNR
	50,0%	0	+ -	10 553 -4 403	466 674 466 674	- -	- -	VNR VNR
	62,5%	0	+ -	15 220 -1 229	466 674 466 674	- -	- -	VNR VNR
	75,0%	0	+ -	21 608 0	466 674 466 674	- -	- -	VNR VNR
	87,5%	0	+ -	29 747 0	466 674 466 674	- -	- -	VNR VNR
	100%	0	+ -	40 631 0	466 674 466 674	- -	- -	VNR VNR
Trave 10-22	0%	0	+ -	0 -40 927	462 669 462 669	- -	- -	VNR VNR
	12,5%	0	+ -	0 -34 473	462 669 462 669	- -	- -	VNR VNR
	25,0%	0	+ -	0 -29 163	462 669 462 669	- -	- -	VNR VNR
	37,5%	0	+ -	3 594 -23 963	462 669 462 669	- -	- -	VNR VNR
	50,0%	0	+ -	7 703 -18 969	462 669 462 669	- -	- -	VNR VNR
	62,5%	0	+ -	11 769 -14 123	462 669 462 669	- -	- -	VNR VNR
	75,0%	0	+ -	15 816 -9 175	462 669 462 669	- -	- -	VNR VNR
	87,5%	0	+ -	19 759 -3 733	462 669 462 669	- -	- -	VNR VNR
	100%	0	+ -	23 416 0	462 669 462 669	- -	- -	VNR VNR
Fondazione					Travata: Trave 5-11-23			
Trave 5-11	0%	0	+ -	0 -28 251	466 091 466 091	- -	- -	VNR VNR
	12,5%	0	+ -	0 -20 538	466 091 466 091	- -	- -	VNR VNR
	25,0%	0	+ -	3 778 -14 228	466 091 466 091	- -	- -	VNR VNR
	37,5%	0	+ -	7 501 -9 065	466 091 466 091	- -	- -	VNR VNR
	50,0%	0	+ -	11 182 -5 069	466 091 466 091	- -	- -	VNR VNR
	62,5%	0	+ -	15 923 -1 975	466 091 466 091	- -	- -	VNR VNR

Travi (CA) - Verifica composta taglio e torsione SLU

Id _{Tr}	%L _{Lt} [%]	T _{Ed} [N-m]	+ / -	V _{Ed,2} [N]	V _{Rcd} [N]	T _{Rcd} [N-m]	Ctg θ	CS _{v,T}	
Trave 11-23	75,0%	0	+	22 062	466 091	-	-	VNR	
			-	0	466 091	-	-	VNR	
	87,5%	0	+	29 610	466 091	-	-	VNR	
			-	0	466 091	-	-	VNR	
	100%	0	+	38 179	466 091	-	-	VNR	
			-	0	466 091	-	-	VNR	
	Trave 11-23	0%	0	+	0	463 438	-	-	VNR
				-	-37 634	463 438	-	-	VNR
		12,5%	0	+	0	463 438	-	-	VNR
				-	-32 319	463 438	-	-	VNR
		25,0%	0	+	291	463 438	-	-	VNR
				-	-26 943	463 438	-	-	VNR
37,5%		0	+	4 218	463 438	-	-	VNR	
			-	-21 774	463 438	-	-	VNR	
50,0%		0	+	8 259	463 438	-	-	VNR	
			-	-17 122	463 438	-	-	VNR	
62,5%	0	+	12 402	463 438	-	-	VNR		
		-	-12 706	463 438	-	-	VNR		
75,0%	0	+	16 642	463 438	-	-	VNR		
		-	-8 174	463 438	-	-	VNR		
87,5%	0	+	20 912	463 438	-	-	VNR		
		-	-3 091	463 438	-	-	VNR		
100,0%	0	+	24 972	463 438	-	-	VNR		
		-	0	463 438	-	-	VNR		
Fondazione	Travata: Trave 6-12-24								
Trave 6-12	0%	1366	+	0	465 695	78 471	2,50	VNR	
			-	-30 747	465 695	78 471	2,50	11,99	
	12,5%	1366	+	0	465 695	78 471	2,50	VNR	
			-	-20 314	465 695	78 471	2,50	16,39	
	25,0%	1366	+	3 279	465 695	78 471	2,50	40,90	
			-	-13 380	465 695	78 471	2,50	21,67	
	37,5%	1366	+	7 199	465 695	78 471	2,50	30,43	
			-	-9 286	465 695	78 471	2,50	26,78	
	50,0%	1366	+	10 904	465 695	78 471	2,50	24,50	
			-	-6 307	465 695	78 471	2,50	32,31	
62,5%	1366	+	16 122	465 695	78 471	2,50	19,22		
		-	-5 008	465 695	78 471	2,50	35,51		
75,0%	1366	+	22 358	465 695	78 471	2,50	15,29		
		-	-3 893	465 695	78 471	2,50	38,81		
87,5%	1366	+	29 692	465 695	78 471	2,50	12,32		
		-	-2 452	465 695	78 471	2,50	44,11		
100%	1366	+	37 393	465 695	78 471	2,50	10,24		
		-	-35	465 695	78 471	2,50	57,20		
Trave 12-24	0%	2640	+	0	463 449	78 471	2,50	VNR	
			-	-35 231	463 449	78 471	2,50	9,12	
	12,5%	2640	+	1 937	463 449	78 471	2,50	26,44	
			-	-30 509	463 449	78 471	2,50	10,05	
	25,0%	2640	+	4 502	463 449	78 471	2,50	23,06	
			-	-25 370	463 449	78 471	2,50	11,31	
	37,5%	2640	+	6 643	463 449	78 471	2,50	20,84	
			-	-20 082	463 449	78 471	2,50	12,99	
	50,0%	2640	+	8 475	463 446	78 471	2,50	19,26	
			-	-14 656	463 446	78 471	2,50	15,32	
62,5%	2640	+	11 013	463 446	78 471	2,50	17,42		
		-	-9 860	463 446	78 471	2,50	18,21		
75,0%	2640	+	13 963	463 446	78 471	2,50	15,68		
		-	-5 089	463 446	78 471	2,50	22,41		
87,5%	2640	+	17 961	463 446	78 471	2,50	13,81		
		-	-683	463 446	78 471	2,50	28,48		
100%	2640	+	25 187	463 446	78 471	2,50	11,36		
		-	0	463 446	78 471	2,50	VNR		
Fondazione	Travata: Trave 13-16								
Trave 13-16	0%	0	+	543	232 112	-	-	VNR	
			-	-16 524	232 112	-	-	VNR	
	12,5%	0	+	2 217	232 112	-	-	VNR	
			-	-13 993	232 112	-	-	VNR	
	25,0%	0	+	3 582	232 112	-	-	VNR	
			-	-11 323	232 112	-	-	VNR	
	37,5%	0	+	4 712	232 112	-	-	VNR	
			-	-8 557	232 112	-	-	VNR	
	50,0%	0	+	5 664	232 112	-	-	VNR	
			-	-5 691	232 112	-	-	VNR	
62,5%	0	+	7 036	232 112	-	-	VNR		
		-	-3 246	232 112	-	-	VNR		
75,0%	0	+	8 356	232 112	-	-	VNR		
		-	-665	232 112	-	-	VNR		
87,5%	0	+	9 841	232 112	-	-	VNR		
		-	0	232 112	-	-	VNR		
100,0%	0	+	12 684	232 112	-	-	VNR		
		-	0	232 112	-	-	VNR		
Fondazione	Travata: Trave 14-17								
Trave 14-17	0%	0	+	257	231 834	-	-	VNR	
			-	-16 041	231 834	-	-	VNR	
Trave 14-17	12,5%	0	+	2 074	231 834	-	-	VNR	

Id _{Tr}	%L _{LI} [%]	T _{Ed} [N-m]	+/-	V _{Ed,2} [N]	V _{Rcd} [N]	T _{Rcd} [N-m]	Ctgθ	CS _{v,T}	
			-	-13 699	231 834	-	-	VNR	
	25,0%	0	+	3 676	231 834	-	-	VNR	
			-	-11 299	231 834	-	-	VNR	
	37,5%	0	+	5 154	231 834	-	-	VNR	
			-	-8 908	231 834	-	-	VNR	
	50,0%	0	+	6 592	231 834	-	-	VNR	
			-	-6 554	231 834	-	-	VNR	
	62,5%	0	+	8 020	231 834	-	-	VNR	
			-	-4 190	231 834	-	-	VNR	
	75,0%	0	+	9 457	231 834	-	-	VNR	
			-	-1 753	231 834	-	-	VNR	
	87,5%	0	+	10 874	231 834	-	-	VNR	
			-	0	231 834	-	-	VNR	
	100,0%	0	+	12 202	231 834	-	-	VNR	
			-	0	231 834	-	-	VNR	
Fondazione					Travata: Trave 15-18				
Trave 15-18	0%	0	+	0	232 131	-	-	VNR	
			-	-15 399	232 131	-	-	VNR	
	12,5%	0	+	1 399	232 131	-	-	VNR	
			-	-13 264	232 131	-	-	VNR	
	25,0%	0	+	3 170	232 131	-	-	VNR	
			-	-10 955	232 131	-	-	VNR	
	37,5%	0	+	4 676	232 131	-	-	VNR	
			-	-8 527	232 131	-	-	VNR	
	50,0%	0	+	6 051	232 131	-	-	VNR	
			-	-6 052	232 131	-	-	VNR	
	62,5%	0	+	7 282	232 131	-	-	VNR	
			-	-3 432	232 131	-	-	VNR	
	75,0%	0	+	8 369	232 131	-	-	VNR	
			-	-585	232 131	-	-	VNR	
	87,5%	0	+	9 292	232 131	-	-	VNR	
			-	0	232 131	-	-	VNR	
	100,0%	0	+	11 672	232 131	-	-	VNR	
			-	0	232 131	-	-	VNR	

LEGENDA:

- Id_{Tr}** Identificativo della trave. L'eventuale lettera tra parentesi distingue i diversi tratti della travata al livello considerato.
- %L_{LI}** Posizione della sezione per la quale vengono forniti i valori di verifica, valutata come % della lunghezza libera d'inflessione (L_{LI}), a partire dall'estremo iniziale.
- T_{Ed}** Momento torcente di progetto.
- +/-** [+] = sollecitazione massima; [-] = sollecitazione minima.
- V_{Ed,2}** Taglio di progetto in direzione 2.
- V_{Rcd}** Resistenza a taglio compressione del calcestruzzo.
- T_{Rcd}** Momento resistente del calcestruzzo.
- Ctgθ** Cotangente dell'angolo θ utilizzata nella verifica.
- CS_{v,T}** Coefficiente di sicurezza per taglio e torsione ([NS] = Non Significativo per valori di CS >= 100; [VNR]= Verifica Non Richiesta).

Travi - VERIFICHE DELLE TENSIONI DI ESERCIZIO (Fondazione)

Travi - verifiche delle tensioni di esercizio

%LLI T _{prnf} [%]	Compressione calcestruzzo								Trazione acciaio							
	Compressione calcestruzzo rinforzo								Trazione acciaio/FRP rinforzo							
	Id _{Cmb}	σ _{cc}	σ _{cd,amm}	N _{Ed}	M _{Ed,3}	M _{Ed,2}	CS	Verific ato	Id _{Cmb}	σ _{at}	σ _{td,amm}	N _{Ed}	M _{Ed,3}	M _{Ed,2}	CS	Verific ato
	[N/mm ²]	[N/mm ²]	[N]	[N-m]	[N-m]				[N/mm ²]	[N/mm ²]	[N]	[N-m]	[N-m]			
Fondazione																
	Trave: Trave 1-2								Travata: Trave 1-2-3-4-5-6							
0%	RAR	0,399	14,94	30 720	-5 005	-	37.47	SI	RAR	1,529	360,00	28 258	-5 034	-	NS	SI
	QPR	0,338	11,21	28 516	-4 075	-	33.13	SI								
25,0%	RAR	0,566	14,94	32 439	7 880	-	26.41	SI	RAR	3,082	360,00	32 439	7 880	-	NS	SI
	QPR	0,489	11,21	28 516	6 773	-	22.93	SI								
50,0%	RAR	0,614	14,94	32 635	8 733	-	24.33	SI	RAR	3,610	360,00	32 635	8 733	-	99.73	SI
	QPR	0,530	11,21	28 516	7 510	-	21.15	SI								
75,0%	RAR	0,153	14,94	32 635	461	-	97.83	SI	RAR	0,000	360,00	-	-	-	-	SI
	QPR	0,135	11,21	28 516	430	-	83.03	SI								
100,0%	RAR	1,133	14,94	32 635	-20 152	-	13.18	SI	RAR	9,700	360,00	32 635	-20 152	-	37.11	SI
	QPR	0,965	11,21	28 516	-17 100	-	11.61	SI								
	Trave: Trave 2-3															
0%	RAR	0,797	14,94	7 188	-15 315	-	18.74	SI	RAR	8,336	360,00	7 188	-15 315	-	43.18	SI
	QPR	0,669	11,21	6 239	-12 847	-	16.73	SI								
25,0%	RAR	0,226	14,94	7 112	3 551	-	66.19	SI	RAR	1,827	360,00	7 112	3 551	-	NS	SI
	QPR	0,193	11,21	6 239	3 017	-	58.20	SI								
50,0%	RAR	0,469	14,94	7 188	7 902	-	31.88	SI	RAR	4,570	360,00	7 188	7 902	-	78.76	SI
	QPR	0,397	11,21	6 239	6 679	-	28.24	SI								
75,0%	RAR	0,181	14,94	7 188	2 748	-	82.44	SI	RAR	1,339	360,00	6 958	2 764	-	NS	SI
	QPR	0,153	11,21	6 239	2 314	-	73.08	SI								
100%	RAR	1,043	14,94	7 188	-20 194	-	14.32	SI	RAR	11,117	360,00	7 188	-20 194	-	32.38	SI
	QPR	0,884	11,21	6 239	-17 116	-	12.67	SI								
	Trave: Trave 3-4															
0%	RAR	0,962	14,94	-2 734	-19 303	-	15.53	SI	RAR	11,153	360,00	-2 734	-19 303	-	32.27	SI
	QPR	0,815	11,21	-2 336	-16 354	-	13.75	SI								
25,0%	RAR	0,101	14,94	-2 709	1 993	-	NS	SI	RAR	1,417	360,00	-2 709	1 993	-	NS	SI
	QPR	0,082	11,21	-2 336	1 627	-	NS	SI								
50,0%	RAR	0,444	14,94	-2 734	8 154	-	33.64	SI	RAR	5,309	360,00	-2 734	8 154	-	67.81	SI
	QPR	0,376	11,21	-2 336	6 907	-	29.79	SI								

%LLI	Compressione calcestruzzo								Trazione acciaio							
	Compressione calcestruzzo rinforzo								Trazione acciaio/FRP rinforzo							
	IdCmb	σ _{cc}	σ _{cd,amm}	N _{Ed}	M _{Ed,3}	M _{Ed,2}	CS	Verificato	IdCmb	σ _{at}	σ _{td,amm}	N _{Ed}	M _{Ed,3}	M _{Ed,2}	CS	Verificato
[%]	[N/mm ²]	[N/mm ²]	[N]	[N-m]	[N-m]				[N/mm ²]	[N/mm ²]	[N]	[N-m]	[N-m]			
75,0%	RAR	0,134	14,94	-2 726	2 592	-	NS	SI	RAR	1,796	360,00	-2 726	2 592	-	NS	SI
	QPR	0,111	11,21	-2 336	2 156	-	NS	SI								
100,0%	RAR	0,853	14,94	-2 734	-17 148	-	17.51	SI	RAR	9,924	360,00	-2 734	-17 148	-	36.27	SI
	QPR	0,723	11,21	-2 336	-14 536	-	15.49	SI								
Trave: Trave 4-5																
0%	RAR	0,970	14,94	7 543	-18 721	-	15.40	SI	RAR	10,258	360,00	7 543	-18 721	-	35.09	SI
	QPR	0,823	11,21	6 621	-15 866	-	13.61	SI								
25,0%	RAR	0,148	14,94	7 303	2 142	-	NS	SI	RAR	0,926	360,00	7 303	2 142	-	NS	SI
	QPR	0,123	11,21	6 621	1 749	-	90.88	SI								
50,0%	RAR	0,464	14,94	7 543	7 790	-	32.21	SI	RAR	4,479	360,00	7 543	7 790	-	80.37	SI
	QPR	0,394	11,21	6 621	6 603	-	28.44	SI								
75,0%	RAR	0,229	14,94	7 466	3 582	-	65.30	SI	RAR	1,826	360,00	7 466	3 582	-	NS	SI
	QPR	0,196	11,21	6 621	3 047	-	57.26	SI								
100%	RAR	0,712	14,94	7 287	-13 619	-	20.98	SI	RAR	7,364	360,00	7 287	-13 619	-	48.88	SI
	QPR	0,597	11,21	6 621	-11 377	-	18.77	SI								
Trave: Trave 5-6																
0%	RAR	0,968	14,94	27 391	-17 237	-	15.44	SI	RAR	8,325	360,00	27 391	-17 237	-	43.24	SI
	QPR	0,824	11,21	24 084	-14 634	-	13.59	SI								
25,0%	RAR	0,112	14,94	27 371	-92	-	NS	SI	RAR	0,000	360,00	-	-	-	-	SI
	QPR	0,099	11,21	24 084	100	-	NS	SI								
50,0%	RAR	0,535	14,94	27 391	7 685	-	27.91	SI	RAR	3,254	360,00	27 391	7 685	-	NS	SI
	QPR	0,464	11,21	24 084	6 649	-	24.12	SI								
75,0%	RAR	0,491	14,94	27 382	6 895	-	30.42	SI	RAR	2,756	360,00	27 382	6 895	-	NS	SI
	QPR	0,422	11,21	24 084	5 881	-	26.57	SI								
100%	RAR	0,333	14,94	25 447	-4 194	-	44.88	SI	RAR	1,354	360,00	23 306	-4 298	-	NS	SI
	QPR	0,283	11,21	24 084	-3 386	-	39.65	SI								
Fondazione																
Trave: Trave 7-8									Travata: Trave 7-8-9-10-11-12							
0%	RAR	0,448	14,94	27 143	-6 144	-	33.33	SI	RAR	2,295	360,00	27 143	-6 144	-	NS	SI
	QPR	0,385	11,21	27 757	-4 961	-	29.13	SI								
25,0%	RAR	0,592	14,94	31 063	8 457	-	25.21	SI	RAR	3,527	360,00	31 063	8 457	-	NS	SI
	QPR	0,515	11,21	27 757	7 305	-	21.74	SI								
50,0%	RAR	0,649	14,94	31 063	9 474	-	23.01	SI	RAR	4,222	360,00	29 325	9 396	-	85.27	SI
	QPR	0,577	11,21	27 757	8 403	-	19.43	SI								
75,0%	RAR	0,138	14,94	29 325	424	-	NS	SI	RAR	0,000	360,00	-	-	-	-	SI
	QPR	0,126	11,21	27 757	331	-	88.59	SI								
100,0%	RAR	1,310	14,94	31 063	-23 768	-	11.40	SI	RAR	11,847	360,00	31 063	-23 768	-	30.38	SI
	QPR	1,126	11,21	27 757	-20 360	-	9.95	SI								
Trave: Trave 8-9																
0%	RAR	0,974	14,94	8 361	-18 743	-	15.34	SI	RAR	10,226	360,00	8 361	-18 743	-	35.20	SI
	QPR	0,825	11,21	7 513	-15 856	-	13.57	SI								
25,0%	RAR	0,252	14,94	8 513	3 926	-	59.27	SI	RAR	1,982	360,00	8 513	3 926	-	NS	SI
	QPR	0,216	11,21	7 513	3 351	-	51.85	SI								
50,0%	RAR	0,528	14,94	8 490	8 871	-	28.31	SI	RAR	5,106	360,00	8 490	8 871	-	70.50	SI
	QPR	0,456	11,21	7 513	7 661	-	24.55	SI								
75,0%	RAR	0,218	14,94	8 361	3 329	-	68.48	SI	RAR	1,614	360,00	8 361	3 329	-	NS	SI
	QPR	0,186	11,21	7 513	2 805	-	60.35	SI								
100,0%	RAR	1,112	14,94	8 513	-21 482	-	13.43	SI	RAR	11,779	360,00	8 513	-21 482	-	30.56	SI
	QPR	0,954	11,21	7 513	-18 408	-	11.74	SI								
Trave: Trave 9-10																
0%	RAR	1,040	14,94	-3 026	-20 887	-	14.36	SI	RAR	12,071	360,00	-3 026	-20 887	-	29.82	SI
	QPR	0,890	11,21	-2 538	-17 876	-	12.58	SI								
25,0%	RAR	0,108	14,94	-3 001	2 139	-	NS	SI	RAR	1,526	360,00	-3 001	2 139	-	NS	SI
	QPR	0,088	11,21	-2 538	1 764	-	NS	SI								
50,0%	RAR	0,475	14,94	-3 084	8 730	-	31.46	SI	RAR	5,693	360,00	-3 084	8 730	-	63.23	SI
	QPR	0,410	11,21	-2 538	7 538	-	27.29	SI								
75,0%	RAR	0,146	14,94	-3 026	2 834	-	NS	SI	RAR	1,966	360,00	-3 026	2 834	-	NS	SI
	QPR	0,122	11,21	-2 538	2 364	-	91.88	SI								
100,0%	RAR	0,920	14,94	-3 001	-18 505	-	16.23	SI	RAR	10,712	360,00	-3 001	-18 505	-	33.60	SI
	QPR	0,787	11,21	-2 538	-15 825	-	14.23	SI								
Trave: Trave 11-10																
0%	RAR	0,819	14,94	6 900	-15 766	-	18.24	SI	RAR	8,609	360,00	6 900	-15 766	-	41.81	SI
	QPR	0,691	11,21	6 342	-13 277	-	16.20	SI								
25,0%	RAR	0,232	14,94	7 030	3 670	-	64.39	SI	RAR	1,907	360,00	7 030	3 670	-	NS	SI
	QPR	0,200	11,21	6 342	3 138	-	56.12	SI								
50,0%	RAR	0,498	14,94	7 003	8 450	-	29.97	SI	RAR	4,927	360,00	7 003	8 450	-	73.06	SI
	QPR	0,432	11,21	6 342	7 305	-	25.93	SI								
75,0%	RAR	0,163	14,94	6 900	2 435	-	91.86	SI	RAR	1,135	360,00	6 900	2 435	-	NS	SI
	QPR	0,137	11,21	6 342	2 006	-	82.06	SI								
100%	RAR	1,024	14,94	7 030	-19 829	-	14.59	SI	RAR	10,918	360,00	7 030	-19 829	-	32.97	SI
	QPR	0,879	11,21	6 342	-17 009	-	12.74	SI								
Trave: Trave 11-12																
0%	RAR	1,063	14,94	26 372	-19 201	-	14.05	SI	RAR	9,501	360,00	26 372	-19 201	-	37.89	SI
	QPR	0,911	11,21	23 669	-16 387	-	12.29	SI								
25,0%	RAR	0,117	14,94	26 372	-262	-	NS	SI	RAR	0,000	360,00	-	-	-	-	SI
	QPR	0,094	11,21	23 669	39	-	NS	SI								
50,0%	RAR	0,549	14,94	26 372	8 004	-	27.21	SI	RAR	3,557	360,00	24 435	7 891	-	NS	SI
	QPR	0,490	11,21	23 669	7 135	-	22.86	SI								
75,0%	RAR	0,505	14,94	26 372	7 223	-	29.56	SI	RAR	3,022	360,00	26 372	7 223	-	NS	SI
	QPR	0,437	11,21	23 669	6 183	-	25.64	SI								
100,0%	RAR	0,366	14,94	22 583	-4 983	-	40.84	SI	RAR	1,828	360,00	22 583	-4 983	-	NS	SI
	QPR	0,310	11,21	23 669	-3 902	-	36.18	SI								
Fondazione									Travata: Trave 13-14-15							

%LLI T _p rnf	Compressione calcestruzzo Compressione calcestruzzo rinforzo								Trazione acciaio Trazione acciaio/FRP rinforzo							
	IdCmb	σ _{cc}	σ _{cd,amm}	N _{Ed}	M _{Ed,3}	M _{Ed,2}	CS	Verificato	IdCmb	σ _{at}	σ _{td,amm}	N _{Ed}	M _{Ed,3}	M _{Ed,2}	CS	Verificato
Trave: Trave 13-14																
0%	RAR	0,261	14,94	9 791	-1 703	-	57.21	SI	RAR	0,977	360,00	9 791	-1 703	-	NS	SI
	QPR	0,246	11,21	9 178	-1 607	-	45.56	SI								
25,0%	RAR	0,291	14,94	9 791	1 975	-	51.37	SI	RAR	1,314	360,00	9 791	1 975	-	NS	SI
	QPR	0,267	11,21	9 178	1 796	-	42.03	SI								
50,0%	RAR	0,356	14,94	9 791	2 574	-	41.94	SI	RAR	2,054	360,00	9 791	2 574	-	NS	SI
	QPR	0,329	11,21	9 178	2 368	-	34.05	SI								
75,0%	RAR	0,113	14,94	9 791	344	-	NS	SI	RAR	0,000	360,00	-	-	-	-	SI
	QPR	0,109	11,21	9 178	355	-	NS	SI								
100%	RAR	0,546	14,94	9 791	-4 912	-	27.37	SI	RAR	4,344	360,00	9 791	-4 912	-	82.88	SI
	QPR	0,492	11,21	9 178	-4 406	-	22.76	SI								
Trave: Trave 14-15																
0%	RAR	0,544	14,94	11 816	-4 743	-	27.47	SI	RAR	3,942	360,00	11 816	-4 743	-	91.33	SI
	QPR	0,490	11,21	11 032	-4 246	-	22.86	SI								
25,0%	RAR	0,162	14,94	11 816	650	-	92.37	SI	RAR	0,000	360,00	-	-	-	-	SI
	QPR	0,154	11,21	11 032	634	-	72.78	SI								
50,0%	RAR	0,398	14,94	11 816	2 817	-	37.51	SI	RAR	2,121	360,00	11 816	2 817	-	NS	SI
	QPR	0,367	11,21	11 032	2 586	-	30.52	SI								
75,0%	RAR	0,310	14,94	11 816	2 010	-	48.16	SI	RAR	1,123	360,00	11 816	2 010	-	NS	SI
	QPR	0,284	11,21	11 032	1 827	-	39.42	SI								
100%	RAR	0,321	14,94	11 816	-2 112	-	46.49	SI	RAR	1,250	360,00	11 816	-2 112	-	NS	SI
	QPR	0,301	11,21	11 032	-1 979	-	37.25	SI								
Fondazione									Travata: Trave 16-17-18							
Trave: Trave 16-17																
0%	RAR	0,261	14,94	9 795	-1 704	-	57.18	SI	RAR	0,978	360,00	9 795	-1 704	-	NS	SI
	QPR	0,246	11,21	9 183	-1 608	-	45.53	SI								
25,0%	RAR	0,291	14,94	9 795	1 981	-	51.25	SI	RAR	1,320	360,00	9 795	1 981	-	NS	SI
	QPR	0,267	11,21	9 183	1 802	-	41.92	SI								
50,0%	RAR	0,357	14,94	9 795	2 582	-	41.83	SI	RAR	2,063	360,00	9 795	2 582	-	NS	SI
	QPR	0,330	11,21	9 183	2 375	-	33.97	SI								
75,0%	RAR	0,113	14,94	9 795	344	-	NS	SI	RAR	0,000	360,00	-	-	-	-	SI
	QPR	0,109	11,21	9 183	354	-	NS	SI								
100%	RAR	0,547	14,94	9 795	-4 924	-	27.31	SI	RAR	4,356	360,00	9 795	-4 924	-	82.63	SI
	QPR	0,493	11,21	9 183	-4 417	-	22.71	SI								
Trave: Trave 17-18																
0%	RAR	0,545	14,94	11 821	-4 755	-	27.41	SI	RAR	3,954	360,00	11 821	-4 755	-	91.03	SI
	QPR	0,491	11,21	11 037	-4 256	-	22.82	SI								
25,0%	RAR	0,162	14,94	11 821	650	-	92.35	SI	RAR	0,000	360,00	-	-	-	-	SI
	QPR	0,154	11,21	11 037	635	-	72.71	SI								
50,0%	RAR	0,399	14,94	11 821	2 820	-	37.47	SI	RAR	2,124	360,00	11 821	2 820	-	NS	SI
	QPR	0,368	11,21	11 037	2 590	-	30.48	SI								
75,0%	RAR	0,311	14,94	11 821	2 015	-	48.07	SI	RAR	1,129	360,00	11 821	2 015	-	NS	SI
	QPR	0,285	11,21	11 037	1 832	-	39.34	SI								
100,0%	RAR	0,322	14,94	11 821	-2 114	-	46.45	SI	RAR	1,251	360,00	11 821	-2 114	-	NS	SI
	QPR	0,301	11,21	11 037	-1 980	-	37.23	SI								
Fondazione									Travata: Trave 19-20-21-22-23-24							
Trave: Trave 19-20																
0%	RAR	0,391	14,94	30 185	-4 897	-	38.25	SI	RAR	1,495	360,00	27 751	-4 933	-	NS	SI
	QPR	0,331	11,21	28 058	-3 985	-	33.81	SI								
25,0%	RAR	0,555	14,94	32 145	7 716	-	26.90	SI	RAR	3,005	360,00	31 887	7 706	-	NS	SI
	QPR	0,479	11,21	28 058	6 632	-	23.39	SI								
50,0%	RAR	0,602	14,94	32 145	8 558	-	24.80	SI	RAR	3,528	360,00	32 145	8 558	-	NS	SI
	QPR	0,519	11,21	28 058	7 349	-	21.59	SI								
75,0%	RAR	0,151	14,94	32 145	458	-	99.18	SI	RAR	0,000	360,00	-	-	-	-	SI
	QPR	0,133	11,21	28 058	432	-	84.07	SI								
100,0%	RAR	1,109	14,94	32 145	-19 708	-	13.46	SI	RAR	9,474	360,00	32 145	-19 708	-	38.00	SI
	QPR	0,942	11,21	28 058	-16 684	-	11.89	SI								
Trave: Trave 20-21																
0%	RAR	0,771	14,94	6 803	-14 819	-	19.38	SI	RAR	8,074	360,00	6 803	-14 819	-	44.58	SI
	QPR	0,647	11,21	5 897	-12 418	-	17.33	SI								
25,0%	RAR	0,194	14,94	6 803	3 001	-	77.08	SI	RAR	1,498	360,00	6 803	3 001	-	NS	SI
	QPR	0,164	11,21	5 897	2 534	-	68.22	SI								
50,0%	RAR	0,404	14,94	6 803	6 772	-	36.97	SI	RAR	3,879	360,00	6 803	6 772	-	92.80	SI
	QPR	0,340	11,21	5 897	5 680	-	32.98	SI								
75,0%	RAR	0,163	14,94	6 803	2 447	-	91.70	SI	RAR	1,168	360,00	6 559	2 456	-	NS	SI
	QPR	0,138	11,21	5 897	2 058	-	81.37	SI								
100%	RAR	0,800	14,94	6 803	-15 397	-	18.67	SI	RAR	8,404	360,00	6 803	-15 397	-	42.83	SI
	QPR	0,668	11,21	5 897	-12 851	-	16.76	SI								
Trave: Trave 21-22																
0%	RAR	0,734	14,94	-2 170	-14 733	-	20.36	SI	RAR	8,517	360,00	-2 170	-14 733	-	42.26	SI
	QPR	0,614	11,21	-1 858	-12 327	-	18.25	SI								
25,0%	RAR	0,070	14,94	-2 147	1 414	-	NS	SI	RAR	1,018	360,00	-2 147	1 414	-	NS	SI
	QPR	0,056	11,21	-1 858	1 139	-	NS	SI								
50,0%	RAR	0,333	14,94	-2 170	6 125	-	44.85	SI	RAR	3,994	360,00	-2 170	6 125	-	90.12	SI
	QPR	0,278	11,21	-1 858	5 114	-	40.31	SI								
75,0%	RAR	0,103	14,94	-2 171	1 999	-	NS	SI	RAR	1,389	360,00	-2 171	1 999	-	NS	SI
	QPR	0,085	11,21	-1 858	1 649	-	NS	SI								
100,0%	RAR	0,631	14,94	-2 170	-12 685	-	23.69	SI	RAR	7,349	360,00	-2 170	-12 685	-	48.98	SI
	QPR	0,526	11,21	-1 858	-10 585	-	21.30	SI								
Trave: Trave 22-23																
0%	RAR	0,716	14,94	6 080	-13 782	-	20.86	SI	RAR	7,523	360,00	6 080	-13 782	-	47.85	SI
	QPR	0,599	11,21	5 305	-11 513	-	18.71	SI								
25,0%	RAR	0,113	14,94	5 800	1 620	-	NS	SI	RAR	0,684	360,00	5 800	1 620	-	NS	SI

%LLI Tp _{inf}	Compressione calcestruzzo									Trazione acciaio						
	Compressione calcestruzzo rinforzo									Trazione acciaio/FRP rinforzo						
	Id _{cmb}	σ _{cc}	σ _{cd,amm}	N _{Ed}	M _{Ed,3}	M _{Ed,2}	CS	Verificato	Id _{cmb}	σ _{at}	σ _{td,amm}	N _{Ed}	M _{Ed,3}	M _{Ed,2}	CS	Verificato
[%]		[N/mm ²]	[N/mm ²]	[N]	[N-m]	[N-m]				[N/mm ²]	[N/mm ²]	[N]	[N-m]	[N-m]		
100,0%	RAR QPR	0,306 0,283	14,94 11,21	14 888 13 565	-1 754 -1 637	-	48.84 39.60	SI SI	RAR	0,456	360,00	14 119	-1 685	-	NS	SI
Fondazione									Travata: Trave 14-17							
Trave: Trave 14-17																
0%	RAR QPR	0,305 0,280	14,94 11,21	13 452 12 124	-1 844 -1 715	-	49.04 39.96	SI SI	RAR	0,730	360,00	13 452	-1 844	-	NS	SI
25,0%	RAR QPR	0,241 0,217	14,94 11,21	13 452 12 124	1 257 1 139	-	62.10 51.52	SI SI	RAR	0,009	360,00	12 680	1 189	-	NS	SI
50,0%	RAR QPR	0,350 0,318	14,94 11,21	13 452 12 124	2 261 2 063	-	42.66 35.19	SI SI	RAR	1,245	360,00	13 452	2 261	-	NS	SI
75,0%	RAR QPR	0,238 0,216	14,94 11,21	13 452 12 124	1 237 1 121	-	62.67 51.99	SI SI	RAR	0,000	360,00	-	-	-	-	SI
100,0%	RAR QPR	0,309 0,285	14,94 11,21	13 452 12 124	-1 888 -1 754	-	48.28 39.36	SI SI	RAR	0,784	360,00	13 452	-1 888	-	NS	SI
Fondazione									Travata: Trave 15-18							
Trave: Trave 15-18																
0%	RAR QPR	0,311 0,287	14,94 11,21	15 128 13 764	-1 785 -1 665	-	48.02 38.97	SI SI	RAR	0,468	360,00	14 335	-1 715	-	NS	SI
25,0%	RAR QPR	0,265 0,242	14,94 11,21	15 128 13 764	1 364 1 247	-	56.35 46.32	SI SI	RAR	0,000	360,00	-	-	-	-	SI
50,0%	RAR QPR	0,377 0,345	14,94 11,21	15 128 13 764	2 388 2 192	-	39.63 32.47	SI SI	RAR	1,209	360,00	15 128	2 388	-	NS	SI
75,0%	RAR QPR	0,265 0,242	14,94 11,21	15 128 13 764	1 364 1 245	-	56.35 46.37	SI SI	RAR	0,000	360,00	-	-	-	-	SI
100,0%	RAR QPR	0,311 0,287	14,94 11,21	15 128 13 764	-1 785 -1 665	-	48.02 38.97	SI SI	RAR	0,468	360,00	14 335	-1 715	-	NS	SI

LEGENDA:

- %LLI** Posizione della sezione per la quale vengono forniti i valori di verifica, valutata come % della lunghezza libera d'inflessione (L_I), a partire dall'estremo iniziale.
- Rinf.** Indica la presenza del rinforzo sulla sezione di verifica.
- FRC** Spostamento massimo (freccia) dell'elemento, valutata in combinazione Caratteristica (RARA).
- Id_{cmb}** Identificativo della Combinazione di Azione: [QPR] = Quasi Permanente - [FRQ] = Frequente - [RAR] = Rara.
- σ_{cc}** Tensione massima di compressione nel calcestruzzo.
- σ_{cd,amm}** Tensione ammissibile per la verifica a compressione del calcestruzzo.
- N_{Ed}, M_{Ed,3}, M_{Ed,2}** Sollecitazioni di progetto.
- σ_{at}** Tensione massima di trazione nell'acciaio della Trave/Rinforzo o nel FRP.
- σ_{td,amm}** Tensione ammissibile per la verifica a trazione dell'acciaio/rinforzo.
- CS** Coefficiente di Sicurezza (= σ_{cd, amm}/σ_{cc} ; σ_{td, amm}/σ_{at}). [NS] = Non Significativo (CS ≥ 100).
- Verificato** [SI] = La verifica è soddisfatta (σ_{cc} ≤ σ_{cd,amm} ; σ_{at} ≤ σ_{td,amm}). [NO] = La verifica NON è soddisfatta (σ_{cc} > σ_{cd,amm} ; σ_{at} > σ_{td,amm}).

Travi - VERIFICA ALLO STATO LIMITE DI FESSURAZIONE (Fondazione)

%LLI	Id _{cmb}	N _{Ed}	M _{Ed,3}	M _{Ed,2}	σ _{ct,f}	σ _t	ε _{sm}	Travi - verifica allo stato limite di fessurazione						
								A _e	Δ _{sm}	W _d	W _{amm}	CS	Verificato	
								[cm ²]	[mm]	[mm]	[mm]			
[%]		[N]	[N-m]	[N-m]	[N/mm ²]	[N/mm ²]								
Fondazione									Travata: Trave 1-2-3-4-5-6					
Trave: Trave 1-2									AA= PCA					
0%	FRQ QPR	28 200 28 516	-4 227 -4 075	-	0,13 0,12	2,13 2,13	0 E+00 0 E+00	0 0	0 0	0,000 0,000	0,400 0,300	-	SI	
12,5%	FRQ QPR	28 773 28 516	3 076 2 972	-	0,06 0,05	2,13 2,13	0 E+00 0 E+00	0 0	0 0	0,000 0,000	0,400 0,300	-	SI	
25,0%	FRQ QPR	29 044 28 516	6 921 6 773	-	0,27 0,27	2,13 2,13	0 E+00 0 E+00	0 0	0 0	0,000 0,000	0,400 0,300	-	SI	
37,5%	FRQ QPR	29 044 28 516	8 301 8 123	-	0,35 0,34	2,13 2,13	0 E+00 0 E+00	0 0	0 0	0,000 0,000	0,400 0,300	-	SI	
50,0%	FRQ QPR	29 044 28 516	7 676 7 510	-	0,31 0,31	2,13 2,13	0 E+00 0 E+00	0 0	0 0	0,000 0,000	0,400 0,300	-	SI	
62,5%	FRQ QPR	29 044 28 516	5 140 5 030	-	0,17 0,17	2,13 2,13	0 E+00 0 E+00	0 0	0 0	0,000 0,000	0,400 0,300	-	SI	
75,0%	FRQ QPR	28 205 28 516	471 430	-	-0,08 -0,09	2,13 2,13	0 E+00 0 E+00	0 0	0 0	0,000 0,000	0,400 0,300	-	SI	
87,5%	FRQ QPR	29 044 28 516	-6 959 -6 785	-	0,28 0,27	2,13 2,13	0 E+00 0 E+00	0 0	0 0	0,000 0,000	0,400 0,300	-	SI	
100,0%	FRQ QPR	29 044 28 516	-17 529 -17 100	-	0,78 0,76	2,13 2,13	0 E+00 0 E+00	0 0	0 0	0,000 0,000	0,400 0,300	-	SI	
Trave: Trave 2-3									AA= PCA					
0%	FRQ QPR	6 372 6 239	-13 196 -12 847	-	0,64 0,62	2,13 2,13	0 E+00 0 E+00	0 0	0 0	0,000 0,000	0,400 0,300	-	SI	
12,5%	FRQ QPR	6 372 6 239	-2 872 -2 791	-	0,14 0,13	2,13 2,13	0 E+00 0 E+00	0 0	0 0	0,000 0,000	0,400 0,300	-	SI	
25,0%	FRQ QPR	6 372 6 239	3 092 3 017	-	0,15 0,14	2,13 2,13	0 E+00 0 E+00	0 0	0 0	0,000 0,000	0,400 0,300	-	SI	
37,5%	FRQ QPR	6 372 6 239	6 011 5 859	-	0,31 0,30	2,13 2,13	0 E+00 0 E+00	0 0	0 0	0,000 0,000	0,400 0,300	-	SI	
50,0%	FRQ QPR	6 372 6 239	6 854 6 679	-	0,36 0,35	2,13 2,13	0 E+00 0 E+00	0 0	0 0	0,000 0,000	0,400 0,300	-	SI	
62,5%	FRQ QPR	6 372 6 239	5 852 5 702	-	0,30 0,29	2,13 2,13	0 E+00 0 E+00	0 0	0 0	0,000 0,000	0,400 0,300	-	SI	
75,0%	FRQ QPR	6 372 6 239	2 375 2 314	-	0,11 0,10	2,13 2,13	0 E+00 0 E+00	0 0	0 0	0,000 0,000	0,400 0,300	-	SI	
87,5%	FRQ	6 372	-4 907	-	0,25	2,13	0 E+00	0	0	0,000	0,400	-	SI	

Travi - verifica allo stato limite di fessurazione

%LLI	IdCmb	N _{Ed}	M _{Ed,3}	M _{Ed,2}	σ _{ct,f}	σ _t	ε _{sm}	A _e	Δ _{sm}	W _d	W _{amm}	CS	Verificato
[%]		[N]	[N-m]	[N-m]	[N/mm ²]	[N/mm ²]		[cm ²]	[mm]	[mm]	[mm]		
100%	QPR	6 239	-4 782	-	0,24	2,13	0 E+00	0	0	0,000	0,300	-	SI
	FRQ	6 372	-17 563	-	0,86	2,13	0 E+00	0	0	0,000	0,400	-	SI
	QPR	6 239	-17 116	-	0,84	2,13	0 E+00	0	0	0,000	0,300	-	SI
Trave: Trave 3-4								AA= PCA					
0%	FRQ	-2 400	-16 780	-	0,85	2,13	0 E+00	0	0	0,000	0,400	-	SI
	QPR	-2 336	-16 354	-	0,83	2,13	0 E+00	0	0	0,000	0,300	-	SI
12,5%	FRQ	-2 400	-5 644	-	0,32	2,13	0 E+00	0	0	0,000	0,400	-	SI
	QPR	-2 336	-5 501	-	0,32	2,13	0 E+00	0	0	0,000	0,300	-	SI
25,0%	FRQ	-2 400	1 670	-	0,10	2,13	0 E+00	0	0	0,000	0,400	-	SI
	QPR	-2 336	1 627	-	0,10	2,13	0 E+00	0	0	0,000	0,300	-	SI
37,5%	FRQ	-2 400	5 736	-	0,33	2,13	0 E+00	0	0	0,000	0,400	-	SI
	QPR	-2 336	5 590	-	0,32	2,13	0 E+00	0	0	0,000	0,300	-	SI
50,0%	FRQ	-2 400	7 087	-	0,40	2,13	0 E+00	0	0	0,000	0,400	-	SI
	QPR	-2 336	6 907	-	0,39	2,13	0 E+00	0	0	0,000	0,300	-	SI
62,5%	FRQ	-2 400	5 954	-	0,34	2,13	0 E+00	0	0	0,000	0,400	-	SI
	QPR	-2 336	5 803	-	0,33	2,13	0 E+00	0	0	0,000	0,300	-	SI
75,0%	FRQ	-2 400	2 212	-	0,13	2,13	0 E+00	0	0	0,000	0,400	-	SI
	QPR	-2 336	2 156	-	0,13	2,13	0 E+00	0	0	0,000	0,300	-	SI
87,5%	FRQ	-2 400	-4 572	-	0,26	2,13	0 E+00	0	0	0,000	0,400	-	SI
	QPR	-2 336	-4 455	-	0,26	2,13	0 E+00	0	0	0,000	0,300	-	SI
100,0%	FRQ	-2 400	-14 916	-	0,76	2,13	0 E+00	0	0	0,000	0,400	-	SI
	QPR	-2 336	-14 536	-	0,74	2,13	0 E+00	0	0	0,000	0,300	-	SI
Trave: Trave 4-5								AA= PCA					
0%	FRQ	6 749	-16 275	-	0,79	2,13	0 E+00	0	0	0,000	0,400	-	SI
	QPR	6 621	-15 866	-	0,77	2,13	0 E+00	0	0	0,000	0,300	-	SI
12,5%	FRQ	6 749	-5 154	-	0,26	2,13	0 E+00	0	0	0,000	0,400	-	SI
	QPR	6 621	-5 026	-	0,25	2,13	0 E+00	0	0	0,000	0,300	-	SI
25,0%	FRQ	6 749	1 797	-	0,07	2,13	0 E+00	0	0	0,000	0,400	-	SI
	QPR	6 621	1 749	-	0,07	2,13	0 E+00	0	0	0,000	0,300	-	SI
37,5%	FRQ	6 749	5 501	-	0,28	2,13	0 E+00	0	0	0,000	0,400	-	SI
	QPR	6 621	5 360	-	0,27	2,13	0 E+00	0	0	0,000	0,300	-	SI
50,0%	FRQ	6 749	6 775	-	0,35	2,13	0 E+00	0	0	0,000	0,400	-	SI
	QPR	6 621	6 603	-	0,34	2,13	0 E+00	0	0	0,000	0,300	-	SI
62,5%	FRQ	6 749	6 022	-	0,31	2,13	0 E+00	0	0	0,000	0,400	-	SI
	QPR	6 621	5 872	-	0,30	2,13	0 E+00	0	0	0,000	0,300	-	SI
75,0%	FRQ	6 749	3 119	-	0,15	2,13	0 E+00	0	0	0,000	0,400	-	SI
	QPR	6 621	3 047	-	0,14	2,13	0 E+00	0	0	0,000	0,300	-	SI
87,5%	FRQ	6 588	-2 513	-	0,11	2,13	0 E+00	0	0	0,000	0,400	-	SI
	QPR	6 621	-2 442	-	0,11	2,13	0 E+00	0	0	0,000	0,300	-	SI
100%	FRQ	6 749	-11 693	-	0,56	2,13	0 E+00	0	0	0,000	0,400	-	SI
	QPR	6 621	-11 377	-	0,55	2,13	0 E+00	0	0	0,000	0,300	-	SI
Trave: Trave 5-6								AA= PCA					
0%	FRQ	24 493	-15 006	-	0,67	2,13	0 E+00	0	0	0,000	0,400	-	SI
	QPR	24 084	-14 634	-	0,65	2,13	0 E+00	0	0	0,000	0,300	-	SI
12,5%	FRQ	24 493	-6 325	-	0,26	2,13	0 E+00	0	0	0,000	0,400	-	SI
	QPR	24 084	-6 160	-	0,25	2,13	0 E+00	0	0	0,000	0,300	-	SI
25,0%	FRQ	23 728	143	-	-0,08	2,13	0 E+00	0	0	0,000	0,400	-	SI
	QPR	24 084	100	-	-0,09	2,13	0 E+00	0	0	0,000	0,300	-	SI
37,5%	FRQ	24 493	4 396	-	0,15	2,13	0 E+00	0	0	0,000	0,400	-	SI
	QPR	24 084	4 309	-	0,15	2,13	0 E+00	0	0	0,000	0,300	-	SI
50,0%	FRQ	24 493	6 792	-	0,28	2,13	0 E+00	0	0	0,000	0,400	-	SI
	QPR	24 084	6 649	-	0,28	2,13	0 E+00	0	0	0,000	0,300	-	SI
62,5%	FRQ	24 493	7 353	-	0,31	2,13	0 E+00	0	0	0,000	0,400	-	SI
	QPR	24 084	7 196	-	0,31	2,13	0 E+00	0	0	0,000	0,300	-	SI
75,0%	FRQ	24 493	6 012	-	0,24	2,13	0 E+00	0	0	0,000	0,400	-	SI
	QPR	24 084	5 881	-	0,23	2,13	0 E+00	0	0	0,000	0,300	-	SI
87,5%	FRQ	24 369	2 577	-	0,05	2,13	0 E+00	0	0	0,000	0,400	-	SI
	QPR	24 084	2 475	-	0,04	2,13	0 E+00	0	0	0,000	0,300	-	SI
100%	FRQ	23 724	-3 539	-	0,11	2,13	0 E+00	0	0	0,000	0,400	-	SI
	QPR	24 084	-3 386	-	0,10	2,13	0 E+00	0	0	0,000	0,300	-	SI
Fondazione								Travata: Trave 7-8-9-10-11-12					
Trave: Trave 7-8								AA= PCA					
0%	FRQ	27 417	-5 165	-	0,18	2,13	0 E+00	0	0	0,000	0,400	-	SI
	QPR	27 757	-4 961	-	0,17	2,13	0 E+00	0	0	0,000	0,300	-	SI
12,5%	FRQ	27 997	3 048	-	0,06	2,13	0 E+00	0	0	0,000	0,400	-	SI
	QPR	27 757	2 931	-	0,06	2,13	0 E+00	0	0	0,000	0,300	-	SI
25,0%	FRQ	28 190	7 459	-	0,31	2,13	0 E+00	0	0	0,000	0,400	-	SI
	QPR	27 757	7 305	-	0,30	2,13	0 E+00	0	0	0,000	0,300	-	SI
37,5%	FRQ	28 190	9 158	-	0,40	2,13	0 E+00	0	0	0,000	0,400	-	SI
	QPR	27 757	8 972	-	0,39	2,13	0 E+00	0	0	0,000	0,300	-	SI
50,0%	FRQ	28 190	8 576	-	0,37	2,13	0 E+00	0	0	0,000	0,400	-	SI
	QPR	27 757	8 403	-	0,36	2,13	0 E+00	0	0	0,000	0,300	-	SI
62,5%	FRQ	28 190	5 751	-	0,21	2,13	0 E+00	0	0	0,000	0,400	-	SI
	QPR	27 757	5 639	-	0,21	2,13	0 E+00	0	0	0,000	0,300	-	SI
75,0%	FRQ	27 417	384	-	-0,09	2,13	0 E+00	0	0	0,000	0,400	-	SI
	QPR	27 757	331	-	-0,09	2,13	0 E+00	0	0	0,000	0,300	-	SI
87,5%	FRQ	28 190	-8 348	-	0,36	2,13	0 E+00	0	0	0,000	0,400	-	SI
	QPR	27 757	-8 135	-	0,35	2,13	0 E+00	0	0	0,000	0,300	-	SI
100,0%	FRQ	28 190	-20 872	-	0,95	2,13	0 E+00	0	0	0,000	0,400	-	SI
	QPR	27 757	-20 360	-	0,92	2,13	0 E+00	0	0	0,000	0,300	-	SI
Trave: Trave 8-9								AA= PCA					
0%	FRQ	7 671	-16 283	-	0,79	2,13	0 E+00	0	0	0,000	0,400	-	SI
	QPR	7 513	-15 856	-	0,77	2,13	0 E+00	0	0	0,000	0,300	-	SI
12,5%	FRQ	7 671	-3 760	-	0,18	2,13	0 E+00	0	0	0,000	0,400	-	SI

Travi - verifica allo stato limite di fessurazione

%LLI	IdCmb	N _{Ed}	M _{Ed,3}	M _{Ed,2}	σ _{ct,f}	σ _t	ε _{sm}	A _e	Δ _{sm}	W _d	W _{amm}	CS	Verificato
[%]		[N]	[N-m]	[N-m]	[N/mm ²]	[N/mm ²]		[cm ²]	[mm]	[mm]	[mm]		
Trave: Trave 9-10													
								AA= PCA					
0%	FRQ	7 513	-3 656	-	0,17	2,13	0 E+00	0	0	0,000	0,300	-	SI
	QPR	7 671	3 433	-	0,16	2,13	0 E+00	0	0	0,000	0,400	-	SI
25,0%	FRQ	7 513	3 351	-	0,16	2,13	0 E+00	0	0	0,000	0,300	-	SI
	QPR	7 671	6 892	-	0,35	2,13	0 E+00	0	0	0,000	0,400	-	SI
37,5%	FRQ	7 513	6 720	-	0,35	2,13	0 E+00	0	0	0,000	0,300	-	SI
	QPR	7 671	7 858	-	0,41	2,13	0 E+00	0	0	0,000	0,400	-	SI
50,0%	FRQ	7 513	7 661	-	0,40	2,13	0 E+00	0	0	0,000	0,300	-	SI
	QPR	7 671	6 719	-	0,34	2,13	0 E+00	0	0	0,000	0,400	-	SI
62,5%	FRQ	7 513	6 550	-	0,34	2,13	0 E+00	0	0	0,000	0,300	-	SI
	QPR	7 671	2 878	-	0,13	2,13	0 E+00	0	0	0,000	0,400	-	SI
75,0%	FRQ	7 513	2 805	-	0,13	2,13	0 E+00	0	0	0,000	0,300	-	SI
	QPR	7 671	-5 086	-	0,25	2,13	0 E+00	0	0	0,000	0,400	-	SI
87,5%	FRQ	7 513	-4 960	-	0,25	2,13	0 E+00	0	0	0,000	0,300	-	SI
	QPR	7 671	-18 877	-	0,92	2,13	0 E+00	0	0	0,000	0,400	-	SI
100,0%	FRQ	7 513	-18 408	-	0,90	2,13	0 E+00	0	0	0,000	0,300	-	SI
Trave: Trave 11-10													
								AA= PCA					
0%	FRQ	-2 615	-18 332	-	0,93	2,13	0 E+00	0	0	0,000	0,400	-	SI
	QPR	-2 538	-17 876	-	0,91	2,13	0 E+00	0	0	0,000	0,300	-	SI
12,5%	FRQ	-2 615	-6 173	-	0,35	2,13	0 E+00	0	0	0,000	0,400	-	SI
	QPR	-2 538	-6 018	-	0,35	2,13	0 E+00	0	0	0,000	0,300	-	SI
25,0%	FRQ	-2 615	1 807	-	0,11	2,13	0 E+00	0	0	0,000	0,400	-	SI
	QPR	-2 538	1 764	-	0,11	2,13	0 E+00	0	0	0,000	0,300	-	SI
37,5%	FRQ	-2 615	6 251	-	0,36	2,13	0 E+00	0	0	0,000	0,400	-	SI
	QPR	-2 538	6 097	-	0,35	2,13	0 E+00	0	0	0,000	0,300	-	SI
50,0%	FRQ	-2 615	7 728	-	0,44	2,13	0 E+00	0	0	0,000	0,400	-	SI
	QPR	-2 538	7 538	-	0,43	2,13	0 E+00	0	0	0,000	0,300	-	SI
62,5%	FRQ	-2 615	6 498	-	0,37	2,13	0 E+00	0	0	0,000	0,400	-	SI
	QPR	-2 538	6 338	-	0,36	2,13	0 E+00	0	0	0,000	0,300	-	SI
75,0%	FRQ	-2 615	2 424	-	0,15	2,13	0 E+00	0	0	0,000	0,400	-	SI
	QPR	-2 538	2 364	-	0,14	2,13	0 E+00	0	0	0,000	0,300	-	SI
87,5%	FRQ	-2 615	-4 961	-	0,29	2,13	0 E+00	0	0	0,000	0,400	-	SI
	QPR	-2 538	-4 838	-	0,28	2,13	0 E+00	0	0	0,000	0,300	-	SI
100,0%	FRQ	-2 615	-16 225	-	0,83	2,13	0 E+00	0	0	0,000	0,400	-	SI
	QPR	-2 538	-15 825	-	0,81	2,13	0 E+00	0	0	0,000	0,300	-	SI
Trave: Trave 11-12													
								AA= PCA					
0%	FRQ	6 449	-13 635	-	0,66	2,13	0 E+00	0	0	0,000	0,400	-	SI
	QPR	6 342	-13 277	-	0,65	2,13	0 E+00	0	0	0,000	0,300	-	SI
12,5%	FRQ	6 449	-3 247	-	0,16	2,13	0 E+00	0	0	0,000	0,400	-	SI
	QPR	6 342	-3 153	-	0,15	2,13	0 E+00	0	0	0,000	0,300	-	SI
25,0%	FRQ	6 449	3 209	-	0,15	2,13	0 E+00	0	0	0,000	0,400	-	SI
	QPR	6 342	3 138	-	0,15	2,13	0 E+00	0	0	0,000	0,300	-	SI
37,5%	FRQ	6 449	6 577	-	0,34	2,13	0 E+00	0	0	0,000	0,400	-	SI
	QPR	6 342	6 419	-	0,33	2,13	0 E+00	0	0	0,000	0,300	-	SI
50,0%	FRQ	6 449	7 489	-	0,39	2,13	0 E+00	0	0	0,000	0,400	-	SI
	QPR	6 342	7 305	-	0,38	2,13	0 E+00	0	0	0,000	0,300	-	SI
62,5%	FRQ	6 449	6 113	-	0,32	2,13	0 E+00	0	0	0,000	0,400	-	SI
	QPR	6 342	5 961	-	0,31	2,13	0 E+00	0	0	0,000	0,300	-	SI
75,0%	FRQ	6 449	2 059	-	0,09	2,13	0 E+00	0	0	0,000	0,400	-	SI
	QPR	6 342	2 006	-	0,09	2,13	0 E+00	0	0	0,000	0,300	-	SI
87,5%	FRQ	6 449	-5 480	-	0,28	2,13	0 E+00	0	0	0,000	0,400	-	SI
	QPR	6 342	-5 349	-	0,27	2,13	0 E+00	0	0	0,000	0,300	-	SI
100%	FRQ	6 449	-17 432	-	0,85	2,13	0 E+00	0	0	0,000	0,400	-	SI
	QPR	6 342	-17 009	-	0,83	2,13	0 E+00	0	0	0,000	0,300	-	SI
Fondazione													
								Travata: Trave 13-14-15					
Trave: Trave 13-14													
								AA= PCA					
0%	FRQ	9 281	-1 623	-	0,11	2,13	0 E+00	0	0	0,000	0,400	-	SI
	QPR	9 178	-1 607	-	0,10	2,13	0 E+00	0	0	0,000	0,300	-	SI
12,5%	FRQ	9 281	491	-	-0,02	2,13	0 E+00	0	0	0,000	0,400	-	SI
	QPR	9 178	478	-	-0,02	2,13	0 E+00	0	0	0,000	0,300	-	SI
25,0%	FRQ	9 281	1 826	-	0,13	2,13	0 E+00	0	0	0,000	0,400	-	SI
	QPR	9 178	1 796	-	0,13	2,13	0 E+00	0	0	0,000	0,300	-	SI
37,5%	FRQ	9 281	2 447	-	0,20	2,13	0 E+00	0	0	0,000	0,400	-	SI
	QPR	9 178	2 409	-	0,19	2,13	0 E+00	0	0	0,000	0,300	-	SI
50,0%	FRQ	9 281	2 403	-	0,19	2,13	0 E+00	0	0	0,000	0,400	-	SI
	QPR	9 178	2 368	-	0,19	2,13	0 E+00	0	0	0,000	0,300	-	SI

Travi - verifica allo stato limite di fessurazione

%LLI	IdCmb	N _{Ed}	M _{Ed,3}	M _{Ed,2}	σ _{ct,f}	σ _t	ε _{sm}	A _e	Δs _m	W _d	W _{amm}	CS	Verificat o
[%]		[N]	[N-m]	[N-m]	[N/mm ²]	[N/mm ²]		[cm ²]	[mm]	[mm]	[mm]		
62,5%	FRQ	9 281	1 709	-	0,12	2,13	0 E+00	0	0	0,000	0,400	-	SI
	QPR	9 178	1 687	-	0,11	2,13	0 E+00	0	0	0,000	0,300	-	SI
75,0%	FRQ	9 178	355	-	-0,03	2,13	0 E+00	0	0	0,000	0,400	-	SI
	QPR	9 178	355	-	-0,03	2,13	0 E+00	0	0	0,000	0,300	-	SI
87,5%	FRQ	9 281	-1 700	-	0,11	2,13	0 E+00	0	0	0,000	0,400	-	SI
	QPR	9 178	-1 663	-	0,11	2,13	0 E+00	0	0	0,000	0,300	-	SI
100%	FRQ	9 281	-4 491	-	0,37	2,13	0 E+00	0	0	0,000	0,400	-	SI
	QPR	9 178	-4 406	-	0,36	2,13	0 E+00	0	0	0,000	0,300	-	SI
Trave: Trave 14-15								AA= PCA					
0%	FRQ	11 163	-4 329	-	0,34	2,13	0 E+00	0	0	0,000	0,400	-	SI
	QPR	11 032	-4 246	-	0,33	2,13	0 E+00	0	0	0,000	0,300	-	SI
12,5%	FRQ	11 163	-1 449	-	0,07	2,13	0 E+00	0	0	0,000	0,400	-	SI
	QPR	11 032	-1 416	-	0,07	2,13	0 E+00	0	0	0,000	0,300	-	SI
25,0%	FRQ	11 032	634	-	-0,02	2,13	0 E+00	0	0	0,000	0,400	-	SI
	QPR	11 032	634	-	-0,02	2,13	0 E+00	0	0	0,000	0,300	-	SI
37,5%	FRQ	11 163	1 977	-	0,13	2,13	0 E+00	0	0	0,000	0,400	-	SI
	QPR	11 032	1 951	-	0,13	2,13	0 E+00	0	0	0,000	0,300	-	SI
50,0%	FRQ	11 163	2 624	-	0,20	2,13	0 E+00	0	0	0,000	0,400	-	SI
	QPR	11 032	2 586	-	0,20	2,13	0 E+00	0	0	0,000	0,300	-	SI
62,5%	FRQ	11 163	2 594	-	0,20	2,13	0 E+00	0	0	0,000	0,400	-	SI
	QPR	11 032	2 554	-	0,19	2,13	0 E+00	0	0	0,000	0,300	-	SI
75,0%	FRQ	11 163	1 858	-	0,12	2,13	0 E+00	0	0	0,000	0,400	-	SI
	QPR	11 032	1 827	-	0,11	2,13	0 E+00	0	0	0,000	0,300	-	SI
87,5%	FRQ	11 163	359	-	-0,05	2,13	0 E+00	0	0	0,000	0,400	-	SI
	QPR	11 032	349	-	-0,05	2,13	0 E+00	0	0	0,000	0,300	-	SI
100%	FRQ	11 163	-2 001	-	0,13	2,13	0 E+00	0	0	0,000	0,400	-	SI
	QPR	11 032	-1 979	-	0,13	2,13	0 E+00	0	0	0,000	0,300	-	SI
Fondazione								Travata: Trave 16-17-18					
Trave: Trave 16-17								AA= PCA					
0%	FRQ	9 285	-1 624	-	0,11	2,13	0 E+00	0	0	0,000	0,400	-	SI
	QPR	9 183	-1 608	-	0,10	2,13	0 E+00	0	0	0,000	0,300	-	SI
12,5%	FRQ	9 285	494	-	-0,02	2,13	0 E+00	0	0	0,000	0,400	-	SI
	QPR	9 183	481	-	-0,02	2,13	0 E+00	0	0	0,000	0,300	-	SI
25,0%	FRQ	9 285	1 832	-	0,13	2,13	0 E+00	0	0	0,000	0,400	-	SI
	QPR	9 183	1 802	-	0,13	2,13	0 E+00	0	0	0,000	0,300	-	SI
37,5%	FRQ	9 285	2 451	-	0,20	2,13	0 E+00	0	0	0,000	0,400	-	SI
	QPR	9 183	2 414	-	0,19	2,13	0 E+00	0	0	0,000	0,300	-	SI
50,0%	FRQ	9 285	2 410	-	0,19	2,13	0 E+00	0	0	0,000	0,400	-	SI
	QPR	9 183	2 375	-	0,19	2,13	0 E+00	0	0	0,000	0,300	-	SI
62,5%	FRQ	9 285	1 714	-	0,12	2,13	0 E+00	0	0	0,000	0,400	-	SI
	QPR	9 183	1 692	-	0,11	2,13	0 E+00	0	0	0,000	0,300	-	SI
75,0%	FRQ	9 183	354	-	-0,03	2,13	0 E+00	0	0	0,000	0,400	-	SI
	QPR	9 183	354	-	-0,03	2,13	0 E+00	0	0	0,000	0,300	-	SI
87,5%	FRQ	9 285	-1 705	-	0,11	2,13	0 E+00	0	0	0,000	0,400	-	SI
	QPR	9 183	-1 668	-	0,11	2,13	0 E+00	0	0	0,000	0,300	-	SI
100%	FRQ	9 285	-4 502	-	0,37	2,13	0 E+00	0	0	0,000	0,400	-	SI
	QPR	9 183	-4 417	-	0,36	2,13	0 E+00	0	0	0,000	0,300	-	SI
Trave: Trave 17-18								AA= PCA					
0%	FRQ	11 168	-4 340	-	0,34	2,13	0 E+00	0	0	0,000	0,400	-	SI
	QPR	11 037	-4 256	-	0,33	2,13	0 E+00	0	0	0,000	0,300	-	SI
12,5%	FRQ	11 168	-1 453	-	0,07	2,13	0 E+00	0	0	0,000	0,400	-	SI
	QPR	11 037	-1 419	-	0,07	2,13	0 E+00	0	0	0,000	0,300	-	SI
25,0%	FRQ	11 037	635	-	-0,02	2,13	0 E+00	0	0	0,000	0,400	-	SI
	QPR	11 037	635	-	-0,02	2,13	0 E+00	0	0	0,000	0,300	-	SI
37,5%	FRQ	11 168	1 981	-	0,13	2,13	0 E+00	0	0	0,000	0,400	-	SI
	QPR	11 037	1 955	-	0,13	2,13	0 E+00	0	0	0,000	0,300	-	SI
50,0%	FRQ	11 168	2 629	-	0,20	2,13	0 E+00	0	0	0,000	0,400	-	SI
	QPR	11 037	2 590	-	0,20	2,13	0 E+00	0	0	0,000	0,300	-	SI
62,5%	FRQ	11 168	2 598	-	0,20	2,13	0 E+00	0	0	0,000	0,400	-	SI
	QPR	11 037	2 558	-	0,19	2,13	0 E+00	0	0	0,000	0,300	-	SI
75,0%	FRQ	11 168	1 863	-	0,12	2,13	0 E+00	0	0	0,000	0,400	-	SI
	QPR	11 037	1 832	-	0,12	2,13	0 E+00	0	0	0,000	0,300	-	SI
87,5%	FRQ	11 168	361	-	-0,05	2,13	0 E+00	0	0	0,000	0,400	-	SI
	QPR	11 037	351	-	-0,05	2,13	0 E+00	0	0	0,000	0,300	-	SI
100,0%	FRQ	11 168	-2 002	-	0,13	2,13	0 E+00	0	0	0,000	0,400	-	SI
	QPR	11 037	-1 980	-	0,13	2,13	0 E+00	0	0	0,000	0,300	-	SI
Fondazione								Travata: Trave 19-20-21-22-23-24					
Trave: Trave 19-20								AA= PCA					
0%	FRQ	27 738	-4 136	-	0,12	2,13	0 E+00	0	0	0,000	0,400	-	SI
	QPR	28 058	-3 985	-	0,11	2,13	0 E+00	0	0	0,000	0,300	-	SI
12,5%	FRQ	28 305	3 013	-	0,06	2,13	0 E+00	0	0	0,000	0,400	-	SI
	QPR	28 058	2 915	-	0,05	2,13	0 E+00	0	0	0,000	0,300	-	SI
25,0%	FRQ	28 575	6 776	-	0,27	2,13	0 E+00	0	0	0,000	0,400	-	SI
	QPR	28 058	6 632	-	0,26	2,13	0 E+00	0	0	0,000	0,300	-	SI
37,5%	FRQ	28 575	8 125	-	0,34	2,13	0 E+00	0	0	0,000	0,400	-	SI
	QPR	28 058	7 951	-	0,33	2,13	0 E+00	0	0	0,000	0,300	-	SI
50,0%	FRQ	28 575	7 511	-	0,31	2,13	0 E+00	0	0	0,000	0,400	-	SI
	QPR	28 058	7 349	-	0,30	2,13	0 E+00	0	0	0,000	0,300	-	SI
62,5%	FRQ	28 575	5 035	-	0,17	2,13	0 E+00	0	0	0,000	0,400	-	SI
	QPR	28 058	4 928	-	0,17	2,13	0 E+00	0	0	0,000	0,300	-	SI
75,0%	FRQ	27 743	473	-	-0,08	2,13	0 E+00	0	0	0,000	0,400	-	SI
	QPR	28 058	432	-	-0,09	2,13	0 E+00	0	0	0,000	0,300	-	SI
87,5%	FRQ	28 575	-6 781	-	0,27	2,13	0 E+00	0	0	0,000	0,400	-	SI
	QPR	28 058	-6 612	-	0,26	2,13	0 E+00	0	0	0,000	0,300	-	SI

Travi - verifica allo stato limite di fessurazione

%LLI	IdCmb	N _{Ed}	M _{Ed,3}	M _{Ed,2}	σ _{ct,f}	σ _t	ε _{sm}	A _e	Δ _{sm}	W _d	W _{amm}	CS	Verificat o
[%]		[N]	[N-m]	[N-m]	[N/mm ²]	[N/mm ²]		[cm ²]	[mm]	[mm]	[mm]		
25,0%	FRQ	38 594	6 204	-	0,20	2,13	0 E+00	0	0	0,000	0,400	-	SI
	QPR	38 079	6 020	-	0,19	2,13	0 E+00	0	0	0,000	0,300	-	SI
37,5%	FRQ	38 817	7 571	-	0,27	2,13	0 E+00	0	0	0,000	0,400	-	SI
	QPR	38 079	7 406	-	0,26	2,13	0 E+00	0	0	0,000	0,300	-	SI
50,0%	FRQ	38 817	7 235	-	0,25	2,13	0 E+00	0	0	0,000	0,400	-	SI
	QPR	38 079	7 084	-	0,25	2,13	0 E+00	0	0	0,000	0,300	-	SI
62,5%	FRQ	37 516	5 178	-	0,14	2,13	0 E+00	0	0	0,000	0,400	-	SI
	QPR	38 079	5 155	-	0,14	2,13	0 E+00	0	0	0,000	0,300	-	SI
75,0%	FRQ	37 516	1 687	-	-0,05	2,13	0 E+00	0	0	0,000	0,400	-	SI
	QPR	38 079	1 579	-	-0,06	2,13	0 E+00	0	0	0,000	0,300	-	SI
87,5%	FRQ	38 590	-3 986	-	0,07	2,13	0 E+00	0	0	0,000	0,400	-	SI
	QPR	38 079	-3 789	-	0,06	2,13	0 E+00	0	0	0,000	0,300	-	SI
100%	FRQ	38 590	-11 427	-	0,43	2,13	0 E+00	0	0	0,000	0,400	-	SI
	QPR	38 079	-11 127	-	0,42	2,13	0 E+00	0	0	0,000	0,300	-	SI
Trave: Trave 7-19								AA= PCA					
0%	FRQ	36 119	-11 243	-	0,43	2,13	0 E+00	0	0	0,000	0,400	-	SI
	QPR	35 583	-10 945	-	0,42	2,13	0 E+00	0	0	0,000	0,300	-	SI
12,5%	FRQ	36 119	-4 050	-	0,09	2,13	0 E+00	0	0	0,000	0,400	-	SI
	QPR	35 583	-3 854	-	0,08	2,13	0 E+00	0	0	0,000	0,300	-	SI
25,0%	FRQ	35 013	1 477	-	-0,05	2,13	0 E+00	0	0	0,000	0,400	-	SI
	QPR	35 583	1 372	-	-0,06	2,13	0 E+00	0	0	0,000	0,300	-	SI
37,5%	FRQ	35 013	4 899	-	0,14	2,13	0 E+00	0	0	0,000	0,400	-	SI
	QPR	35 583	4 877	-	0,13	2,13	0 E+00	0	0	0,000	0,300	-	SI
50,0%	FRQ	36 256	6 923	-	0,24	2,13	0 E+00	0	0	0,000	0,400	-	SI
	QPR	35 583	6 779	-	0,24	2,13	0 E+00	0	0	0,000	0,300	-	SI
62,5%	FRQ	36 256	7 270	-	0,26	2,13	0 E+00	0	0	0,000	0,400	-	SI
	QPR	35 583	7 112	-	0,26	2,13	0 E+00	0	0	0,000	0,300	-	SI
75,0%	FRQ	36 123	5 970	-	0,19	2,13	0 E+00	0	0	0,000	0,400	-	SI
	QPR	35 583	5 783	-	0,18	2,13	0 E+00	0	0	0,000	0,300	-	SI
87,5%	FRQ	36 123	2 813	-	0,02	2,13	0 E+00	0	0	0,000	0,400	-	SI
	QPR	35 583	2 575	-	0,01	2,13	0 E+00	0	0	0,000	0,300	-	SI
100%	FRQ	35 009	-3 134	-	0,04	2,13	0 E+00	0	0	0,000	0,400	-	SI
	QPR	35 583	-2 838	-	0,02	2,13	0 E+00	0	0	0,000	0,300	-	SI
Fondazione								Travata: Trave 2-8-20					
Trave: Trave 2-8								AA= PCA					
0%	FRQ	41 699	-2 043	-	-0,05	2,13	0 E+00	0	0	0,000	0,400	-	SI
	QPR	42 363	-1 562	-	-0,08	2,13	0 E+00	0	0	0,000	0,300	-	SI
12,5%	FRQ	42 923	4 681	-	0,09	2,13	0 E+00	0	0	0,000	0,400	-	SI
	QPR	42 363	4 341	-	0,08	2,13	0 E+00	0	0	0,000	0,300	-	SI
25,0%	FRQ	42 923	7 933	-	0,28	2,13	0 E+00	0	0	0,000	0,400	-	SI
	QPR	42 363	7 692	-	0,26	2,13	0 E+00	0	0	0,000	0,300	-	SI
37,5%	FRQ	43 134	9 080	-	0,34	2,13	0 E+00	0	0	0,000	0,400	-	SI
	QPR	42 363	8 881	-	0,33	2,13	0 E+00	0	0	0,000	0,300	-	SI
50,0%	FRQ	43 134	8 312	-	0,30	2,13	0 E+00	0	0	0,000	0,400	-	SI
	QPR	42 363	8 144	-	0,29	2,13	0 E+00	0	0	0,000	0,300	-	SI
62,5%	FRQ	41 699	5 580	-	0,15	2,13	0 E+00	0	0	0,000	0,400	-	SI
	QPR	42 363	5 524	-	0,14	2,13	0 E+00	0	0	0,000	0,300	-	SI
75,0%	FRQ	41 699	1 071	-	-0,10	2,13	0 E+00	0	0	0,000	0,400	-	SI
	QPR	42 363	901	-	-0,11	2,13	0 E+00	0	0	0,000	0,300	-	SI
87,5%	FRQ	42 923	-6 238	-	0,18	2,13	0 E+00	0	0	0,000	0,400	-	SI
	QPR	42 363	-5 961	-	0,17	2,13	0 E+00	0	0	0,000	0,300	-	SI
100,0%	FRQ	43 134	-15 748	-	0,64	2,13	0 E+00	0	0	0,000	0,400	-	SI
	QPR	42 363	-15 308	-	0,62	2,13	0 E+00	0	0	0,000	0,300	-	SI
Trave: Trave 8-20								AA= PCA					
0%	FRQ	40 151	-14 572	-	0,59	2,13	0 E+00	0	0	0,000	0,400	-	SI
	QPR	39 574	-14 165	-	0,57	2,13	0 E+00	0	0	0,000	0,300	-	SI
12,5%	FRQ	40 151	-5 667	-	0,16	2,13	0 E+00	0	0	0,000	0,400	-	SI
	QPR	39 574	-5 385	-	0,15	2,13	0 E+00	0	0	0,000	0,300	-	SI
25,0%	FRQ	38 916	1 235	-	-0,08	2,13	0 E+00	0	0	0,000	0,400	-	SI
	QPR	39 574	1 071	-	-0,09	2,13	0 E+00	0	0	0,000	0,300	-	SI
37,5%	FRQ	38 916	5 455	-	0,15	2,13	0 E+00	0	0	0,000	0,400	-	SI
	QPR	39 574	5 400	-	0,15	2,13	0 E+00	0	0	0,000	0,300	-	SI
50,0%	FRQ	40 270	7 955	-	0,29	2,13	0 E+00	0	0	0,000	0,400	-	SI
	QPR	39 574	7 796	-	0,28	2,13	0 E+00	0	0	0,000	0,300	-	SI
62,5%	FRQ	40 270	8 539	-	0,32	2,13	0 E+00	0	0	0,000	0,400	-	SI
	QPR	39 574	8 354	-	0,31	2,13	0 E+00	0	0	0,000	0,300	-	SI
75,0%	FRQ	40 151	7 272	-	0,25	2,13	0 E+00	0	0	0,000	0,400	-	SI
	QPR	39 574	7 024	-	0,24	2,13	0 E+00	0	0	0,000	0,300	-	SI
87,5%	FRQ	40 151	3 957	-	0,06	2,13	0 E+00	0	0	0,000	0,400	-	SI
	QPR	39 574	3 608	-	0,05	2,13	0 E+00	0	0	0,000	0,300	-	SI
100,0%	FRQ	38 916	-2 686	-	0,00	2,13	0 E+00	0	0	0,000	0,400	-	SI
	QPR	39 574	-2 221	-	-0,03	2,13	0 E+00	0	0	0,000	0,300	-	SI
Fondazione								Travata: Trave 3-9-21					
Trave: Trave 3-9								AA= PCA					
0%	FRQ	56 396	-3 857	-	0,00	2,13	0 E+00	0	0	0,000	0,400	-	SI
	QPR	57 037	-3 368	-	-0,03	2,13	0 E+00	0	0	0,000	0,300	-	SI
12,5%	FRQ	57 606	4 833	-	0,05	2,13	0 E+00	0	0	0,000	0,400	-	SI
	QPR	57 037	4 477	-	0,03	2,13	0 E+00	0	0	0,000	0,300	-	SI
25,0%	FRQ	57 606	8 956	-	0,28	2,13	0 E+00	0	0	0,000	0,400	-	SI
	QPR	57 037	8 711	-	0,26	2,13	0 E+00	0	0	0,000	0,300	-	SI
37,5%	FRQ	58 179	10 494	-	0,36	2,13	0 E+00	0	0	0,000	0,400	-	SI
	QPR	57 037	10 266	-	0,35	2,13	0 E+00	0	0	0,000	0,300	-	SI
50,0%	FRQ	58 179	9 931	-	0,33	2,13	0 E+00	0	0	0,000	0,400	-	SI
	QPR	57 037	9 724	-	0,32	2,13	0 E+00	0	0	0,000	0,300	-	SI

Travi - verifica allo stato limite di fessurazione

%LLT	IdCmb	N _{Ed}	M _{Ed,3}	M _{Ed,2}	σ _{ct,f}	σ _t	ε _{sm}	A _e	Δ _{sm}	W _d	W _{amm}	CS	Verificato
[%]		[N]	[N-m]	[N-m]	[N/mm ²]	[N/mm ²]		[cm ²]	[mm]	[mm]	[mm]		
62,5%	FRQ	56 396	7 281	-	0,19	2,13	0 E+00	0	0	0,000	0,400	-	SI
	QPR	57 037	7 233	-	0,18	2,13	0 E+00	0	0	0,000	0,300	-	SI
75,0%	FRQ	56 396	2 705	-	-0,07	2,13	0 E+00	0	0	0,000	0,400	-	SI
	QPR	57 037	2 546	-	-0,08	2,13	0 E+00	0	0	0,000	0,300	-	SI
87,5%	FRQ	57 606	-5 183	-	0,06	2,13	0 E+00	0	0	0,000	0,400	-	SI
	QPR	57 037	-4 890	-	0,05	2,13	0 E+00	0	0	0,000	0,300	-	SI
100%	FRQ	57 606	-16 165	-	0,60	2,13	0 E+00	0	0	0,000	0,400	-	SI
	QPR	57 037	-15 714	-	0,58	2,13	0 E+00	0	0	0,000	0,300	-	SI
Trave: Trave 9-21								AA= PCA					
0%	FRQ	18 108	-16 019	-	0,74	2,13	0 E+00	0	0	0,000	0,400	-	SI
	QPR	17 988	-15 562	-	0,72	2,13	0 E+00	0	0	0,000	0,300	-	SI
12,5%	FRQ	18 108	-8 104	-	0,38	2,13	0 E+00	0	0	0,000	0,400	-	SI
	QPR	17 988	-7 846	-	0,37	2,13	0 E+00	0	0	0,000	0,300	-	SI
25,0%	FRQ	18 649	-2 008	-	0,04	2,13	0 E+00	0	0	0,000	0,400	-	SI
	QPR	17 988	-1 836	-	0,03	2,13	0 E+00	0	0	0,000	0,300	-	SI
37,5%	FRQ	17 207	2 586	-	0,08	2,13	0 E+00	0	0	0,000	0,400	-	SI
	QPR	17 988	2 527	-	0,07	2,13	0 E+00	0	0	0,000	0,300	-	SI
50,0%	FRQ	18 108	5 410	-	0,23	2,13	0 E+00	0	0	0,000	0,400	-	SI
	QPR	17 988	5 314	-	0,23	2,13	0 E+00	0	0	0,000	0,300	-	SI
62,5%	FRQ	18 108	6 730	-	0,30	2,13	0 E+00	0	0	0,000	0,400	-	SI
	QPR	17 988	6 586	-	0,30	2,13	0 E+00	0	0	0,000	0,300	-	SI
75,0%	FRQ	18 649	6 625	-	0,30	2,13	0 E+00	0	0	0,000	0,400	-	SI
	QPR	17 988	6 359	-	0,28	2,13	0 E+00	0	0	0,000	0,300	-	SI
87,5%	FRQ	18 649	4 962	-	0,20	2,13	0 E+00	0	0	0,000	0,400	-	SI
	QPR	17 988	4 596	-	0,19	2,13	0 E+00	0	0	0,000	0,300	-	SI
100%	FRQ	18 649	1 676	-	0,02	2,13	0 E+00	0	0	0,000	0,400	-	SI
	QPR	17 988	1 217	-	0,00	2,13	0 E+00	0	0	0,000	0,300	-	SI
Fondazione								Travata: Trave 4-10-22					
Trave: Trave 4-10								AA= PCA					
0%	FRQ	53 837	-3 394	-	-0,02	2,13	0 E+00	0	0	0,000	0,400	-	SI
	QPR	54 457	-2 924	-	-0,05	2,13	0 E+00	0	0	0,000	0,300	-	SI
12,5%	FRQ	54 997	4 783	-	0,05	2,13	0 E+00	0	0	0,000	0,400	-	SI
	QPR	54 457	4 446	-	0,04	2,13	0 E+00	0	0	0,000	0,300	-	SI
25,0%	FRQ	54 997	8 616	-	0,27	2,13	0 E+00	0	0	0,000	0,400	-	SI
	QPR	54 457	8 384	-	0,26	2,13	0 E+00	0	0	0,000	0,300	-	SI
37,5%	FRQ	55 528	10 001	-	0,34	2,13	0 E+00	0	0	0,000	0,400	-	SI
	QPR	54 457	9 787	-	0,33	2,13	0 E+00	0	0	0,000	0,300	-	SI
50,0%	FRQ	55 528	9 400	-	0,31	2,13	0 E+00	0	0	0,000	0,400	-	SI
	QPR	54 457	9 207	-	0,30	2,13	0 E+00	0	0	0,000	0,300	-	SI
62,5%	FRQ	53 837	6 844	-	0,17	2,13	0 E+00	0	0	0,000	0,400	-	SI
	QPR	54 457	6 798	-	0,17	2,13	0 E+00	0	0	0,000	0,300	-	SI
75,0%	FRQ	53 837	2 474	-	-0,07	2,13	0 E+00	0	0	0,000	0,400	-	SI
	QPR	54 457	2 321	-	-0,08	2,13	0 E+00	0	0	0,000	0,300	-	SI
87,5%	FRQ	54 997	-5 016	-	0,07	2,13	0 E+00	0	0	0,000	0,400	-	SI
	QPR	54 457	-4 738	-	0,05	2,13	0 E+00	0	0	0,000	0,300	-	SI
100%	FRQ	54 997	-15 403	-	0,57	2,13	0 E+00	0	0	0,000	0,400	-	SI
	QPR	54 457	-14 975	-	0,55	2,13	0 E+00	0	0	0,000	0,300	-	SI
Trave: Trave 10-22								AA= PCA					
0%	FRQ	18 014	-14 435	-	0,66	2,13	0 E+00	0	0	0,000	0,400	-	SI
	QPR	17 896	-14 022	-	0,64	2,13	0 E+00	0	0	0,000	0,300	-	SI
12,5%	FRQ	18 524	-7 200	-	0,33	2,13	0 E+00	0	0	0,000	0,400	-	SI
	QPR	17 896	-6 924	-	0,32	2,13	0 E+00	0	0	0,000	0,300	-	SI
25,0%	FRQ	18 524	-1 580	-	0,02	2,13	0 E+00	0	0	0,000	0,400	-	SI
	QPR	17 896	-1 416	-	0,01	2,13	0 E+00	0	0	0,000	0,300	-	SI
37,5%	FRQ	17 155	2 613	-	0,08	2,13	0 E+00	0	0	0,000	0,400	-	SI
	QPR	17 896	2 557	-	0,07	2,13	0 E+00	0	0	0,000	0,300	-	SI
50,0%	FRQ	18 014	5 146	-	0,22	2,13	0 E+00	0	0	0,000	0,400	-	SI
	QPR	17 896	5 057	-	0,21	2,13	0 E+00	0	0	0,000	0,300	-	SI
62,5%	FRQ	18 014	6 265	-	0,28	2,13	0 E+00	0	0	0,000	0,400	-	SI
	QPR	17 896	6 133	-	0,27	2,13	0 E+00	0	0	0,000	0,300	-	SI
75,0%	FRQ	18 524	6 051	-	0,27	2,13	0 E+00	0	0	0,000	0,400	-	SI
	QPR	17 896	5 798	-	0,25	2,13	0 E+00	0	0	0,000	0,300	-	SI
87,5%	FRQ	18 524	4 359	-	0,17	2,13	0 E+00	0	0	0,000	0,400	-	SI
	QPR	17 896	4 010	-	0,15	2,13	0 E+00	0	0	0,000	0,300	-	SI
100%	FRQ	18 524	1 126	-	-0,01	2,13	0 E+00	0	0	0,000	0,400	-	SI
	QPR	17 896	688	-	-0,03	2,13	0 E+00	0	0	0,000	0,300	-	SI
Fondazione								Travata: Trave 5-11-23					
Trave: Trave 5-11								AA= PCA					
0%	FRQ	47 844	-3 116	-	-0,01	2,13	0 E+00	0	0	0,000	0,400	-	SI
	QPR	48 420	-2 697	-	-0,04	2,13	0 E+00	0	0	0,000	0,300	-	SI
12,5%	FRQ	48 908	4 278	-	0,05	2,13	0 E+00	0	0	0,000	0,400	-	SI
	QPR	48 420	3 984	-	0,03	2,13	0 E+00	0	0	0,000	0,300	-	SI
25,0%	FRQ	48 908	7 853	-	0,25	2,13	0 E+00	0	0	0,000	0,400	-	SI
	QPR	48 420	7 649	-	0,24	2,13	0 E+00	0	0	0,000	0,300	-	SI
37,5%	FRQ	49 334	9 196	-	0,32	2,13	0 E+00	0	0	0,000	0,400	-	SI
	QPR	48 420	9 002	-	0,31	2,13	0 E+00	0	0	0,000	0,300	-	SI
50,0%	FRQ	49 334	8 638	-	0,29	2,13	0 E+00	0	0	0,000	0,400	-	SI
	QPR	48 420	8 465	-	0,28	2,13	0 E+00	0	0	0,000	0,300	-	SI
62,5%	FRQ	47 844	6 209	-	0,16	2,13	0 E+00	0	0	0,000	0,400	-	SI
	QPR	48 420	6 167	-	0,16	2,13	0 E+00	0	0	0,000	0,300	-	SI
75,0%	FRQ	47 844	2 065	-	-0,07	2,13	0 E+00	0	0	0,000	0,400	-	SI
	QPR	48 420	1 927	-	-0,08	2,13	0 E+00	0	0	0,000	0,300	-	SI
87,5%	FRQ	48 908	-4 879	-	0,08	2,13	0 E+00	0	0	0,000	0,400	-	SI
	QPR	48 420	-4 640	-	0,07	2,13	0 E+00	0	0	0,000	0,300	-	SI

Travi - verifica allo stato limite di fessurazione

%LLI	IdCmb	NEd	MEd,3	MEd,2	$\sigma_{ct,f}$	σ_t	ϵ_{sm}	Ae	Δ_{sm}	Wd	Wamm	CS	Verificato
[%]		[N]	[N-m]	[N-m]	[N/mm ²]	[N/mm ²]		[cm ²]	[mm]	[mm]	[mm]		
Trave: Trave 11-23													
100%	FRQ	48 908	-14 335	-	0,54	2,13	0 E+00	0	0	0,000	0,400	-	SI
	QPR	48 420	-13 973	-	0,53	2,13	0 E+00	0	0	0,000	0,300	-	SI
0%	FRQ	23 268	-13 024	-	0,57	2,13	0 E+00	0	0	0,000	0,400	-	SI
	QPR	23 006	-12 655	-	0,55	2,13	0 E+00	0	0	0,000	0,300	-	SI
12,5%	FRQ	23 547	-5 973	-	0,24	2,13	0 E+00	0	0	0,000	0,400	-	SI
	QPR	23 006	-5 728	-	0,23	2,13	0 E+00	0	0	0,000	0,300	-	SI
25,0%	FRQ	23 547	-591	-	-0,06	2,13	0 E+00	0	0	0,000	0,400	-	SI
	QPR	23 006	-445	-	-0,06	2,13	0 E+00	0	0	0,000	0,300	-	SI
37,5%	FRQ	22 368	3 317	-	0,10	2,13	0 E+00	0	0	0,000	0,400	-	SI
	QPR	23 006	3 268	-	0,09	2,13	0 E+00	0	0	0,000	0,300	-	SI
50,0%	FRQ	23 268	5 585	-	0,22	2,13	0 E+00	0	0	0,000	0,400	-	SI
	QPR	23 006	5 486	-	0,22	2,13	0 E+00	0	0	0,000	0,300	-	SI
62,5%	FRQ	23 268	6 389	-	0,27	2,13	0 E+00	0	0	0,000	0,400	-	SI
	QPR	23 006	6 256	-	0,26	2,13	0 E+00	0	0	0,000	0,300	-	SI
75,0%	FRQ	23 547	5 798	-	0,23	2,13	0 E+00	0	0	0,000	0,400	-	SI
	QPR	23 006	5 576	-	0,22	2,13	0 E+00	0	0	0,000	0,300	-	SI
87,5%	FRQ	23 547	3 684	-	0,11	2,13	0 E+00	0	0	0,000	0,400	-	SI
	QPR	23 006	3 375	-	0,10	2,13	0 E+00	0	0	0,000	0,300	-	SI
100,0%	FRQ	22 368	-888	-	-0,04	2,13	0 E+00	0	0	0,000	0,400	-	SI
	QPR	23 006	-470	-	-0,06	2,13	0 E+00	0	0	0,000	0,300	-	SI
Fondazione								Travata: Trave 6-12-24					
Trave: Trave 6-12								AA= PCA					
0%	FRQ	41 763	-3 797	-	0,05	2,13	0 E+00	0	0	0,000	0,400	-	SI
	QPR	42 232	-3 514	-	0,03	2,13	0 E+00	0	0	0,000	0,300	-	SI
12,5%	FRQ	42 664	2 952	-	0,00	2,13	0 E+00	0	0	0,000	0,400	-	SI
	QPR	42 232	2 734	-	-0,01	2,13	0 E+00	0	0	0,000	0,300	-	SI
25,0%	FRQ	42 664	6 386	-	0,19	2,13	0 E+00	0	0	0,000	0,400	-	SI
	QPR	42 232	6 217	-	0,18	2,13	0 E+00	0	0	0,000	0,300	-	SI
37,5%	FRQ	43 064	7 755	-	0,26	2,13	0 E+00	0	0	0,000	0,400	-	SI
	QPR	42 232	7 589	-	0,26	2,13	0 E+00	0	0	0,000	0,300	-	SI
50,0%	FRQ	43 064	7 439	-	0,25	2,13	0 E+00	0	0	0,000	0,400	-	SI
	QPR	42 232	7 284	-	0,24	2,13	0 E+00	0	0	0,000	0,300	-	SI
62,5%	FRQ	41 767	5 498	-	0,14	2,13	0 E+00	0	0	0,000	0,400	-	SI
	QPR	42 232	5 476	-	0,14	2,13	0 E+00	0	0	0,000	0,300	-	SI
75,0%	FRQ	41 767	2 183	-	-0,04	2,13	0 E+00	0	0	0,000	0,400	-	SI
	QPR	42 232	2 082	-	-0,05	2,13	0 E+00	0	0	0,000	0,300	-	SI
87,5%	FRQ	42 659	-3 362	-	0,02	2,13	0 E+00	0	0	0,000	0,400	-	SI
	QPR	42 232	-3 169	-	0,01	2,13	0 E+00	0	0	0,000	0,300	-	SI
100%	FRQ	42 659	-10 921	-	0,39	2,13	0 E+00	0	0	0,000	0,400	-	SI
	QPR	42 232	-10 615	-	0,38	2,13	0 E+00	0	0	0,000	0,300	-	SI
Trave: Trave 12-24								AA= PCA					
0%	FRQ	23 019	-9 572	-	0,40	2,13	0 E+00	0	0	0,000	0,400	-	SI
	QPR	22 674	-9 317	-	0,39	2,13	0 E+00	0	0	0,000	0,300	-	SI
12,5%	FRQ	23 232	-3 997	-	0,13	2,13	0 E+00	0	0	0,000	0,400	-	SI
	QPR	22 674	-3 837	-	0,13	2,13	0 E+00	0	0	0,000	0,300	-	SI
25,0%	FRQ	22 059	410	-	-0,06	2,13	0 E+00	0	0	0,000	0,400	-	SI
	QPR	22 674	325	-	-0,07	2,13	0 E+00	0	0	0,000	0,300	-	SI
37,5%	FRQ	22 059	3 225	-	0,09	2,13	0 E+00	0	0	0,000	0,400	-	SI
	QPR	22 674	3 212	-	0,09	2,13	0 E+00	0	0	0,000	0,300	-	SI
50,0%	FRQ	23 019	4 961	-	0,19	2,13	0 E+00	0	0	0,000	0,400	-	SI
	QPR	22 674	4 865	-	0,18	2,13	0 E+00	0	0	0,000	0,300	-	SI
62,5%	FRQ	23 019	5 407	-	0,21	2,13	0 E+00	0	0	0,000	0,400	-	SI
	QPR	22 674	5 294	-	0,21	2,13	0 E+00	0	0	0,000	0,300	-	SI
75,0%	FRQ	23 235	4 623	-	0,17	2,13	0 E+00	0	0	0,000	0,400	-	SI
	QPR	22 674	4 455	-	0,16	2,13	0 E+00	0	0	0,000	0,300	-	SI
87,5%	FRQ	23 235	2 473	-	0,05	2,13	0 E+00	0	0	0,000	0,400	-	SI
	QPR	22 674	2 263	-	0,04	2,13	0 E+00	0	0	0,000	0,300	-	SI
100%	FRQ	22 056	-1 678	-	0,01	2,13	0 E+00	0	0	0,000	0,400	-	SI
	QPR	22 674	-1 417	-	-0,01	2,13	0 E+00	0	0	0,000	0,300	-	SI
Fondazione								Travata: Trave 13-16					
Trave: Trave 13-16								AA= PCA					
0%	FRQ	13 786	-1 681	-	0,08	2,13	0 E+00	0	0	0,000	0,400	-	SI
	QPR	13 565	-1 661	-	0,08	2,13	0 E+00	0	0	0,000	0,300	-	SI
12,5%	FRQ	13 565	29	-	-0,10	2,13	0 E+00	0	0	0,000	0,400	-	SI
	QPR	13 565	29	-	-0,10	2,13	0 E+00	0	0	0,000	0,300	-	SI
25,0%	FRQ	13 786	1 242	-	0,03	2,13	0 E+00	0	0	0,000	0,400	-	SI
	QPR	13 565	1 223	-	0,03	2,13	0 E+00	0	0	0,000	0,300	-	SI
37,5%	FRQ	13 786	1 957	-	0,11	2,13	0 E+00	0	0	0,000	0,400	-	SI
	QPR	13 565	1 928	-	0,11	2,13	0 E+00	0	0	0,000	0,300	-	SI
50,0%	FRQ	13 786	2 193	-	0,13	2,13	0 E+00	0	0	0,000	0,400	-	SI
	QPR	13 565	2 161	-	0,13	2,13	0 E+00	0	0	0,000	0,300	-	SI
62,5%	FRQ	13 786	1 963	-	0,11	2,13	0 E+00	0	0	0,000	0,400	-	SI
	QPR	13 565	1 934	-	0,11	2,13	0 E+00	0	0	0,000	0,300	-	SI
75,0%	FRQ	13 786	1 252	-	0,03	2,13	0 E+00	0	0	0,000	0,400	-	SI
	QPR	13 565	1 233	-	0,03	2,13	0 E+00	0	0	0,000	0,300	-	SI
87,5%	FRQ	13 565	50	-	-0,10	2,13	0 E+00	0	0	0,000	0,400	-	SI
	QPR	13 565	50	-	-0,10	2,13	0 E+00	0	0	0,000	0,300	-	SI
100,0%	FRQ	13 786	-1 656	-	0,07	2,13	0 E+00	0	0	0,000	0,400	-	SI
	QPR	13 565	-1 637	-	0,07	2,13	0 E+00	0	0	0,000	0,300	-	SI
Fondazione								Travata: Trave 14-17					
Trave: Trave 14-17								AA= PCA					
0%	FRQ	12 346	-1 737	-	0,09	2,13	0 E+00	0	0	0,000	0,400	-	SI
	QPR	12 124	-1 715	-	0,09	2,13	0 E+00	0	0	0,000	0,300	-	SI

%L _{LI}	Id _{cmb}	N _{Ed}	M _{Ed,3}	M _{Ed,2}	σ _{ct,f}	σ _t	ε _{sm}	A _e	Δ _{sm}	W _d	W _{amm}	CS	Verificato
[%]		[N]	[N·m]	[N·m]	[N/mm ²]	[N/mm ²]		[cm ²]	[mm]	[mm]	[mm]		
12,5%	FRQ	12 124	-38	-	-0,09	2,13	0 E+00	0	0	0,000	0,400	-	SI
	QPR	12 124	-38	-	-0,09	2,13	0 E+00	0	0	0,000	0,300	-	SI
25,0%	FRQ	12 346	1 159	-	0,03	2,13	0 E+00	0	0	0,000	0,400	-	SI
	QPR	12 124	1 139	-	0,03	2,13	0 E+00	0	0	0,000	0,300	-	SI
37,5%	FRQ	12 346	1 866	-	0,11	2,13	0 E+00	0	0	0,000	0,400	-	SI
	QPR	12 124	1 836	-	0,11	2,13	0 E+00	0	0	0,000	0,300	-	SI
50,0%	FRQ	12 346	2 096	-	0,13	2,13	0 E+00	0	0	0,000	0,400	-	SI
	QPR	12 124	2 063	-	0,13	2,13	0 E+00	0	0	0,000	0,300	-	SI
62,5%	FRQ	12 346	1 857	-	0,11	2,13	0 E+00	0	0	0,000	0,400	-	SI
	QPR	12 124	1 827	-	0,11	2,13	0 E+00	0	0	0,000	0,300	-	SI
75,0%	FRQ	12 346	1 140	-	0,03	2,13	0 E+00	0	0	0,000	0,400	-	SI
	QPR	12 124	1 121	-	0,03	2,13	0 E+00	0	0	0,000	0,300	-	SI
87,5%	FRQ	12 124	-67	-	-0,09	2,13	0 E+00	0	0	0,000	0,400	-	SI
	QPR	12 124	-67	-	-0,09	2,13	0 E+00	0	0	0,000	0,300	-	SI
100,0%	FRQ	12 346	-1 776	-	0,10	2,13	0 E+00	0	0	0,000	0,400	-	SI
	QPR	12 124	-1 754	-	0,10	2,13	0 E+00	0	0	0,000	0,300	-	SI
Fondazione								Travata: Trave 15-18					
Trave: Trave 15-18								AA= PCA					
0%	FRQ	13 992	-1 685	-	0,08	2,13	0 E+00	0	0	0,000	0,400	-	SI
	QPR	13 764	-1 665	-	0,08	2,13	0 E+00	0	0	0,000	0,300	-	SI
12,5%	FRQ	13 764	43	-	-0,10	2,13	0 E+00	0	0	0,000	0,400	-	SI
	QPR	13 764	43	-	-0,10	2,13	0 E+00	0	0	0,000	0,300	-	SI
25,0%	FRQ	13 992	1 267	-	0,03	2,13	0 E+00	0	0	0,000	0,400	-	SI
	QPR	13 764	1 247	-	0,03	2,13	0 E+00	0	0	0,000	0,300	-	SI
37,5%	FRQ	13 992	1 985	-	0,11	2,13	0 E+00	0	0	0,000	0,400	-	SI
	QPR	13 764	1 955	-	0,11	2,13	0 E+00	0	0	0,000	0,300	-	SI
50,0%	FRQ	13 992	2 225	-	0,14	2,13	0 E+00	0	0	0,000	0,400	-	SI
	QPR	13 764	2 192	-	0,13	2,13	0 E+00	0	0	0,000	0,300	-	SI
62,5%	FRQ	13 992	1 986	-	0,11	2,13	0 E+00	0	0	0,000	0,400	-	SI
	QPR	13 764	1 956	-	0,11	2,13	0 E+00	0	0	0,000	0,300	-	SI
75,0%	FRQ	13 992	1 265	-	0,03	2,13	0 E+00	0	0	0,000	0,400	-	SI
	QPR	13 764	1 245	-	0,03	2,13	0 E+00	0	0	0,000	0,300	-	SI
87,5%	FRQ	13 764	45	-	-0,10	2,13	0 E+00	0	0	0,000	0,400	-	SI
	QPR	13 764	45	-	-0,10	2,13	0 E+00	0	0	0,000	0,300	-	SI
100,0%	FRQ	13 992	-1 685	-	0,08	2,13	0 E+00	0	0	0,000	0,400	-	SI
	QPR	13 764	-1 665	-	0,08	2,13	0 E+00	0	0	0,000	0,300	-	SI

LEGENDA:

%L_{LI} Posizione della sezione per la quale vengono forniti i valori di verifica, valutata come % della lunghezza libera d'inflessione (L_{LI}), a partire dall'estremo iniziale.
FRC Spostamento massimo (freccia) dell'elemento, valutata in combinazione Caratteristica (RARA).
AA Identificativo dell'aggressività dell'ambiente: [PCA] = "Ordinario"; [MDA] = "Aggressivo"; [MLA] = "Molto aggressivo".
Id_{cmb} Identificativo della Combinazione di Azione: [QPR] = Quasi Permanente - [FRQ] = Frequente - [RAR] = Rara.
N_{Ed}, M_{Ed,3}, M_{Ed,2} Sollecitazioni di progetto.
σ_{ct,f} Tensione massima di trazione nel calcestruzzo per la fessurazione, calcolata nell'ipotesi di calcestruzzo resistente a trazione. Se tale valore è maggiore di σ_t la sezione è soggetta a fessurazione.
σ_t N.B. I valori negativi indicano una sezione interamente compressa. In tal caso le sollecitazioni forniscono il minimo valore di compressione. Tensione massima di trazione nel calcestruzzo relativa allo stato limite di formazione delle fessure [relazione (4.1.13) del § 4.1.2.2.4 del DM 2018].
ε_{sm} Deformazione unitaria media delle barre di armatura.
A_e Area efficace del calcestruzzo teso.
Δ_{sm} Distanza media tra le fessure.
W_d Valore di calcolo di apertura massima delle fessure.
W_{amm} Valore ammissibile di apertura delle fessure.
CS Coefficiente di Sicurezza (=W_d / W_{amm}). [NS] = Non Significativo (CS ≥ 100). [-] = Fessurazioni nulle (W_d = 0).
Verificato [SI] = W_d ≤ W_{amm}; [NO] = W_d > W_{amm}

VERIFICHE CARICO LIMITE FONDAZIONI DIRETTE ALLO SLU (Fondazione)

Verifiche Carico Limite fondazioni dirette allo SLU																	
Id _{Fnd}	CS	L _x	L _y	R _{tz}	Z _{p.cmp}	Z _{Fid}	Cmp T	C. Terzaghi							Q _{Ed}	Q _{Rd}	R _f
								per N _q	per N _c	per N _r	N _q	N _c	N _r	N _r			
		[m]	[m]	[°]	[m]	[m]								[N/mm ²]	[N/mm ²]		
Trave 23-24	18,07	3,73	0,90	0,00	0,55	-	NON Coesivo	1,35	1,28	0,89	1,00	5,14	0,00	0,032	0,575	NO	
Trave 19-20	16,99	4,30	0,90	0,00	0,55	-	NON Coesivo	1,32	1,27	0,90	1,00	5,14	0,00	0,034	0,571	NO	
Trave 21-22	18,79	4,39	0,90	0,00	0,55	-	NON Coesivo	1,31	1,26	0,91	1,00	5,14	0,00	0,030	0,570	NO	
Trave 22-23	19,73	4,71	0,90	0,00	0,55	-	NON Coesivo	1,30	1,26	0,92	1,00	5,14	0,00	0,029	0,568	NO	
Trave 20-21	18,65	5,39	0,90	0,00	0,55	-	NON Coesivo	1,29	1,25	0,92	1,00	5,14	0,00	0,030	0,566	NO	
Trave 12-24	15,64	3,00	0,90	0,00	0,55	-	NON Coesivo	1,40	1,29	0,87	1,00	5,14	0,00	0,037	0,582	NO	
Trave 6-12	17,16	4,00	0,90	0,00	0,55	-	NON Coesivo	1,33	1,27	0,90	1,00	5,14	0,00	0,033	0,572	NO	
Trave 5-6	15,65	3,62	0,90	0,00	0,55	-	NON Coesivo	1,35	1,27	0,89	1,00	5,14	0,00	0,037	0,575	NO	
Trave 1-2	16,78	4,30	0,90	0,00	0,55	-	NON Coesivo	1,32	1,26	0,90	1,00	5,14	0,00	0,034	0,570	NO	
Trave 3-4	15,95	4,39	0,90	0,00	0,55	-	NON Coesivo	1,31	1,26	0,91	1,00	5,14	0,00	0,036	0,568	NO	
Trave 4-5	17,06	4,83	0,90	0,00	0,55	-	NON Coesivo	1,30	1,26	0,91	1,00	5,14	0,00	0,033	0,566	NO	
Trave 2-3	17,33	5,39	0,90	0,00	0,55	-	NON Coesivo	1,29	1,25	0,92	1,00	5,14	0,00	0,033	0,564	NO	

Verifiche Carico Limite fondazioni dirette allo SLU

Id _{Fnd}	CS	L _X	L _Y	Rtz	Z _{P.cmp}	Z _{Fid}	Cmp T	C. Terzaghi						Q _{Ed}	Q _{Rd}	R _f
								per N _q	per N _c	per N _r	N _q	N _c	N _r			
Trave 7-19	15,46	3,44	0,90	0,00	0,55	-	Coesivo NON	1,36	1,28	0,88	1,00	5,14	0,00	0,037	0,576	NO
Trave 1-7	15,61	3,55	0,90	0,00	0,55	-	Coesivo NON	1,36	1,28	0,89	1,00	5,14	0,00	0,037	0,575	NO
Trave 8-20	16,93	3,44	0,90	0,00	0,55	-	Coesivo NON	1,38	1,29	0,88	1,00	5,14	0,00	0,034	0,581	NO
Trave 2-8	17,04	3,55	0,90	0,00	0,55	-	Coesivo NON	1,37	1,29	0,89	1,00	5,14	0,00	0,034	0,580	NO
Trave 9-21	14,85	2,83	0,90	0,00	0,55	-	Coesivo NON	1,44	1,31	0,85	1,00	5,14	0,00	0,040	0,590	NO
Trave 3-9	18,29	4,16	0,90	0,00	0,55	-	Coesivo NON	1,34	1,28	0,91	1,00	5,14	0,00	0,031	0,576	NO
Trave 10-22	15,71	2,83	0,90	0,00	0,55	-	Coesivo NON	1,44	1,31	0,85	1,00	5,14	0,00	0,038	0,590	NO
Trave 4-10	19,16	4,16	0,90	0,00	0,55	-	Coesivo NON	1,34	1,28	0,91	1,00	5,14	0,00	0,030	0,576	NO
Trave 11-23	17,06	3,00	0,90	0,00	0,55	-	Coesivo NON	1,42	1,30	0,86	1,00	5,14	0,00	0,034	0,587	NO
Trave 5-11	19,66	4,00	0,90	0,00	0,55	-	Coesivo NON	1,35	1,28	0,90	1,00	5,14	0,00	0,029	0,576	NO
Trave 7-8	19,14	4,30	0,90	0,00	0,55	-	Coesivo NON	1,34	1,28	0,91	1,00	5,14	0,00	0,030	0,576	NO
Trave 8-9	22,27	5,43	0,90	0,00	0,55	-	Coesivo NON	1,29	1,26	0,93	1,00	5,14	0,00	0,026	0,568	NO
Trave 9-10	19,39	4,39	0,90	0,00	0,55	-	Coesivo NON	1,32	1,27	0,91	1,00	5,14	0,00	0,030	0,572	NO
Trave 11-10	21,34	4,77	0,90	0,00	0,55	-	Coesivo NON	1,31	1,27	0,92	1,00	5,14	0,00	0,027	0,571	NO
Trave 11-12	18,42	3,69	0,90	0,00	0,55	-	Coesivo NON	1,37	1,29	0,89	1,00	5,14	0,00	0,031	0,580	NO
Trave 17-18	25,34	2,90	0,60	0,00	0,55	-	Coesivo NON	1,42	1,39	0,91	1,00	5,14	0,00	0,025	0,625	NO
Trave 16-17	24,64	2,76	0,60	0,00	0,55	-	Coesivo NON	1,43	1,39	0,91	1,00	5,14	0,00	0,025	0,626	NO
Trave 15-18	23,70	2,21	0,60	0,00	0,55	-	Coesivo NON	1,46	1,40	0,89	1,00	5,14	0,00	0,027	0,630	NO
Trave 14-15	25,40	2,90	0,60	0,00	0,55	-	Coesivo NON	1,42	1,39	0,91	1,00	5,14	0,00	0,025	0,625	NO
Trave 13-14	24,70	2,76	0,60	0,00	0,55	-	Coesivo NON	1,43	1,39	0,91	1,00	5,14	0,00	0,025	0,626	NO
Trave 13-16	24,24	2,20	0,60	0,00	0,55	-	Coesivo NON	1,46	1,40	0,89	1,00	5,14	0,00	0,026	0,631	NO
Trave 14-17	24,02	2,21	0,60	0,00	0,55	-	Coesivo NON	1,47	1,40	0,89	1,00	5,14	0,00	0,026	0,632	NO

LEGENDA:

- Id_{Fnd}** Descrizione dell'oggetto di fondazione al quale è riferita la verifica.
CS Coefficiente di sicurezza ([NS] = Non Significativo se CS ≥ 100; [VNR]= Verifica Non Richiesta; Informazioni aggiuntive sulla condizione: [V] = statica; [E] = eccezionale; [S] = sismica; [N] = sismica non lineare).
L_{X/Y} Dimensioni dell'elemento di fondazione.
Rtz Angolo compreso tra l'asse X e il lato più lungo del minimo rettangolo che delimita il poligono della platea.
Z_{P.cmp} Profondità di posa dell'elemento di fondazione dal piano campagna.
Z_{Fid} Profondità della falda dal piano campagna.
Cmp T Classificazione del comportamento del terreno ai fini del calcolo.
C. Coefficienti correttivi per la formula di Terzaghi.
Terzaghi
Q_{Ed} Carico di progetto sul terreno.
Q_{Rd} Resistenza di progetto del terreno.
R_f [SI] = elemento con presenza di rinforzo; [NO] = elemento senza rinforzo.

VERIFICHE CARICO LIMITE FONDAZIONI DIRETTE ALLO SLD (Fondazione)

Verifiche Carico Limite fondazioni dirette allo SLD

Id _{Fnd}	CS	L _X	L _Y	Rtz	Z _{P.cmp}	Z _{Fid}	Cmp T	C. Terzaghi						Q _{Ed}	Q _{Rd}	R _f
								per N _q	per N _c	per N _r	N _q	N _c	N _r			
Trave 23-24	32,22	3,73	0,90	0,00	0,55	-	NON	1,28	1,24	0,84	1,00	5,14	0,00	0,022	0,716	NO
Trave 19-20	30,49	4,30	0,90	0,00	0,55	-	Coesivo NON	1,26	1,23	0,85	1,00	5,14	0,00	0,023	0,711	NO
Trave 21-22	33,35	4,39	0,90	0,00	0,55	-	Coesivo NON	1,25	1,23	0,86	1,00	5,14	0,00	0,021	0,711	NO
Trave 22-23	34,79	4,71	0,90	0,00	0,55	-	Coesivo NON	1,24	1,23	0,87	1,00	5,14	0,00	0,020	0,709	NO
Trave 20-21	33,09	5,39	0,90	0,00	0,55	-	Coesivo NON	1,23	1,22	0,87	1,00	5,14	0,00	0,021	0,706	NO
Trave 12-24	28,71	3,00	0,90	0,00	0,55	-	Coesivo NON	1,32	1,26	0,82	1,00	5,14	0,00	0,025	0,724	NO
Trave 6-12	30,86	4,00	0,90	0,00	0,55	-	Coesivo NON	1,27	1,24	0,85	1,00	5,14	0,00	0,023	0,713	NO
Trave 5-6	28,38	3,62	0,90	0,00	0,55	-	Coesivo NON	1,29	1,24	0,84	1,00	5,14	0,00	0,025	0,716	NO
Trave 1-2	30,16	4,30	0,90	0,00	0,55	-	Coesivo NON	1,26	1,23	0,85	1,00	5,14	0,00	0,024	0,711	NO

Verifiche Carico Limite fondazioni dirette allo SLD

Id _{Fnd}	CS	L _x [m]	L _y [m]	R _{tz} [°]	Z _{p.cmp} [m]	Z _{Fid} [m]	Cmp T	C. Terzaghi				Q _{Ed} [N/mm ²]	Q _{Rd} [N/mm ²]	R _f		
								per N _q	per N _c	per N _r	N _q				N _c	N _r
Trave 3-4	28,79	4,39	0,90	0,00	0,55	-	NON Coesivo	1,25	1,23	0,86	1,00	5,14	0,00	0,025	0,708	NO
Trave 4-5	30,58	4,83	0,90	0,00	0,55	-	NON Coesivo	1,24	1,23	0,86	1,00	5,14	0,00	0,023	0,706	NO
Trave 2-3	30,99	5,39	0,90	0,00	0,55	-	NON Coesivo	1,23	1,22	0,87	1,00	5,14	0,00	0,023	0,704	NO
Trave 7-19	28,29	3,44	0,90	0,00	0,55	-	NON Coesivo	1,29	1,25	0,83	1,00	5,14	0,00	0,025	0,718	NO
Trave 1-7	28,52	3,55	0,90	0,00	0,55	-	NON Coesivo	1,29	1,24	0,84	1,00	5,14	0,00	0,025	0,717	NO
Trave 8-20	32,81	3,44	0,90	0,00	0,55	-	NON Coesivo	1,30	1,25	0,84	1,00	5,14	0,00	0,022	0,721	NO
Trave 2-8	32,98	3,55	0,90	0,00	0,55	-	NON Coesivo	1,30	1,25	0,84	1,00	5,14	0,00	0,022	0,720	NO
Trave 9-21	29,57	2,83	0,90	0,00	0,55	-	NON Coesivo	1,35	1,27	0,81	1,00	5,14	0,00	0,025	0,730	NO
Trave 3-9	34,91	4,16	0,90	0,00	0,55	-	NON Coesivo	1,27	1,24	0,85	1,00	5,14	0,00	0,020	0,715	NO
Trave 10-22	31,12	2,83	0,90	0,00	0,55	-	NON Coesivo	1,35	1,27	0,81	1,00	5,14	0,00	0,023	0,730	NO
Trave 4-10	36,43	4,16	0,90	0,00	0,55	-	NON Coesivo	1,27	1,24	0,85	1,00	5,14	0,00	0,020	0,715	NO
Trave 11-23	33,25	3,00	0,90	0,00	0,55	-	NON Coesivo	1,33	1,26	0,82	1,00	5,14	0,00	0,022	0,727	NO
Trave 5-11	37,28	4,00	0,90	0,00	0,55	-	NON Coesivo	1,27	1,24	0,85	1,00	5,14	0,00	0,019	0,716	NO
Trave 7-8	35,96	4,30	0,90	0,00	0,55	-	NON Coesivo	1,27	1,24	0,85	1,00	5,14	0,00	0,020	0,715	NO
Trave 8-9	41,12	5,43	0,90	0,00	0,55	-	NON Coesivo	1,23	1,23	0,88	1,00	5,14	0,00	0,017	0,707	NO
Trave 9-10	36,23	4,39	0,90	0,00	0,55	-	NON Coesivo	1,26	1,24	0,86	1,00	5,14	0,00	0,020	0,712	NO
Trave 11-10	39,56	4,77	0,90	0,00	0,55	-	NON Coesivo	1,24	1,23	0,87	1,00	5,14	0,00	0,018	0,710	NO
Trave 11-12	34,77	3,69	0,90	0,00	0,55	-	NON Coesivo	1,30	1,25	0,84	1,00	5,14	0,00	0,021	0,720	NO
Trave 17-18	44,81	2,90	0,60	0,00	0,55	-	NON Coesivo	1,35	1,35	0,86	1,00	5,14	0,00	0,017	0,777	NO
Trave 16-17	43,64	2,76	0,60	0,00	0,55	-	NON Coesivo	1,36	1,35	0,85	1,00	5,14	0,00	0,018	0,779	NO
Trave 15-18	41,52	2,21	0,60	0,00	0,55	-	NON Coesivo	1,39	1,36	0,84	1,00	5,14	0,00	0,019	0,784	NO
Trave 14-15	44,90	2,90	0,60	0,00	0,55	-	NON Coesivo	1,35	1,35	0,86	1,00	5,14	0,00	0,017	0,777	NO
Trave 13-14	43,74	2,76	0,60	0,00	0,55	-	NON Coesivo	1,36	1,35	0,85	1,00	5,14	0,00	0,018	0,779	NO
Trave 13-16	42,38	2,20	0,60	0,00	0,55	-	NON Coesivo	1,39	1,36	0,84	1,00	5,14	0,00	0,019	0,785	NO
Trave 14-17	42,92	2,21	0,60	0,00	0,55	-	NON Coesivo	1,39	1,36	0,84	1,00	5,14	0,00	0,018	0,786	NO

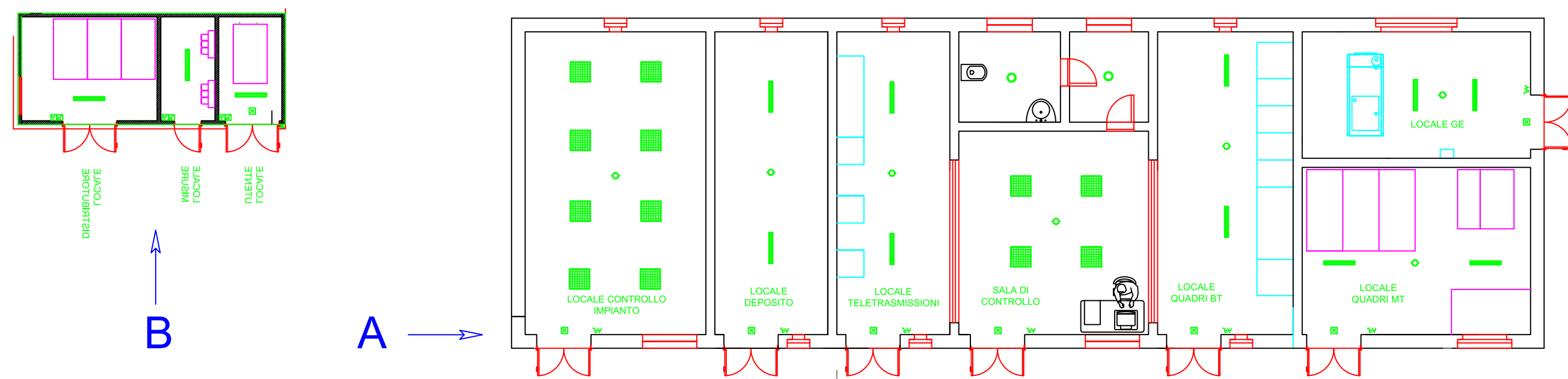
LEGENDA:

- Id_{Fnd}** Descrizione dell'oggetto di fondazione al quale è riferita la verifica.
- CS** Coefficiente di sicurezza ([NS] = Non Significativo se CS ≥ 100; [VNR]= Verifica Non Richiesta; Informazioni aggiuntive sulla condizione: [V] = statica; [E] = eccezionale; [S] = sismica; [N] = sismica non lineare).
- L_{x/y}** Dimensioni dell'elemento di fondazione.
- R_{tz}** Angolo compreso tra l'asse X e il lato più lungo del minimo rettangolo che delimita il poligono della platea.
- Z_{p.cmp}** Profondità di posa dell'elemento di fondazione dal piano campagna.
- Z_{Fid}** Profondità della falda dal piano campagna.
- Cmp T** Classificazione del comportamento del terreno ai fini del calcolo.
- C. Terzaghi** Coefficienti correttivi per la formula di Terzaghi.
- Q_{Ed}** Carico di progetto sul terreno.
- Q_{Rd}** Resistenza di progetto del terreno.
- R_f** [SI] = elemento con presenza di rinforzo; [NO] = elemento senza rinforzo.

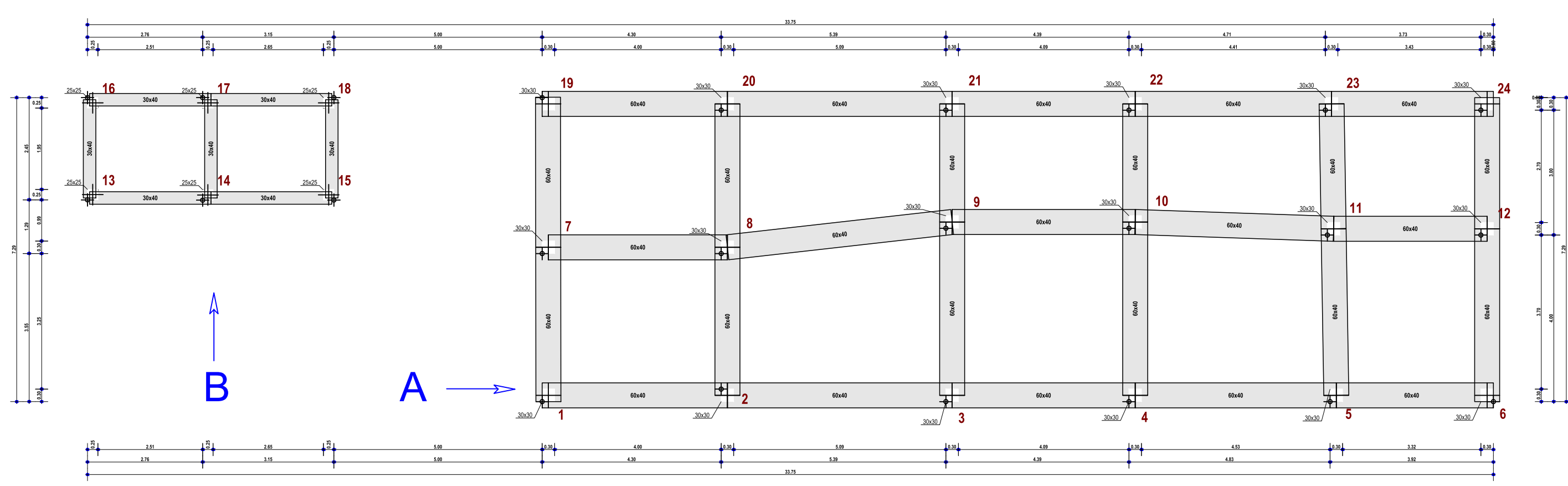
<u>INFORMAZIONI GENERALI</u>	pag.	2
<u>MATERIALI CALCESTRUZZO ARMATO</u>	pag.	2
<u>MATERIALI ACCIAIO</u>	pag.	2
<u>TENSIONI AMMISSIBILI ALLO SLE DEI VARI MATERIALI</u>	pag.	2
<u>TERRENI</u>	pag.	3
<u>SEZIONI ASTE</u>	pag.	3
<u>ANALISI CARICHI</u>	pag.	3
<u>TIPOLOGIE DI CARICO</u>	pag.	3
<u>SLU: Non Sismica - Strutturale senza azioni geotecniche</u>	pag.	4
<u>SLU: Sismica - Strutturale senza azioni geotecniche</u>	pag.	6
<u>COMBINAZIONI SISMICHE</u>	pag.	6
<u>SERVIZIO(SLE): Caratteristica(RARA)</u>	pag.	7
<u>SERVIZIO(SLE): Frequente</u>	pag.	7
<u>SERVIZIO(SLE): Quasi permanente</u>	pag.	8
<u>DATI GENERALI ANALISI SISMICA</u>	pag.	8
<u>DATI GENERALI ANALISI SISMICA - FATTORI DI COMPORTAMENTO</u>	pag.	8
.....	pag.	9
<u>PRINCIPALI ELEMENTI ANALISI SISMICA</u>	pag.	9
<u>RIEPILOGO MODI DI VIBRAZIONE</u>	pag.	9
<u>LIVELLI O PIANI</u>	pag.	11
<u>TRAVI IN ELEVAZIONE</u>	pag.	11
<u>TRAVI DI FONDAZIONE</u>	pag.	13
<u>PILASTRI</u>	pag.	14
<u>SOLAI E BALCONI</u>	pag.	15
<u>CARICHI SULLE TRAVI</u>	pag.	15
<u>CARICHI SUI PILASTRI</u>	pag.	24
<u>NODI - SPOSTAMENTI PER CONDIZIONI DI CARICO NON SISMICHE</u>	pag.	28
<u>NODI - SPOSTAMENTI PER EFFETTO DEL SISMA</u>	pag.	33
<u>PILASTRI - SOLLECITAZIONI PER CONDIZIONI DI CARICO NON SISMICHE</u>	pag.	36
<u>PILASTRI - SOLLECITAZIONI PER EFFETTO DEL SISMA</u>	pag.	39
<u>PILASTRI - SOLLECITAZIONI PER ECCENTRICITÀ ACCIDENTALE</u>	pag.	40
<u>NODI (CA) - VERIFICA DI CONFINAMENTO PARTE 1 (Elevazione)</u>	pag.	42
<u>NODI (CA) - VERIFICA DI CONFINAMENTO PARTE 2 (Elevazione)</u>	pag.	42
<u>TRAVI (CA) - VERIFICHE PRESSOFLESSIONE RETTA ALLO SLU (Elevazione)</u>	pag.	44
<u>TRAVI (CA) - VERIFICHE A TAGLIO PER PRESSOFLESSIONE RETTA ALLO SLU (Elevazione)</u>	pag.	48
<u>TRAVI (CA) - VERIFICHE A TORSIONE ALLO SLU (Elevazione)</u>	pag.	56
<u>TRAVI (CA) - VERIFICA COMPOSTA TAGLIO/TORSIONE ALLO SLU (Elevazione)</u>	pag.	59
<u>Travi - VERIFICHE DELLE TENSIONI DI ESERCIZIO (Elevazione)</u>	pag.	66
<u>Travi - VERIFICA ALLO STATO LIMITE DI FESSURAZIONE (Elevazione)</u>	pag.	71
<u>TRAVI (CA) - VERIFICA DI GERARCHIA DELLE RESISTENZE A TAGLIO (Elevazione)</u>	pag.	80
<u>PILASTRI (CA) - VERIFICHE PRESSOFLESSIONE DEVIATA ALLO SLU (Elevazione)</u>	pag.	81
<u>PILASTRI (CA) - VERIFICHE A TAGLIO PER PRESSOFLESSIONE DEVIATA ALLO SLU (Elevazione)</u>	pag.	82
<u>Pilastri - VERIFICHE DELLE TENSIONI DI ESERCIZIO (Elevazione)</u>	pag.	84
<u>Pilastri - VERIFICA ALLO STATO LIMITE DI FESSURAZIONE (Elevazione)</u>	pag.	85
<u>PILASTRI (CA) - VERIFICA DI GERARCHIA DELLE RESISTENZE A TAGLIO (Elevazione)</u>	pag.	87
<u>DETTAGLI COSTRUTTIVI PER LA DUTTILITÀ - PILASTRI IN PRESENZA DI SISMA (Elevazione)</u>	pag.	88
<u>PIANI - VERIFICHE REGOLARITÀ (Elevazione)</u>	pag.	89

EFFETTI DELLE NON LINEARITÀ GEOMETRICHE PER SISMA (Elevazione)	pag.	90
PIANI - VERIFICHE AGLI SPOSTAMENTI	pag.	90
PIANI - VERIFICHE ALLO SLE (Elevazione)	pag.	90
NODI (CA) - VERIFICA DI CONFINAMENTO PARTE 1 (Fondazione)	pag.	90
NODI (CA) - VERIFICA DI CONFINAMENTO PARTE 2 (Fondazione)	pag.	90
TRAVI (CA) - VERIFICHE PRESSOFLESSIONE RETTA ALLO SLU (Fondazione)	pag.	91
TRAVI (CA) - VERIFICHE A TAGLIO PER PRESSOFLESSIONE RETTA ALLO SLU (Fondazione)	pag.	95
TRAVI (CA) - VERIFICHE A TORSIONE ALLO SLU (Fondazione)	pag.	103
TRAVI (CA) - VERIFICA COMPOSTA TAGLIO/TORSIONE ALLO SLU (Fondazione)	pag.	105
Travi - VERIFICHE DELLE TENSIONI DI ESERCIZIO (Fondazione)	pag.	113
Travi - VERIFICA ALLO STATO LIMITE DI FESSURAZIONE (Fondazione)	pag.	118
VERIFICHE CARICO LIMITE FONDAZIONI DIRETTE ALLO SLU (Fondazione)	pag.	126
VERIFICHE CARICO LIMITE FONDAZIONI DIRETTE ALLO SLD (Fondazione)	pag.	127

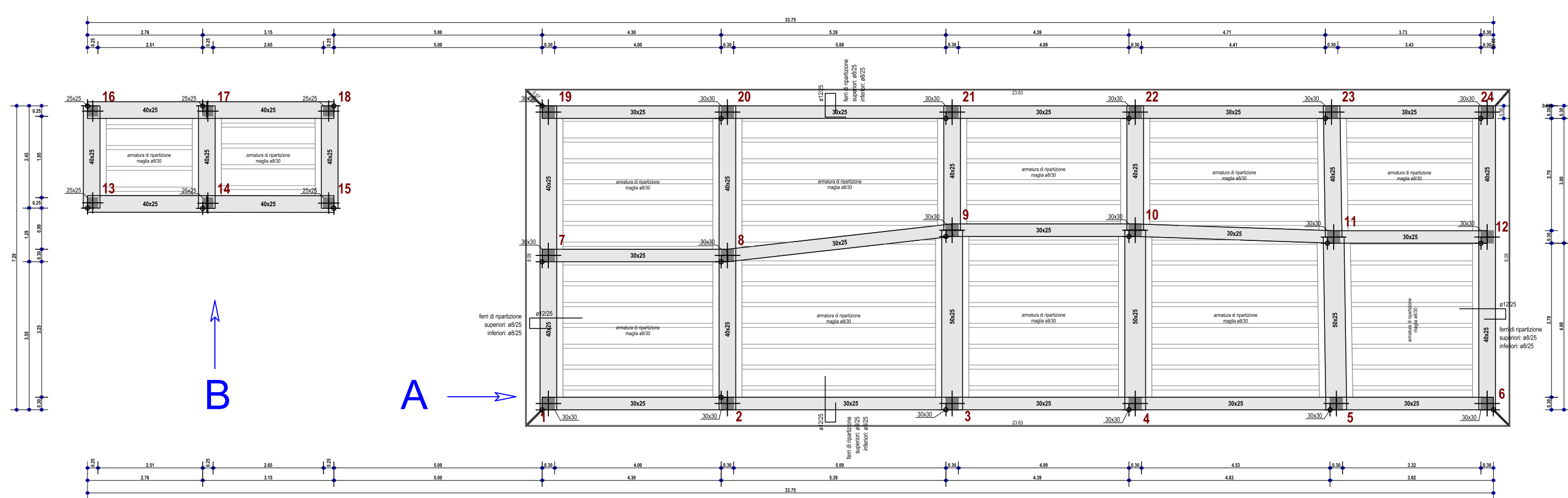
LOCALI SSEU: PLANIMETRIA



LOCALI SSEU: CARPENTERIA FONDAZIONE

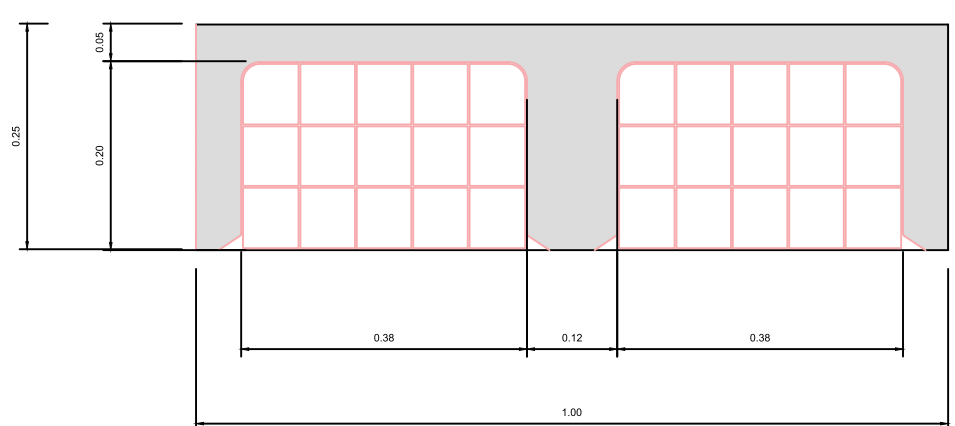


LOCALI SSEU: CARPENTERIA PIANO TERRA



PARTICOLARI STRUTTURALI

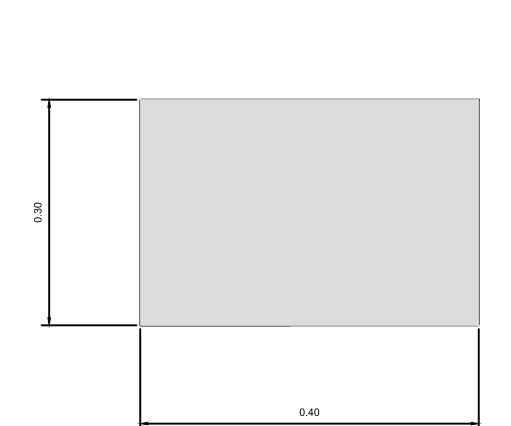
SOLAIO: SEZIONE TRASVERSALE



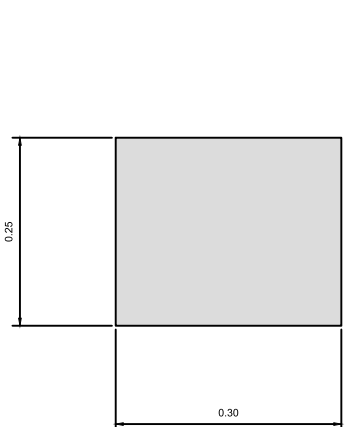
SEZIONE TRAVE DI FONDAZIONE: FABBR. A



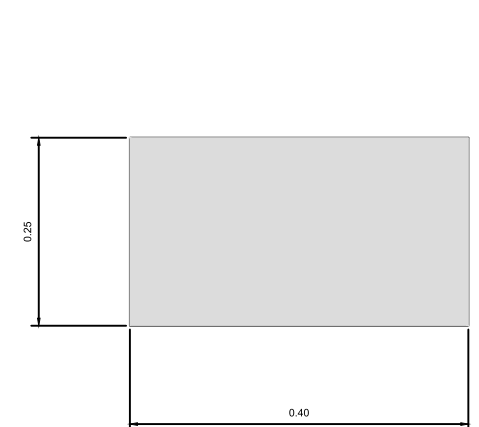
SEZIONE TRAVE DI FONDAZIONE: FABBR. B



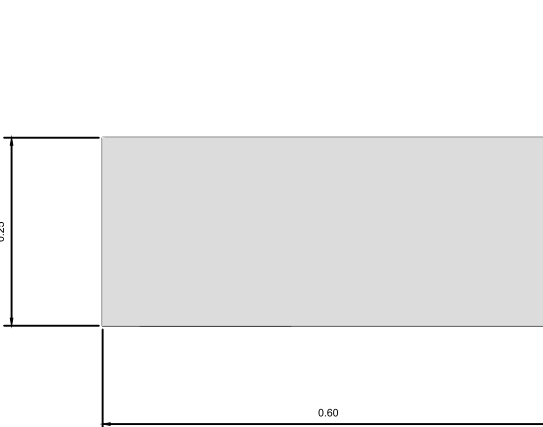
SEZIONE TRAVE SECONDARIA



SEZIONE TRAVE DI COPERTURA



SEZIONE TRAVE DI COPERTURA

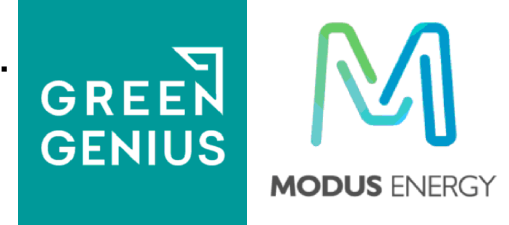


COMUNE DI CARAPELLE

PROGETTO IMPIANTO DI PRODUZIONE ENERGIA ELETTRICA DA FONTE RINNOVABILE DI TIPO FOTOVOLTAICO UTILITY SCALE

PROGETTO DEFINITIVO

CLIENTE/CUSTOMER
 Green Genius Italy Utility 12 S.r.l.
 Corso G. Garibaldi
 Milano (MI)



PROGETTISTA
studioTECNICO
 ing. Marco BALZANO
 Via Cancelli Rotto, 3
 70125 Bari (BA)
 studiotecnico@balzano.com
 www.ingbalzano.com



Commissa/Work order
SV.317
 Data/Date
30/11/2020

RO4						Scala/Scale	-
RO3						Revision/Revision	
RO2							
RO1							
RO0	30/11/2020	Prima Emissione	SDS	MBG	MBG		R0
REV	DATA	OGGETTO	DRAF.	CHECK.	ENDORS.		Tavola/Table

Oggetto/Subject
 Elaborato di dettaglio degli elementi strutturali - SSEU

P.12

Note
 CAR 01 - La Pescaia
Gli elaborati e tutte le informazioni contenute nel presente documento sono di proprietà esclusiva del progettista e non possono essere riprodotte, divulgate o comunque utilizzate senza la sua preventiva autorizzazione scritta. The Document and all technical information contained in this document is the exclusive property of Ing. Marco G. Balzano and may neither be used nor disclosed without its prior written consent. (art. 2372 c.c.)

IMPIANTO FOTOVOLTAICO UTILITY SCALE

SITO CAR 01 SV317_CARAPELLE

**RELAZIONE DI CALCOLO PRELIMINARE PIASTRE DI APPOGGIO
MAGAZZINO E CABINA AUSILIARE**

1 - DESCRIZIONE GENERALE DELL'OPERA

La presente relazione di calcolo preliminare integra la documentazione a corredo del Progetto per la Realizzazione di impianto fotovoltaico Utility Scale ed ha per oggetto le piastre di fondazione dei corpi prefabbricati denominati Magazzino e Cabina di sezionamento. (i restanti manufatti prefabbricati hanno dimensioni tali da rientrare nelle opere minori, ovvero interventi privi di rilevanza ai fini della pubblica utilità. Il campo fotovoltaico è localizzato all'interno di un lotto posizionato nel territorio comunale di Carapelle, in provincia di Foggia, su cui verranno installati pannelli fotovoltaici su sito denominato CAR 1 – SV317 LA PESCIA. Le piastre in questione hanno dimensioni di 11 * 8 mt per un'altezza di 40cm e 8.8 * 2.5 m per 30cm di spessore, rispettivamente per il manufatto prefabbricato denominato magazzino ed il manufatto prefabbricato denominato cabina di sezionamento, ambedue di dimensioni inferiori ad un metro rispetto alla piastra per agevolarne il posizionamento e la ripartizione del carico.

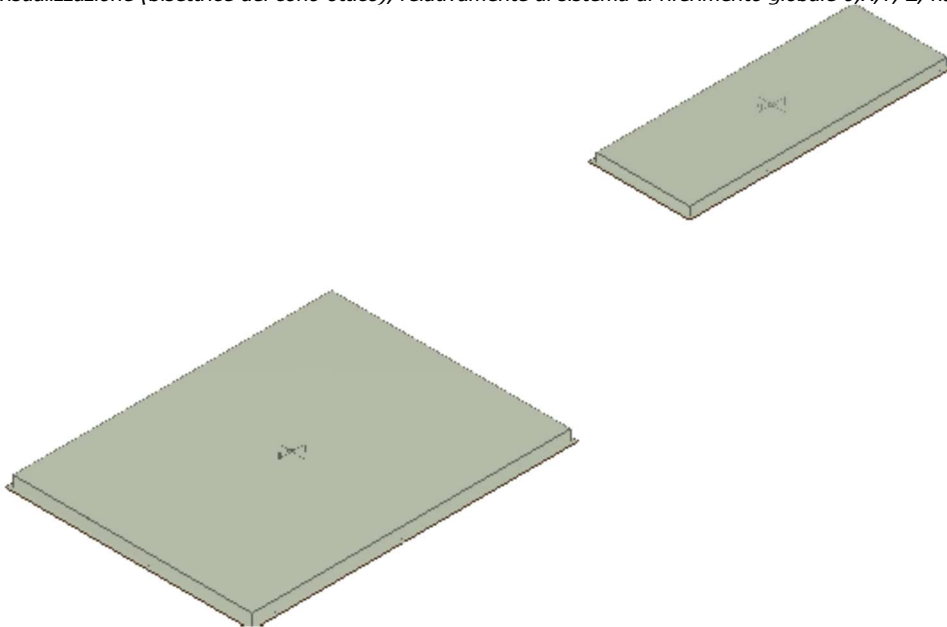
In caso di utilizzo di elementi prefabbricati di dimensioni inferiori si avrebbero carichi inferiori e le piastre in questione sarebbero comunque adeguate a reggere e ripartire i pesi.

I carichi adottati sono pari a 1000Kg/mq per la prima piastra e 600Kg/mq per la seconda, carichi superiori ai minimi di normativa per dare la margini ulteriori di utilizzo.

Vengono riportate di seguito due viste assometriche contrapposte, allo scopo di consentire una migliore comprensione della struttura oggetto della presente relazione:

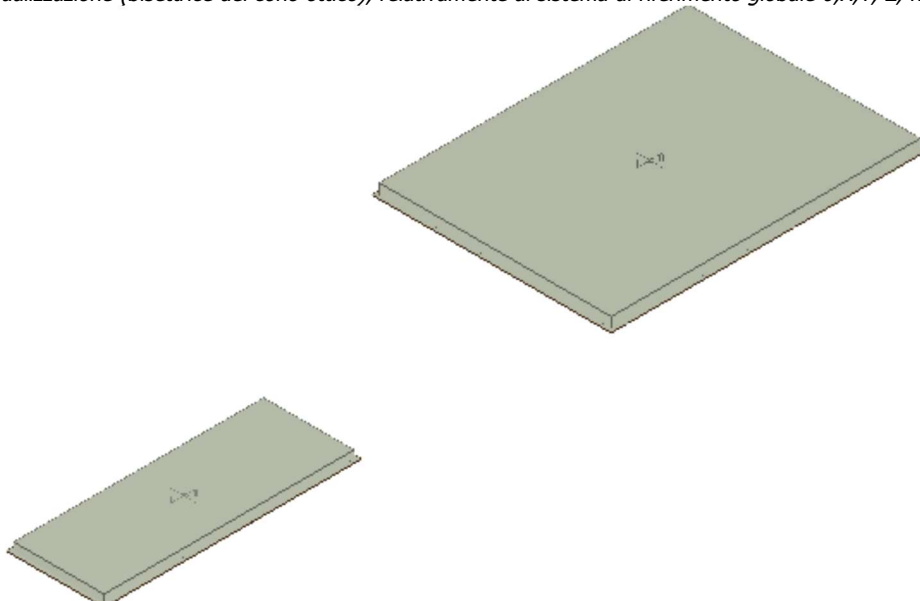
Vista Anteriore

La direzione di visualizzazione (bisettrice del cono ottico), relativamente al sistema di riferimento globale 0,X,Y, Z, ha versore (1;1;-1)



Vista Posteriore

La direzione di visualizzazione (bisettrice del cono ottico), relativamente al sistema di riferimento globale 0,X,Y, Z, ha versore (-1;-1;-1)



2 - NORMATIVA DI RIFERIMENTO

Le fasi di analisi e verifica della struttura sono state condotte in accordo alle seguenti disposizioni normative, per quanto applicabili in relazione al criterio di calcolo adottato dal progettista, evidenziato nel prosieguo della presente relazione:

Legge 5 novembre 1971 n. 1086 (G.U. 21 dicembre 1971 n. 321)

"Norme per la disciplina delle opere di conglomerato cementizio armato, normale e precompresso ed a struttura metallica".

Legge 2 febbraio 1974 n. 64 (G.U. 21 marzo 1974 n. 76)

"Provvedimenti per le costruzioni con particolari prescrizioni per le zone sismiche".

Indicazioni progettive per le nuove costruzioni in zone sismiche a cura del Ministero per la Ricerca scientifica - Roma 1981.

D. M. Infrastrutture Trasporti 17/01/2018 (G.U. 20/02/2018 n. 42 - Suppl. Ord. n. 8)

"Aggiornamento delle Norme tecniche per le Costruzioni".

Inoltre, in mancanza di specifiche indicazioni, ad integrazione della norma precedente e per quanto con esse non in contrasto, sono state utilizzate le indicazioni contenute nelle seguenti norme:

Circolare 21 gennaio 2019, n. 7 C.S.LL.PP. (G.U. Serie Generale n. 35 del 11/02/2019 - Suppl. Ord. n. 5)

Istruzioni per l'applicazione dell'«Aggiornamento delle "Norme tecniche per le costruzioni"» di cui al decreto ministeriale 17 gennaio 2018.

3 - MATERIALI IMPIEGATI E RESISTENZE DI CALCOLO

Tutti i materiali strutturali impiegati devono essere muniti di marcatura "CE", ed essere conformi alle prescrizioni del "REGOLAMENTO (UE) N. 305/2011 DEL PARLAMENTO EUROPEO E DEL CONSIGLIO del 9 marzo 2011", in merito ai prodotti da costruzione.

Per la realizzazione dell'opera in oggetto saranno impiegati i seguenti materiali:

MATERIALI CALCESTRUZZO ARMATO

N _{id}	γ _k [N/m ³]	α _{T,i} [1/°C]	E [N/mm ²]	G [N/mm ²]	C _{Erid} [%]	Stz	R _{ck} [N/mm ²]	R _{cm} [N/mm ²]	%R _{ck}	γ _c	Caratteristiche calcestruzzo armato				
											f _{cd} [N/mm ²]	f _{ctd} [N/mm ²]	f _{cfm} [N/mm ²]	N	n Ac
Cl. C25/30_B450C - (C25/30)															
001	25 000	0,000010	31 447	13 103	60	P	30,00	-	0,85	1,50	14,11	1,19	3,07	15	002

LEGENDA:

N_{id}	Numero identificativo del materiale, nella relativa tabella dei materiali.
γ_k	Peso specifico.
α_{T,i}	Coefficiente di dilatazione termica.
E	Modulo elastico normale.
G	Modulo elastico tangenziale.
C_{Erid}	Coefficiente di riduzione del Modulo elastico normale per Analisi Sismica [E _{sisma} = E · C _{Erid}].
Stz	Tipo di situazione: [F] = di Fatto (Esistente); [P] = di Progetto (Nuovo).
R_{ck}	Resistenza caratteristica cubica.
R_{cm}	Resistenza media cubica.
%R_{ck}	Percentuale di riduzione della R _{ck} .
γ_c	Coefficiente parziale di sicurezza del materiale.
f_{cd}	Resistenza di calcolo a compressione.
f_{ctd}	Resistenza di calcolo a trazione.
f_{cfm}	Resistenza media a trazione per flessione.
n Ac	Identificativo, nella relativa tabella materiali, dell'acciaio utilizzato: [-] = parametro NON significativo per il materiale.

MATERIALI ACCIAIO

N _{id}	γ _k [N/m ³]	α _{T,i} [1/°C]	E [N/mm ²]	G [N/mm ²]	Stz	Caratteristiche acciaio										
						f _{yk,1} / f _{yk,2} [N/mm ²]	f _{tk,1} / f _{tk,2} [N/mm ²]	f _{yd,1} / f _{yd,2} [N/mm ²]	f _{td} [N/mm ²]	γ _s	γ _{M1}	γ _{M2}	γ _{M3,SLV}	γ _{M3,SLE}	γ _{M7} NCnt Cnt	
Acciaio B450C - (B450C)																
002	78 500	0,000010	210 000	80 769	P	450,00 -	-	391,30 -	-	1,15	-	-	-	-	-	-

LEGENDA:

N_{id}	Numero identificativo del materiale, nella relativa tabella dei materiali.
γ_k	Peso specifico.
α_{T,i}	Coefficiente di dilatazione termica.

N _{id}	γ_k	$\alpha_{T,i}$	E	G	Stz	$f_{yk,1}/f_{yk,2}$	$f_{tk,1}/f_{tk,2}$	$f_{yd,1}/f_{yd,2}$	f_{td}	γ_s	γ_{M1}	γ_{M2}	$\gamma_{M3,SLV}$	$\gamma_{M3,SLE}$	γ_{M7}	NCnt	Cnt
	[N/m ³]	[1/°C]	[N/mm ²]	[N/mm ²]		[N/mm ²]	[N/mm ²]	[N/mm ²]	[N/mm ²]								
E	Modulo elastico normale.																
G	Modulo elastico tangenziale.																
Stz	Tipo di situazione: [F] = di Fatto (Esistente); [P] = di Progetto (Nuovo).																
f_{tk,1}	Resistenza caratteristica a Rottura (per profili con t ≤ 40 mm).																
f_{tk,2}	Resistenza caratteristica a Rottura (per profili con 40 mm < t ≤ 80 mm).																
f_{td}	Resistenza di calcolo a Rottura (Bulloni).																
γ_s	Coefficiente parziale di sicurezza allo SLV del materiale.																
γ_{M1}	Coefficiente parziale di sicurezza per instabilità.																
γ_{M2}	Coefficiente parziale di sicurezza per sezioni tese indebolite.																
γ_{M3,SLV}	Coefficiente parziale di sicurezza per scorrimento allo SLV (Bulloni).																
γ_{M3,SLE}	Coefficiente parziale di sicurezza per scorrimento allo SLE (Bulloni).																
γ_{M7}	Coefficiente parziale di sicurezza precarico di bulloni ad alta resistenza (Bulloni - NCnt = con serraggio NON controllato; Cnt = con serraggio controllato). [-] = parametro NON significativo per il materiale.																
f_{yk,1}	Resistenza caratteristica allo snervamento (per profili con t ≤ 40 mm).																
f_{yk,2}	Resistenza caratteristica allo snervamento (per profili con 40 mm < t ≤ 80 mm).																
f_{yd,1}	Resistenza di calcolo (per profili con t ≤ 40 mm).																
f_{yd,2}	Resistenza di calcolo (per profili con 40 mm < t ≤ 80 mm).																
NOTE	[-] = Parametro non significativo per il materiale.																

TENSIONI AMMISSIBILI ALLO SLE DEI VARI MATERIALI

Tensioni ammissibili allo SLE dei vari materiali			
Materiale	SL	Tensione di verifica	$\sigma_{d,amm}$ [N/mm ²]
Cls C25/30_B450C	Caratteristica(RARA)	Compressione Calcestruzzo	14,94
	Quasi permanente	Compressione Calcestruzzo	11,21
Acciaio B450C	Caratteristica(RARA)	Trazione Acciaio	360,00

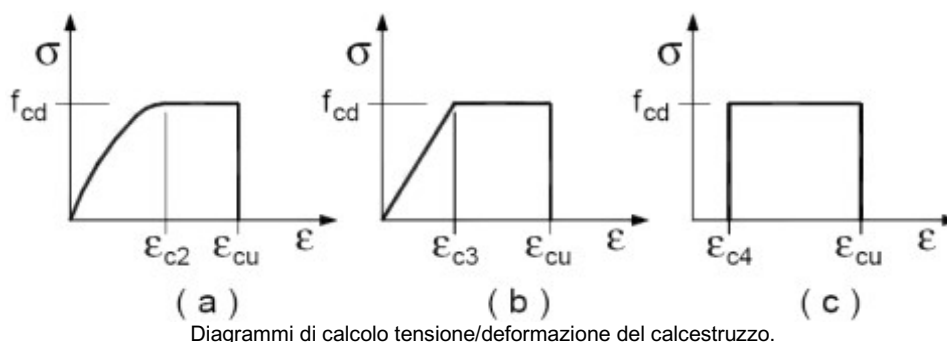
LEGENDA:

SL Stato limite di esercizio per cui si esegue la verifica.
 $\sigma_{d,amm}$ Tensione ammissibile per la verifica.

I valori dei parametri caratteristici dei suddetti materiali sono riportati anche nei "*Tabulati di calcolo*", nella relativa sezione.

Tutti i materiali impiegati dovranno essere comunque verificati con opportune prove di laboratorio secondo le prescrizioni della vigente Normativa.

I diagrammi costitutivi degli elementi in calcestruzzo sono stati adottati in conformità alle indicazioni riportate al §4.1.2.1.2.1 del D.M. 2018; in particolare per le verifiche effettuate a pressoflessione retta e pressoflessione deviata è adottato il modello (a) riportato nella seguente figura.

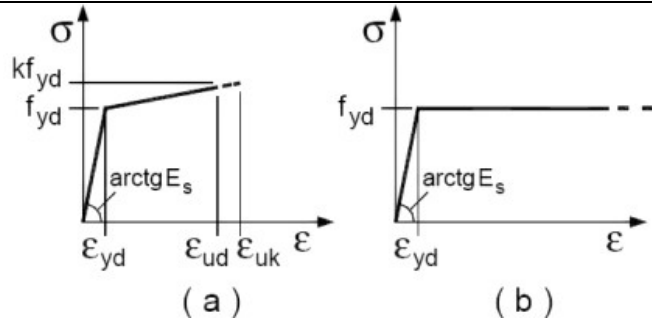


I valori di deformazione assunti sono:

$$\varepsilon_{c2} = 0,0020;$$

$$\varepsilon_{cu} = 0,0035.$$

I diagrammi costitutivi dell'acciaio sono stati adottati in conformità alle indicazioni riportate al §4.1.2.1.2.2 del D.M. 2018; in particolare è adottato il modello elasticamente plastico tipo (b) rappresentato nella figura sulla destra. La resistenza di calcolo è data da f_{yk}/γ_s . Il coefficiente di sicurezza γ_s si assume pari a 1,15.



4 - TERRENO DI FONDAZIONE

Le proprietà meccaniche dei terreni sono state investigate mediante specifiche prove mirate alla misurazione della velocità delle onde di taglio negli strati del sottosuolo. In particolare, è stata calcolata una velocità di propagazione equivalente delle onde di taglio con la seguente relazione (eq. [3.2.1] D.M. 2018):

$$V_{S,eq} = \frac{H}{\sum_{i=1}^N \frac{h_i}{V_{S,i}}}$$

dove:

- h_i è lo spessore dell' i -simo strato;
- $V_{S,i}$ è la velocità delle onde di taglio nell' i -simo strato;
- N è il numero totale di strati investigati;
- H è la profondità del substrato con $V_s \geq 800$ m/s.

Le proprietà dei terreni sono, quindi, state ricondotte a quelle individuate nella seguente tabella, ponendo $H = 30$ m nella relazione precedente ed ottenendo il parametro $V_{S,30}$.

Categorie di sottosuolo che permettono l'utilizzo dell'approccio semplificato (Tab. 3.2.II D.M. 2018)

Categoria	Caratteristiche della superficie topografica
A	<i>Ammassi rocciosi affioranti o terreni molto rigidi</i> caratterizzati da valori di velocità delle onde di taglio superiori a 800 m/s, eventualmente comprendenti in superficie terreni di caratteristiche meccaniche più scadenti con spessore massimo pari a 3 m.
B	<i>Rocce tenere e depositi di terreni a grana grossa molto addensati o terreni a grana fina molto consistenti</i> , caratterizzati da un miglioramento delle proprietà meccaniche con la profondità e da valori di velocità equivalente compresi tra 360 m/s e 800 m/s.
C	<i>Depositi di terreni a grana grossa mediamente addensati o terreni a grana fina mediamente consistenti</i> con profondità del substrato superiori a 30 m, caratterizzati da un miglioramento delle proprietà meccaniche con la profondità e da valori di velocità equivalente compresi tra 180 m/s e 360 m/s.
D	<i>Depositi di terreni a grana grossa scarsamente addensati o di terreni a grana fina scarsamente consistenti</i> , con profondità del substrato superiori a 30 m, caratterizzati da un miglioramento delle proprietà meccaniche con la profondità e da valori di velocità equivalente compresi tra 100 e 180 m/s.
E	<i>Terreni con caratteristiche e valori di velocità equivalente riconducibili a quelle definite per le categorie C o D</i> , con profondità del substrato non superiore a 30 m.

Le indagini effettuate, mirate alla valutazione della velocità delle onde di taglio ($V_{S,30}$), permettono di classificare il profilo stratigrafico, ai fini della determinazione dell'azione sismica, di categoria **B [B - Rocce tenere e depositi di terreni a grana grossa molto addensati o terreni a grana fina molto consistenti]**.

Le costanti di sottofondo (alla Winkler) del terreno sono state corrette secondo la seguente espressione:

$$K = c \cdot K_1;$$

dove:

K_1 = costante di Winkler del terreno riferita alla piastra standard di lato $b = 30$ cm;

c = coefficiente di correzione, funzione del comportamento del terreno e della particolare geometria degli elementi di fondazione. Nel caso di "Riduzione Automatica" è dato dalle successive espressioni (Rif. *Evaluation of coefficients of subgrade reaction K. Terzaghi, 1955 p. 315*):

$$c = \left[\frac{(B + b)}{2 \cdot B} \right]^2$$

per terreni incoerenti

$$c = \left(\frac{L/B + 0,5}{1,5 \cdot L/B} \right) \cdot \frac{b}{B}$$

per terreni coerenti

Essendo:

b = 0,30 m, dimensione della piastra standard;

L = lato maggiore della fondazione;

B = lato minore della fondazione.

Nel caso di stratigrafia la costante di sottofondo utilizzata nel calcolo delle **sollecitazioni** è quella del terreno a contatto con la fondazione, mentre nel calcolo dei **cedimenti** la costante di sottofondo utilizzata è calcolata come media pesata delle costanti di sottofondo presenti nel volume significativo della fondazione.

Tutti i parametri che caratterizzano i terreni di fondazione sono riportati nei "Tabulati di calcolo", nella relativa sezione. Per ulteriori dettagli si rimanda alle relazioni geologica e geotecnica.

5 - ANALISI DEI CARICHI

Un'accurata valutazione dei carichi è un requisito imprescindibile di una corretta progettazione, in particolare per le costruzioni realizzate in zona sismica. Essa, infatti, è fondamentale ai fini della determinazione delle forze sismiche, in quanto incide sulla valutazione delle masse e dei periodi propri della struttura dai quali dipendono i valori delle accelerazioni (ordinate degli spettri di progetto).

La valutazione dei carichi e dei sovraccarichi è stata effettuata in accordo con le disposizioni del punto 3.1 del **D.M. 2018**. In particolare, è stato fatto utile riferimento alle Tabelle 3.1.I e 3.1.II del D.M. 2018, per i pesi propri dei materiali e per la quantificazione e classificazione dei sovraccarichi, rispettivamente.

La valutazione dei carichi permanenti è effettuata sulle dimensioni definitive.

Le analisi effettuate, corredate da dettagliate descrizioni, oltre che nei "Tabulati di calcolo" nella relativa sezione, sono di seguito riportate:

ANALISI CARICHI

Analisi carichi										
N _{id}	T. C.	Descrizione del Carico	Tipologie di Carico	Peso Proprio		Permanente NON Strutturale		Sovraccarico Accidentale		Carico Neve
				Descrizione	PP	Descrizione	PNS	Descrizione	SA	
001	S	Platea	Autorimessa <= 30kN	<i>*vedi le relative tabelle dei carichi</i>	-	Sottofondo e pavimento di tipo industriale in calcestruzzo	2 000		0	0

LEGENDA:

N_{id} Numero identificativo dell'analisi di carico.

T. C. Identificativo del tipo di carico: [S] = Superficiale - [L] = Lineare - [C] = Concentrato.

PP, PNS, SA Valori, rispettivamente, del Peso Proprio, del Sovraccarico Permanente NON strutturale, del Sovraccarico Accidentale. Secondo il tipo di carico indicato nella colonna "T.C." ("S" - "L" - "C"), i valori riportati nelle colonne "PP", "PNS" e "SA", sono espressi in [N/m²] per carichi Superficiali, [N/m] per carichi Lineari, [N] per carichi Concentrati.

6 - VALUTAZIONE DELL'AZIONE SISMICA

L'azione sismica è stata valutata in conformità alle indicazioni riportate al §3.2 del D.M. 2018. particolare il procedimento per la definizione degli spettri di progetto per i vari Stati Limite per cui sono state effettuate le verifiche è stato il seguente:

- definizione della Vita Nominale e della Classe d'Uso della struttura, il cui uso combinato ha portato alla definizione del Periodo di Riferimento dell'azione sismica;
- individuazione, tramite latitudine e longitudine, dei parametri sismici di base a_g , F_0 e T^*_c per tutti e quattro gli Stati Limite previsti (SLO, SLD, SLV e SLC); l'individuazione è stata effettuata interpolando tra i 4 punti più vicini al punto di riferimento dell'edificio;
- determinazione dei coefficienti di amplificazione stratigrafica e topografica;
- calcolo del periodo T_c corrispondente all'inizio del tratto a velocità costante dello Spettro.

I dati così calcolati sono stati utilizzati per determinare gli Spettri di Progetto nelle verifiche agli Stati Limite considerate.

Si riportano di seguito le coordinate geografiche del sito rispetto al Datum **ED50**:

Latitudine	Longitudine	Altitudine
[°]	[°]	[m]
41.632734	15.917204	22

6.1 Verifiche di regolarità

Sia per la scelta del metodo di calcolo, sia per la valutazione del fattore di comportamento adottato, deve essere effettuato il controllo della regolarità della struttura. tabella seguente riepiloga, per la struttura in esame, le condizioni di regolarità in pianta ed in altezza soddisfatte.

REGOLARITÀ DELLA STRUTTURA IN PIANTA	
La distribuzione di masse e rigidezze è approssimativamente simmetrica rispetto a due direzioni ortogonali e la forma in pianta è compatta, ossia il contorno di ogni orizzontamento è convesso; il requisito può ritenersi soddisfatto, anche in presenza di rientranze in pianta, quando esse non influenzano significativamente la rigidezza nel piano dell'orizzontamento e, per ogni rientranza, l'area compresa tra il perimetro dell'orizzontamento e la linea convessa circoscritta all'orizzontamento non supera il 5% dell'area dell'orizzontamento	SI
Il rapporto tra i lati di un rettangolo in cui la costruzione risulta inscritta è inferiore a 4	SI
Ciascun orizzontamento ha una rigidezza nel proprio piano tanto maggiore della corrispondente rigidezza degli elementi strutturali verticali da potersi assumere che la sua deformazione in pianta influenzi in modo trascurabile la distribuzione delle azioni sismiche tra questi ultimi e ha resistenza sufficiente a garantire l'efficacia di tale distribuzione	SI
REGOLARITÀ DELLA STRUTTURA IN ALTEZZA	
Tutti i sistemi resistenti alle azioni orizzontali si estendono per tutta l'altezza della costruzione o, se sono presenti parti aventi differenti altezze, fino alla sommità della rispettiva parte dell'edificio	SI
Massa e rigidezza rimangono costanti o variano gradualmente, senza bruschi cambiamenti, dalla base alla sommità della costruzione (le variazioni di massa da un orizzontamento all'altro non superano il 25 %, la rigidezza non si riduce da un orizzontamento a quello sovrastante più del 30% e non aumenta più del 10%); ai fini della rigidezza si possono considerare regolari in altezza strutture dotate di pareti o nuclei in c.a. o pareti e nuclei in muratura di sezione costante sull'altezza o di telai controventati in acciaio, ai quali sia affidato almeno il 50% dell'azione sismica alla base	SI
Il rapporto tra la capacità e la domanda allo SLV non è significativamente diverso, in termini di resistenza, per orizzontamenti successivi (tale rapporto, calcolato per un generico orizzontamento, non deve differire più del 30% dall'analogo rapporto calcolato per l'orizzontamento adiacente); può fare eccezione l'ultimo orizzontamento di strutture intelaiate di almeno tre orizzontamenti	SI
Eventuali restringimenti della sezione orizzontale della costruzione avvengano con continuità da un orizzontamento al successivo; oppure avvengano in modo che il rientro di un orizzontamento non superi il 10% della dimensione corrispondente all'orizzontamento immediatamente sottostante, né il 30% della dimensione corrispondente al primo orizzontamento. Fa eccezione l'ultimo orizzontamento di costruzioni di almeno quattro orizzontamenti, per il quale non sono previste limitazioni di restringimento	SI

La rigidezza è calcolata come rapporto fra il taglio complessivamente agente al piano e δ , spostamento relativo di piano (il taglio di piano è la sommatoria delle azioni orizzontali agenti al di sopra del piano considerato). I valori calcolati ed utilizzati per le verifiche sono riportati nei "*Tabulati di calcolo*" nella relativa sezione.

La struttura è pertanto:

in pianta REGOLARE	in altezza REGOLARE
------------------------------	-------------------------------

6.2 Classe di duttilità

La classe di duttilità è rappresentativa della capacità dell'edificio di dissipare energia in campo anelastico per azioni cicliche ripetute. deformazioni anelastiche devono essere distribuite nel maggior numero di elementi duttili, in particolare le travi, salvaguardando in tal modo i pilastri e soprattutto i nodi travi pilastro che sono gli elementi più fragili. D.M. 2018 definisce due tipi di comportamento strutturale:

- a) comportamento strutturale non-dissipativo;
- b) comportamento strutturale dissipativo.

Per strutture con comportamento strutturale dissipativo si distinguono due livelli di Capacità Dissipativa o Classi di Duttilità (CD).

- CD "A" (Alta);
- CD "B" (Media).

La differenza tra le due classi risiede nell'entità delle plasticizzazioni cui ci si riconduce in fase di progettazione; per ambedue le classi, onde assicurare alla struttura un comportamento dissipativo e duttile evitando rotture fragili e la formazione di meccanismi instabili impreveduti, si fa ricorso ai procedimenti tipici della gerarchia delle resistenze.

La struttura in esame è stata progettata in classe di duttilità "**MEDIA**" (**CD"B**").

6.3 Spettri di Progetto per S.L.U. e S.L.D.

L'edificio è stato progettato per una **Vita Nominale** pari a **50** e per **Classe d'Uso** pari a **2**.

In base alle indagini geognostiche effettuate si è classificato il **suolo** di fondazione di **categoria B**, cui corrispondono i seguenti valori per i parametri necessari alla costruzione degli spettri di risposta orizzontale e verticale:

Stato Limite	a _g /g	F ₀	T* _c [s]	C _c	T _B [s]	T _c [s]	Parametri di pericolosità sismica	
							T _D [s]	S _s
SLO	0.0538	2.463	0.270	1.41	0.136	0.409	1.773	1.20
SLD	0.0709	2.490	0.290	1.37	0.151	0.452	1.817	1.20
SLV	0.1974	2.460	0.333	1.30	0.180	0.570	2.131	1.20
SLC	0.2616	2.435	0.340	1.29	0.190	0.581	2.286	1.20

Per la definizione degli spettri di risposta, oltre all'accelerazione (a_g) al suolo (dipendente dalla classificazione sismica del Comune) occorre determinare il Fattore di Comportamento (q).

Il Fattore di comportamento q è un fattore riduttivo delle forze elastiche introdotto per tenere conto delle capacità dissipative della struttura che dipende dal sistema costruttivo adottato, dalla Classe di Duttilità e dalla regolarità in altezza.

Si è inoltre assunto il **Coefficiente di Amplificazione Topografica** (S_T) pari a **1.00**.

Tali succitate caratteristiche sono riportate negli allegati "Tabulati di calcolo" al punto "DATI GENERALI ANALISI SISMICA".

Per la struttura in esame sono stati utilizzati i seguenti valori:

Stato Limite di Danno

Fattore di Comportamento (q_X) per sisma orizzontale in direzione X: **1.00**;
 Fattore di Comportamento (q_Y) per sisma orizzontale in direzione Y: **1.00**;
 Fattore di Comportamento (q_Z) per sisma verticale: **1.00** (se richiesto).

Stato Limite di salvaguardia della Vita

Fattore di Comportamento (q_X) per sisma orizzontale in direzione X: **2.000** ;
 Fattore di Comportamento (q_Y) per sisma orizzontale in direzione Y: **2.000** ;
 Fattore di Comportamento (q_Z) per sisma verticale: **1.50** (se richiesto).

Di seguito si esplicita il calcolo del fattore di comportamento per il sisma orizzontale:

Tipologia (§7.5.2.2 D.M. 2018)	Dir. X	Dir. Y
	A mensola o pendolo invertito	A mensola o pendolo invertito
Tipologia strutturale	-	-
α _u /α ₁	1	1
q ₀	2.000	2.000
k _R	1.00	

Il fattore di comportamento è calcolato secondo la relazione (7.3.1) del §7.3.1 del D.M. 2018:

$$q = q_0 \cdot k_R;$$

dove:

q₀ è il valore massimo del fattore di comportamento che dipende dal livello di duttilità attesa, dalla tipologia strutturale e dal rapporto α_u/α₁ tra il valore dell'azione sismica per il quale si verifica la formazione di un numero di cerniere plastiche tali da rendere la struttura labile e quello per il quale il primo elemento strutturale raggiunge la plasticizzazione a flessione;

k_R è un fattore riduttivo che dipende dalle caratteristiche di regolarità in altezza della costruzione, con valore pari ad 1 per costruzioni regolari in altezza e pari a 0,8 per costruzioni non regolari in altezza.

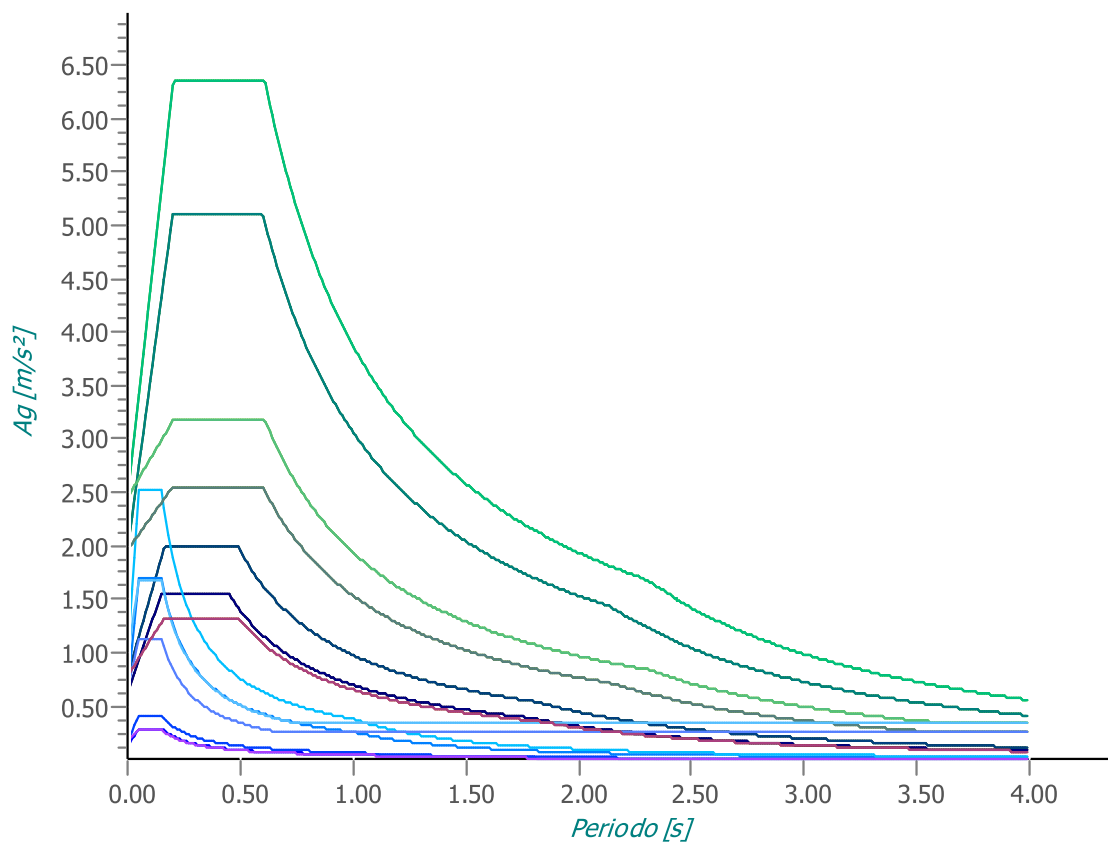
N.B.1: Per le costruzioni **regolari in pianta**, qualora non si proceda ad un'analisi non lineare finalizzata alla valutazione del rapporto α_u/α_1 , per esso possono essere adottati i valori indicati al §7.4.3.2 del D.M. 2018 per le diverse tipologie costruttive. Per le costruzioni **non regolari in pianta**, si possono adottare valori di α_u/α_1 pari alla media tra 1,0 ed i valori di volta in volta forniti per le diverse tipologie costruttive.

Valori massimi del valore di base q_0 del fattore di comportamento allo SLV per costruzioni d'acciaio (§ 7.5.2.2 D.M. 2018)(cfr. Tabella 7.3.II D.M. 2018)

Tipologia strutturale	q_0	
	CD "A"	CD "B"
a) Strutture intelaiate) Strutture con controventi eccentrici	5,0 α_u/α_1	4,0
b1) Strutture con controventi concentrici a diagonale tesa attiva	4,0	4,0
b2) Strutture con controventi concentrici a V	2,5	2,0
d) Strutture a mensola o a pendolo inverso	2,0 α_u/α_1	2,0
e) Strutture intelaiate con controventi concentrici	4,0 α_u/α_1	4,0
f) Strutture intelaiate con tamponature in muratura	2,0	2,0

Gli spettri utilizzati sono riportati nella successiva figura.

Grafico degli Spettri di Risposta



— Spettro Elastico SLO X	— Spettro Elastico SLO Y	— Spettro Elastico SLO Z
— Spettro Elastico SLD X	— Spettro Elastico SLD Y	— Spettro Elastico SLD Z
— Spettro Elastico SLV X	— Spettro Elastico SLV Y	— Spettro Elastico SLV Z
— Spettro Elastico SLC X	— Spettro Elastico SLC Y	— Spettro Elastico SLC Z
— Spettro Progetto SLV X	— Spettro Progetto SLV Y	— Spettro Progetto SLV Z
— Spettro Progetto SLC X	— Spettro Progetto SLC Y	— Spettro Progetto SLC Z
— Spettro Verifiche SLD X	— Spettro Verifiche SLD Y	— Spettro Verifiche SLD Z

6.4 Metodo di Analisi

Il calcolo delle azioni sismiche è stato eseguito in analisi dinamica modale, considerando il comportamento della struttura in regime elastico lineare.

Il numero di **modi di vibrazione** considerato (**15**) ha consentito, nelle varie condizioni, di mobilitare le seguenti percentuali delle masse della struttura:

Stato Limite	Direzione Sisma	%
--------------	-----------------	---

salvaguardia della vita	X	0.0
salvaguardia della vita	Y	0.0
salvaguardia della vita	Z	100.0
salvaguardia della vita	Torsionale	-

Per valutare la risposta massima complessiva di una generica caratteristica E, conseguente alla sovrapposizione dei modi, si è utilizzata una tecnica di combinazione probabilistica definita CQC (*Complete Quadratic Combination - Combinazione Quadratica Completa*):

$$E = \sqrt{\sum_{i,j=1,n} \rho_{ij} \cdot E_i \cdot E_j} \quad \rho_{ij} = \frac{8 \cdot \xi^2 \cdot (1 + \beta_{ij}) \cdot \beta_{ij}^{3/2}}{(1 - \beta_{ij}^2)^2 + 4 \cdot \xi^2 \cdot \beta_{ij} \cdot (1 + \beta_{ij})^2} \quad \beta_{ij} = \frac{T_j}{T_i}$$

dove:

- n è il numero di modi di vibrazione considerati;
- ξ è il coefficiente di smorzamento viscoso equivalente espresso in percentuale;
- β_{ij} è il rapporto tra le frequenze di ciascuna coppia i-j di modi di vibrazione.

Le sollecitazioni derivanti da tali azioni sono state composte poi con quelle derivanti da carichi verticali, orizzontali non sismici secondo le varie combinazioni di carico probabilistiche. Il calcolo è stato effettuato mediante un programma agli elementi finiti le cui caratteristiche verranno descritte nel seguito.

Il calcolo degli effetti dell'azione sismica è stato eseguito con riferimento alla struttura spaziale, tenendo cioè conto degli elementi interagenti fra loro secondo l'effettiva realizzazione escludendo i tamponamenti. Non ci sono approssimazioni su tetti inclinati, piani sfalsati o scale, solette, pareti irrigidenti e nuclei.

Si è tenuto conto delle deformabilità taglienti e flessionali degli elementi monodimensionali; muri, pareti, setti, solette sono stati correttamente schematizzati tramite elementi finiti a tre/quattro nodi con comportamento a guscio (sia a piastra che a lastra).

Sono stati considerati sei gradi di libertà per nodo; in ogni nodo della struttura sono state applicate le forze sismiche derivanti dalle masse circostanti.

Le sollecitazioni derivanti da tali forze sono state poi combinate con quelle derivanti dagli altri carichi come prima specificato.

6.5 Valutazione degli spostamenti

Gli spostamenti d_E della struttura sotto l'azione sismica di progetto allo SLV sono stati ottenuti moltiplicando per il fattore μ_d i valori d_{Ee} ottenuti dall'analisi lineare, dinamica o statica, secondo l'espressione seguente:

$$d_E = \pm \mu_d \cdot d_{Ee}$$

dove

$$\begin{aligned} \mu_d &= q & \text{se } T_1 \geq T_c; \\ \mu_d &= 1 + (q-1) \cdot T_c / T_1 & \text{se } T_1 < T_c. \end{aligned}$$

In ogni caso $\mu_d \leq 5q - 4$.

6.6 Combinazione delle componenti dell'azione sismica

Le azioni orizzontali dovute al sisma sulla struttura vengono convenzionalmente determinate come agenti separatamente in due direzioni tra loro ortogonali prefissate. In generale, però, le componenti orizzontali del sisma devono essere considerate come agenti simultaneamente. A tale scopo, la combinazione delle componenti orizzontali dell'azione sismica è stata tenuta in conto come segue:

- gli effetti delle azioni dovuti alla combinazione delle componenti orizzontali dell'azione sismica sono stati valutati mediante le seguenti combinazioni:

$$E_{EdX} \pm 0,30E_{EdY} \quad E_{EdY} \pm 0,30E_{EdX}$$

dove:

E_{EdX} rappresenta gli effetti dell'azione dovuti all'applicazione dell'azione sismica lungo l'asse orizzontale X scelto della struttura;

E_{EdY} rappresenta gli effetti dell'azione dovuti all'applicazione dell'azione sismica lungo l'asse orizzontale Y scelto della struttura.

L'azione sismica verticale deve essere considerata in presenza di: elementi pressoché orizzontali con luce superiore a 20 m, elementi pressoché orizzontali precompressi, elementi a sbalzo pressoché orizzontali con luce maggiore di 5 m, travi che sostengono colonne, strutture isolate.

La combinazione della componente verticale del sisma, qualora portata in conto, con quelle orizzontali è stata tenuta in conto come segue:

- gli effetti delle azioni dovuti alla combinazione delle componenti orizzontali e verticali del sisma sono stati valutati mediante le seguenti combinazioni:

$$E_{EdX} \pm 0,30E_{EdY} \pm 0,30E_{EdZ} \qquad E_{EdY} \pm 0,30E_{EdX} \pm 0,30E_{EdZ} \qquad E_{EdZ} \pm 0,30E_{EdX} \pm 0,30E_{EdY}$$

dove:

E_{EdX} e E_{EdY} sono gli effetti dell'azione sismica nelle direzioni orizzontali prima definite;

E_{EdZ} rappresenta gli effetti dell'azione dovuti all'applicazione della componente verticale dell'azione sismica di progetto.

6.7 Eccentricità accidentali

Per valutare le eccentricità accidentali, previste in aggiunta all'eccentricità effettiva sono state considerate condizioni di carico aggiuntive ottenute applicando l'azione sismica nelle posizioni del centro di massa di ogni piano ottenute traslando gli stessi, in ogni direzione considerata, di una distanza pari a +/- 5% della dimensione massima del piano in direzione perpendicolare all'azione sismica. Si noti che la distanza precedente, nel caso di distribuzione degli elementi non strutturali fortemente irregolare in pianta, viene raddoppiata ai sensi del § 7.2.3 del D.M. 2018.

7 - AZIONI SULLA STRUTTURA

I calcoli e le verifiche sono condotti con il metodo semiprobabilistico degli stati limite secondo le indicazioni del D.M. 2018. I carichi agenti sui solai, derivanti dall'analisi dei carichi, vengono ripartiti dal programma di calcolo in modo automatico sulle membrature (travi, pilastri, pareti, solette, platee, ecc.).

I carichi dovuti ai tamponamenti, sia sulle travi di fondazione che su quelle di piano, sono schematizzati come carichi lineari agenti esclusivamente sulle aste.

Su tutti gli elementi strutturali è inoltre possibile applicare direttamente ulteriori azioni concentrate e/o distribuite (variabili con legge lineare ed agenti lungo tutta l'asta o su tratti limitati di essa).

Le azioni introdotte direttamente sono combinate con le altre (carichi permanenti, accidentali e sisma) mediante le combinazioni di carico di seguito descritte; da esse si ottengono i valori probabilistici da impiegare successivamente nelle verifiche.

7.1 Stato Limite di Salvaguardia della Vita

Le azioni sulla costruzione sono state cumulate in modo da determinare condizioni di carico tali da risultare più sfavorevoli ai fini delle singole verifiche, tenendo conto della probabilità ridotta di intervento simultaneo di tutte le azioni con i rispettivi valori più sfavorevoli, come consentito dalle norme vigenti.

Per gli stati limite ultimi sono state adottate le combinazioni del tipo:

$$\gamma_{G1} \cdot G_1 + \gamma_{G2} \cdot G_2 + \gamma_P \cdot P + \gamma_{Q1} \cdot Q_{K1} + \gamma_{Q2} \cdot \psi_{02} \cdot Q_{K2} + \gamma_{Q3} \cdot \psi_{03} \cdot Q_{K3} + \dots \qquad (1)$$

dove:

- G_1 rappresenta il peso proprio di tutti gli elementi strutturali; peso proprio del terreno, quando pertinente; forze indotte dal terreno (esclusi gli effetti di carichi variabili applicati al terreno); forze risultanti dalla pressione dell'acqua (quando si configurino costanti nel tempo);
- G_2 rappresenta il peso proprio di tutti gli elementi non strutturali;
- P rappresenta l'azione di pretensione e/o precompressione;
- Q azioni sulla struttura o sull'elemento strutturale con valori istantanei che possono risultare sensibilmente diversi fra loro nel tempo:
 - di lunga durata: agiscono con un'intensità significativa, anche non continuativamente, per un tempo non trascurabile rispetto alla vita nominale della struttura;
 - di breve durata: azioni che agiscono per un periodo di tempo breve rispetto alla vita nominale della struttura;
- Q_{ki} rappresenta il valore caratteristico della i-esima azione variabile;
- $\gamma_g, \gamma_q, \gamma_p$ coefficienti parziali come definiti nella Tab. 2.6.I del D.M. 2018;
- ψ_{0i} sono i coefficienti di combinazione per tenere conto della ridotta probabilità di concomitanza delle azioni variabili con i rispettivi valori caratteristici.

Le **10 combinazioni** risultanti sono state costruite a partire dalle sollecitazioni caratteristiche calcolate per

ogni condizione di carico elementare: ciascuna condizione di carico accidentale, a rotazione, è stata considerata sollecitazione di base (Q_{ki} nella formula precedente).

I coefficienti relativi a tali combinazioni di carico sono riportati negli allegati "*Tabulati di calcolo*".

In zona sismica, oltre alle sollecitazioni derivanti dalle generiche condizioni di carico statiche, devono essere considerate anche le sollecitazioni derivanti dal sisma. L'azione sismica è stata combinata con le altre azioni secondo la seguente relazione:

$$G_1 + G_2 + P + E + \sum_i \psi_{2i} \cdot Q_{ki}$$

dove:

- E rappresenta l'azione sismica per lo stato limite in esame;
- G_1 rappresenta peso proprio di tutti gli elementi strutturali;
- G_2 rappresenta il peso proprio di tutti gli elementi non strutturali;
- P rappresenta l'azione di pretensione e/o precompressione;
- ψ_{2i} coefficiente di combinazione delle azioni variabili Q_i ;
- Q_{ki} valore caratteristico dell'azione variabile Q_i .

Gli effetti dell'azione sismica sono valutati tenendo conto delle masse associate ai seguenti carichi gravitazionali:

$$G_K + \sum_i (\psi_{2i} \cdot Q_{ki})$$

I valori dei coefficienti ψ_{2i} sono riportati nella seguente tabella:

Categoria/Azione	ψ_{2i}
Categoria A - Ambienti ad uso residenziale	0,3
Categoria B - Uffici	0,3
Categoria C - Ambienti suscettibili di affollamento	0,6
Categoria D - Ambienti ad uso commerciale	0,6
Categoria E - Biblioteche, archivi, magazzini e ambienti ad uso industriale	0,8
Categoria F - Rimesse e parcheggi (per autoveicoli di peso ≤ 30 kN)	0,6
Categoria G - Rimesse e parcheggi (per autoveicoli di peso > 30 kN)	0,3
Categoria H - Coperture	0,0
Categoria I - Coperture praticabili	*
Categoria K - Coperture per usi speciali (impianti, eliporti, ...)	*
Vento	0,0
Neve (a quota ≤ 1000 m s.l.m.)	0,0
Neve (a quota > 1000 m s.l.m.)	0,2
Variazioni termiche	0,0
* "Da valutarsi caso per caso"	

Le verifiche strutturali e geotecniche delle fondazioni, sono state effettuate con l'Approccio 2 come definito al §2.6.1 del D.M. 2018, attraverso la combinazione **A1+M1+R3**. Le azioni sono state amplificate tramite i coefficienti della colonna A1 definiti nella Tab. 6.2.I del D.M. 2018.

I valori di resistenza del terreno sono stati ridotti tramite i coefficienti della colonna M1 definiti nella Tab. 6.2.II del D.M. 2018.

I valori calcolati delle resistenze totali dell'elemento strutturale sono stati divisi per i coefficienti R3 della Tab. 6.4.I del D.M. 2018 per le fondazioni superficiali.

Si è quindi provveduto a progettare le armature di ogni elemento strutturale per ciascuno dei valori ottenuti secondo le modalità precedentemente illustrate. Nella sezione relativa alle verifiche dei "*Tabulati di calcolo*" in allegato sono riportati, per brevità, i valori della sollecitazione relativi alla combinazione cui corrisponde il minimo valore del coefficiente di sicurezza.

7.2 Stato Limite di Danno

L'azione sismica, ottenuta dallo spettro di progetto per lo Stato Limite di Danno, è stata combinata con le altre azioni mediante una relazione del tutto analoga alla precedente:

$$G_1 + G_2 + P + E + \sum_i \psi_{2i} \cdot Q_{ki}$$

dove:

- E rappresenta l'azione sismica per lo stato limite in esame;
- G_1 rappresenta peso proprio di tutti gli elementi strutturali;
- G_2 rappresenta il peso proprio di tutti gli elementi non strutturali;
- P rappresenta l'azione di pretensione e/o precompressione;

ψ_{2i} coefficiente di combinazione delle azioni variabili Q_i ;
 Q_{ki} valore caratteristico dell'azione variabile Q_i .

Gli effetti dell'azione sismica sono valutati tenendo conto delle masse associate ai seguenti carichi gravitazionali:

$$G_k + \sum_i (\psi_{2i} \cdot Q_{ki}).$$

I valori dei coefficienti ψ_{2i} sono riportati nella tabella di cui allo SLV.

7.3 Stati Limite di Esercizio

Allo Stato Limite di Esercizio le sollecitazioni con cui sono state semiprogettate le aste in c.a. sono state ricavate applicando le formule riportate nel D.M. 2018 al §2.5.3. Per le verifiche agli stati limite di esercizio, a seconda dei casi, si fa riferimento alle seguenti combinazioni di carico:

rara	frequente	quasi permanente
$\sum_{j \geq 1} G_{kj} + P + Q_{k1} + \sum_{i > 1} \psi_{0i} \cdot Q_{ki}$	$\sum_{j \geq 1} G_{kj} + P + \psi_{11} \cdot Q_{k1} + \sum_{i > 1} \psi_{2i} \cdot Q_{ki}$	$\sum_{j \geq 1} G_{kj} + P + \sum_{i > 1} \psi_{2i} \cdot Q_{ki}$

dove:

- G_{kj} : valore caratteristico della j-esima azione permanente;
- P_{kh} : valore caratteristico della h-esima deformazione impressa;
- Q_{k1} : valore caratteristico dell'azione variabile di base di ogni combinazione;
- Q_{ki} : valore caratteristico della i-esima azione variabile;
- ψ_{0i} : coefficiente atto a definire i valori delle azioni ammissibili di durata breve ma ancora significativi nei riguardi della possibile concomitanza con altre azioni variabili;
- ψ_{1i} : coefficiente atto a definire i valori delle azioni ammissibili ai frattili di ordine 0,95 delle distribuzioni dei valori istantanei;
- ψ_{2i} : coefficiente atto a definire i valori quasi permanenti delle azioni ammissibili ai valori medi delle distribuzioni dei valori istantanei.

Ai coefficienti ψ_{0i} , ψ_{1i} , ψ_{2i} sono attribuiti i seguenti valori:

Azione	ψ_{0i}	ψ_{1i}	ψ_{2i}
Categoria A – Ambienti ad uso residenziale	0,7	0,5	0,3
Categoria B – Uffici	0,7	0,5	0,3
Categoria C – Ambienti suscettibili di affollamento	0,7	0,7	0,6
Categoria D – Ambienti ad uso commerciale	0,7	0,7	0,6
Categoria E – Biblioteche, archivi, magazzini e ambienti ad uso industriale	1,0	0,9	0,8
Categoria F – Rimesse e parcheggi (per autoveicoli di peso ≤ 30 kN)	0,7	0,7	0,6
Categoria G – Rimesse e parcheggi (per autoveicoli di peso > 30 kN)	0,7	0,5	0,3
Categoria H – Coperture	0,0	0,0	0,0
Vento	0,6	0,2	0,0
Neve (a quota ≤ 1000 m s.l.m.)	0,5	0,2	0,0
Neve (a quota > 1000 m s.l.m.)	0,7	0,5	0,2
Variazioni termiche	0,6	0,5	0,0

In maniera analoga a quanto illustrato nel caso dello SLU le combinazioni risultanti sono state costruite a partire dalle sollecitazioni caratteristiche calcolate per ogni condizione di carico; a turno ogni condizione di carico accidentale è stata considerata sollecitazione di base [Q_{k1} nella formula (1)], con ciò dando origine a tanti valori combinati. Per ognuna delle combinazioni ottenute, in funzione dell'elemento (trave, pilastro, etc...) sono state effettuate le verifiche allo SLE (tensioni, deformazioni e fessurazione).

Negli allegati "*Tabulati Di Calcolo*" sono riportati i coefficienti relativi alle combinazioni di calcolo generate relativamente alle combinazioni di azioni "**Quasi Permanente**" (1), "**Frequente**" (2) e "**Rara**" (1).

Nelle sezioni relative alle verifiche allo SLE dei citati tabulati, inoltre, sono riportati i valori delle sollecitazioni relativi alle combinazioni che hanno originato i risultati più gravosi.

7.4 Azione del Vento

L'applicazione dell'azione del vento sulla struttura si articola in due fasi:

1. calcolo della pressione Normale e Tangenziale lungo l'altezza dell'edificio;
2. trasformazione delle pressioni in forze (lineari/concentrate) sugli elementi (strutturali/non strutturali)

dell'edificio.

7.4.1 Calcolo pressione normale e tangenziale

Per il caso in esame:

VENTO - CALCOLO PRESSIONE DEL VENTO

Vento - calcolo pressione del vento								
Z	q _b	C _e	C _p	C _d	p	Scz	C _f	p _f
[m]	[N/m ²]				[N/m ²]			[N/m ²]
0,00	-	-	-	-	703	-	-	7
3,00	-	-	-	-	703	-	-	7

LEGENDA:

- Z** Altezza dell'edificio a cui viene calcolata la pressione del vento;
- q_b** Pressione cinetica di riferimento.
- C_e** Coefficiente di esposizione;
- C_p** Coefficiente di forma/aerodinamico.
(*) Valorizzato al momento del calcolo della pressione agente sul singolo elemento strutturale ed è funzione della posizione dello stesso (sopravento/sottovento);
- C_d** Coefficiente dinamico;
- p** Pressione normale (senza il contributo di C_p);
- Scz** Scabrezza della superficie (liscia, scabra, molto scabra);
- C_f** Coefficiente d'attrito;
- p_f** Pressione tangenziale (senza il contributo di C_p).

7.4.2 Applicazione delle forze sulla struttura

Per ogni superficie esposta all'azione del vento si individua la posizione del baricentro e in corrispondenza di esso, dal diagramma delle pressioni dell'edificio, si ricava la pressione per unità di superficie.

Per gli elementi **strutturali** la pressione è trasformata in:

- forze lineari per i beam (*pilastrini e travi*);
- forze nodali per le shell (*pareti, muri e solette*).

Per gli elementi **non strutturali** (*tamponature, solai e balconi*) la forza totale (pressione nel baricentro x superficie) viene divisa per il perimetro in modo da ottenere una forza per unità di lunghezza che viene applicata sugli elementi strutturali confinanti.

8 - CODICE DI CALCOLO IMPIEGATO

8.1 Denominazione

Nome del Software	EdiLus
Versione	BIM ONE(c)
Caratteristiche del Software	Software per il calcolo di strutture agli elementi finiti per Windows
Numero di serie	15121423
Intestatario Licenza	PAPEO ing. NICOLA
Produzione e Distribuzione	ACCA software S.p.A. Contrada Rosole 13 83043 BAGNOLI IRPINO (AV) - Italy Tel. 0827/69504 r.a. - Fax 0827/601235 e-mail: info@acca.it - Internet: www.acca.it

8.2 Sintesi delle funzionalità generali

Il pacchetto consente di modellare la struttura, di effettuare il dimensionamento e le verifiche di tutti gli elementi strutturali e di generare gli elaborati grafici esecutivi.

È una procedura integrata dotata di tutte le funzionalità necessarie per consentire il calcolo completo di una struttura mediante il metodo degli elementi finiti (FEM); la modellazione della struttura è realizzata tramite elementi Beam (travi e pilastri) e Shell (platee, pareti, solette, setti, travi-parete).

L'input della struttura avviene per oggetti (travi, pilastri, solai, solette, pareti, etc.) in un ambiente grafico integrato; il modello di calcolo agli elementi finiti, che può essere visualizzato in qualsiasi momento in una apposita finestra, viene generato dinamicamente dal software.

Apposite funzioni consentono la creazione e la manutenzione di archivi Sezioni, Materiali e Carichi; tali archivi sono generali, nel senso che sono creati una tantum e sono pronti per ogni calcolo, potendoli comunque integrare/modificare in ogni momento.

L'utente non può modificare il codice ma soltanto eseguire delle scelte come:

- definire i vincoli di estremità per ciascuna asta (vincoli interni) e gli eventuali vincoli nei nodi (vincoli esterni);
- modificare i parametri necessari alla definizione dell'azione sismica;
- definire condizioni di carico;
- definire gli impalcati come rigidi o meno.

Il programma è dotato di un manuale tecnico ed operativo. L'assistenza è effettuata direttamente dalla casa produttrice, mediante linea telefonica o e-mail.

Il calcolo si basa sul solutore agli elementi finiti **MICROSAP** prodotto dalla società **TESYS srl**. La scelta di tale codice è motivata dall'elevata affidabilità dimostrata e dall'ampia documentazione a disposizione, dalla quale risulta la sostanziale uniformità dei risultati ottenuti su strutture standard con i risultati internazionalmente accettati ed utilizzati come riferimento.

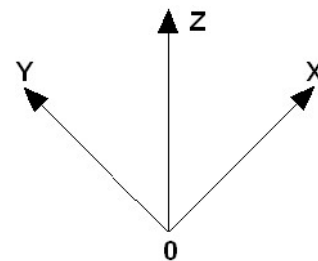
Tutti i risultati del calcolo sono forniti, oltre che in formato numerico, anche in formato grafico permettendo così di evidenziare agevolmente eventuali incongruenze.

Il programma consente la stampa di tutti i dati di input, dei dati del modello strutturale utilizzato, dei risultati del calcolo e delle verifiche dei diagrammi delle sollecitazioni e delle deformate.

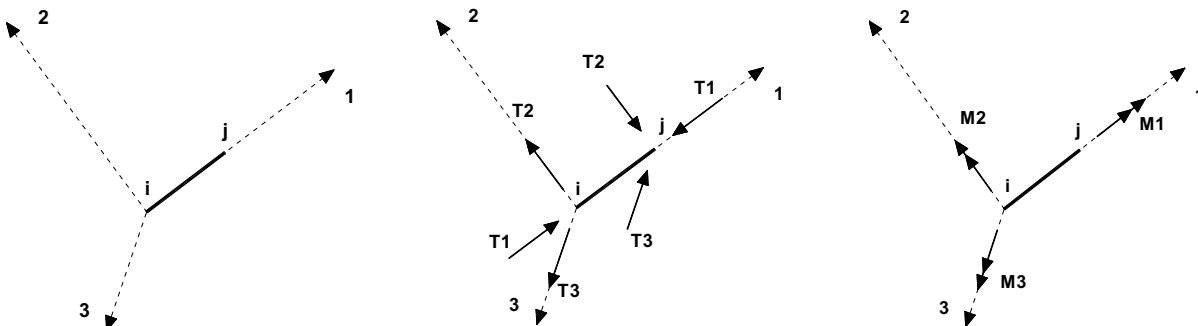
8.3 Sistemi di Riferimento

8.3.1 Riferimento globale

Il sistema di riferimento globale, rispetto al quale va riferita l'intera struttura, è costituito da una terna di assi cartesiani sinistrorsa O, X, Y, Z (X, Y, e Z sono disposti e orientati rispettivamente secondo il pollice, l'indice ed il medio della mano destra, una volta posizionati questi ultimi a 90° tra loro).



8.3.2 Riferimento locale per travi



L'elemento Trave è un classico elemento strutturale in grado di ricevere Carichi distribuiti e Carichi Nodali applicati ai due nodi di estremità; per effetto di tali carichi nascono, negli estremi, sollecitazioni di taglio, sforzo normale, momenti flettenti e torcenti.

Definiti i e j (nodi iniziale e finale della Trave) viene individuato un sistema di assi cartesiani 1-2-3 locale all'elemento, con origine nel Nodo i così composto:

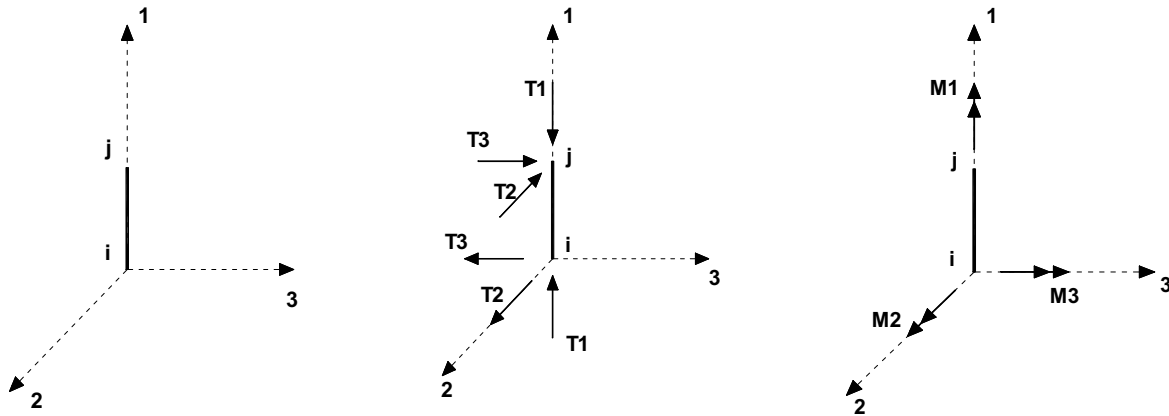
- asse 1 orientato dal nodo i al nodo j;
- assi 2 e 3 appartenenti alla sezione dell'elemento e coincidenti con gli assi principali d'inerzia della sezione

stessa.

Le sollecitazioni verranno fornite in riferimento a tale sistema di riferimento:

1. Sollecitazione di Trazione o Compressione T_1 (agente nella direzione i-j);
2. Sollecitazioni taglianti T_2 e T_3 , agenti nei due piani 1-2 e 1-3, rispettivamente secondo l'asse 2 e l'asse 3;
3. Sollecitazioni che inducono flessione nei piani 1-3 e 1-2 (M_2 e M_3);
4. Sollecitazione torcente M_1 .

8.3.3 Riferimento locale per pilastri



Definiti i e j come i due nodi iniziale e finale del pilastro, viene individuato un sistema di assi cartesiani 1-2-3 locale all'elemento, con origine nel Nodo i così composto:

- asse 1 orientato dal nodo i al nodo j;
- asse 2 perpendicolare all' asse 1, parallelo e discorde all'asse globale Y;
- asse 3 che completa la terna destrorsa, parallelo e concorde all'asse globale X.

Tale sistema di riferimento è valido per Pilastri con angolo di rotazione pari a '0' gradi; una rotazione del pilastro nel piano XY ha l'effetto di ruotare anche tale sistema (ad es. una rotazione di '90' gradi porterebbe l'asse 2 a essere parallelo e concorde all'asse X, mentre l'asse 3 sarebbe parallelo e concorde all'asse globale Y). La rotazione non ha alcun effetto sull'asse 1 che coinciderà sempre e comunque con l'asse globale Z.

Per quanto riguarda le sollecitazioni si ha:

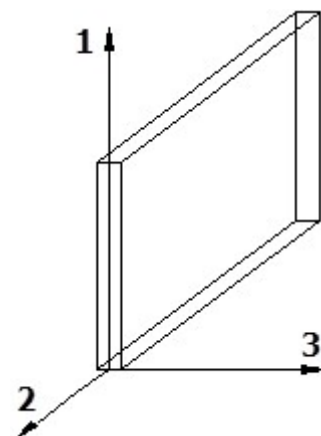
- una forza di trazione o compressione T_1 , agente lungo l'asse locale 1;
- due forze taglianti T_2 e T_3 agenti lungo i due assi locali 2 e 3;
- due vettori momento (flettente) M_2 e M_3 agenti lungo i due assi locali 2 e 3;
- un vettore momento (torcente) M_1 agente lungo l'asse locale nel piano 1.

8.3.4 Riferimento locale per pareti

Una parete è costituita da una sequenza di setti; ciascun setto è caratterizzato da un sistema di riferimento locale 1-2-3 così individuato:

- asse 1, coincidente con l'asse globale Z;
- asse 2, parallelo e discorde alla linea d'asse della traccia del setto in pianta;
- asse 3, ortogonale al piano della parete, che completa la terna levogira.

Su ciascun setto l'utente ha la possibilità di applicare uno o più carichi uniformemente distribuiti comunque orientati nello spazio; le componenti di tali carichi possono essere fornite, a discrezione dell'utente, rispetto al riferimento globale X,Y,Z oppure rispetto al riferimento locale 1,2,3 appena definito.



Si rende necessario, a questo punto, meglio precisare le modalità con cui EdiLus restituisce i risultati di calcolo. Nel modello di calcolo agli elementi finiti ciascun setto è discretizzato in una serie di elementi tipo "shell" interconnessi; il solutore agli elementi finiti integrato nel programma EdiLus, definisce un riferimento locale per ciascun elemento shell e restituisce i valori delle tensioni esclusivamente rispetto a tali riferimenti.

Il software EdiLus provvede ad omogeneizzare tutti i valori riferendoli alla terna 1-2-3. Tale operazione

consente, in fase di input, di ridurre al minimo gli errori dovuti alla complessità d'immissione dei dati stessi ed allo stesso tempo di restituire all'utente dei risultati facilmente interpretabili.

Tutti i dati cioè, sia in fase di input che in fase di output, sono organizzati secondo un criterio razionale vicino al modo di operare del tecnico e svincolato dal procedimento seguito dall'elaboratore elettronico.

In tal modo ad esempio, il significato dei valori delle tensioni può essere compreso con immediatezza non solo dal progettista che ha operato con il programma ma anche da un tecnico terzo non coinvolto nell'elaborazione; entrambi, così, potranno controllare con facilità dal tabulato di calcolo, la congruità dei valori riportati.

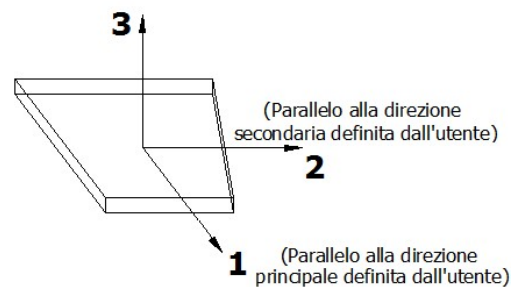
Un'ultima notazione deve essere riservata alla modalità con cui il programma fornisce le armature delle pareti, con riferimento alla faccia anteriore e posteriore.

La faccia anteriore è quella di normale uscente concorde all'asse 3 come prima definito o, identicamente, quella posta alla destra dell'osservatore che percorresse il bordo superiore della parete concordemente al verso di tracciamento.

8.3.5 Riferimento locale per solette e platee

Ciascuna soletta e platea è caratterizzata da un sistema di riferimento locale 1,2,3 così definito:

- asse 1, coincidente con la direzione principale di armatura;
- asse 2, coincidente con la direzione secondaria di armatura;
- asse 3, ortogonale al piano della parete, che completa la terna levogira.

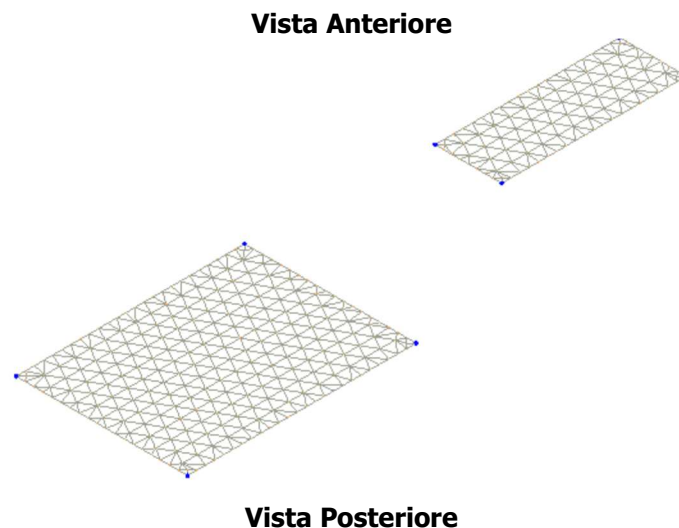


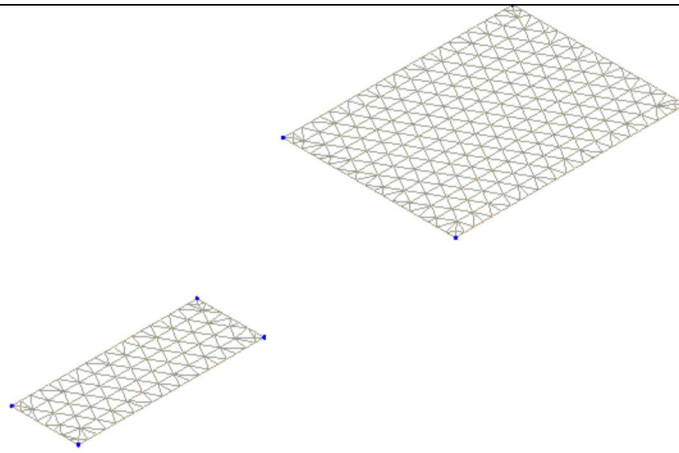
8.4 Modello di Calcolo

Il modello della struttura viene creato automaticamente dal codice di calcolo, individuando i vari elementi strutturali e fornendo le loro caratteristiche geometriche e meccaniche.

Viene definita un'opportuna numerazione degli elementi (nodi, aste, shell) costituenti il modello, al fine di individuare celermente ed univocamente ciascun elemento nei "Tabulati di calcolo".

Qui di seguito è fornita una rappresentazione grafica dettagliata della discretizzazione operata con evidenziazione dei nodi e degli elementi.





Le aste in **c.a.**, sia travi che pilastri, sono schematizzate con un tratto flessibile centrale e da due tratti (braccetti) rigidi alle estremità. I nodi vengono posizionati sull'asse verticale dei pilastri, in corrispondenza dell'estradosso della trave più alta che in esso si collega. Tramite i braccetti i tratti flessibili sono quindi collegati ad esso. In questa maniera il nodo risulta perfettamente aderente alla realtà poiché vengono presi in conto tutti gli eventuali disassamenti degli elementi con gli effetti che si possono determinare, quali momenti flettenti/torcenti aggiuntivi.

Le sollecitazioni vengono determinate solo per il tratto flessibile. Sui tratti rigidi, infatti, essendo (teoricamente) nulle le deformazioni, le sollecitazioni risultano indeterminate.

Questa schematizzazione dei nodi viene automaticamente realizzata dal programma anche quando il nodo sia determinato dall'incontro di più travi senza il pilastro, o all'attacco di travi/pilastri con elementi shell.

La modellazione del materiale degli elementi in c.a., acciaio e legno segue la classica teoria dell'elasticità lineare; per cui il materiale è caratterizzato oltre che dal peso specifico, da un modulo elastico (E) e un modulo tagliante (G).

La possibile fessurazione degli elementi in c.a. è stata tenuta in conto nel modello considerando un opportuno decremento del modulo di elasticità e del modulo di taglio, nei limiti di quanto previsto dalla normativa vigente per ciascuno stato limite.

Gli eventuali elementi di **fondazione** (travi, platee, plinti, plinti su pali e pali) sono modellati assumendo un comportamento elastico-lineare sia a trazione che a compressione.

9 PROGETTO E VERIFICA DEGLI ELEMENTI STRUTTURALI

La verifica degli elementi allo SLU avviene col seguente procedimento:

- si costruiscono le combinazioni non sismiche in base al D.M. 2018, ottenendo un insieme di sollecitazioni;
- si combinano tali sollecitazioni con quelle dovute all'azione del sisma secondo quanto indicato nel §2.5.3, relazione (2.5.5) del D.M. 2018;
- per sollecitazioni semplici (flessione retta, taglio, etc.) si individuano i valori minimo e massimo con cui progettare o verificare l'elemento considerato; per sollecitazioni composte (pressoflessione retta/deviata) vengono eseguite le verifiche per tutte le possibili combinazioni e solo a seguito di ciò si individua quella che ha originato il minimo coefficiente di sicurezza.

9.1 Verifiche di Resistenza

9.1.1 Elementi in C.A.

Illustriamo, in dettaglio, il procedimento seguito in presenza di pressoflessione deviata (pilastri e trave di sezione generica):

- per tutte le terne M_x , M_y , N , individuate secondo la modalità precedentemente illustrata, si calcola il coefficiente di sicurezza in base alla formula 4.1.19 del D.M. 2018, effettuando due verifiche a

pressoflessione retta con la seguente formula:

$$\left(\frac{M_{Ex}}{M_{Rx}}\right)^\alpha + \left(\frac{M_{Ey}}{M_{Ry}}\right)^\alpha \leq 1$$

dove:

M_{Ex} , M_{Ey} sono i valori di calcolo delle due componenti di flessione retta dell'azione attorno agli assi di flessione X ed Y del sistema di riferimento locale;

M_{Rx} , M_{Ry} sono i valori di calcolo dei momenti resistenti di pressoflessione retta corrispondenti allo sforzo assiale N_{Ed} valutati separatamente attorno agli assi di flessione.

L'esponente α può dedursi in funzione della geometria della sezione, della percentuale meccanica dell'armatura e della sollecitazione di sforzo normale agente.

- se per almeno una di queste terne la relazione 4.1.19 non è rispettata, si incrementa l'armatura variando il diametro delle barre utilizzate e/o il numero delle stesse in maniera iterativa fino a quando la suddetta relazione è rispettata per tutte le terne considerate.

Sempre quanto concerne il progetto degli elementi in c.a. illustriamo in dettaglio il procedimento seguito per le travi verificate/semiprogettate a pressoflessione retta:

- per tutte le coppie M_x , N , individuate secondo la modalità precedentemente illustrata, si calcola il coefficiente di sicurezza in base all'armatura adottata;
- se per almeno una di queste coppie esso è inferiore all'unità, si incrementa l'armatura variando il diametro delle barre utilizzate e/o il numero delle stesse in maniera iterativa fino a quando il coefficiente di sicurezza risulta maggiore o al più uguale all'unità per tutte le coppie considerate.

Nei "*Tabulati di calcolo*", per brevità, non potendo riportare una così grossa mole di dati, si riporta la terna M_x , M_y , N , o la coppia M_x , N che ha dato luogo al minimo coefficiente di sicurezza.

Una volta semiprogettate le armature allo SLU, si procede alla verifica delle sezioni allo Stato Limite di Esercizio con le sollecitazioni derivanti dalle combinazioni rare, frequenti e quasi permanenti; se necessario, le armature vengono integrate per far rientrare le tensioni entro i massimi valori previsti. Si procede alle verifiche alla deformazione, quando richiesto, ed alla fessurazione che, come è noto, sono tese ad assicurare la durabilità dell'opera nel tempo.

9.1.1.1 Fondazioni superficiali

Le metodologie, i modelli usati ed i risultati del calcolo del ***carico limite*** sono esposti nella relazione GEOTECNICA.

9.2 DETTAGLI STRUTTURALI

Il progetto delle strutture è stato condotto rispettando i dettagli strutturali previsti dal D.M. 2018, nel seguito illustrati. Il rispetto dei dettagli può essere evinto, oltreché dagli elaborati grafici, anche dalle verifiche riportate nei tabulati allegati alla presente relazione.

10 - TABULATI DI CALCOLO

Per quanto non espressamente sopra riportato, ed in particolar modo per ciò che concerne i dati numerici di calcolo, si rimanda all'allegato "*Tabulati di calcolo*" costituente parte integrante della presente relazione.

IMPIANTO FOTOVOLTAICO UTILITY SCALE

SITO CAR 01 SV317_CARAPELLE

**TABULATI DI CALCOLO PIASTRE DI APPOGGIO MAGAZZINO E
CABINA AUSILIARE**

INFORMAZIONI GENERALI

Edificio	Acciaio
Costruzione	Nuova
Situazione	-
Intervento	-
Comune	Manfredonia
Provincia	Provincia di Foggia
Oggetto	Realizzazione piastre di appoggio dei prefabbricati del parco fotovoltaico di tipo tracker in agro di Carapelle denominato CAR 01 - La Pescia SV317
Parte d'opera	
Normativa di riferimento	D.M. 17/01/2018
Calcolo semplificato per siti a bassa sismicità (§ 7.0)	-
Analisi sismica	Dinamica solo Orizzontale

MATERIALI CALCESTRUZZO ARMATO

N _{id}	γ _k [N/m ³]	α _{T, i} [1/°C]	E [N/mm ²]	G [N/mm ²]	C _{ErId} [%]	Stz	R _{ck} [N/mm ²]	R _{cm} [N/mm ²]	%R _{ck}	γ _c	Caratteristiche calcestruzzo armato					
											f _{cd} [N/mm ²]	f _{ctd} [N/mm ²]	f _{cfm} [N/mm ²]	N	n Ac	
Cls C25/30_B450C - (C25/30)																
001	25 000	0,000010	31 447	13 103	60	P	30,00	-	0,85	1,50	14,11	1,19	3,07	15	002	

LEGENDA:

N_{id}	Numero identificativo del materiale, nella relativa tabella dei materiali.
γ_k	Peso specifico.
α_{T, i}	Coefficiente di dilatazione termica.
E	Modulo elastico normale.
G	Modulo elastico tangenziale.
C_{ErId}	Coefficiente di riduzione del Modulo elastico normale per Analisi Sismica [E _{sisma} = E · C _{ErId}].
Stz	Tipo di situazione: [F] = di Fatto (Esistente); [P] = di Progetto (Nuovo).
R_{ck}	Resistenza caratteristica cubica.
R_{cm}	Resistenza media cubica.
%R_{ck}	Percentuale di riduzione della R _{ck}
γ_c	Coefficiente parziale di sicurezza del materiale.
f_{cd}	Resistenza di calcolo a compressione.
f_{ctd}	Resistenza di calcolo a trazione.
f_{cfm}	Resistenza media a trazione per flessione.
n Ac	Identificativo, nella relativa tabella materiali, dell'acciaio utilizzato: [-] = parametro NON significativo per il materiale.

MATERIALI ACCIAIO

N _{id}	γ _k [N/m ³]	α _{T, i} [1/°C]	E [N/mm ²]	G [N/mm ²]	Stz	f _{yk,1} /f _{yk,2} [N/mm ²]		f _{td,1} /f _{td,2} [N/mm ²]		f _{td} [N/mm ²]	γ _s	γ _{M1}	γ _{M2}	γ _{M3,SLV}	γ _{M3,SLE}	N _{Cnt}	γ _{M7} Cnt	
Acciaio B450C - (B450C)																		
002	78 500	0,000010	210 000	80 769	P	450,00	-	391,30	-	-	1,15	-	-	-	-	-	-	-

LEGENDA:

N_{id}	Numero identificativo del materiale, nella relativa tabella dei materiali.
γ_k	Peso specifico.
α_{T, i}	Coefficiente di dilatazione termica.
E	Modulo elastico normale.
G	Modulo elastico tangenziale.
Stz	Tipo di situazione: [F] = di Fatto (Esistente); [P] = di Progetto (Nuovo).
f_{tk,1}	Resistenza caratteristica a Rottura (per profili con t ≤ 40 mm).
f_{tk,2}	Resistenza caratteristica a Rottura (per profili con 40 mm < t ≤ 80 mm).
f_{td}	Resistenza di calcolo a Rottura (Bulloni).
γ_s	Coefficiente parziale di sicurezza allo SLV del materiale.
γ_{M1}	Coefficiente parziale di sicurezza per instabilità.
γ_{M2}	Coefficiente parziale di sicurezza per sezioni tese indebolite.
γ_{M3,SLV}	Coefficiente parziale di sicurezza per scorrimento allo SLV (Bulloni).
γ_{M3,SLE}	Coefficiente parziale di sicurezza per scorrimento allo SLE (Bulloni).
γ_{M7}	Coefficiente parziale di sicurezza precarico di bulloni ad alta resistenza (Bulloni - N _{Cnt} = con serraggio NON controllato; Cnt = con serraggio controllato). [-] = parametro NON significativo per il materiale.
f_{yk,1}	Resistenza caratteristica allo snervamento (per profili con t ≤ 40 mm).
f_{yk,2}	Resistenza caratteristica allo snervamento (per profili con 40 mm < t ≤ 80 mm).
f_{yd,1}	Resistenza di calcolo (per profili con t ≤ 40 mm).
f_{yd,2}	Resistenza di calcolo (per profili con 40 mm < t ≤ 80 mm).
NOTE	[-] = Parametro non significativo per il materiale.

TENSIONI AMMISSIBILI ALLO SLE DEI VARI MATERIALI

Materiale	SL	Tensioni ammissibili allo SLE dei vari materiali	
		Tensione di verifica	σ _{d,amm} [N/mm ²]
ClS C25/30_B450C	Caratteristica(RARA) Quasi permanente	Compressione Calcestruzzo	14,94
		Compressione Calcestruzzo	11,21
Acciaio B450C	Caratteristica(RARA)	Trazione Acciaio	360,00

LEGENDA:

SL	Stato limite di esercizio per cui si esegue la verifica.
σ_{d,amm}	Tensione ammissibile per la verifica.

TERRENI

N _{TRN}	γ _T [N/m ³]	K1			φ [°]	c _u [N/mm ²]	c' [N/mm ²]	E _d [N/mm ²]	E _{cu} [N/mm ²]	A _{S-B}
		K _{1X}	K _{1Y}	K _{1Z}						
		[N/cm ²]	[N/cm ²]	[N/cm ²]						
Depositi siltosi e sabbiosi poco coesi										
T001	15 900	60	60	200	32	0,200	0,200	190	1	0,000

LEGENDA:

- N_{TRN}** Numero identificativo del terreno.
γ_T Peso specifico del terreno.
K1 Valori della costante di Winkler riferita alla piastra Standard di lato b = 30 cm nelle direzioni degli assi del riferimento globale X (K_{1X}), Y (K_{1Y}), e Z (K_{1Z}).
φ Angolo di attrito del terreno.
c_u Coesione non drenata.
c' Coesione efficace.
E_d Modulo edometrico.
E_{cu} Modulo elastico in condizione non drenate.
A_{S-B} Parametro "A" di Skempton-Bjerrum per pressioni interstiziali.

ANALISI CARICHI

N _{id}	T. C.	Descrizione del Carico	Tipologie di Carico	Peso Proprio		Permanente NON Strutturale	Sovraccarico Accidentale	Carico Neve	
				Descrizione	PP				
				Descrizione	PNS				SA
001	S	Platea	Autorimessa <= 30kN	<i>*vedi le relative tabelle dei carichi</i>	-	Sottofondo e pavimento di tipo industriale in calcestruzzo	2 000	0	0

LEGENDA:

- N_{id}** Numero identificativo dell'analisi di carico.
T. C. Identificativo del tipo di carico: [S] = Superficiale - [L] = Lineare - [C] = Concentrato.
PP, PNS, SA Valori, rispettivamente, del Peso Proprio, del Sovraccarico Permanente NON strutturale, del Sovraccarico Accidentale. Secondo il tipo di carico indicato nella colonna "T.C." ("S" - "L" - "C"), i valori riportati nelle colonne "PP", "PNS" e "SA", sono espressi in [N/m²] per carichi Superficiali, [N/m] per carichi Lineari, [N] per carichi Concentrati.

TIPOLOGIE DI CARICO

N _{id}	Descrizione	F+E	+/- F	CDC	Tipologie di carico		
					ψ ₀	ψ ₁	ψ ₂
0001	Carico Permanente	SI	NO	Permanente	1,00	1,00	1,00
0002	Permanenti NON Strutturali	SI	NO	Permanente	1,00	1,00	1,00
0003	Magazzini	SI	NO	Lunga	1,00	0,90	0,80
0004	Sisma X	-	-	-	-	-	-
0005	Sisma Y	-	-	-	-	-	-
0006	Sisma Z	-	-	-	-	-	-
0007	Sisma Ecc.X	-	-	-	-	-	-
0008	Sisma Ecc.Y	-	-	-	-	-	-

LEGENDA:

- N_{id}** Numero identificativo della Tipologia di Carico.
F+E Indica se la tipologia di carico considerata è AGENTE con il sisma.
+/- F Indica se la tipologia di carico è ALTERNATA (cioè considerata due volte con segno opposto) o meno.
CDC Indica la classe di durata del carico.
 NOTA: dato significativo solo per elementi in materiale legnoso.
ψ₀ Coefficiente riduttivo dei carichi allo SLU e SLE (carichi rari).
ψ₁ Coefficiente riduttivo dei carichi allo SLE (carichi frequenti).
ψ₂ Coefficiente riduttivo dei carichi allo SLE (carichi frequenti e quasi permanenti).

SLU: Non Sismica - Strutturale senza azioni geotecniche

SLU: Non Sismica - Strutturale senza azioni geotecniche

Id _{Comb}	CC 01	CC 02	CC 03
	Carico Permanente	Permanenti NON Strutturali	Magazzini
01	1,00	0,00	0,00
02	1,00	0,80	0,00
03	1,00	0,80	1,50
04	1,00	1,50	0,00
05	1,00	1,50	1,50
06	1,30	0,00	0,00
07	1,30	0,80	0,00
08	1,30	0,80	1,50
09	1,30	1,50	0,00
10	1,30	1,50	1,50

LEGENDA:

- Id_{Comb}** Numero identificativo della Combinazione di Carico.
CC Identificativo della tipologia di carico nella relativa tabella.
 CC 01= Carico Permanente
 CC 02= Permanenti NON Strutturali
 CC 03= Magazzini

SLU: Sismica - Strutturale senza azioni geotecniche

SLU: Sismica - Strutturale senza azioni geotecniche

IdComb	CC 01 Carico Permanente	CC 02 Permanenti NON Strutturali	CC 03 Magazzini
01	1,00	1,00	0,80

LEGENDA:

IdComb Numero identificativo della Combinazione di Carico.
CC Identificativo della tipologia di carico nella relativa tabella.
 CC 01= Carico Permanente
 CC 02= Permanenti NON Strutturali
 CC 03= Magazzini

COMBINAZIONI SISMICHE

Alle combinazioni riportate nella precedente tabella è stato aggiunto l'effetto del sisma. L'azione sismica è stata considerata come caratterizzata da tre componenti traslazionali lungo i tre assi globali X, Y e Z; la risposta della struttura è stata calcolata separatamente per i tre effetti e quindi combinata secondo la seguente espressione simbolica:

$$\alpha = \alpha_i + 0,3 \cdot \alpha_{ii} + 0,3 \cdot \alpha_{iii}$$

con α effetto totale dell'azione sismica, α_i , α_{ii} e α_{iii} azioni sismiche nelle tre direzioni. E' stata effettuata una rotazione degli indici e dei segni, per cui le combinazioni totali generate sono le:

(con α_p sollecitazione dovuta alla combinazione delle condizioni statiche e α sollecitazione dovuta al sisma; in particolare α_x , α_y , α_z , α_{ex} , α_{ey} sono rispettivamente le sollecitazioni dovute al sisma agente in direzione x, in direzioni y, in direzione z, per eccentricità accidentale positiva in direzione x e per eccentricità accidentale positiva in direzione y)

- 3) $\alpha'_p + (\alpha_x + \alpha_{ex}) + 0,3 \cdot (\alpha_y + \alpha_{ey}) - 0,3 \cdot \alpha_z$; 4) $\alpha'_p + (\alpha_x + \alpha_{ex}) - 0,3 \cdot (\alpha_y + \alpha_{ey}) - 0,3 \cdot \alpha_z$;
 5) $\alpha'_p + (\alpha_x + \alpha_{ex}) + 0,3 \cdot (\alpha_y - \alpha_{ey}) + 0,3 \cdot \alpha_z$; 6) $\alpha'_p + (\alpha_x + \alpha_{ex}) - 0,3 \cdot (\alpha_y - \alpha_{ey}) + 0,3 \cdot \alpha_z$;
 7) $\alpha'_p + (\alpha_x + \alpha_{ex}) + 0,3 \cdot (\alpha_y - \alpha_{ey}) - 0,3 \cdot \alpha_z$; 8) $\alpha'_p + (\alpha_x + \alpha_{ex}) - 0,3 \cdot (\alpha_y - \alpha_{ey}) - 0,3 \cdot \alpha_z$;
 9) $\alpha'_p + (\alpha_x - \alpha_{ex}) + 0,3 \cdot (\alpha_y + \alpha_{ey}) + 0,3 \cdot \alpha_z$; 10) $\alpha'_p + (\alpha_x - \alpha_{ex}) - 0,3 \cdot (\alpha_y + \alpha_{ey}) + 0,3 \cdot \alpha_z$;
 11) $\alpha'_p + (\alpha_x - \alpha_{ex}) + 0,3 \cdot (\alpha_y + \alpha_{ey}) - 0,3 \cdot \alpha_z$; 12) $\alpha'_p + (\alpha_x - \alpha_{ex}) - 0,3 \cdot (\alpha_y + \alpha_{ey}) - 0,3 \cdot \alpha_z$;
 13) $\alpha'_p + (\alpha_x - \alpha_{ex}) + 0,3 \cdot (\alpha_y - \alpha_{ey}) + 0,3 \cdot \alpha_z$; 14) $\alpha'_p + (\alpha_x - \alpha_{ex}) - 0,3 \cdot (\alpha_y - \alpha_{ey}) + 0,3 \cdot \alpha_z$;
 15) $\alpha'_p + (\alpha_x - \alpha_{ex}) + 0,3 \cdot (\alpha_y - \alpha_{ey}) - 0,3 \cdot \alpha_z$; 16) $\alpha'_p + (\alpha_x - \alpha_{ex}) - 0,3 \cdot (\alpha_y - \alpha_{ey}) - 0,3 \cdot \alpha_z$;
 17) $\alpha'_p + (\alpha_y + \alpha_{ey}) + 0,3 \cdot (\alpha_x + \alpha_{ex}) + 0,3 \cdot \alpha_z$; 18) $\alpha'_p + (\alpha_y + \alpha_{ey}) - 0,3 \cdot (\alpha_x + \alpha_{ex}) + 0,3 \cdot \alpha_z$;
 19) $\alpha'_p + (\alpha_y + \alpha_{ey}) + 0,3 \cdot (\alpha_x - \alpha_{ex}) - 0,3 \cdot \alpha_z$; 20) $\alpha'_p + (\alpha_y + \alpha_{ey}) - 0,3 \cdot (\alpha_x - \alpha_{ex}) - 0,3 \cdot \alpha_z$;
 21) $\alpha'_p + (\alpha_y + \alpha_{ey}) + 0,3 \cdot (\alpha_x - \alpha_{ex}) + 0,3 \cdot \alpha_z$; 22) $\alpha'_p + (\alpha_y + \alpha_{ey}) - 0,3 \cdot (\alpha_x - \alpha_{ex}) + 0,3 \cdot \alpha_z$;
 23) $\alpha'_p + (\alpha_y + \alpha_{ey}) + 0,3 \cdot (\alpha_x - \alpha_{ex}) - 0,3 \cdot \alpha_z$; 24) $\alpha'_p + (\alpha_y + \alpha_{ey}) - 0,3 \cdot (\alpha_x - \alpha_{ex}) - 0,3 \cdot \alpha_z$;
 25) $\alpha'_p + (\alpha_y - \alpha_{ey}) + 0,3 \cdot (\alpha_x + \alpha_{ex}) + 0,3 \cdot \alpha_z$; 26) $\alpha'_p + (\alpha_y - \alpha_{ey}) - 0,3 \cdot (\alpha_x + \alpha_{ex}) + 0,3 \cdot \alpha_z$;
 27) $\alpha'_p + (\alpha_y - \alpha_{ey}) + 0,3 \cdot (\alpha_x + \alpha_{ex}) - 0,3 \cdot \alpha_z$; 28) $\alpha'_p + (\alpha_y - \alpha_{ey}) - 0,3 \cdot (\alpha_x + \alpha_{ex}) - 0,3 \cdot \alpha_z$;
 29) $\alpha'_p + (\alpha_y - \alpha_{ey}) + 0,3 \cdot (\alpha_x - \alpha_{ex}) + 0,3 \cdot \alpha_z$; 30) $\alpha'_p + (\alpha_y - \alpha_{ey}) - 0,3 \cdot (\alpha_x - \alpha_{ex}) + 0,3 \cdot \alpha_z$;
 31) $\alpha'_p + (\alpha_y - \alpha_{ey}) + 0,3 \cdot (\alpha_x - \alpha_{ex}) - 0,3 \cdot \alpha_z$; 32) $\alpha'_p + (\alpha_y - \alpha_{ey}) - 0,3 \cdot (\alpha_x - \alpha_{ex}) - 0,3 \cdot \alpha_z$;
 33) $\alpha'_p + \alpha_z + 0,3 \cdot (\alpha_x + \alpha_{ex}) + 0,3 \cdot (\alpha_y + \alpha_{ey})$; 34) $\alpha'_p + \alpha_z - 0,3 \cdot (\alpha_x + \alpha_{ex}) + 0,3 \cdot (\alpha_y + \alpha_{ey})$;
 35) $\alpha'_p + \alpha_z + 0,3 \cdot (\alpha_x + \alpha_{ex}) - 0,3 \cdot (\alpha_y + \alpha_{ey})$; 36) $\alpha'_p + \alpha_z - 0,3 \cdot (\alpha_x + \alpha_{ex}) - 0,3 \cdot (\alpha_y + \alpha_{ey})$;
 37) $\alpha'_p + \alpha_z + 0,3 \cdot (\alpha_x + \alpha_{ex}) + 0,3 \cdot (\alpha_y - \alpha_{ey})$; 38) $\alpha'_p + \alpha_z - 0,3 \cdot (\alpha_x + \alpha_{ex}) + 0,3 \cdot (\alpha_y - \alpha_{ey})$;
 39) $\alpha'_p + \alpha_z + 0,3 \cdot (\alpha_x + \alpha_{ex}) - 0,3 \cdot (\alpha_y - \alpha_{ey})$; 40) $\alpha'_p + \alpha_z - 0,3 \cdot (\alpha_x + \alpha_{ex}) - 0,3 \cdot (\alpha_y - \alpha_{ey})$;
 41) $\alpha'_p + \alpha_z + 0,3 \cdot (\alpha_x - \alpha_{ex}) + 0,3 \cdot (\alpha_y + \alpha_{ey})$; 42) $\alpha'_p + \alpha_z - 0,3 \cdot (\alpha_x - \alpha_{ex}) + 0,3 \cdot (\alpha_y + \alpha_{ey})$;
 43) $\alpha'_p + \alpha_z + 0,3 \cdot (\alpha_x - \alpha_{ex}) - 0,3 \cdot (\alpha_y + \alpha_{ey})$; 44) $\alpha'_p + \alpha_z - 0,3 \cdot (\alpha_x - \alpha_{ex}) - 0,3 \cdot (\alpha_y + \alpha_{ey})$;
 45) $\alpha'_p + \alpha_z + 0,3 \cdot (\alpha_x - \alpha_{ex}) + 0,3 \cdot (\alpha_y - \alpha_{ey})$; 46) $\alpha'_p + \alpha_z - 0,3 \cdot (\alpha_x - \alpha_{ex}) + 0,3 \cdot (\alpha_y - \alpha_{ey})$;
 47) $\alpha'_p + \alpha_z + 0,3 \cdot (\alpha_x - \alpha_{ex}) - 0,3 \cdot (\alpha_y - \alpha_{ey})$; 48) $\alpha'_p + \alpha_z - 0,3 \cdot (\alpha_x - \alpha_{ex}) - 0,3 \cdot (\alpha_y - \alpha_{ey})$.

Nel caso di verifiche effettuate con sollecitazioni composte, per tenere conto del fatto che le sollecitazioni sismiche sono state ricavate come CQC delle sollecitazioni derivanti dai modi di vibrazione, dette N, Mx, My, Tx e Ty le sollecitazioni dovute al sisma, per ognuna delle combinazioni precedenti, sono state ricavate 32 combinazioni di carico permutando nel seguente modo i segni delle sollecitazioni derivanti dal sisma:

- 1) N, Mx, My, Tx e Ty; 2) N, Mx, -My, Tx e Ty; 3) N, -Mx, My, Tx e Ty; 4) N, -Mx, -My, Tx e Ty; 5) -N, Mx, My, Tx e Ty; 6) -N, Mx, -My, Tx e Ty; 7) -N, -Mx, My, Tx e Ty; 8) -N, -Mx, -My, Tx e Ty; 9) N, Mx, My, Tx e -Ty; 10) N, Mx, -My, Tx e -Ty; 11) N, -Mx, My, Tx e -Ty; 12) N, -Mx, -My, Tx e -Ty; 13) -N, Mx, My, Tx e -Ty; 14) -N, Mx, -My, Tx e -Ty; 15) -N, -Mx, My, Tx e -Ty; 16) -N, -Mx, -My, Tx e -Ty; 17) N, Mx, My, -Tx e Ty; 18) N, Mx, -My, -Tx e Ty; 19) N, -Mx, My, -Tx e Ty; 20) N, -Mx, -My, -Tx e Ty; 21) -N, Mx, My, -Tx e Ty; 22) -N, Mx, -My, -Tx e Ty; 23) -N, -Mx, My, -Tx e Ty; 24) -N, -Mx, -My, -Tx e Ty; 25) N, Mx, My, -Tx e -Ty; 26) N, Mx, -My, -Tx e -Ty; 27) N, -Mx, My, -Tx e -Ty; 28) N, -Mx, -My, -Tx e -Ty; 29) -N, Mx, My, -Tx e -Ty; 30) -N, Mx, -My, -Tx e -Ty; 31) -N, -Mx, My, -Tx e -Ty; 32) -N, -Mx, -My, -Tx e -Ty.

SERVIZIO(SLE): Caratteristica(RARA)

SERVIZIO(SLE): Caratteristica(RARA)			
IdComb	CC 01 Carico Permanente	CC 02 Permanenti NON Strutturali	CC 03 Magazzini
01	1,00	1,00	1,00

LEGENDA:

IdComb Numero identificativo della Combinazione di Carico.
CC Identificativo della tipologia di carico nella relativa tabella.
 CC 01= Carico Permanente
 CC 02= Permanenti NON Strutturali
 CC 03= Magazzini

SERVIZIO(SLE): Frequente

SERVIZIO(SLE): Frequente			
IdComb	CC 01 Carico Permanente	CC 02 Permanenti NON Strutturali	CC 03 Magazzini
01	1,00	1,00	0,80
02	1,00	1,00	0,90

SERVIZIO(SLE): Frequente

IdComb	CC 01 Carico Permanente	CC 02 Permanenti NON Strutturali	CC 03 Magazzini
---------------	-----------------------------------	--	---------------------------

LEGENDA:

IdComb Numero identificativo della Combinazione di Carico.
CC Identificativo della tipologia di carico nella relativa tabella.
 CC 01= Carico Permanente
 CC 02= Permanenti NON Strutturali
 CC 03= Magazzini

SERVIZIO(SLE): Quasi permanente

SERVIZIO(SLE): Quasi permanente

IdComb	CC 01 Carico Permanente	CC 02 Permanenti NON Strutturali	CC 03 Magazzini
01	1,00	1,00	0,80

LEGENDA:

IdComb Numero identificativo della Combinazione di Carico.
CC Identificativo della tipologia di carico nella relativa tabella.
 CC 01= Carico Permanente
 CC 02= Permanenti NON Strutturali
 CC 03= Magazzini

DATI GENERALI ANALISI SISMICA

											Dati generali analisi sismica		
Ang	NV	CD	MP	Dir	TS	EcA	I_rTemp	C.S.T.	RP	RH	ξ		
[°]											[%]		
0	15	B	ac	X Y	[T 1C] [T 1C]	S	N	C	SI	SI	5		

LEGENDA:

Ang Direzione di una componente dell'azione sismica rispetto all'asse X (sistema di riferimento globale); la seconda componente dell'azione sismica e' assunta con direzione ruotata di 90 gradi rispetto alla prima.

NV Nel caso di analisi dinamica, indica il numero di modi di vibrazione considerati.

CD Classe di duttilità: [A] = Alta - [B] = Media - [ND] = Non Dissipativa - [-] = Nessuna.

MP Tipo di struttura sismo-resistente prevalente: [ca] = calcestruzzo armato - [caOld] = calcestruzzo armato esistente - [muOld] = muratura esistente - [muNew] = muratura nuova - [muArm] = muratura armata - [ac] = acciaio.

Dir Direzione del sisma.

TS Tipologia della struttura:
 Cemento armato: [T 1C] = Telai ad una sola campata - [T+C] = Telai a più campate - [P] = Pareti accoppiate o miste equivalenti a pareti- [2P NC] = Due pareti per direzione non accoppiate - [P NC] = Pareti non accoppiate - [DT] = Deformabili torsionalmente - [PI] = Pendolo inverso - [PM] = Pendolo inverso intelaiate monopiano;
 Muratura: [P] = un solo piano - [PP] = più di un piano - [C-P/MP] = muratura in pietra e/o mattoni pieni - [C-BAS] = muratura in blocchi artificiali con percentuale di foratura > 15%;
 Acciaio: [T 1C] = Telai ad una sola campata - [T+C] = Telai a più campate - [CT] = controventi concentrici diagonale tesa - [CV] = controventi concentrici a V - [M] = mensola o pendolo inverso - [TT] = telaio con tamponature.

EcA Eccentricità accidentale: [S] = considerata come condizione di carico statica aggiuntiva - [N] = Considerata come incremento delle sollecitazioni.

I_rTemp Per piani con distribuzione dei tamponamenti in pianta fortemente irregolare, l'eccentricità accidentale è stata incrementata di un fattore pari a 2: [SI] = Distribuzione tamponamenti irregolare fortemente - [NO] = Distribuzione tamponamenti regolare.

C.S.T. Categoria di sottosuolo: [A] = Ammassi rocciosi affioranti o terreni molto rigidi - [B] = Rocce tenere e depositi di terreni a grana grossa molto addensati o terreni a grana fina molto consistenti - [C] = Depositi di terreni a grana grossa mediamente addensati o terreni a grana fina mediamente consistenti - [D] = Depositi di terreni a grana grossa scarsamente addensati o di terreni a grana fina scarsamente consistenti - [E] = Terreni con caratteristiche e valori di velocità equivalente riconducibili a quelle definite per le categorie C o D.

RP Regolarità in pianta: [SI] = Struttura regolare - [NO] = Struttura non regolare.

RH Regolarità in altezza: [SI] = Struttura regolare - [NO] = Struttura non regolare.

ξ Coefficiente viscoso equivalente.

NOTE [-] = Parametro non significativo per il tipo di calcolo effettuato.

DATI GENERALI ANALISI SISMICA - FATTORI DI COMPORTAMENTO

							Fattori di comportamento	
Dir	q'	q	q₀	k_R	α_u/α₁	K_w		
X	-	4,000	4,00	1,00	1,00	-		
Y	-	4,000	4,00	1,00	1,00	-		
Z	-	1,500	-	-	-	-		

LEGENDA:

q' Fattore di riduzione dello spettro di risposta sismico allo SLU ridotto (Fattore di comportamento ridotto - relazione C7.3.1 circolare NTC)

q Fattore di riduzione dello spettro di risposta sismico allo SLU (Fattore di comportamento).

q₀ Valore di base (comprensivo di K_w).

k_R Fattore riduttivo funzione della regolarità in altezza: pari ad 1 per costruzioni regolari in altezza, 0,8 per costruzioni non regolari in altezza, e 0,75 per costruzioni in muratura esistenti non regolari in altezza (§ C8.5.5.1).

α_u/α₁ Rapporto di sovrarigidità.

K_w Fattore di riduzione di q₀.

Stato Limite	T_r	a_g/g	Amplif. Stratigrafica		F₀	T[*]_c	T_B	T_C	T_D
	[t]		S_s	C_c		[s]	[s]	[s]	[s]
SLO	30	0,0538	1,500	1,617	2,463	0,270	0,146	0,437	1,815

Stato Limite	T _r	a _g /g	Amplif. Stratigrafica		F ₀	T [*] _c	T _B	T _C	T _D
			S _s	C _c					
SLD	[t] 50	0,0709	1,500	1,580	2,490	[s] 0,290	[s] 0,153	[s] 0,458	[s] 1,884
SLV	475	0,1974	1,409	1,509	2,460	0,333	0,168	0,503	2,390
SLC	975	0,2616	1,318	1,499	2,435	0,340	0,170	0,510	2,646

LEGENDA:

- T_r** Periodo di ritorno dell'azione sismica. [t] = anni.
a_g/g Coefficiente di accelerazione al suolo.
S_s Coefficienti di Amplificazione Stratigrafica allo SLO/SLD/SLV/SLC.
C_c Coefficienti di Amplificazione di Tc allo SLO/SLD/SLV/SLC.
F₀ Valore massimo del fattore di amplificazione dello spettro in accelerazione orizzontale.
T^{*}_c Periodo di inizio del tratto a velocità costante dello spettro in accelerazione orizzontale.
T_B Periodo di inizio del tratto accelerazione costante dello spettro di progetto.
T_C Periodo di inizio del tratto a velocità costante dello spettro di progetto.
T_D Periodo di inizio del tratto a spostamento costante dello spettro di progetto.

Cl Ed	V _N	V _R	Lat.	Long.	Q _g	CTop	S _T
	[t]	[t]	[°ssdc]	[°ssdc]	[m]		
2	50	50	41.632734	15.917204	22	T1	1,00

LEGENDA:

- Cl Ed** Classe dell'edificio
Lat. Latitudine geografica del sito.
Long. Longitudine geografica del sito.
Q_g Altitudine geografica del sito.
CTop Categoria topografica (Vedi NOTE).
S_T Coefficiente di amplificazione topografica.
NOTE [-] = Parametro non significativo per il tipo di calcolo effettuato.
 Categoria topografica.

- T1: Superficie pianeggiante, pendii e rilievi isolati con inclinazione media $i \leq 15^\circ$.
 T2: Pendii con inclinazione media $i > 15^\circ$.
 T3: Rilievi con larghezza in cresta molto minore che alla base e inclinazione media $15^\circ \leq i \leq 30^\circ$.
 T4: Rilievi con larghezza in cresta molto minore che alla base e inclinazione media $i > 30^\circ$.

PRINCIPALI ELEMENTI ANALISI SISMICA

Dir	M _{Str}	M _{SLU}	M _{Ecc,SLU}	M _{SLD}	M _{Ecc,SLD}	%T.M _{Ecc}	ΣV _{Ed,SLU}
	[N-s ² /m]	[N-s ² /m]	[N-s ² /m]	[N-s ² /m]	[N-s ² /m]	[%]	[N]
X	268 224	0	0	0	0	0,00	0
Y	268 224	0	0	0	0	0,00	0
Z	268 224	0	0	0	0	100,00	0

LEGENDA:

- Dir** Direzione del sisma.
M_{Str} Massa complessiva della struttura.
M_{SLU} Massa eccitabile allo SLU.
M_{Ecc,SLU} Massa Eccitata dal sisma allo SLU.
M_{SLD} Massa eccitabile della struttura allo SLD, nelle direzioni X, Y, Z.
M_{Ecc,SLD} Massa Eccitata dal sisma allo SLD.
%T.M_{Ecc} Percentuale Totale di Masse Eccitate dal sisma.
ΣV_{Ed,SLU} Tagliante totale, alla base, per sisma allo SLU.

RIEPILOGO MODI DI VIBRAZIONE MODI DI VIBRAZIONE N.15

Sptr	T	a _{g,o}	a _{g,v}	Γ	CM	%M.M	M _{Ecc}
	[s]	[m/s ²]	[m/s ²]			[%]	[N-s ² /m]
Modo Vibrazione n. 1							
SLU-X	0,023	2,583	0,000	0,000	0,0000	0,00	0
SLU-Y	0,023	2,583	0,000	0,000	0,0000	0,00	0
SLU-Z	0,000	0,000	1,161	0,000	0,0000	0,00	0
SLD-X	0,023	1,279	0,000	0,000	0,0000	0,00	0
SLD-Y	0,023	1,279	0,000	0,000	0,0000	0,00	0
SLD-Z	0,000	0,000	0,250	0,000	0,0000	0,00	0
Elast-X	-	1,279	0,000	-	-	-	-
Elast-Y	-	1,279	0,000	-	-	-	-
Elast-Z	-	0,000	1,161	-	-	-	-
Modo Vibrazione n. 2							
SLU-X	0,022	2,588	0,000	0,000	0,0000	0,00	0
SLU-Y	0,022	2,588	0,000	0,000	0,0000	0,00	0
SLU-Z	0,000	0,000	1,161	0,000	0,0000	0,00	0
SLD-X	0,022	1,270	0,000	0,000	0,0000	0,00	0
SLD-Y	0,022	1,270	0,000	0,000	0,0000	0,00	0
SLD-Z	0,000	0,000	0,250	0,000	0,0000	0,00	0
Elast-X	-	1,270	0,000	-	-	-	-
Elast-Y	-	1,270	0,000	-	-	-	-
Elast-Z	-	0,000	1,161	-	-	-	-
Modo Vibrazione n. 3							
SLU-X	0,021	2,594	0,000	0,000	0,0000	0,00	0
SLU-Y	0,021	2,594	0,000	0,000	0,0000	0,00	0
SLU-Z	0,000	0,000	1,161	0,000	0,0000	0,00	0
SLD-X	0,021	1,261	0,000	0,000	0,0000	0,00	0
SLD-Y	0,021	1,261	0,000	0,000	0,0000	0,00	0
SLD-Z	0,000	0,000	0,250	0,000	0,0000	0,00	0

Sptr	T	a _{g,o}	a _{g,v}	Γ	CM	%M.M	M _{Ecc}
Elast-X	-	1,261	0,000	-	-	-	-
Elast-Y	-	1,261	0,000	-	-	-	-
Elast-Z	-	0,000	1,161	-	-	-	-
Modo Vibrazione n. 4							
SLU-X	0,024	2,578	0,000	0,000	0,0000	0,00	0
SLU-Y	0,024	2,578	0,000	0,000	0,0000	0,00	0
SLU-Z	0,000	0,000	1,161	0,000	0,0000	0,00	0
SLD-X	0,024	1,288	0,000	0,000	0,0000	0,00	0
SLD-Y	0,024	1,288	0,000	0,000	0,0000	0,00	0
SLD-Z	0,000	0,000	0,250	0,000	0,0000	0,00	0
Elast-X	-	1,288	0,000	-	-	-	-
Elast-Y	-	1,288	0,000	-	-	-	-
Elast-Z	-	0,000	1,161	-	-	-	-
Modo Vibrazione n. 5							
SLU-X	0,026	2,564	0,000	0,000	0,0000	0,00	0
SLU-Y	0,026	2,564	0,000	0,000	0,0000	0,00	0
SLU-Z	0,000	0,000	1,161	0,000	0,0000	0,00	0
SLD-X	0,026	1,310	0,000	0,000	0,0000	0,00	0
SLD-Y	0,026	1,310	0,000	0,000	0,0000	0,00	0
SLD-Z	0,000	0,000	0,250	0,000	0,0000	0,00	0
Elast-X	-	1,310	0,000	-	-	-	-
Elast-Y	-	1,310	0,000	-	-	-	-
Elast-Z	-	0,000	1,161	-	-	-	-
Modo Vibrazione n. 6							
SLU-X	0,025	2,571	0,000	0,000	0,0000	0,00	0
SLU-Y	0,025	2,571	0,000	0,000	0,0000	0,00	0
SLU-Z	0,000	0,000	1,161	0,000	0,0000	0,00	0
SLD-X	0,025	1,299	0,000	0,000	0,0000	0,00	0
SLD-Y	0,025	1,299	0,000	0,000	0,0000	0,00	0
SLD-Z	0,000	0,000	0,250	0,000	0,0000	0,00	0
Elast-X	-	1,299	0,000	-	-	-	-
Elast-Y	-	1,299	0,000	-	-	-	-
Elast-Z	-	0,000	1,161	-	-	-	-
Modo Vibrazione n. 7							
SLU-X	0,025	2,571	0,000	0,000	0,0000	0,00	0
SLU-Y	0,025	2,571	0,000	0,000	0,0000	0,00	0
SLU-Z	0,000	0,000	1,161	0,000	0,0000	0,00	0
SLD-X	0,025	1,298	0,000	0,000	0,0000	0,00	0
SLD-Y	0,025	1,298	0,000	0,000	0,0000	0,00	0
SLD-Z	0,000	0,000	0,250	0,000	0,0000	0,00	0
Elast-X	-	1,298	0,000	-	-	-	-
Elast-Y	-	1,298	0,000	-	-	-	-
Elast-Z	-	0,000	1,161	-	-	-	-
Modo Vibrazione n. 8							
SLU-X	0,021	2,596	0,000	0,000	0,0000	0,00	0
SLU-Y	0,021	2,596	0,000	0,000	0,0000	0,00	0
SLU-Z	0,000	0,000	1,161	0,000	0,0000	0,00	0
SLD-X	0,021	1,259	0,000	0,000	0,0000	0,00	0
SLD-Y	0,021	1,259	0,000	0,000	0,0000	0,00	0
SLD-Z	0,000	0,000	0,250	0,000	0,0000	0,00	0
Elast-X	-	1,259	0,000	-	-	-	-
Elast-Y	-	1,259	0,000	-	-	-	-
Elast-Z	-	0,000	1,161	-	-	-	-
Modo Vibrazione n. 9							
SLU-X	0,016	2,625	0,000	0,000	0,0000	0,00	0
SLU-Y	0,016	2,625	0,000	0,000	0,0000	0,00	0
SLU-Z	0,000	0,000	1,161	0,000	0,0000	0,00	0
SLD-X	0,016	1,211	0,000	0,000	0,0000	0,00	0
SLD-Y	0,016	1,211	0,000	0,000	0,0000	0,00	0
SLD-Z	0,000	0,000	0,250	0,000	0,0000	0,00	0
Elast-X	-	1,211	0,000	-	-	-	-
Elast-Y	-	1,211	0,000	-	-	-	-
Elast-Z	-	0,000	1,161	-	-	-	-
Modo Vibrazione n. 10							
SLU-X	0,016	2,626	0,000	0,000	0,0000	0,00	0
SLU-Y	0,016	2,626	0,000	0,000	0,0000	0,00	0
SLU-Z	0,000	0,000	1,161	0,000	0,0000	0,00	0
SLD-X	0,016	1,209	0,000	0,000	0,0000	0,00	0
SLD-Y	0,016	1,209	0,000	0,000	0,0000	0,00	0
SLD-Z	0,000	0,000	0,250	0,000	0,0000	0,00	0
Elast-X	-	1,209	0,000	-	-	-	-
Elast-Y	-	1,209	0,000	-	-	-	-
Elast-Z	-	0,000	1,161	-	-	-	-
Modo Vibrazione n. 11							
SLU-X	0,016	2,627	0,000	0,000	0,0000	0,00	0
SLU-Y	0,016	2,627	0,000	0,000	0,0000	0,00	0
SLU-Z	0,000	0,000	1,161	0,000	0,0000	0,00	0
SLD-X	0,016	1,208	0,000	0,000	0,0000	0,00	0
SLD-Y	0,016	1,208	0,000	0,000	0,0000	0,00	0
SLD-Z	0,000	0,000	0,250	0,000	0,0000	0,00	0
Elast-X	-	1,208	0,000	-	-	-	-
Elast-Y	-	1,208	0,000	-	-	-	-
Elast-Z	-	0,000	1,161	-	-	-	-
Modo Vibrazione n. 12							
SLU-X	0,017	2,620	0,000	0,000	0,0000	0,00	0
SLU-Y	0,017	2,620	0,000	0,000	0,0000	0,00	0
SLU-Z	0,000	0,000	1,161	0,000	0,0000	0,00	0
SLD-X	0,017	1,220	0,000	0,000	0,0000	0,00	0

Sptr	T	a _{g,o}	a _{g,v}	Γ	CM	%M.M	M _{Ecc}
SLD-Y	0,017	1,220	0,000	0,000	0,0000	0,00	0
SLD-Z	0,000	0,000	0,250	0,000	0,0000	0,00	0
Elast-X	-	1,220	0,000	-	-	-	-
Elast-Y	-	1,220	0,000	-	-	-	-
Elast-Z	-	0,000	1,161	-	-	-	-
Modo Vibrazione n. 13							
SLU-X	0,020	2,604	0,000	0,000	0,0000	0,00	0
SLU-Y	0,020	2,604	0,000	0,000	0,0000	0,00	0
SLU-Z	0,000	0,000	1,161	0,000	0,0000	0,00	0
SLD-X	0,020	1,245	0,000	0,000	0,0000	0,00	0
SLD-Y	0,020	1,245	0,000	0,000	0,0000	0,00	0
SLD-Z	0,000	0,000	0,250	0,000	0,0000	0,00	0
Elast-X	-	1,245	0,000	-	-	-	-
Elast-Y	-	1,245	0,000	-	-	-	-
Elast-Z	-	0,000	1,161	-	-	-	-
Modo Vibrazione n. 14							
SLU-X	0,019	2,606	0,000	0,000	0,0000	0,00	0
SLU-Y	0,019	2,606	0,000	0,000	0,0000	0,00	0
SLU-Z	0,000	0,000	1,161	0,000	0,0000	0,00	0
SLD-X	0,019	1,242	0,000	0,000	0,0000	0,00	0
SLD-Y	0,019	1,242	0,000	0,000	0,0000	0,00	0
SLD-Z	0,000	0,000	0,250	0,000	0,0000	0,00	0
Elast-X	-	1,242	0,000	-	-	-	-
Elast-Y	-	1,242	0,000	-	-	-	-
Elast-Z	-	0,000	1,161	-	-	-	-
Modo Vibrazione n. 15							
SLU-X	0,018	2,617	0,000	0,000	0,0000	0,00	0
SLU-Y	0,018	2,617	0,000	0,000	0,0000	0,00	0
SLU-Z	0,000	0,000	1,161	0,000	0,0000	0,00	0
SLD-X	0,018	1,224	0,000	0,000	0,0000	0,00	0
SLD-Y	0,018	1,224	0,000	0,000	0,0000	0,00	0
SLD-Z	0,000	0,000	0,250	0,000	0,0000	0,00	0
Elast-X	-	1,224	0,000	-	-	-	-
Elast-Y	-	1,224	0,000	-	-	-	-
Elast-Z	-	0,000	1,161	-	-	-	-

LEGENDA:

- Sptr** Spettro di risposta considerato.
- T** Periodo del Modo di vibrazione.
- a_{g,o}** Valore dell'Accelerazione Spettrale Orizzontale, riferita al corrispondente periodo.
- a_{g,v}** Valore dell'Accelerazione Spettrale Verticale, riferita al corrispondente periodo.
- Γ** Coefficiente di partecipazione.
- CM** Coefficiente modale del modo di vibrazione.
- %M.M** Percentuale di mobilitazione delle masse nel modo di vibrazione.
- M_{Ecc}** Massa Eccitata nel modo di vibrazione.
- SLU-X** Spettro di progetto allo S.L. Ultimo per sisma in direzione X.
- SLU-Y** Spettro di progetto allo S.L. Ultimo per sisma in direzione Y.
- SLU-Z** Spettro di progetto allo S.L. Ultimo per sisma in direzione Z.
- SLD-X** Spettro di progetto allo S.L. di Danno per sisma in direzione X.
- SLD-Y** Spettro di progetto allo S.L. di Danno per sisma in direzione Y.
- SLD-Z** Spettro di progetto allo S.L. di Danno per sisma in direzione Z.
- Elast-X** Spettro Elastico per sisma in direzione X.
- Elast-Y** Spettro Elastico per sisma in direzione Y.
- Elast-Z** Spettro Elastico per sisma in direzione Z.

PLATEE

Lv	N _{id}	Sp	A _{El}	M _{trl}	Id _{Ter}	Clc Fnd	C _{rid,v}	C _{rid,h}
Fondazione	1	0,40	108,00	001	T001	NO	0,266	1,000
SHELL								
[00095-00288-00004]	[00288-00233-00234]	[00151-00375-00150]	[00151-00152-00375]	[00150-00390-00149]	[00150-00375-00390]			
[00304-00210-00318]	[00152-00153-00361]	[00152-00361-00375]	[00362-00347-00217]	[00154-00155-00361]	[00154-00361-00153]			
[00145-00419-00144]	[00145-00404-00419]	[00147-00390-00404]	[00347-00214-00215]	[00149-00390-00148]	[00204-00001-00287]			
[00146-00147-00404]	[00146-00404-00145]	[00155-00346-00361]	[00161-00317-00160]	[00420-00229-00434]	[00161-00303-00317]			
[00163-00286-00303]	[00163-00164-00286]	[00002-00165-00286]	[00002-00286-00164]	[00434-00229-00230]	[00156-00332-00346]			
[00289-00207-00208]	[00162-00163-00303]	[00097-00449-00096]	[00333-00318-00213]	[00162-00303-00161]	[00289-00287-00206]			
[00158-00159-00332]	[00287-00205-00206]	[00160-00317-00159]	[00159-00317-00332]	[00138-00139-00448]	[00203-00287-00289]			
[00139-00140-00448]	[00135-00136-00285]	[00003-00285-00134]	[00287-00001-00205]	[00136-00462-00285]	[00289-00206-00207]			
[00376-00221-00222]	[00376-00219-00220]	[00142-00433-00141]	[00142-00419-00433]	[00141-00433-00140]	[00137-00448-00462]			
[00376-00220-00221]	[00434-00230-00231]	[00288-00234-00004]	[00096-00288-00095]	[00405-00226-00227]	[00449-00288-00096]			
[00449-00233-00288]	[00362-00217-00218]	[00405-00225-00226]	[00203-00204-00287]	[00405-00224-00225]	[00137-00138-00448]			
[00434-00231-00232]	[00137-00462-00136]	[00147-00148-00390]	[00290-00201-00202]	[00333-00213-00214]	[00318-00211-00212]			
[00304-00209-00210]	[00420-00228-00229]	[00294-00190-00191]	[00318-00210-00211]	[00318-00212-00213]	[00347-00216-00217]			
[00347-00215-00216]	[00449-00434-00232]	[00420-00405-00227]	[00200-00201-00290]	[00202-00203-00289]	[00449-00232-00233]			
[00420-00227-00228]	[00304-00208-00209]	[00304-00289-00208]	[00290-00202-00289]	[00098-00449-00097]	[00333-00214-00347]			
[00392-00377-00391]	[00362-00218-00219]	[00362-00219-00376]	[00155-00156-00346]	[00391-00223-00224]	[00391-00224-00405]			
[00391-00222-00223]	[00391-00376-00222]	[00140-00433-00448]	[00003-00135-00285]	[00290-00289-00304]	[00144-00419-00143]			
[00157-00158-00332]	[00421-00420-00435]	[00348-00333-00347]	[00348-00347-00362]	[00421-00406-00420]	[00377-00376-00391]			
[00319-00318-00333]	[00319-00304-00318]	[00406-00405-00420]	[00406-00391-00405]	[00450-00098-00099]	[00435-00434-00449]			
[00435-00420-00434]	[00392-00391-00406]	[00377-00362-00376]	[00452-00451-00104]	[00303-00167-00302]	[00303-00166-00167]			
[00450-00449-00098]	[00450-00435-00449]	[00142-00143-00419]	[00100-00450-00099]	[00305-00290-00304]	[00305-00304-00319]			
[00350-00335-00349]	[00451-00436-00450]	[00334-00333-00348]	[00334-00319-00333]	[00332-00331-00346]	[00363-00348-00362]			
[00363-00362-00377]	[00103-00451-00102]	[00378-00377-00392]	[00378-00363-00377]	[00320-00319-00334]	[00101-00450-00100]			
[00407-00406-00421]	[00407-00392-00406]	[00197-00198-00291]	[00349-00348-00363]	[00320-00305-00319]	[00349-00334-00348]			
[00291-00290-00305]	[00291-00200-00290]	[00291-00199-00200]	[00436-00435-00450]	[00436-00421-00435]	[00332-00317-00331]			
[00361-00360-00375]	[00198-00199-00291]	[00104-00451-00103]	[00451-00101-00102]	[00361-00346-00360]	[00109-00453-00108]			

							Platee	
Lv	N _{id}	Sp [m]	A _{EI} [m ²]	Mtrl	Id _{Ter}	Cic Fnd	C _{rid,v}	C _{rid,h}
[00063-00064-00246]	[00246-00065-00245]		[00269-00268-00280]		[00246-00245-00257]	[00034-00282-00033]		[00029-00280-00028]
[00059-00060-00247]	[00282-00031-00032]		[00282-00281-00031]		[00031-00281-00030]	[00282-00270-00281]		[00258-00257-00269]
[00258-00246-00257]	[00281-00269-00280]		[00281-00280-00029]		[00281-00029-00030]	[00259-00247-00258]		[00259-00258-00270]
[00062-00063-00246]	[00060-00061-00247]		[00033-00282-00032]		[00270-00258-00269]	[00270-00269-00281]		[00247-00246-00258]
[00247-00062-00246]	[00247-00061-00062]							

LEGENDA:

Lv	Identificativo del livello, nella relativa tabella.
N_{id}	Numero identificativo della platea.
Sp	Spessore elemento.
A_{EI}	Superficie elemento.
Mtrl	Identificativo del materiale.
Id_{Ter}	Identificativo del terreno, nella relativa tabella.
Cic Fnd	[SI] = elemento progettato attraverso una modalità di rispetto della Gerarchia delle Resistenze per le Fondazioni. [No] = elemento progettato con le sollecitazioni ottenute dall'analisi (senza nessuna modalità di rispetto della Gerarchia delle Resistenze per le Fondazioni).
C_{rid,v}	Coefficiente di riduzione della costante di sottofondo verticale
C_{rid,h}	Coefficiente di riduzione della costante di sottofondo orizzontale
Shell	Shell in cui risulta suddiviso l'elemento.

CARICHI SULLE PLATEE

								Carichi sulle platee		
TC	Shell	C	CC	SR	Q _x [N/m ²]	Q _y [N/m ²]	Q _z [N/m ²]			
Fondazione	Platea 1			Peso proprio		-10 000				
S	-	CR001	002	G	0	0	-2 000			
Fondazione	Platea 2			Peso proprio		-7 500				
S	-	CR001	002	G	0	0	-2 000			

LEGENDA:

TC	Descrizione del tipo di carico: [L] = Lineare - [C] = Concentrato - [S] = Superficiale - [T] = Termico.
C	Descrizione del carico: CR001 = PLATEA: Platea (sovraccarico permanente)
CC	Identificativo della tipologia di carico nella relativa tabella.
SR	Identificativo del sistema di riferimento considerato: [G] = Sistema di riferimento Globale X, Y, Z - [L] = Sistema di riferimento Locale 1, 2, 3.
Q_x, Q_y	Valore della forza distribuita superficiale uniforme riferita agli assi del sistema di riferimento indicato nella colonna "S.R".
Q_z	
ΔT	Differenza di temperatura fra le facce dell'elemento shell.

PIANI - VERIFICHE REGOLARITÀ (Elevazione)

REGOLARITÀ DELLA STRUTTURA IN PIANTA

a)	la configurazione in pianta è compatta ossia la distribuzione di masse e rigidità è approssimativamente simmetrica rispetto a due direzioni ortogonali e il contorno di ogni orizzontamento è convesso; il requisito può ritenersi soddisfatto, anche in presenza di rientranze in pianta, quando esse non influenzano significativamente la rigidità nel piano dell'orizzontamento e, per ogni rientranza, l'area compresa tra il perimetro dell'orizzontamento e la linea convessa circoscritta all'orizzontamento non supera il 5% dell'area dell'orizzontamento;	SI
b)	il rapporto tra i lati del rettangolo circoscritto alla pianta di ogni orizzontamento è inferiore a 4;	SI
c)	ciascun orizzontamento ha una rigidità nel proprio piano tanto maggiore della corrispondente rigidità degli elementi strutturali verticali da potersi assumere che la sua deformazione in pianta influenzi in modo trascurabile la distribuzione delle azioni sismiche tra questi ultimi e ha resistenza sufficiente a garantire l'efficacia di tale distribuzione;	SI

La struttura è regolare in pianta.

REGOLARITÀ DELLA STRUTTURA IN ALTEZZA

d)	tutti i sistemi resistenti alle azioni orizzontali si estendono per tutta l'altezza della costruzione o, se sono presenti parti aventi differenti altezze, fino alla sommità della rispettiva parte dell'edificio;	SI
e)	massa e rigidità rimangono costanti o variano gradualmente, senza bruschi cambiamenti, dalla base alla sommità della costruzione (le variazioni di massa da un orizzontamento all'altro non superano il 25%, la rigidità non si riduce da un orizzontamento a quello sovrastante più del 30% e non aumenta più del 10%); ai fini della rigidità si possono considerare regolari in altezza strutture dotate di pareti o nuclei in c.a. o di pareti e nuclei in muratura di sezione costante sull'altezza o di telai controventati in acciaio, ai quali sia affidato almeno il 50% dell'azione sismica alla base;	SI
f)	nelle strutture intelaiate, il rapporto tra la capacità e la domanda allo SLV non è significativamente diverso, in termini di resistenza, per orizzontamenti diversi (tale rapporto, calcolato per un generico orizzontamento, non deve differire più del 30% dall'analogo rapporto calcolato per l'orizzontamento adiacente); può fare eccezione l'ultimo orizzontamento di strutture intelaiate di almeno tre orizzontamenti;	SI
g)	eventuali restringimenti della sezione orizzontale della costruzione avvengano con continuità da un orizzontamento al successivo; oppure avvengano in modo che il rientro di un orizzontamento non superi il 10% della dimensione corrispondente all'orizzontamento immediatamente sottostante, né il 30% della dimensione corrispondente al primo orizzontamento. Fa eccezione l'ultimo orizzontamento di costruzioni di almeno quattro orizzontamenti, per il quale non sono previste limitazioni di restringimento;	SI

La struttura è regolare in altezza.

Piani - Verifiche Regolarità

Id _{Piano}	Q _{Lv} [m]	H _{Lv} [m]	R _{dT_{mp}}	I _{rT_{mp}}	M _{SLU} [N·s ² /m]	K _{SLU}		R _{eff}		R _{ric}	
						X [N/cm]	Y [N/cm]	X [N]	Y [N]	X [N]	Y [N]
Piano Terra	0,00	3,00	NO	NO	0	2 147 483 647	2 147 483 647	0	0	0	0

LEGENDA:

Id_{Piano}	Identificativo del livello o piano.
Q_{Lv}	Quota del livello o piano.
H_{Lv}	Altezza del livello o piano.
R_{dT_{mp}}	Per i piani con riduzione dei tamponamenti, sono state incrementate le azioni di calcolo per gli elementi verticali (pilastri e pareti) di un fattore 1,4; [SI] = Piano con riduzione dei tamponamenti - [NO] = Piano senza riduzione dei tamponamenti.
I_{rT_{mp}}	Per piani con distribuzione dei tamponamenti in pianta fortemente irregolare, l'eccentricità accidentale è stata incrementata di un fattore pari a 2; [SI] = Distribuzione tamponamenti irregolare fortemente - [NO] = Distribuzione tamponamenti regolare.
M_{SLU}	Massa eccitabile della struttura allo S.L. Ultimo, nelle direzioni X, Y, Z.
K_{SLU}	Valori delle Rigidità di Piano, valutate allo SLU, riferite agli assi X ed Y del riferimento globale.
R_{eff}	Valori delle Resistenze Effettive di Piano, valutate allo SLU, relative al sistema di riferimento globale X, Y, Z.

R_{ric} Valori delle Resistenze Richieste di Piano, valutate allo SLU, relative al sistema di riferimento globale X, Y, Z.
(*) Vedi tabelle "Livelli o Piani" o "Solai e Balconi".

EFFETTI DELLE NON LINEARITÀ GEOMETRICHE PER SISMA (Elevazione)

Effetti delle non linearità geometriche per sisma

IdPiano	Q _{Lv}	H _{Lv}	δ _{d,x}	δ _{d,y}	P _{θ,x}	P _{θ,y}	T _{θ,x}	T _{θ,y}	θ _x	θ _y
	[m]	[m]	[cm]	[cm]	[N]	[N]	[N]	[N]	[rad]	[rad]
Piano Terra	0,00	3,00	0,0000	0,0000	0	0	0	0	0 E+00	0 E+00

LEGENDA:

IdPiano Identificativo del livello o piano.
H_{Lv} Altezza del livello o piano.
δ_{d,x}, δ_{d,y} Componenti dello spostamento differenziale rispetto al piano inferiore.
P_{θ,x}, P_{θ,z} Valori del carico verticale del piano utilizzato per il calcolo di "θ".
T_{θ,x}, T_{θ,y} Valori del tagliante di piano utilizzati per il calcolo di "θ".
θ_x, θ_y Coefficienti "θ" del piano.
Nota Le forze sismiche orizzontali agenti sui piani caratterizzati da valori di θ compresi tra 0,1 e 0,2, sono state incrementate del fattore "1/(1-θ)", per portare in conto gli effetti del secondo ordine.

PIANI - VERIFICHE AGLI SPOSTAMENTI

Piani - Verifiche

IdPiano	Q _{Lv}	H _{Lv}	δ _{d,x}	δ _{d,y}	C _{igT} mp	δ _{lim}	δ _{lim} - δ _{d,x}	δ _{lim} - δ _{d,y}	Note
	[m]	[m]	[cm]	[cm]		[cm]	[cm]	[cm]	
Piano Terra	0,00	3,00	0,0000	0,0000	RF	1,5000	1,5000	1,5000	Verificato

LEGENDA:

IdPiano Identificativo del livello o piano.
Q_{Lv} Quota del livello o piano.
H_{Lv} Altezza del livello o piano.
C_{igT}mp Tipo di collegamento delle tamponature alla struttura: [R] = Rigido - [E] = Elastico - [RF] = Rigidamente fragili - [RD] = Rigidamente Duttili.
δ_{lim} Valore limite dello spostamento differenziale indicato dalla normativa.
δ_{d,x}, δ_{d,y} Componenti dello spostamento differenziale rispetto al piano inferiore.

PIANI - VERIFICHE ALLO SLE (Elevazione)

Piani - Verifiche allo SLE

IdPiano	Q _{Lv}	H _{Lv}	δ _{amm,SLE}	δ _{d,SLE}		Δδ _{SLE}		Note
				X	Y	X	Y	
	[m]	[m]	[cm]	[cm]	[cm]	[cm]	[cm]	
Piano Terra	0,00	3,00	1,0000	0,0000	0,0000	1,0000	1,0000	Verificato

LEGENDA:

IdPiano Identificativo del livello o piano.
Q_{Lv} Quota del livello o piano.
H_{Lv} Altezza del livello o piano.
δ_{amm,SLE} Spostamento Differenziale ammissibile.
δ_{d,SLE} Spostamento Differenziale.
Δδ_{SLE} Differenza fra spostamento limite e quello di calcolo nelle direzioni X e Y.

PLATEE - VERIFICHE PRESSOFLESSIONE RETTA ALLO SLU (Fondazione)

Platee - Verifiche pressoflessione retta allo SLU

Dir	Pos	Nodo	N _{Ed}	M _{Ed}	A _s	A _d	CS	Nodo	N _{Ed}	M _{Ed}	A _s	A _d	CS	Nodo	N _{Ed}	M _{Ed}	A _s	A _d	CS	
			[N]	[N-m]	[cm ² /cm]	[cm ² /cm]			[N]	[N-m]	[cm ² /cm]	[cm ² /cm]			[N]	[N-m]	[cm ² /cm]	[cm ² /cm]		
Fondazione																				
Platea 1																				
P	S	00001	0	0	0,045 24	0,045 24	-	00002	0	0	0,045 24	0,045 24	-	00003	0	0	0,045 24	0,045 24	-	
	I		0	175	0,045 24	0,045 24	NS		0	175	0,045 24	0,045 24	NS		0	49	0,045 24	0,045 24	NS	
S	S		0	0	0,045 24	0,045 24	-		0	0	0,045 24	0,045 24	-		0	0	0,045 24	0,045 24	-	
	I		0	40	0,045 24	0,045 24	NS		0	40	0,045 24	0,045 24	NS		0	51	0,045 24	0,045 24	NS	
P	S	00004	0	0	0,045 24	0,045 24	-	00095	0	0	0,045 24	0,045 24	-	00096	0	0	0,045 24	0,045 24	-	
	I		0	49	0,045 24	0,045 24	NS		0	1 036	0,045 24	0,045 24	63,3 4		0	1 586	0,045 24	0,045 24	41,37	
S	S		0	0	0,045 24	0,045 24	-		0	270	0,045 24	0,045 24	NS		0	0	0,045 24	0,045 24	-	
	I		0	51	0,045 24	0,045 24	NS		0	0	0,045 24	0,045 24	-		0	327	0,045 24	0,045 24	NS	
P	S	00097	0	0	0,045 24	0,045 24	-	00098	0	0	0,045 24	0,045 24	-	00099	0	0	0,045 24	0,045 24	-	
	I		0	1 980	0,045 24	0,045 24	33,1 4		0	2 243	0,045 24	0,045 24	29,2 5		0	2 627	0,045 24	0,045 24	24,98	
S	S		0	0	0,045 24	0,045 24	-		0	0	0,045 24	0,045 24	-		0	0	0,045 24	0,045 24	-	
	I		0	331	0,045 24	0,045 24	NS		0	899	0,045 24	0,045 24	72,9 9		0	319	0,045 24	0,045 24	NS	
P	S	00100	0	0	0,045 24	0,045 24	-	00101	0	0	0,045 24	0,045 24	-	00102	0	0	0,045 24	0,045 24	-	
	I		0	2 686	0,045 24	0,045 24	24,4 3		0	2 474	0,045 24	0,045 24	26,5 2		0	2 397	0,045 24	0,045 24	27,38	
S	S		0	0	0,045 24	0,045 24	-		0	0	0,045 24	0,045 24	-		0	0	0,045 24	0,045 24	-	
	I		0	336	0,045 24	0,045 24	NS		0	896	0,045 24	0,045 24	73,2		0	310	0,045 24	0,045 24	NS	

Platee - Verifiche pressoflessione retta allo SLU

Dir	Pos	Nodo	N _{Ed}	M _{Ed}	A _S	A _{dF}	CS	Nodo	N _{Ed}	M _{Ed}	A _S	A _{dF}	CS	Nodo	N _{Ed}	M _{Ed}	A _S	A _{dF}	CS
			[N]	[N-m]	[cm ² /cm]	[cm ² /cm]			[N]	[N-m]	[cm ² /cm]	[cm ² /cm]			[N]	[N-m]	[cm ² /cm]	[cm ² /cm]	
					24	24					24	24			3				
P	S	00103	0	0	0,045	0,045	-	00104	0	0	0,045	0,045	-	00105	0	0	0,045	0,045	-
			0	2 169	0,045	0,045			0	1 811	0,045	0,045			36,2	3	0	1 549	
S	S		0	0	0,045	0,045	-		0	0	0,045	0,045	-		0	0	0,045	0,045	-
			0	343	0,045	0,045			0	812	0,045	0,045			80,8	1	0	315	
P	S	00106	0	0	0,045	0,045	-	00107	0	0	0,045	0,045	-	00108	0	0	0,045	0,045	-
			0	1 190	0,045	0,045			0	1 092	0,045	0,045			60,0	9	0	894	
S	S		0	0	0,045	0,045	-		0	0	0,045	0,045	-		0	0	0,045	0,045	-
			0	868	0,045	0,045			0	328	0,045	0,045			NS	0	320	0,045	
P	S	00109	0	0	0,045	0,045	-	00110	0	0	0,045	0,045	-	00111	0	0	0,045	0,045	-
			0	497	0,045	0,045			0	460	0,045	0,045			NS	0	297	0,045	
S	S		0	0	0,045	0,045	-		0	0	0,045	0,045	-		0	0	0,045	0,045	-
			0	883	0,045	0,045			0	318	0,045	0,045			NS	0	332	0,045	
P	S	00112	0	0	0,045	0,045	-	00113	0	52	0,045	0,045	NS	00114	0	71	0,045	0,045	NS
			0	53	0,045	0,045			0	0	0,045	0,045			-	0	49	0,045	
S	S		0	0	0,045	0,045	-		0	0	0,045	0,045	-		0	0	0,045	0,045	-
			0	813	0,045	0,045			0	314	0,045	0,045			NS	0	811	0,045	
P	S	00115	0	0	0,045	0,045	-	00116	0	0	0,045	0,045	-	00117	0	0	0,045	0,045	-
			0	56	0,045	0,045			0	45	0,045	0,045			NS	0	78	0,045	
S	S		0	0	0,045	0,045	-		0	0	0,045	0,045	-		0	0	0,045	0,045	-
			0	335	0,045	0,045			0	311	0,045	0,045			NS	0	847	0,045	
P	S	00118	0	0	0,045	0,045	-	00119	0	0	0,045	0,045	-	00120	0	0	0,045	0,045	-
			0	308	0,045	0,045			0	451	0,045	0,045			NS	0	497	0,045	
S	S		0	0	0,045	0,045	-		0	0	0,045	0,045	-		0	0	0,045	0,045	-
			0	330	0,045	0,045			0	323	0,045	0,045			NS	0	868	0,045	
P	S	00121	0	0	0,045	0,045	-	00122	0	0	0,045	0,045	-	00123	0	0	0,045	0,045	-
			0	887	0,045	0,045			0	1 087	0,045	0,045			60,3	7	0	1 192	
S	S		0	0	0,045	0,045	-		0	0	0,045	0,045	-		0	0	0,045	0,045	-
			0	320	0,045	0,045			0	328	0,045	0,045			NS	0	861	0,045	
P	S	00124	0	0	0,045	0,045	-	00125	0	0	0,045	0,045	-	00126	0	0	0,045	0,045	-
			0	1 551	0,045	0,045			0	1 815	0,045	0,045			36,1	5	0	2 174	
S	S		0	0	0,045	0,045	-		0	0	0,045	0,045	-		0	0	0,045	0,045	-
			0	315	0,045	0,045			0	809	0,045	0,045			81,1	1	0	343	
P	S	00127	0	0	0,045	0,045	-	00128	0	0	0,045	0,045	-	00129	0	0	0,045	0,045	-
			0	2 404	0,045	0,045			0	2 482	0,045	0,045			26,4	4	0	2 695	
S	S		0	0	0,045	0,045	-		0	0	0,045	0,045	-		0	0	0,045	0,045	-
			0	311	0,045	0,045			0	895	0,045	0,045			73,3	2	0	336	
P	S	00130	0	0	0,045	0,045	-	00131	0	0	0,045	0,045	-	00132	0	0	0,045	0,045	-
			0	2 635	0,045	0,045			0	2 249	0,045	0,045			29,1	8	0	1 983	
S	S		0	0	0,045	0,045	-		0	0	0,045	0,045	-		0	0	0,045	0,045	-
			0	319	0,045	0,045			0	898	0,045	0,045			73,0	7	0	331	
P	S	00133	0	0	0,045	0,045	-	00134	0	0	0,045	0,045	-	00135	0	259	0,045	0,045	NS
			0	1 588	0,045	0,045			0	1 038	0,045	0,045			63,2	2	0	0	

Platee - Verifiche pressoflessione retta allo SLU

Dir	Pos	Nodo	N _{Ed}	M _{Ed}	A _s	A _{df}	CS	Nodo	N _{Ed}	M _{Ed}	A _s	A _{df}	CS	Nodo	N _{Ed}	M _{Ed}	A _s	A _{df}	CS
			[N]	[N-m]	[cm ² /cm]	[cm ² /cm]			[N]	[N-m]	[cm ² /cm]	[cm ² /cm]			[N]	[N-m]	[cm ² /cm]	[cm ² /cm]	
S	S		0	0	0,045 24	0,045 24	-		0	271	0,045 24	0,045 24	NS		0	0	0,045 24	0,045 24	-
	I		0	328	0,045 24	0,045 24	NS		0	0	0,045 24	0,045 24	-		0	726	0,045 24	0,045 24	90,38
P	S	00136	0	0	0,045 24	0,045 24	-	00137	0	0	0,045 24	0,045 24	-	00138	0	0	0,045 24	0,045 24	-
	I		0	324	0,045 24	0,045 24	NS		0	478	0,045 24	0,045 24	NS		0	42	0,045 24	0,045 24	NS
S	S		0	0	0,045 24	0,045 24	-		0	0	0,045 24	0,045 24	-		0	0	0,045 24	0,045 24	-
	I		0	1 531	0,045 24	0,045 24	42,8 6		0	2 004	0,045 24	0,045 24	32,7 4		0	2 275	0,045 24	0,045 24	28,84
P	S	00139	0	98	0,045 24	0,045 24	NS	00140	0	0	0,045 24	0,045 24	-	00141	0	0	0,045 24	0,045 24	-
	I		0	33	0,045 24	0,045 24	NS		0	603	0,045 24	0,045 24	NS		0	379	0,045 24	0,045 24	NS
S	S		0	0	0,045 24	0,045 24	-		0	0	0,045 24	0,045 24	-		0	0	0,045 24	0,045 24	-
	I		0	2 464	0,045 24	0,045 24	26,6 3		0	2 366	0,045 24	0,045 24	27,7 3		0	2 289	0,045 24	0,045 24	28,67
P	S	00142	0	0	0,045 24	0,045 24	-	00143	0	90	0,045 24	0,045 24	NS	00144	0	0	0,045 24	0,045 24	-
	I		0	540	0,045 24	0,045 24	NS		0	34	0,045 24	0,045 24	NS		0	44	0,045 24	0,045 24	NS
S	S		0	0	0,045 24	0,045 24	-		0	0	0,045 24	0,045 24	-		0	0	0,045 24	0,045 24	-
	I		0	2 294	0,045 24	0,045 24	28,6 0		0	2 240	0,045 24	0,045 24	29,2 9		0	2 047	0,045 24	0,045 24	32,06
P	S	00145	0	0	0,045 24	0,045 24	-	00146	0	0	0,045 24	0,045 24	-	00147	0	0	0,045 24	0,045 24	-
	I		0	482	0,045 24	0,045 24	NS		0	382	0,045 24	0,045 24	NS		0	538	0,045 24	0,045 24	NS
S	S		0	0	0,045 24	0,045 24	-		0	0	0,045 24	0,045 24	-		0	0	0,045 24	0,045 24	-
	I		0	1 803	0,045 24	0,045 24	36,3 9		0	1 484	0,045 24	0,045 24	44,2 2		0	1 403	0,045 24	0,045 24	46,77
P	S	00148	0	0	0,045 24	0,045 24	-	00149	0	0	0,045 24	0,045 24	-	00150	0	0	0,045 24	0,045 24	-
	I		0	32	0,045 24	0,045 24	NS		0	45	0,045 24	0,045 24	NS		0	484	0,045 24	0,045 24	NS
S	S		0	0	0,045 24	0,045 24	-		0	0	0,045 24	0,045 24	-		0	0	0,045 24	0,045 24	-
	I		0	1 463	0,045 24	0,045 24	44,8 5		0	1 388	0,045 24	0,045 24	47,2 8		0	1 363	0,045 24	0,045 24	48,14
P	S	00151	0	0	0,045 24	0,045 24	-	00152	0	0	0,045 24	0,045 24	-	00153	0	0	0,045 24	0,045 24	-
	I		0	381	0,045 24	0,045 24	NS		0	546	0,045 24	0,045 24	NS		0	19	0,045 24	0,045 24	NS
S	S		0	0	0,045 24	0,045 24	-		0	0	0,045 24	0,045 24	-		0	0	0,045 24	0,045 24	-
	I		0	1 228	0,045 24	0,045 24	53,4 4		0	1 367	0,045 24	0,045 24	48,0 0		0	1 738	0,045 24	0,045 24	37,76
P	S	00154	0	66	0,045 24	0,045 24	NS	00155	0	0	0,045 24	0,045 24	-	00156	0	0	0,045 24	0,045 24	-
	I		0	53	0,045 24	0,045 24	NS		0	464	0,045 24	0,045 24	NS		0	445	0,045 24	0,045 24	NS
S	S		0	0	0,045 24	0,045 24	-		0	0	0,045 24	0,045 24	-		0	0	0,045 24	0,045 24	-
	I		0	1 805	0,045 24	0,045 24	36,3 5		0	1 931	0,045 24	0,045 24	33,9 8		0	2 169	0,045 24	0,045 24	30,25
P	S	00157	0	0	0,045 24	0,045 24	-	00158	0	90	0,045 24	0,045 24	NS	00159	0	0	0,045 24	0,045 24	-
	I		0	67	0,045 24	0,045 24	NS		0	19	0,045 24	0,045 24	NS		0	571	0,045 24	0,045 24	NS
S	S		0	0	0,045 24	0,045 24	-		0	0	0,045 24	0,045 24	-		0	0	0,045 24	0,045 24	-
	I		0	2 312	0,045 24	0,045 24	28,3 8		0	2 541	0,045 24	0,045 24	25,8 2		0	2 343	0,045 24	0,045 24	28,01
P	S	00160	0	0	0,045 24	0,045 24	-	00161	0	0	0,045 24	0,045 24	-	00162	0	163	0,045 24	0,045 24	NS
	I		0	381	0,045 24	0,045 24	NS		0	586	0,045 24	0,045 24	NS		0	62	0,045 24	0,045 24	NS
S	S		0	0	0,045 24	0,045 24	-		0	0	0,045 24	0,045 24	-		0	0	0,045 24	0,045 24	-
	I		0	2 318	0,045 24	0,045 24	28,3 1		0	2 190	0,045 24	0,045 24	29,9 6		0	1 791	0,045 24	0,045 24	36,64
P	S	00163	0	0	0,045 24	0,045 24	-	00164	0	232	0,045 24	0,045 24	NS	00165	0	0	0,045 24	0,045 24	-
	I		0	234	0,045 24	0,045 24	NS		0	0	0,045 24	0,045 24	-		0	507	0,045 24	0,045 24	NS
S	S		0	0	0,045 24	0,045 24	-		0	0	0,045 24	0,045 24	-		0	241	0,045 24	0,045 24	NS
	I		0	1 413	0,045 24	0,045 24	46,4 4		0	1 106	0,045 24	0,045 24	59,3 3		0	0	0,045 24	0,045 24	-
P	S	00166	0	0	0,045	0,045	-	00167	0	0	0,045	0,045	-	00168	0	0	0,045	0,045	-

Platee - Verifiche pressoflessione retta allo SLU

Dir	Pos	Nodo	N _{Ed}	M _{Ed}	A _s	A _{df}	CS	Nodo	N _{Ed}	M _{Ed}	A _s	A _{df}	CS	Nodo	N _{Ed}	M _{Ed}	A _s	A _{df}	CS
			[N]	[N-m]	[cm ² /cm]	[cm ² /cm]			[N]	[N-m]	[cm ² /cm]	[cm ² /cm]			[N]	[N-m]	[cm ² /cm]	[cm ² /cm]	
	I		0	1 537	0,045 24	0,045 24	42,6 9		0	1 808	0,045 24	0,045 24	36,2 9		0	2 210	0,045 24	0,045 24	29,69
S	S		0	0	0,045 24	0,045 24	-		0	0	0,045 24	0,045 24	-		0	0	0,045 24	0,045 24	-
	I		0	282	0,045 24	0,045 24	NS		0	835	0,045 24	0,045 24	78,5 8		0	311	0,045 24	0,045 24	NS
P	S	00169	0	0	0,045 24	0,045 24	-	00170	0	0	0,045 24	0,045 24	-	00171	0	0	0,045 24	0,045 24	-
	I		0	2 516	0,045 24	0,045 24	26,0 8		0	2 694	0,045 24	0,045 24	24,3 6		0	2 577	0,045 24	0,045 24	25,46
S	S		0	0	0,045 24	0,045 24	-		0	0	0,045 24	0,045 24	-		0	0	0,045 24	0,045 24	-
	I		0	872	0,045 24	0,045 24	75,2 5		0	323	0,045 24	0,045 24	NS		0	314	0,045 24	0,045 24	NS
P	S	00172	0	0	0,045 24	0,045 24	-	00173	0	0	0,045 24	0,045 24	-	00174	0	0	0,045 24	0,045 24	-
	I		0	2 231	0,045 24	0,045 24	29,4 1		0	2 185	0,045 24	0,045 24	30,0 3		0	1 957	0,045 24	0,045 24	33,53
S	S		0	0	0,045 24	0,045 24	-		0	0	0,045 24	0,045 24	-		0	0	0,045 24	0,045 24	-
	I		0	918	0,045 24	0,045 24	71,4 8		0	321	0,045 24	0,045 24	NS		0	330	0,045 24	0,045 24	NS
P	S	00175	0	0	0,045 24	0,045 24	-	00176	0	0	0,045 24	0,045 24	-	00177	0	0	0,045 24	0,045 24	-
	I		0	1 512	0,045 24	0,045 24	43,4 0		0	1 380	0,045 24	0,045 24	47,5 5		0	1 111	0,045 24	0,045 24	59,06
S	S		0	0	0,045 24	0,045 24	-		0	0	0,045 24	0,045 24	-		0	0	0,045 24	0,045 24	-
	I		0	876	0,045 24	0,045 24	74,9 1		0	314	0,045 24	0,045 24	NS		0	338	0,045 24	0,045 24	NS
P	S	00178	0	0	0,045 24	0,045 24	-	00179	0	37	0,045 24	0,045 24	NS	00180	0	0	0,045 24	0,045 24	-
	I		0	743	0,045 24	0,045 24	88,3 2		0	524	0,045 24	0,045 24	NS		0	285	0,045 24	0,045 24	NS
S	S		0	0	0,045 24	0,045 24	-		0	0	0,045 24	0,045 24	-		0	0	0,045 24	0,045 24	-
	I		0	796	0,045 24	0,045 24	82,4 4		0	315	0,045 24	0,045 24	NS		0	838	0,045 24	0,045 24	78,30
P	S	00181	0	0	0,045 24	0,045 24	-	00182	0	0	0,045 24	0,045 24	-	00183	0	38	0,045 24	0,045 24	NS
	I		0	274	0,045 24	0,045 24	NS		0	196	0,045 24	0,045 24	NS		0	74	0,045 24	0,045 24	NS
S	S		0	0	0,045 24	0,045 24	-		0	0	0,045 24	0,045 24	-		0	0	0,045 24	0,045 24	-
	I		0	332	0,045 24	0,045 24	NS		0	315	0,045 24	0,045 24	NS		0	861	0,045 24	0,045 24	76,21
P	S	00184	0	0	0,045 24	0,045 24	-	00185	0	0	0,045 24	0,045 24	-	00186	0	39	0,045 24	0,045 24	NS
	I		0	57	0,045 24	0,045 24	NS		0	57	0,045 24	0,045 24	NS		0	74	0,045 24	0,045 24	NS
S	S		0	0	0,045 24	0,045 24	-		0	0	0,045 24	0,045 24	-		0	0	0,045 24	0,045 24	-
	I		0	327	0,045 24	0,045 24	NS		0	327	0,045 24	0,045 24	NS		0	861	0,045 24	0,045 24	76,21
P	S	00187	0	0	0,045 24	0,045 24	-	00188	0	0	0,045 24	0,045 24	-	00189	0	0	0,045 24	0,045 24	-
	I		0	195	0,045 24	0,045 24	NS		0	271	0,045 24	0,045 24	NS		0	283	0,045 24	0,045 24	NS
S	S		0	0	0,045 24	0,045 24	-		0	0	0,045 24	0,045 24	-		0	0	0,045 24	0,045 24	-
	I		0	315	0,045 24	0,045 24	NS		0	332	0,045 24	0,045 24	NS		0	838	0,045 24	0,045 24	78,30
P	S	00190	0	37	0,045 24	0,045 24	NS	00191	0	0	0,045 24	0,045 24	-	00192	0	0	0,045 24	0,045 24	-
	I		0	522	0,045 24	0,045 24	NS		0	737	0,045 24	0,045 24	89,0 3		0	1 104	0,045 24	0,045 24	59,44
S	S		0	0	0,045 24	0,045 24	-		0	0	0,045 24	0,045 24	-		0	0	0,045 24	0,045 24	-
	I		0	315	0,045 24	0,045 24	NS		0	796	0,045 24	0,045 24	82,4 4		0	338	0,045 24	0,045 24	NS
P	S	00193	0	0	0,045 24	0,045 24	-	00194	0	0	0,045 24	0,045 24	-	00195	0	0	0,045 24	0,045 24	-
	I		0	1 375	0,045 24	0,045 24	47,7 2		0	1 506	0,045 24	0,045 24	43,5 7		0	1 952	0,045 24	0,045 24	33,62
S	S		0	0	0,045 24	0,045 24	-		0	0	0,045 24	0,045 24	-		0	0	0,045 24	0,045 24	-
	I		0	314	0,045 24	0,045 24	NS		0	876	0,045 24	0,045 24	74,9 1		0	330	0,045 24	0,045 24	NS
P	S	00196	0	0	0,045 24	0,045 24	-	00197	0	0	0,045 24	0,045 24	-	00198	0	0	0,045 24	0,045 24	-
	I		0	2 179	0,045 24	0,045 24	30,1 1		0	2 224	0,045 24	0,045 24	29,5 0		0	2 568	0,045 24	0,045 24	25,55
S	S		0	0	0,045 24	0,045 24	-		0	0	0,045 24	0,045 24	-		0	0	0,045 24	0,045 24	-

Platee - Verifiche pressoflessione retta allo SLU

Dir	Pos	Nodo	N _{Ed}	M _{Ed}	A _S	A _{dF}	CS	Nodo	N _{Ed}	M _{Ed}	A _S	A _{dF}	CS	Nodo	N _{Ed}	M _{Ed}	A _S	A _{dF}	CS
			[N]	[N-m]	[cm ² /cm]	[cm ² /cm]			[N]	[N-m]	[cm ² /cm]	[cm ² /cm]			[N]	[N-m]	[cm ² /cm]	[cm ² /cm]	
	I		0	321	0,045 24	0,045 24	NS		0	917	0,045 24	0,045 24	71,5 6		0	314	0,045 24	0,045 24	NS
P	S	00199	0	0	0,045 24	0,045 24	-	00200	0	0	0,045 24	0,045 24	-	00201	0	0	0,045 24	0,045 24	-
	I		0	2 686	0,045 24	0,045 24	24,4 3		0	2 509	0,045 24	0,045 24	26,1 5		0	2 204	0,045 24	0,045 24	29,77
S	S		0	0	0,045 24	0,045 24	-		0	0	0,045 24	0,045 24	-		0	0	0,045 24	0,045 24	-
	I		0	323	0,045 24	0,045 24	NS		0	872	0,045 24	0,045 24	75,2 5		0	311	0,045 24	0,045 24	NS
P	S	00202	0	0	0,045 24	0,045 24	-	00203	0	0	0,045 24	0,045 24	-	00204	0	0	0,045 24	0,045 24	-
	I		0	1 804	0,045 24	0,045 24	36,3 7		0	1 535	0,045 24	0,045 24	42,7 5		0	506	0,045 24	0,045 24	NS
S	S		0	0	0,045 24	0,045 24	-		0	0	0,045 24	0,045 24	-		0	241	0,045 24	0,045 24	NS
	I		0	835	0,045 24	0,045 24	78,5 8		0	282	0,045 24	0,045 24	NS		0	0	0,045 24	0,045 24	-
P	S	00205	0	232	0,045 24	0,045 24	NS	00206	0	0	0,045 24	0,045 24	-	00207	0	163	0,045 24	0,045 24	NS
	I		0	0	0,045 24	0,045 24	-		0	234	0,045 24	0,045 24	NS		0	62	0,045 24	0,045 24	NS
S	S		0	0	0,045 24	0,045 24	-		0	0	0,045 24	0,045 24	-		0	0	0,045 24	0,045 24	-
	I		0	1 106	0,045 24	0,045 24	59,3 3		0	1 414	0,045 24	0,045 24	46,4 1		0	1 793	0,045 24	0,045 24	36,60
P	S	00208	0	0	0,045 24	0,045 24	-	00209	0	0	0,045 24	0,045 24	-	00210	0	0	0,045 24	0,045 24	-
	I		0	586	0,045 24	0,045 24	NS		0	381	0,045 24	0,045 24	NS		0	571	0,045 24	0,045 24	NS
S	S		0	0	0,045 24	0,045 24	-		0	0	0,045 24	0,045 24	-		0	0	0,045 24	0,045 24	-
	I		0	2 193	0,045 24	0,045 24	29,9 2		0	2 320	0,045 24	0,045 24	28,2 8		0	2 346	0,045 24	0,045 24	27,97
P	S	00211	0	90	0,045 24	0,045 24	NS	00212	0	0	0,045 24	0,045 24	-	00213	0	0	0,045 24	0,045 24	-
	I		0	19	0,045 24	0,045 24	NS		0	67	0,045 24	0,045 24	NS		0	445	0,045 24	0,045 24	NS
S	S		0	0	0,045 24	0,045 24	-		0	0	0,045 24	0,045 24	-		0	0	0,045 24	0,045 24	-
	I		0	2 543	0,045 24	0,045 24	25,8 0		0	2 314	0,045 24	0,045 24	28,3 6		0	2 172	0,045 24	0,045 24	30,21
P	S	00214	0	0	0,045 24	0,045 24	-	00215	0	66	0,045 24	0,045 24	NS	00216	0	0	0,045 24	0,045 24	-
	I		0	464	0,045 24	0,045 24	NS		0	53	0,045 24	0,045 24	NS		0	19	0,045 24	0,045 24	NS
S	S		0	0	0,045 24	0,045 24	-		0	0	0,045 24	0,045 24	-		0	0	0,045 24	0,045 24	-
	I		0	1 934	0,045 24	0,045 24	33,9 3		0	1 808	0,045 24	0,045 24	36,2 9		0	1 740	0,045 24	0,045 24	37,71
P	S	00217	0	0	0,045 24	0,045 24	-	00218	0	0	0,045 24	0,045 24	-	00219	0	0	0,045 24	0,045 24	-
	I		0	546	0,045 24	0,045 24	NS		0	381	0,045 24	0,045 24	NS		0	484	0,045 24	0,045 24	NS
S	S		0	0	0,045 24	0,045 24	-		0	0	0,045 24	0,045 24	-		0	0	0,045 24	0,045 24	-
	I		0	1 368	0,045 24	0,045 24	47,9 7		0	1 230	0,045 24	0,045 24	53,3 5		0	1 364	0,045 24	0,045 24	48,11
P	S	00220	0	0	0,045 24	0,045 24	-	00221	0	0	0,045 24	0,045 24	-	00222	0	0	0,045 24	0,045 24	-
	I		0	45	0,045 24	0,045 24	NS		0	32	0,045 24	0,045 24	NS		0	538	0,045 24	0,045 24	NS
S	S		0	0	0,045 24	0,045 24	-		0	0	0,045 24	0,045 24	-		0	0	0,045 24	0,045 24	-
	I		0	1 391	0,045 24	0,045 24	47,1 7		0	1 466	0,045 24	0,045 24	44,7 6		0	1 405	0,045 24	0,045 24	46,70
P	S	00223	0	0	0,045 24	0,045 24	-	00224	0	0	0,045 24	0,045 24	-	00225	0	0	0,045 24	0,045 24	-
	I		0	382	0,045 24	0,045 24	NS		0	482	0,045 24	0,045 24	NS		0	44	0,045 24	0,045 24	NS
S	S		0	0	0,045 24	0,045 24	-		0	0	0,045 24	0,045 24	-		0	0	0,045 24	0,045 24	-
	I		0	1 486	0,045 24	0,045 24	44,1 6		0	1 807	0,045 24	0,045 24	36,3 1		0	2 050	0,045 24	0,045 24	32,01
P	S	00226	0	90	0,045 24	0,045 24	NS	00227	0	0	0,045 24	0,045 24	-	00228	0	0	0,045 24	0,045 24	-
	I		0	34	0,045 24	0,045 24	NS		0	539	0,045 24	0,045 24	NS		0	379	0,045 24	0,045 24	NS
S	S		0	0	0,045 24	0,045 24	-		0	0	0,045 24	0,045 24	-		0	0	0,045 24	0,045 24	-
	I		0	2 242	0,045 24	0,045 24	29,2 7		0	2 297	0,045 24	0,045 24	28,5 7		0	2 292	0,045 24	0,045 24	28,63
P	S	00229	0	0	0,045 24	0,045 24	-	00230	0	99	0,045 24	0,045 24	NS	00231	0	0	0,045 24	0,045 24	-
	I		0	603	0,045 24	0,045 24	NS		0	33	0,045 24	0,045 24	NS		0	42	0,045 24	0,045 24	NS

Platee - Verifiche pressoflessione retta allo SLU

Dir	Pos	Nodo	N _{Ed}	M _{Ed}	A _S	A _{dF}	CS	Nodo	N _{Ed}	M _{Ed}	A _S	A _{dF}	CS	Nodo	N _{Ed}	M _{Ed}	A _S	A _{dF}	CS
			[N]	[N·m]	[cm ² /cm]	[cm ² /cm]			[N]	[N·m]	[cm ² /cm]	[cm ² /cm]			[N]	[N·m]	[cm ² /cm]	[cm ² /cm]	
					24	24					24	24					24	24	
S	S		0	0	0,045 24	0,045 24	-		0	0	0,045 24	0,045 24	-		0	0	0,045 24	0,045 24	-
	I		0	2 372	0,045 24	0,045 24	27,6 6		0	2 468	0,045 24	0,045 24	26,5 9		0	2 278	0,045 24	0,045 24	28,81
P	S	00232	0	0	0,045 24	0,045 24	-	00233	0	0	0,045 24	0,045 24	-	00234	0	259	0,045 24	0,045 24	NS
	I		0	478	0,045 24	0,045 24	NS		0	324	0,045 24	0,045 24	NS		0	0	0,045 24	0,045 24	-
S	S		0	0	0,045 24	0,045 24	-		0	0	0,045 24	0,045 24	-		0	0	0,045 24	0,045 24	-
	I		0	2 005	0,045 24	0,045 24	32,7 3		0	1 487	0,045 24	0,045 24	44,1 3		0	727	0,045 24	0,045 24	90,26
P	S	00285	0	0	0,045 24	0,045 24	-	00286	0	0	0,045 24	0,045 24	-	00287	0	0	0,045 24	0,045 24	-
	I		0	431	0,045 24	0,045 24	NS		0	242	0,045 24	0,045 24	NS		0	242	0,045 24	0,045 24	NS
S	S		0	0	0,045 24	0,045 24	-		0	0	0,045 24	0,045 24	-		0	0	0,045 24	0,045 24	-
	I		0	368	0,045 24	0,045 24	NS		0	445	0,045 24	0,045 24	NS		0	445	0,045 24	0,045 24	NS
P	S	00288	0	0	0,045 24	0,045 24	-	00289	0	0	0,045 24	0,045 24	-	00290	0	0	0,045 24	0,045 24	-
	I		0	430	0,045 24	0,045 24	NS		0	1 108	0,045 24	0,045 24	59,2 2		0	2 889	0,045 24	0,045 24	22,71
S	S		0	0	0,045 24	0,045 24	-		0	0	0,045 24	0,045 24	-		0	0	0,045 24	0,045 24	-
	I		0	369	0,045 24	0,045 24	NS		0	1 761	0,045 24	0,045 24	37,2 6		0	2 249	0,045 24	0,045 24	29,18
P	S	00291	0	0	0,045 24	0,045 24	-	00292	0	0	0,045 24	0,045 24	-	00293	0	0	0,045 24	0,045 24	-
	I		0	2 980	0,045 24	0,045 24	22,0 2		0	2 447	0,045 24	0,045 24	26,8 2		0	1 678	0,045 24	0,045 24	39,11
S	S		0	0	0,045 24	0,045 24	-		0	0	0,045 24	0,045 24	-		0	0	0,045 24	0,045 24	-
	I		0	2 190	0,045 24	0,045 24	29,9 6		0	2 121	0,045 24	0,045 24	30,9 4		0	2 116	0,045 24	0,045 24	31,01
P	S	00294	0	0	0,045 24	0,045 24	-	00295	0	0	0,045 24	0,045 24	-	00296	0	0	0,045 24	0,045 24	-
	I		0	1 064	0,045 24	0,045 24	61,6 7		0	594	0,045 24	0,045 24	NS		0	436	0,045 24	0,045 24	NS
S	S		0	0	0,045 24	0,045 24	-		0	0	0,045 24	0,045 24	-		0	0	0,045 24	0,045 24	-
	I		0	2 167	0,045 24	0,045 24	30,2 8		0	2 074	0,045 24	0,045 24	31,6 4		0	2 019	0,045 24	0,045 24	32,50
P	S	00297	0	0	0,045 24	0,045 24	-	00298	0	0	0,045 24	0,045 24	-	00299	0	0	0,045 24	0,045 24	-
	I		0	596	0,045 24	0,045 24	NS		0	1 068	0,045 24	0,045 24	61,4 4		0	1 683	0,045 24	0,045 24	38,99
S	S		0	0	0,045 24	0,045 24	-		0	0	0,045 24	0,045 24	-		0	0	0,045 24	0,045 24	-
	I		0	2 075	0,045 24	0,045 24	31,6 2		0	2 167	0,045 24	0,045 24	30,2 8		0	2 114	0,045 24	0,045 24	31,04
P	S	00300	0	0	0,045 24	0,045 24	-	00301	0	0	0,045 24	0,045 24	-	00302	0	0	0,045 24	0,045 24	-
	I		0	2 454	0,045 24	0,045 24	26,7 4		0	2 989	0,045 24	0,045 24	21,9 5		0	2 895	0,045 24	0,045 24	22,67
S	S		0	0	0,045 24	0,045 24	-		0	0	0,045 24	0,045 24	-		0	0	0,045 24	0,045 24	-
	I		0	2 121	0,045 24	0,045 24	30,9 4		0	2 190	0,045 24	0,045 24	29,9 6		0	2 249	0,045 24	0,045 24	29,18
P	S	00303	0	0	0,045 24	0,045 24	-	00304	0	0	0,045 24	0,045 24	-	00305	0	0	0,045 24	0,045 24	-
	I		0	1 109	0,045 24	0,045 24	59,1 7		0	2 430	0,045 24	0,045 24	27,0 0		0	3 578	0,045 24	0,045 24	18,34
S	S		0	0	0,045 24	0,045 24	-		0	0	0,045 24	0,045 24	-		0	0	0,045 24	0,045 24	-
	I		0	1 760	0,045 24	0,045 24	37,2 8		0	3 030	0,045 24	0,045 24	21,6 6		0	3 379	0,045 24	0,045 24	19,42
P	S	00306	0	0	0,045 24	0,045 24	-	00307	0	0	0,045 24	0,045 24	-	00308	0	0	0,045 24	0,045 24	-
	I		0	3 190	0,045 24	0,045 24	20,5 7		0	2 462	0,045 24	0,045 24	26,6 5		0	1 730	0,045 24	0,045 24	37,93
S	S		0	0	0,045 24	0,045 24	-		0	0	0,045 24	0,045 24	-		0	0	0,045 24	0,045 24	-
	I		0	3 450	0,045 24	0,045 24	19,0 2		0	3 391	0,045 24	0,045 24	19,3 5		0	3 326	0,045 24	0,045 24	19,73
P	S	00309	0	0	0,045 24	0,045 24	-	00310	0	0	0,045 24	0,045 24	-	00311	0	0	0,045 24	0,045 24	-
	I		0	1 163	0,045 24	0,045 24	56,4 2		0	832	0,045 24	0,045 24	78,8 7		0	832	0,045 24	0,045 24	78,87
S	S		0	0	0,045 24	0,045 24	-		0	0	0,045 24	0,045 24	-		0	0	0,045 24	0,045 24	-
	I		0	3 271	0,045 24	0,045 24	20,0 6		0	3 237	0,045 24	0,045 24	20,2 7		0	3 236	0,045 24	0,045 24	20,28

Platee - Verifiche pressoflessione retta allo SLU

Dir	Pos	Nodo	N _{Ed}	M _{Ed}	A _s	A _{dff}	CS	Nodo	N _{Ed}	M _{Ed}	A _s	A _{dff}	CS	Nodo	N _{Ed}	M _{Ed}	A _s	A _{dff}	CS
			[N]	[N-m]	[cm ² /cm]	[cm ² /cm]			[N]	[N-m]	[cm ² /cm]	[cm ² /cm]			[N]	[N-m]	[cm ² /cm]	[cm ² /cm]	
P	S	00312	0	0	0,045 24	0,045 24	-	00313	0	0	0,045 24	0,045 24	-	00314	0	0	0,045 24	0,045 24	-
			0	1 164	0,045 24	0,045 24	56,3 7		0	1 736	0,045 24	0,045 24	37,8 0		0	2 469	0,045 24	0,045 24	26,58
S	S		0	0	0,045 24	0,045 24	-		0	0	0,045 24	0,045 24	-		0	0	0,045 24	0,045 24	-
			0	3 270	0,045 24	0,045 24	20,0 7		0	3 327	0,045 24	0,045 24	19,7 2		0	3 391	0,045 24	0,045 24	19,35
P	S	00315	0	0	0,045 24	0,045 24	-	00316	0	0	0,045 24	0,045 24	-	00317	0	0	0,045 24	0,045 24	-
			0	3 196	0,045 24	0,045 24	20,5 3		0	3 586	0,045 24	0,045 24	18,3 0		0	2 433	0,045 24	0,045 24	26,97
S	S		0	0	0,045 24	0,045 24	-		0	0	0,045 24	0,045 24	-		0	0	0,045 24	0,045 24	-
			0	3 449	0,045 24	0,045 24	19,0 3		0	3 378	0,045 24	0,045 24	19,4 3		0	3 029	0,045 24	0,045 24	21,66
P	S	00318	0	0	0,045 24	0,045 24	-	00319	0	0	0,045 24	0,045 24	-	00320	0	0	0,045 24	0,045 24	-
			0	1 238	0,045 24	0,045 24	53,0 0		0	3 343	0,045 24	0,045 24	19,6 3		0	3 514	0,045 24	0,045 24	18,67
S	S		0	0	0,045 24	0,045 24	-		0	0	0,045 24	0,045 24	-		0	0	0,045 24	0,045 24	-
			0	2 564	0,045 24	0,045 24	25,5 9		0	3 359	0,045 24	0,045 24	19,5 4		0	3 491	0,045 24	0,045 24	18,80
P	S	00321	0	0	0,045 24	0,045 24	-	00322	0	0	0,045 24	0,045 24	-	00323	0	0	0,045 24	0,045 24	-
			0	2 933	0,045 24	0,045 24	22,3 7		0	2 131	0,045 24	0,045 24	30,7 9		0	1 439	0,045 24	0,045 24	45,60
S	S		0	0	0,045 24	0,045 24	-		0	0	0,045 24	0,045 24	-		0	0	0,045 24	0,045 24	-
			0	3 472	0,045 24	0,045 24	18,9 0		0	3 382	0,045 24	0,045 24	19,4 0		0	3 289	0,045 24	0,045 24	19,95
P	S	00324	0	0	0,045 24	0,045 24	-	00325	0	0	0,045 24	0,045 24	-	00326	0	0	0,045 24	0,045 24	-
			0	976	0,045 24	0,045 24	67,2 3		0	815	0,045 24	0,045 24	80,5 1		0	975	0,045 24	0,045 24	67,30
S	S		0	0	0,045 24	0,045 24	-		0	0	0,045 24	0,045 24	-		0	0	0,045 24	0,045 24	-
			0	3 235	0,045 24	0,045 24	20,2 8		0	3 216	0,045 24	0,045 24	20,4 0		0	3 233	0,045 24	0,045 24	20,30
P	S	00327	0	0	0,045 24	0,045 24	-	00328	0	0	0,045 24	0,045 24	-	00329	0	0	0,045 24	0,045 24	-
			0	1 443	0,045 24	0,045 24	45,4 7		0	2 138	0,045 24	0,045 24	30,6 9		0	2 939	0,045 24	0,045 24	22,33
S	S		0	0	0,045 24	0,045 24	-		0	0	0,045 24	0,045 24	-		0	0	0,045 24	0,045 24	-
			0	3 289	0,045 24	0,045 24	19,9 5		0	3 383	0,045 24	0,045 24	19,4 0		0	3 471	0,045 24	0,045 24	18,90
P	S	00330	0	0	0,045 24	0,045 24	-	00331	0	0	0,045 24	0,045 24	-	00332	0	0	0,045 24	0,045 24	-
			0	3 522	0,045 24	0,045 24	18,6 3		0	3 351	0,045 24	0,045 24	19,5 8		0	1 238	0,045 24	0,045 24	53,00
S	S		0	0	0,045 24	0,045 24	-		0	0	0,045 24	0,045 24	-		0	0	0,045 24	0,045 24	-
			0	3 490	0,045 24	0,045 24	18,8 0		0	3 360	0,045 24	0,045 24	19,5 3		0	2 562	0,045 24	0,045 24	25,61
P	S	00333	0	0	0,045 24	0,045 24	-	00334	0	0	0,045 24	0,045 24	-	00335	0	0	0,045 24	0,045 24	-
			0	2 439	0,045 24	0,045 24	26,9 0		0	3 615	0,045 24	0,045 24	18,1 5		0	3 248	0,045 24	0,045 24	20,20
S	S		0	0	0,045 24	0,045 24	-		0	0	0,045 24	0,045 24	-		0	0	0,045 24	0,045 24	-
			0	2 662	0,045 24	0,045 24	24,6 5		0	3 042	0,045 24	0,045 24	21,5 7		0	3 110	0,045 24	0,045 24	21,10
P	S	00336	0	0	0,045 24	0,045 24	-	00337	0	0	0,045 24	0,045 24	-	00338	0	0	0,045 24	0,045 24	-
			0	2 483	0,045 24	0,045 24	26,4 3		0	1 686	0,045 24	0,045 24	38,9 2		0	1 083	0,045 24	0,045 24	60,59
S	S		0	0	0,045 24	0,045 24	-		0	0	0,045 24	0,045 24	-		0	0	0,045 24	0,045 24	-
			0	3 025	0,045 24	0,045 24	21,6 9		0	2 910	0,045 24	0,045 24	22,5 5		0	2 819	0,045 24	0,045 24	23,28
P	S	00339	0	14	0,045 24	0,045 24	NS	00340	0	15	0,045 24	0,045 24	NS	00341	0	0	0,045 24	0,045 24	-
			0	764	0,045 24	0,045 24	85,8 9		0	764	0,045 24	0,045 24	85,8 9		0	1 085	0,045 24	0,045 24	60,48
S	S		0	0	0,045 24	0,045 24	-		0	0	0,045 24	0,045 24	-		0	0	0,045 24	0,045 24	-
			0	2 772	0,045 24	0,045 24	23,6 7		0	2 772	0,045 24	0,045 24	23,6 7		0	2 818	0,045 24	0,045 24	23,29
P	S	00342	0	0	0,045 24	0,045 24	-	00343	0	0	0,045 24	0,045 24	-	00344	0	0	0,045 24	0,045 24	-
			0	1 690	0,045 24	0,045 24	38,8 3		0	2 489	0,045 24	0,045 24	26,3 6		0	3 257	0,045 24	0,045 24	20,15
S	S		0	0	0,045	0,045	-		0	0	0,045	0,045	-		0	0	0,045	0,045	-

Platee - Verifiche pressoflessione retta allo SLU

Dir	Pos	Nodo	N _{Ed}	M _{Ed}	A _s	A _{df}	CS	Nodo	N _{Ed}	M _{Ed}	A _s	A _{df}	CS	Nodo	N _{Ed}	M _{Ed}	A _s	A _{df}	CS
			[N]	[N·m]	[cm ² /cm]	[cm ² /cm]			[N]	[N·m]	[cm ² /cm]	[cm ² /cm]			[N]	[N·m]	[cm ² /cm]	[cm ² /cm]	
	I		0	2 910	0,045 24	0,045 24	22,5 5		0	3 025	0,045 24	0,045 24	21,6 9		0	3 110	0,045 24	0,045 24	21,10
P	S	00345	0	0	0,045 24	0,045 24	-	00346	0	0	0,045 24	0,045 24	-	00347	0	0	0,045 24	0,045 24	-
	I		0	3 623	0,045 24	0,045 24	18,1 1		0	2 441	0,045 24	0,045 24	26,8 8		0	1 173	0,045 24	0,045 24	55,94
S	S		0	0	0,045 24	0,045 24	-		0	0	0,045 24	0,045 24	-		0	0	0,045 24	0,045 24	-
	I		0	3 042	0,045 24	0,045 24	21,5 7		0	2 660	0,045 24	0,045 24	24,6 7		0	1 799	0,045 24	0,045 24	36,47
P	S	00348	0	0	0,045 24	0,045 24	-	00349	0	0	0,045 24	0,045 24	-	00350	0	0	0,045 24	0,045 24	-
	I		0	3 225	0,045 24	0,045 24	20,3 5		0	3 421	0,045 24	0,045 24	19,1 8		0	2 827	0,045 24	0,045 24	23,21
S	S		0	0	0,045 24	0,045 24	-		0	0	0,045 24	0,045 24	-		0	0	0,045 24	0,045 24	-
	I		0	2 559	0,045 24	0,045 24	25,6 4		0	2 645	0,045 24	0,045 24	24,8 1		0	2 593	0,045 24	0,045 24	25,31
P	S	00351	0	0	0,045 24	0,045 24	-	00352	0	0	0,045 24	0,045 24	-	00353	0	21	0,045 24	0,045 24	NS
	I		0	1 990	0,045 24	0,045 24	32,9 7		0	1 258	0,045 24	0,045 24	52,1 6		0	783	0,045 24	0,045 24	83,80
S	S		0	0	0,045 24	0,045 24	-		0	0	0,045 24	0,045 24	-		0	0	0,045 24	0,045 24	-
	I		0	2 473	0,045 24	0,045 24	26,5 3		0	2 355	0,045 24	0,045 24	27,8 6		0	2 277	0,045 24	0,045 24	28,82
P	S	00354	0	26	0,045 24	0,045 24	NS	00355	0	21	0,045 24	0,045 24	NS	00356	0	0	0,045 24	0,045 24	-
	I		0	622	0,045 24	0,045 24	NS		0	786	0,045 24	0,045 24	83,4 8		0	1 261	0,045 24	0,045 24	52,04
S	S		0	0	0,045 24	0,045 24	-		0	0	0,045 24	0,045 24	-		0	0	0,045 24	0,045 24	-
	I		0	2 250	0,045 24	0,045 24	29,1 6		0	2 278	0,045 24	0,045 24	28,8 1		0	2 356	0,045 24	0,045 24	27,85
P	S	00357	0	0	0,045 24	0,045 24	-	00358	0	0	0,045 24	0,045 24	-	00359	0	0	0,045 24	0,045 24	-
	I		0	1 994	0,045 24	0,045 24	32,9 1		0	2 837	0,045 24	0,045 24	23,1 3		0	3 431	0,045 24	0,045 24	19,13
S	S		0	0	0,045 24	0,045 24	-		0	0	0,045 24	0,045 24	-		0	0	0,045 24	0,045 24	-
	I		0	2 474	0,045 24	0,045 24	26,5 2		0	2 596	0,045 24	0,045 24	25,2 8		0	2 647	0,045 24	0,045 24	24,79
P	S	00360	0	0	0,045 24	0,045 24	-	00361	0	0	0,045 24	0,045 24	-	00362	0	0	0,045 24	0,045 24	-
	I		0	3 230	0,045 24	0,045 24	20,3 2		0	1 171	0,045 24	0,045 24	56,0 4		0	2 284	0,045 24	0,045 24	28,73
S	S		0	0	0,045 24	0,045 24	-		0	0	0,045 24	0,045 24	-		0	0	0,045 24	0,045 24	-
	I		0	2 558	0,045 24	0,045 24	25,6 5		0	1 795	0,045 24	0,045 24	36,5 6		0	1 920	0,045 24	0,045 24	34,18
P	S	00363	0	0	0,045 24	0,045 24	-	00364	0	0	0,045 24	0,045 24	-	00365	0	0	0,045 24	0,045 24	-
	I		0	3 397	0,045 24	0,045 24	19,3 2		0	3 133	0,045 24	0,045 24	20,9 4		0	2 353	0,045 24	0,045 24	27,89
S	S		0	0	0,045 24	0,045 24	-		0	0	0,045 24	0,045 24	-		0	0	0,045 24	0,045 24	-
	I		0	2 258	0,045 24	0,045 24	29,0 6		0	2 312	0,045 24	0,045 24	28,3 8		0	2 207	0,045 24	0,045 24	29,73
P	S	00366	0	0	0,045 24	0,045 24	-	00367	0	19	0,045 24	0,045 24	NS	00368	0	29	0,045 24	0,045 24	NS
	I		0	1 533	0,045 24	0,045 24	42,8 0		0	912	0,045 24	0,045 24	71,9 5		0	589	0,045 24	0,045 24	NS
S	S		0	0	0,045 24	0,045 24	-		0	0	0,045 24	0,045 24	-		0	0	0,045 24	0,045 24	-
	I		0	2 075	0,045 24	0,045 24	31,6 2		0	1 968	0,045 24	0,045 24	33,3 4		0	1 912	0,045 24	0,045 24	34,32
P	S	00369	0	30	0,045 24	0,045 24	NS	00370	0	19	0,045 24	0,045 24	NS	00371	0	0	0,045 24	0,045 24	-
	I		0	591	0,045 24	0,045 24	NS		0	915	0,045 24	0,045 24	71,7 1		0	1 536	0,045 24	0,045 24	42,72
S	S		0	0	0,045 24	0,045 24	-		0	0	0,045 24	0,045 24	-		0	0	0,045 24	0,045 24	-
	I		0	1 914	0,045 24	0,045 24	34,2 8		0	1 971	0,045 24	0,045 24	33,2 9		0	2 076	0,045 24	0,045 24	31,61
P	S	00372	0	0	0,045 24	0,045 24	-	00373	0	0	0,045 24	0,045 24	-	00374	0	0	0,045 24	0,045 24	-
	I		0	2 359	0,045 24	0,045 24	27,8 2		0	3 145	0,045 24	0,045 24	20,8 6		0	3 405	0,045 24	0,045 24	19,27
S	S		0	0	0,045 24	0,045 24	-		0	0	0,045 24	0,045 24	-		0	0	0,045 24	0,045 24	-
	I		0	2 208	0,045 24	0,045 24	29,7 2		0	2 315	0,045 24	0,045 24	28,3 4		0	2 259	0,045 24	0,045 24	29,05
P	S	00375	0	0	0,045 24	0,045 24	-	00376	0	0	0,045 24	0,045 24	-	00377	0	0	0,045 24	0,045 24	-

Platee - Verifiche pressoflessione retta allo SLU

Dir	Pos	Nodo	N _{Ed}	M _{Ed}	A _s	A _{df}	CS	Nodo	N _{Ed}	M _{Ed}	A _s	A _{df}	CS	Nodo	N _{Ed}	M _{Ed}	A _s	A _{df}	CS
			[N]	[N·m]	[cm ² /cm]	[cm ² /cm]			[N]	[N·m]	[cm ² /cm]	[cm ² /cm]			[N]	[N·m]	[cm ² /cm]	[cm ² /cm]	
	I		0	2 284	0,045 24	0,045 24	28,7 3		0	1 156	0,045 24	0,045 24	56,7 6		0	3 136	0,045 24	0,045 24	20,92
S	S		0	0	0,045 24	0,045 24	-		0	17	0,045 24	0,045 24	NS		0	0	0,045 24	0,045 24	-
	I		0	1 918	0,045 24	0,045 24	34,2 1		0	1 514	0,045 24	0,045 24	43,3 4		0	2 248	0,045 24	0,045 24	29,19
P	S	00378	0	0	0,045 24	0,045 24	-	00379	0	0	0,045 24	0,045 24	-	00380	0	0	0,045 24	0,045 24	-
	I		0	3 364	0,045 24	0,045 24	19,5 1		0	2 772	0,045 24	0,045 24	23,6 7		0	1 929	0,045 24	0,045 24	34,02
S	S		0	0	0,045 24	0,045 24	-		0	0	0,045 24	0,045 24	-		0	0	0,045 24	0,045 24	-
	I		0	2 320	0,045 24	0,045 24	28,2 8		0	2 263	0,045 24	0,045 24	29,0 0		0	2 139	0,045 24	0,045 24	30,68
P	S	00381	0	0	0,045 24	0,045 24	-	00382	0	25	0,045 24	0,045 24	NS	00383	0	30	0,045 24	0,045 24	NS
	I		0	1 190	0,045 24	0,045 24	55,1 4		0	712	0,045 24	0,045 24	92,1 6		0	551	0,045 24	0,045 24	NS
S	S		0	0	0,045 24	0,045 24	-		0	0	0,045 24	0,045 24	-		0	0	0,045 24	0,045 24	-
	I		0	2 017	0,045 24	0,045 24	32,5 3		0	1 934	0,045 24	0,045 24	33,9 3		0	1 907	0,045 24	0,045 24	34,41
P	S	00384	0	26	0,045 24	0,045 24	NS	00385	0	0	0,045 24	0,045 24	-	00386	0	0	0,045 24	0,045 24	-
	I		0	714	0,045 24	0,045 24	91,9 0		0	1 192	0,045 24	0,045 24	55,0 5		0	1 934	0,045 24	0,045 24	33,93
S	S		0	0	0,045 24	0,045 24	-		0	0	0,045 24	0,045 24	-		0	0	0,045 24	0,045 24	-
	I		0	1 937	0,045 24	0,045 24	33,8 8		0	2 019	0,045 24	0,045 24	32,5 0		0	2 141	0,045 24	0,045 24	30,65
P	S	00387	0	0	0,045 24	0,045 24	-	00388	0	0	0,045 24	0,045 24	-	00389	0	0	0,045 24	0,045 24	-
	I		0	2 781	0,045 24	0,045 24	23,6 0		0	3 375	0,045 24	0,045 24	19,4 4		0	3 142	0,045 24	0,045 24	20,88
S	S		0	0	0,045 24	0,045 24	-		0	0	0,045 24	0,045 24	-		0	0	0,045 24	0,045 24	-
	I		0	2 265	0,045 24	0,045 24	28,9 7		0	2 322	0,045 24	0,045 24	28,2 6		0	2 248	0,045 24	0,045 24	29,19
P	S	00390	0	0	0,045 24	0,045 24	-	00391	0	0	0,045 24	0,045 24	-	00392	0	0	0,045 24	0,045 24	-
	I		0	1 155	0,045 24	0,045 24	56,8 1		0	2 300	0,045 24	0,045 24	28,5 3		0	3 433	0,045 24	0,045 24	19,11
S	S		0	17	0,045 24	0,045 24	NS		0	0	0,045 24	0,045 24	-		0	0	0,045 24	0,045 24	-
	I		0	1 511	0,045 24	0,045 24	43,4 3		0	2 213	0,045 24	0,045 24	29,6 5		0	2 565	0,045 24	0,045 24	25,58
P	S	00393	0	0	0,045 24	0,045 24	-	00394	0	0	0,045 24	0,045 24	-	00395	0	0	0,045 24	0,045 24	-
	I		0	3 185	0,045 24	0,045 24	20,6 0		0	2 413	0,045 24	0,045 24	27,1 9		0	1 600	0,045 24	0,045 24	41,01
S	S		0	0	0,045 24	0,045 24	-		0	0	0,045 24	0,045 24	-		0	0	0,045 24	0,045 24	-
	I		0	2 630	0,045 24	0,045 24	24,9 5		0	2 535	0,045 24	0,045 24	25,8 8		0	2 413	0,045 24	0,045 24	27,19
P	S	00396	0	13	0,045 24	0,045 24	NS	00397	0	23	0,045 24	0,045 24	NS	00398	0	24	0,045 24	0,045 24	NS
	I		0	987	0,045 24	0,045 24	66,4 8		0	669	0,045 24	0,045 24	98,0 8		0	666	0,045 24	0,045 24	98,53
S	S		0	0	0,045 24	0,045 24	-		0	0	0,045 24	0,045 24	-		0	0	0,045 24	0,045 24	-
	I		0	2 314	0,045 24	0,045 24	28,3 6		0	2 261	0,045 24	0,045 24	29,0 2		0	2 261	0,045 24	0,045 24	29,02
P	S	00399	0	14	0,045 24	0,045 24	NS	00400	0	0	0,045 24	0,045 24	-	00401	0	0	0,045 24	0,045 24	-
	I		0	986	0,045 24	0,045 24	66,5 5		0	1 603	0,045 24	0,045 24	40,9 3		0	2 421	0,045 24	0,045 24	27,10
S	S		0	0	0,045 24	0,045 24	-		0	0	0,045 24	0,045 24	-		0	0	0,045 24	0,045 24	-
	I		0	2 316	0,045 24	0,045 24	28,3 3		0	2 415	0,045 24	0,045 24	27,1 7		0	2 537	0,045 24	0,045 24	25,86
P	S	00402	0	0	0,045 24	0,045 24	-	00403	0	0	0,045 24	0,045 24	-	00404	0	0	0,045 24	0,045 24	-
	I		0	3 194	0,045 24	0,045 24	20,5 4		0	3 443	0,045 24	0,045 24	19,0 6		0	2 304	0,045 24	0,045 24	28,48
S	S		0	0	0,045 24	0,045 24	-		0	0	0,045 24	0,045 24	-		0	0	0,045 24	0,045 24	-
	I		0	2 631	0,045 24	0,045 24	24,9 4		0	2 566	0,045 24	0,045 24	25,5 7		0	2 213	0,045 24	0,045 24	29,65
P	S	00405	0	0	0,045 24	0,045 24	-	00406	0	0	0,045 24	0,045 24	-	00407	0	0	0,045 24	0,045 24	-
	I		0	1 200	0,045 24	0,045 24	54,6 8		0	3 234	0,045 24	0,045 24	20,2 9		0	3 470	0,045 24	0,045 24	18,91
S	S		0	0	0,045 24	0,045 24	-		0	0	0,045 24	0,045 24	-		0	0	0,045 24	0,045 24	-
	I		0	2 222	0,045 24	0,045 24	29,5		0	2 987	0,045 24	0,045 24	21,9		0	3 097	0,045 24	0,045 24	21,19

Platee - Verifiche pressoflessione retta allo SLU

Dir	Pos	Nodo	N _{Ed}	M _{Ed}	A _s	A _{df}	CS	Nodo	N _{Ed}	M _{Ed}	A _s	A _{df}	CS	Nodo	N _{Ed}	M _{Ed}	A _s	A _{df}	CS
			[N]	[N-m]	[cm ² /cm] 24	[cm ² /cm] 24			[N]	[N-m]	[cm ² /cm] 24	[cm ² /cm] 24			[N]	[N-m]	[cm ² /cm] 24	[cm ² /cm] 24	
P	S	00408	0	0	0,045 24	0,045 24	-	00409	0	0	0,045 24	0,045 24	-	00410	0	0	0,045 24	0,045 24	-
	I		0	2 898	0,045 24	0,045 24	22,6 4		0	2 075	0,045 24	0,045 24	31,6 2		0	1 354	0,045 24	0,045 24	48,46
S	S		0	0	0,045 24	0,045 24	-		0	0	0,045 24	0,045 24	-		0	0	0,045 24	0,045 24	-
	I		0	3 069	0,045 24	0,045 24	21,3 8		0	2 968	0,045 24	0,045 24	22,1 1		0	2 867	0,045 24	0,045 24	22,89
P	S	00411	0	0	0,045 24	0,045 24	-	00412	0	13	0,045 24	0,045 24	NS	00413	0	10	0,045 24	0,045 24	NS
	I		0	894	0,045 24	0,045 24	73,4 0		0	733	0,045 24	0,045 24	89,5 2		0	886	0,045 24	0,045 24	74,06
S	S		0	0	0,045 24	0,045 24	-		0	0	0,045 24	0,045 24	-		0	0	0,045 24	0,045 24	-
	I		0	2 797	0,045 24	0,045 24	23,4 6		0	2 771	0,045 24	0,045 24	23,6 8		0	2 797	0,045 24	0,045 24	23,46
P	S	00414	0	0	0,045 24	0,045 24	-	00415	0	0	0,045 24	0,045 24	-	00416	0	0	0,045 24	0,045 24	-
	I		0	1 353	0,045 24	0,045 24	48,5 0		0	2 081	0,045 24	0,045 24	31,5 3		0	2 905	0,045 24	0,045 24	22,59
S	S		0	0	0,045 24	0,045 24	-		0	0	0,045 24	0,045 24	-		0	0	0,045 24	0,045 24	-
	I		0	2 867	0,045 24	0,045 24	22,8 9		0	2 969	0,045 24	0,045 24	22,1 0		0	3 068	0,045 24	0,045 24	21,39
P	S	00417	0	0	0,045 24	0,045 24	-	00418	0	0	0,045 24	0,045 24	-	00419	0	0	0,045 24	0,045 24	-
	I		0	3 479	0,045 24	0,045 24	18,8 6		0	3 243	0,045 24	0,045 24	20,2 3		0	1 200	0,045 24	0,045 24	54,68
S	S		0	0	0,045 24	0,045 24	-		0	0	0,045 24	0,045 24	-		0	0	0,045 24	0,045 24	-
	I		0	3 096	0,045 24	0,045 24	21,1 9		0	2 987	0,045 24	0,045 24	21,9 7		0	2 219	0,045 24	0,045 24	29,57
P	S	00420	0	0	0,045 24	0,045 24	-	00421	0	0	0,045 24	0,045 24	-	00422	0	0	0,045 24	0,045 24	-
	I		0	2 414	0,045 24	0,045 24	27,1 8		0	3 621	0,045 24	0,045 24	18,1 2		0	3 279	0,045 24	0,045 24	20,01
S	S		0	0	0,045 24	0,045 24	-		0	0	0,045 24	0,045 24	-		0	0	0,045 24	0,045 24	-
	I		0	3 013	0,045 24	0,045 24	21,7 8		0	3 405	0,045 24	0,045 24	19,2 7		0	3 499	0,045 24	0,045 24	18,75
P	S	00423	0	0	0,045 24	0,045 24	-	00424	0	0	0,045 24	0,045 24	-	00425	0	0	0,045 24	0,045 24	-
	I		0	2 547	0,045 24	0,045 24	25,7 6		0	1 760	0,045 24	0,045 24	37,2 8		0	1 173	0,045 24	0,045 24	55,94
S	S		0	0	0,045 24	0,045 24	-		0	0	0,045 24	0,045 24	-		0	0	0,045 24	0,045 24	-
	I		0	3 434	0,045 24	0,045 24	19,1 1		0	3 346	0,045 24	0,045 24	19,6 1		0	3 272	0,045 24	0,045 24	20,05
P	S	00426	0	0	0,045 24	0,045 24	-	00427	0	0	0,045 24	0,045 24	-	00428	0	0	0,045 24	0,045 24	-
	I		0	875	0,045 24	0,045 24	74,9 9		0	864	0,045 24	0,045 24	75,9 5		0	1 164	0,045 24	0,045 24	56,37
S	S		0	0	0,045 24	0,045 24	-		0	0	0,045 24	0,045 24	-		0	0	0,045 24	0,045 24	-
	I		0	3 227	0,045 24	0,045 24	20,3 3		0	3 228	0,045 24	0,045 24	20,3 3		0	3 267	0,045 24	0,045 24	20,09
P	S	00429	0	0	0,045 24	0,045 24	-	00430	0	0	0,045 24	0,045 24	-	00431	0	0	0,045 24	0,045 24	-
	I		0	1 762	0,045 24	0,045 24	37,2 4		0	2 554	0,045 24	0,045 24	25,6 9		0	3 287	0,045 24	0,045 24	19,96
S	S		0	0	0,045 24	0,045 24	-		0	0	0,045 24	0,045 24	-		0	0	0,045 24	0,045 24	-
	I		0	3 341	0,045 24	0,045 24	19,6 4		0	3 430	0,045 24	0,045 24	19,1 3		0	3 496	0,045 24	0,045 24	18,77
P	S	00432	0	0	0,045 24	0,045 24	-	00433	0	0	0,045 24	0,045 24	-	00434	0	0	0,045 24	0,045 24	-
	I		0	3 631	0,045 24	0,045 24	18,0 7		0	2 418	0,045 24	0,045 24	27,1 4		0	1 261	0,045 24	0,045 24	52,04
S	S		0	0	0,045 24	0,045 24	-		0	0	0,045 24	0,045 24	-		0	0	0,045 24	0,045 24	-
	I		0	3 403	0,045 24	0,045 24	19,2 8		0	3 011	0,045 24	0,045 24	21,7 9		0	2 469	0,045 24	0,045 24	26,58
P	S	00435	0	0	0,045 24	0,045 24	-	00436	0	0	0,045 24	0,045 24	-	00437	0	0	0,045 24	0,045 24	-
	I		0	3 234	0,045 24	0,045 24	20,2 9		0	3 397	0,045 24	0,045 24	19,3 2		0	2 872	0,045 24	0,045 24	22,85
S	S		0	0	0,045 24	0,045 24	-		0	0	0,045 24	0,045 24	-		0	0	0,045 24	0,045 24	-
	I		0	3 369	0,045 24	0,045 24	19,4 8		0	3 458	0,045 24	0,045 24	18,9 8		0	3 442	0,045 24	0,045 24	19,06
P	S	00438	0	0	0,045 24	0,045 24	-	00439	0	0	0,045 24	0,045 24	-	00440	0	0	0,045 24	0,045 24	-
	I		0	2 101	0,045 24	0,045 24	31,2 3		0	1 394	0,045 24	0,045 24	47,0 7		0	976	0,045 24	0,045 24	67,23

Platee - Verifiche pressoflessione retta allo SLU

Dir	Pos	Nodo	N _{Ed}	M _{Ed}	A _s	A _{dif}	CS	Nodo	N _{Ed}	M _{Ed}	A _s	A _{dif}	CS	Nodo	N _{Ed}	M _{Ed}	A _s	A _{dif}	CS
			[N]	[N·m]	[cm ² /cm]	[cm ² /cm]			[N]	[N·m]	[cm ² /cm]	[cm ² /cm]			[N]	[N·m]	[cm ² /cm]	[cm ² /cm]	
S	S		0	0	0,045 24	0,045 24	-		0	0	0,045 24	0,045 24	-		0	0	0,045 24	0,045 24	-
	I		0	3 379	0,045 24	0,045 24	19,4 2		0	3 318	0,045 24	0,045 24	19,7 8		0	3 274	0,045 24	0,045 24	20,04
P	S	00441	0	0	0,045 24	0,045 24	-	00442	0	0	0,045 24	0,045 24	-	00443	0	0	0,045 24	0,045 24	-
	I		0	830	0,045 24	0,045 24	79,0 6		0	948	0,045 24	0,045 24	69,2 2		0	1 391	0,045 24	0,045 24	47,17
S	S		0	0	0,045 24	0,045 24	-		0	0	0,045 24	0,045 24	-		0	0	0,045 24	0,045 24	-
	I		0	3 251	0,045 24	0,045 24	20,1 8		0	3 253	0,045 24	0,045 24	20,1 7		0	3 293	0,045 24	0,045 24	19,93
P	S	00444	0	0	0,045 24	0,045 24	-	00445	0	0	0,045 24	0,045 24	-	00446	0	0	0,045 24	0,045 24	-
	I		0	2 105	0,045 24	0,045 24	31,1 7		0	2 881	0,045 24	0,045 24	22,7 8		0	3 407	0,045 24	0,045 24	19,26
S	S		0	0	0,045 24	0,045 24	-		0	0	0,045 24	0,045 24	-		0	0	0,045 24	0,045 24	-
	I		0	3 364	0,045 24	0,045 24	19,5 1		0	3 436	0,045 24	0,045 24	19,1 0		0	3 454	0,045 24	0,045 24	19,00
P	S	00447	0	0	0,045 24	0,045 24	-	00448	0	0	0,045 24	0,045 24	-	00449	0	0	0,045 24	0,045 24	-
	I		0	3 242	0,045 24	0,045 24	20,2 4		0	1 260	0,045 24	0,045 24	52,0 8		0	2 154	0,045 24	0,045 24	30,46
S	S		0	0	0,045 24	0,045 24	-		0	0	0,045 24	0,045 24	-		0	0	0,045 24	0,045 24	-
	I		0	3 366	0,045 24	0,045 24	19,4 9		0	2 463	0,045 24	0,045 24	26,6 4		0	2 015	0,045 24	0,045 24	32,56
P	S	00450	0	0	0,045 24	0,045 24	-	00451	0	0	0,045 24	0,045 24	-	00452	0	0	0,045 24	0,045 24	-
	I		0	3 083	0,045 24	0,045 24	21,2 8		0	2 748	0,045 24	0,045 24	23,8 8		0	2 109	0,045 24	0,045 24	31,11
S	S		0	0	0,045 24	0,045 24	-		0	0	0,045 24	0,045 24	-		0	0	0,045 24	0,045 24	-
	I		0	2 124	0,045 24	0,045 24	30,8 9		0	2 182	0,045 24	0,045 24	30,0 7		0	2 226	0,045 24	0,045 24	29,48
P	S	00453	0	0	0,045 24	0,045 24	-	00454	0	0	0,045 24	0,045 24	-	00455	0	0	0,045 24	0,045 24	-
	I		0	1 341	0,045 24	0,045 24	48,9 3		0	770	0,045 24	0,045 24	85,2 2		0	522	0,045 24	0,045 24	NS
S	S		0	0	0,045 24	0,045 24	-		0	0	0,045 24	0,045 24	-		0	0	0,045 24	0,045 24	-
	I		0	2 124	0,045 24	0,045 24	30,8 9		0	2 091	0,045 24	0,045 24	31,3 8		0	2 151	0,045 24	0,045 24	30,51
P	S	00456	0	0	0,045 24	0,045 24	-	00457	0	0	0,045 24	0,045 24	-	00458	0	0	0,045 24	0,045 24	-
	I		0	477	0,045 24	0,045 24	NS		0	766	0,045 24	0,045 24	85,6 6		0	1 341	0,045 24	0,045 24	48,93
S	S		0	0	0,045 24	0,045 24	-		0	0	0,045 24	0,045 24	-		0	0	0,045 24	0,045 24	-
	I		0	2 071	0,045 24	0,045 24	31,6 8		0	2 034	0,045 24	0,045 24	32,2 6		0	2 106	0,045 24	0,045 24	31,16
P	S	00459	0	0	0,045 24	0,045 24	-	00460	0	0	0,045 24	0,045 24	-	00461	0	0	0,045 24	0,045 24	-
	I		0	2 113	0,045 24	0,045 24	31,0 5		0	2 757	0,045 24	0,045 24	23,8 0		0	3 091	0,045 24	0,045 24	21,23
S	S		0	0	0,045 24	0,045 24	-		0	0	0,045 24	0,045 24	-		0	0	0,045 24	0,045 24	-
	I		0	2 217	0,045 24	0,045 24	29,6 0		0	2 179	0,045 24	0,045 24	30,1 1		0	2 121	0,045 24	0,045 24	30,94
P	S	00462	0	0	0,045 24	0,045 24	-												
	I		0	2 157	0,045 24	0,045 24	30,4 2												
S	S		0	0	0,045 24	0,045 24	-												
	I		0	2 012	0,045 24	0,045 24	32,6 1												
Fondazione			Platea 2																
P	S	00005	0	0	0,045 24	0,045 24	-	00006	0	0	0,045 24	0,045 24	-	00007	0	0	0,045 24	0,045 24	-
	I		0	46	0,045 24	0,045 24	NS		0	46	0,045 24	0,045 24	NS		0	38	0,045 24	0,045 24	NS
S	S		0	0	0,045 24	0,045 24	-		0	0	0,045 24	0,045 24	-		0	0	0,045 24	0,045 24	-
	I		0	31	0,045 24	0,045 24	NS		0	31	0,045 24	0,045 24	NS		0	37	0,045 24	0,045 24	NS
P	S	00008	0	0	0,045 24	0,045 24	-	00009	0	0	0,045 24	0,045 24	-	00010	0	0	0,045 24	0,045 24	-
	I		0	38	0,045 24	0,045 24	NS		0	535	0,045 24	0,045 24	89,5 6		0	858	0,045 24	0,045 24	55,85
S	S		0	0	0,045 24	0,045 24	-		0	131	0,045 24	0,045 24	NS		0	0	0,045 24	0,045 24	-
	I		0	37	0,045 24	0,045 24	NS		0	0	0,045 24	0,045 24	-		0	225	0,045 24	0,045 24	NS

Platee - Verifiche pressoflessione retta allo SLU

Dir	Pos	Nodo	N _{Ed}	M _{Ed}	A _s	A _{df}	CS	Nodo	N _{Ed}	M _{Ed}	A _s	A _{df}	CS	Nodo	N _{Ed}	M _{Ed}	A _s	A _{df}	CS
			[N]	[N-m]	[cm ² /cm]	[cm ² /cm]			[N]	[N-m]	[cm ² /cm]	[cm ² /cm]			[N]	[N-m]	[cm ² /cm]	[cm ² /cm]	
P	S	00011	0	0	0,045 24	0,045 24	-	00012	0	0	0,045 24	0,045 24	-	00013	0	0	0,045 24	0,045 24	-
I	0		908	0,045 24	0,045 24	52,7 7	0	844	0,045 24	0,045 24	56,7 7	0	974	0,045 24	0,045 24	49,20			
S	S	00011	0	0	0,045 24	0,045 24	-	00012	0	0	0,045 24	0,045 24	-	00013	0	0	0,045 24	0,045 24	-
I	0		272	0,045 24	0,045 24	NS	0	660	0,045 24	0,045 24	72,6 0	0	260	0,045 24	0,045 24	NS			
P	S	00014	0	0	0,045 24	0,045 24	-	00015	0	0	0,045 24	0,045 24	-	00016	0	0	0,045 24	0,045 24	-
I	0		951	0,045 24	0,045 24	50,3 9	0	778	0,045 24	0,045 24	61,5 9	0	763	0,045 24	0,045 24	62,80			
S	S	00014	0	0	0,045 24	0,045 24	-	00015	0	0	0,045 24	0,045 24	-	00016	0	0	0,045 24	0,045 24	-
I	0		274	0,045 24	0,045 24	NS	0	664	0,045 24	0,045 24	72,1 6	0	256	0,045 24	0,045 24	NS			
P	S	00017	0	0	0,045 24	0,045 24	-	00018	0	0	0,045 24	0,045 24	-	00019	0	22	0,045 24	0,045 24	NS
I	0		635	0,045 24	0,045 24	75,4 6	0	430	0,045 24	0,045 24	NS	0	310	0,045 24	0,045 24	NS			
S	S	00017	0	0	0,045 24	0,045 24	-	00018	0	0	0,045 24	0,045 24	-	00019	0	0	0,045 24	0,045 24	-
I	0		278	0,045 24	0,045 24	NS	0	626	0,045 24	0,045 24	76,5 4	0	259	0,045 24	0,045 24	NS			
P	S	00020	0	0	0,045 24	0,045 24	-	00021	0	0	0,045 24	0,045 24	-	00022	0	0	0,045 24	0,045 24	-
I	0		187	0,045 24	0,045 24	NS	0	205	0,045 24	0,045 24	NS	0	167	0,045 24	0,045 24	NS			
S	S	00020	0	0	0,045 24	0,045 24	-	00021	0	0	0,045 24	0,045 24	-	00022	0	0	0,045 24	0,045 24	-
I	0		653	0,045 24	0,045 24	73,3 8	0	272	0,045 24	0,045 24	NS	0	259	0,045 24	0,045 24	NS			
P	S	00023	0	0	0,045 24	0,045 24	-	00024	0	0	0,045 24	0,045 24	-	00025	0	0	0,045 24	0,045 24	-
I	0		63	0,045 24	0,045 24	NS	0	48	0,045 24	0,045 24	NS	0	48	0,045 24	0,045 24	NS			
S	S	00023	0	0	0,045 24	0,045 24	-	00024	0	0	0,045 24	0,045 24	-	00025	0	0	0,045 24	0,045 24	-
I	0		676	0,045 24	0,045 24	70,8 8	0	268	0,045 24	0,045 24	NS	0	268	0,045 24	0,045 24	NS			
P	S	00026	0	0	0,045 24	0,045 24	-	00027	0	0	0,045 24	0,045 24	-	00028	0	0	0,045 24	0,045 24	-
I	0		63	0,045 24	0,045 24	NS	0	168	0,045 24	0,045 24	NS	0	205	0,045 24	0,045 24	NS			
S	S	00026	0	0	0,045 24	0,045 24	-	00027	0	0	0,045 24	0,045 24	-	00028	0	0	0,045 24	0,045 24	-
I	0		676	0,045 24	0,045 24	70,8 8	0	259	0,045 24	0,045 24	NS	0	271	0,045 24	0,045 24	NS			
P	S	00029	0	0	0,045 24	0,045 24	-	00030	0	21	0,045 24	0,045 24	NS	00031	0	0	0,045 24	0,045 24	-
I	0		190	0,045 24	0,045 24	NS	0	317	0,045 24	0,045 24	NS	0	442	0,045 24	0,045 24	NS			
S	S	00029	0	0	0,045 24	0,045 24	-	00030	0	0	0,045 24	0,045 24	-	00031	0	0	0,045 24	0,045 24	-
I	0		653	0,045 24	0,045 24	73,3 8	0	259	0,045 24	0,045 24	NS	0	625	0,045 24	0,045 24	76,67			
P	S	00032	0	0	0,045 24	0,045 24	-	00033	0	0	0,045 24	0,045 24	-	00034	0	0	0,045 24	0,045 24	-
I	0		648	0,045 24	0,045 24	73,9 4	0	775	0,045 24	0,045 24	61,8 3	0	794	0,045 24	0,045 24	60,35			
S	S	00032	0	0	0,045 24	0,045 24	-	00033	0	0	0,045 24	0,045 24	-	00034	0	0	0,045 24	0,045 24	-
I	0		278	0,045 24	0,045 24	NS	0	256	0,045 24	0,045 24	NS	0	663	0,045 24	0,045 24	72,27			
P	S	00035	0	0	0,045 24	0,045 24	-	00036	0	0	0,045 24	0,045 24	-	00037	0	0	0,045 24	0,045 24	-
I	0		965	0,045 24	0,045 24	49,6 5	0	988	0,045 24	0,045 24	48,5 0	0	855	0,045 24	0,045 24	56,04			
S	S	00035	0	0	0,045 24	0,045 24	-	00036	0	0	0,045 24	0,045 24	-	00037	0	0	0,045 24	0,045 24	-
I	0		274	0,045 24	0,045 24	NS	0	260	0,045 24	0,045 24	NS	0	660	0,045 24	0,045 24	72,60			
P	S	00038	0	0	0,045 24	0,045 24	-	00039	0	0	0,045 24	0,045 24	-	00040	0	0	0,045 24	0,045 24	-
I	0		916	0,045 24	0,045 24	52,3 1	0	863	0,045 24	0,045 24	55,5 2	0	539	0,045 24	0,045 24	88,90			
S	S	00038	0	0	0,045 24	0,045 24	-	00039	0	0	0,045 24	0,045 24	-	00040	0	0	0,045 24	0,045 24	-
I	0		272	0,045 24	0,045 24	NS	0	226	0,045 24	0,045 24	NS	0	0	0,045 24	0,045 24	-			
P	S	00041	0	142	0,045 24	0,045 24	NS	00042	0	0	0,045 24	0,045 24	-	00043	0	0	0,045 24	0,045 24	-
I	0		0	0,045 24	0,045 24	-	0	261	0,045 24	0,045 24	NS	0	371	0,045 24	0,045 24	NS			
S	S	00041	0	0	0,045 24	0,045 24	-	00042	0	0	0,045 24	0,045 24	-	00043	0	0	0,045 24	0,045 24	-
I	0		0	0,045 24	0,045 24	-	0	0	0,045 24	0,045 24	-	0	0	0,045 24	0,045 24	-			

Platee - Verifiche pressoflessione retta allo SLU

Dir	Pos	Nodo	N _{Ed}	M _{Ed}	A _s	A _{df}	CS	Nodo	N _{Ed}	M _{Ed}	A _s	A _{df}	CS	Nodo	N _{Ed}	M _{Ed}	A _s	A _{df}	CS
			[N]	[N·m]	[cm ² /cm]	[cm ² /cm]			[N]	[N·m]	[cm ² /cm]	[cm ² /cm]			[N]	[N·m]	[cm ² /cm]	[cm ² /cm]	
	I		0	462	24 0,045 24	24 0,045 24	NS		0	956	24 0,045 24	24 0,045 24	50,1 2		0	1 306	24 0,045 24	24 0,045 24	36,69
P	S	00044	0	0	24 0,045 24	24 0,045 24	-	00045	0	0	24 0,045 24	24 0,045 24	-	00046	0	0	24 0,045 24	24 0,045 24	-
	I		0	35	24 0,045 24	24 0,045 24	NS		0	27	24 0,045 24	24 0,045 24	NS		0	372	24 0,045 24	24 0,045 24	NS
S	S		0	0	24 0,045 24	24 0,045 24	-		0	0	24 0,045 24	24 0,045 24	-		0	0	24 0,045 24	24 0,045 24	-
	I		0	1 298	24 0,045 24	24 0,045 24	36,9 2		0	1 444	24 0,045 24	24 0,045 24	33,1 8		0	1 458	24 0,045 24	24 0,045 24	32,86
P	S	00047	0	0	24 0,045 24	24 0,045 24	-	00048	0	0	24 0,045 24	24 0,045 24	-	00049	0	58	24 0,045 24	24 0,045 24	NS
	I		0	303	24 0,045 24	24 0,045 24	NS		0	336	24 0,045 24	24 0,045 24	NS		0	49	24 0,045 24	24 0,045 24	NS
S	S		0	0	24 0,045 24	24 0,045 24	-		0	0	24 0,045 24	24 0,045 24	-		0	0	24 0,045 24	24 0,045 24	-
	I		0	1 364	24 0,045 24	24 0,045 24	35,1 3		0	1 378	24 0,045 24	24 0,045 24	34,7 7		0	993	24 0,045 24	24 0,045 24	48,25
P	S	00050	0	0	24 0,045 24	24 0,045 24	-	00051	0	116	24 0,045 24	24 0,045 24	NS	00052	0	0	24 0,045 24	24 0,045 24	-
	I		0	148	24 0,045 24	24 0,045 24	NS		0	0	24 0,045 24	24 0,045 24	-		0	212	24 0,045 24	24 0,045 24	NS
S	S		0	0	24 0,045 24	24 0,045 24	-		0	0	24 0,045 24	24 0,045 24	-		0	31	24 0,045 24	24 0,045 24	NS
	I		0	737	24 0,045 24	24 0,045 24	65,0 2		0	674	24 0,045 24	24 0,045 24	71,0 9		0	0	24 0,045 24	24 0,045 24	-
P	S	00053	0	0	24 0,045 24	24 0,045 24	-	00054	0	0	24 0,045 24	24 0,045 24	-	00055	0	0	24 0,045 24	24 0,045 24	-
	I		0	793	24 0,045 24	24 0,045 24	60,4 2		0	836	24 0,045 24	24 0,045 24	57,3 2		0	952	24 0,045 24	24 0,045 24	50,33
S	S		0	0	24 0,045 24	24 0,045 24	-		0	0	24 0,045 24	24 0,045 24	-		0	0	24 0,045 24	24 0,045 24	-
	I		0	136	24 0,045 24	24 0,045 24	NS		0	665	24 0,045 24	24 0,045 24	72,0 5		0	251	24 0,045 24	24 0,045 24	NS
P	S	00056	0	0	24 0,045 24	24 0,045 24	-	00057	0	0	24 0,045 24	24 0,045 24	-	00058	0	0	24 0,045 24	24 0,045 24	-
	I		0	979	24 0,045 24	24 0,045 24	48,9 4		0	881	24 0,045 24	24 0,045 24	54,3 9		0	806	24 0,045 24	24 0,045 24	59,45
S	S		0	0	24 0,045 24	24 0,045 24	-		0	0	24 0,045 24	24 0,045 24	-		0	0	24 0,045 24	24 0,045 24	-
	I		0	280	24 0,045 24	24 0,045 24	NS		0	697	24 0,045 24	24 0,045 24	68,7 5		0	260	24 0,045 24	24 0,045 24	NS
P	S	00059	0	0	24 0,045 24	24 0,045 24	-	00060	0	0	24 0,045 24	24 0,045 24	-	00061	0	0	24 0,045 24	24 0,045 24	-
	I		0	657	24 0,045 24	24 0,045 24	72,9 3		0	644	24 0,045 24	24 0,045 24	74,4 0		0	546	24 0,045 24	24 0,045 24	87,76
S	S		0	0	24 0,045 24	24 0,045 24	-		0	0	24 0,045 24	24 0,045 24	-		0	0	24 0,045 24	24 0,045 24	-
	I		0	661	24 0,045 24	24 0,045 24	72,4 9		0	267	24 0,045 24	24 0,045 24	NS		0	264	24 0,045 24	24 0,045 24	NS
P	S	00062	0	0	24 0,045 24	24 0,045 24	-	00063	0	0	24 0,045 24	24 0,045 24	-	00064	0	0	24 0,045 24	24 0,045 24	-
	I		0	315	24 0,045 24	24 0,045 24	NS		0	317	24 0,045 24	24 0,045 24	NS		0	235	24 0,045 24	24 0,045 24	NS
S	S		0	0	24 0,045 24	24 0,045 24	-		0	0	24 0,045 24	24 0,045 24	-		0	0	24 0,045 24	24 0,045 24	-
	I		0	679	24 0,045 24	24 0,045 24	70,5 7		0	264	24 0,045 24	24 0,045 24	NS		0	271	24 0,045 24	24 0,045 24	NS
P	S	00065	0	0	24 0,045 24	24 0,045 24	-	00066	0	0	24 0,045 24	24 0,045 24	-	00067	0	0	24 0,045 24	24 0,045 24	-
	I		0	66	24 0,045 24	24 0,045 24	NS		0	143	24 0,045 24	24 0,045 24	NS		0	47	24 0,045 24	24 0,045 24	NS
S	S		0	0	24 0,045 24	24 0,045 24	-		0	0	24 0,045 24	24 0,045 24	-		0	0	24 0,045 24	24 0,045 24	-
	I		0	671	24 0,045 24	24 0,045 24	71,4 1		0	255	24 0,045 24	24 0,045 24	NS		0	274	24 0,045 24	24 0,045 24	NS
P	S	00068	0	0	24 0,045 24	24 0,045 24	-	00069	0	36	24 0,045 24	24 0,045 24	NS	00070	0	0	24 0,045 24	24 0,045 24	-
	I		0	44	24 0,045 24	24 0,045 24	NS		0	0	24 0,045 24	24 0,045 24	-		0	48	24 0,045 24	24 0,045 24	NS
S	S		0	0	24 0,045 24	24 0,045 24	-		0	0	24 0,045 24	24 0,045 24	-		0	0	24 0,045 24	24 0,045 24	-
	I		0	642	24 0,045 24	24 0,045 24	74,6 4		0	259	24 0,045 24	24 0,045 24	NS		0	640	24 0,045 24	24 0,045 24	74,87
P	S	00071	0	0	24 0,045 24	24 0,045 24	-	00072	0	0	24 0,045 24	24 0,045 24	-	00073	0	0	24 0,045 24	24 0,045 24	-
	I		0	217	24 0,045 24	24 0,045 24	NS		0	308	24 0,045 24	24 0,045 24	NS		0	309	24 0,045 24	24 0,045 24	NS
S	S		0	0	24 0,045 24	24 0,045 24	-		0	0	24 0,045 24	24 0,045 24	-		0	0	24 0,045 24	24 0,045 24	-
	I		0	273	24 0,045 24	24 0,045 24	NS		0	260	24 0,045 24	24 0,045 24	NS		0	680	24 0,045 24	24 0,045 24	70,47
P	S	00074	0	0	24 0,045 24	24 0,045 24	-	00075	0	0	24 0,045 24	24 0,045 24	-	00076	0	0	24 0,045 24	24 0,045 24	-

Platee - Verifiche pressoflessione retta allo SLU

Dir	Pos	Nodo	N _{Ed}	M _{Ed}	A _s	A _{df}	CS	Nodo	N _{Ed}	M _{Ed}	A _s	A _{df}	CS	Nodo	N _{Ed}	M _{Ed}	A _s	A _{df}	CS
			[N]	[N·m]	[cm ² /cm]	[cm ² /cm]			[N]	[N·m]	[cm ² /cm]	[cm ² /cm]			[N]	[N·m]	[cm ² /cm]	[cm ² /cm]	
	I		0	542	0,045 24	0,045 24	88,4 1		0	649	0,045 24	0,045 24	73,8 3		0	664	0,045 24	0,045 24	72,16
S	S		0	0	0,045 24	0,045 24	-		0	0	0,045 24	0,045 24	-		0	0	0,045 24	0,045 24	-
	I		0	267	0,045 24	0,045 24	NS		0	265	0,045 24	0,045 24	NS		0	695	0,045 24	0,045 24	68,94
P	S	00077	0	0	0,045 24	0,045 24	-	00078	0	0	0,045 24	0,045 24	-	00079	0	0	0,045 24	0,045 24	-
	I		0	900	0,045 24	0,045 24	53,2 4		0	944	0,045 24	0,045 24	50,7 6		0	895	0,045 24	0,045 24	53,54
S	S		0	0	0,045 24	0,045 24	-		0	0	0,045 24	0,045 24	-		0	0	0,045 24	0,045 24	-
	I		0	256	0,045 24	0,045 24	NS		0	264	0,045 24	0,045 24	NS		0	661	0,045 24	0,045 24	72,49
P	S	00080	0	0	0,045 24	0,045 24	-	00081	0	0	0,045 24	0,045 24	-	00082	0	0	0,045 24	0,045 24	-
	I		0	858	0,045 24	0,045 24	55,8 5		0	807	0,045 24	0,045 24	59,3 8		0	781	0,045 24	0,045 24	61,35
S	S		0	0	0,045 24	0,045 24	-		0	0	0,045 24	0,045 24	-		0	0	0,045 24	0,045 24	-
	I		0	255	0,045 24	0,045 24	NS		0	641	0,045 24	0,045 24	74,7 5		0	135	0,045 24	0,045 24	NS
P	S	00083	0	0	0,045 24	0,045 24	-	00084	0	119	0,045 24	0,045 24	NS	00085	0	0	0,045 24	0,045 24	-
	I		0	208	0,045 24	0,045 24	NS		0	0	0,045 24	0,045 24	-		0	151	0,045 24	0,045 24	NS
S	S		0	30	0,045 24	0,045 24	NS		0	0	0,045 24	0,045 24	-		0	0	0,045 24	0,045 24	-
	I		0	0	0,045 24	0,045 24	-		0	702	0,045 24	0,045 24	68,2 6		0	865	0,045 24	0,045 24	55,39
P	S	00086	0	60	0,045 24	0,045 24	NS	00087	0	0	0,045 24	0,045 24	-	00088	0	0	0,045 24	0,045 24	-
	I		0	49	0,045 24	0,045 24	NS		0	333	0,045 24	0,045 24	NS		0	303	0,045 24	0,045 24	NS
S	S		0	0	0,045 24	0,045 24	-		0	0	0,045 24	0,045 24	-		0	0	0,045 24	0,045 24	-
	I		0	1 033	0,045 24	0,045 24	46,3 9		0	1 430	0,045 24	0,045 24	33,5 1		0	1 393	0,045 24	0,045 24	34,40
P	S	00089	0	0	0,045 24	0,045 24	-	00090	0	0	0,045 24	0,045 24	-	00091	0	0	0,045 24	0,045 24	-
	I		0	375	0,045 24	0,045 24	NS		0	26	0,045 24	0,045 24	NS		0	36	0,045 24	0,045 24	NS
S	S		0	0	0,045 24	0,045 24	-		0	0	0,045 24	0,045 24	-		0	0	0,045 24	0,045 24	-
	I		0	1 481	0,045 24	0,045 24	32,3 5		0	1 464	0,045 24	0,045 24	32,7 3		0	1 309	0,045 24	0,045 24	36,61
P	S	00092	0	0	0,045 24	0,045 24	-	00093	0	0	0,045 24	0,045 24	-	00094	0	142	0,045 24	0,045 24	NS
	I		0	371	0,045 24	0,045 24	NS		0	261	0,045 24	0,045 24	NS		0	0	0,045 24	0,045 24	-
S	S		0	0	0,045 24	0,045 24	-		0	0	0,045 24	0,045 24	-		0	0	0,045 24	0,045 24	-
	I		0	1 313	0,045 24	0,045 24	36,4 9		0	957	0,045 24	0,045 24	50,0 7		0	462	0,045 24	0,045 24	NS
P	S	00235	0	0	0,045 24	0,045 24	-	00236	0	0	0,045 24	0,045 24	-	00237	0	0	0,045 24	0,045 24	-
	I		0	251	0,045 24	0,045 24	NS		0	71	0,045 24	0,045 24	NS		0	71	0,045 24	0,045 24	NS
S	S		0	0	0,045 24	0,045 24	-		0	0	0,045 24	0,045 24	-		0	0	0,045 24	0,045 24	-
	I		0	250	0,045 24	0,045 24	NS		0	282	0,045 24	0,045 24	NS		0	294	0,045 24	0,045 24	NS
P	S	00238	0	0	0,045 24	0,045 24	-	00239	0	0	0,045 24	0,045 24	-	00240	0	0	0,045 24	0,045 24	-
	I		0	266	0,045 24	0,045 24	NS		0	502	0,045 24	0,045 24	95,4 5		0	1 242	0,045 24	0,045 24	38,58
S	S		0	0	0,045 24	0,045 24	-		0	0	0,045 24	0,045 24	-		0	0	0,045 24	0,045 24	-
	I		0	250	0,045 24	0,045 24	NS		0	1 127	0,045 24	0,045 24	42,5 2		0	1 556	0,045 24	0,045 24	30,79
P	S	00241	0	0	0,045 24	0,045 24	-	00242	0	0	0,045 24	0,045 24	-	00243	0	0	0,045 24	0,045 24	-
	I		0	1 147	0,045 24	0,045 24	41,7 8		0	810	0,045 24	0,045 24	59,1 6		0	499	0,045 24	0,045 24	96,02
S	S		0	0	0,045 24	0,045 24	-		0	0	0,045 24	0,045 24	-		0	0	0,045 24	0,045 24	-
	I		0	1 534	0,045 24	0,045 24	31,2 4		0	1 497	0,045 24	0,045 24	32,0 1		0	1 521	0,045 24	0,045 24	31,50
P	S	00244	0	0	0,045 24	0,045 24	-	00245	0	0	0,045 24	0,045 24	-	00246	0	0	0,045 24	0,045 24	-
	I		0	356	0,045 24	0,045 24	NS		0	334	0,045 24	0,045 24	NS		0	504	0,045 24	0,045 24	95,07
S	S		0	0	0,045 24	0,045 24	-		0	0	0,045 24	0,045 24	-		0	0	0,045 24	0,045 24	-
	I		0	1 574	0,045 24	0,045 24	30,4		0	1 521	0,045 24	0,045 24	31,5		0	1 487	0,045 24	0,045 24	32,22

Platee - Verifiche pressoflessione retta allo SLU

Dir	Pos	Nodo	N _{Ed}	M _{Ed}	A _s	A _{df}	CS	Nodo	N _{Ed}	M _{Ed}	A _s	A _{df}	CS	Nodo	N _{Ed}	M _{Ed}	A _s	A _{df}	CS
			[N]	[N-m]	[cm ² /cm]	[cm ² /cm]			[N]	[N-m]	[cm ² /cm]	[cm ² /cm]			[N]	[N-m]	[cm ² /cm]	[cm ² /cm]	
					24	24	4				24	24	0				24	24	
P	S	00247	0	0	0,045 24	0,045 24	-	00248	0	0	0,045 24	0,045 24	-	00249	0	0	0,045 24	0,045 24	-
	I		0	819	0,045 24	0,045 24	58,5 1		0	1 175	0,045 24	0,045 24	40,7 8		0	1 231	0,045 24	0,045 24	38,92
S	S		0	0	0,045 24	0,045 24	-		0	0	0,045 24	0,045 24	-		0	0	0,045 24	0,045 24	-
	I		0	1 527	0,045 24	0,045 24	31,3 8		0	1 577	0,045 24	0,045 24	30,3 8		0	1 505	0,045 24	0,045 24	31,84
P	S	00250	0	0	0,045 24	0,045 24	-	00251	0	0	0,045 24	0,045 24	-	00252	0	0	0,045 24	0,045 24	-
	I		0	504	0,045 24	0,045 24	95,0 7		0	1 290	0,045 24	0,045 24	37,1 4		0	1 505	0,045 24	0,045 24	31,84
S	S		0	0	0,045 24	0,045 24	-		0	0	0,045 24	0,045 24	-		0	0	0,045 24	0,045 24	-
	I		0	976	0,045 24	0,045 24	49,0 9		0	1 939	0,045 24	0,045 24	24,7 1		0	2 100	0,045 24	0,045 24	22,82
P	S	00253	0	0	0,045 24	0,045 24	-	00254	0	0	0,045 24	0,045 24	-	00255	0	0	0,045 24	0,045 24	-
	I		0	1 208	0,045 24	0,045 24	39,6 7		0	858	0,045 24	0,045 24	55,8 5		0	624	0,045 24	0,045 24	76,79
S	S		0	0	0,045 24	0,045 24	-		0	0	0,045 24	0,045 24	-		0	0	0,045 24	0,045 24	-
	I		0	2 268	0,045 24	0,045 24	21,1 3		0	2 260	0,045 24	0,045 24	21,2 0		0	2 256	0,045 24	0,045 24	21,24
P	S	00256	0	0	0,045 24	0,045 24	-	00257	0	0	0,045 24	0,045 24	-	00258	0	0	0,045 24	0,045 24	-
	I		0	539	0,045 24	0,045 24	88,9 0		0	609	0,045 24	0,045 24	78,6 8		0	866	0,045 24	0,045 24	55,33
S	S		0	0	0,045 24	0,045 24	-		0	0	0,045 24	0,045 24	-		0	0	0,045 24	0,045 24	-
	I		0	2 251	0,045 24	0,045 24	21,2 9		0	2 248	0,045 24	0,045 24	21,3 2		0	2 259	0,045 24	0,045 24	21,21
P	S	00259	0	0	0,045 24	0,045 24	-	00260	0	0	0,045 24	0,045 24	-	00261	0	0	0,045 24	0,045 24	-
	I		0	1 239	0,045 24	0,045 24	38,6 7		0	1 521	0,045 24	0,045 24	31,5 0		0	1 277	0,045 24	0,045 24	37,52
S	S		0	0	0,045 24	0,045 24	-		0	0	0,045 24	0,045 24	-		0	0	0,045 24	0,045 24	-
	I		0	2 272	0,045 24	0,045 24	21,0 9		0	2 095	0,045 24	0,045 24	22,8 7		0	1 811	0,045 24	0,045 24	26,46
P	S	00262	0	0	0,045 24	0,045 24	-	00263	0	0	0,045 24	0,045 24	-	00264	0	0	0,045 24	0,045 24	-
	I		0	749	0,045 24	0,045 24	63,9 7		0	1 465	0,045 24	0,045 24	32,7 1		0	1 381	0,045 24	0,045 24	34,70
S	S		0	0	0,045 24	0,045 24	-		0	0	0,045 24	0,045 24	-		0	0	0,045 24	0,045 24	-
	I		0	1 542	0,045 24	0,045 24	31,0 7		0	2 199	0,045 24	0,045 24	21,7 9		0	2 273	0,045 24	0,045 24	21,08
P	S	00265	0	0	0,045 24	0,045 24	-	00266	0	0	0,045 24	0,045 24	-	00267	0	0	0,045 24	0,045 24	-
	I		0	1 044	0,045 24	0,045 24	45,9 0		0	738	0,045 24	0,045 24	64,9 3		0	556	0,045 24	0,045 24	86,18
S	S		0	0	0,045 24	0,045 24	-		0	0	0,045 24	0,045 24	-		0	0	0,045 24	0,045 24	-
	I		0	2 289	0,045 24	0,045 24	20,9 3		0	2 276	0,045 24	0,045 24	21,0 5		0	2 258	0,045 24	0,045 24	21,22
P	S	00268	0	0	0,045 24	0,045 24	-	00269	0	0	0,045 24	0,045 24	-	00270	0	0	0,045 24	0,045 24	-
	I		0	551	0,045 24	0,045 24	86,9 6		0	738	0,045 24	0,045 24	64,9 3		0	1 059	0,045 24	0,045 24	45,25
S	S		0	0	0,045 24	0,045 24	-		0	0	0,045 24	0,045 24	-		0	0	0,045 24	0,045 24	-
	I		0	2 260	0,045 24	0,045 24	21,2 0		0	2 275	0,045 24	0,045 24	21,0 6		0	2 287	0,045 24	0,045 24	20,95
P	S	00271	0	0	0,045 24	0,045 24	-	00272	0	0	0,045 24	0,045 24	-	00273	0	0	0,045 24	0,045 24	-
	I		0	1 403	0,045 24	0,045 24	34,1 5		0	1 473	0,045 24	0,045 24	32,5 3		0	744	0,045 24	0,045 24	64,40
S	S		0	0	0,045 24	0,045 24	-		0	0	0,045 24	0,045 24	-		0	0	0,045 24	0,045 24	-
	I		0	2 268	0,045 24	0,045 24	21,1 3		0	2 194	0,045 24	0,045 24	21,8 4		0	1 526	0,045 24	0,045 24	31,40
P	S	00274	0	0	0,045 24	0,045 24	-	00275	0	0	0,045 24	0,045 24	-	00276	0	0	0,045 24	0,045 24	-
	I		0	1 113	0,045 24	0,045 24	43,0 5		0	1 227	0,045 24	0,045 24	39,0 5		0	962	0,045 24	0,045 24	49,81
S	S		0	0	0,045 24	0,045 24	-		0	0	0,045 24	0,045 24	-		0	0	0,045 24	0,045 24	-
	I		0	1 299	0,045 24	0,045 24	36,8 9		0	1 440	0,045 24	0,045 24	33,2 8		0	1 509	0,045 24	0,045 24	31,75
P	S	00277	0	0	0,045 24	0,045 24	-	00278	0	0	0,045 24	0,045 24	-	00279	0	0	0,045 24	0,045 24	-
	I		0	648	0,045 24	0,045 24	73,9 4		0	392	0,045 24	0,045 24	NS		0	305	0,045 24	0,045 24	NS

Platee - Verifiche pressoflessione retta allo SLU

Dir	Pos	Nodo	N _{Ed}	M _{Ed}	A _s	A _{df}	CS	Nodo	N _{Ed}	M _{Ed}	A _s	A _{df}	CS	Nodo	N _{Ed}	M _{Ed}	A _s	A _{df}	CS
			[N]	[N-m]	[cm ² /cm]	[cm ² /cm]			[N]	[N-m]	[cm ² /cm]	[cm ² /cm]			[N]	[N-m]	[cm ² /cm]	[cm ² /cm]	
S	S		0	0	0,045 24	0,045 24	-		0	0	0,045 24	0,045 24	-		0	0	0,045 24	0,045 24	-
	I		0	1 558	0,045 24	0,045 24	30,7 5		0	1 500	0,045 24	0,045 24	31,9 4		0	1 461	0,045 24	0,045 24	32,80
P	S	00280	0	0	0,045 24	0,045 24	-	00281	0	0	0,045 24	0,045 24	-	00282	0	0	0,045 24	0,045 24	-
	I		0	393	0,045 24	0,045 24	NS		0	655	0,045 24	0,045 24	73,1 5		0	977	0,045 24	0,045 24	49,04
S	S		0	0	0,045 24	0,045 24	-		0	0	0,045 24	0,045 24	-		0	0	0,045 24	0,045 24	-
	I		0	1 502	0,045 24	0,045 24	31,9 0		0	1 558	0,045 24	0,045 24	30,7 5		0	1 505	0,045 24	0,045 24	31,84
P	S	00283	0	0	0,045 24	0,045 24	-	00284	0	0	0,045 24	0,045 24	-						
	I		0	1 242	0,045 24	0,045 24	38,5 8		0	1 117	0,045 24	0,045 24	42,9 0						
S	S		0	0	0,045 24	0,045 24	-		0	0	0,045 24	0,045 24	-						
	I		0	1 437	0,045 24	0,045 24	33,3 4		0	1 295	0,045 24	0,045 24	37,0 0						

LEGENDA:

- Dir** Direzione [P] = principale (asse locale 1) - [S] = secondaria (asse locale 2).
Pos Posizione [S] = superiore - [I] = inferiore.
A_s Area delle armature esecutive per unità di lunghezza.
A_{df} Armatura disponibile per la flessione
CS Coefficiente di sicurezza ([NS] = Non Significativo se CS ≥ 100; [VNR]= Verifica Non Richiesta; Informazioni aggiuntive sulla condizione: [V] = statica; [E] = eccezionale; [S] = sismica; [N] = sismica non lineare).
N_{Ed}, M_{Ed} Sollecitazioni di progetto.

Platee - VERIFICHE DELLE TENSIONI DI ESERCIZIO (Fondazione)

Platee - verifiche delle tensioni di esercizio

Nodo/ T _{prnf}	Dir	Compressione calcestruzzo							Trazione acciaio							
		Compressione calcestruzzo				Compressione calcestruzzo rinforzo			Trazione acciaio/FRP rinforzo				Trazione acciaio/FRP rinforzo			
		Id _{Cmb}	σ _{cc}	σ _{cd,amm}	N _{Ed}	M _{Ed}	CS	Verific ato	Id _{Cmb}	σ _{at}	σ _{td,amm}	N _{Ed}	M _{Ed}	CS	Verific ato	
			[N/mm ²]	[N/mm ²]	[N]	[N-m]				[N/mm ²]	[N/mm ²]	[N]	[N-m]			
Fondazione				Platea 1												
00095	P	RAR	0,026	14,94	0	-731	NS	SI	RAR	0,326	360,00	0	-731	NS	SI	
		QPR	0,023	11,21	0	-656	NS	SI	-	-	-	-	-	-	-	
	S	RAR	0,007	14,94	0	199	NS	SI	RAR	0,089	360,00	0	199	NS	SI	
		QPR	0,006	11,21	0	170	NS	SI	-	-	-	-	-	-	-	
Fondazione				Platea 2												
00007	P	RAR	0,003	14,94	0	-50	NS	SI	RAR	0,037	360,00	0	-50	NS	SI	
		QPR	0,003	11,21	0	-49	NS	SI	-	-	-	-	-	-	-	
	S	RAR	0,004	14,94	0	-60	NS	SI	RAR	0,044	360,00	0	-60	NS	SI	
		QPR	0,003	11,21	0	-57	NS	SI	-	-	-	-	-	-	-	

LEGENDA:

- Rinf.** Indica la presenza del rinforzo sulla sezione di verifica.
Dir Direzione [P] = principale (asse locale 1) - [S] = secondaria (asse locale 2).
Id_{Cmb} Identificativo della Combinazione di Azione: [QPR] = Quasi Permanente - [FRQ] = Frequente - [RAR] = Rara.
σ_{cc} Tensione massima di compressione nel calcestruzzo della Trave/Rinforzo.
σ_{cd,amm} Tensione ammissibile per la verifica a compressione del calcestruzzo.
σ_{at} Tensione massima di trazione nell'acciaio della Trave/Rinforzo o nel FRP.
σ_{td,amm} Tensione ammissibile per la verifica a trazione dell'acciaio/rinforzo.
N_{Ed}, M_{Ed} Sollecitazioni di progetto.
CS Coefficiente di Sicurezza (= σ_{cd, amm}/σ_{cc} ; σ_{td, amm}/σ_{at}). [NS] = Non Significativo (CS ≥ 100).
**Verific
ato** [SI] = La verifica è soddisfatta (σ_{cc} ≤ σ_{cd,amm} ; σ_{at} ≤ σ_{td,amm}). [NO] = La verifica NON è soddisfatta (σ_{cc} > σ_{cd,amm} ; σ_{at} > σ_{td,amm}).
Nota Nella tabella, per ogni elemento, viene riportato il nodo della shell che ha il coefficiente di sicurezza (CS) più piccolo.

Platee - VERIFICA ALLO STATO LIMITE DI FESSURAZIONE (Fondazione)

Platee - verifica allo stato limite di fessurazione

Nodo	Dir	Id _{Cmb}	N _{Ed}	M _{Ed}	σ _{ct,f}	σ _t	ε _{sm}	A _e	Δ _{sm}	W _d	W _{amm}	CS	Verificat o		
			[N]	[N-m]	[N/mm ²]	[N/mm ²]		[cm ²]	[mm]	[mm]	[mm]				
Fondazione				Platea 1										AA= PCA	
NOTA: L'elemento NON è fessurato. Di seguito si riporta il nodo strutturale per la quale si riscontra la massima tensione di trazione(max σ_{ct,f})															
00432	P	FRQ	-	-2 234	0,08	2,13	0 E+00	0	0	0,000	0,400	-	SI		
		QPR	-	-2 017	0,07	2,13	0 E+00	0	0	0,000	0,300	-	SI		
	S	FRQ	-	-2 124	0,07	2,13	0 E+00	0	0	0,000	0,400	-	SI		
		QPR	-	-1 910	0,07	2,13	0 E+00	0	0	0,000	0,300	-	SI		
Fondazione				Platea 2										AA= PCA	
NOTA: L'elemento NON è fessurato. Di seguito si riporta il nodo strutturale per la quale si riscontra la massima tensione di trazione(max σ_{ct,f})															
00265	P	FRQ	-	-658	0,04	2,13	0 E+00	0	0	0,000	0,400	-	SI		
		QPR	-	-593	0,04	2,13	0 E+00	0	0	0,000	0,300	-	SI		
	S	FRQ	-	-1 425	0,09	2,13	0 E+00	0	0	0,000	0,400	-	SI		
		QPR	-	-1 297	0,08	2,13	0 E+00	0	0	0,000	0,300	-	SI		

LEGENDA:

- Dir** Direzione [P] = principale (asse locale 1) - [S] = secondaria (asse locale 2).
AA Identificativo dell'aggressività dell'ambiente: [PCA] = "Ordinario"; [MDA] = "Aggressivo"; [MLA] = "Molto aggressivo".

Platee - verifica allo stato limite di fessurazione

Nodo	Dir	Id _{Cmb}	N _{Ed}	M _{Ed}	σ _{ct,f}	σ _t	ε _{sm}	A _e	Δ _{sm}	W _d	W _{amm}	CS	Verificato
			[N]	[N·m]	[N/mm ²]	[N/mm ²]		[cm ²]	[mm]	[mm]	[mm]		
Id_{Cmb}	Identificativo della Combinazione di Azione: [QPR] = Quasi Permanente - [FRQ] = Frequente - [RAR] = Rara.												
N_{Ed}, M_{Ed}	Sollecitazioni di progetto.												
σ_{ct,f}	Tensione massima di trazione nel calcestruzzo per la fessurazione, calcolata nell'ipotesi di calcestruzzo resistente a trazione. Se tale valore è maggiore di σ _t la sezione è soggetta a fessurazione.												
σ_t	N.B. I valori negativi indicano una sezione interamente compressa. In tal caso le sollecitazioni forniscono il minimo valore di compressione.												
ε_{sm}	Deformazione unitaria media delle barre di armatura.												
A_e	Area efficace del calcestruzzo teso.												
Δ_{sm}	Distanza media tra le fessure.												
W_d	Valore di calcolo di apertura massima delle fessure.												
W_{amm}	Valore ammissibile di apertura delle fessure.												
CS	Coefficiente di Sicurezza (=W _d / W _{amm}). [NS] = Non Significativo (CS ≥ 100). [-] = Fessurazioni nulle (W _d = 0).												
Verificato	[SI] = W _d ≤ W _{amm} ; [NO] = W _d > W _{amm}												

VERIFICHE CARICO LIMITE FONDAZIONI DIRETTE ALLO SLU (Fondazione)

Verifiche Carico Limite fondazioni dirette allo SLU

Id _{Fnd}	CS	L _x	L _y	Rtz	Z _{p.cmp}	Z _{Fid}	Cmp T	C. Terzaghi						Q _{Ed}	Q _{Rd}	R _f
								per N _q	per N _c	per N _γ	N _q	N _c	N _γ			
Platea 1	18,74	12,00	9,00	0,00	0,55	-	NON Coesivo	1,49	1,17	0,59	1,00	5,14	0,00	0,028	0,529	NO
Platea 2	27,19	9,70	3,50	0,00	0,45	-	NON Coesivo	1,27	1,12	0,80	1,00	5,14	0,00	0,019	0,505	NO

LEGENDA:

- Id_{Fnd}** Descrizione dell'oggetto di fondazione al quale è riferita la verifica.
- CS** Coefficiente di sicurezza ([NS] = Non Significativo se CS ≥ 100; [VNR]= Verifica Non Richiesta; Informazioni aggiuntive sulla condizione: [V] = statica; [E] = eccezionale; [S] = sismica; [N] = sismica non lineare).
- L_x/L_y** Dimensioni dell'elemento di fondazione.
- Rtz** Angolo compreso tra l'asse X e il lato più lungo del minimo rettangolo che delimita il poligono della platea.
- Z_{p.cmp}** Profondità di posa dell'elemento di fondazione dal piano campagna.
- Z_{Fid}** Profondità della falda dal piano campagna.
- Cmp T** Classificazione del comportamento del terreno ai fini del calcolo.
- C.** Coefficienti correttivi per la formula di Terzaghi.
- Terzaghi**
- Q_{Ed}** Carico di progetto sul terreno.
- Q_{Rd}** Resistenza di progetto del terreno.
- R_f** [SI] = elemento con presenza di rinforzo; [NO] = elemento senza rinforzo.

VERIFICHE CARICO LIMITE FONDAZIONI DIRETTE ALLO SLD (Fondazione)

Verifiche Carico Limite fondazioni dirette allo SLD

Id _{Fnd}	CS	L _x	L _y	Rtz	Z _{p.cmp}	Z _{Fid}	Cmp T	C. Terzaghi						Q _{Ed}	Q _{Rd}	R _f
								per N _q	per N _c	per N _γ	N _q	N _c	N _γ			
Platea 1	35,24	12,00	9,00	0,00	0,55	-	NON Coesivo	1,40	1,13	0,54	1,00	5,14	0,00	0,019	0,653	NO
Platea 2	49,43	9,70	3,50	0,00	0,45	-	NON Coesivo	1,19	1,08	0,74	1,00	5,14	0,00	0,013	0,623	NO

LEGENDA:

- Id_{Fnd}** Descrizione dell'oggetto di fondazione al quale è riferita la verifica.
- CS** Coefficiente di sicurezza ([NS] = Non Significativo se CS ≥ 100; [VNR]= Verifica Non Richiesta; Informazioni aggiuntive sulla condizione: [V] = statica; [E] = eccezionale; [S] = sismica; [N] = sismica non lineare).
- L_x/L_y** Dimensioni dell'elemento di fondazione.
- Rtz** Angolo compreso tra l'asse X e il lato più lungo del minimo rettangolo che delimita il poligono della platea.
- Z_{p.cmp}** Profondità di posa dell'elemento di fondazione dal piano campagna.
- Z_{Fid}** Profondità della falda dal piano campagna.
- Cmp T** Classificazione del comportamento del terreno ai fini del calcolo.
- C.** Coefficienti correttivi per la formula di Terzaghi.
- Terzaghi**
- Q_{Ed}** Carico di progetto sul terreno.
- Q_{Rd}** Resistenza di progetto del terreno.
- R_f** [SI] = elemento con presenza di rinforzo; [NO] = elemento senza rinforzo.

<u>INFORMAZIONI GENERALI</u>	pag.	2
<u>MATERIALI CALCESTRUZZO ARMATO</u>	pag.	2
<u>MATERIALI ACCIAIO</u>	pag.	2
<u>TENSIONI AMMISSIBILI ALLO SLE DEI VARI MATERIALI</u>	pag.	2
<u>TERRENI</u>	pag.	3
<u>ANALISI CARICHI</u>	pag.	3
<u>TIPOLOGIE DI CARICO</u>	pag.	3
<u>SLU: Non Sismica - Strutturale senza azioni geotecniche</u>	pag.	3
<u>SLU: Sismica - Strutturale senza azioni geotecniche</u>	pag.	3
<u>COMBINAZIONI SISMICHE</u>	pag.	4
<u>SERVIZIO(SLE): Caratteristica(RARA)</u>	pag.	4
<u>SERVIZIO(SLE): Frequente</u>	pag.	4
<u>SERVIZIO(SLE): Quasi permanente</u>	pag.	5
<u>DATI GENERALI ANALISI SISMICA</u>	pag.	5
<u>DATI GENERALI ANALISI SISMICA - FATTORI DI COMPORTAMENTO</u>	pag.	5
.....	pag.	5
<u>PRINCIPALI ELEMENTI ANALISI SISMICA</u>	pag.	6
<u>RIEPILOGO MODI DI VIBRAZIONE</u>	pag.	6
<u>PLATEE</u>	pag.	8
<u>CARICHI SULLE PLATEE</u>	pag.	10
<u>PIANI - VERIFICHE REGOLARITÀ (Elevazione)</u>	pag.	10
<u>EFFETTI DELLE NON LINEARITÀ GEOMETRICHE PER SISMA (Elevazione)</u>	pag.	11
<u>PIANI - VERIFICHE AGLI SPOSTAMENTI</u>	pag.	11
<u>PIANI - VERIFICHE ALLO SLE (Elevazione)</u>	pag.	11
<u>PLATEE - VERIFICHE PRESSOFLESSIONE RETTA ALLO SLU (Fondazione)</u>	pag.	11
<u>Platee - VERIFICHE DELLE TENSIONI DI ESERCIZIO (Fondazione)</u>	pag.	26
<u>Platee - VERIFICA ALLO STATO LIMITE DI FESSURAZIONE (Fondazione)</u>	pag.	26
<u>VERIFICHE CARICO LIMITE FONDAZIONI DIRETTE ALLO SLU (Fondazione)</u>	pag.	27
<u>VERIFICHE CARICO LIMITE FONDAZIONI DIRETTE ALLO SLD (Fondazione)</u>	pag.	27